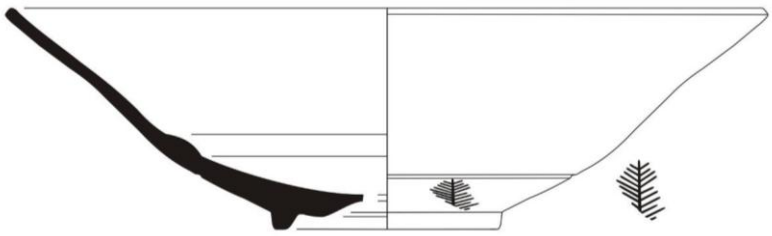
TERRA SIGILLATA Y CONTEXTOS ARQUEOLÓGICOS EN LA GALICIA SUROCCIDENTAL

INTERVENCIONES EN LOS YACIMIENTOS DE BUEU Y VIGO (PONTEVEDRA)



Tesis de doctorado presentada por Mario César Vila

bajo la dirección del profesor Dr. José Manuel Caamaño Gesto

Firma el autor: Mario César Vila

Santiago de Compostela, septiembre de 2015

USC
UNIVERSIDADE
DE SANTIAGO
DE COMPOSTELA

ÍNDICE

Agradecimientos
1. Introducción
2. Contexto y objeto de estudio
2.1. Aspectos historiográficos
2.1.1. Del cambio de siglo a 1960
2.1.2. Nuevos datos y sistematización de los estudios (1960-1990)
2.1.3. Perspectivas actuales
2.2. La *terra sigillata* en el ámbito galaico
2.3. Cuestiones metodológicas
3. El yacimiento romano de Bueu (Pontevedra)
3.1. Contexto
3.2. Intervenciones objeto de estudio
3.2.1. Intervención en el solar número 7 de la Avenida de Montero Ríos
3.2.1.1. Introducción
3.2.1.2. Planteamiento de la intervención
3.2.1.3. Estratigrafía documentada
3.2.1.4. Fases documentadas e interpretación
3.2.1.4.1. Factoría de salazón
3.2.1.4.2. Taller y horno anfórico
3.2.2. Intervención en los solares número 6, 8, 10 y 12 de la Avenida de Montero Ríos
3.2.2.1. Introducción
3.2.2.2. Planteamiento de la intervención
3.2.2.3. Estratigrafía y restos documentados
3.2.2.4. Interpretación
3.2.3. Intervención en el solar número 4 de la Avenida de Montero Ríos
3.2.3.1. Introducción
3.2.3.2. Planteamiento de la intervención
3.2.3.3. Estratigrafía y restos documentados
3.2.3.4. Fases documentadas e interpretación
3.3. La *terra sigillata* de Bueu
3.3.1. TSH
3.3.1.1. Formas decoradas
3.3.1.1.1. Forma 37
3.3.1.1.2. Piezas de atribución dudosa o indeterminada de TSH decorada
3.3.1.2. Formas lisas
3.3.1.2.1. Forma 8
3.3.1.2.2. Forma 15/17
3.3.1.2.3. Forma 27
3.3.1.2.4. Forma 36
3.3.1.3. Piezas de atribución probable o indeterminada
3.3.1.4. Sellos de alfarero
3.3.1.5. Consideraciones sobre la TSH de Bueu
3.3.2. TSHT
3.3.2.1. Formas decoradas
3.3.2.1.1. Forma 37
3.3.2.2. Formas lisas
3.3.2.2.1. Forma 37
3.3.2.3. Piezas de atribución probable o indeterminada
3.3.2.4. Consideraciones sobre la TSHT de Bueu
3.3.3. TSA
3.3.3.1. TSA-C
3.3.3.1.1. Forma Lamboglia 40 bis = Salomonson CI = Hayes 50A, nn. 1-45
3.3.3.1.2. Forma Hayes 45B, nn. 9,11
3.3.3.1.3. Forma Lamboglia 35 = Salomonson B = Hayes 52B, n. 4

3.3.3.1.4. Piezas de atribución probable o indeterminada
3.3.3.2. TSA-D
3.3.3.2.1. Forma Lamboglia 51, 51 A = Hayes 59, nn. 9, 16-17; 65, n. 2
3.3.3.2.2. Forma Hayes 60, nn. 1-2
3.3.3.2.3. Forma Hayes 61, nn. 1, 4, 7, 18
3.3.3.2.4. Forma Hayes 103 B
3.3.3.2.5. Piezas de atribución probable o indeterminada
3.3.3.3. *Terra sigillata* africana de adscripción probable o indeterminada
3.3.3.4. Consideraciones sobre la TSA de Bueu
3.3.4. TSFT
3.3.4.1. Estudio del material
3.3.4.1.1. Forma Hayes 3
3.3.4.2. Consideraciones sobre la TSFT de Bueu
3.3.5. Producciones indeterminadas
3.3.6. Conclusiones acerca de la *terra sigillata* localizada en Bueu
3.4. Otros materiales arqueológicos
3.4.1. Intervención en el solar número 5 de la Avenida de Montero Ríos
3.4.1.1. Materiales procedentes de la fábrica de salazones
3.4.1.2. Materiales procedentes del taller
3.4.1.3. Valoración
3.4.1.3.1. Cerámica común
3.4.1.3.2. Cerámica de transporte y almacenaje
3.4.1.3.3. Material latericio de construcción
3.4.1.3.4. Material lítico
3.4.1.3.5. Vidirio
3.4.2. Intervención en los solares número 6, 8, 10 y 12 de la Avenida de Montero Ríos
3.4.3. Intervención en el solar número 4 de la Avenida de Montero Ríos
3.4.3.1. Cerámica común
3.4.3.2. Ánfora
3.4.3.3. Dolia
3.4.3.4. Instrumental de alfar
3.4.3.4.1. Platos de torno
3.4.3.4.2. Discos soportes
3.4.3.4.3. Pulidores
3.4.3.5. Material de construcción
3.4.3.6. Material numismático
3.4.3.7. Vidrio
3.4.3.8. Materiales metálicos
3.4.3.8.1. Bronce
3.4.3.8.2. Hierro
3.4.3.8.3. Plomo
3.4.3.9. Materiales líticos
3.4.3.10. Material óseo
4. El yacimiento romano de O Areal Vigo (Pontevedra)
4.1. Contexto
4.2. Trabajos arqueológicos realizados en la zona objeto de estudio
4.2.1. Sondeos arqueológicos mecánicos en la Unidad de actuación I-06 Rosalía de Castro
4.2.2. Evaluación patrimonial de la Unidad de actuación I-06 de Rosalía de Castro II
4.2.3. Excavación arqueológica en área de la Parcela 4 de la Unidad de actuación I-06 de Rosalía de Castro II
4.2.4. Trabajos de ampliación de la excavación mediante la realización de sondeos manuales bajo el pavimento de la salina de la Parcela 4 de la Unidad de actuación I-06 de Rosalía de Castro II
4.3. Planteamiento metodológico de los trabajos arqueológicos

4.3.1. Introducción
4.3.2. Registro estragráfico
4.3.3. Documentación planimétrica y topográfica
4.3.4. Registro fotográfico
4.3.5. Materiales arqueológicos
4.3.5.1. Tratamiento de los materiales muebles
4.3.5.2. Estudio de materiales
4.3.5.3. Almacenamiento del material arqueológico
4.3.6. Toma de muestras
4.4. Trabajos realizados y resultados
4.4.1. Objetivos
4.4.2. Relación de unidades estratigráficas
4.5. La *terra sigillata* de Vigo (Parcela 4 de Rosalía de Castro)
4.5.1. TSH
4.5.1.1. Formas lisas
4.5.1.1.1. Forma 15/17
4.5.1.1.2. Piezas de atribución indeterminada
4.5.2. TSA
4.5.2.1. TSA-C
4.5.2.1.1. Piezas de atribución indeterminada
4.5.2.2. TSA-D
4.5.2.2.1. Forma Lamboglia 51, 51A = Hayes 59, NN, 16-17; 65, N. 2
4.5.2.2.2. Forma Hayes 90, N. I. o Forma Hayes 90, N. 4
4.5.2.2.3. Forma “Atlante”, Tav. XLVIII, II
4.5.2.2.4. Forma Hayes 93B, NN. 19, 21: 101
4.5.2.2.5. Forma Hayes 99, NN. 1, 7-8, 12
4.5.2.2.6. Forma Hayes 103B
4.5.2.2.7. Forma Hayes 104A
4.5.2.2.8. Forma Hayes 104C
4.5.2.2.9. Forma Hayes 170
4.5.2.2.10. Piezas de adscripción probable o indeterminada
4.5.2.3. TSA indeterminada
4.5.3. TSFT
4.5.3.1. Estudio del material
4.5.3.1.1. Forma Hayes 3
4.5.3.1.2. Forma Hayes 5
4.5.3.1.3. Forma Hayes 10A
4.5.3.1.4. Piezas de adscripción probable o indeterminada
4.5.4. Terra sigillata indeterminada
4.5.5. Consideraciones sobre la terra sigillata
4.6. Otros materiales arqueológicos
4.6.1. Cerámica común romana
4.6.1.2. Cerámica común romana de fabricación local o regional
4.6.1.2.1. Cerámica de la primera centuria de la era
4.6.1.2.1.1. Tipo L1. Olla decorada de perfil sinuoso y borde exvasado
4.6.1.2.2. Cerámica común romana de los siglos II-V d.C.
4.6.1.2.2.1. Tipo O1A. Olla globular de borde exvasado oblicuo, sin decoración
4.6.1.2.2.2. Tipo O25. Ollita ovoide de borde vuelto exvasado, sin decoración
4.6.1.2.2.3. Olla de borde oblicuo cóncavo
4.6.1.2.2.4. Tipo OV. Recipiente de función incierta
4.6.1.2.2.5. Tipo V2A. Vaso de cuerpo sinuoso, monoansado, espatulado o pintado
4.6.1.2.2.6. Tipo J1. Jarra monoansada de cuerpo sinuoso, con decoración combinada
4.6.1.2.2.7. Piezas de atribución probable o indeterminada
4.6.1.3. Cerámica común romana de fabricación local o regional
4.6.1.3.1. Imitación de la Forma Hayes 3 de TSFT
4.6.1.3.2. Mortero de borde invasado con visera y cuerpo semiesférico

4.6.1.3.3. Piezas de atribución probable o indeterminada
4.6.2. Cerámica de almacenaje y transporte
4.6.2.1. Producciones peninsulares altoimperiales
4.6.2.1.1. Haltern 70
4.6.2.1.2. Dressel 2-4
4.6.2.1.3. Dressel 7-11
4.6.2.1.4. Dressl 14/Beltrán IV
4.6.2.1.5. Piezas de adscripción probable o indeterminada
4.6.2.2. Ánforas tardías de producción local o regional
4.6.2.2.1. San Martiño de Bueu II/Forma Regional II/Almagro 50/Keay 16
4.6.2.3. Producciones peninsulares tardías
4.6.2.3.1. Keay 13A, ánfora globular de borde triangular exvasado
4.6.2.3.2. Keay 16A/Almagro 50, ánfora piriforme de borde engrosado exvasado
4.6.2.3.3. Keay 19C/Almagro 51A-B
4.6.3.3.4. Keay 68/91A, ánfora piriforme de borde engrosado exvasado
4.6.2.3.5. Keay 68/91F, ánfora piriforme de borde biselado exvasado
4.6.2.3.6. Piezas de atribución probable o indeterminada
4.6.2.4. Producciones norteafricanas
4.6.2.4.1. Keay 23, ánfora piriforme de borde engrosado exvasado
4.6.2.4.2. Keay 25B, ánfora cilíndrica de borde engrosado exvasado
4.6.2.4.3. Keay 27B, ánfora cilíndrica de borde exvasado apenas diferenciado
4.6.2.4.4. Keay 39, ánfora cilíndrica de borde engrosado exvasado
4.6.2.4.5. Keay 62A, ánfora cilíndrica de borde perpendicular exvasado
4.6.2.4.6. Piezas de atribución probable o indeterminada
4.6.2.5. Producciones del Mediterráneo oriental (*Late Roman Amphora*)
4.6.2.5.1. Late Roman Amphora 1/Keay 53
4.6.2.5.2. Late Roman Amphora 2/Keay 65
4.6.2.5.3. Late Roman Amphora 3/Keay 54bis
4.6.2.5.4. Late Roman Amphora 5/6/Keay 66
4.6.2.5.5. Piezas de atribución probable o indeterminada
4.6.2.6. Ungüentarios
4.6.2.6.1. *Late roman unguentarium*
4.6.3. Material latericio de construcción
4.6.3.1. Tegula
4.6.3.2. Imbrex
4.6.3.3. Later
4.6.3.4. Estuco
4.6.4. Otros materiales cerámicos
4.6.4.1. Placa-matriz
4.6.4.2. Pondus
4.6.4.3. Fusayola
4.6.4.4. Ficha de juego
4.6.5. Metales
4.6.5.1. Clavo
4.6.5.2. Escorias
4.6.5.3. Piezas de atribución probable o indeterminada
4.6.6. Vidrio
4.6.6.1. Impresiones generales
4.6.6.2. El vidrio bruto
4.6.6.3. La producción de vidrio
4.6.6.4. Las formas
4.6.6.5. La estructura de combustión (UE196, UE204)
4.6.6.6. Conclusiones
4.6.6.7. Catálogo de materiales
4.6.6.7.1. Cuenco acampanado bajo
4.6.6.7.2. Cuenco acampanado hondo

4.6.6.7.3. Cuenco acampanado amplio
4.6.6.7.4. Cuenco acampanado indeterminado
4.6.6.7.5. Cuenco moldado indeterminado
4.6.6.7.6. Jarro indeterminado
4.6.6.7.7. Posible ventana
4.6.6.7.8. Cuenta
4.6.6.7.9. Lasca de vidrio bruto
4.6.6.7.10. Escorias
4.6.6.7.11. Piezas reaprovechadas
4.7. Análisis de los restos arqueobotánicos
4.7.1. Introducción
4.7.2. Contexto biogeográfico
4.7.3. Contexto paleoambiental
4.7.4. Metodología
4.7.4.1. Convenciones adoptadas
4.7.4.2. Análisis xilo-antracológico
4.7.4.3. Análisis dendrológico
4.7.4.3.1. Características de la madera
4.7.4.3.2. Alteraciones debidas a las condiciones de crecimiento
4.7.4.3.3. Alteraciones debidas a las condiciones de combustión
4.7.4.3.4. Alteraciones debidas a las condiciones deposicionales y postdeposicionales
4.7.4.4. Análisis del proceso técnico
4.7.4.5. Análisis carpológico
4.7.4.5.1. Identificación taxonómica
4.7.4.5.1.1. Características morfológicas de frutos y semillas
4.7.4.5.1.2. Cálculo de índices morfométricos
4.7.4.5.2. Recuento
4.7.5. Tratamiento de las muestras
4.7.5.1. Características del material orgánico saturado de agua
4.7.5.2. Tratamiento en laboratorio
4.7.5.3. Inventario de las muestras
4.7.6. Resultados del análisis xilo-antracológico
4.7.6.1. Material y métodos
4.7.6.2. Datos dendronológicos
4.7.6.3. Análisis microespacial y estratigráfico
4.7.6.3.1. Depósitos relacionados con la fase de ocupación
4.7.6.3.2. Depósitos relacionados con la fase de abandono
4.7.6.3.2.1. Agujeros de poste
4.7.6.3.2.2. Fosas
4.7.6.3.2.3. Zanjas
4.7.6.3.2.4. Canales
4.7.6.3.2.5. Posible estructura de combustión para la refundición de vidrio
4.7.6.3.3. Formaciones vegetales y áreas de captación
4.7.7. Resultados del análisis carpológico
4.7.7.1. Metodología
4.7.7.2. Pepita de vid
4.7.7.3. Arraclán
4.7.7.4. Castaña
4.7.7.5. Resultados
4.7.8. Muestras bajo el pavimento de las salinas
4.8. Descripción, interpretación y contextualización de los restos documentados
4.8.1. Sectores de intervención
4.8.1.1. Sector NW
4.8.1.2. Sector N
4.8.1.3. Sector central
4.8.1.4. Sector SE

4.8.1.5. Sector S
4.8.2. Fases documentadas
4.8.2.1. Fase I: niveles de formación natural previos a la construcción de la salina
4.8.2.2. Fase II: niveles antiguos correspondientes a la construcción de la salina
4.8.2.3. Fase III: nivel de abandono de la salina
4.8.2.4. Fase IV: niveles tardorromanos o altomedievales
4.8.2.5. Fase V: Niveles de época moderna
4.8.2.6. Fase VI: Niveles de época contemporánea
5. Conclusiones
6. Bibliografía

AGRADECIMIENTOS

Deseo expresar mi reconocimiento a las personas, empresas y organismos que hicieron posible este trabajo. Al profesor José Manuel Caamaño Gesto, su total confianza y paciencia otorgadas desde el momento en el que se nos confió esta tarea. A Catalina López Pérez, mi mentora en el estudio de las cerámicas, su total asistencia y dedicación lo largo de estos años. A mi familia, soporte que siempre está ahí, pero nunca suficientemente reconocido.

Asimismo debo agradecer a todos los profesionales, compañeros, amigos y especialistas que con su colaboración, de alguna u otra manera, hicieron posible este trabajo. Ellos son, entre otros, Javier Abia Presa, Fernando Acuña Castroviejo, Begoña Albertos Figueroa, Manuel Alfonsín Soliño, Enrique Alkorta Irastorza, Mª José Alles León, Juan José Álvarez, Hixinio Santiago Araújo Feixoo, José Ramón Arias Sieiro, Néstor Bacelar Domínguez, Celso Hugo Barba Seara, Víctor Barbeito Pose, Roberto Barcia Paredes, Roberto Bartolomé Abraira, Miguel Ángel Brañas Malaquías, Andrés Bonilla Rodríguez, Nuria Calo Ramos, Vicente Caramés Moreira, Ángel Carreira Díaz, César Carreras Monfort, Raquel Casal García, Eva Castro Vigo, Alfonso Collazo Martínez, Beatriz Comendador Rey, Mar Cortegoso Comesaña, Ignacio Armando Crespo Liñeiro, Mário de la Cruz, Brais Currás Refojos, José Dapena Somoza, Fructuoso Díaz García, Manuel Durán Fuentes, José María Eguileta Franco, Gael de Esteban Bassave, Santiago Ferrer Sierra, María Helena Gil Vázquez, Luís Gómez Souto, Manuel González Valcárcel, Jesús Adelino Gorgoso López, María Jesús Iglesias Darriba, Nuria Liñeiro Gerpe, José López Alonso, María Méndez Martínez, Rui Morais, Isaac Moreno Gallo, Esperanza Martín Hernández, Rui Morais, Eduardo-Breogán Nieto Muñiz, Alberto Otero Carneiro, Alejandro Parga Castro, Eberto Pena Rey, Óscar Penín Romero, Darío Peña Pascual, David Pérez López, Manuela Pérez Mato, Mª Soledad Prieto Robles, Elbio Ramos Alvite, Juan Carlos Rivas Fernández, Marco Antonio Rivas Nodar, Rafael Rodríguez Martínez, José Ramón Sánchez Balo, Sara Rodríguez Souto, Benito Sáez Taboada, Guillermo Santamaría Gámez, Miguel A. Sartal Lorenzo, Alfredo Seara Carballo, Joaquín Seoane Figueroa, Purificación Soto Arias, Miguel Suárez Omil, José Suárez Otero, Mª Elena Taboada Durán, Beatriz Vaquero Díaz, Ricardo Viñas Cué, Pablo Vaamonde Díaz, Víctor Manuel Vázquez Rodríguez, Nieves Veiga López, Xulia Vidal Ibáñez e Isabel Villaverde Barreiro.

Debemos agradecer de la misma manera a las empresas y organismos que han hecho posible la ejecución de los trabajos arqueológicos realizados. En este sentido debemos mencionar a la empresa Solterra, promotora de los trabajos en la Parcela 4 en la urbanización II de Rosalía de Castro en Vigo, así como a la Junta de Compensación Rosalía de Castro II de Vigo. No queremos olvidarnos de la colaboración prestada por el personal de las empresas subcontratadas que desarrollaron coetáneamente con nosotros sus

actividades en el ámbito de Rosalía de Castro II, especialmente al de Excavaciones Olívicas y Pilotes Posada.

Asimismo cabe hacer mención al Grupo de Estudios para Prehistoria do Noroeste Ibérico del Departamento de Historia I de la Facultade de Xeografía e Historia de la Universidade de Santiago de Compostela, dirigido por el profesor Ramón Fábregas Valcarce y especialmente a los investigadores que participaron en los proyectos de Reza Vella y Rosalía de Castro: María Martín Seijo, Carlos Rodríguez Rellán y Andrés Teira Brión.

A Yoel Castro Maquieira y Castor Muñoz Sobrino del Departamento de Bioloxía Vexetal e Ciencias do Solo y a Jorge Iglesias Crespo del Departamento de Xeociencias Mariñas e Ordenación do Territorio de la Facultade de Ciencias do Mar, de la Universidade de Vigo. A Oscar Lantes Suárez, técnico responsable de la *Unidade de Arqueometría* RIAIDT (Rede de Infraestructuras de Apoio á Investigación e ó Desenvolvemento Tecnolóxico) de la Universidade de Santiago de Compostela.

Por otra parte debemos señalar la colaboración y amabilidad otorgada por el equipo de profesionales del Museo Arqueolóxico Provincial de Pontevedra así como del Museo Quiñones de León de Vigo.

Nuestro agradecimiento a las oficinas de arqueología del ayuntamiento de Vigo, a la delegación territorial de Pontevedra, así como al Servizo de Arqueoloxía de la Consellería de Cultura, Educación e Ordenación Universitaria de la Xunta de Galicia.

1. INTRODUCCIÓN

El trabajo aquí presentado pretende ser un escalón más de un camino iniciado hace tiempo. El primer avance lo constituyó un ensayo realizado como trabajo de investigación, en el segundo año de los cursos de doctorado con el título *Terra sigillata de la Provincia de Pontevedra: Análise bibliográfica e historiográfica e revisión dos materiais publicados* (CÉSAR VILA, 2000). En él, como bien indica el título, fue presentado un catálogo de las obras publicadas acerca de esta familia cerámica, centrando en los yacimientos de la provincia pontevedresa, siendo conscientes de la problemática que comportaba utilizar límites geográficos actuales en el estudio de las sociedades clásicas.

Se había realizado un vaciado de las fuentes bibliográficas que permitió obtener una visión global del estado de conocimiento de estas cerámicas a lo largo de más de un siglo de investigación. Los resultados mostraron como durante muchos años, estas piezas fueron ignoradas por generaciones de arqueólogos que centraron sus trabajos en la *Gallaecia* antigua. La falta de investigación y aplicación de tablas tipológicas para cerámicas romanas -como para materiales de otras épocas-, así como la desvinculación por parte de los investigadores de los resultados de excavaciones realizadas en otras áreas de la península, llevaron a que durante años existiese un desfase generalizado, reflejado en la no utilización de una terminología específica adecuada. El tópico de que el noroeste había sido una zona de escasa romanización y el ánimo que se le imprimió a los estudios centrados en el celtismo, propiciaron a que durante décadas fuera obviado, excepto menciones puntuales de algún erudito, el estudio de las *sigillatae* en el noroeste peninsular.

Será a partir de la década de los años setenta cuando se produzcan transformaciones. Figuras de la talla de Balil, García Alén, Filgueira Valverde o Fariña Busto, marcarán un punto de inflexión. Se comenzarán a valorar los materiales con criterio científico. Será Caamaño Gesto quien primeramente analizará con metodología al uso las marcas de alfarero localizadas en Galicia (CAAMAÑO GESTO, 1979), sirviendo de puente este trabajo entre la vieja escuela y la generación de nuevos arqueólogos que trabajarán durante las décadas de los ochenta y noventa como Hidalgo Cuñarro, Peña Santos, González Fernández, Naveiro López, Carreño Gascón o Carballo Arceo entre otros.

Pese al tradicional bacía que se reflejaba en los mapas de localización, con excepción de la ciudad de Lugo y alguna que otra referencia, lo cierto es que la realidad se modificó tan pronto como se iniciaron los estudios sistemáticos. Se debe mencionar la falta de metodología en la realización de excavaciones pasadas –algunas no muy antiguas-, que con un mínimo de respeto y criterio retrospectivo, debería considerarse comprensible, reflexionando sobre el contexto en el que fueron desarrolladas. Sin embargo, son muchos

los materiales que hoy son recogidos en excavaciones y quedan olvidados a la espera de ser inventariados algún día con la esperanza de su depósito en el museo correspondiente. De los existentes en los fondos de los museos, la mayor parte reclaman una debida atención, bien por encontrarse inéditos, bien por adolecer de una revisión que permita su correcta clasificación. Pese a la existencia de estos y otros obstáculos sitos en el camino, la publicación de la tesis sobre las *sigillatae* de la provincia de Coruña defendida por Catalina López Pérez así como la de Adolfo Fernández sobre el comercio tardoantiguo en la Ría de Vigo (FERNÁNDEZ FERNÁNDEZ, 2011; LÓPEZ PÉREZ, 2004), despejan en buena medida esa vía hacia el conocimiento de las *sigillatae* en el noroeste peninsular.

Partiendo de preceptos teóricos básicos, se aborda en la práctica un material que cada vez se muestra más atractivo en la medida en que permite el acercamiento a aspectos de carácter comercial, económico, productivo y social que sólo podrán ser advertidos a partir de la existencia de estudios sistemáticos.

El trabajo se ve completado con las últimas propuestas en el estado de la cuestión. En estas revisiones se amplían las referencias y se incluyen una serie de valoraciones globales acerca de la llegada de estos productos al noroeste peninsular como a la franja meridional gallega.

Se presentan una serie de materiales inéditos recogidos en varias intervenciones arqueológicas desarrolladas en los últimos años en los yacimientos romanos de Bueu y Vigo (Pontevedra).

En todos los casos, estos yacimientos han aportado resultados novedosos en la arqueología gallega de los últimos años, en cuanto al tipo de usos que se dio en época antigua al espacio en cada caso concreto, visible en los restos muebles e inmuebles documentados.

Por un lado se señala la importancia contextual de los complejos de explotación de salazón y de las actividades industriales y comerciales relacionadas detectadas en las Rías Baixas. Se corresponden con zonas productoras de recursos primarios y por ende como puntos de contacto comercial de entidad.

Por otra parte, la localización de dos niveles de calzada a la salida del aglomerado de *Auria* hacia occidente, con una serie de establecimientos industriales a sus márgenes, así como la existencia de una necrópolis de incineración bajo otra de inhumación demuestran la relevancia de este aglomerado secundario localizado en el interior en un importante cruce de vías de comunicación tanto terrestres como fluviales.

Las características de estos yacimientos resultan claves a la hora de comprender el uso de los cursos fluviales así como las vías de comunicación cara el interior y viceversa, el contacto y las relaciones entre el área mediterránea y la atlántica, el papel de los pequeños centros redistribuidores y acerca del proceso de romanización a lo largo del tiempo.

Por otra parte este trabajo pretende ser una pequeña aportación acerca del conocimiento de la tardorromanidad en el noroeste peninsular, con la intención de revisar de manera parcial la idea adquirida de estado de crisis a la que tradicionalmente, por asimilación a otras zonas del interior peninsular, fue asociado el noroeste peninsular.

USC UNIVERSIDADE DE SANTIAGO DE COMPOSTELA

2. CONTEXTO Y OBJETO DE ESTUDIO

2.1. ASPECTOS HISTORIOGRÁFICOS

En el presente capítulo se pretende realizar una pequeña aproximación al estudio historiográfico de la *terra sigillata* en el ámbito galaico. La producción escrita sobre sus producciones resulta escasa si se compara con la de otras áreas de la Península Ibérica. Si bien, su presencia será detectada desde finales del siglo XIX, no será hasta el último cuarto del siglo XX cuando una nueva generación de arqueólogos establezca las bases del conocimiento, a partir de estudios monográficos y trabajos de síntesis.

Las causas que contribuyeron a limitar la producción investigadora anterior a la década de los 70 del siglo XX fueron varias. En primer lugar, como en otros muchos casos, existía un falso tópico acerca del comportamiento del mundo romano en el Noroeste peninsular, que profesaba una carestía generalizada de *terra sigillata* en la *Gallaecia*, con respecto a otras zonas de la *Hispania* romana. Esta idea se argumentaba sobre la escasez de emigración itálica y colonización humana propiamente dicha y a la creación de una urbanización surgida más por la necesidad, que por las disposiciones oficiales (ACUÑA CASTRO VIEJO *et al.*, 1979: 79). Esta visión se reforzaba con la propuesta de que la distancia y las barreras geográficas separaban a la *Gallaecia* de los centros de producción cerámica. Nada más lejos de la realidad. Durante los últimos años se está dibujando un Noroeste fértil en cuanto a la localización de materiales cerámicos de origen africano y del Mediterráneo oriental. La tradicional opinión que lo achacaba a la tardía romanización debe ser matizada como vienen de poner en relieve recientes resultados, como demuestran los paradigmas de la zona occidental asturiana a partir de los hallazgos en el Castro del Chao de San Martín en Grandas de Salimes, o en las Rías Baixas con el ejemplo del Castro de Montealegre en Moaña. La idea de algunos autores según la cual el Noroeste constituía una de las áreas más desabastecidas del comercio que los alfares riojanos mantenían desde el siglo I, debido a las dificultades de las comunicaciones (SOLOVERA SAN JUAN, 1987: 166), debe ser desechada. Aparte del comercio por vía marítima, son conocidas cuanto menos, cuatro calzadas de entrada desde *Asturica* en el *Itinerario Antonino*, sin tener en cuenta otras posibles vías secundarias. De esta manera la comunicación terrestre con el valle del Ebro no debió ser tan dificultosa como normalmente se venía suponiendo, como demuestra la denominada corriente continental (RODRÍGUEZ GONZÁLEZ; XUSTO RODRÍGUEZ, 2006). Resulta una paradoja el hecho de atribuir malas comunicaciones, conociéndose la existencia de ciudades y enclaves secundarios relevantes, que contarían con una demanda importante de productos de lujo, contando con el flujo facilitado por la existencia de ramales secundarios y rutas que marcaban un antiguo comercio, sin mencionar las vitales vías marítimas de cabotaje y fluviales.

En segundo lugar cabe señalar la tradicional posición secundaria de los estudios sobre la romanización en el Noroeste. La investigación acerca del mundo romano fue relegada a lo largo del siglo XX con respecto a los relacionados con la Prehistoria. Este relativo desinterés venía dado en función de la localización no prioritaria, de materiales romanos en poblados de carácter indígena. La *terra sigillata* era recogida en función de su carácter vistoso, a partir de criterios artísticos más que científicos. Sólo hasta fechas relativamente próximas, comenzará a valorarse la importancia de estos restos, en la medida en que podrían ofrecer una cronología precisa.

En relación con estos factores, se debe señalar la inclusión relativamente de la *terra sigillata* hispánica en la historiografía ceramológica. Si se compara con el de otras producciones clásicas, se debe reconocer que el camino recorrido en este medio siglo, se hizo avanzar ampliamente el conocimiento de la producción hispana. En palabras de la Catedrática de Arqueología de la Universidad Central de Barcelona, Mercedes Roca, se reveló la complejidad de todo un fenómeno que incide en la historia económica de la *Hispania* romana (ROCA ROUMENS, 1998: 15). Este hecho, generalizado para la Península, fue representativamente más acusado para la zona noroccidental debido a la escasez de datos significativos.

Por otra parte destacan factores coyunturales derivados de la dinámica de las excavaciones arqueológicas y a la no divulgación de materiales depositados en las instituciones museísticas así como en las no museísticas (RODRÍGUEZ GONZÁLEZ; PERALTA BEJARANO, 1990: 268). Entra estas, lugares de discutible idoneidad, como son los depósitos privados temporales, disponibles por parte de los directores de las intervenciones arqueológicas, previamente a la entrega de la memoria técnica.

Desde esta perspectiva, rememorar la historia de las investigaciones posee significado. Por una parte actúa como medidor de los logros conseguidos y sobre todo, evidencia aquellas cuestiones más olvidadas y a las cuales deberían enfocarse futuros objetivos.

2.1.1. DEL CAMBIO DE SIGLO A 1960

Se puede fijar a grandes rasgos en algo más de un siglo el período dedicado a la identificación y estandarización de la TSH, siendo bastante imprecisa la fecha de inicio. Incluso se puede establecer una primera fase de estudio hasta la década de los años 60, cuando a inicios es publicada la monografía de Mezquíriz (MÉZQUIRIZ DE CATALÁN, 1961). Hasta esa fecha la *terra sigillata* tendió a recibir denominaciones imprecisas. Resulta bastante frecuente encontrar en la bibliografía calificaciones al uso como *vasos saguntinos*, *vasos tarraconenses* o *vasos samienses*. Existen ejemplos donde en un mismo trabajo

aparecen citadas las denominaciones *vasos saguntinos* y *cerámica sigillata*. En otros casos se llega a sospechar que la *terra sigillata* viene citada bajo la generalidad de cerámica romana. Asimismo se percibe una constante confusión entre la identificación de ejemplares de las diferentes producciones de TSI, TSG y TSH, que resulta mayor aún a la hora de definir producciones tardías. Pese a lo dicho, los trabajos publicados desde finales del siglo XIX hasta pasada la mitad del XX, se revelan hoy como fundamentales a la hora de establecer valorizaciones historiográficas y recuperar referencias hoy desaparecidas.

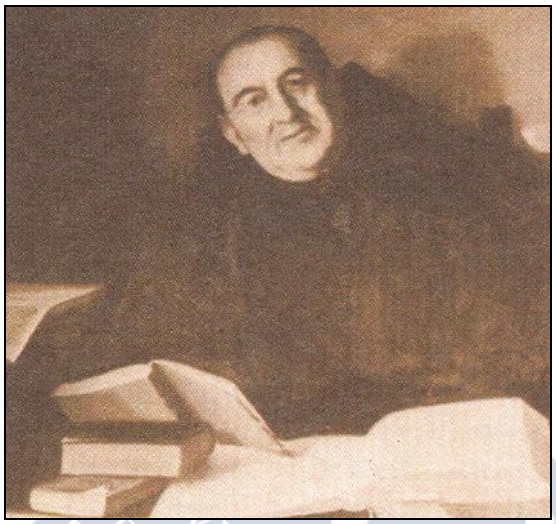
Aún siendo conocidas en diferentes períodos históricos las referencias al mundo clásico galaico, no será hasta finales del XIX cuando por primera vez se referencien hallazgos de *terra sigillata* dentro de los límites de la actual Galicia. El siglo XIX es el marco cronológico del desarrollo de corrientes como el Historicismo y el Romanticismo. Las naciones europeas intentaran buscar los elementos identificadores relacionados con la esencia del pueblo a la hora de justificar sus discursos políticos. El elemento céltico vino cumplir esta función y aún reconociéndose el carácter "civilizador" del aporte grecorromano, este no fue más que detractado en la medida en que se consideraba ajeno y colonizador.

Aunque estas corrientes tardan en consolidarse en Galicia, no impiden que se formalicen de la mano de una serie de autores. Con estos ideales románticos se intentaba buscar la nacionalidad llegando en el empeño a los orígenes y los eruditos e investigadores gallegos hacen esto identificando el pasado de Galicia con el celtismo, provocando una hipervalorización de esta época a un atribucionismo exagerado (ACUÑA CASTROVIEJO, 1981: 58). Aparecen las primeras historias generales de la Galicia y se produce una abundante literatura sobre celtismo, olvidándose casi totalmente en los estudios de la existencia del mundo romano.

Será López Ferreiro quien suba el primer escalón en la investigación sobre la *terra sigillata* localizada en el Noroeste. López Ferreiro representa el paradigma de erudito decimonónico, capaz de abarcar una serie inmensa de conocimientos sobre temas diversos. Realizó además las primeras excavaciones en la catedral compostelana, revelando abundantes aspectos sobre la romanización. Junto a el, hombres de la talla de García de la Riega o Oviedo y Arce entre otros, trataron sobre esta etapa. De su formación y vocación permanecen obras magnas.

López Ferreiro señala en la *Historia de la Santa A.M. Iglesia de Santiago de Compostela* (LÓPEZ FERREIRO, 1898), la aparición de unos vasos aretinos en un lugar sito entre Porto de Arriba y Porto de Abaixo en Pontecesures (Pontevedra). El valor de este dato, no sólo es trascendental en la medida en que revela la existencia de unas piezas hoy perdidas, sino por el uso de una terminología científica, que no será utilizada por varias generaciones

siguientes de investigadores. Reconoce la utilización del término *vasos saguntinos* como vulgar, prefiriendo el más generalizado de *vasos aretinos* o de Arezzo (ACUÑA CASTROVIEJO, 1981: 66-67), aunque como se verá en el futuro, se traten de piezas de *terra sigillata* de filiación hispánica (CAAMAÑO GESTO, 1979: 84) y no itálica, falta aceptable en cuanto a la producción hispana todavía le faltaba medio para su identificación. El rigor científico del investigador permitió la conservación de la referencia de dos marcas, SALVS y O.MAT.BL. (LÓPEZ FERREIRO, 1898: 225) además de una valiosa fotografía (LÓPEZ FERREIRO, 1898: 227) que permite el reconocimiento de formas y decoraciones diversas de materiales actualmente desaparecidos.



López Ferreiro será uno de los primeros eruditos en atestiguar la presencia de *terra sigillata* en el Noroeste peninsular

Con el cambio de siglo cambian ciertas realidades. La principal novedad será la creación de instituciones que fomenten el estudio de las antigüedades.

En el 1894 se crea la *Sociedad Arqueológica de Pontevedra*, que como indica su nombre, centrará sus estudios en el mundo de la arqueología. Cuatro años después es fundada la *Comisión Provincial de Monumentos Históricos y Artísticos de Ourense*. Su dilatada vida será testimoniada por la larga duración del boletín de la comisión. En 1905 se crea la *Real Academia Gallega*, que sirvió de medio de expresión en diversos campos do estudio, entre ellos, el de la arqueología.

Oxé en su viaje por la Península de 1912, admitirá la posibilidad de una producción hispánica de *sigillata*. En el mismo sentido se pronunciará Mélida algo más tarde, en 1918, al referirse al origen de ciertos vasos de Numancia. Esta hipótesis quedaría confirmada unos pocos años más tarde con el descubrimiento de los talleres de Abella y Solsona por Serra Vilaró (ROCA ROUMENS, 1998: 16).



La arqueología gallega experimentará notables avances con la creación del *Seminario de Estudios Gallegos*

Habrá que esperar al año 1923 para poder percibir avances notables en la arqueología gallega. Con la creación del *Seminario de Estudios Gallegos* aparecen los primeros trabajos científicos. López-Cuevillas, Bouza Brey, González García-Paz, entre otros, llevarán a cabo una labor investigadora incansable. Sin embargo, la herencia historicista llevará a que estos autores centren su objeto de investigación en el elemento céltico en general. Con ello serán efectuadas intervenciones arqueológicas, se publicarán inscripciones, se traducirán al gallego textos clásicos y se anexarán informaciones de instituciones precedentes, tales como la *Comisión de Monumentos de Ourens*e, la *Real Academia Gallega* o la *Sociedad Arqueológica de Pontevedra*.

Los inicios del siglo XX están caracterizados por las excavaciones realizadas en castros principalmente, siendo fundamental el trabajo de la gente del *Seminario de Estudios Gallegos*. Calvo ya iniciara las intervenciones en Santa Tegra en 1914, años después de que comenzaran en el norte de Portugal. El rigor y las conclusiones de los trabajos fueron bastante acertados, teniendo en cuenta los medios disponibles y el estado de los conocimientos de la época.

El trabajo del *Seminario de Estudios Gallegos* significó un enorme avance en la investigación en el ámbito de las humanidades. En arqueología se refleja en la tarea de estudiosos vinculados al *Grupo "Nós".* Buscan un vocabulario propio para la arqueología gallega, que pueda ser aplicado sistemáticamente a la investigación. Esta necesidad lleva al establecimiento de unas normas a la hora de realizar las excavaciones, centrándose en los hábitats de la edad del hierro. En estos momentos se elaboran catálogos y se efectúan intervenciones en yacimientos que serán retomadas en el futuro. Existe una colaboración expresa con los arqueólogos portugueses, si bien en términos generales se ciña

fundamentalmente al mundo castrexo, evidenciándose una falta generalizada de un interés expreso por la romanización.



Ignacio Calvo y Sánchez, con los trabajos sobre Santa Tegra, dará a conocer uno de los primeros ejemplos de *terra sigillata* en contexto arqueológico localizados en Galicia

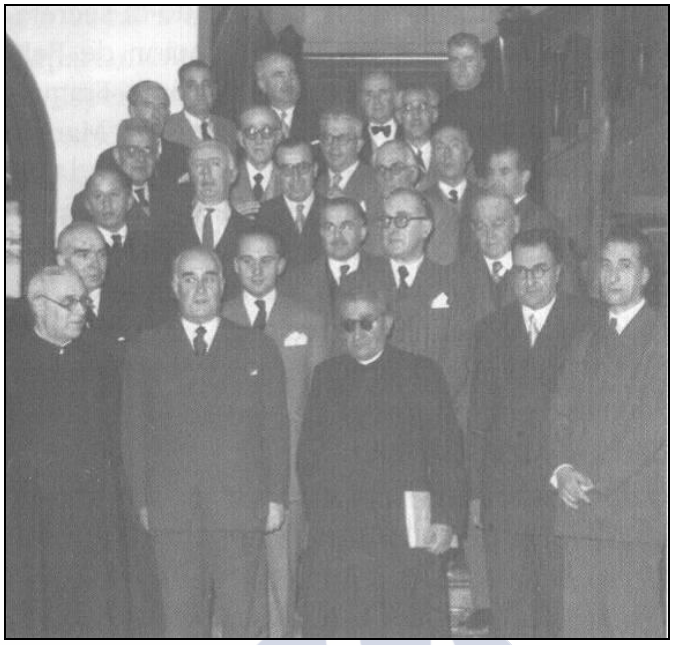
El golpe de estado de 1936 y la instauración del totalitarismo, supusieron un desgraciado punto de inflexión. La arqueología gallega sufrirá de manera directa las consecuencias. Las inmediatas supondrán el asesinato de multitud de investigadores, la supresión del *Seminario de Estudios Gallegos* y consecuentemente, la desaparición del espíritu investigador pasado.

Con la llegada de la dictadura se produce un dilatado paréntesis. Tendrán que pasar años para que se efectúen leves cambios. En 1943, dentro del *Consejo Superior de Investigaciones Científicas*, será creado el *Centro de Estudios "Padre Sarmiento".* En sus filas entrarán los cuadros con un claro posicionamiento conservador y católico, procedentes de la *Xeración Nós* y del *Seminario de Estudios Gallegos*[1], para algunos autores, perfectamente incorporables a un régimen como el franquista (GONZÁLEZ RUIBAL, 2003: Cap. 1). Estos investigadores realizarán su trabajo fuera de la Universidad.

En 1953 se celebra en Galicia el *Congreso de Arqueología Peninsular*. Las actas de 1955 sirven de espejo del estado de la cuestión del momento. En estos años se presenta una

[1] Atrás quedaron 85 socios y colaboradores del *Seminario de Estudios Galegos* represaliados, de un total de 215 socios activos y 527 protectores. El golpe de estado supuso el asesinato de 17, el exilio de 31 y la apertura de expediente o sanción de 37 (MATO, 2004: 36).

visión global de Santa Tegra mejorada por Mergelina a través de los trabajos inicialmente realizados por Calvo. Es el momento en el que se realizan las excavaciones de la Catedral de Santiago y de A Lanzada.



Miembros del *Instituto de Estudios Gallegos "Padre Sarmiento"*

A nivel general se observa como el estudio de la *terra sigillata* se refiere básicamente a hallazgos sueltos y pequeños conjuntos que no se llegan a contextualizar. Existe además un desconocimiento acerca del trabajo que los investigadores estaban realizando en el resto de la Península, como el caso de Mélida en Numancia (1918), Serra Vilaró en Abella y Solsona (1924 y 1925), Balil en las colecciones de los museos de Barcelona y Baltimore (1955-1956 y 1957), Moutinho en el norte de Portugal (1958), G. Nieto en Iruña (1958) y M. A. Mezquíriz en Liédena, Andión y Pamplona (1953, 1960 e 1958).

2.1.2. NUEVOS DATOS Y SISTEMATIZACIÓN DE LOS ESTUDIOS (1960-1990)

A inicios de la década siguiente, se produce un hito en la investigación de la TSH. La publicación de la monografía de Mezquíriz (MEZQUÍRIZ DE CATALÁN, 1961) marcó el punto de partida de los estudios sistemáticos sobre TSH. En esta obra se definen las características de la producción hispana de *terra sigillata*, se descifra la problemática referida tanto el origen y fuentes de inspiración, se establece una cronología y se ordenan las formas. A un lado de tipos gálicos se clasifican las estimadas como hispánicas originales llegando a los treinta y siete tipos. Como posibles centros de producción se señalan Tricio, Liédena, Pamplona, Abella, Solsona y Bronchales. Asimismo se ofrece un catálogo abundante de motivos y estilos decorativos con sus posibles referencias cronológicas. No se hace mención sin embargo, a los hallazgos propiciados hasta la fecha en el Noroeste peninsular.



Con la publicación de la monografía de Mezquíriz se sistematizarán los estudios sobre la *terra sigillata* hispánica

Desde mediados de los años sesenta en adelante, la novedad más importante en el estudio de la *sigillata* hispana, será el descubrimiento en la de nuevos centros de producción, que contribuirán a ampliar sustancialmente su conocimiento, al tiempo que permitirán redefinir aspectos de carácter cronológico, tipológico y de comercialización (ROCA ROUMENS, 1998: 19).

De esta manera se constata la existencia de un pequeño artesanado, detectado a partir de la localización de talleres menores, siguiendo los planteamientos de Mezquíriz y coexistiendo con los grandes alfares. Se observa para la *terra sigillata* hispánica una difusión más dilatada en el tiempo y en el espacio de la considerada. En el ámbito tipológico, el listado de formas crece de manera considerable. Se amplía la información acerca de los alfares de Andújar, destacando la importancia de las influencias del componente itálico, interpretado a partir de ciertas marcas, motivos decorativos y desarrollo formal de tipos.



El profesor Alberto Balil, figura clave dentro del movimiento de renovación de los estudios sobre la *Gallaecia* romana

En los años setenta se producen una serie de cambios. Se dotará a la Universidade de Santiago de Compostela de una plaza en Arqueología. Será creado en el *Instituto "Padre Sarmiento"* una sección de Arqueología y Prehistoria. Comienza una nueva etapa en la que se diseñan y diversifican líneas de investigación en la universidad con el fin de preparar futuros arqueólogos. Se abren museos y se realizan campañas de excavación en yacimientos en los que fueran ya iniciadas años atrás. Estos hechos propiciaron la formalización de reuniones periódicas entre Galicia y Portugal. En esta etapa se asiste a la celebración del *Bimilenario de Lugo*. Los estudios abarcarán ámbitos inéditos hasta la fecha con un enriquecimiento dado por la revisión de la información obtenida con anterioridad.

De las figuras investigadoras más representativas destaca sin duda la del profesor Balil, quien a principios de la década publica el segundo estudio de cerámica romana, dedicado en este caso al estado de la cuestión en Galicia (BALIL ILLANA, 1970). Se denuncia la falta

de estudios específicos hasta la fecha, señalando que ni Oxé, ni Comfort pudieron visitar las colecciones gallegas y que Mezquíriz tampoco hiciera mención a los materiales hallados en Galicia (BALIL ILLANA, 1970, 7).

Pese a la escasez de investigaciones, el profesor Balil apuntara dos cuestiones básicas, con el tiempo verificadas por diferentes especialistas. Por una parte la lógica abundancia de TSH sobre otras producción, así como la rareza de la TSG que no parecía remontarse más allá de los últimos años de la dinastía Julio-Claudia, mostrando un claro predominio Flavio (BALIL ILLANA, 1970: 7). En lo tocante a los aspectos económicos de la *Hispania* romana (BALIL ILLANA, 1972), destaca una capacidad de síntesis y correlación entre aspectos interdisciplinarios, planteados a partir de las fuentes arqueológicas existentes y datos anteriormente conocidos[2].

Posteriormente publica un trabajo acerca del estado de la cuestión acerca de la Galicia romana (BALIL ILLANA, 1973). En la primera parte aborda la cuestión historiográfica, centrándose en la importancia fundamental de la cerámica como material arqueológico más versátil a la hora de aportar información acerca del desarrollo de actividades comerciales (BALIL ILLANA, 1973: 171). La *terra sigillata* se presenta como un elemento de valor incuestionable en contexto, que permite la datación absoluta (BALIL ILLANA, 1973: 174).



Con la creación de la *Sección de Arqueología y Prehistoria* del *Instituto de Estudios Gallegos "Padre Sarmiento"*, se diseñarán las líneas de investigación del último cuarto del siglo XX

Otra visión acerca del estado de la cuestión del momento será sintetizada por el profesor Acuña (ACUÑA CASTROVIEJO, 1976; 1979; ACUÑA CASTROVIEJO *et al.*, 1977)

[2] Se hará especial mención al hecho de la relación de los vasos aretinos encontrados en Galicia, relacionándolos con los de otras zonas (BALIL ILLANA, 1972: 17-18).

apoyándose en los estudios de Balil y de Felipe Arias y Milagros Cavada para la etapa bajorromana (ARIAS; CAVADA, 1979).

Si la obra de Mezquíriz sirve de contrapunto en la historia de la investigación, el trabajo de Beltrán (BELTRÁN LLORIS, 1978) pasará a convertirse en el manual de referencia, con la ampliación de la información conocida, en la fecha. La gran cantidad de cambios experimentados en estas dos décadas, sobre todo en lo referente al descubrimiento de nuevos alfares, hizo necesaria una puesta al día de diversos aspectos que quedaran totalmente anticuados. Se abordarán cuestiones de terminología, fabricación, marcas, temas económicos, etc, de manera concisa.

Del mismo ano año es la publicación de Garabito sobre los alfares riojanos y la comercialización de sus productos (GARABITO GÓMEZ, 1978), estudio amplio sobre los propios centros de producción. Se refleja la complejidad y magnitud de los mismos, a partir del análisis específico y de conjunto, permitiendo el descubrimiento de elementos novedosos sobre los hornos conocidos en las diferentes áreas del Valle del Najerilla.

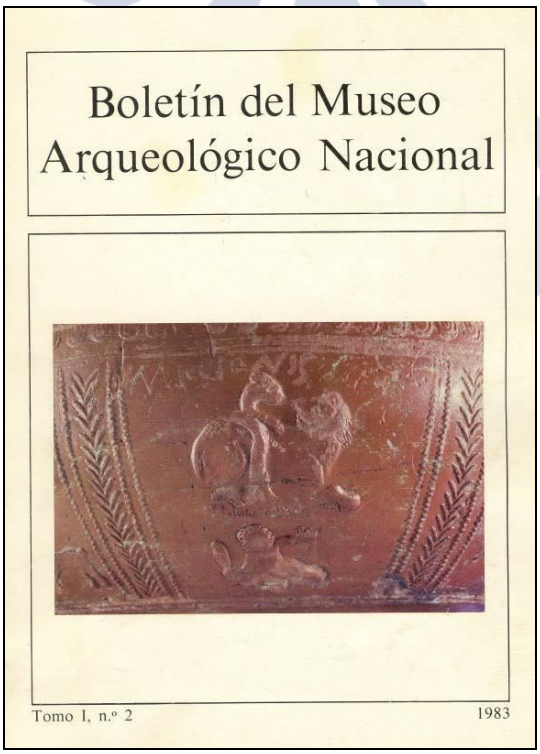
Estos referentes en el estado de la investigación propiciarán la sistematización de trabajos sobre aspectos específicos de manera progresiva. Un ejemplo será el trabajo de Caamaño sobre los s*igillum* de alfarero (CAAMAÑO GESTO, 1979), en el que se analizan por primera vez, los sellos de alfarero sobre cerámicas finas romanas, encontradas en Galicia. El trabajo resulta fundamental en la medida en que representa un estudio sistemático de una suma de hallazgos dispersos, en un área en el que hasta la fecha, los mapas de distribución, aparecían casi vacíos. Se presentan un total de 31 marcas en *sigillata* y cerámica común, localizadas en museos, en propiedad privada o desparecidas.

La década de los años ochenta traerá la correcta sistematización de la producción, a partir de la atribución de una terminología y criterios de atribución comunes, asumidos por la comunidad científica. Asimismo las líneas de investigación serán ampliadas sustancialmente.

Como resultado de la celebración de la mesa redonda celebrada en el *Museo Arqueológico Nacional* de Madrid en mayo do 1982 (SOTOMAYOR MURO, 1983) en torno al estado de la cuestión de la TSH, se unificarán criterios partiendo de la información obtenida en los años anteriores. Destaca el afán normalizador terminológico, fijándose criterios de atribución, sistematizándose aspectos relativos a la representación gráfica, exponiéndose los objetivos cumplidos y divulgándose las últimas investigaciones de los diferentes investigadores presentes en la reunión.

Pese a estos avances, existe todavía una falta de criterio por parte de algunos autores a la hora de distinguir formas y producciones, como refleja la monografía sobre la citania del Tegra publicada por Martínez Tamuxe (MARTÍNEZ TAMUXE, 1983).

Un año más tarde se publica la obra de Mayet (MAYET, 1984), la cual presenta un estudio global de la TSH altoimperial y tardía. Se trata de un trabajo acerca de los centros de producción, diferenciándose aquellos talleres cuya proyección sería la de abastecer un comercio de carácter local. Dentro de estos se citan Abella, Solsona, Bronchales y Granada. Por otra parte aparecerían los denominados grandes centros, como Andújar y Tricio. Entre las propuestas se mantienen las ya presentadas sobre los materiales de *Conimbriga* de 1975, donde se diferenciaban dos estilos decorativos, correspondientes a fases distintas, seguidos en diferentes estudios posteriores. No tuvo el mismo éxito la tabla tipológica propuesta, continuadora de la de Delgado (DELGADO, 1975b). La segunda parte aparece dedicada al análisis de los componentes sociales y económicos derivados de la investigación de estas producciones, así como de aspectos relacionados con la comercialización.



Portada de la monografía del *Boletín del Museo Arqueológico Nacional*, en el que se recogen los planteamientos metodológicos vigentes para los estudios de TSH

En 1985 se publica la revisión de Mezquíriz acerca de la TSH (MEZQUÍRIZ, 1985). Paradógicamente, la autora realiza una nueva propuesta clasificatoria mezclando formas altoimperiales con tardías, siguiendo un orden numérico correlativo. Este hecho podría

interpretarse con una intencionalidad de considerar una evolución lógica de los tipos, hecho realmente no admitido por la comunidad científica. Otro factor propenso a aumentar la confusión estaría relacionado con el cambio de numeración realizado en algunas formas y a la exclusión de otras conocidas.

En 1985 López Rodríguez publica un estudio global acerca de la TSHT decorada a molde de la Península Ibérica (LÓPEZ RODRIGUEZ, 1985), en el que se dan a conocer algunos tipos inéditos, se someten a revisión los ya conocidos y se realiza una importante clasificación y análisis de estilos decorativos.

Del mismo año versa el estudio sobre alfares romanos riojanos y la comercialización de sus productos con Galicia (GARABITO GÓMEZ *et al*., 1985). Los autores destacan el cambio que experimentó el estado del conocimiento de la TSH en Galicia desde el año 1978 hasta 1985. El punto de partida se justifica por la publicación en aquellos momentos, del trabajo sobre alfares romanos riojanos por parte de uno de los autores (GARABITO GÓMEZ, 1978).

El trabajo se articula por provincias, destacando la de Pontevedra por ser la que más publicaciones presenta (GARABITO GÓMEZ *et al*., 1985: 169-170). Los presupuestos presentados se apoyan en tópicos de carácter historicista, justificando la escasa presencia de *sigillata* en la zona noroccidental, debido al vacío visible del Noroeste –al igual que la zona levantina– en los mapas generales de dispersión. Esta ausencia se fundamentaría en la escasez de excavaciones efectuadas en asentamientos de época romana, junto al relativo interés mostrado por la ceramología hasta hacía unos años, lo que convertía a la *terra sigillata* en un material poco valorado y citado, casi que en exclusiva, en el momento en el los materiales gálicos o aretinos podían mostrar posibilidades de datación (GARABITO GÓMEZ *et al*., 1985: 167). Sin embargo, la existencia de este vacío en los mapas peninsulares, en muchos casos se debió a un desconocimiento bibliográfico generalizado por parte de los autores. Ya antes de la publicación de las obras generales de Mezquíriz (MEZQUÍRIZ DE CATALÁN, 1961), Beltrán (BELTRÁN LLORIS, 1978) o Garabito (GARABITO GÓMEZ, 1978), en 1978 existen una serie de publicaciones que informan de la localización de hallazgos de *sigillata*. La tradicional idea de que la penetración de las culturas y costumbres romanas se hizo con más dificultad, sin llegar a integrarse de manera completa como en otras regiones peninsulares (GARABITO GÓMEZ *et al.*, 1985: 168) y que la dificultad de los transportes debían de ser mayores (GARABITO GÓMEZ *et al*., 1985: 169) rotulan esa tradicional imagen[3].

[3] Otra cuestión apuntada sería la de que hasta el año 1977 sólo se tenía conocimiento de un alfarero, *LAPILLIVS*, que enviara sus productos a la *Gallaecia* (GARABITO GÓMEZ *et al*., 1985: 169). Sin embargo, por citar el ejemplo más antiguo conocido, no son señalados los datos proporcionados en 1898 por parte de López Ferreiro, a partir de dos marcas –en su momento atribuidas a alfares aretinos-, pertenecientes a ceramistas hispanos (LÓPEZ FERREIRO, 1898: 225).

El trabajo acerca de las cerámicas finas de importación en la época romana en Galicia de la mano del profesor Caamaño Gesto (CAAMAÑO GESTO, 1983), se centrará en la importancia económica de estos productos, partiendo del catálogo presentado con anterioridad por el mismo autor (CAAMAÑO GESTO, 1979), ampliándose de manera significativa los puntos en los mapas de dispersión.

2.1.3. PERSPECTIVAS ACTUALES

A finales del siglo XX e inicios del XXI, se asiste a la divulgación de resultados sobre algunas intervenciones realizadas a partir de los añs 80. La contextualización de los materiales, permitió reconsiderar las implicaciones económicas relativas a la comercialización de las cerámicas.

La obra compiladora de Beltrán (BELTRÁN LLORIS, 1990), basada en datos anteriormente citados (BELTRÁN LLORIS, 1978), amplía una serie variada de contenidos, referidos a las diferentes familias que componen la cerámica romana.

La obra se concibe atendiendo al análisis de los aspectos que atañen a la investigación cerámica, a la revisión de aspectos tipológicos, cronológicos y de difusión. Se presentan listas de sellos de alfarero, tablas tipológicas generales, mapas de distribución a nivel peninsular y una amplia bibliografía de referencia. Sin embargo, se aprecian una serie de omisiones en la zona noroccidental, pese a la existencia de novedades bibliográficas, debido a su carácter didáctico y global.

La gestión de competencias por parte de la comunidad autónoma gallega en materia patrimonial, supondrá la creación de la *Dirección Xeral de Patrimonio Cultural de la Xunta de Galicia*. Entre las principales novedades se señala la promulgación de la *Lei de patrimonio cultural de Galicia* con la publicación del decreto[4] que propiciará la profesionalización del sector. En los primeros años de funcionamiento, se asiste a la publicación de varias monografías, informes y memorias de intervenciones, en las que se incluyen el estudio y clasificación de materiales arqueológicos.

A inicios de la década de los noventa se asiste a la publicación monográfica de Naveiro sobre el comercio antiguo en el Noroeste (NAVEIRO LÓPEZ, 1991). De la parte dedicada a los materiales de importación, merecen mención especial las valoraciones generales referidas a las diversas producciones de *sigillatae*. Las propuestas de distribución, cronología, formas más representativas, tablas de marcas, mapas, etc, abalan un esfuerzo

[4] Ley 8/1995, do 30 de octubre, del Patrimonio Cultural de Galicia y Decreto 199/1997 de 10 de julio, por el que se regula la actividad arqueológica en la Comunidad Autónoma de Galicia.

recopilador de una obra hoy en día no superada en cuanto a la variedad de producciones y restos materiales tratados.

Asimismo, en 1991 se publica la monografía sobre el estado de la cuestión acerca de las cerámicas finas tardorromanas y del Mediterráneo oriental, localizadas en España (JÁRREGA DOMÍNGUEZ, 1999). Pese al carácter exclusivamente bibliográfico del trabajo y a la amplitud del marco geográfico abordado, el estudio se centra principalmente en las franjas costeras oriental y meridional peninsulares, como áreas receptoras principales de productos africanos y del Mediterráneo oriental en época tardía. En el caso de la *Gallaecia* se cita el campamento de Cidadela (Sobrado dos Monxes) como único receptor de dichas producciones. El menoscabo bibliográfico, remite al autor a una propuesta errada, basada en una limitada importación de productos africanos y del Mediterráneo oriental en el norte y noroeste peninsular, que se formalizaría a través de un comercio terrestre por el interior peninsular, desde las costas orientales y meridionales de la Península ibérica (JÁRREGA DOMÍNGUEZ, 1999: Fig. 4).

En 1992 se publica la síntesis de Naveiro y Pérez Losada, acerca de la ocupación de la costa gallega en época romana, a través del estudio global de los asentamientos y materiales asociados (NAVEIRO LÓPEZ; PÉREZ LOSADA, 1992a). Se subraya la importancia de las diferentes producciones de *terra sigillata* con el fin de poder establecer una visión de conjunto acerca de los contactos a larga distancia de la costa galaica. Entre estas cerámicas finas de importación se reconocen piezas áticas de barniz negro, TSI, TSG, TSH, *sigillatae* norteafricanas o *Late Roman C* (NAVEIRO LÓPEZ; PÉREZ LOSADA, 1992a: 66-67).

Posteriormente Naveiro publicará un articulo de síntesis (NAVEIRO LÓPEZ, 1996) donde revisará una serie de aspectos presentados en su anterior monografía (NAVEIRO LÓPEZ, 1991). Se pretende reavivar el interés sobre el tema con el fin de corregir las deficiencias historiográficas. El estudio se centra en el progresivo desarrollo de los intercambios comerciales a lo largo de la romanización siguiendo el registro arqueológico. En este sentido, la *terra sigillata* cumpliría una función básica dentro del registro material.

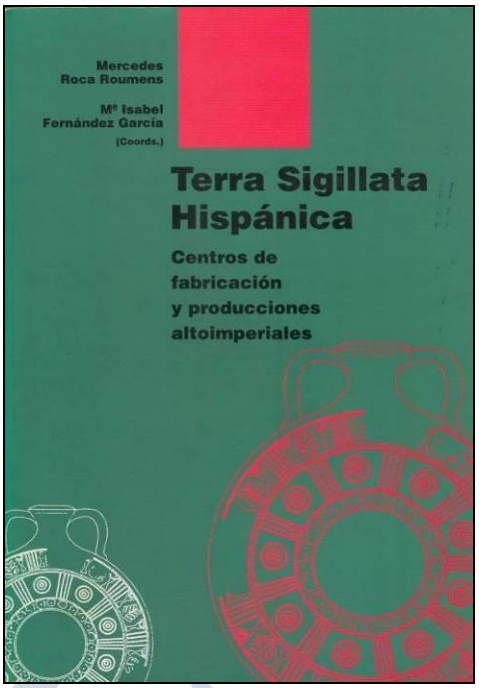
En 1997 Covadonga Carreño (CARREÑO GASCÓN, 1997) realiza una aproximación al estado de la cuestión de la *terra sigillata* en Galicia. Ofrece un análisis cronológico de la introducción de estos productos, sirviéndose de las cronologías existentes para marcas y las generales para las formas.

A nivel estatal se debe destacar la obra colectiva realizada por varios especialistas de diversas áreas geográficas, en la que se efectúa una nueva actualización del estado de la

cuestión, siendo editora de la publicación Mª. Isabel Fernández García (FERNÁNDEZ GARCÍA Ed., 1998). Se recogen las propuestas presentadas en el *I Curso de Arqueología*, que bajo el título de *Terra Sigillata Hispánica: Estado actual de la investigación*, se desarrolló durante los días 24, 25 y 26 de octubre de 1996 en la Universidad de Otoño de Andújar. Las investigaciones se centraron principalmente en el área de influencia del centro productor de Los Villares de Andújar. Mercedes Roca se ocupó de la revisión de la historia de las investigaciones de la TSH, donde se incide en la importancia fundamental de la obra de Mezquíriz (MÉZQUIRIZ DE CATALÁN, 1961). Se señala que esta obra marcó un punto de inflexión claro en el campo de la investigación de la *terra sigillata*, ya que con anterioridad, existía una clara confusión a la hora de identificar producciones. Manuel Sotomayor Muro aborda la historia de las investigaciones de los alfares de Los Villares de Andújar, mientras que Isabel Fernández García se centra en las características de la *sigillata* producida en ese centro a partir del estudio de formas y decoraciones. La autora incide en aquellos elementos de diferenciación respecto al complejo alfarero de Tricio. En el cuarto capítulo, Mercedes Roca se centra en un tema tradicionalmente poco tratado, como es lo de la organización social de los talleres y su vertebración interna. M ª Pilar Sáenz Preciado aborda un tema en el que es especialista, como es lo del desarrollo del complejo tritiense en época altoimperial. La exposición ofrece una visión general del centro alfarero, con información sobre la historia de las investigaciones y el estado de los conocimientos hasta el momento. También se ofrecen nuevos datos acerca de marcas y motivos decorativos propios. Encarnación Serrano Ramos dedica su síntesis a los centros productores de TSH de los territorios malacitanos. Por último, Mª. Victoria Romero Carnicero ofrece una visión general acerca de la TSH en la zona norte de la Península, centrándose en la comercialización de estos productos y en el grado de desarrollo de las investigaciones.

En el año 1998 se publican las actas del *Congreso internacional sobre as orixes de la cidade no Noroeste Hispánico* (COLMENERO Coord., 1998) celebrado en Lugo, en el que se presentan trabajos sobre la actualidad de las investigaciones en arqueología, tanto del Noroeste como de otras zonas del imperio. Varios trabajos aportarán novedades sobre el conocimiento de la *terra sigillata* en la zona galaica.

De referencia obligada resultan los trabajos recogidos en la obra de homenaje a la profesora Mezquíriz (ROCA ROUMENS; FERNÁNDEZ GARCÍA (Coords.), 1999), donde se realiza una puesta al día en cuanto a criterios terminológicos, de atribución y tecnotipológicos, en su momento presentados en la mesa redonda celebrada en el *Museo Arqueológico Nacional* en 1982, y publicados en el propio *Boletín del Museo* (SOTOMAYOR MURO, 1983).



La obra coordinada por Mª. Roca Roumens y Mª. I. Fernández García, servirá de referente renovador acerca del estado de la cuestión en la década de los noventa.

Esta tarea de actualización partió de los datos recogidos en los centros productores, como resulta lógico, a partir de las investigaciones desarrolladas a lo largo de estos años. La aparición de nuevos talleres agrandó el panorama de estructuración de la producción y comercio. Asimismo, fueron identificados novedades, hasta ahora no sistematizadas, que ayudaron a vertebrar el complejo fenómeno de los inicios de la producción hispánica. Se actualizó la tipología y fue revisada la cronología, consiguiéndose una mayor concreción en lo relativo a la duración de algunos tipos. Se elaboró un nuevo *corpus* de marcas que recoge todas las conocidas hasta la fecha, con sus variantes y dentro del posible, se señala la correspondiente filiación al centro productor correspondiente.

Asimismo, se debe hacer mención también a los trabajos monográficos sobre centros productores principales como Los Villares de Andújar en Jaén, Tricio y Valle del Najerilla en La Rioja, Granada, Málaga, áreas de comercialización del sureste peninsular, entre otros.

En 2002 se edita en formato digital, el trabajo de Vanessa Faucher sobre las cerámicas finas del Suroeste de la *Galia* en el Noroeste de *Hispania* (FAUCHER, 2002). La monografía se basa en los datos existentes a nivel bibliográfico, de las producciones de TSG y de DSP, documentados en la franja litoral del País Vasco, Cantabria, Asturias y Galicia. El estudio se centra en la identificación del centro productor sudagálico de origen de los hallazgos –Montans y La Graufesenque-, así como en la precisión de cronologías. Se ofrecen tablas de

tipos, de marcas de alfarero, listado de alfareros, representaciones gráficas a partir de las publicaciones conocidas, así como mapas de distribución de materiales. Como trabajo de síntesis resulta de obligada consulta, así como de aportación al estado de la cuestión de las producciones gálicas en la costa N y NW peninsular. No obstante, se advierte cierta imprecisión a la hora de contrastar informaciones gráficas y textuales ya que anteriores errores de atribución formal no resultan identificados (HIDALGO, 1984).

Se publica asimismo en el 2002 el estudio de Pérez Losada sobre los aglomerados secundarios romanos en Galicia (PÉREZ LOSADA, 2002). Destaca el novedoso enfoque y caracterización de este tipo de asentamientos, la completa revisión que de fuentes históricas y arqueológicas y las aportaciones interpretativas, así como el esfuerzo compilador, realizado a partir de los trabajos efectuados por numerosos arqueólogos en los últimos años.

En el 2004, bajo la celebración del año Xacobeo, se organiza en el *Museo do Mar de Vigo,* la exposición *Até o confín do mundo: Diálogos entre Santiago e o Mar* (CARAMÉS MOREIRA (Coord.), 2004). Entre los materiales expuestos destacan varios ejemplares de *terra sigillata* localizadas en contextos vigueses tardíos, así como un *Late roman ungüentarium*, presentados en fichas de catálogo individualizadas.

Ese mismo año se publica la tesis de Mª Catalina López Pérez sobre el comercio de *terra sigillata* en la provincia de A Coruña (LÓPEZ PÉREZ, 2004). Será este el primer estudio amplio y riguroso acerca de las diferentes producciones de *sigillata* -itálicas, gálicas, hispánicas, africanas y foceas- localizadas en una área suficientemente amplia y significativa de la *Gallaecia* antigua. El completo catálogo se basa tanto en el estudio de *sigillatae* inéditas cómo en las ya publicadas, procedentes tanto de intervenciones antiguas y recientes. La significación de los enclaves estudiados, el volumen de información manejada junto a la minuciosidad metodológica, la convierten en una obra de referencia obligada para especialistas, así como de estudio de base para futuros trabajos de investigación sobre la romanización del Noroeste.

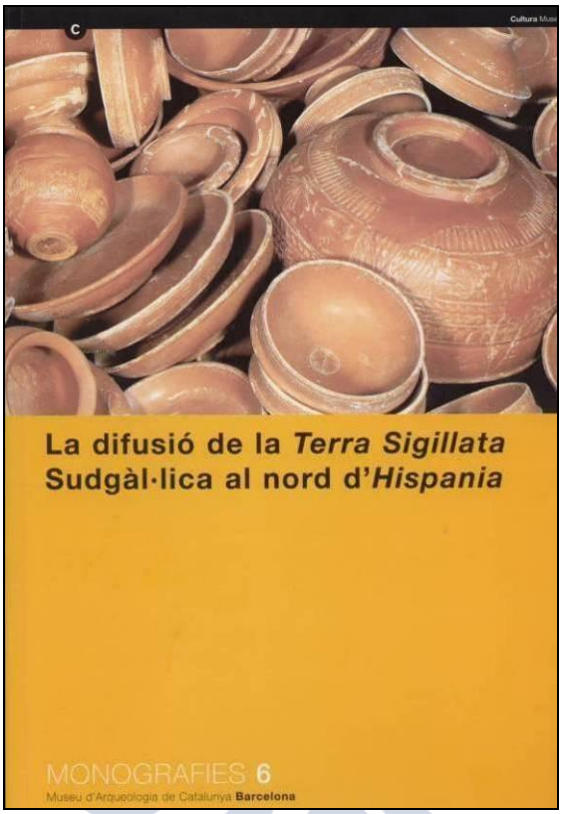
Del 2005 resulta el estudio de Rodríguez Resino sobre la arqueología de la tardoantigüedad en Galicia, entre los siglos V-VII (RODRÍGUEZ RESINO, 2005). El libro ofrece un catálogo de algunos yacimientos cronológicamente ubicados en el período tardorromano, algunos de ellos con cronologías anteriores al siglo V. Por otra parte y pese al carácter historiográfico necesario en un trabajo de estas características, se acusa cierto desconocimiento bibliográfico que lleva a considerar la aparición de TSAC como muy rara y a reducir el período de comercialización en algunas producciones tardías (RODRÍGUEZ RESINO, 2005: 145). En el caso del yacimiento de Currás (Tomiño) se indica que es imposible tratar de

identificar tipos definidos que pudieran corresponder la la época tardorromana sobre todo en la *sigillata* (RODRÍGUEZ RESINO, 2005: 38). Si bien no se apuntan definiciones de carácter tipológico de materiales, sí se presentan en cuanto a nivel productivo. Son varias las referencias a la localización de TSHT (CAAMAÑO GESTO, 1983: 242; GARABITO GÓMEZ *et al*., 1985: 178; Mapa 4; NAVEIRO LÓPEZ, 1991: 244; Mapa 9, 19), fósil director indiscutible de la tardorromanidad en todo el norte peninsular. Algo semejante sucede en el yacimiento de Adro Vello (O Grove) donde el autor no ve indicios tardoantigos salientables (RODRÍGUEZ RESINO, 2005: 43). Obras de otros autores refiriéndose al conjunto dan cuenta de materiales característicos del mundo tardoantigo como son las producciones de TSHT (GONZÁLEZ FERNÁNDEZ, 1987: 217), TSHP (NAVEIRO LÓPEZ, 1991: 244; Mapa 9, 17a) o DSP (FAUCHER, 2002: 78-79). En el caso de A Lanzada (Sanxenxo) no se mencionan los datos acerca de la localización de TSHT en el apartado dedicado a cultura material (FILGUEIRA VALVERDE; FARIÑA BUSTO, 1975: 165, 167; ACUÑA CASTROVIEJO, *et al.,* 1979: 84; ARIAS; CAVADA, 1979: 96; CAAMAÑO GESTO, 1983: 239-242; BELTRÁN LLORIS, 1991: 118; NAVEIRO LÓPEZ, 1991: 244; Mapa 9, 17b), de TSAD (NAVEIRO LÓPEZ, 1991: 45, 242; Mapa 8, 11) o de DSP (FAUCHER, 2002: 79).

Del mismo año data la publicación de los resultados de la Mesa Redonda celebrada en Millau entre el 9 y el 11 de 2003, acerca de la difusión de la *terra sigillata* sudgálica en el norte de *Hispania* (NIETO et al., 2005). Especialistas que desarrollan su campo de análisis en diversas zonas del norte peninsular y sur de Francia, exponen novedosas líneas de estudio a partir de un marco de debate común.

Son tres los artículos que contemplan el ámbito de estudio noroccidental. Thierry Martin se centra en la difusión por la costa atlántica de las cerámicas de Montans, distribuidas a partir de la navegación cantábrica, que se verá truncada con la génesis de los talleres de la zona riojana (MARTIN, 2005).

López Pérez (LÓPEZ PÉREZ, 2005: 63-78) presenta un listado de los yacimientos gallegos en los que se ha localizado TSG. El trabajo muestra una concentración de estos materiales en las zonas costeras del sur y en las principales vías fluviales. Se realiza una pequeña descripción geográfica, tipológica y cultural del yacimiento, se citan las referencias bibliográficas y se revisan los materiales, en los casos donde fue posible la localización de estos, en el museo en el que se encuentran depositados. Finalmente, si existen elementos de atribución, se establece una adscripción al centro productor sudgálico de origen.



De los trabajos publicados en los últimos años, merece especial atención la monografía sobre la difusión de la TSG en el norte peninsular (NIETO *et al.*, 2005).

Un grupo compuesto por varios especialistas que desarrollan sus investigaciones en el área astur (FERNÁNDEZ OCHOA *et al.,* 2005: 79-102) presentan un catálogo de las marcas de alfarero de TSG encontradas en el NW hispánico (*Conventus Asturum*, *Conventus Lucensis*, *Conventus Bracarensis*, y *Conventus Cluniensis*), donde se señala la adscripción al centro productivo sudgálico correspondiente.

En 2006 se publica la addenda al *corpus* de marcas de alfar en *terra sigillata* localizadas en Galicia, a cargo de los doctores Caamaño Gesto y López Pérez (CAAMAÑO GESTO; LÓPEZ PÉREZ, 2006). Este trabajo amplía el estudio efectuado por Caamaño la finales de los años 70. Se trata de una completa compilación en la que son incluidas marcas publicadas e inéditas, exceptuando cómo en el primer artículo, las localizadas en la ciudad de Lucus Augusti. La revisión de algunas piezas depositadas en los museos, permitió redefinir y rectificar errores de atribución transmitidos, en algunos casos, por los autores que las dieron a conocer en su momento. Por otra parte, tanto las piezas como las marcas, son analizadas con criterios metodológicos actuales, señalándose aspectos de atribución que no fueron contemplados en la mayor parte de los casos.

Del mismo año es la publicación del artículo acerca de la denominada corriente continental en la Galicia romana altoimperial (RODRÍGUEZ GONZÁLEZ; XUSTO RODRÍGUEZ, 2006). La dispersión de diferentes materiales de época altoimperial en el Noroeste, sirve de línea argumental con el fin de justificar el predominio del uso de las rutas terrestres en los contactos comerciales. No obstante, se señala que la presencia de cerámica campaniense se limita al área costera, siendo el castro de Troña, el enclave más interior en el que se localiza esta producción cerámica, sucediendo algo semejante en el caso de la TSI (RODRÍGUEZ GONZÁLEZ; XUSTO RODRÍGUEZ, 2006: 20). En lo referente a la TSG, se indica que, pese a documentarse TSG marmorata en el Castro de Vigo, la producción gálica debió de ser comercializada a través de la ruta de la meseta norte partiendo del valle del Ebro y no por la circunnavegación peninsular (RODRÍGUEZ GONZÁLEZ; JUSTO RODRÍGUEZ, 2006: 22; Fig. 4). Sin embargo, como apunta la llegada a través de la costa de producciones más antiguas, como son la cerámica campaniense y la TSI, sería necesario contemplar propuestas complementarias y no excluyentes, por lo que sería lógica la coexistencia del uso de las rutas terrestres y marítimas.

En abril de 2009 se constituye la *Sociedad de estudios de la Cerámica Antigua en Hispania* (S.E.C.A.H.), cuyo ámbito de actuación comprende todo el territorio peninsular. Entre sus fines se encuentra el de fomentar y potenciar el estudio de la cerámica antigua en el ámbito de la antigua *Hispania*, sin olvidar sus vínculos con las cerámicas de otras zonas del mundo antiguo, promover la divulgación y conservación de los centros de producción cerámica antigua, impulsar el estudio y aplicación de técnicas que contribuyan a mejorar el conocimiento de la cerámica antigua en Hispania, así como promover el uso de nuevas tecnologías aplicadas al de los centros de producción cerámica y sus productos y potenciar la difusión del conocimiento ceramológico por todos los medios disponibles.

La asociación efectúa una serie de dinámicas actividades, entre las que se encuentran la publicación de boletines y monografías, realización de cursos, conferencias, mesas redondas y viajes, entre otras. Sirve de punto de encuentro entre ceramólogos portugueses y de todo el estado español, siendo espejo de la actualidad en la investigación de la cerámica antigua peninsular.

Las aportaciones, realizadas en los últimos, se han centrado en la elaboración de trabajos síntesis y de actualización de las informaciones conocidas para la *terra sigillata* del Noroeste peninsular (CÉSAR VILA, 2000; CÉSAR VILA; LÓPEZ PÉREZ, 2008; LÓPEZ PÉREZ; CÉSAR VILA, 2010; LÓPEZ PÉREZ; CÉSAR VILA, M; CARREÑO GASCÓN, 2011), así como en la redacción de trabajos monográficos (CASTRO PAREDES; INSUA LIÑARES; LÓPEZ PÉREZ, 2003; CÉSAR VILA, 2003a; 2004b; 2009; FERNÁNDEZ FERNÁNDEZ, 2007; 2010; 2011; 2013; 2014; FERNÁNDEZ FERNÁNDEZ; PÉREZ LOSADA; VIEITO

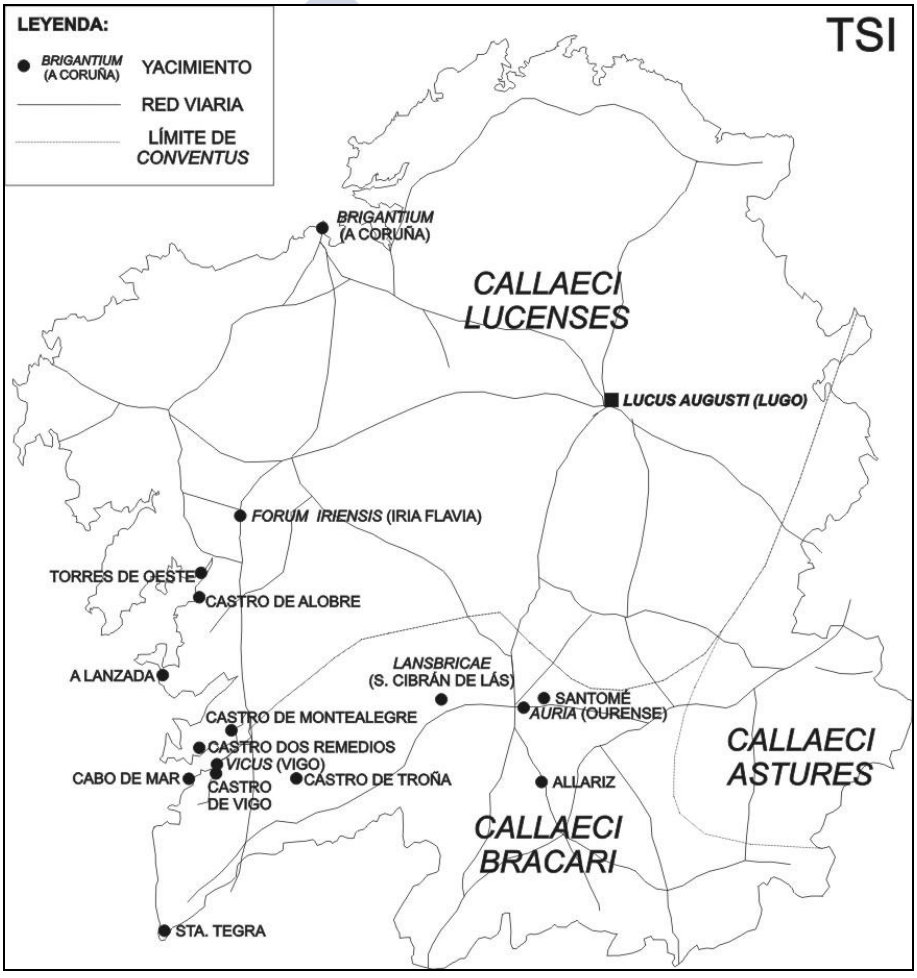
COVELA, 2008; FERNÁNDEZ FERNÁNDEZ; VIEITO COVELA; PÉREZ LOSADA, 2007; FERNÁNDEZ FERNÁNDEZ; SOTO ARIAS, 2007; LÓPEZ PÉREZ, 2008; 2010; LÓPEZ PÉREZ; TOMÁS BOTELLA; 2010; LÓPEZ PÉREZ; VÁZQUEZ COLLAZO, 2007; PÉREZ LOSADA; VIEITO COVELA; FERNÁNDEZ FERNÁNDEZ, 2004).

Con esta breve exposición, se pretendió llamar la atención sobre los cambios historiográficos generales producidos en el ámbito noroccidental, en relación con el ámbito peninsular, a lo largo de más de un siglo. Resulta necesaria sistematización en el estudio de estas producciones –al igual que en cualquier otra producción cerámica-, asumiendo un mismo lenguaje por parte de todos los especialistas, si se pretende un avance conjunto en las investigaciones. Teniendo en cuenta el inmenso material que proporcionan las intervenciones al amparo de la arqueología profesional, junto a la necesidad de publicación de colecciones todavía inéditas, sería necesario articular futuras líneas de investigación, atendiendo a la identificación y estudio mediante el uso de herramientas metodológicas actualizadas y comunes.

USC UNIVERSIDADE DE SANTIAGO DE COMPOSTELA

2.2. LA *TERRA SIGILLATA* EN EL ÁMBITO GALAICO

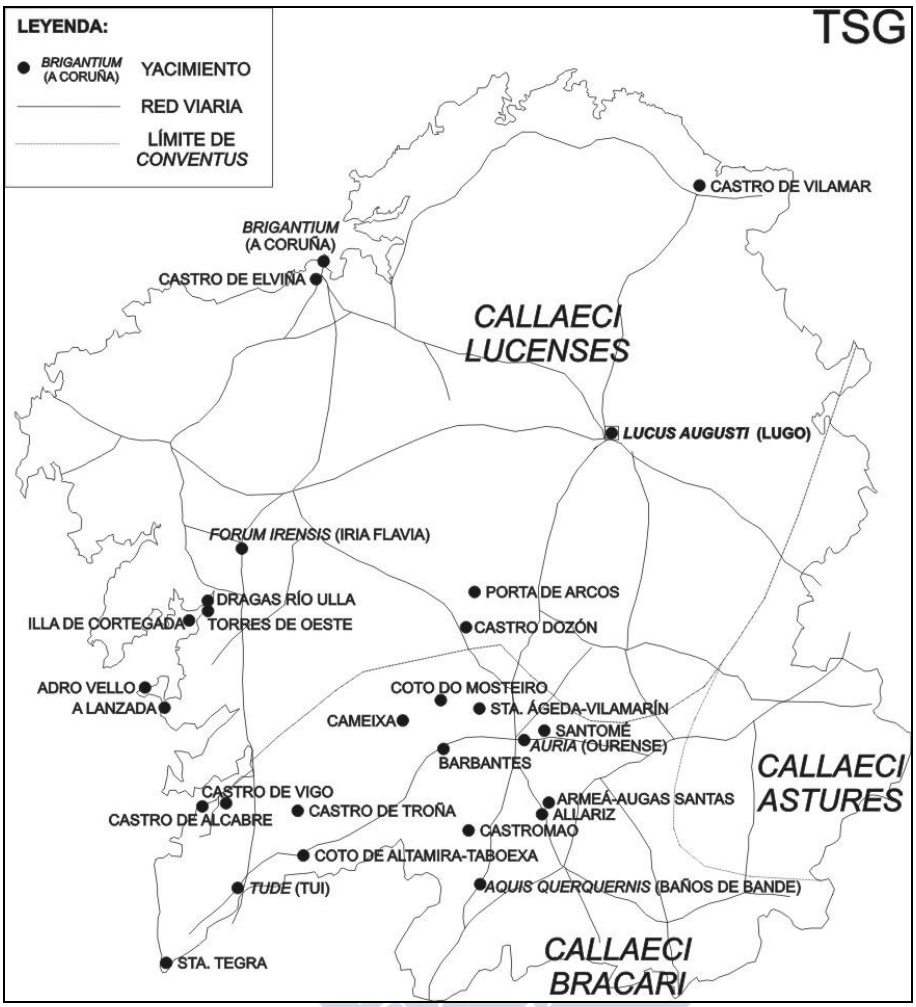
Los contactos comerciales entre las áreas de la fachada atlántica peninsular y el Mediterráneo se inician con el comercio fenicio (GONZÁLEZ RUIBAL *et al.,* 2007: 43). Estos contactos serán intensificados con la llegada de Roma, antes y después de la conquista, permitiendo el mantenimiento de una ruta de abastecimiento del imperio en su expansión hacia el norte europeo con las campañas de Augusto y Claudio (MORILLO CERDÁN, 2003: 22, NAVEIRO LÓPEZ, 1991: 115). De esta manera, las primeras relaciones con los comerciantes púnicos, serán reemplazadas por el comercio romano de gran escala que se concreta con la llegada de ánforas itálicas y cerámicas campanienses primero y con las primeras sigilatas itálicas ya en el cambio de era.



Distribución de TSI en Galicia (CÉSAR VILA; LÓPEZ PÉREZ, 2008: Fig. 1)

Si bien inicialmente la llegada de estos productos resulta limitada, paulatinamente se asiste a una intensificación del uso de las vías marítimas como acceso hacia *Britannia*, las costas francesas y el limes germánico. Esta relevancia queda de manifiesto en el registro

arqueológico por la presencia de un faro y de administración romana en el enclave de *Brigantium* (LÓPEZ PÉREZ, 2008: 402).



Distribución de TSG en Galicia (CÉSAR VILA; LÓPEZ PÉREZ, 2008: Fig. 1)

La llegada de *terra sigillata* itálica se origina hacia el primer tercio del siglo I d. C. en el momento en el que el noroeste peninsular aparece asimilado dentro de las rutas comerciales romanas tras las campañas de Bruto y César.

El litoral galaico se muestra escasamente transitado como parece evidenciar porcentualmente la escasez de materiales localizados, a excepción de la ciudad de Lugo. La presencia de materiales resulta significativamente mayor en las zonas costeras y dentro de estas en las áreas meridionales siendo la cuenca del Miño, una de las principales vías de entrada hacia el interior. En la zona septentrional su presencia resulta anecdótica.

Para ilustrar este hecho se mencionan los 24 fragmentos localizados en el castro de Santa Tegra, 32 en el castro de Vigo, 9 en Iria Flavia y 2 en A Coruña. En el interior se documenta la presencia de esta producción en la capital lucense, San Cibrán de Lás, San Tomé,

Ourense y Allariz. Los ejemplares pertenecen a formas habituales como la Consp. 3, Consp. 11, Consp. 14, Consp. 18, Consp. 20, Consp. 22, Consp. 31, Consp. 32 o Consp. 37, probablemente fabricadas en los alfares de mayor producción y difusión, como son los aretinos y en algún a los puteolanos (CÉSAR VILA; LÓPEZ PÉREZ, 2008: 242-243).

La afluencia de la *terra sigillata* gálica se atestigua entre la década de los años 40 d.C. y la época flavia. Cronológicamente coincidirá con la ocupación de *Britannia* por Claudio y la fijación de enclaves campamentales en el limes germánico. La asimilación de estos extensos territorios en el Imperio, afianzan el uso de las rutas atlánticas. De esta manera se constata en el litoral un aumento generalizado en el número de arribo de las producciones galas.

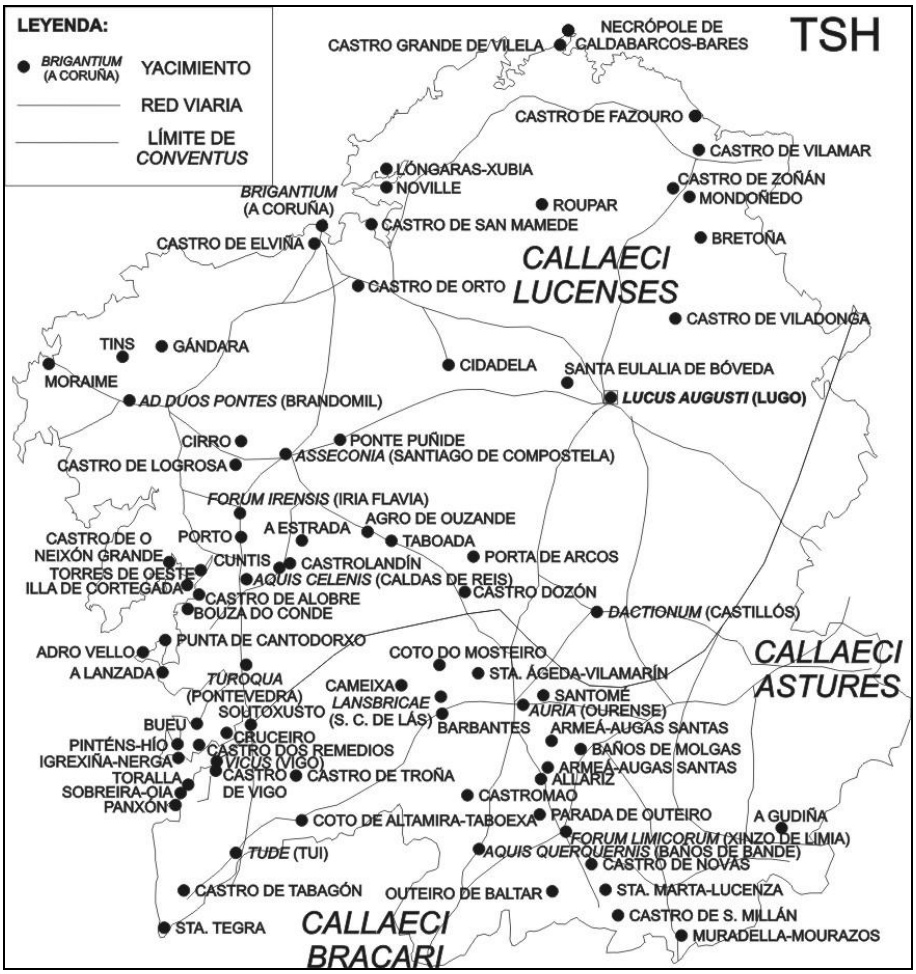
El aumento del número de ejemplares se aprecia en los yacimientos de los castros de Santa Tegra y Vigo, Iria Flavia y *Brigantium*.

La presencia se concentra en la Galicia meridional interna y costera. En la franja litoral se señalan los yacimientos de Santa Tegra, Tui, Coto de Altamira y Castro de Troña en la desembocadura del Miño. En las Rías Baixa el Castro de Alcabre, Castro de Vigo, A Lanzada, Adro Vello, Illa de Cortegada, Torres de Oeste, Río Ulla e Iria Flavia. En el Golgo Ártabro Castro de Elviña y *Brigantium* y el Castro de Vilamar en la Mariña lucense. En la Galicia interior se señalan los hallazgos de Lugo en la zona septentrional, los de Porta de Arcos y Castro Dozón en la zona central y Coto do Mosteiro, Santa Ágeda-Vilamarín, Cameixa, Santomé, Ourense, Barbantes, Armeá-Augas Santas, Allariz, Castromao y el campamento de *Aquis Querquernis* en la zona meridional. Las formas continúan siendo las habituales correspondiéndose a las 15/17, 18, 24/25, 27, 29, o 30. La ausencia hasta el momento de las formas 35, 36, o 37 estaría relacionada por el momento de fabricación de estos productos, ya que a partir de época flavia la TSH copa el mercado entrando en seria competencia con la TSG (CÉSAR VILA; LÓPEZ PÉREZ, 2008: 244-245).

Los alfares de procedencia se corresponden con los centros sudgálicos de Montans y La Graufesenque, existiendo un reparto de mercados entre ambos, siendo mayoritarios los productos de La Graufesenque.

La presencia de *terra sigillata* hispánica se constata en el noroeste desde los inicios de la producción. Se documenta en Lugo con piezas pertenecientes a las formas 15/17 tempranas o cuencos de la forma 29 con decoración de guirnaldas, correspondientes a las conocidas como producciones precoces.

Inicialmente se detecta la presencia de productos galos e hispanos. Sin embargo, hacia época flavia se irá reduciendo la llegada, de manera progresiva, de ejemplares galos. El noreste se encuentra asimilado por parte del Imperio y las rutas atlánticas serán utilizadas de manera recurrente debido a las necesidades de abastecimiento de los campamentos del limes. En estos momentos se generaliza presencia de la TSH. A las formas habituales se les suman otras menos comunes como algún ejemplar con decoración de rombos documentado en *Brigantium*, así como la Forma 2, Forma 13, Forma 39, Forma 50, Forma 51, Forma 77 o la Forma 92. Los alfares de origen se corresponden con los riojanos (CÉSAR VILA; LÓPEZ PÉREZ, 2008: 247).



Distribución de TSH en Galicia (CÉSAR VILA; LÓPEZ PÉREZ, 2008: Fig. 2)

De esta manera, la TSH se presenta como preponderante en el ámbito galaico con respecto a las otras producciones finas, documentándose en todo el territorio. Su ocaso se producirá gradualmente con las transformaciones conocidas en el bajo Imperio y la llegada de productos tardíos.

En lo que a las producciones de TSHT en el noroeste peninsular, los últimos siglos del mundo romano están marcados por el mantenimiento de las redes comerciales terrestres y marítimas, que en casos como el de Vigo o Lugo permiten hablar de una importante afluencia de material foráneo en el utillaje doméstico.

Sin embargo se trata de una producción cuya investigación presenta vacíos importantes, no encontrándose totalmente sistematizada.

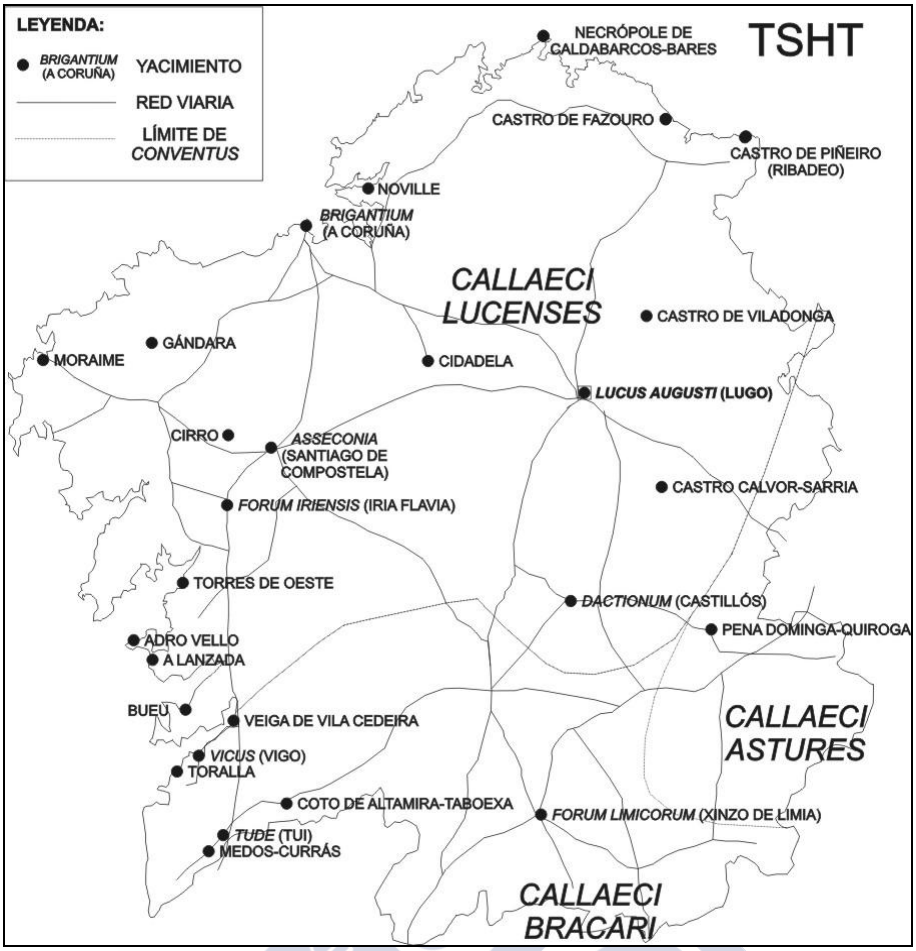
En el noroeste no se advierte una interrupción en la importación de *sigillata* de producción hispánica en el paso a los siglos bajoimperiales (CÉSAR VILA, LÓPEZ PÉREZ, 2008: 243; LÓPEZ PÉREZ, CÉSAR VILA, 2010; NAVEIRO LÓPEZ, 1991: 244). No existe ruptura por tanto, en la comercialización entre la TSH y la TSHT, puesto que son numerosos los ejemplares adscritos a las llamadas producciones intermedias (PAZ PERALTA, 1991: 41), transicionales (PÉREZ RODRÍGUEZ, GARCÍA ROZAS, 1989: 169), avanzadas (TUSET, BUXEDA, 1995) o que presentan rasgos pretardíos (JUAN TOVAR, 1997: 558).

Las rutas comerciales para las sigilatas hispánicas tardías denotan una mayor presencia en las zonas de interior en la mitad norte galaica, así como una restringida representación en el litoral debido a la competencia de los productos norteafricanos y del mediterráneo oriental.

En este sentido cabe valorar la importancia de la red viaria, que ya desde época altoimperial sirve de medio de llegada de productos del interior peninsular, denominada “vía” o “corriente” continental (RODRÍGUEZ GONZÁLEZ, XUSTO RODRÍGUEZ, 2005: 10). Por otra parte la presencia de TSHT en zonas costeras, señalaría la importancia de las rutas de redistribución de estos productos a través del tránsito marino.

A nivel tipológico existe una reducción formal en la producción que se atestigua también en el ámbito galaico, particularidad propia de productos tardíos.

Los tipos mejor representados como la Forma 8 – Palol 10 o la Forma 15/17, de fuerte implantación en época altoimperial, denotan ciertos aspectos de continuidad. Menos representadas porcentualmente se documenta la presencia de la Forma 5, Forma 7, Forma 27, Forma 37 Tardía en su variedad lisa, Forma 50, Forma 56 – Palol 14 – López 15, Forma 71 – Palol 2, Forma 74 – Palol 4, Forma 77 – Palol 5 – Paz 82 y 83, Forma 80 – Palol 1 así como la Forma Palol 3 y la Forma Palol 9/11. Al repertorio liso se suman los tipos decorados constatados hasta el momento, la Forma 37 y la Forma 37 Tardía, que a su vez se identifica con uno de los de más difundidos (LÓPEZ PÉREZ, CÉSAR VILA; 2010: 43).



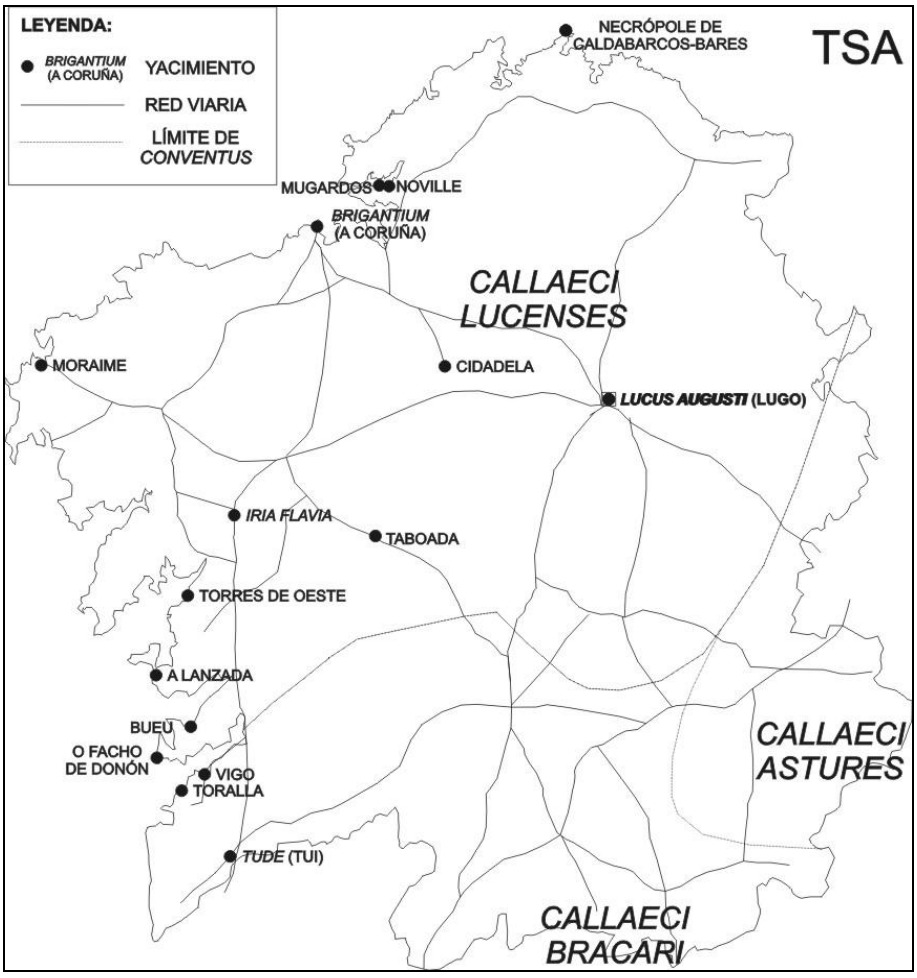
Distribución de TSHT en Galicia (CÉSAR VILA; LÓPEZ PÉREZ, 2008: Fig. 2)

Se detectan diferencias entre las decoraciones de los materiales de la capital lucense y las localizadas fuera, donde motivos y composiciones suelen ser más definidos. Las decoraciones del Primer Estilo aparecen de en niveles bajos proporcionalmente, limitándose a series de círculos y de rosetas aisladas o asociadas a motivos verticales de separación. Los ejemplos pertenecientes al Segundo Estilo, mejor representados, contienen elementos de las series de grandes círculos o semicírculos dobles, con líneas paralelas en el interior, puntos o ángulos. Estos estilos decorativos son los preponderantes, no detectándose piezas buriladas y siendo anecdóticos los de decorados mediante estampación.

Esta variedad detectada en los materiales de Lugo con respecto al territorio circundante, estaría directamente relacionado con la elevada solicitud de vajillas propias de una capital de *conventus*, así como por la escasa competencia que realizarían los productos africanos y foceos. Estas circunstancias reflejan la importancia del desarrollo en el tránsito comercial de interior.

En cuanto a las producciones africanas, se señala una importa distribución en todo el noroeste a partir del litoral atlántico y los valles fluviales relacionados. La TSA llegará a ser

preponderante en cuanto a importaciones en fases tardías. Se documentan en Lugo de manera esporádica en relación a las producciones hispanas. Sin embargo su significativa presencia en el litoral costero de las Rías Baixas, tanto en lugares de carácter habitacional (aglomerados secundarios, *villae*), industrial (salazones de pescado, talleres) o necrópolis, ha resultado ser trascendental para la investigación. Desde la segunda mitad del siglo II se detecta la presencia de los productos africanos más tempranos, a partir de la presencia puntual de fragmentos de TSA-A, perdurando hasta bien entrados los siglos VI-VII, como demuestra la localización de las formas 103 y 104 de la clasificación de Hayes (CÉSAR VILA; LÓPEZ PÉREZ, 2008: 248-249).



Distribución de TSA en Galicia (CÉSAR VILA; LÓPEZ PÉREZ, 2008: Fig. 3)

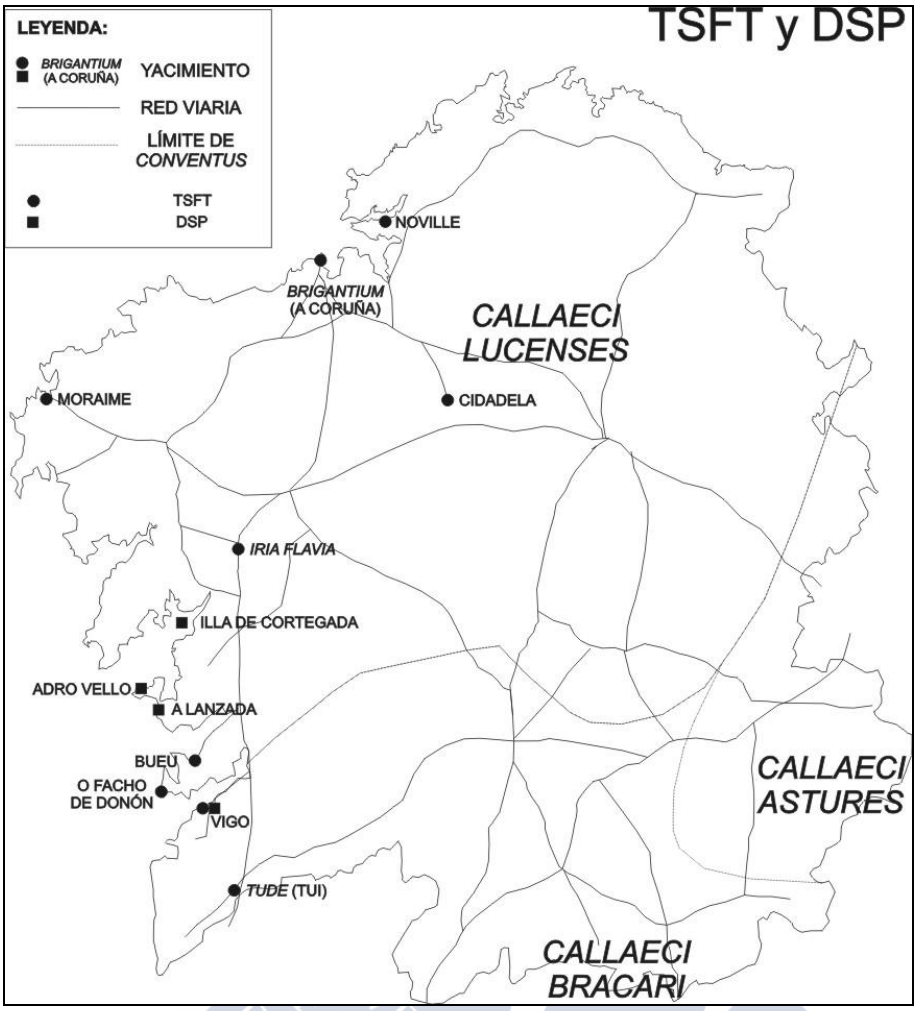
La TSA-A aparece representada de manera anecdótica, con varios fragmentos en la zona coruñesa del Arco Ártabro. Se corresponden con dos ejemplares localizados en las rúas Cantóns y Tabernas de la capital herculina, uno correspondiente a la Forma Hayes 14, otro en la *villa* romana de Noville y otro en la *villa* de Mugardos (LÓPEZ PÉREZ; CÉSAR VILA, 2010: 44).

A nivel historiográfico, la documentación de la TSA-C en los contextos noroccidentales es relativamente reciente. Está registrada en niveles datados en los siglos III y IV de varios yacimientos costeros de la franja atlántica. A nivel tipológico se señala la presencia la Forma Hayes 48 (Tui), Hayes 50 (Iria Flavia, Brigantium, Torres do Oeste y Bueu) y la Forma Hayes 52B (Caldas de Reis, Toralla y Bueu) (CÉSAR VILA; LÓPEZ PÉREZ, 2008: 249).

La producción del norteafricana preponderante se corresponde con la TSA-D, distribuida principalmente por la costa y en zonas del interior, principalmente comunicadas por los cauces fluviales con mayor caudal para la navegación. Aparece asociada en yacimientos de tipología Se encuentra en yacimientos de tipología heterogénea correspondientes a al núcleo urbano de Lugo, aglomerados secundarios, villas, castros con ocupación tardía, necrópolis de ambiente rural y centros de transformación de materias primas (CÉSAR VILA; LÓPEZ PÉREZ, 2008: 249). A nivel tipológico, las formas mejor representadas son la Hayes 58B (Vigo y Toralla), Hayes 59 (Iria, Cidadela, Brigantium y Bueu), Hayes 60 (Brigantium y Bueu), Hayes 61 (Iria, Cidadela, Brigantium y Bueu), Hayes 67 (Brigantium, Vigo y Toralla), Hayes 76 (Brigantium), Hayes 80 (Moraime), Hayes 91 (Iria, Cidadela, Moraime, Brigantium y Vigo), Hayes 99 (Brigantium), Hayes 103 (Bueu) y Hayes 104 (Tui).

La producción de TSFT aparece ampliamente representada entre las décadas centrales de los siglos V al VI. El tipo con mayor presencia se corresponde con la Forma 3 de Hayes, localizándose en enclaves costeros del Golfo Ártabro como *Brigantium* y Noville, Moraime, en el campamento militar de Cidadela e Iria Flavia. Hacia el S destacan los hallazgos de los aglomerados de Bueu, Vigo, principalmente en el ámbito de las rúas Hospital, Rosalía de Castro, García Barbón y Tui. Presenta una distribución eminentemente litoral, acompañando las cargas de ánforas del mediterráneo Oriental (*Late Roman amphora*), que arribaban en los enclaves costeros del Mediterráneo y Atlántico.

Esta preponderante presencia en la franja litoral que en el interior de las producciones tardías en época bajoimperial y tardorromana, señala la entidad del tránsito comercial marítimo en el Atlántico y Cantábrico. Esta realidad fuera ya señalada por el profesor Balil y contrastada consecutivamente por los arqueólogos Naveiro López, Fernández Ochoa o Caamaño Gesto principalmente. Las zonas del interior se muestran totalmente dependientes de la circulación prestada por las vías de comunicaciones terrestres y fluviales, si bien en uso normalizado en época bajoimperial. El afianzamiento e impulso de las vías hacia el norte de Europa a través de la costa atlántica, propiciaron las relaciones de manera estable con el norte de África y el Mediterráneo oriental, durante las etapas de desmoronamiento del Imperio y los albores de la alta edad media.



Distribución de TSFT y DSP en Galicia (CÉSAR VILA; LÓPEZ PÉREZ, 2008: Fig. 3)

USC UNIVERSIDADE DE SANTIAGO DE COMPOSTELA

2.3. CUESTIONES METODOLÓGICAS

Se presenta el estudio de la *terra sigillata* localizada en tres yacimientos arqueológicos de la franja meridional gallega. Asimismo se ha pretendido abarcar un ámbito de análisis mayor que el tipológico, a través de la contextualización con otros materiales recogidos en los mismos contextos, así como con otros elementos o evidencias materiales, sobre los cuales se han desarrollado una serie de estudios, si bien con diferentes niveles de sistematización.

No se ha querido perder de vista el objeto principal del presente trabajo, motivado por el estudio de la *terra sigillata*, a través de las producciones documentadas, que han sido la *terra sigillata* hispánica altoimperial, la *terra sigillata* hispánica bajoimperial, la *terra sigillata* africana C, la *terra sigillata* africana D y la *terra sigillata* focea tardía.

En este sentido se ha realizado un trabajo previo de análisis detallado de cada pieza en un inventario completo, prestando atención tanto a los aspectos formales (elementos de atribución, descripción, motivos y técnicas decorativas), como físicos (pastas, pigmentos, desgrasantes), que permitieron la identificación y clasificación de las piezas objeto de estudio.

Los catálogos ofrecen una serie de aspectos generales, así como otros de carácter específico. Se ha mantenido la sigla de los materiales con el fin de facilitar la identificación de las piezas por yacimiento e intervención, tanto durante la realización del trabajo, como para futuras revisiones que se puedan realizar de los materiales estudiados. Para la identificación de las coloraciones se ha utilizado la tabla de Cailleux (1963).

Las tabla se han organizado a partir de los criterios metodológicos seguidos por la mayor parte de la comunidad científica para este tipo de estudios, basada en la división del catálogo según producciones –de mayor a menor antigüedad-, formas decoradas y carentes de decoración y clasificación tipológica.

Respecto a la terminología, criterios de atribución y tipológicos, se ha utilizado para la TSH y TSHT, la síntesis presentada tras la celebración de la mesa redonda celebrada en abril de 1982 en el *Museo Arqueológico Nacional*, con la finalidad de unificar términos y criterios de atribución formal. Los resultados fueron publicados en el Boletín tomo I, nº 2 del M.A.N. (SOTOMAYOR MURO, 1983). Estos datos fueron revisados y actualizados en una reunión celebrada con posterioridad en Andújar, en noviembre de 1997, dedicada a la Dra. Mª Ángeles Mezquíriz y los resultados publicados dos años después (ROCA ROUMENS; FERNÁNDEZ GARCÍA, 1999).

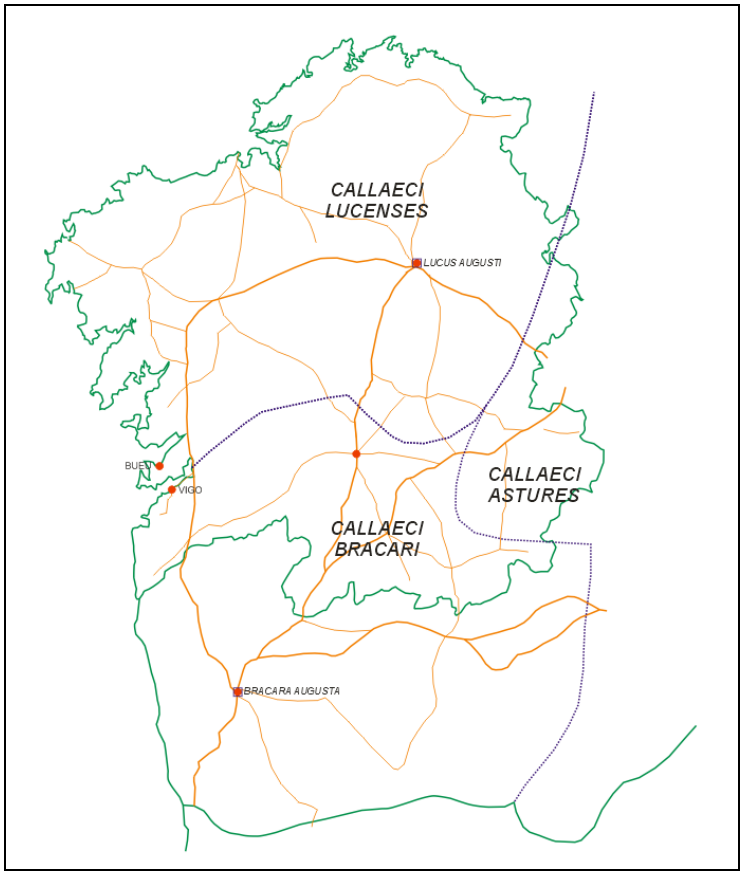
Con respecto a la clasificación de las cerámicas africanas y foceas, se remite a la clasificación tipológica presentada en el *Atlante delle forme ceramiche, I, Ceramica fine romana nel Bacino Mediterraneo (Medio e Tardo Impero)* (CARANDINI *et alii*, 1981: 9-227) siendo imprescindible hacer referencia a la obra primordial de Hayes (HAYES, 1972).

USC UNIVERSIDADE DE SANTIAGO DE COMPOSTELA

3. EL YACIMIENTO ROMANO DE BUEU

3.1. CONTEXTO

Bueu se sitúa en la punta occidental de la península do Morrazo, entre las rías de Pontevedra y Aldán. Su territorio se compone de dos áreas, una continental y otra isleña, con Ons y Onza, con un total de 31 km². Al ayuntamiento se accede por la carretera comarcal 550, situándose a 19 Km de la capital provincial. Pertenece a la Comarca do Morrazo, al partido judicial de Pontevedra y a la diócesis de Santiago de Compostela.

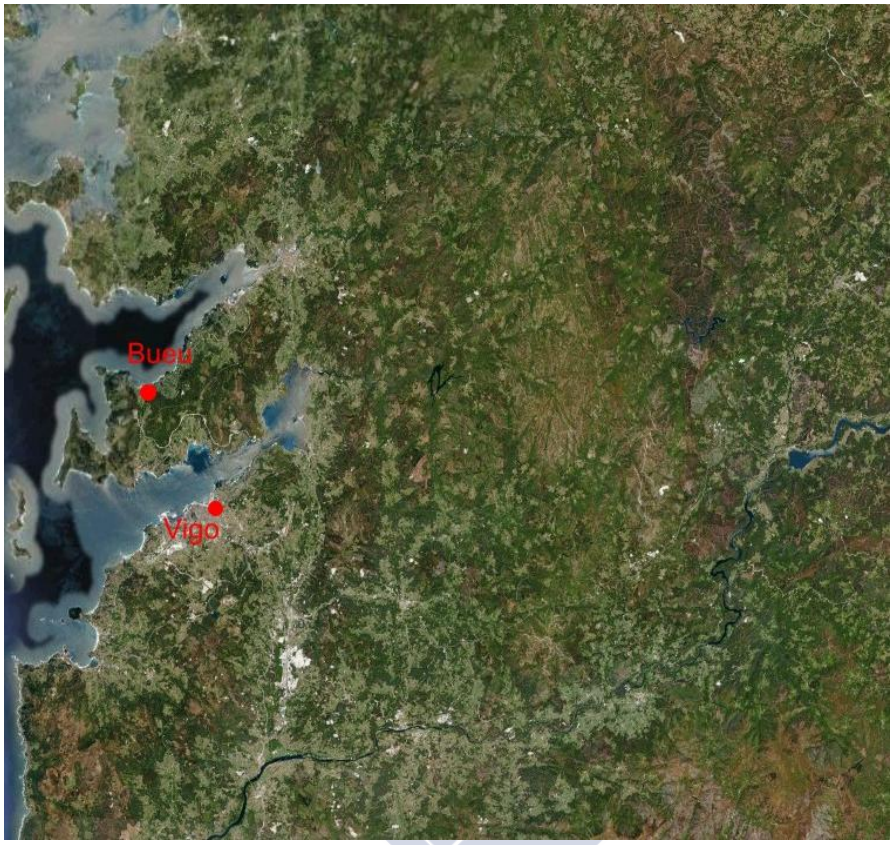


Situación de Bueu y relación con Vigo, red viaria, capitales y límites de *conventus* próximos

Las características físicas de su territorio son comunes a las generales de la península do Morrazo. Se trata de un bloque con dirección E-W, fundamentalmente granítico, muy fracturado, de formas abruptas y aspecto redondeado. El relieve actual es fruto de la acción de diferentes procesos tectónicos modelados por la posterior erosión.

La franja litoral alterna entre tramos de acantilados con otros propios de la costa baja y arenosa, con una sucesión continua de pequeñas ensenadas separadas por cabos. El interior se manifiesta montañoso y con pendientes acusadas, que culminan en altitudes

próximas a los 400 metros. El substrato es granítico y lo atraviesa una falla de dirección N-S, que forma una pequeña depresión que posteriormente fue colmatada por materiales sedimentarios, formando un importante eje natural de comunicaciones. El clima es bastante suave, superando las medias de enero los nueve grados centígrados, siendo la temporada de estío relativamente cálida y seca, con medias por encima de los 19 grados. Cabe destacar la intensidad de las precipitaciones con unos 1.800 mm anuales concentrándose en el otoño e invierno.



Ortofoto

El yacimiento romano de Bueu se encuentra catalogado por la Dirección Xeral de Patrimonio Cultural a través de dos fichas de inventario. Se sitúa en la hoja 11 del plano 1:10.000 y de la 223 del 1:50.000 de la Consellería de Ordenación do Territorio de la Xunta de Galicia.

La ficha con la clave de identificación GA36004011 se corresponde la zona en la que fue localizado el horno y alfar de San Martiño[5] de Bueu. Su situación geográfica se corresponde con las coordenadas UTM X:518150 y UTM Y:4.686.400[6]. Se sitúa este área en la parte

[5] La antigüedad de la advocación a San Martiño en la toponimia, generalmente está relacionada con la localización de restos romanos o cuanto menos como un indicio de su existencia. San Martiño, apóstol de las Galias y obispo de Tours vivió hacia el 316-397. La amplia toponimia conservó el testimonio de la intensa difusión de su culto (DUCHET-SUCHAUX; PASTOUREAU, 2003: 267-269).

[6] Coordenadas geográficas 8º 46' 46" Longitud W y 42º 19' 44" Latitud N.

oriental del litoral en el puerto de Bueu, próximo a la conexión de la carretera comarcal C-550. El emplazamiento se corresponde con el antiguo arenal sobre el que hoy se disponen principalmente edificios para viviendas, junto a edificaciones de uso industrial.

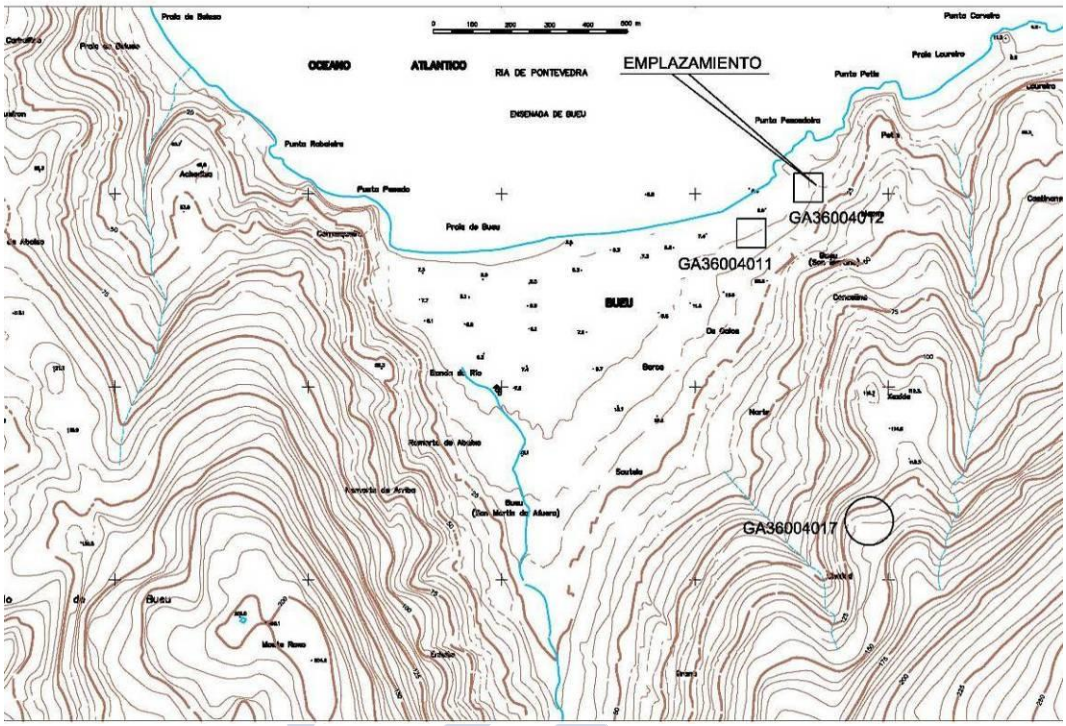


Ortofoto con el emplazamiento de Punta Pescadoira en la ensenada de Bueu

Con la clave de identificación GA36004012 se catalogó la zona conocida como Pesqueira[7] con las coordenadas UTM X:518300 y UTM Y:4.686.500[8]. Se sitúa en el barrio de Pescadoira, lugar en el que se estableciera la antigua fábrica de conservas Alonso, extendiéndose a ambos márgenes de la actual Rúa Montero Ríos. El emplazamiento topográfico se corresponde también con la zona de litoral, siendo el entorno dedicado a uso residencial e industrial.

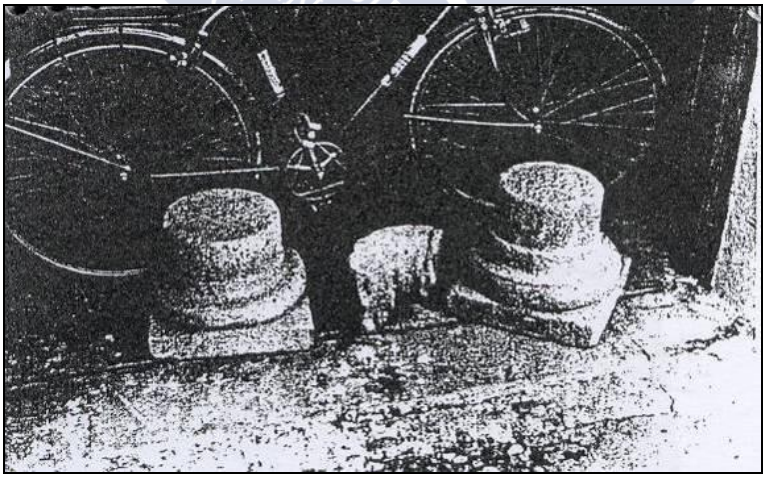
[7] De este área proceden los materiales objeto do estudio, donde se tienen desarrollado en las últimas décadas diferentes intervenciones arqueológicas.

[8] Coordenadas geográficas 8º 46' 40" Longitud W e 42º 19' 47" Latitud N.



Detalle de emplazamiento dentro de la ensenada costera

El yacimiento actualmente está soterrado en algunas zonas, arrasado en otras y probablemente conservado en las áreas con edificaciones no recientes. Parte del mismo se encuentra de esta manera, bajo propiedades privadas, siendo de carácter municipal en las áreas de uso público correspondientes.

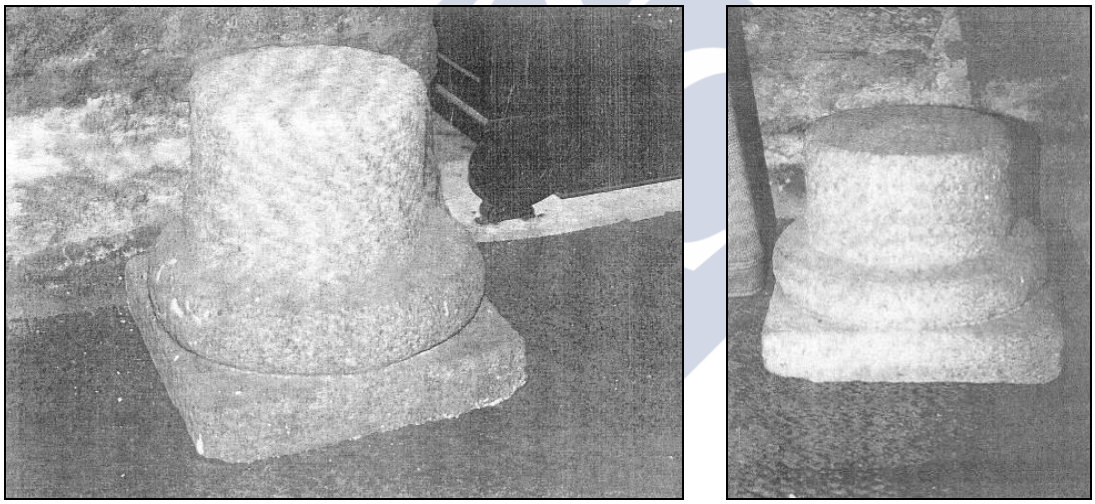


Fotografía de los hallazgos realizados en 1972

El emplazamiento de la zona en la que se realizaron las actuaciones arqueológicas se sitúa muy próximo a la línea de costa, en el límite de la playa de Bueu, dentro del conocido popularmente como Barrio de la Pescadoira. Este área ocupa el extremo oriental de la Ensenada de Bueu, que conforma un pequeño arco costero orientado al norte, dentro de la Ría de Pontevedra.

Como el propio nombre indica, se trata de una zona con excelentes condiciones para la actividad pesquera, comprendida dentro de un área marítima recogida, que cuenta además con unas aguas ricas en elementos nutrientes. Debido a ello, el área urbanizada desde finales del siglo XIX y hasta mediados del XX en el entorno del puerto, tuvo como eje principal el desarrollo de la industria pesquera con la construcción de fábricas de salazón. En la actualidad, el desarrollo urbanístico dio lugar a la desaparición de los viejos inmuebles industriales y de las viviendas unifamiliares tradicionales y a la divulgación de la erección de bloques de viviendas de cuatro o cinco alturas.

El yacimiento romano de Bueu fue descubierto en el año 1972 con motivo de las obras de reforma de la fachada de la antigua factoría de Conservas Alonso. Los restos se localizaron en la esquina oriental y al pie de la Avenida Beiramar. El informante, D. José Ramón Domínguez Sobral, vecino próximo del lugar en el que se realiza la obra, señala que entre los escombros de obra, fueron encontradas dos basas de columna y un molino circular fragmentado, que deposita en la Biblioteca Municipal de Marín. También informa de la presencia de un muro de cantería que atravesaba el solar en dirección transversal al de la calle y que quedaría soterrado.



Fotografías de las basas de columna

En la carta que Alfredo García Alén, envía a D. José Ramón García Sobral[9], con motivo de la noticia, se informa de la importancia del hallazgo, señalándose que se trata de “dos basas de columna romana, todo lo clásicas que puede esperarse para esta zona y que creo, en principio, deben corresponder al patio de una "villa" del siglo II o III de nuestra era. El trozo de molino podría también ser muy bien de la misma fecha”.

[9] Carta firmada por D. Alfredo García Alén, Secretario del Museo de Pontevedra, el 25 de enero de 1973.

En el acta del depósito de la Biblioteca Municipal de Marín figuran las dos basas de columna, que según la ficha de catálogo[10], están fabricadas en piedra granítica, con unas dimensiones de 38x38x33 cm y 37x37x29 cm respectivamente. También consta el depósito de un molino circular fragmentado realizado en granito, de 38 cm de diámetro. Se indica que las piezas fueron localizadas en una excavación de metro y medio de profundidad en Pescadoira (Bueu) en el año 1972, siendo catalogadas por el Sr. García Alén, como de época romana del siglo II de la nuestra era.

A estos hallazgos hay que añadir la localización, en los años ochenta, de un horno y taller de ánforas en el solar conocido con el nombre de A Capela, situado en el paseo marítimo de Bueu.

Todo ello permitió definir el establecimiento de un área de cautela con el fin de proteger y delimitar el yacimiento dentro de una zona de desarrollo urbano. En enero de 1991 los arqueólogos Ángel Acuña y Rosa Gimeno catalogan el yacimiento romano de Bueu depositando dos fichas en el Inventario de Xacementos Arqueolóxicos de la Dirección Xeral de Patrimonio Cultural de la Xunta de Galicia.

En la descripción del horno y alfar de San Martiño de Bueu (GA36004011), los se basan en la noticia de Pedro Díaz y Manuel Vázquez de 1980, el cual había sido localizado en el litoral del puerto de Bueu al realizar una obra de construcción de un edificio de nueva planta. Los materiales recogidos fueron abundantes, fundamentalmente ladrillos de protección, de arcilla refractaria, así como ánforas Dressel 30, cenizas y escoria, datos que habían llevado a los autores a exponer la hipótesis de la localización de uno de los primeros alfares anfóricos gallegos de adscripción cultural romana.

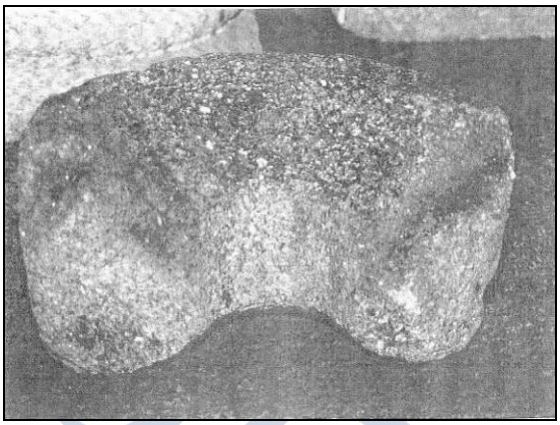
En la zona de Pescadoira (GA36004012) se localizaron los restos de basas de columnas y el fragmento de molino circular. El yacimiento, como se señaló, había sido descubierto tras la ampliación de la fábrica de Conservas Alonso, en su esquina oriental y al pie de la Avenida de Beiramar de Bueu. En la ficha de Inventario de la Dirección Xeral de Patrimonio Cultural se hace referencia a los hallazgos a partir de la información aportada por J.P. Domínguez Sobral. Se añade la información acerca de un muro de cantería con orientación transversal a la calle y que quedó soterrado.

Sin embargo y pese a la catalogación del yacimiento de época romana, en los años noventa se realiza la recalificación de los terrenos dentro del área de protección integral. En 1999 se procede a la venta y se inician las obras de construcción de edificios residenciales

[10] Ficha de depósito de la Biblioteca Municipal de Marín, realizada a petición del director de la biblioteca, D. Julio Pazos, el 15 de octubre de 1973.

(BELAMAR; CARVALHO, 2005: 1, 10-11), viéndose afectando de manera crítica el yacimiento. A partir de aquí y pese a la continua constatación de la importancia de los restos, se permiten una serie de actuaciones urbanísticas, con las preceptivas actuaciones arqueológicas previas.

Los materiales objeto de estudio proceden de varias intervenciones arqueológicas realizadas en este contexto.



Fragmento de molino circular (*catillus*)

USC UNIVERSIDADE DE SANTIAGO DE COMPOSTELA

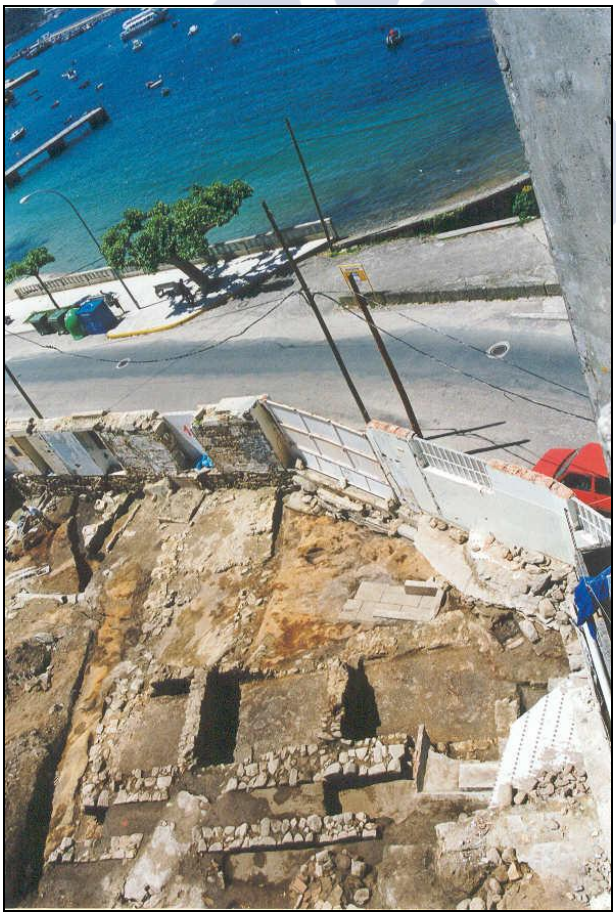
3.2. INTERVENCIONES OBJETO DE ESTUDIO

3.2.1. INTERVENCIÓN EN EL SOLAR NÚMERO 7 DE LA AVENIDA DE MONTERO RÍOS

3.2.1.1. INTRODUCCIÓN

Tras una primera fase de sondeos mecánicos que confirmaron la relevancia del yacimiento, se procedió a realizar una intervención en el solar Nº 7 de la Avenida Montero Ríos, entre el 5 de abril y el 2 de junio del 2000.

La revisión estratigráfica de las secciones proporcionadas por los cortes de los sondeos y las zanjas abiertas en la primera fase de intervención, fueron retirados con soporte de medios mecánicos, los rellenos modernos que colmataban los niveles arqueológicos. Tras esta fase, se realizaron trabajos topográficos con la finalidad de establecer la red topográfica de referencia (DÍAZ GARCÍA, 2000a: 4).



Vista en altura de los restos localizados en la parte N de la zona intervenida (DÍAZ GARCÍA, 2000a: Fotografía 8)

3.2.1.2. PLANTEAMIENTO DE LA INTERVENCIÓN

Inicialmente se mantuvieron los tres sectores identificados en la primera fase de excavación. El horno de ánforas, en un primer momento incluido en el sector 2, quedó definitivamente en el sector 1. La excavación arqueológica en la fábrica de salazón, incluida en los sectores 1 y 2, se distribuyeron en tres áreas principales.



Vista general del sector N de la intervención (DÍAZ GARCÍA, 2000a: Fotografía 1)

La denominada plataforma superior, localizada en la zona sur, se presentaba topográficamente elevada, excepto en el extremo S, donde coincidía con el sector 2. Presentaba unas dimensiones aproximadas de 14x7 m con una superficie de 98 m². En el límite N fue localizada la batería de piletas con planta en L -repartidas dos y cuatro en cada lado- con una superficie de 50 m². Al N y NW de la zona de emplazamiento de las piletas se extendía el área inferior, delimitada por la fachada de la fábrica hacia la calle Montero Ríos, con unas dimensiones de 72 m². En el lateral E se localizó el horno de ánforas de la fábrica de salazón. La totalidad de la superficie del sector 1 constó de 315 m² (DÍAZ GARCÍA, 2000a: 4).

Para la intervención en la zona del taller de cerámica común, se diferenciaron tres zonas de registro denominadas estancia A o del horno, patio y zona E, esta exterior a la zona denominada patio. En la estancia A fueron registradas tres estancias denominadas de W a E A1, A2 y A3. En la estancia A3 fue localizado el horno.

En la zona identificada como patio, fueron distinguidos, aparte del espacio abierto, una estancia arrasada (UE3052) que aparecía anexa a la estancia A3. Fueron excavadas las unidades estratigráficas correspondientes a los rellenos (UE3001, UE3002, UE3024,

UE3032), echados (UE3021 e UE3031) y derrumbes (UE3017). Fueron localizados varios agujeros de poste (UE3032, UE3040, UE3041, UE3042 y UE3043), restos de un pavimento de *opus signinum* (UE3025) y losas (UE3046). En la mitad W del patio pudieron excavarse hasta la roca, las partes en las que el pavimento de *opus signinum* (UE3052) no se conservaba (UE3030, UE3037 y UE3038). Finalmente se definió en planta el pavimento, la interfacies de los muros de la estancia arrasada (UE3061) y un relleno localizado al norte de esta estructura (UE3027) (DÍAZ GARCÍA, 2000a: 5).

En la zona E del área descrita en la parte E exterior al patio, se excavaron las UE3001, UE3002 y UE3026, resultando en planta los restos del piso de *opus signinum* (UE3058), un muro parcialmente arrasado (UE3047) y el sustrato rocoso (UE3055). De esta manera se excavaron 500 m² de superficie del taller cerámico (DÍAZ GARCÍA, 2000a: 5).

3.2.1.3. ESTRATIGRAFÍA DOCUMENTADA

FÁBRICA ROMANA DE SALAZÓN

UE1001

Definición	Depósito
Interpretación	Escombro generado por el derrumbe del edificio de Conservas Alonso
Sector	Fábrica de salazón
Localización	En todo el sector
Descripción	Nivel de revuelto compuesto por piedras, grandes bloques y arena
Cubre a	1003-1006

UE1002

Definición	Estructura (muro)
Interpretación	Muro de segundo orden del edificio de Conservas Alonso
Sector	Fábrica de salazón
Localización	Al N de la plataforma superior
Descripción	Muro de dos hiladas de cantos rodados
Cubre a	1003
Se adosa a	1006

UE1003

Definición	Depósito
Interpretación	Depósito sedimentario de tierra vegetal
Sector	Fábrica de salazón
Localización	En toda la plataforma superior
Descripción	Tierra de matriz arenosa y color marrón oscuro
Cubierta por	1001-1002
Se le apoya	1006
Cubre a	1007-1009

UE1004

Definición Interfacies de destrucción

Interpretación Zanja de cimentación del muro UE1006

Sector Fábrica de salazón

Localización A ambos lados del muro UE1006

Descripción Corte sobre el sedimento de tierra vegetal

Se le apoya 1006

La rellena 1005

Corta a 1003-1046-1023-1021-1015

UE1005

Definición Depósito

Interpretación Relleno de la zanja de cimentación UE1004

Sector Fábrica de salazón

Localización A ambos lados del muro UE1006

Descripción Arena suelta de color amarillo con piedras

Rellena a UE1004

Se apoya en UE1006

UE1006

Definición Estructura (muro)

Interpretación Muro maestro de la fábrica de Conservas Alonso

Sector Fábrica de salazón

Localización De S a N de la plataforma superior

Descripción Muro de mampostería de grandes bloques

Se le apoya 1005

Cubierta por 1001

Se apoya en 1004

UE1007

Definición Depósito

Interpretación Depósito sedimentario entre la primera ocupación y la reocupación

Sector Fábrica de salazón

Localización En toda la plataforma superior

Descripción Tierra de matriz arenosa y color marrón-ocre

Cubierto por 1003-1009-1064

Se le apoya 1063

Se apoya en 1008

Cubre a 1025

UE1008

Definición Estructura (muro)

Interpretación Muro de la factoría de salazón romana correspondiente a la fachada S

Sector Fábrica de salazón

Localización Al S de la plataforma superior

Descripción	Muro de mampostería careada de cantos rodados
Se le apoyan	1006-1007-1009
Cubierto por	1003
Cortada por	1004
Se le adosa	1026
Se apoya en	1010

UE1009

Definición	Depósito
Interpretación	Derrumbe interior del muro UE1008
Sector	Fábrica de salazón
Localización	Estancia al S de la plataforma superior
Descripción	Paquete de piedras y cantos rodados envueltos en tierra arenosa
Cubierto por	1003
Se apoya en	1008
Cubre a	1007- 1063-UE1064-1065

UE1010

Definición	Depósito
Interpretación	Estrato formado por la alteración de la roca base
Sector	Fábrica de salazón
Localización	En todo el sector
Descripción	Arena de color amarillo y anaranjado
Se le apoya	1008-1021-1033
Cubre a	1061

UE1011

Definición	Corte
Interpretación	Caja-encofrado de la cámara (UE1012) de Conservas Alonso
Sector	Fábrica de salazón
Localización	Al SW de la plataforma superior
Descripción	Corte sobre el sedimento de tierra vegetal
Se le apoya	1012
Corta a	1003-1010

UE1012

Definición	Estructura (muro)
Interpretación	Cámara de Conservas Alonso
Sector	Fábrica de salazón
Localización	Al SW de la plataforma superior
Descripción	Muro de hormigón
Cubierto por	1001
Se apoya en	1011

UE1013

Definición	Estructura (muro)

USC UNIVERSIDADE DE SANTIAGO DE COMPOSTELA

Interpretación Muro de la factoría de salazón romana

Sector Fábrica de salazón

Localización Hacia el centro de la plataforma superior

Descripción Muro de sillarejo de dos hiladas y planta en esquina

Se le apoyan 1038-1039

Se le adosa 1026

Cortado por 1004

Se apoya en 1037

UE1014

Definición Estructura

Interpretación Pavimento de la estancia S de la factoría romana

Sector Fábrica de salazón

Localización Hacia el centro de la plataforma superior

Descripción Capa de arcilla muy plástica de color amarillo-blanquecino con piedras

Se le apoya 1019

Equiparable a 1026

Se adosa a 1013

Cubre a 1010

UE1015

Definición Estructura

Interpretación Suelo del pasillo delimitado por los muros UE1020 y UE1021

Sector Fábrica de salazón

Localización A lo largo de la cara sur de las piletas

Descripción Capa arenosa-arcillosa endurecida de color marrón oscuro

Cubierto por 1003

Se adosa a 1020-1021

Cubre a 1068

UE1016

Definición Zanja

Interpretación Zanja de cimentación del muro UE1017

Sector Fábrica de salazón

Localización En el extremo NW de la plataforma superior

Descripción Corte vertical sobre las piletas

La rellena 1018

Se le apoya 1017

Corta a 1023-1003

UE1017

Definición Estructura (cimentación)

Interpretación Cimentación de muro de la fábrica de Conservas Alonso

Sector Fábrica de salazón

Localización En el extremo NW de la plataforma superior

Descripción Muro de mampostería de grandes bloques

Se le apoya 1018

Se apoya en 1016

UE1018

Definición Depósito

Interpretación Relleno de la zanja de cimentación UE1016

Sector Fábrica de salazón

Localización En el extremo NW de la plataforma superior

Descripción Tierra arenosa de color amarillento

Rellena a 1016

UE1019

Definición Estructura (muro)

Interpretación Muro correspondiente a la reocupación

Sector Fábrica de salazón

Localización Al S de la plataforma superior

Descripción Muro de mampostería ordinaria

Cubierto por 1003

Cortado por 1004

Se apoya en 1055-1053-1010

Corta a 1024-1014-1013

UE1020

Definición Estructura (muro)

Interpretación Muro que cierra al S el pasillo contiguo a las piletas de salazón

Sector Fábrica de salazón

Localización A lo largo de la cara S de las piletas

Descripción Muro de sillarejo de dos hiladas con juntas de argamasa

Cubierta por 1003

Se le adosa 1015-1040

Se le apoya 1039

Cortado por 1016

Se apoya en 1068-1010

UE1021

Definición

Interpretación Muro exterior de contención de las piletas

Sector Fábrica de salazón

Localización A lo largo de la cara S de las piletas

Descripción Muro de sillarejo de buena factura de más de 1’5 m de altura

Cubierto por 1003

Se le adosa 1023

Se le apoya 1015

Cortado por 1004

Equiparable a 1033

Se apoya en 1010-1061-1067

UE1022

Definición Estructura (hogar)

Interpretación Hogar de planta circular

Sector Fábrica de salazón

Localización En el extremo E de la plataforma superior

Descripción Estructura circular concéntrica, el interior de *tegula* y el exterior en piedra

Cubierto por 1003

Cubre a 1010

UE1023

Definición Estructura (muro)

Interpretación Paredes de las piletas de salazón de la factoría romana

Sector Fábrica de salazón

Localización En la zona de las piletas de salazón romanas

Descripción Muros de mampostería ordinaria de piedras menuda trabada con arcilla

Cubierto por 1003

Cortado por 1004-1027

Se adosa a 1021-1033

UE1024

Definición Estructura (muro)

Interpretación Murete asociado a la organización de la estancia sur de la factoría

Sector Fábrica de salazón

Localización En la estancia S de la plataforma superior

Descripción Muro de mampostería ordinaria de una sola hilada

Cubierta por 1009-1007-1065

Se le apoya 1007-1025

Se apoya en 1010

Se adosa a 1008-1019

UE1025

Definición Depósito

Interpretación Desechos de ocupación de la factoría romana

Sector Fábrica de salazón

Localización En la estancia S de la plataforma superior

Descripción Estrato arenoso de color negruzco con abundante materia orgánica

Cubierta por 1007

Se apoya en 1008-1019-1024

Cubre a 1026

UE1026

Definición Estructura

Interpretación Pavimento de la estancia S de la factoría romana

Sector Fábrica de salazón

Localización En la estancia S de la plataforma superior

Descripción Capa de arcilla muy plástica de color ocre-amarillo

Cubierta por UE1025

Equiparable a 1014

Cubre a 1010

Se adosa a 1008

UE1027

Definición Zanja

Interpretación Zanja de cimentación del muro UE1028

Sector Fábrica de salazón

Localización En el extremo E de las piletas romanas

Descripción Corte vertical sobre los muros UE1023 y UE1033

Cubierta por 1029

Se le apoya 1028

Corta a 1023-1033

UE1028

Definición Estructura (cimentación)

Interpretación Cimentación de muro de la fábrica de Conservas Alonso

Sector Fábrica de salazón

Localización En el extremo E de las piletas romanas

Descripción Muro de mampostería de grandes bloques

Se le apoya 1029

Se apoya en 1027

UE1029

Definición Depósito

Interpretación Relleno de la zanja UE1027

Sector Fábrica de salazón

Localización En el extremo E de las piletas romanas

Descripción Tierra arenosa de color grisáceo y piedras de variado tamaño

Cubre a 1027

Se apoya en 1028

UE1030

Definición Zanja

Interpretación Zanja de cimentación de la pileta moderna UE1031

Sector Fábrica de salazón

Localización Al NE de las piletas

Descripción Corte vertical sobre el muro UE1033 y el substrato UE1010

Cubierta por 1032

Se le apoya 1031

Corta a 1033-1010

USC UNIVERSIDADE DE SANTIAGO DE COMPOSTELA

UE1031

Definición Estructura (muro)

Interpretación Pileta moderna de la fábrica de Conservas Alonso

Sector Fábrica de salazón

Localización Al NE de las piletas

Descripción Muro de grandes sillares de granito a hueso

Se le apoya 1032

Cubre a 1010

Se apoya en 1030

UE1032

Definición Depósito

Interpretación Relleno de la zanja UE1030

Sector Fábrica de salazón

Localización Al NE de las piletas

Descripción Tierra arenosa de color marrón oscuro

Cubre a 1030

Se apoya en 1031

UE1033

Definición Estructura (muro)

Interpretación Muro exterior de contención de las piletas

Sector Fábrica de salazón

Localización A lo largo de la cara N de las piletas

Descripción Muro de mampostería arrasado en algún tramo

Cubre a 1010-1061

Se le adosa 1023

UE1034

Definición Estructura

Interpretación Tolva de recogida de mejillones de la fábrica de Conservas Alonso

Sector Fábrica de salazón

Localización Extremo E de la plataforma superior

Descripción Estructura trapezoidal invertida de ladrillo y mortero

Cubierto por 1001

Se apoya en 1021-1023

UE1035

Definición Depósito

Interpretación Relleno o nivel de revuelto superior de la Pileta 4

Sector Fábrica de salazón

Localización Interior de la Pileta 4

Descripción Tierra arenosa de color marrón oscuro con alto contenido orgánico

Cubierto por 1001

Cortado por 1027

Cubre a 1057

UE1036

Definición Corte

Interpretación Corte producido por la construcción de UE1034

Sector Fábrica de salazón

Localización Extremo E de la plataforma superior

Descripción Corte sobre los muros UE1021 y UE1023

Se le apoya 1034

Corta a 1021-1023

UE1037

Definición Zanja

Interpretación Zanja de cimentación del muro UE1013

Sector Fábrica de salazón

Localización Centro de la plataforma superior

Descripción Corte sobre el substrato arenoso

Cubierto por 1038

Se le apoya 1013

Corta a 1010

UE1038

Definición Depósito

Interpretación Relleno de la zanja UE1037

Sector Fábrica de salazón

Localización Centro de la plataforma superior

Descripción Tierra arenosa de color castaño

Se apoya en 1013

Cubre a 1037

UE1039

Definición Depósito

Interpretación Tenue estrato formado por los desechos de ocupación de la estancia central

Sector Fábrica de salazón

Localización En toda la estancia central de la plataforma superior

Descripción Tierra arenosa de color anaranjado-negruzco con escasos carbones

Cubierto por 1007

Cubre a 1038-1010-1054

Se apoya en 1013

UE1040

Definición

Interpretación Pavimento de la estancia central

Sector Fábrica de salazón

Localización En el extremo NE de la plataforma superior

Descripción Capa de arcilla de color amarillo con presencia de carbones

Cubierto por 1007-1054

Cubre a 1038-1010

Se adosa a 1013-1020

UE1041

Definición Corte

Interpretación Corte de obra para la construcción de UE1042

Sector Fábrica de salazón

Localización En el área inferior junto al muro de la calle

Descripción Corte vertical sobre el substrato

Se le apoya 1042

Corta a 1021-1023-1010

UE1042

Definición Corte

Interpretación Alcantarillado de la fábrica de Conservas Alonso

Sector Fábrica de salazón

Localización En el área inferior junto al muro de la calle

Descripción Fosa con estructura de ladrillo y mortero

Cubierto por 1001

Se apoya en 1041

UE1043

Definición Depósito

Interpretación Relleno o revuelto superior de la pileta 3

Sector Fábrica de salazón

Localización En el interior de la pileta 3

Descripción Tierra arenosa de color marrón oscuro-negro con abundante material

Cubierta por 1003

Cortada por 1027

Cubre a 1044-1023

UE1044

Definición Depósito

Interpretación Derrumbe interno de la pared S de la pileta 3

Sector Fábrica de salazón

Localización En el interior de la pileta 3

Descripción Estrato de matriz arcillosa y color marrón-ocre con piedras menudas

Cubierta por 1043

Cubre a 10231045

UE1045

Definición Depósito

Interpretación Relleno antiguo de la pileta y en su techo derrumbe de *tegulae*

Sector Fábrica de salazón

Localización En el interior de la pileta 3

Descripción Estrato de matriz arenosa y color marrón oscuro con abundantes materiales

Cubierta por 1044

Cortada por 1027

Cubre a 1023

UE1046

Definición

Interpretación Relleno superior de la pileta 2

Sector Fábrica de salazón

Localización En el interior de la pileta 2

Descripción Estrato de matriz arenosa y color marrón oscuro con abundante material

Cubierto por 1003

Se le apoya 1006

Cubre a 1047-1054-1023

UE1047

Definición Depósito

Interpretación Derrumbe interior de las paredes de la pileta 2

Sector Fábrica de salazón

Localización En el interior de la pileta 2

Descripción Estrato de matriz arcillosa y color ocre-amarillento con piedra menuda

Cubierto por 1046

Cubre a 1023-1054

UE1048

Definición Depósito

Interpretación Relleno superior de la pileta 1

Sector Fábrica de salazón

Localización En el interior de la pileta 1

Descripción Estrato de matriz arenosa y color marrón con piedra menuda

Cubierta por 1003

Cubre a 1023-1059

UE1049

Definición Zanja

Interpretación Dos canales paralelos asociados a la estancia de prensado

Sector Fábrica de salazón

Localización En la estancia S de la plataforma superior

Descripción Corte alargado de 20 cm de profundidad sobre el substrato

Relleno por 1050

Corta a 1010

UE1050

Definición Depósito

Interpretación Relleno de los canales UE1049

Sector Fábrica de salazón

Localización En la estancia S de la plataforma superior

Descripción Tierra arenosa de color marrón-negro con *tegula*

Cubierto por 1025

Rellena a 1049

UE1051

Definición Fosas

Interpretación Hoyos de poste

Sector Fábrica de salazón

Localización En la plataforma superior

Descripción Cortes verticales de planta circular

La rellena 1052

Corta a 1010

UE1052

Definición Depósito

Interpretación Relleno de los hoyos de poste

Sector Fábrica de salazón

Localización En la plataforma superior

Descripción Tierra arenosa de matriz arcillosa y color marrón

Cubierto por 1039-1025

Rellena a 1051

UE1053

Definición Zanja

Interpretación Encaje de cimentación de un tabique de madera

Sector Fábrica de salazón

Localización En la estancia S de la plataforma superior

Descripción Corte alargado, estrecho y poco profundo

Relleno por 1055

Corta a 1026-1010

UE1054

Definición Estructura

Interpretación Zona de combustión

Sector Fábrica de salazón

Localización En la estancia central de la plataforma superior

Descripción Aglomerado de cenizas y carbones sobre matriz arenosa de color negro

Cubierto por 1039

Cubre a 1040-1010

UE1055

Definición

Interpretación Relleno del encaje UE1053

Sector Fábrica de salazón

Localización En la estancia S de la plataforma superior

Descripción Tierra arenosa de color marrón

Cubierto por 1019

Rellena a 1053

UE1056

Definición Despósito

Interpretación Desechos de la reocupación asociados al hogar UE1072

Sector Fábrica de salazón

Localización En el interior de la pileta 2

Descripción Estrato de matriz arenosa de color negro con abundantes carbones

Cubierto por 1046-1047

Cubre a 1062-1072

Rellena a 1023

UE1057

Definición Depósito

Interpretación Derrumbe interno de las paredes de la pileta 4

Sector Fábrica de salazón

Localización En el interior de la pileta 4

Descripción Estrato de arcilla de color ocre con piedras medianas

Cubierto por 1035

Cortado por 1027

Cubre a 1058

UE1058

Definición

Interpretación Relleno antiguo de la pileta con restos de ánfora

Sector Fábrica de salazón

Localización En el interior de la pileta 4

Descripción Estrato de tierra arenosa de color negro

Cubierto por 1057

Rellena a 1023

UE1059

Definición Depósito

Interpretación Derrumbe interior de las paredes de la pileta 1

Sector Fábrica de salazón

Localización En el interior de la pileta 1

Descripción Estrato de matriz arcillosa y color ocre-amarillento

Cubierto por 1048

Cortada por 1016

Cubre a 1060

UE1060

Definición Depósito

Interpretación Relleno antiguo de la pileta 1

Sector Fábrica de salazón

Localización En el interior de la pileta 1

Descripción Estrato de matriz arcillosa-arenosa y color marrón-ocre

Cubierta por 1059

Cortada por 1016

Cubre a 1069-1070

Rellena a 1023

UE1061

Definición Depósito

Interpretación Substrato geológico

Sector Fábrica de salazón

Localización En todo el sector

Descripción Granito muy alterado en superficie

Cubierto por UE1010

UE1062

Definición Estructura

Interpretación Zonas de combustión al pie de las paredes E y W de la pileta 2

Sector Fábrica de salazón

Localización En el interior de la pileta 2

Descripción Aglomerados de arcilla endurecida de color ocre anaranjado y nódulos blancos

Cubierto por 1056

Cubre a 1071-1072

Rellena a 1023

UE1063

Definición Estructura

Interpretación Hogar de planta circular

Sector Fábrica de salazón

Localización En la estancia S de la plataforma superior

Descripción Estructura circular de piedra de aspecto tosco

Cubierto por 1009

Se le apoya 1064

Se apoya en 1007

UE1064

Definición Depósito

Interpretación Cenizas del hogar UE1063 con cerámicas *in situ*

Sector Fábrica de salazón

Localización En la estancia S de la plataforma superior
Descripción Fina capa de carbones
Cubierto por 1009
Cubre a 1007
Se apoya en 1063

UE1065

Definición Estructura
Interpretación Estructura rectangular, posiblemente un enterramiento
Sector Fábrica de salazón
Localización En la estancia S de la plataforma superior
Descripción Piedras hincadas de gran tamaño con forma cuadrada
Cubierto por 1009
Se apoya en 1024

UE1066

Definición Depósito
Interpretación Relleno de la estructura UE1065
Sector Fábrica de salazón
Localización En la estancia S de la plataforma superior
Descripción Arcilla de color castaño con *tegula* y piedras pequeñas
Cubierta por 1009
Cubre a 1024
Rellena a 1065

UE1067

Definición Zanja
Interpretación Zanja de cimentación de las piletas
Sector Fábrica de salazón
Localización A lo largo de la cara S de las piletas
Descripción Corte vertical sobre el substrato de arena
Cubierta por 1068-1021
Corta a 1010

UE1068

Definición Depósito
Interpretación Relleno de la zanja UE1067
Sector Fábrica de salazón
Localización A lo largo de la cara S de las piletas
Descripción Estrato arenoso de color negro
Cubierta por 1015
Se apoya en 1021

UE1069

Definición Estructura
Interpretación Hogar

Sector Fábrica de salazón

Localización En el interior de la pileta 1

Descripción Carbones sobre un lentejón de arcilla endurecida

Cubierto por 1060

Cubre a 1070

UE1070

Definición Depósito

Interpretación Reocupación de la pileta 1

Sector Fábrica de salazón

Localización En el interior de la pileta 1

Descripción Fina capa de arena limpia de color ocre amarillo con tegula machacada y gravas

Cubierta por 1060-1069

UE1071

Definición Depósito

Interpretación Reocupación de la Pileta 2 asociada al hogar UE1072

Sector Fábrica de salazón

Localización En el interior de la pileta 2

Descripción Fina capa de limos de color ocre-marrón con escasos carbones

Cubierto por 1062

Cubre a 1072

UE1072

Definición Estructura

Interpretación Hogar en la esquina SW de la pileta 2

Sector Fábrica de salazón

Localización En el interior de la pileta 2

Descripción *Tegulae* dispuestas sobre un lecho de argamasa formando un enlosado de planta cuadrada

Cubierta por 1071

Se adosa a 1023

UE1073

Definición Depósito

Interpretación Relleno superior del canal UE1077

Sector Fábrica de salazón

Localización En el extremo W del área inferior

Descripción Estrato de matriz arenoso y color marrón

Cubierta por 1001

Cubre a 1074-1075

Rellena a 1077

UE1074

Definición Depósito

Interpretación Relleno intermedio del canal UE1077

Sector Fábrica de salazón

Localización En el extremo W del área inferior

Descripción Estrato de matriz arcillosa con abundantes gravas

Cubierta por 1073

Cubre a 1075

Rellena a 1077

UE1075

Definición Depósito

Interpretación Relleno intermedio del canal UE1077

Sector Fábrica de salazón

Localización En el extremo W del área inferior

Descripción Estrato de matriz arcilloso-arenoso de color marrón

Cubierto por 1073-1074

Cubre a 1076

Rellena a 1077

UE1076

Definición Depósito

Interpretación Relleno inferior del canal UE1077

Sector Fábrica de salazón

Localización En el extremo W del área inferior

Descripción Fino estrato de arcilla endurecida de color marrón-negro con materiales

Cubierto por 1075

Cubre a 1010

Rellena a 1077

UE1077

Definición Zanja

Interpretación Canal asociado a las piletas

Sector Fábrica de salazón

Localización En el extremo W del área inferior

Descripción Corte vertical en forma de U sobre la arena

Relleno por 1073-E1074-1075-1076

Corta a 1010

UE1078

Definición Zanja

Interpretación Zanja de cimentación del muro UE1033

Sector Fábrica de salazón

Localización A lo largo de la cara N de las piletas

Descripción Corte sobre la arena

Cubierta por 1079

Se le apoya 1033

Corta a 1010

UE1079

Definición Depósito

Interpretación Relleno de la zanja UE1078

Sector Fábrica de salazón

Localización A lo largo de la cara N de las piletas

Descripción Tierra de color marrón

Cubre a 1078

Se apoya en 1033

UE1080

Definición Depósito

Interpretación Relleno de nivelación del fondo de la pileta 5

Sector Fábrica de salazón

Localización En las piletas

Descripción Estrato de 50 cm de potencia de tierra arenosa de color marrón

Cubierta por 1023

Se apoya en 1033

Cubre a 1010

UE1081

Definición Interfacies

Interpretación Cubeta en el pavimento UE1026 asociada a la prensa

Sector Fábrica de salazón

Localización En la estancia S de la plataforma superior

Descripción Corte cóncavo de planta ovalada

La cubre 1026

La rellena 1082

Corta a 1010

UE1082

Definición Depósito

Interpretación Relleno de la cubeta UE1081

Sector Fábrica de salazón

Localización En la estancia S de la plataforma superior

Descripción Estrato de tierra arenosa de color negro

Cubierta por 1025

Cubre a 1026

Rellena a 1081

UE1083

Definición Interfacies de destrucción

Interpretación Arrasamiento antrópico de los muros de la factoría de salazón romana

Sector Fábrica de salazón

Localización En la plataforma superior

Descripción	Superficie arrasada de los muros de la plataforma superior
Cubierta por	1003
Corta a	1023-1021-1020-1013

ALFAR DE CERÁMICA COMÚN ROMANA

UE3001

Definición	Depósito
Interpretación	Escombro de la fábrica
Sector	Taller de cerámica común romana
Localización	Totalidad del sector 3
Descripción	Escombro de la fábrica
Cubre a	3002-3055
Se apoya en	3005

UE3002

Definición	Depósito
Interpretación	Nivel originado por el uso como huerta y basurero de la fábrica de conservas de esta parte del solar.
Sector	Taller de cerámica común romana
Localización	Totalidad del sector 3
Descripción	Relleno de tierra, piedras y materiales de época moderna y contemporánea
Cubierta por	3001
La rellena	3006
Cortada por	3004
Cubre a	3003-3007-3008-3009-3012-3014-3015-3017-3018-1019-3020-3021-3025-3026-3027-3028-3034-3035-3036-3044-3045-3046-3047-3050-3051-3052-3055
Rellena a	3037-3038-3039-3040-3041-3042-3043-3044
Se apoya en	3005
Corta a	3053-3054

UE3003

Definición	Interfacies de destrucción
Interpretación	Se debe al arrasamiento de las estructuras para uso agrícola
Sector	Taller de cerámica común romana
Localización	Totalidad del sector 3
Descripción	Parte superior de los muros excepto de UE3052
Cubierta por	3002

UE3004

Definición	Zanja
Interpretación	Zanja de cimentación del muro de la pista de tenis del solar al N
Sector	Taller de cerámica común romana
Localización	Estancia A y patio
Descripción	Zanja
Cubierta por	3005
La rellena	3006

Corta a 3002-3027-3033

UE3005

Definición Estructura (muro)

Interpretación Muro de la pista de tenis del solar al N

Sector Taller de cerámica común romana

Localización Estancia A y patio

Descripción Muro de mampostería

Se le apoyan 3001-3002-3006.

Se apoya en 3003

UE3006

Definición Depósito

Interpretación Relleno de la zanja del muro de la pista de tenis del solar al N

Sector Taller de cerámica común romana

Localización Estancia A y patio

Descripción Relleno de la zanja UE3004 compuesto por grava, gravilla y tierra en la base

Cubierta por 3002

Se apoya en 3005

Rellena a 3004

UE3007

Definición Estructura

Interpretación Pared del horno. Incluye la boca de piedra del *praefurnium*

Sector Taller de cerámica común romana

Localización Estancia A3 u horno

Descripción Pared circular de tejas embutida en muros

Cubierta por 3002

Se le adosa 3016

Se le apoya 3009-3018-3020

La rellena 3015

Cortada por 3036

Se adosa a 3033

UE3008

Definición Estructura

Interpretación Posible suelo

Sector Taller de cerámica común romana

Localización Estancia A2

Descripción Echado de piedras de tamaño medio y pequeño

Cubierto por 3002

Cubre a 3010

Se apoya en 3033

UE3009

Definición Depósito

Interpretación Derrumbe de la techumbre y de las estructuras UE3033 de las estancias A1, A2 y A3. En A1 aparece pisado y en general parece modificado

Sector Taller de cerámica común romana

Localización Estancia A1, A2 y A3

Descripción Derrumbe de piedras y tejas con matriz terrosa y arenosa amarillenta

Cubierto por 3002-3020-3056

Cubre a 3008-3010-3011-3016-3018

Se apoya en 3033-3036

UE3010

Definición Depósito

Interpretación Nivel de abandono de la estancia A2

Sector Taller de cerámica común romana

Localización Estancia A2

Descripción Echadizo arenoso grisáceo

Cubierto por 3008-3009-E3002

Se apoya en 3003

Cubre a 3011

UE3011

Definición Estructura

Interpretación Pavimento de la estancia A1 y A2

Sector Taller de cerámica común romana

Localización Estancia A1 y A2

Descripción Pavimento de *opus signinum*

Cubierto por 3002-3009-3010-3013-3016-3018

UE3012

Definición Depósito

Interpretación Relleno de la zanja UE3013

Sector Taller de cerámica común romana

Localización Estancia A2

Descripción Relleno de grava

Cubierto por 3002

Rellena a 3013

UE3013

Definición Zanja

Interpretación Zanja realizada por los explotadores de la fábrica de conservas

Sector Taller de cerámica común romana

Localización Estancia A2

Descripción Corte de zanja

La rellena 3012

Corta a 3011-3055

UE3014

Definición Estructura

Interpretación Hogar de tejas y piedras de una reocupación

Sector Taller de cerámica común romana

Localización Exterior esquina SW del patio

Descripción Hogar de tejas y piedras

Cubierto por 3002

Cubre a 3002

Se adosa a 3051

UE3015

Definición Depósito

Interpretación Derrumbe de la cubierta de tejas del horno UE3007

Sector Taller de cerámica común romana

Localización Estancia A3

Descripción Derrumbe de tejas con matriz arenosa amarillenta

Cubierto por 3002

Cubre a 3057

Rellena a 3007

UE3016

Definición Depósito

Interpretación Nivel de ocupación de la habitación A1

Sector Taller de cerámica común romana

Localización Estancia A1

Descripción Nivel negro con carboncillos y textura plástica

Cubierto por 3009-3002

Cubre a 3011-3028

UE3017

Definición Depósito

Interpretación Derrumbes del patio

Sector Taller de cerámica común romana

Localización Patio

Descripción Derrumbe de piedras y escasa teja de matriz arenosa amarillenta

Cubierto por 3002

Cubre a 3052

Se apoya en 3051-3033

UE3018

Definición Depósito

Interpretación Carbones del horno

Sector Taller de cerámica común romana

Localización Estancia A2

Descripción Echado de carbones muy plástico

Cubierto por 3002-3009

Se apoya en 3033-3007

Cubre a 3011

UE3019

Definición Depósito

Interpretación Echado que cubre la zapata del muro S de la estancia A por el exterior

Sector Taller de cerámica común romana

Localización Estancia A exterior S

Descripción Echado arenoso

Cubierta por 3002

Cubre a 3033

UE3020

Definición Depósito

Interpretación Derrumbe de las paredes del horno UE3007

Sector Taller de cerámica común romana

Localización Estancia A3

Descripción Derrumbe de piedras y teja de matriz arenosa amarillenta

Cubierta por 3002

Cubre a 3007-3009-3056

UE3021

Definición Estructura

Interpretación Posible suelo del patio en la franja S y E

Sector Taller de cerámica común romana

Localización Patio

Descripción Echado arenoso amarillento que cubre la mitad de la franja S y E del patio, al pie de los muros

Cubierto por 3002

Se apoya en 3050-3045

Cubre a 3022-3024-3025-3041-3043-3032-3031-3055

UE3022

Definición Depósito

Interpretación Relleno de la caja (UE3023) del muro E del patio

Sector Taller de cerámica común romana

Localización Patio

Descripción Relleno arenoso amarillento

Cubierto por 3021

Se apoya en 3045-3050

Rellena a 3023

UE3023

Definición Zanja

Interpretación Caja del muro UE3045-UE3050

Sector Taller de cerámica común romana

Localización	Patio
Descripción	Caja sobre la roca
Se le apoya	3045-3050
La rellena	3022
Corta a	3055

UE3024

Definición	Depósito
Interpretación	Relleno de las irregularidades más profundas de la roca en el E del patio
Sector	Taller de cerámica común romana
Localización	Patio
Descripción	Relleno arenoso-arcilloso con fragmentos de teja y piedra
Cubierto por	3021
Rellena a	3055

UE3025

Definición	Estructura
Interpretación	Pavimento casi perdido en el lado E del patio y mal conservado en el W excepto donde apoya en roca o piedras
Sector	Taller de cerámica común romana
Localización	Patio
Descripción	Pavimento de *opus signinum* sobre roca, sobre un relleno de piedras y arenas o sobre tierra según los casos
Cubierta por	3002-3017-3030-3002
Cortada por	3041-3048-3037-3043-3038-3034-3042-3040
Se adosa a	3046
Cubre a	3055-3053-3027-3052-3044

UE3026

Definición	Depósito
Interpretación	Posible nivel de abandono en esa zona
Sector	Taller de cerámica común romana
Localización	Zona E
Descripción	Echado de arenas y gravas
Cubierto por	3002
Se apoya en	3047
Cubre a	3029-3058-3055

UE3027

Definición	Depósito
Interpretación	Relleno que nivela el patio posiblemente aprovechando materiales de UE3052
Sector	Taller de cerámica común romana
Localización	Patio
Descripción	Relleno de tierra piedra y tejas al N de UE3052
Cubierto por	3002-3025

Cortado por 3042-3039

Se apoya en 3033

UE3028

Definición

Interpretación Posible hogar

Sector Taller de cerámica común romana

Localización Estancia A1

Descripción Cubeta

Cubierto por 3009-3016

UE3029

Definición Depósito

Interpretación Posible ocupación romana en la zona E

Sector Taller de cerámica común romana

Localización Zona E

Descripción Nivel terroso negro

Cubierto por 3026-3002

Cubre a 3055

UE3030

Definición Depósito

Interpretación Relleno del hoyo UE3048

Sector Taller de cerámica común romana

Localización Patio

Descripción Relleno arcilloso-arenoso marrón

Cubierto por 3017

Rellena a 3048

UE3031

Definición Depósito

Interpretación Nivel de carbones

Sector Taller de cerámica común romana

Localización Patio

Descripción Echado de carbones

Cubierto por 3021

Cubre a 3055

UE3032

Definición Depósito

Interpretación Relleno del hoyo UE3049

Sector Taller de cerámica común romana

Localización Patio

Descripción Relleno arcilloso-arenoso

Cubierto por 3021

Rellena a 3049

UE3033

Definición Estructura

Interpretación Muros N, S, E y W de la estancia A y parte sur del muro divisorio A1-A2

Sector Taller de cerámica común romana

Localización Estancia A

Descripción Muros de mampostería

Cubierto por 3002-3035

Se le apoya 3008-3009-3010-3018-3019-3052

Cortado por 3004

Se le adosa 3007-3036-3051-3052

Se apoya en 3055

UE3034

Definición Interfcaies de destrucción

Interpretación Arrasamiento de los muros UE3052

Sector Taller de cerámica común romana

Localización Patio

Descripción Interfacies de destrucción de muros

Cubierto por 3002-3025

UE3035

Definición Estructura (muro)

Interpretación Parte N del muro divisorio A1-A2 y reconstrucción de la parte N del muro UE3033 al E, en A3

Sector Taller de cerámica común romana

Localización Estancia A

Descripción Muro con mortero de tierra

Cubierto por 3002

Cortado por 3004

Se adosa a 3033

UE3036

Definición Estructura (muro)

Interpretación Muros divisorios de la estancia A2 y de la A3

Sector Taller de cerámica común romana

Localización Estancia A2-A3

Descripción Muros de mampostería y sillarejo con mortero de argamasa

Se le apoya 3056-3018

Cubierto por 3002-3009

Se adosa a 3033

UE3037

Definición Corte

Interpretación Se corresponde con la mayor alteración de UE3025 en la mitad W

Sector Taller de cerámica común romana
Localización Patio
Descripción Corte de cubeta
La rellena 3002
Corta a 3053-3054-3055-3025

UE3038

Definición Corte
Interpretación Alteración del UE3025 en la mitad W
Sector Taller de cerámica común romana
Localización Patio
Descripción Corte de cubeta con forma trilobulada
La rellena 3002
Corta a 3025-3053-3054-3055

UE3039

Definición Corte
Interpretación Alteración de UE3025 donde probablemente se disponía otra losa
Sector Taller de cerámica común romana
Localización Patio
Descripción Corte de cubeta
La rellena 3002
Corta a 3025-3052

UE3040

Definición Corte
Interpretación Alteración de UE3025.
Sector Taller de cerámica común romana
Localización Patio
Descripción Corte de cubeta
Cubierto por 3002
Corta a 3033-3059

UE3041

Definición Interfacies
Interpretación Hoyos de poste quizá en relación con las losas UE3046.
Sector Taller de cerámica común romana
Localización Patio
Descripción Conjunto de 11 hoyos del patio con un diámetro aproximado de 40 cm
Se equipara con 3032
La rellena 3002
Corta a 3025-3053-3054-3055-3059

UE3042

Definición Interfacies
Interpretación Hoyos de poste

Sector Taller de cerámica común romana
Localización Patio
Descripción Conjunto de dos hoyos de unos 30 cm de diámetro
La rellena 3002
Corta a 3055-3053-3054-3025

UE3043

Definición Interfacies
Interpretación Hoyos de poste
Sector Taller de cerámica común romana
Localización Patio
Descripción Conjunto de 6 hoyos de 20 a 24 cm de diámetro
La rellena 3002-3017
Corta a 3025-3053-3054-3055

UE3044

Definición Depósito
Interpretación Relleno de nivelación del patio en el interior de los muros UE3052
Sector Taller de cerámica común romana
Localización Patio
Descripción Relleno de tierra algo arcillosa con piedras y tejas
Cubierta por 3025
Cortada por 3041-3040
Rellena a 3052
Se apoya en 3033

UE3045

Definición Estructura (muro)
Interpretación Muro E y muro S hasta la zona en que aflora la roca base, en el lado E
Sector Taller de cerámica común romana
Localización Patio
Descripción Muros de mampostería
Cubierta por 3002-3050
Se le apoya 3021-3044-3022
Se apoya en 3023-3055

UE3046

Definición Estructura
Interpretación Tres losas de granito
Sector Taller de cerámica común romana
Localización Patio
Descripción Losas, base para posibles apoyos de una galería o patio
Cubierta por 3002
Se le adosa 3025
Se apoya en 3055

UE3047

Definición Estructura (muro)

Interpretación Fragmento de muro de la zona E

Sector Taller de cerámica común romana

Localización Zona E

Descripción Muro de mampostería

Se le apoya 3026

Cubierto por 3002

Se apoya en 3055

UE3048

Definición Corte

Interpretación Corte de la cubeta UE3030

Sector Taller de cerámica común romana

Localización Patio

Descripción Corte de cubeta

Cubierta por 3030

Corta a 3025-3053-3054-3055

Rellena a 3030

UE3049

Definición Corte

Interpretación Corte de la cubeta UE3032

Sector Taller de cerámica común romana

Localización Patio

Descripción Corte de cubeta

La rellena 3032

Corta a 3055

UE3050

Definición Estructura (muro)

Interpretación Esquina SE del muro del patio reconstruida

Sector Taller de cerámica común romana

Localización Patio

Descripción Muro de mampostería

Cubierta por 3002

Se apoya en 3055-3045

UE3051

Definición Estructura (muro)

Interpretación Muro S en el lado W y muro W

Sector Taller de cerámica común romana

Localización Patio

Descripción Muro de mampostería

Cubierta por 3002

Se le apoya	3017-3025
Se apoya en	3055
Se adosa a	3033

UE3052

Definición	Estructura (muro)
Interpretación	Muros de la habitación arrasada del patio
Sector	Taller de cerámica común romana
Localización	Patio
Descripción	Muro de mampostería
Cubierta por	3002-3025
Se le apoya	3027
Cortada por	3034-3039-3040.
La rellena	3044

UE3053

Definición	Depósito
Interpretación	Relleno de nivelación del terreno en la zona W del patio para UE3025.
Sector	Taller de cerámica común romana
Localización	Patio
Descripción	Relleno de tierra algo arcillosa
Cubierta por	3025-3002
Cortada por	3041-3037-3048-3038-3042-3043
Cubre a	3054
La rellena	3030-3002

UE3054

Definición	Estructura
Interpretación	Posiblemente se trate de un primer nivel de suelo del patio
Sector	Taller de cerámica común romana
Localización	Patio
Descripción	Relleno de piedras
Cubierta por	3053
La rellena	3053
Cortada por	3037-3048-3041-3043-3038
Cubre a	3055

UE3055

Definición	Depósito
Interpretación	Roca que en esta zona buza hacia el NW en general
Sector	Taller de cerámica común romana
Localización	Totalidad del sector 3
Descripción	Roca base
Cubierta por	3001-3002-3011-3021-3025-3026-3029-3053-3054
Se le apoya	3033-3045-3046-3047-3050-3051

USC UNIVERSIDADE DE SANTIAGO DE COMPOSTELA

Cortada por	3013-3023-3048-3049-3037-3038-3041-3042-3043
La rellena	3012-3022-3024-3030-3002-3032

UE3056

Definición	Depósito
Interpretación	Derrumbe del muro UE3036 que divide las estancias A2 y A3
Sector	Taller de cerámica común romana
Localización	Estancia A3
Descripción	Derrumbe de piedras con matriz arenosa de tonalidad amarillenta
Cubierta por	3020-3002-3009
Se le apoya	3036

UE3057

Definición	Depósito
Interpretación	Posiblemente se trate de un relleno de piedras con el fin de proteger el horno
Sector	Taller de cerámica común romana
Localización	Estancia A3
Descripción	Relleno de piedras
Cubierta por	3015
Rellena a	3007

UE3058

Definición	Estructura
Interpretación	Franja de pavimento de *opus signinum* en la zona E
Sector	Taller de cerámica común romana
Localización	Zona E
Descripción	*Opus signinum*
Cubierto por	3026
Cortado por	3002
Cubre a	3055

USC UNIVERSIDADE DE SANTIAGO DE COMPOSTELA

3.2.1.4. FASES DOCUMENTADAS E INTERPRETACIÓN

3.2.1.4.1. FACTORÍA DE SALAZÓN

A partir de los datos proporcionados por el director de la intervención (DÍAZ GARCÍA, 2000a: 14-15) se ha podido definir una secuencia estratigráfica y cronológica estructurada en varias fases en la zona correspondiente a la factoría de salazones de época romana.

Fase 1

La fase más antigua se corresponde con el estado natural del sitio antes de la construcción de la factoría de salazones, con una topografía original determinada por la localización de una playa fosilizada (UE1061, UE1010).

Fase 2

De esta segunda fase, primera detectada con actividad antrópica, se señala la construcción y utilización de la factoría de salazones romana. La propia edificación de la factoría no habría sido sincrónica, perfilándose un ritmo constructivo que arranca con la obra de las piletas, cuya cimentación rompe el perfil original de la playa (UE1067, UE1021, UE1033, UE1068, UE1023).

El segundo momento aparece atestiguado por la construcción de las estancias correspondientes a los almacenes, la sala de prensado o el patio, anexas a la cara S de las piletas (UE1049, UE1050, UE1051, UE1052, UE1053, UE1037, UE1008, UE1013, UE1020, UE1024, UE1038, UE1026, UE1040, UE1015).

La dotación estructural de la factoría se complementaría con los hogares y la prensa (UE1022, UE1024, UE1065). La última secuencia aparece constituida por los desechos de ocupación de la factoría (UE1025, UE1039).

Fase 3

Díaz García señala que entre el final de la producción de salazones en la factoría y su reocupación habitacional transcurriría un tiempo de abandono. Este momento se registra parcialmente en la superficie del sector, en la denominada estancia S, relacionándose con un fino depósito sedimentario de tierra arenosa (UE1007).

Sin embargo este proceso no se reconoce en el registro arqueológico en la zona N, en torno a las piletas, según Díaz García, debido a las particulares características en la reocupación de las mismas.

Fase 4

El primer abandono de la factoría de salazones vendrá precedido de una primera reocupación, no dirigida hacia la recuperación de la producción conservera, sino hacia un uso habitacional. Esta actividad supondrá el reacondicionamiento especialmente expresivo en el caso de las piletas. Éstas se van a reutilizar como unidades con funcionalidad no determinada, para cuyas hipótesis se plantea el uso como espacios de almacenamiento, de hábitat, de trabajo del metal, o basureros (UE1070, UE1072, UE1069, UE1071, UE1060, UE1062, UE1056, UE1045, UE1058).

Asimismo se aprecian evidencias de esta reocupación en la zona central y meridional de la plataforma superior, relacionadas con el arrasamiento de los muros originales (UE1083), en la amortización de estos respecto al trazado de otros nuevos (UE1019), o en el uso de hogares (UE1063, UE1064) dispuestos sobre el depósito sedimentario correspondiente a la Fase 3.

Fase 5

Tras el abandono del uso de las estructuras de este espacio, se documenta el proceso de derrumbes que acompañó al abandono final del lugar. Los paquetes de desmorones se localizan únicamente en la estancia S de la plataforma superior y en el interior de las piletas, zonas en las que fue registrada una reocupación.

En las piletas de salazón se detecta un derrumbe interno de las partes superiores de las paredes (UE1057, UE1044, UE1047, UE1059), sellando de esta manera los rellenos originados por la reocupación sobre el fondo. Sobre los derrumbes de las paredes se acumularon diferentes rellenos (UE1035, UE1043, UE1046, UE1048), hasta colmatar totalmente el interior de las piletas.

Fase 6

Una vez abandonado de manera definitiva el yacimiento, con la consecución del proceso de derrumbes, va a producirse una continuada sedimentación en la zona que originará un potente estrato de tierra vegetal (UE1003) de más de 1 m de espesor. El lugar será dedicado a usos agropecuarios durante las épocas medieval y moderna.

Fase 7

Ya en época contemporánea, se construye la primera planta de la fábrica de Conservas Alonso, en el siglo XIX. Las cimentaciones de las diferentes naves afectarán con mayor o menor intensidad a las estructuras soterradas de la primitiva factoría romana. Las mayores agresiones se producen con la excavación de las zanjas de cimentación (UE1030, UE1016,

UE1027, UE1011, UE1004) de los muros (UE1031, UE1017, UE1028, UE1012, UE1006, UE1002) y sus rellenos (UE1032, UE1018, UE1029, UE1005).

Fase 8

La última fase detectada se correspondería con el momento previo a la actuación arqueológica (UE1000) en el que el sector se encontraba cubierto por los escombros (UE1001) generados por el derribo de la fábrica de Conservas Alonso.



Batería de piletas desde el N (DÍAZ GARCÍA, 2000a: Fotografía 3)



Pileta 2 desde el N (DÍAZ GARCÍA, 2000a: Fotografía 6)



Detalle de la pileta noroccidental desde el W (DÍAZ GARCÍA, 2000a: Fotografía 4)

FASE	UNIDADES ESTRATIGRÁFICAS	DESCRIPCIÓN	INTERPRETACIÓN
8	UE1000 UE1001	Superficie del sector Escombro de obra	Intervención arqueológica Derribo de la fábrica de Conservas Alonso
7	UE1032 UE1034, UE1012, UE1031, UE1042 UE1036, UE1011, UE1030, UE1041 UE1002 UE1005, UE1018, UE1029 UE1006, UE1017, UE1028 UE1004, UE1016, UE1027	Rellenos Piletas Cimentación piletas Muros secundarios Relleno de trincheras Muros cimentación Zanjas de cimentación	Fábrica de Conservas Alonso (siglo XIX-XX)
6	UE1003	Depósito sedimentario de tierra vegetal	Usos agropecuarios y formación sedimentaria
5	UE1009 UE1035, UE1043, UE1046, UE1048 UE1057, UE1044, UE1047, UE1059	Derrumbe muros Relleno piletas Derrumbe piletas	Abandono definitivo del lugar y derrumbes
4	UE1058, UE1045, UE1056, UE1071, UE1064 UE1072, UE1062, UE1069, UE1063, UE1019 UE1083	Ocupación Hogar Muros Arrasamiento de muros	Reocupación
3	UE1007	Depósito sedimentario	Abandono parcial del lugar
2	UE1025, UE1039 UE1022, UE1054 UE1015, UE1026, UE1040 UE1024, UE1020, UE1013, UE1008 (UE1073-UE1076), UE1082, UE1050, UE1052 UE1077, UE1081, UE1049, UE1051, UE1053 UE1023, UE1080 UE1079, UE1068, UE1033, UE 1021 UE1078, UE 1067	Ocupación Hogar-Prensa Pavimentos Muros Rellenos de hoyos Hoyos, cubeta, canal, encajes Paredes piletas Relleno interior piletas Relleno zanja cimentación Muros contención piletas Zanja cimentación	Factoría de salazones romana
1	UE1010 UE1061	Arena playa fosilizada Roca base	Topografía original del estado inicial

Cuadro de fases de la factoría de salazón (DÍAZ GARCÍA, 2000a: 16-17)

3.2.1.4.2. TALLER Y HORNO ANFÓRICO

En las estancias documentadas en el sector 1, identificadas como talleres de la fábrica romana de salazones, fue localizado un alfar de ánforas. Del mismo se conservó la cámara de combustión, construida sobre el sustrato geológico granítico, en el contacto entre este y la zona de playa (DÍAZ GARCÍA, 2000a: 15).



Vista general del sector S (DÍAZ GARCÍA, 2000a: Fotografía 2)

Presentaba planta circular irregular, siendo fabricado en mampostería de granito concertada con argamasa, ocupando una superficie de unos cuatro metros cuadrados y una altura de un metro no conservando la solera, pese a registrarse fragmentos de la misma entre los escombros excavados en su interior. En el centro de la cámara fue localizado el hogar, de planta ovalada, construido con un anillo de argamasa y fragmentos de ánfora, relleno de fragmentos de latericio.

En su interior fueron detectados dos niveles de escombros correspondientes a dos momentos distintos de uso y un cenizal.

Díaz García señala que en un primer momento, coetáneo a la denominada Fase 2 en la que se incluye la fábrica de salazones, el horno funcionaría con el hogar antes descrito. Posteriormente se construiría un hogar más grande con bloques de granito. Esta última fase de funcionamiento del alfar se correspondería con la Fase 4 de la fábrica de salazones (DÍAZ GARCÍA, 2000a: 16).



Aspecto del horno de ánforas desde el N (DÍAZ GARCÍA, 2000a: Fotografía 5)

En el entorno del horno fueron detectadas varias fosas que probablemente se corresponderían con basureros o depósitos del alfar, además de un buen número de hoyos de poste, identificados como parte de la estructura del tejado del alfar.

El espacio que ocupaba el horno, denominado inicialmente como sector 2, presentaba una secuencia estratigráfica similar a la de la fábrica de salazones, documentándose con claridad las fases 1, 2, 4, 6, 7 y 8.

A nivel constructivo presentaba un muro de mampostería de tamaño regular interiormente, dispuestos a soga, con cuatro piezas a tizón. El exterior se componía de un relleno de piedras de tamaño variable. Las más próximas a la roca contenían menos argamasa en las juntas y asiento con arena.

El pavimento lo conformaba la roca rebajada circularmente sobre la que se disponía una hilada de piedras que formaban la cimentación de la cámara de combustión. La parte interna de la cámara aparecía revestida con argamasa de arcilla, irregular y porosa, a fin de reducir la acción calórica sobre la piedra (BENAVIDES GARCÍA, 2001: 4).

Los datos existentes corroboran la existencia de un área artesanal vinculada a un horno de cronología romana, posiblemente dedicado a la producción de cerámica común y un patio anexo. A continuación se describen las fases generales siguiendo la propuesta del director de la intervención arqueológica (DÍAZ GARCÍA, 2000a: 22-23).



Vista general del horno desde el E (DÍAZ GARCÍA, 2000a: Fotografía 7)

FASE 1

Se corresponde con el estado natural de la zona previamente a la primera ocupación en época romana. La topografía original viene marcada por la forma de la roca base (UE3005).

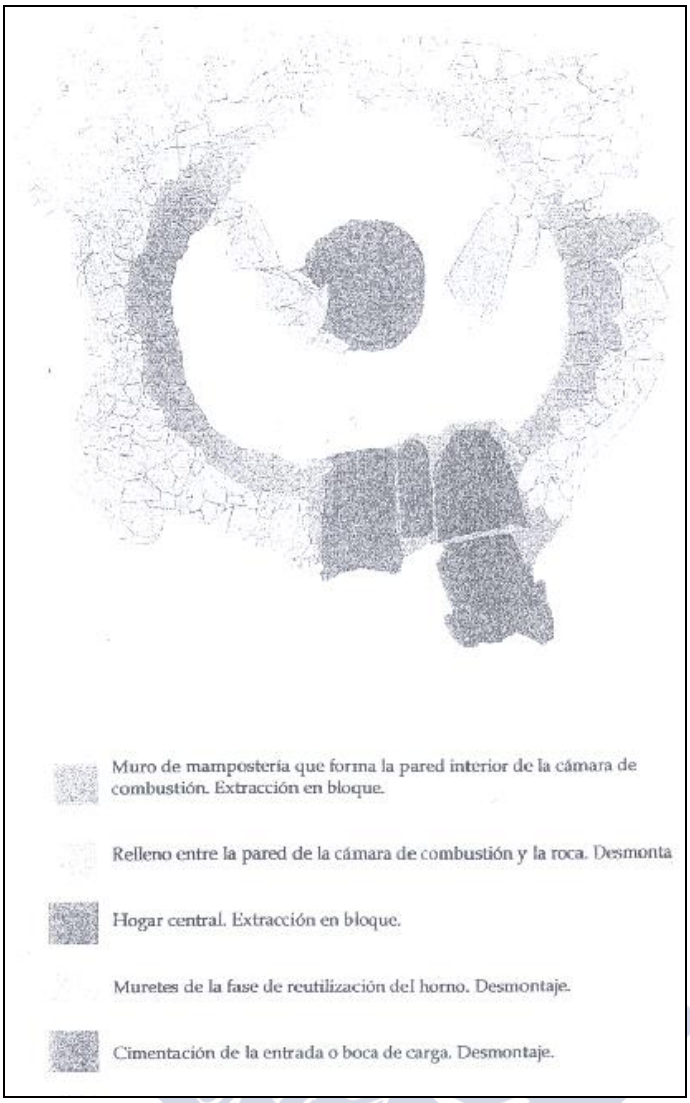
FASE 2

Se corresponde con la primera ocupación en la que se construirían al menos una estancia (UE3052) y quizá un primer patio (UE3054) cuyos límites se corresponderían con la mitad E del patio (UE3023, UE3045, UE3022, UE3024, UE3021, UE3031).

FASE 3

En esta dase se realizaría la construcción y explotación de la estancia A y el horno que estaría vinculado al patio que, proponiéndose la posibilidad de utilización como secadero de piezas. La construcción de ambas estructuras supone la destrucción de la estructura UE3052 rellenando todo el lado W del patio (UE3053, UE3044, UE3027), posiblemente ampliándolo (UE3050, UE3051). El patio presentaba un pavimento de *opus signinum* (UE3025) y cubrición con techumbre de *tegulae* e *imbrex*, como parecen señalar la existencia de losas y hoyos de poste (UE3046, UE3041, UE3042, UE3043) y de derrumbes.

En esta fase se incluyen las afecciones sufridas en el lado W del pavimento del patio, provocando fragilidad en el *opus signinum* asentado sobre el relleno de tierra (UE3048, UE3030, UE3037, UE3038, UE3040, UE3032).



Elementos estructurales del horno y forma de extracción (BENAVIDES GARCÍA, 2001: 8)

FASE 4

La fase 4 presenta una serie de evidencias que parecen señalar hacia posibles reformas o reocupaciones y abandonos.

FASE 5

Esta fase estaría caracterizada por el derrumbe y colapso de las estructuras de la estancia A y del patio, incluyendo el desplome del horno. Estratigráficamente se detecta inicialmente el derrumbe de la cubierta del horno (UE3015), seguido del derrumbe de los muros divisorios (UE3056), las paredes del horno y de la habitación (UE3020 y UE3009).

FASE 6

Con el abandono de las estructuras se inicia un proceso de deposición sedimentaria que generará el potente estrato de tierra vegetal (UE3002) que fue retirado al inicio de los

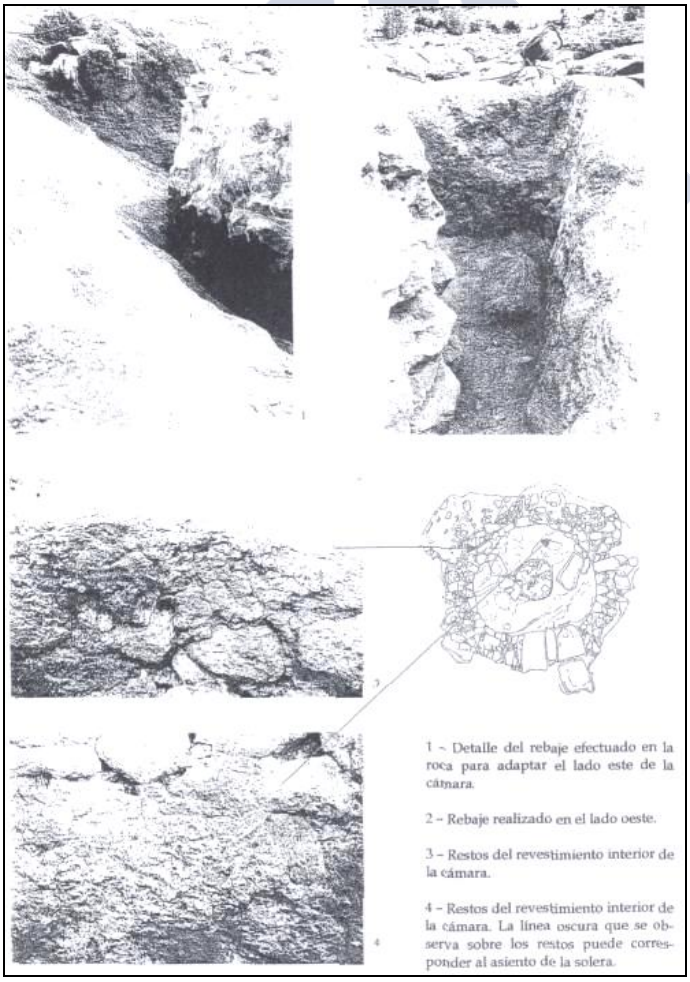
trabajos arqueológicos. En un momento dado se produce el arrasamiento de los muros ya que sus partes más altas mantienen una pendiente similar E-W, manteniendo el buzamiento de la roca hacia el NW. Se supone que esta evidencia estaría relacionada con los trabajos hortofrutícolas realizados en la parcela, aprovechándose los materiales de construcción. Coincidiría con la construcción del muro N con el que limita la parcela con el solar anexo (UE3004, UE3005, UE3006), producido por el desmontaje del muro N de la estancia A (UE3033).

FASE 7

Con la edificación de la Fábrica de Conservas Alonso, en el siglo XIX, la parte del solar que se corresponde con el sector 3 se convierte en el basurero de la fábrica, hecho evidenciado por las acumaciones de latas, conchas y los vertidos de carburantes (UE3001).

FASE 8

Se corresponde con el momento previo a la intervención arqueológica. La superficie de la parcela la ocupa los escombros del desmontaje de la fábrica (UE3001).



Detalle de los rebajes para asiento del horno y del revestimiento interior de la cámara (BENAVIDES GARCÍA, 2001: 5)

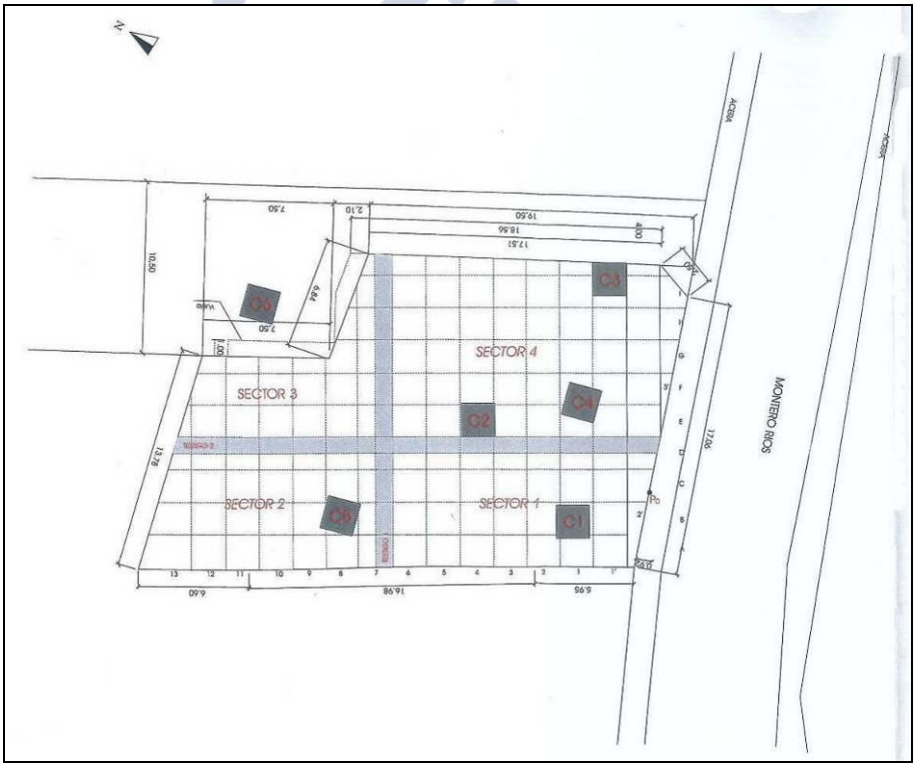
FASE	UE	DESCRIPCIÓN	INTERPRETACIÓN
8	UE3000 UE3001	Superficie del sector Escombro de obra	Intervención arqueológica. Derribo de la Fábrica de conservas.
7	UE3001	Basurero de conchas, latas, carburantes, etc	Fábrica de Conservas Alonso (siglo XIX-XX)
6	UE3002 UE3004, UE3005, UE3006 UE3003, UE3039,	Depósito sedimentario de tierra vegetal Zanja, muro y relleno de la zanja del muro de la pista de tenis del solar N Arrasamiento de los muros del patio y la estancia A.	Uso agropecuario y deposición sedimentaria.
5	UE3009, UE3017, UE3015, UE3020, UE3056	Derrumbe de estancia A, patio, cúpula del horno y sus paredes	Derrumbe final
4	UE3014 UE3008 UE3009 UE3010 UE3057 UE3012, UE3013 UE3036	Hogar de reocupación. Posible suelo Derrumbe del techo (estancia A1) Primer abandono Protección del horno Zanja, relleno estancia A2 Muros divisorios estancia A2-A3	Posibles reformas y reocupaciones.
3	UE3048, UE3030, UE3037, UE3038, UE3040, UE3032, UE3018 UE3028, UE3016 UE3034 UE3033, UE3019, UE3007, UE3011 UE3053, UE3044, UE3027, UE3041, UE3042, UE3043, UE3046, UE3025, UE3049, UE3049, UE3050, UE3051 UE3047, UE3058, UE3029	Formación de cubetas y roturas del patio y rellenos. Carbones del horno Cubeta y ocupación Estancia A1 Arrasamiento de muros estancia del patio. Construcción de los muros, horno y suelos de Estancia A. Relleno del Patio y construcción de su suelo y su cubierta, reconstrucción y ampliación de sus muros. Construcción muro, pavimento y ocupación zona E	Construcción y uso del horno y estructuras anexas de la Estancia A. Construcción y uso del Patio y de la Zona Este.
2	UE3052, UE3054 UE3023, UE3045, UE3022 UE3024, UE3021 UE3031	Construcción de la primera estancia A y un primer patio. Caja, muro E y S del Patio y relleno de caja. Relleno y suelo del patio en su lado E y S. Combustión de restos de obra	Posible primera ocupación
1	3055	Roca base	Topografía original previa a la primera ocupación

Cuadro de fases del taller de cerámica común (DÍAZ GARCÍA, 2000a: 24-25)

3.2.2. INTERVENCIÓN EN LOS SOLARES NÚMERO 6, 8, 10 Y 12 DE LA AVENIDA DE MONTERO RÍOS.

3.2.2.1. INTRODUCCIÓN

En julio y agosto del 2000 fue realizada una intervención arqueológica en los solares números 6, 8, 10 y 12 de la Avenida de Montero Ríos en Bueu (Pontevedra). Tras la verificación de restos arqueológicos en la zona, con la realización de una serie de sondeos arqueológicos de carácter manual efectuadas entre abril y mayo del 2000, se procedió a la excavación completa de la parcela que ocupaban varios solares, cuyos datos aparecen reflejados en el informe valorativo correspondiente, dirigida por el arqueólogo Ángel Carreira Díaz (CARREIRA DÍAZ, 2000), a quien agradecemos su atenta disponibilidad y colaboración.



Planta general de la zona de intervención en la Avenida de Montero Ríos, 6-12 con la situación de los sondeos y sectores (CARREIRA DÍAZ, 2000: Plano 01)

3.2.2.2. PLANTEAMIENTO DE LA INTERVENCIÓN

La intervención, propiciada por el proyecto de construcción de un bloque de viviendas, partió del objetivo de completar y definir las estructuras documentadas previamente y encuadrar la tipología y cronología del yacimiento, relacionándolo y contextualizándolo con los hallazgos localizados en el entorno próximo (CARREIRA DÍAZ, 2000: 1).



Aspecto general de los sectores 1 y 4 (CARREIRA DÍAZ, 2000: Fotografía 18)

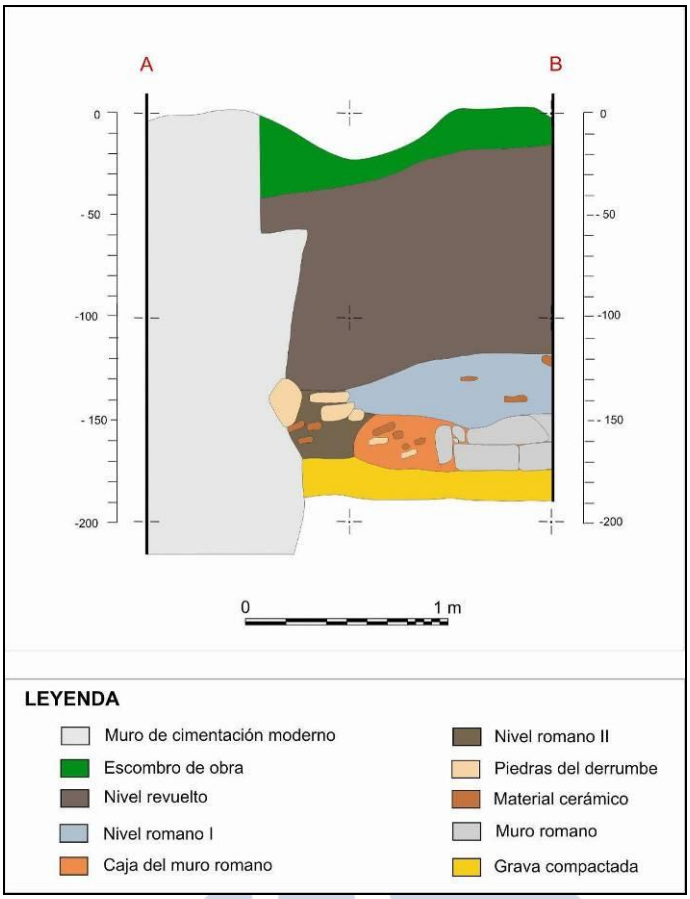
El solar en el que se realizaron los trabajos presentaba forma aproximadamente rectangular (50x115,5 m) con orientación N-S.

Precedentes actuaciones, como la dirigida en marzo del 2000 por Ricardo A. Viña Cué, en el sonar número 7 de la Avenida de Montero Ríos, o la realizada en los meses de junio, julio y agosto del 2000 en el mismo solar por Fructuoso Díaz García, habían revelado una importante ocupación romana y medieval en la margen de la playa de Bueu (CARREIRA DÍAZ, 2000: 2).

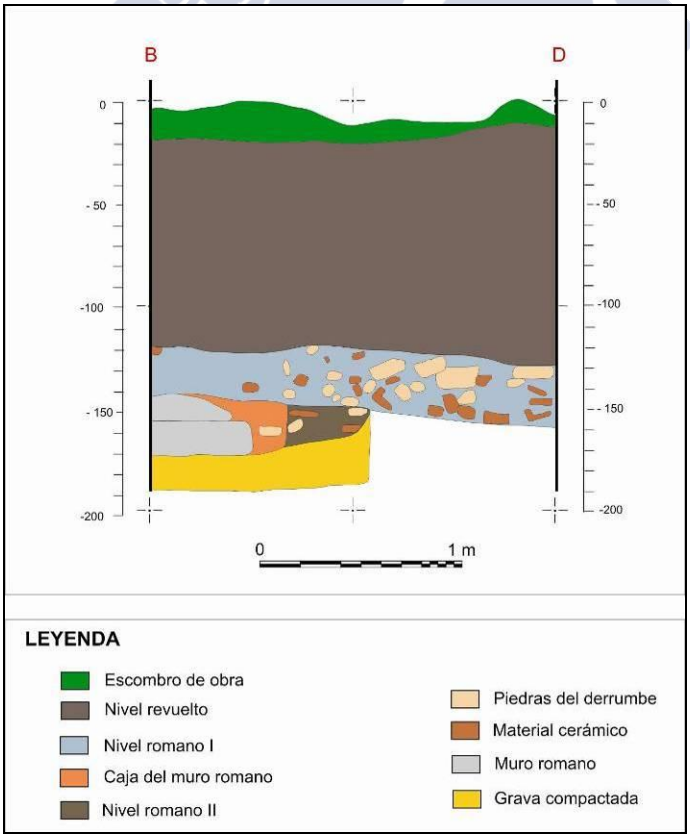
3.2.2.3. ESTRATIGRAFÍA Y RESTOS DOCUMENTADOS

Destaca la gran homogeneidad que presentó la estratigrafía en la superficie excavada. Se detectó un potente nivel de relleno, con grosor variable, en el que se documentó material de diversas épocas, muy rodado. Una vez retirado este relleno, sólo se documentó un nivel arqueológico de grosor variable en el que se documentaron estructuras y materiales de época romana (CARREIRA DÍAZ, 2000: 6).

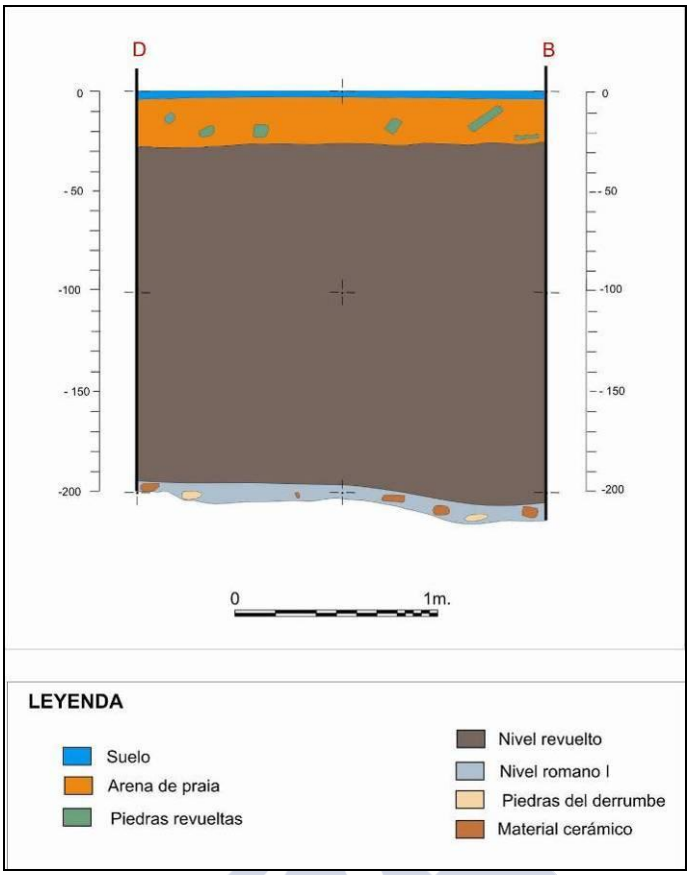
Respecto a las estructuras documentadas, en el sector 1 se localizó un lienzo de muro de mampostería de piedra de 2,80 m de longitud por 55 cm de anchura y altura variable, conservando hasta tres hiladas en la parte más alta. La cara S de esta estructura ya había sido documentada durante la realización de los sondeos valorativos. Asimismo se había localizado uno potente derrumbe relacionado con la estructura, con abundante material de construcción latericio poco rodado y piedras trabajadas asociados. Este depósito contenía abundante material cerámico y latericio de diferentes facturas y calidades, poco rodados.



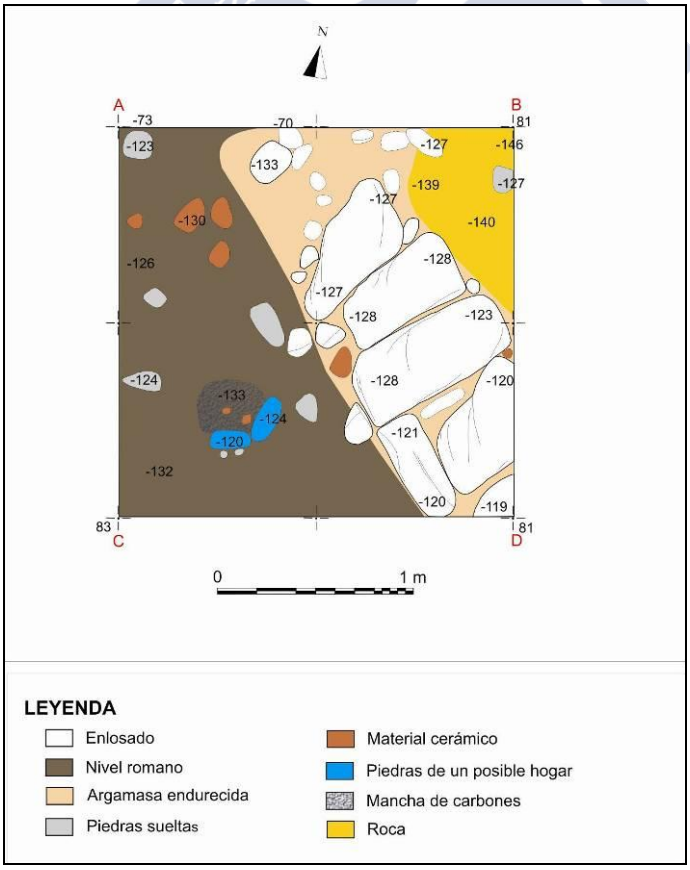
Sección N de la cata 1 (Dibujo de ALFONSÍN SOLIÑO y digitalización de CARREIRA DÍAZ)



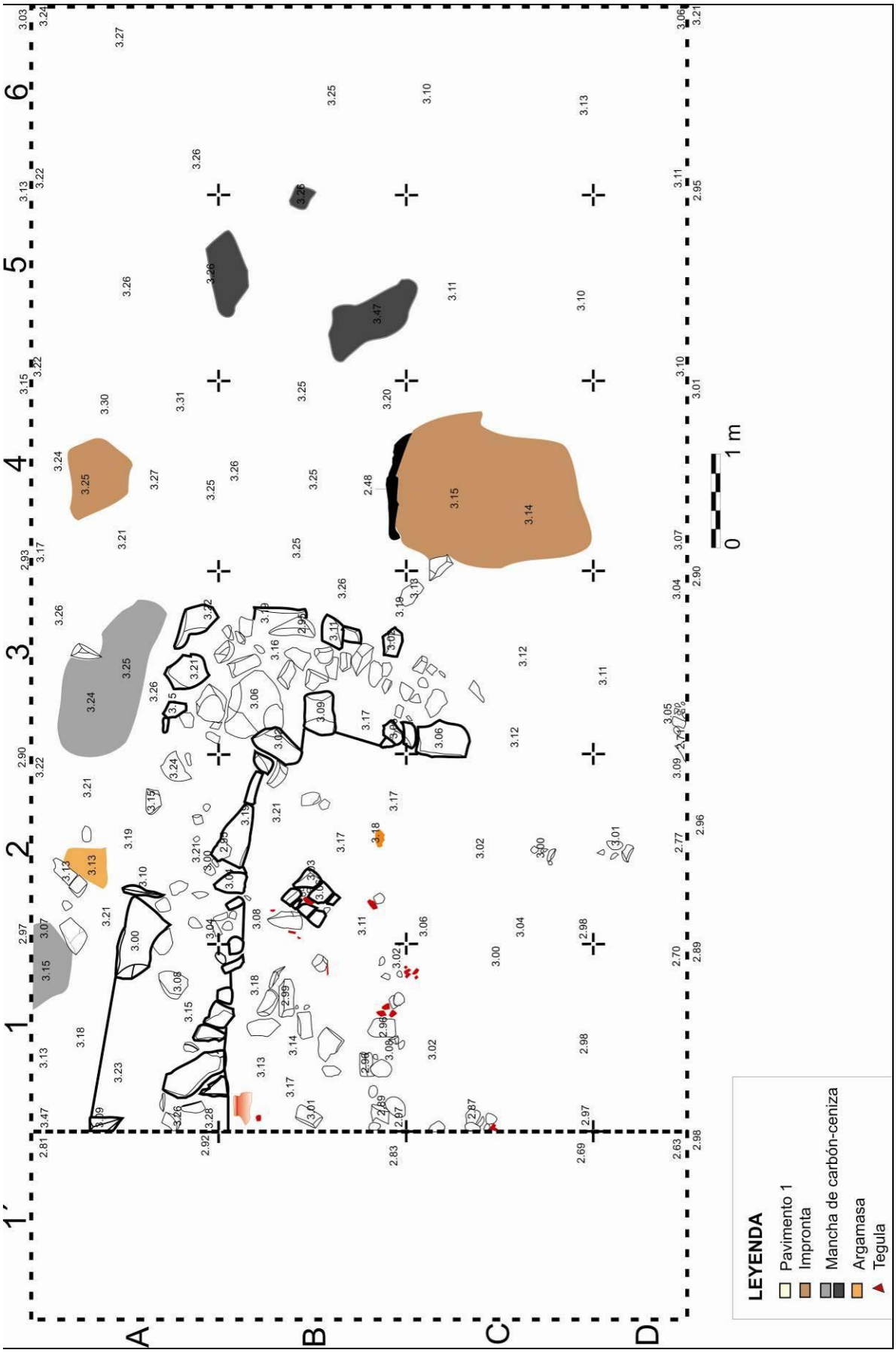
Sección E de la cata 1 (Dibujo de ALFONSÍN SOLIÑO y digitalización de CARREIRA DÍAZ)



Sección S de la cata 3 (Dibujo de ALFONSÍN SOLIÑO y digitalización de CARREIRA DÍAZ)



Planta de la cata 3 (Dibujo de ALFONSÍN SOLIÑO y digitalización de CARREIRA DÍAZ)



Nivel 1 del área 1 de la intervención en Montero Ríos, 6-12 (Dibujo y digitalización de CALO RAMOS)



Aspecto general de los sectores 2 y 3 (CARREIRA DÍAZ, 2000: Fotografía 19)

La estructura muraria presentaba orientación ESE-WNW, siendo acomodada al sustrato con el fin de salvar el desnivel, con una caja de entre 10 y 12 cm de anchura en la parte S, excavada en el propio sustrato. Hacia el E el muro aparecía cortado sin evidencias de haber sido afectado por algún elemento interfacial moderno. De hecho se señala que la negativa de la caja de cimentación no presentaba continuidad (CARREIRA DÍAZ, 2000: 6). En la parte W el muro romano aparecía arrasado por la construcción de un potente muro de adscripción moderna, localizado en la cata 1 durante la realización de los sondeos valorativos. La cimentación de esta estructura arrasó perpendicularmente el muro romano, mostrando muy buen acabado en su cara interna.



Aspecto general de las estructuras localizadas en el sector 4 (CARREIRA DÍAZ, 2000: Fotografía 11)

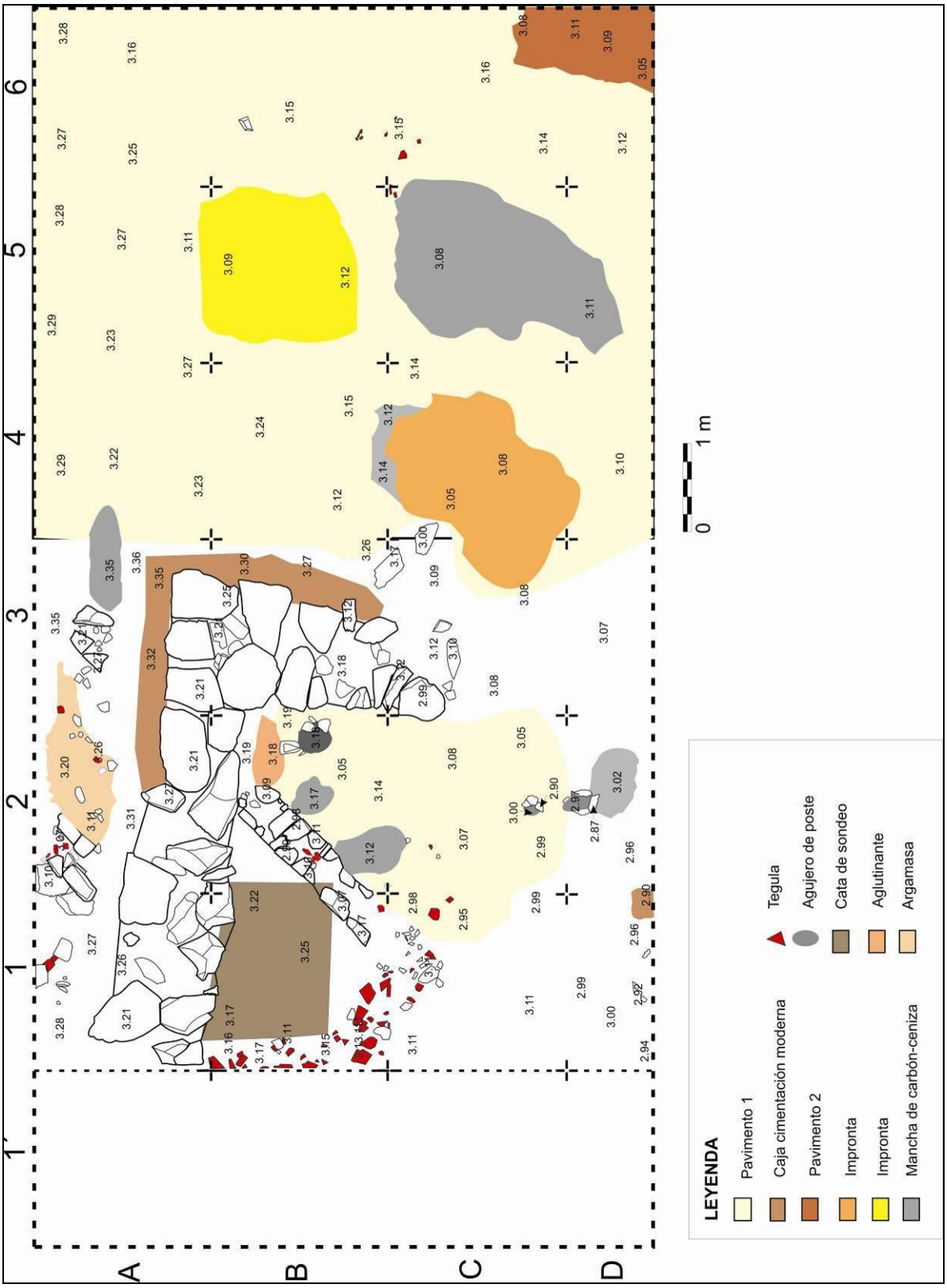
En línea con el muro romano se localizó otra estructura realizada en mampostería, que tanto a nivel estratigráfico como tipológico aparecía relacionado con el anteriormente descrito, con un estado de conservación más deficiente.

En las cuadrículas 1A y 2A fue detectada una acumulación de argamasa, material romano muy rodado y piedras, sin disposición y funcionalidad aparentes, entre la cimentación del edificio que delimitaba el solar al W y la cimentación de la construcción moderna que cortaba al muro de mampostería. Bajo la capa de argamasa se disponía un pequeño tramo de muro de dos hiladas, de factura diferente a los anteriormente citados y probablemente posterior a los mismos (CARRERA DÍAZ, 2000: 7).

En las cuadrículas 2B y 3B, se documentó un pequeño hogar delimitado por el muro de mampostería citado, hacia el S y por la cimentación de la estructura moderna al E y N, apareciendo en estos extremos afectado por esta construcción. Sobre el hogar se documentó un nivel de carbones que abarcaba las cuadrículas 2A, 2B, 3A y 3B. En el hogar se localizaron restos materiales correspondientes a cerámica común y material latericio.



Detalle del muro localizado en el sector 1 (CARREIRA DÍAZ, 2000: Fotografía 1)



Nivel 2 del área 1 de la intervención en Montero Ríos, 6-12 (CARREIRA DÍAZ, Inédito. Dibujo y digitalización de CALO RAMOS)

El hogar aparecía excavado directamente en el substrato natural, apareciendo delimitado por una piedra de granito hincada y por un ladrillo apoyado en uno de sus lados. El interior del depósito de combustión contenía evidencias de carbonización apareciendo su base endurecida por la acción del fuego, con una superficie irregular. Al estar parcialmente alterada, no se pudieron establecer las dimensiones totales de la misma.

En el sector 1 se detectaron hasta un total de 33 huecos de poste -de los que 9 presentaban calzos-, de factura y dimensiones diversas, con un diámetro máximo de 44 cm y mínimo de 16 cm y con una profundidad máxima de 37 cm y mínima de 6 cm.

Se señala de la presencia de un canal de dimensiones reducidas -20 cm de diámetro y profundidad entre 3-4 y 10 cm-, con una orientación ESE-WNW localizado en las cuadrículas 4D-5C-6B. El canal conectaba dos pequeñas fosas excavadas en el substrato, donde fueron documentados agujeros poste, uno de los cuales contenía restos de carbones (CARRERA DÍAZ, 2000: 8).

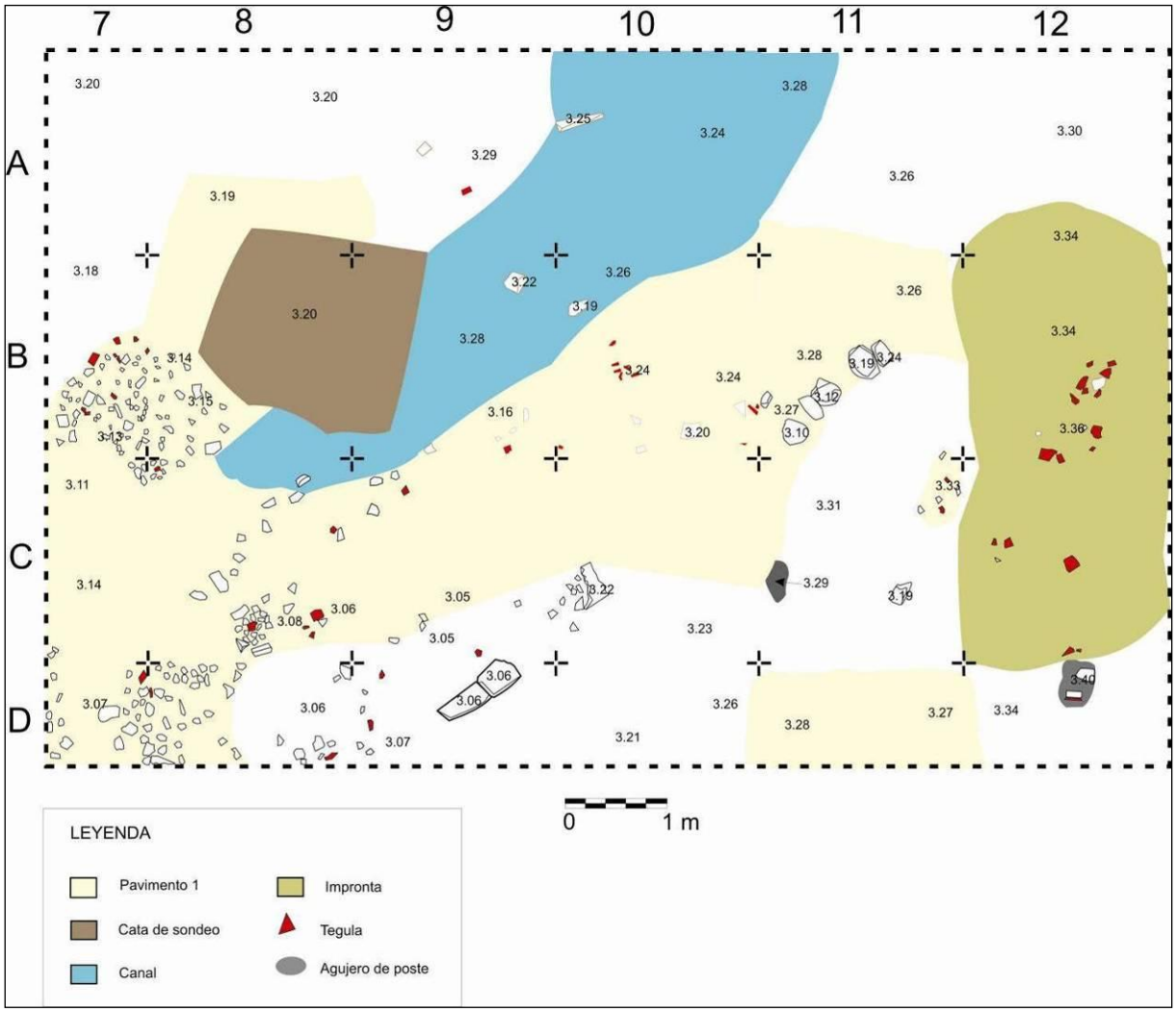


Detalle de la cimentación moderna de los muros detectados en el sector 1
(CARREIRA DÍAZ, 2000: Fotografía 2)

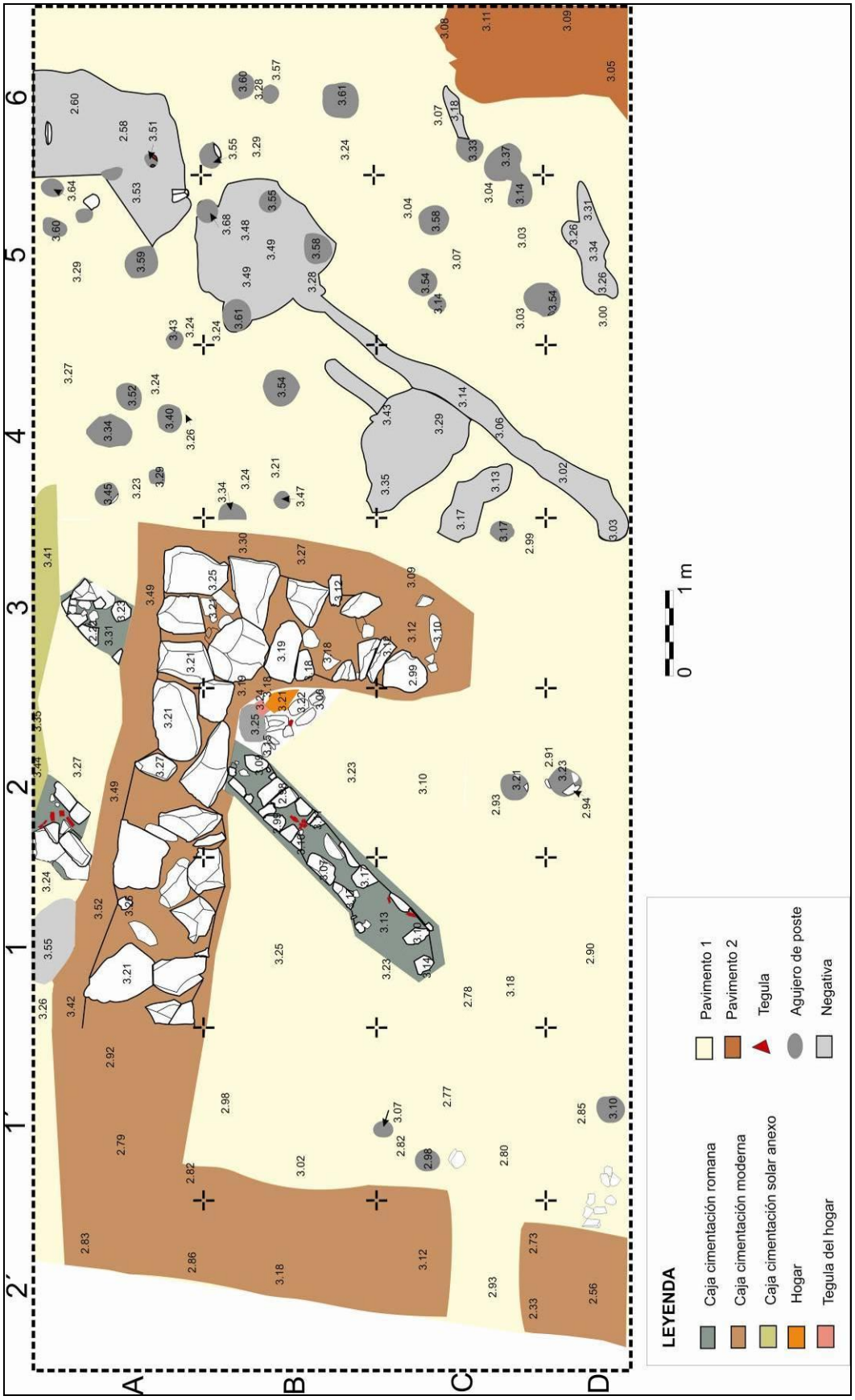
Asimismo fueron registrados dos tipos de pavimento, uno de los cuales (P1) semejaba extenderse por el resto de la superficie excavada. La técnica se basaba en el compactado de material extraído del substrato, resultando ser bastante uniforme. El segundo pavimento (P2), menos regular, se localizó en la cuadrícula 6D, sobre el pavimento anteriormente descrito, mostrando una mayor consistencia.

En las cuadrículas 1'C-1'D, fue registrada una gran concentración de cascajo compuesto por piedras de granito de tamaño medio, sin materiales, a una cota más alta que el resto de las estructuras y asociado hacia el S a un pavimento de poca consistencia.

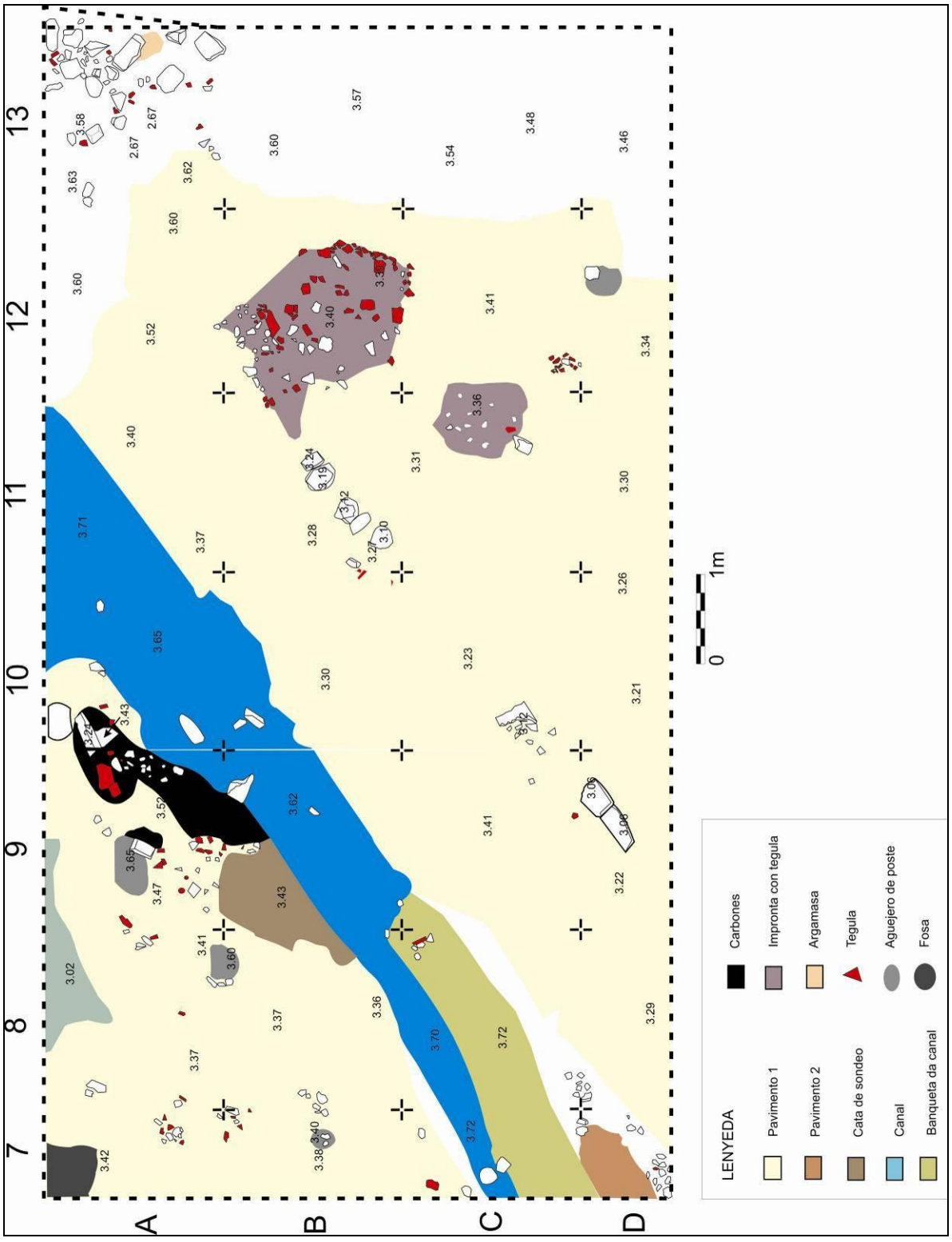
En el sector 2 fueron detectados hasta veinte de agujeros de poste de variabilidad tipológica y de dimensiones, abarcando diámetros que comprendían desde los 16 a los 84 cm y profundidades de entre 50 cm y 6 cm. Presentaban calzos trece de los mismos, variando en número y disposición.



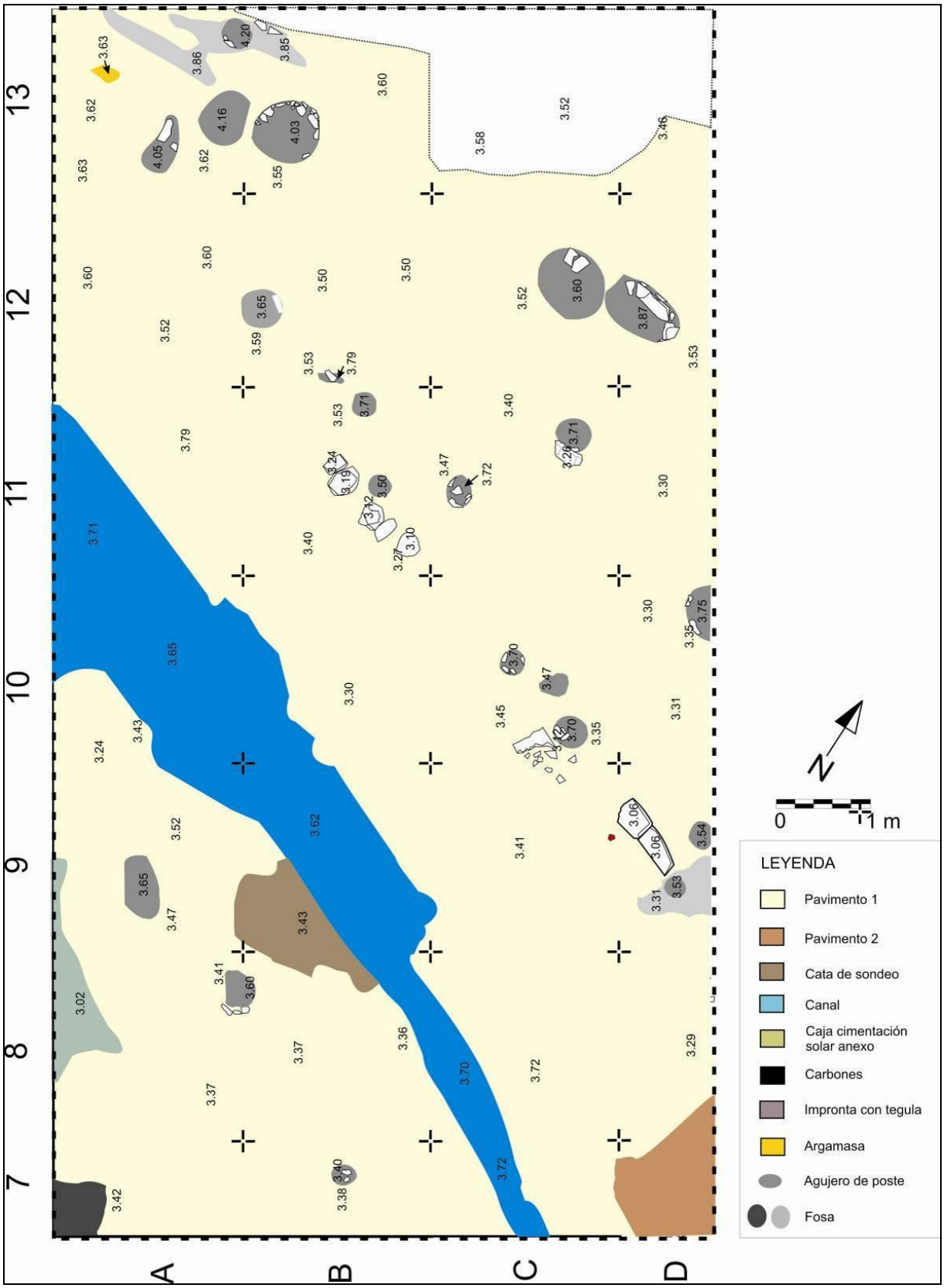
Nivel 1 del área 2 de la intervención en Montero Ríos, 6-12 (CARREIRA DÍAZ, Inédito. Dibujo y digitalización de CALO RAMOS)



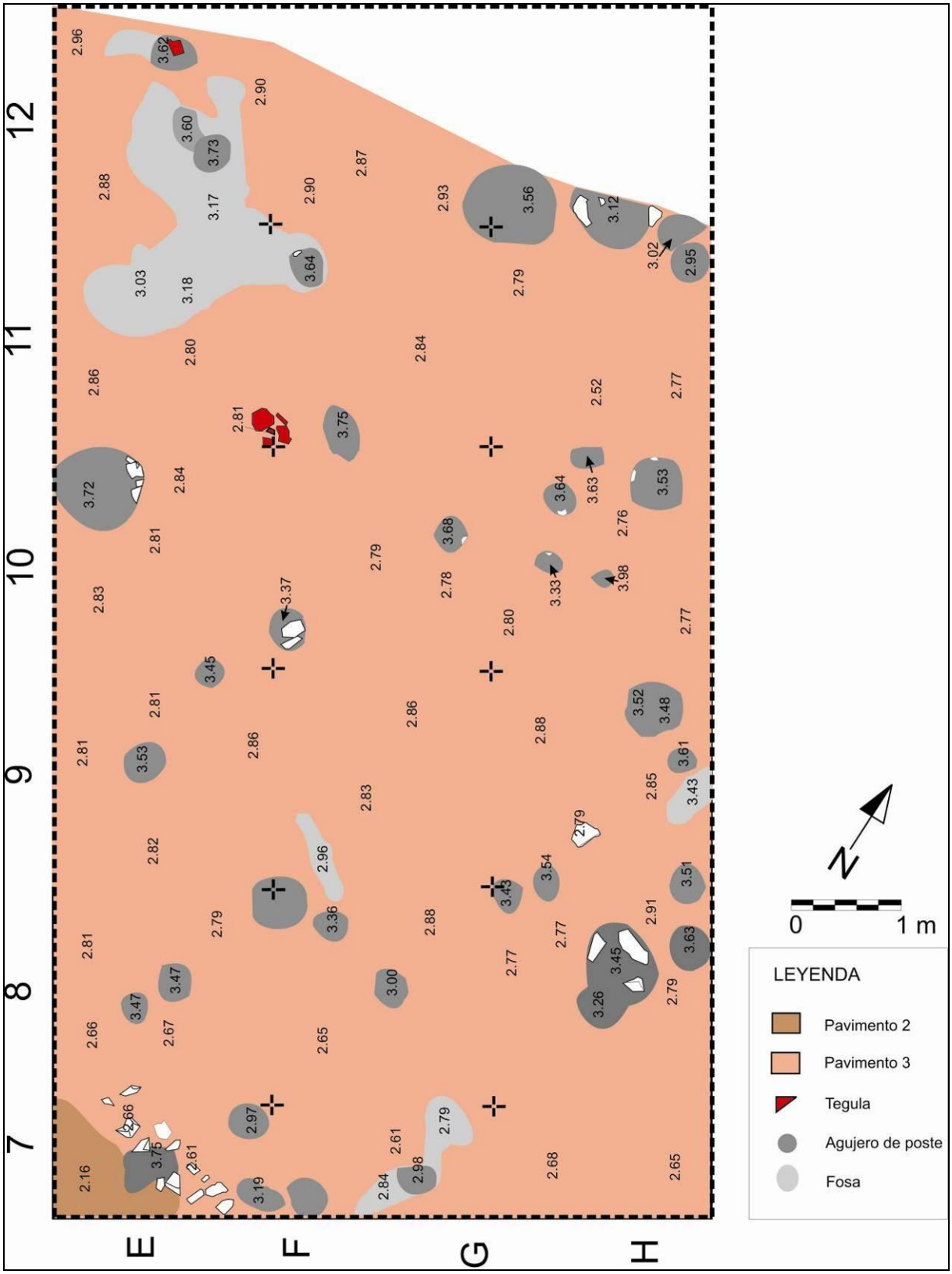
Nivel 3 del área 1 de la intervención en Montero Ríos, 6-12 (CARREIRA DÍAZ, Inédito. Dibujo y digitalización de CALO RAMOS)



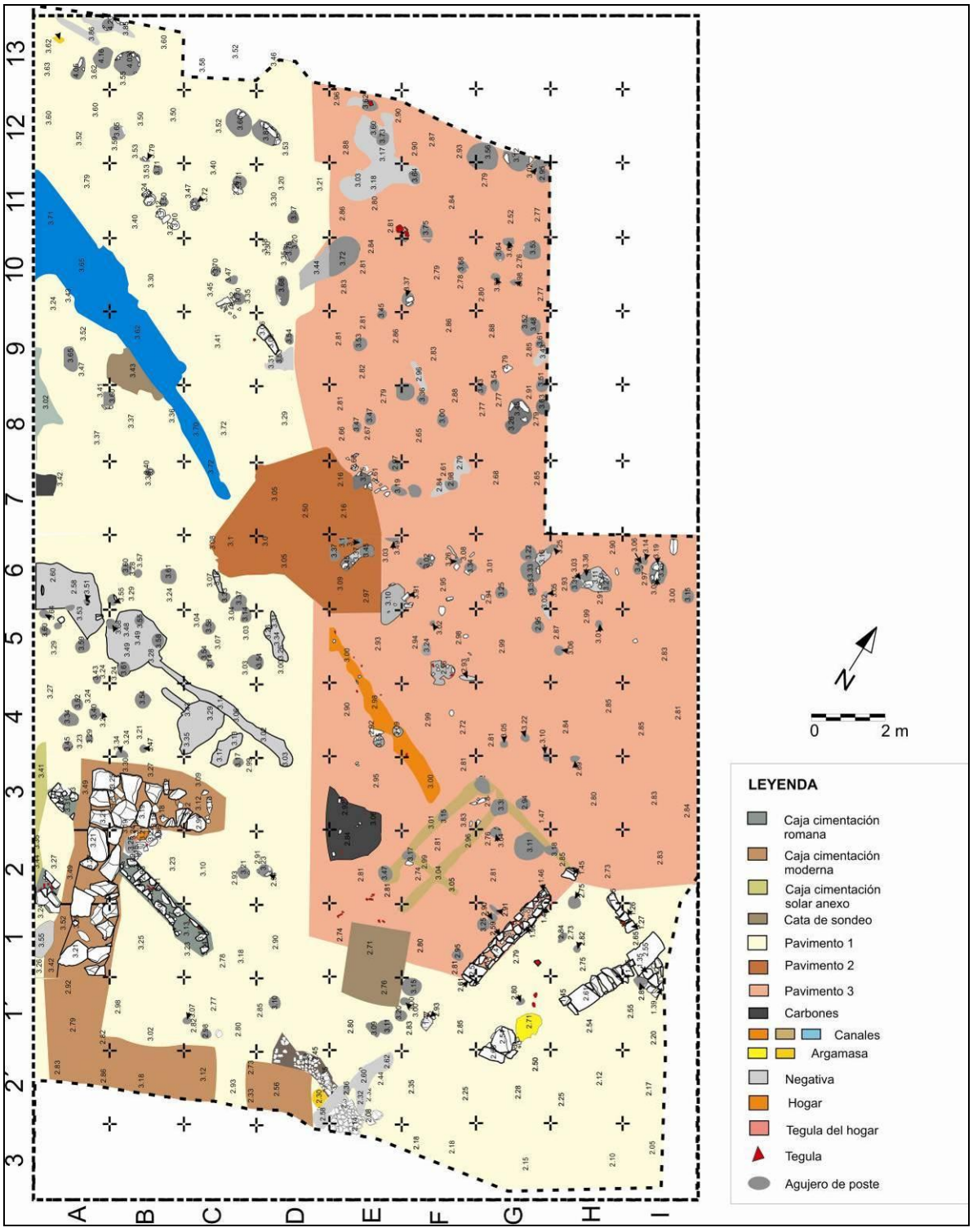
Nivel 2 del área 2 de la intervención en Montero Ríos, 6-12 (CARREIRA DÍAZ, Inédito. Dibujo y digitalización de CALO RAMOS)



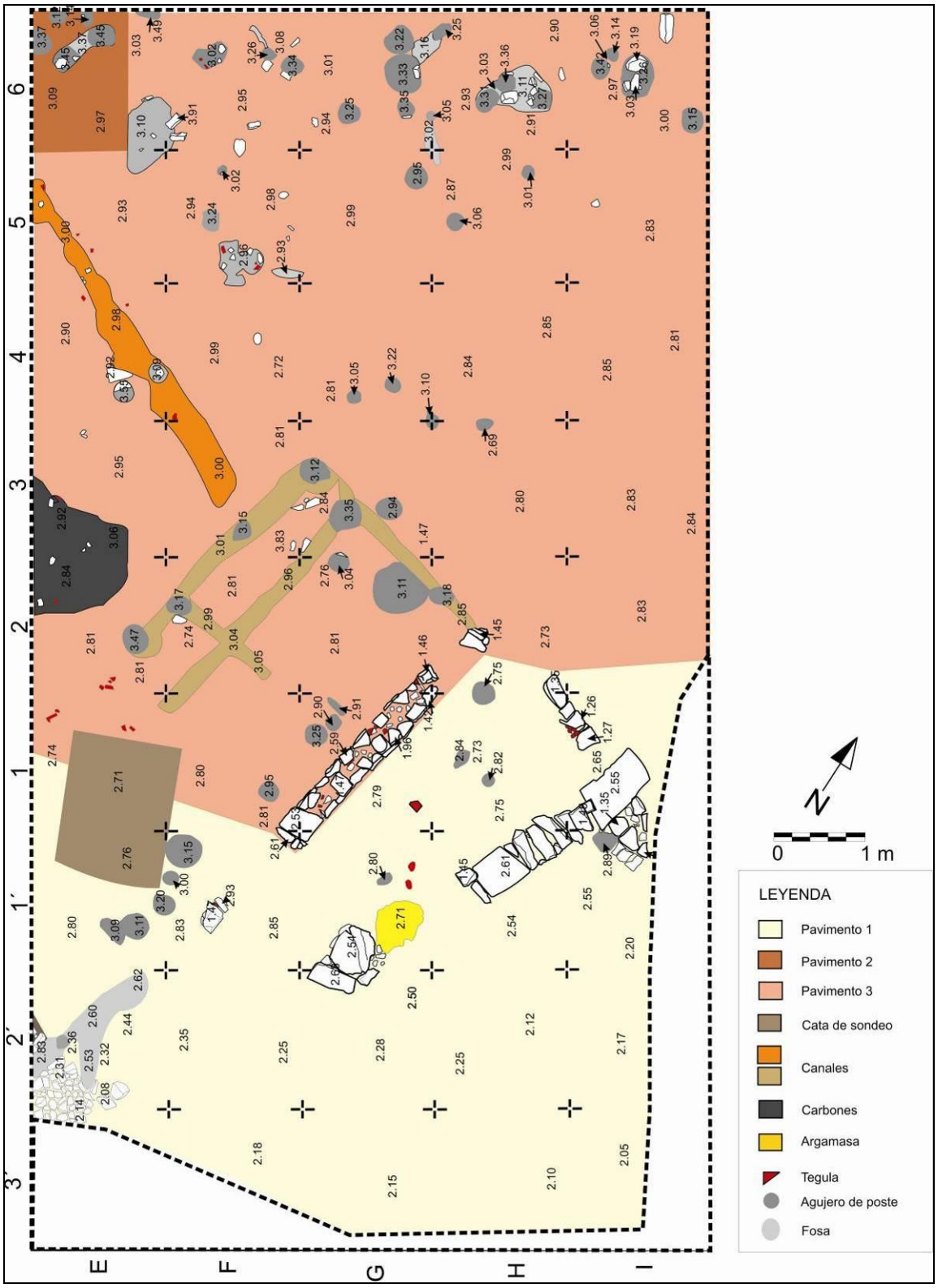
Nivel 3 del área 2 de la intervención en Montero Ríos, 6-12 (CARREIRA DÍAZ, Inédito. Dibujo y digitalización de CALO RAMOS)



Área 3 de la intervención en Montero Ríos, 6-12 (CARREIRA DÍAZ, Inédito. Dibujo y digitalización de CALO RAMOS)



Planta general de la intervención en Montero Ríos, 6-12 (CARREIRA DÍAZ, Inédito. Dibujo y digitalización de CALO RAMOS)



Área 4 de la intervención en Montero Ríos, 6-12 (CARREIRA DÍAZ, Inédito. Dibujo y digitalización de CALO RAMOS)



Detalle de la cimentación moderna y de los muros de factura romana (CARREIRA DÍAZ, 2000: Fotografía 3)

Se registró un derrumbe compuesto por piedras de granito de gran porte en la cuadrícula 13A y parte de la 12A, asociadas a material de construcción poco rodado.

No fue documentada ninguna estructura, estando muchas piedras trabajadas. Estos elementos constructivos podrían haber pertenecido a una estructura que quizás se prolongaría hacia la parcela que limita con el solar por el W.

De esta manera, se pudieron documentar tres tipos de pavimentos. Como se señaló, el que parece ser predominante en todo la zona excavada, denominado P1, aparece formado por material extraídodel substrato natural, siendo compactado y resultando bastante uniforme en todas las cuadrículas, excepto en las 7D-8D. Sobre éste se dispone un pavimento menos uniforme y más consistente, denominado P2, extendiéndose hacia al ESE-WNW, localizándose parcialmente en las cuadrículas 9B, 10B, 11B, 9C, 10C y 11C.

Sobre el pavimento más irregular y compacto, fue localizada una camada con cascajo y materiales cerámicos y de construcción bastante rodados y que podría corresponderse con un tercer nivel de pavimentación (P3) o bien en una capa de firme perteneciente al pavimento segundo (P2). En la zona que ocupaban las cuadrículas 11B, 12B, 11C y 12C, se registró una acumulación de materiales, principalmente tegula y cerámica común, que en planta presentaba forma circular, sin estar delimitada por ninguna estructura definida. Asimismo, en la cuadrícula 8D, se documentó una hilada de tres grandes losas de granito hincadas en el pavimento que mantenían una orientación ESE-WNW.



Hogar localizado en el sector 1 (CARREIRA DÍAZ, 2000: Fotografía 4)

Fue localizado asimismo, un canal encajado entre el segundo pavimento (P2), que presentaba una anchura máxima de 70-80 cm, sin contener casi material arqueológico. En la caja del muro, apareció en posición secundaria, una basa de columna de granito de 38 cm diámetro en la base, 25 cm en el fuste, 6 cm de altura en la basa y 20 cm de altura máxima.

En el sector 3 se excavaron hasta un total de 33 agujeros de poste, 9 con calzos, con diámetros comprendidos entre los 20 y 72 cm y de entre 12 y 51 cm de profundidad. En la cuadrícula 12F se documentaron dos grandes agujeros de buena factura, muy regulares y de dimensiones similares. En uno de ellos fue hallada una gran cantidad de fragmentos cerámicos de diferentes adscripciones, muy poco rodados. Se distinguieron asimismo dos pavimentos de diferente tipología constructiva.



Detalle del derrumbe localizado en el sector 1 (CARREIRA DÍAZ, 2000: Fotografía 5)

En el sector 4 se registraron hasta 43 agujeros de poste, 10 con calzos, con diámetros de entre 14 y 82 cm y profundidades comprendidas entre los 8 y los 64 cm. Fueron registrados hasta cuatro tipos de pavimentos distintos, uno de ellos de gran uniformidad y compactado de características similares al *opus caementicium.*

Asimismo se localizó un muro de mampostería de piedra de 4 m de largo por 55 cm de ancho y una altura media de 40 cm con orientación S-N. Aparecía asentado sobre el pavimento sin caja de cimentación.

Hacia el E, asociado a la estructura, fue localizado un potente derrumbe compuesto por piedra, materiales de construcción (*tegula*, *imbrex* y *later*) y material cerámico.



Nivel de derumbe hallado en el sector 1 (CARREIRA DÍAZ, 2000: Fotografía 6)



Interfacies localizada en el sector 1 (CARREIRA DÍAZ, 2000: Fotografía 7)



Agujeros de poste del sector 1 (CARREIRA DÍAZ, 2000: Fotografía 8)



Fosas localizadas en el extremo N del sector 3 (CARREIRA DÍAZ, 2000: Fotografía 9)



Derrumbe localizado en el sector 2 (CARREIRA DÍAZ, 2000: Fotografía 10)



Muro de mampostería y canales en el sector 4 (CARREIRA DÍAZ, 2000: Fotografía 12)

Hacia el W del muro se disponían varios canales excavados en el pavimento con una profundidad media de 15 cm. Asimismo se hallaron varios agujeros de poste de características semejantes que podrían estar relacionados con el muro, formando parte de la cimentación de una estructura perecedera formada por postes hincados.



Canales y fosas localizadas en el sector 4 (CARREIRA DÍAZ, 2000: Fotografía 13)

Hacia al E, a 2 m del primer muro, se documentó una cimentación excavada en el substrato natural con orientación S-N. Aparecía compuesta por piedras de granito de gran porte, escasamente rebajadas, con un gran sillar de granito de sección rectangular en el extremo N, con unas dimensiones de 1 m por 40 cm. Se documentó uno muro de mampostería de piedra, perpendicularmente sobre esta cimentación y el substrato, de 50 cm de ancho, que sólo conservaba dos hiladas.

En las cuadrículas 2H, 2'H, 2I y 2'I se detectó un nivel de derrumbe con material muy rodado, sobre los muros y cimentación anteriormente descrita, delimitando lo que parecía ser un pavimento compuesto por cascajo y material rodado y que podría relacionarse con el último uso documentado en el yacimiento.



Cimentación localizada en el sector 4 (CARREIRA DÍAZ, 2000: Fotografía 14)

3.2.2.4. INTERPRETACIÓN

A partir de los materiales puede atribuirse un momento de ocupación en el primer tercio del siglo IV d.C., durante el imperio de Constantino I. Esta propuesta se basa en la presencia de las monedas de bronce correspondientes a esta época, con medio *follis* con la leyenda *IMP CONSTANTINUS* y una moneda indeterminada con Crismón, que daría una fecha posterior al año 313 d.C. en el que se publicó el Edicto de Milán.

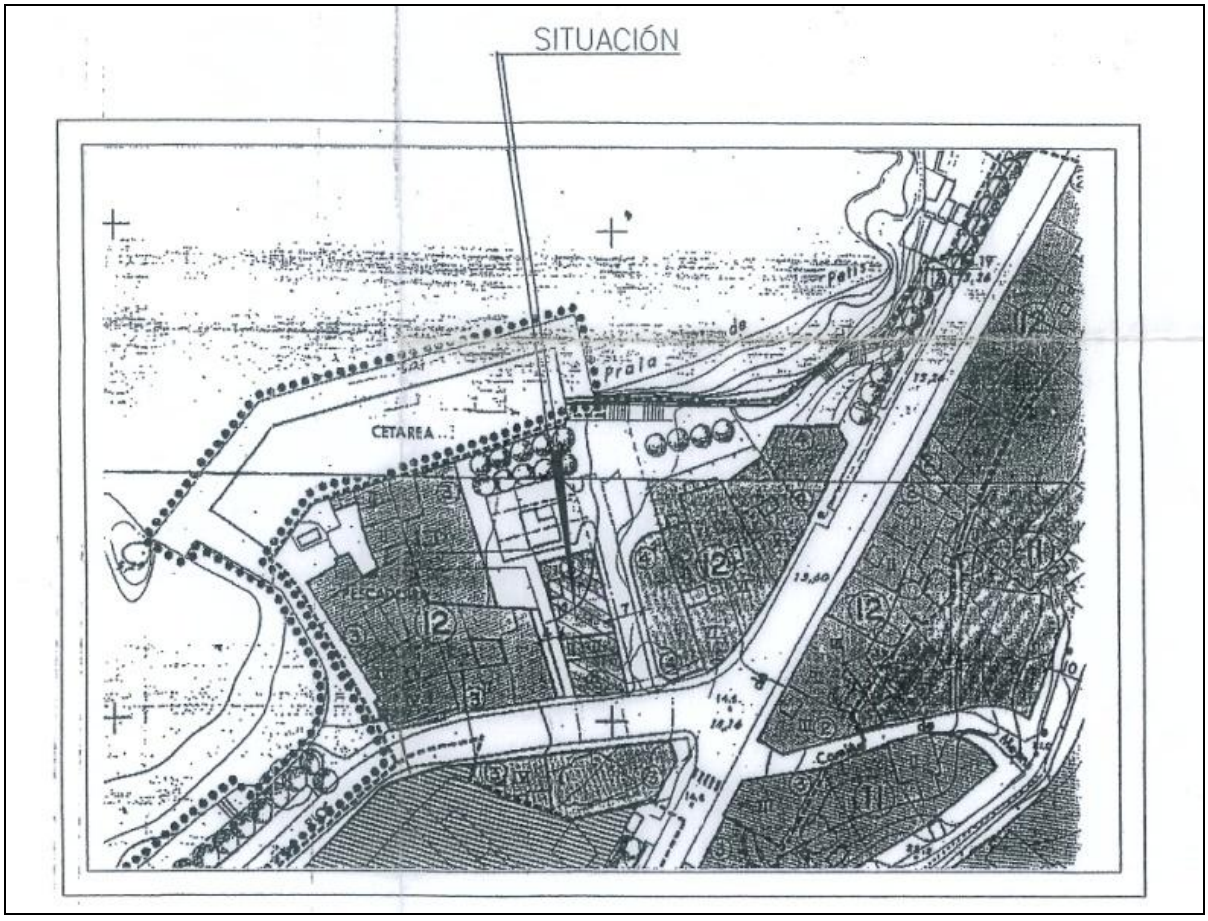
En la estratigrafía documentada sólo se queda la evidencia de un momento de ocupación, tratándose de un ámbito secundario, posiblemente destinado la zona de tránsito y almacenaje, formando parte del conjunto de edificios residenciales y espacios destinados a actividades artesanales y de explotación industrial, localizados en el entorno de la playa de Bueu (CARRERA DÍAZ, 2000: 18).

USC UNIVERSIDADE DE SANTIAGO DE COMPOSTELA

3.2.3. INTERVENCIÓN EN EL SOLAR NÚMERO 4 DE LA AVENIDA MONTERO RÍOS.

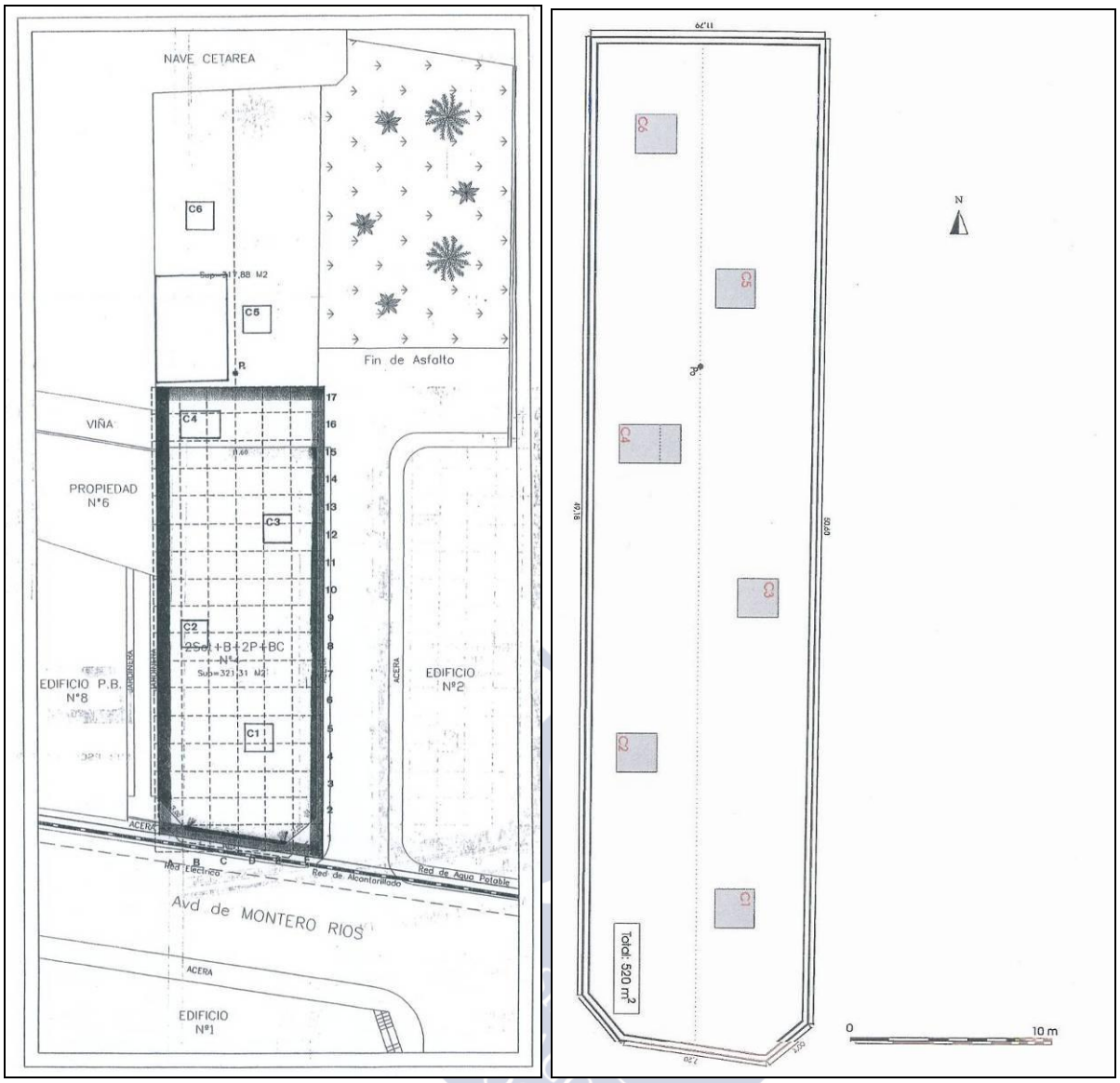
3.2.3.1. INTRODUCCIÓN

En la descripción de los resultados de esta intervención, se siguen los datos aportados por el arqueólogo Alejandro Parga Castro, director de dicha actuación (PARGA CASTRO, 2001), a quien agradecemos su amabilidad.



Situación (PARGA CASTRO, 2001: Plano 1)

En el informe valorativo se describen los trabajos desarrollados entre el 8 de mayo y el 15 de junio de 2001 en los terrenos que ocupan el solar número 4 de la Avenida Montero Ríos de Bueu. Estos trabajos respondieron a la necesidad de ampliar la documentación arqueológica obtenida durante los sondeos iniciales, realizados en el mes de noviembre del año 2000, dirigidos por Ricardo A. Viñas Cué.



Ubicación de los sondeos y cuadrículas de excavación (PARGA CASTRO, 2001)

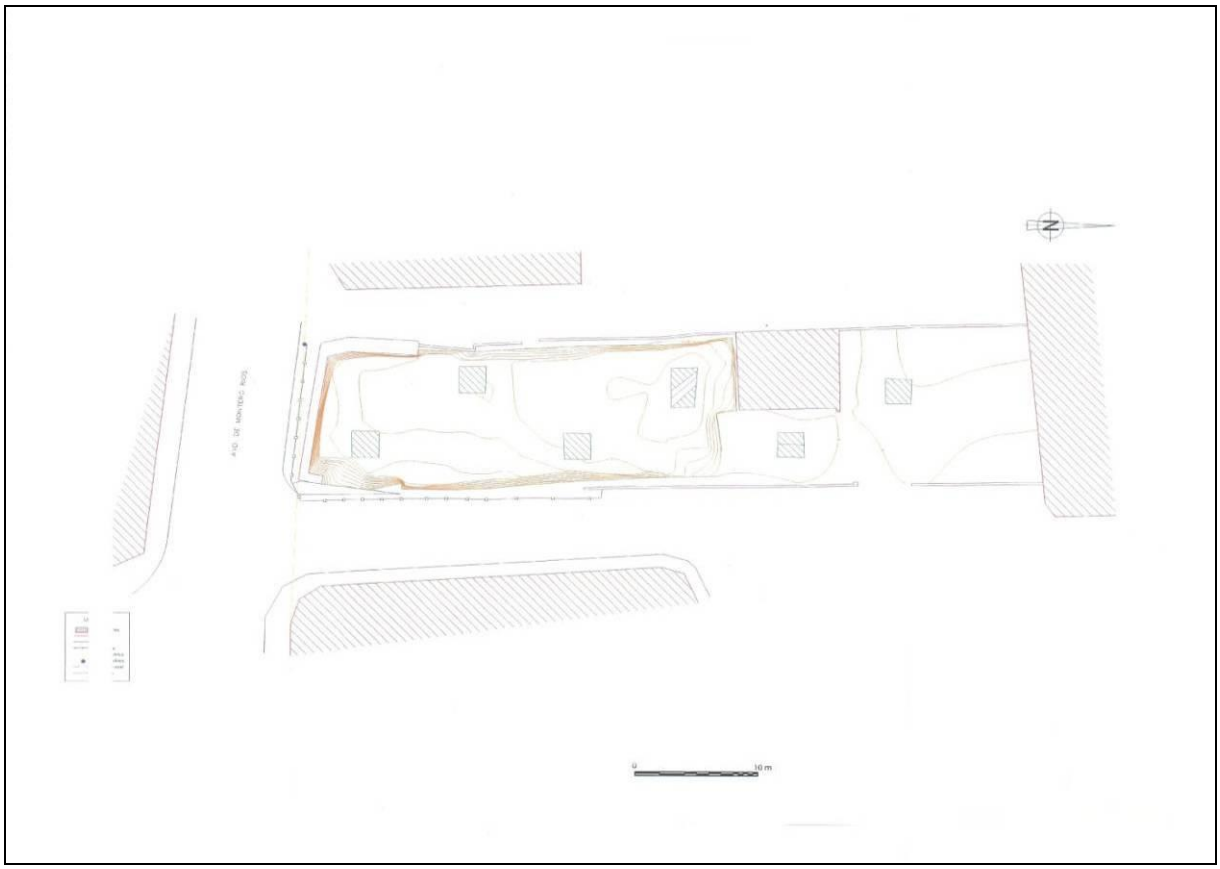
3.2.3.2. PLANTEAMIENTO DE LA INTERVENCIÓN

El solar sobre el cual se realizaron los trabajos presentaba forma rectangular de 50x11,5 m, orientado en el eje N-S y situándose contiguo al E del solar 6, 8, 10, 12, cuyos restos se han descrito anteriormente. La superficie de excavación, de 520 m², fue ocupada previamente por una vivienda con huerta en su parte trasera, al N.

El nivel 0 (N0) se situó en el punto medio del portal Nº 2, del callejón adyacente al solar. Para el registro estratigráfico se siguieron los planteamientos del Método Harris. Durante los trabajos arqueológicos realizamos el procesado del material arqueológico en campo, llegándose a lavar y clasificar preliminarmente el 40% del mismo.

3.2.3.3. ESTRATIGRAFÍA Y RESTOS DOCUMENTADOS

En los niveles superficiales se detectaron varios rellenos estériles (UE1, UE2), bajo los que se disponían dos estratos con tierra gris con abundante material arqueológico fragmentado (UE3, UE9). Bajo este nivel se identificó un depósito de arena gruesa de color rojizo (UE10) de origen natural. En la zona N fue identificado un nivel compuesto por tierra granulosa de color marrón oscuro (UE30) sobre el que se conformaría un paleosuelo (PARGA CASTRO, 2000: 11).



Mapa topográfico inicial (PARGA CASTRO, 2001: Plano 04)

Buena parte de las estructuras y negativas, fueron realizadas sobre los niveles de formación natural UE10 y UE30 y selladas por el nivel de abandono UE9. Asmimsmo se señala la documentación de una sucesión de momentos constructivos que delatan una transformación del yacimiento a través de un período de tiempo dilatado. Dichas fases no se evidencian en la superposición de suelos de ocupación, que abrían sido sucesivamente arrasados desapareciendo del registro arqueológico, sino que se detectan a través de las superposiciones de estructuras que se documentan en la mayor parte de la superficie excavada. En relación con esta circunstancia se señala el hecho de que el nivel de ocupación mejor documentado se corresponda con el más reciente (UE38). Asimismo se

documenta un nivel de incendio bajo los derrumbes localizados en el denominado Recinto 4 y en la zona W de los Recintos 1 y 2, interpretándose como un nivel de arrasamiento y abandono definitivo (PARGA CASTRO, 2000: 12).

UNIDADES ESTRATIGRÁFICAS

UE1

Definición Depósito antrópico

Interpretación Relleno de nivelación de la parcela

Descripción Relleno superficial de tierra

Período Contemporáneo

UE2

Definición Depósito antrópico

Interpretación Nivelación y compactación

Descripción Relleno de escombro

Período Contemporáneo

UE3

Definición Interfacies de destrucción

Interpretación Nivel de arrasamiento generalizado

Descripción Revuelto de tierra y escombro

Período Contemporáneo

UE4

Definición Estructura

Interpretación Posible muro de cierre

Descripción Muro N

Período Romano. Fases 1-2

UE5

Definición Depósito antrópico

Interpretación Relleno de nivelación externo

Descripción Relleno de tierra pardo-clara

Período Romano. Fases 1-2

UE6

Definición Depósito natural

Interpretación Nivel de abandono

Descripción Nivel de limo

Período Contemporáneo

UE7

Definición Estructura

Interpretación Posible pavimento

Descripción Nivel de tierra compactada

USC UNIVERSIDADE DE SANTIAGO DE COMPOSTELA

Período Contemporáneo

UE8

Definición Depósito antrópico

Interpretación Elementos constructivos

Descripción Derrumbe paralelo al muro N

Período Romano/altomedieval

UE9

Definición Depósito natural revuelto

Interpretación Nivel de abandono generalizado

Descripción Relleno de tierra gris con cenizas

Período Posible nivel medieval

UE10

Definición Depósito Natural

Interpretación Arena estéril

Descripción Arena rojiza

Período Indeterminado

UE11

Definición Estructura

Interpretación Muro de separación (Recintos 2 y 3)

Descripción Muro S

Período Romano. Fases 1-2

UE12

Definición Depósito

Interpretación Derrumbe del recinto 4 (lado E)

Descripción Derrumbe lado E

Período Romano/altomedieval

UE13

Definición Depósito antrópico

Interpretación Relleno para asentar el muro S

Descripción Relleno de la caja del muro S

Período Romano. Fases 1-2

UE14

Definición Elemento interfacial vertical

Interpretación Caja para asentar el muro S

Descripción Zanja del muro S

Período Romano. Fases 1-2

UE15

Definición Estructura

Interpretación Murete desmantelado

Descripción Restos de murete perpendicular al muro S

Período Romano/altomedieval

UE16

Definición Elemento interfacial vertical

Interpretación Estructura complementaria a UE15

Descripción Agujero calzado con *tegulae*

Período Romano/altomedieval

UE17

Definición Depósito antrópico

Interpretación Posible pavimento quemado

Descripción Zona SE de revuelto

Período Romano/altomedieval

UE18

Definición Depósito natural

Interpretación Posible nivel de abandono del recinto 3

Descripción Bandas

Período Romano/altomedieval

UE19

Definición Depósito antrópico

Interpretación Elementos constructivos fruto del derrumbe

Descripción Derrumbe SW

Período Romano/altomedieval

UE20

Definición Depósito

Interpretación Relleno de agujero de poste

Descripción Impronta semicircular oscura

Período Romano/altomedieval

UE21

Definición Depósito

Interpretación Relleno de agujero de poste

Descripción Impronta circular clara

Período Romano/altomedieval

UE22

Definición Depósito

Interpretación Relleno de agujero de poste

Descripción Relleno de agujero de poste con calzos de *tegulae*

Período Romano/altomedieval

UE23

Definición Depósito

Interpretación Relleno de agujero de poste

Descripción Impronta en la zona SW-1

Período Romano/altomedieval

UE24

Definición Depósito

Interpretación Relleno de agujero de poste

Descripción Impronta en la zona SW-2

Período Romano/altomedieval

UE25

Definición Depósito

Interpretación Relleno de agujero de poste

Descripción Impronta circular en la esquina SW

Período Romano/altomedieval

UE26

Definición Depósito

Interpretación Derrumbe muro con elementos constructivos

Descripción Derrumbe muro S

Período Romano/altomedieval

UE27

Definición Estructura

Interpretación Muro de cierre del recinto 4 en la zona E

Descripción Murete E

Período Romano/altomedieval

UE28

Definición Depósito antrópico

Interpretación Relleno de asiento del muro N

Descripción Relleno de la caja del muro N

Período Romano. Fases 1-2

UE29

Definición Elemento interfacial vertical

Interpretación Caja para asentar el muro N

Descripción Zanja del muro N

Período Romano. Fases 1-2

UE30

Definición Depósito antrópico

Interpretación Relleno de nivelación del recinto 1

Descripción Nivel de tierra pardo-clara

Período Romano. Fases 1-2

UE31

Definición Estructura

Interpretación Paleosuelo

Descripción Nivel de tierra negra

Período Indeterminado

UE32

Definición Depósito

Interpretación Relleno de agujero de poste en posición central

Descripción Impronta con cerco con cenizas

Período Romano/altomedieval

UE33

Definición Estructura

Interpretación Hogar o pavimento quemado

Descripción Bandas de quemado

Período Romano/altomedieval

UE34

Definición Depósito

Interpretación Derrumbe de muro con elementos constructivos

Descripción Derrumbe del muro central

Período Romano/altomedieval

UE35

Definición Estructura

Interpretación Muro de cierre del recinto 1

Descripción Muro central

Período Romano. Fases 1-2

UE36

Definición Estructura

Interpretación Nivel de uso (suelo)

Descripción Mancha arenosa clara

Período Romano/altomedieval

UE37

Definición Depósito

Interpretación Relleno de agujero de poste

Descripción Depósito circular rellenando una pequeña fosa

Período Romano/altomedieval

UE38

Definición Estructura

Interpretación Nivel de uso (suelo)

Descripción Suelo arenoso

Período Romano/altomedieval

UE39

Definición Depósito

Interpretación Relleno de agujero de poste

Descripción Depósito circular rellenando una pequeña fosa

Período Romano/altomedieval

UE40

Definición Depósito

Interpretación Relleno de agujero de poste

Descripción Agujero zona S

Período Romano/altomedieval

UE41

Definición Depósito

Interpretación Relleno de agujero de poste

Descripción Agujero zona S

Período Romano/altomedieval

UE42

Definición Depósito

Interpretación Relleno de agujero de poste

Descripción Agujero zona S

Período Romano/altomedieval

UE43

Definición Elemento interfacial

Interpretación Acción relacionada con fases constructivas

Descripción Rebaje próximo al muro S

Período Romano/altomedieval

UE44

Definición Depósito

Interpretación Relleno de agujero de poste

Descripción Relleno del agujero circular realizado en UE33

Período Romano/altomedieval

UE45

Definición Estructura

Interpretación Hogar y restos de pavimento

Descripción Estructura cuadrangular en UE33

Período Romano/altomedieval

UE46

Definición Depósito

Interpretación Nivel de incendio

Descripción Relleno de UE45

Período Romano/altomedieval

UE47

Definición Depósito

Interpretación Relleno de agujero de poste

Descripción Relleno del agujero circular realizado en UE33

Período Romano/altomedieval

UE48

Definición Estructura

Interpretación Hogar y restos de pavimento

Descripción Estructura cuadrangular en UE33

Período Romano/altomedieval

UE49

Definición Depósito

Interpretación Relleno de agujero de poste

Descripción Relleno del agujero circular anejo a UE48

Período Romano/altomedieval

UE50

Definición Estructura

Interpretación Restos de pavimento u hogar

Descripción Preparado de arcilla refractaria

Período Romano/altomedieval

UE51

Definición Depósito

Interpretación Relleno de agujero de poste

Descripción Relleno del agujero circular interior a UE48

Período Romano/altomedieval

UE52

Definición Depósito

Interpretación Relleno de agujero de poste

Descripción Relleno del agujero circular interior a UE48

Período Romano/altomedieval

UE53

Definición Depósito

Interpretación Nivel de incendio

Descripción Nivel de carbones y ceniza en UE33

Período Romano/altomedieval

UE54

Definición Depósito

Interpretación Relleno de agujero de poste

Descripción Relleno de agujero circular externo a UE33

Período Romano/altomedieval

UE55

Definición Depósito

Interpretación Relleno de agujero de poste

Descripción Relleno de agujero circular externo a UE33

Período Romano/altomedieval

UE56

Definición Depósito

Interpretación Relleno de agujero de poste

Descripción Relleno de agujero circular externo a UE33

Período Romano/altomedieval

UE57

Definición Depósito

Interpretación Nivel de incendio

Descripción Mancha longitudinal externa a UE33

Período Romano/altomedieval

UE58

Definición Depósito

Interpretación Nivel de incendio

Descripción Mancha longitudinal externa a UE33

Período Romano/altomedieval

UE59

Definición Zanja

Interpretación Caja para asiento del muro central

Descripción Zanja del muro central

Período Romano. Fases 1-2

UE60

Definición Fosa

Interpretación Posible fosa de enterramiento

Descripción Fosa rectangular SE

Período Romano/altomedieval

UE61

Definición Depósito antrópico

Interpretación Relleno para asentar el muro S

Descripción Relleno de la caja del muro S (N)

Período Romano. Fases 1-2

UE62

Definición Depósito

Interpretación Relleno de agujero de poste

Descripción Relleno de agujero circular en UE33 (extremo NE)

Período Romano/altomedieval

UE63

Definición Depósito

Interpretación Relleno de agujero de poste

Descripción Relleno de agujero de poste próximo a UE8

Período Romano/altomedieval

UE64

Definición Depósito

Interpretación Nivel de incendio

Descripción Depósito de cenizas

Período Romano/altomedieval

UE65

Definición Depósito

Interpretación Nivel de incendio

Descripción Revuelto con cenizas

Período Romano/altomedieval

UE66

Definición Depósito

Interpretación Relleno de agujero de poste

Descripción Agujero zona S

Período Romano/altomedieval

UE67

Definición Depósito

Interpretación Relleno de agujero de poste

Descripción Agujero zona S

Período Romano/altomedieval

UE68

Definición Depósito

Interpretación Relleno de agujero de poste

Descripción Agujero zona S

Período Romano/altomedieval

UE70

Definición Depósito

Interpretación Nivel de incendio

Descripción Depósito con cenizas

Período Romano/altomedieval

UE71

Definición Depósito

Interpretación Nivel de incendio

Descripción Área con cenizas

Período Romano/altomedieval

UE72

Definición Depósito

Interpretación Relleno de agujero de poste

Descripción Agujero próximo al muro N

Período Romano/altomedieval

UE73

Definición Depósito

Interpretación Relleno de agujero de poste

Descripción Agujero próximo al muro N

Período Romano/altomedieval

UE72

Definición Depósito

Interpretación Relleno de agujero de poste

Descripción Agujero próximo a UE71

Período Romano/altomedieval

UE75

Definición Depósito

Interpretación Relleno de agujero de poste

Descripción Agujero en el muro central

Período Romano/altomedieval

UE76

Definición Estructura

Interpretación Muro de cierre del recinto 4 (lado W)

Descripción Muro paralelo al muro central

Período Romano/altomedieval

UE77

Definición Depósito

Interpretación Nivel de incendio

Descripción Nivel de arena con carbones

Período Romano/altomedieval

UE78

Definición Depósito

Interpretación Elementos estratigráficos asociados al acceso

Descripción Relleno de agujero de poste próximo al muro central

Período Romano/altomedieval

UE79

Definición Depósito

Interpretación Elementos estratigráficos asociados al acceso

Descripción Relleno de agujero de poste próximo al muro central

Período Romano/altomedieval

UE80

Definición Estructura

Interpretación Paleosuelo

Descripción Arena oscura

Período Romano/altomedieval

UE81

Definición Depósito

Interpretación Nivel de incendio

Descripción Nivel arenoso gris con carbones

Período Romano/altomedieval

UE82

Definición Estructura

Interpretación Nivel de uso (suelo)

Descripción Pavimento compuesto de material procedente del sustrato

Período Romano/altomedieval

UE83

Definición Depósito

Interpretación Nivel de abandono

Descripción Relleno del espacio cuadrangular

Período Romano/altomedieval

UE84

Definición Depósito

Interpretación Nivel de abandono

Descripción Relleno del espacio cuadrangular

Período Romano/altomedieval

UE85

Definición Estructura

Interpretación Compartimentación del recinto 4

Descripción Alineación de piedras hincadas

Período Romano/altomedieval

UE86

Definición Zanja

Interpretación Zanja de la empalizada de la zona de acceso

Descripción Zanja de cierre (muro E)

Período Romano/altomedieval

UE87

Definición Depósito

Interpretación Nivel de incendio

Descripción Mancha de cenizas

Período Romano/altomedieval

UE88

Definición Depósito

Interpretación Nivel de incendio

Descripción Mancha de cenizas interior a UE90

Período Romano/altomedieval

UE89

Definición Depósito

Interpretación Nivel de incendio

Descripción Mancha de cenizas interior a UE90

Período Romano/altomedieval

UE90

Definición Estructura

Interpretación Muro de cierre del recinto 4

Descripción Estructura de piedra y argamasa

Período Romano/altomedieval

UE91

Definición Depósito

Interpretación Relleno de agujero de poste

Descripción Agujero anejo al cierre del murete E

Período Romano/altomedieval

UE92

Definición Depósito

Interpretación Relleno de agujero de poste

Descripción Agujero circular

Período Romano/altomedieval

UE93

Definición Zanja

Interpretación Zanja de la empalizada de la zona de acceso

Descripción Impronta alargada

Período Romano/altomedieval

UE94

Definición Zanja

Interpretación Caja del Muro S

Descripción Rebaje en la caja del Muro S

Período Romano/altomedieval

UE95

Definición Zanja

Interpretación Zanja de la empalizada interior

Descripción Zanja interior al recinto 4 (zona E)

Período Romano/altomedieval

UE96

Definición Zanja

Interpretación Zanja de la empalizada interior

Descripción Relleno de agujero de poste asociado a UE95

Período Romano/altomedieval

UE97

Definición Zanja

Interpretación Zanja de la empalizada interior

Descripción Zanja interior al recinto 4 (zona E)

Período Romano/altomedieval

UE98

Definición Fosa

Interpretación Posible fosa para basurero

Descripción Fosa W

Período Romano/altomedieval

UE99

Definición Depósito

Interpretación Nivel de incendio

Descripción Nivel de cenizas sobre la fosa W

Período Romano/altomedieval

UE100

Definición Zanja

Interpretación Zanja de la empalizada de la zona de acceso

Descripción Zanja alineada con el muro E

Período Romano/altomedieval

UE101

Definición Depósito

Interpretación Relleno de la zanja de la empalizada de la zona de acceso

Descripción Depósito longitudinal asociado a UE85

Período Romano/altomedieval

UE102

Definición Depósito

Interpretación Nivel de incendio

Descripción Revuelto de tierra clara y ceniza

Período Romano/altomedieval

UE103

Definición Depósito

Interpretación Relleno de agujero de poste de la empalizada de la zona de acceso

Descripción Relleno de agujero en la interrupción de UE35

Período Romano/altomedieval

UE104

Definición Estructura

Interpretación Muro de cierre del recinto 4 (zona W)

Descripción Alineación de sillares

Período Romano/altomedieval

UE105

Definición Estructura

Interpretación Pavimento

Descripción Pavimento del espacio rectangular

Período Romano/altomedieval

UE106

Definición Depósito

Interpretación Relleno de agujero de poste de la empalizada de la zona de acceso

Descripción Relleno de agujero anejo a la UE107

Período Romano/altomedieval

UE107

Definición Zanja

Interpretación Zanja de la empalizada de la zona de acceso

Descripción Zanja bajo UE87

Período Romano/altomedieval

UE108

Definición Zanja

Interpretación Zanja de la empalizada de la zona de acceso

Descripción Zanja bajo UE87

Período Romano/altomedieval

UE109

Definición Depósito

Interpretación Relleno de agujero de poste de la empalizada de la zona de acceso

Descripción Relleno de agujero entre la UE107 y UE108

Período Romano/altomedieval

UE110

Definición Depósito

Interpretación Relleno de agujero de poste de la empalizada de la zona de acceso

Descripción Relleno de agujero de gran tamaño en el extremo del murete E

Período Romano/altomedieval

UE111

Definición Depósito

Interpretación Relleno de agujero de poste de la empalizada de la zona de acceso

Descripción Relleno de agujero de poste calzado con piedras

Período Romano/altomedieval

UE112

Definición Estructura

Interpretación Canal de la empalizada de la zona de acceso

Descripción Canal compuesto de piedras y *tegulae*

Período Romano/altomedieval

UE113

Definición Depósito

Interpretación Relleno de agujero de poste de la empalizada de la zona de acceso

Descripción Relleno de agujero de poste alineado con el murete E

Período Romano/altomedieval

UE114

Definición Zanja

Interpretación Zanja de la empalizada de la zona de acceso

Descripción Zanja localizada en la interrupción de UE35

Período Romano/altomedieval

UE115

Definición Depósito

Interpretación Relleno de agujero de poste de la empalizada de la zona de acceso

Descripción Relleno de agujero de poste localizado en la interrupción W de UE35

Período Romano/altomedieval

UE116

Definición Zanja

Interpretación Zanja de la empalizada de la zona de acceso

Descripción Zanja con piedras localizada en la entrada W

Período Romano/altomedieval

UE117

Definición Depósito

Interpretación Relleno de agujero de poste de la empalizada de la zona de acceso

Descripción Relleno de agujero de poste con calzos contiguo a UE35

Período Romano/altomedieval

UE118

Definición Zanja

Interpretación Zanja de la empalizada de la zona de acceso

Descripción Zanja bajo UE90

Período Romano/altomedieval

UE119

Definición Depósito

Interpretación Nivel de incendio

Descripción Revuelto con cenizas bajo UE90

Período Romano/altomedieval

UE120

Definición Depósito

Interpretación Relleno de agujero de poste de la empalizada de la zona de acceso

Descripción Relleno de agujero de poste en la UE119

Período Romano/altomedieval

UE121

Definición Depósito

Interpretación Relleno de agujero de poste de la empalizada de la zona de acceso

Descripción Relleno de agujero de poste en la UE119

Período Romano/altomedieval

UE122

Definición Zanja

Interpretación Zanja de la empalizada de la zona de acceso

Descripción Zanja de canal paralelo a UE85

Período Romano/altomedieval

UE123

Definición Depósito

Interpretación Relleno de agujero de poste de la empalizada de la zona de acceso

Descripción Agujero de poste anejo a UE119

Período Romano/altomedieval

UE124

Definición Fosa

Interpretación Pequeña fosa posiblemente perteneciente a un basurero

Descripción Fosa de pequeñas dimensiones localizada en el perfil W

Período Romano/altomedieval

UE125

Definición Zanja

Interpretación Zanja de la empalizada de la zona de acceso

Descripción Zanja perteneciente a un canal con piedras

Período Romano/altomedieval

UE126

Definición Fosa

Interpretación Zanja de la empalizada de la zona de acceso

Descripción Hoyo anejo a la zanja UE125

Período Romano/altomedieval

UE127

Definición Depósito

Interpretación Relleno de agujero de poste de la empalizada de la zona de acceso

Descripción Agujero de poste anejo a la zanja UE107B

Período Romano/altomedieval

UE128

Definición Depósito

Interpretación Relleno de agujero de poste de la empalizada de la zona de acceso

Descripción Agujero de poste entre las zanjas UE107B y UE116

Período Romano/altomedieval

UE129

Definición Depósito

Interpretación Relleno de agujero de poste de la empalizada de la zona de acceso

Descripción Agujero de poste entre UE107B y UE127

Período Romano/altomedieval

UE130

Definición Depósito

Interpretación Relleno de agujero de poste de la empalizada de la zona de acceso

Descripción Agujero de poste en el esquinal de las zanjas

Período Romano/altomedieval

UE131

Definición Depósito

Interpretación Relleno de agujero de poste de la empalizada de la zona de acceso

Descripción Agujeros próximos al perfil W

Período Romano/altomedieval

UE132

Definición Fosa

Interpretación Empalizada de la zona de acceso

Descripción Fosa bajo UE90

Período Romano/altomedieval

UE133

Definición Fosa

Interpretación Fosa perteneciente posiblemente a un pequeño basurero

Descripción Fosa próxima al perfil W

Período Romano/altomedieval

UE134

Definición Depósito

Interpretación Relleno de agujero de poste de la empalizada de la zona de acceso

Descripción Agujero de poste en el esquinal de las zanjas

Período Romano/altomedieval

UE135

Definición Depósito

Interpretación Relleno de agujero de poste de la empalizada de la zona de acceso

Descripción Agujero de poste sobre UE80

Período Romano/altomedieval

UE136

Definición Zanja

Interpretación Zanja de la empalizada de la zona de acceso

Descripción Zanja en el perfil W

Período Romano/altomedieval

UE137

Definición Depósito

Interpretación Relleno de agujero de poste de la empalizada de la zona de acceso

Descripción Agujero de poste calzado con piedras

Período Romano/altomedieval

UE138

Definición Depósito

Interpretación Relleno de agujero de poste de la empalizada de la zona de acceso

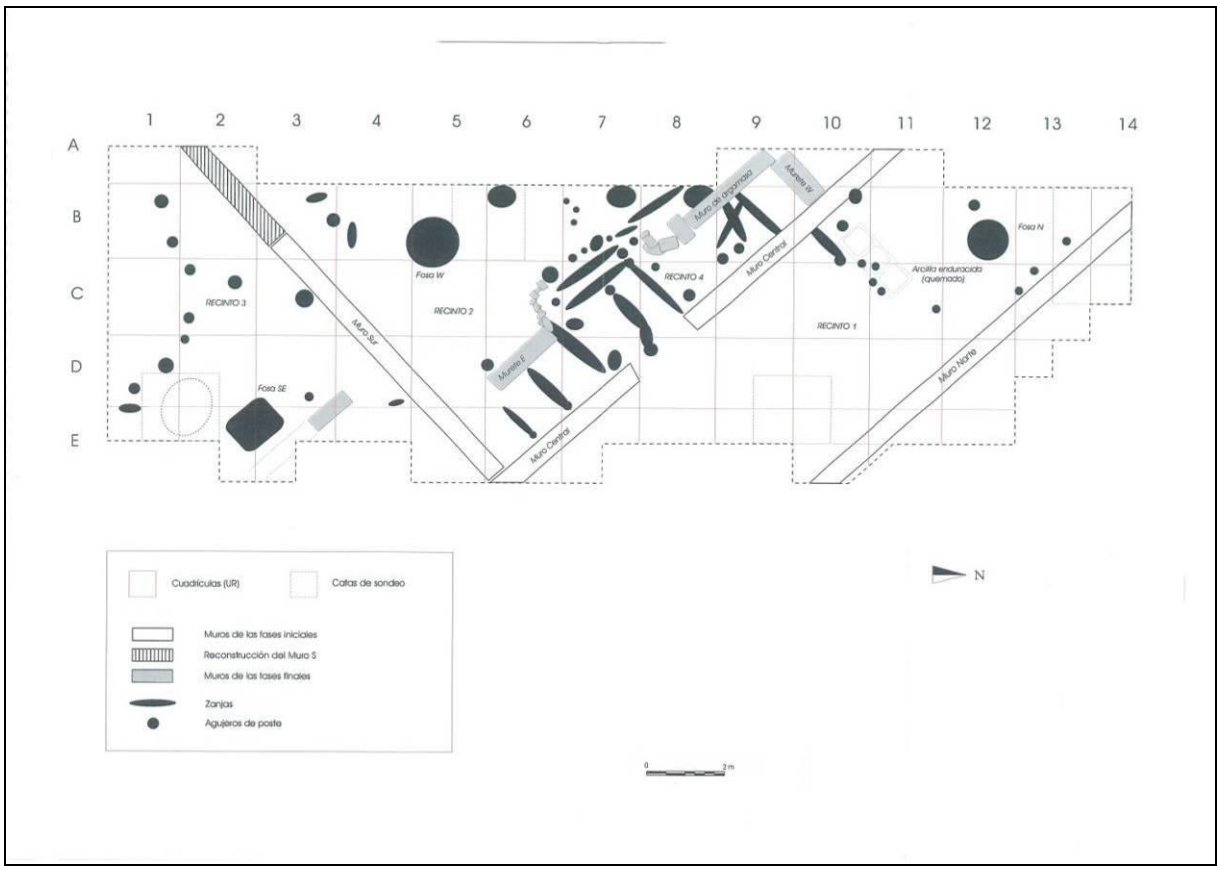
Descripción Agujero de poste calzado con piedras

Período Romano/altomedieval

RESTOS DOCUMENTADOS

Se localizaron varios grupos de estructuras notables que definían cuatro recintos principales, formados por muros, muretes, zanjas, agujeros de poste dispuestos en alineamiento y varias fosas.

Los muros localizados presentaban dimensiones regulares, con 50 cm de anchura media y trazado rectilíneo. La técnica utilizada es la mampostería sobre soporte granítico, similar a los localizados en la intervención realizada en el solar número 7.



Croquis de estructuras y negativas más significativas (PARGA CASTRO, 2001: Plano 5)

Con una orientación NE-SW fueron localizados dos muros paralelos, UE5 y UE35 (muro central), con las superficies externas irregulares. Ambos mostraban cierta inclinación hacia el S. El muro S presentaba una zapata de cimentación de pequeñas dimensiones, disponiéndose sobre el paleosuelo UE30. El muro central se dispone directamente sobre el nivel de arena rojiza con el fin de salvar el desnivel. Fue detectada una interrupción de 1,5 m, interpretado como entrada al denominado recinto 1, correspondiente a un espacio alargado de 5 m de anchura, careciendo de límites definidos hacia el E y W en el área excavada. Probablemente el muro N acotaría la superficie de actividad original, debido a que

al N del recinto 1 fue identificado un relleno de tierra pardo-clara, estéril en materiales y estructuras, identificado como un relleno de nivelación (PARGA CASTRO, 2001: 16).

Al S de la zona excavada fue identificado otro muro de similares características a los descritos, si bien de mejor factura. Presenta una orientación NE-SW, perpendicular a los anteriores, adosándose al muro central (UE35). Se aprecia una reconstrucción en su mitad W, debido al ensanchamiento de la caja de cimentación y peor acabado. Esta estructura divide dos espacios denominados recinto 2 y recinto 3, cuyos límites E y W no fueron determinados (PARGA CASTRO, 2001: 16-17).

La localización de materiales de alfarero en los tres recintos, probablemente conexos a las estructuras localizadas en el solar número 7, indicaría su pertenencia al complejo alfarero detectado en esa zona. La no localización de suelos podría indicar un desmantelamiento de los mismos, posiblemente disponiéndose originalmente, a una cota superior.

Asimismo fueron documentados varios muretes o muros de pequeña entidad caracterizados por poseer unas técnicas constructivas toscas, reutilizando piezas elementos constructivos pertenecientes a estructuras de un momento anterior –entre los que se hayan basas y fustes y piezas trabajadas dispuestas aleatoriamente-. Presentan calzos compuestos por material de construcción latericio sin cimentación aparente, apareciendo asociadas a diferentes niveles de suelo.



Vista general del solar desde el SE (PARGA CASTRO, 2001; Fotografía 1)



Estructuras localizadas desde el N (PARGA CASTRO, 2001: Fotografía 2)

Principalmente se concentran en el recinto 2, alineados al muro central, delimitando el denominado recito 4. Dicha área, presenta planta rectangular de 1, 5 m de ancho y 10 m de longitud, que a su vez divide tres espacios internos. El espacio situado al E aparece delimitado por el murete E, conformando un espacio de 1,5 por 3 m y una interrupción de 1 m, interpretado como acceso. En la zona W se aparece delimitado por un muro de argamasa y el murete W, definiendo una zona de 4 m de longitud. En la zona central formaría un espacio de 3 m de lado, en línea con la interrupción del acceso del muro central (PARGA CASTRO, 2001: 17-18).



Vista en altura desde el W de las estructuras que delimitan los recintos 1, 2 y 4 (PARGA CASTRO, 2001: Fotografía 3)

Asociados a estos recintos se localizan niveles de suelo internos y externos formados por argamasa, arena blanca o arena rojiza endurecida.

Estos elementos se relacionan con una zona de actividad posterior al uso del alfar, dentro de la fase tardía.

Fueron localizados diferentes elementos interfaciales, destacando un gran número de zanjas en el recinto 4. La componen zanjas rectas de entre 25 y 40 cm de anchura y longitud inferior a los 2 y 2,5 m. Presentaban una orientación perpendicular a los muros en la parte E, conformando una compartimentación triple del espacio. Asimismo, la zona central se encuentra delimitada por zanjas perimetrales que básicamente concuerdan con la superficie abierta en el muro central, perpendicularmente al mismo. Al S se delimita la zona con dos zanjas inmediatas paralelas a los muretes (PARGA CASTRO, 2001: 18-19).



Estado final desde el W de las estructuras que delimitan los recintos 1, 2 y 4
(PARGA CASTRO, 2001: Fotografía 4)

En la zona W también fueron localizadas varias zanjas cruzadas, fuera y dentro del ámbito del recinto 4. Su cronología es anterior a la de la construcción de los muros, al disponerse bajo los mismos (PARGA CASTRO, 2001: 19).

Los depósitos que contenían las zanjas presentaron calzos con material latericio y piedras, así como agujeros de poste excavados sobre las mismas. Se tratarían de zanjas constructivas para empalizadas o paredes de estancias construidas con materiales perecederos.



Vista en altura desde el E de las estructuras que delimitan los recintos 1, 2 y 4 (PARGA CASTRO, 2001: Fotografía 5)



Vista en altura desde el W del muro S y recinto 3 (PARGA CASTRO, 2001: Fotografía 6)



Elementos del recinto 1 con la estructura de arcilla endurecida (UE33), agujeros de poste y depósito con material de construcción (PARGA CASTRO, 2001: Fotografía 7)



Detalle del recinto 1 con la gran fosa circular (UE71) localizada bajo el depósito UE8 y agujeros delimitando un espacio perimetral (PARGA CASTRO, 2001: Fotografía 8)

Además de las zanjas, fueron registrados numerosos elementos interfaciales correspondientes a agujeros de postes, buena parte de ellos formando alineaciones. Presentaban forma circular principalmente, con unas dimensiones entre los 20 y 40 cm de diámetro.

Varios de ellos se encontraban aislados, si bien relacionados con estructuras murarias, como en el caso del murete E y asociados a la interrupción del muro central, donde podrían formar parte de estructuras verticales en las zonas de acceso. En el denominado recinto 4 se concentraban numerosos agujeros que, por su disposición, estarían probablemente relacionados con función sustentante de estructuras asociadas a zanjas y muretes de la zona central (PARGA CASTRO, 2001: 19).

Una serie de agujeros localizados en el recinto 3 describen un semicírculo. En la zona NW del recinto 1 describen un semicírculo relacionados con un agujero central y asociados a un pavimento con una zona de combustión rectangular, con arcilla refractada, carbones y cenizas. Probablemente se correspondan con grandes estancias de madera de planta circular y cronológicamente pertenecientes al último nivel tardío, ya que estratigráficamente se superponen a las estructuras preexistentes (PARGA CASTRO, 2001: 20).



Vista general desde el W del recinto 4, conformando un espacio estrecho y alargado (PARGA CASTRO, 2001: Fotografía 9)



Zona E del recinto 4 con interrupción y adosamiento del muro S y central (PARGA CASTRO, 2001: Fotografía 10)



Zona E del recinto 4 desde el W, donde se aprecia el derrumbe (UE12) en su interior y el suelo de arena (UE36) (PARGA CASTRO, 2001: Fotografía 11)



Zona E del recinto 4 desde el W, una vez retirado el derrumbe (UE12). Fueron localizadas tres zanjas que compartimentaban el espacio rectangular (PARGA CASTRO, 2001: Fotografía 12)



Detalle de estructuras delimitando el recinto 4 en su parte occidental y derrumbe de material de construcción sobre el pavimento (PARGA CASTRO, 2001: Fotografía 13)



Detalle del proceso de excavación del recinto 4 en su zona W. Tras la retirada del derrumbe se localizó un canal seccionado (PARGA CASTRO, 2001: Fotografía 14)



Detalle del proceso de excavación del recinto 4 en su zona W, donde fueron localizados agujeros de postes y varias zanjas (PARGA CASTRO, 2001: Fotografía 15)



Vista general de la zona de interrupción del muro central (UE35) con el nivel de cenizas sobre el que se localizan los derrumbes (PARGA CASTRO, 2001: Fotografía 16)



Detalle de la zona de interrupción del muro central (PARGA CASTRO, 2001: Fotografía 17)

Entre las fosas detectadas, destaca una fosa localizada en el recinto 3 denominada fosa SE. Presentaba forma rectangular, con unas dimensiones de 1,3 por 1 m, orientada perpendicularmente al muro S. En sus paredes y base se disponía una estructura compuesta por *tegulae* dobles, cubiertas por un depósito arenoso con material arqueológico fragmentado *in situ*. Sobre éste se disponía un nivel compuesto por piedras de granito de tamaño considerable, probablemnte pertenecientes a algún muro próximo. La fosa aparecía sellada por un nivel de carbonización y arcilla refractada. La tipología y elementos que conforman esta estructura, permiten su atribución a una fosa de enterramiento (PARGA CASTRO, 2001: 20).



Elementos estratigráficos negativos que delimitan el área del vestíbulo del recinto 4 en el estado final de la excavación (PARGA CASTRO, 2001: Fotografía 18)

Fue identificada otra fosa en el recinto 2, denominada fosa W. Presentaba forma circular y 1 m de diámetro, con paredes cóncavas, estando asociada a un canal. Entre sus depósitos alternaban limo y arena, manifestando humedad constante (PARGA CASTRO, 2001: 20). Fue localizado en el interior abundante material arqueológico fragmentado por lo que en el momento de su amortización podría haberse convertido en un basurero, si bien originalmente estaría relacionada con la acumulación de agua.



Detalle de la fosa SE (UE60), localizada en el recinto 3, con sus paredes y base forradas de *tegulae* (PARGA CASTRO, 2001: Fotografía 19)



Detalle de la fosa W (UE98) localizada en el recinto 2, con un canal conectado hacia el N (PARGA CASTRO, 2001: Fotografía 20)

En el recinto 1 fue detectada otra fosa, denominada fosa N, en el espacio delimitado por la alineación de agujeros de poste. Aparecía sellada por un depósito con material de construcción (UE8), paralelo al muro N. Presentaba forma circular con 1 m de diámetro aproximado. Aparecía colmatada por niveles alternos de tierra oscura y arcilla con escaso material arqueológico. Estratigráficamente se relaciona con un momento anterior al último nivel de ocupación (PARGA CASTRO, 2001: 21).



Detalle de la UE33 compuesta por arcilla refractada y restos carbonizados, dispuesta de forma perpendicular a los muros que delimitan el recinto 1 (PARGA CASTRO, 2001: Fotografía 21)



Bajo la UE33 fueron documentadas varias fosas (PARGA CASTRO, 2001: Fotografía 22)



Cara S del muro N (UE4), perfectamente careada (PARGA CASTRO, 2001: Fotografía 23)



Detalle de una zanja en la que se aprecian los calzos de piedra, que delimitan los agujeros de poste de la empalizada (PARGA CASTRO, 2001: Fotografía 24)

3.2.3.4. FASES DOCUMENTADAS E INTERPRETACIÓN

Los datos presentados por el director de la intervención, señalan cierta densidad de estructuras arqueológicas que muestran diferentes momentos constructivos (PARGA CASTRO, 2001: 30).



Estratigrafía del perfil W con las diferentes líneas de suelo asociadas al recinto 4, delimitadas por el muro central (PARGA CASTRO, 2001: Fotografía 25)

El primer momento correspondería al proceso de asentamiento romano de Bueu en el alto Imperio con la creación de una aérea portuaria y comercial. Los muros de esta primera fase se encuentran bien asentados, con factura cuidada, dividiendo la zona ortogonalmente en tres grandes espacios denominados recintos 1, 2 y 3 (PARGA CASTRO, 2001: 32). En este momento se incluye la actividad alfarera, correspondiente a la denominada Fase 3 de la intervención realizada en el solar número 7. El uso del lugar estaría relacionado con un contexto productivo.

El segundo momento estaría caracterizado por una reconstrucción de las estructuras preexistentes, en las que se evidencia un empobrecimiento de las técnicas y materiales constructivos. Esta fase se relacionaría con un momento tardío dentro del bajo Imperio (PARGA CASTRO, 2001: 32).



Estructuras y fosas próximas al perfil W (PARGA CASTRO, 2001: Fotografía 26)



Zanjas de empalizada en la zona W del recinto 4 (PARGA CASTRO, 2001: Fotografía 27)



Detalle del muro S (UE11) en el que se aprecian las fases constructivas (PARGA CASTRO, 2001: Fotografía 28)



Agujero excavado en el lado S de la caja del muro S (PARGA CASTRO, 2001: Fotografía 29)



Alineación de agujeros de poste cortando el muro N y molino circular sobre un nivel de cenizas (PARGA CASTRO, 2001: Fotografía 30)

La tercera fase estaría definida por la pérdida de funcionalidad de las estructuras originales, a las que se adosan elementos reutilizados, como el denominado recinto 4 y por la construcción de estructuras de madera, probablemente circulares, de gran tamaño. Esta fase de empobrecimiento constructivo, se relaciona con el cambio cultural que supone la desintegración definitiva del Imperio y el inicio de la alta edad media (PARGA CASTRO, 2001: 32-33), documentada en otros yacimientos con contextos tardíos en el NW peninsular.

El último momento se relaciona con fases históricas avanzadas, como evidencia el nivel de revuelto ocasionado por la remoción de restos, y el aporte de tierras para la construcción de un aterrazamiento (PARGA CASTRO, 2001: 21).



Plato de torno localizado al pie de la UE11 (PARGA CASTRO, 2001: Fotografía 31)



Jarra engobada *in situ* (PARGA CASTRO, 2001: Fotografía 32)



Olla *in situ* (PARGA CASTRO, 2001: Fotografía 33)



Cerámica bajo del derrumbe UE12 (PARGA CASTRO, 2001: Fotografía 34)



Late roman amphora (PARGA CASTRO, 2001: Fotografía 35)



Basa y arranque de fuste de columna reutilizada en un muro tardío (PARGA CASTRO, 2001: Fotografía 36)



Vista general de la intervención desde el S (PARGA CASTRO, 2001)

3.3. LA *TERRA SIGILLATA* DE BUEU

3.3.1. *TERRA SIGILLATA* HISPÁNICA ALTOIMPERIAL

La TSH fue confundida durante años con los modelos itálicos y gálicos. En 1912, con el viaje de Oxé a la península, se sugiere por primera vez la posibilidad de fabricación de *terra sigillata* dentro de la *Hispania* romana, concretamente en *Tritium Magallum*, a finales del siglo I. Mélida indagó en estas hipótesis, viendo en Numancia vasos sobre los que plantea una atribución a alafres hispánicos. La prueba evidente la dará Serra Villaró en 1924 con el hallazgo de moldes y hornos en Abella y Solsona (Lleida). Pese a estos avances, se sigue sin identificar de manera precisa la *terra sigillata* hispánica. Será en 1940 cuando Comfort establezca unos criterios diferenciadores asumidos por buena parte de la comunidad científica del momento.

En la década de los años cincuenta se publican algunas colecciones. Las de los museos de Barcelona y de Baltimore serán dadas a conocer por el profesor Balil, las del norte de Portugal por A. Moutinho, la *sigillata* tardía por Rusell Cortez, los materiales de Iruña por G. Nieto, *Uxama* y Santerbás del Burgo por T. Ortego y Liédena, Andión y Pamplona por Mezquíriz. Asimismo comienzan a ser conocidas las primeras listas de alfareros, especialmente las proporcionadas por investigadores portugueses como Bairrao alfarero y Nunes Riveiro. Ventura Solsona publicará las marcas del *Museo de Tarragona*.

El descubrimiento del taller de Bronchales por parte de P. Atrián será primordial en el avance del conocimiento acerca de la producción hispana. El material será cuantioso y la ausencia de la Forma 29 decorada permitirá situar el arranque de este alfar hacia el año 70 d.C., situándose la fecha de clausura a mediados del siglo II. En estos momentos se poseen además los datos proporcionados por el *decumanus* de Ampurias y por la excavación del *Arcedianato de la Catedral de Pamplona*.

Con estas bases cronológicas, y con la revisión de los materiales de numerosos museos estatales, se publica la obra de Mezquíriz en el año 1961. En ella se establecen criterios de clasificación, ofreciendo series tipológicas, listas de alfareros y e propuestas cronológicas.

En la década de los años sesenta se publican asimismo otros trabajos monográficos. Será a partir de los setenta cuando se sumen los estudios de una nueva generación de arqueólogos que centran su atención en las posibilidades de la TSH. Se deben destacar ciertos trabajos a partir de estas fechas acerca de la TSHT, producción menos investigada, motivo por el cual adquiere especial interés.

En los años ochenta será completada y matizada la información obtenida en la anterior década. Las líneas de investigación serán ampliadas de manera extraordinaria. El resultado más tangible lo proporcionará la celebración de la mesa redonda celebrada en el *Museo Arqueológico Nacional* de Madrid en mayo de 1982 (SOTOMAYOR MURO, 1983) con el fin de abordar el estado de la cuestión y establecer una serie de criterios de atribución y clasificación que serán asumidos de por la comunidad científica. Un año después se publica la consistente monografía de F. Mayet (MAYET, 1984) en la que se actualizan, si bien en algunos aspectos de manera parcial, los datos sobre las producciones de TSH altoimperial y tardía[11]. De carácter similar será el estudio general realizado por esas épocas por Mezquíriz (MEZQUÍRIZ, 1985) en el que, pese al intento integrador, se exponen ciertos aspectos de una manera ambigua[12].

La década de los noventa propició la divulgación de trabajos que pretendieron darle un sentido a la publicación de los datos extraídos de las intervenciones arqueológicas. La contextualización de estos materiales permitió reconsiderar las implicaciones económicas que se produjeron con la comercialización. Serán varias las monografías publicadas para yacimientos de la Península Ibérica. Como obra conocida de referencia se señala el manual de Beltrán (BELTRÁN LLORIS, 1990) en el que se tocan todas las producciones cerámicas romanas localizadas en la península. Aunque no resulte ser un trabajo totalmente inédito (BELTRÁN LLORIS, 1978), si lo serán ciertos aspectos, abarcando más que la necesaria actualización de datos.

En lo referente al estado de la cuestión, resulta imprescindible la obra colectiva editada por Fernández García (FERNÁNDEZ GARCÍA (Ed.), 1998), en la que se recogen las ponencias presentadas en el *I Curso de Arqueología* y en la que, bajo el título de *Terra Sigillata Hispánica: Estado actual de la investigación*, son revisados los datos acerca de la TSH en la península, centrándose sobre todo en el centro productor de Andújar.

---

[11] Con la publicación en 1984 de la obra de Mayet, será renovado el estado de la cuestión con la referencia a una cantidad importante de material procedente de diferentes yacimientos. Entre las propuestas hechas para los materiales tardíos, se mantiene la presentada para *Conimbriga* (DELGADO *et al.*, 1975) en la que se diferenciaban dos estilos decorativos correspondientes a fases distintas y que fue seguido en posteriores estudios. No tuvo el mismo éxito la tabla tipológica continuadora de la propuesta por Delgado, probablemente por la ausencia de una delimitación formal clara.

[12] La autora mezcla inexplicablemente formas altoimperiales con las tardías siguiendo un orden numérico correlativo. Este hecho puede dar pie a considerar una evolución lógica de los tipos, circunstancia que realmente no sucedió. Otro factor que aumenta la confusión resulta del cambio de numeración que se realiza en algunas formas y la no inclusión de otras conocidas hasta la fecha.

La última sistematización realizada corresponde a la Mesa Redonda celebrada en Andújar (ROCA ROUMENS, FERNÁNDEZ GARCÍA (Coords.); 1999), siguiendo los parámetros de clasificación integradora propuestos anteriormente en el Boletín del M.A.N. El cuadro cronológico queda circunscrito a los siglos I-III, manteniéndose la tipología de 1983 y ampliándose el abanico formal.

En el año 2005 sale a la luz otro manual con un marcado carácter divulgativo, referido a las diferentes producciones de cerámica romana. La obra aparece coordinada por las mismas especialistas (ROCA ROUMENS, FERNÁNDEZ GARCÍA (Coords.); 2005).

La TSH surge de esta manera en la *Hispania*, localizándose varios centros de fabricación y relacionada directamente con la expansión del consumo en el conjunto peninsular, a partir del siglo I d.C. Los orígenes de la fabricación deberán ser relacionados con la influencia directa de otros centros del mundo romano, imitando las producciones semejantes de Italia y de la *Gallia* en el altoimperio y con la relevancia de las *sigillatae* africanas, foceas y gálicas tardías, para las épocas bajo y tardorromanas.

En el área noroccidental se localizan hallazgos de TSH dispersos por todo el territorio (CÉSAR VILA; LÓPEZ PÉREZ, 2008: Fig. 2, LÓPEZ PÉREZ, 2004; NAVEIRO LÓPEZ, 1991: 32-43; Figs. 5-6; Mapa 7), siendo la costa de las Rías Baixas y el S interior, importantes zonas de concentración de materiales.

3.3.1.1. FORMAS DECORADAS

3.3.1.1.1. FORMA 37

El prototipo de esta forma es gálico de época neroniana, perdurando durante todo el siglo II. Es la forma típica de los alfares del centro y este de la *Gallia*. Tipológicamente posee la pared gruesa, perfil completamente curvo, pie muy bajo y un borde con dos variantes: labio simple o de sección circular (a) y labio almendrado o engrosado (b). Este segundo borde lleva pareja una decoración más minuciosa y cuidada que la Forma 37a, incluyendo el burilado en el borde (LUEZAS PASCUAL; SÁENZ PRECIADO, 1989: 63).

Los vasos de esta forma se fabricaron en todos los centros cerámicos que se tienen documentado en la zona riojana. Es la forma más abundante debido no sólo a su amplia fabricación por parte de todos los talleres, sino también por su larga perduración en el tiempo, que abarca desde el último tercio del siglo I d.C., hasta el abandono de la producción de la *sigillata* hispánica. La masiva producción de cerámica desde finales del siglo I hasta el siglo III en los alfares riojanos incide en la superabundancia de este tipo que

es lo más común por su funcionalidad pese a la fabricación coetánea de otros recipientes (SOLOVERA SAN JUAN, 1987: 97).

Fueron contabilizados cinco ejemplares de esta forma en Bueu, todos correspondientes al borde y parte superior del cuerpo. Son los únicos fragmentos de TSH decorada de Bueu que pueden ser incluidos con seguridad en el catálogo formal. La ausencia de otras formas decoradas, pese a lo exiguo de la muestra, permite corroborar el claro predominio de la Forma 37 sobre el resto de las formas decoradas (ROMERO CARNICERO, 1985: 158). Tipológicamente presentan labio simple o de sección circular, correspondiente a la variante (a).

Pese a la fragmentación y mala conservación de algunos ejemplares, se diferencia claramente un estilo decorativo característico de la producción de la Forma 37 hispánica, especialmente a partir del siglo II d.C., como son los motivos circulares (GARABITO GÓMEZ, 1978: 46) (núms. 3-5). Dentro de esta modalidad decorativa, Garabito distingue tres fases según el cambio en la utilización de motivos. Los fragmentos presentes en Bueu se corresponden con la última etapa de las tres, caracterizada por la utilización sólo de motivos circulares, casi siempre concéntricos, con lo que la decoración pierde vistosidad y belleza, con el fin de facilitar una mayor producción (GARABITO GÓMEZ, 1978: 46). La decoración de círculos está presente en la Forma 37 desde su inicio, a partir del segundo cuarto del siglo II, para hacerse paulatinamente más frecuente y dominar claramente sobre los conjuntos metopados a la mitad del mismo, primero constituyéndose como estilo de ornamentar preferente, hasta llegar a ser exclusivo. Como tal, se mantiene a lo largo de todo el siglo III. En un primer momento, los círculos adoptarían habitualmente el aspecto de medallones y se irían acompañando de punzones figurados o vegetales y que poco a poco se desharían de estos para adoptar un ritmo de alternancia con elementos verticales más o menos geométricos y presentarse finalmente bajo la forma de simple yuxtaposición repetitiva. El proceso no debió ser tan lineal y de hecho son bastantes los vasos que lo demuestran (ROMERO CARNICERO, 1985: 168).

Se atribuye al complejo cerámico riojano la procedencia de estos ejemplares. En el estado actual de las investigaciones, solamente se ha podido corroborar la llegada a la *Gallaecia* romana de productos de la zona tritiense. Asimismo, la avanzada cronología de los escasos motivos decorativos documentados, indica una fabricación tardía en el que muchos otros centros alfareros se encuentran desmantelados, sin que se pueda concretar el taller de origen.

Esta forma se distribuye desde el valle del Najerilla de forma masiva a toda la península y

exterior a través del tráfico marítimo, siendo bastante amplia la lista de centros receptores. Entre los ceramistas que fabricaron esta forma se citan a continuación algunos de los más representativos: *SEVERVS*, *QVINTVS*, *LUCIVS MARCVS*, *SEMPRONIVS* (SOLOVERA SAN JUAN, 1987: 109), *A[-] ITT[-]*, *ANNIVS, ANNIVS MARTIALIS*, *[-] BO[-]*, *E[-] M[-]*, *FLAVIVS* o *FLAVVS*, *LVCIVS IVNIVS*, LVTEVS, *MANLIVS MATERNVS TRITIENSIS*, *MATERNVS TRITIENSIS*, *MATERNVS V[-]IVLI*, *MICCIO*, *PATRICIVS AEMILIANVS*, *SEGIVS TRITIENSIS*, *TANVS?*, *TITVS♥ SAGENVS♥*, *TITVS SEMPRONIVS*, *T[-] VS[-]*, *VALERIVS PATERNVS*, *VLLO* e *V[-] PI[-]* (SÁENZ PRECIADO; SÁENZ PRECIADO, 1999: 90-91, 94, 99, 101, 108, 110-112, 118, 123, 127-129, 132-134).

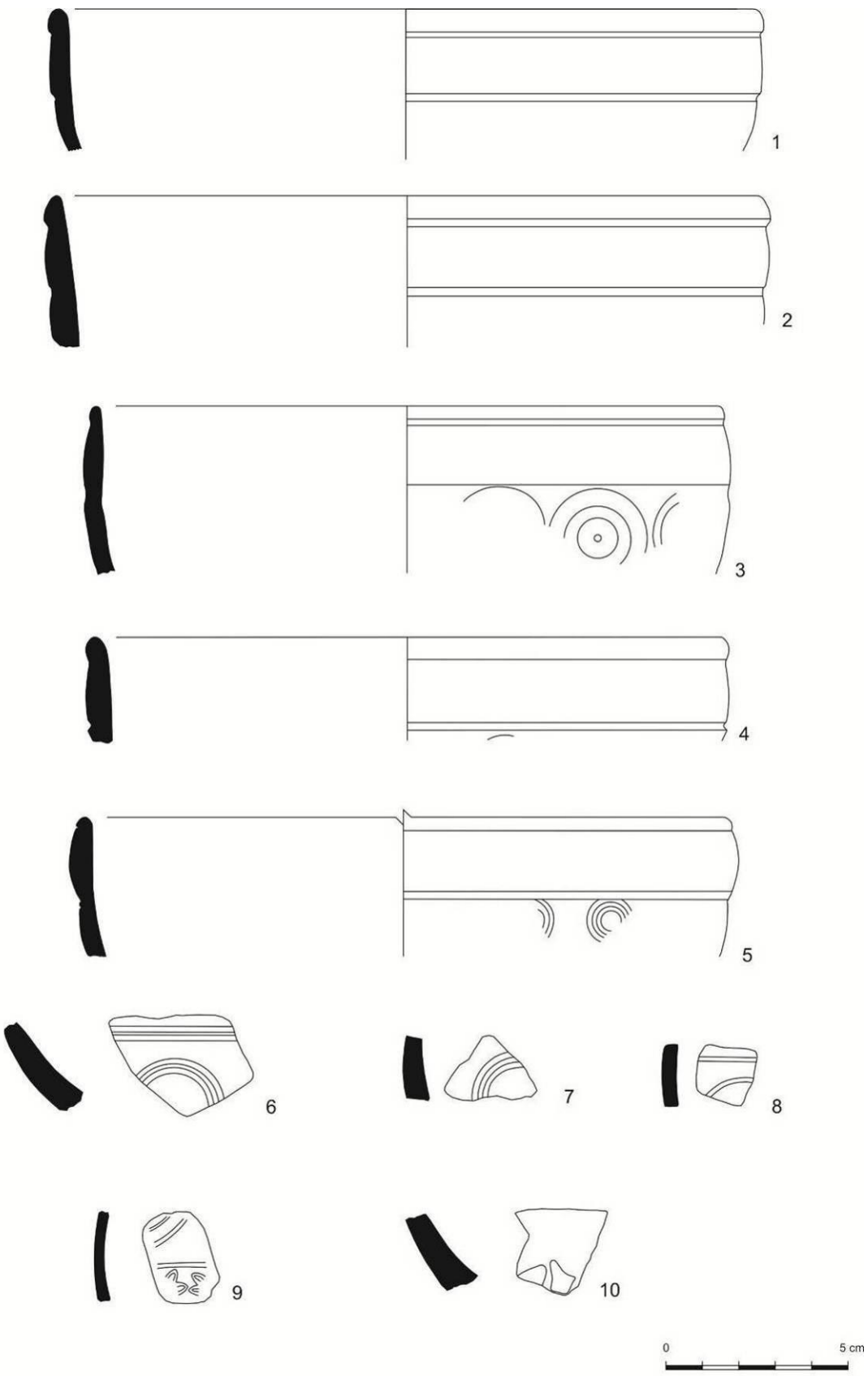
1. Tres fragmentos muy rodados de borde y cuerpo de Forma 37. Pasta tierra siena verde (M 35) y engobe rojo inglés claro (N 19). Diám.: 19 cm. Dim.: 4,0x6,0x5,5 cm. Sigla: MR4/01 TS39. Cuadro E5 – UE 61.

2. Fragmento de borde y cuerpo de Forma 37. No conserva restos de decoración debido al deterioro de la pieza, aunque se intuye un círculo debido a la leve sobreelevación del perfil bajo la acanaladura inferior. Pasta tierra siena tostada (M 37) y engobe rojo inglés (P 19). Diám.: 19,2 cm. Dim.: 4,0x5,1x0,7 cm. Sigla: MR6-12/00 TS01. Cuadro 9A. Nivel 1.

3. Fragmento de borde y cuerpo de Forma 37. Presenta friso de círculos concéntricos muy desconchados debido al rodaje de la pieza. Pasta rosa (L 25) y engobe rojo inglés (R 20). Diám.: 17,5 cm. Dim.: 4,5x7,6x0,5 cm. Sigla: MR7/00-1035-1. Pileta 4. UE 1035.

4. Fragmento de borde y cuerpo de Forma 37. En el friso superior, casi totalmente fragmentado, parece contener la banda exterior de un posible círculo. Pasta tierra siena natural clara (N 37) y engobe rojo inglés (P 19). Diám.: 17 cm. Dim.: 2,8x6,0x0,7 cm. Sigla: MR6-12/00 TS03. Cuadro 12E. Nivel 1.

5. Fragmento de borde y cuerpo de Forma 37. En el friso superior presenta serie de círculos concéntricos de perfil liso. Pasta tierra siena tostada (M 37) y engobe rojo inglés (R 19). Dim.: 3,6x3,3x0,6 cm. Sigla: MR6-12/00 TS02. Cuadro 10C. Nivel 1.



TSH. Forma 37 (1-5). Piezas de atribución indeterminada (6-10)

3.3.1.1.2. PIEZAS DE ATRIBUCIÓN DUDOSA O INDETERMINADA DE TSH DECORADA

En este apartado se incluyen cinco fragmentos de forma dudosa o indeterminada de TSH decorada. Corresponden en su totalidad al cuerpo de la pieza. La curvatura de algunos ejemplares, junto a la utilización de decoración de círculos -de cronología avanzada-, podría indicar la pertenencia a la Forma 37. Sin embargo, aún siendo el cuerpo una zona del perfil bastante definida a la hora de distinguir tipos, lo exiguo de los fragmentos impide una atribución tipológica segura.

En lo tocante a la decoración, el estilo más frecuente lo componen los esquemas compuestos por círculos (núms. 6-9) que en algún caso aparecen combinados con otros punzones propios de etapas avanzadas como las rosetas (núm. 9). Los círculos constituyen un elemento decorativo fundamental en la Forma 37, los cuales se presentan bajo todas las modalidades y combinaciones posibles, conteniendo motivos figurados, vegetales, geométricos, etc.

Diferente motivo muestra la pieza número 10 en la que, pese a la deficiente conservación, se distingue una hoja triangular. Este elemento, de clara influencia sudgálica, se encuentra en Tricio en una Forma 30 (GARABITO GÓMEZ, 1978: 355; Fig. 85, núm. 84), en Numancia en una forma 29 o 29/37 (ROMERO CARNICERO, 1985: 94;Fig. 26, núm. 242) y en una pieza indeterminada (ROMERO CARNICERO, 1985: 171; Fig. 66, núm. 658).

En lo relativo a la cronología, teniendo en cuenta las limitaciones de un material conservado muy deficientemente, conviene remitirse a las consideraciones extraídas en el anterior apartado en lo que se refiere a la decoración de círculos. El motivo vegetal, de influencia gálica, podría llevar a las primeras etapas de fabricación de la TSH. Aún así, la perduración del motivo en el tiempo y lo testimonial del fragmento, impiden en este sentido cualquier aproximación cronológica fiable.

Al igual que el material anterior, puede adscribirse esta muestra al centro productivo riojano.

6. Fragmento de cuerpo de posible Forma 37 muy rodado. Como motivo decorativo presenta dos círculos concéntricos de perfil liso, bajo dos líneas horizontales, también lisas. Pasta tierra siena tostada (M 39) y engobe rojo inglés (P 19). Dim.: 2,7x3,8x0,7 cm. Sigla: MR6-12/00 TS04. Cuadro 11B. Nivel 1.

7. Fragmento de cuerpo bastante rodado, con decoración de círculos concéntricos lisos. Pasta tierra siena tostada (M 37) y engobe rojo inglés (R 19). Dim.: 1,8x2,5x0,7 cm. Sigla:

MR6-12/00 TS06. Cuadro 11B - Nivel 1.

8. Pequeño fragmento de cuerpo muy rodado y con gran cantidad de impurezas incrustadas. Decoración con posible línea ondulada rectangular y probable círculo no liso. Podría presentar decoración metopada con círculos en el interior. Pasta tierra siena tostada (M 39) y engobe rojo inglés (P 19). Dim.: 1,5x1,5x0,4 cm. Sigla: MR6-12/00 TS07. Cuadro 11B - Nivel 1.

9. Fragmento de cuerpo de forma indeterminada. Presenta dos frisos separados por línea lisa. El inferior muestra dos rosetas bajo otro compuesto por dos círculos concéntricos lisos. Pasta rosa (L 25) y engobe rojo inglés (R 20). Dim.: 2,5x1,8x0,3 cm. Sigla: MR7/00-3002-2. Sala B. Cara exterior. UE 3002.

10. Dos pequeños fragmentos de cuerpo. Presentan motivo decorativo compuesto por una hoja triangular. Pasta tierra siena tostada (M 37) y engobe tierra siena tostada (P 39). Dim.: 2,2x2,4x0,8 cm. Sigla: MR6-12/00 TS05. Cuadro 11B. Nivel 1.

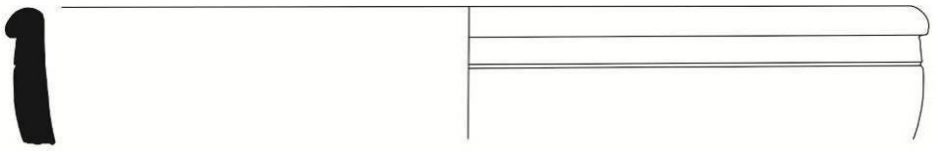
3.3.1.2. FORMAS LISAS

3.3.1.2.1. FORMA 8

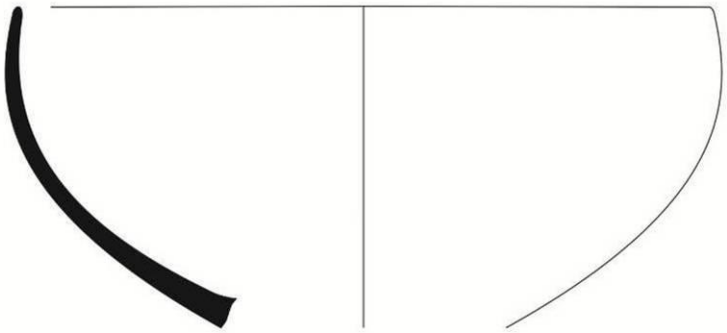
Este cuenco se caracteriza por tener un cuerpo liso, a veces con ligeras líneas incisas. El borde es perpendicular o vuelto hacia el interior, aunque a veces posee un pequeño labio. El pie es de sección triangular y generalmente lleva la típica moldura exterior de los talleres del norte peninsular (MEZQUÍRIZ, 1961, T.I: 52-53).

Recuerda tipos bastante antiguos de la Galia aunque en última instancia su prototipo es aretino. Sus precedentes hay que situarlos en la producción de vasos metálicos y sin engobe de época de Augusto. Se fabrica durante bastante tiempo comenzando a mediados del siglo I d. C. y perdurando hasta el siglo IV (LUEZAS PASCUAL; SÁENZ PRECIADO, 1989: 33).

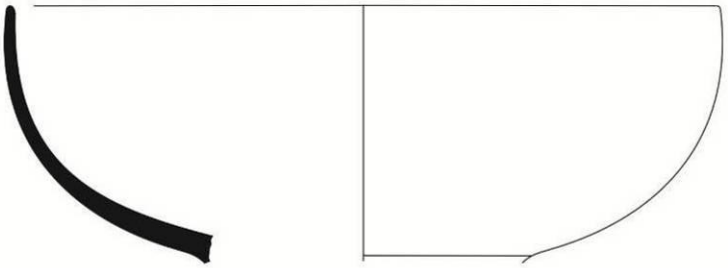
El borde es perpendicular y normalmente el labio se presenta destacado por un engrosamiento hacia el exterior. Cuando es así, resulta habitual que muestre una línea incisa en la parte exterior del cuerpo. En los alfares riojanos se documentan variantes de esta forma que establecen cronologías diferentes en cuanto a la ausencia o no del pie (SOLOVERA SAN JUAN, 1987: 109).



11



12)



13



14



TSH. Forma 8

Este recipiente se encuentra en numerosos yacimientos romanos puesto que fue uno de los más ampliamente producidos y comercializados, sin duda debido a su sencillez estructural. A causa de su aceptación por el público hará que sea una de las formas que más perdure. Se encuentra documentado en Aljustrel, Almedinilla, Ampurias, Astorga, *Banasa*, Barcelona, Beja, Cacabelos, Calahorra, Castejón, *Conimbriga*, Corella, Ezcaba, Funes, Irún, Iruña, *Italica*, *Iuliobriga*, Libia, Liédena, Liria, *Lixus*, Mabla, Mallén, Mérida, Numancia, Osuna, Pedrosa de la Vega, *Pompaelo*, Sahagún, *Sala*, Sangüesa, Santa Coloma de Somoza, Sos del Rey Católico, Soto de Ramalete, Tarragona, Valencia, *Valeria*, Valladolid, Varea, Vila Viçosa, Villafranca de los Barros, Villalpando, *Viminacium*, *Volubilis* e Zaragoza (SOLOVERA SAN JUAN, 1987: 109). En el área galaica se tiene documentado en Vigo, Viladonga, Castelo de Valencia do Sil, Valdeorras, *Brigantium*, Cidadela y en la Catedral de Santiago (LÓPEZ PÉREZ, 2004: 179). Son pocos los alfareros conocidos que trabajaron esta forma, destacando *MTR* y *VALERIVS PATERNVS* (SOLOVERA SAN JUAN, 1987: 109).

Pese a la simpleza del tipo, presenta una amplia variabilidad de diámetros que Mayet fijó entre 9 y 22 centímetros (MAYET, 1983-84) y que en los ejemplares presentes abarcan entre los 12 y los 19,6 centímetros.

Fueron cuatro los ejemplares recogidos en Bueu, presentando uno de ellos borde engrosado sobre acanaladura externa (núm. 11). El labio definido y engrosado sería para Romero Carnicero indicador de una temprana fabricación que imitaría directamente los productos sudgálicos (ROMERO CARNICERO, 1985: 185; núm. 763). En el caso de Bueu, esta propuesta resulta totalmente asumible, en la medida en que las características técnicas de pasta y engobe de la pieza núm. 11, con una excelente calidad, difieren totalmente de las del resto de los ejemplares, todos de borde simple. Para estos últimos, resulta complejo establecer determinaciones de carácter cronológico. Esta forma se inscribe en uno de los ciclos más largos de la TSH. Las fabricaciones más tempranas aparecen en todos los alfares y sólo en Tricio las tardías.

11. Fragmento de borde y cuerpo de Forma 8. Presenta un labio destacado por un engrosamiento al exterior. Pasta rojo inglés (P 39) y engobe rojo inglés (R 19). Diám.: 19,6 cm. Dim.: 2,7x4,5x0,8 cm. Sigla: MR6-12/00 TS08. Cuadro 12C – Nivel 1.

12. Cinco fragmentos muy rodados de borde y cuerpo de Forma 8. Pasta (M 37) y engobe (P 37) tierra siena tostada. Diám.: 15,5 cm. Dim.: 7,2x6,2x0,8 cm. Sigla: MR7/00-1046-15. Pileta 2. UE 1046.

13. Veintiún fragmentos de borde y cuerpo de Forma 8. Pasta rosa (L 47) y engobe tierra siena natural claro (N 37). Diám.: 16 cm. Dim.: 5,7x16x0,6 cm. Sigla: MR7/00-1056-3. Pileta 2. UE 1056.

14. Fragmento de borde y cuerpo de Forma 8. Presenta un labio totalmente liso. Pasta tierra verde tostada (M 47) y engobe tierra de siena (S 39). Diám.: 12 cm. Dim.: 3,8x3,5x0,4 cm. Sigla: MR4/01 TS07. Cuadro B3 – UE 61 (bajo muro).

3.3.1.2.2. FORMA 15/17

Es esta la forma más representada en Bueu, tratándose de uno de los tipos lisos más difundidos por todo el Imperio. Se caracteriza este plato por poseer un borde más o menos oblicuo que en algunas ocasiones presenta labio diferenciado, sobre todo a inicios de su fabricación. El borde y el fondo se unen por medio de una moldura interna, que se corresponde al exterior en una acanaladura (MEZQUÍRIZ, 1961, T. I: 54).

Como prototipo de esta forma se encuentra su homónima gala, fabricándose especialmente en los talleres de La Graufesenque. Se elabora desde mediados del siglo I d. C. hasta el IV d. C. En los primeros siglos se fabricó en todos los centros alfareros, mientras que en el siglo IV sólo se produce en Tricio (SOLOVERA SAN JUAN, 1987: 104).

Se documentan veintitrés ejemplares (núms. 15-37), uno de ellos con perfil completo (núm. 15) y otros dos casi íntegro (núms. 16-17). De algunos sólo se conserva de manera deficiente, la parte de la moldura, siendo este elemento uno de los más significativos de cara a su identificación. Una base muestra marca fragmentada la leyenda ..MP (núm. 35), mientras que el ejemplar con el perfil completo presenta marca fragmentada OII ... y grafito externo compuesto por una hoja de helecho (núm. 15).

Se distinguen elementos típicos de cronologías avanzadas. Las paredes tienden a abrirse y en algunos casos el perfil semeja acampanarse gradualmente. Las molduras aparecen alargadas y bajas, evidencia no habitual en épocas tempranas. Varias molduras internas se corresponden a la de productos que habitualmente no se incluyen en fases iniciales ni avanzadas y que bien podrían haber sido fabricados a lo largo del siglo II d.C. Menos claro resulta establecer aproximaciones cronológicas a partir de los elementos formales exteriores. Mientras algunos ejemplares presentan una acanaladura en escalón de forma regular (núms. 26, 32), otros muestran sólo un pequeño resalte (núms. 29, 36), careciendo otros de él (núms. 20, 25, 28). Esta característica no parece ser indicadora de un modelo evolucionado, puesto que en un momento algo avanzado dentro de la fabricación de la 15/17, tiende a adoptarse o quizás a generalizarse de nuevo, el espacio cóncavo o la amplia

acanaladura (ROMERO CARNICERO, 1985: 189-190).

De las bases conservadas (núms. 15-17, 35-37), destaca la altura de los pies y la presencia de moldura hispánica, que pese a ser habituales de épocas tempranas, en algunos casos, las dimensiones y aperturas de cuerpos (núms. 15-17), parecen corresponder a modelos de fases avanzadas.

Las valoraciones de aspectos formales, deben realizarse con cierto grado de ponderación en la medida en que la Forma 15/17 disfruta de un amplio espectro estructural y cronológico. De manera genérica, los ejemplares recogidos, podrían haberse fabricado en una fase media del desarrollo de la forma, que abarcaría todo el siglo II d. C.

El desarrollo de esta forma, al igual que la mayoría de los tipos, no debió de ser enteramente lineal y de hecho, no es raro encontrar rasgos antiguos en ejemplares algo avanzados o elementos aparentemente evolucionados en piezas que cronológicamente no lo son (ROMERO CARNICERO, 1985: 190).

Fueron documentadas las marcas ..MP y OII.. en el interior de dos bases (núms. 15, 35). Se propone la posibilidad de que el primero de los sellos pertenezca al conocido ceramista SEMPRONIVS (...MP), atribución no inadecuada, teniendo en cuenta los numerosos sellos encontrados en diferentes yacimientos que a él hacen referencia. Dicha propuesta ha sido también aceptada por Caamaño y López (CAAMAÑO GESTO; LÓPEZ PÉREZ, 2006: 106-107).

La fórmula más común en la que aparece esta marca probablemente sea la de SEMP, precedido de OF (ROMERO CARNICERO, 1985: 277), de lo que cabe la posibilidad de que el presente ejemplar habría correspondido a esta manifestación. La feraz producción de SEMPRONIVS, junto a la posibilidad de que varias generaciones continúen con la explotación del alfar (SOLOVERA SAN JUAN, 1987: 89), amplía enormemente el abanico cronológico en el que situar la marca.

15. Nueve fragmentos muy rodados que conforman el perfil completo de una 15/17. Presenta pie alto de sección triangular. Posee moldura hispánica y círculo acanalado interno que contiene marca interna OII... En la parte inferior externa muestra un grafito que representa una hoja de helecho. Pasta tierra verde tostada (N 25) y engobe rojo inglés (P 25). Diám. borde: 28,5 cm. Diám. base: 8,4 cm. Dim.: 8,5x14,8x1,2 cm. Sigla: MR7/00-1056-4. Pileta 2. UE 1056.

16. Ocho fragmentos muy rodados de borde, cuerpo y base de una Forma 15/17. Presenta pie alto de sección triangular, moldura hispánica, círculo doble acanalado interno sobre el interior de la base y acanaladura horizontal también en el interior del borde. Pasta tierra siena tostada (M 37) y engobe rojo inglés (R 19). Diám. borde: 34 cm. Diám. base: 7,1 cm. Dim.: 8,2x17x1 cm. Sigla: MR7/00-1056-6. Pileta 2. UE 1056.

17. Veintidós fragmentos muy rodados de borde, cuerpo y base de una 15/17. Presenta pie alto de sección triangular y posible arranque de moldura hispánica. La carena tiene un marcado semicírculo interno, correspondiéndose al exterior con un resalte. Pasta tierra siena tostada (M 37) y engobe rojo inglés (R 19). Diám. borde: 32 cm. Diám. base: 6,9 cm. Dim.: 7,7x16x1,4 cm. Sigla: MR7/00-1056-7. Pileta 2. UE 1056.

18. Veintiún fragmentos de borde y cuerpo de una Forma 15/17. Pasta (M 37) y engobe (P 25) tierra siena tostada. Diám.: 31 cm. Dim.: 5,6x19,5x0,8 cm. Sigla: MR7/00-0192-1. UE 192.

19. Fragmento de borde y cuerpo de una Forma 15/17. Pared ligeramente cóncava al exterior. Moldura interna poco pronunciada. Pasta tierra verde tostada (M 47) y engobe rojo inglés (P 19). Diám.: 19 cm. Dim.: 4,5x5,9x0,6 cm. Sigla: MR6-12/00 TS09. Cuadro 4C – Nivel 1.

20. Dos fragmentos de borde y cuerpo de una Forma 15/17 que muestran en su superficie externa dos líneas acanaladas, una diferenciando el borde y otra la carena. Pasta tierra siena tostada (M 37) y engobe rojo venecia (R 17). Diám.: 27 cm. Dim.: 4,7x7,8x0,5 cm. Sigla: MR4/01 TS20. Cuadro D4 – UE 26 (transición).

21. Dos fragmentos de borde y cuerpo de una Forma 15/17 con pared ligeramente cóncava al exterior. Muestra dos acanaladuras externas, una diferenciando el borde y la otra la línea de la carena. Pasta ocre carne (N 40) y engobe rojo inglés (P 20). Diám.: 26 cm. Dim.: 3,6x10,8x0,7 cm. Sigla: MR4/01 TS10. Cuadro D5 – UE 9 (transición). Sigla: MR4/01-TS18. Cuadro D5 – UE 9 (transición).

22. Fragmento de borde y cuerpo de una Forma 15/17 que muestra en su superficie externa una línea acanalada diferenciando el borde. Pasta tierra siena tostada (M 37) y engobe rojo inglés (R 19). Diám.: 27 cm. Dim.: 3,5x5,9x0,7 cm. Sigla: MR4/01 TS19. Cuadro D4 – UE 26 (transición).

23. Fragmento de borde y cuerpo. Pasta tierra siena tostada (M 39) y engobe rojo inglés (R

20). Diám.: 19 cm. Dim.: 3,1x3,9x0,5 cm. Sigla: MR4/01 TS12. Cuadro C5 – UE 9 (transición).

24. Fragmento de borde y cuerpo de una Forma 15/17 que presenta en la superficie externa dos líneas acanaladas en la parte más próxima a la carena. Pasta tierra siena tostada (M 37) y engobe rojo inglés (R 19). Dim.: 3,2x3,2x0,6 cm. Sigla: MR6-12/00 TS10. Cuadro 11D – Nivel 1.

25. Fragmento de cuerpo con trazos típicos de la 15/17 hispánica, tales como pared abierta y perfil ligeramente acampanado. Moldura interna amplia y poco prominente que se traduce al exterior en una superficie cóncava también amplia. Pasta tierra siena natural clara (N 39) y engobe rojo inglés (P 19). Dim.: 2,2x3,3x1,0 cm. Sigla: MR6-12/00 TS11. Cuadro 11F – Nivel 1.

26. Dos fragmentos de cuerpo de una Forma 15/17. Moldura interna poco acusada y en correspondencia con ella, acanaladura externa de perfil en escalón. Pasta tierra siena natural clara (N 37) y engobe rojo inglés (R 19). Dim.: 1,7x5,0x1,0 cm. Sigla: MR6-12/00 TS12. Cuadro 2C – Nivel revuelto.

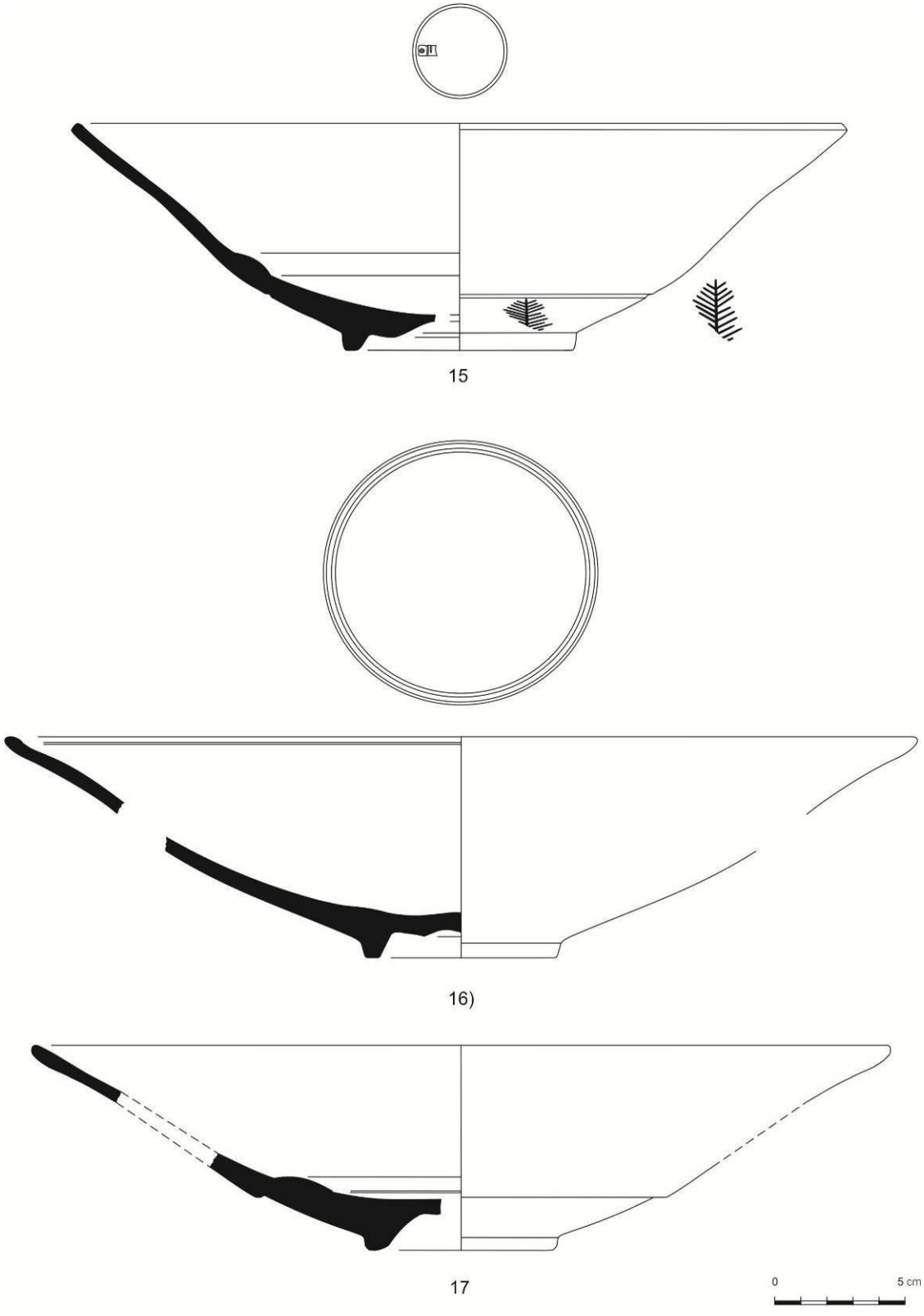
27. Cuatro fragmentos rodados de cuerpo de una Forma 15/17. Presenta la parte de la carena con semicírculo interno ancho, traducido al exterior en una amplia acanaladura horizontal. Pasta tierra siena tostada (M 37) y engobe rojo inglés (P 19). Dim.: 2,1x6,7x0,9 cm. Sigla: MR7/00-1056-8. Pileta 2. UE 1056.

28. Fragmento de cuerpo de una Forma 15/17. Pasta tierra siena tostada (M 37) y engobe rojo inglés (R 19). Dim.: 1,9x4,9x0,8 cm. Sigla: MR6-12/00 TS13. Cuadro 10B - Nivel 1.

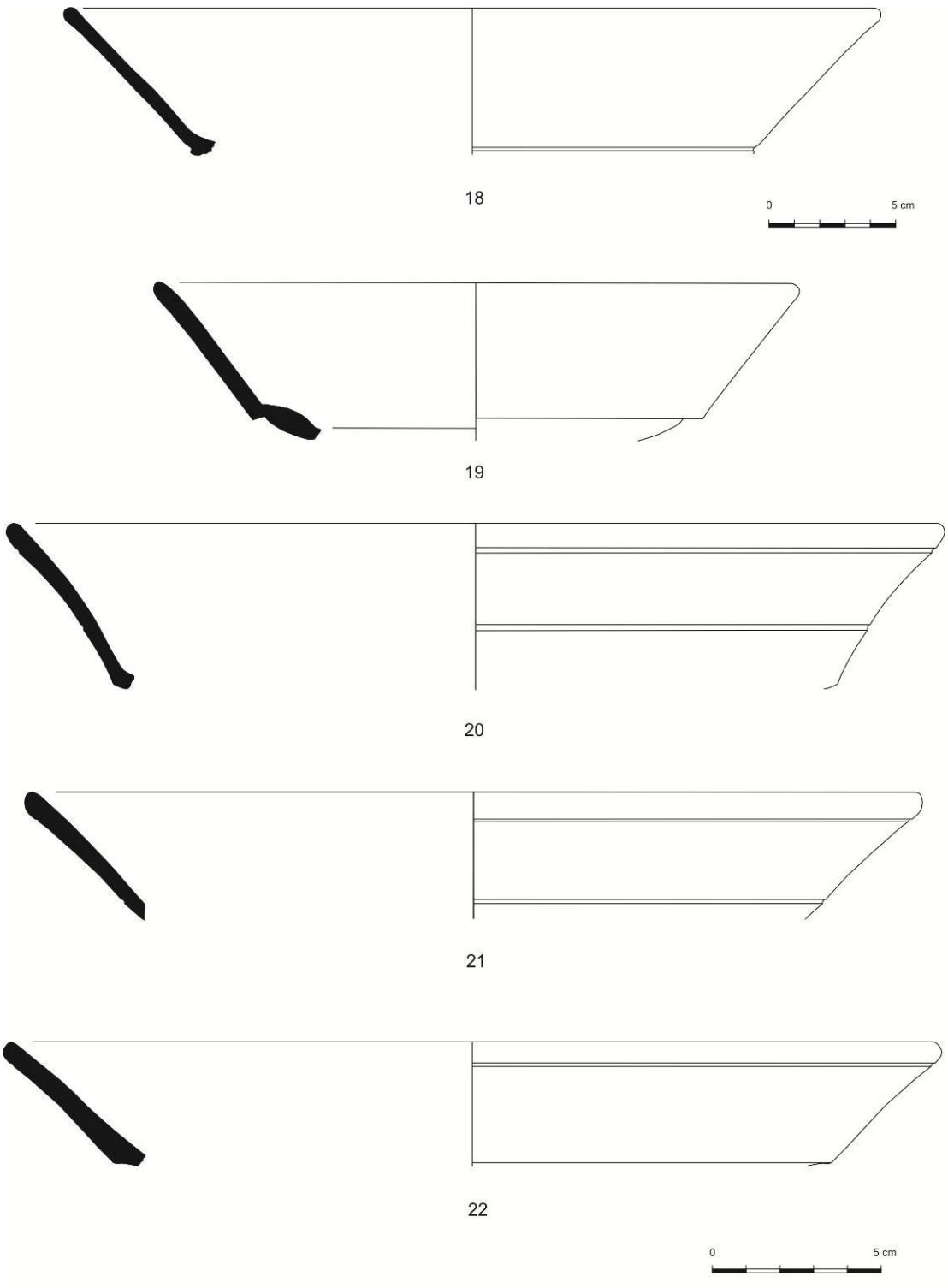
29. Fragmento de cuerpo de una Forma 15/17. Corresponde a la amplia moldura interna una acanaladura escalonada al exterior. Pasta rosa (L 47) y engobe rojo inglés (P 19). Dim.: 1,8x4,8x1,0 cm. Sigla: MR6-12/00 TS14. Cuadro 10B - Nivel 1.

30. Dos fragmentos de cuerpo de una Forma 15/17. Moldura poco pronunciada con presencia de un baquetón en la parte externa que marca la carena. Cuarto de círculo ancho y poco prominente y pared muy abierta. Pasta tierra siena natural clara (N 37) y engobe rojo inglés (P 20). Dim.: 1,8x2,6x0,7 cm. Sigla: MR6-12/00 TS15. Cuadro 11C – Nivel 1.

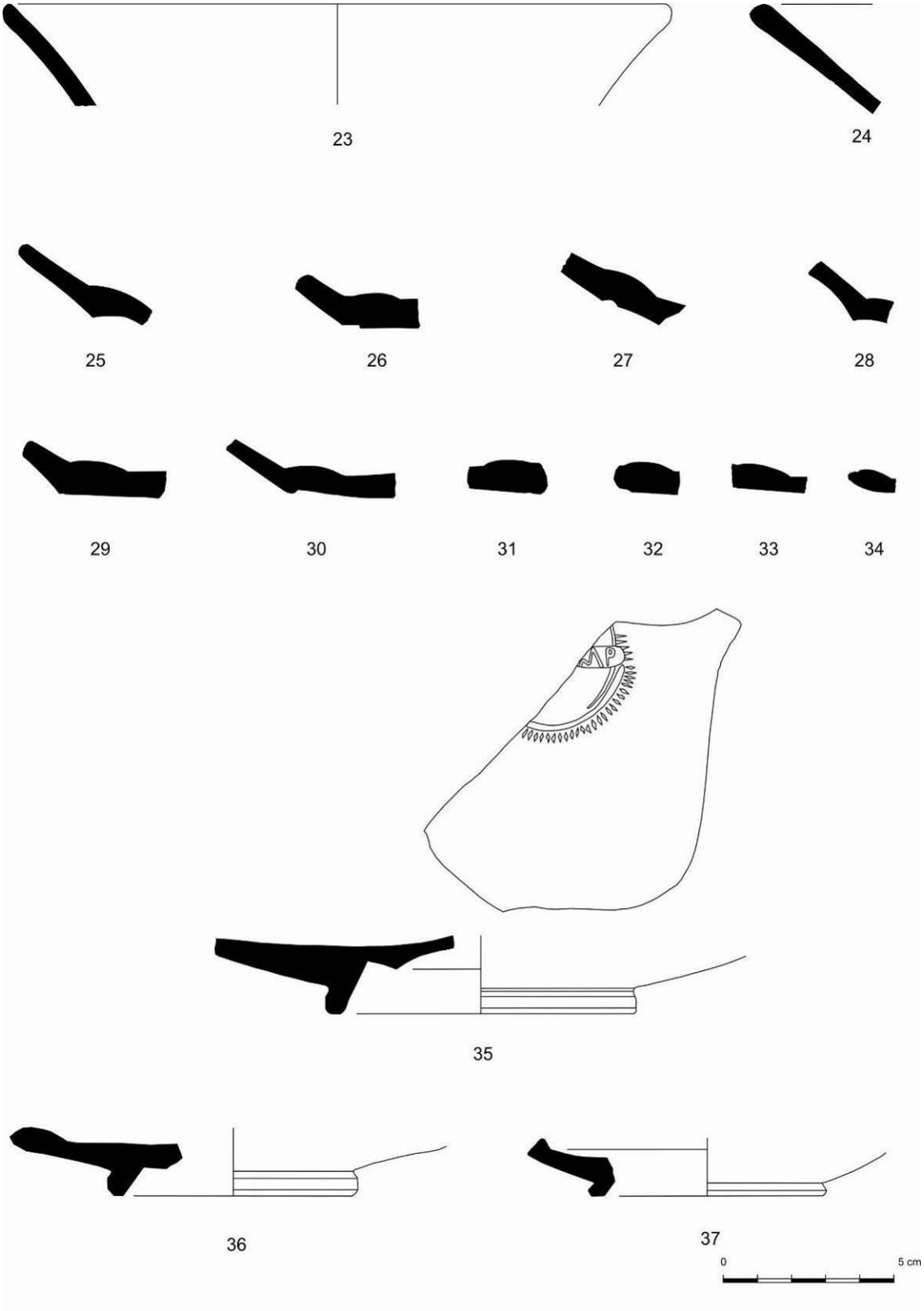
31. Fragmento de cuerpo de una Forma 15/17 correspondiente a la moldura. Pasta tierra siena tostada (M 37) y engobe rojo inglés (R 19). Dim.: 1,0x3,4x0,9 cm. Sigla: MR4/01 TS26. Cuadro B3 – UE 26.



TSH. Forma 15/17



TSH. Forma 15/17



TSH. Forma 15/17

32. Fragmento de cuerpo de una Forma 15/17. Pasta tierra siena tostada (M 37) y engobe rojo inglés (R 19). Dim.: 0,8x2,8x0,7 cm. Sigla: MR6-12/00 TS16. Cuadro 12E – Nivel 1.

33. Fragmento de cuerpo de una Forma 15/17. Moldura interna poco prominente. En la superficie externa presenta una estrecha acanaladura que marca la transición a la parte superior del cuerpo. Pasta tierra siena natural clara (N 37) y engobe rojo inglés (R 19). Dim.: 0,7x3,9x0,6 cm. Sigla: MR6-12/00 TS17. Cuadro 12E – Nivel 1.

34. Pequeño fragmento de cuerpo de una Forma 15/17. Pasta rosa (L 47) y engobe rojo inglés (R 19). Dim.: 0,7x2,2x0,6 cm. Sigla: MR6-12/00 TS18. Cuadro 10B - Nivel 1.

35. Dos fragmentos que forman parte del cuerpo y de la base de una Forma 15/17. Pie alto de sección triangular. Posee moldura hispánica. Presenta un círculo burilado al exterior y otra línea excisa interior, sobre los que sobresale la cartela de la marca que contiene en la parte interna, fragmentada, la leyenda ..MP. Pasta tierra siena natural tostada (P 37) y engobe rojo inglés (P 19). Diám.: 9,0 cm. Dim.: 2,2x11,1x1,0 cm. Sigla: MR6-12/00 TS19. Cuadro 12E – Nivel 1.

36. Fragmento de base de una Forma 15/17. Pie alto de sección triangular muy poco marcado. Posee moldura hispánica poco prominente y muestra un círculo acanalado en la parte interna. Pasta tierra siena natural clara (N 37) y engobe rojo inglés (R 19). Diám.: 7,0 cm. Dim.: 2,0x8,1x1,1 cm. Sigla: MR6-12/00 TS20. Cuadro 10G – Nivel 1.

37. Fragmento de base de una Forma 15/17. Conserva el arranque de la típica moldura interna. Pie anular de sección triangular muy bajo. Pasta tierra siena tostada (M 37) y engobe rojo inglés (R 19). Diám.: 6,8 cm. Dim.: 1,7x4,9x0,8 cm. Sigla: MR6-12/00 TS21. Cuadro 9F – Nivel 1.

3.3.1.2.3. FORMA 27

De los prototipos más claros de esta forma, se deben distinguir los vasos augústeos y un vaso de bronce griego y como precedentes más allegados, sus homónimos de la producción gala. Según Mezquíriz, son los productos de Arezzo, con excepción de la decoración burilada, los que se imitaron en la península (MEZQUÍRIZ, 1961, T. I: 60). Junto a la Forma 15/17, con la que formaba servicio, será uno de los tipos más comercializados, llegando incluso a proponerse como la forma más importada en el NW (NAVEIRO LÓPEZ, 1991).

Se subraya su pared doblemente corva como elemento diferenciador. En los ejemplares de

Bueu el labio no aparece destacado con la característica sección circular, común en los ejemplares más pequeños (LUEZAS PASCUAL; SAENZ PRECIADO, 1989: 39). Se conserva un único ejemplar con el perfil completo que presenta el típico pie de sección triangular (núm. 41).

El período de fabricación es muy amplio y va desde el siglo I d.C. hasta el siglo IV. Todos los talleres conocidos fabricaron este tipo de copa como, aparte de los riojanos, los de Bronchales, Solsona, Andújar y Granada. Sin embargo los vasos de Numancia, Pamplona, Tarragona, Mallén, Mérida, Italica, Iuliobriga, Arcobriga, Irún, Astorga, Iruña, Conimbriga, Cacabelos o Pedrosa de la Vega, lugares documentados con marcas de alfar, proceden con toda seguridad de los alfares riojanos (GARABITO GÓMEZ, 1978: 58).

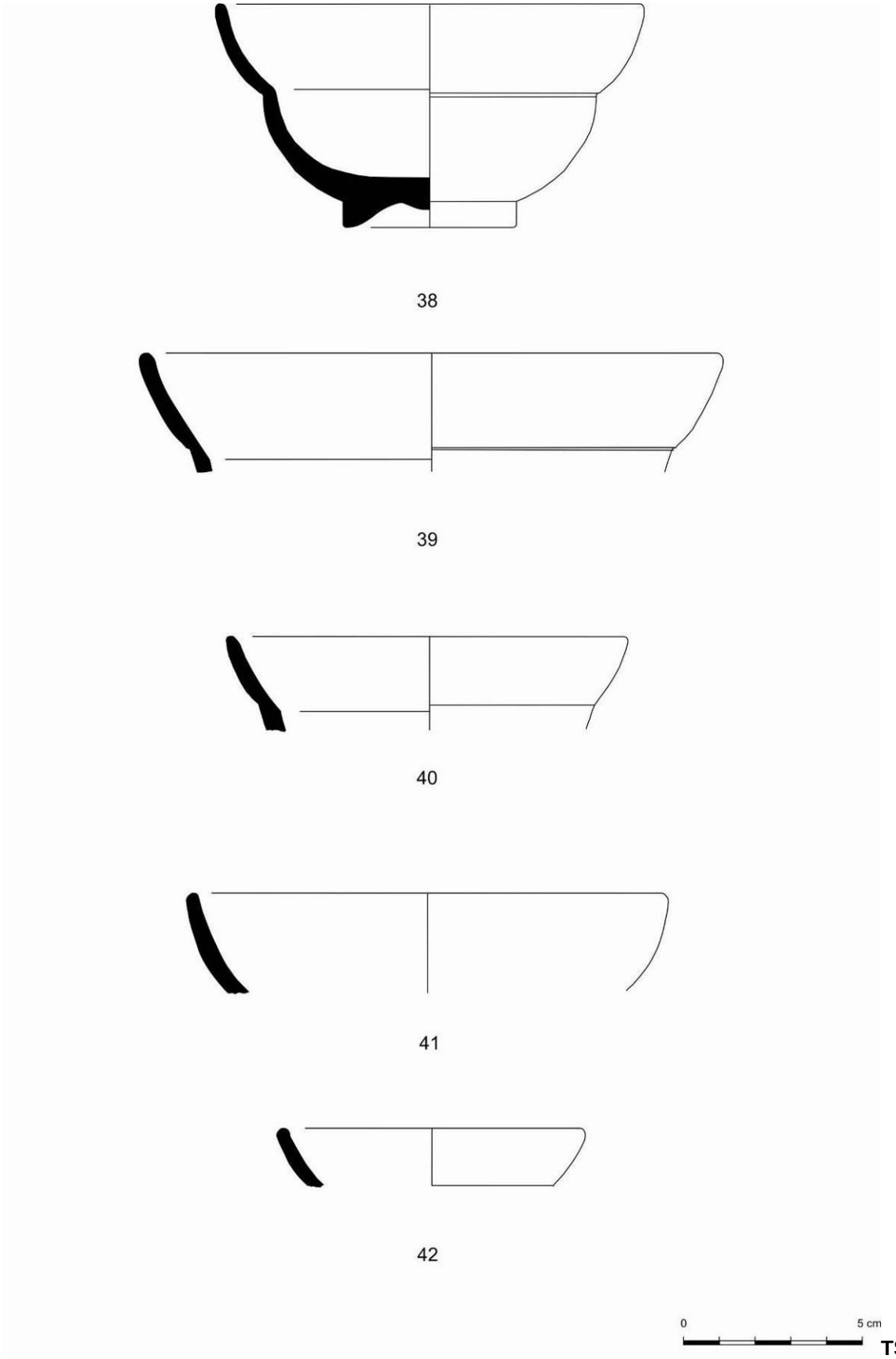
Son catorce los ejemplares que se pueden atribuir con certeza a la Forma 27 hispánica (núms. 38-51) lo que supone un buen porcentaje con respeto al total de las formas identificadas. Incluso es bastante probable que algunos fragmentos de cuerpos de tazas de atribución indeterminada, así como alguna base de copa, incluidas alguna con marca de alfar, pertenezcan a la Forma 27.

Los ejemplares boenenses deben ser incluidos en un momento avanzado de la producción. Así lo parecen indicar varios factores como son la ausencia de labio destacado o con engrosamiento, la amplitud del cuarto de círculo superior en relación con el tamaño de la copa y la tendencia de este la exvasarse.

38. Diez fragmentos que forman el perfil completo de una Forma 27. Cuarto de círculo superior algo abierto y base externa con prominencia cónica. Pasta tierra siena tostada (M 37) y engobe rojo inglés (P 20). Diám. borde: 11,8 cm. Diám. base: 4,8 cm. Dim.: 6,3x11,8x0,8 cm. Sigla: MR7/00-1056-1. Pileta 2. UE 1056.

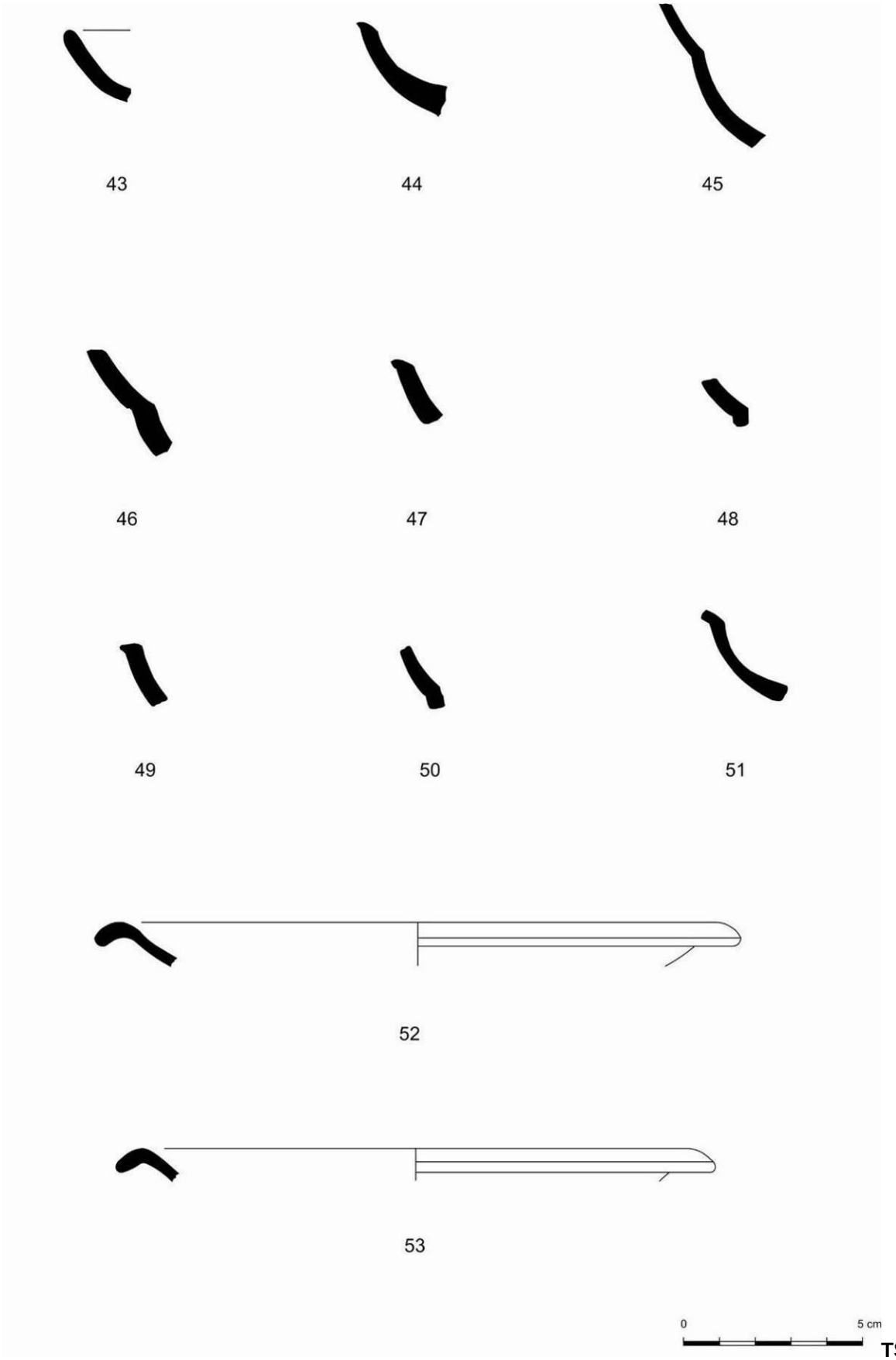
39. Dos fragmentos de borde y cuerpo de Forma 27. Cuarto de círculo superior poco curvado. Pasta tierra verde tostada (M 35) y engobe tierra siena (R 39). Diám.: 16 cm. Dim.: 3,3x6,4x0,5 cm. Sigla: MR6-12/00 TS22. Cuadro 12E – Nivel 1.

40. Fragmento de borde y cuerpo de Forma 27. El cuarto de círculo superior poco curvado, se abre respecto al cuerpo. A pesar de la apariencia altoimperial, muestra elementos presentes ya en la TSHT. Pasta tierra siena tostada (M 39) y engobe rojo inglés (P 20). Este muestra poco espesor y su coloración es bastante clara. Diám.: 11 cm. Dim.: 2,6x3,3x0,4 cm. Sigla: MR6-12/00 TS23. Cuadro 6A – Nivel 1.



TSH.

Forma 27



TSH.

Forma 27 (46-54). Forma 36 (55-56)

41. Fragmento de borde y cuerpo de Forma 27. Pasta rosa (M 20) y engobe rojo inglés (R 20). Diám.: 13 cm. Dim.: 2,7x2,5x0,5 cm. Sigla: MR6-12/00 TS24. Cuadro 11E – Nivel 1.

42. Fragmento de borde y cuerpo de Forma 27. En la superficie externa presenta parte de la acanaladura que marca la separación de dos cuartos de círculo. Pasta tierra siena tostada (M 37) y engobe rojo inglés (R 20). Diám.: 8,3 cm. Dim.: 1,6x2,2x0,4 cm. Sigla: MR6-12/00 TS25. Cuadro 11G – Nivel 1.

43. Fragmento de borde y cuerpo de Forma 27. Pasta rojo muy pálido (M 25) y engobe rojo inglés (R 20). Dim.: 2,0x3,0x0,4 cm. Sigla: MR7/00-3002-1. Sala B. Cara exterior. UE 3002.

44. Tres fragmentos de cuerpo de Forma 27. Pasta tierra siena tostada (M 39) y engobe rojo inglés (R 19). Dim.: 2,6x6,5x0,8 cm. Sigla: MR6-12/00 TS26. Cuadro 12E - Nivel 1.

45. Fragmento de cuerpo de Forma 27. Pasta tierra siena tostada (M 37) y engobe tierra siena (R 39). Dim.: 4,0x6,3x0,5 cm. Sigla: MR6-12/00 TS27. Cuadro 12C – Nivel 1.

46. Fragmento de cuerpo de Forma 27. Los cuartos de círculo aparecen nítidamente separados por una ancha acanaladura externa. Pasta tierra siena natural clara (N 37) y engobe rojo inglés (R 19). Dim.: 2,9x3,4x0,6 cm. Sigla: MR6-12/00 TS28. Cuadro 11C – Nivel 1.

47. Pequeño fragmento de cuerpo de Forma 27. Pasta rosa (L 49) y engobe tierra siena (R 39). Dim.: 1,8x2,7x0,6 cm. Sigla: MR6-12/00 TS29. Cuadro 12C – Nivel 1.

48. Fragmento de cuerpo de Forma 27. Presenta una acanaladura en la parte externa, a la 48-altura de la unión de los dos cuartos de círculo. Pasta ocre carne (M 45) y engobe rojo inglés (P 20). Dim.: 1,3x2,6x0,5 cm. Sigla: MR6-12/00 TS30. Cuadro 11C – Nivel 1.

49. Pequeño fragmento de cuerpo de Forma 27 en el que se observa el arranque del cuarto de círculo superior. Una acanaladura en la parte externa delimita la separación entre este y el inferior. Pasta tierra siena tostada (M 37) y engobe rojo inglés (P 20). Dim.: 1,7x1,8x0,5 cm. Sigla: MR6-12/00 TS31. Cuadro 10B - Nivel 1.

50. Pequeño fragmento de cuerpo de Forma 27. Pasta tierra siena tostada (M 37) y engobe tierra siena (R 39). Dim.: 1,7x1,4x0,5 cm. Sigla: MR6-12/00 TS32. Cuadro 12C – Nivel 1.

51. Fragmento de cuerpo de Forma 27 que presenta el arranque del cuarto de círculo

superior. Pasta tierra siena natural (P 40) y engobe rojo venecia (R 17). Dim.: 2,4x3,7x0,5 cm. Sigla: MR4/01 TS11. Cuadro C4 – UE 26 (Transición).

3.3.1.2.4. FORMA 36

Los orígenes de la Forma 36 parten del tipo sudgálico homónimo, al igual que en la Forma 35, con la que plato y copa formarían servicio.

Se trata de un plato hondo y casi plano, cuyas características técnicas cambiarán con el tiempo. Las pastas y engobes en el siglo I d.C. serían de muy buena calidad, para degenerar a partir de la segunda mitad del siglo II .C. (SOLOVERA SAN JUAN, 1987: 108).

A diferencia de los prototipos gálicos, la forma hispánica posee un pie muy bajo. Al igual que la Forma 35, aparece documentada en bastantes yacimientos de temprana romanización (GARABITO GÓMEZ, 1978: 58-59). Los autores aceptan de manera generalizada el inicio de fabricación de esta forma a finales del siglo I d.C. Sin embargo existen discrepancias a la hora de fijar el final de la misma, ya que algunos autores marcan este límite en el fin del siglo IV (MEZQUIRIZ, 1961; 1985; GARABITO GÓMEZ, 1978: 59; SOLOVERA SAN JUAN, 1987; ROCA ROUMENS; FERNÁNDEZ GARCÍA, 1999; 2005), mientras que para otros no llegaría a etapas bajoimperiales (MAYET, 1983-84; ROMERO CARNICERO, 1985).

52. Fragmento de borde y cuerpo de Forma 36. Pasta tierra siena tostada (M 37) y engobe rojo inglés (R 19). Diám. borde: 18 cm. Dim.: 1,2x8,3x0,5 cm. Sigla: MR7/00-1076-1. UE 1076.

53. Dos fragmentos de borde y cuerpo de Forma 36. Pasta rosa (L 33) y engobe rojo inglés claro (N 13). Diám. borde: 16,7 cm. Dim.: 0,9x6,2x0,5 cm. Sigla: MR7/00-1073-1. UE 1073.

3.3.1.3. PIEZAS DE ATRIBUCIÓN PROBABLE O INDETERMINADA

En este apartado se incluye material heterogéneo carente de elementos formales de atribución. Si por algo podría definirse este conjunto sería por la elevada fragmentación y deterioro.

En el conjunto se incluyen 87 unidades, de las cuales sólo se aporta representación gráfica de aquellas piezas que permiten un posible acercamiento de clasificación formal, principalmente a partir de bordes, carenas y bases, así como aquellas que presentan algún elemento representativo significativo, como pueden ser marcas de alfar o grafitos.

De las piezas que permiten una aproximación al campo formal, se presentan seis fragmentos de cuerpo y base de una posible Forma 8 (núm. 54). Si bien el tipo de cuerpo globular podría corresponder a otro tipo de tazas -como por ejemplo la Forma 27-, que sólo la forma del borde permite individualizar. La anchura y apertura de la misma parecen apuntar su pertenencia a una posible Forma 8. Esta forma se constata en todos los centros de producción de *terra sigillata* riojanos. Se trata de un recipiente de pared curva y pie muy bajo. Sus características de pasta y engobe son similares a las demás y varían en calidad de acuerdo con la época de fabricación. En los alfares riojanos aparecen dos variantes de esta forma que establecen cronologías diferentes en función de la ausencia o no del pie. Este recipiente es habitual en los yacimientos de época altoimperial puesto que fue uno de los más ampliamente producido y comercializado, en virtud seguramente de la gran aceptación por el público, lo que hace también que sea una de las formas que más perdure al largo del tiempo. Se documenta en Aljustrel, Almedinilla, Ampurias, *Asturica Augusta*, *Banasa*, Barcelona, Beja, Cacabelos, Calahorra, Castejón, *Conimbriga*, Corella, *Emerita*, Ezcaba, Funes, Irún, Iruña, *Italica*, *Iuliobriga*, Libia, Liédena, Liria, *Lixus*, Mabla, Mallén, Numancia, Osuna, Pedrosa de la Vega, *Pompaelo*, Sahagún, *Sala*, Sangüesa, Santa Coloma de Somoza, Sos del Rey Católico, Soto de Ramalete, Tarragona, Valencia, *Valeria*, Valladolid, Varea, Vila Viçosa, Villafranca de los Barros, Villalpando, *Viminacium*, *Volubilis* e Zaragoza. Son pocos los alfareros documentados que trabajaron esta forma -*MTR* e *VALERIVS PATERNVS*-. Su cronología es una de las más largas, abarcando desde inicios de la producción de *terra sigillata* en los talleres riojanos, hasta el siglo IV. Como en otras ocasiones, las piezas más tempranas aparecen en todos los alfares y sólo en Tricio las tardías (SOLOVERA SAN JUAN, 1987: 109).

La pieza número 55 corresponde a una forma cerrada. Sólo existe constancia de de los ejemplares de estas características en todo el conjunto de *sigillatae* recogidas en Bueu. La parte interna aparece totalmente descuidada, sin ningún tipo de tratamiento y carente de engobe. De los tipos cerrados conocidos de TSH es la Forma 13, coloquialmente conocida como cantimplora, la que más semeja corresponderse el presente y exiguo fragmento. Refiriéndose a este tipo, la especialista Mª. E. Solovera indica que en la mayoría de los yacimientos se encuentra la cerámica muy triturada y no siempre es fácil distinguir el tipo al cual pertenece (SOLOVERA SAN JUAN, 1987: 99-100). Según la propuesta aquí presentada, correspondería a la parte del cuerpo donde se une el frontal con el lateral, llegando a formar un ángulo de 118º. En las piezas que se conocen de la Forma 13 decorada, esta parte contendría ya evidencias decorativas por lo que, de caso de corresponder la tal forma, sin duda sería lisa. La Forma 13 decorada no es un recipiente de los más frecuentes, y en su modalidad lisa, tampoco es muy abundante (GARABITO GÓMEZ, 1978: 50).

Se trata de una vasija acorde a las necesidades de la población y su demanda. La necesidad de platos y menaje de cocina es mayor, por lo que también lo es su fabricación, siendo en proporción directa en cambio, el uso de la cantimplora más limitado y por lo tanto, su producción menor (SOLOVERA SAN JUAN, 1987: 99). Los tipos abiertos pueden ser apilados, facilitando su traslado masivo. Las formas cerradas serían menos comercializadas debido fundamentalmente al mayor volumen que necesitan dentro de la carga, hecho que grabaría de manera acusada el precio de venta del producto.

Se documenta la fabricación de esta forma en Tricio y Arenzana de Arriba, pero quizás debido a sus especiales características, habría podido ser confundida con otro recipiente si no aparece casi completa, por lo que cabe la posibilidad de que pudiera haber sido fabricada en algún centro más (SOLOVERA SAN JUAN, 1987: 109-110). Se caracteriza como en los modelos gálicos a los que imita, por un cuerpo circular plano, cuello estrecho, borde exvasado y asas. La fabricación de este tipo se hacía con dos moldes a manera de platos de baja pared, esta sin decorar, con los motivos decorativos en el fondo, que corresponderían al cuerpo de la cantimplora. Cronológicamente es contemporánea a la Forma 29, por lo que se refiere a los comienzos, pero dada su funcionalidad, su duración sería mucho mayor, probablemente llegando hasta el siglo IV d.C., a juzgar por los motivos decorativos que en ellas aparecen y por las características de pastas y engobes, que son excelentes en los ejemplares más tempranos y que irán degenerando a partir del siglo II. Después de esta centuria sólo se constata su producción en Tricio. Esta forma se difunde por toda la península, pero los hallazgos escasean. Así aparece en Liédena, Ampurias y Numancia. (SOLOVERA SAN JUAN, 1987: 100).

Se recogieron quince ejemplares de plato (núms. 59-71, 84), de los cuales doce conservan la parte correspondiente al borde. Probablemente habrían pertenecido a la Forma 15/17, como se desprende de la similitud de estos con los fragmentos anteriormente descritos pertenecientes a este tipo.

De los ejemplares atribuibles a tazas, algunos podrían corresponder con cierta seguridad, a la Forma 27, como parecen indicar las dimensiones y disposición del borde (núms. 73-76). En otros casos el perfil de la pared o la configuración del fondo no determinan una adscripción formal, ampliándose el abanico de posibilidades. En estos casos podrían haber pertenecido a la Forma 27, a la Forma 35 o a la Forma 24/25. Más clara parece la atribución del ejemplar número 81, donde el tipo de borde y de la unión parecen indicar la pertenencia a una Forma 37.

Se documentó un borde de una posible Forma 46 (número 82) con un labio delimitando por

una acanaladura. Este tipo de vasija se caracteriza por presentar borde horizontal, cuerpo oblicuo y pie bajo. Aparece representada en todos los centros de producción del Valle del Najerilla (La Rioja), aunque no es la más abundante. Sus particularidades técnicas varían según el siglo en el que se produzcan, así las del primero tienen una pasta bien cocida y elaborada y el engobe brillante y bien adherido, características abandonadas a partir de mediados del siglo II. Se conocen dos variantes coetáneas de esta forma.

La difusión de la Forma 46 es importante en cuanto a su amplia extensión geográfica, pero su presencia en las diversas localidades nunca es muy numerosa. Se documenta en Alcalá de Henares, Almodóvar, Asturica, Baena, Banasa, Calahorra, Capera, Conimbriga, Irún, Italica, Iuliobriga, Libia, Liédena, Lixus, Numancia, Pamplona, Santa Colomba de Somoza, Tarragona, Uxama, Varea y Volubilis. Por lo que se refiere a los alfareros que la fabrican se documenta en los centros riojanos a OV, OCTAVIVS MARCVS, FLACCVS, PATERNVS, PATERALE, CALVO, IVMA, QLVF, SCRIBONIVS. La cronología llegaría de mediados del siglo I d.C. a fines del III, apareciendo en Bezares, Arenzana de Arriba y Arenzana de Abajo, con elementos que datan como producto de comienzos del Imperio. En Tricio, además de piezas tempranas, se documenta con características tardías, como demuestran los ejemplares datados en el siglo III (SOLOVERA SAN JUAN, 1987: 108-109).

Se conservan seis fragmentos de un ejemplar, cuyo perfil aparece conformado por un borde simple y un cuerpo curvo, que parece corresponder a un plato. De los posibles tipos a los que podría corresponder se señala la Forma 77, plato de escasa altura, de borde sencillo, cuerpo oblicuo ligeramente incurvado y base con pie bajo en los ejemplares antiguos y carente de él en los avanzados. Cronológicamente, tras diferentes revisiones, se sitúa entre el siglo III y fases subsiguientes al siglo IV d.C. (ROCA ROUMENS; FERNÁNDEZ GARCÍA: 1999). En el caso de corresponder a dicha forma, se trataría de un tipo de escasa difusión que lo sitúa a la cola de los repertorios hispanos (LÓPEZ PÉREZ, 2004: 225). En Iria Flavia se documentaron dos ejemplares de esta forma (LÓPEZ PÉREZ, 2004: 227).

Se registraron además una serie de fragmentos que apenas conservan elementos de atribución formal. De estos se ofrece representación gráfica de las bases, así como de las marcan de fábrica. La mayoría de las bases poseen pies bajos, con la excepción de algunos ejemplares concretos. Normalmente los pies bajos se asocian la una etapa avanzada en la comercialización de la TSH. Resultan interesantes algunos ejemplares (núm. 90 entre otros), que sí bien muestran pasta y engobes característicos de épocas tempranas, presentan pies con características de formas avanzadas. En estos casos suelen ser incluidos dentro de la denominada fase de transición o *sigillata* pretardía.

Son tres los ejemplares indeterminados que presentan marcas de alfar, todas indeterminadas y que aparecen descritas de manera más amplia en el apartado dedicado a las mismas. Se tratarían de las marcas O... (núm. 94), ON... (núm. 84) y ...V (núm. 82). Asimismo fueron documentadas dos marcas grafitadas, ambas incompletas. Una se localiza en la parte interna y representa las letras AC (núm. 71) mientras que a otra se encuentra en la parte externa y está compuesta por un círculo (núm. 84).

Destaca la presencia de una huella digital en la pieza número 92, sobre la parte interna del pie, realizada probablemente durante lo proceso de secado, cuando el engobe aún se conservaría húmedo.

En este grupo fueron incluidos una serie de ejemplares incompletos y heterogéneos que se inscribirían en las categorías amplias de copas, tazas y platos principalmente, confirmando la tendencia usual en cuanto a representatividad de la Forma 15/17 y la Forma 27. Otro aspecto de interés lo marcaría la posibilidad de que el solar de Bueu proporcionara algunas formas poco frecuentes en los yacimientos del Noroeste peninsular, como la Forma 13 y Forma 46.

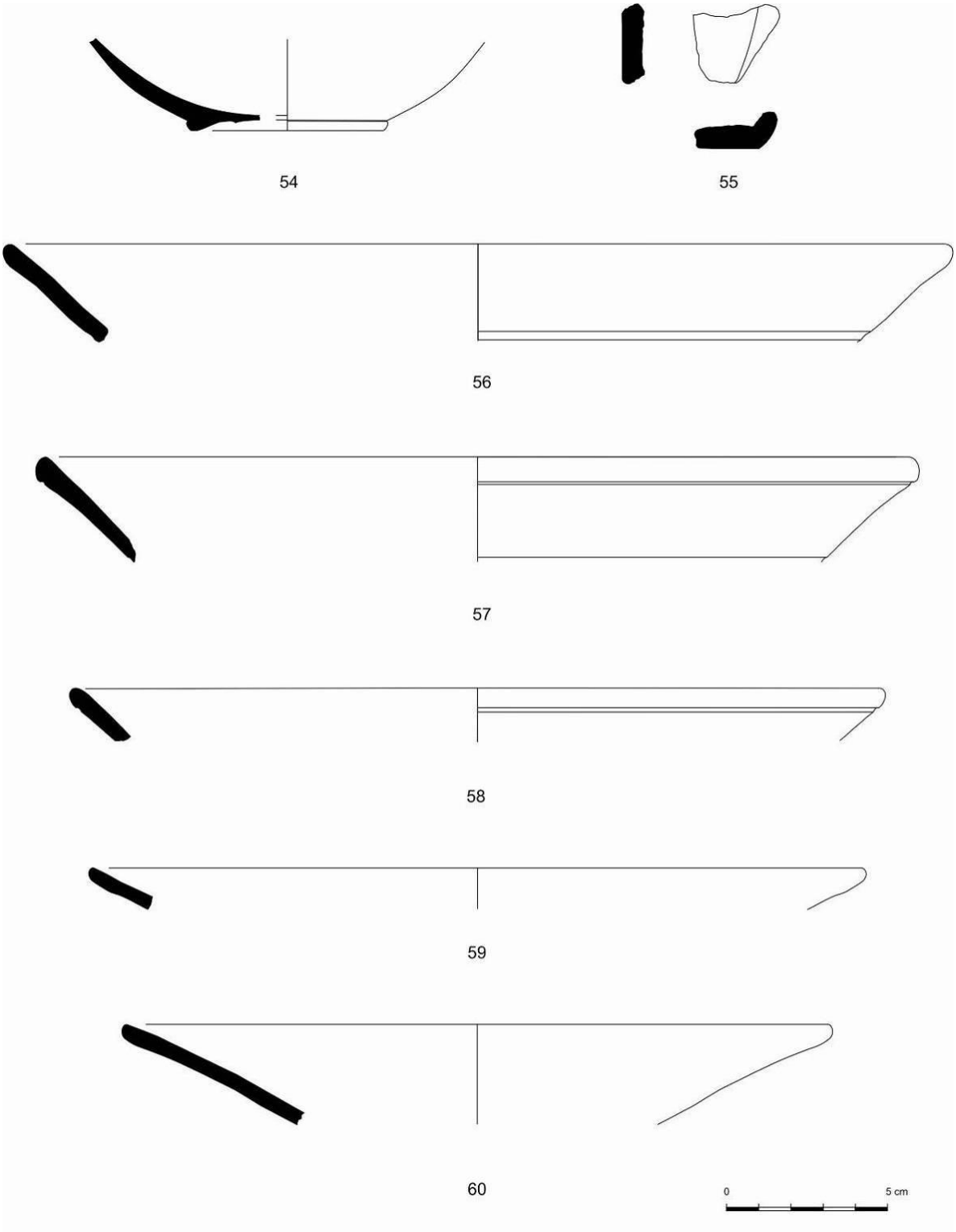
54. Seis fragmentos rodados de cuerpo y base de posible Forma 8. Presenta moldura hispánica. Pasta tierra siena tostada (M 37) y engobe rojo inglés (R 19). Diám.: 6 cm. Dim.: 2,9x4,3x0,8 cm. Sigla: MR7/00-0102-1. UE 0102.

55. Fragmento de cuerpo de posible Forma 13 lisa. En cualquier caso se trataría de una forma cerrada. Pasta tierra siena tostada (M 39) y engobe rojo inglés (R 19). Dim.: 2,5x2,5x0,7 cm. Sigla: MR6-12/00 TS33. Cuadro 12E - Nivel 1.

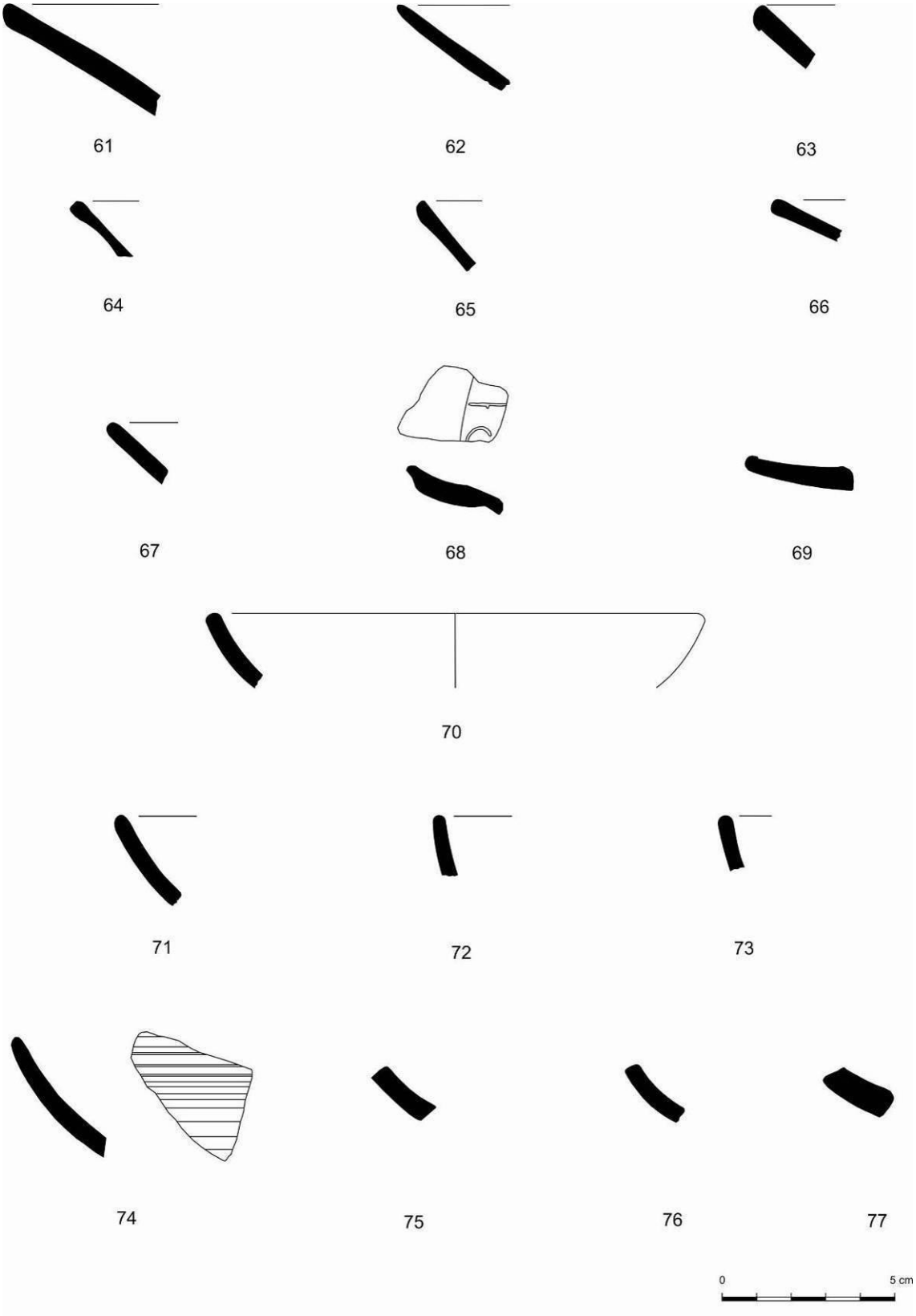
56. Fragmento de borde y cuerpo de posible Forma 15/17. Presenta una acanaladura externa a la altura de la carena. Pasta tierra siena tostada (M 37) y engobe rojo inglés (R 19). Diám.: 29 cm. Dim.: 3,0x5,4x0,7 cm. Sigla: MR4/01 TS57. Cuadro C4 – UE 61.

57. Fragmento de borde y cuerpo de posible Forma 15/17. Presenta dos acanaladuras externas, una la altura del borde y otra a la de la carena. Pasta tierra verde tostada (M 47) y engobe rojo inglés (P 20). Diám.: 27 cm. Dim.: 3,3x4,6x0,6 cm. Sigla: MR4/01 TS56. Cuadro C4 – UE 61 (caja muro).

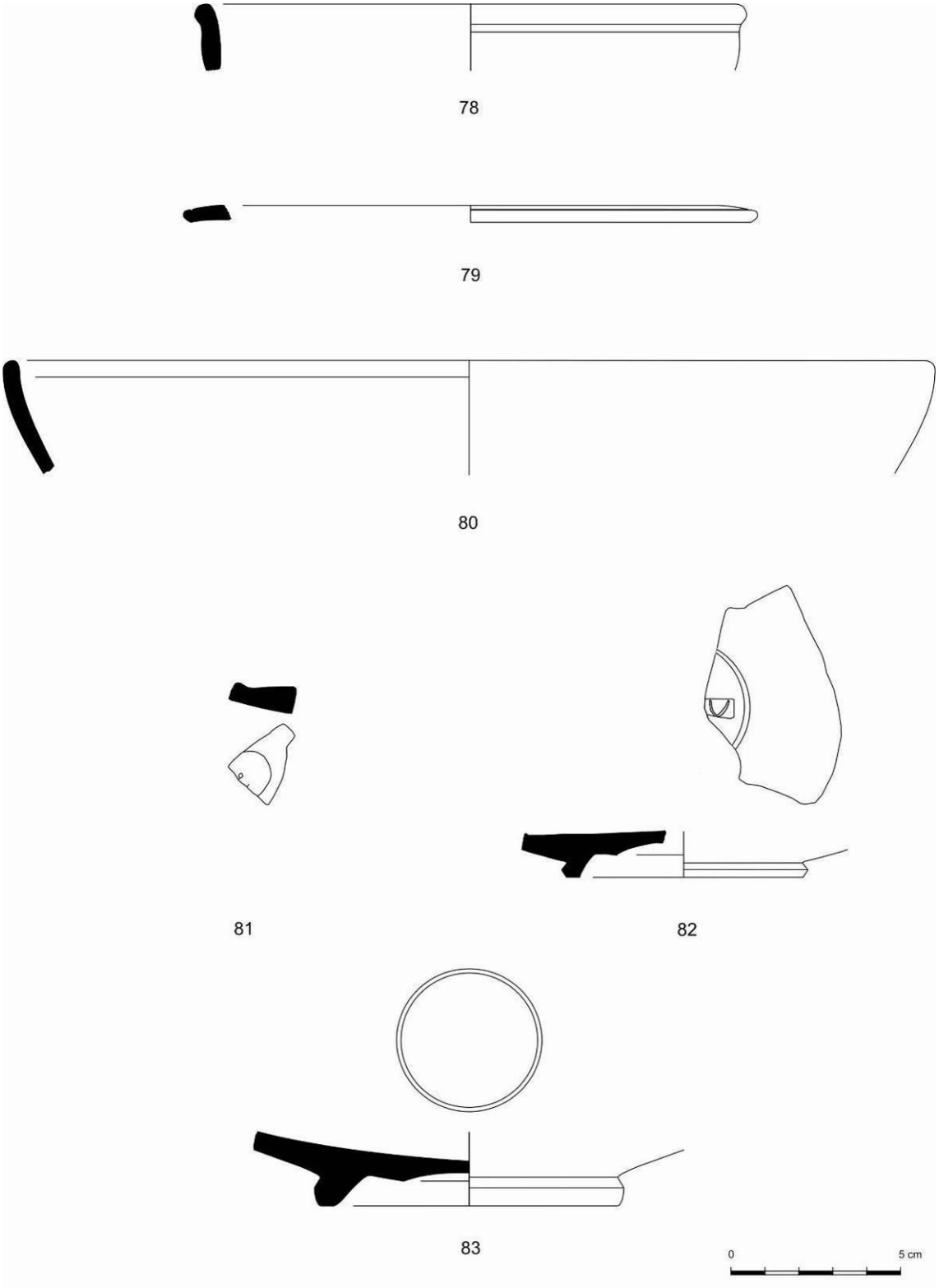
58. Fragmento de borde y cuerpo de un plato. Posible Forma 15/17. Labio delimitado por una acanaladura en la parte externa. Pasta ocre carne (M 39) y engobe rojo inglés (R 19). Diám.: 25 cm. Dim.: 1,7x3,2x0,6 cm. Sigla: MR4/01 TS21. Cuadro C4 – UE 26.



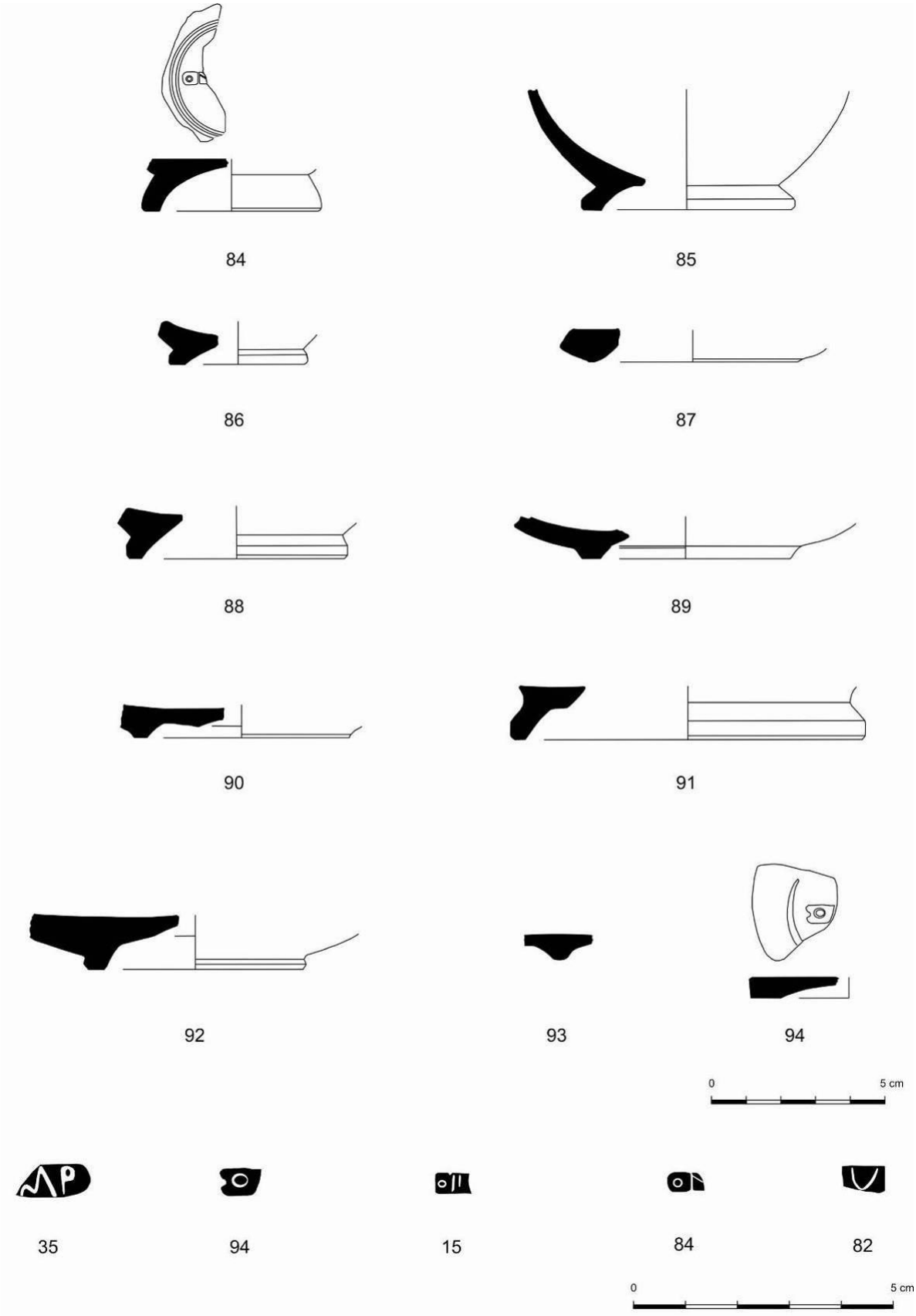
TSH. Piezas de atribución probable o indeterminada



TSH. Piezas de atribución probable o indeterminada



TSH. Piezas de atribución probable o indeterminada



TSH. Piezas de atribución probable o indeterminada (84-94) y sellos de alfarero

59. Dos fragmentos de borde y cuerpo de una posible 15/17. Pasta tierra siena tostada (M 37) y engobe rojo inglés (P 20). Diám.: 24. Dim.: 1,3x5,9x0,7 cm. Sigla: MR7/00-1071-1. Pileta 2. UE 1071.

60. Fragmento de borde y cuerpo de una posible Forma 15/17. Presenta marcas de torno al exterior. Pasta tierra siena tostada (M 37) y engobe rojo inglés (P 19). Diám.: 22 cm. Dim.: 3,2x9,5x0,5 cm. Sigla: MR7/00-0353-1. UE 0353.

61. Dos fragmentos muy rodados de borde y cuerpo de una posible Forma 15/17. Pasta tierra siena tostada (M 37) y engobe rojo inglés (P 19). Dim.: 3,2x6,1x0,6 cm. Sigla: MR7/00-1056-9. Pileta 2. UE 1056.

62. Fragmento de borde y cuerpo de posible Forma 15/17. Presenta una acanaladura externa. Pasta tierra siena tostada (M 37) y engobe rojo inglés (R 19). Dim.: 2,5x3,7x0,5 cm. Sigla: MR4/01 TS30. Cuadro D5 – UE 38.

63. Fragmento de borde y cuerpo de posible Forma 15/17. Presenta labio ben definido por un engrosamiento. Pasta tierra siena tostada (M 39) y engobe rojo inglés (R 19). Dim.: 1,8x3,2x0,6 cm. Sigla: MR4/01 TS55. Cuadro B3 – UE 61(caja muro).

64. Fragmento de borde y cuerpo de posible Forma 15/17. Pasta tierra siena tostada (M 39) y engobe rojo inglés (P 20). Dim.: 1,6x2,8x0,6 cm. Sigla: MR6-12/00 TS34. Cuadro 10C - Nivel 1.

65. Fragmento de borde y cuerpo de un plato, posiblemente de una Forma 15/17. Labio delimitado por una acanaladura en la parte interna. Pasta ocre carne (M 45) y engobe rojo inglés (P 20). Dim.: 2,0x2,8x0,5 cm. Sigla: MR6-12/00 TS35. Cuadro 3A - Nivel 1.

66. Fragmento de borde y cuerpo de plato, posible Forma 15/17. Pasta tierra siena tostada (M 37) y engobe tierra siena tostada (P 39). Dim.: 1,2x5,2x0,6 cm. Sigla: MR7/00-1003-5. Sector 1. Pileta E. UE 1003.

67. Fragmento de borde y cuerpo de un plato, posible Forma 15/17. Pasta tierra siena tostada (M 37) y engobe rojo inglés (P 20).Dim.: 1,8x1,9x0,4 cm. Sigla: MR4/01 TS58. Cuadro D5 – UE 38.

68. Fragmento de cuerpo de plato correspondiente a una moldura. Posible Forma 15/17.

Presenta un grafito en la parte interna incompleto (AC). Pasta tierra siena natural clara (M 37) y engobe rojo inglés (R 19). Dim.: 1,4x2,1x0,6 cm. Sigla.: MR4/01-TS13. Cuadro C5 – UE 9.

69. Fragmento de cuerpo de plato de posible Forma 15/17. Pasta tierra siena natural clara (N 39) y engobe rojo inglés (P 20). Dim.: 1,0x4,1x0,7 cm. Sigla: MR6-12/00 TS36. Cuadro 12E - Nivel 1.

70. dos fragmentos de borde y cuerpo de posible Forma 27. Pasta tierra siena tostada (M 37) y engobe rojo inglés (R 19). Diám.: 14 cm. Dim.: 2,2x4,3x0,6 cm. Sigla: MR7/00-1003-4. Sector 1. Pileta E. UE 1003.

71. Fragmento de borde y cuerpo de cuenco, posible Forma 27. Pasta tierra siena tostada (M 39) y engobe rojo inglés (P 20). Dim.: 2,6x2,7x0,4 cm. Sigla: MR6-12/00 TS37. Cuadro 12E - Nivel 1.

72. Fragmento muy rodado de borde y cuerpo de posible Forma 27. Pasta rojo muy pálido (M 25) y engobe rojo inglés (P 25). Dim.: 1,8x3,9x0,4 cm. Sigla: MR7/00-1056-5. Pileta 2. UE 1056.

73. Pequeño fragmento de borde y cuerpo de posible Forma 27. Pasta tierra siena tostada (M 37) y engobe rojo inglés (R 19). Dim.: 1,6x2,5x0,5 cm. Sigla: MR7/00-0102-3. UE 0102.

74. Fragmento de cuerpo de cuenco, posible Forma 27. Presenta una serie de marcas de torno formando líneas incisas horizontales en la parte externa, que llegan a crear acanaladuras. Pasta tierra siena natural clara (M 37) y engobe rojo inglés (R 20). Dim.: 3,4x3,7x0,5 cm. Sigla.: MR4/01-TS24. Cuadro C4 – UE 26.

75. Fragmento de cuerpo de cuenco. Pasta (P 19) y engobe (R 19) rojo inglés. Dim.: 1,5x3,3x0,5 cm. Sigla: MR6-12/00 TS38. Cuadro 2C – Nivel revuelto.

76. Fragmento de cuerpo de cuenco. Pasta rojo inglés claro (N 20) y engobe rojo inglés (R 19). Dim.: 1,7x2,5x0,4 cm. Sigla: MR6-12/00 TS39. Cuadro 11B - Nivel 1.

77. Fragmento diminuto de cuerpo de cuenco. Pasta rojo inglés claro (N 19) y engobe rojo inglés (R 20). Dim.: 1,4x2,1x0,4 cm. Sigla: MR6-12/00 TS42. Cuadro 11B - Nivel 1.

78. Fragmento de borde y cuerpo de cuenco, posiblemente de una Forma 37. Pasta tierra

verde tostada (M 47) y engobe rojo inglés (R 19). Diám.: 16,0 cm. Dim.: 2,0x2,2x0,6 cm. Sigla: MR4/01 TS15. Cuadro D9 – UE 9.

79. Pequeño fragmento de borde de posible Forma 46. Presenta una acanaladura delimitando el labio. Pasta tierra siena natural clara (N 39) y engobe rojo inglés (R 19). Diám.: 16,9 cm. Dim.: 0,5x1,8x0,4 cm. Sigla: MR6-12/00 TS43. Cuadro 11B - Nivel 1.

80. Seis fragmentos de borde y cuerpo de posible Forma 77. Pasta tierra siena tostada (M 37) y engobe rojo inglés (R 20). Diám. borde: 27 cm. Dim.: 3,5x10,2x0,5 cm. Sigla: MR7/00-1056-2. Pileta 2. UE 1056.

81. Fragmento de cuerpo de posible Forma 15/17. Presenta grafito en la superficie externa formando un círculo. La pieza contiene el arranque do lo que parece ser una moldura. Pasta tierra siena tostada (M 39) y engobe rojo inglés (R 19). Dim.: 0,7x2,2x0,7 cm. Sigla: MR6-12/00 TS80. Cuadro 5A – Nivel 1.

82. Fragmento de cuerpo y base con pie anular de sección triangular. Posee la característica moldura hispánica. Presenta marca de alfar fragmentada, de la que sólo se conserva una V final. Pasta tierra siena natural clara (N 37) y engobe rojo inglés (R 20). Diám.: 7,0 cm. Dim.: 1,3x6,6x0,9 cm. Sigla: MR6-12/00 TS75. Cuadro 9G – Nivel 1.

83. Fragmento de cuerpo y base de posible Forma 15/17. Pasta ocre carne (N 45) y engobe rojo inglés (R 19). Diám.: 9,0 cm. Dim.: 2,1x10,3x0,7 cm. Sigla.: MR4/01 TS04. Cuadro D4 – UE 61 (Caja del muro).

84. Fragmento de cuerpo y base de cuenco. Presenta pie anular de sección triangular con moldura hispánica. Presenta marca de fábrica fragmentada, en la que se le ON. Pasta tierra siena tostada (M 37) y engobe rojo inglés (R 20). Diám.: 5,0 cm. Dim.: 1,5x4,6x0,9 cm. Sigla: MR6-12/00 TS62. Cuadro 1A – Nivel 1.

85. Fragmento de cuerpo y base de un cuenco de TSH lisa. Pie anular de sección rectangular. Muestra línea acanalada formando un círculo en la superficie interna. El pie alto indicaría que no se trata de una pieza muy avanzada. Pasta rojo inglés claro (M 15) y engobe rojo inglés (R 20). Diám.: 6,0 cm. Dim.: 3,4x7,2x0,7 cm. Sigla: MR6-12/00 TS63. Cuadro 11E – Nivel 1.

86. Fragmento de cuerpo y base de un cuenco de TSH lisa. Pie anular de sección triangular bajo. Pasta tierra siena tostada (P 39) y engobe rojo inglés (P 20). Diám.: 4,0 cm. Dim.:

1,2x3,2x1,0 cm. Sigla: MR6-12/00 TS64. Cuadro 10 – Nivel 1.

87. Fragmento de base de posible Forma 8, con pie muy bajo. Pasta tierra siena tostada (M 37) y engobe rojo inglés (P 19). Presenta evidencias de una cocción mal regulada. Diám.: 6,0 cm. Dim.: 0,9x2,5x0,9 cm. Sigla: MR6-12/00 TS65. Cuadro 1'F – Nivel 1.

88. Fragmento de cuerpo e base. Presenta pie anular de sección rectangular bastante alto. Presenta una acanaladura circular en la superficie interna. Pasta tierra verde tostada (M 35) y engobe rojo inglés (R 19). Diám.: 6,2 cm. Dim.: 1,5x6,1x0,9 cm. Sigla: MR6-12/00 TS73. Cuadro 3C – Nivel revuelto.

89. Fragmento de cuerpo y base. Pie anular de sección rectangular, bastante bajo. Presenta una acanaladura circular en la superficie interna del pie. Pasta tierra siena tostada (M 37) y engobe rojo inglés (P 19). Diám.: 6 cm. Dim.: 1,3x3,8x0,8 cm. Sigla: MR6-12/00 TS74. Cuadro 3C – Nivel revuelto.

90. Fragmento de cuerpo y base con pie anular de sección rectangular. Posee moldura hispánica. Pasta tierra siena tostada (M 37) y engobe rojo inglés (R 19). Diám.: 6,2 cm. Dim.: 1,0x5,6x0,9 cm. Sigla: MR6-12/00 TS76. Cuadro 10B - Nivel 1.

91. Fragmento de base. Pie alto de sección rectangular. Presenta moldura hispánica. Pasta tierra siena tostada (M 37) y engobe rojo inglés (R 19). Diám.: 10,0 cm. Dim.: 1,6x5,2x1,0 cm. Sigla: MR6-12/00 TS77. Cuadro 9G – Nivel 1.

92. Fragmento de base con pie bajo de sección triangular. Posee moldura hispánica, presentado el característico círculo acanalado en la parte interna de la base y una marca digital sobre la parte interna del pie, realizada con el engobe todavía húmedo. Pasta rojo muy pálido (M 27) y engobe rojo venecia (S 20). Diám.: 6,2 cm. Dim.: 1,6x3,1x1,0 cm. Sigla: MR6-12/00 TS78. Cuadro 11B - Nivel 1.

93. Fragmento muy rodado de base de forma indeterminada. Presenta pie anular de sección triangular. Pasta tierra siena tostada (M 37) y engobe tierra siena natural claro (N 37). Dim.: 0,8x2,4x0,8 cm. Sigla: MR7/00-1003-3. Sector 1. Pileta E. UE 1003.

94. Fragmento de base con moldura hispánica. En la parte interna presenta una acanaladura de círculo bastante gruesa. Presenta marca de fábrica fragmentada, de la que solo se conserva una O. Pasta rosa (L 47) y engobe rojo inglés (R 19). Engobe de aplicación heterogénea, siendo más espeso en la parte interna que en la externa. Dim.: 0,6x2,8x0,6

cm. Sigla: MR6-12/00 TS79. Cuadro 12E – Nivel 1.

95. Fragmento de borde de forma indeterminada con labio destacado al exterior de sección redondeada. Pasta tierra siena natural clara (N 39) y engobe rojo inglés (R 19). Diám.: 16,5 cm. Dim.: 1,4x2,1x0,7 cm. Sigla: MR6-12/00 TS66. Cuadro 3B – Nivel 1.

96. Fragmento de cuerpo que podría corresponder a una Forma 15/17. Pasta rosa (L 25) y engobe tierra siena tostada (P 25). Dim.: 1,4x3,0x0,8 cm. Sigla: MR7/00-1025-1. P.S. Estancia S ocupación. UE 1025.

97. Fragmento de cuerpo de plato de TSH lisa. Posible 15/17. Pasta rosa (L 47) y engobe rojo inglés (P 20). Dim.: 2,5x2,2x0,6 cm. Sigla: MR4/01 TS67. Cuadro B3 – UE 61 (caja muro).

98. Fragmento de cuerpo de plato en TSH lisa. Pasta tierra siena tostada (M 37) y engobe rojo inglés (P 20). Dim.: 2,3x2,5x0,4 cm. Sigla: MR6-12/00 TS51. Cuadro 9A – Nivel 1.

99. Fragmento de cuerpo de posible plato. Pasta tierra siena tostada (M 37) y engobe rojo inglés (R 20). Dim.: 2,7x3,0x0,5 cm. Sigla: MR7/00-1003-2. Sector 1. Pileta E. UE 1003.

100. Pequeño fragmento de cuerpo de posible plato. Pasta tierra siena tostada (M 37) y engobe rojo inglés (R 20). Dim.: 1,5x2,8x0,4 cm. Sigla: MR7/00-1003-8. Sector 1. Pileta E. UE 1003.

101. Fragmento de cuerpo que podría corresponder a un plato. Pasta tierra verde tostada (M 35) y engobe rojo inglés (P 20). Dim.: 2,3x8,3x0,6 cm. Sigla: MR7/00-1045-1. Pileta 3. Colmatación antigua bajo derrumbe de *tegulae*. UE 1045.

102. Fragmento de borde y cuerpo de cuenco de TSH lisa. Pasta tierra siena tostada (M 37) y engobe rojo inglés (R 19). Diám.: 13,2 cm. Dim.: 2,2x4,5x0,5 cm. Sigla: MR6-12/00 TS40. Cuadro 12E – Nivel 1.

103. Fragmento de borde y cuerpo de cuenco de TSH lisa. Posee dos acanaladuras de escaso relieve, próximas al borde, localizadas en la superficie externa. Pasta rosa (L 47) y engobe rojo inglés (P 20). Dim.: 2,2x2,8x0,5 cm. Sigla: MR6-12/00 TS41. Cuadro 12C – Nivel 1.

104. Fragmento de borde y cuerpo de cuenco. Pasta tierra verde tostada (M 35) y engobe

tierra siena (R 39). Diám.: 13 cm. Dim.: 3,1x5,4x0,4 cm. Sigla: MR6-12/00 TS44. Cuadro 12E – Nivel 1.

105. Fragmento de borde y cuerpo de cuenco. Pasta tierra siena tostada (M 37) y engobe rojo inglés (R 19). Dim.: 2,2x2,4x0,5 cm. Sigla: MR6-12/00 TS45. Cuadro 10B - Nivel 1.

106. Fragmento de borde y cuerpo de cuenco en TSH lisa. Pasta tierra siena tostada (M 39) y engobe rojo inglés (P 20). Dim.: 1,6x2,2x0,5 cm. Sigla: MR6-12/00 TS46. Cuadro 12E – Nivel 1.

107. Fragmento de cuerpo de cuenco en TSH lisa. Pasta tierra siena tostada (M 37) y engobe rojo inglés (R 19). Parte del engobe aparece desconchado, con coloración más oscura. Dim.: 3,5x4,0x0,4 cm. Sigla: MR6-12/00 TS47. Cuadro 9A – Nivel 1.

108. Fragmento de cuerpo de cuenco en TSH lisa. Pasta tierra siena tostada (M 37) y engobe rojo inglés (R 19). Dim.: 1,8x4,7x0,5 cm. Sigla: MR6-12/00 TS48. Cuadro 10B - Nivel 1.

109. Fragmento de cuerpo de cuenco en TSH lisa. Pasta tierra siena tostada (M 39) y engobe rojo inglés (P 19). Dim.: 1,7x2,9x0,5 cm. Sigla: MR6-12/00 TS52. Muro de argamasa – Nivel 1.

110. Fragmento de cuerpo de cuenco en TSH lisa. Pasta tierra siena natural clara (N 39) y engobe rojo inglés (R 19). Dim.: 1,4x2,6x0,5 cm. Sigla: MR6-12/00 TS53. Cuadro 3B – Nivel 1.

111. Fragmento de cuerpo de cuenco de TSH lisa. Pasta rosa (L 47) y engobe rojo inglés (P 20). Dim.: 1,6x1,9x0,5 cm. Sigla: MR6-12/00 TS57. Cuadro 1A – Nivel 1.

112. Fragmento de cuerpo de cuenco de TSH lisa. Pasta tierra siena tostada (M 39) y engobe rojo inglés (P 19). Dim.: 1,9x1,7x0,4 cm. Sigla: MR6-12/00 TS58. Cuadro 11B - Nivel 1.

113. Fragmento de cuerpo de cuenco de TSH lisa. Pasta rosa (L 47) y engobe rojo inglés (P 20). Dim.: 1,5x1,8x0,4 cm. Sigla: MR6-12/00 TS59. Cuadro 10B - Nivel 1.

114. Pequeño fragmento de cuerpo de cuenco de TSH lisa. Pasta tierra verde tostada (M 35) y engobe rojo inglés (R 19). Dim.: 1,6x1,2x0,5 cm. Sigla: MR6-12/00 TS60. Cuadro 10B -

Nivel 1.

115. Fragmento de cuerpo de posible cuenco. Pasta tierra siena tostada (M 37) y engobe rojo inglés (R 20). Dim.: 2,1x3,4x0,7 cm. Sigla: MR7/00-1003-6. Sector 1. Pileta E. UE 1003.

116. Dos fragmentos de cuerpo de posible cuenco. Pasta tierra siena tostada (M 37) y engobe rojo inglés (P 20). Dim.: 3,7x3,9x0,6 cm. Sigla: MR7/00-1003-7. Sector 1. Pileta E. UE 1003.

117. Fragmento de cuerpo de TSH lisa. En la superficie externa se observa una línea acanalada de escaso relieve. Pasta tierra siena natural clara (N 39) y engobe rojo inglés (P 19). Dim.: 1,7x3,6x0,6 cm. Sigla: MR6-12/00 TS49. Cuadro 9G – Nivel 1.

118. Dos fragmentos de cuerpo de recipiente muy abierto en TSH lisa. Pasta tierra siena natural clara (N 37) y engobe rojo inglés (P 20). Dim.: 1,6x3,4x0,9 cm. Sigla: MR6-12/00 TS50. Cuadro 11B - Nivel 1.

119. Fragmento de cuerpo de TSH lisa. Pasta tierra siena tostada (M 39) y engobe rojo inglés (R 19). Dim.: 1,4x2,3x0,4 cm. Sigla: MR6-12/00 TS54. Cuadro 1C – Agujero de poste.

120. Fragmento de cuerpo de TSH lisa. Presenta acanaladura en la parte externa y tres en la interna, todas poco profundas. Pasta tierra siena tostada (M 37) y engobe rojo inglés (P 19). Dim.: 2,0x1,8x0,5 cm. Sigla: MR6-12/00 TS55. Cuadro 9G – Nivel 1.

121. Fragmento de cuerpo de TSH lisa. Pasta tierra siena tostada (M 37) y engobe rojo inglés (R 19). Dim.: 1,5x1,9x0,6 cm. Sigla: MR6-12/00 TS56. Descontextualizada.

122. Pequeño fragmento de cuerpo de TSH lisa. Pasta tierra siena tostada (M 39) y engobe tierra siena natural claro (N 37). Dim.: 1,2x1,4x0,4 cm. Sigla: MR6-12/00 TS61. Cuadro 1B – Nivel 1.

123. Fragmento de cuerpo. Pasta tierra siena natural clara (N 37) y engobe rojo inglés (P 19). Dim.: 3,8x6,0x0,7 cm. Sigla: MR6-12/00 TS67. Cuadro 11E – Nivel 1.

124. Fragmento de cuerpo con línea acanalada en la parte superior externa. Pasta tierra siena tostada (M 37) y engobe rojo inglés (R 19). Dim.: 2,2x2,6x0,7 cm. Sigla: MR6-12/00 TS68. Cuadro 10B - Nivel 1.

125. Fragmento de cuerpo de forma indeterminada. Presenta acanaladura horizontal en la parte exterior de la pieza. El interior conserva restos de engobe deficientemente aplicado. Pasta tierra siena tostada (M 37) y engobe rojo inglés (R 19). Dim.: 2,5x2,6x0,4 cm. Sigla: MR6-12/00 TS69. Cuadro 10B - Nivel 1.

126. Pequeño fragmento de cuerpo muy rodado. Pasta tierra siena tostada (M 37) y engobe rojo inglés (R 19). Dim.: 1,5x2,5x0,6 cm. Sigla: MR6-12/00 TS70. Cuadro 1'F – Nivel 1.

127. Pequeño fragmento de cuerpo. Pasta tierra siena tostada (M 39) y engobe rojo inglés (R 20). Dim.: 0,9x2,2x0,4 cm. Sigla: MR6-12/00 TS71. Cuadro 11C – Nivel 1.

128. Pequeño fragmento de cuerpo. Pasta tierra siena tostada (M 39) y engobe rojo venecia (R 17). Dim.: 0,7x2,0x0,6 cm. Sigla: MR6-12/00 TS72. Cuadro 11C – Nivel 1.

129. Pequeño fragmento indeterminado. Pasta tierra siena natural clara (N 37) y engobe rojo inglés (R 19). Dim.: 0,6x1,3x0,6 cm. Sigla: MR6-12/00 TS81. Cuadro 3A – Nivel 1.

130. Fragmento indeterminado con evidencias de entrada de humo durante el proceso de cocción. Pasta tierra verde tostada (N 49) y engobe tierra siena tostada (P 27). Dim.: 1,8x2,4x0,6 cm. Sigla: MR4/01 TS35 Cuadro C6 – UE 9.

131. Pequeño fragmento de cuerpo de TSH lisa. Pasta tierra siena natural clara (N 37) y engobe tierra de siena (S 39). Pasta con gran cantidad de elementos no plásticos compuestos por granos de calcita. Dim.: 1,0x2,6x0,5 cm. Sigla: MR4/01 TS14. Cuadro E6 – UE 12.

132. Pequeño fragmento de cuerpo de TSH lisa. Pasta rojo inglés (P 19) y engobe rojo inglés (R 20). Posee engobe por ambas superficies. Dim.: 1,8x1,8x0,2 cm. Sigla: MR4/01 TS32. Cuadro B7 – UE 9.

133. Pequeño fragmento de cuerpo de TSH lisa. Pasta tierra ocre carne (N 45) y engobe rojo inglés (R 19). Pasta con gran cantidad de granos de calcita. Muestra acanaladura externa. Dim.: 0,9x2,9x0,4 cm. Sigla: MR4/01 TS59. Cuadro B5 – UE 9 (transición).

134. Dos fragmentos de cuerpo de forma indeterminada. Pasta tierra verde tostada (M 35) y engobe rojo inglés (P 20). Dim.: 3,1x4,2x0,6 cm. Sigla: MR7/00-0141-4. UE 0141.

135. Fragmento rodado de cuerpo de forma indeterminada. Pasta tierra verde tostada (M 35)

y engobe rojo inglés (P 20). Dim.: 3,1x3,2x0,5 cm. Sigla: MR7/00-0141-3. UE 0141.

136. Fragmento muy rodado de cuerpo de forma indeterminada. Pasta tierra verde tostada (M 35). No conserva engobe. Dim.: 2,4x2,3x0,6 cm. Sigla: MR7/00-0141-2. UE 0141.

137. Fragmento muy rodado de cuerpo. Pasta y engobe tierra siena natural claro (M 37). Dim.: 1,7x3,0x0,5 cm. Sigla: MR7/00-1029-3. Sector 1. Pileta 3 (Parte superior del relleno de escombro de la zanja del muro N). UE 1029-1043.

138. Fragmento muy rodado de cuerpo de posible plato. Pasta tierra siena tostada (M 37) y engobe rojo inglés (R 20). Dim.: 3,4x2,8x0,5 cm. Sigla: MR7/00-0218-01. UE 0218.

139. Pequeño fragmento de cuerpo de TSH lisa. Pasta pardo muy pálido (M 55) y tierra siena natural clara (N 37). Posee engobe por ambas superficies presentando círculo acanalado en el interior. La cocción es defectuosa y presentan gran cantidad de granos de calcita. Dim.: 0,5x2,8x0,5 cm. Sigla: MR4/01 TS60. Cuadro B9 – UE 34.

140. Fragmento de cuenco. Pasta tierra verde tostada (M 50) y engobe tierra rojo inglés (R 20) con evidencias de cocción mal regulada. Dim.: 2,9x3,9x0,6 cm. Sigla: MR7/00-1043-11. Pileta 3.

3.3.1.4. SELLOS DE ALFARERO

Se presentan varios sellos de alfarero localizados en Bueu, todas correspondientes a TSH. Cuatro de ellos –[..]MP, O[...], ON [...] y [...]V- fueron publicados (CÉSAR VILA, 2003a) y recientemente incluidos en la adenda al *corpus* de sellos de alfarero en *terra sigillata* localizados en Galicia (CAAMAÑO GESTO; LÓPEZ PÉREZ, 2006). Se incluyen además los materiales procedentes de la intervención realizada en la Rúa Montero Ríos, 7 en 2000, donde fue identificada otra marca indeterminada fragmentada con la leyenda OII[...].

[..]MP. Núm. 35.

Fragmento de cuerpo y base de Forma 15/17. Presenta cartela incompleta de 12 mm de largo por 5,5 de ancho. El extremo conservado presenta forma semicircular. Posee un círculo con decoración burilada de 48 mm de diámetro, exterior a otra línea incisa de 38 mm de diámetro. El pie de la vasija presenta un diámetro interno de 80 mm y uno externo de 88 mm, con una altura de 7 mm.

El epígrafe está mutilado, conservándose únicamente las dos últimas letras, MP. La M debido a la fractura, no conserva los rasgos del ángulo superior izquierdo.

Posiblemente se trate del alfarero tritiense *SEMPRONIVS*, ya que no han sido localizado sellos de alfarero hispanos que firmen con el MP final. Debe tenerse en cuenta que el tipo de cartela (rectangular de ángulos curvos) fue utilizada en la mayor parte de las piezas producidas en el alfar de este ceramista, concretamente situado en Los Pozos. A ello se suma el hecho de que se trate de una Forma 15/17, fabricada de manera asidua en este taller.

De este alfarero se tritiense (BELTRÁN LLORIS, 1990: 115; CAAMAÑO GESTO, 1979: 86; CAAMAÑO GESTO; LÓPEZ PÉREZ, 2006: 107; CARREÑO GASCÓN, 1997: 57; MAYET, 1984: 173; SÁENZ PRECIADO, 1999: 124-125), se tienen documentado marcas en Los Castillones (Málaga) (BELTRÁN LLORIS, 1990: 115), Beja, *Conimbriga*, *Italica*, Mallén (Zaragoza), Mérida, Padraozinho (Alentejo), Tarragona (BELTRÁN LLORIS, 1990: 115; CAAMAÑO GESTO, 1979: 86-87; MAYET, 1984: 173; SÁENZ PRECIADO, 1999: 124-125), *Arcobriga*, *Complutum*, Numancia, *Valeria*, (BELTRÁN LLORIS, 1990: 115; CAAMAÑO GESTO; LÓPEZ PÉREZ, 2006: 107; CARREÑO GASCÓN, 1997: 57; ROMERO CARNICERO, 1985: 277-278; SÁENZ PRECIADO, 1999: 124-125), *Ercavica* (BELTRÁN LLORIS, 1990: 115; CAAMAÑO GESTO, 1979: 86-87; SÁENZ PRECIADO, 1999: 124-125), Arcaya (Álava) (BELTRÁN LLORIS, 1990: 115; CAAMAÑO GESTO; LÓPEZ PÉREZ, 2006: 107; SÁENZ PRECIADO, 1999: 124-125), Alcacer do Sal, Suel (Fuengirola), Vaiamonte (Alentejo), Valencia, (BELTRÁN LLORIS, 1990: 115; MAYET, 1984: 173; SÁENZ PRECIADO, 1999: 124-125), Barcabao (Espejo, Álava), *Pollentia*, Torre de Palma, Tossal Redo (Alcanó, Lleida), Uclés, Villaseca de Arciel (Soria), (BELTRÁN LLORIS, 1990: 115; SÁENZ PRECIADO, 1999: 124-125), *Banasa*, Barbantes (Rivadabia, Ourense), El Pradillo (Badajoz), Elx, Extremadura, Huerna (León), Huerña, *Museo Machado de Castro* (procedencia desconocida), Patera, Riotinto, Troia de Setúbal, Vegas de Ortiga (Badajoz) (CAAMAÑO GESTO, 1979: 86-87), Almodóvar (Córdoba), Fiaes (CAAMAÑO GESTO, 1979: 86-87; CARREÑO GASCÓN, 1997: 57; SÁENZ PRECIADO, 1999: 124-125), *Belo*, Chellah, *Lixus* (CAAMAÑO GESTO, 1979: 86-87; MAYET, 1984: 173), *Banasa*, *Sala*, *Vipasca* (Aljustrel), *Volubilis* (CAAMAÑO GESTO, 1979: 86-87; MAYET, 1984: 173; SÁENZ PRECIADO, 1999: 124-125), Padraozinho (CAAMAÑO GESTO, 1979: 86-87; SÁENZ PRECIADO, 1999: 124-125), El Castillejo, Ermitas (Álava), Represas, Torre de Ares (CAAMAÑO GESTO; LÓPEZ PÉREZ, 2006: 107), Portal de La Magdalena (Lleida) (CARREÑO GASCÓN, 1997: 57; CAAMAÑO GESTO; LÓPEZ PÉREZ, 2006: 107), Astorga, León, *Lucus Augusti*, *Segobriga* (CAAMAÑO GESTO; LÓPEZ PÉREZ, 2006: 107; CARREÑO GASCÓN, 1997: 57; SÁENZ PRECIADO, 1999: 124-125), Arapiles (Salamanca),

Bilbilis, Castroverde de Campos, *Caesaraugusta*, Ciudad Real, Colonia, El Quinto (Seseña, Toledo), Ibiza, *Ilerda*, Libia, London, Medellín, Osca, Ribeiro, Rosinos de Vidriales (Zamora), *Vareia* (CARREÑO GASCÓN, 1997: 57; SÁENZ PRECIADO, 1999: 124-125), Campillo (Málaga), Córdoba y Sevilla (MAYET, 1984: 173; SÁENZ PRECIADO, 1999: 124-125).

Sobre este alfarero existe la hipótesis de la existencia de varias generaciones dedicadas a la fabricación de cerámica, como es el caso también de la familia de *LAPILLIVS* o *VALERIVS*, debido esencialmente al amplio mercado que abarcan sus productos y al hecho de aparecer sus marcas en varios centros de Tricio (SOLOVERA SAN JUAN, 1987: 89).

Bibliografía: CÉSAR VILA, 2003a: 57-58; Fotografía 1; CAAMAÑO GESTO; LÓPEZ PÉREZ, 2006: 106-107, Fig. 5.

O[...]. Núm. 94.

Fragmento de base de forma indeterminada. Presenta cartela incompleta de 7 mm de largo por 5 de ancho. El extremo conservado es rectangular y bífido. El sello está inscrito en un círculo acanalado ancho de 36 mm de diámetro. No conserva el pie de la base.

La letra del epígrafe se le perfectamente. Se trata de una O, sin poder determinarse si es inicial o final, si bien posiblemente pueda tratarse del primero correspondiendo al O inicial de *oficina*. Por otra parte, cabe señalar que la lista de alfareros hispánicos que firman con una O inicial es amplia. No se puede por lo tanto adscribir con exactitud el taller de procedencia de esta pieza.

Bibliografía: CÉSAR VILA, 2003a: 57-58; Fotografía 2; CAAMAÑO GESTO; LÓPEZ PÉREZ, 2006: 111.

OII[...]. Núm. 15

Nueve fragmentos muy rodados conforman el perfil completo de una Forma 15/17. La marca, inédita, muestra una cartela incompleta de 7 mm de largo por 4 de ancho. El extremo conservado es rectangular. La cartela está inscrita en un círculo acanalado de 35 mm de diámetro y el pie presenta un diámetro interno de 76 mm y un externo de 84 mm, con una altura de 7 mm.

Las letras del epígrafe se conservan muy deterioradas debido a un agresivo lavado. Se trata de una O y de dos trazos verticales, posiblemente en posición inicial. Probablemente la primera letra corresponda a la fórmula O inicial de *officina*. Luego podría continuar el nombre

del alfarero que comenzaría por I, N o IN. Son numerosos los alfareros hispanos que podrían firmar con las combinaciones sugeridas, en el caso de que la segunda letra fuera la correcta, por lo que no se puede atribuir esta pieza a ningún ceramista conocido.

ON[...]. Núm. 84.

Fragmento de base de cuenco. Muestra un cartucho incompleto de 6 mm de largo por 3 de ancho. El extremo conservado es rectangular. La cartela está inscrita en un círculo acanalado doble de 34 mm de diámetro. El pie posee un diámetro interno de 41 mm y uno externo de 50 mm con una altura de 11 mm.

Las letras del epígrafe se conservan correctamente. Se trata de una O y una N, probablemente en posición inicial. Es posible que la primera letra corresponda a la fórmula O inicial de *officina*. Luego podría continuar el nombre del alfarero que comenzaría por N. Son varios los ceramistas hispanos que firman con un N inicial, por lo que no se puede atribuir con seguridad a uno concreto.

Bibliografía: CÉSAR VILA, 2003a: 59-60; Fotografía 3; CAAMAÑO GESTO; LÓPEZ PÉREZ, 2006: 114.

[...]V. Núm. 82.

Fragmento de base de forma indeterminada. Presenta cartela incompleta de 8 mm de largo por 4,5 de ancho. El extremo conservado es rectangular. El sello está inscrito en un círculo de 40 mm de diámetro. El pie de la vasija tiene un diámetro interno de 62 mm y uno externo de 70 mm, con una altura de 4 mm.

La letra del epígrafe resulta de fácil lectura. Se trata de un V final con los dos rasgos desiguales. Por tratarse de una sola letra, no resulta posible identificarla con la marca de ningún alfarero en particular de los que pudieran tener firmado con una V final.

Bibliografía: CÉSAR VILA, 2003a: 60; Fotografía 4; CAAMAÑO GESTO; LÓPEZ PÉREZ, 2006: 115.

3.3.1.5. CONSIDERACIONES SOBRE LA TSH DE BUEU

La evaluación de la TSH hispánica localizada en Bueu reúne gran cantidad de caracteres coincidentes con otros yacimientos peninsulares y de lo conocido en el NW peninsular. Los 140 ejemplares estudiados (núms. 1-140) se corresponden con el 40% del total de las

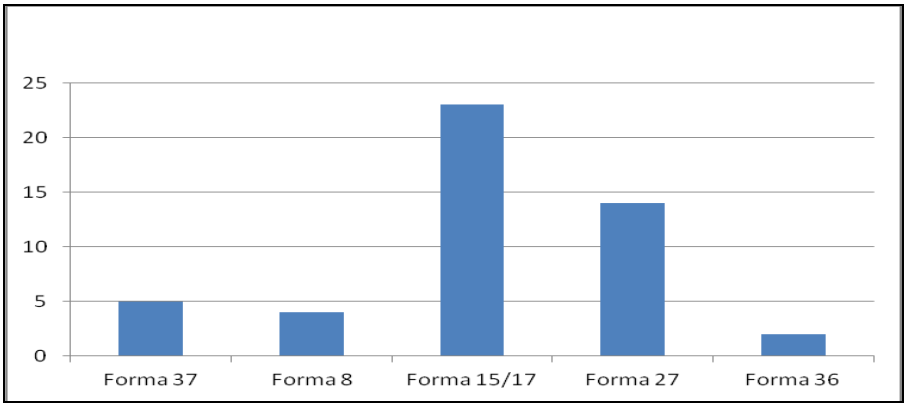
sigillatae de Bueu (347). De ellos, 10 se tratan de fragmentos con decoración (2,15%) y 130 carecen de ella (92,85%).

Se manifiesta de este modo la tendencia observada en otros yacimientos peninsulares, así como para el caso inmediato del ámbito coruñés (LÓPEZ PÉREZ, 2004), que apunta hacia una amplia representatividad de individuos de la Forma 15/17 y Forma 27 -más numerosa la primera-, correspondiente a tipos lisos, así como de la Forma 37 en lo que a cerámica moldada se refiere. Más escasos resultaron ser los ejemplares adscritos a otros tipos como la Forma 8 y la Forma 36, así como otras de atribución dudosa. No obstante serían indicativos de una comercialización constante, donde el aglomerado de Bueu realizaría tareas como centro redistribuidor de mercancías.

TSH		
Forma	**Piezas**	**Porcentaje**
Forma 37	5	10,4%
Forma 8	4	8,3%
Forma 15/17	23	47.9%
Forma 27	14	29,2%
Forma 36	2	4,2%

Porcentajes de formas de TSH localizada en Bueu

En cuanto a la cronología, decir que la TSH se corresponde con la cerámica fina más antigua localizada en Bueu y que bien podría corresponder con la fundación de este enclave costero. Los atributos formales, decoraciones y características de pastas y engobes, señalan una tendencia a una etapa no temprana, apoyada en la total ausencia de TSG. Se distinguen decoraciones características del siglo II d.C. con otras que podrían adscribirse al III d.C., correspondientes a la llamada fase de transición entre TSH y TSHT. Los platos abiertos, los pies bajos, los engobes de peor calidad, las pastas menos depuradas e incluso la relativa abundancia de piezas con acabados poco cuidados, apuntan en esta dirección.



Representatividad de formas documentadas en TSH en Bueu

3.3.2. *TERRA SIGILLATA* HISPÁNICA BAJOIMPERIAL (TSHT)

El estado actual de la cuestión para la TSHT se encuentra en una situación de desventaja en relación con la TSH altoimperial. La escasez de estratigrafías es el principal problema, si bien es cierto cada vez se están publicando más trabajos con datos más completos y fiables.

La etapa entre finales del siglo II y principios del III d.C. parece ser la que más problemas presenta. Para Mayet, existe una anomalía en esta fase, produciéndose posteriormente un nuevo impulso en época tardía. Para la segunda etapa del siglo IV se dispone de datos más fiables. De aquí son característicos la Forma 37 tardía, el segundo estilo decorativo, la aparición de formas nuevas y los estampados en el borde interior y exterior del fondo. La TSHT dejó de ser trabajada en el primer cuarto del siglo VI d.C.

Hasta hace pocos años, existía cierta confusión y aspectos erróneos sobre su conocimiento que afectaban a la propia identificación de las distintas producciones. Esta complejidad se debía en buena medida a las profundas transformaciones acaecidas en el bajoimperio, que difícilmente encajaban bajo la óptica que del mundo antiguo clásico existía.

El fenómeno de la acusada competencia con los productos tardíos, bien africanos o galos, llevó a que las características de la TSHT cambiaran, teniendo que adaptarse a las demandas de los consumidores y así evitar la constante pérdida de mercados, que se hizo irreparable en la franja mediterránea peninsular. Se producirá la confluencia de dos estilos en la confección de la TSHT, basada en la suma del carácter de la TSH altoimperial y la aportación de aspectos foráneos, principalmente otorgados por la TSAD y por las denominadas narbonenses (CARANDINI, 1981), datos que sirvieron a Caballero Zoreda (CABALLERO ZOREDA, 1985) para distinguir tres grupos dentro de la TSH bajoimperial[13]. Se diferencia una TSH bajoimperial que asume la tradición anterior, un segundo grupo influenciado por los tipos africanos y que fuera identificada como *terra sigillata tardía regional* (DELGADO, 1975) o *de las necrópolis del Duero* (CABALLERO ZOREDA, 1974), así como una tercera producción influenciada por la *terra sigillata* gálica tardía que pasó a ser conocida como *terra sigillata* hispánica de imitación paleocristiana, y que hoy algunos autores prefieren denominar como *terra sigillata* hispánica tardía de imitación narbonense.

[13] Un análisis historiográfico exhaustivo acerca de la TSHT, se ofrece en el capítulo introductorio de la obra de López Pérez acerca de los materiales localizados en la provincia de A Coruña (LÓPEZ PÉREZ, 2004: 373-378).

La compartimentación del mundo altoimperial desaparece en época tardía, provocando por una proliferación de producciones diversas, generando la aparición de diferentes denominaciones y clasificaciones por parte de los autores a la hora de referirse a una misma producción[14].

Respeto a los elementos distintivos y aspectos técnicos, la TSHT se caracteriza físicamente por poseer pastas de color anaranjado, con abundantes materiales no plásticos, con un predominio del cuarzo sobre el feldespato y el abandono de las pastas calcáreas. Los engobes presentarán una color rojo claro o anaranjado, más próximo al de las producciones africanas que al de la propia TSH altoimperial, siendo muy poroso y fino. Se observará también una cierta variabilidad a lo largo del tiempo. En las formas antiguas es homogéneo y compacto, mientras que en las tardías aparece bastante degenerado, llegando a ser sólo un ligero engobe en las formas del siglo IV. La variabilidad de la intensidad y brillo es consecuencia directa de las cocciones a bajas temperaturas, como de las condiciones edáficas en las que se conservaron.

Los centros productores se localizan en la Meseta, agrupándose en de los focos alfareros principales conocidos como del Valle del Najerilla (La Rioja) y del Duero (Burgos). Su capacidad productiva y su radio de difusión serán considerablemente menores a los conocidos para los talleres de época altoimperial.

La elección de una denominación de formas y clasificación tipológica de una producción cerámica tratada por varios autores a lo largo del tiempo resulta siempre problemática. En este aspecto como en general para la *sigillata* hispánica, fue Mezquíriz quien realizó las primeras definiciones, ordenando y estableciendo una terminología para todas las formas a las que tuvo acceso (MEZQUÍRIZ DE CATALÁN, 1961). En su obra se ofrece la enumeración de ciertas formas tardías de manera integrada, correlativa a todo el conjunto de la TSH. Más tarde Palol, al estudiar los materiales tardíos de la *villa* romana de la Olmeda en Pedrosa de la Vega (1974), con un enfoque diferente, ensaya una nueva tipología, totalmente independiente, iniciando una enumeración inédita que abarca hasta el número 14, siendo todas formas lisas.

La última sistematización realizada corresponde a la Mesa Redonda celebrada en Andújar (ROCA ROUMENS; FERNÁNDEZ GARCÍA: 1999), siguiendo los parámetros de

[14] Sobre este debate se pueden consultar los traballos de Juan Tovar (1997), López Rodríguez y Regueras Grande (1987) o Caballero Zoreda (1972; 1974; 1985).

clasificación integradora propuestos anteriormente en el Boletín del Museo Arqueológico Nacional.

En cuanto a la difusión en el Noroeste, Naveiro distinguió un reparto escaso pero equitativo entre las distintas zonas, entre costa e interior e incluso entre los diferentes tipos de yacimientos (NAVEIRO LÓPEZ, 1991: 46-48; Fig. 9; Mapa 9). Sin embargo, su muestra representada resulta parcial, en virtud de que sólo son incluidas las piezas decoradas a molde. Actualmente el panorama se ha incrementado significativamente para las provinciales de A Coruña y Pontevedra, donde aparecen bien representadas principalmente en los ámbitos costeros, si bien sufrirán la clara competencia de las producciones africanas. Se observa una distribución equitativa pero escasa. Se encuentra en diversos puntos de la costa y de aquí en áreas relacionadas con los cursos fluviales mejor navegables de la zona noroccidental: Duero, Miño, Ulla, Tambre, etc[15].

3.3.2.1. FORMAS DECORADAS

3.3.2.1.1. FORMA 37

La descripción formal de la Forma 37 tardía sería la de tipo de cuello alto exvasado o vertical, terminado en uno borde generalmente almendrado, aunque también puede ser liso. El cuerpo es de forma abombada, correspondiendo a la zona decorada. El pie es casi inexistente y la base suele presentar en el exterior la típica moldura hispánica. Para Mayet los diámetros del borde oscilan entre los 14 y los 26 cm, aunque se conocen ejemplares de menor diámetro. Se distinguen dos tipos conservando las clasificaciones de Palol, Mezquíriz y López. La variante A se caracteriza por presentar un cuello ancho y abierto, con tendencia a la verticalidad, rematado en borde liso. La variante B se corresponde con un vaso de cuello exvasado y recto acabado con borde que puede ser redondeado en el exterior, o con una faja plana. Mezquíriz dató el inicio de la producción, según las estratigrafías de *Pompaleo* a finales del siglo III. López, mediante el estudio y análisis de algunas estratigrafías, propone su origen en el transcurso del siglo IV, quizás hacia la mitad de siglo,

[15] En el NW se localiza TSHT en A Lanzada (Pontevedra), As Neves (Pontevedra), Bares (A Coruña), Bueu (Pontevedra), Castro de Elviña (A Coruña), Castro de Fazouro (Lugo), Castro de Viladonga (Lugo), Catoira (Pontevedra), Cidadela (A Coruña), Cirro (A Coruña), Coruña, Currás (Pontevedra), *Iria* (A Coruña), Lugo, Noville (A Coruña), O Grove (Pontevedra), Penadominga (Lugo), Redondela (Pontevedra), San Xiao de Moraime (A Coruña), Santiago de Compostela (A Coruña), Taboexa (Pontevedra), Toralla (Pontevedra), Vigo (Pontevedra) y Vilamartín de Valdeorras (Ourense).

propuesta confirmada en las excavaciones de la provincia de Zaragoza. Respecto a la finalización de su fabricación, coincidiría con el de la propia producción, cronología que por el momento parece poco precisa, si bien todas las evidencias apuntan hacia los primeros años del siglo VI (PAZ PERALTA, 1991: 117, 119).

Esta forma tiene por lo tanto un predominio fundamental dentro de los recipientes propios del siglo III y en adelante, hasta el punto de que los demás tipos quedan numéricamente desproporcionados. Únicamente se constatan hasta el momento en la zona de Tricio, si bien en los demás talleres riojanos, las piezas no pasan más allá de este siglo. En Tricio perdura la tradición cerámica, demostrada, por la continuidad de la Forma 37.

Su difusión es amplia. Los núcleos que la importan son por regla general los mismas que lo hacían con la TSH en momentos altoimperiales, aunque se observa una clara merma en las proporciones. Será documentada tanto en núcleos urbanos como en pequeños enclaves. No se debe descartar la influencia de la crisis económica y la desaparición, o reducción de notables grupos de población. Entre los núcleos importadores aparecen Arguedas, Calatorao, Corella, Estollo, Ezcaba, La Olmeda, Liédena, Mérida, Numancia, Pamplona, Peñaforúa, Ramalete, Tarragona e Torre del Mal Paso (SOLOVERA SAN JUAN, 1987: 102-103).

Se recogieron 16 fragmentos que pueden ser adscritos a la Forma 37 tardía decorada (núms. 141-156). Se conservan tres bordes, dos correspondientes a la variante B de la Forma 37 tardía (núms. 141-142) y uno que correspondería a la variante A (143).

Siete fragmentos muestran decoración perteneciente al primer estilo decorativo (núms. 144-146, 148-151) donde predomina la presencia de rosetas, bien como motivo único formando frisos, bien combinadas con otros motivos tales como círculos dentados y elementos verticales, siendo el núm. 146, semejante al de una pieza localizada en Zaragoza (PAZ PERALTA, 1991: Fig. 48, núm. 280). La pieza número 150 presenta un círculo dentado sobre otro de línea gruesa sinuosa, de los que se encuentran motivos similares en la tabla 1B de López, si bien, no idénticos (LÓPEZ RODRÍGUEZ, 1985: Fig. 7). Un círculo dentado es similar a alguno de los presentados por López (LÓPEZ RODRÍGUEZ, 1985: Fig. 7). Más comunes son los motivos de la pieza número 151 donde se aprecian dos rosetas correspondientes al tipo 1A de la clasificación de López Rodríguez (LÓPEZ RODRÍGUEZ, 1985: Fig. 7). Se trata de la roseta más extendida, caracterizada por la confluencia de sus pétalos en una masa central en la que existe un hueco (LÓPEZ RODRÍGUEZ, 1985: 52). El motivo representa ocho pétalos correspondiéndose con el más frecuente. El autor destaca lo habitual de los defectos de impresión, patentes en el ejemplar presente. El motivo inferior se

corresponde con un círculo ondulado con motivo central del que se desconoce la tipología debido a la fragmentación de la pieza. En todo caso se trataría de un círculo de línea sinuosa del tipo 1B/7-10 de López Rodríguez (LÓPEZ RODRÍGUEZ, 1985: Fig. 7). Es otro motivo frecuente del mundo tardío, siendo habitual su combinación con rosetas y otros círculos (LÓPEZ RODRÍGUEZ, 1985: 55). Más difícil de adscribir resultan los motivos de otras piezas (núms. 152-153) debido a la mutilación, apuntando sin embargo, en base a su longitud, la posibilidad de pertenencia al segundo estilo decorativo.

En el primer estilo decorativo clasificado por Mayet, predominan los motivos de pequeño tamaño dispuestos de dos a cinco frisos, dependiendo del tamaño del vaso, siendo más frecuente la utilización de tres frisos alejados por una fina moldura lisa. Este estilo decorativo se corresponde a la continuación del utilizado en el siglo III sobre vasos de la Forma 37 y está claramente inspirado en el repertorio del Alto Imperio empleando rosetas, círculos dentados, ondulados y simples, motivos verticales de separación, etc. En raras ocasiones aparecen figuras de animales y humanas (PAZ PERALTA, 1991: 104). Para Mayet este estilo se fabricó en los talleres de Tricio y Nájera como lo confirman los descubrimientos efectuados en las investigaciones llevadas a cabo por Elorza y Garabito. El alfar del siglo IV descubierto en Tricio produciría en este estilo decorativo.

De la fase evolutiva intermedia sería la pieza número 154, que contiene series de círculos dentados, de buen tamaño, uno de ellos con un alfabetiforme (B) en el interior. Las características de la pasta y engobe, así como los motivos decorativos, sugieren su pertenencia a un momento avanzado dentro del desarrollo de la TSH, conocida como fase transicional.

Se conservan dos fragmentos pertenecientes al denominado segundo estilo (núms. 155-15) en los que destacan grandes círculos con composición decorativa interior correspondientes al motivo 3A/1-1 de López (LÓPEZ RODRÍGUEZ, 1985: Fig. 16).

Será este el estilo más representado de los utilizados para decorar los vasos de *sigillata* hispánica tardía y estará presente en todas las formas decoradas. Es fácil distinguirlo y se caracteriza por estar compuesto por grandes círculos o semicírculos que forman composiciones muy variadas que se completan con líneas onduladas o sencillas, espigas, rosetas, flechas, motivos cruciformes y en algunos casos, con figuras humanas. Se localiza en contextos tardíos a partir del siglo IV y hasta que desaparece la TSHT.

141. Fragmento de borde de Forma 37B tardía. Pasta y engobe tierra siena tostada (M 39). Diám.: 16,4 cm. Dim.: 1,4x3,0x0,5 cm. Sigla: MR6-12/00 TS82. Cuadro 2A – Nivel 1.

142. Tres fragmentos de borde y cuerpo muy rodados de Forma 37B tardía con el característico borde oblicuo y labio en almendra. Pasta tierra siena tostada (M 37) y engobe rojo inglés (P 20). Dim.: 2,8x4,4x0,6 cm. Sigla: MR07-1046-17. Pileta 4. UE 1046.

143. Fragmento muy rodado de borde y cuerpo de Forma 37A tardía. Labio tipo 2 de la clasificación de López Rodríguez (LÓPEZ RODRÍGUEZ, 1985: Fig. 2). Pasta ocre carne (N 40). No conserva restos de engobe. Dim.: 1,7x2,4x0,5 cm. Sigla.: MR4/01-TS34. Cuadro A9' – UE 34.

144. dos fragmentos de cuerpo muy rodados de Forma 37 tardía. Se conservan los dos frisos inferiores separados por líneas horizontales, donde se representan series de rosetas con círculos concéntricos en el interior. Pasta (M 37) y engobe (P 37) tierra siena tostada. Dim.: 3,8x7,0x0,5 cm. Sigla: MR07-1046-04. Pileta 2. UE 1046.

145. Fragmento de cuerpo muy rodado de Forma 37 tardía. Contiene serie de rosetas, de las que sólo se conservan dos sobre línea horizontal. Pasta tierra verde tostada (M 35) y engobe tierra siena natural claro (N 39). Dim.: 2,9x3,1x0,5 cm. Sigla: MR07-1043-19. Pileta 3. UE 1043.

146. Fragmento de cuerpo de Forma 37 tardía. Pese al rodaje, se distingue una serie de motivos decorativos compuestos por una roseta en el interior de un círculo dentado, un elemento vertical y rosetas aisladas. Corresponde al friso inferior de la pieza. Pasta tierra siena natural clara (N 39) y engobe tierra de siena (S 37). Dim.: 3,4x5,6x0,6 cm. Sigla: MR6-12/00 TS83. Cuadro 1F – Nivel 1.

147. Fragmento de borde y cuerpo de Forma 37 tardía. Conserva decoración indeterminada, por causa de la mala conservación. Pasta tierra siena natural clara (N 37) y engobe rojo inglés (P 19). Dim.: 2,8x2,9x0,5 cm. Sigla: MR4/01 TS68. Cuadro B9 – UE 34.

148. Fragmento rodado de cuerpo de forma indeterminada perteneciente a la parte inferior de la pieza. Presenta friso con roseta dentro de círculo dentado. Pasta rosa (L 25) y engobe rojo inglés (R 20). Dim.: 1,9x3,0x0,4 cm. Sigla: MR7/00-1046-6. Pileta 2. UE 1046.

149. Fragmento muy rodado de cuerpo de forma indeterminada decorada. Pese al rodaje, se intuyen tres rosetas. Pasta tierra verde tostada (M 35) y engobe rojo inglés (P 20) sólo conservado en la cara interna. Dim.: 3,1x4,0x0,6 cm. Sigla: MR7/00-0141-1. UE 0141.

150. Fragmento rodado de cuerpo de forma indeterminada perteneciente a la parte inferior

de la pieza. Presenta dos frisos separados por una línea. El superior muestra círculo dentado mientras que el inferior presenta círculo de línea gruesa sinuosa. Pasta rosa (L 25) y engobe rojo inglés (R 20). Dim.: 2,2x3,4x0,6 cm. Sigla: MR7/00-1046-5. Pileta 2. UE 1046.

151. Fragmento de cuerpo. Decoración compuesta por círculo ondulado y rosetas. Pasta y engobe tierra siena natural claro (N 39). Dim.: 2,0x4,0x0,7 cm. Sigla: MR6-12/00 TS84. Cuadro 1'F – Nivel 1.

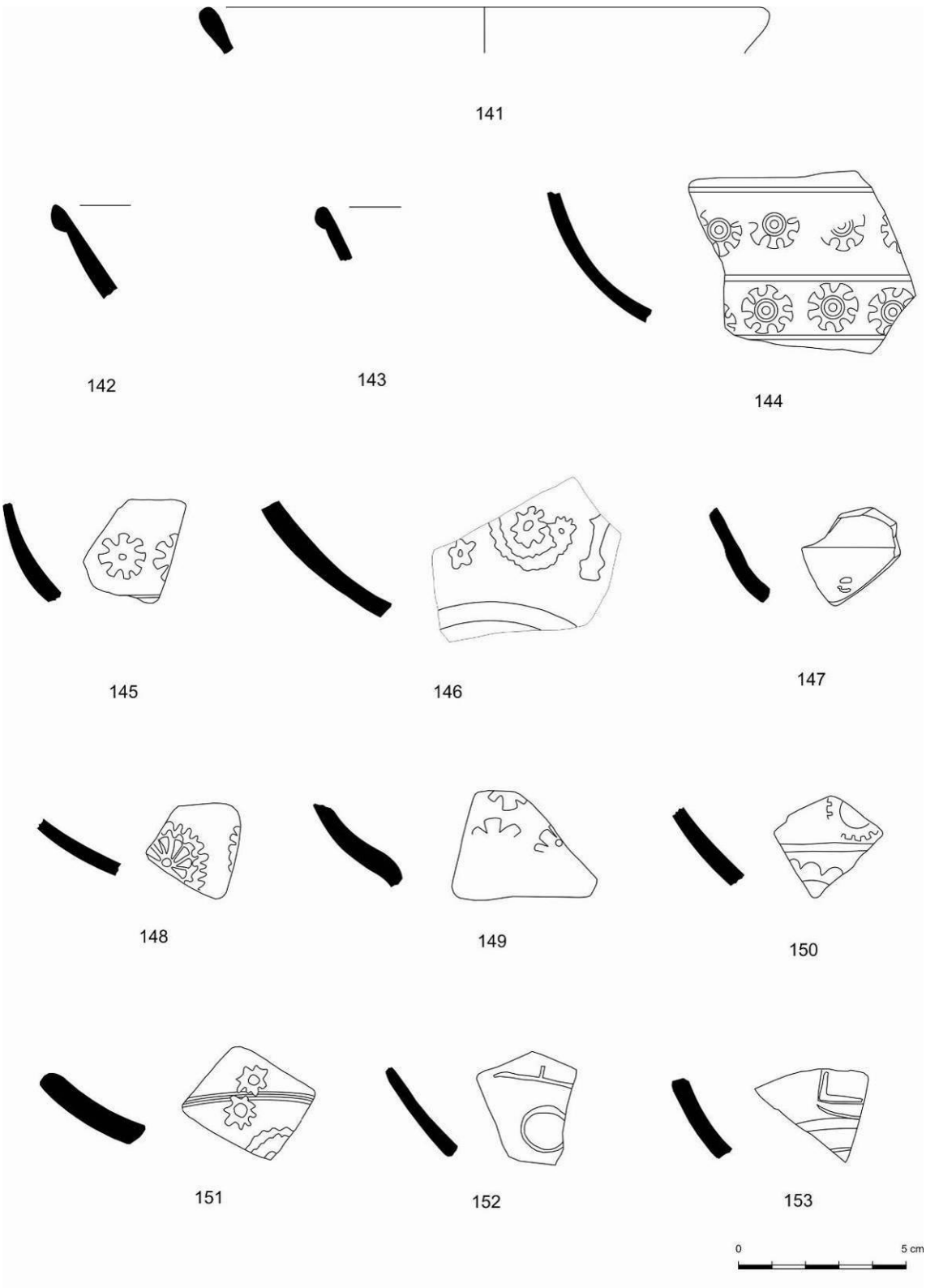
152. Fragmento de cuerpo. Se diferencian un círculo bajo una línea con motivos decorativos indeterminados. Posible relación con el fragmento 153. Pasta ocre carne (M 45) y engobe tierra siena tostada (P 37). Dim.: 2,6x3,0x0,5 cm. Sigla: MR4/01 TS37 . Cuadro E5 – UE 9.

153. Fragmento de cuerpo. Muestra motivos decorativos indeterminados sobre una línea acanalada. Posible relación con el fragmento número 152. Pasta tierra siena natural clara (M 39) y engobe rojo inglés (P 17). Dim.: 2,4x3,4x0,5 cm. Sigla: MR4/01 TS23. Cuadro B9 – UE 9.

154. Dos fragmentos de cuerpo de Forma 37. En el friso inferior contiene series de círculos dentados, mutilados por fragmentación sobre línea horizontal. Uno de estos círculos contiene un alfabetiforme (B). Pasta tierra siena natural clara (M 37) y engobe rojo inglés (P 17). Dim.: 2,4x4,9x0,5 cm. Sigla: MR4/01 TS01. Cuadro D5 – UE 9 (Transición).

155. Fragmento de cuerpo de Forma 37 tardía. Muestra un gran círculo triple con composición decorativa interior correspondiente al motivo 3A/1-1 de López (LÓPEZ RODRÍGUEZ, 1985: Fig. 16) del segundo estilo decorativo. Pasta (M 37) y engobe (M 37) tierra siena tostada. Dim.: 3,4x4x0,6 cm. Sigla.: MR4/01-TS36. Cuadro A11' – UE 9 (Transición).

156. Fragmento de cuerpo de Forma 37 tardía. Presenta motivo compuesto por un gran círculo doble con composición decorativa interior correspondiente al motivo 3A/1-1 de López (LÓPEZ RODRÍGUEZ, 1985: Fig. 16) y por lo tanto perteneciente al segundo estilo decorativo. Pasta tierra siena tostada (M 39) y engobe rojo inglés (P 17). Dim.: 2,2x3,5x0,6 cm. Sigla.: MR4/01-TS05. Cuadro C7'' – UE 90 (Argamasa).



TSHT. Forma 37t

3.3.2.2. FORMAS LISAS

3.3.2.2.1. FORMA 37

Sólo se constata en Tricio la fabricación de la Forma 37 lisa tardía. Sus características son semejantes a las de la modalidad decorada con idéntica cronología. Hasta no hace muchos años, el radio de distribución de esta forma era muy limitado, llegando hasta el sur de Navarra y Cespedosa de Tormes (SOLOVERA SAN JUAN, 1987: 115).

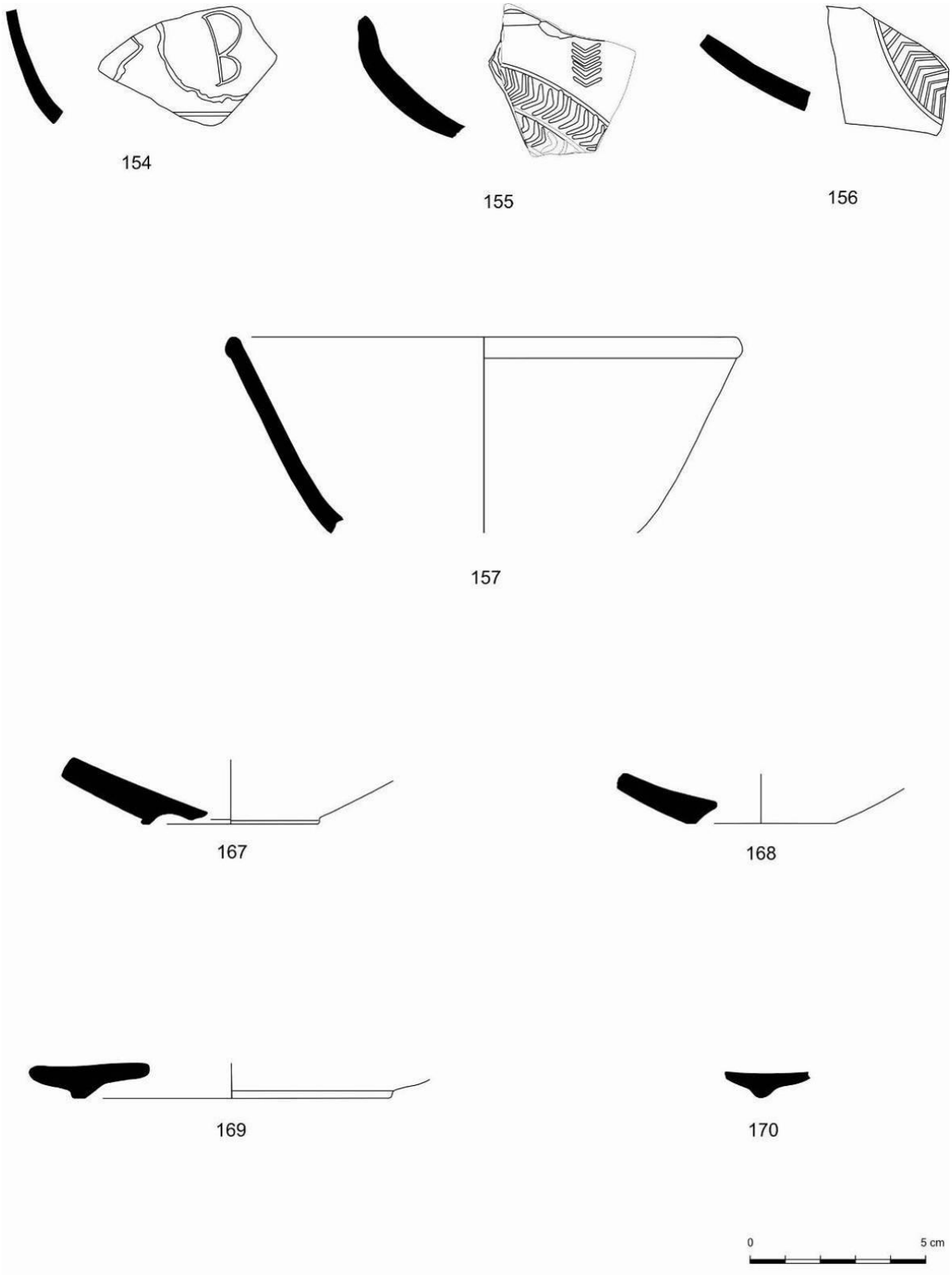
Se corresponde con un tipo escasamente representado en relación a la forma decorada. Se documenta en Cespedosa de Tormes, Corella, *Emerita*, Fuentespreadas, La Olmeda, Peña Forúa, Pompaelo, Ramalete, San Miguel del Arroyo, Uralde, yacimientos del área zaragozana y en Moraime (A Coruña) dentro del ámbito galaico (LÓPEZ PÉREZ, 2004: 395-396).

Los datos parecen señalar una importante heterogeneidad formal y de dimensiones, aspectos que tienden a dificultar todavía más la sistematización tipológica y consecuentemente la caracterización cronológica.

Los resultados de Bueu, en cuanto a porcentajes, coinciden plenamente con los expuestos para la provincia de A Coruña (LÓPEZ PÉREZ, 2004: 395-396). Sólo se pudo señalar la presencia de un fragmento atribuible con seguridad -siendo dos los ejemplares localizados de Moraime, para el caso coruñés-, correspondiente a un cuerpo con forma de cono invertido de línea continua y borde diferenciado de sección redondeada.

En cuanto a las cronologías Mezquíriz propone unas fechas que van desde finales del siglo III d.C. hasta los primeros años del siglo V (MEZQUÍRIZ DE CATALÁN, 1985), mientras que Paz Peralta retrasa las fechas, situando el inicio a mediados del siglo IV d.C. y el fin coincidente con el de la producción, situado a inicios del siglo VI d.C. (PAZ PERALTA, 1991).

157. Ocho fragmentos de borde y cuerpo de 37B tardía lisa. Pasta tierra siena natural clara (N37) y engobe rojo inglés (P 19). Diám.: 14,2 cm. Dim.: 5,6x4,9x0,5 cm. Sigla: MR4/01 TS38. Cuadro C8 – UE 188 (relleno interior UE 90).



TSHT. Forma 37t decorada (154-156). Forma 37 lisa (157). Piezas de atribución probable o indeterminada 167-170)

3.3.2.3. PIEZAS DE ATRIBUCIÓN PROBABLE O INDETERMINADA DE TSHT

Se incluyen trece fragmentos de formas indeterminadas bajoimperiales sin decoración. La mayor parte corresponden a fragmentos de cuerpo de pequeño tamaño, factores ambos que impiden una clasificación tipológica precisa.

En la representación gráfica se contemplaron cuatro bases (núms. 167-170), de las que destaca la variabilidad formal, característica omnipresente en el mundo de las *sigillata*e hispanas tardías, así como la presencia de la moldura hispana en uno de los ejemplares (núm. 167). Los pies aparecen claramente definidos por su brevedad, característica típica de las *sigillatae* tardías en general, siendo tendencia más usual a medida que se desarrollan en el tiempo. La pieza número 168 carecería ya de él, no diferenciándose exteriormente del cuerpo. Resulta muy probable que algunas de estas bases pudieran haber pertenecido a algunos de los ejemplares de la Forma 37, anteriormente descritos.

158. Fragmento de cuerpo de TSHT lisa. Pasta tierra siena tostada (M 39) y engobe tierra siena natural claro (N 37). Dim.: 2,6x3,9x0,6 cm. Sigla: MR6-12/00 TS85. Cuadro 1B – Nivel 1.

159. Fragmento de cuerpo de TSHT lisa. Pasta tierra siena tostada (M 39) y engobe tierra siena natural claro (N 37). Dim.: 3,3x3,2x0,6 cm. Sigla: MR6-12/00 TS86. Cuadro 1B – Nivel 1.

160. Fragmento de cuerpo de forma indeterminada de TSHT lisa. Pasta rojo inglés claro (N 20) y engobe rojo inglés (R 20). Dim.: 1,6x4,7x0,6 cm. Sigla: MR6-12/00 TS168. Cuadro 2'F - Nivel 1.

161. Fragmento de cuerpo de TSHT lisa. Pasta ocre carne (M 45) y engobe rojo inglés (P 19). Pasta muy depurada. Posee engobe por las dos caras. Dim.: 1,3x2,1x0,4 cm. Sigla: MR6-12/00 TS87. Cuadro 1B- Nivel 1.

162. Fragmento de cuerpo de TSHT. Pasta rosa (M 20) y engobe tierra verde tostada (N 25). Pasta muy depurada. Posee engobe por las dos caras. Dim.: 2,1x1,6x0,5 cm. Sigla: MR4/01 TS22. Cuadro C4 – UE 26.

163. Pequeño fragmento indeterminado de cuerpo. Pasta (N 40) y engobe (N 45) ocre carne. Dim.: 1,2x3,5x0,4 cm. Sigla: MR4/01 TS40. Cuadro B9 – UE 34.

164. Dos fragmentos de cuerpo muy rodados de forma indeterminada. Pasta ocre carne (M 45) y engobe rojo inglés (R 19). El engobe se conserva espeso y adherente. Presenta materiales no plásticos mal calibrados y abundantes vacuolas. Dim.: 3,4x4,2x0,3 cm. Sigla: MR07-1046-09. Pileta 2. UE 1046.

165. Fragmento de cuerpo muy rodado de forma indeterminada. Pasta tierra siena tostada (M 37). No conserva engobe. Dim.: 1,5x2,2x0,4 cm. Sigla: MR07-1046-20. Pileta 2. UE 1046.

166. Fragmento muy rodado de cuerpo de forma indeterminada. Pasta ocre carne (M 40) y engobe rojo inglés (P 19). Dim.: 1,5x3,7x0,4 cm. Sigla: MR4/01 TS16. Cuadro B10 – UE 9.

167. Fragmento de cuerpo y base. Pie bajo de sección rectangular. Presenta la característica moldura hispánica. Pasta tierra siena natural clara (N 39) y engobe rojo inglés (P 19). Diám base.: 5 cm. Dim.: 1,9x5,7x0,8 cm. Sigla: MR6-12/00 TS88. Cuadro 2'F – Nivel 1.

168. Fragmento de cuerpo y base. No posee pie y el engobe presenta una mala cocción. Pasta ocre carne (N 40) y engobe tierra siena (R 39). Diám.: 4,2 cm. Dim.: 1,4x3,6x0,9 cm. Sigla: MR6-12/00 TS89. Cuadro 1'F – Nivel 1.

169. Fragmento de cuerpo y base con pie anular. Muestra engobe por ambas caras. Pasta ocre carne (N 40) y engobe tierra siena natural claro (N 37). Diám.: 9,0 cm. Dim.: 1,0x4,9x0,9 cm. Sigla: MR4/01 TS41. Cuadro B11 – UE 9 (Transición; apoyada a estructura).

170. Fragmento de base con pie anular. Muestra engobe por ambas caras y abundante material no plástico calcítico. Pasta tierra siena tostada clara (N 35) y engobe tierra verde tostada (M 35). Dim.: 1,0x4,9x0,9 cm. Sigla: MR4/01 TS69. Cuadro B11 – UE 9 (Transición; apoyada a estructura).

171. Fragmento indeterminado. Pasta tierra siena natural clara (N 39) y engobe rojo inglés (P 20). Dim.: 0,8x2,3x0,7 cm. Sigla: MR4/01 TS33. Fosa circular W – UE 152.

3.3.2.4. CONSIDERACIONES SOBRE LA TSHT DE BUEU

Se señalaba en la parte introductoria de este capítulo que la TSHT se encuentra en una situación de desventaja respecto a la TSH altomiperial. Muestra de esto es la diferencia

existente entre la proporción de fragmentos de una y otra producción recogidos en Bueu. Como consecuencia, los resultados adolecen de ser más concluyentes a la hora de adscribir formalmente el repertorio y poder precisar cronologías.

Se elevan a 31 las piezas de TSHT recogidas en el yacimiento romano de Bueu (núms. 141-171) de un total de 347, cubriendo el 9 % del total, donde 16 se corresponden a fragmentos con decoración (52%) y 15 carecen de ella (48%).

TSHT		
Forma	**Piezas**	**Porcentaje**
Forma 37 decorada	16	94%
Forma 37 lisa	1	6%

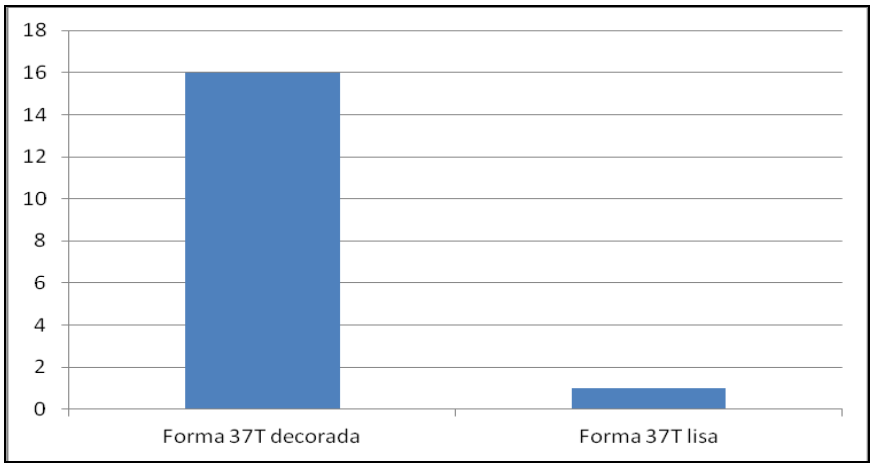
Porcentajes de formas de TSHT localizada en Bueu

Los resultados obtenidos permiten corroborar únicamente la presencia de la Forma 37t decorada y testimonialmente lisa.

Se documenta la presencia de los de los estilos. Pese al exiguo material, se han podido identificar ejemplares pertenecientes a etapas iniciales de la fabricación, así como otros de fases avanzadas. La misma variabilidad se observa en las calidades de pastas y engobes. Si bien debe tenerse en cuenta la capacidad de alteración de los caracteres originales de los mismos a causa de procesos postdeposicionales, especialmente acusados en los suelos costeros gallegos, no se puede dejar de destacar una diferenciación entre unos y otros fragmentos que en el caso de los materiales no plásticos o en la presencia de vacuolas, resulta evidente. Aún habida cuenta estos factores, existe una patente heterogeneidad técnica.

Respeto a las cronologías, se debe recordar la existencia de un amplio debate historiográfico existente al respeto, que alcanza tanto a los aspectos formales como a los decorativos[16]. En el caso de Bueu, nos remitimos a la existencia de la Forma 37 tardía y a la documentación de ejemplares con elementos de los dos estilos decorativos.

[16] En este sentido, para el Noroeste resulta especialmente significativo el trabajo de López Pérez sobre las *sigillatae* de Rúa Tabernas en Coruña, en el que se exponen las limitaciones de las tablas clasificatorias existentes al uso para materiales, que teniendo su origen en los siglos altoimperiales, perduran en el mundo tardío (LÓPEZ PÉREZ; TOMÁS BOTELLA, 2006).



Representatividad de formas documentadas en TSHT en Bueu

Respecto a las cronologías, existe un amplio debate historiográfico respecto que atinge tanto a aspectos formales como a los decorativos. En el caso de Bueu, resulta apropiado remitirse a los datos generales de la Forma 37 tardía y a la documentación de ejemplares con elementos de los dos estilos decorativos.

3.3.3. *TERRA SIGILLATA* AFRICANA (TSA)

Dentro de las producciones africanas se engloban tanto las cerámicas finas de mesa, conocidas como *terra sigillata* africana A, *terra sigillata* africana C, *terra sigillata* africana D, así como las cerámicas comunes o de cocina. Las primeras abarcan desde finales del s. I d.C. hasta principios del s. VII d.C. y se distinguen por poseer un engobe anaranjado o rojo-anaranjado de tono claro, pastas sensiblemente naranjas con variantes, caracterizándose por no ostentar nunca sellos de alfarero.

Son originarias de Túnez y desde aquí van a difundirse por todo el Mediterráneo y parte de la Europa Atlántica, entrando en gran competencia con las producciones hispanas tardías. Las africanas A y D fueron fabricadas en el norte de Túnez, mientras que las africanas C tienen sus talleres en la zona central.

Las *sigillatae* de producción africana fueron denominadas de diferentes maneras a nivel historiográfico. Waagé en 1933 las distinguió como *Late Roman* y dentro de ellas, diferenció una serie de producciones denominadas *Late Roman A* y *Late Roman B*. La primera se corresponde con la actual africana C, mientras que la segunda se identifica con las africanas A y D debido a las semejanzas entre ambas producciones.

A pesar de que es esta semejanza llevó a darles la misma denominación, sus caracteres denotan una serie de diferencias, a partir de las cuales se establecerá una distinción entre la

Early Late Roman B y *Late Late Roman B*, actualmente africana A y africana D respectivamente.

Junto a estas designará *Late Roman C* a las *sigillatae* de fabricación focea y *Late Roman D* a las producidas en Chipre. Actualmente, buena parte de los investigadores las designan como foceanas, focenses o foceas y chipriotas respectivamente.

Las africanas serán denominadas por Lamboglia como *terra sigillata chiara A, C, D* y más tarde por Hayes como *African Red Slip Ware*.

Los primeros estudios sistemáticos se deben a Nino Lamboglia quien en la década de los años cuarenta del siglo XX, establece una tipología de formas que denomina *terra sigillata chiara*, en contraposición a las cerámicas itálicas y gálicas de engobes rojos, creando una seriación cronológica de las diferentes producciones, ateniéndose a las estratigrafías de *Albintimilium*. En este momento las cerámicas *sigillatae* africanas se convierten en un de los fósiles directores más importantes para el alto Imperio y sobre todo para lo bajo Imperio, dada su abundante presencia en los yacimientos arqueológicos,

Posteriores estudios de Lamboglia y Salomonson contribuirán a precisar las primeras impresiones de Lamboglia.

En 1972 Hayes, con la publicación de la obra *Late Roman Pottery,* reordena las diferentes formas conocidas, clasifica los motivos decorativos que presentan, identifica nuevas producciones y precisa cronologías de formas y tipos ateniéndose a las estratigrafías de yacimientos del Mediterráneo Oriental.

Casi que diez años más tarde, A. Carandini (1981) y sus colaboradores, publican el *Atlante delle forme ceramiche.I. Ceramica fina romana nel bacino Mediterraneo (Medio e Tardo Imperio)* donde recogen, junto a otras producciones de estos períodos (*terra sigillata* B[17], grises y anaranjadas paleocristianas, cerámicas microasiáticas,...), las cerámicas africanas. Se unifican las diferentes tipologías existentes (Lamboglia, Hayes, Salomonson,...), y se concretan cronologías dadas por Hayes a partir de los datos de yacimientos del

[17] Producción del valle del Ródano datable entre los siglos II-III d.C. Las pastas son muy calcáreas, finas y bien depuradas, variando su grado de dureza según la calidad de la cocción. El engobe, de color anaranjado-marrón, muestra numerosos golpes de fuego. Algunas formas presentan engobes negros y pastas grises, obtenidos de manera intencionada.

Mediterráneo Occidental, sobre todo de las estratigrafías ostipenses, reordenando todo el material conocido siguiendo una división funcional de las cerámicas.

Posteriormente al *Atlante*, que utiliza y ofrece toda la bibliografía conocida hasta la fecha, aparecieron algunos trabajos de los colaboradores de Carandini.

Es de señalar el realizado por L. Sagui sobre las cerámicas africanas de la *Villa* de Tiberio en Sperlonga o de S. Tortorella sobre los diferentes pecios conocidos en el Mediterráneo que transportaban productos africanos.

Respecto al panorama historiográfico referente a la Península Ibérica, deben destacarse artículos puntuales de L. Caballero Zoreda (1982) sobre determinadas formas y decoraciones localizadas en Mérida.

De 1983 existe el estudio de G. Martín sobre las *sigillatae* africanas de la ciudad romana de *Pollentia,* pese a no basarse en la clasificación de Hayes.

Entre otros trabajos destaca el realizado por Vázquez de la Cueva (1985) sobre la *sigillata* africana en *Augusta Emerita*, el de Aquilué Abadías (1987), sobre las cerámicas africanas de la ciudad romana de *Baetulo*, el de Miró (1991) acerca de la *terra sigillata* africana en *Ilerda*, o el de Járrega Domínguez (1991) sobre el estado de la cuestión de las cerámicas finas tardorromanas y del Mediterráneo oriental, centrado principalmente en el levante y la zona sur peninsular.

Para el Noroeste peninsular destaca el trabajo de Delgado (1967) acerca de la *terra sigillata* africana de *Conimbriga*, los trabajos de Fernández Ochoa y otros autores (1988; 1992) sobre la cerámica africana localizada en Gijón, el manual de Naveiro López (1991) sobre el comercio antiguo en el Noroeste peninsular, el artículo de Carreño Gascón (1995) sobre la *sigillata* africana en *Lucus Augusti*, la tesis de López Pérez (2004) sobre el comercio de *terra sigillata* en la provincia de A Coruña, o las fichas del catálogo de la exposición “Ate o confín do mundo: diálogos entre Santiago e o Mar” organizada en el Museo del Mar de Vigo y coordinada por Caramés Moreira (2004).

La difusión de estas cerámicas se realizó fundamentalmente por vía marítima. Su expansión en la Península Ibérica se verá condicionada por la producción de TSH y TSHT, así como por las fluctuaciones constatadas a lo largo de su período de fabricación.

El amplio volumen de producción de TSH de los talleres tritienses, supuso el límite para la

comercialización de las africanas A y C en la mitad norte peninsular. La TSA-A casi no llega al norte ya que sufre la competencia de las *sigillatae* de Tricio, mientras que en el sur sí está presente dado que los talleres de Andújar nunca consiguieron el nivel de producción de los riojanos.

Las africanas C y D sí aparecen representadas en el norte y esta última en mayores cantidades, debido a que se difunde cuando la TSH ya se encontraba en decadencia, en el siglo IV. Sin embargo será más abundante en el sur que en el norte peninsular, dónde sufrirá la competencia de la TSHT.

3.3.3.1. *TERRA SIGILLATA* AFRICANA C

La TSA-C se fabricó a partir del año 200 (variante C1) llegando su manufactura hasta los años 450/500 (variante C5). Las formas de la TSA-C son las primeras en ser exportadas en grandes cantidades y significan una novedad formal, caracterizada por platos grandes de fondo plano. Su fabricación y difusión tiene lugar entre los siglos III y IV d.C. y los talleres se localizan en la zona central de Túnez.

Se trata de una producción muy fina que revela un cambio en la técnica de manufactura. Son piezas de paredes muy poco espesas cubiertas de un fino y suave engobe. Las principales características físicas de esta producción serían el uso de un engobe que muestra el mismo color que la pasta. Esta pasta es de tono rosado bien depurada y cocida. El engobe puede estar más o menos diluido en el momento de su aplicación, efecto que producirá una estampa brillante u opaca, transmitiendo un veteado o jaspeado característico.

Los productos de cronología más antigua en africana C -Forma 45 y Forma 48- tienen por lo general unas pastas y engobes de tonalidad más clara, mientras que las pastas de las formas más tardías se desarrollan con colores más oscuros y rojizos, presentando paredes de mayor grosor.

Estas diferencias presentan un reflejo cronológico que en el caso de las pastas más claras, semejan corresponderse a groso modo con el siglo III y en el caso de las oscuras con el IV. Del mismo modo, en el siglo III, se pueden encontrar piezas con engobe en ambas superficies o sólo en la cara interna, mientras que ya en el siglo IV el engobe sólo se encuentra en la superficie interna.

Esta producción se evidencia en los yacimientos del Noroeste peninsular, pese a que hasta

hace unos años casi no se existieran datos como refleja Naveiro (NAVEIRO LÓPEZ, 1991: 43; Fig. 8; Mapa 8).

3.3.3.1.1. FORMA LAMBOGLIA 40 BIS = SALOMONSON CI = HAYES 50A, NN. 1-45

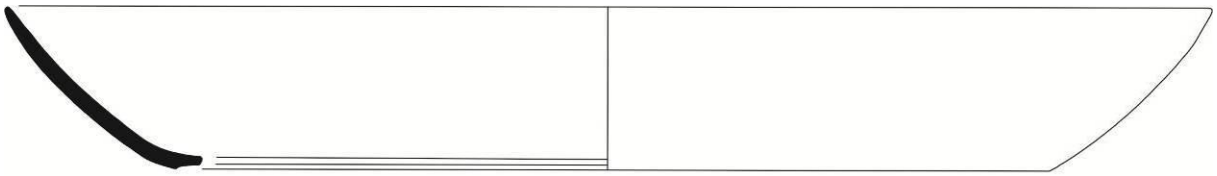
El perfil de esta forma se corresponde al de una escudilla de borde poco diferenciado y afilado, con pared generalmente recta y alta, más o menos exvasada. La base plana, a veces ligeramente cóncava, presenta en la mayor parte de los ejemplares, un pie atrofiado. Bajo la base, en la parte externa, puede presentar una o más raramente, dos acanaladuras. El diámetro del borde se halla entre los 17 y los 45 centímetros (CARANDINI *et al.,* 1981: 65; tav. XXVIII, 9-14).

Hayes diferencia dos tipos. Uno de estampa fina, denominado A, que correspondería a los grupos C^1 y C^2. El otro tipo denominado B, sería de fabricación menos pulcra en general, con la base más pequeña y en muchas ocasiones carecería de pie. Definiría a las piezas del grupo C^3. El tipo A se data desde los años 230/240 y el B a partir del 350 llegando al 400.

En la península, el grupo más frecuente es el C^2, seguido del C^1 y el C^3. Esta forma que ofrece mayor número de representatividad en la península, siendo habitual tanto en la costa mediterránea como atlántica. Se documenta en *Iria Flavia* y en *Brigantium* (LÓPEZ PÉREZ, 2004: 442-443)

Se localizó un ejemplar en Bueu (núm. 172). Esta pieza semeja pertenecer al grupo C^3, en función de las características de la pasta y grosor del cuerpo, más ancho que en los ejemplares de las producciones iniciales.

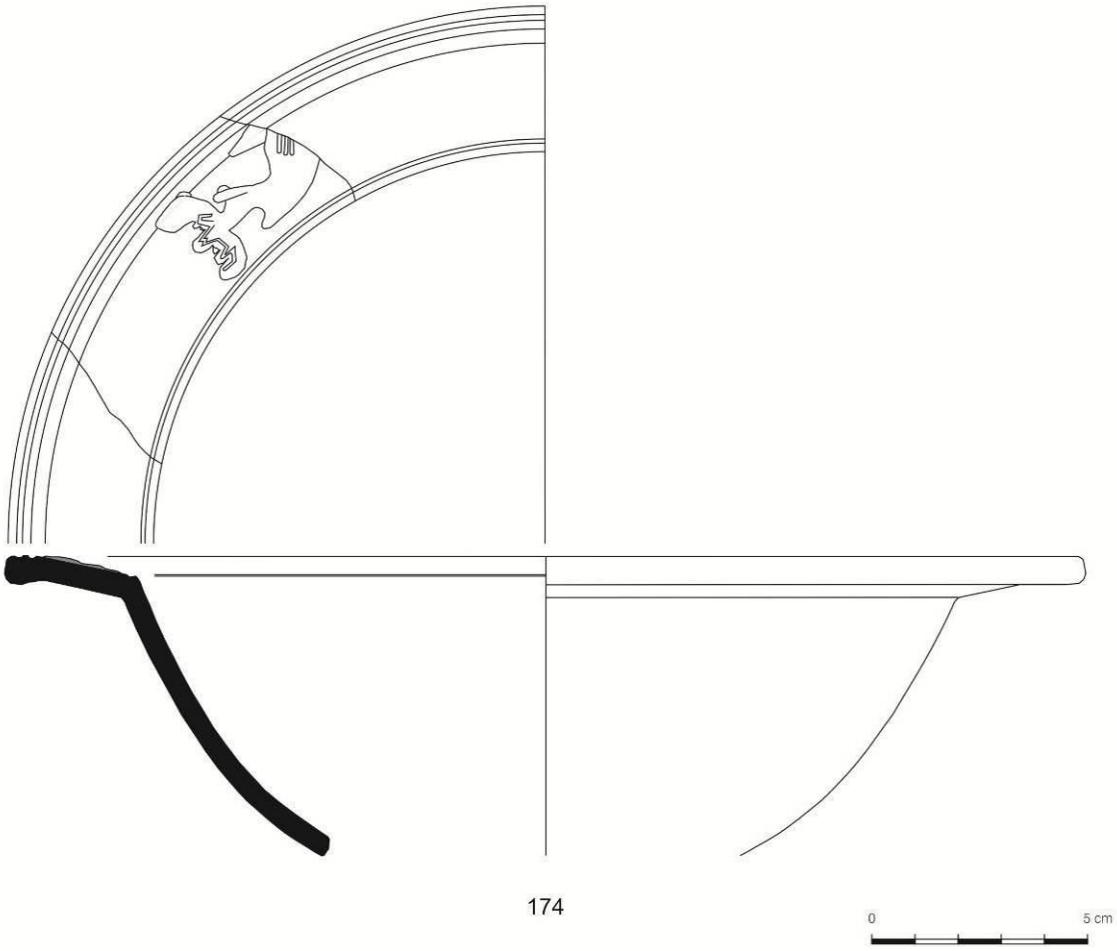
172. Ocho fragmentos que conforman el perfil completo de una Forma Hayes 50A. Pasta tierra siena tostada (M 39) y engobe tierra siena natural claro (N 37). Diám. borde: 37 cm. Diám. Base: 26,8 cm. Dim.: 4,9x10x0,6 cm. Sigla: MR6-12/00 TS90. Cuadro 1'F - Nivel 1.



172

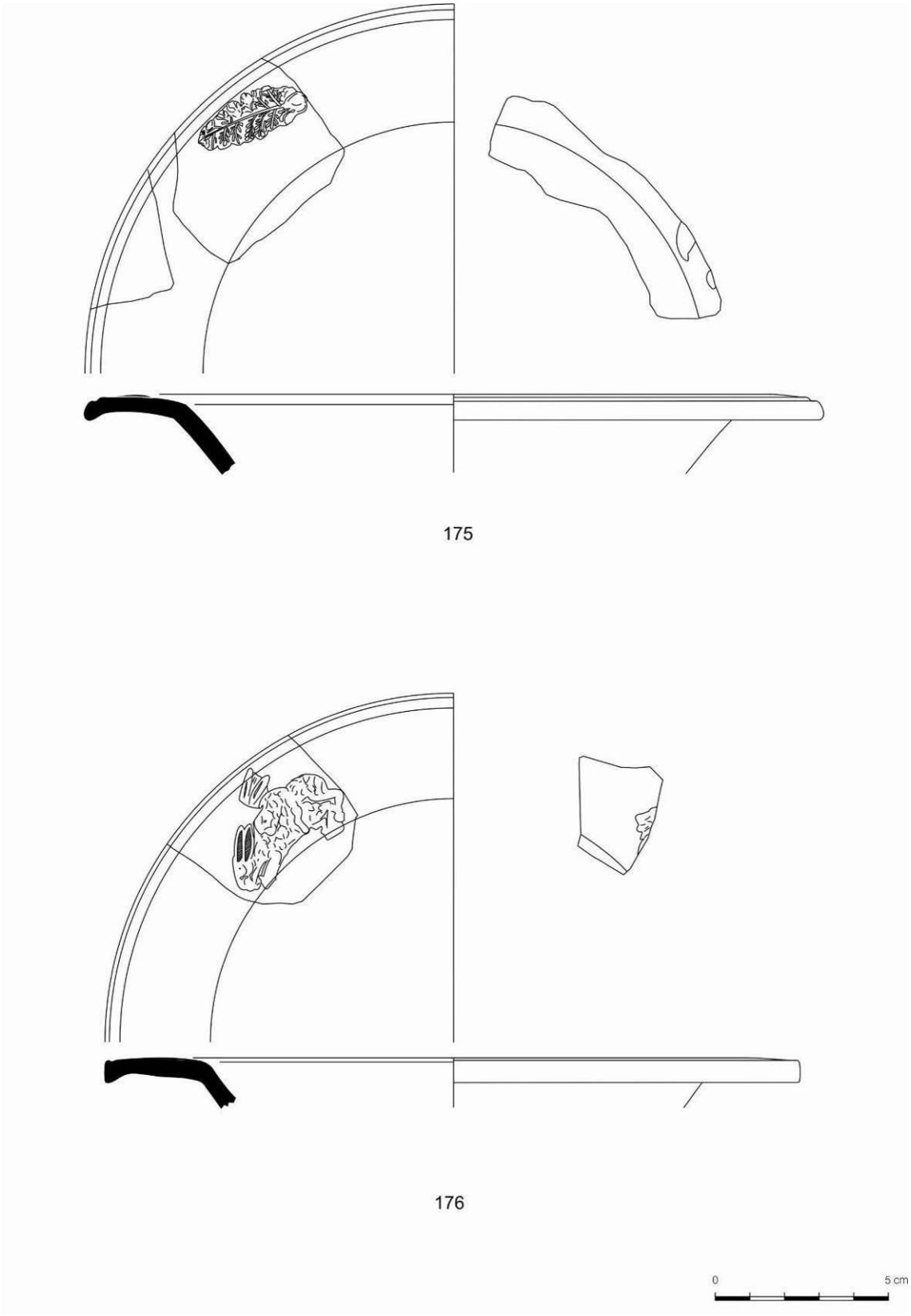


173

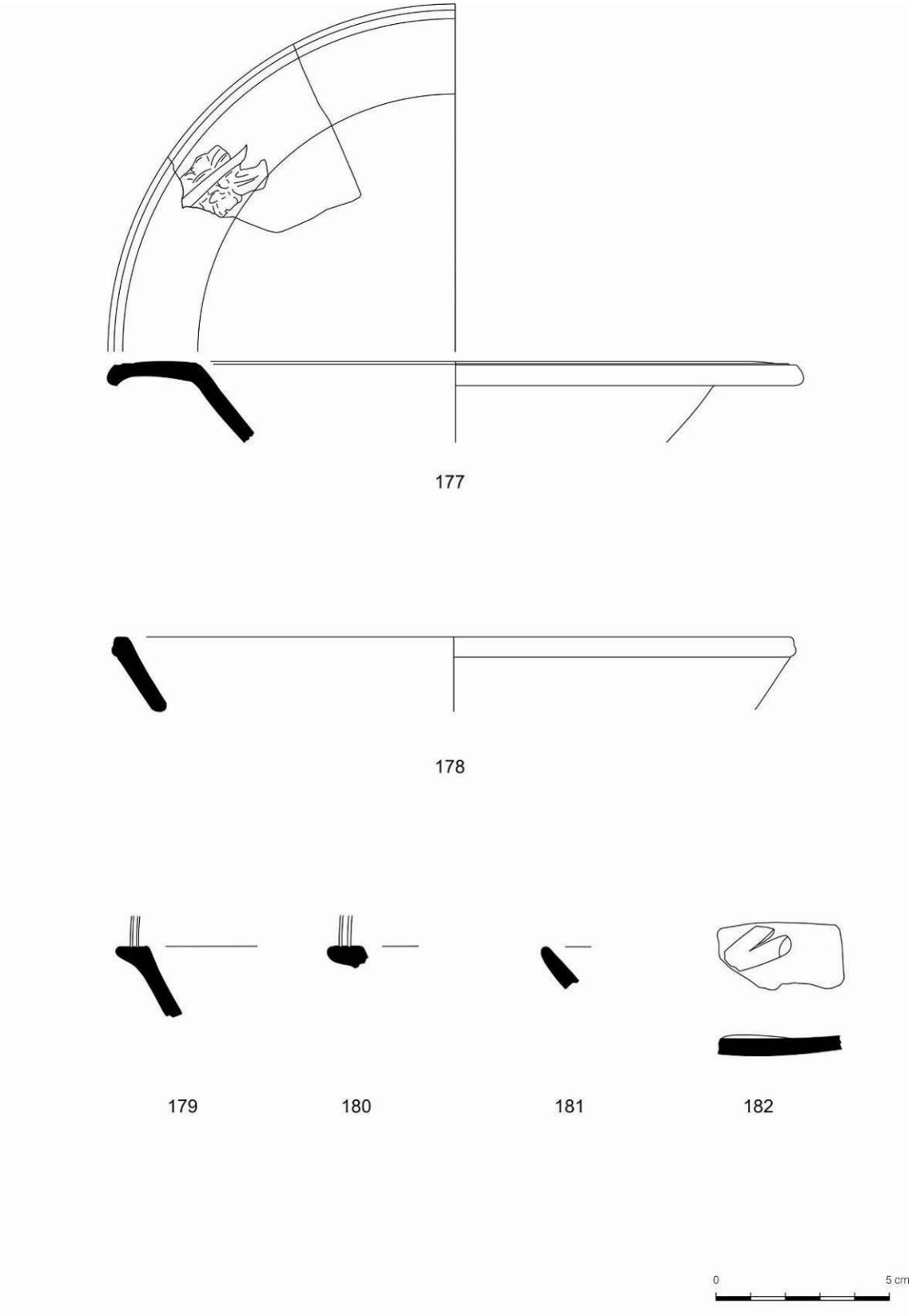


174

TSA-C. Forma Lamboglia 40 *bis* = Salomonson CI = Hayes 50A, nn. 1-45 (172). Forma Hayes 45B, nn. 9, 11 (173). Forma Lamboglia 35 = Salomonson b = Hayes 52B, n. 4. (174)



TSA-C. Forma Lamboglia 35 = Salomonson b = Hayes 52B, n. 4.



TSA-C. Forma Lamboglia 35 = Salomonson b = Hayes 52B, n. 4. (177). Piezas de atribución probable o indeterminada (178-182)

3.3.3.1.2. FORMA HAYES 45B, NN. 9,11

Se trata de una escudilla grande con el borde de ala plana y labio curvo, siempre inclinado hacia el interior. La pared es curva y la base plana. El pie aparece levemente resaltado. Muestra bajo la orla del fondo una acanaladura y otra acanaladura o surco, señala el labio. Presenta un diámetro de entre 24 y 35 centímetros (CARANDINI et al., 1981: 118; tav. LXXVII, 3-6).

Esta forma se produce en *sigillata* africana C^1 y C^2. El engobe generalmente es de color oscuro mostrándose opaco y semibrillante. Hayes sitúa cronológicamente esta forma entre el 230/240 y el 320 d.C.

Se recogió una pieza de esta forma en Bueu, si bien probablemente no sea la única (núm. 173). Se conserva el borde con el ala plana y dos acanaladuras internas delimitando el labio.

173. Fragmento de borde de plato. Pasta tierra siena tostada (M 37) y engobe tierra siena natural claro (N 39). Diám.: 25 cm. Dim.: 0,8x4,5x0,5 cm. Sigla: MR6-12/00 TS91. Cuadro 1'F. Nivel 1.

3.3.3.1.3. FORMA LAMBOGLIA 35 = SALOMONSON B = HAYES 52B, N. 4

Se corresponde esta forma con una escudilla de borde plano, más o menos engrosado y ligeramente inclinado hacia el interior. Suele tener un labio distinto diferente al resto del borde, con una o más líneas de acanaladuras, pudiendo presentar más grosor hacia el exterior o una ligera inclinación, diferenciándose con una acanaladura. El borde suele estar unido al cuerpo con un ángulo vivo. El cuerpo es curvo, formando casi un cuarto de círculo. Al exterior, el cuerpo puede presentar carena. El pie aparece levemente acentuado. El fondo es generalmente plano, espeso y señalado con una acanaladura. Es habitual la presencia de motivos en relieve aplicados en la parte superior del borde. Respecto al diámetro, se pueden dividir en dos grupos según sus dimensiones, con uno compuesto por piezas de pequeño tamaño, entre 11-16 cm, y otro de recipientes mayores, de entre 18-23 cm (CARANDINI *et al.*, 1981: 162-163; tav. LXXVII, 3-6).

Se produce en *sigillata* africana A^2, A decorada, C^1, C^2, C^3 decorada con relieve aplicado y D. Respecto a la decoración, son amplios los motivos representados, siendo el delfín es característico en este tipo (CARANDINI *et al.*, 1981: 168; tav. LXXXII, 24-25).

Salomonson (1968; 1969) situó esta producción entre el último cuarto de siglo III y la

segunda mitad o finales y la primera mitad del siglo IV d.C. Hayes la sitúa entre el 280/300 y finales del siglo IV o inicios del V para los ejemplares más tardíos (variante B). Sugiere que las medidas grandes y los labios acanalados son indicadores de materiales tardíos.

Esta forma se difundió por todo el área occidental del Mediterráneo. Se localizaron ejemplares en Antioquía e Israel. En la Italia septentrional tienen aparecido en Milán y Aquilea.

Son cuatro las piezas localizadas en Bueu pertenecientes a esta forma, todas ellas bastante bien conservadas (núms. 174-177) y pertenecientes al grupo C³. Para este grupo se ofrecen unas cronologías generales que van desde los primeros años del siglo IV a la mitad del siglo V d.C. (CARANDINI *et al.*, 1981).

Entre las decoraciones aplicadas se identifica la figura de un delfín (núm. 174), motivo plenamente extendido (CARANDINI *et al.*, 1981 : 169; tav. LXXII, 24-25; GARCÍA PEREIRA MAIA, 1974-77: 368, 370, 373; estampas I, 6; II, 17; IV, 21).

Otro motivo representado aparece compuesto por el ramo de palma con hojas curvas (núm. 175). Hojas de estilo semejante al conservado son sobradamente conocidos (CARANDINI *et al.*, 1981: 166; tav. LXXXI, 9).

En otra pieza se aprecia un motivo compuesto por una pareja de liebres copulando (núm. 176). Parte de la cabeza de la liebre macho aparece desconchada. Se conservan evidencias de otro motivo fragmentado de difícil adscripción, que parece representar el hocico de otra liebre similar a las anteriormente citadas. Motivos de liebres, si bien de manera individual, son también comunes (CARANDINI *et al.*, 1981: 169; tav. LXXIII, 17-21; GARCÍA PEREIRA MAIA, 1974-77: 374-375; estampas IV, 25; V, 28, 30-31).

Se conserva otro motivo formado por un elemento vegetal correspondiente a una hoja (núm. 177).

La Forma 52B decorada se incluye habitualmente dentro del llamado *transition to late style* de Hayes, para el que se fijan las últimas décadas del siglo III como época de inicio. Sin embargo el grosor, el diámetro y las marcadas acanaladuras de las piezas, sugieren un momento más avanzado, quizás correspondiente al denominado *late style de Hayes*, que se inicia a partir de mediados del siglo IV d.C.

Además de Bueu, se tiene constancia de la presencia de esta forma en la villa de Toralla

(Vigo) con motivos aplicados representando peces y un león en posición de descanso (PÉREZ LOSADA *et al.*, 2004: 63) y en *Iria Flavia*, con motivo indeterminado (LÓPEZ PÉREZ, 2004: 443-445).

174. Fragmento de borde y cuerpo de plato. Presenta decoración aplicada en la que se muestra motivo compuesto por un delfín. Fabricada en C³. Pasta tierra siena tostada (M 39) y engobe tierra siena natural claro (N 37). Diám.: 25 cm. Dim.: 4,8x8,1x0,5 cm. Sigla: MR4/01-TS3A. Cuadro C8 - UE 80. Sigla: MR4/01-TS3B. Cuadro C8 – UE 116.

175. Cuatro fragmentos de borde y cuerpo con acanaladura externa en el ala superior. Muestra decoración aplicada en la que se presenta ramo de palma con hojas curvas. Presenta una mala calibración de los materiales no plásticos, con algún cuarzo de gran tamaño en superficie. Fabricada en C³. Pasta y engobe tierra siena tostada (M 37). Diám.: 21,4 cm. Dim.: 2,2x17,4x0,5 cm. Sigla: MR07-0018-2; MR07-1046-1. UE 18. UE 1046.

176. Tres fragmentos de borde y cuerpo con acanaladura externa en el ala superior. Presenta decoración aplicada en la que se representa motivo compuesto por una pareja de liebres copulando. Parte de la cabeza de la liebre macho se encuentra desconchada. Se conservan también restos de otro motivo fragmentado de difícil adscripción, que parece corresponder al hocico de otra liebre. Fabricada en C³. Pasta y engobe tierra siena tostada (M 37). Diám.: 20 cm . Dim.: 1,5x7,1x0,6 cm. Sigla: MR07-1046-2. Pileta 2. UE 1046.

177. Fragmento de borde y cuerpo con acanaladura externa en el ala superior. Presenta decoración aplicada con motivo vegetal compuesto por una hoja. Fabricada en C³. Pasta y engobe tierra siena tostada (M 37). Diám.: 20,1 cm. Dim.: 2,4x5,4x0,6 cm. Sigla: MR07-1035-2. Pileta 4. UE 1035.

3.3.3.1.4. PIEZAS DE ATRIBUCIÓN PROBABLE O INDETERMINADA

Se incluyen en este grupo varias piezas de atribución probable o indeterminada de TSA-C. Se señala la presencia de un fragmento de borde (del que sólo se conserva el arranque) y cuerpo (núm. 178) fragmentado que podría corresponder a una Forma Lamboglia 35 = Salomonson b = Hayes 52B, n. 4.

Destacan dos fragmentos de bordes que podrían corresponder a una Forma Lamboglia 35, 35bis = Hayes 44, nn. 1-3; 8 (núm. 179-180). Se desconoce el diámetro que pudieron tener estas piezas debido a sus exiguos tamaños, si bien no deberían ser muy amplios, en función del escaso grosor que presentan. Se relaciona el tipo de borde de ala plana con

acanaladuras en la margen superior interna, con el de esta forma. Su fabricación abarcaría a las producciones de *sigillata* africana A² (Forma Lamb. 35), C¹ e C² y anticipa la forma análoga en *sigillata* africana C³ decorada con relieve aplicado. Se desconoce la variante en la que se incluirían las piezas. Hayes da una cronología de cerca del 220/240 y poco más allá de finales del siglo III. Esta forma se documenta tanto en el Mediterráneo, como en las costas atlánticas.

Se conserva un pequeño fragmento de borde de posible Forma Lamboglia 40 bis = Salomonson CI = Hayes 50A, nn. 1-45 (núm. 181).

Se señala la presencia de un fragmento que conserva decoración (núm. 182). Se trata de un motivo aplicado difícil de determinar que podría corresponder a las extremidades de un mamífero o a la cola de un pez.

Se propone una cronología avanzada para la pieza número 184 en base a las características de la pasta. Asimismo, el ejemplar número 188 posiblemente pertenecería a la última fase de la producción, ya que sólo presenta engobe en la parte interna. La pasta es bastante depurada y el perfil presenta escaso grosor. La pieza número 186 posiblemente debería estar incluida dentro de la última fase de fabricación, debido a presenta engobe solamente en la parte interna.

El resto del conjunto aparece compuesto por pequeños fragmentos que dificultan la adscripción a un tipo. La apertura de los bordes permite obtener una idea aproximada de algún diámetro, los cuales muestran su ligazón con platos de gran tamaño.

178. Fragmento de borde y cuerpo. El labio se encuentra mutilado a la altura del arranque del ala. Podría tratarse de una Forma Lamboglia 35 = Salomonson b = Hayes 52B, n. 4. Pasta tierra siena tostada (M 39) y engobe tierra siena natural claro (N 37). Diám. 19,0 cm. Dim.: 2,2x3,1x0,5 cm. Sigla: MR4/01 TS66. Cuadro C8 – UE 188 (relleno interior UE 90).

179. Fragmento de borde y cuerpo de posible Forma Lamboglia 35, 35bis = Hayes 44, nn. 1-3; 8. Posee dos acanaladuras en el borde. Pasta muy depurada tierra siena tostada (M 39) y engobe tierra siena natural claro (N 37). Dim.: 2,0x3,5x0,6 cm. Sigla: MR6-12/00 TS92. Cuadro 10 – Nivel 1.

180. Fragmento de borde y cuerpo de posible Forma Lamboglia 35, 35bis = Hayes 44, nn. 1-3; 8. Posee dos acanaladuras en el borde. Pasta (N 20) y engobe (N 19) rojo inglés claro. Dim.: 0,6x2,0x0,6 cm. Sigla: MR4/01 TS65. Cuadro C6– UE 12 (derrumbe).

181. Fragmento de borde de posible Forma Lamboglia 40 bis = Salomonson CI = Hayes 50A, nn. 1-45. Pasta tierra siena tostada (M 37) y engobe tierra siena tostada (P 39). Dim.: 1,2x1,6x0,5 cm. Sigla: MR4/01 TS17. Cuadro E6 – UE 4.

182. Fragmento indeterminado muy rodado. Presenta motivo indeterminado aplicado que podría corresponder a las extremidades de un mamífero o bien a la cola de un pez. Pasta tierra siena tostada (M 39). No conserva engobe. Dim.: 0,6x3,6x0,6 cm. Sigla: MR07-1043-12. Pileta 3. UE 1043.

183. Fragmento de borde de ala plana. Pasta tierra siena natural clara (N 37) y engobe tierra siena natural claro (N 39). Diám.: 29 cm. Dim.: 1,1x2,9x0,4 cm. Sigla: MR6-12/00 TS93. Cuadro 2'F - Nivel 1.

184. Fragmento de borde y cuerpo. Pasta y engobe tierra siena natural claro (N 37). Dim.: 1,8x2,2x0,6 cm. Sigla: MR6-12/00 TS94. Cuadro 1'F - Nivel 1.

185. Fragmento de borde y cuerpo. Pasta tierra siena tostada (M 39) y engobe tierra siena natural claro (N 37). Dim.: 1,8x2,3x0,5 cm. Sigla: MR6-12/00 TS95. Cuadro 1'F - Nivel 1.

186. Fragmento de cuerpo. Pasta rojo inglés claro (N 20) y engobe rojo inglés claro (N 19). Dim.: 1,7x2,4x0,4 cm. Sigla: MR6-12/00 TS96. Cuadro 1'F - Nivel 1.

187. Fragmento de cuerpo con perfil de escaso grosor. Pasta y engobe rojo inglés claro (N 19). Dim.: 1,4x2,1x0,4 cm. Sigla: MR6-12/00 TS97. Cuadro 1'F - Nivel 1.

188. Fragmento de cuerpo. Pasta ocre carne (M 45) y engobe tierra siena natural claro (N 37). Dim.: 1,0x2,0x0,4 cm. Sigla: MR6-12/00 TS98. Cuadro 1'F - Nivel 1.

189. Fragmento de base de plato. Presenta dos acanaladuras concéntricas en la superficie interna. Pasta rojo inglés claro (N 20) y engobe tierra siena tostada clara (N 35). Dim.: 0,3x3,2x0,3 cm. Sigla: MR4/01 TS29. Cuadro D5 – UE 38.

190. Fragmento de cuerpo de plato. Presenta engobe en ambas superficies. Pasta y engobe tierra siena tostada (M 37). Dim.: 1,0x3,6x0,5 cm. Sigla: MR07-18-6. UE 18.

191. Fragmento de cuerpo de plato. Presenta acanaladura horizontal externa y engobe en ambas caras. Pasta y engobe tierra siena tostada (M 37). Dim.: 2,7x3,1x0,4 cm. Sigla: MR07-1046-21. Pileta 2. UE 1046.

192. Pequeño fragmento de base de plato. En la superficie externa se observa el resalte a modo de pie. Pasta tierra siena tostada (M 39) y engobe tierra siena tostada clara (N 35). Dim.: 0,4x2,7x0,4 cm. Sigla: MR6-12/00 TS99. Cuadro 9A – Nivel 1.

193. Fragmento de base de plato. Presenta engobe en ambas caras. Pasta (M 37) y engobe (M 39) tierra siena tostada. Dim.: 0,4x4,4x0,4 cm. Sigla: MR07-1043-27. Pileta 3. UE 1043.

194. Fragmento de base de plato. Presenta engobe en ambas caras y círculo acanalado concéntrico en el interior. Pasta tierra siena tostada (M 37) y engobe tierra siena natural claro (N 37). Dim.: 0,4x3,7x0,4 cm. Sigla: MR07-1043-14. Pileta 3. UE 1043.

195. Fragmento de base de plato. Presenta engobe en ambas caras. Pasta (M 39) y engobe (M 37) tierra siena tostada. Dim.: 0,4x2,5x0,4 cm. Sigla: MR07-1043-21. Pileta 3. UE 1043.

196. Fragmento muy rodado de base de plato con círculo acanalado interno. Presenta engobe en ambas caras. Pasta y engobe tierra siena tostada (M 39). Dim.: 0,4x3,3x0,4 cm. Sigla: MR07-18-4. UE 18.

197. Fragmento de base de plato con dos círculos concéntricos acanalados en el interior. Conserva engobe en ambas caras. Pasta (M 37) y engobe (M 39) tierra siena tostada. Dim.: 0,6x3,0x0,6 cm. Sigla: MR4/01-TS49 Nivel de revuelto - UE 161.

198. Pequeño fragmento indeterminado muy rodado de posible base. Posee decoración formada por tres acanaladuras concéntricas. Pasta y engobe tierra siena tostada (M 37). Dim.: 0,3x0,9x0,3 cm. Sigla: MR6-12/00 TS100. Cuadro 1F - Nivel 1.

199. Fragmento de base de plato. Pasta (N 20) y engobe (N 19) rojo inglés claro. Dim.: 0,3x9,3x0,3 cm. Sigla: MR4/01-TS64. Cuadro C6 – UE 38.

3.3.3.2. *TERRA SIGILLATA* AFRICANA D

Hacia finales del siglo III e inicios del IV, con la recuperación de los alfares del Túnez septentrional, emergerá la TSA-D, considerada en su día sucesora directa de la TSA-A[18]. La

[18] Existe un gran parecido físico entre la producción de *sigillata* africana A y D. Entre los caracteres que permiten diferenciar ambas producciones, se distinguen las formas principalmente, las características físicas del pie -perfil, diámetro y altura- y el tipo de engobe –en la africana A las piezas se encuentran muy pulidas, produciendo engobes muy brillantes con el aspecto conocido como de "piel de gallina o de naranja", característico, fruto del profundo pulimento que deja traslucir el aspecto granuloso de las pastas-. Asimismo, la africana D presenta un

difusión máxima de la TSA-D se produce entre mediados del siglo IV y mediados del V. La TSA-D fue exportada a lugares lejanos desde la costa atlántica al Mediterráneo oriental. Los autores suelen fijar las fechas de su desaparición hacia mediados del siglo VII.

La pasta es siempre granulosa más o menos fina. El engobe cubre sólo la superficie interna, parte superior del borde y parte superior de la pared externa. Son piezas generalmente de grandes dimensiones y de paredes espesas.

En la africana D se documenta una mayor variedad formal con respecto a las otras producciones africanas. Se fabrican fundamentalmente grandes platos acostumbrando a presentar borde en almendra.

En la primera fase de la producción las formas casi no disponen de pie, o muestran molduras a modo de falso pie. En la segunda mitad del siglo IV y durante el siglo V se observa nuevamente un cambio, ya que aparecen tanto en africana C -Formas 82 y 83- como en Africana D -Formas 93, 94, 95 y 96-. Los pies son de mayor altura, aunque continúen fabricándose recipientes asentados en molduras.

Las calidades de las pastas variarán con el tiempo, diferenciándose dos etapas. En la primera fase tendería a estar mejor cocida, depurada, compactada y con menos desgrasante, presentando un color anaranjado oscuro o claro. El engobe suele ser espeso y de buena calidad, semejante al de la africana A pero sin brillo. Serán raras las piezas tempranas de engobes brillantes. La pared tiende a ser en este período de escaso grosor. Una segunda etapa estaría caracterizada por un tipo de pastas muy variadas, si bien en algunos aspectos de características homogéneas. Existe una predisposición a presentar abundantes materiales no plásticos, generalmente de pequeño tamaño, correspondiendo principalmente a cuarzos, si bien también existen calcitas, hematites, etc. En las pastas se percibe una mayor porosidad, poca compactación y superficies muy onduladas con una fractura rugosa o quebrada. El color es más oscuro que la estampa de las piezas de la primera etapa, con un naranja intenso. El engobe es uno de los caracteres que mejor diferencian los ejemplares de esta fase. Este suele ser espeso, del mismo color que la pasta -naranja intenso-, y muy brillante gracias al pulido. La cronología para estas formas se sitúa entre los siglos V y VI d. C.

---

engobe mate en la 1ª fase y brillante en la 2ª, si bien no alcanzará la calidad de la anterior. En la africana A este aparece aplicado en ambas superficies. Tan sólo piezas tardías, correspondientes a formas de amplia cronología, se encuentran engobadas sólo en la cara interna y en la mitad superior de la externa. En la africana D e incluso entre las formas con mejores acabados (Formas 58, 59 y 61), las piezas sólo se engoban en la superficie interna o en la parte exterior del labio.

Con la variante D dará inicio la cerámica estampada con figuras de palmetas y otros tipos estilizados. En la decoración estampada se distinguen también dos fases. Una estaría vinculada al uso de motivos geométricos y florales y llegaría hasta el siglo IV. La otra estaría representada por el uso de animales y símbolos cristianos y correspondería a la etapa final.

En el área noroccidental estos productos se concentran en la zona portuense y aparecen dispersos en puntos de la costa norte y del interior, en especial en relación con los principales valles fluviales -Ulla, Miño y sobre todo Duero-, siendo los centros urbanos, los castros con ocupación tardía, las necrópolis de ambiente rural (NAVEIROLÓPEZ, 1991: 45; Fig. 8; Mapa 8) y las áreas de transformación de materias primas, los yacimientos típicos en los que se localicen estas cerámicas

3.3.3.2.1. FORMA LAMBOGLIA 51, 51 A = HAYES 59, NN. 9, 16-17; 65, N. 2

Se caracteriza esta forma por ser una fuente de base plana, pared curva y borde ancho, plano, más o menos horizontal. En la parte interna es visible una acanaladura en correspondencia con la unión de la pared y la base, de dos o tres series dobles de acanaladuras, donde se dispondría la decoración estampada. El diámetro de esta forma se sitúa entre los 21 y los 42 centímetros. Hayes diferencia dos tipos. El denominado A constaría de acanalado vertical en el exterior de la pared que se realizaría con un instrumento romo con la arcilla todavía húmeda, produciendo ligeros abultamientos en el interior. El tipo B muestra pared lisa. Esta forma se produce en D^1.

El engobe es normalmente fino y opaco, siendo en algunos casos espeso y semibrillante. En la parte externa se cubre generalmente el borde y parte de la pared inferior a este. Hayes propone una cronología de entre el 320-400/420. Se difunde en el Mediterráneo occidental y oriental, en la Italia septentrional, en la costa atlántica, Mar Negro y Renania (CARANDINI *et al.*, 1981: 82-83; tav. XXXII, 10-13).

Se documenta la presencia en Bueu de por lo menos, veinte ejemplares correspondientes a este popularizado tipo.

Gandolfi establece cuatro tipos de borde para esta forma. El primero se caracteriza por ter tres escalones que descienden hacia el interior y que Paz Peralta fija en Zaragoza para niveles de la segunda mitad del siglo V (PAZ PERALTA, 1991; 187, núms. 61-62). Continuarían los borde planos con dos acanaladuras en la parte superior que son fijados por Paz Peralta a niveles de la segunda mitad del siglo IV (PAZ PERALTA, 1991; 187, núms. 55-57). El tercer tipo, variante 51B de Lamboglia, presenta el borde liso y ligeramente

inclinado hacia el interior. El cuarto se caracteriza por presentar una serie de crestas o pequeñas acanaladuras. La práctica totalidad de los bordes conservados en Bueu se corresponden con el tipo B de la clasificación de Gandolfi (núms. 200-202, 204-206, 210-212) o bien se aproximarían más a la definición de este tipo B, que a los otros, si bien contando con una única acanaladura en la parte superior (núms. 203, 207).

Hayes diferencia dos variantes en función de la presencia de la serie de acanaladuras verticales en la parte exterior del cuerpo (Hayes 59A)[19] o ausencia de las mismas mostrando un cuerpo externo liso (Hayes 59B). Fueron recogidos siete ejemplares del grupo A (núms. 207, 214-219) y cinco del grupo B (núms. 200, 202, 204, 208, 213).

Esta forma aparece también documentada en *Iria Flavia*, Cidadela y Coruña (LÓPEZ PÉREZ, 2004: 445-447).

200. Fragmento de borde y cuerpo de Forma Lamboglia 51, 51A = Hayes 59, nn. 9, 16-17; 65, n. 2 correspondiente a la variante B. Presenta borde liso con los característicos rebajes en la parte superior del ala, produciendo una apariencia sobreelevada en el centro. Fabricada en D¹. Pasta (M 39) y engobe (M 37) tierra siena tostada. La pasta muestra granos de calcita mal calibrados de gran tamaño. Diám.: 42 cm. Dim.: 3,2x10,8x0,9 cm. Sigla: MR07-1043-5. Pileta 3. UE 1043.

201. Fragmento de borde y cuerpo de Forma Lamboglia 51, 51A = Hayes 59, nn. 9, 16-17; 65, n. 2 fabricada en D¹. Presenta dos acanaladuras en la parte superior del ala. Pasta (M 37) y engobe (M 39) tierra siena tostada. Diám.: 40 cm. Dim.: 1,2x6x0,8 cm. Sigla: MR07-0299-01. UE 299.

202. Fragmento de borde y cuerpo de Forma Lamboglia 51, 51A = Hayes 59, nn. 9, 16-17; 65, n. 2 correspondiente a la variante B, con acanaladura en el ala. Fabricada en D¹. Pasta (M 39) y engobe (M 37) tierra siena tostada. Diám.: 39 cm. Dim.: 3,2x9,5x0,8 cm. Sigla: MR07-1029-1. Sector 1. Pileta 3. Parte superior del corte N (escombro relleno zanja muro N). UE 1029-1043.

203. Fragmento de borde y cuerpo de Forma Lamboglia 51, 51A = Hayes 59, nn. 9, 16-17; 65, n. 2 con acanaladura en la parte superior del ala y en el cuerpo. Fabricada en D¹. Pasta

[19] La ornamentación se compone de nervaturas verticales y es característica de esta forma. Las presentes en Bueu corresponden al tipo de nervatura simple (CARANDINI *et alii*, 1981: tav. XXXIII, 4).

tierra siena tostada (M 39) y engobe tierra siena tostada clara (N 35). Diám. Aprox.: 38 cm. Dim.: 2,0x4,3x0,8 cm. Sigla: MR07-1043-6. Pileta 3. UE 1043.

204. Fragmento de borde y cuerpo muy rodado de Forma Lamboglia 51, 51A = Hayes 59, nn. 9, 16-17; 65, n. 2 correspondiente a la variante B, fabricada en D¹. Presenta dos círculos acanalados en la parte superior del ala. Pasta y engobe tierra siena tostada (M 37). Diám.: 32 cm. Dim.: 3,7x8,2x1 cm. Sigla: MR07-1046-10. Pileta 2. UE 1046.

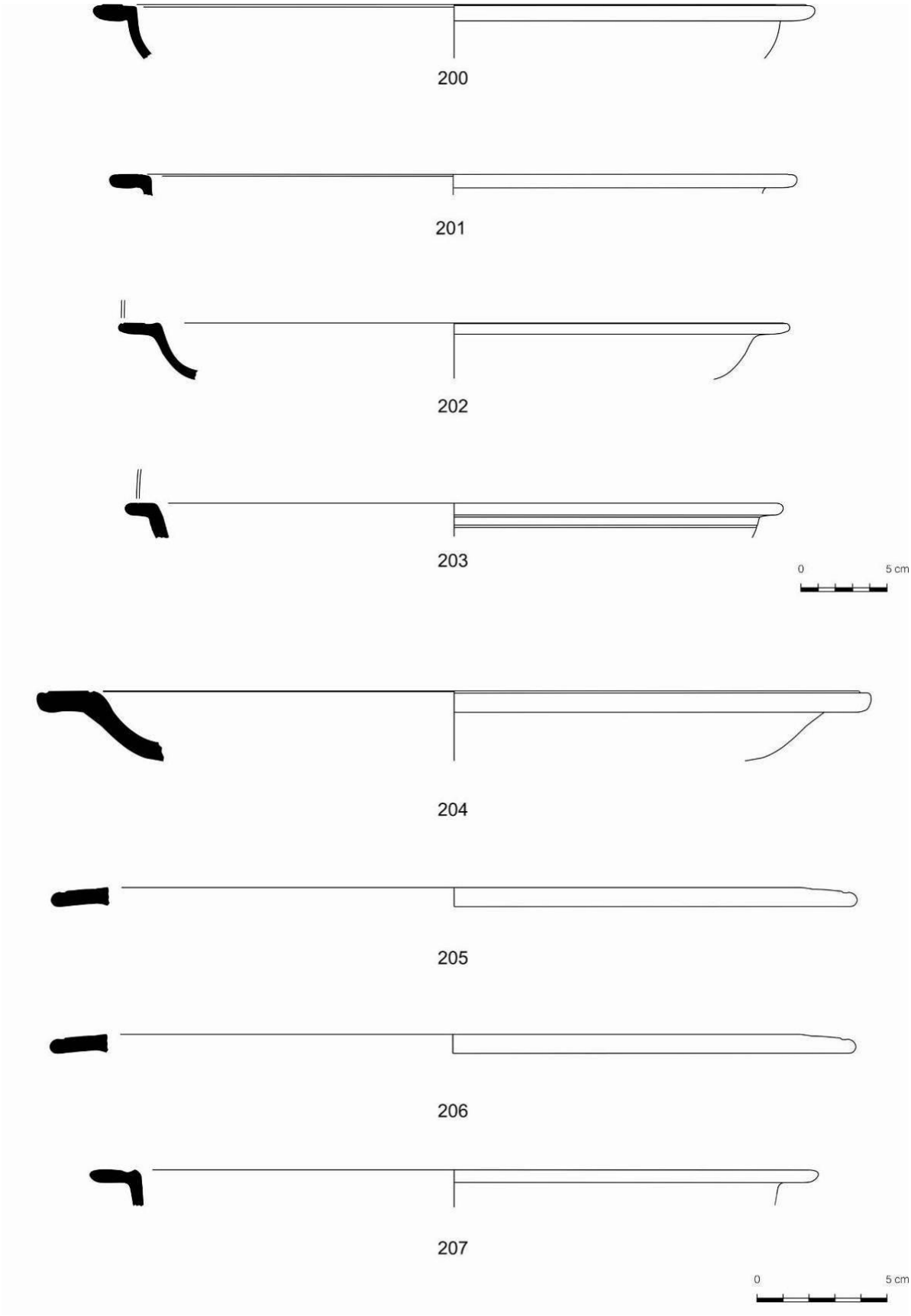
205. Dos fragmentos de borde de Forma Lamboglia 51, 51A = Hayes 59, nn. 9, 16-17; 65, n. 2 que presenta los tres resaltes característicos. Fabricada en D¹. Posible relación con la pieza número 206. Pasta tierra siena tostada (M 39) y engobe tierra siena natural claro (N 37). Diám.: 31 cm. Dim.: 0,7x5,5x0,6 cm. Sigla: MR6-12/00 TS101. Cuadro 1B – Nivel 1.

206. Fragmento de borde de Forma Lamboglia 51, 51A = Hayes 59, nn. 9, 16-17; 65, n. 2 con los resaltes característicos. Fabricada en D¹. Probable relación con la pieza número 205. Pasta tierra siena tostada (M 39) y engobe tierra siena natural claro (N 37). Diám.: 31 cm. Dim.: 0,7x2,3x0,6 cm. Sigla: MR6-12/00 TS102. Cuadro 1B – Nivel 1.

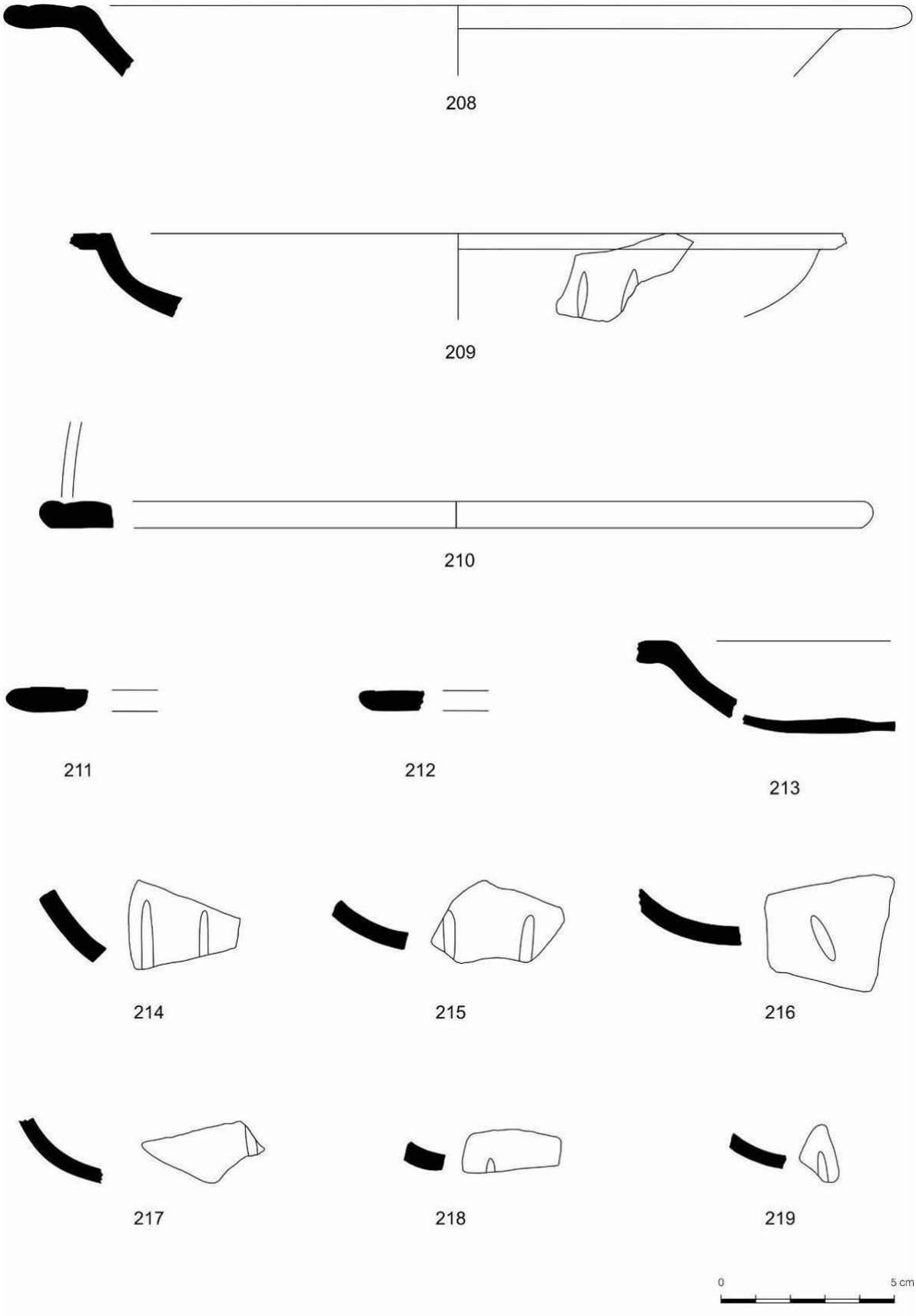
207. Fragmento muy rodado de borde y cuerpo de Forma Lamboglia 51, 51A = Hayes 59, nn. 9, 16-17; 65, n. 2 correspondiente a la variante A, con acanaladura externa en el ala superior. Fabricada en D¹. Pasta tierra siena tostada (M 37). No conserva el engobe. Diám.: 28 cm. Dim.: 1,5x8,2x0,4 cm. Sigla: MR07-0018-1. UE 18.

208. Dos fragmentos de borde y cuerpo muy rodados de Forma Lamboglia 51, 51A = Hayes 59, nn. 9, 16-17; 65, n. 2 correspondiente a la variante B, fabricados en D¹. Presenta dos círculos acanalados en la parte superior del ala. Pasta tierra siena tostada (M 39) y engobe tierra siena natural claro (N 39). Diám.: 26 cm. Dim.: 2,0x11,2x0,7 cm. Sigla: MR07-1046-18. Pileta 2. UE 1046.

209. Fragmento de borde y cuerpo de Forma Lamboglia 51, 51A = Hayes 59, nn. 9, 16-17; 65, n. 2 correspondiente a la variante A, fabricada en D¹. Muestra acanaladura externa en la parte superior del ala y dos acanaladuras verticales fragmentadas en el exterior del cuerpo. Pasta tierra siena tostada (M 39) y engobe tierra siena tostada (M 37). Diám.: 22,4 cm. Dim.: 2,5x5x0,9 cm. Sigla: MR07-1046-08. Pileta 2. UE 1046.



TSA-D. Forma Lamboglia 51, 51A = Hayes 59, nn. 9, 16-17; 65, n. 2.



TSA-D. Forma Lamboglia 51, 51A = Hayes 59, nn. 9, 16-17; 65, n. 2.

210. Fragmento de borde de Forma Lamboglia 51, 51A = Hayes 59, nn. 9, 16-17; 65, n. 2. Presenta una ancha acanaladura delimitando el labio. Fabricada en D¹. Pasta tierra siena natural clara (N 39) y engobe rojo inglés (P 19). Diám.: 24 cm. Dim.: 0,7x3,4x0,7 cm. Sigla: MR6-12/00 TS103. Cuadro 2B – Nivel 1.

211. Fragmento de borde de Forma Lamboglia 51, 51A = Hayes 59, nn. 9, 16-17; 65, n. 2, con los característicos resaltes del tipo. Fabricada en D¹. Pasta tierra siena tostada (M 39) y engobe rojo inglés (P 19). Dim.: 0,7x3,4x0,6 cm. Sigla: MR6-12/00 TS104. Cuadro 1B – Nivel 1.

212. Fragmento muy rodado de borde de Forma Lamboglia 51, 51A = Hayes 59, nn. 9, 16-17; 65, n. 2 con acanaladura externa doble en la parte superior del ala, fabricado en D¹. Pasta tierra siena tostada (M 37). Non conserva o engobe. Dim.: 0,6x0,9x0,6 cm. Sigla: MR07-0018-7. UE 18.

213. Tres fragmentos muy rodados y desconchados de borde, cuerpo y base de Forma Lamboglia 51, 51A = Hayes 59, nn. 9, 16-17; 65, n. 2 correspondiente a la variante B en D¹. Pasta tierra siena tostada (M 37) y engobe tierra siena natural claro (N 37). Dim.: 2,6x3,7x0,8 cm. Sigla: MR07-1046-13. Pileta 2. UE 1046.

214. Fragmento de cuerpo de Forma Lamboglia 51, 51A = Hayes 59, nn. 9, 16-17; 65, n. 2 correspondiente a la variante A. Presenta serie de acanaladuras verticales en el exterior de la pared en D¹. Pasta tierra siena tostada (M 39) y engobe tierra siena tostada (M 37). Dim.: 2,0x3,2x0,5 cm. Sigla: MR6-12/00 TS105. Cuadro 1B – Nivel 1.

215. Fragmento de cuerpo de Forma Lamboglia 51, 51A = Hayes 59, nn. 9, 16-17; 65, n. 2 correspondiente a la variante A. Conserva dos acanaladuras verticales marcando la unión entre cuerpo y base. Fabricada en D¹. Pasta tierra siena tostada (M 39) y engobe tierra siena natural claro (N 39). Dim.: 1,4x3,8x0,5 cm. Sigla: MR6-12/00 TS106. Cuadro 12E – Nivel 1.

216. Fragmento de cuerpo de Forma Lamboglia 51, 51A = Hayes 59, nn. 9, 16-17; 65, n. 2 correspondiente a la variante A decorada. Muestra acanaladura externa ligeramente ladeada de parte superior izquierda a inferior derecha. Fabricada en D¹. Pasta tierra siena tostada (M 39) y engobe tierra siena tostada (P 37). Dim.: 1,6x3,7x0,5 cm. Sigla: MR6-12/00 TS107. Cuadro 1'B – Nivel 1.

217. Fragmento de cuerpo de Forma Lamboglia 51, 51A = Hayes 59, nn. 9, 16-17; 65, n. 2

correspondiente a la variante A. Conserva una acanaladura vertical fragmentada en el exterior de la pared. Pasta tierra siena tostada (M 39) y engobe tierra siena tostada (M 37). Dim.: 1,8x3,6x0,5 cm. Sigla: MR07-1043-26. Pileta 3. UE 1043.

218. Pequeño fragmento de cuerpo de Forma Lamboglia 51, 51A = Hayes 59, nn. 9, 16-17; 65, n. 2 correspondiente a la variante A. Muestra parte de la acanaladura externa vertical. Pasta tierra siena tostada (M 39) y engobe tierra siena natural claro (N 37). Dim.: 0,8x2,9x0,5 cm. Sigla: MR6-12/00 TS108. Cuadro 1B – Nivel 1.

219. Pequeño fragmento de cuerpo de Forma Lamboglia 51, 51A = Hayes 59, nn. 9, 16-17; 65, n. 2 correspondiente a la variante A. Presenta fragmentada parte de la acanaladura vertical. Pasta tierra siena tostada (M 39) y engobe rojo inglés (P 19). Dim.: 0,9x1,3x0,5 cm. Sigla: MR6-12/00 TS109. Cuadro 1B – Nivel 1.

3.3.3.2.2. FORMA HAYES 60, NN. 1-2

Se reconoce este plato ancho por su borde redondeado, virado al exterior y normalmente proveído de una acanaladura sobre la margen superior externa. En la parte interna se dispone la decoración estampada, entre serie de acanaladuras. El diámetro de esta forma se fija entre los 30 y los 42 centímetros. Se produce en *sigillata* africana D^1, derivando probablemente de platos elaborados en C^1 y C^2. El engobe, generalmente opaco y semibrillante, cubre parcialmente el exterior. La arcilla es muy fina. La decoración corresponde al estilo A(ii) de Hayes. Según este autor, la cronología de esta forma cubriría aproximadamente desde el 320, a grandes rasgos, hasta cerca del 380. También se han encontrado restos contextualizados entre el 360 y el 440 en Cartagena y en un nivel de destrucción relativo a los años 465-468 en *Conimbriga* (CARANDINI *et al.*, 1981: 84-85; tav. XXXV, 8-11).

Se difunde en el Mediterráneo occidental y en la costa atlántica. En *Hispania* se documenta, entre otros puntos, en Valencia, Mérida y Cártama (Málaga) (PAZ PERALTA, 1991: 189).

Se documentaron cuatro ejemplares correspondientes a esta forma (núms. 220-223), conservando parte del borde y el cuerpo.

220. Perfil completo, con acanaladura externa en la parte superior del ala. Fabricada en D^1. Pasta (M 37) y engobe (N 37) tierra siena tostada. Diám. aprox. borde: 39 cm. Diám. aprox. base: 29,4 cm. Dim.: 2,1x5,4x0,7 cm. Sigla: MR07-1043-4. UE 1043.

221. Fragmento de borde, cuerpo y base. Forma fabricada en D^1. Pasta tierra siena tostada (M 39) y engobe rojo inglés (P 19). Diám: 35,5 cm. Dim.: 1,7x3,8x0,7 cm. Sigla: MR6-12/00 TS112. Cuadro 3D – Nivel revuelto.

222. Fragmento de borde y cuerpo. Posible relación con el fragmento número 223. Forma fabricada en D^1. Pasta y engobe tierra siena tostada (M 37). Dim.: 1,3x5,1x0,7 cm. Sigla: MR6-12/00 TS110. Cuadro 1F - Nivel 1.

223. Fragmento de borde y cuerpo. Posee una acanaladura en la parte superior del borde. Posible relación con el fragmento número 222. Forma fabricada en D^1. Pasta y engobe tierra siena tostada (M 37). Dim.: 1,4x2,9x0,8 cm. Sigla: MR6-12/00 TS111. Cuadro 1F - Nivel 1.

3.3.3.2.4. FORMA HAYES 61, NN. 1, 4, 7, 18

Se define esta fuente por ser poco profunda, mostrar un fondo plano y borde triangular, pudiendo presentarse más o menos inclinado hacia el interior, vertical, o tendente al exterior. La pared puede continuar de diferentes formas. Podría mostrar una arista viva, crear un escalón en la parte interna o subrayar una acanaladura o un ligero surco, bien en la parte externa o en el interior y exterior de la escudilla. Internamente es apreciable una acanaladura en correspondencia con la conjunción de la pared y la base y serie de acanaladuras, en número de una a cinco, que contienen la decoración estampada. Sus dimensiones se sitúan entre los 22 y 41 centímetros. De los ejemplares de Bueu que permitieron delimitar el diámetro, se debe señalar a todos son bastante reducidos, llegando dos a los 24 cm (núms. 224-225) y siendo uno de 22 cm escasos (núm. 226).

Esta forma se produce en D^1 y D^2. El engobe se muestra opaco y fino en D^1, o incluso semibrillante en los ejemplares poco profundos, cuyo borde es inclinado hacia el interior. En D^2 suele mostrarse espeso y brillante en los ejemplares más profundos. A veces son visibles en la parte interna marcas de torno, debido a la plasticidad de la arcilla. El engobe puede recubrir la parte interna de la escudilla y parte de la externa, sin llegar a la parte inferior. Aparece imitada en diversas producciones como la denominada *sigillata* de Argelia central y oriental, en *sigillata* tripolitana, en *sigillata* de Túnez occidental, en *sigillata* egipcia A, en cerámica ateniense, en la *sigillata* local de Conimbriga y en alguna otra producción local hispánica. La decoración corresponde al estilo A (i)-(ii)-(iii) de Hayes (CARANDINI *et al.*, 1981: 8-43; tav. XXXIV, 1-9).

Hayes propone una cronología de entre el 325 y cerca del 450. En particular 325-400/420 para el tipo Hayes 61 A y 380/390-450 para el tipo Hayes 61 B (Hayes, 1972: 106-107). Se

atestigua en contextos de finales del siglo IV e inicios del siglo V en *Ostia* y en niveles de los siglos IV-V en Cartagena. Es por lo tanto uno de los tipos más antiguos de TSA-D.

La mayor parte de los ejemplares recogidos en Bueu se corresponden con el grupo A y por lo tanto pertenecen a una fase más temprana (núms. 224-227), pudiendo ser incluidos tan sólo dos fragmentos dentro del grupo B (núms. 228-229). El grueso de la muestra presenta cuerpos delgados con dirección incurvada y bordes angulosos, indicadores ambos de la primera fase de fabricación (LÓPEZ PÉREZ, 2004: 449).

Esta forma se difundió principalmente en el Mediterráneo occidental y oriental y en la costa atlántica. Ejemplares de esta forma son documentados también en la costa septentrional de Italia y en la Europa continental.

Para el noroeste se señalan los hallazgos de Iria Flavia, *Cidadela* y Coruña (LÓPEZ PÉREZ, 2004: 447-450) dentro de la provincia de la Coruña. En la provincia de Pontevedra se tiene constatado en la *villa* romana de Toralla y en varias intervenciones realizadas en Vigo (CÉSAR VILA, 2004b: 73).

Se recogieron seis ejemplares de esta forma en Bueu (núms. 224-229).

224. Dos fragmentos de borde y cuerpo de Forma Hayes 61, nn. 1, 4, 7, 18. Pasta tierra siena natural clara (N 39) y engobe tierra siena natural claro (N 37). Diám: 24,4 cm. Dim.: 2,8x5,4x0,7 cm. Sigla: MR4/01 TS42A. Cuadro B 9' – UE 84. Sigla: MR4/01 TS42B. Cuadro A10 – UE 70.

225. Dos fragmentos de borde y cuerpo de Forma Hayes 61, nn. 1, 4, 7, 18. Pasta tierra siena tostada (M 37) y engobe rojo inglés claro (N 19). Diám.: 24 cm. Dim.: 2,7x5,7x0,7 cm. Sigla: MR07-1043-1. Pileta 3. UE 1043.

226. Fragmento de borde y cuerpo muy rodado de Forma Hayes 61, nn. 1, 4, 7, 18. Pasta tierra siena tostada (M 37) y engobe tierra siena natural claro (N 37). Diám.: 21,4 cm. Dim.: 2,7x6x1 cm. Sigla: MR07-1046-16. Pileta 3. UE 1046.

227. Fragmento de borde y cuerpo de Forma Hayes 61, nn. 1, 4, 7, 18. Pasta y engobe tierra siena tostada (M 37). Dim.: 2,3x3,6x1,0 cm. Sigla: MR07-1043-3. Pileta 3. UE 1043.

228. Fragmento de borde y cuerpo de Forma Hayes 61, nn. 1, 4, 7, 18 perteneciente a la variante A. Posible fabricación en D^1. Pasta tierra siena tostada (M 39) y engobe tierra siena

tostada (M 37). Dim.: 2,1x3,0x0,9 cm. MR6-12/00 TS113. Cuadro 1F - Nivel 1.

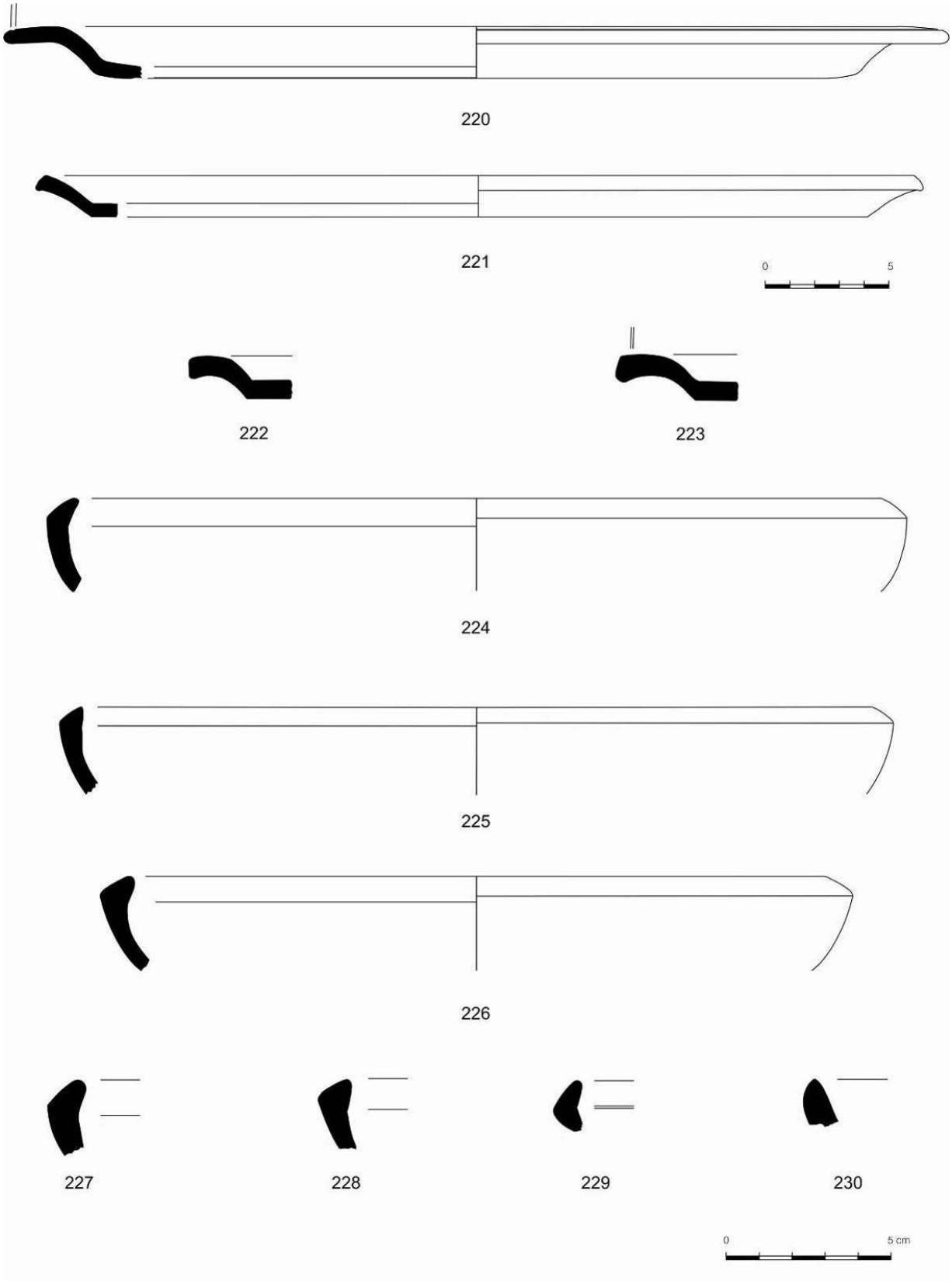
229. Fragmento muy rodado de borde y cuerpo de Forma Hayes 61, nn. 1, 4, 7, 18 con acanaladura en el ángulo interno que marca el límite entre ambos. Pasta tierra siena tostada (M 37). No conserva el engobe. Dim.: 1,5x3,7x0,8 cm. Sigla: MR07-0018-3. UE 18.

3.3.3.2.4. FORMA HAYES 103 B

Es esta una forma poco documentada por lo que su desarrollo tipológico se ve dificultado. Se trata de una escudilla carenada con borde engrosado redondeado y de perfil menos triangular que el de la variante A. Presenta cuerpo exvasado y pie bajo de grosor considerable. La pared muestra una acanaladura en el interior que separa la parte superior del cuerpo del fondo, este más grueso. Los diámetros conocidos se sitúan entre los 32,3 y los 34 cm. Se produce en D². El engobe es brillante o semibrillante y se aplica en el interior y en el exterior del borde. Hayes sitúa esta forma cronológicamente entre el 500 y el 575 aproximadamente. Es este un tipo documentado de manera excepcional en el Mediterráneo occidental y oriental (CARANDINI *et al.*, 1981: 99; tav. XLV, 6-7).

Se recogió un pequeño fragmento de borde con el arranque del cuerpo de esta forma. La sección del borde, aunque presenta una leve tendencia triangular, es redondeado. La inexistencia de la pestaña inferior vuelta sobre el cuerpo, desestima su pertenencia a la variante A, pese a encontrarse la B poco documentada, incluso en la orla Mediterránea.

230. Fragmento poco rodado de borde y arranque de cuerpo de Forma Hayes 103B. Presenta sección redondeada con tendencia triangular. Fabricada en D². Pasta tierra siena tostada (M 39) y engobe tierra siena natural claro (N 39). El engobe, brillante, cubre la parte interna y la externa del borde, careciendo en la parte conservada, la parte exterior del cuerpo. Dim.: 1,2x1,2x1,0 cm. Sigla: MR4/01 TS31. Nivel de revuelto – UE 161.



TSA-D. Forma Hayes 60, nn. 1-2 (220-223). Forma Hayes 61, nn. 1, 4, 7, 18 (224-229). Forma Hayes 103 B (230).

3.3.3.2.5. PIEZAS DE ATRIBUCIÓN PROBABLE O INDETERMINADA DE TSA-D.

Son noventa los fragmentos de TSAD de atribución probable o indeterminada documentados. Cinco podrían corresponder a la Forma Hayes 32/58 o a la Forma Lamboglia 51, 51A = Hayes 59, nn. 9, 16-17; 65, n. 2 (núms. 231-235).

La Forma Hayes 32/58 se corresponde con un plato de cuerpo más o menos exvasado con borde de ala plana, liso o con una o más acanaladuras. En la parte interna es visible una acanaladura en correspondencia con la conjunción del cuerpo y la base y dos acanaladuras hacia el centro. El diámetro de estas piezas oscila entre los 22 y los 42 centímetros. Esta forma se produce en *sigillata* africana D^1. El engobe es normalmente opaco, aunque también puede presentarse semibrillante. Puede recubrir totalmente la pieza, aunque generalmente sólo se encuentra en el interior y parte superior de la zona externa. El tipo Hayes 32/58 proviene de la forma Hayes 32/Ostia I en A/D. Hayes propone una cronología de finales de siglo III a inicios del IV, que se difunde en el Mediterráneo occidental y oriental y en la costa atlántica.

La otra forma a la que podrían corresponder los ejemplares, se trataría de la Lamboglia 51, 51A = Hayes 59, nn. 9, 16-17; 65, n. 2, anteriormente descrita.

Otra pieza mutilada puede corresponder a una posible Forma Hayes 67, nn. 1, 4; 9 (núm. 236). Este plato se caracteriza por poseer un borde más o menos redondeado, con un margen superior generalmente proveído de una o dos acanaladuras y alguna vez con un ligero perfilado en relieve. Un elemento plano, más o menos inclinado, une el borde a la pared. En la parte interna la base está surcada por una acanaladura, simple o múltiple, comprendiendo la decoración estampada. El diámetro se enmarca entre los 16/20 y los 46 centímetros. Esta forma es producida en *sigillata* africana D^1 y D^2. El engobe puede ser opaco y fino, semibrillante o brillante espeso. La parte externa del plato es visible sólo en parte. Hayes distingue tres grupos en función del tipo de decoración estampada. El primero [estilo A(ii)] comprende platos de buena factura, con paredes generalmente delgadas, borde nítidamente articulado, con labio espeso y redondeado. El segundo [estilo A(iii)] corresponde a un plato con borde espesado y acanaladura dispuesta a una cierta distancia del labio. El tercero [estilo A(iii) final] corresponde a piezas de factura de mala calidad con engobe normalmente espeso y brillante (D^2). Se cifra entre los años 360 y cerca del 470 la cronología para esta forma, con tres fases diferenciadas: 360-420 la primera, 400-450 la segunda y la tercera del 450 en adelante. Esta forma se difunde bien por el Mediterráneo occidental y oriental y en la costa atlántica. Algunos ejemplares son documentados en Italia septentrional e incluso se encontró una pieza en Southwark, en Gran Bretaña.

Por lo demás, el resto de fragmentos son de difícil clasificación. No obstante, se puede incluir con seguridad una alta proporción dentro del grupo de fabricación D^1.

Son numerosos los ejemplares de cerámica decorada estampada[20] (núms. 265-273) principalmente con composiciones concéntricas de motivos entre círculos acanalados, compuestos por rosetas (CARANDINI *et al.*, 1981: 129) y ramos de palma (CARANDINI *et al.*, 1981: 127). También se distinguen series de tréboles estilizados (CARANDINI *et al.*, 1981: 129, Mot. 167; Tav. LVIII (b), 45) y motivos formados por pequeños círculos concéntricos (CARANDINI *et al.*, 1981: 125, Mot. 8; Tav. LVI (a), 10). Se corresponden todos con fuentes o platos de base plana. Presentan series de rosetas enmarcadas en círculos concéntricos y ramos de palma. Ambos motivos son frecuentes en este tipo de cerámica. Esta clase de rosetas (CARANDINI *et alii*, 1981: tav. LVIII (b), 65) coinciden con la estampa 44B de Hayes. Aparece en formas en D^1 y D^2 asociada a ramos de palma semejantes a los aquí presentes. Algunos ejemplos se corresponden con la estampa 3 de Hayes (CARANDINI *et alii*, 1981: tav. LVII (b), 55) localizable en formas de D^1, D^2 y E, en los estilos A(i), particularmente A(ii) y B, siendo cronológicamente situados más allá de la segunda mitad del siglo IV. Otros ejemplos corresponden a la estampa 4 de Hayes (CARANDINI *et alii*, 1981: tav. LVII (b), 59-60), que aparece en formas de D^1 y D^2 en el estilo A(ii), con cronología de entre el 325 y cerca del 375 d.C.

Destaca un plato conteniendo series de tréboles estilizados (CARANDINI *et al.*, 1981: 129, Mot. 167; Tav. LVIII (b), 45) correspondiente al estilo A(ii), entre ramos de palma (CARANDINI *et al.*, 1981: 127, Tav. LVII (b)) y serie externa compuesta por rosetas (CARANDINI *et al.*, 1981: 129, Mot. 183; Tav. LVIII (b), 5). El motivo del trébol se corresponde con la estampa 83 de Hayes y aparece en C^3, D^1 y D^2 en los estilos A(ii) y A(iii) siendo característico de la primera mitad del siglo V.

---

[20] Esta decoración es típica de los fondos de los grandes platos de Africana D y a partir de los diferentes estilos se distinguen tres fases. La primera vendría dada por la presencia de motivos florales y geométricos, combinados para formar cuidadas composiciones siendo la radiada la más representativa. Se corresponde con los estilos decorativos A, B y C. (320-480) y sería en la que se incluirían los restos localizados en Bueu. En la segunda fase se representan sobre grandes fuentes y platos con pie, animales y algunos símbolos cristianos, compuestos por motivos geométricos, florales o animales, que ocupan bandas alrededor del fondo. Algunos vasos más pequeños presentan sólo el símbolo cristiano en el centro. Correspondería al Estilo D (440-500). En la tercera fase se localizan los motivos en el fondo de grandes fuentes formando composiciones libres o en pequeñas piezas donde una simple estampa se presenta como el principal motivo ornamental de medallones centrales. Serán figuras humanas y animales variados entre otros, los motivos más comunes.

231. Fragmento de borde de posible Forma Hayes 32/58 o posible Forma Lamboglia 51, 51A = Hayes 59, nn. 9, 16-17; 65, n. 2. Fabricada en D¹. Presenta engobe por ambas caras en la parte correspondiente al borde. Pasta tierra siena tostada (M 39) y engobe tierra siena natural claro (N 37). Diám.: 42 cm. Dim.: 0,7x3,0x0,7 cm. Sigla: MR6-12/00 TS114. Cuadro 1'F – Nivel 1.

232. Fragmento de borde. Posible Forma Hayes 32/58 o posible Forma Lamboglia 51, 51A = Hayes 59, nn. 9, 16-17; 65, n. 2. Fabricada en D¹. Presenta engobe por ambas superficies debido corresponderse al borde. Pasta tierra ocre carne (N 40) y engobe tierra siena natural claro (N 37). Diám.: 41 cm. Dim.: 0,7x3,0x0,7 cm. Sigla: MR6-12/00 TS115. Cuadro 1'F – Nivel 1.

233. Fragmento de borde y cuerpo. Posible Forma Hayes 58B o posible Forma Lamboglia 51, 51A = Hayes 59, nn. 9, 16-17; 65, n. 2. Fabricada en D¹. Pasta tierra siena tostada (M 39) y engobe tierra siena natural claro (N 37). Diám. aprox.: 38 cm. Dim.: 3,2x6,5x0,6 cm. Sigla: MR6-12/00 TS117. Cuadro 1'E – Nivel 1.

234. Fragmento de borde. Posible Forma Hayes 58B o posible Forma Lamboglia 51, 51A = Hayes 59, nn. 9, 16-17; 65, n. 2. Presenta una acanaladura en la parte superior del borde. Fabricada en D¹. Muestra engobe por ambas caras tratándose de la parte correspondiente al borde. Pasta tierra siena tostada (M 39) y engobe tierra siena natural claro (N 37). Dim.: 0,7x2,2x0,7 cm. Sigla: MR6-12/00 TS116. Cuadro 4G – Nivel 1.

235. Dos fragmentos de cuerpo de plato, posible Forma Hayes 58B o posible Forma Lamboglia 51, 51A = Hayes 59, nn. 9, 16-17; 65, n. 2. Presenta acanaladura en la unión externa de borde y cuerpo y engobe en el interior. Pasta y engobe tierra siena tostada (M 39). Dim.: 3,3x7,5x0,9 cm. Sigla: MR07-1043-2. Pileta 3. UE 1043.

236. Fragmento de borde y cuerpo de posible Forma Hayes 67, nn. 1, 4, 9. Pasta rojo inglés claro (N 20) y engobe tierra siena tostada clara (N 35). Dim.: 1,6x2,3x0,9 cm. Sigla: MR6-12/00 TS118. Cuadro 1'F – Nivel 1.

237. Fragmento de borde y cuerpo. Pieza fabricada en D¹. Pasta rojo inglés (P 39) y engobe tierra siena tostada (P 37). Dim.: 1,6x2,7x1,0 cm. Sigla: MR6-12/00 TS119. Cuadro D5 – Nivel de revuelto.

238. Fragmento de cuerpo. Pieza fabricada en D¹. Pasta tierra siena tostada (M 39) y engobe tierra siena natural claro (N 37). Dim.: 2,6x3,1x0,5 cm. Sigla: MR6-12/00 TS120.

Cuadro 1F - Nivel 1.

239. Fragmento de cuerpo. Pasta ocre carne (M 45) y engobe rojo inglés (P 19). Dim.: 1,0x3,4x0,7 cm. Sigla: MR6-12/00 TS121. Cuadro 3E – Nivel 1.

240. Fragmento de cuerpo. Fabricada en D¹. Pasta tierra siena tostada (M 39) y engobe tierra siena natural claro (N 37). Dim.: 2,4x3,2x0,6 cm. Sigla: MR6-12/00 TS122. Cuadro 1'F – Nivel 1.

241. Fragmento de cuerpo. Fabricada en D¹. Pasta tierra siena natural clara (N 37) y engobe rojo inglés (P 19). Dim.: 1,4x2,5x0,6 cm. Sigla: MR6-12/00 TS123. Cuadro 1'F – Nivel 1.

242. Fragmento de cuerpo, posiblemente de un plato. Pasta y engobe tierra siena tostada (M 37). Dim.: 1,2x4,1x0,7 cm. Sigla: MR6-12/00 TS124. Cuadro 1'F – Nivel 1.

243. Fragmento de cuerpo de pieza fabricada en D¹. Pasta tierra siena tostada (M 37) y engobe tierra siena tostada (P 37). Dim.: 1,6x2,2x0,5 cm. Sigla: MR6-12/00 TS125. Cuadro 1'B – Nivel 1.

244. Fragmento de cuerpo de pieza fabricada en D¹. Pasta tierra siena tostada (M 39) y engobe rojo inglés (P 19). Dim.: 0,7x3,4x0,5 cm. Sigla: MR6-12/00 TS126. Cuadro 2'F – Nivel 1.

245. Fragmento de cuerpo. Pasta y engobe tierra siena tostada (M 39). Dim.: 1,1x2,5x0,6 cm. Sigla: MR6-12/00 TS127. Cuadro 1F - Nivel 1.

246. Fragmento de cuerpo. Pasta tierra siena tostada (M 39) y engobe tierra siena natural claro (N 37). Dim.: 1,0x2,1x0,7 cm. Sigla: MR6-12/00 TS128. Cuadro 1B – Nivel 1.

247. Fragmento de cuerpo de forma indeterminada. Presenta o característico arranque plano del ala. Pasta tierra siena tostada (M 39) y engobe tierra siena tostada (M 37). Dim.: 2,4x4,6x0,5 cm. Sigla: MR07-1046-07. Pileta 2. UE 1046.

248. Fragmento de cuerpo de forma indeterminada. Presenta o arranque del ala. Pasta y engobe tierra siena tostada (M 39). Dim.: 2,0x2,2x0,4 cm. Sigla: MR07-0141-06. UE 0141.

249. dos fragmentos muy rodados de cuerpo. Pasta tierra siena tostada (M 39). Non conserva engobe. Dim.: 2,4x4,7x0,5 cm. Sigla: MR07-1046-19. Pileta 3. UE 1046.

250. Fragmento de cuerpo de plato. Pasta tierra siena tostada (M 39) y engobe tierra siena natural claro (N 37). Dim.: 1,1x3,5x0,6 cm. Sigla: MR4/01 TS27. Cuadro D1 – UE 40.

251. Fragmento de cuerpo de plato. Pasta tierra siena tostada (M 39) y engobe rojo inglés (P 19). Dim.: 1,0x2,8x0,6 cm. Sigla: MR4/01 TS28. Cuadro D5 – UE 38.

252. Fragmento de cuerpo de forma indeterminada. Posible plato. Pasta tierra verde tostada (M 47) y engobe tierra siena natural claro (N 37). Dim.: 0,7x2,6x0,6 cm. Sigla: MR4/01 TS25. Cuadro D5 – UE 38.

253. Fragmento de cuerpo de forma indeterminada. Pasta ocre carne (N 45) y engobe tierra siena tostada (P 39). Dim.: 1,4x1,4x0,6 cm. Sigla: MR4/01 TS43. Cuadro E2 – UE 17.

254. Dos fragmentos de cuerpo y base de plato fabricado en D¹. Posee acanaladura interior doble. Pasta tierra siena natural clara (N 37) y engobe rojo inglés (P 19). Dim.: 1,3x9,3x0,7 cm. Sigla: MR6-12/00 TS129. Cuadro 2'F- Nivel 1.

255. Fragmento de cuerpo y base con pie destacado. Fabricación temprana en D¹. Presenta en la parte interna dos acanaladuras de forma circular. Pasta tierra siena tostada (M 37) y engobe rojo inglés (P 39). Diám. pie: 4 cm. Dim.: 0,9x4,7x0,7 cm. Sigla: MR6-12/00 TS130. Cuadro 2'F - Nivel 1.

256. Fragmento de cuerpo y base de plato. El pie es un simple resalte que marca la división entre la base y el cuerpo, correspondiéndole en la parte interna una acanaladura. Pieza fabricada en D¹. Pasta tierra siena tostada (M 37) y engobe tierra siena natural claro (N 37). Diám. 30 cm. Dim.: 0,8x5,4x0,6 cm. Sigla: MR6-12/00 TS131. Cuadro 10E – Nivel 1.

257. Dos fragmentos de cuerpo y base. Posible fabricación en D¹. Pasta y engobe tierra siena natural claro (N 37). Dim.: 0,8x5,0x0,8 cm. Sigla: MR6-12/00 TS132. Cuadro 1F - Nivel 1.

258. Fragmento de cuerpo y base. Fabricada en D¹. Pasta y engobe tierra siena natural claro (N 37). Dim.: 0,9x2,7x0,7 cm. Sigla: MR6-12/00 TS133. Cuadro 1F - Nivel 1.

259. Dos fragmentos de cuerpo y base de plato. Presenta series de círculos acanalados concéntricos en el interior. Pasta y engobe tierra siena natural claro (N 37). Dim.: 0,8x4,7x0,7 cm. Sigla: MR07-1043-9A-B. Pileta 3. UE 1043.

260. Fragmento de cuerpo y base de plato. Presenta círculo acanalado concéntrico en el interior. Pasta tierra siena tostada (M 37) y engobe tierra siena natural claro (N 37). Dim.: 0,9x5,7x0,7 cm. Sigla: MR07-1043-8. Pileta 3. UE 1043.

261. Fragmento muy rodado de cuerpo y base de plato. Pasta tierra siena tostada (M 39). No conserva engobe. Dim.: 0,9x2,9x0,6 cm. Sigla: MR07-1043-25. Pileta 3. UE 1043.

262. Fragmento de cuerpo y base. Pasta y engobe tierra siena tostada (M 39). Dim: 0,9x2,5x0,7 cm. Sigla: MR07-1043-31. Pileta 3. UE 1043.

263. Fragmento de cuerpo y base de plato. La parte interna del pie se corresponde con una acanaladura. Pasta tierra siena tostada (P 39) y engobe rojo inglés (R 19). Dim.: 0,9x4,0x0,7 cm. Sigla: MR4/01 TS44. Cuadro B7 – UE 9 (transición).

264. Fragmento de base de plato. Muestra acanaladuras circulares en el interior, correspondiéndose en el exterior con el pie. Marcan la separación entre el cuerpo y la base. Pasta tierra siena tostada (M 39) y engobe tierra siena natural claro (N 37). Dim.: 0,5x5,3x0,5 cm. Sigla: MR6-12/00 TS134. Cuadro 1B - Nivel 1.

265. Tres fragmentos de base de plato. Presenta decoración estampada entre series de círculos triples acanalados concéntricos. En el centro presenta series de tréboles estilizados (CARANDINI *et al.*, 1981: 129, Mot. 167; Tav. LVIII (b), 45) entre ramos de palma (CARANDINI *et al.*, 1981: 127, Tav. LVII (b)). La serie externa está compuesta por rosetas (CARANDINI *et al.*, 1981: 129, Mot. 183; Tav. LVIII (b), 5). Pasta tierra siena tostada (M 39) y engobe tierra siena natural claro (N 37). Dim.: 0,5x10x0,5 cm. Siglas: MR07-1043-7A-B. Pileta 3. UE 1043; MR07-1044-1. Pileta 3. UE 1044.

266. Fragmento de base de plato. Presenta decoración estampada entre series de círculos acanalados concéntricos. En el centro presenta serie de ramos de palma (CARANDINI *et al.*, 1981: 127, Mot. 115, Tav. LVII (b), 63). La serie externa está compuesta por el encadenamiento del mismo motivo de ramo de palma, alternando con motivo de pequeños círculos concéntricos (CARANDINI *et al.*, 1981: 125, Mot. 8; Tav. LVI (a), 10). Pasta tierra siena tostada (M 39) y engobe tierra siena natural claro (N 37). Dim.: 0,4x5x0,4 cm. Sigla: MR07-1029-2. Sector 1. Pileta 3. Parte superior del corte N (escombro de relleno de zanja del muro N). UE 1029-1043.

267. Fragmento de base de plato. Presenta sucesión de círculos concéntricos acanalados, entre los que se intercala una serie integrada por cuatro rosetas, asociadas a un posible

ramo de palma. Pasta ocre carne (M 45) y engobe tierra siena natural claro (N 37). Dim.: 0,4x5,2x0,4 cm. Sigla: MR6-12/00 TS135. Cuadro 1E – Nivel 1.

268. Tres fragmentos de base de plato. Muestra decoración estampada de rosetas que se enmarca en series de círculos acanalados. Posible D^1. Pasta tierra verde tostada (M 47) y engobe rojo inglés (R 20). Se aprecia pierda de color provocada por acción de procesos postdeposicionales. Dim.: 0,4x3,3x0,4 cm. Sigla: MR6-12/00 TS138. Cuadro 1G – Nivel 1.

269. Fragmento de base de plato. Presenta decoración estampada con serie de rosetas y ramo de palma mutilado, rodeados por dos círculos acanalados concéntricos. Pasta tierra siena tostada (M 39) y engobe tierra siena tostado (M 37). Dim.: 0,4x3,3x0,4 cm. Sigla: MR6-12/00 TS140. Cuadro 1B – Nivel 1.

270. Fragmento de base de plato. Decoración estampada de roseta, mutilada por la fragmentación de la pieza, rodeada por acanaladura circular. Pasta ocre carne (M 45) y engobe tierra siena natural claro (N 37). Dim.: 0,4x2,7x0,4 cm. Sigla: MR6-12/00 TS141. Cuadro 3B – Nivel revuelto.

271. Pequeño fragmento de base. Presenta motivos decorativos compuestos por roseta y ramo de palma mutilados. Pasta tierra siena tostada (M 39) y engobe tierra siena natural claro (N 37). Dim.: 0,4x1,9x0,4 cm. Sigla: MR6-12/00 TS142. Cuadro 1B – Nivel 1.

272. Fragmento de base. Presenta motivo decorativo de roseta entre dos círculos acanalados. Pasta ocre carne (N 40) y engobe tierra siena natural claro (N 37). Dim.: 0,4x2,7x0,4 cm. Sigla: MR6-12/00 TS147. Cuadro 3B – Nivel de revuelto.

273. Fragmento de base de plato. Pese a la mutilación, se distingue un ramo de palma. Pasta ocre carne (M 45) y engobe tierra siena natural claro (N 37). Dim.: 0,4x1,6x0,4 cm. Sigla: MR6-12/00 TS156. Cuadro 2A – Nivel 1.

274. Fragmento de base, probablemente de plato o fuente. Presenta dos líneas concéntricas en la parte interior a modo de acanaladuras. Pasta tierra siena natural clara (N 39) y engobe tierra siena natural claro (N 37). Dim.: 0,5x4,5x0,5 cm. Sigla: MR6-12/00 TS136. Cuadro 1F – Nivel 1.

275. Fragmento de base de plato. Posible relación con el fragmento 280. Muestra acanaladura mutilada por fragmentación en la parte interna de la pieza, fabricada en D^1. Pasta tierra siena natural clara (N 37) y engobe rojo inglés (P 19). Dim.: 0,6x5,4x0,6 cm.

Sigla: MR6-12/00 TS137. Cuadro 1'E – Nivel 1.

276. Fragmento de base de plato que conserva el resalte del pie. Posible relación con el fragmento 279. Muestra en la superficie acanaladura circular que marca la unión con el cuerpo. Pasta tierra siena tostada (M 39) y engobe rojo inglés (P 19). Dim.: 0,6x3,5x0,6 cm. Sigla: MR6-12/00 TS139. Cuadro 1B – Nivel 1.

277. Fragmento de base. Pieza fabricada en D[1]. Pasta tierra siena natural clara (N 37) y engobe tierra siena tostada (P 39). Dim.: 0,6x3,4x0,6 cm. Sigla: MR6-12/00 TS143. Cuadro 1'F – Nivel 1.

278. Fragmento de base. Pasta tierra siena tostada (M 39) y engobe tierra siena natural claro (N 37). Dim.: 0,5x3,3x0,5 cm. Sigla: MR6-12/00 TS144. Cuadro 1B – Nivel 1.

279. Fragmento de base de plato. Posible relación con la pieza 276. Pasta tierra siena tostada (M 39) y engobe tierra siena tostada (M 37). Dim.: 0,7x4,2x0,7 cm. Sigla: MR6-12/00 TS145. Cuadro 9G – Nivel 1.

280. Fragmento de cuerpo y base de plato. Posible relación con la pieza 275. Pasta tierra siena tostada (M 39) y engobe tierra siena natural claro (N 37). Dim.: 1,2x2,7x0,7 cm. Sigla: MR6-12/00 TS146. Cuadro 9G – Nivel 1.

281. Fragmento de base, probablemente de un plato. Pasta tierra siena natural clara (N 39) y engobe tierra siena tostada (M 37). Dim.: 0,6x3,2x0,6 cm. Sigla: MR6-12/00 TS148. Cuadro 1'F - Nivel 1.

282. Fragmento de base. Pasta y engobe tierra siena tostada (M 37). Dim.: 0,6x3,9x0,6 cm. Sigla: MR6-12/00 TS149. Cuadro 1'F – Nivel 1.

283. Fragmento de base. Pieza temprana fabricada en D[1]. Posible relación con el fragmento número 285. Pasta tierra siena tostada (M 39) y engobe tierra siena natural claro (N 37). Dim.: 0,6x2,7x0,5 cm. Sigla: MR6-12/00 TS150. Cuadro 2'F - Nivel 1.

284. Fragmento de base de plato. Posible fabricación en D[1]. Pasta tierra siena tostada (M 37) y engobe tierra siena natural claro (N 37). Dim.: 0,6x2,5x0,6 cm. Sigla: MR6-12/00 TS151. Cuadro 1F - Nivel 1.

285. Fragmento de base. Pieza temprana fabricada en D[1]. Posible relación con el fragmento

número 283. Pasta tierra siena tostada (M 39) y engobe tierra siena natural claro (N 37). Dim.: 0,5x3,4x0,5 cm. Sigla: MR6-12/00 TS152. Cuadro 2'F- Nivel 1.

286. Fragmento de base. Pasta y engobe ocre carne (M 40). Dim.: 0,6x2,6x0,6 cm. Sigla: MR6-12/00 TS153. Cuadro 1'F – Nivel 1.

287. Fragmento de base. Sólo conserva un resalte a modo de pie en la base. Pasta tierra siena tostada (M 37) y engobe tierra siena natural claro (N 37). Dim.: 0,7x2,0x0,7 cm. Sigla: MR6-12/00 TS154. Cuadro 1F - Nivel 1.

288. Pequeño fragmento de base. Pasta tierra siena tostada (M 39) y engobe tierra siena natural claro (N 37). Dim.: 0,4x2,0x0,4 cm. Sigla: MR6-12/00 TS155. Cuadro 1B – Nivel 1.

289. Pequeño fragmento de base. Pasta tierra siena tostada (M 39) muy depurada. No conserva engobe. Dim.: 0,5x1,4x0,5 cm. Sigla: MR6-12/00 TS157. Cuadro 1B – Nivel 1.

290. Fragmento de base de plato. Presenta círculo acanalado interno. Pasta y engobe tierra siena tostada (M 39). Dim.: 0,3x5,7x0,3 cm. Sigla: MR07-1044-2. Pileta 3. UE 1044.

291. Fragmento de base de plato. Pasta tierra siena tostada (M 39) y engobe tierra siena tostada (P 37). Dim.: 0,6x3,2x0,6 cm. Sigla: MR07-1044-3. Pileta 3. UE 1044.

292. Fragmento muy rodado de base de plato. Pasta tierra siena tostada (M 37). No conserva engobe. Dim.: 0,9x3,4x0,9 cm. Sigla: MR07-0018-5. UE 18.

293. Fragmento de base de plato. Pasta y engobe tierra siena tostada (M 37). Dim.: 0,5x4,8x0,5 cm. Sigla: MR07-1043-10. Pileta 3. UE 1043.

294. Fragmento de base de plato. Pasta (M 39) y engobe (M 37) terra siena tostada. Dim: 0,5x3,2x0,5 cm. Sigla: MR07-1043-15. Pileta 3. UE 1043.

295. Fragmento de base de plato. Pasta y engobe tierra siena tostada (M 37). Dim: 0,5x4,0x0,5 cm. Sigla: MR07-1043-16. Pileta 3. UE 1043.

296. Fragmento de base de plato. Pasta (M 37) y engobe (N 35) terra siena tostada. Dim: 0,5x2,0x0,5 cm. Sigla: MR07-1043-20. Pileta 3. UE 1043.

297. Fragmento muy rodado de base de plato. Pasta y engobe tierra siena tostada (M 37).

Dim: 0,4x3,8x0,4 cm. Sigla: MR07-1043-22. Pileta 3. UE 1043.

298. Fragmento muy rodado de base de plato. Pasta tierra siena tostada (M 37). No conserva engobe. Dim: 0,4x2,0x0,4 cm. Sigla: MR07-1043-18. Pileta 3. UE 1043.

299. Fragmento muy rodado de base de plato. Presenta círculo acanalado interno. Pasta (M 39) y engobe (M 37) tierra siena tostado. Dim: 0,5x3,7x0,5 cm. Sigla: MR07-1043-17. Pileta 3. UE 1043.

300. Fragmento muy rodado de base. Presenta materiales no plásticos mal calibrados de calcita y cuarzo de gran tamaño. Pasta y engobe tierra siena tostada (M 39). Dim: 0,4x2,3x0,4 cm. Sigla: MR07-1043-29. Pileta 3. UE 1043.

301. Dos fragmentos muy rodados de base. Presentan materiales no plásticos mal calibrados de calcita y cuarzo de tamaño variable. Pasta y engobe tierra siena tostada (M 37). Dim: 0,4x3,3x0,4 cm. Sigla: MR07-1043-23. Pileta 3. UE 1043.

302. Fragmento rodado de base. Pasta y engobe tierra siena tostada (M 37). Dim: 0,9x2,7x0,7 cm. Sigla: MR07-1046-11. Pileta 2. UE 1046.

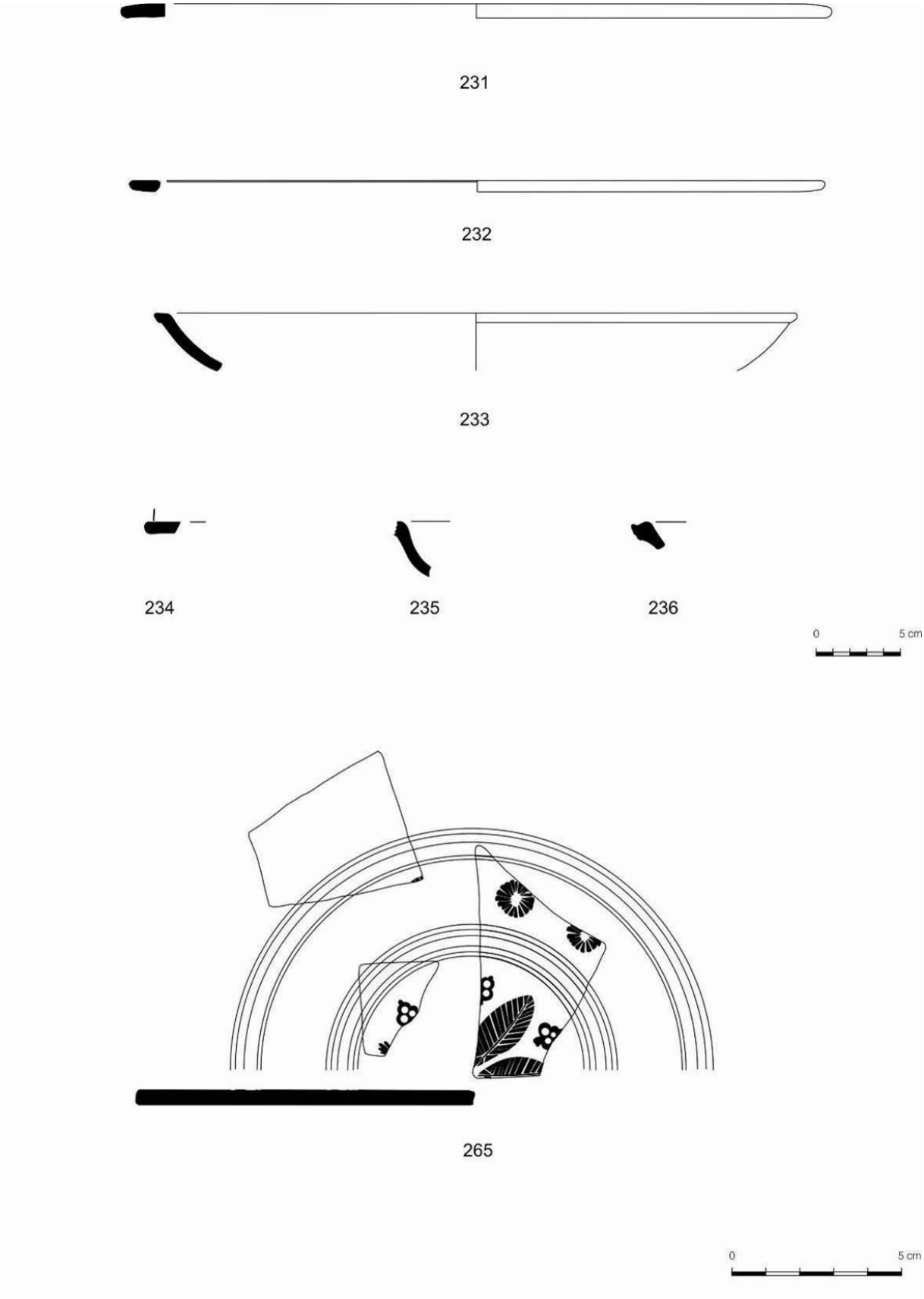
303. Dos fragmentos de base de plato. Pasta tierra siena tostada (M 37) y engobe tierra siena tostada clara (N 35). Dim.: 0,7x6,1x0,7 cm. Sigla: MR07-1003-1. Sector 1. Pileta E. UE 1003.

304. Fragmento muy rodado de base. Pasta (M 39) y engobe (M 37) tierra siena tostada. Dim: 0,7x2,1x0,7 cm. Sigla: MR07-1043-30. Pileta 3. UE 1043.

305. Fragmento muy rodado de base con círculo acanalado interno. Pasta (M 39) y engobe (M 37) tierra siena tostada. Dim: 0,7x2,6x0,6 cm. Sigla: MR07-1046-12. Pileta 2. UE 1046.

306. Fragmento rodado de base de plato. Pasta (M 39) y engobe (M 37) tierra siena tostada. Dim: 0,7x6,0x0,7 cm. Sigla: MR07-0102-2. UE 0102.

307. Fragmento de base de plato. Pasta y engobe tierra siena tostada (M 39). Dim: 0,5x2,8x0,5 cm. Sigla: MR07-0141-5. UE 0141.



TSA-D. Piezas de atribución probable o indeterminada

308. Fragmento de base de plato o fuente. Muestra pie anular compuesto por un pequeño resalte. Pasta tierra siena tostada (M 39) y engobe tierra siena natural claro (N 39). Diám. base: 27,4 cm. Dim.: 0,9x9,8x0,9 cm. Sigla: MR4/01 TS45. Cuadro D12 – UE 3 – UR 12.

309. Fragmento de base de plato con pie de escasa altura. Pasta tierra siena tostada (M 39) y engobe tierra siena natural claro (P 40). Diám. base: 21 cm. Dim.: 0,9x0,7x0,6 cm. Sigla: MR4/01 TS46. Cuadro B9 – UE 34.

310. Fragmento de base de plato. Muestra dos acanaladuras circulares en la parte interna. Pasta y engobe tierra siena natural claro (N 37). Dim.: 0,8x2,6x0,8 cm. Sigla: MR4/01 TS47. Cuadro C8 – UE 188 (relleno interior UE 90).

311. Fragmento de base de plato de forma indeterminada. Pasta tierra siena tostada (M 37) y engobe tierra siena natural claro (N 37). Dim.: 0,7x2,1x0,6 cm. Sigla: MR4/01 TS48 . Cuadro D5 – UE 38.

312. Fragmento de base fabricada en D^1. Pasta tierra siena tostada (M 37) y engobe rojo inglés (P 19). Dim.: 0,6x4,9x0,6 cm. Sigla: MR4/01 TS06. Cuadro C7 – UE 110.

313. Fragmento indeterminado, posiblemente perteneciente a la base de un plato. Fabricada en D^1. Pasta tierra siena tostada (M 37) y engobe tierra siena natural claro (N 37). Dim.: 0,5x3,0x0,5 cm. Sigla: MR6-12/00 TS158. Cuadro 1F - Nivel 1.

314. Fragmento indeterminado, probablemente de la base de un plato. Pasta ocre carne (M 40) y engobe rosa (M 20). Dim.: 0,5x2,0x0,5 cm. Sigla: MR6-12/00 TS159. Cuadro 10B - Nivel 1.

315. Fragmento indeterminado. Pieza fabricada en D^1. Pasta rojo inglés claro (N 20) y engobe tierra siena natural claro (N 37). Dim.: 1,8x2,5x0,5 cm. Sigla: MR6-12/00 TS160. Cuadro 1F - Nivel 1.

316. Fragmento indeterminado. Pasta tierra siena tostada (M 39) y engobe tierra siena natural claro (N 37). Dim.: 0,5x2,3x0,5 cm. Sigla: MR6-12/00 TS161. Cuadro 1'F – Nivel 1.

317. Fragmento indeterminado. Pasta tierra siena tostada (M 37) y engobe tierra siena natural claro (N 37). Dim.: 0,9x2,1x0,8 cm. Sigla: MR6-12/00 TS162. Cuadro 1F - Nivel 1.

318. Fragmento indeterminado. Pasta tierra siena natural clara (N 37) y engobe tierra siena

tostada (M 37). Dim.: 1,4x1,5x0,7 cm. Sigla: MR6-12/00 TS163. Cuadro 1F - Nivel 1.

319. Fragmento muy rodado de forma indeterminada. Pasta y engobe tierra siena tostada (M 39). Dim: 2,1x2,1x0,3 cm. Sigla: MR07-1046-14. Pileta 2. UE 1046.

320. Fragmento muy rodado de forma indeterminada. Pasta y engobe tierra siena tostada (M 39) Dim: 0,7x1,9x0,7 cm. Sigla: MR07-1043-28. Pileta 3. UE 1043.

321. Pequeño fragmento de cuerpo. Pasta (N 37) y engobe (N 39) tierra siena natural claro. Dim.: 1,6x2,3x0,7 cm. Sigla: MR4/01 TS61 . Cuadro L2– UE 80.

322. Fragmento de cuerpo y base de plato. Presenta círculo acanalado interno. Pasta tierra siena tostada (M 37) y engobe tierra siena tostada claro (N 35). Dim.: 1,2x2,6x0,9 cm. Sigla: MR4/01 TS62 . Cuadro C6– UE 12.

323. Fragmento de base de plato. Pasta (N 20) y engobe (N 19) rojo inglés claro. Dim.: 0,9x5,6x0,6 cm. Sigla: MR4/01 TS63. Cuadro B9– UE 34 (Derrumbe).

324. Fragmento de cuerpo y base. Pasta ocre carne (N 40) y engobe tierra siena natural claro (N 37). Dim.: 0,6x1,3x0,6 cm. Sigla: MR4/01 TS71 . Cuadro D7– UE 12.

3.3.3.3. *TERRA SIGILLATA* AFRICANA DE ADSCRIPCIÓN PROBABLE O INDETERMINADA

Se incluyen en este grupo diecisiete fragmentos de TSA de atribución probable o indeterminada (núms. 324-340). La fragmentación y alteración producida sobre las propiedades originarias por las acciones de procesos postdeposicionales, impiden la adscripción determinante a una producción concreta. Dos piezas podrían pertenecer a la producción TSA-A (núms. 324-426), una a TSA-A o a TSA-D (núm. 327), dos a TSA-C (núm. 328, 340), cinco a TSA-C o TSA-D (núms. 329-331, 334-335), seis a TSA-D (núms. 332-333, 336-339), y un fragmento resulta complejo de adscribir debido al deterioro (núm. 331). Se conserva un fragmento decorado (núm. 338) con roseta y ramo de palma estampados, que podría pertenecer a la producción de TSA-D.

325. Fragmento de parte do borde y de cuerpo de forma indeterminada de TSA, posiblemente perteneciente a la producción A, de poco grosor y con engobe por las dos caras. Pasta tierra siena tostada (M 37) y engobe tierra siena tostado (P 37). Dim.: 1,8x3,4x0,6 cm. Sigla: MR6-12/00 TS164. Cuadro 1'B – Nivel 1.

326. Fragmento de base de posible TSA-A con pie bajo. El fragmento se encuentra muy deteriorado. Pasta tierra siena tostada (M 39) y engobe tierra siena natural claro (N 37). Dim.: 0,5x1,7x0,5 cm. Sigla: MR6-12/00 TS165. Cuadro 1B – Nivel 1.

327. Fragmento indeterminado perteneciente a TSA-A o a TSA-D. Pasta tierra siena tostada (M 39) y engobe tierra siena natural claro (N 37). Posee engobe por las dos caras. Dim.: 0,9x1,9x0,5 cm. Sigla: MR6-12/00 TS166. Cuadro 1B – Nivel 1.

328. Fragmento de borde y cuerpo de forma indeterminada posiblemente perteneciente a la producción C. Muestra una línea paralela al borde. Pasta tierra siena tostada (M 39) y engobe tierra siena natural claro (N 37). Dim.: 0,7x2,0x0,5 cm. Sigla: MR6-12/00 TS167. Cuadro 1F - Nivel 1.

329. Fragmento de cuerpo de forma indeterminada. Podría estar asociada a las producciones C o D. Pasta tierra siena tostada (M 39) y engobe tierra siena tostada (M 37). Dim.: 0,9x2,3x0,5 cm. Sigla: MR6-12/00 TS169. Cuadro 1B- Nivel 1.

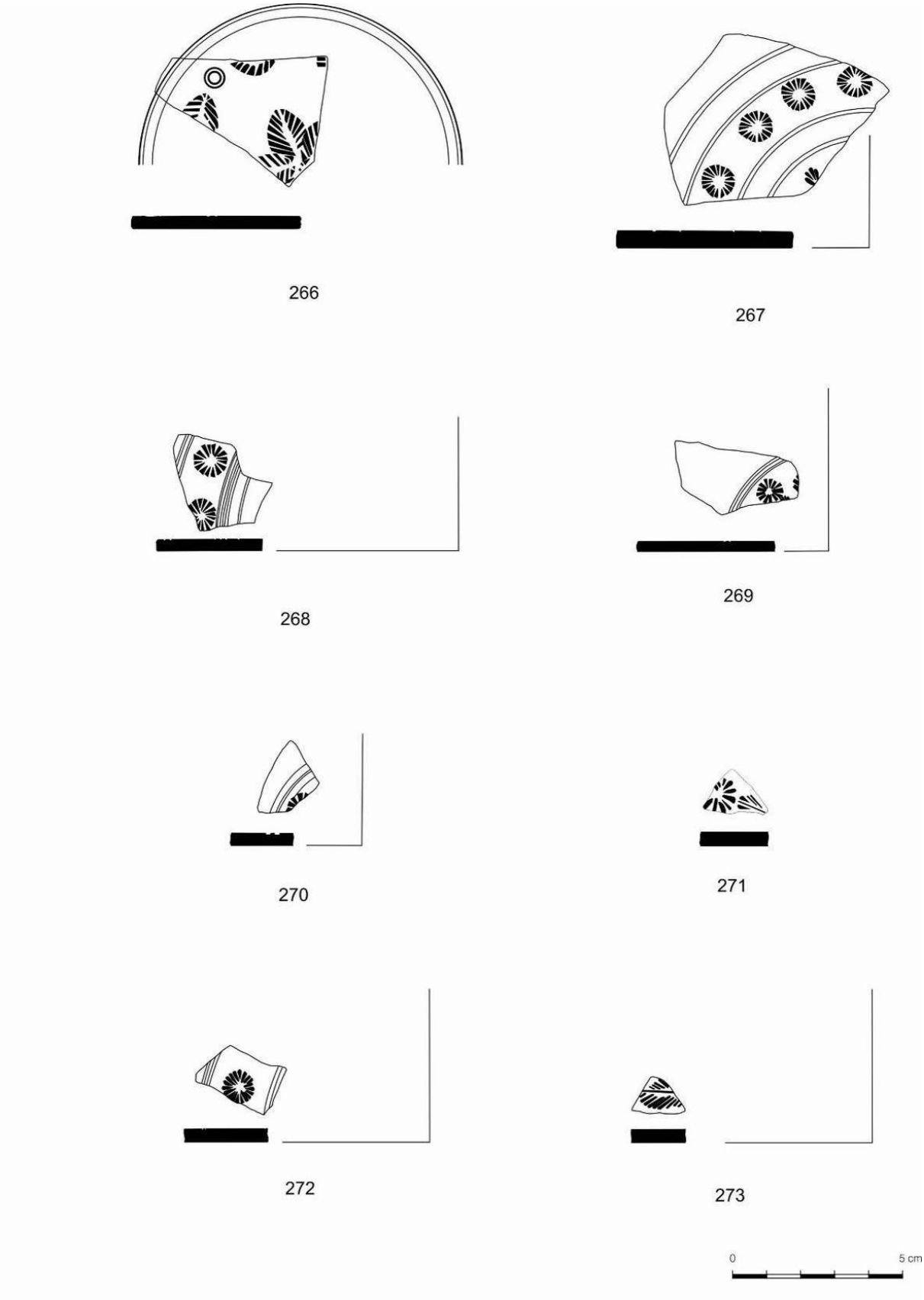
330. Fragmento de base de plato. Conserva parte de dos líneas circulares acanaladas. Podría estar asociada a las producciones C o D. Pasta tierra siena tostada (M 39) y engobe rojo inglés (R 19). Dim.: 0,5x5,2x0,5 cm. Sigla: MR6-12/00 TS176. Cuadro 1B – Nivel 1.

331. Fragmento de base de plato posiblemente perteneciente a TSA-C o a TSA-D. Pasta depurada tierra siena tostada (M 39) y engobe tierra siena natural claro (N 37). Dim.: 0,5x2,0x0,5 cm. Sigla: MR6-12/00 TS171. Cuadro 11G – Nivel 1.

332. Pequeño fragmento de borde y cuerpo de forma indeterminada, posiblemente perteneciente a la producción D y dentro de esta a las primeras fases de fabricación. Pasta tierra siena tostada (M 39) y engobe rojo inglés (R 19). Diám. aprox. borde: 24 cm. Dim.: 1,5x3,8x0,5 cm. Sigla: MR6-12/00 TS172. Cuadro 1'E – Nivel 1.

333. Fragmento de cuerpo de posible africana D. Pasta y engobe tierra siena tostada (M 37). Dim.: 1,8x2,8x0,4 cm. Sigla: MR6-12/00 TS173. Cuadro 1F - Nivel 1.

334. Fragmento de cuerpo y base de forma indeterminada de africana C o D. Pasta ocre carne (M 45) y engobe ocre carne (N 40). Dim.: 0,5x2,1x0,4 cm. Sigla: MR4/01 TS09. Cuadro C8' - UE 116 (relleno zanja).



TSA-D. Piezas de atribución probable o indeterminada

335. Fragmento de cuerpo y base de forma indeterminada de africana C o D. En la superficie interna muestra dos acanaladuras circulares concéntricas. Pasta y engobe tierra siena tostada (M 39). Dim.: 0,7x3,2x0,5 cm. Sigla: MR4/01 TS08. Cuadro 7B - UE 89 (arena blanca).

336. Pequeño fragmento de base de plato posiblemente perteneciente a TSA-D. Presenta un resalte a modo de pie. En la superficie interna muestra restos de dos acanaladuras circulares. Pasta tierra siena natural clara (N 37) y engobe rojo inglés (P 19). Dim.: 0,6x2,9x0,5 cm. Sigla: MR6-12/00 TS174. Cuadro 1B – Nivel 1.

337. Pequeño fragmento de base de forma indeterminada de posible TSA-D. Pasta tierra siena natural clara (N 37) y engobe tierra siena natural claro (N 39). Dim.: 0,6x2,7x0,5 cm. Sigla: MR6-12/00 TS175. Cuadro 3F – Nivel 1.

338. Pequeño fragmento de base de forma indeterminada posiblemente perteneciente al grupo D. Presenta decoración compuesta por roseta y ramo de palma. Pasta tierra siena tostada (M 39) y engobe ocre carne (N 45). Dim.: 0,4x1,8x0,4 cm. Sigla: MR6-12/00 TS176. Cuadro 1'B – Nivel 1.

339. Pequeño fragmento indeterminado, probablemente de base. Posiblemente pertenezca a la producción D. Pasta tierra siena tostada (P 39) y engobe rojo inglés (P 19). Dim.: 0,5x2,0x0,5 cm. Sigla: MR6-12/00 TS177. Cuadro 6A – Nivel 1.

340. Dos pequeños fragmentos muy rodados de forma indeterminada, posiblemente perteneciente a TSA-C. Pasta tierra siena natural clara (N 37). Dim.: 2,3x2,6x0,4 cm. Sigla: MR4/01 TS70 . Cuadro C4 – UE9.

3.3.3.4. CONSIDERACIONES SOBRE LA *TERRA SIGILLATA* AFRICANA DE BUEU

La llegada de cerámicas procedentes de África al establecimiento romano de Bueu evidencia una serie de circunstancias sociales y económicas propicias, creadas a partir de la eclosión y afianzamiento de la ruta comercial al norte de Europa.

Las primeras importaciones africanas se corresponden con TSA-C. Formas, pastas y decoraciones, parecen indicar que se haría en un momento avanzado de la segunda mitad del siglo III. La ausencia de TSA-A, se justifica por la fuerte competencia desarrollada por los centros productores tritienses. La importante exportación de la TSH altoimperial, no haría rentable importar durante el siglo II cerámicas africanas. De hecho su presencia es limitada

en todo el NW, si se compara con el resto de las cerámicas finas importadas en época altoimperial y como señalaba Delgado, su aparición desciende de S la N a lo largo de toda la fachada atlántica portuguesa (DELGADO, 1968; LÓPEZ PÉREZ, 2004).

Será a partir de mediados del siglo III, cuando las cerámicas africanas serán exportadas de manera masiva. Pese a que en estas fechas se impone una amplia demanda de *sigillatae* africanas C, procedentes de los talleres del centro de la Bizacena (VÁZQUEZ DE la CUEVA, 1985: 90), la muestra de Bueu resulta modesta. Se documentan 28 ejemplares de TSA-C (núms. 172-199) lo que supone el 15,3% respecto al total de las africanas y al 8% de las *sigillatae* estudiadas de Bueu. La elevada fragmentación de estos materiales refleja una adscripción a formas limitada. Estas generalidades se dan de manera similar en el caso coruñés (LÓPEZ PÉREZ, 2004: 460).

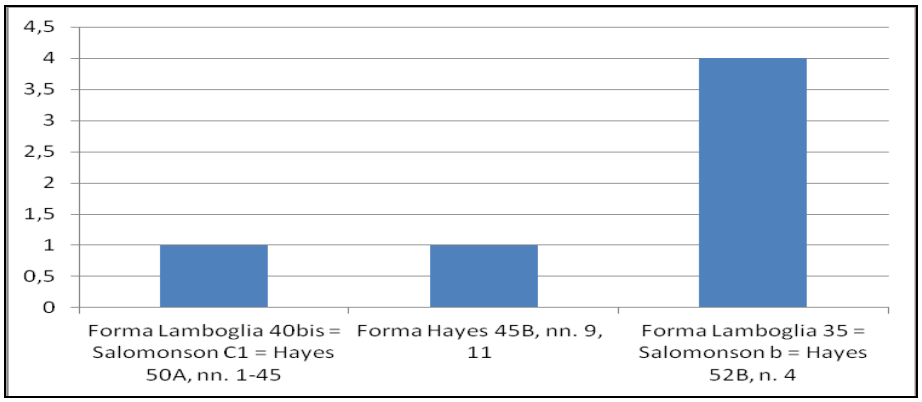
TSAC		
Forma	**Total**	**Porcentaje**
Forma Lamboglia 40bis = Salomonson C1 = Hayes 50A, nn. 1-45	1	16,6%
Forma Hayes 45B, nn. 9, 11	1	16,6%
Forma Lamboglia 35 = Salomonson *b* = Hayes 52B, n. 4	4	66,6%

Porcentajes de formas de TSA-C localizada en Bueu

Respecto al abanico tipológico, se observa la presencia de tipos plenamente conocidos en el ámbito costero peninsular y recién identificadas en el noroccidental (LÓPEZ PÉREZ, 2004: 442-444; PÉREZ LOSADA *et al*., 2004: 63) como son la Forma Lamboglia 40bis = Salomonson C1 = Hayes 50A, nn. 1-45 y la Forma Lamboglia 35 = Salomonson b = Hayes 52B, n. 4, así como un fragmento testimonial de la menos difundida Hayes 45B, nn. 9, 11.

En lo que atañe a decoraciones, todas se han ejecutado mediante la técnica de la aplicación, con motivos plenamente conocidos, como son los delfines o los ramos de palma, junto a otros menos comunes como el que representa a una pareja de liebres copulando, todos presentes en la Forma Lamboglia 35 = Salomonson b = Hayes 52B, n.

Durante el siglo IV se mantiene la fabricación de TSA-C, pero será la producción de TSA-D la que impondrá cualitativamente sus productos como principal importación africana y segunda de las producciones finas en Bueu, después de la TSH. Se recogieron un total de 125 piezas de TSA-D (núms. 200-324) abarcando el 73,9 % del total de las africanas y el 36% de las *sigillatae*.



Representatividad de formas de TSA-C localizada en Bueu

Respecto a las tipologías aparecidas en Bueu, se encuentra cierta similitud con lo conocido en otras zonas de la fachada atlántica gallega, tal como es el caso de la costa coruñesa, exhaustivamente estudiada (LÓPEZ PÉREZ, 2004), o de la zona de las Rías Baixas.

TSAD		
Forma	**Piezas**	**Porcentaje**
Forma Lamboglia 51, 51A = Hayes 59, nn. 9, 16-17; 65, n. 2	20	64,6%
Forma Hayes 60, nn. 1-2	4	12,9%
Forma Hayes 61, nn. 1, 4, 7, 18	6	19,3%
Forma Hayes 103 B	1	3,2%

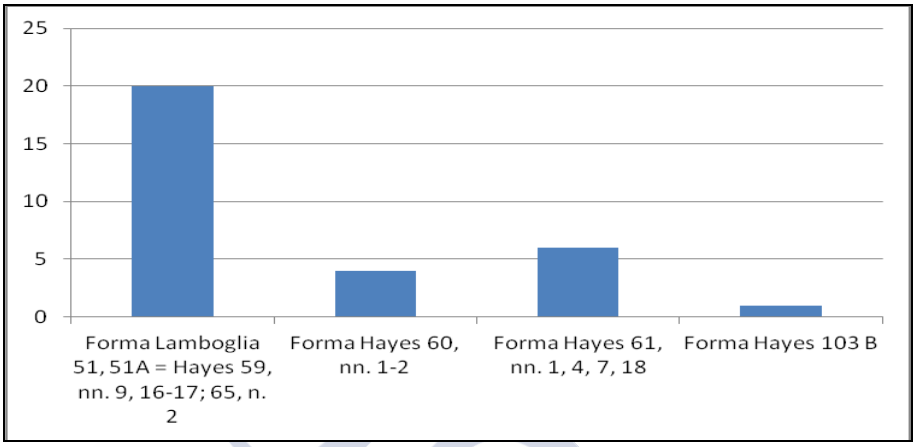
Porcentajes de formas de TSA-D localizada en Bueu

En ambos casos se tiene señalado la presencia de formas ampliamente difundidas en la península, como la Formas 59 o Forma 61, incluso en puntos del interior como Mérida o Zaragoza (PAZ PERALTA, 1991: 176). Junto y estas, se cuenta con la Forma 60, tradicionalmente calificada como de aparición poco frecuente (PAZ PERALTA, 1991: 176). Todas ellas sin embargo, pueden incluirse cronológicamente dentro del período productivo de los siglos IV y V (LÓPEZ PÉREZ, 2004: 461). La falta de producciones africanas de cronología posterior, localizadas en otros yacimientos del árela galaica (LÓPEZ PÉREZ, 2004), semeja marcar un punto de inflexión en la actividad del yacimiento.

Respeto a los motivos decorados, todos mediante estampado, parecen corresponder a composiciones concéntricas de motivos entre círculos acanalados. Las series de rosetas, ramos de palma, tréboles estilizados y pequeños círculos concéntricos representados en

fuentes o platos de base plana, abarcan un abanico cronológico que coincidiría con las tipologías[21] situándose entre la segunda mitad del siglo IV y el siglo V.

La presencia de dieciséis fragmentos de *sigillata* africana sin clasificar, debido a su estado de conservación deficiente y fragmentario, no varían sustancialmente los valores de los datos aportados.



Representatividad de formas de TSA-D localizada en Bueu

3.3.4. *TERRA SIGILLATA* FOCEA TARDÍA

Esta producción fue sistematizada inicialmente por Waagé en 1933. En 1972 Hayes aportó una clasificación más completa, propagando el calificativo originario de *Late Roman C*. La asignación del centro de fabricación, o por lo menos de uno de ellos en Focea, en Turquía occidental entre Esmirna y Pérgamo, llevó a Hayes a proponer la denominación de *Phocean slip ware* para esta cerámica.

La arcilla de esta fábrica no es tan depurada cómo la usada en la *terra sigillata* africana, presentando carbonatos plásticos como único desgrasante visible, hecho que lleva en muchos casos a confundirlas con las producciones hispánicas tardías. Esta es de color marrón roja y de buena cocción. En su fabricación se distinguen dos tipos de pasta. Uno posee una amalgama clara y blanda con partículas de carbonato cálcico visibles en la superficie -los ejemplares de Bueu pertenecen a este grupo-, mientras que otro, de pasta más dura y fractura recta, muestra granos de carbonato cálcico más pequeños. El engobe se corresponde con una fina película aplicada con irregularidad, adherente y penetrante, de

[21] Sin duda los restos de bases indeterminadas con decoración estudiadas pertenecerían a parte de las formas identificadas. La imposibilidad de adscribir con seguridad diferentes fragmentos la una misma pieza, suele conllevar a la exageración de valores numéricos.

tono mate o brillo metálico, sobre todo en la parte interna. En el exterior se percibe la presencia de vacuolas, provocadas por los granos de cal trasladados. El grosor de las paredes disminuye hacia el borde, añadiéndose este tras la fase de moldeado. Es característica la decoración burilada en la parte externa del borde. También se utiliza en el interior de la base, en relación con motivos estampados.

Respeto a su cronología, se comienza a fabricar a finales del siglo IV, llegando hasta mediados del siglo VII d.C., aunque la difusión hacia el occidente se sitúa entre mediados del siglo V y mediados del VI d.C. Las estratigrafías recuperadas en *Hispania* así parecen indicarlo (PAZ PERALTA, 1991: 223).

La consumación del comercio de esta cerámica parece coincidir con la invasión bizantina del S de *Hispania*, factor que provocaría problemas en las transacciones entre el Reino Visigodo y el área mediterránea.

Hayes clasifica diez formas de las que sólo la 3 y la 5 presentan difusión amplia en el Mediterráneo occidental, con una preponderancia que supera el 80% de las piezas de la primera sobre la segunda (PAZ PERALTA, 1991: 224). En la zona noroccidental peninsular predomina la Forma 3, si bien en los últimos años se ha podido ampliar el repertorio formal.

Su difusión cubre todo el Mediterráneo y las costas atlánticas, incluyendo el litoral de las islas Británicas. En algunas zonas del Mediterráneo como Cartago, su manifestación es escasa debido a la cercanía y autoridad que desplegaban las producciones africanas. En la Península aparece ampliamente documentada, localizándose tanto en las costas mediterráneas como atlánticas. Las referencias de Nieto, recogidas por Paz Peralta, (PAZ PERALTA, 1991: 223), sumadas a las de Beltrán (BELTRÁN LLORIS, 1990: 279), señalan los hallazgos de Aguilas (Murcia), *Baelo* (Cádiz), Barcelona, Braga, Cacem, Cartagena, Cártama (Málaga), *Carteia*, Cerro da Vila, Rosas, Colonia de Sant Jordi (Mallorca), *Conimbriga*, El Florida, Girona (Ampurias, Rosas, Camós y Torroella de Montgrí), Huerta de Santa María, Isla Fraile, La Azohía, Loulé Velho, *Lucentum* (Alicante), Marim, Mataró, Montroy (Villaricos y Herrerías, Almería), Tarragona, Troia de Setúbal, Valencia y Sevilla. En el valle delo Ebro Paz Peralta señaló *Caesaraugusta*. Deben tenerse en cuenta as localizadas en Mértola (DELGADO, 1992). En la zona noroccidental aparece en los yacimientos costeros del "Golfo Ártabro" –*Brigantium* y Noville-, Moraime, *Iria Flavia*, en el campamento militar de Cidadela y Cerceda en la provincia de A Coruña. En Lugo se localizó en el Castro de Viladonga, junto con la referencia de *Lucus Augusti*, y en Ourense en Santomé (LÓPEZ PÉREZ, 2004: 475-478; Fig. 227; NAVEIRO LÓPEZ, 1991: 45-46; Fig. 8; Mapa 8). Dentro de la provincia de Pontevedra destacan los hallazgos de Tui (ACUÑA

PIÑEIRO *et alii*, 1998) y en Vigo los de rúa Hospital[22] y Rosalía de Castro (PRIETO ROBLES, 2004: 71).

La distribución de esta cerámica es preponderantemente costera y refleja la importancia del comercio con el Mediterráneo oriental.

3.3.4.1. ESTUDO DEL MATERIAL

3.3.4.1.1. FORMA HAYES 3

El repertorio de formas de la TSFT es escaso en relación con el de otras producciones. Hayes clasifica diez formas, todas fuentes o cuencos, de las que sólo la 3 y la 5 alcanzan una amplia difusión (PAZ PERALTA, 1991: 224). En la zona noroccidental peninsular predomina con diferencia la Forma 3, si bien en los últimos años se ha ampliado el repertorio a raíz de las intervenciones realizadas en las salinas romanas de Vigo, selladas por niveles de ocupación tardía[23].

La Forma 3 -acuñada con el término *dish/bowl* por Hayes- puede considerarse uno de los fósiles directores de la tardorromanidad y se identifica fundamentalmente a partir de su borde. Este se presenta muy destacado, alto, no triangular, vertical o perpendicular a la base, siendo saliente en su parte inferior. Son bordes acentuados al torno que muestran un pequeño resalte en el punto de unión entre el cuerpo y la pared externa. Puede llegar a ser muy saliente con respeto a la pared y esta es la principal diferencia formal con la Forma 61 de TSA-D. En la parte superior finaliza en un labio biselado, inclinado al interior, que puede ser recto, curvo o ligeramente cóncavo. El labio es grueso y vertical, generalmente cóncavo en la pared externa con la extremidad inferior más o menos proyectada hacia fuera. El cuerpo es curvo y el pie bajo o falso, formado por una moldura.

La evolución de la Forma 3 se refleja en un borde cada vez más pequeño y grueso. El pie se muestra moldurado. También es característico un resalte en la unión del borde con la pared externa. La pared es poco gruesa, especialmente en comparación con el borde y la base. Esta característica es la responsable de la ausencia de perfiles completos, con la

[22] Agradecemos al director de las intervenciones realizadas en esta zona, Ángel Acuña, el acceso a estos materiales.

[23] Debemos agradecer a los colegas, directores de las intervenciones realizadas en el casco urbano de Vigo, la facilitación de información al respecto.

consiguiente dificultad de atribuir las bases a los bordes encontrados, factor que complica a la contabilización de piezas.

El diámetro se sitúa entre los 10 y los 39 centímetros, si bien las dimensiones medias se sitúan entre los 19 y los 36 cm. Los ejemplares de mayores dimensiones alcanzan más de 32 cm y los de pequeños tamaños entre 10 y 18 cm.

La cara exterior del borde generalmente se muestra con tonalidades sepias, debido a las condiciones de cocción.

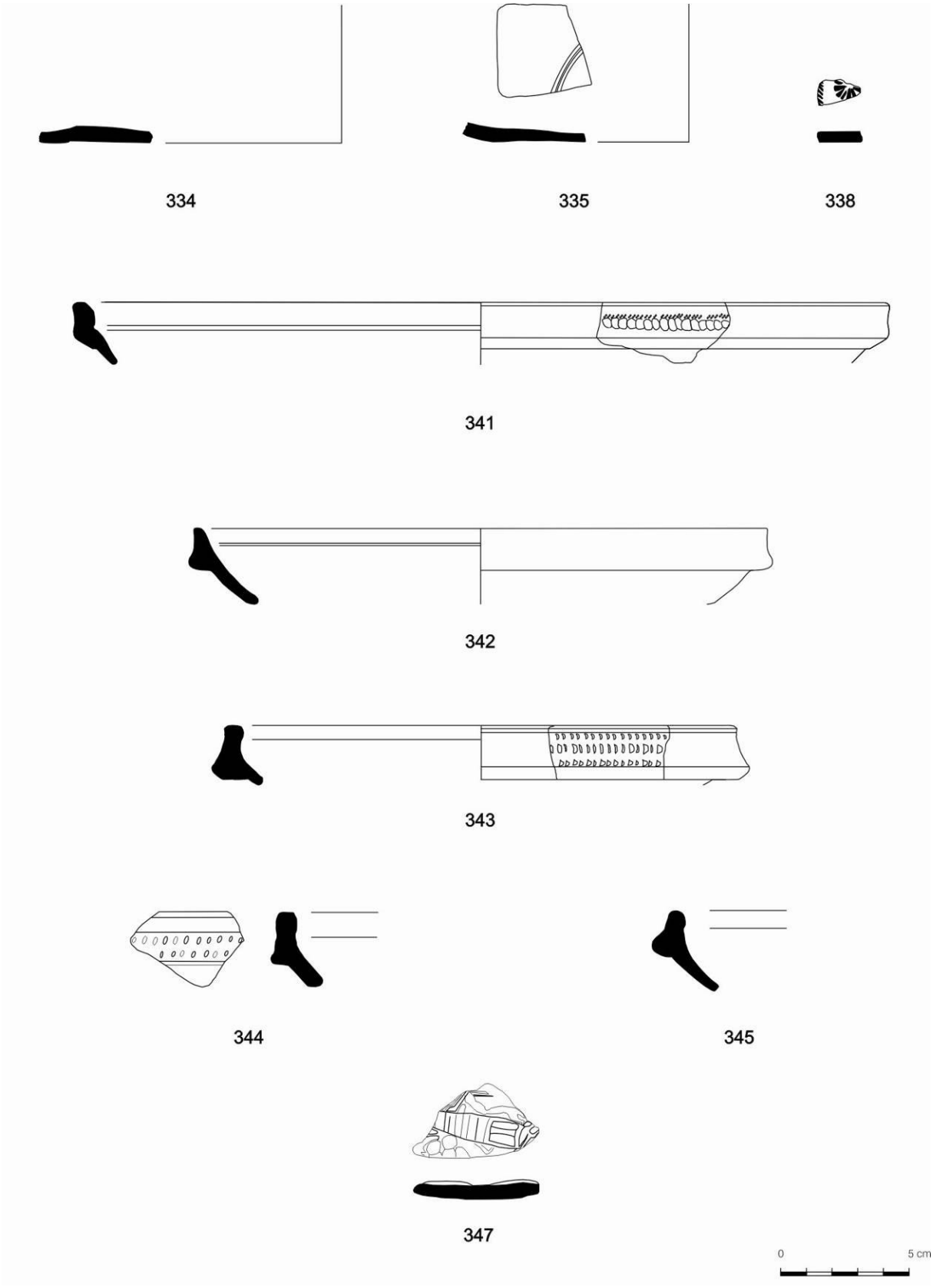
Los bordes de esta forma son poco homogéneos. Hayes los consideró como producto de una evolución cronológica y los clasificó en ocho subtipos (A-H). De los recogidos en Bueu se pueden atribuir dos al tipo F (núms. 341, 344) y dos al tipo H (núms. 342, 346), ambos situados por Hayes dentro de un margen temporal que abarcaría todo el siglo VI (HAYES, 1972: 332-338). Buena parte de los arqueólogos que trabajan con estratigrafías en las que se documenta esta forma, coinciden en que el tipo de borde no sería un elemento determinante a la hora de establecer dataciones, si bien se coincide en que la mayor parte de la expansión se produce entre la mitad del siglo V y la mitad el siglo VI d.C.

De presentar decoración esta es estampada y se localiza en el fondo interno, muchas veces combinada con acanaladuras en bandas de *guilloché* o burilado. Resulta frecuente en la cara externa del borde de los que se conservan tres ejemplares con esta técnica en Bueu (núms. 341, 343-344). El mal estado de conservación de otros dos ejemplares, impide determinar si presentaban del elemento decorativo.

Para la distribución de esta forma nos remitimos a lo referido anteriormente para la Forma, según la propuesta realizada por Hayes.

341. Fragmento de borde y cuerpo de Forma 3 de la clasificación de Hayes. Muestra decoración burilada en la parte externa del borde. Pasta tierra rosa (M 20) y engobe tierra verde tostado (N 25). Diám. borde: 31 cm. Dim.: 2,6x5,8x0,9 cm. Sigla: MR4/01 TS50. Cuadro C8- UE 69

342. Fragmento de borde y cuerpo de Forma 3 de la clasificación de Hayes. Carece de decoración burilada, probablemente debido al mal estado de conservación que presenta. Pasta tierra siena tostada (M 39) y engobe tierra rojo inglés (P 19). Diám. borde: 22 cm. Dim.: 2,9x7,9x1,1 cm. Sigla: MR4/01 TS51. Cuadro A10- UE 9.



TSA Indeterminada. Piezas de atribución indeterminada (334-338). TSFT. Forma 3 (341-345). Producción indeterminada con decoración aplicada (347)

343. Fragmento de borde y cuerpo de Forma 3 de la clasificación de Hayes. Muestra decoración burilada en la parte externa del borde. La cocción defectuosa originó una pasta reductora tipo bocadillo. Núcleo de la pasta gris oscuro (R 73) y exterior gris pardo claro (N 70). Diám. aprox. borde: 19 cm. Dim.: 2,9x4,5x1,2 cm. Sigla: MR4/01 TS52. Cuadro B7- UE 12 (prolongación).

344. Fragmento de borde y cuerpo de Forma 3 de la clasificación de Hayes. Presenta decoración burilada en la parte externa del borde. Pasta tierra verde tostada (M 35) y engobe tierra de siena (S 37). Dim.: 2,9x4,3x0,7 cm. Sigla: MR6-12/00 TS178. Cuadro 2'F- Nivel 1.

345. Fragmento de borde y cuerpo de Forma 3 de la clasificación de Hayes. Carece de decoración burilada, probablemente debido al mal estado de conservación que presenta. Pasta tierra siena tostada (M 39) y engobe tierra siena natural claro (N 39). Abundan los granos de calcita. Dim.: 3,1x4,4x1,3 cm. Sigla: MR4/01 TS53. Cuadro B11- UE 46.

346. Fragmento de cuerpo de Forma 3 de la clasificación de Hayes, que presenta indicios de tener sido sometido a fuego. Pasta muy porosa, tierra verde tostada (N 50) y engobe ocre oro tostado (P 35). Dim.: 2,0x5,4x1,0 cm. Sigla: MR4/01 TS54. Cuadro B4- UE 9.

3.3.4.2. CONSIDERACIONES SOBRE LA *TERRA SIGILLATA* FOCEA TARDÍA DE BUEU

Con la TSA y la TSHT, la TSFT marca el último momento de las importaciones de *sigillatae* al noroeste, situado entre las décadas centrales de los siglos V-VI (NIETO PRIETO, 1984: 543-547; LÓPEZ PÉREZ, 2004: 478).

La manifestación en Bueu de cerámica Focea, aparece representada por cinco bordes y un fragmento de cuerpo[24] que bien podría corresponder a alguno de los fragmentos conservados (núms. 341-346) lo que supone el 1,7% con respecto al total das *sigillatae*. Pese a la parquedad de la muestra, debe considerarse la significación de estos hallazgos en la medida en que se trata de una producción poco documentada, hasta hace algunos años en el noroeste peninsular.

[24] A ello se suma el dato de la aparición de por lo menos, dos ejemplares más, procedentes del control arqueológico de una zanja realizada en la Rúa Montero Ríos de Bueu, dirigido por el arqueólogo Víctor Barbeito, a quien agradecemos la información.

En otros enclaves secundarios como Tui (ACUÑA PIÑEIRO *et alii*, 1998), Vigo (PRIETO ROBLES, 2004: 71) o *Brigantium* (LÓPEZ PÉREZ, 2004: 478), los porcentajes parecen semejantes a los determinados para el caso de Bueu hasta hace relativamente poco tiempo. Sin embargo, los últimos hallazgos realizados en los niveles tardíos romanos, han hecho que la balanza se inclinase significativamente, a favor de los productos procedentes del Mediterráneo oriental.

3.3.5. PRODUCCIONES INDETERMINADAS

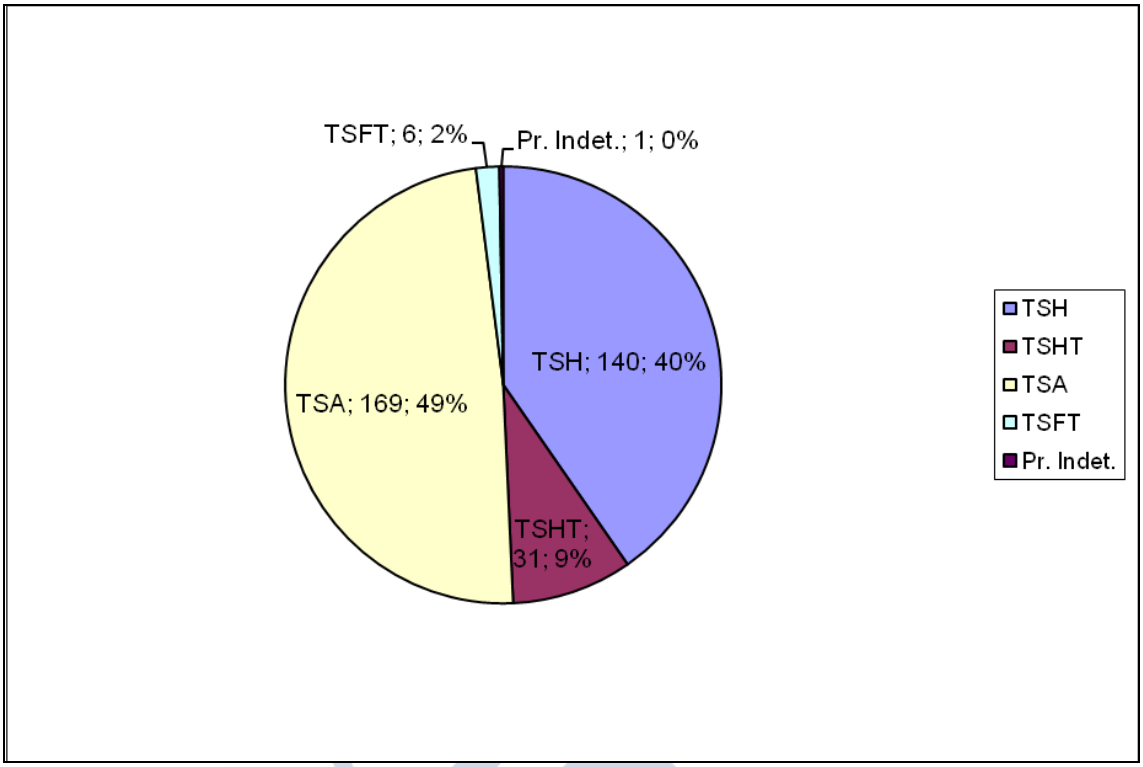
Se recogió un fragmento de plato correspondiente a la base de una producción indeterminada. La sección es plana y en la parte inferior se distinguen marcas de torno. En la superior presenta decoración aplicada en la que se observa un personaje masculino con el torso descubierto, vertiendo líquido de un ánfora. La mutilación de la pieza impide distinguir la escena o conjunto en el que se incluiría esta figura. Presenta gran realismo, donde se observan los músculos abdominales del individuo, las formas curvas de su brazo izquierdo y el ánfora. La representación del ánfora, con el exterior totalmente estriado, recuerda a la de alguna forma vinaria del Mediterráneo oriental. Aparece totalmente ennegrecida, fruto de una cocción reductora y no de un posterior quemado. Este detalle contrasta con la técnica depurada que se empleó en la confección de la decoración. Los caracteres técnicos y el estilo decorativo, parecen indicar un posible origen oriental.

347. Fragmento de base de plato. Presenta decoración aplicada en la que se aprecia una figura masculina con el torso descubierto, vertiendo vino directamente desde un ánfora. Muestra cocción reductora. Pasta gris muy oscuro (T 31) en la parte superior y engobe tierra verde tostada (N 49) en la inferior. Dim.: 0,9x4,9x0,8 cm. Sigla: MR4/01 TS02. Cuadro E3 - UE 17.

3.3.6. CONCLUSIONES ACERCA DE LA *TERRA SIGILLATA* LOCALIZADA EN BUEU

De los 347 fragmentos de *sigillata* recogidos en Bueu, 140 pertenecen a TSH (40%), 31 a TSHT (9%), 169 a TSA (49%) y 6 a TSFT (2%).

Los resultados revelan una clara preponderancia de las importaciones de producciones de época tardía respeto de las altoimperiales, perteneciendo estas de manera global, a un momento avanzado de la fabricación.



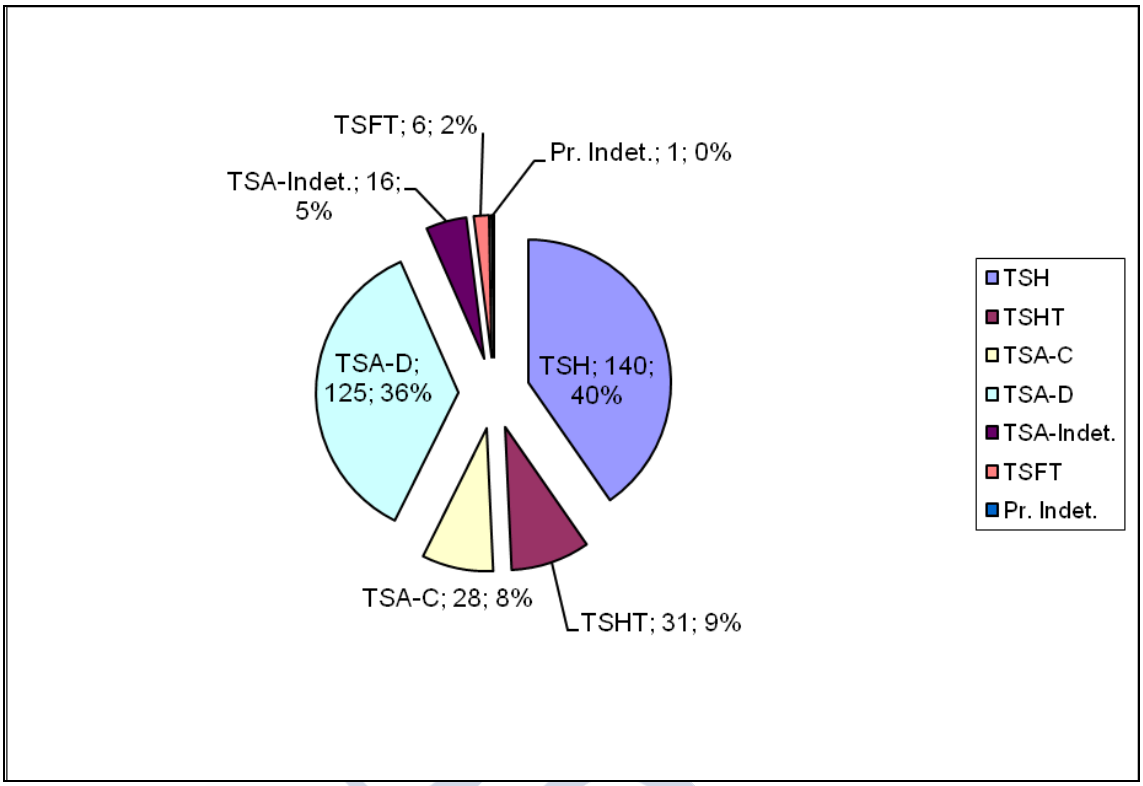
Representatividad de familias de *sigillatae* localizadas en Bueu

La ausencia de *terra sigillata* gálica evidencia una fundación no anterior a la segunda mitad del siglo I d.C. del Bueu romano. Si bien, buena parte de la TSH recogida -que representa casi la mitad de la muestra estudiada-, presenta elementos de fases intermedias y avanzas, principalmente de la segunda mitad del siglo II en adelante, esta se localiza en una posición secundaria en cuanto a su contexto estratigráfico.

Estos materiales podrían estar relacionados con la fase final de la primera ocupación del Bueu romano, probablemente con el área industrial, portuaria y comercial. Los datos irían en la línea de la hipótesis expuesta por Currás, a partir de la cual se propone para la factoría de salazón de Bueu una cronología encuadrada en la segunda mitad del siglo I y que las dependencias habrían sido reutilizadas en un sentido habitacional, con un acondicionamiento de las pilas en los siglos II-III d.C. (CURRÁS REFOJOS, 2004: 43).

Los materias altoimperiales aparecen en contextos de revueltos y reaprovechados, siendo, por lo tanto, relativas las dataciones para fases anteriores. Buena parte de ellos fueron localizados en rellenos de diversas estructuras y depósitos de carácter tardío, como muros de piedra o de argamasa, agujeros de poste, revueltos, etc.

Esta segunda fase vendría marcada por el desmantelamiento de las estructuras originales y con la construcción de nuevas instalaciones con materiales y elementos reutilizados, contextualmente relacionada con el material tardío, resultando ser este el más abundante.



Representatividad de producciones de *sigillatae* localizadas en Bueu

Resulta significativa la mayor presencia de producciones africanas respeto de las hispánicas tardías, que confirma la gran competencia provocada por los productos llegados desde el N de África. Incluso parece evidente una llegada de los materiales hispánicos por vía marítima, probablemente siguiendo la ruta navegable desde Tricio por el Ebro hacia el Levante y de aquí a las costas atlánticas.

La presencia de una *villa* marítima, así como de los talleres cerámicos, permiten identificar una unidad económica de entidad relevante, probablemente perteneciente a lo que se ha denominando como aglomerado secundario (PÉREZ LOSADA, 2004). Si bien la *villa*, la casa de campo típicamente romana y célula básica constitutiva del hábitat rural, también participa del espíritu del bloque histórico[25] conformando una especie de *civitas* en miniatura, existen elementos de suficiente entidad como para poder referirse a un enclave económico y comercial de mayor magnitud, situado en una posición estratégica, bordeando el litoral S de la Ría de Pontevedra, a escasa distancia del enclave de *Turoqua*, cruzado de N a S por la Vía XIX.

[25] El bloque histórico definiría un núcleo urbano y su territorio que vertebraría a nivel político, administrativo y comercial (PÉREZ LOSADA, 1996: 252).

Se verifica un nuevo paradigma de enclave con un desarrollo comercial que continúa en el contexto de la romanidad tardía, desfigurando una vez más la idea basada en el declive económico generalizado, relacionado con la fase de desintegración del imperio y con el empobrecimiento de las relaciones comerciales. Las últimas excavaciones realizadas en la zona urbana de Vigo han mostrando un panorama incluso más complejo que el boenense -con el que sin duda mantendrían una estrecha relación-, tanto a nivel de tipología de estructuras, estratigrafías y cultura material, siendo cuantiosos los ejemplares pertenecientes a diferentes formas de las diferentes producciones tardías de *sigillatae* recogidas en la ciudad olívica.

Estos factores permiten intuir la idea del funcionamiento sincrónico, perfectamente estructurado, de un complejo industrial relacionado con la salazón en las Rías Baixas. Con el desmantelamiento del Imperio se asistirá a una transformación de estos establecimientos, donde non se pierde la inercia comercial anterior, manteniéndose las rutas marítimas establecidas hacia el Mediterráneo.

Estos cambios se producen sobre el uso de un hábitat de una manera continuada. Así parece indicarlo la variedad cronológica del material exhumado. Al material altoimperial, compuesto por la TSH, se suman las producciones de época bajo y tardorromana, TSHT e importaciones africanas y del mediterráneo oriental, que entroncarían en el tiempo con la época germánica. Las cronologías generales para la fabricación de estos productos, cubrirían un período que abarcaría cinco siglos.

Los materiales aquí estudiados corresponden a varias actuaciones relacionadas con el actual parcelario. Se trata por lo tanto de una visión parcial de un enclave que ocuparía una superficie bastante más amplia a lo largo de la línea de costa, comunicando los dos puntos catalogados, así como hacia el interior.

La importancia del yacimiento romano de Bueu en el centro de las Rías Baixas vendría otorgada por diferentes factores geográficos exclusivos, que facilitarían el flujo de gentes y mercancías. En el mismo rango cabe mencionar la abundancia de los recursos naturales marinos (agua, sal y pescado) y terrestres (agua dulce, arcilla y madera para los hornos cerámicos), inherentes para el establecimiento de un centro de transformación de materias primas.

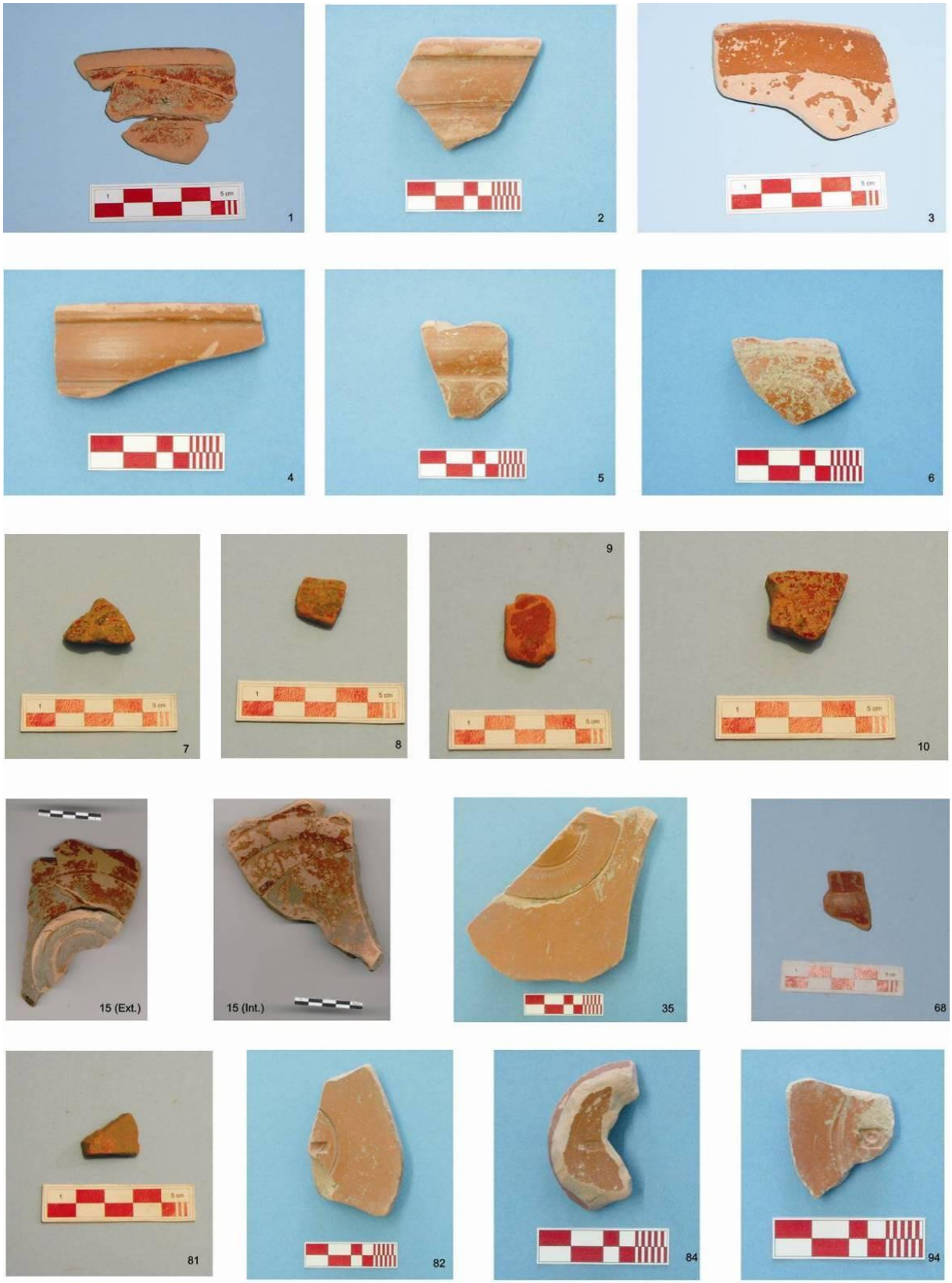
Estos condicionantes geomorfológicos y climatológicos permiten tratar de manera diferenciada este área con respeto al resto de la costa atlántica del norte de la Península Ibérica. Consecuencia directa será la mayor concentración de establecimientos relacionados

con la pesca y transformación de materias primas vinculadas con las industrias de salazón[26].

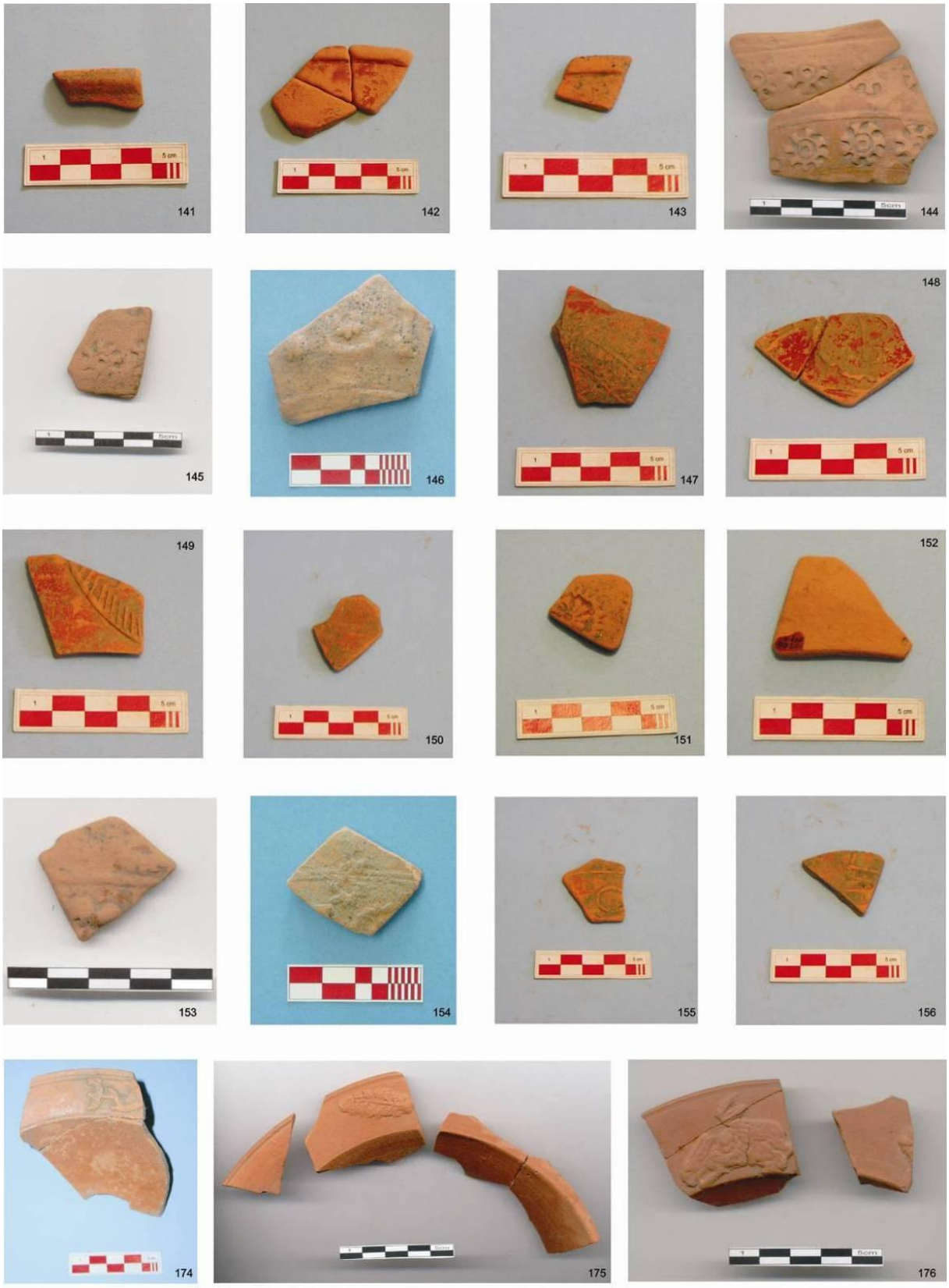
El estudio individualizado de estos enclaves costeros resulta fundamental hacia la sistematización del conocimiento sobre la utilización de las rías como áreas de contactos comerciales y de los cursos fluviales como vías de comunicación hacia el interior y viceversa, el contacto y las interrelaciones entre el área mediterránea y la atlántica, el papel de los pequeños centros redistribuidores y el proceso de romanización a los largo del tiempo, así como las transformaciones acontecidas en el bajo imperio, entre otros.

El enclave de Bueu se muestra como un punto de calado en el tránsito de embarcaciones en el altoimperio, con destino a las islas británicas y al limes continental. En la tardorromanidad, la *Gallaecia* mirará a oriente, hecho materializado de manera, más que simbólica, con la *traslatio* del sepulcro del apóstol.

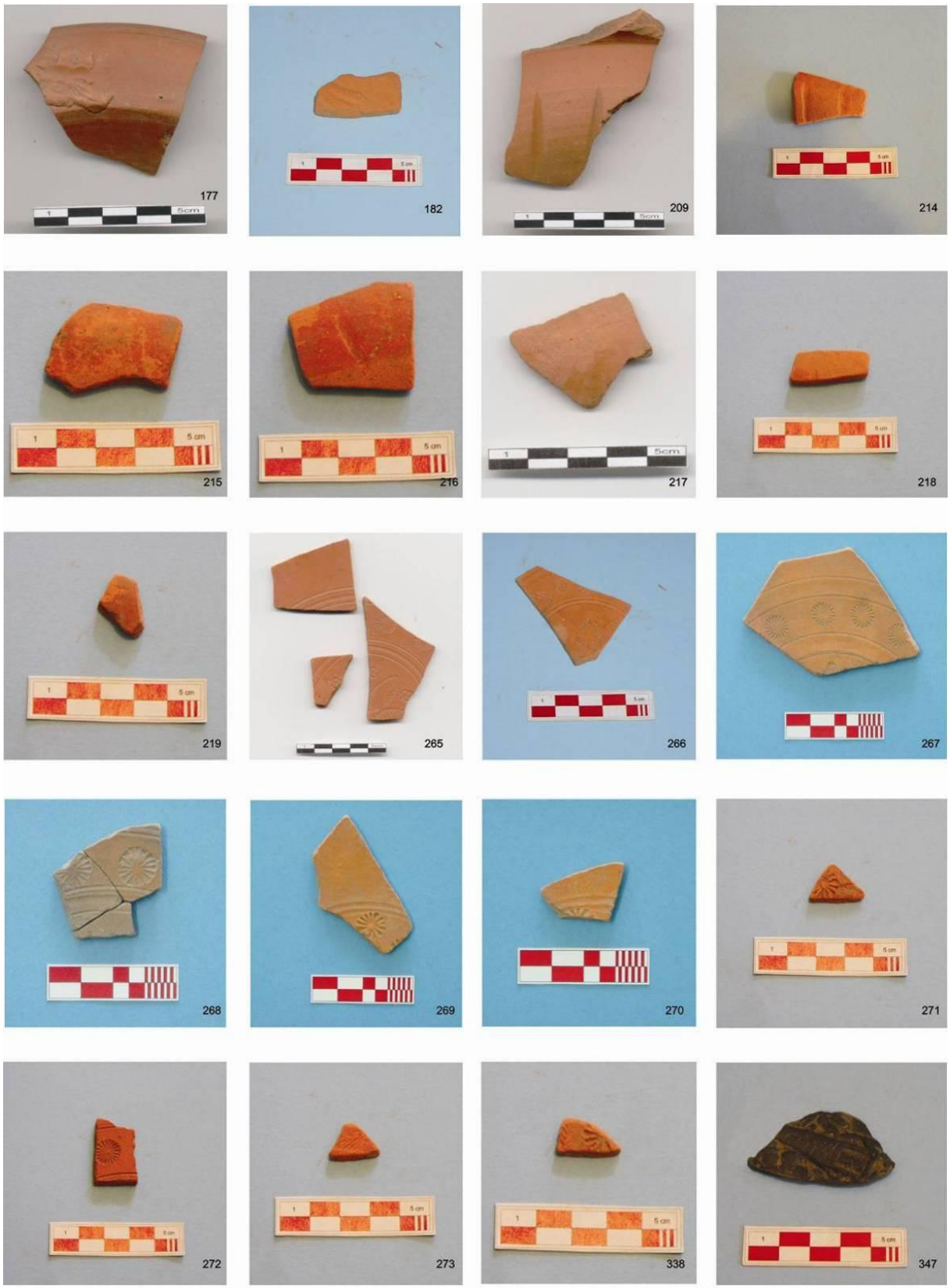
[26] Resulta significativo que la mitad de los enclaves de salazón localizados entre el Miño y la costa vasco-francesa se sitúén en las Rías Baixas: Alcabre, Vilar, Igrexiña, Barra (Hío), Adro Vello y Vilagarcía (FERNÁNDEZ OCHOA; MARTÍNEZ MAGANTO, 1994: 115-116).



TSH. Forma 37 (1-5). Piezas de atribución indeterminada (6-10). Sellos de alfarero (15, 35, 82, 84, 95). Grafitos (15, 68, 81).



TSHT. Forma 37t (141-150). Piezas decoradas de atribución indeterminada (151-156). TSA-C. Forma Hayes 45B, nn. 9, 11 (174-176)



TSA-C. Forma Hayes 45B, nn. 9, 11 (177). Piezas de atribución indeterminada (182). TSA-D. Forma Lamboglia 51, 51A = Hayes 59, nn. 9, 16-17; 65, n. 2 (209-219). Piezas de atribución indeterminada (265-273). TSA de atribución indeterminada (338). Producción indeterminada de vajilla fina de mesa (347).

3.4. OTROS MATERIALES ARQUEOLÓGICOS

3.4.1. INTERVENCIÓN EN EL SOLAR NÚMERO 7 DE LA AVENIDA MONTERO RÍOS[27]

3.4.1.1. MATERIALES PROCEDENTES DE LA FÁBRICA DE SALAZONES

De los materiales documentados en la excavación en área en el solar nº 7 de la calle Montero Ríos los recogidos en niveles relacionados con la fábrica de salazones resultan ser los más significativos a nivel numérico y de variabilidad tipológica. Entre estos se señala la presencia de cerámica de mesa, cocina, almacenaje y transporte compuesta, aparte de por las producciones estudiadas de terra sigillata, por cerámica de paredes finas, cerámica romana de tradición indígena, cerámica común romana, cerámica común romana pintada y ánfora. Entre el material latericio de construcción se señala la presencia de *tegulae*, *imbrex*, *laterae* o *tubuli*. Los objetos metálicos utilizan soporte de hierro, bronce y plomo. Asimismo se han recogido piezas numismáticas, restos óseos, vidrio, escorias, carbones, líticos, entre otros (DÍAZ GARCÍA, 2000c).

Producción/Tipo	**Fragmentos**	**Piezas**	**Observaciones**
Cerámica común	401	9	Decoración
Paredes Finas	28	23	Decoración
Anforas	10	6	
Tegula	6	6	
Imbrex	3	3	
Industria lítica	1	1	
Vidrio	3	2	
Otros	1	1	
	Total fragmentos	**Total piezas**	
Total UE1003	504	54	

UE1003. Depósito sedimentario de tierra vegetal

Producción/Tipo	**Fragmentos**	**Piezas**	**Observaciones**
Industria lítica	1	1	*Chopping tool*
	Total fragmentos	**Total piezas**	
Total UE1006	1	1	

UE1006. Muro maestro de la fábrica de Conservas Alonso

Producción/Tipo	**Fragmentos**	**Piezas**	**Observaciones:**
Cerámica común	14	6	
	Total fragmentos	**Total piezas**	
Total UE1007	14	6	

UE1007. Depósito sedimentario entre la primera ocupación y la reocupación

[27] Información extraída de la memoria de los trabajos de tratamiento de materiales arqueológicos recuperados en la excavación en área realizada en el solar número 7 de la Calle Montero Ríos de Bueu elaborada por Fructuoso Díaz García, director de la intervención (DÍAZ GARCÍA, 2000).

Producción/Tipo	Total fragmentos	Total piezas	Observaciones
Cerámica común	47	2	Decoración
Tegula	7	7	
Later	1	1	*bessalis*
Industria lítica	3	3	
	Total fragmentos	**Total piezas**	
Total UE1009	57	12	

UE1009. Derrumbe interior del muro 1008

Producción/Tipo	Total fragmentos	Total piezas	Observaciones
Piezas de molino	1	1	*catillus*
	Total fragmentos	**Total piezas**	
Total UE1017	1	1	

UE1017. Cimentación de muro de la fábrica de Conservas Alonso

Producción/Tipo	Total fragmentos	Total piezas	Observaciones
Industria lítica	1	1	
	Total fragmentos	**Total piezas**	
Total UE1023	1	1	

UE1023. Paredes de las piletas de salazón de la factoría romana

Producción/Tipo	Total fragmentos	Total piezas	Observaciones
Piezas de molino	1	1	*catillus*
	Total fragmentos	**Total piezas**	
Total UE1024	1	1	

UE1024. Muro asociado a la organización de la estancia sur de la factoría

Producción/Tipo	Total fragmentos	Total piezas	Observaciones
Cerámica común	260	5	decoración
Paredes Finas	15	6	decoración
Ánfora	3	2	
Tegula	10	10	marca
Imbrex	5	4	
Later	4	4	*bessalis* y *lydium*
Industria lítica	7	2	
Vidrio	1	1	
	Total fragmentos	**Total piezas**	
Total UE1025	304	33	

UE1025. Desechos de ocupación de la factoría romana

Producción/Tipo	Total fragmentos	Total piezas	Observaciones
Piezas de molino	3	3	*catillus*
Otros	1	1	
	Total fragmentos	**Total piezas**	
Total UE1026	4	4	

UE1026. Pavimento de la estancia sur de la factoría romana

Producción/Tipo	Total fragmentos	Total piezas	Observaciones
Materiales líticos de construcción	2	2	fustes
	Total fragmentos	**Total piezas**	
Total UE1028	2	2	

UE1028. Muro de la cimentación de la fábrica de Conservas Alonso

Producción/Tipo	Total fragmentos	Total piezas	Observaciones
Cerámica común	22	4	
Paredes Finas	6	3	decoración
Vidrio	1	1	
	Total fragmentos	**Total piezas**	
Total UE1027	34	13	

UE1029. Relleno de la zanja UE1027

Producción/Tipo	Total fragmentos	Total piezas	Observaciones
Industria lítica	1	1	bifaz
	Total fragmentos	**Total piezas**	
Total UE1033	1	1	

UE1033. Muro exterior de contención de las piletas

Producción/Tipo	Total fragmentos	Total piezas	Observaciones
Cerámica común	28	10	decoración
Tegula	2	2	marca
Imbrex	9	4	
Later	1	1	de entalle
	Total fragmentos	**Total piezas**	
Total UE1033	43	19	

UE1035. Relleno/revuelto sperior de la pileta 4

Producción/Tipo	Total fragmentos	Total Piezas	Observaciones
Tegula	1	1	
Imbrex	2	1	
Industria lítica	1	1	Piedra de afilar
	Total fragmentos	**Total piezas**	
Total UE1039	4	3	

UE1039. Estrato de escasa potencia don desechos de ocupación de la estancia central

Producción/Tipo	Total fragmentos	Total Piezas	Observaciones
Cerámica común	10	1	
Ánfora	4	3	
Tegula	1	1	
Piezas de molino	1	1	*meta*
	Total fragmentos	**Total piezas**	
Total UE1040	16	6	

UE1040. Pavimento de la estancia central

Producción/Tipo	Total fragmentos	Total Piezas	Observaciones
Cerámica común	607	3	decoración
Cerámica común engobada	43	7	
Paredes Finas	93	20	decoración
Ánfora	34	15	decoración
Imbrex	22	7	
Later	2	2	
	Total fragmentos	**Total piezas**	
Total UE1043	838	61	

UE1043. Relleno/revuelto superior de la pileta 3

Producción/Tipo	Total fragmentos	Total Piezas	Observaciones
Cerámica común	17	1	
Ánfora	10	7	
Tegula	1	1	
Imbrex	1	1	
Later	1	1	sesquipedales
Industria lítica	1	1	pesa
	Total fragmentos	**Total piezas**	
Total UE1044	34	15	

UE1044. Derrumbe interno de la pared sur de la Pileta 3

Producción/Tipo	Total fragmentos	Total Piezas	Observaciones
Cerámica común	259	5	
Paredes Finas	8	2	
Ánfora	51	28	marca alfarero
Tegula	12	7	marca
Imbrex	18	7	
Later	4	4	
Material lítico de construcción	2	2	fuste
Vidrio	10	3	decoración
	Total fragmentos	**Total piezas**	
Total UE1045	371	60	

UE1045. Relleno antiguo de la pileta y en su techo derrumbe de *tegulae*

Producción/Tipo	Total fragmentos	Total Piezas	Observaciones
Cerámica común	202	10	decoración
Paredes Finas	142	9	decoración
Ánfora	46	45	decoración
Tegula	7	6	marca
Imbrex	2	2	
Industria lítica	1	1	lasca
	Total fragmentos	**Total piezas**	
Total UE1046	487	120	

UE1046. Relleno superior de la Pileta 2

Producción/Tipo	Total fragmentos	Total Piezas	Observaciones
Cerámica común	308	3	
Paredes Finas	46	9	decoración
Ánfora	22	17	
Tegula	10	10	
Imbrex	5	5	
Industria lítica	1	1	maza de molino
	Total fragmentos	**Total piezas**	
Total UE1048	394	46	

UE1048. Relleno superior de la pileta 1

Producción/Tipo	Total fragmentos	Total Piezas	Observaciones
Paredes Finas	1	1	decoración
Ánfora	31	31	
Tegula	3	3	
Imbrex	2	2	
	Total fragmentos		**Total piezas**

Total UE1052	37	37

UE1052 (varias). Relleno de los hoyos de poste

	Total fragmentos	**Total Piezas**	**Observaciones**
Cerámica común	2	2	
	Total fragmentos	**Total piezas**	
Total UE1053	2	2	

UE1055. Relleno del encaje UE1053

Producción/Tipo	**Total fragmentos**	**Total Piezas**	**Observaciones**
Cerámica común	1720	20	*graffiti*, decoración
Cerámica común engobada	11	2	
Paredes Finas	485	80	*graffiti*, decoración
Ánfora	196	50	
Tegula	4	3	marca
Imbrex	7	5	
Later	3	3	
Tubuli	1	1	
Industria lítica	2	2	
Vidrio	349	72	decoración
	Total fragmentos	**Total piezas**	
Total UE1053	2935	254	

UE1056. Desechos de la reocupación asociados al hogar UE1072

Producción/Tipo	**Total fragmentos**	**Total Piezas**	**Observaciones**
Cerámica común	159	3	
Cerámica común engobada	2	2	
Paredes Finas	19	14	decoración
Ánfora	165	15	
Tegula	5	4	marca
Imbrex	7	7	
Industria lítica	1	1	
	Total fragmentos	**Total piezas**	
Total UE1058	359	47	

UE1058. Relleno antiguo de la pileta con restos de ánfora

Producción/Tipo	**Total fragmentos**	**Total Piezas**	**Observaciones**
Cerámica común	267	4	decoración
Paredes Finas	12	7	decoración
Ánfora	23	9	
Tegula	4	4	marca
Imbrex	2	2	
Material lítico de construcción	1	1	plinto
Vidrio	5	2	
Otros	1	1	
	Total fragmentos	**Total piezas**	
Total UE1059	315	30	

UE1059. Derrumbe interior de las paredes de la pileta 1

Producción/Tipo	Total fragmentos	Total Piezas	Observaciones
Cerámica común	237	10	*graffiti*
Paredes Finas	45	11	decoración
Ánfora	207	57	
Tegula	40	6	marca
Imbrex	12	4	
Piezas de molino	1	1	meta
Vidrio	2	2	
	Total fragmentos	**Total piezas**	
Total U.E.:	547	93	

UE1060. Relleno antiguo de la pileta 1

Producción/Tipo	Total fragmentos	Total Piezas	Observaciones
Cerámica común	3	3	
Tegula	3	3	marca
Industria lítica	1	1	
	Total fragmentos	**Total piezas**	
Total UE1064	7	7	

UE1064. Cenizas del hogar UE1063 con cerámica in situ

Producción/Tipo	Total fragmentos	Total Piezas	Observaciones
Ánfora	3	2	
Tegula	2	2	marca
	Total fragmentos	**Total piezas**	
Total UE1065	5	4	

UE1066. Relleno de la estructura UE1065

Producción/Tipo	Total fragmentos	Total Piezas	Observaciones
Cerámica común	151	8	decoración
Paredes Finas	69	7	decoración
Ánfora	44	10	
Tegula	8	4	
Imbrex	4	3	
Later	1	1	
Industria lítica	1	1	
Vidrio	9	2	
	Total fragmentos	**Total piezas**	
Total UE1071	323	38	

UE1071. Reutilización de la pileta 2 asociada al hogar UE1072

Producción/Tipo	Total fragmentos	Total Piezas	Observaciones
Cerámica común	93	7	decoración
Paredes finas	3	2	decoración
Ánfora	1	1	
Imbrex	3	3	
Later	2	2	
Otros	1	1	
	Total fragmentos	**Total piezas**	
Total UE1077	112	18	

UE1073. Relleno intermedio del canal UE1077

Producción/Tipo	Total fragmentos	Total Piezas	Observaciones
Cerámica común	13	3	
Ánfora	1	1	
Tegula	2	2	marca
Imbrex	1	1	
	Total fragmentos		**Total piezas**
Total UE1077	17		7

UE1075. Relleno intermedio del canal UE1077

Producción/Tipo	Total fragmentos	Total Piezas	Observaciones
Tegula	3	3	marca
Imbrex	5	3	
	Total fragmentos		**Total piezas**
Total UE1076	8		6

UE1076. Relleno inferior del canal UE1077

Producción/Tipo	Total fragmentos	Total Piezas	Observaciones
Ánfora	34	33	marca
Tegula	4	4	
Imbrex	9	5	
	Total fragmentos		**Total piezas**
Total UE2002	47		42

UE2002. Depósito sedimentario de tierra vegetal

Producción/Tipo	Total fragmentos	Total Piezas	Observaciones
Cerámica común	14	10	
	Total fragmentos		**Total piezas**
Total UE	14		10

UE2003. Muro de la conservera de época contemporánea

Producción/Tipo	Total fragmentos	Total Piezas	Observaciones
Ánfora	34	2	
Imbrex	8	5	
	Total fragmentos		**Total piezas**
Total UE2006	42		7

UE2006. Relleno para de nivelación del suelo

Producción/Tipo	Total fragmentos	Total Piezas	Observaciones
Cerámica común	2	2	
Ánfora	3	2	
Tegula	1	1	
Imbrex	1	1	
Later	9	1	*lydium*
	Total fragmentos		**Total piezas**
Total UE2014	16		7

UE2014. Derrumbe

Producción/Tipo	Total fragmentos	Total Piezas	Observaciones
Cerámica común	2	2	
Ánfora	3	3	
Tegula	5	4	
Imbrex	1	1	
Later	29	10	
	Total fragmentos	**Total piezas**	
Total UE2015	40	20	

UE2015. Escombro de las últimas hornadas realizadas en el horno

Producción/Tipo	Total fragmentos	Total Piezas	Observaciones
Cerámica común	1	1	
Ánfora	1	1	
Tegula	4	4	
Later	1	1	
	Total fragmentos	**Total piezas**	
Total UE2018	7	7	

UE2018. Cenizal de las últimas cocciones del horno

Producción/Tipo	Total fragmentos	Total Piezas	Observaciones
Cerámica común	38	10	decoración
Ánfora	148	48	
Tegula	8	7	
Later	1	1	
	Total fragmentos	**Total piezas**	
Total UE2019	195	66	

UE2019. Escombros de las primeras hornadas realizadas en el horno

Producción/Tipo	Total fragmentos	Total Piezas	Observaciones
Tegula	2	2	marca
Later	8	1	*sesquipedales*
	Total fragmentos	**Total piezas**	
Total UE2026	10	3	

UE2026. Hogar

El interior de las piletas se presenta como una de las estructuras que contenían los conjuntos de cerámicas fragmentadas *in situ* de mayor entidad, así como una representativa presencia de piezas de hierro y material numismático. Cabe señalar asimismo el interior del horno como zona en la que fueron recuperados materiales cerámicos en contexto, que aparte de la tipología de las estructuras, atestiguan su uso destinado a la producción de ánforas.

Las unidades estratigráficas que proporcionaron material arqueológico serían la UE1003, UE1007, UE1009, UE1025, UE1029, UE1035, UE1039, UE1043, UE1044, UE1045, UE1046, UE1047, UE1048, UE1050, UE1052, UE1055, UE1056, UE1057, UE 1058, UE 1059, UE 1060, UE 1062, UE 1064, UE 1066, UE 1070, UE 1071, UE 1073, UE 1074, UE

1075, UE 1076.

3.4.1.2. MATERIALES PROCEDENTES DEL TALLER

La zona del alfar de cerámica común proporcionó menos cantidad de materiales que la fábrica salazonera. La cerámica común romana, como es obvio, fue la producción mejor representada. Asociada a ella se documentó *terra sigillata* hispánica, paredes finas y materiales anfóricos. A estos materiales se suman *tegulae* que fueron seleccionadas en función de sus marcas, metales -hierro, plomo, bronce- y líticos -piedras de afilar, molinos- y dos monedas.

Las unidades estratigráficas que contenían materiales arqueológicos se corresponden con la UE3002, UE3008, UE3009, UE3015, UE3017, UE3020, UE3021, UE3029, UE3030, UE3031 y UE3032 (DÍAZ GARCÍA, 2000c).

Producción/Tipo	**Total fragmentos**	**Total Piezas**	**Observaciones**
Cerámica común	985	107	decoración
Cerámica común engobada	3	3	
Paredes Finas	53	29	*graffiti*, decoración
Ánfora	258	206	decoración
Tegula	18	18	marca
Imbrex	18	12	
Later	2	2	*sesquipedales*
Tubuli	1	1	
Piezas de molino	7	3	*catillus*
Industria lítica	1	1	piedra de afilar
Vidrio	8	7	
	Total fragmentos	**Total piezas**	
Total UE3002	1368	447	

UE3002. Nivel originado por el uso como huerta y basurero de la fábrica de conservas de esta parte del solar

Producción/Tipo	**Total fragmentos**	**Total Piezas**	**Observaciones**
Cerámica común	4	3	
Paredes Finas	1	1	
Ánfora	1	1	
Later	1	1	*sesquipedales*
	Total fragmentos	**Total piezas**	
Total UE3007	9	6	

UE3007. Pared del horno incluyendo boca de piedra del praefurnium

Producción/Tipo	Total fragmentos	Total Piezas	Observaciones
Cerámica común	20	9	
Ánfora	15	5	
Tegula	16	16	marca
Imbrex	14	7	
Industria lítica	1	1	pesa de red
	Total fragmentos	**Total piezas**	
Total UE3008	66	38	

UE3008. Posible suelo

Producción/Tipo	Total fragmentos	Total Piezas	Observaciones
Cerámica común	44	13	
Paredes Finas	40	13	decoración
Ánfora	44	15	
Tegula	113	106	
Imbrex	39	25	
Later	3	3	
	Total fragmentos	**Total piezas**	
Total U.E.:	287	177	

UE3009. Derrumbe del techo y de las estructuras UE3033 de las estancias A1, A2 y A3. En la estancia A1 aparece pisado y alterado

Producción/Tipo	Total fragmentos	Total Piezas	Observaciones
Cerámica común	83	6	decoración
Paredes Finas	2	1	
Ánfora	3	3	
	Total fragmentos	**Total piezas**	
Total UE3014	90	12	

UE3014. Hogar de tejas y piedras de una reocupación

Producción/Tipo	Total fragmentos	Total Piezas	Observaciones
Cerámica común	63	5	
Ánfora	4	4	
Tegula	46	40	marca
Imbrex	9	4	
	Total fragmentos	**Total piezas**	
Total UE3015	122	53	

UE3015. Derrumbe de la cubierta de tejas del horno UE3007

Producción/Tipo	Total fragmentos	Total Piezas	Elementos de interés:
Cerámica común	1	1	
Paredes Finas	17	15	decoración
	Total fragmentos	**Total piezas**	
Total U.E.:	19	17	

UE3016. Nivel de ocupación de la habitación A1

Producción/Tipo	Total fragmentos	Total Piezas	Elementos de interés:
Cerámica común	3	3	
Ánfora	1	1	
Tegula	1	1	

	Total fragmentos	Total piezas
Total UE3017	5	5

UE3017. Derrumbes del patio

Producción/Tipo	Total fragmentos	Total Piezas	Elementos de interés:
Cerámica común	3	2	
Cerámica común engobada	2	1	
Paredes Finas	4	4	
	Total fragmentos	**Total piezas**	
Total U.E.:	13	9	

UE3020. Derrumbe de las paredes del horno UE3007

Producción/Tipo	Total fragmentos	Total Piezas	Elementos de interés:
Cerámica común	36	7	
Paredes Finas	27	8	decoración
Ánfora	55	26	
Tegula	1	1	
Imbrex	3	2	
Piezas de molino	1	1	*meta*
Vidrio	3	2	
	Total fragmentos	**Total piezas**	
Total UE3021	131	51	

UE3021. Posible suelo del patio en la franja S y E

Producción/Tipo	Total fragmentos	Total Piezas	Elementos de interés:
Cerámica común	28	3	
Paredes Finas	2	2	
Ánfora	5	4	
Tegula	5	3	
	Total fragmentos	**Total piezas**	
Total UE3025	40	12	

UE3025. Pavimento del patio parcialmente destruido

Producción/Tipo	Total fragmentos	Total Piezas	Elementos de interés:
Cerámica común	200	7	
Ánfora	2	2	
Tegula	3	3	
Imbrex	3	3	
Industria lítica	1	1	
Vidrio	3	3	
	Total fragmentos	**Total piezas**	
Total UE3029	210	27	

UE3029. Nivel de ocupación posiblemente de época romana en la zona E

Producción/Tipo	Total fragmentos	Total Piezas	Elementos de interés:
Ánfora	2	2	
Tegula	3	3	
	Total fragmentos	**Total piezas**	
Total UE3031	5	5	

UE3031. Nivel de carbones

Producción/Tipo	Total fragmentos	Total Piezas	Elementos de interés:
Cerámica común	1	1	
	Total fragmentos	**Total piezas**	
Total UE3032	1	1	

UE3032. Relleno del hoyo UE3049

Producción/Tipo	Total fragmentos	Total Piezas	Elementos de interés:
Cerámica común	2	2	
	Total fragmentos	**Total piezas**	
Total UE3033	2	2	

UE3033. Muros N, S, E y W de la estancia A y parte sur del muro divisorio entre A1 y A2

Producción/Tipo	Total fragmentos	Total Piezas	Elementos de interés:
Cerámica común	2	2	
	Total fragmentos	**Total piezas**	
Total UE3043	1	1	

UE3043. Agujeros de poste

Producción/Tipo	Total fragmentos	Total Piezas	Elementos de interés:
Cerámica común	5	5	
	Total fragmentos	**Total piezas**	
Total UE3046	1	1	

UE3041. Agujeros de poste posiblemente relacionados con las losas que forman la UE3046

3.4.1.3. VALORACIÓN

3.4.1.3.1. CERÁMICA COMÚN

Fueron recuperados 6.338 fragmentos, de los que fueron identificadas al menos 320 piezas. La Fábrica de Salazones concentra la mayor concentración de materiales arqueológicos. Se corresponden aproximadamente con 4.000 fragmentos entre los que destaca una alta proporción cerámica común de platos engobados, documentados en la UE1043, UE1056, UE1058, UE3002 y UE3020 (DÍAZ GARCÍA, 2000c: 66).

La mayor parte de piezas identificadas presentan cuerpo globular, borde exvasado, cuello corto y fondo plano, predominando ollas y cuencos. Han sido detectados asimismo morteros de grandes dimensiones, platos y fuentes engobados

Las tonalidades de las piezas remiten a las conocidas para el noroeste peninsular con coloraciones negro o gris relacionados con las elaboraciones en atmósfera reductora, y los anaranjados, sepia, marrones y rojizos, fruto de cocciones en atmósferas oxidantes, siendo habitual las tonalidades no homogéneas (DÍAZ GARCÍA, 2000c: 66).

Como elementos no plásticos se distinguen los habituales en la producción galaica correspondiendo a mica y cuarzo, y chamota. Asimismo existen piezas comunes de fabricación exógena con presencia de partículas calcíticas.

Como técnica general de acabado se distingue el alisado, realizado con diferente calidad dependiendo del tipo tratado. Como recubrimiento se utiliza engobe en aquellas formas de mayor calidad técnica, destinados al uso en la mesa como los platos, cuencos y fuentes engobados.

Las piezas decoradas, proporcionalmente minoritarias respecto a las no decoradas como es habitual en este tipo de contextos. Las más técnicas más representativas se corresponden con las usuales en la cerámica común correspondiendo a la incisión y a la aplicación de elementos plásticos.

Cabe señalar que un número elevado de piezas presentan restos de hollín y partes carbonizadas, fruto de su exposición al fuego –ollas de cocina y platos engobados principalmente-, así como la presencia de alguna pieza con perforaciones para su lañado (DÍAZ GARCÍA, 2000c: 67).

Entre las formas documentadas se señala la presencia del Tipo O1, olla globular de borde exvasado oblicuo, sin decoración (ALCORTA IRASTORZA, 2001: 193-196), Tipo M3, mortero de cuerpo semiesférico, borde horizontal y piquera aplicada (ALCORTA IRASTORZA, 2001: 306-312), cuencos de borde engrosado, Tipo J2, jarra monoansada, de pico trilobulado abierto (ALCORTA IRASTORZA, 2001: 282-285), Tipo EP1, plato engobado de borde biselado (ALCORTA IRASTORZA, 2001: 344-346), entre otros.

Estas formas pertenecen a la producción de cerámica común romana inscrita en la conocida como segunda fase, datada entre el siglo II d.C. y el siglo V d.C. (ALCORTA IRASTORZA, 2001).

U.E.	FRAGMENTOS	PIEZAS	DECORACIÓN
UE1003 Plataforma superior	394	3	peinado, incisión, pintado
UE1003 Pileta E	7		
UE1007 Plataforma superior. Estancia central	10	5	
UE1007/UE1039 Plataforma superior W	4		
UE1009	47	2	incisión acanalada
UE1025 Plataforma estancia S	227	4	peinado
UE1025 Plataforma superior, estancia S sobre pavimento y relleno hoyos	33		
UE1029 Pileta 3	20	2	incisión
UE1029/UE1043 Plataforma superior S, corte N, escombro relleno	2	2	
UE1035 Pileta 4	28		impresión
UE1039 Plataforma estancia S y central			
UE1040 Plataforma estancia S y central	10	1	incisión
UE1043 Pileta 3	650	10	peinado, incisión
UE1044 Pileta 3	17	1	Incisión
UE1045 Pileta 3	259	5	Punteado, incisión, baquetón horizontal externo
UE1046 Pileta 2	137	4	incisión, peinado
UE1046 Pileta 2	65	6	incisión
UE1048 Pileta 1	308	3	peinado, incisión
UE1052 Estancia	37		
UE1055 Plataforma estancia S	2		
1056 Pileta 2	1731	22	*graffiti ESCELE*, incisión, peinado
UE1058 Pileta 4	161	5	peinado, incisión
UE1059 Pileta 1	267	4	peinado, manual
UE1060 Pileta 1	237	10	*graffiti .CAX*
UE1064 Hogar	3		
UE1071 Pileta 2	151	8	peinado, incisión
UE1073 Área Inferior	71	5	
UE1073 Área Inferior W canal	12		incisión
UE1073 Area inferior canal	10	2	incisión, mamelones, cordón
UE1075	13	3	aplicada
UE1076 Área Inferior W Canal			
TOTAL	**4950**	**87**	

Contextos de los materiales procedentes de la fábrica romana de salazones

U.E.	FRAGMENTOS	PIEZAS	DECORACIÓN
UE2003 Relleno	14	10	
UE2014 Relleno Interior	2	2	
UE2014 Relleno			
UE2015	2	2	
UE2018 Nivel carbones	1	1	
UE2019 Nivel del horno bajo cenizas	38	10	incisión
TOTAL	**57**	**25**	

Contextos de los materiales procedentes de la fábrica romana de salazones

U.E.	FRAGMENTOS	PIEZAS	DECORACIÓN
UE3001 Zona E	72	8	
UE3002 Patio	149	12	
UE3002 estancia B	102	10	
UE3002 estancia B E	540	25	incisión
UE3002 estancia B W	9	6	
UE3002 Extremo S patio	23	9	
UE3002 estancia A extremo S	71	17	peinado
UE3002 estancia A 1	12	5	
UE3002 estancia A 2	35	8	
UE3002 estancia A	10	4	aplicada
UE3002 estancia A lado S	19	8	
UE3002 estancia A 3	16	5	
UE3007 estancia A 3	4	3	
UE3002 estancia B	26	8	
UE3008 estancia A 2	20	9	
UE3009 estancia A 1			
UE3002 estancia A 2	8	8	
UE3002 estancia A3	36	5	
UE3014 Primera reocupación	55	3	aplicada
UE3014 estancia B	28	3	
UE3015 estancia A 3	63	5	
UE3016 estancia A 1	1		
UE3017 estancia B	3	3	
UE3020 estancia A 3	5	3	
UE3021 Patio	18	2	
UE3021 estancia B	18	5	
UE3025	28	3	
UE3029 Zona E	200	7	
UE3032	1	1	
UE3033	2	2	
UE3043 Patio hoyo	2	2	
UE3041 Patio	5		

Contextos de los materiales procedentes del taller

Fueron documentados un total de 1.147 fragmentos de pertenecientes a las producciones de paredes finas y cerámicas comunes finas, detectadas en la fábrica romana de salazón y en el taller (DÍAZ GARCÍA, 2000c: 70-71).

U.E.	FRAGMENTOS	PIEZAS
UE1003 Plataforma superior	7	7
UE1003 Plataforma superior S	24	19
UE1003	4	4
UE1025 Plataforma superior estancia S ocupación	15	6
UE1029 Pileta 3	3	2
UE1029/UE1043 Plataforma superior corte N. Escombro relleno. Zanja muro N. Pileta 3	3	1
UE1043 Pileta 3	93	20
UE1045 Pileta 3	8	2
UE1046 Pileta 2	142	9
UE1046 Pileta 2 sobre lentejón ocre	21	5
UE1048 Pileta 1	46	9
UE1052 Hoyo 6	1	1
UE1056 Pileta 2	485	80
UE1058 Pileta 4	19	14
UE1059 Pileta 1	12	7
UE1060 Pileta 1	45	11
UE1071 Pileta 2	69	7
UE1073 Área Inferior	3	2
TOTAL	**1000**	**206**

Paredes finas y cerámicas comunes finas procedentes de la fábrica romana de salazones

U.E.	FRAGMENTOS	PIEZAS
UE3002	6	4
UE3002 estancia A exterior S	7	3
UE3002 estancia A	8	8
UE 3002 estancia A 2	6	2
UE 3002 estancia B/Patio	7	6
UE 3002 estancia B/Patio W	2	1
UE 3002 Zona E	17	5
UE 3007 estancia A 3	1	1
UE 3009 estancia A 2	13	4
UE 3009 estancia A 3	27	9
UE 3014 Primera reocupación	1	1
UE 3014 Lado W estancia B/Patio	2	1
UE 3016 estancia A 1	17	15
UE 3020 estancia A	4	4
UE 3021 estancia B/Patio	27	8
UE 3025 estancia B/Patio	2	2
TOTAL	**147**	**74**

Paredes finas y cerámicas comunes finas procedentes del taller

De manera predominante las piezas fueron documentadas en la zona de la fábrica de salazón romana, con aproximadamente 1.000 fragmentos, de los que 485 estaban contenidos en UE1056 o Pileta 2. Se interpreta como una reocupación de las instalaciones de la industria tras el primer abandono, sin intencionalidad de recuperar la producción de conservas, sino con un fin habitacional. A este momento pertenecerían 8 fragmentos de la UE1045 -Pileta 3-, 45 de la UE1060 -Pileta 1- y los 69 de la UE1071 -Pileta 2- (DÍAZ

GARCÍA, 2000c: 71-72).

El siguiente contexto con mayor número de materiales fue localizado en la UE1056 y UE1046 -Pileta 2-, con un total de 163 fragmentos, adscritos a la fase 5 relacionada con el derrumbe y desmantelamiento que señalan al abandono de este espacio. En este momento se incluyen también 93 fragmentos de la UE1043 -Pileta 3-, siguiente en número de fragmentos, los 46 ejemplares de la UE1048 -Pileta 1- y los 12 de la UE1059 –Pileta 1-.

La cantidad de materiales recuperados en la zona del taller es considerablemente menor, identificándose 147 ejemplares, correspondientes al 15% respecto a los documentados en la fábrica de salazón. Las unidades estratigráficas que concentran mayor número de piezas se corresponden con las UE3009 -Sala A3- y UE3021 -Sala B/Patio- con un total de 27 fragmentos cada una.

La UE3009 -Sala A3- se adscribe a la fase 5 relacionada con el derrumbe y abandono generalizados de las estructuras de la estancia A y de la estancia B/Patio, correspondientes a las paredes de la habitación en la que se encontraba el horno. La UE3021 -Sala B/Patio- se incluye en fase 2 dentro de la primera ocupación del taller y la construcción del patio (DÍAZ GARCÍA, 2000c: 72).

Fueron identificadas 280 piezas, 206 ejemplares recogidos en la fábrica de salazón y 74 en el taller. Las formas predominantes suelen ser las cerradas, simples globulares u ovoides, de bordes esvasados y flexionados, cuello escasamente estrangulados, bases planas. En porcentajes menores han sido documentadas formas simples abiertas de bordes rectos o invasados y bases convexas o de perfil troncocónico.

La producción de cerámica común romana se caracteriza por presentar partículas micáceas y cuarcíticas como elementos no plásticos elementales y en menor medida chamota (DÍAZ GARCÍA, 2000c: 73).

Como técnica básica para los acabados se recurre al alisado y pulido sobre el torneado. Algunos tipos presentan engobados ocres o rojos y en menor medida anaranjados, amarillos o sepias.

Las gamas cromáticas detectadas apuntan hacia una cocción oxidante predominante, predominando los terrosos suaves y claros -ocres, sepias, amarillentos o anaranjados-. S documenta la característica cocción tipo bocadillo, con coloración ocre o rojiza al exterior y oscura al interior, característica de las producciones engobadas -EP o platos engobados-.

Porcentualmente las piezas con cocción exclusivamente reductora son minoritarias, lo que estaría a indicar un mayor consumo y/o producción de tipos relacionados con la vajilla de mesa en detrimento de las piezas de cocina y almacenaje, principalmente fabricadas en pastas grises debido a su destino en cocina y despensa.

Como es conocida en la producción común del noroeste peninsular las texturas son arenosas y compactas, evidenciándose marcas de torno en el interior de las piezas y en las bases.

Dentro de las técnicas decorativas se distingue la incisión y el espatulado como básica en la producción y en casos puntuales la pintura (DÍAZ GARCÍA, 2000c: 74). Los motivos elementales lo componen líneas rectas horizontales simples o en series, así como las líneas oblicuas. En ocasiones forman retículas romboidales, incisas o bruñidas. Las gamas cromáticas generales en las piezas pintadas las componen los rojizos, anaranjados y el blanco.

Cabe señalar la existencia de hasta 16 grafitos, 13 recogidos en la UE1056 –Pileta 2-, 2 en UE1071 -Pileta 2- y 1 probable en UE3002 -Sala B/Patio-.

Formalmente se distinguen jarras con asa de cuerpo ovoide o globular, con labio de perfil cóncavo separado del cuello por una marcada arista, vasos piriformes, así como algún ejemplar de características similares a la Forma XIII y Forma XIV de Mayet correspondientes a cubiletes globulares, así como posiblemente la Forma XXXV correspondiente a boles más o menos hemisféricos, de bordes aproximadamente rectos.

Si bien la mayor parte de los tipos de cerámica común identificados pertenecen a la denominada segunda fase de la cerámica común del noroeste peninsular datada entre el siglo II d.C. y el siglo V d.C. (ALCORTA IRASTORZA, 2001), las formas documentadas en paredes finas presentan una cronología altoimperial de finales del siglo I y principios del II d.C. (DÍAZ GARCÍA, 2000c: 75).

U.E.	Técnica decorativa y motivo
UE1003 Plataforma superior S	-líneas horizontales pintadas en rojizo, marrón y blanco
UE1025 Ocupación plataforma superior S	-líneas horizontales incisas (peine)
UE1029 Pileta 3	-líneas horizontales incisas (peine)
UE1043 Pileta 3	-líneas horizontales pintadas (naranja y rojo) -reticulado de líneas oblicuas incisas formando rombos, delimitadas por línea horizontal incisa -líneas horizontales incisas (cuerpo y próxima a la base)
UE1046 Pileta 2	-líneas horizontales incisas -líneas horizontales pintadas en rojo
UE1046 Pileta 2 relleno sobre lentejón ocre	-línea horizontal pintadas en rojizo
UE1048 Pileta 1	-líneas horizontales incisas (peine)
UE1052 Plataforma superior S hoyo 6	-líneas horizontales incisas (acanalados)
UE1056 Pileta 2	-13 *graffiti* - líneas horizontales incisas (borde y cuerpo) -líneas horizontales incisas combinadas con pintadas -líneas oblicuas incisas de casi medio centímetro de ancho (acanaladura) -líneas onduladas y reticulados romboidales pintados en rojo propios de las producciones locales altoimperiales (NAVEIRO LÓPEZ, 1991: 94-100) -líneas onduladas horizontales delimitadas por líneas rectas horizontales pintadas en rojo y naranja próximas al borde -líneas oblicuas formando reticulados delimitadas por líneas horizontales -recubrimiento del borde interior en barbotina, característico de época altoimperial (NAVEIRO LÓPEZ1991: 96) -incisión o grafito con forma de pica invertida u hoja de hiedra
UE1058 Pileta 4	-líneas horizontales incisas
UE1059 Pileta 1	- línea horizontal incisa -recubrimiento de barbotina blanca
UE1060 Pileta 1	-líneas horizontales incisas -líneas oblicuas incisas en el cuello
UE1071 Pileta 2	-*graffiti* -líneas horizontales incisas -líneas oblicuas incisas -decoración incisa formando líneas horizontales y oblicuas
UE1073 Área inferior	-líneas horizontales incisas sobre cuerpo y base.
UE3002	-marca anepigráfica compuesta por cuatro arcos superpuestos formando una circunferencia en la base
UE3002 estancia A	-líneas horizontales incisas -serie líneas oblicuas -líneas oblicuas delimitados por rectas horizontales
UE3002 Exterior S estancia A	-línea horizontal -línea oblicua
UE3009 estancia A2	-líneas horizontales incisas -líneas oblicuas incisas de escaso grosor, delimitadas por línea horizontal incisa
UE3009 estancia A3	-líneas horizontales incisas -líneas oblicuas incisas, delimitadas por líneas horizontales -cordón horizontal de sección biselada
UE3016	-líneas horizontales incisas -líneas oblicuas incisas delimitadas por línea incisa
UE3021 estancia B/patio	-posible *graffiti*
UE3025 estancia B/patio	-líneas horizontales incisas -líneas oblicuas incisas -líneas oblicuas incisas

Contextos de *graffiti*, técnicas y motivos decorativos

3.4.1.3.2. CERÁMICA DE TRANSPORTE Y ALMACENAJE

Ha sido documentada la presencia de ánfora en la zona correspondiente a la fábrica romana de salazones en la UE1003, UE1025, UE1043, UE1044, UE1045, UE1046, UE1048, UE1052, UE1056, UE1058, UE1059, UE1060, UE1071, UE1073, UE2002,

UE2006, UE2014, UE2015, UE2018, UE2019 y en la zona del taller UE3002, UE3007, UE3008, UE3009, UE3014, UE3015, UE3017, UE3020, UE3021, UE3025, UE3029, UE3031.

Porcentualmente el nivel mejor representado se corresponde con la UE1056, relacionada con la fase de abandono de la reocupación de la fábrica de salazones, seguida de la UE1058, perteneciente a un relleno antiguo de una pileta, la UE1060, relleno antiguo de pileta 1 y las UE2027-UE2019, correspondientes a un nivel con escombros de las primeras hornadas efectuadas en el horno. Suman 1.461 fragmentos que podrían pertenecer a unas 600 piezas. Varios ejemplares presentan *graffiti* (DÍAZ GARCÍA, 2000c: 78-79).

El tipo más común correspondiente a la forma local San Martiño de Bueu II/Forma Regional II/Almagro 50/Keay 16 cuyo alfar fue identificado por Díaz y Vázquez (DÍAZ ÁLVAREZ; VÁZQUEZ VÁZQUEZ, 1988), presente en Bracara Augusta (MORAIS, 2005: 133-138) y en Mar de Matosinhos (MORAIS, 2005: 135). Son ánforas salazoneras de pescado, caracterizadas por presentar pasta blanca muy micácea, con granos de cuarzo mal calibrados y hematites de tamaños diversos. Es poco dura y muy esponjosa, cuya superficie externa puede estar cubierta por una ligera aguada o incluso un engobe acastañado (MORAIS, 2005: 133). Tipológicamente se denominan como San Martiño de Bueu II (DÍAZ ÁLVAREZ; VÁZQUEZ VÁZQUEZ, 1988), Forma Regional II (MORAIS, 2005), estando basada en la forma Almagro 50/Keay XVI, cuya cronología iría desde el siglo III d.C. o mediados del siglo IV hasta inicios del V d.C.

Asimismo han sido documentados ejemplares correspondientes a la formas Almagro 51C, ánfora salazonera cuyos centros productores aparecen tradicionalmente ubicados en la Lusitania. Se produce este tipo entre finales del siglo III d.C. hasta el siglo IV o inicios del siglo V d.C. Tipológicamente se diferencia por pose cuello estrecho con borde triangular saliente, unido a dos amplias asas con uno o varios surcos estrechos. Existen dos variantes. Una, de menor capacidad presenta hombro bajo. El otro muestra un hombro alto y cuerpo amplio. Ambas poseen cuerpo piriforme y pivotes cortos.

Otro tipo salazonero documentado se corresponde con la Dressel 14, originaria de la Bética y Lusitania, cuya cronología abarca los siglos I y II d.C (SCIALLANO; SIBELLA, 1994: 64). Las variantes de esta forma muestran borde engrosado, embocadura larga, asas ovoides con un surco central, cuerpo cilíndrico y pivote hueco.

3.4.1.3.3. MATERIAL LATERICIO DE CONSTRUCCIÓN

Tegula

De los 390 fragmentos de *tegula* seleccionada, cuyo criterio se basó en el menor grado de fragmentación y mejor estado de conservación, 163 fueron recogidos en la fábrica de salazón, correspondiendo a 114 piezas y 227 fragmentos a la zona del taller, que compondrían unas 165 piezas. La mayor concentración se detecta en la UE3009 correspondiente a la estancia A, con 50 piezas. Se trata del derrumbe de la techumbre de los edificios de la estancia A y el denominado patio. En la UE3015 perteneciente a la estancia A3 fueron recogidos 46 fragmentos (DÍAZ GARCÍA, 2000c: 80).

U.E.	Fragmentos	Piezas
UE1003	6	6
UE1009	7	7
UE1025 Plataforma superior estancia S ocupación	10	10
UE1035 Pileta 4	2	2
UE 1039 Plataforma superior S	1	1
UE 1040 Plataforma superior S	1	1
UE 1044 Pileta 3	1	1
UE 1045 Pileta 3	12	7
UE 1046 Pileta 2	7	6
UE 1048 Pileta 1	10	10
UE 1052 Hoyos en la plataforma superior S	3	3
UE 1056 Pileta 2	4	3
UE 1058 Pileta 4	5	4
UE 1059 Pileta 1	4	4
UE 1060 Pileta 1	40	6
UE 1064 Hogar plataforma superior	3	3
UE 1066 Tumba plataforma superior	2	2
UE 1071 Pileta 2	8	4
UE 1073 Área Inferior	8	7
UE 1075	2	2
UE 1076 Canal en área inferior W	3	3
UE 2002 Relleno sobre material arqueológico	4	4
UE 2014 Relleno interior	1	1
UE 2015	5	4
UE 2018 Nivel de carbones	4	4
UE 2019 Horno bajo cenizas	8	7
UE 2026	2	2
TOTAL	**163**	**114**

Tegula procedente de la fábrica de salazón

U.E.	FRAGMENTOS	PIEZAS
UE3002 Estancia B/patio	11	11
UE3002 Extremo S patio	2	2
UE3002 Estancia A extremo S patio	2	2
UE3002 Zona E	3	3
UE3007 Estancia A 3	19	19
UE3008 Estancia A 2	16	16
UE3009 Estancia A	50	50
UE3009 Estancia A 1	44	39
UE3009 Estancia A 2	10	8
UE3009 Estancia A3	9	9
UE3015 Estancia A 3	46	40
UE3017 Estancia B/patio	1	1
UE3021 Estancia B/patio	1	1
UE3025	5	3
UE3029 Zona E	3	3
UE3041 Estancia B/patio	3	3
TOTAL	**225**	**165**

Tegula procedente del taller

La altura de las pestañas se sitúa entre 3,5 y 5 cm siendo, correspondiéndose principalmente a perfiles de reborde rectangular, si bien también se documentan troncocónicos y curvos. No han sido identificados ejemplares de reborde rectilíneo y paralelo con engarce inferior oculto. El tipo mejor documentado se corresponde el de engarce inferior de tipo universal. De manera puntual se registran piezas con engarce superior de interrupción de reborde y mixtos (DÍAZ GARCÍA, 2000c: 83).

Como elementos no plásticos se utilizan los habituales como cuarzo, mica y chamota, presentando alisado superior externo tosco. Las tonalidades van del anaranjado al sepia, si bien abundan las blanquecinas, similares a la coloración de las ánforas de fabricación local. La mayor parte muestran la característica acanaladura entre cuerpo y pestaña. Las marcas digitadas las componen círculos concéntricos. Entre los alfabetiformes legibles se ha identificado la P y la A. Asimismo se registran pisadas de animales realizadas durante el proceso de secado (DÍAZ GARCÍA, 2000c: 84).

U.E.	MARCAS
UE1043 Pileta 3	posible pisada de animal
UE1044 Pileta 3	trazo digitado
UE1045 Pileta 3	trazo digitado
UE1046 Pileta 2	trazo digitado
UE1056 Pileta 2	rectángulo digitado
UE1058 Pileta 4	tres círculos concéntricos y alfabetiforme correspondiente a la letra P digitados
UE1060 Pileta 1	líneas concéntricas digitadas
UE1066 Tumba en plataforma superior	tres círculos concéntricos
UE1073 Área inferior	alfabetiforme correspondiente a la letra A, surco semejante a una C y dos líneas concéntricas, digitados.
UE1075	línea concéntrica digitada
UE2002	pisada de animal
UE2015	tres círculos concéntricos, el exterior más fino que los dos interiores, digitados
UE2018 Nivel de carbones	pisada de animal
UE2026	línea curva digitada

Digitaciones en *tegula* procedente de la fábrica de salazón

U.E.	MARCAS
UE3002 Sala B/patio	pisada de animal y líneas concéntricas digitadas
UE3002 Exterior S estancia B/patio	líneas concéntricas y círculos concéntricos con alfabetiforme correspondiente a la letra p en el interior
UE3002 Exterior S estancia A	líneas concéntricas
UE3002 Zona E	líneas curvas
UE3007 Estancia A3	líneas concéntricas
UE3008 Estancia A2	tres círculos concéntricos con alfabetiforme correspondiente a la letra P en el interior, línea y dos puntos digitados
UE3009 Estancia A	posible alfabetiforme correspondiente a la letra A, tres círculos concéntricos y otras marcas digitadas indeterminadas. Un ejemplar presenta marca incisa muy profunda realizada con objeto punzante, posiblemente madera
UE3009 Estancia A1	líneas concéntricas digitadas
UE3009 Estancia A3	líneas concéntricas digitadas
UE3015 Estancia A 3	círculos concéntricos, línea recta, posible alfabetiforme correspondiente a la letra A digitados y pisadas de animales

Digitaciones en *tegula* procedente de la fábrica del taller

Imbrex

En la intervención fueron recogidos 221 fragmentos correspondientes a 133 ejemplares de *imbrex*, 76 en la zona de la fábrica de salazón y 57 en la del taller. La unidad estratigráfica con mayor concentración de piezas se corresponde con la UE3009 de la estancia A1. Con menor volumen se señalan la UE1043 Pileta 3, UE1045 Pileta 3, UE1058 Pileta 4, UE3002 correspondiente a la estancia B/Patio y UE3008, estancia A2 (DÍAZ GARCÍA, 2000c: 83).

U.E.	FRAGMENTOS	PIEZAS
UE1003	3	3
UE1025 Nivel de ocupación plataforma superior estancia S	5	4
UE1035 Pileta 4	9	4
UE1039 Plataforma superior sector central	2	1
UE1043 Pileta 3	22	7
UE1044 Pileta 3	1	1
UE1045 Pileta 3	18	7
UE1046 Pileta 2	2	2
UE1048 Pileta 1	5	5
UE1052 Hoyo plataforma superior estancia S	2	2
UE1056 Pileta 2	7	5
UE1058 Pileta 4	7	7
UE1059 Pileta 1	2	2
UE1060 Pileta 1	12	4
UE1071 Pileta 2	4	3
UE1073 Area inferior W canal	3	3
UE1075	1	1
UE1076 Area inferior W canal	5	3
UE2002 Relleno sobre nivel con material arqueológico	9	5
UE2006 Corte W	8	5
UE2014 Relleno	1	1
UE2015	1	1
Total:	**131**	**76**

Imbrex procedente de la fábrica de salazón

U.E.	FRAGMENTOS	PIEZAS
UE3002 Estancia B/Patio	7	7
UE3002 Estancia B/Patio E	2	2
UE3002 Estancia A 3	9	3
UE3007 Estancia A 3	4	4
UE3008 Estancia A 2	14	7
UE3009 Estancia A 1	35	21
UE3002 Estancia A 3	4	4
UE3015 Estancia A 3	9	4
UE3021 Estancia B/Patio	3	2
UE3029 Zona E	3	3
Total:	**90**	**57**

Imbrex procedente del taller

Entre los escasos ejemplares que conservaban parte significativa de su perfil se constata la presencia de piezas trapezoidales y rectangulares. La anchura media es de 10 cm en la parte más ancha y su grosor medio entre 1 y 2 cm. Las dimensiones permiten distinguir dos tipos de *imbrex*. El primero lo constituyen ejemplares de mayor tamaño con menor curvatura y el segundo estaría constituido por piezas más finas con una mayor curvatura (DÍAZ GARCÍA, 2000c: 87).

Al igual que en resto de los materiales latericios, los materiales no plásticos están constituidos por mica, cuarzo y chamota, en cantidades y tamaños variables, en relación al gran porte de unas piezas no destinadas a ser vistas. Las tonalidades son suaves, como el

siena o naranja claro, siendo común la pasta blanquecina (DÍAZ GARCÍA, 2000c: 87) cuya coloración es similar a la documentada en la fabricación local de ánfora. Varias piezas muestran sus superficies quemadas.

Las marcas son limitadas. No obstante, en la UE1046 relacionada con la Pileta 2 se documenta una marca digitada completa, compuesta por una línea oblicua que forma una U inversa, con dos puntos incisos en la parte superior y otro en el interior de la línea.



Marca digitada documentada en *imbrex* (DÍAZ GARCÍA, 2000c: 88)

Later

Se han documentado73 fragmentos de *later* pertenecientes a 39 ejemplares, de las que 63 fragmentos con 33 ejemplares fueron recogidos en la fábrica de salazón y 6 piezas en el taller. El mayor volumen fue registrado en la UE2015 con 29 fragmentos que componen 10 piezas, las cuales podrían haber pertenecido al horno de ánforas. La UE1025 correspondiente a la ocupación de la plataforma superior del estancia S y la UE1045 correspondiente a la Pileta 3, conservaban 4 ejemplares cada una. El material restante aparece distribuido de forma similar en diferentes depósitos, con un grado de fragmentación heterogéneo (DÍAZ GARCÍA, 2000c: 88).

A nivel tipológico, numéricamente destacan los ladrillos *sesquipedales* (45x45 cm), con 5 ejemplares, señalándose así mismo la presencia de ladrillos de tipo *bessalis* (22x22 cm) y *lydium* (29,4x44,4 cm), así como un posible ejemplar de ladrillo de entalle en la UE1035 de la Pileta 4 (DÍAZ GARCÍA, 2000c: 88), este último, entre otros usos, aparece relacionado con la construcción de hornos.

U.E.	FRAGMENTOS	PIEZAS	TIPOLOGÍA
UE1009	1	1	*bessalis*
UE1025 Ocupación plataforma superior estancia S	4	4	*bessalis* y *lydium*
UE1035 Pileta 4	1	1	de entalle
UE1043 Pileta 3	2	2	
UE1044 Pileta 3	1	1	*sesquipedales*
UE1045 Pileta 3	4	4	
UE1056 Pileta 2	3	3	indeterminado
UE1071 Pileta 2	1	1	indeterminado
UE1073 área Inferior	2	2	Indeterminado
UE2014 Relleno	9	1	*lydium*
UE2015	29	10	
UE2018 Nivel de carbones	1	1	
UE2019 Nivel del horno cubierto por cenizas	1	1	
UE2026	8	1	*sesquipedales*
Total:	**67**	**33**	

Later procedente de la fábrica de salazón

U.E.	FRAGMENTOS	PIEZAS	TIPOLOGÍA
UE3002 Patio	2	2	*sesquipedales*
UE3007 Estancia A3	1	1	*sesquipedales*
UE3009 Estancia A3	3	3	indeterminados
Total:	**6**	**6**	

Later procedente de la fábrica del taller

Como en el resto del material latericio, los componentes no plásticos se componen de mica, de tamaño milimétrico, el cuarzo, con gravas que llegan al centímetro y chamota. Las pastas suelen ser anaranjadas y granates.

Tubuli

Fueron localizados dos *tubuli*, uno en la UE1056 correspondiente a la Pileta 2 en la fábrica de salazón de 0,9 mm de ancho en la parte más fina con un diámetro exterior de 11,9 cm e interno de entre 9,6 y 7,7 cm. Presenta los mismos elementos plásticos que los demás materiales latericios, si bien el tamaño en este caso resulta milimétrico, siendo la pasta de tonalidad anaranjada con textura rugosa (DÍAZ GARCÍA, 2000c: 90).

El otro ejemplar fue recogido en la zona del taller, en la UE3002 localizada en la estancia B/patio. Presenta mal estado de conservación con pasta tipo bocadillo.

3.4.1.3.4. MATERIAL LÍTICO

Molinos circulares

Fueron documentados 15 fragmentos de molinos circulares –todos fabricados en granito y 5 de ellos en estado íntegro- en las UE1017 en la Pileta 1, en la UE1024, sobre la estructura muraría, en la UE1021 correspondiente a la estancia S localizada en la plataforma superior S, en la UE1026 perteneciente a la plataforma superior, en la UE1040 correspondiente a la estancia central localizada en la plataforma superior, en la UE1060 en la Pileta 1, en la UE3002 correspondiente a la estancia A2, en la UE3002 correspondiente a la zona E, en la UE3021 correspondiente a la estancia B y en la UE1023 de la plataforma superior, donde fueron documentadas 3 ejemplares. Tipológicamente 8 se corresponden a *catillus y* 2 a *metae*, presentando unas medidas en torno a los 120 cm de altura por 35/45 cm de diámetro. El diámetro del orificio central del los *catillus* se sitúa entre los 12 cm (DÍAZ GARCÍA, 2000c: 91-92).

UE	FRAGMENTOS	PIEZAS	TIPO	OBSERVACIONES
UE1017 Pileta 1	1	1	*catillus*	
UE1024 Sobre el muro UE1021 en la estancia S de la plataforma superior	1	1	*catillus*	
UE1026 Plataforma superior	3	3	*catillus*	pieza completa
UE1040 Estancia central de la plataforma superior	1	1	*meta*	pieza completa
UE1060 Pileta 1	1	1	*meta*	pieza completa
Total:	**7**	**7**		

Molinos circulares recogidos en de la fábrica de salazón

U.E.	FRAGMENTOS	PIEZAS	TIPO	OBSERVACIONES
UE3002 Estancia A2	3	2	*catillus*	reconstrucción parcial
UE3002 Zona E	4	1	*catillus*	pieza completa
UE3021 Patio	1	1	*meta*	pieza completa
Total:	**8**	**4**		

Molinos circulares recogidos en el taller

Materiales líticos de construcción

Fueron recogidas varias piezas líticas pertenecientes a material de construcción, elaboradas en granito local, dentro del área de la fábrica de salazón.

Se localizaron tres tambores de fuste, dos en la UE1028 correspondiente a la Pileta 3 (30 cm de altura y 35 cm de diámetro y de 82 cm de altura y 37 cm de diámetro) y otro en la UE1045, perteneciente a la Pileta 3 (81 cm de altura por 30 cm de diámetro). Éste posee una de sus superficies labradas para el acople, por lo que fue catalogado como ménsula, presentando además voladizo con el fin de aumentar la superficie de sustentación como base

de una viga de madera (DÍAZ GARCÍA, 2000c: 92-93).

Asimismo fue documentada una basa en la UE1059 correspondiente a la Pileta 1 (22 cm de altura y 40 cm de diámetro máximo en la base). Muestra moldura convexa o bocel, con acanalado circular.

U.E.	FRAGMENTOS	PIEZAS	TIPO	OBSERVACIONES
UE1028 Pileta 3	2	2	fuste	
UE1045 Pileta 3	2	1	fuste	ménsula
UE1059 Pileta 1	1	1	plinto	moldura convexa o bocel
Total:	**5**	**4**		

Materiales líticos de construcción localizados en la fábrica de salazón

Industria lítica

Fue documentada industria lítica en el NE de la UE1003, UE1006, UE1009, UE1023, UE1025 correspondiente a la ocupación del sector S en la plataforma superior, UE1033 sobre muro, UE1044 Pileta 3, UE1044 Pileta 2, UE1048 Pileta 1, UE1056 Pileta 2, UE1058 Pileta 4, UE1064 perteneciente al hogar de la plataforma superior, UE1071 Pileta 2, UE3002 correspondiente al relleno de la zanja localizada al N de la estancia A1, UE3008 estancia A2 y en la UE3009 perteneciente a la estancia A1. De los 26 ejemplares documentados, 23 aparecen asociados a la fábrica de salazón y 3 al taller. Las mayores concentraciones de material se han detectado en la UE1025 correspondiente a la estancia S localizada en el nivel de ocupación de la plataforma superior, con 7 piezas líticas. Este nivel se relaciona con la fase de uso de la factoría de salazones, probablemente relacionada con una zona de reservada al acopia de residuos (DÍAZ GARCÍA, 2000c: 94).

La utilización cuarcita como materia prima, la forma, así como las marcas de uso, con caras e incisiones rectas, apuntan a podrían haber tenido función de afiladores.

Asimismo fueron documentadas cantos rodados de granito con dos muescas laterales, conocidas en contextos marinos como pesas para redes de pesca (*poutadas*), además de percutores y alisadores, fabricados en granito y cuarzo.

El contexto cronoestratigráfico de estos materiales se corresponde con la existencia de la fábrica de salazón y el taller (DÍAZ GARCÍA, 2000c: 95).

3.4.1.3.5. Vidrio

Los vidrios presentan un estado muy fragmentario, localizándose en la UE1003, UE1025, UE1029, UE1045, UE1056 –nivel con mayor presencia-, UE1059, UE1060 y UE1071, en la

fábrica de salazones y en la UE3002, UE3009, UE3021 y UE3029 en la zona del taller. Suman alrededor de 500 fragmentos, correspondientes a 30 ejemplares.

Las formas son abiertas principalmente -si bien se documentaron dos botellas-, correspondiéndose con pequeños cuencos troncocónicos de bordes rectos o ligeramente exvasados y hemiesféricos. Entre los tipos identificados posiblemente existan ejemplares correspondientes a las formas Isings 106 e Isings 96. En la UE1056 fueron recogidos dos ejemplares de tonalidad verdosa de forma ligeramente rectangular de 25 cm de lado, aproximadamente, que podrían corresponder a ventanas. Entre las tonalidades se distinguen el vidrio transparente incoloro, el blanquecino y el verde (DÍAZ GARCÍA, 2000c: 96).

A nivel cronológico, Díaz García sitúa los materiales con el momento de reocupación de la abandonada fábrica de salazones, que se efectuaría en el siglo IV d.C. (DÍAZ GARCÍA, 2000c: 96).

3.4.2. INTERVENCIÓN EN LOS SOLARES NÚMERO 6, 8, 10 y 12 DE LA AVENIDA MONTERO RÍOS[28]

En lo que atañe a materiales arqueológicos, de manera general, se corresponden con materiales líticos -basa anteriormente descrita, mano de molino y una piedra de afilar-, metálicos -numerosos clavos de hierro de diferentes tamaños, si bien todos en muy mal estado de conservación, una punta de cuchillo, una aguja de bronce de 6'5 cm de longitud en buen estado, un pequeño fragmento de escoria de bronce, un aro de bronce de 3 cm de diámetro y 0,5 cm de ancho y un fragmento de forma semicircular de bronce de 6 cm de diámetro y 1,1 cm de ancho, que podría corresponder a una sítula.

Se recogieron un total de catorce monedas, todas de bronce, la mayoría muy deterioradas, aunque una de ellas en un estado de conservación óptimo. En el anverso se lee con claridad la leyenda *IMP CONSTANTlNUS,* pudendo tratarse de un medio *follls centenional* acuñado en la época de Constantino l. En otra de las monedas, de menor tamaño, en el reverso pudo distinguirse claramente un Crismón.

[28] Información extraída del informe valorativo relativo a la excavación en área realizada en los solares número 6, 8, 10 y 12 de la Calle Montero Ríos de Bueu, redactado por Ángel Carreira Díaz, director de la intervención (CARREIRA DÍZAZ, 2000).



Basa de columna recogida en el sector 2 (CARREIRA DÍAZ, 2000: Fotografía 15)

Fueron documentados varios fragmentos de recipientes indeterminados de vidrio, predominando la tonalidad verde y amarillo.

De los materiales de construcción se señala la presencia de numerosos fragmentos de *tegula*, algunas con marcas indeterminadas realizadas mediante digitaciones. Se recogieron gran cantidad de fragmentos de *imbrex* y algún *later*.

En lo tocante a los materiales de transporte y almacenaje se distinguen numerosos fragmentos de ánforas de diferentes producciones y tipologías, con porcentajes altos del tipo de producción local para exportación Almagro 50, así como ejemplares importados pertenecientes a las producciones del mediterráneo oriental (*Late Roman Amphora*) y africanos, además de un borde de dolia de fabricación propia.

Dentro de la cerámica común se señala la presencia de ejemplares elaborados en pastas negras y grises micáceas, así como otras elaboradas en atmósferas oxidantes. Se identificaron dos fragmentos que presentaban grafitos. Uno se corresponde con un borde en cuyo interior puede leerse una inscripción incompleta en la que se aprecian las letras CM. Otro pertenece al cuerpo de una una vasija y se lee una P.

Dentro de la producción de paredes finas predominan las pastas de color marrón claro, documentándose algunos fragmentos con bandas pintadas de color predominante rojo.

3.4.3. INTERVENCIÓN EN EL SOLAR NÚMERO 7 DE LA AVENIDA MONTERO RÍOS

3.4.3.1. CERÁMICA COMÚN

En lo tocante a la cerámica común, se destaca tanto la cantidad de fragmentos encontrados como la variedad de formas, grupos de pastas, grosores y motivos decorativos.

Entre las formas se distinguen ollas, ollitas, cuencos, vasos, platos, jarras y botellas, buena parte de ellos pertenecientes a los tipos definidos por Alcorta para la cerámica común lucense (ALCORTA IRASTORZA, 2001).

De entre las técnicas decorativas se distingue el espatulado con motivos oblicuos, los motivos plásticos con cordones aplicados y decoración incisa a base de acanaladuras e incisiones. Entre los tipos de pasta más grosera, se encuentran algunos fragmentos de cuerpo de cerámica de tradición indígena.

Entre las formas de imitación, se encuentra algún ejemplar de imitación del cuenco Dragendorff 35 sobre pasta grisácea.

De la producción engobada, destaca la presencia de platos con pastas tipo bocadillo, con núcleo gris y laterales ocres pertenecientes a los tipos EP definidos por Alcorta (ALCORTA IRASTORZA, 2001). Algunos de estos platos presentan evidencias, en su parte externa de la base, de haber estado sometidos al fuego.

También se documentaron varios ejemplares de cerámica pintada. Presentan pastas claras con motivos geométricos consistentes en reticulados romboidales o líneas sueltas conseguidas con pigmentos ocres o rojizos. No se detectaron motivos figurativos. Entre las piezas de cerámica pintada, destaca un cuenco de perfil completo, un asa y alguna pieza de cerámica fina.

La cerámica común fina se documenta abundantemente en Bueu. Dentro de este grupo se puede hacer una división entre las cerámicas finas de pastas claras y las cerámicas finas de pastas grises. de entre los fragmentos de cerámica fina, destacas un cuerpo de color ocre con *grafitti* re, incompleto por mutilación.

3.4.3.2. ÁNFORA

De entre los fragmentos de ánfora localizados, destaca la presencia de numerosos ejemplares de la forma Almagro 50. Beltrán la describe como de cuerpo alargado y línea

cilíndrica, con pescuezo corto y ancho. Su datación más antigua no parece haber bajado del siglo II d.C. Sin embargo su etapa de expansión se centra en un momento tardío que abarcaría los siglos III, IV y V. Se documenta en Ampurias y Tarragona, pero donde su índice de difusión es mayor es en la antigua Lusitania. Aquí tendría su principal centro de producción. Estas ánforas se conocen normalmente como "lusitanas" en base a esta localización y se diferencian perfectamente, ya que las asas arrancan directamente desde el borde en su banda superior. La arcilla es clara y porosa.

Situándose pues en el ámbito costero (Algarve y desembocadura del Sado principalmente), corresponderían principalmente a envases salazón.
Asimismo fueron recogidos algunos fragmentos de cuerpo y asa de ánfora de pasta rojiza y con desgrasantes de gran tamaño, pertenecientes al tipo Haltern 70 de producción bética.

Son destacables varios fragmentos de ánfora procedente del Mediterráneo oriental. Como piezas de esta procedencia se incluyen varios fragmentos de pared, con marcadas estrías exteriores, relacionadas con los tipos vulgarmente denominados "palestinianos" o "bizantinos" pertenecientes a la producción *Late Roman Amphora*. Las pastas presentan diferencia de tonalidad entre la parte externa e interna de la pieza. Los centros de origen se sitúan en la costa egipcia, Siria y en el Mar Egeo principalmente (costa de Turquía) y sus dataciones abarcan los siglos V y VI d. C. probablemente habrían servido para transporte vinario. Además de Bueu y Vigo, ejemplares de esta producción han sido encontrados en A Lanzada, Cidadela, Caldas de Reis y Taboada (Silleda).

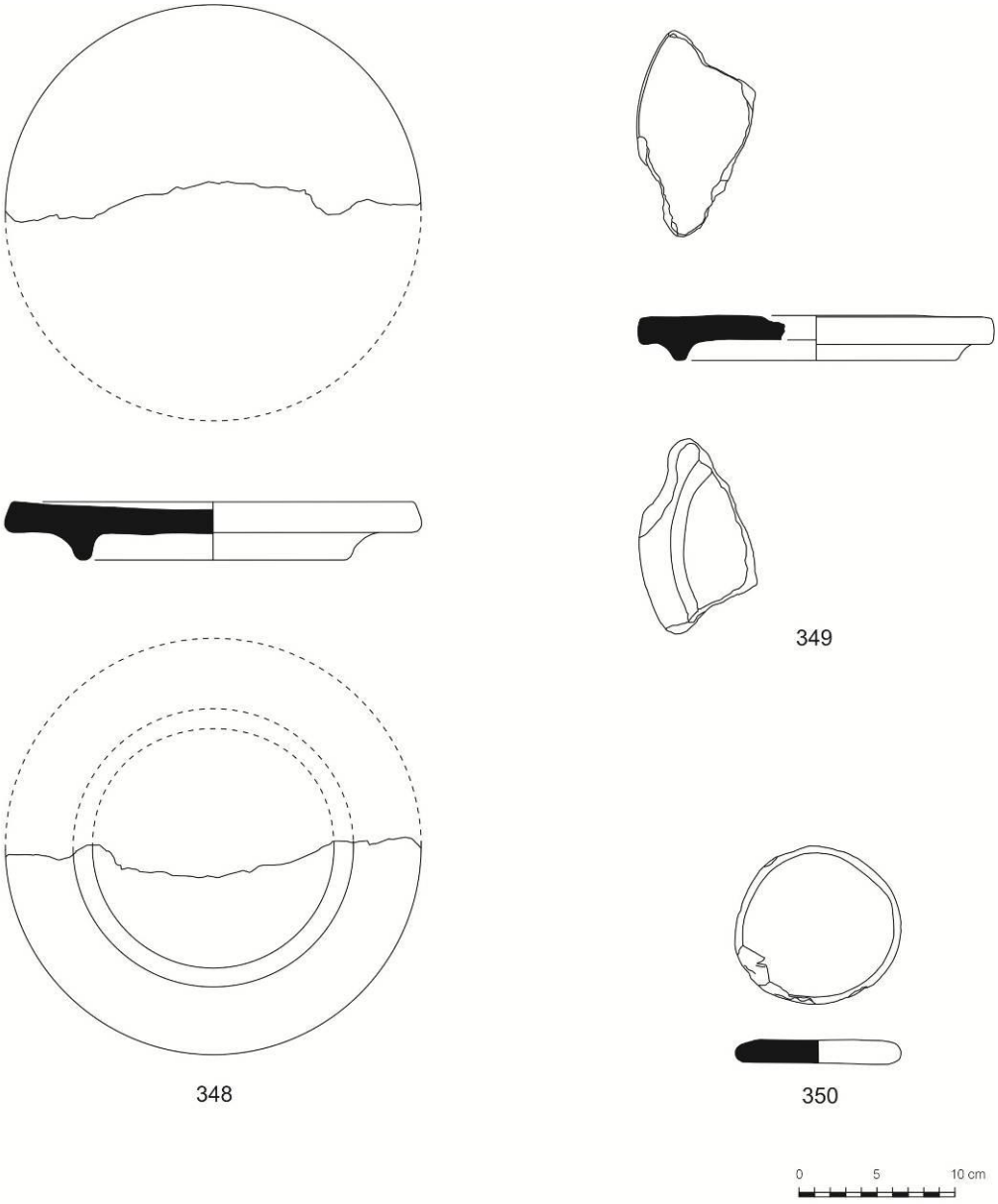
3.4.3.3. DOLIA

Se detecta la presencia de dolia gracias a la aparición de algún borde de este gran recipiente. Cabe suponer que algún fragmento grosero indeterminado de cuerpo, podría corresponder a esta forma de almacenaje. se pudieron diferenciar dos tipos de pastas, una clara y otra anaranjada, si bien ambas porosas y con desgrasantes bastos.

3.4.3.4. INSTRUMENTAL DE ALFAR

Entre los materiales recogidos, destacan una serie de instrumentos o útiles auxiliares, relacionados con los diversos procesos de la fabricación cerámica, entre los que se encuentran platos de torno, discos soporte y pulidores.

3.4.3.4.1. PLATOS DE TORNO



Intrumental de alfar: platos de torno y disco soporte

Probablemente el torno de los alfareros de cerámicas comunes galaico-romanos, no debería distar mucho de los que se conocen actualmente para las producciones populares o tradicionales. No obstante, de sus tres partes básicas, plato, eje y árbol o volante, sólo existe conocimiento de la primera a través de escasos ejemplares. Este elemento aparece fabricado en arcilla, de la que fueron registrados dos ejemplares bastante bien conservados. En su parte inferior se distingue la prolongación que debía unirla al eje, fabricado probablemente en madera. Platos semejantes a los presentados tienen sido documentados en los alfares de TSH de Bronchales, Abellá, Bezares o Andújar (JUAN TOVAR, 1984: 37-38). Sobre éstos últimos, Sotomayor indica la posibilidad de que se traten de soportes de tuberías, así como para los descritos por Garabito en su obra sobre los alafares romanos

riojanos (GARABITO, 1978).

348. Perfil completo de plato de torno. La superficie superior se encuentra totalmente alisada. Presenta marcas de uso formadas por delgadas líneas que forman círculos concéntricos y evidencias de haber sido sometida a fuego. La superficie inferior, en contraste con la superior, presenta un acabado grosero, en la que sobresalen los materiales no plásticos de gran tamaño (cuarzos, micas y restos cerámicos reutilizados). El pie anular, muestra sección redondeada. Pasta ocre carne (M 45) muy porosa. Diámetro de borde: 26,8 cm. Diámetro de base: 17 cm. Dimensiones: 3,8x26,8x2,0 cm. Nº Inv.: N14E6UE61-1. Cuadro E6 – UE 61 (Caja de muro).

349. Fragmento de plato de torno. Ambas superficies muestran alisado. La superficie inferior presenta marcas de torno. Posee pie anular de sección redondeada. Pasta pardo muy pálido (M 67). Diámetro de borde: 23 cm. Diámetro de base: 9,2 cm. Dimensiones: 2,9x13,2x1,8 cm. Nº Inv.: N10C3UE61-2. Cuadro C3 – UE 61 (Caja de muro).



Intrumental de alfar: platos de torno y disco soporte

3.4.3.4.2. DISCOS SOPORTES

Con esta denominación se conocen una serie de discos planos realizados en arcilla o pizarra que servirían para la manipulación y transporte de las piezas frescas (ALCORTA IRASTORZA, 2001: 436-440).

350. Pieza completa de disco soporte realizado en arcilla, posiblemente sobre la superficie de una *tegula* reutilizada. Ambas superficies carecen de tratamiento, siendo muy porosa y con materiales no plásticos de gran tamaño. Pasta tierra siena natural (P 45). Diámetro: 10,6 cm. Dimensiones: 1,6x10,7x1,6 cm. Nº Inv.: N2C4UE9-3. Cuadro C4 – UE 9.

3.4.3.4.3. PULIDORES

Furon recogidos numerosos ejemplares de pulidores. Se tratan de cantos rodados de forma oval o alargada con un extremo más ancho que otro. En sus caras se aprecia una serie de abrasiones o pequeñas marcas producidas por el roce constante. Estos instrumentos servirían para el afinado de las piezas, utilizando las caras de mayores dimensiones (ALCORTA IRASTORZA, 2001: 441-442).

3.4.3.5. MATERIAL DE CONSTRUCCIÓN LATERICIO

Fueron documentados fragmentos de *tegula e imbrex*, si bien en número limitado. Varios ejemplares presentaban marcas digitatadas.

3.4.3.6. MATERIAL NUMISMÁTICO

Se registraron diez numismas de bronce en deficiente estado de conservación, lo que ha limitado su lectura.

3.4.3.7. VIDRO

Fueron recogidos numerosos fragmentos pertenecientes a recipientes de vidrio, la mayor parte correspondientes a recipientes indeterminados. Las tonalidades abarcaban el verde y l ocre, principalmente, resultando la mayor parte incoloros. También fueron registrados otros fragmentos totalmente planos, algunos de ellos con decoración compuesta por líneas paralelas.

Se identificaron tres cuentas de collar en pasta vítrea. Una presentaba pequeño tamaño y forma cilíndrica con color verdoso. Otra también fragmentada, mostraba coloración azulada y otro ejemplar forma romboidal y coloración también azulada.

3.4.3.8. MATERIALES METÁLICOS

3.4.3.8.1. BRONCE

Fueron recogidas cuatro piezas realizadas en bronce, de las que destaca el borde de una sítula de bronce. Esta correspondería a la parte de engarce del asa, el cual consta de una placa remachada en la que sobresale un orificio por el que se sujetaría. Fueron recogidos asimismo tres fragmentos de chapa de bronce, uno de ellos fragmentado y outro bastante deteriorado, que podría incluso corresponder a una moeda.

3.4.3.8.2. HIERRO

Fueron documentados una cantidad elevada de clavos de hierro de diverso tamaño en

diferente estado de conservación. Destaca la presencia de un posible gozne de grand tamaño. También se localizó una pieza de forma hemiesférica en mal estado de conservación y numerosas escorias.

3.4.3.8.3. PLOMO

Se documentaron dos piezas de plomo. Una de ellas consta de dos fragmentos con forma acanalada de pequeño tamaño.

3.4.3.9. MATERIALES LÍTICOS

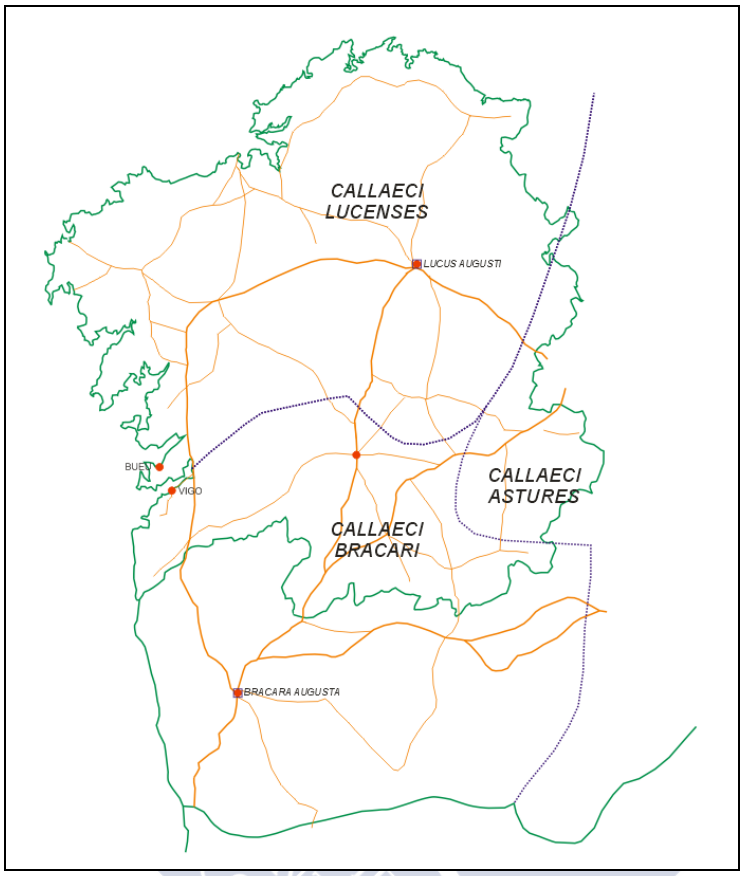
Se recogieron varios cuantos rodados identificados como alisadores, dos prismas y una lasca de cristal de cuarzo. Se debe reseñar la presenencia del fuste de una columna realizada en granito, perteneciente al material constructivo.

3.4.3.10. MATERIAL ÓSEO

Fueron abundantes los fragmentos óseos recogidos, todos ellos de pequeño tamaño y generalmente fragmentados. Entre la industria ósea se señala la presencia de varios alfileres o punzones de forma cilíndrica.

4. EL YACIMIENTO ROMANO DE O AREAL (VIGO)

4.1. CONTEXTO

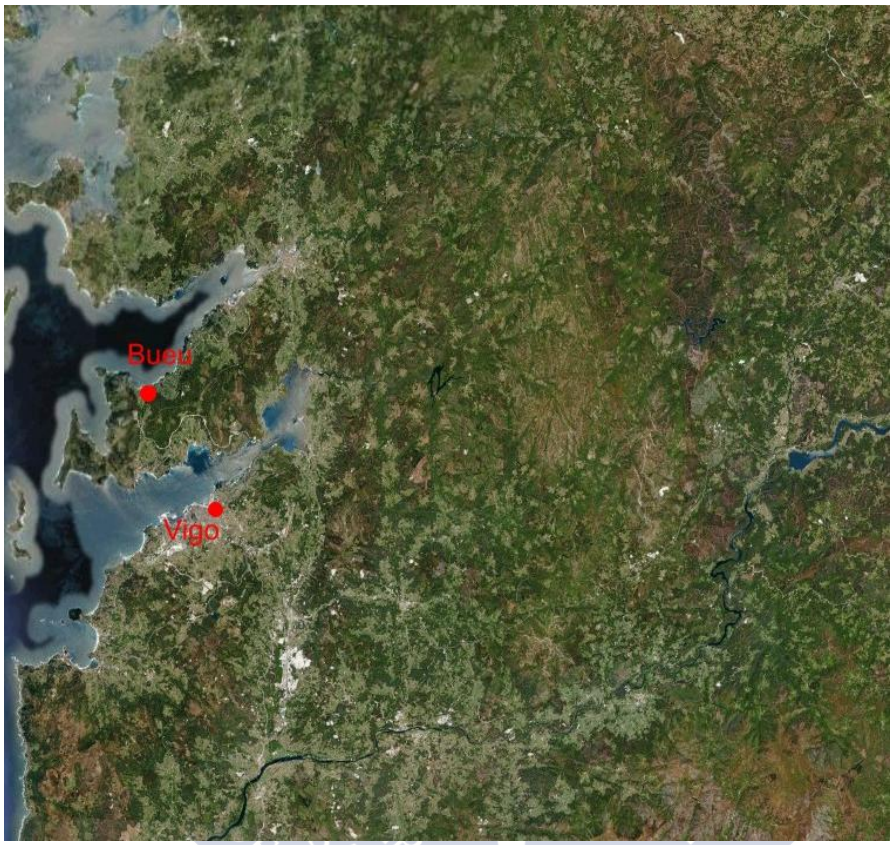


Situación de Vigo y relación con Bueu, red viaria, capitales y límites de *conventus* próximos

El yacimiento de O Areal se encuentra en el barrio de O Areal en Vigo (Pontevedra) originariamente muy cerca de la línea de costa aunque en la actualidad los diversos rellenos contemporáneos del puerto tienen alterado la topografía de la zona (RODRÍGUEZ, 2005). Desde 1992 se realizaron en esta zona numerosos hallazgos. En los sondeos de las calles Hospital, Roupeiro y Rosalía de Castro fueron localizados restos y estructuras con importantes depósitos de material tardorromano. Durante el año 1995 a partir de una serie de intervenciones en las calles Hospital, Pontevedra y Colón, se documenta la presencia de una necrópolis tardorromana, estructuras como la calzada y un horno, estanques de salinas y una camada de arena con ánforas, aparte de otras estructuras con material relacionado. La amplitud de este yacimiento continuará con las intervenciones realizadas en 1997 y 1998 en las que se documentan restos también en las calles Rosalía de Castro y García Barbón.

La zona de O Areal, también conocida como "Roupeiro" es la que mayor proporción de restos romanos presenta, siendo las calles Pontevedra, Hospital y Rosalía de Castro las

áreas de mayor concentración. Esta zona no llegó a urbanizarse hasta principios del siglo XX. Durante los siglos XVIII y XIX era un pequeño suburbio de la ciudad de carácter rural, arbolada y en la que desembocaban varios ríos y arroyos.



Ortofoto

En la descripción del barrio de O Areal de Nicolás Taboada en el 1840 (TABOADA, 1977) se incluye una mención a un riachuelo que desemboca en esta zona: “Hacia el último tércio de este arrabal corre un riachuelo titulado Rio del Barreiro, cuyo origen son dos fuentes que nace á distancia de media milla en la parte del S. y sitios denominados Ameal y Guedije, ambos pertenecientes á la parroquia de Lavadores, desde donde baja por una encañada que forman los campos de los contornos, y en su tránsito se le agregan otras varias fuentes y pequeños manantiales. A la distancia de unas 500 á 600 varas este riachuelo toma el nombre del rio de Meyra, el cual conserva hasta llegar á las lajes de San Lorenzo: en este punto se reune un caudal suficiente para hacer mover 4 molinos que muelen todo el año, y solo dejan de hacerlo algunas horas cuando la sequedad es tanta que obliga á distraer el agua para el riego de los sembrados inmediatos. Sigue luego el curso al Arenal con la denominación de Barreyro, y atravesando la ancha calle de este barrio por un puente chico construido sobre el mismo camino, sale á desembocar en la playa. [...]”.



Orotofoto de la Ría de Vigo y localización del yacimeinto de O Areal en la ciudad



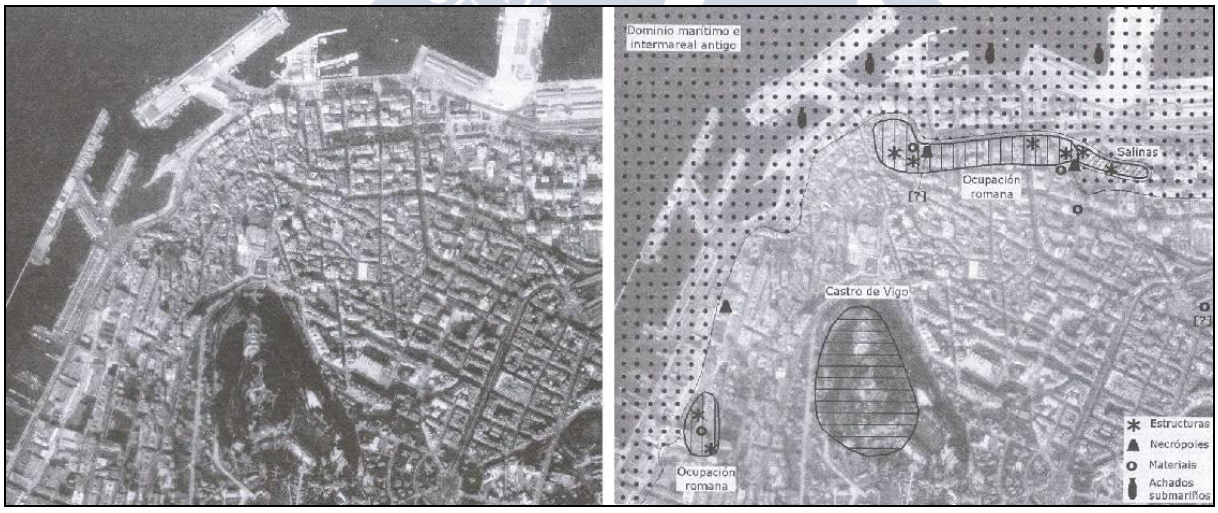
Vista de la villa Vigo y su puerto de Leonardo Turriano (Archivo de Simancas, 1597)

La presencia de un yacimiento romano bajo la actual ciudad de Vigo, en la zona de O Areal y el Casco Histórico, ha sido una de las grandes primicias de la arqueología gallega reciente suministrada gracias a la labor de la arqueología urbana. De esta forma, antiguas referencias y hallazgos, especialmente el importantísimo conjunto epigráfico descubierto en 1953 en la calle Pontevedra-Hospital, adquieren su necesaria contextualización arqueológica y amplían los datos acerca de los orígenes de la ciudad. Las fuentes literarias antiguas son casi inexistentes por lo que las arqueológicas son casi exclusivas para el conocimiento del pasado histórico durante este período.

En los años 1992 y 1993 se realizaron una serie de sondeos en las calles Hospital, Roupeiro y Rosalía de Castro. Se localizaron restos de estructuras y un importante depósito de material tardorromano.

Durante 1994 se realiza un control arqueológico en la Calle Rosalía de Castro, donde se localiza material de arrastre.

Un año después se realizan una serie de intervenciones en las calles Hospital, Pontevedra y Colón. Se documenta la presencia de la necrópolis tardorromana, estructuras como la calzada y un horno, estanques de salinas y una camada de arena con ánforas, aparte de otras estructuras con material relacionado.



Fotografía aérea de Vigo y fotointerpretación arqueológica (topografía marítimo-terrestre antigua, distribución de vestigios y áreas de ocupación, seg. PÉREZ LOSADA, 2002: Fig. 82)

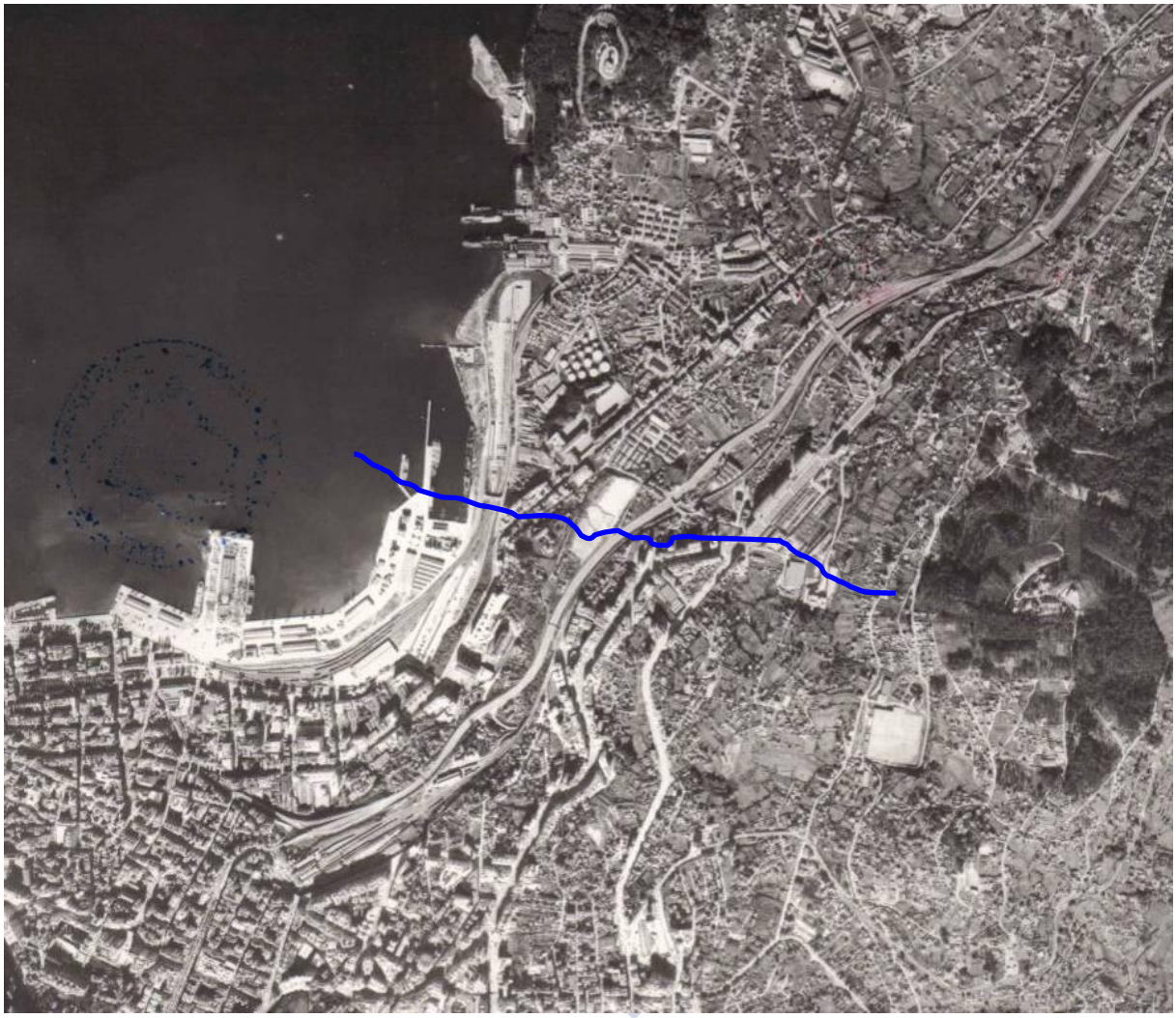
En 1996 se realizan sondeos en la calle Rosalía de Castro sin resultados arqueológicos positivos.



Localización del ámbito Rosalía de Castro II dentro del entramado urbano de Vigo

En 1997 se realizan varias intervenciones en las calles Rosalía de Castro, Rúa Pontevedra y Rúa Oporto. Los resultados evidencian la existencia de una calzada, estructuras constructivas, salinas y la necrópolis. También se localizan materiales tardorromanos y nivel de playa con ánforas.

En 1998 se realizan nuevas intervenciones en Rosalía de Castro y García Barbón. Se localiza de nuevo el trazado de la calzada, las salinas, niveles de playa con ánforas, así como fosas en el sustrato con materiales arqueológicos y abundante material tardorromano.
En la zona del casco histórico, aparte de los niveles medievales y modernos, también se han localizado restos de Época romana.



Zona de O Areal en la década de los 60 del siglo XX. La línea azul representa la zona de escorrentía de la ladera.

En 1991 en la calle Fermín Penzol se localizan estructuras constructivas asociadas a materiales.

En el 1993 se localizan más materiales romanos (tegula y cerámica) en la misma calle.

En 1994 se realizan intervenciones en la calle Laxe y Real donde se registran restos materiales en posición secundaria.

En 1998 se realizan nuevas intervenciones en las calles Carral y en la Praza da Constitución. Los resultados señalan restos de estructuras asociadas a material para el segundo punto y localización de tegula para el primero.

En 1996 se realizan unos sondeos arqueológicos en la calle de Marqués de Valterra donde sólo se llegan a documentar niveles naturales.

En 1998 en la calle Torrecedeira se localizan vestigios de estructuras con escaso material.

De esta forma, se llega a la conclusión de que aparte del Castro de Vigo, los restos del hábitat romano de Vigo se agrupan en tres sectores situados en la zona de O Areal, el casco histórico y las calles Marqués de Valterra-Torrecedeira a la altura de su cruce con Juan Ramón Jiménez.

La zona de O Areal es la que mayor proporción de restos romanos ha dado, siendo las calles Pontevedra, Hospital y Rosalía de Castro las áreas de mayor concentración. Esta zona, también conocida como "Roupeiro", no llegó a urbanizarse hasta principios del siglo XX, conociéndose en los siglos XVIII y XIX la existencia de un reducido suburbio de la ciudad de carácter rural.

Respecto al contexto arqueológico inmediato de la parcela objeto del presente estudio, los trabajos arqueológicos de excavación realizados en los años 2006 y 2007 en el ámbito de la Unidad de Actuación I-06 Rosalía de Castro II, depararon los siguientes hallazgos[29], localizados fundamentalmente en las parcelas contiguas 5 y 6 y con continuación en el lado E de la Parcela 4:

- Restos de la ocupación de la zona en Época moderna y contemporánea.

- Restos de un yacimiento habitacional tardorromano de los siglos VI-VII d.C. y una necrópolis inmediatamente posterior a su abandono.

- Inmediatamente por debajo, un depósito dunar, nivelado en época tardorromana para su uso como suelo de ocupación y, bajo éste, los restos de una salina altoimperial, construida sobre un depósito limoso (nivel natural de marisma) al que sigue en profundidad un nivel de arena, interpretado como restos de la playa original.

[29] Iglesias Darriba, M.J.: *Informe de Valoración Fase II. Evaluación Patrimonial de la Unidad de Actuación I-06 Rosalía de Castro-II. Vigo (Pontevedra)*, 2007.

A partir de las intervenciones realizadas en esta zona se establecieron diferentes épocas de ocupación de O Areal durante la antigüedad (CASTRO, 2007):

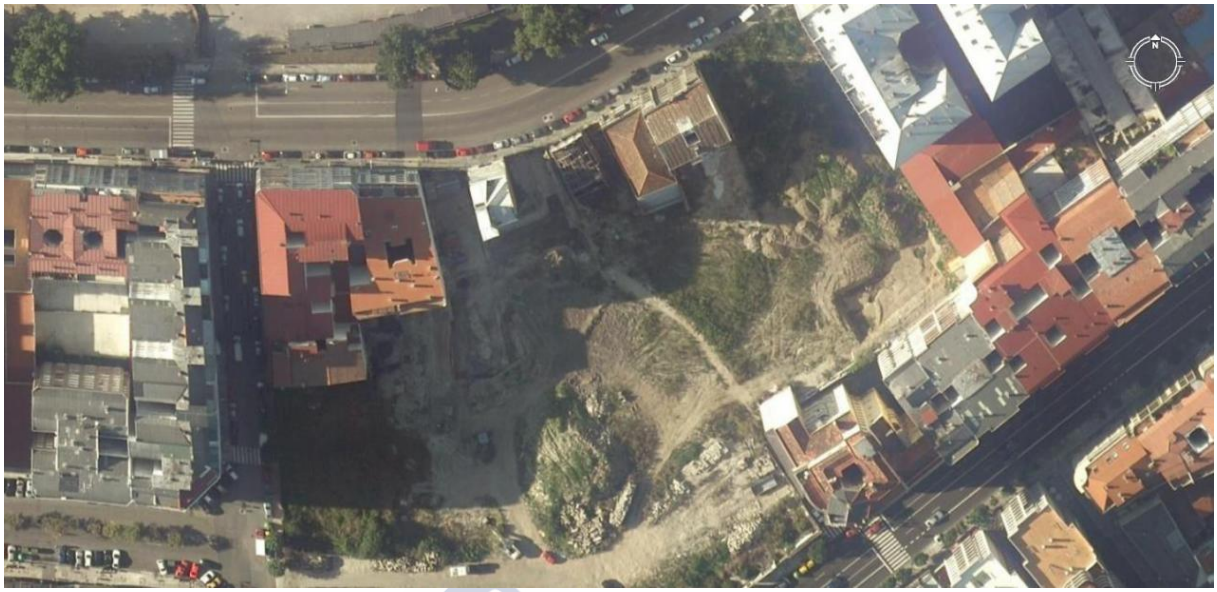
- Época republicana-altoimperial entre los siglos II-I a.C. y I d.C. Durante esta época está documentado el uso portuario de esta zona en relación con el tráfico comercial. En estos depósitos fueron recuperados fragmentos de ánfora entre los que predominan las vinarias Dressel 1 y Haltern 70.

- Época altoimperial entre los siglos I-II d.C. Se mantiene el uso portuario de la zona y se instalan las salinas y una factoría de salazón. La salina fue construida sobre una barra playera de origen marino afectada por la erosión eólica. Al S de esta existía una marisma formada por los aportes de ladera y las corrientes de agua dulce de los riachuelos que desembocarían en esta zona y el agua salada del mar.

- Época Baixoimperial-Tardorromana entre los siglos III-VI d.C. Asentamiento con estructuras de hábitat en la zona litoral y una extensa necrópolis con una larga perduración (hasta los siglos VI-VII d. C.). Los tipos de enterramiento incluyen rituales de incineración, inhumación con ajuar e inhumaciones cristianas sin ajuar.

La ocupación de la zona de O Areal coincide en parte con la ocupación del Castro de Vigo que va desde el siglo II a.C. al siglo III d.C. Durante el primer siglo de nuestra era el poblado ocupa una mayor extensión, etapa en la que se documenta la mayor parte de la actividad comercial, coincidiendo con el uso portuario de la zona de O Areal (CARBALLO; LUACES; TOSCANO, 1998).

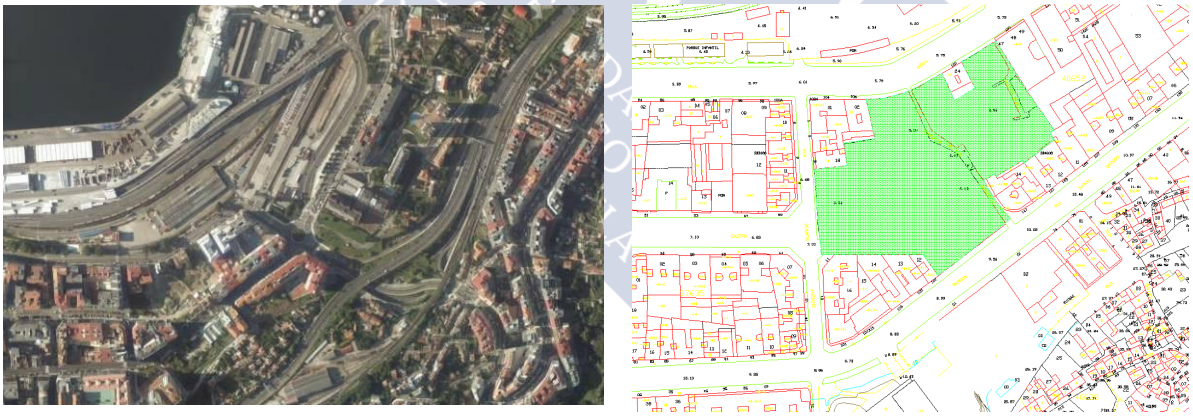
Los pavimentos de las salinas están cubiertos por depósitos de limos, producto de la sedimentación natural que se producía en esta zona de marisma. En uno de estos depósitos se documentaron restos de materia orgánica (madera, hojas, carbones, cuero, etc.). El abandono del uso de la salina coincide con una bajada del nivel del mar y la progresiva sedimentación natural sobre la misma y la marisma, de tierras y arcillas procedentes de la ladera (MARTÍNEZ; COSTAS, 1997). El inicio de esta regresión se producirá hacia la segunda mitad del siglo I a.C. (1.900 BP) denominada regresión Wisant. Esta fase regresiva aparece precedida por la transgresión Dunkerkiense durante el Subatlántico (3.000-2.000 BP), situada en Galicia hacia el 2.300-1.700 BP.



Vista ortogonal de la U.A. I-06 Rosalía de Castro 2

4.2. TRABAJOS ARQUEOLÓGICOS REALIZADOS EN LA ZONA OBJETO DE ESTUDIO

Previamente al inicio de los sondeos manuales objeto del presente informe, se desarrollaron una serie de trabajos arqueológicos que a continuación se describen.



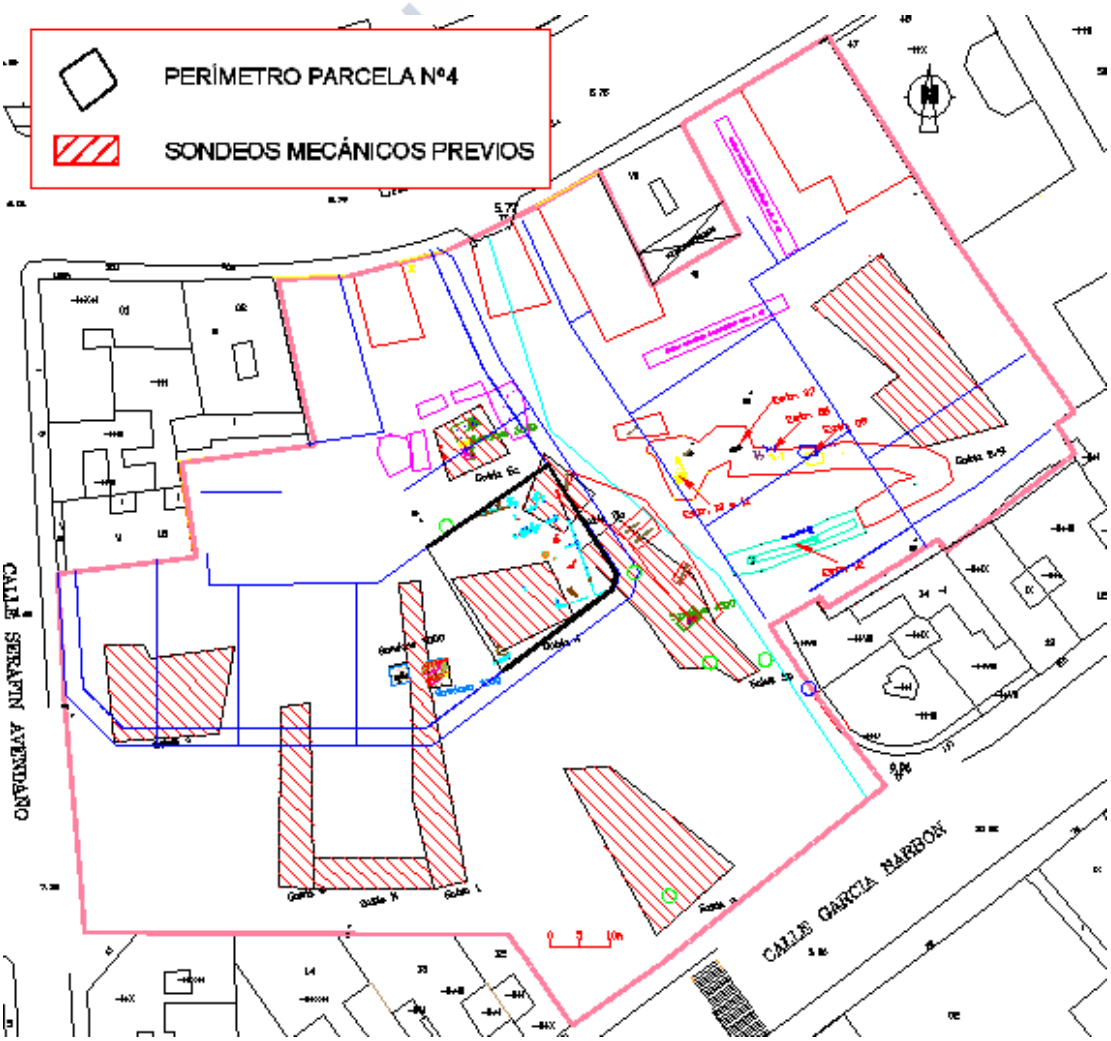
Ubicación del yacimiento en la ciudad y límite del ámbito Rosalía de Castro II

4.2.1. SONDEOS ARQUEOLÓGICOS MECÁNICOS EN LA UNIDAD DE ACTUACIÓN I-06 ROSALÍA DE CASTRO II

Con fecha 6 de junio de 2005 la Dirección Xeral de Patrimonio Cultural autoriza la realización de sondeos arqueológicos mecánicos en la Unidad de Actuación I-06 Rosalía de Castro II de Vigo, que son iniciados el 16 de enero de 2006 bajo la dirección de Víctor Barbeito Pose a quien se sigue en la siguiente descripción (BARBEITO POSE, 2006).

El área sujeta a evaluación patrimonial representó la totalidad de la superficie de la denominada Unidad de Actuación I-06 de Rosalía de Castro II.

Pese a los planteamientos metodológicos previstos inicialmente, la localización de agua a 2,70 m de profundidad dificultó la ejecución de dichas zanjas, por lo que fue necesaria la utilización de una bomba de succión de agua (BARBEITO POSE, 2006: 8). Este problema, sumado a unas condiciones de climatología adversa y a la filtración de aguas fecales en la parte E del solar, por la que discurría un colector en uso dificultaron la documentación de perfiles y análisis de los mismos ya que no se podían estabilizar los perfiles de las arenas, dando escaso margen de maniobra para llevar a cabo las tareas de control de los perfiles (BARBEITO POSE, 2006: 9).



Emplazamiento de los sondeos mecánicos sobre el ámbito Unidad de Actuación I-06 Rosalía de Castro II de Vigo

De los sondeos planteados, dos de ellos se dispusieron sobre la superficie de la parcela, concretamente la totalidad del sondeo 4 y parcialmente el 5a y 5b. Según disposición planimétrica ocuparían dentro de la parcela 4 una superficie de 241,33 m², de los 633 m²

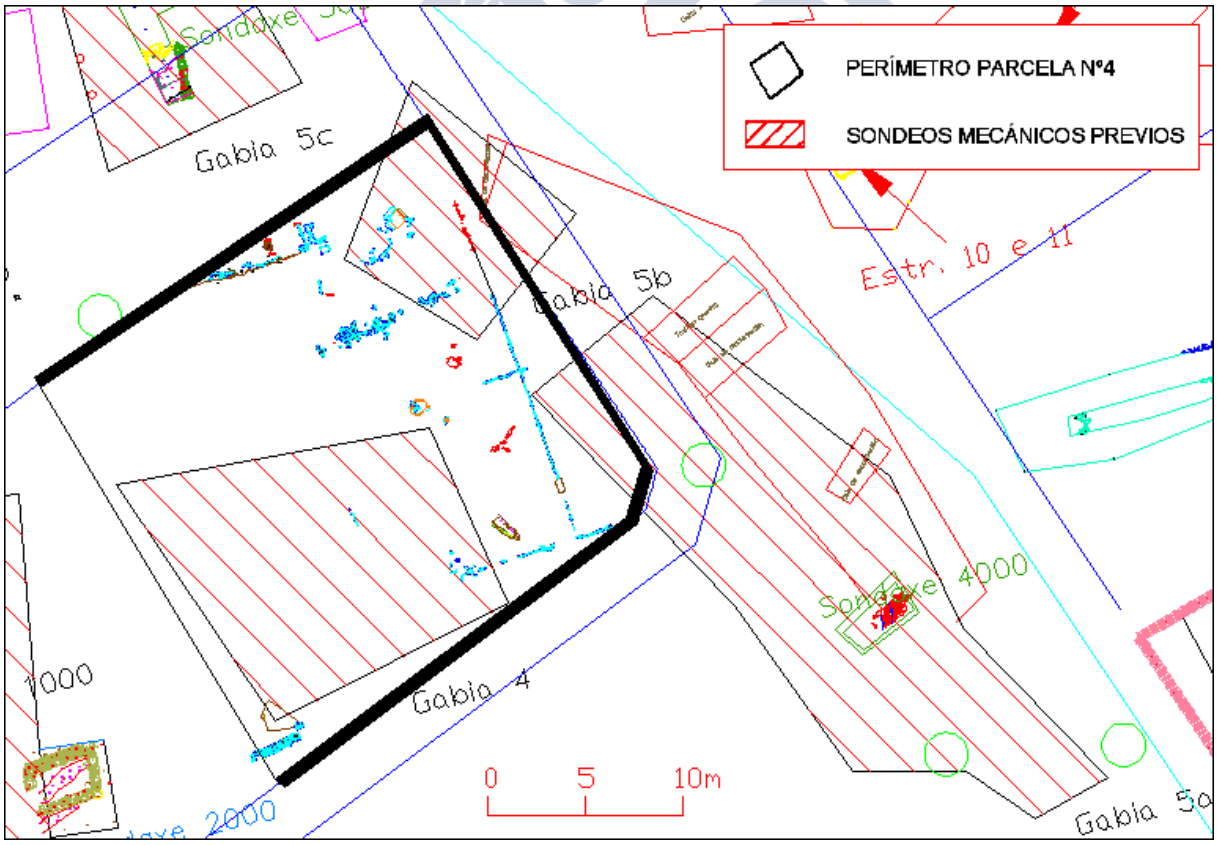
que presenta en su totalidad, si bien finalmente, debido a la caída constante de perfiles por la acción del agua, estas dimensiones se vieron aumentadas.

El análisis estratigráfico permitió distinguir de manera general para todo el ámbito, hasta cinco fases formativas.

La fase I y II aparecía compuesta por remociones, aportes y construcción de diversas estructuras vinculadas con la ocupación de época contemporánea (construcción de viviendas, almacenes, fábricas, etc.)

La fase III responde a un proceso formativo que daría lugar en la zona a una especie de marisma. Refleja un momento de inundación de la superficie de cronología postmedieval, ya que si bien aparecía representada por materiales de época antigua o tardoantigua, también se documentan materiales de época postmedieval como cerámica china, trozos de teja curva, cristales, etc.

La Fase IV fue interpretada como una fase de formación natural, con la presencia única de materiales de cronología romana (ánforas “palestinianas”, tégulas, cerámica común romana, etc.), pero sin llegar a definir ningún tipo de estructura que pusiese de manifiesto que se tratase de un depósito de origen antrópico.



Situación de los sondeos 4 y 5 sobre la Parcela 4

La fase V se relaciona en su totalidad con niveles de formación natural, compuestos por distintos aportes, bien sean niveles de arenas y gravas o bandeados de limos y lodos (BARBEITO POSE, 2006: 11).

La estratigrafía será similar en toda la superficie evaluada, teniendo en cuenta el posible proceso formativo de la zona, variando según aspectos topográficos y de configuración del terreno, ya que la superficie de estudio se corresponde con un espacio interdunar, tipo laguna costera (BARBEITO POSE, 2006: 16).



Microtopografía inicial rotado

Respecto a las estructuras documentadas, cabe señalar que si bien en el sondeo 5a se localizaron los restos de un muro de Época moderna (Estructura 06)[30], ésta se sitúa fuera del ámbito de la parcela 4, concretamente al SE de la misma.

Respecto a los materiales recuperados en la actuación se señala que estos son numerosos, correspondiendo a materiales líticos (ancla lítica), cerámicos (tegulae, restos anfóricos, terra sigillata y cerámica común, en su mayoría) y vidrios.

A nivel general se estableció una diferenciación del ámbito evaluado, diferenciándose dos zonas (BARBEITO POSE, 2006: 26).

[30] Construida en piedras de granito y esquisto, tratándose de un muro que aparentemente presentaba dirección Norte-Sur (BARBEITO POSE, 2006: 19).

La Zona I haría referencia al espacio en el que se documentan niveles de formación natural que incorporan restos de cultura material parcialmente rodada, sin que se identificara ningún tipo de estructura.

La zona II se refiere al espacio en el que fueron identificados niveles de ocupación antiguos, asociados a abundante cultura material y con presencia de estructuras pétreas aparentemente, mal conservadas así como elementos interfaciales de acción antrópica tipo fosa o zanja.



Microtopografía final rotado

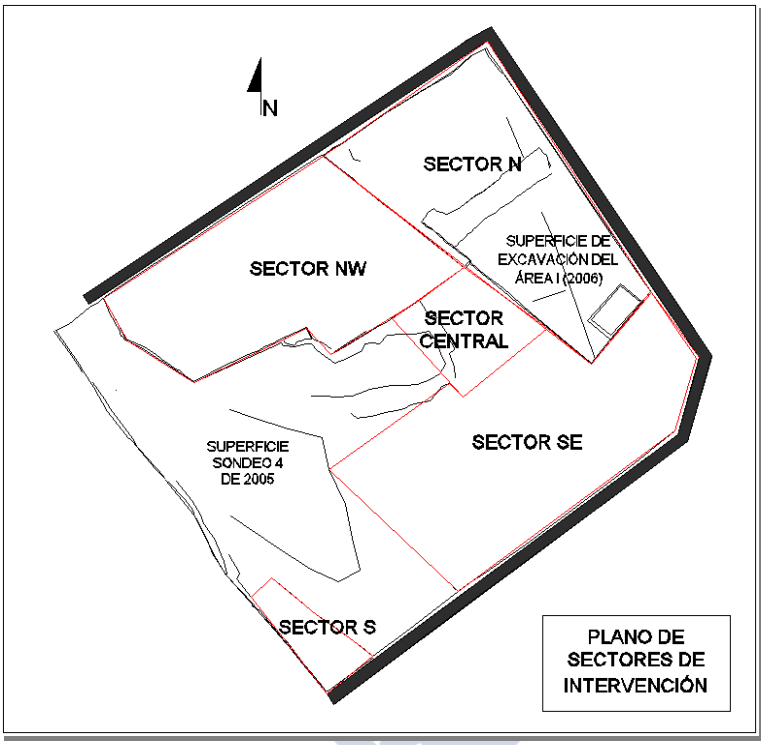
4.2.2. EVALUACIÓN PATRIMONIAL DE LA UNIDAD DE ACTUACIÓN I-06 DE ROSALÍA DE CASTRO II

Con fecha 26 de junio de 2006 la Dirección Xeral de Patrimonio Cultural autoriza la realización del proyecto de evaluación patrimonial de la Unidad de Actuación I-06 Rosalía de Castro II, de Vigo que se inicia el 3 de julio de 2006, finalizando el 19 de enero de 2007 bajo la dirección de M.J. Iglesias Darriba, a quien se sigue en la siguiente descripción (IGLESIAS DARRIBA, 2007).

Se distinguen dos zonas de intervención denominadas Área I y Área II. La mitad S del Área I de la intervención de 2006, se corresponde con la superficie del cuadrante N y NE de la Parcela 4. Se identificó como Sector N en la intervención realizada en 2008 en la Parcela 4.

Se señala que hasta el nivel de las salinas romanas toda esta zona fue excavada durante esta fase, si bien durante la intervención realizada en 2008 fue necesario agotar varios depósitos y estructuras de contexto tardrorromano excavados de manera parcial. Se trata de los rellenos (UE176-UE205) de la zanja (UE 175), que permitieron la identificación de la cimentación de un muro (UE170-UE206).

En la intervención dirigida por la arqueóloga M.J. Iglesias Darriba se realizó un sondeo seccionando el pavimento de las salinas y los depósitos sobre los que se asienta. Este cata fue reexcavada en 2008 y documentados sus perfiles, tras la solicitud realizada por los técnicos de la Delegación Provincial de Pontevedra.



Cabe señalar que durante la intervención dirigida por la arqueóloga M.J. Iglesias Darriba fue necesaria la excavación de dos pozos que permitiesen la succión de las aguas que anegaban la superficie objeto de excavación. Dichos cortes fueron localizados en la intervención de 2008, coincidiendo en planta de manera parcial con las esquinas N y E de la Parcela 4.

Se indica que el análisis de la estratigrafía, las estructuras y la cultura material documentada se realizó por FASES, siguiendo la secuencia formativa del yacimiento (de lo más contemporáneo a lo más antiguo) (IGLESIAS DARRIBA, 2007: 9), tratándose realmente de la secuencia inversa de formación del mismo.

En términos generales toda la superficie de excavación respondía a la misma secuencia

estratigráfica, en la que se distinguieron varias fases.



Emplazamiento de las zonas de intervención arqueológica previas sobre la Parcela 4

FASE I

Englobó los depósitos, estructuras y materiales vinculados al funcionamiento de una antigua conservera y otras construcciones contemporáneas (IGLESIAS DARRIBA, 2007: 9).

FASE II

Reflejó la ocupación del solar en época moderna. A esta fase se encontraron asociados además de algunos cortes, tres estructuras pétreas y material en posición secundaria. Las estructuras se correspondieron en el Área I con una tajea que cruzaba su frente Norte en dirección SW-NE. En el Área II se descubrió un pequeño pozo en la esquina NW y un muro en la esquina NE. Ninguna de estas estructuras fue relacionada con depósitos de tipo ocupacional (IGLESIAS DARRIBA, 2007: 10). Los materiales, en general poco rodados, se localizaron sobre todo en el frente Norte. Básicamente se componen de platos esmaltados,

escudillas con vidriados, anforetas de indias, algún fragmento de porcelana china y vidrios de botella. Cronológicamente se ubican en un siglo XVI (IGLESIAS DARRIBA, 2007: 11).

FASE III

Representó el momento de fosilización del yacimiento tardorromano con arrastres de ladera por el S y duna por el Norte. A esta Fase sólo se pudo vincular material. Los fragmentos recogidos fueron encontrados en posición secundaria y se adscribieron a contextos moderno-contemporáneos o romanos. El material de época moderno-contemporánea se encontraba poco rodado y aparecía en la parte superior de los depósitos y en el frente Norte del Área II. El material romano aparecía muy rodado y se localizaba fundamentalmente en contacto con los depósitos del yacimiento tardorromano (IGLESIAS DARRIBA, 2007: 11).

FASE IV

Fue relacionada con el expolio del yacimiento habitacional tardorromano y la instalación de una pequeña necrópolis en la esquina SW del Área II. Cronológicamente se atribuye a un momento inmediatamente posterior al yacimiento habitacional de los siglos VI-VII d.C. A pesar de que la zona se encontraba muy deteriorada debido a las cimentaciones de las construcciones contemporáneas, se llegaron a identificar un total de 14 tumbas. En ninguna de ellas se exhumaron restos óseos. Únicamente en la Tumba-13 se extrajeron dos pequeños fragmentos indeterminados. Como norma general los enterramientos aparecieron orientados en sentido E-W, salvo las Tumbas 8, 9 y 12 que aparecieron excavadas en dirección N-S, NW-SE y N-S respectivamente (IGLESIAS DARRIBA, 2007: 11-12).

FASE V

Atañe a los restos de un yacimiento habitacional cuyo material se situó cronológicamente en torno a los siglos VI-VII d.C. Esta ocupación se extendió por todo el ámbito de excavación (Área I-II), salvo en la esquina NW del Área II donde fue arrasada por las actividades moderno-contemporáneas. Se documentó un único nivel de ocupación, cubierto parcialmente por un derrumbe con tierra y pequeñas piedras, fragmentos de tégulas y excepcionalmente algún ímbrice. Las estructuras registradas se conservaron de manera desigual. En el Área I las estructuras conservadas se concentraban en el frente Norte, donde se documentaron muros y zanjas de cimentación que permitieron reconstruir una estructura de siete u ocho habitaciones. En el Área II se pusieron al descubierto las cimentaciones de una estructura con eje mayor orientado en sentido N-S que presentaba planta rectangular, dividida en 4 habitaciones con posible espacio porticado hacia el Este.

Se señaló que a esta Fase pertenecía la mayor parte del material registrado en la intervención (TSA, TSFT, DSP, cerámica común de transporte y de construcción, fragmentos de vidrio, pasta vítrea, objetos de hierro y oro) (IGLESIAS DARRIBA, 2007: 13-17).

FASE VI

A esta Fase se asoció el nivel de duna que fosilizó las salinas altoimperiales y que en época tardorromana fue enrrasada para usar como suelo de ocupación. A esta fases no se vincularon estructuras, pero si material cerámico (TSH, Cerámica común, de transporte y de construcción), así como gran cantidad de material orgánico (IGLESIAS DARRIBA, 2007: 17-18).

FASE VII

Fue relacionada con la instalación de tipo industrial para la elaboración de la sal. Se descubrieron los estanques de cristalización de la sal, los estanques iniciales de decantación de impurezas y material en suspensión y una estructura posiblemente de almacenaje. Los estanques de cristalización de sal parecían conformar espacios casi cuadrados de 9x8 m y aproximadamente 20 cm de altura. Se construyeron con pequeñas lajas de esquisto y granito hincadas y se encontraron pavimentados con arcilla mezclada con gravas. Los estanques de decantación formaban espacios rectangulares de 11x8 m, y una altura que rondaba los 80 cm. Se construyeron con grandes lajas de esquisto y granito hincadas, ligeramente inclinadas hacia el exterior y apoyadas en una especie de parapetos de arcilla con algo de piedra que ayudaban a impermeabilizar las paredes de los estanques y a la vez funcionaban como zona de paso. Se documentaron parte de cinco posibles estructuras de este tipo. La estructura posiblemente dedicada a almacenaje se documentó en el Área II con forma de T y unas dimensiones de 17,40 m en sentido N-S y 12,25 m en sentido E-W, con un ancho de 45 cm y una altura máxima oscilante entre 60 y 70 cm (IGLESIAS DARRIBA, 2007: 18-20).

FASE VIII

Se documentó por medio de 9 sondeos manuales y mecánicos distribuidos en diferentes partes del Área II que en términos generales responden al mismo esquema estratigráfico. Esta fase se asoció a depósitos de origen natural. En concreto se diferenciaron dos depósitos, uno superior de limos y otro inferior de arena. El depósito de arena se registró debajo de los limos y en todo el frente Norte. Se pudo recoger material cerámico poco

rodado y se visualizaron unas piedras de tamaño medio sin disposición aparente. Este nivel fue interpretado como restos de la playa original con material cerámico, sobre todo ánforas fechadas en torno al cambio de era, en posición secundaria. Los datos generales obtenidos señalaban a que la zona fue ocupada desde época romana de forma continuada, registrándose la superposición de diferentes yacimientos: romano altoimperial, tardorromano, moderno y contemporáneo. El Área I fue excavada, procediéndose al desmantelamiento del yacimiento tardorromano, poniendo al descubierto la salina. En el Área II se excavó, desmantelándose todo el yacimiento hasta lo se interpretó como depósitos de origen natural. Solamente en la esquina NW se mantuvieron los restos de uno de los estanques de decantación de salina (IGLESIAS DARRIBA, 2007: 20-22).

Por motivos de seguridad, fueron rellenadas las dos áreas de excavación entre el 8 y el 19 de Enero del 2007 (IGLESIAS DARRIBA, 2007: 22).

4.2.3. EXCAVACIÓN ARQUEOLÓGICA EN ÁREA DE LA PARCELA 4 DE LA UNIDAD DE ACTUACIÓN I-06 ROSALÍA DE CASTRO II

El análisis de los restos localizados durante los trabajos de control y excavación arqueológica en área realizados entre el 21 de julio y el 19 de septiembre de 2008 en la Parcela 4 de la U.A. I-06 Rosalía de Castro 2 de Vigo, permitieron establecer las siguientes conclusiones preliminares:

Se localizaron en restos arqueológicos pertenecientes a diferentes fases de ocupación que irían de la Época romana hasta la Contemporánea.

FASE I: NIVELES DE FORMACIÓN NATURAL PREVIOS A LA CONSTRUCCIÓN DE LA SALINA



Vista general desde el N a fecha de 18 de septiembre de 2008 (estado final)

En esta fase se documenta la presencia de niveles alternados de duna y de marisma (UE14, UE35, UE36, UE37, UE45, UE46, UE48, UE51, UE52, UE53, UE59, UE60 y UE74).

Los depósitos de arena, con variabilidad de carga orgánica, corresponderían a niveles de progresión de duna (acción eólica), mientras que los depósitos con abundante presencia de limos, se interpretan como niveles de marisma (acción de regresión marina).

Todos los depósitos de esta fase se consideraron de formación natural. Los depósitos UE14 y UE35 (duna) presentaban sus superficies horizontalizadas, sirviendo de asiento de la base de la salina. No se localizaron materiales asociados a dichos niveles.

FASE II. NIVELES ANTIGUOS CORRESPONDIENTES A LA CONSTRUCCIÓN DE LA SALINA

La fase antigua estuvo caracterizada por la presencia de las estructuras que conforman el complejo de las salinas. Las estructuras más antiguas costructivamente de esta fase se correspondían con aquellas que fueron interpretadas como posibles zonas de paso (UE225, UE248, UE249 y UE250). Se trataron de los restos de una serie de estructuras lineales que parcelarían las salinas de cristalización permitiendo el acceso a las mismas. En líneas generales presentaron dos paredes paralelas de lajas de esquisto y granito hincadas, ligeramente inclinadas hacia el exterior en su base y apoyadas en una especie de arcilla con algo de piedra, que ayudaban a impermeabilizar las paredes de los estanques (IGLESIAS DARRIBA, 2007: 19). Presentarían unas dimensiones medias de 40 cm de ancho por unos 20 cm de alto. La estructura conservada en su integridad (UE249 y UE250) dentro de la Parcela 4 presentaría una longitud de 2,60m, intuyéndose su continuación hacia el S por la presencia de una zanja de destrucción (UE257) y restos de lajas hincadas (UE225). Asimismo se conservaban restos de otra estructura de similares características perpendicular a esta hacia el W (UE217 y UE251) y los restos, muy alterados, de lo que sería su prolongación hacia el E (UE248).

Adosados a estas estructuras y constructivamente correspondientes a la misma fase, se encontraban los pavimentos o pisos de las salinas de cristalización. Aparecían formados por gravas de cuarzo de 1-2 cm de grosor, arcilla y arena, fuertemente compactados (UE34, UE61, UE78 y UE90). Dichos pavimentos presentaban un estado de conservación variable. En la parte W y central prácticamente no se conservaban debido a su alteración durante la ejecución de las catas de sondeo con medios mecánicos realizadas en 2005. En la parte E de la parcela aparecían mejor conservados, si bien seccionados en buena medida por las fosas y zanjas realizadas durante la fase tardoantigua.

Hincados sobre los pavimentos de las salinas, se localizan los muretes divisorios de los

tanques de cristalización (UE139, UE140, UE225 y UE253). Se construyeron con pequeñas lajas de esquisto y granito, de entre 25 y 30 cm visibles, hincadas en la base de la salina. Como hipótesis, se planteó la posibilidad de que una estructura formada por arcilla compactada pudiera haber cubierto los intersticios entre lajas, de lo que sólo se conservaría por lo tanto el esqueleto. Junto a las estructuras de paso parcelarían ortogonalmente la salina, delimitando espacios prácticamente cuadrangulares de unos 8 m de lado que conformarían los tanques de cristalización de la salina con una orientación N-S. Se documentaron, parcialmente hasta 12 tanques de cristalización, seccionados en su perímetro por la construcción del muro de apantallamiento.

Sobre el pavimento de la salina, y adosada posiblemente a una estructura de paso (UE248), se localizó una estructura de planta cuadrangular conformada por lajas de granito en sus lados N y W, con unas medidas 1,9 m de longitud por 1,4 m de anchura, con una profundidad máxima de 20 cm. Su base, de unas dimensiones de 60x50 cm, se correspondía con un opus compuesto por gravas de granito y cuarzo de pequeño tamaño fuertemente compactado, con una tierra arcillosa que aislaría totalmente la cubeta del nivel de duna sobre el que se asentaba. Para la construcción de la cubeta, fue necesaria la excavación de una fosa que permitiese soterrarla con el fin de dejar la parte superior de las paredes a cota con el pavimento de salina. Estas cubetas fueron interpretadas como posibles depósitos de decantación final[31].

FASE III. NIVEL DE ABANDONO DE LA SALINA

Dentro de esta fase se distinguieron dos momentos. El primero lo configuraron una serie de elementos interfaciales de destrucción que cortaban las estructuras de la salina. Se trataban de agujeros de poste fundamentalmente (UE123, UE145, UE148, UE150, UE155 y UE219) y alguna fosa (UE127 y UE222) realizados sobre el pavimento mejor conservado dentro de la parcela (UE78). Cortando el pavimento pero conservado (UE34) se localizaron un agujero de poste (UE117 y UE238) y una fosa (UE119). Así mismo cabe señalar que en este momento fie documentado intermitentemente una zanja de expolio (UE125 y UE257) de la estructura de paso de la salina con orientación N-S.

Sellando estos cortes y las estructuras de la salina, fue detectado un nivel general compuesto por arcilla muy compactada de la propia salina (UE89 y UE90) donde el piso aparecía mejor conservado y con textura arenosa en las zonas donde su grado de alteración

[31] Currás Refojos. B. “Aportación al conocimiento de la industria de salazón en las Rías Baixas Gallegas”, *Actas del Congreso Internacional CETARIAE. Salsas y salazones de pescado en Occidente durante la Antigüedad,* Universidad de Cádiz, B.A.R. int. ser., Oxford, pp. 138, 2007.

fue mayor (UE 56, UE216). Sobre este nivel general fueron localizados una serie de elementos estratigráficos que se corresponderían con un segundo momento.

En el Sector NW fue localizada una zanja (UE183) probablemente correspondiente a un canal, con perfil en U y orientación NE-SW de 45 cm de ancho y 4,5 m de longitud y 35 cm de profundidad. Aparecía cortada por la zanja UE171 que presentaba forma rectangular en planta y orientación N-S, con unas dimensiones de 5 m de largo, por 43 cm de ancho y 20 cm de profundidad. Asimismo fue detectado un nivel interfacial de destrucción (UE209) correspondiente al desmontaje de los muretes de delimitación de tanques UE217 y UE251. En la parte NW del Sector fue localizada una fosa (UE173) de planta rectangular y orientación E-W, con unas dimensiones de 187 cm de longitud, 44 cm de ancho y 16 cm de profundidad, colmatada por un depósito (UE174) con componente predominantemente mineral, arenoso, limoso y con algunos carbones y material de construcción muy rodado. En el perfil SW del Sector NW, se localizó una posible fosa (UE31) de planta ovalada, con unas dimensiones de 130 cm de diámetro por 25 cm e profundidad y con una orientación NE-SW. En la sección central S del sector NW se detectó un nivel de arrasamiento (UE276) de pavimento y del depósito que lo fosiliza. Al N de la fosa UE95 se localizó un agujero de poste (UE180) de planta ovalada.

En el Sector central se localizó una pequeña estructura de combustión sobre una fosa (UE196) de planta oval cortando el depósito que fosilizó la salina (UE89) relacionada posiblemente con un horno de vidrio. Sus dimensiones fueron de 110 cm de longitud, 85 cm de ancho y 17 cm de profundidad con orientación NE-SW. La estructura aparecía conformada por una base (UE213) y paredes (UE212 y UE204) compuestas por pequeñas piedras de granito con evidencias de rubefacción, al igual que las paredes correspondientes a la sección del piso de arcilla de la salina. Cabe señalar que formando parte de su pared W se localizó una laja murete de salina reutilizada (UE253). Esta estructura apareció colmatada con dos depósitos (UE197 y UE200) con alta carga orgánica, cerámica muy deteriorada y nódulos arcillosos. Su parte superior apareció sellada por un depósito de piedras, pertenecientes a la destrucción de la estructura, con evidencias de rubefacción (UE215).

Al S de estos elementos estratigráficos se localizaron un conjunto de fosas y canales interconectados de tipología común. Desde el S se disponía un canal (UE113) con planta en L (dirección W-E y S-N), base en U y un trazado conservado de más de 4 m de longitud, 35 cm de ancho máximo y 20 cm de profundidad. Este canal cortaría a otro anterior (UE138) con paredes y base revestidas de piedras de granito de pequeño tamaño, muy mal conservado. Dada la fragilidad de estas estructuras sumado a su fácil construcción, supondría más práctico su abandono que su reparación, como parece demostrar el ejemplo

conservado. Estos dos canales desaguarían en la fosa UE104 de planta poligonal con unas dimensiones de 4,5 m de longitud por 3,30 de ancho y 30 cm de profundidad. De esta fosa parte otro canal (UE157) de tipología similar al anteriormente descrito (UE138), de 4 m de longitud, 24 cm de ancho y 9 cm de profundidad y que vertería en una segunda fosa (UE95) de planta circular con un diámetro aproximado de 3 m y 40 cm de profundidad.

Al SE de la fosa UE104 se localiza los restos de un canal compuesto por dos paredes de piedras de granito de forma rectangular. La pared W (UE106), mejor conservada, presentaba una longitud de 1,30 m. Con la pared E (UE107) formaba un canal de 20 cm anchura por 20 cm de profundidad, presentando una dirección NW-SE.

En torno a estas estructuras y negativas fueron localizadas una serie de de huecos de poste (UE115, UE142, UE180, UE187, UE190, UE192, UE198, UE201) y una fosa (UE141).

En el Sector S de la parcela fue localizado el nivel de fosilización (UE56) de la salina (UE61).

FASE IV. NIVELES TARDORROMANOS

Dentro de esta fase fueron distinguidos también dos momentos. El primero estaría configurado por las estructuras y negativas que se disponían sobre el nivel de base UE162. Sobre este depósito fue construido un muro en mampostería de granito principalmente (UE170) del que se conservaron restos con unas dimensiones de 15 m de longitud 95 cm de ancho y 25 cm de altura máxima y una orientación SE-NW. Para su cimentación se realizó una zanja (UE175) de 23 m de longitud, 1,9 m de anchura y 60 cm de profundidad. Rellenando la cimentación del muro (UE206) se detectaron varios rellenos (UE176 y UE205).

Fue localizada asimismo en el Sector NW una fosa (UE185) de planta circular de 45 cm de diámetro y 16 cm de profundidad, rellena de calzos de piedras de granito. Al S de la fosa se localizaron dos agujeros de poste (UE159 y UE163).

En el sector S se localizaron los restos de un muro (UE182) de mampostería de granito y esquisto, sin aglutinante, con unas dimensiones de 4,5 m de longitud, 45 cm de ancho y 15 cm de altura conservada, presentando una orientación NE-SW. Esta estructura fue construida sobre un rebaje realizado sobre el pavimento de la salina (UE61) y el depósito que lo fosilizaba (UE56). Posteriormente fueron depositados dos rellenos de nivelación (UE58 y UE259) que servirían de base del nivel de uso.

Un segundo momento aparecía definido por varios elementos estratigráficos. En la parte W del Sector NW, fueron documentados los restos de una zanja de cimentación de una

estructura rectangular en planta, con orientación N-S, con unas dimensiones de 3,5 m en la parte conservada, apareciendo cortado por el muro pantalla hacia el N. Su anchura sería de 5,5 m con dirección E-W y su profundidad de 30 cm. Presentaba la misma orientación que el resto de estructuras murarias tardorromanas.

Al E de esta zanja se localizaron los restos de un muro de mampostería de granito (UE110) con unas dimensiones de 4 m de longitud, por 65 cm de ancho y 25 cm de alzado conservado. Su orientación es N-S y se adosaba a la estructura descrita en el anterior momento (UE170), prolongándose hacia el N y apareciendo cortado por el muro N de apantallamiento. Al E se documentaron los restos de un muro de mampostería de granito (UE103), paralelo, con unas dimensiones de 1,5 m de longitud, 80 cm de anchura y 25 cm de alzado, con orientación N-S. Todas las estrcuturas murarias descritas carecían de aglutinante. Sobre este nivel se localizaron las interfacies de destrucción de las estructuras murarias señaladas (UE101, UE131, UE169 y UE260).

Fue documentada también una pequeña fosa en la parte SE del Sector NW. Su planta resultó ser oval presentando unas dimensiones de 60 cm de diámetro por 24 de profundidad, con una orientación NW-SE.

Al S de este sector se localizó el límite de una zanja (UE42, UE166 y UE177) que se dispondría por la parte SW de la Parcela 4, llegando al centro de la Parcela 3. Su forma en planta tendería al rectángulo. Aparecía seccionada por las zanjas mecánicas realizadas en 2005 dentro de la Parcela 4 y presentaría una longitud aproximada de 15 m, con una anchura máxima de 1,80 cm y una profundidad máxima de 40 cm. También se localizó una fosa de planta oval y 60 cm de diámetro, 24 cm de profundidad y una orientación NW-SE.

En el sector S, aparte de la zanja descrita, se documentaron dos más que presentaban la misma orientación SE-NW. Se trataba de la UE64, con unas dimensiones de 1,7 m de longitud, 60 cm de anchura y 20 cm de profundidad y la UE255, con 2,7 m de longitud, 45 cm de ancho y 45 cm de profundidad. Estas zanjas se prolongaban por la Parcela 3.

FASE V. NIVELES DE ÉPOCA MODERNA

Los niveles tardorromanos aparecían sellados por un nivel arenoso de formación natural, sobre el que se asentaban una serie de estructuras y elementos interfaciales adscribibles a época moderna.

En la zona W del Sector NW y en el sector S, se disponía un canal (UE18) construido en mampostería de granito (UE15, UE16 y UE24). Aparecía seccionado por la zanja mecánica realizada en 2005. Sus dimensiones máximas serían de 20 m de longitud, 35 de anchura y 18 cm de profundidad. Se encontraba cortado al N por una fosa (UE28) de planta oval de

1,6 m de longitud, 1 m de ancho y 16 cm de profundidad, que a su vez aparecía alterada por la construcción del muro pantalla.

En el S del Sector NW se localizó una fosa de planta oval que presentaba 1,1 m de longitud, 50 cm de anchura, 8 cm de profundidad y orientación NE-SW. Al E se localizaron dos zanjas (UE25 y UE26) de tipología similar y orientación N-S. Sus dimensiones eran de 4 m de longitud, 40cm de ancho y 7 de profundidad (UE25), 6 m de longitud, 36 cm de ancho y 5 cm de profundidad (UE26). Esta última zanja aparecía interrumpida en su extremo N por una fosa (UE27) de planta oval de 1,5 m de longitud, 1 m de anchura y 17 cm de profundidad. Estas zanjas y las fosas UE28 y UE27, presentaban un relleno homogéneo compuesto por arena limpia.

En la parte NE de este sector se localizó una fosa (UE87) de forma circular de 34 cm de diámetro y 10 cm de profundidad.

FASE VI. NIVELES DE ÉPOCA CONTEMPORÁNEA

Sellando los niveles de época moderna, se localizó un relleno constructivo, relacionado con las edificaciones de la industria de Conservas Alonso. No se conservaron restos de estructuras pertenecientes a la fábrica de Conservas Alonso dentro del ámbito de la parcela.

Cortando las bolsadas que formaban este relleno se documentaron los cortes de las zanjas de los sondeos mecánicos realizados en el 2005, así como el corte de la excavación planteada en el 2006.

Se señala la presencia de varios rellenos relacionados con el acondicionamiento de los solares para actuaciones constructivas.

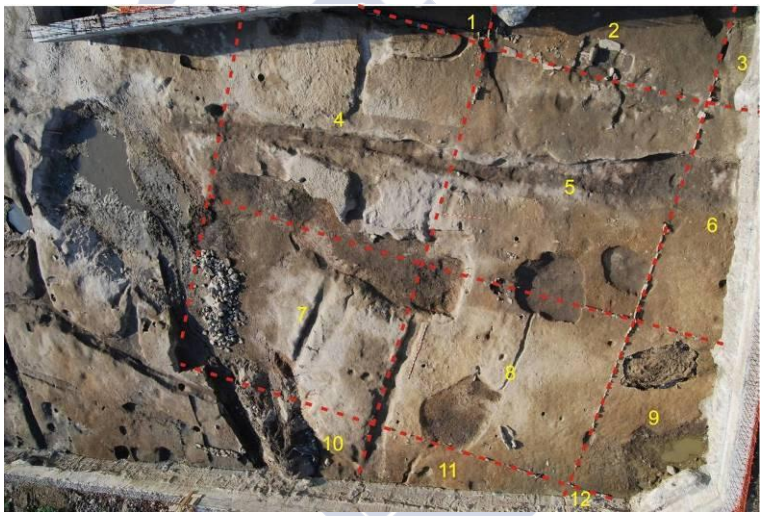
VALORACIÓN

Se documentaron en la zona excavada vestigios correspondientes a la instalación industrial de época romana para extracción de sal. Concretamente se trata de los restos de varios tanques de cristalización, conformando espacios cuadrangulares separados por lajas de esquisto y granito hincadas. La base aparecía conformada por los pavimentos o pisos de las salinas de cristalización, fabricados con un aglomerado de gravas y arcilla. También se localizó una cubeta de planta cuadrangular construida con lajas de esquisto. No se documentaron restos materiales muebles ni depósitos de formación antrópica anteriores al momento constructivo de la salina. A nivel cronológico y de manera general las salinas se adscriben a época altoimperial, fijándose su construcción a partir del siglo I d.C. y perdurando hasta su abandono, que se produciría a partir del siglo II d.C., continuando en el siglo III d.C. (CASTRO, 2007: 356; CURRAS REFOJOS, 2007: 138). Asimismo, se señaló

que buena parte de la superficie estudiada en la zona N y E de la parcela fue excavada con anterioridad (IGLESIAS DARRIBA, 2007).



Fotografía aérea de la Parcela 4 desde el SW: Sectores N y SE



Proyección del emplazamiento de los tanques de cristalización a partir de la fotografía aérea

Los trabajos de excavación finalizaron, siguiendo las indicaciones dictadas por los servicios técnicos del Ayuntamiento de Vigo y de la Delegación de la Consellería de Cultura e Deporte de Pontevedra, una vez agotados todos los depósitos de formación antrópica y tras quedar al descubierto las estructuras pertenecientes al complejo salinero.

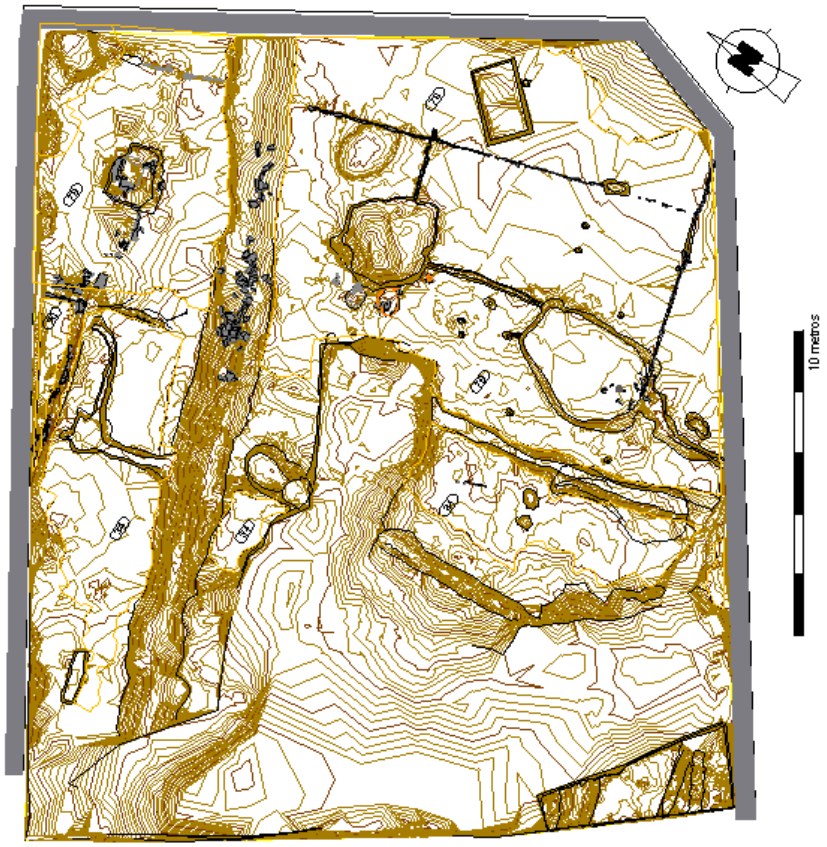
Un segundo momento, adscrito a época bajoimperial y tardorromana, fue detectado sobre el nivel de abandono que fosiliza la salina. Se documentaron una serie de estructuras (muros y canales) así como un conjunto de elementos interfaciales de destrucción (fosas y zanjas), algunos de ellos relacionables con la canalización y depósito de aguas. De manera general, podría ubicarse su marco cronológico entre los siglos III y VI/VII d.C. Para poder documentar los niveles de salina fue necesario desmontar varias de las estructuras murarias construidas durante esta fase. Dicha actuación fue realizada tras consulta realizada a los servicios

técnicos del Ayuntamiento de Vigo, así como a la Delegación de la Consellería de Cultura e Deporte de Pontevedra. Cabe señalar que los elementos interfaciales de destrucción realizados durante las fases tardías alteraron gravemente las estructuras pertenecientes a la salina.

Los niveles tardorromanos aparecieron sellados por un nivel arenoso de formación natural sobre el que se asentaban los restos de un canal construido en mampostería de granito y varios elementos interfaciales (zanjas y fosas) adscritos a época moderna. Para poder documentar los más antiguos fue necesario desmontar las estructuras del canal, acción consensuada con los servicios técnicos del Ayuntamiento de Vigo y de la Delegación de la Consellería de Cultura e Deporte de Pontevedra.

La estratigrafía del yacimiento se presentaba seccionada parcialmente en su zona W, centro y E por las zanjas de los sondeos mecánicos realizados en el 2005.

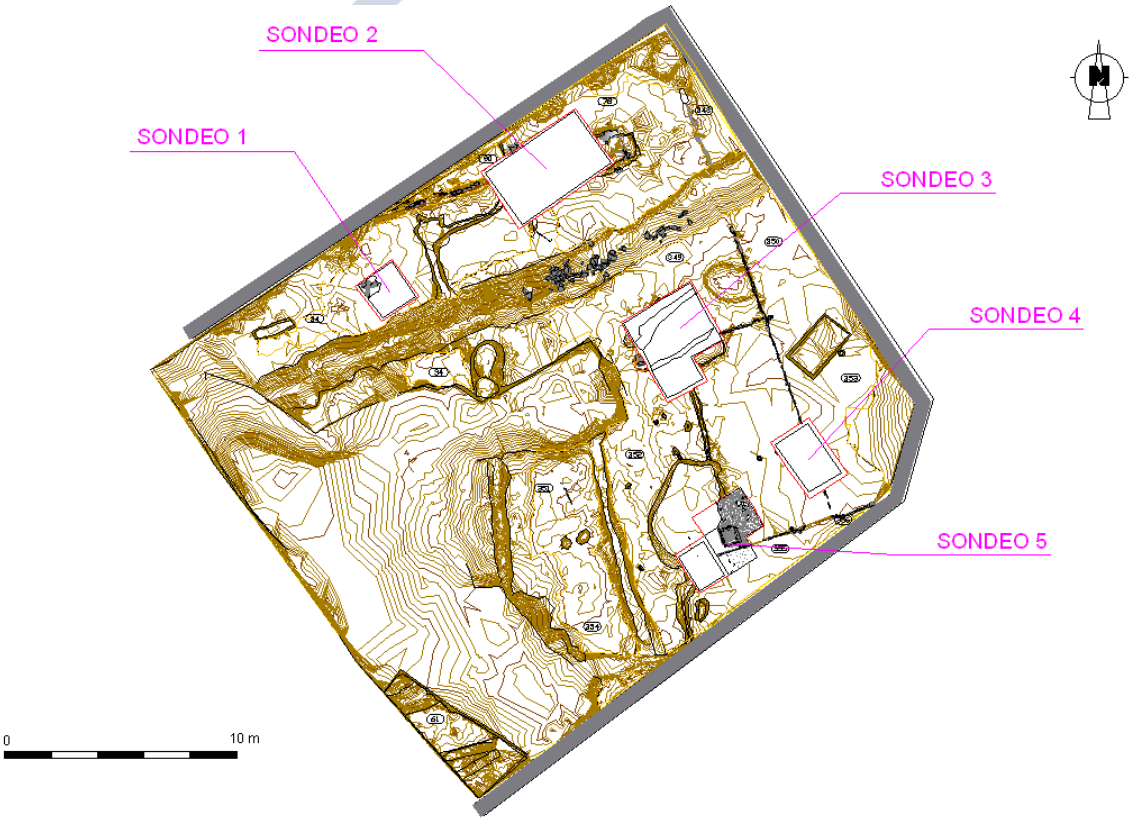
Los materiales recuperados son encuadrables en general, en época bajoimperial y tardorromana, apareciendo asociados a los depósitos originados tras el abandono de la salina. En los niveles superiores que cubrían el yacimiento se recogieron restos materiales correspondientes a época bajomedieval, moderna y contemporánea.



Microtopografía final de la intervención arqueológica desarrollada en 2008 en la Parcela 4

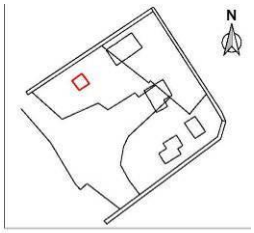
4.2.4. TRABAJOS DE AMPLIACIÓN DE LA EXCAVACIÓN MEDIANTE LA REALIZACIÓN DE SONDEOS MANUALES BAJO EL PAVIMENTO DE LA SALINA DE LA PARCELA 4 DE LA UNIDAD DE ACTUACIÓN I-06 ROSALÍA DE CASTRO II

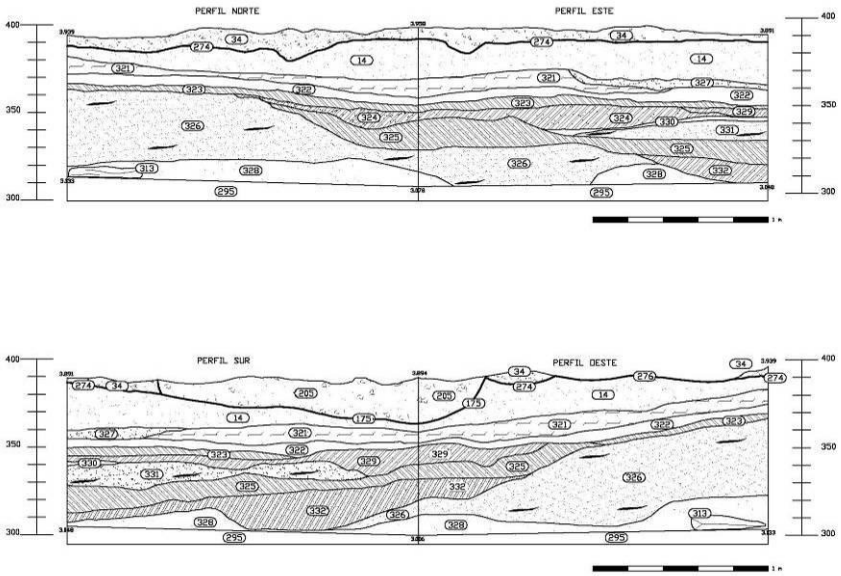
El objetivo de la ampliación mediante la realización de sondeos manuales consistió en la evaluación de la potencialidad arqueológica de la Parcela 4 de la U.A. I-06 Rosalía de Castro 2 de Vigo (Pontevedra), por debajo de la cota alcanzada en la excavación en área efectuada en 2008, mediante la realización de cinco sondeos representativos, distribuidos en la superficie de la parcela no alterada por actuaciones anteriores y excavando los niveles existentes por debajo del pavimento de salina. Para ello fue necesario el desmantelamiento con medios manuales y metodología arqueológica de las estructuras localizadas en la superficie en la que fueron planteados los sondeos.



Situación de las catas de sondeo

CATA 1 (S1)





Secciones de la cata de sondeo S1

Estratigrafía

La secuencia estratigráfica de este sondeo estaba formada por un nivel de arena (UE295) interpretado como un nivel natural de playa, localizado en cada uno de los cinco sondeos por debajo del nivel freático. Su disposición seguía la caída natural del terreno hacia la costa, apareciendo a cotas más profundas en los sondeos más próximos al mar (1 y 2) y a menor profundidad hacia el interior (sondeos 3, 4 y 5). Fue equiparado con el depósito localizado en la parcela 10, sobre el que se documentaron los restos pétreos de una posible estructura.

Sobre este depósito, en el ángulo NW del sondeo fue localizada una pequeña concentración de lajas de granito de tamaño medio de entre 20 y 40 cm de longitud, sin disposición aparentemente definida. Sobre ellas se documentaron diferentes niveles de formación natural compuestos por bandeados de arena y limo. La formación de estos depósitos se basaría en la sedimentación de elementos de arrastre fruto de acciones eólicas y acuáticas de manera alterna.

Estos depósitos fueron sellados por un estrato de arena blanca limpia, interpretado como un

nivel general de duna, cuya superficie aparecía enrasada con el fin de alcanzar la cota necesaria en la que se construyen las salinas.



Estado final de S1. En el ángulo NW se localizó una concentración de piedras de granito

Directamente sobre la duna se localizó el preparado o parte inferior del pavimento de la salina, fabricado con gravas de cuarzo, granito y esquisto. En esta zona el pavimento se conservaba parcialmente arrasado en superficie, contando en algunas zonas con una potencia de apenas 2 cm, no documentándose su parte superior compuesta por arcillas.

Estructuras

No fueron localizadas estructuras.

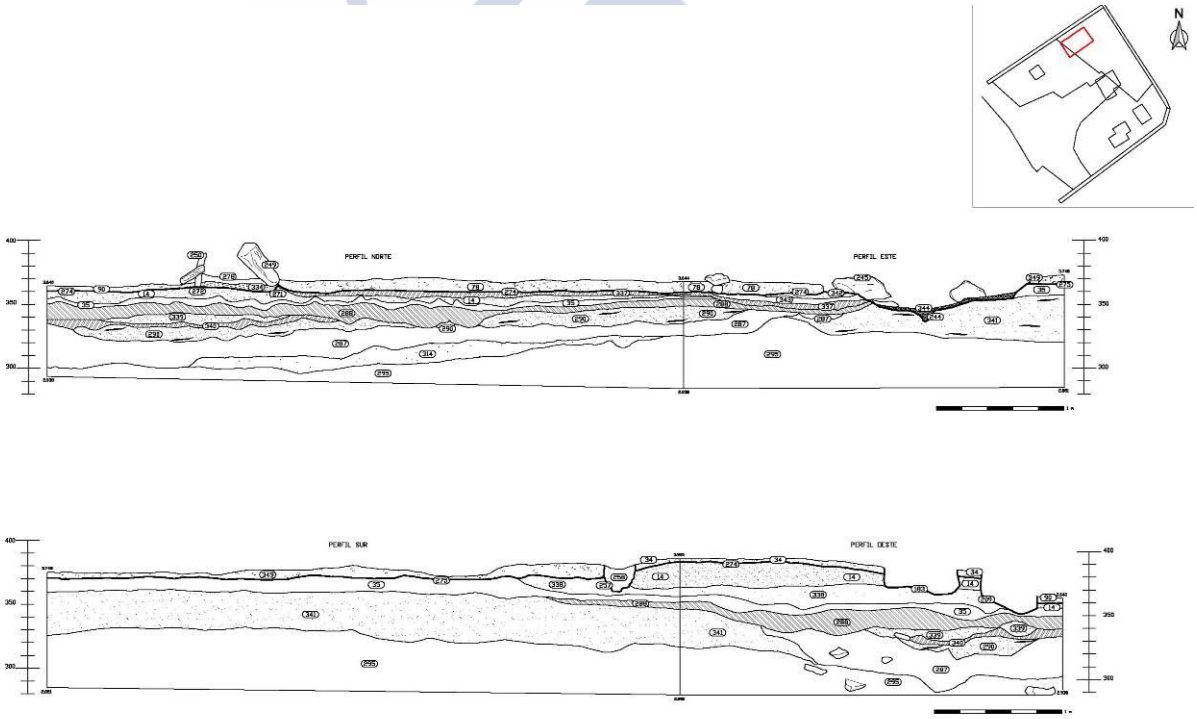


Sección N de S1



Detalle de la concentración de piedras de granito localizadas en S1

CATA 2 (S2)



Secciones de la cata de sondeo S2

Estratigrafía

La estratigrafía se componía por un nivel inferior de arena (UE295) correspondiente a un nivel natural de playa, localizado en cada uno de los cinco sondeos por debajo del nivel freático. Su disposición seguía la caída natural del terreno hacia la costa apareciendo a cotas más profundas en los sondeos más próximos al mar (1 y 2) y a menor

profundidad hacia el interior (sondeos 3, 4 y 5). Este depósito presentaba una cota más alta en el lateral E, decreciendo hacia el W. Fue excavado parcialmente con el fin de comprobar la ausencia de elementos estratigráficos de origen antrópico.



Inicio de los trabajos de excavación de los pavimentos de salina en el Sondeo 2



Trabajos de excavación de los pavimentos de la salina en el Sondeo 2

Sobre este depósito se documentaron diferentes niveles de origen natural, correspondientes a bandas de arenas y limos. La formación de estos depósitos se basaría en la sedimentación de elementos de arrastre fruto de acciones eólicas y acuáticas de manera alterna. Cabe destacar la alta concentración orgánica del depósito situado directamente sobre el nivel de arena más antiguo documentado, que alcanzó su potencia máxima en el ángulo NW del sondeo (UE287).

Estos bandeados fueron sellados por un depósito de arena blanca limpia, relacionado con un nivel general de duna, cuya superficie aparecía enrasada con el fin de alcanzar la cota necesaria sobre la que fue construido el complejo salinero.



Rebaje de los pavimentos de salina en S2



Detalle del pavimento de salina adosado a la estructura UE249-UE250

Respecto a las estructuras y elementos estratigráficos destructivos presentes en el sondeo, cabe señalar que ya fueron documentadas en anteriores intervenciones (CÉSAR VILA, 2008, IGLESIAS DARRIBA, 2007). El desmantelamiento con metodología arqueológica de las mismas permitió conocer el modelo de secuencia constructiva. Sobre el nivel de arena enrasado se dispusieron primeramente los elementos pétreos de parcelación o delimitación de los tanques de cristalización de la salina. Las lajas que conformaban las estructuras compuestas por las UE249-UE250 y UE217-UE251, así como las conservadas de los muretes de los tanques UE248 y UE 225, fueron hincadas directamente sobre la arena. Fue localizado un calzo en la base del murete UE225, sellado por el pavimento de salina. La secuencia constructiva de la cubeta localizada al N del murete UE248 se refleja en la sección E del sondeo. Tras la construcción de los muros se excava una fosa al pie de las lajas del murete en la que se construye la cubeta (UE244-UE245). Primeramente se fijan las lajas que conforman los cuatro laterales. En el interior de las mismas se adosan los elementos que conforman la base de la cubeta, compuesta por un nivel de lajas dispuestas horizontalmente sobre el que se dispone un aglomerado compuesto por pequeños guijarros muy compactados.



Detalle de murete de tanque en el que se aprecia un calzo hincado sobre la arena (UE225)



Estructura de la cubeta tras la retirada del pavimento en S2

Adosados a las estructuras pétreas anteriormente descritas se disponen los distintos niveles de pavimento de las salinas, compuestos en su base por un preparado de gravas de cuarzo, granito y esquisto, sobre los que se disponen los niveles superficiales compuestos por arcilla (UE34, UE78 y UE90).



Planta de la estructura UE249-UE250 tras el rebaje de los pavimentos de salina en S2



Sondeo 2 desde el W a la cota de la superficie del nivel de arena de playa original (UE295)

Finalmente, cortando las estructuras de la salina, fueron documentados en las secciones, varias zanjas de expolio de las estructuras (UE209-UE257) así como el corte del posible canal UE183.

Estructuras

No fueron localizadas estructuras arqueológicas inéditas.



Sección N de S2 donde se aprecia la estratigrafía de formación natural previa a la construcción de la salina, así como el corte practicado a la estructura UE249-UE250



Sección E de S2 donde se observa la estratigrafía de formación natural previa a la construcción de la salina, así como el corte practicado a la cubeta documentada en anteriores intervenciones (UE244-245)



Sección S de S2 con el corte dejado tras el expolio del murete de la salina (UE257)



Sección W de S2 en la que se aprecian los cortes realizados sobre la salina tras su abandono.

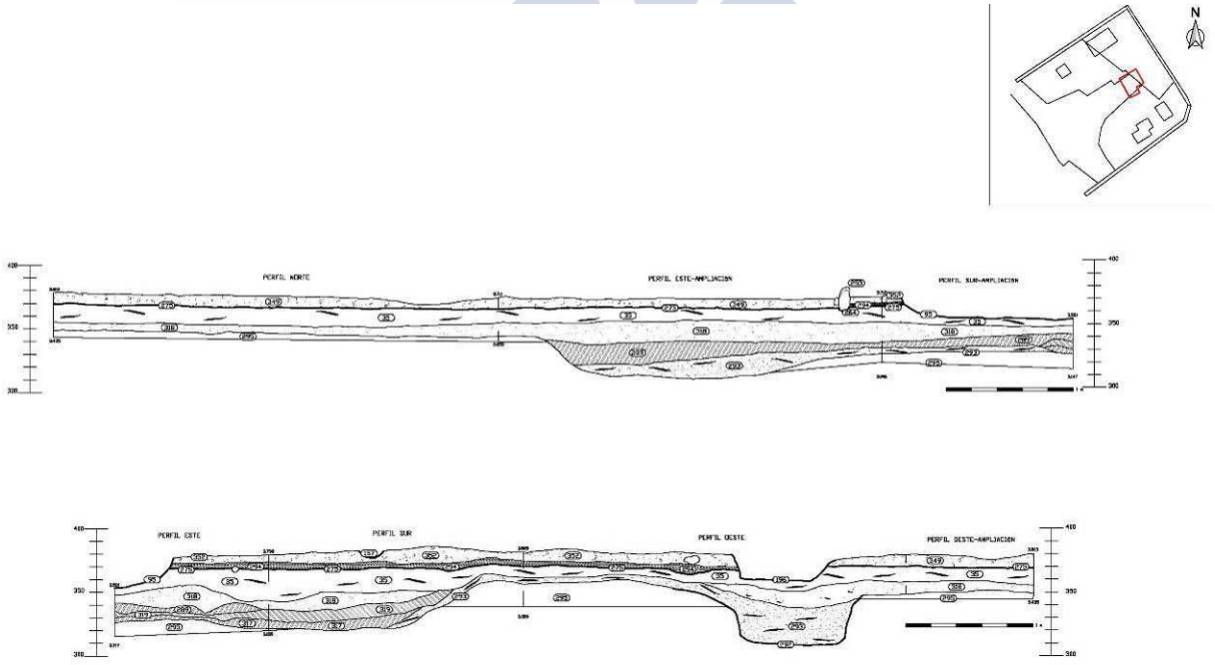


Sondeo 2 desde el E, por debajo de la cota del nivel de arena de playa original (UE295)



Estado final de la sección E de S2 en el que se aprecia la excavación parcial del nivel de arena de playa original (UE295).

CATA 3 (S3)



Secciones de la cata de sondeo S3

Estratigrafía

La estratigrafía aparecía compuesta por un nivel inferior de arena (UE295), correspondiente a un nivel natural de playa, localizado en cada uno de los cinco sondeos por debajo del nivel freático.



Vista desde el E de S3 una vez retirado el pavimento de la salina



Vista desde el E de la zanja localizada en S3 (UE292) y su relleno (UE293)

Cortando este depósito se localizó una zanja con orientación E-W de dimensiones variables, con una altura máxima hacia el W de 49 cm y una anchura máxima en el centro de la cata de 3,71 m en su parte superior y 3,44 m en la base. Aparecía colmatada por un depósito arenoso con presencia de limos (probablemente material de arrastre), piedras de granito de diverso tamaño que no semejaban conformar ningún tipo de estructura, trozos de madera sin desbastar y alguna concentración de materia orgánica carbonizada.

Completaban la estratigrafía una serie de depósitos cuya formación fue interpretada como de origen natural, correspondientes a bandas de arenas y limos. La génesis de estos estratos se basaría en la sedimentación de elementos de arrastre fruto de acciones eólicas y acuáticas de manera alterna.

Estos bandeados fueron sellados por un nivel general de origen natural arenoso, de color gris claro, con algunas bolsadas limosas y manchas de óxidos de composición bastante homogénea (UE35), cuya superficie aparecía enrasada con el fin de alcanzar la cota necesaria para la construcción de la salina.

Respecto a las estructuras y elementos estratigráficos negativos presentes en el sondeo, cabe señalar que ya fueron documentados en anteriores intervenciones (CÉSAR VILA, 2008; IGLESIAS DARRIBA, 2007). El desmantelamiento con metodología arqueológica de los mismos permitió conocer la secuencia constructiva. Sobre el nivel de arena enrasado se dispusieron los distintos niveles de pavimento de las salinas, compuestos en su base por un preparado de gravas de cuarzo, granito y esquisto, sobre el que se localizaron los niveles superficiales realizados con arcilla.



Detalle de la concentración de piedras y madera formando parte del relleno de la zanja localizada en S3.



Detalle de la sección W de S3 donde se aprecia el corte de la estructura de combustión realizado sobre el pavimento de salina y la zanja excavada bajo el depósito sobre el que se construyeron las salinas

Sobre el pavimento de la salina se documentaron varios elementos interfaciales de destrucción datados en época bajoromana y tardorromana. Construida sobre un corte realizado sobre el pavimento de la salina (UE197) se localizó la estructura de combustión (UE196) probablemente perteneciente a un horno vidriero, reflejada en la sección W del sondeo. El sondeo, asimismo, ocupaba la fosa UE95 que cortaba parcialmente la boca de la estructura de combustión y la zanja del canal UE157.



Detalle del corte practicado a la estructura de combustión en S3



Detalle del depósito con carbones (UE346) localizado en el relleno de la zanja (UE292)

Estructuras

No fueron localizadas nuevas estructuras arqueológicas. Entre los elementos estratigráficos inéditos de origen antrópico se atestiguó la presencia de la zanja localizada bajo el

pavimento de las salinas. Este elemento interfacial de destrucción estaba colmatado por un estrato arenoso con presencia de limos, piedras de granito de tamaño diverso, trozos de madera sin desbastar y alguna concentración de materia orgánica carbonizada.



Vista desde el E de la zanja localizada en S3 (UE292) y su relleno (UE293) tras la ampliación de la cata de sondeo.



Vista desde el W de la zanja localizada en S3 (UE292) y su relleno (UE293) previamente a su excavación

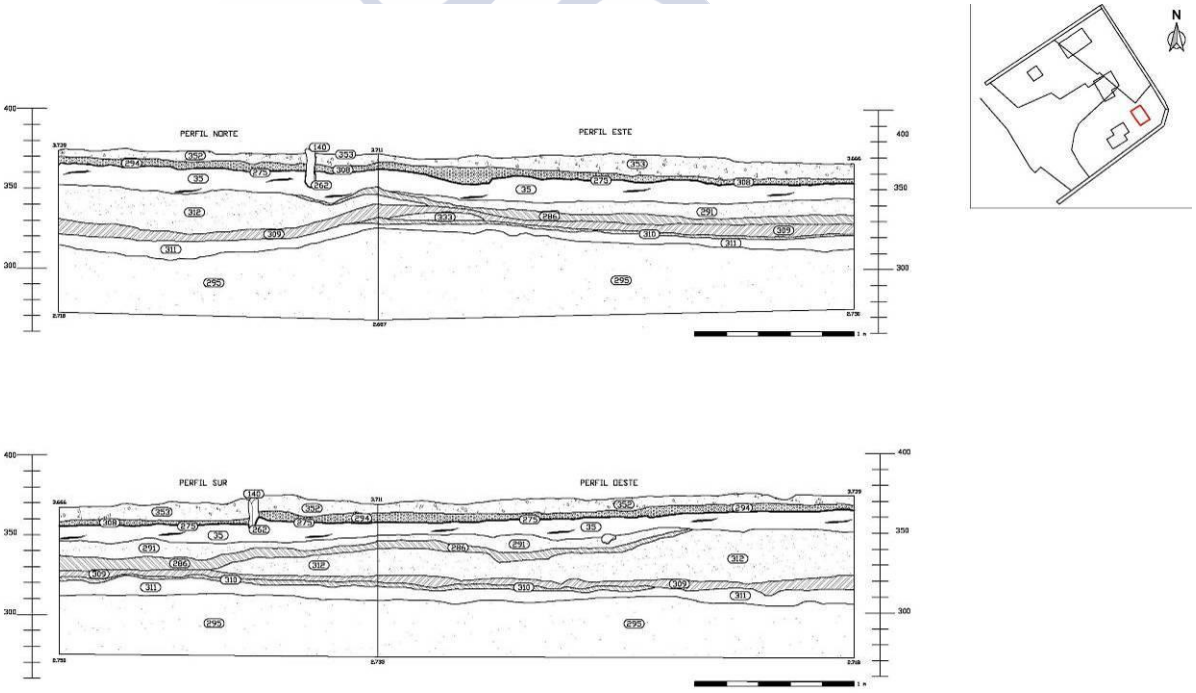


Vista desde el E de la zanja localizada en S3 (UE292)



Detalle de la sección W de S5 en la que se aprecia el corte de la zanja

CATA 4 (S4)



Secciones de la cata de sondeo S4

Estratigrafía

La estratigrafía aparecía compuesta por un nivel inferior de arena (UE295) que se interpretó como un nivel natural de playa, localizado en cada uno de los cinco sondeos por debajo del nivel freático.



Inicio de los trabajos de excavación de los pavimentos de salina en el Sondeo 4.



Vista desde el E de S4 una vez retirado el pavimento de salina.



Detalle del murete del tanque de salina (UE140) en el Sondeo 4 (Vista desde el E)

Sobre este depósito se documentaron diferentes niveles, de formación natural, correspondientes a bandas de arenas y limos. La origen de estos depósitos estaría relacionado con la sedimentación de elementos de arrastre fruto de acciones eólicas y acuáticas de manera alterna. Estos bandeados fueron sellados por un nivel general arenoso de origen natural de color gris claro, con algunas bolsadas limosas y manchas de óxidos de composición bastante homogénea (UE35) cuya superficie aparecía enrasada con el fin de alcanzar la cota necesaria para la construcción de la salina.



Sondeo 4 desde el S a la cota de la superficie del nivel de arena de playa original (UE295)

Respecto a las estructuras y elementos estratigráficos interfaciales presentes en el sondeo, se señaló que ya fueron documentados durante la intervención realizada en 2008. El desmantelamiento con metodología arqueológica de los mismos permitió discernir el modelo de secuencia constructiva. Sobre el nivel de arena enrasado se dispusieron primeramente los elementos pétreos de parcelación o delimitación de los tanques de cristalización de la salina. Las lajas que conformaban los muretes de los tanques UE150 se hincaron directamente sobre la arena. Adosados a las lajas se disponían dos niveles correspondientes al pavimento de las salinas, formados en su base por un preparado de gravas de cuarzo, granito y esquisto (UE308), sobre el que se localizaron los niveles superficiales compuestos por arcilla y limo (UE352-353).

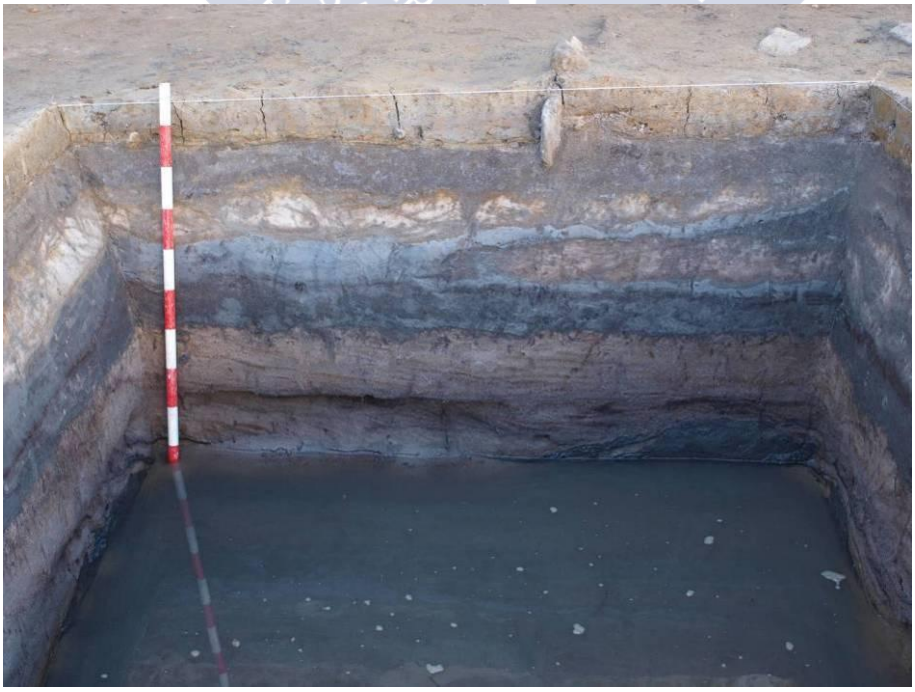
Finalmente, cortando las estructuras de la salina se documentaron en sección la base de un hueco de poste (UE150) así como en planta una fosa de expolio de las estructuras (UE141).



Sección N de S4, donde se aprecian los niveles naturales de playa, limo y duna. Sobre este último se hinca el murete de salina (UE140) al que se adosan el preparado de gravas y las arcillas que conforman el pavimento de los tanques

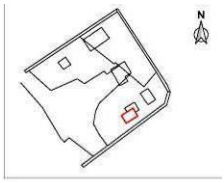
Estructuras

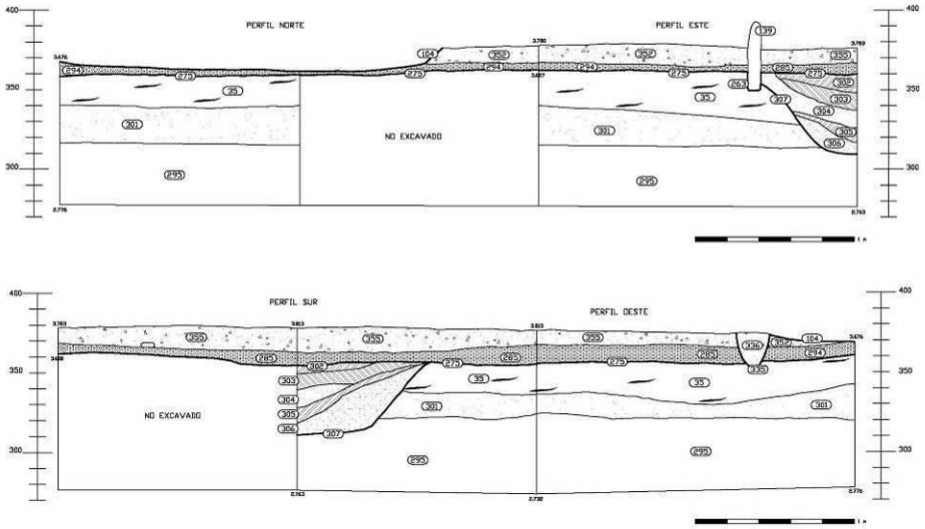
No fueron localizadas nuevas estructuras arqueológicas.



Sección S de S4 en la que se aprecia el murete de salina y las dos capas que conformaban el pavimento (UE140)

CATA 5 (S5)





Secciones de la cata de sondeo S5

Estratigrafía

La estratigrafía aparecía compuesta por un nivel inferior de arena (UE295) correspondiente a un nivel natural de playa, localizado en cada uno de los cinco sondeos por debajo del nivel freático. Sobre este estrato se dispusieron una serie de depósitos cuya formación se interpretó como de origen natural, correspondientes a bandas de arenas y limos. La génesis de estos estratos se basó en la sedimentación de elementos de arrastre fruto de acciones eólicas y acuáticas de manera alterna. Estos bandeados fueron sellados por un nivel general de origen natural arenoso de color gris claro, con algunas bolsadas limosas y manchas de óxidos de composición bastante homogénea (UE35) cuya superficie aparecía enrasada con el fin de alcanzar la cota necesaria para la construcción de la salina.

Cortando estos depósitos fue identificado un elemento estratigráfico negativo de 42 cm de profundidad (UE307), colmatado por varios bandeados alternos de arenas y limos.

Las superficies del nivel general UE35, así como la posible fosa UE307, aparecieron enrasadas con el fin de alcanzar la cota necesaria para la construcción de la salina.



Vista desde el S de S5 una vez retirada la parte superior del pavimento de la salina y el relleno de la cubeta (UE280, UE281, UE282, UE283, UE296 y UE 297)

Respecto a las estructuras y elementos estratigráficos negativos presentes en el sondeo, cabe señalar que varios de ellos fueron documentados en las anteriores intervenciones efectuadas en el solar. No obstante, fueron localizadas estructuras inéditas relacionadas con el complejo salinero, tales como una cubeta y un nivel de preparación del pavimento de la salina fabricado con arcilla y gravas de cuarzo, esquisto y granito de pequeño tamaño.

El desmantelamiento con metodología arqueológica de las estructuras documentadas en la intervención realizada en 2008 permitió conocer la secuencia constructiva. Sobre el nivel de arena y la posible fosa enrasados, se dispusieron primeramente los elementos pétreos de delimitación de los tanques de cristalización de la salina. Las lajas que conformaban los muretes de los tanques UE139, se hincaron directamente sobre la arena. En el ángulo NE del sondeo se localizó una cubeta de tipología y dimensiones similares a otras anteriormente documentadas, asociadas a los tanques de cristalización. La cubeta presentó forma cuadrangular en planta con un exterior de 90 cm de lado y 70 cm en el interior y una altura máxima de 30 cm. Las lajas que conformaban los laterales de la cubeta (UE280, UE281, UE282, UE283) aparecían dispuestas sobre el nivel natural de arena (UE35). La parte superior de las lajas coincidiría con la superficie del pavimento de la salina fabricado con arcilla. Este factor indica que la cubeta estaría ligeramente soterrada respecto a la cota superior del pavimento, de forma similar al de otras cubetas localizadas en el ámbito de Rosalía de Castro. En el interior de las mismas fueron adosados los elementos que conformarían la base de la cubeta, compuesta por un nivel de lajas dispuestas horizontalmente (UE297) sobre el que se disponía un aglomerado de pequeños guijarros

muy compactados (UE296). La cubeta aparecía sellada por un depósito compuesto por aportes de la capa superior de arcilla del pavimento, apenas diferenciado físicamente de éste en planta.



Vista desde el N de la cubeta localizada en S5 una vez retirado el sedimento que la cubría



Sección S de S5 en la que se aprecian los niveles de duna bajo el preparado de gravas y las arcillas que conforman el pavimento

Adosados a las estructuras pétreas anteriormente descritas se disponían los distintos niveles de pavimento de las salinas. La superficie situada al N del tanque estaba cubierta por un compuesto de arcilla y gravas de cuarzo, esquisto y granito de diferentes tamaños (2 cm las más pequeñas y 10 cm las más grandes). Presentaba una concentración de gravas más alta que la correspondiente al resto de los sondeos donde fue desmontada la base de las salinas. La superficie situada al S del murete mostraba sin embargo una base compuesta

de arcilla y gravas de cuarzo de pequeño tamaño. Sobre estos niveles de base, fueron localizados los niveles superficiales de la salina formados por arcilla.

Sobre el pavimento de la salina se documentaron varios elementos interfaciales de destrucción datados en época tardorromana, concretamente la fosa UE105 y la zanja UE113, ambas conectadas. Asimismo fue necesario proceder al desmontaje de la estructura del canal UE106-UE107, documentada en la intervención realizada en 2008, con el fin de proceder a la ampliación del sondeo hacia el NE, actuación solicitada por los técnicos de las diferentes administraciones con competencia en materia patrimonial.



Vista desde el S de S5 una vez retirada la parte superior del pavimento de la salina en la parte ampliada y el relleno de la cubeta



Vista ortogonal de la cubeta localizada en S5, una vez retirada la parte superior del pavimento de la salina

Estructuras

Fueron localizadas estructuras inéditas relacionadas con el complejo salinero, correspondientes a una cubeta y a los niveles de preparación del pavimento de la salina fabricados con arcilla y gravas de cuarzo, esquisto y granito de pequeño tamaño.



Detalle del preparado del pavimento de salina compuesto por piedra menuda y gravas de granito, esquisto y cuarzo (UE294)



Estado final de S5, sección E. Las estructuras pétreas de la salina se asentaban sobre el nivel de duna

VALORACIÓN

El análisis de los restos localizados en los sondeos arqueológicos manuales, permitió establecer las siguientes conclusiones:

1. Fue localizado un depósito general interpretado como un nivel natural de playa, localizado en cada uno de los cinco sondeos por debajo del nivel freático. Su disposición sigue la caída natural del terreno hacia la costa, apareciendo a cotas más profundas en los sondeos más próximos al mar (1 y 2) y a menor profundidad hacia el interior (sondeos 3, 4 y 5).



Detalle de la concentración de piedras y madera formando parte del relleno de la zanja localizada en S3

2. Sobre este depósito, en el ángulo NW del sondeo 1, fue localizada una pequeña concentración de lajas de granito de tamaño medio, sin disposición aparentemente definida. En el sondeo 3, cortando este depósito natural, fue localizada una zanja con orientación E-W de dimensiones variables, colmatada por un depósito arenoso con presencia de limos (probablemente material de arrastre), piedras de granito de diverso tamaño que no conformaban ningún tipo de estructura, trozos de madera sin desbastar y alguna concentración de materia orgánica carbonizada.

3. Sobre estos elementos estratigráficos se documentaron diferentes niveles de formación natural compuestos por bandeados de arena y limo. La formación de estos estratos correspondería con la sedimentación de elementos de arrastre fruto de acciones eólicas y acuáticas de manera alterna.

4. Estos depósitos fueron sellados por un estrato de arena limpia, interpretado como un nivel general de duna, cuya superficie aparecía enrasada con el fin de alcanzar la cota necesaria en la que se debían distribuir las salinas.



Sondeo 4 desde el S a la cota de la superficie del nivel de arena de playa original (UE295)



Detalle del preparado del pavimento de salina compuesto por piedra menuda y gravas de granito, esquisto y cuarzo (UE294)

5. Cortando estos depósitos fue localizado un corte en el sondeo 5 colmatado por varios bandeados alternos de arenas y limos.

6. Respecto a las estructuras y elementos estratigráficos negativos de adscripción romana, bajo y tardorromana sobre los que se distribuyeron los cinco sondeos, cabe señalar que la mayor parte de ellos fueron documentados en la excavación arqueológica en área desarrollada en 2008 y algunos de ellos durante la intervención realizada entre 2006 y 2007 en la parte NE de la parcela. La realización de los sondeos permitió completar la información estratigráfica relativa al proceso constructivo de las diferentes estructuras que conforman el complejo salinero.

Asimismo se señaló la localización de estructuras inéditas relacionadas con el conjunto salinero de época romana, correspondientes a una cubeta y a los niveles de preparación de los pavimentos de la salina, fabricados con arcilla y gravas.

7. El material arqueológico recogido durante los trabajos de sondeo presentaba de manera general, un alto grado de fragmentación y rodaje.

4.3. PLANTEAMIENTO METODOLÓGICO DE LOS TRABAJOS ARQUEOLÓGICOS

4.3.1. INTRODUCCIÓN

EXCAVACIÓN EN ÁREA



Vista general de los trabajos desarrollados en la Parcela 4 desde el W a fecha de 11-08-08

La excavación en área de la Parcela 4 se realizó mediante la división del proceso en dos fases:

- Decapaje de los estratos superiores del terreno bajo control arqueológico en toda la superficie de la Parcela 4 mediante el rebaje uniforme de capas de 20-40 cm de grosor, hasta alcanzar los niveles de marisma que contienen restos arqueológicos, cota a partir de la que comenzó la excavación manual. Esta fase fue iniciada el 21 de julio de 2008 y finalizó el 1 de agosto de 2008. Durante la semana del 28 de julio, al 1 de agosto, fueron combinados los trabajos mecánicos y manuales.

- Excavación arqueológica manual de los niveles arqueológicos que definen el yacimiento. Se tomó como punto central los lugares donde los sondeos localizaron estructuras romanas, extendiendo la excavación en área hasta agotar la potencialidad arqueológica del solar. La fase de excavación manual fue iniciada el 28 de julio de 2008 y finalizó el 19 de septiembre

de 2008.



Vista desde el E a fecha de 130808



Vista general desde el N a fecha de 26 de agosto de 2008

AMPLIACIÓN DE LOS TRABAJOS: CATAS DE SONDEO MANUALES

El objeto de los trabajos realizados consistió en la evaluación de la potencialidad arqueológica de la parcela por debajo de la cota alcanzada, mediante la realización de cinco sondeos representativos distribuidos en la totalidad de la parcela por debajo del pavimento de salinas, en la superficie no alterada por los sondeos realizados en actuaciones anteriores. Para ello fue necesario el desmantelamiento con medios manuales y metodología arqueológica, de las estructuras arqueológicas localizadas en la superficie en la que fueron planteados los sondeos.

Se efectuó un registro gráfico y planimétrico completo y exhaustivo de todas las estructuras arqueológicas existentes.

Para el reconocimiento del subsuelo de la parcela por debajo del pavimento de salinas se planteó un programa de sondeo con medios manuales basado en la apertura de cinco catas, una de 2x2 m (S1), una de 3x5 m (S2) y tres de 2x3 m (S3, S4 y S5) -de cuya situación se presenta plano adjunto-, consideradas suficientemente representativas de cara a obtener un conocimiento de su potencialidad arqueológica. Los aspectos relativos a su situación, dimensiones, profundidad alcanzada, así como metodología, fueron consensuados con los técnicos de la administración competente en materia patrimonial. Cabe señalar que dos de estas catas (S3 y S5) fueron ampliadas durante la realización de los trabajos, debido a la localización de restos arqueológicos inéditos, con el fin de completar la información sobre los mismos a petición de los técnicos de las diferentes administraciones con competencia en materia patrimonial.

CATA 1 (S1)

Localización

Se situó en la zona NW de la parcela sobre el pavimento de salinas. En este sector el pavimento se encontraba parcialmente arrasado en superficie, con apenas 2 cm de potencia en algunas zonas. Únicamente se conservaba su preparado inferior, compuesto por gravas de cuarzo, granito y esquisto, no documentándose su capa superior compuesta por arcillas y limos.



Estado previo a la excavación del Sondeo 1 (Vista desde el N)

Dimensiones

Presentó planta cuadrangular con unas dimensiones de 2x2 m. Su cota máxima superior se

situó a 3,95 m y la inferior a 2,95 m (diferencia de 1,00 m).



Rebaje del pavimento de salina en S2

CATA 2 (S2)

Localización

Se situó en la zona N de la parcela sobre tres unidades estratigráficas diferenciadas correspondientes a pavimentos de salinas (UE34, UE78 y UE90), varias estructuras pertenecientes al complejo salinero (estructura UE249-UE250), restos de la estructura UE217-UE251, restos de la estructura UE248, cubeta de la salina UE244-245), así como varias zanjas de expolio de estas estructuras pétreas.



Estado previo a la excavación del Sondeo 2 (Vista desde el N)

Dimensiones

Presentó planta rectangular con unas dimensiones de 3x5 m y una orientación SW-NE. Su cota máxima superior se situó a 3,90 m y la inferior a 2,74 m (diferencia de 1,16 m).

CATA 3 (S3)

Localización

Se situó en el centro-E de la parcela sobre el pavimento de salina, la estructura de combustión posiblemente perteneciente a un horno vidriero (UE204), sobre la fosa UE95 y sobre la zanja UE157.



Estado previo de la excavación en el Sondeo 3 (Vista desde el E)

Dimensiones

Presentó unas medidas de 2x3 m, con una orientación NW-SE. Debido a la localización de restos de una zanja bajo el pavimento de la salina fue necesario ampliar el sondeo hacia el NE a petición de los técnicos de las diferentes administraciones con competencia en materia patrimonial, abriéndose una superficie total máxima de 4x3,5 m, presentando planta final en L. Su cota máxima superior se situó a 3,80 m y la inferior a 2,96 m (diferencia de 0,84 m).

CATA 4 (S4)

Localización

Se situó en el cuadrante E de la parcela sobre el pavimento de salina, el murete de tanque de salina UE140 y sobre la fosa UE141.

Dimensiones

Presentaba planta rectangular con unas dimensiones de 3x2 m y una orientación NW-SE. Su cota máxima superior se situó a 3,75 m y la inferior a 2,66 m (diferencia de 1,09 m).



Estado previo a la excavación del Sondeo 4 (Vista desde el E)

CATA 5 (S5)

Localización

Se dispuso en el centro-S de la parcela sobre el pavimento de salina, el murete de tanque de salina UE139, la fosa UE105 y sobre la zanja UE113.

Dimensiones

Inicialmente de 2x3 m, con una orientación NE-SW. Debido a la localización de una cubeta de salina inédita, así como la base de preparación del tanque de salina, fabricada con piedras de granito de pequeño tamaño, fue necesario ampliar el sondeo hacia el N a

solicitud de los técnicos de las diferentes administraciones con competencia en materia patrimonial, abriéndose una superficie total máxima de 4x3 m con planta en S.



Estado previo a la excavación del Sondeo 5 (Vista desde el S)

4.3.2. REGISTRO ESTRATIGRÁFICO

El registro estratigráfico se realizó siguiendo los esquemas del método Harris (HARRIS, 1991). Para la gestión y tratamiento de la información resultante de la intervención arqueológica se utilizaron los programas Proleg MatrixBuilder (Id. Liencia 48725) y Proleg StratiGraf 6.0 Pro (Id. Licencia 152778), especialmente diseñados para ello.

EXCAVACIÓN EN ÁREA

La intervención afectó a la totalidad de la Parcela, dotada de una superficie de 633 m2, hasta localizar las estructuras correspondientes a las salinas romanas. La remoción de tierras se efectuó siguiendo la secuencia estratigráfica del yacimiento.

Se identificaron, numeraron y documentaron todos los niveles localizados, así como todas las estructuras aparecidas.

Cada elemento estratigráfico fue numerado y clasificado con como una ficha de identificación y registro propia, siendo relacionados con una secuencia cronoestratigráfica general.

Se procedió a la recogida de los objetos muebles, que fueron individualizados por unidades estratigráficas, saneados, clasificados y embalados de manera preventiva.

Se documentaron exhaustivamente los restos arqueológicos inmuebles aparecidos, tanto a nivel escrito como gráfico (topografía, dibujo y fotografía), tanto de plantas como de sección y alzado.

AMPLIACIÓN DE LOS TRABAJOS: CATAS DE SONDEO MANUALES

La técnica de excavación empleada fue la habitual en este tipo de actuaciones arqueológicas. Primeramente se procedió al desmontaje de las estructuras de la salina de manera inversa a la cual fue construida, prestando especial atención a las relaciones estratigráficas entre los distintos elementos así como a la localización de restos materiales que pudieran formar parte de las mismas. Posteriormente, el rebaje de los distintos niveles estratigráficos se efectuó hasta la localización de nuevos elementos estratigráficos antrópicos, así como de los niveles de arena situados bajo la superficie de playa original equiparable al horizonte localizado en la Parcela 10, en el que se documentaron restos pétreos pertenecientes a una posible estructura desmantelada. De esta manera, se trabajó por debajo del nivel freático existente, para lo que fue necesario el uso continuo de bombas de succión, llegándose en todos los sondeos a los niveles naturales de playa.

Se documentaron exhaustivamente los restos arqueológicos aparecidos, tanto a nivel escrito como gráfico (topografía, dibujo y fotografía), tanto de plantas como de secciones.

4.3.3. DOCUMENTACIÓN PLANIMÉTRICA Y TOPOGRÁFICA

La función de la medición además de la del registro y documentación espacial estratigráfica y de materiales, pretendió complementar de modo diacrónico, el análisis de los diferentes restos conservados y documentados, una vez agotada la potencia arqueológica, partiendo de la consideración de que en arqueología la cartografía de detalle puede aportar datos significativos, pues define la representación volumétrica y espacial de manera gráfica y permite su apreciación e interpretación en cuanto a dimensiones, estructuras y orientación de los restos de construcciones en su origen, con precisión milimétrica.

El propósito de las labores que se describen fue el de obtener el plano topográfico que define el terreno en estudio a partir de la obtención de las coordenadas de una serie de puntos que permitieron en gabinete, una representación gráfica a escala del área del yacimiento, generando la cartografía correspondiente para el área de intervención.

Se procedió a la medición del terreno, tanto de la planimetría o control horizontal, así como en la altimetría o control vertical, diferencias de altura o cotas, lo que permitió representar

las dimensiones del terreno en una forma precisa como es una proyección vertical del relieve del suelo a través de curvas de nivel.

Partiendo de la necesidad de que para un correcto estudio del terreno es necesaria la elaboración de su planimetría y altimetría simultáneas se tomaron los datos correspondientes de su geometría y altitud, realizando así un levantamiento taquimétrico o completo.

Un levantamiento topográfico es una representación gráfica que cumple con todos los requerimientos necesarios para ubicar las estructuras conservadas así como los acondicionamientos del terreno para asentar y materializar la obra, ya que éste proporciona una representación completa, tanto del terreno en su relieve como de las obras existentes. De ésta manera, es una herramienta útil para observar las formas más funcionales así como pendientes y relieves del terreno.

Para cada dibujo se indican los datos pertinentes para su interpretación: nombre del yacimiento, código de la intervención, sector área o ámbito, unidades estratigráficas (UE) representadas y cotas absolutas sobre el nivel del mar.

Para el inicio de las labores de medición se procedió al estacionamiento a partir de las fichas con los puntos base, depositados en el Concello de Vigo y la Delegación Provincial de Cultura e Deporte de Pontevedra, en formato U.T.M. correspondientes al geoide WS84 y huso 30.

Las coordenadas de estos puntos situados en la calle García Barbón, de los cuales adjuntamos las fichas correspondientes en el anexo grafico son:

- 031 García Barbón

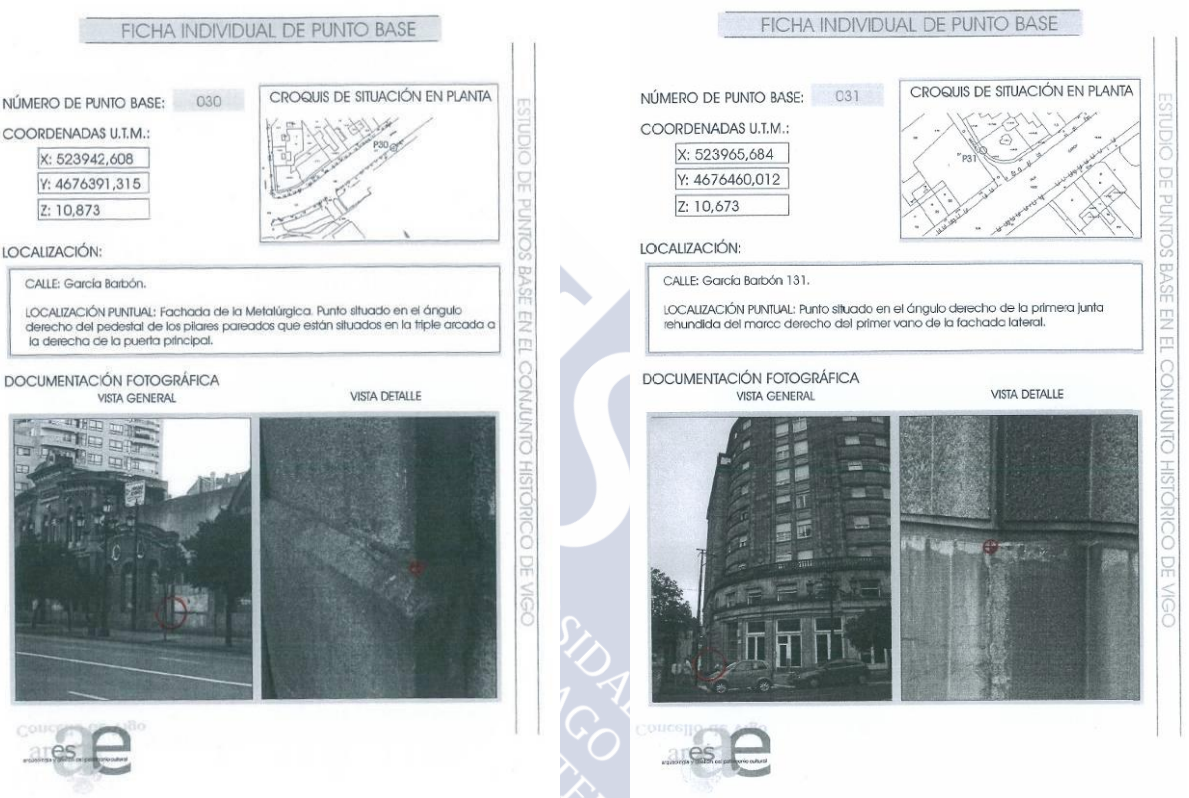
- 030 García Barbón Metalúrgica

Fue necesaria una meticulosa elección para el posicionamiento de las bases, dadas las circunstancias del entorno, en constante variabilidad por el desarrollo de las obras. Se ubicaron bases de apoyo que por el método de la trisección antes mencionado, permitieron la obtención de bases en cualquier punto del yacimiento teniendo en cuenta la intervisibilidad de las mismas, cuya situación se presenta en plano adjunto y coordenadas se señalan a continuación:

- E5: X: 523905,915 - Y: 4676487,360 - Z: 6,654.

- E6 X: 523916,739 - Y: 4676465,647 - Z: 6,776.

Para el Transporte de coordenadas se empleó el programa de Estación libre del Taquimétro Leica 407 TCR, mediante el método de trisección que permite calcular las coordenadas de posición y cota a partir de dos puntos conocidos y conocer el tercer vértice de un triangulo a partir de la medición de los otros dos. Dicho vértice una vez definido, permite repetir la operación para ubicar las bases necesarias para efectuar la medición geométrica del solar a partir de un itinerario cerrado y orientado.



Fichas de punto base utilizadas en las tareas de medición

Una vez obtenidas las bases se procedió a definir el perímetro del solar intervenido, delimitado en tres de sus lados por el muro pantalla y por el solar adyacente en su lado W, componiendo un paralelepípedo.

Asimismo, como apoyo a todos los puntos mencionados, se tomaron referencias de los solares adyacentes en obra, en aras de facilitar la lectura e interpretación como referencia.

A partir de estas se procedió a la medición geométrica del yacimiento, obteniendo la red de relleno que complementa a las líneas de quiebro o rotura, necesarias para la obtención de los polígonos, a semejanza del terreno.

El método de radiación se utiliza como herramienta para la captura de los datos del taquimétrico. Este método consiste en la medición desde cada una de las estaciones de los puntos que, siendo visibles desde la estación anterior, permitan definir las curvas de nivel que conforman el terreno.

Con la radiación se obtuvieron datos con precisión milimétrica de distancias y ángulos de los puntos requeridos, con los cuales será posible realizar los cálculos de coordenadas para cada punto.

Con el levantamiento topográfico realizado, se trazaron los perfiles longitudinales para obtención de la documentación gráfica que permitió apreciar sus características geográficas.

La nominación de las capas se realizó en función del registro de Unidades Estratigráficas, generando capas para cada UE y realidad sincrónica, lo que permite la completa compatibilidad con el software.

Para la toma de puntos se emplearon dos prismas una de constante 0.0 y otro 17.5, además de la tecnología láser de reflexión directa (pin point).

Este levantamiento complementó con los planos entregados por la empresa promotora:

REPLANTEO VIALES.dwg

ROSALIA CASTRO-URB-3110205.dwg

INFORME PRELIMINAR-VB1.dwg

4.3.4. REGISTRO FOTOGRÁFICO

Se realizó el registro fotográfico en formato digital de alta resolución del estado previo de la zona, del desarrollo de los trabajos, de las estructuras y evidencias estratigráficas localizadas y del estado final tras la intervención, con fotografía en altura incluida. Asimismo se realizó el fotografiado de los materiales representativos objeto de estudio en laboratorio. Para ello se utilizó una cámara Olympus modelo E-420 con objetivo digital de 14-42 mm (0.25 m/0.82 ft-∞).

4.3.5. MATERIALES ARQUELÓGICOS

4.3.5.1. TRATAMIENTO DE LOS MATERIALES MUEBLES

Los objetos localizados se individualizaron por UE en bolsas diferenciadas en virtud del tamaño, material, fragilidad, singularidad, etc.

Cada caja o bolsa existe una identificación básica: nombre del yacimiento, código de intervención, sector o área si es el caso y UE.

La cerámica fue guardada en bolsas de plástico de diversas medidas y éstas en cajas herméticas.

El material constructivo se cuantificó en la propia excavación y tan solo se guardó una muestra significativa o aquellas piezas que mostrasen alguna singularidad.

El metal, vidrio y la materia orgánica trabajada se individualizó dentro de cajas de tapa hermética y éstas dentro de recipientes herméticos de plástico.





Clasificación del material latericio en campo y extracción de material localizado *in situ*

4.3.5.2. ESTUDIO DE MATERIALES

Para el estudio de los materiales cerámicos fue realizado un inventario previo de las piezas y fragmentos recogidos. La sigla hace referencia al lugar de intervención (Rosalía de Castro, Parcela 4), al año de inicio de los trabajos (2008)[32], a la UE de procedencia y al número

[32] Se utilizó el año de referencia 2008 incluso para los materiales recogidos en los sondeos efectuados en 2009. Esta circunstancia estuvo motivada por la utilización del soporte informático Proleg StratiGraf, que no reconoce la equiparación de unidades estratigráficas excavadas en diferentes intervenciones.

correlativo de fragmento o pieza en caso de estar compuesta por varios fragmentos (RC-4-08-01-01). Se utilizó una base de datos individualizada en función de la naturaleza del material o de la producción cerámica. Esta circunstancia responde al hecho de que no todos los tipos de materiales ni todas las producciones cerámicas necesitan los mismos campos de referencia o clasificación.

De esta manera el inventario fue hecho a partir de doce bases de datos en las que permitieron la clasificación de la terra sigillata, cerámica común romana, ánfora, material de construcción, cerámica moderna, materiales numismáticos, metálicos, líticos, óseos, vidrio, otros tipos de materiales y cerámica indeterminada.

Los campos comunes a todos los materiales contemplan la sigla, intervención de procedencia, naturaleza del material o soporte, cronología, UE, forma, descripción formal y observaciones. Se añadieron campos en el inventario de las producciones cerámicas que presentan elementos de información adicionales (diámetro de borde y base, tipo de pasta, acabado, técnica y motivos decorativos, marca o graffiti y observaciones).

El estudio de los materiales cerámicos fue realizado mediante la división en las siguientes fases:

Descripción y análisis formal. A partir del corpus de materiales recogido en el inventario general de piezas y del catalogo de materiales adjunto, en el que se incluye la información tecnotipológica básica de cada fragmento, se procedió al análisis comparativo de las diferentes características de cada pieza con el fin de realizar la caracterización formal. Tras este estudio previo se procedió a la presentación de un análisis estadístico básico con los resultados cuantitativos y porcentuales que permitió obtener una visión de conjunto de las tradiciones cerámicas presentes en el yacimiento.

Interpretación y contextualización. Los resultados obtenidos permitieron de manera efectiva la contrastación con los repertorios cerámicos conocidos tanto en contextos locales como regionales así como de los pertenecientes al comercio a larga distancia, a través de la correlación con las secuencias estratigráficas, las dataciones disponibles y el método tipológico comparativo

4.3.5.3. ALMACENAMIENTO DEL MATERIAL ARQUEOLÓGICO

Todos los materiales arqueológicos recuperados fueron siglados e inventariados. La sigla incorpora el número de código, la referencia estratigráfica y el número de pieza.

Una vez siglado, dibujado, fotografiado, inventariado, catalogado y estudiado, el material arqueológico fue guardado para su almacenamiento definitivo.

Los metales, vidrios y materiales orgánicos se guardaron en recipientes de plástico herméticos, individualizando aquellos que deban ser restaurados.

Los materiales dibujados y que forman parte del catálogo de la memoria técnica, se individualizaron en cajas separadas.

Tras el proceso de tratamiento, siglado, clasificación y estudio, el material arqueológico recuperado, fue depositado en el Museo Quiñones de León de Vigo, lugar determinado por la Dirección Xeral de Patrimonio Cultural.

4.3.6. TOMA DE MUESTRAS

Se realizó la toma de todas las muestras que se consideraron oportunas para su posterior análisis. Se planteó el muestreo en campo fundamentalmente orientado a posteriores analíticas de antracología y carpología, que permitieron la realización de estudios arqueobotánicos, no centrado en su análisis para datación, debido a que el abundante material arqueológico registrado durante la intervención, permitió aportar datos cronológicos más precisos para cada una de las fases de ocupación detectadas. Las muestras fueron embaladas adecuadamente e identificadas externamente.

Metodológicamente, se decidió realizar una recogida intensiva de muestras de sedimentos y carbones procedentes del relleno de negativas (agujeros de postes, fosas, zanjas, etc) debido al interés contextual de los macrorrestos vegetales y carporrestos. Para otro tipo de depósitos únicamente se tomaron muestras de carbón aleatorias o aisladas.

Asimismo se tomaron cuatro muestras dirigidas a efectuar análisis de contenido: 3 de recipientes cerámicos que presentaban adherida materia orgánica carbonizada (MU-018, MU-020 y MU-021) y una del sedimento localizado en el interior de una vasija, que fue recogida durante el proceso de levantamiento de la pieza al retirar su parte superior (MU-031), una de arcilla rubefactada (MU-041) y otra de fragmentos de hueso y dientes destinada a estudios de paleofauna (MU-036).

Se registraron, por tanto, 6 tipos de materiales:

-Sedimento.

-Carbones.

-Restos de madera sin carbonizar, en muy mal estado en los dos casos muestreados (MU-001 y MU-009).

-Semilla (MU-021).

-Hueso y dientes (MU-036).

-Arcilla rubefactada (MU-041).



Muestra MU001



Muestra MU003

En cuanto a la relevancia de las muestras recogidas se establecieron tres niveles:

-Alta: Fundamentalmente de aquellos sedimentos y carbones procedentes del depósito de colmatación de estructuras selladas por la UE089, nivel de abandono de las salinas. También resultaron ser preferentes para su estudio aquellas muestras que permitiesen realizar análisis de contenidos, así como las recogidas de los depósitos que colmataban la estructura de combustión dcoumentada, por su alto contenido en materia orgánica, a pesar de estar cubierta por la UE013. También fue el caso de un gran fragmento de madera carbonizada localizada en el depósito de colmatación de una fosa cubierta por la UE013 (MU-023).

-Media: Sedimentos o carbones que colmataban estructuras selladas por niveles más recientes al nivel de abandono de las salinas como la UE013, la UE162 y muestras de carbones de gran volumen concentrados procedentes de improntas aisladas en grandes depósitos.

-Baja: Carbones aislados de mediano o pequeño módulo retirados en pequeños paquetes, procedentes de la UE013, cuyo escaso volumen no las hizo prioritarias.

Todas las muestras son descritas en relación con la estratigrafía y las estructuras de contexto, las condiciones de recogida, realizándose una colección fotográfica de las tierras y carbones.

Nº	Fecha	Sector	UE	Material	Destino	Coordenadas	Foto	Valoración	Observaciones
MU-001	20-08-08	Norte	013	Madera con carbones	Antracología	Sí	Sí	Media	Escasa presencia de madera sin carbonizar.
MU-002	20-08-08	Norte	013	Carbones	Antracología	Sí	No	Baja	Volumen muy escaso tras criba.
MU-003	20-08-08	Norte	013	Carbones	Antracología	Sí	Sí	Baja	Volumen muy escaso tras criba.
MU-004	21-08-08	Central	116	Sedimento	Antracología	Sí	Sí	Media	
MU-005	21-08-08	Central	118	Sedimento	Antracología	Sí	Sí	Alta	
MU-006	21-08-08	Central	120	Sedimento	Antracología	Sí	Sí	Alta	
MU-007	21-08-08	Central	124	Sedimento	Antracología	Sí	Sí	Alta	
MU-008	26-08-08	Norte	089	Carbones	Antracología	Sí	No	Media	
MU-009	27-08-08	Norte	102	Mardera con carbones	Antracología	Sí	Sí	Alta	Escasa presencia de madera sin carbonizar.
MU-010	28-08-08	Norte	146	Sedimento	Antracología	Sí	Sí	Alta. Prioritaria	
MU-011	28-08-08	Norte	151	Sedimento	Antracología	Sí	Sí	Alta	
MU-012	28-08-08	Norte	149	Sedimento	Antracología	Sí	Sí	Alta	
MU-013	28-08-08	Norte	153	Sedimento	Antracología	Sí	Sí	Media	
MU-014	28-08-08	Norte	143	Sedimento	Antracología	Sí	Sí	Media	
MU-015	29-08-08	Norte	158	Sedimento	Antracología	Sí	Sí	Media	
MU-016	29-08-08	Norte	156	Sedimento	Antracología	Sí	Sí	Alta	
MU-017	29-08-08	Central	013	Carbones	Antracología	Sí	No	Alta	Carbones sobre cerámica
MU-018	1-09-08	Norte	102	Carbones	Antracología y análisis de contenido	Sí	No	Alta	Carbones sobre cerámica
MU-019	1-09-08	Norte	164	Sedimento	Antracología	Sí	Sí	Media	
MU-020	1-09-08	Central	088	Carbones	Antracología y análisis de contenido	Sí	No	Alta	Carbones sobre cerámica.Posibles restos de semilla
MU-021	1-09-08	Central	088	Semilla	Carpología	Sí	No	Alta	
MU-022	4-09-08	Norte	181	Sedimento	Antracología	Sí	Sí	Media	
MU-023	4-09-08	Norte	181	Carbones	Antracología	Sí	No	Alta	
MU-024	8-09-08	Norte	184	Carbones	Antracología	Sí	No	Media	
MU-025	9-09-08	Norte	189	Sedimento	Antracología	Sí	Sí	Media	
MU-026	9-09-08	Norte	191	Sedimento	Antracología	Sí	Sí	Media	
MU-027	9-09-08	Norte	193	Sedimento	Antracología	Sí	Sí	Media	
MU-028	9-09-08	Norte	199	Sedimento	Antracología	Sí	No	Media	
MU-029	9-09-08	Norte	089	Carbones	Antracología	Sí	No	Media	
MU-030	10-09-08	Norte	197	Sedimento	Antracología	Sí	Sí	Media	
MU-031	10-09-08	Central	089	Sedimento	Análisis de contenido	Sí	Sí	Alta	Muestra tomada del interior de un recipiente cerámico
MU-032	11-09-08	Central	202	Sedimento	Antracología	Sí	Sí	Media	
MU-033	12-09-08	Norte	200	Carbones	Antracología	Sí	No	Media	
MU-034	12-09-08	Norte	200	Sedimento	Antracología	Sí	Sí	Media	
MU-035	12-09-08	Norte	176	Carbones	Antracología	Sí	No	Media	
MU-036	12-09-08	Norte	176	Hueso y dientes	Fauna	Sí	No	Media	
MU-037	15-09-08	Norte	220	Sedimento	Antracología	Sí	Sí	Alta	
MU-038	15-09-08	Norte	223	Sedimento	Antracología	Sí	Sí	Alta	
MU-039	17-09-08	S	239	Sedimento	Antracología	Sí	Sí	Media	
MU-041	19-09-08	Norte	212	Arcilla rubefactada		Sí	Sí	Media	

Listado de muestras recogidas

4.4. TRABAJOS REALIZADOS Y RESULTADOS

4.4.1. OBJETIVOS

El objetivo de las intervenciones realizadas consistió en la excavación en área, así como el reconocimiento del subsuelo por debajo de los pavimentos de salinas mediante la realización de sondeos manuales, de la Parcela 4 de la U.A. I-06 Rosalía de Castro 2 de Vigo (Pontevedra), sita dentro del contorno del yacimiento arqueológico Pontevedra-Areal, bien catalogado por el *Planeamento Municipal do Concello de Vigo*, a fin de obtener información acerca de la configuración, cronología y significado de los restos arqueológicos parcialmente documentados en intervenciones anteriores.

EXCAVACIÓN EN ÁREA

El área sujeta a evaluación patrimonial corresponde a la superficie de la Parcela 4 de la U.A. I-06 Rosalía de Castro 2 de Vigo. Presenta una superficie de 633 m² con forma rectangular en planta, orientada en dirección SW-NE. Previamente al inicio de la intervención se efectuó la construcción de un muro pantalla perimetral, que delimitó al ámbito de actuación en sus lados NW, NE y SE. El lado SW limita con la Parcela 3 de la U.A. I-06 Rosalía de Castro 2 de Vigo, sujeta también a cautela arqueológica y sobre la cual se desarrollaron trabajos de excavación arqueológica en 2008[33] de manera coetánea a los efectuados en la Parcela 4.

Una vez finalizada la construcción del muro pantalla, se procedió a la excavación en área de la parcela. Para ello se dividió el proceso en dos fases.

La primera fase consistió en el decapaje de los estratos superiores del terreno bajo control arqueológico en toda la superficie de la Parcela 4 mediante el rebaje uniforme de capas de 20-40 cm de grosor, hasta alcanzar los niveles que contienen restos arqueológicos, cota a partir de la que comenzó la excavación manual. Esta fase fue iniciada el 21 de julio de 2008 y finalizó el 1 de agosto de 2008. Durante la semana del 28 de julio, al 1 de agosto, fueron combinados los trabajos mecánicos y manuales.

La segunda fase consistió en la excavación arqueológica manual de los niveles arqueológicos que definen el yacimiento. Esta fase de excavación manual fue iniciada el 28 de julio de 2008 y finalizó el 19 de septiembre de 2008.

[33] Dichos trabajos fueron dirigidos por la arqueóloga María J. Iglesias Darriba, a quien agradecemos la información facilitada relativa a los resultados obtenidos en intervenciones anteriormente realizadas, así como de las desarrolladas durante la ejecución de los trabajos objeto de la presente memoria.

AMPLIACIÓN DE LOS TRABAJOS: CATAS DE SONDEO MANUALES

El objetivo de la intervención realizada en marzo de 2009 consistió en la evaluación de la potencialidad arqueológica de la Parcela 4 de la U.A. I-06 Rosalía de Castro 2 de Vigo (Pontevedra), por debajo de la cota alcanzada en la excavación en área efectuada en 2008, mediante la realización de cinco sondeos representativos, distribuidos en la superficie de la parcela no alterada por actuaciones anteriores y excavando los niveles existentes por debajo del pavimento de salina. Para ello fue necesario el desmantelamiento con medios manuales y metodología arqueológica de las estructuras localizadas en la superficie en la que fueron planteados los sondeos.

4.4.2. RELACIÓN DE UNIDADES ESTRATIGRÁFICAS

UE 1

Definición Depósito

Interpretación Relleno de nivelación compuesto por escombro depositado en junio y julio de 2008 para facilitar el acceso a los solares de la maquinaria necesaria para la construcción de los muros pantalla. Aparecía compuesto por material de escombro: teja, piedra, ladrillo, basura, etc. Su potencia fue variable, siendo la media de 1 m. En planta ocupaba la superficie del solar de 633 m².

Datación	2.008
Color	Variable
Compactación	Alta
Composición	Tierra suelta, piedras de granito de variadas dimensiones, ladrillo, teja, hierros, etc...
Dimensiones[34]	En planta ocupa las dimensiones del solar, 633 m². Potencia media de 1 m.
Frecuencia de hallazgos	No se encontraron materiales arqueológicos.
Sector	Norte, NW, Central, S y SE
Cubre a (Estrato)	2-63
Se apoya en (Estructura)	4
Cubre a (Negativa)	6-3

UE 2

Definición Depósito

Interpretación Relleno de escombro realizado con motivo del acondicionamiento de los solares para efectuar actuaciones constructivas. Se corresponde de un relleno de material de escombro de obra: piedra de diverso tamaño, cemento, ladrillo, teja, plástico, vidrio y basura en general. En planta ocupaba las dimensiones del solar de 633 m².

Datación	2.007
Color	Pardo oscuro
Compactación	Baja
Composición	Piedras, teja, ladrillo, cemento, etc.
Dimensiones	Las dimensiones del solar, de 633 m² y potencia media de 1 m.

[34] Longitud x altura x anchura.

Sector	Norte, NW, Central, S y SE
Cubierto por (Estrato)	1
Cortada por (Negativa)	3
Cubre a (Negativa)	6-66
Cubre a (Estrato)	7-5-67-9

UE 3

Definición Zanja

Interpretación Zanja realizada con medios mecánicos entre los meses de mayo y julio del 2.008 con motivo de la construcción del muro de apantallamiento perimetral, bordeando la parcela por sus laterales W, N y E. La zanja secciona todas las UEs localizadas hasta el sustrato, llegando hasta los 18 m de profundidad. Presneta forma en "U" en planta y 60 cm de ancho.

Datación	2.008
Base	Plana
Dimensiones	Perimetro del muro pantalla x 18 m de profundidad x 0,6 m de ancho
Forma en las esquinas	Rectangular
Forma en planta	Corte en "U"
Orientación	N-S, E-W, S-N
Paredes	Rectas
Sector	N, NW, Central, S y SE
Tipo	Zanja
La cubre (Estrato)	1
La rellena (Estructura)	4
La rellena (Estrato)	63
Corta a (Negativa)	18-209-28-171-25-265-175-6-113-101-8-93-130-272-264-266-263-262-131 271
Corta a (Estrato)	30-33-14-13-216-261-252-17-162-9-172-114-207-2-5-20-278-7-208-10-12 129
Corta a (Estructura)	354-251-249-16-253-350-348-140-15-353-285-100-90-139-250-78

UE 4

Definición Muro

Interpretación Muro de apantallamiento perimetral para la construcción del edificio.

Datación	2.008
Dimensiones	Ocupa el perímetro de la parcela por sus lados W, N y E (11 x 18 x 0,6 m)
Forma	En "U"
Materiales	Hormigón y entramado metálico
Orientación	N-S, E-W, S-N
Sector	N, NW, Central, S y SE
Dimensiones	25 m largo x 20 m ancho x 18 m profundidad x 0,6 m de grosor
Tipo	Muro pantalla
Se le apoya (Estrato)	1-63
Rellena a (Negativa)	3

UE 5

Definición Depósito

Interpretación Relleno constructivo aspciado a los edificios de época contemporánea. Se trata de un depósito con material heterogéneo, principalmente de época moderna y contemporánea. Correspondería al relleno constructivo de los edificios de Conservas Alonso.

Datación	Fin del siglo XIX-principios del siglo XX.
Color	Marrón claro
Compactación	Media
Composición	Tierra, cerámica vidriada (moderna y contemporánea), piedras de granito y madera.
Dimensiones	Localizada en toda la superficie del solar: 633 m2. Potencia media: 0,80 m
Frecuencia de hallazgos	Media
Sector	N, NW, Central, S y SE
Tipo de hallazgos	Cerámica, vidrio
Cubierto por (Estrato)	2
Cortada por (Negativa)	66-6-3
Cubre a (Estructura)	24-15-16
Cubre a (Negativa)	70-26-97-27-25-18-38-71-28-87
Cubre a (Estrato)	76-77-94-21-30-20-85-10-17-29-98

UE 6

Definición Zanja

Interpretación Zanja arqueológica, situada en el Sector S de la parcela 4, realizada en el 2005, cuyos resultados se describen en el Informe Valorativo de V. Barbeito. Se corresponde con la zanja 4 de los planos de dicho informe.

Datación	2.005
Base	Cóncava
Dimensiones	Decrece a medida que profundiza. Longitud del solar (E-W) y anchura de 5 m
Forma en las esquinas	Recta
Forma en planta	Rectangular
Inclinación	Presenta inclinación
Orientación	E-W
Paredes	Rectas
Sector	S
Tipo	Zanja de sondeo mecánico
La cubre (Estrato)	1-2
Cortada por (Negativa)	3
La rellena (Estrato)	7
Corta a (Estrato)	43-85-48-47-60-53-46-51-20-52-33-59-32-56-65-35-45-176-58-54-37-74-76 77-40-36-14-10-17-12-13-178-5
Corta a (Negativa)	57-70-42-25-71-177-274-18-175-64-31-188-38
Corta a (Estructura)	61-206-34-354-16-15-24-351

UE 7

Definición Depósito

Interpretación Relleno de la zanja 4 de los sondeos arqueológicos mecánicos realizados por V. Barbeito, situado en el Sector S de la parcela 4.

Datación	2.005
Color	Negro
Composición	Tierra orgánica con escombro
Dimensiones	5 m de ancho x 18 m de largo
Sector	S
Cubierto por (Estrato)	2
Cortada por (Negativa)	3
Rellena a (Negativa)	6

UE 8

Definición Corte

Interpretación Corte correspondiente a la intervención arqueológica dirigida por la arqueóloga Mª. J. Iglesias Darriba en el Sector N de la parcela 4, en el año 2006. Previamente, en esta zona se realizaron una serie de sondeos mecánicos (5a y 5b según el plano del Informe Valorativo de V. Barbeito) que documentaron la presencia de restos arqueológicos.

Datación	2.006
Dimensiones	13 m de ancho x 18 m de largo
Forma en las esquinas	Recta
Forma en planta	Rectangular
Orientación	E-W
Paredes	Rectas
Sector	Norte
Tipo	Excavación
Cortada por (Negativa)	3
La rellena (Estrato)	9
Corta a (Estrato)	13-12-59-210-102-184-52-48-96-36-53-94-35-51-10-46-80- 176-69 67-162-88
Corta a (Negativa)	244-68-169-275-175-237-247-183-95-87-66-272
Corta a (Estructura)	250-249-348-78-352-253-350-269-356-355-349-353

UE 9

Definición Depósito

Interpretación Depósito natural limoso de color grisáceo-brillante. Contiene elementos orgánicos y en algunas partes de la base, se localizan pequeñas piedras. Contiene restos alterados de época tardorromana. Posible nivel de marisma, que cubre el nivel de abandono tardorromano (Nivel I de limos). Presenta abundante material cerámico de diferente producción: ánfora norteafricana, bética, tarraconense y del Mediterráneo oriental, cerámica común romana de producción local y de importación, TSFT (Formas 3 y 10), TSA-C, TSA-D (Formas Hayes 99 NN. 1, 7-8, 12 y 104 A ó 104B) y TSH.

Color	Negro
Composición	Tierra orgánica con escombro
Dimensiones	18 m de largo x 11 m de ancho

Sector	Norte
Cubierto por (Estrato)	2
Cortada por (Negativa)	3
Rellena a (Negativa)	8

UE 10

Definición Depósito

Interpretación Nivel de arena en contacto entre la duna y los rellenos superiores antrópicos. Se compone fundamentalmente de arena marrón suelta y material de época moderna bastante rodado. Podría corresponder a un depósito de formación natural. En algunas zonas (Sector NW), existe acumulación de material de construcción, piedras de granito de mediano tamaño y restos de cantería. Presenta abundante material, en posición secundaria, de época romana (cerámica común romana, ánfora, TSA-D, TSFT y TSHT), de época medieval (cerámica común gris), moderna (cerámica común de pastas rojas, esmaltada, regional, anforeta de Indias) y contemporánea (cerámica vidriada, esmaltada y de Buño).

Color	Marrón claro
Compactación	Media
Composición	Arena fundamentalmente, materia orgánica, piedras de tamaño variable.
Dimensiones	Ocupa la planta del solar, sin alteraciones
Frecuencia de hallazgos	Alta
Granulometría	Fina
Sector	NW, Central, SE y S
Tipo de hallazgos	Cerámica de época moderna y material de construcción
Cortada por (Negativa)	97-3-27-6-26-66-87-25-28-18-38-70-8-71
Cubierto por (Estrato)	99-5
Cubre a (Estrato)	12

UE 12

Definición Depósito

Interpretación Depósito de origen natural limoso de color grisáceo-brillante. Contiene componentes orgánicos y en algunas zonas se localizan pequeñas piedras en su base. Fueron detectados restos bastante alterados de época tardorromana. Posiblemente se corresponda con un nivel de marisma, que cubre un nivel de abandono tardorromano (Nivel I de limos). Presenta abundante material cerámico: ánfora norteafricana, bética, tarraconense y del Mediterráneo oriental, cerámica común romana de producción local y de importación, TSFT (Formas 3 y 10), TSA, TSA-C, TSA-D (Formas Hayes 99 NN. 1, 7-8, 12 y 104 A ó 104B) y TSH.

Color	Gris brillante marrón
Compactación	Media
Composición	Limos
Dimensiones	Localizado en planta en todos los sectores no alterados con 30-40 cm de potencia.
Frecuencia de hallazgos	Alta
Granulometría	Fina media
Sector	N, Central y S
Tipo de hallazgos	Materiales de tradición bajorromana
Cubierto por (Estrato)	10
Cortada por (Negativa)	18-6-66-97-28-3-27-87-38-8

Cubre a (Estrato)	88-110-167-109-186-13-129-178-43-69-65-102-40-261-80-56
Cubre a (Negativa)	101-177-255-131-68-166-42-169-260-130-64
Cubre a (Estructura)	103-100

UE 13

Definición Depósito

Interpretación Nivel de limos compuesto por materia orgánica en descomposición y arenas de coloración marrón grisácea brillante. Tiene algunos componentes arcillosos y presenta en algunas zonas de su base piedra menuda. Fueron registrados restos de época tardorromana (Nivel II de limos). Presenta abundante material arqueológico: ánfora tarraconense, bética, norteafricana y del Mediterráneo oriental, cerámica común romana de producción local y de importación, TSA, TSA-D (Formas Hayes 103B, 104A y 104C, "Atlante", Tav. XLVIII, II., Hayes 91, N. 28, Hayes 99, NN. 1, 7-8, 12, Hayes 90, N. 4), TSFT (Formas 10A y 3) y TSH.

Color	Marrón grisácea
Compactación	Media
Composición	Limos (materia orgánica y arena)
Dimensiones	Ocupa todas las zonas no alteradas del área de excavación con 30-40 cm de potencia.
Sector	N, Central y S
Tipo de hallazgos	Materiales de tradición bajorromana
Cortada por (Negativa)	8-131-177-166-169-101-6-68-130-3
Cubierto por (Estrato)	12-109-88
Rellena a (Negativa)	31
Se apoya en (Estructura)	103-100
Cubre a (Estrato)	226-174-33-153-202-203-181-179-132-215-162-89-143-160-191-116-199-114-193-158-105-189-32-164
Cubre a (Negativa)	214-142-133-273-115-173-198-201-157-138-104-136-141-113-187 192-159-163-196-185-190-180-276
Cubre a (Estructura)	254-236-354-161-144-195-165-134-107-351-204-106-194-135

UE 14

Definición Depósito

Interpretación Nivel de duna sobre la que se asientan la base de las salinas UE 34, UE 61 y UE 90. Fue localizado en los perfiles W y N de las zanjas 4 y 5, respectivamente, de los sondeos mecánicos realizados, durante el 2005, por V. Barbeito. Durante la intervención del 2009 fue detectado en los sondeos 1 y 2. En algunas zonas aparece mezclado con bolsadas arenosas marrones, resultado de posibles filtraciones.

Color	Blanco
Compactación	Baja
Composición	Arena suelta
Dimensiones	Ocupa toda la superficie del solar no alterada con 20 cm de potencia aproximada.
Frecuencia de hallazgos	Baja
Granulometría	Fina
Sector	N, Central y S
Tipo de hallazgos	*Tegula* y ánfora

Cortada por (Negativa)	173-265-3-266-66-175-276-209-166-171-31-6-93-28-273-42-238-242-275 274-271-272-177-57
Cubierto por (Estrato)	337
Cubre a (Estrato)	338-321-36-37-35-327-46-45-48

UE 15

Definición Canal

Interpretación Se trata de un canal de Época Moderna, documentado en la intervención dirigida por M.J. Iglesias Darriba, durante el 2006. Se corresponde con la pared E del canal formado por una hilada de bloques de granito, de mediano (22x36 cm) y pequeño (14x12 cm) tamaño, mampuestas sin argamasa. Con la pared W (UE 16), formarían un canal de 35 cm de ancho x 20 m de longitud aproximadamente (cortado por la zanja 4 de los sondeos mecánicos). En el Sector S se localizó la prolongación de esta estructura (UE 24), que continuaría en la parcela 3, sobre la que se efectuó la intervención dirigida por M. J. Iglesias Darriba entre agosto y septiembre del 2008.

Actividad	NW
Dimensiones	33 cm de ancho x 2,5 m de tramo conservado.
Materiales	Granito
Orientación	N-S
Técnica	Piedras de granito de medio tamaño, mampuestas sin argamasa
Tipo	Canal
Cubierto por (Estrato)	5
Se le apoya (Estrato)	17
Cortado por (Negativa)	38-3-6-28
Rellena a (Negativa)	18

UE 16

Definición Canal

Interpretación Se trata de un canal de Época Moderna, documentado en la intervención dirigida por M.J. Iglesias Darriba, durante el 2006. Se corresponde con la pared E del canal formado por una hilada de bloques de granito, de mediano (22x36 cm) y pequeño (14x12 cm) tamaño, mampuestas sin argamasa. Con la pared W (UE 16) formarían un canal de 35 cm de ancho x 20 m de longitud aproximadamente (cortado por la zanja 4 de los sondeos mecánicos). En el Sector S se localizó la prolongación de esta estructura (UE 24) que continuaría en la parcela 3, sobre la que se efectuó la intervención dirigida por M. J. Iglesias Darriba, entre agosto y septiembre del 2008.

Dimensiones	18 cm de ancho x 1,4 m de tramo conservado.
Materiales	Granito
Orientación	N-S
Sector	NW
Técnica	Piedras de pequeño tamaño mampuestas sin argamasa
Tipo	Canal
Cubierto por (Estrato)	5
Se le apoya (Estrato)	17
Cortado por (Negativa)	28-38-3-6
Rellena a (Negativa)	18

UE17

Definición Depósito

Interpretación Depósito uniforme de tierra limosa que contenía material de época moderna y contemporánea, muy rodado. Se corresponde con la colmatación de un canal de época moderna ya documentado en la intervención de M.J. Iglesias Darriba del 2006 y que fue documentado durante la intervención en Agosto del 2008, en la parcela 3. Presenta material de época moderna (cerámica común de pastas rojas y regional) y contemporánea (cerámica de Buño).

Datación	Época contemporánea
Color	Gris anaranjando
Compactación	Alta
Composición	Tierra limosa y piedras de pequeño tamaño
Dimensiones	6 m largo x 35 cm ancho x 18 cm de potencia
Frecuencia de hallazgos	Baja
Granulometría	Fina (plástica)
Sector	NW y S
Tipo de hallazgos	Cerámica, material de construcción y vidrio
Cubierto por (Estrato)	5
Cortada por (Negativa)	6-3-38-28
Rellena a (Negativa)	18
Se apoya en (Estructura)	15-16-24

UE 18

Definición Corte

Interpretación Corte realizado sobre niveles modernos y tardorromanos para encaje de un canal compuesto por dos paredes de piedras de granito (UE 15, UE 16 y su prolongación en el Sector S, UE 24). Fue documentado durante la intervención dirigida por M. J. Iglesias Darriba, en el 2006, así como en la parcela 3, durante la intervención de agosto del 2008.

Base	Cóncava
Dimensiones	6 m longitud x 35 cm ancho x 18 cm de profundidad
Forma en planta	Rectangular
Orientación	N-S
Paredes	Inclinadas hacia el interior
Sector	NW y S
Tipo	Corte de canal
La cubre (Estrato)	5
La rellena (Estrato)	17
La rellena (Estructura)	16-24-15
Cortada por (Negativa)	38-6-3-28
Corta a (Estrato)	12-10-99

UE20

Definición Depósito

Interpretación Colmatación de la zanja UE 25. Excavada sobre un nivel moderno, se sitúa próxima al canal UE 15-UE 16 (Sector central). Este relleno podría ser consecuencia de aportaciones de arena producida por acción eólica, debido a su homogeneidad.

Color	Blanco
Compactación	Baja

Composición	Arena fina
Dimensiones	4 m longitud x 40 cm de ancho x 7 cm potencia
Granulometría	Fina
Sector	NW
Cubierto por (Estrato)	5
Cortada por (Negativa)	3-6
Rellena a (Negativa)	25

UE21

Definición Depósito

Interpretación Depósito de colmatación de la zanja UE 26 (Sector NW), que podría haberse originado por la acción eólica (arena) y de escorrentía (limos).

Color	Blanco y gris
Compactación	Baja
Composición	Arena y limos
Dimensiones	6 m longitud x 7 cm de potencia x 33 cm de ancho
Frecuencia de hallazgos	Media
Granulometría	Fina
Sector	NW
Tipo de hallazgos	Cerámica y vidrio
Cubierto por (Estrato)	5
Cortada por (Negativa)	66-27
Rellena a (Negativa)	26

UE24

Definición Canal

Interpretación Pared E de canal formado por bloques de granito de gran tamaño (44x54 cm) y algunas piedras pequeñas, mezcladas con *tegula*, que parecen ser restos de la destrucción del canal. No presentan argamasa y sólo conserva una única hilada. Podría considerarse la prolongación de la pared E del canal (UE 15). Se extiende sobre la parcela 3, descubriéndose en la intervención de M. J. Iglesias Darriba en agosto del 2008. Se trata de un canal con unas dimensiones máximas de 20 m de longitud por 35 cm de ancho, cortado por la zanja 4, realizada con motivo de los sondeos mecánicos efectuados por V. Barbeito, en el 2005.

Dimensiones	2,5 m de largo hasta perfil x 44 cm de ancho.
Forma	Rectangular
Materiales	Granito
Orientación	N-S
Sector	S
Técnica	Piezas de granito de buen porte, mampuestas sin argamasa
Tipo	Canal
Cubierto por (Estrato)	5
Cortado por (Negativa)	6-38
Se le apoya (Estrato)	17
Rellena a (Negativa)	18

UE 25

Definición Zanja

Interpretación Zanja de función indeterminada, asociada a material de época moderna. Tipológicamente se corresponde con las documentadas por M. J. Iglesias Darriba, bajo las estructuras de época moderna. Fueron excavadas sobre un nivel moderno, si bien su depósito arenoso de colmatación, semeja ser de formación natural, quizás por acción eólica. Fueron detectados limos, fundamentalmente en la base de la zanja, probablemente relacionados con la escorrentía de agua. Cronológicamente aparece asociada a las fosas colmatadas de arena (UE 27 y UE 28), localizándose en el Sector NW, próxima al canal UE 18.

Base	Cóncava
Dimensiones	4 m largo x 40 cm de ancho x 7 cm profundidad
Forma en planta	Rectangular
Orientación	N-S
Paredes	Inclinadas hacia el interior
Sector	NW
Tipo	Zanja
La cubre (Estrato)	5
Cortada por (Negativa)	6-3
La rellena (Estrato)	20
Corta a (Estrato)	10

UE 26

Definición Zanja

Interpretación Zanja de función indeterminada asociada a material moderno, situada en el Sector NW. Tipológicamente se corresponde con un conjunto de zanjas de dimensiones y depósito de colmatación asociados similares, documentados por M. J. Iglesias Darriba, bajo estructuras modernas. Cronológicamente se relacionan con las fosas UE 27 y UE 28. Fueron escavadas sobre un nivel moderno y colmatadas por un depósito arenoso, probablemente fruto de la acción eólica, con de limos, sobre todo en su base, quizás producto de escorrentía de agua. Fue localizada en el Sector NW y en el perfil W de la excavación dirigida por M. J. Iglesias Darriba, durante el 2006.

Base	Cóncava
Dimensiones	6 m largo x 7 cm de profundidad x 33 cm de ancho
Forma en planta	Rectangular
Orientación	N-S
Paredes	Inclinadas hacia el interior
Sector	NW
Tipo	Zanja
La cubre (Estrato)	5
La rellena (Estrato)	21
Cortada por (Negativa)	27-66
Corta a (Estrato)	10

UE27

Definición Fosa

Interpretación Fosa estratigráficamente relacionada con la fosa UE 28 y las zanjas UE 25 y UE 26. Aparece cortando un nivel moderno y se encontraba colmatada por un depósito de arena con material moderno. Situada en el Sector NW, enexa al perfil de la excavación dirigida por M. J. Iglesias Darriba

(UE 8), durante el 2006.

Base	Plana
Dimensiones	154 cm largo x 102 cm ancho x 17 cm profundidad
Forma en planta	Ovalada
Paredes	Inclinadas hacia el interior
Sector	NW
Tipo	Fosa
La cubre (Estrato)	5
La rellena (Estrato)	29
Corta a (Estrato)	10-21-12
Corta a (Negativa)	26

UE 28

Definición Fosa

Interpretación Cronológicamente se asocia con la fosa UE 27 y las zanjas UE 25 y 26. Apareció alterada por la construcción del muro pantalla y a su vez, afectaría al trazado del canal UE 15 y UE 16. Corta a niveles modernos y tardorromanos, resultando colmatada por un depósito de arena con material de época moderna. Fue localizada en el Sector NW, al N de dicho canal y cortada por el muro pantalla.

Base	Plana
Dimensiones	160 cm largo x 103 cm ancho x 16 cm profundidad
Forma en planta	Ovalada
Paredes	Inclinadas hacia el interior
Sector	NW
Tipo	Fosa
La cubre (Estrato)	5
Cortada por (Negativa)	3
La rellena (Estrato)	30
Corta a (Negativa)	18-274-38
Corta a (Estructura)	16-15-34
Corta a (Estrato)	85-17-12-10-14-216

UE 29

Definición Depósito

Interpretación Depósito muy homogéneo de arena que colmata a la fosa UE 27.Resultó físicamente, ser similar al depósito de la fosa UE 28 y al de las zanjas UE 25 y UE 26. presentamdo material de época bajomedieval.

Cubierto por (Estrato)	5
Rellena a (Negativa)	27

UE 30

Definición Depósito

Interpretación Depósito homogéneo de arena que colmata a la fosa UE 28. Está alterado por la construcción del muro pantalla. Presenta unas características similares al depósito de la fosa UE 27 y las zanjas UE 25 y UE 26.

Color	Blanco

Compactación	Baja
Composición	Arena
Dimensiones	160 cm longitud x 103 cm ancho x 16 cm potencia
Frecuencia de hallazgos	Alta
Granulometría	Fina
Sector	NW
Tipo de hallazgos	Cerámica y material de construcción
Cubierto por (Estrato)	5
Cortada por (Negativa)	3
Rellena a (Negativa)	28

UE 31

Definición Fosa

Interpretación Fosa localizada en el perfil N de la zanja 4, correspondiente a los trabajos de sondeo smecánicos dirigidos por V. Barbeito, durante el 2005. En planta, se prolonga desde dicho perfil hasta la zanja de cimentación UE 175, presentando forma ovalada, colmatada por un depósito con material tardorromano (UE 13).

Base	Cóncava
Dimensiones	130 cm diámetro aproximado x 25 cm profundidad
Forma en planta	Ovalada
Orientación	N-S
Paredes	Inclinadas hacia el interior
Sector	NW
Tipo	Fosa
Cortada por (Negativa)	6-175
La rellena (Estrato)	13-33
Corta a (Estructura)	34
Corta a (Estrato)	35-14-32
Corta a (Negativa)	274

UE 32

Definición Depósito

Interpretación Nivel III de limos, de semejante composición que el Nivel II de limos, si bien, de tonalidad más clara y con manchas de óxido. Su aspecto es más arenoso, quizás por el contacto con la duna. Se localizó en el perfil N de la zanja 4 realizada por V. Barbeito. Podría tener relación con la UE 40.

Color	Marrón anaranjado
Compactación	Baja
Composición	Limos y manchas de óxido
Dimensiones	Parte del Sector NW con 25-35 cm de potencia
Granulometría	Fina
Sector	NW
Cortada por (Negativa)	6-175-31
Cubierto por (Estrato)	13

Cubre a (Estrato)	37-35

UE 33

Definición Depósito

Interpretación Depósito que colmata la base de la fosa UE 31. Se conforma de tierra bastante limpia, decantada, con abundates manchas de carbones, que podría ser efecto de escorrentía. Fue localizado en el Sector central, en el perfil N de la zanja 4 abierta por V. Barbeito.

Color	Gris oscuro y negro
Compactación	Baja
Composición	Tierra limosa
Dimensiones	10 cm de potencia
Granulometría	Fina
Sector	NW
Cortada por (Negativa)	3-175-6
Cubierto por (Estrato)	13
Rellena a (Negativa)	31

UE 34

Definición Base de salinas

Interpretación Base de salina de cristalización, perteneciente al tanque 4 de la parcela 4, formada por gravas de cuarzo (1-2 cm de tamaño), arcilla y arena, fuertemente compactados. Dispuesta sobre un terreno de formación natural horizontalizado, constituyen una extensa base arcillosa que se adosaría a los muretes de delimitación de tanques. Se localiza en planta, prácticamente en todo el Sector NW. Hacia el W y S se encuentra alterada por las zanjas de sondeo 4 y 5, realizadas en 2005. Durante la intervención efectuada en Marzo del 2009, en el Sondeo 1, pudo documentarse su base, presentándose fuertemente compactada y compuesta por arena y gravas de cuarzo oxidadas (2-3 cm), siendo su potencia máxima de 8 cm.

Dimensiones máxima	Ocupa la superficie del tanque de cristalización 4, con 8 cm de potencia
Sector	NW
Tipo	Base
Cortado por (Negativa)	171-66-175-183-28-166-276-6-31-209-238-173-257
Cubierto por (Estrato)	216
Se adosa en (Estructura)	217-225
Se asienta en (Negativa)	274-265-267

UE35

Definición Depósito

Interpretación Nivel natural arenoso, de color gris claro, con algunas bolsadas de limo y manchas de óxidos. Presenta composición homogénea. Inicialmente fue localizado en el perfil N de la zanja 4 realizada en 2005 con motivo de la apertura de los sondeos mecánicos. Posteriormente se comprobó que se extiende por toda el área de excavación, excepto en el Sector S. En los sectores N, Central y SE, parece haber sido horizontalizado para asentar la base de las salinas de cristalización (UE 78). Durante la intervención del 2009 se localizó en los sondeos 2, 3, 4 y 5.

Color	Gris claro y marrón
Compactación	Baja
Composición	Arena, limos y manchas de óxido
Dimensiones	Todo el área de excavación, excepto en el Sector S, con 27 cm de potencia

	máxima
Frecuencia de hallazgos	Media
Granulometría	Fina
Sector	NW, N, Central, SE
Tipo de hallazgos	Ánfora y *tegula*
Cortada por (Negativa)	117-257-31-244-183-275-95-209-219-222-237-267-125-263-264-262-141 307-300-268-175-271-6-127-8
Cubierto por (Estrato)	338-32-14
Cubre a (Estrato)	318-289-319-341-288-37-36-312-301-295-291-293

UE 36

Definición Depósito

Interpretación Nivel homogéneo de formación natural compuesto fundamentalmente por limos, que presenta en algunas zonas manchas de carbones de más de 1 cm, con óxido y alguna bolsada orgánica de color marrón. Producido, quizás, por regresión marina sobre la duna.

Color	Gris oscuro
Compactación	Media
Composición	Limos, arena, manchas de carbón y manchas de óxido
Dimensiones	Toda el área de excavación, con 10-30 cm de potencia
Granulometría	Fina plástica
Sector	N, NW, Central, S y SE
Cubierto por (Estrato)	35-14
Cortada por (Negativa)	255-8-175-188-57-6-177-244-166
Cubre a (Estrato)	53-45-48-59-60-52-51-46-37-74

UE 37

Definición Depósito

Interpretación Nivel de duna, con alguna bolsada de limos de color gris oscuro y bandas marrones que presentan restos de materia orgánica, equiparable al Nivel III de duna. Presenta material arqueológico asociado compuesto por fragmentos de ánfora norteafricana y cerámica común romana.

Cortada por (Negativa)	6-175
Cubierto por (Estrato)	35-36-14-32
Cubre a (Estrato)	45

UE 38

Definición Interfacies de destrucción

Interpretación Interfacies de destrucción del canal de época moderna (UE 15, UE 16, UE 24). El canal se consevaba parcialmente con 140 cm de la pared W (UE 16), 250 cm de la pared E (UE 15) y 250 cm de la continuación de esta pared (UE 24) en el Sector S, cortada por la zanja 4 de sondeo abierta en 2005. Fueron localizados restos de la desmantelación, compuestos por piedra menuda y restos de material de construcción, en su entorno.

Sector	NW y S
Tipo	Interfacies
La cubre (Estrato)	5
Cortada por (Negativa)	28-6
La rellena (Estrato)	85

Corta a (Negativa)	18
Corta a (Estructura)	15-24-16
Corta a (Estrato)	99-12-17-10

UE 40

Definición Depósito

Interpretación Nivel arenoso con manchas de óxido, localizado sobre la duna (UE37), de color gris claro. Fue localizado en el perfil W de la zanja de sondeo 4 abierta en 2005, prolongándose hacia la parcela 3.

Color	Gris y marrón claro
Compactación	Baja
Composición	Arena y manchas de óxido
Dimensiones	Ocupa parte del Sector S, con 30 cm de potencia
Granulometría	Fina, con alguna piedra de pequeño tamaño
Sector	S
Cubierto por (Estrato)	12
Cortada por (Negativa)	42-64-6
Cubre a (Estructura)	61

UE 42

Definición Zanja

Interpretación Tramo de zanja localizada en el Sector S. Probablemente se corresponda con la prolongación hacia el S de los tramos de zanja UE 166 y UE 177, con una longitud máxima de 15 m, identificada en la parcela 3, describiendo una forma aproximadamente rectangular. Presentó paredes y base regulares.

Base	Cóncava
Dimensiones	140 cm longitud x 140 cm de ancho x 40 cm de profundidad
Forma en planta	Rectangular
Orientación	NW-SE
Paredes	Inclinadas hacia el interior
Sector	S
Tipo	Zanja
Cortada por (Negativa)	6
La cubre (Estrato)	12
La rellena (Estrato)	47-43
Corta a (Estrato)	14-48-46-40
Corta a (Negativa)	57
Corta a (Estructura)	61

UE 43

Definición Depósito

Interpretación Depósito superior de colmatación de la zanja UE 42, formado por tierra arenosa y limosa, con componente orgánico (carbones de pequeño tamaño). Se trata de un relleno homogéneo similar a UE 178 y UE 167, depósitos asociados posiblemente con la prolongación de esta zanja hacia el NW. Presenta variado material arqueológico, compuesto por fragmentos de ánforas bética y norteafricana, cerámica común romana y TSAD.

Color	Gris oscuro
Compactación	Baja
Composición	Tierra de aspecto arenoso, piedra menuda y material rodado
Dimensiones	140 cm longitud x 140 cm de ancho x 34 cm de potencia
Frecuencia de hallazgos	Alta
Granulometría	Fina
Sector	S
Tipo de hallazgos	Cerámica, material de construcción y vidrio
Cortada por (Negativa)	6
Cubierto por (Estrato)	12
Rellena a (Negativa)	42
Cubre a (Estrato)	47

UE 45

Definición Depósito

Interpretación Banda limosa de origen natural. Al igual que otros depósitos con limos, pudiera estar relacionado con la regresión marina. Localizado en el perfil W de la zanja 4 de los sondeos mecánicos llevados abiertos en el 2005.

Color	Gris oscuro
Compactación	Media
Composición	Limos
Dimensiones	Ocupa parte del Sector S, con 10 cm de potencia
Granulometría	Fina plástica
Sector	S
Cortada por (Negativa)	6
Cubierto por (Estrato)	14-36-37
Cubre a (Estrato)	46

UE 46

Definición Depósito

Interpretación Nivel arenoso que presenta restos de materia orgánica descompuesta y arenas blancas y oscuras. Localizado en el perfil W de la zanja 4 de los sondeos realizados durante el año 2005.

Color	Moteado con manchas marrones claras y blancas
Compactación	Baja
Composición	Arena y materia orgánica
Dimensiones	Ocupa parte del Sector S, con 40 cm potencia mínima.
Granulometría	Fina
Sector	S
Cortada por (Negativa)	42-8-6
Cubierto por (Estrato)	48-14-74-45-36

UE 47

Definición Depósito

Interpretación Depósito inferior de colmatación de la zanja UE 42, originado por escorrentía. Físicamente se asemeja al último depósito que colmata la zanja, de tonalidad gris oscuro, si bien con más limo, compactado y menos orgánico.

Color	Gris oscuro
Compactación	Media
Composición	Limos
Dimensiones	140 cm longitud x 10 cm de potencia x 60 cm de ancho
Frecuencia de hallazgos	Baja
Granulometría	Plástica
Sector	S
Tipo de hallazgos	Cerámica
Cortada por (Negativa)	6
Cubierto por (Estrato)	43
Rellena a (Negativa)	42

UE 48

Definición Depósito

Interpretación Banda limosa de color gris y marrón oscuro, producida, probablemente por la acción marina. Probablemente tendría un origen semejante al de otros niveles con limos (UE 45, UE 52 o UE 60). Fue localizado en el Sector S, en perfil W de la zanja 4, realizada con motivo de los sondeos mecánicos de 2005, y en el Sector SE, en la cata de documentación estratigráfica realizada por M. J. Iglesias Darriba, en el 2006.

Color	Gris y marrón oscuro
Compactación	Media
Composición	Limos
Dimensiones	Ocupa parte de los sectores S y SE, con 25 cm de potencia mínima.
Granulometría	Fina plástica
Sector	S y SE
Cortada por (Negativa)	42-8-6
Cubierto por (Estrato)	36-52-53-14-51
Cubre a (Estrato)	46

UE 51

Definición Depósito

Interpretación Nivel de arena probablemente originado por acción eólica, similar a la UE 53. Localizado en el Sector S (perfil W de la zanja 4 realizada en los sondeos mecánicos de 2005) y Sector SE (perfil S de la cata de documentación estratigráfica realizada por M. J. Iglesias Darriba, en 2006).

Color	Blanco
Compactación	Baja
Composición	Arena
Dimensiones	Ocupa parte de los sectores S y SE, con 3-4 cm de potencia
Granulometría	Fina
Sector	S y SE
Cortada por (Negativa)	8-6

Cubierto por (Estrato) 36-60

Cubre a (Estrato) 48-52

UE 52

Definición Depósito

Interpretación Nivel originado de manera, consecuencia de la regresión marina, similar a UE 52 y UE 48. Localizado en el Sector S (perfil W de la zanja 4 de los sondeos mecánicos de 2005) y SE (perfil S de la cata de documentación estratigráfica realizada por M. J. Iglesias Darriba).

Color Gris oscuro

Compactación Media

Composición Limos

Dimensiones Ocupa parte de los sectores S y SE, con 3-4 cm de potencia

Granulometría Fina plástica

Sector S y SE

Cortada por (Negativa) 6-8

Cubierto por (Estrato) 36-51

Cubre a (Estrato) 53-48

UE 53

Definición Depósito

Interpretación Nivel de arena originado de manera naturalmente por la acción eólica, similar a la UE 51. Localizado en el Sector S (perfil W de la zanja 4 de los sondeos mecánicos de 2005) y SE (perfil S de la cata de documentación estratigráfica realizada por M. J. Iglesias Darriba

Color Blanco

Compactación Baja

Composición Arena

Dimensiones Ocupa parte de los sectores S y SE, con 7 cm de potencia

Granulometría Fina

Sector S y SE

Cortada por (Negativa) 8-6

Cubierto por (Estrato) 36-52

Cubre a (Estrato) 48

UE 54

Definición Depósito

Interpretación Nivel arenoso, con alguna bolsada plástica y abundantes manchas de óxido. Podría tratarse de la preparación para aislamiento de la base de las salinas. Localizado en el perfil W de la zanja 4 de los sondeos mecánicos de 2005.

Color Pardo claro

Compactación Baja

Composición Arena y pequeñas bolsadas de limos

Dimensiones Ocupa parte del Sector S, con 30 cm de potencia máxima

Granulometría Fina y plástica en determinados puntos

Sector S

Cortada por (Negativa) 64-255-6

Se le asienta (Estructura) 61

Rellena a (Negativa) 57

UE 56

Definición Depósito

Interpretación Nivel de abandono que colmata la base de salinas UE 61, formado por tierra arenosa con manchas de óxido y que presenta material cerámico muy rodado, compuesto por fragmentos de ánfora bética y norteafricana, cerámica común romana y de TSA-D.

Color Marrón

Compactación Baja

Composición Arena, piedra menuda, manchas de óxido y material cerámico rodado

Dimensiones 4,5 m longitud x 2,6 m ancho x 18 cm de potencia

Frecuencia de hallazgos Media

Granulometría Fina

Sector S

Tipo de hallazgos Cerámica

Cubierto por (Estrato) 12

Cortada por (Negativa) 255-6-64

Cubre a (Estructura) 61

UE 57

Definición Corte

Interpretación Corte realizado sobre un nivel limoso (UE 36) para encaje de la base de las salinas (UE 61). Localizado en el perfil W de la zanja 4, de los sondeos mecánicos de 2005.

Sector S

Tipo Corte preparación superficie para las salinas

La rellena (Estrato) 54

La rellena (Estructura) 61

Cortada por (Negativa) 255-6-42

Corta a (Estrato) 36-14

UE 58

Definición Depósito

Interpretación Nivel arcilloso con algunas piedras de pequeño tamaño, manchas de óxido y carbones. Localizado en el Sector S, apoyado por el lado W de la estructura UE 182, hasta el muro pantalla. Podría tratarse del nivel de uso de dicha estructura, semejante a la UE 259.

Color Grisáceo

Compactación Media

Composición Tierra arcillosa

Dimensiones 2,5 m longitud x 70 cm ancho x 25 cm de potencia

Granulometría Arcillosa

Sector S

Cortada por (Negativa) 6-260

Se apoya en (Estructura) 182

Cubre a (Negativa) 188

UE 59

Definición Depósito

Interpretación Nivel de duna con alguna banda de óxido. Su origen sería natural, por acción eólica. Localizado en el Sector S, perfil W de la zanja 4 de sondeos mecánica abierta en el 2005.

Color	Blanco
Compactación	Baja
Composición	Arena
Dimensiones	Localizado parcialmente en el Sector S, con 17 cm de potencia
Granulometría	Fina
Sector	S
Cortada por (Negativa)	8-6
Cubierto por (Estrato)	36
Cubre a (Estrato)	60

UE60

Definición Depósito

Interpretación Nivel de limos producido de manera natural, por la regresión marina. Localizado en el perfil W de la zanja 4, realizada en 2005.

Color	Gris oscuro
Compactación	Media
Composición	Limos
Dimensiones	Todo el Sector S, con 10 cm de potencia
Granulometría	Fina plástica
Sector	S
Cortada por (Negativa)	6
Cubierto por (Estrato)	59-36
Cubre a (Estrato)	51

UE 61

Definición Base de salinas

Interpretación Base de salinas de cristalización, formada por gravas de cuarzo (1-2 cm de grosor), arcilla y arena, fuertemente compactados, conservada parcialmente. Fue dispuesta sobre un terreno de formación natural horizontalizado, formando una extensa base arcillosa a partir de la cual se parcelan las salinas mediante tanques. Fue localizada parcialmente en el Sector S, alterado por la zanja 4 realizada en el 2005.

Datación	Época romana
Dimensiones	Ocupa parcialmente el Sector S, 4-5 cm de potencia
Materiales	Arena, guijarros oxidados, arena y arcilla
Sector	S
Tipo	Base
Cubierto por (Estrato)	56-40
Cortado por (Negativa)	42-64-6-255
Rellena a (Negativa)	57
Se asienta en (Estrato)	54

UE63

Definición Depósito

Interpretación Depósito muy heterogéneo de formación reciente (2008), compuesto por el material contemporáneo que colmata la zanja de construcción del muro pantalla.

Datación	2.008
Color	Gris oscuro
Compactación	Media
Composición	Tierra, piedras, material de construcción y ventonita
Granulometría	Gruesa
Sector	Todo el perímetro del muro pantalla
Tipo de hallazgos	Material contemporáneo
Cubierto por (Estrato)	1
Rellena a (Negativa)	3
Se apoya en (Estructura)	4

UE 64

Definición Zanja

Interpretación Localizada en el Sector S en el perfil W de la zanja 4 de los sondeos mecánicos efectuados en 2005. Presenta, paredes y base irregulares y cronológicamente se relacionaría con la apertura de la zanja UE 42.

Base	Cóncava
Dimensiones	170 cm longitud x 20 cm de profundidad x 58 cm de ancho
Forma en planta	Rectangular aproximadamente
Orientación	NW-SE
Paredes	Inclinadas hacia el interior
Sector	S
Tipo	Zanja
Cortada por (Negativa)	6
La cubre (Estrato)	12
La rellena (Estrato)	65
Corta a (Estrato)	54-40-56
Corta a (Estructura)	61

UE 65

Definición Depósito

Interpretación Depósito de colmatación de la zanja UE 64, formado por tierra de textura arenosa y plástica, con carbones, manchas de óxido. Su composición es fundamentalmente mineral y homogénea. Contenía material arqueológico compuesto por cerámica común romana, ánfora bética y norteafricana y TSFT.

Color	Gris
Compactación	Media
Composición	Carbones, manchas de óxido y tierra arenosa plástica
Dimensiones	170 cm de longitud x 20 cm de potencia x 58 cm de ancho
Frecuencia de hallazgos	Alta

Granulometría	Fina
Tipo de hallazgos	Cerámica y material de construcción
Cortada por (Negativa)	6
Cubierto por (Estrato)	12
Rellena a (Negativa)	64

UE 66

Definición Zanja

Interpretación Zanja colmatada por material contemporáneo que conecta con la zanja de sondeo 4 abierta en 2005 en el Sector S (UE 6). Esta zanja alteró una pequeña parte de las salinas. Su amplitud y forma, fue debida a la unión entre las zanjas 5a y 5b, abiertas en 2005, probablemente por el desplome de perfiles. En el Sector Central, limitando con la excavación dirigida por M. J. Iglesias Darriba, fue localizada una fosa posiblemente tardorromana, alterada por esta zanja (UE 95).

Datación	2.005
Base	Cóncava
Dimensiones	20 m de largo x 4 m aproximado de ancho
Forma en planta	Rectangular aproximadamente
Orientación	NE-SW
Paredes	Inclinadas hacia el interior
Sector	Central
Tipo	Zanja de sondeo mecánico
La cubre (Estrato)	2
Cortada por (Negativa)	8
La rellena (Estrato)	67
Corta a (Estrato)	96-14-5-179-178-243-10-167-21-12-88-89
Corta a (Negativa)	242-26-274-95-166-177-275-125-257-276
Corta a (Estructura)	294-352-349-34-351

UE 67

Definición Depósito

Interpretación Relleno heterogéneo de la zanja 5 de los sondeos mecánicos realizados en 2005. La parte inferior contiene un depósito con abundante material romano, procedente de una fosa de época tardorromana, a la que está cortando (UE 95).

Datación	2.005
Color	Gris oscuro
Compactación	Media
Composición	Tierra, piedra de diversos tamaños, material cerámico y de construcción, madera y escorias.
Dimensiones	20 cm largo x 4 cm ancho
Frecuencia de hallazgos	Alta
Granulometría	Media
Sector	Central
Tipo de hallazgos	Material cerámico diverso y al de construcción
Cubierto por (Estrato)	2

Cortada por (Negativa)	8
Rellena a (Negativa)	66

UE 68

Definición Fosa

Interpretación Fosa localizada en el perfil W de la excavación dirigida por M. J. Iglesias Darriba y documentada en la objeto de los trabajos al retirar la UE 12. Aprece cortando un nivel con material tardorromano (UE 13) y la zanja de cimentación de la estructura UE 170 (UE 175). Presenta paredes irregulares, una recta y otra con inclinación hacia el interior de la negativa.

Base	Cóncava
Dimensiones	60 cm diámetro aproximado x 24 cm de profundidad
Forma en planta	Ovalada
Orientación	NW-SE
Paredes	Inclinadas hacia el interior
Sector	NW
Tipo	Fosa
Cortada por (Negativa)	8
La cubre (Estrato)	12
La rellena (Estrato)	69
Corta a (Estrato)	13-176-88

UE 69

Definición Depósito

Interpretación Depósito de colmatación de la fosa UE 68, formado por tierra arcillosa, muy plástica, escasamente orgánica, si bien con algún carbón aislado. Se trata de un depósito muy homogéneo con algunas raíces.

Color	Pardo claro
Compactación	Alta
Composición	Arcilla, gravilla y algunos carbones
Dimensiones	60 cm diámetro aproximado x 24 cm de potencia
Frecuencia de hallazgos	Baja
Granulometría	Fina
Sector	NW
Tipo de hallazgos	*Tegulae y* cerámica
Cortada por (Negativa)	8
Cubierto por (Estrato)	12
Rellena a (Negativa)	68

UE70

Definición Zanja

Interpretación Zanja localizada en el perfil W de la excavación dirigida por M. J. Iglesias Darriba. Presenta características semejantes a la UE25, UE26 y UE 71. Se agrupa formando parte de un conjunto de zanjas homogéneas. Aparecen colmatadas con un depósito de arena y limos de las mismas características, separadas unas de otras a la misma distancia y con dimensiones parecidas. Esta zanja parece presentar un trazado perpendicular a las localizadas en el Sector NW. Tipológicamente son semejantes y cronológicamente son del mismo momento que las fosas UE27 y UE28.

Datación	Época moderna
Base	Cóncava
Dimensiones	30 cm de ancho aproximado x 20 cm profundidad aproximado
Forma en planta	Rectangular
Orientación	NE-SW
Paredes	Inclinadas hacia el interior
Sector	S
Tipo	Zanja
La cubre (Estrato)	5
Cortada por (Negativa)	6
La rellena (Estrato)	76
Corta a (Estrato)	10

UE 71

Definición Zanja

Interpretación Zanja localizada en el perfil W de la excavación de M. Iglesias Darriba. Presenta características semejantes a la UE 25, UE 26 y UE 70. Forman parte de un conjunto de zanjas de dimensiones y tipología similares. Aparecieron colmatadas con un depósito de arena y limos de características semejantes, alternadas a distancia semejantes y con dimensiones parecidas. Parecen describir un trazado perpendicular a las localizadas en el Sector NW. Tipológicamente son similares y cronológicamente del mismo momento que las fosas UE 27 y UE 28.

Base	Cóncava
Dimensiones	30 cm de ancho aproximado x 20 cm profundidad aproximado
Forma en planta	Rectangular
Orientación	NE-SW
Paredes	Inclinadas hacia el interior
Sector	S
Tipo	Zanja época moderna
La cubre (Estrato)	5
Cortada por (Negativa)	6
La rellena (Estrato)	77
Corta a (Estrato)	10

UE 74

Definición Depósito

Interpretación Depósito limoso de formación natural localizado en el perfil W de la excavación de M. J. Iglesias Darriba, llevada a cabo durante Agosto y Septiembre de 2008. Podría ser parte de la regresión marina, sobre un nivel arenoso (UE 46).

Color	Gris oscuro
Compactación	Media
Composición	Limos
Dimensiones	25 cm potencia aproximada
Granulometría	Fina (plástica)
Sector	S

Cortada por (Negativa) 6

Cubierto por (Estrato) 36

Cubre a (Estrato) 46

UE 76

Definición Depósito

Interpretación Depósito de arena que colmata la zanja de época moderna UE 70. Presenta las mismas características que las UE 77, UE 20 y UE 21, tratándose de un depósito muy homogéneo formado por arena blanca, producto de la acción eólica, con material rodado producto de arrastres.

Color Blanco

Compactación Baja

Composición Arena

Dimensiones 30 cm ancho x 20 cm profundidad

Granulometría Fina

Sector S

Cubierto por (Estrato) 5

Cortada por (Negativa) 6

Rellena a (Negativa) 70

UE 77

Definición Depósito

Interpretación Depósito de arena que colmata la zanja de época moderna UE 71. Presenta las mismas características que la UE20, UE21 y UE76. Se trata de un depósito muy homogéneo formado por arena blanca, producto de la acción eólica, con material rodado de arrastre.

Color Blanco

Compactación Baja

Composición Arena

Dimensiones 30 cm ancho x 20 cm profundidad

Granulometría Fina

Sector S

Cubierto por (Estrato) 5

Cortada por (Negativa) 6

Rellena a (Negativa) 71

UE78

Definición Base de salinas

Interpretación Base de las salinas, correspondiente al tanque 2 de los localizados en la parcela 4, formada por tierra arcillosa muy compacta, con manchas de óxido y pequeñas gravas de cuarzo. Fue dispuesta sobre el depósito arenoso de formación natural horizontalizado, constituyendo una extensa base arcillosa que se adosaría a los muretes de delimitación. Fue localizada en buen estado de conservación, si bien alterada por la construcción del muro pantalla. Previamente, fue documentado parcialmente en la intervención dirigida por M. J. Iglesias Darriba. Una vez excavada en el sondeo 2, durante la intervención de Marzo del 2009, pudo documentarse una base formada por camadas arcillosas y de limos con arenas, que se disponen sobre un nivel de gravas de cuarzo de pequeño y mediano tamaño, de entre 2 y 5 cm, que las aisla del nivel arenoso sobre el que asienta.

Datación Época romana

Cortado por (Negativa) 8-247-3

Cubierto por (Estrato) 89

Se adosa en (Estructura) 139-249-248-140-270-245

Se asienta en (Negativa) 244-275-271-262-268

UE80

Definición Depósito

Interpretación Depósito localizado en el perfil W de la excavación dirigida por M.J. Iglesias Darriba, realizada en el 2006. El depósito aparecía formado por tierra arcillosa, con piedras de esquisto de medio tamaño y granito muy oxidados, de color marrón amarillento. Parece ser una bolsada heterogénea, correspondiente al depósito superior localizado, sobre las interfacies de destrucción (UE 169).

Color Marrón

Compactación Alta

Composición Manchas de óxido, arcilla, piedra menuda y arena

Dimensiones 80 cm x 70 cm x 6 cm de potencia

Granulometría Media fina

Sector NW

Cortada por (Negativa) 8

Cubierto por (Estrato) 12

Cubre a (Estrato) 102

Rellena a (Negativa) 169

UE 85

Definición Depósito

Interpretación Depósito sobre la interfacies de destrucción (UE 38) del canal UE 18 compuesto por tierra arcillosa con bolsadas de arena, de tonalidad marrón. Presentaba componentes orgánicos con carbones de pequeño tamaño, piedras de granito y esquisto de pequeño tamaño y material de construcción y cerámico muy rodado.

Color Marrón

Compactación Alta

Composición Tierra arcillosa con alguna bolsada de arena

Dimensiones Localizado a lo largo y ancho del canal, intermitentemente

Frecuencia de hallazgos Media baja

Granulometría Fina

Sector Central

Tipo de hallazgos Material de construcción y cerámica

Cubierto por (Estrato) 5

Cortada por (Negativa) 28-6

Rellena a (Negativa) 38

UE 87

Definición Fosa

Interpretación Fosa localizada en el perfil W de la intervención dirigida por M.J. Iglesias Darriba. Presentaba paredes y base muy regulares.

Base Cóncava

Dimensiones 34 cm diámetro x 10 cm profundidad

Forma en planta	Circular
Paredes	Inclinadas hacia el interior
Sector	N-NW
Tipo	Fosa
La cubre (Estrato)	5
Cortada por (Negativa)	8
La rellena (Estrato)	94
Corta a (Estrato)	10-12

UE 88

Definición Depósito

Interpretación Nivel con alta concentración de carbones, localizado en el perfil N de la zanja 5 de sondeo mecánico efectuado en 2005. En planta se localiza al S de la zanja de cimentación UE 175, entre la zanja UE 166 y el área de excavación de M. J. Iglesias Darriba. Presntaba semejanzas con la UE 13, si bien con mayor concentración de piedra menuda, carbones pequeños, material de construcción y cerámica. Entre los materiales arqueológicos recogidos destacan fragmentos de ánforas béticas, norteafricanas y del Mediterráneo oriental, cerámica común romana de producción local y de importación, TSA, TSA-D y TSFT.

Color	Grisáceo y negro
Compactación	Media
Composición	Carbones, material de construcción, piedra menuda y manchas de óxido
Dimensiones	8 cm de potencia
Frecuencia de hallazgos	Alta
Granulometría	Fina
Sector	NW
Tipo de hallazgos	Material de construcción y material cerámico
Cubierto por (Estrato)	12
Cortada por (Negativa)	68-101-166-169-66-8
Cubre a (Estrato)	13

UE 89

Definición Depósito

Interpretación Nivel de abandono de las salinas. Fue localizado en planta en los sectores N, Central y mitad E del Sector SE. Se correspondía con un depósito formado por tierra arcillosa, con manchas de óxido, altamente compactada, que fue localiza en aquellas zonas en las que la base de las salinas se encontraba en mejor estado. Sobre este nivel fueron localizados múltiples agujeros de poste, así como fosas y canales de tipología parecida. Podría corresponderse con los niveles que sellan las salinas, en aquellas zonas en las que peor se conservan. Se tratan de la UE 216 (Sector NW y mitad W del Sector SE), UE 56 (Sector S) y UE 252 (Sector NW). Presentó abundante material arqueológico compuesto por fragmentos de ánforas tarraconenses, béticas, norteafricanas y del Mediterráneo oriental, cerámica común romana de producción local y de importación, TSA, TSA-D (Formas "Atlante", Tav. XLVIII, II., Hayes 170, Hayes 99, NN. 1, 7-8, 12) y TSFT (Forma 3).

Datación	Época bajorromana o altomedieval
Color	Marrón anaranjado
Compactación	Alta
Composición	Tierra arcillosa con manchas de óxido
Dimensiones	Ocupa los sectores N, Central y la mitad E del Sector SE con 12 cm de

	potencia
Frecuencia de hallazgos	Alta
Granulometría	Fina plástica
Sector	N, Central y mitad E del SE
Tipo de hallazgos	Material de construcción y cerámica
Cubierto por (Estrato)	13-216
Cortada por (Negativa)	190-142-66-133-192-187-95-141-276-177-169-180-196-201-198-157
	175-115-104-113-138
Cubre a (Negativa)	119-150-263-148-222-219-117-127-155-262-125-145-123-335
Cubre a (Estrato)	279-126-220-124-156-128-278-146-223-120-149-118-151-336
Cubre a (Estructura)	353-139-147-221-140-224-152-78-355-356-349-352

UE 90

Definición Base de salinas

Interpretación Base de salinas, correspondiente al tanque 1 de la parcela 4, formada por tierra arcillosa muy compacta, que presenta manchas de óxido y pequeñas gravas de cuarzo. Se dispone sobre un terreno de formación natural horizontalizado, constituyendo una extensa base arcillosa que se adosaría a los muretes de delimitación de tanques. En este tanque se localizó una zona de paso (UE 217-UE 251), a la que también se le adosaría la base arcillosa. Su estado de conservación se presentaba deficiente, estando alterado por el muro pantalla. La excavación del sondeo 2, en la intervención de Marzo del 2009, permitió documentar su base arcillosa mezclada con arena, fuertemente compactada, con mayor proporción de gravas de cuarzo oxidadas, que la base de salinas de los tanques 2, 3, 5, 6, 8, 9, 11 y 12 y menor aporte de arena que las zonas en las que peor se conseraron las salinas (tanques 4, 7 y 10).

Datación	Época altoimperial
Dimensiones	Ocupa las dimensiones del tanque 1 de cristalización, con 4 cm de potencia máxima
Materiales	Tierra arcillosa compactada de color pardo anaranjado, con manchas de óxido y gravas de cuarzo de entre 1 y 2 cm
Sector	NW
Tipo	Base
Cortado por (Negativa)	209-3
Se adosa en (Estructura)	250-251
Se asienta en (Negativa)	266-93-272

UE 93

Definición Corte

Interpretación Interfacies de horizontalización de los niveles de formación natural sobre los que se asienta la base de las salinas (UE 90).

Sector	NW
Tipo	Corte preparación superficie para las salinas
Cortada por (Negativa)	272-266-3
Se le asienta (Estructura)	90
Corta a (Estrato)	14

UE 94

Definición Depósito

Interpretación Depósito de colmatación de una fosa (UE 87), localizada en el Sector NW, cortado por la excavación dirigida por M. J. Iglesias Darriba. Se trata de un depósito arenoso muy mineral y homogéneo, que no presenta material arqueológico.

Color	Gris claro, amarillento
Compactación	Media
Composición	Arena y piedras de pequeño tamaño
Dimensiones	34 cm diámetro x 10 cm de potencia
Granulometría	Fina
Sector	NW
Cubierto por (Estrato)	5
Cortada por (Negativa)	8
Rellena a (Negativa)	87

UE 95

Definición Fosa

Interpretación Fosa localizada en el Sector Central alterada por la zanja 5 realizada durante los sondeos mecánicos de 2005 y excavada en parte en la intervención dirigida por M. J. Iglesias Darriba. Presentó una alta concentración de material tardorromano, estando cortando el nivel de abandono de las salinas (UE 89) y las bases de los tanques 5 y 8. En su zona S estaría conectada a través de un canal (UE 157), con otra fosa de tipología parecida (UE 104). Esta negativa fue excavada casi en su totalidad durante la intervención realizada en marzo del 2009, en el sondeo 3.

Base	Plana en su zona N y cóncava por el S
Dimensiones	2,8 m de diámetro x 40 cm de profundidad
Forma en planta	Circular
Paredes	Casi rectas, si bien con una ligera inclinación hacia el interior
Sector	Central
Tipo	Fosa
La rellena (Estrato)	96
Cortada por (Negativa)	157-8-66
Corta a (Negativa)	275-196-264
Corta a (Estrato)	289-316-200-35-197-89
Corta a (Estructura)	349-204-294-211-213-212-352-253

UE 96

Definición Depósito

Interpretación Depósito con limo y manchas de oxido que rellena a la fosa UE 95. Contenía abundante material tardorromano correspondientes a fragmentos de ánfora bética, tarraconense, norteafricana y del Mediterráneo oriental, cerámica común romana y dos fragmentos de TSA-D (una Forma Hayes 99, NN. 1, 7-8, 12). Aparecía cortado por la zanja 5 realizada abierta con los sondeos mecánicos efectuados en 2005, siendo parcialmente excavada en la intervención dirigida por M. J. Iglesias Darriba, en el año 2006.

Color	Gris oscuro
Compactación	Media
Composición	Tierra con limos, manchas de carbones y piedras de pequeño tamaño
Dimensiones	2,8 m diámetro x 40 cm potencia
Frecuencia de hallazgos	Alta

Granulometría	Fina
Sector	Central
Tipo de hallazgos	Cerámica y materiales de construcción tardorromanos
Cortada por (Negativa)	8-66-157
Rellena a (Negativa)	95

UE97

Definición Fosa

Interpretación Fosa indeterminada que corta un nivel moderno (UE 10) colmatada por un depósito mineral con presencia de material de construcción de época moderna. Se localizó en planta en el Sector NW, próxima al perfil N de la zanja 4, realizada con motivo de los sondeos mecánicos abiertos en el 2005.

Base	Cóncava
Dimensiones	108 cm de largo x 8 cm de profundidad x 50 cm de ancho
Forma en planta	Ovalada
Orientación	NE-SW
Paredes	Inclinadas hacia el interior
Sector	NW
Tipo	Fosa
La cubre (Estrato)	5
La rellena (Estrato)	98
Corta a (Estrato)	10-12

UE 98

Definición Depósito

Interpretación Depósito que colmata a la fosa UE 97, formado por tierra arenosa de grano fino y compactación alta. Presenta una pequeña cantidad de piedras de granito de muy pequeño tamaño y alguna grava de cuarzo, así como carbones de pequeño tamaño, dispersos.

Color	Marrón claro
Compactación	Alta
Composición	Tierra arenosa, piedras de granito de pequeño tamaño, gravas de cuarzo y carbones de pequeño tamaño
Dimensiones	108 cm de largo x 8 cm de potencia x 50 cm de ancho
Frecuencia de hallazgos	Baja
Granulometría	Fina
Sector	NW
Tipo de hallazgos	Material de construcción
Cubierto por (Estrato)	5
Rellena a (Negativa)	97

UE99

Definición Depósito

Interpretación Depósito muy heterogéneo formado por bolsadas de granito meteorizado en su zona N y abundantes carbones, agrupados en el centro del depósito, con una concentración de piedras y material de construcción asociado. Se localiza en el Sector NW, a ambos lados del canal UE 18, estando relacionado con la construcción de dicho canal.

Color	Gris, marrón claro
Compactación	Baja
Composición	Arena, manchas de óxido y carbones
Dimensiones	6 m longitud x 3,5 m ancho x 15 cm potencia
Frecuencia de hallazgos	Alta
Granulometría	Media
Sector	NW
Tipo de hallazgos	*Tegulae*
Cortada por (Negativa)	18-38
Cubre a (Estrato)	10

UE 100

Definición Muro

Interpretación Estructura muraria formada por piedras de granito de medio tamaño (30x25 cm), careadas por un sólo lado (el que constituye el lienzo del muro), de mampostería trabada a hueso, con un macizo interno formado por piedra menuda. Esta estructura se adosaría a otra, construida en un momento anterior, de arquitectura similar (UE 170). Parecen haber estado en uso en un mismo momento, junto a una tercera estructura UE 103. Fue localizado en planta en el Sector NW, al W de la excavación dirigida por M.J. Iglesias Darriba. Presentó material arqueológico asociado compuesto por fragmentos de ánfora norteafricana, cerámica común romana de producción local y de importación y TSA-D.

Dimensiones	4 m longitud x 65 cm de ancho x 25 cm alzado conservado
Forma	Rectangular
Materiales	Granito y esquisto
Orientación	N-S
Sector	NW
Técnica	Mampostería sin argamasa
Tipo	Muro
Cubierto por (Estrato)	12
Se le apoya (Estrato)	13
Cortado por (Negativa)	131-3
Se adosa en (Estructura)	170
Se asienta en (Estrato)	162

UE 101

Definición Interfacies de destrucción

Interpretación Acción destructiva de la estructura UE 170, localizada en planta a lo largo del Sector NW. Se corresponde en planta, aproximadamente, con las dimensiones de dicha estructura.

Dimensiones	16 m longitud x 1,9 m ancho x 30 cm aproximado potencia
Sector	NW
Tipo	Interfacies de destrucción
Cortada por (Negativa)	3
La cubre (Estrato)	12
La rellena (Estrato)	110
Corta a (Estrato)	88-13-167

Corta a (Estructura)	170
Corta a (Negativa)	166

UE102

Definición Depósito

Interpretación Segundo depósito que colmata a la interfacies de destrucción UE 169. Se compone de tierra arcillosa de color anaranjado de textura muy plástica. El material de construcción y la muestra de madera carbonizada, así como su textura arcillosa, indicarían su relación con el desmontaje de la estructura relacionada. Fueron localizados fragmentos de ánfora norteafricana, bética y del Mediterráneo oriental, cerámica común romana y TSA-D (Forma Hayes 104 C).

Color	Marrón naranja
Compactación	Alta
Composición	Tierra arcillosa
Dimensiones	4 m longitud x 3,7 m ancho x 10-15 cm potencia
Frecuencia de hallazgos	Media
Granulometría	Fina media
Sector	NW
Tipo de hallazgos	Cerámica y material de construcción
Cortada por (Negativa)	8
Cubierto por (Estrato)	80-12
Rellena a (Negativa)	169
Cubre a (Estrato)	168

UE103

Definición Muro

Interpretación Estructura muraria localizada en el Sector NW, entre el sector de la excavación dirigida por M.J. Iglesias Darriba y el muro UE 100, con unas dimensiones y orientación similares, construida en mampostería de granito, trabada a hueso. Los alzados de la estructura se componían de bloques de medio tamaño (20-25 cm), que presentaban un careado por un sólo lateral, con un macizo interno de piedra menuda.

Dimensiones	1,50 m longitud x 80 cm ancho x 25 cm alzado conservado
Forma	Rectangular
Materiales	Piedras de granito careadas por un lado, de medio tamaño (20-25 cm)
Orientación	N-S
Sector	NW
Técnica	Mampostería de granito sin argamasa
Tipo	Muro
Cubierto por (Estrato)	12
Se le apoya (Estrato)	13
Cortado por (Negativa)	169
Se asienta en (Estrato)	162

UE104

Definición Fosa

Interpretación Fosa localizada en el Sector SE de forma tendente al rectángulo, conectada por su zona N con la fosa de tipología parecida UE 95, a través del canal UE 157. Asimismo conecta con

otros dos canales de semejante tipología al anterior, en dirección S (UE 113 y UE 138).

Base	Plana
Dimensiones	4,5 m largo x 3,3 m ancho x 30 cm de profundidad
Forma en planta	Tendencia rectangular
Paredes	Inclinadas hacia el interior
Sector	SE
Tipo	Fosa
La cubre (Estrato)	13
La rellena (Estrato)	105
Cortada por (Negativa)	113-138-157
Corta a (Estructura)	139-349-355-294-352
Corta a (Negativa)	263-190-275
Corta a (Estrato)	191-89

UE 105

Definición Depósito

Interpretación Depósito homogéneo que colmata a la fosa UE 104, formado por tierra arenosa con textura limosa y componente orgánico, aportado por carbones de más de 1 cm y tonalidad marrón grisáceo. En la base del depósito fueron localizadas piedras de granito de medio tamaño, de entre 20 y 25 cm, de manera aislada. Contenía abundante material arqueológico compuesto por varios fragmentos de ánfora norteafricana, bética y del Mediteráneo oriental, cerámica común romana de producción local y de importación, TSA, TSA-D (Forma Hayes 104C) y TSFT (Forma 10A).

Datación	Época tardorromana o altomedieval
Color	Marrón grisáceo
Compactación	Media
Composición	Arena limosa y carbones de pequeño tamaño, de más de 1 cm
Dimensiones	4,5 m largo x 3,3 m ancho x 30 cm de potencia
Frecuencia de hallazgos	Alta
Granulometría	Fina
Sector	SE
Tipo de hallazgos	Material de construcción, cerámica y metal
Cubierto por (Estrato)	13
Cortada por (Negativa)	157-138-113
Rellena a (Negativa)	104

UE106

Definición Canal

Interpretación Pared W de canal, formado por 4 bloques de granito trabados sin argamasa, careados por un único lado, dando forma a la pared del canal. Fue localizado en el Sector NW, próximo a la zona de la intervención dirigida por M. J. Iglesias Darriba. Esta pared conservaba un tramo de 1,3 m de largo, con un ancho de 15-20 cm y un alzado de 20 cm. Con la pared UE 107, formaría un canal de 20 cm de ancho. Durante la intervención efectuada en marzo del 2009, en el sondeo 5, la estructura fue completamente desmontada, con la negativa del canal.

Dimensiones	Pared de 15-20 cm de ancho aproximado y 1,3 m de largo
Forma	Rectangular

Materiales	Piedras de granito de medio tamaño, de entre 10 y 35 cm de longitud
Orientación	NW-SE
Sector	SE
Técnica	Mampostería sin argamasa
Tipo	Canal
Cubierto por (Estrato)	13
Se le apoya (Estrato)	132-154
Rellena a (Negativa)	133

UE107

Definición Canal

Interpretación Pared E de canal, del que sólo se conservó un único bloque de granito rectangular, con un lado careado a fin de formar la pared del mismo. Fue localizado en el Sector SE, próximo a la intervención de M. J. Iglesias Darriba. Con la pared UE 106, formaría un canal de 20 cm de ancho. Durante la intervención efectuada en marzo del 2009, en el sondeo 5, esta estructura fue completamente desmontada, así como la negativa del canal.

Dimensiones	Pared de 10 cm de ancho aproximado
Forma	Rectangular
Materiales	1 piedra de granito de medio tamaño (32x12 cm)
Orientación	NW-SE
Sector	SE
Técnica	Mampostería sin argamasa
Tipo	Canal
Cubierto por (Estrato)	13
Se le apoya (Estrato)	132-154
Rellena a (Negativa)	133

UE109

Definición Depósito

Interpretación Posible derrumbe localizado al E de la estructura UE 100, formado por abundante escombro de piedra, material de construcción y un sillar de granito de grandes proporciones que presenta restos de talla (posible dintel).

Color	Marrón grisáceo
Compactación	Media
Composición	Material de construcción, piedra menuda, cerámica y un bloque de granito
Dimensiones	3 m longitud x 2,5 m ancho x 30 cm aproximado de potencia
Frecuencia de hallazgos	Baja
Granulometría	Media
Sector	NW
Tipo de hallazgos	Material de construcción y *tegulae*
Cubierto por (Estrato)	12
Cubre a (Estrato)	13

UE 110

Definición Depósito

Interpretación Depósito de colmatación de la interfacies (UE 101), de destrucción de la estructura UE 170, formado por escombro de granito de pequeño (10-15 cm) y mediano tamaño (20-25 cm), con concentraciones de material de construcción (*tegulae* fundamentalmente) y cerámica. Fue localizado en planta longitudinalmente de W a E, en el Sector NW.

Color	Marrón grisáceo
Compactación	Media
Composición	Tierra arenosa y piedras de granito de pequeño (10-15 cm) y medio tamaño (20-25 cm)
Dimensiones	16 m longitud x 1,9 m ancho x 30 cm potencia aproximada
Frecuencia de hallazgos	Media
Granulometría	Fina media
Sector	NW
Tipo de hallazgos	Material de construcción y cerámica
Cubierto por (Estrato)	12
Rellena a (Negativa)	101

UE113

Definición Zanja

Interpretación Canal localizado en el Sector SE, cortado por la fosa UE 104 y por el muro pantalla. Presentaba paredes y base en "V", bien definidas y regulares, resultando similar tipológica y cronológicamente a los canales UE 157 y UE 138, realizados sobre el nivel de abandono de las salinas. Asimismo, parece relacionarse con la fosa UE 104, en la que desembocaría. Podría tratarse de un canal de reparación que entra en funcionamiento en un momento en el canal al que está cortando (UE 138) se abandona.

Base	Cóncava y sección en "V"
Dimensiones	30-35 cm de ancho x 20 cm de profundidad x 3,7 m de trazado
Forma en planta	Rectangular
Orientación	NW-SE
Paredes	Inclinadas hacia el interior
Sector	SE
Tipo	Canal
Cortada por (Negativa)	3
La cubre (Estrato)	13
La rellena (Estrato)	114
Corta a (Estructura)	134-137-135-355-352
Corta a (Estrato)	226-105-89-126
Corta a (Negativa)	275-138-136-125-104

UE 114

Definición Depósito

Interpretación Depósito de colmatación del canal UE 113, compuesto por tierra arenosa con limos, de composición homogénea y con con carboncillos de más de 1 cm. Presenta material arqueológico compueste por fragmentos de ánfora norteafricana, bética y del Mediterráneo oriental, cerámica común romana de producción local y de importación y TSA.

Color	Marrón grisáceo

Compactación	Media
Composición	Arena con limos y piedras de tamaño menudo (10-15 cm)
Dimensiones	30-35 cm de ancho x 20 cm de profundidad x 3,7 m de trazado
Frecuencia de hallazgos	Baja
Granulometría	Fina
Sector	SE
Tipo de hallazgos	Vidrio, metal y ánfora
Cortada por (Negativa)	3
Cubierto por (Estrato)	13
Rellena a (Negativa)	113

UE115

Definición Agujero de poste

Interpretación Agujero de poste localizado en el Sector SE, al W de la fosa UE 104. Presenta paredes y base bien definidas y regulares, siendo excavado sobre el nivel de abandono de las salinas.

Base	Cóncava
Dimensiones	32 Longitud x 22 Ancho x 14 cm de profundidad
Forma en planta	Ovalada
Paredes	Inclinadas hacia el interior
Sector	SE
Tipo	Agujero de poste
La cubre (Estrato)	13
La rellena (Estrato)	116
Corta a (Estrato)	89
Corta a (Negativa)	275
Corta a (Estructura)	352

UE 116

Definición Depósito

Interpretación Depósito de agujero de poste (UE 115), compuesto por tierra arenosa y limos, con manchas de carbones de más de 1 cm. Fue localizado vidrio y fragmenos cerámicos de pequeño tamaño.

Color	Gris claro amarronado
Compactación	Baja
Composición	Tierra arenosa con limos, piedras de pequeño tamaño y carboncillos de más de 1 cm
Dimensiones	32 cm longitud x 22 cm ancho x 14 cm potencia
Frecuencia de hallazgos	Baja
Granulometría	Fina
Sector	SE
Tipo de hallazgos	Fragmentos cerámicos y vidrio
Cubierto por (Estrato)	13
Rellena a (Negativa)	115

UE117

Definición Agujero de poste

Interpretación Agujero de poste de planta circular, pérfil cónico, con la base y paredes bien definidas. Fue excavado sobre la base de las salinas y cubierto por el nivel de abandono de ésta, situándose en el Sector SE, próximo al perfil S de la zanja 5, realizada en los sondeos mecánicos abiertos en el año 2005.

Base	Cóncava
Dimensiones	30 cm de diámetro x 20 cm de profundidad
Forma en planta	Circular
Paredes	Inclinadas hacia el interior
Sector	SE
Tipo	Agujero de poste
La cubre (Estrato)	89
La rellena (Estrato)	118
Corta a (Estrato)	35
Corta a (Negativa)	274
Corta a (Estructura)	351

UE 118

Definición Depósito

Interpretación Depósito de agujero de poste (UE 117), formado por tierra de textura arenosa y pequeñas piedras de cuarzo de entre 1 y 5 cm. El estrato, bastante homogéneo, presentaba componente mineral, con manchas de carbón.

Color	Gris oscuro
Compactación	Baja
Composición	Tierra arenosa y piedras de pequeño tamaño de cuarzo de entre 5 y 10 cm
Dimensiones	30 cm diámetro x 20 cm profundidad
Frecuencia de hallazgos	Baja
Granulometría	Fina
Sector	SE
Tipo de hallazgos	2 fragmentos cerámicos
Cubierto por (Estrato)	89
Rellena a (Negativa)	117

UE119

Definición Fosa

Interpretación Fosa de forma ovalada, realizada sobre la base de las salinas. Presentaba base y paredes bien definidas, situándose en el Sector SE, próxima al perfil S de la zanja de sondeo 5, abierta en 2005.

Base	Cóncava
Dimensiones	50cm de longitud x 32 cm de anchura x15 cm profundidad
Forma en planta	Ovalada
Paredes	Inclinadas hacia el interior
Sector	SE

Tipo	Fosa
La cubre (Estrato)	89
La rellena (Estrato)	120
Corta a (Negativa)	274
Corta a (Estructura)	351

UE 120

Definición Depósito

Interpretación Depósito de agujero de poste (UE 119), de composición arenosa, con alguna pequeña bolsada arcillosa, piedras meteorizadas de pequeño tamaño de entre 1 y 2 cm, y carbones de entre 2 mm y 3 mm.

Color	Gris oscuro
Compactación	Baja
Composición	Tierra arenosa arcillosa, carbones y pequeñas piedras meteorizadas
Dimensiones	50x32x15 cm potencia
Frecuencia de hallazgos	Baja
Granulometría	Fina
Sector	SE
Tipo de hallazgos	Ánfora
Cubierto por (Estrato)	89
Rellena a (Negativa)	119

UE123

Definición Agujero de poste

Interpretación Agujero de poste realizado sobre la base de las salinas, ocalizado en el Sector SE, próximo al muro pantalla y al muro de salinas UE 139. Presentaba forma circular casi perfecta, con el fondo plano, llegando a descubrirse piedras de granito que formarían parte de la base de las salinas. Presentaba las paredes inclinadas hacia el interior, si bien tendentes a la verticalidad.

Base	Plana
Dimensiones	24 cm diámetro x 12 cm profundidad
Forma en planta	Circular
Paredes	Inclinadas hacia el interior
Sector	SE
Tipo	Agujero de poste
La cubre (Estrato)	89
La rellena (Estrato)	124
Corta a (Negativa)	275
Corta a (Estructura)	355

UE 124

Definición Depósito

Interpretación Depósito de agujero de poste (UE 123), muy homogéneo, de composición mineral, formado por tierra arenosa con bolsadas arcillosas, carbones de más de 1 cm y piedras de pequeño tamaño de entre 1 y 2 cm. Fue localizada cerámica común romana.

Color	Gris pardo

Compactación	Baja
Composición	Arena con limos, carbones de más de 1 cm y piedras de pequeño tamaño, de entre 1 y 2 cm
Dimensiones	24 cm diámetro x 12 cm potencia
Frecuencia de hallazgos	Media
Granulometría	Fina
Sector	SE
Tipo de hallazgos	Cerámica
Cubierto por (Estrato)	89
Rellena a (Negativa)	123

UE125

Definición Zanja

Interpretación Localizada en planta en el Sector SE, entre la fosa UE 104 y el perfil E de la zanja de sondeo 4, realizada en 2005. Su trazado por el N, aparecía interrumpido por la zanja de sondeo 5. Hacia el S fue cortada por la construcción del muro pantalla y por el canal UE 113. Su base presentaba forma cóncava hasta su mitad, con 90 cm de ancho y 30 cm de profundidad. Realizada sobre un nivel arenoso, en el que se asienta la base de las salinas (UE 35). En este punto presenta menor anchura, con 60 cm aproximadamente y 13 cm de profundidad y base plana, realizada sobre un nivel de limos gris oscuro. La zanja delimita dos zonas. Hacia el W la salina se conserva en peor estado (UE 351), apreciándose claramente la base de guijarros oxidados de granito. Hacia el E, la salina es más compacta y arcillosa (UE 352), conservándose mejor los muros de delimitación de los tanques de salinas. Podría corresponderse con la interfacies de destrucción (UE 257) de la zona de paso formada por las estructuras UE 249 y 250.

Base	Cóncava por su tramo S y plana en su tramo N
Dimensiones	90 cm de ancho máximo y 60 cm ancho mínimo, con 30 cm profundidad máxima y 13 cm de profundidad mínima, por 9,5 m longitud.
Forma en planta	Rectangular
Orientación	N-S
Paredes	Inclinadas hacia el interior
Sector	SE
Tipo	Zanja
Cortada por (Negativa)	66-113
La cubre (Estrato)	89
La rellena (Estrato)	126
Corta a (Estrato)	35
Corta a (Negativa)	275-263-274
Corta a (Estructura)	355-139-352-354-351

UE 126

Definición Depósito

Interpretación Depósito heterogéneo formado por tierra con limos y carbones, si bien es bastante mineral. Aparece abundante material cerámico con concreciones carbonizadas, fragmentos de ánfora norteafricana, bética y del Mediterráneo oriental, cerámica común romana, TSFT (Forma 3) y TSH.

Color	Gris claro
Compactación	Media
Composición	Arena limosa y carbones (1-2 cm)

Dimensiones	90 cm de ancho máximo y 60 cm ancho mínimo, 30 cm de profundidad máxima y 13 cm de profundidad mínima, con 9,5 m de largo
Frecuencia de hallazgos	Alta
Granulometría	Fina
Sector	SE
Tipo de hallazgos	Cerámica, material de construcción y vidrio
Cubierto por (Estrato)	89
Cortada por (Negativa)	113
Rellena a (Negativa)	125

UE127

Definición Fosa

Interpretación Localizada en el Sector SE, al pie del muro pantalla y al E del canal UE 113. Presenta dimensiones irregulares, estando escavada sobre la base de la salina, cubriéndola el nivel de abandono.

Base	Irregular
Dimensiones	90 cm largo x 50 cm ancho x 28 cm profundidad máxima
Forma en planta	Ovalada
Orientación	N-S
Paredes	Inclinadas hacia el interior
Sector	SE
Tipo	Fosa
La cubre (Estrato)	89
La rellena (Estrato)	128
Corta a (Estrato)	35
Corta a (Negativa)	275
Corta a (Estructura)	355

UE 128

Definición Depósito

Interpretación Depósito que colmata a la fosa UE 127, formado por tierra arcillosa con multitud de manchas de carbón de entre 1 y 2 cm, siendo más arenosa y con menos carbones en su base. El depósito es bastante orgánico, localizándose escoria de metal, material cerámico (fragmentos de ánfora y cerámica común romana) y una concentración de piedras de tamaño medio de entre 10 y 15 cm.

Color	Gris oscuro
Compactación	Media
Composición	Tierra arcillosa, carbones, piedras de tamaño medio (10-15 cm) y escorias de metal
Dimensiones	90 cm largo x 50 cm ancho x 28 cm profundidad máxima
Frecuencia de hallazgos	Media
Granulometría	Fina plástica
Sector	SE
Tipo de hallazgos	Cerámica y escorias
Cubierto por (Estrato)	89

Rellena a (Negativa)	127

UE 129

Definición Depósito

Interpretación Depósito que colmata a la zanja de cimentación UE 130. De carácter heterogéneo, aparece formado por abundante material de construcción, cerámica y escombro de piedra de pequeño tamaño (10-15 cm). Entre el material cerámico fueron recogidos fragmentos de ánfora norteafricana y del Mediterráneo oriental, cerámica común romana de producción local y de importación, TSFT (Forma 3), TSA-D (Posible Forma "Atlante", Tav. XLVIII, II), TSA y TSA-D (Forma Hayes 104C).

Color	Gris oscuro y marrón
Compactación	Media
Composición	Tierra arcillosa, piedra menuda (10-15 cm) y manchas de carbones (1 cm aproximado)
Dimensiones	90 cm ancho máximo x 30 cm profundidad máxima
Frecuencia de hallazgos	Alta
Granulometría	Fina
Sector	NW
Tipo de hallazgos	Cerámica, material de construcción y vidrio
Cortada por (Negativa)	3
Cubierto por (Estrato)	12
Rellena a (Negativa)	130

UE 130

Definición Zanja

Interpretación Zanja, posiblemente de cimentación, de una estructura de la fase tardorromana, localizada en el Sector NW, al W de la estructura UE 100. En planta presenta forma en "U", con dimensiones de 5,5 m (E-W), por 3,5 m (N-S) hasta el muro pantalla, con un ancho máximo de 90 cm y una profundidad máxima de 30 cm. Presenta igual orientación que las estructuras tardorromanas UE 100 y UE 103.

Base	Plana
Dimensiones	90 cm ancho máximo x 30 cm profundidad máxima
Forma en planta	Rectangular
Orientación	E-W
Paredes	Rectas aproximadamente
Sector	NW
Tipo	Zanja de cimentación
Cortada por (Negativa)	3
La cubre (Estrato)	12
La rellena (Estrato)	129
Corta a (Estrato)	13

UE131

Definición Interfacies de destrucción

Interpretación Interfacies de destrucción de la estructura UE 100, situada en el Sector NW, al N de dicha estructura.

Base	Plana

Dimensiones	1 m aproximado largo hasta el muro pantalla x 70 cm ancho x 15 cm profundidad
Forma en planta	Rectangular
Orientación	N-S
Paredes	Aproximadamente rectas
Sector	NW
Tipo	Zanja de expolio
Cortada por (Negativa)	3
La cubre (Estrato)	12
La rellena (Estrato)	261
Corta a (Estrato)	13
Corta a (Estructura)	100

UE 132

Definición Depósito

Interpretación Depósito superior que colmata al canal formado por las estructuras UE 106 y UE 107. Se trata de un depósito arenoso con componente limoso, bastante homogéneo, bien diferenciable, con componente orgánico en forma de carbones de pequeño tamaño (0,5 cm). Fueron localizadas fragmentos de cerámica común romana y TSA-D.

Color	Gris claro
Compactación	Alta
Composición	Arena con limos y carbones de pequeño tamaño (0,5 cm)
Dimensiones	1,5 m largo x 15 cm potencia x 20 cm ancho
Frecuencia de hallazgos	Media
Granulometría	Fina
Sector	SE
Tipo de hallazgos	Cerámica y vidrio
Cubierto por (Estrato)	13
Rellena a (Negativa)	133
Se apoya en (Estructura)	107-106
Cubre a (Estrato)	154

UE 133

Definición Corte

Interpretación Corte realizado sobre el nivel de abandono de los tanques de cristalización (UE 89) para encajar las paredes (UE 106 y UE 107) que conforman un canal de 22 cm de ancho y 20 cm de profundidad, con un tramo conservado de 134 cm. Situado en el Sector SE, entre la fosa UE 104 y la zona de excavación dirigida por M. J. Iglesias Darriba. En la intervención de Marzo del 2009, en el sondeo 4, esta negativa, con las paredes que delimitaban el canal, fueron desmontadas.

Base	Plana
Dimensiones	1,5 m longitud x 20 cm profundidad x 60 cm ancho
Orientación	NW-SE
Sector	SE
Tipo	Corte
La cubre (Estrato)	13

La rellena (Estructura) 106-107

La rellena (Estrato) 132-154

Corta a (Estrato) 89

UE 134

Definición Canal

Interpretación Estructura formada por dos lajas de granito de tamaño medio (10-15 cm), dispuestas en un lateral del canal UE 138, formando su pared E. La estructura se presentaba muy endeble, compuesta por bloques sin trabajar, si bien seleccionados por su tamaño rectangular. Carecía de alguna piedra de la pared, cuyo hueco ocuparían probablemente alguna de las localizadas en el fondo del depósito que colmata el canal. Fue localizada dentro del canal UE 138, Sector SE, próxima a la fosa UE 104.

Dimensiones 50 cm de trazado

Materiales Bloques de granito de medio tamaño (10-15 cm)

Orientación NW-SE

Sector SE

Técnica Bloques sin carear

Tipo Pared E de canal

Cubierto por (Estrato) 13

Cortado por (Negativa) 113-136

Rellena a (Negativa) 138

Se asienta en (Estructura) 137

UE 135

Definición Canal

Interpretación Estructura compuesta por dos bloques de granito de medio tamaño (10-15 cm), dispuestos en la pared W del canal UE 138. La estructura se conservaba muy endeble, si bien no presenta elaboración. Las piedras fueron seleccionadas expresamente (aunque no trabajadas), por forma y tamaño. Carecía de alguna piedra de la pared, cuyo hueco ocuparían probablemente alguna de las localizadas en el fondo del depósito que colmata el canal. Fue localizada dentro del canal UE 138, Sector SE, próxima a la fosa UE 104.

Dimensiones 32 cm de trazado

Materiales Bloques de granito de medio tamaño (10-15 cm)

Orientación NW-SE

Sector SE

Técnica Bloques sin carear

Tipo Pared W de canal

Cubierto por (Estrato) 13

Cortado por (Negativa) 136-113

Rellena a (Negativa) 138

Se asienta en (Estructura) 137

UE 136

Definición Interfacies de destrucción

Interpretación Interfacies de destrucción del canal UE 138. Las paredes (UE 134 y UE 135) y la base (UE 137) del canal, se encontraron incompletas. Dos de las piedras de granito, localizadas en el fondo del canal en posición secundaria, parecían coincidir en forma y tamaño, con las usadas como

paredes del canal.

Dimensiones	85 cm x 26 cm x16 cm de profundidad
Sector	SE
Tipo	Interfacies de destrucción
La cubre (Estrato)	13
Cortada por (Negativa)	113
La rellena (Estrato)	226
Corta a (Negativa)	138
Corta a (Estructura)	137-135-134

UE 137

Definición Base

Interpretación Base del canal UE 138 formado por un conjunto de piedras de granito de pequeño tamaño (10x15 cm) trabadas con un depósito de tierra limosa, de color gris claro, de grano fino, bastante compactado, que conforman una base muy endeble.

Dimensiones	85 cm longitud x 26 cm ancho
Materiales	Granito y arena limosa
Orientación	NW-SE
Sector	SE
Técnica	Base de piedras de granito de pequeño tamaño compactadas con arena limosa
Tipo	Piedras de pequeño tamaño (10x15 cm) y arena limosa
Se le asienta (Estructura)	135-134
Cortado por (Negativa)	136-113
Rellena a (Negativa)	138

UE 138

Definición Zanja

Interpretación Canal localizado en el Sector SE, entre el muro pantalla y la fosa UE 104, cortado además por el canal UE 113. El canal aparecía formado por dos paredes y una base de piedras de granito de pequeño tamaño, que conformaban una estructura muy endeble de 85 cm de trazado, 26 cm de ancho y 16 cm de profundidad.

Base	Cóncava
Dimensiones	85 cm x26 cm x16 cm de profundidad
Forma en planta	Rectangular
Orientación	NE-SW
Paredes	Inclinadas ligeramente hacia el interior
Sector	SE
Tipo	Canal
La cubre (Estrato)	13
La rellena (Estructura)	135-134-137
Cortada por (Negativa)	136-113
Corta a (Negativa)	104-275
Corta a (Estrato)	105-89

Corta a (Estructura)	285-352-355

UE 139

Definición Muro

Interpretación Murete que delimitaba los tanques de cristalización 7, 8 y 9 por sus lados S y los tanques 10, 11 y 12 por su lado N. Situado en el Sector SE, entre la zanja UE 125 y el muro pantalla, presentaba orientación E-W. Los restos conservados se ceñían a un esqueleto de piedras de granito de tamaño medio (20-25 cm), hincadas en la base de las salinas. Dibujaban un plano ortogonal, con forma aproximadamente cuadrada, cuyos lados miden 8 m de longitud. Con la estructura UE 140 formaría el punto de intersección de los tanques de cristalización 8, 9, 11 y 12. Esta estructura se encontraba alterada en el momento de excavación, en su lado E, debido a la construcción del muro pantalla y hacia el W por la fosa UE 104. Durante la intervención de Marzo del 2009, en el sondeo 5, fueron extraídas 3 lajas de granito y esquisto de formas y dimensiones similares, alargadas y apuntadas, originalmente hincadas sobre el nivel de arena sobre el que asientan las salinas.

Dimensiones	11 m de largo aproximado, sobresaliendo 20-25 cm de la base de la salina
Materiales	Lajas de granito y esquisto de medio tamaño (30x25-40x25 cm)
Orientación	E-W
Sector	SE
Técnica	Hincadas verticalmente en la base de las salinas
Tipo	Murete de delimitación de tanques de salinas
Cubierto por (Estrato)	89
Cortado por (Negativa)	104-335-125-3
Se le adosa (Estructura)	353-294-352-285-356-355-78
Rellena a (Negativa)	263

UE140

Definición Muro

Interpretación Murete de delimitación de los tanques de cristalización 2, 5, 8 y11 por su lado E y 3, 6, 9 y 12 por su lado W, situándose en el Sector N y SE, discurriendo de N-S desde la pared N, hasta la pared S del muro pantalla. Los restos conservados se ceñían a un esqueleto de piedras de granito y esquisto de medio tamaño, hincadas en la base de las salinas. Dibujaban un plano ortogonal, con forma aproximadamente cuadrada, cuyos lados medían 8 m de longitud. Con la estructura UE 139 formaría el punto de intersección de los tanques de cristalización 8, 9, 11 y 12, al igual que con el muro de delimitación UE 253, perpendicular a UE 140, con el que formaba el punto de intersección de los tanques 5, 6, 8 y 9. Siguiendo la línea de la estructura UE 248, si bien no se conservaron evidencias estructurales, se intuye otro punto de intersección entre los tanques 2, 3, 5 y 6. Esta estructura se conservaba bastante completa, si bien interrumpida parcialmente por la fosa UE 141, llegando al área de la excavación dirigida M. J. Iglesias Darriba. Durante la intervención de Marzo del 2009, en el sondeo 4, se desmontó parcialmente este murete, documentándose lajas de granito y esquisto de proporciones parecidas (30x20 cm aproximado), de forma alargada y apuntada, calzadas con piedras de pequeño tamaño.

Dimensiones	20 m aproximado de largo, sobresaliendo 25-30 cm de la base de la salina
Materiales	Lajas de granito y esquisto de medio tamaño
Orientación	N-S
Sector	N y SE
Técnica	Hincadas verticalmente en la base de las salinas
Tipo	Murete de delimitación de tanques de salinas
Cortado por (Negativa)	3-175-141
Cubierto por (Estrato)	89

Se le adosa (Estructura)	348-294-350-308-78-353-352
Rellena a (Negativa)	262

UE 141

Definición Fosa

Interpretación Fosa localizada en el Sector SE, próxima a la excavación llevada a cabo por M. J. Iglesias Darriba. Se correspondía con una fosa de paredes y base bien definida, localizada en planta cortando el nivel de abandono de las salinas (UE 89), la base de los tanques 8 y 9 de cristalización e interrumpiendo el murete de salinas UE 140.

Base	Cóncava
Dimensiones	82x50x13 cm de profundidad
Forma en planta	Ovalada
Orientación	N-S
Paredes	Inclinadas hacia el interior
Sector	SE
Tipo	Fosa
La cubre (Estrato)	13
La rellena (Estrato)	153
Corta a (Estrato)	35-89
Corta a (Estructura)	140-352-353-308-294
Corta a (Negativa)	262-275

UE142

Definición Agujero de poste

Interpretación Corte localizado en el Sector SE, próximo a la fosa UE 196 y el canal UE 157. Se corresponde con un agujero de poste de paredes, rectas en la parte superior e inclinadas en su base, limitada por un círculo de calzos compuestos por piedras de granito y cuarzo.

Base	Con tendencia plana
Dimensiones	24 cm de diámetro x 10 cm profundidad
Forma en planta	Circular
Paredes	Inclinadas hacia el interior
Sector	Central
Tipo	Agujero de poste
La cubre (Estrato)	13
La rellena (Estrato)	143
La rellena (Estructura)	144
Corta a (Estrato)	89
Corta a (Negativa)	275
Corta a (Estructura)	352

UE 143

Definición Depósito

Interpretación Depósito del agujero de poste UE 142, compuesto por arenas y algo de limo con carboncillos de 5 mm. Se trata de un depósito homogéneo, de color marrón grisáceo, que contenía cerámica. En las paredes fue localizado un fragmento de *tegula* hincada, que podría formar parte de la estructura que constituye la base de las salinas (UE 78). Este depósito fue excavado en la

intervención del 2008, completándose durante la realización de los sondeos efectuados en marzo de 2009.

Color	Marrón grisáceo
Compactación	Baja
Composición	Tierra arenosa con limos y manchas de carbones de más de 5 mm
Dimensiones	24 cm de diámetro x 10 cm profundidad
Frecuencia de hallazgos	Baja
Granulometría	Fina
Sector	SE
Tipo de hallazgos	Escasos fragmentos cerámicos
Cubierto por (Estrato)	13
Rellena a (Negativa)	142
Se apoya en (Estructura)	144

UE 144

Definición Calzos

Interpretación Calzos dispuestos en la pared del agujero de poste UE 142, describiendo un semicírculo. Lo constituyen dos piedras de cuarzo de forma cuadrada y cinco lajas de granito, clavadas perpendicularmente a la pared del agujero, con un tamaño medio de 10x15 cm.

Dimensiones	Piedras de mediano tamaño (10x15 cm aproximado)
Forma	Semicircular
Materiales	Granito y cuarzo
Sector	SE
Técnica	Apoyadas a la pared del agujero
Tipo	Calzos de agujero de poste
Cubierto por (Estrato)	13
Se le apoya (Estrato)	143
Rellena a (Negativa)	142

UE 145

Definición Agujero de poste

Interpretación Agujero de poste de planta aproximadamente circular, de paredes y base irregulares, situado en el Sector SE.

Base	Cóncava
Dimensiones	28 cm diámetro x 9 cm profundidad
Forma en planta	Circular
Paredes	Inclinadas hacia el interior
Sector	SE
Tipo	Agujero de poste
La cubre (Estrato)	89
La rellena (Estructura)	147
La rellena (Estrato)	146
Corta a (Negativa)	275

Corta a (Estructura)	353

UE 146

Definición Depósito

Interpretación Depósito del agujero de poste (UE 145), formado por tierra arenosa limosa, de composición mineral fundamentalmente, con pequeños carbones de entre 5 mm y 1 cm. Se correspondió con un depósito muy homogéneo, de color marrón grisáceo, con alguna piedra de pequeño tamaño.

Color	Marrón grisáceo
Compactación	Baja
Composición	Tierra arenosa con limos y pequeños carbones de entre 5 mm y 1 cm
Dimensiones	28 cm diámetro x 9 cm profundidad
Frecuencia de hallazgos	Baja
Granulometría	Fina
Sector	SE
Tipo de hallazgos	Cerámica
Cubierto por (Estrato)	89
Se apoya en (Estructura)	147
Rellena a (Negativa)	145

UE 147

Definición Calzo

Interpretación Calzo del agujero de poste UE 145, formado por una laja de esquisto de tamaño medio, hincado aproximadamente en el centro del agujero de poste UE 146.

Dimensiones	22x10 cm
Forma	Laja
Materiales	Piedra de esquisto de medio tamaño
Orientación	NW-SE
Sector	SE
Tipo	Calzo de agujero de poste
Cubierto por (Estrato)	89
Se le apoya (Estrato)	146
Rellena a (Negativa)	145

UE148

Definición Agujero de poste

Interpretación Agujero de poste localizado en el Sector SE, entre el canal formado por las UE 106 y UE 107 y la estructura de delimitación de salinas UE 140. Presentaba paredes y base regulares, siendo realizado sobre la base de las salinas.

Base	Cóncava
Dimensiones	22 cm diámetro aproximado x 10 cm profundidad
Forma en planta	Circular
Paredes	Casi rectas
Sector	SE
Tipo	Agujero de poste

La cubre (Estrato)	89
La rellena (Estructura)	152
La rellena (Estrato)	149
Corta a (Negativa)	275
Corta a (Estructura)	352

UE 149

Definición Depósito

Interpretación Relleno del agujero de poste UE 148, formado por un depósito homogéneo de tierra arenosa limosa, que contiene carbones de muy pequeño tamaño (2-3 mm) y manchas de óxido.

Color	Marrón grisáceo
Compactación	Media
Composición	Tierra arenosa limosa, con manchas de óxido y carbones (2-3 mm)
Dimensiones	22 cm diámetro aproximado x 10 cm potencia
Frecuencia de hallazgos	Baja
Granulometría	Fina
Sector	SE
Tipo de hallazgos	1 fragmento cerámico
Cubierto por (Estrato)	8
Rellena a (Negativa)	148
Se apoya en (Estructura)	152

UE150

Definición Agujero de poste

Interpretación Agujero de poste situado en planta en el Sector SE, entre la fosa UE 141 y el agujero de poste UE 148. Fue excavado sobre la estructura UE 352, correspondiente a la base de las salinas del tanque 8 de cristalización, presentando forma regular y bien definida.

Base	Cóncava
Dimensiones	25 cm x 20 cm x10 cm profundidad
Forma en planta	Circular
Paredes	Inclinadas hacia el interior
Sector	SE
Tipo	Agujero de poste
La cubre (Estrato)	89
La rellena (Estrato)	151
Corta a (Negativa)	275
Corta a (Estructura)	352

UE 151

Definición Depósito

Interpretación Depósito del agujero de poste UE 150, arenoso y con limos, bastante homogéneo y predominantemente mineral, si bien contenía carbones de pequeño tamaño, de más de 1 mm.

Color	Marrón grisáceo
Compactación	Media

Composición	Tierra arenosa con limo
Dimensiones	25 cm x 20 cm x10 cm potencia
Frecuencia de hallazgos	Baja
Granulometría	Fina
Sector	SE
Tipo de hallazgos	Escoria de vidrio
Cubierto por (Estrato)	89
Rellena a (Negativa)	150

UE 152

Definición Calzos

Interpretación Calzo de cuarzo de medio tamaño (10x15 cm), del agujero de poste UE 148, localizado en la pared N.

Dimensiones	10 cm x15 cm
Forma	Rectangular
Materiales	Cuarzo
Sector	SE
Técnica	Apoyado en la pared N
Tipo	Calzos de burato de poste
Cubierto por (Estrato)	89
Se le apoya (Estrato)	149
Rellena a (Negativa)	148

UE 153

Definición Depósito

Interpretación Depósito heterogéneo compuesto principalmente por una bolsada de limos y otra arenosa. Presenta apariencia orgánica debido a la alta concentración de carbones, mayor en su zona NW. Fue localizada cerámica común romana y ánfora norteafricana.

Color	Gris con alguna bolsada marrón
Compactación	Alta
Composición	Limo, arena, piedras de pequeño tamaño y carbones de entre 1 y 2 cm
Dimensiones	82 cm x50 cm x13 cm de potencia
Frecuencia de hallazgos	Alta
Granulometría	Fina
Sector	SE
Tipo de hallazgos	Cerámica
Cubierto por (Estrato)	13
Rellena a (Negativa)	141

UE 154

Definición Depósito

Interpretación Depósito inferior de colmatación del canal UE 106, UE 107, compuesto por tierra arenosa, si bien de textura limosa. Su composición es fundamentalmente mineral y presenta carbones de más de 1 cm. Fue localizada cerámica común romana y ánfora norteafricana.

Color	Pardo grisáceo

Compactación	Alta
Composición	Arena con limo y pequeños fragmentos de carbón de más de 1 cm
Dimensiones	1,5 m longitud x 20 cm ancho x 5 cm de potencia
Frecuencia de hallazgos	Baja
Granulometría	Fina
Sector	SE
Tipo de hallazgos	Cerámica, material de construcción y vidrio
Cubierto por (Estrato)	132
Rellena a (Negativa)	133
Se apoya en (Estructura)	107-106

UE155

Definición Agujero de poste

Interpretación Agujero de poste de planta rectangular. Presenta pared con un escalón de 4-5 cm, llegando a profundizar 16 cm. Sus paredes aparecieron bien definidas y en su base fue localizada una piedra de granito de medio tamaño. Se situaba en planta en el Sector SE, entre la fosa UE 104 y el canal UE 106 UE 107.

Base	Plana
Dimensiones	22x17x16 cm profundidad
Forma en las esquinas	Redondeadas
Forma en planta	Aproximadamente cuadrada
Paredes	Ligeramente inclinadas hacia el interior
Sector	SE
Tipo	Agujero de poste
La cubre (Estrato)	89
La rellena (Estrato)	156
Corta a (Negativa)	275
Corta a (Estructura)	352

UE 156

Definición Depósito

Interpretación Depósito del agujero de poste UE 155, formado por tierra arenosa con componente limoso con carboncillos de 5 mm de tamaño aproximado.

Color	Gris claro
Compactación	Baja
Composición	Tierra arenosa con limo, pequeños carbones (5 mm) y piedras de pequeño tamaño (2-3 cm)
Dimensiones	22 cm x17 cm x16 cm potencia
Frecuencia de hallazgos	Baja
Granulometría	Fina
Sector	SE
Tipo de hallazgos	2 fragmentos cerámicos
Cubierto por (Estrato)	89
Rellena a (Negativa)	155

UE157

Definición Corte

Interpretación Canal localizado en el Sector SE, con perfil en "V", que conecta entre las fosas UE 95 y UE 104. Tipológica y cronológicamente sería semejante a los localizados en conexión con la fosa UE 104, hacia el S (canales UE 138 y UE 113). Fueron excavados sobre un depósito que evidencia un nivel de abandono de las salinas (UE 89).

Base	Cóncava, perfil en "V"
Dimensiones	4 m de longitud x 24 cm ancho x 9 cm profundidad
Forma en planta	Rectangular
Orientación	N-S
Paredes	Inclinadas hacia el interior
Sector	SE
Tipo	Canal
La cubre (Estrato)	13
La rellena (Estrato)	158
Corta a (Estrato)	89-105-96
Corta a (Negativa)	275-95-104
Corta a (Estructura)	352-294

UE 158

Definición Depósito

Interpretación Depósito de colmatación del canal UE 157, formado por tierra con limo, de color marrón grisáceo, muy similar a la UE 13 que la cubre. Presenta material arqueológico compuestos por cerámica común romana, ánfora norteafricana y del Mediterráneo oriental.

Color	Marrón grisáceo
Compactación	Media
Composición	Tierra arenosa con limo
Dimensiones	4 m de largo x 24 cm ancho x 9 cm potencia
Frecuencia de hallazgos	Alta
Granulometría	Fina
Sector	SE
Tipo de hallazgos	Material de construcción, cerámica y ánfora
Cubierto por (Estrato)	13
Rellena a (Negativa)	157

UE 159

Definición Agujero de poste

Interpretación Agujero de poste situado en el Sector NW, entre el perfil de la zona de intervención del 2006 dirigida por M.J. Iglesias Darriba y el muro UE 100. Presenta paredes y base regulares, bien definidas. Cronológicamente sería coetáneo el agujero de poste UE 163 y a la fosa UE 185.

Base	Plana
Dimensiones	26 cm diámetro x 18 cm profundidad
Forma en planta	Circular
Paredes	Rectas

Sector	NW
Tipo	Agujero de poste
La cubre (Estrato)	13
La rellena (Estructura)	161
La rellena (Estrato)	160
Corta a (Estrato)	162-184-210
Corta a (Negativa)	183

UE 160

Definición Depósito

Interpretación Depósito similar al identificado en la UE 13, que rellena al agujero de poste UE 159. Se compone de tierra arenosa, limos y carbones de pequeño tamaño. Fue lacalizado ánfora norteafricana.

Color	Gris oscuro anaranjado
Compactación	Media
Composición	Tierra arenosa con limos y carbones de pequeño tamaño
Dimensiones	26 cm diámetro x 18 cm potencia
Frecuencia de hallazgos	Baja
Granulometría	Fina
Sector	NW
Tipo de hallazgos	Un fragmento de ánfora norteafricana
Cubierto por (Estrato)	13
Rellena a (Negativa)	159
Se apoya en (Estructura)	161

UE 161

Definición Calzos

Interpretación Tres calzos de granito de medio tamaño (30x7 cm, 15x10 cm, 13x6 cm) y otro de dimensiones mínimas (3x3 cm) dispuestos en la pared del agujero de poste, con una posición aproximadamente triangular.

Forma	Triangular
Materiales	Granito
Sector	NW
Técnica	Dispuestos perimetralmente en la pared del agujero
Tipo	Calzos de agujero de poste
Cubierto por (Estrato)	13
Se le apoya (Estrato)	160
Rellena a (Negativa)	159

UE 162

Definición Depósito

Interpretación Nivel de uso de la estructura UE 170, sobre la que posteriormente se levantan las estructuras UE 100 y UE 103. Presenta composición semejante a la UE 13, si bien con textura más arenosa y menor componente orgánico. Se sitúa en el Sector NW, al N de la estructura UE 170 y bajo las estructuras UE 100 y 103. Fueron localizados algunos fragmentos de material cerámico compuestos por ánforas procedentes del Mediterraneo oriental y norteafricanas, cerámica común

romana, TSA y TSFT.

Datación	Época altomedieval
Color	Gris claro
Compactación	Media
Composición	Tierra arenosa con limo y carbones de pequeño tamaño, de entre 0,5 y 1 cm
Dimensiones	Fue detectada en el Sector NW, con una potencia máxima de 10-15 cm
Frecuencia de hallazgos	Alta
Granulometría	Fina
Sector	NW
Tipo de hallazgos	Material de construcción y cerámica
Cortada por (Negativa)	8-3-169-185-159-163
Cubierto por (Estrato)	13
Se le asienta (Estructura)	103-100
Se apoya en (Estructura)	170
Cubre a (Estrato)	176-184-207-210-205-172
Cubre a (Negativa)	171-209-183-175

UE 163

Definición Agujero de poste

Interpretación Agujero de poste localizado en el Sector NW, al N de la estructura UE 103. Presenta paredes y base regulares, bien definidas.

Base	Plana
Dimensiones	33 cm diámetro x 10 cm profundidad
Forma en planta	Circular
Paredes	Inclinadas hacia el interior
Sector	NW
Tipo	Agujero de poste
La cubre (Estrato)	13
La rellena (Estructura)	165
La rellena (Estrato)	164
Corta a (Estrato)	162

UE 164

Definición Depósito

Interpretación Depósito arcilloso y arenoso, que presenta piedras de pequeño y mediano tamaño, con carboncillos de más de 1 cm, que rellenaba el agujero de poste UE 163. Fueron localizados dos fragmentos de cerámica común romana.

Color	Gris con manchas amarillas
Compactación	Media
Composición	Tierra arcillosa con arena, piedra de pequeño tamaño y mediano y carbones de más de 1 cm
Dimensiones	33 cm diámetro x 10 cm potencia
Frecuencia de hallazgos	Baja

Granulometría	Media
Muestra	Carbones
Sector	NW
Tipo de hallazgos	Cerámica y material de construcción
Cubierto por (Estrato)	13
Rellena a (Negativa)	163
Se apoya en (Estructura)	165

UE 165

Definición Calzos

Interpretación Estructura formada por dos calzos de granito de tamaño medio (17x8 cm y 8x25 cm), de forma aproximadamente rectangular, dispuestos en la pared W del agujero de poste UE 163.

Dimensiones	Tamaño medio (20-15 cm)
Forma	Aproximadamente rectangular
Materiales	Granito
Sector	NW
Técnica	Adosados a la pared del agujero
Tipo	Calzos
Cubierto por (Estrato)	13
Se le apoya (Estrato)	164
Rellena a (Negativa)	163

UE166

Definición Zanja

Interpretación Posible zanja localizada bajo los niveles tardorromanos localizados en el Sector NW, al S de la estructura UE 170. Presentaba planta irregular en forma de "8", con base también irregular. Podría corresponderse con la prolongación de la zanja UE 177 y UE 42, que describe un trazado más o menos rectangular, con una longitud de 15 m, siendo cortadas por las zanjas 4 y 5, abiertas en el 2005.

Base	Plana irregular
Dimensiones	2,52 m longitud x 1,63 m ancho x 40 cm profundidad
Forma en planta	Rectangular
Orientación	NW-SE
Paredes	Inclinadas hacia el interior
Sector	NW
Tipo	Zanja
La cubre (Estrato)	12
Cortada por (Negativa)	66-101
La rellena (Estrato)	167
Corta a (Estructura)	34
Corta a (Estrato)	36-88-179-13-14
Corta a (Negativa)	276-274

UE 167

Definición Depósito

Interpretación Depósito homogéneo que colmata a la zanja UE 166, de color gris oscuro y textura arenosa, con limo y carbones de pequeño tamaño. En la zona NE del depósito fue localizada una concentración de cuatro piedras de medio tamaño (20-25 cm), sin disposición aparentemente. Se trata de un depósito similar al correspondiente a las UE 43 y UE 178. Contenía algunos fragmentos de ánfora procedente del Mediterráneo oriental y norteafricanas, cerámica común romana, TSFT (Forma 3) y TSA.

Color	Gris oscuro
Compactación	Media
Composición	Tierra arenosa con limo, carbones de pequeño tamaño y piedras de medio y pequeño tamaño
Dimensiones	2,52 m x 1,63 m x 40 cm potencia
Frecuencia de hallazgos	Alta
Granulometría	Fina
Sector	NW
Tipo de hallazgos	Cerámica, material de construcción, vidrio y escoria
Cubierto por (Estrato)	12
Cortada por (Negativa)	101-66
Rellena a (Negativa)	166

UE 168

Definición Depósito

Interpretación Depósito superior de colmatación de la interfacies de destrucción UE 169. Fue localizado bajo un depósito arcilloso (UE 102). Se corresponde con un relleno bastante heterogéneo que parece coincidir, a juzgar por material asociado (piedras y cerámica), con los restos de desmontaje de las estructuras tardorromanas.

Color	Gris oscuro
Compactación	Media
Composición	Tierra arenosa con limo, piedras de pequeño tamaño (5-10 cm) y carbones (1 cm aproximado)
Dimensiones	4 m longitud x 3,7 m ancho x 10-15 cm potencia
Frecuencia de hallazgos	Alta
Granulometría	Fina media
Muestra	Carbón
Sector	NW
Tipo de hallazgos	Cerámica y material de construcción
Cubierto por (Estrato)	102
Rellena a (Negativa)	169

UE 169

Definición Interfacies de destrucción

Interpretación Acción destructiva de las estructuras tardorromanas

Base	Cóncava irregular
Dimensiones	4 m longitud x 3,7 m ancho x 30-35 cm potencia
Forma en planta	Irregular
Paredes	Irregulares

Sector	NW
Tipo	Interfacies de destrucción
Cortada por (Negativa)	8
La cubre (Estrato)	12
La rellena (Estrato)	80-168-102
Corta a (Estrato)	176-89-13-162-88
Corta a (Negativa)	175
Corta a (Estructura)	103

UE170

Definición Muro

Interpretación Muro de mampostería de granito, esquisto y cuarzo. Se trata de una estructura muy endeble que se conservaba de manera discontinua, con una hilada de piedra de 25-30 cm. Tipológicamente se asemeja a las estructuras UE 100 y UE 103, presentando la cara S bloques de piedra de granito careadas externamente, alternando las de gran tamaño (30x30 cm), con las de tamaño medio (15x20 cm). La cara N se conserva de manera irregular, con un par de piedras de medio tamaño (30x20 cm). El macizado interno, se compone de piedra menuda (5-10 cm de tamaño aproximado). Fue localizado material cerámico asociado, en el momento de desmontaje de la estructura, correspondiente a fragmentos de ánfora norteafricana y bética, cerámica común romana y TSA-D.

Dimensiones	15 m longitud x 95 cm ancho x 20-25 cm de alzado conservado
Forma	Rectangular
Materiales	Granito, esquisto y cuarzo
Orientación	E-W
Sector	NW
Técnica	Mampostería sin argamasa
Tipo	Muro
Se le apoya (Estrato)	162-205-176
Se le adosa (Estructura)	100
Cortado por (Negativa)	101
Rellena a (Negativa)	175
Se asienta en (Estructura)	206

UE 171

Definición Zanja

Interpretación Zanja situada en el Sector NW al N de la zanja de cimentación UE 175, bajo el nivel en el que se asientan las estructuras tardorromanas UE 100 y UE 103, conectada con la zanja UE 183 en su parte NE, realizada sobre el nivel de abandono de las salinas e interrumpida hacia el S por la zanja de cimentación mencionada.

Base	Plana
Dimensiones	5 m largo x 43 cm ancho x 20 cm profundidad
Forma en planta	Rectangular
Orientación	N-S
Paredes	Rectas, ligeramente inclinadas hacia el interior
Sector	NW
Tipo	Zanja

Cortada por (Negativa)	3-175
La cubre (Estrato)	162
La rellena (Estrato)	172
Corta a (Estructura)	34
Corta a (Estrato)	218-207-208-216-210-14-184-252
Corta a (Negativa)	274-209-183

UE 172

Definición Depósito

Interpretación Depósito arenoso que rellena a la zanja UE 171, con carbones de pequeño tamaño, de más de 1 cm. Fue localizado abundante material arqueológico poco rodado, con ánforas del Mediterráneo oriental, cerámica común romana, cerámica común de importación y TSA-D (Hayes 99, NN. 1, 7-8, 12).

Color	Gris oscuro
Compactación	Media
Composición	Tierra arenosa con elevada concentración de carbones de pequeño tamaño, de más de 1 cm
Dimensiones	5 m largo x 43 cm ancho x 20 cm potencia
Frecuencia de hallazgos	Alta
Granulometría	Fina
Sector	NW
Tipo de hallazgos	Vidrio, metal, cerámica y material de construcción
Cubierto por (Estrato)	162
Cortada por (Negativa)	175-3
Rellena a (Negativa)	171

UE173

Definición Fosa

Interpretación Fosa localizada en el Sector NW, próxima al muro pantalla y a la zanja 4 de los sondeos mecánicos abiertos en el 2005, excavada sobre el nivel de abandono de la salina, con paredes y base bien definidas y regulares.

Base	Plana
Dimensiones	187 cm longitud x 44 cm anchura x16 cm profundidad
Forma en las esquinas	Redondeadas
Forma en planta	Rectangular
Orientación	NE-SW
Paredes	Rectas
Sector	NW
Tipo	Fosa
La cubre (Estrato)	13
La rellena (Estrato)	174
Corta a (Estrato)	14-216
Corta a (Estructura)	34
Corta a (Negativa)	274

UE 174

Definición Depósito

Interpretación Depósito de la fosa UE 173, predominantemente mineral, con carbones y tierra arenosa con limo. Fueron localizados fragmentos de cerámica común romana muy rodados.

Color	Gris marrón
Compactación	Media
Composición	Arena con limo, carbones y piedras de pequeño tamaño
Dimensiones	187 cm x 44 cm x 16 cm potencia
Frecuencia de hallazgos	Media
Granulometría	Fina
Sector	NW
Tipo de hallazgos	Cerámica y material de construcción
Cubierto por (Estrato)	13
Rellena a (Negativa)	173

UE 175

Definición Zanja

Interpretación Zanja de cimentación de la estructura UE 170, localizada en el Sector N de la intervención dirigida por M.J. Iglesias Darriba en 2006, así como en el Sector NW de la intervención objeto de estudio, prolongándose en la parcela 3.

Base	Irregular con tendencia a la concavidad
Dimensiones	23 m longitud x 1,9 m ancho x 60 cm profundidad
Forma en planta	Irregular con tendencia rectangular
Orientación	NE-SW
Paredes	Inclinadas hacia el interior
Sector	NW y N
Tipo	Zanja de cimentación
La cubre (Estrato)	162
La rellena (Estrato)	176-205
Cortada por (Negativa)	169-3-8-6
La rellena (Estructura)	206-170
Corta a (Estrato)	35-36-89-179-33-32-216-14-172-37
Corta a (Negativa)	257-276-262-31-275-274-171
Corta a (Estructura)	285-34-350-294-140-349

UE 176

Definición Depósito

Interpretación Se trata de un depósito homogéneo de colmatación de la zanja de cimentación UE 175. Presenta arena, limo y carbones de 1-2 cm de tamaño, con abundante material arqueológico, compuesto por fragmentos de ánforas béticas, tarraconenses, del Mediterráneo oriental, norteafricanas, cerámica común romana de producción local y de importación, TSH, TSA, TSA-D (Formas "Atlante", Tav. XLVIII, II., Forma Hayes 90, N. 4., Forma Hayes 104C y 93B) y TSFT (Formas 3 y 10).

Datación	Época altomedieveal
Color	Gris oscuro

Compactación	Media
Composición	Tierra arenosa limosa y manchas de carbones
Dimensiones	23 m longitud x 1,9 m ancho x 60 cm potencia
Frecuencia de hallazgos	Alta
Granulometría	Fina
Sector	N y NW
Tipo de hallazgos	Cerámica y material de construcción
Cortada por (Negativa)	68-6-8-169
Cubierto por (Estrato)	205-162
Se apoya en (Estructura)	170-206
Rellena a (Negativa)	175

UE177

Definición Zanja

Interpretación Negativa localizada en el Sector SE, próxima a la zanja 4 de sondeo mecánico abierta en el 2005. Se trata de una zanja de paredes y base regulares, con corte perfectamente definido, posiblemente equiparable a la zanja UE 166, con una longitud de 15 m, prolongándose en la parcela 3. Aparece seccionada por los sondeos mecánicos realizados en 2005.

Base	Cóncava
Dimensiones	6,20 m largo x 70 cm ancho x 34 cm profundidad
Forma en planta	Rectangular
Orientación	NW-SE
Paredes	Inclinadas hacia el interior
Sector	SE
Tipo	Zanja
Cortada por (Negativa)	6-66
La cubre (Estrato)	12
La rellena (Estrato)	178
Corta a (Estrato)	36-14-89-13
Corta a (Estructura)	254-351
Corta a (Negativa)	273-274

UE 178

Definición Depósito

Interpretación Depósito de la zanja UE 177, compuesto de arena y limo con carbones de pequeño tamaño. Fue localizado abundante material cerámico poco rodado, compuesto por fragmentos de ánfora norteafricana y del Mediterráneo oriental y cerámica común romana de producción local y de importación. Se trata de un depósito semejante al de las UE 167 y UE 43.

Color	Gris oscuro
Compactación	Alta
Composición	Tierra arenosa limosa, carbones y grava
Dimensiones	6,20 m largo x 70 cm ancho x 34 cm potencia
Frecuencia de hallazgos	Alta
Granulometría	Fina

Sector	SE
Tipo de hallazgos	Cerámica y material de construcción
Cortada por (Negativa)	6-66
Cubierto por (Estrato)	12
Rellena a (Negativa)	177

UE 179

Definición Depósito

Interpretación Estrato localizado en el perfil N de la zanja 5, realizada con motivo de los sondeos mecánicos abiertos en 2005 y en planta en el Sector NW, al E de la zanja UE 166. Parece corresponderse con el nivel de abandono de la salina (UE 34). Fueron reocgidos fragmentos de ánfora norteafricana y bética.

Color	Marrón claro
Compactación	Media
Composición	Tierra arenosa
Dimensiones	10-15 cm de potencia
Frecuencia de hallazgos	Media
Granulometría	Fina
Sector	NW
Tipo de hallazgos	Cerámica, material de construcción y vidrio
Cubierto por (Estrato)	13
Cortada por (Negativa)	66-166-175
Rellena a (Negativa)	276

UE180

Definición Agujero de poste

Interpretación Interfacies localizada en el Sector NW, correspondiente a un agujero de poste de paredes y base bastante irregulares, realizado sobre el nivel de abandono de las salinas (UE 89).

Base	Plana
Dimensiones	38 cm largo x 33 cm ancho x 8 cm profundidad
Forma en planta	Ovalado
Paredes	Inclinadas hacia el interior
Sector	NW
Tipo	Agujero de poste
La cubre (Estrato)	13
La rellena (Estrato)	181
Corta a (Estrato)	89

UE181

Definición Depósito

Interpretación Relleno del agujero de poste UE 180, formado por un depósito homogéneo, más orgánico que mineral, con una gran concentración de carbones, en el que fue tomada como muestra, un importante bloque de madera carbonizada. Fue localizado un fragmento de cerámica común romana.

Color	Gris perla

Compactación	Media
Composición	Tierra arenosa, carbones de pequeño tamaño (1-2 cm) y piedras de pequeño tamaño de cuarzo
Dimensiones	38 cm largo x 33 cm ancho x 8 cm potencia
Frecuencia de hallazgos	Baja
Granulometría	Media
Sector	NW
Tipo de hallazgos	Un fragmento cerámico
Cubierto por (Estrato)	13
Rellena a (Negativa)	180

UE182

Definición Muro

Interpretación Murete de mampostería de granito y esquisto, formado por piedras sin trabajar y mampuestas sin argamasa. Presenta dos caras de piedra de medio tamaño (20 cm x 25 cm aproximado) y un macizado interior, formado por piedras de pequeño tamaño (10 cm x 10 cm). Esta estructura se prolonga hacia el NW, en la parcela 3, conservando un tramo de 4,5 m aproximado de longitud x 45 cm de ancho. Hacia el SE aparece interrumpido por la zanja 4, realizada con motivo de los sondeos mecánicos abiertos en el 2005. Presenta material arqueológico asociado, compuestos por fragmentos de ánfora norteafricana y del Mediterráneo oriental y cerámica común romana.

Dimensiones	4,5 m largo x 45 cm ancho x 15 cm alzado
Forma	Rectangular
Materiales	Granito y esquisto
Orientación	NE-SW
Sector	S
Técnica	Mampostería sin argamasa
Tipo	Muro
Se le apoya (Estrato)	259-58
Cortado por (Negativa)	260
Rellena a (Negativa)	188

UE 183

Definición Corte

Interpretación Localizado en planta en el Sector NW, bajo la estructura UE 100 y próximo al muro pantalla. Se trata de un canal de paredes y base regulares que parece conectar con la zanja UE 171.

Base	Cóncava, en forma de "U"
Dimensiones	4,5 m largo x 45 cm ancho x 35 cm profundidad
Forma en planta	Semicircular
Orientación	NE-SW
Paredes	Inclinadas hacia el interior
Sector	NW
Tipo	Canal
La cubre (Estrato)	162
La rellena (Estrato)	184
Cortada por (Negativa)	171-8-159

Corta a (Estructura)	34
Corta a (Estrato)	35-216-218-207-208-210-252
Corta a (Negativa)	274-209

UE 184

Definición Depósito

Interpretación Depósito de colmatación del canal UE 183, formado por un relleno homogéneo de textura, con carbones de pequeño tamaño. Presenta concentración de material arqueológico compuesta por fragmentos de ánforas béticas, norteafricanas y del Mediteráneo oriental, cerámica común romana de producción local y de importación, TSH y TSA-D.

Color	Gris oscuro
Compactación	Media
Composición	Arena, carbones y piedras de tamaño medio
Dimensiones	4,5 m largo x 45 cm ancho x 35 cm potencia
Frecuencia de hallazgos	Alta
Granulometría	Fina
Sector	NW
Tipo de hallazgos	Cerámica, vidrio y líticos
Cortada por (Negativa)	8-159-171
Cubierto por (Estrato)	162
Rellena a (Negativa)	183

UE 185

Definición Fosa

Interpretación Localizada en planta en el Sector NW, próxima al muro pantalla, se trata de una fosa de pared y base claramente definidas, cronológicamente del mismo momento que los agujeros de poste UE 159 y UE 163.

Base	Cóncava
Dimensiones	45 cm diámetro x 16 cm profundidad
Forma en planta	Circular aproximadamente
Orientación	NW-SE
Paredes	Inclinadas hacia el interior
Sector	NW
Tipo	Fosa
La cubre (Estrato)	13
La rellena (Estructura)	236
La rellena (Estrato)	203
Corta a (Negativa)	209
Corta a (Estrato)	218-208-162-207

UE186

Definición Depósito

Interpretación Depósito homogéneo predominantemente mineral, formada por tierra arenosa con limo, que presenta carboncillos. Fue localizada una pequeña concentración de piedras de medio tamaño que formaban parte también del mismo relleno. Se trata del depósito superior que colmata la zanja UE 255. Fue documentado un fragmento de ánfora norteafricana y otro de cerámica común

romana.

Color	Gris claro
Compactación	Media
Composición	Arena con limo plástica y carbones pequeño tamaño
Dimensiones	2,7 m longitud x 45 cm ancho x 25 cm potencia
Frecuencia de hallazgos	Media
Granulometría	Fina
Sector	S
Tipo de hallazgos	Cerámica y vidrio
Cubierto por (Estrato)	12
Rellena a (Negativa)	255
Cubre a (Estrato)	256

UE187

Definición Agujero de poste

Interpretación Agujero de poste de paredes regulares y base irregular sobre la base de las salinas del tanque 8 de cristalización (UE 352), localizado en el Sector SE, al W del canal UE 157.

Base	Cóncava
Dimensiones	45 cm largo x 30 cm ancho x 16 cm profundidad
Forma en planta	Ovalada
Paredes	Inclinadas hacia el interior
Sector	SE
Tipo	Agujero de poste
La cubre (Estrato)	13
La rellena (Estrato)	189
Corta a (Estrato)	89
Corta a (Negativa)	275
Corta a (Estructura)	352

UE 188

Definición Corte

Interpretación Interfacies localizado en el perfil W de la zanja 4 realizada durante los sondeos mecánicos efectuados en el 2005. Se correspondería con una interfacies de arrasamiento de la base de las salinas, para asiento de la estructura UE 182.

Sector	S
Tipo	Corte
La cubre (Estrato)	58-259
La rellena (Estructura)	182
Cortada por (Negativa)	255-6
Corta a (Estrato)	36

UE 189

Definición Depósito

Interpretación Relleno del agujero de poste UE 187, formado por un depósito homogéneo con

carboncillos que llegan al cm. Su textura es arcillosa, con gravas y alguna piedra de pequeño tamaño. Fue localizado un fragmento de ánfora procedente del Mediterráneo oriental.

Color	Gris con manchas marrones
Compactación	Alta
Composición	Tierra arcillosa y carbones de entre 0,5 y 1 cm y gravas de pequeño tamaño de cuarzo (2-3 cm)
Dimensiones	45 cm largo x 30 cm ancho x 16 cm potencia
Frecuencia de hallazgos	Alta
Granulometría	Fina
Sector	SE
Tipo de hallazgos	Cerámica y ánfora
Cubierto por (Estrato)	13
Rellena a (Negativa)	187

UE190

Definición Agujero de poste

Interpretación Interfacies localizada en el Sector SE al N de la fosa UE 104. Se trata de un agujero de poste de planta irregular. Presenta, base irregular, formada por dos concavidades, una de 30 cm de diámetro y 40 cm de profundidad y otra de 20 cm de diámetro y 10 cm de profundidad. Podrían tratarse de dos agujeros de poste unificados.

Base	Cóncava
Dimensiones	60 cm largo x 30 cm ancho máx. x 12 cm profundidad
Forma en planta	Irregular con tendencia ovalada
Paredes	Inclinadas hacia el interior
Sector	SE
Tipo	Agujero de poste
La cubre (Estrato)	13
Cortada por (Negativa)	104
La rellena (Estructura)	195
La rellena (Estrato)	191
Corta a (Estrato)	89
Corta a (Negativa)	275
Corta a (Estructura)	352

UE 191

Definición Depósito

Interpretación Relleno del agujero de poste UE 190. Se trata de un depósito homogéneo con presencia de carbones de pequeño tamaño (1 cm), de textura arcillosa, con gravas de granito e intrusiones de pequeñas raíces. Fue localizado un fragmento de ánfora norteafricana y dos de cerámica común romana.

Color	Gris con alguna mancha acastañada
Compactación	Alta
Composición	Tierra arcillosa, carbones, gravas de granito, piedras de cuarzo de medio tamaño y raíces
Dimensiones	60 cm largo x 30 cm ancho máximo x 12 cm potencia

Frecuencia de hallazgos	Media
Granulometría	Fina
Sector	SE
Tipo de hallazgos	Ánfora, cerámica común, metal y vidrio
Cubierto por (Estrato)	13
Cortada por (Negativa)	104
Rellena a (Negativa)	190
Se apoya en (Estructura)	195

UE192

Definición Agujero de poste

Interpretación Agujero de poste de paredes y base regulares, de forma aproximadamente rectangular con dos calzos (granito y cuarzo) en su pared NW, localizado en el Sector SE, al W del canal UE 157 y próximo a la zanja 5 de los sondeos abiertos en 2005. Fue escavado sobre el nivel de abandono de las salinas.

Base	Aproximadamente plana
Dimensiones	18 cm largo x 16 cm ancho x 10 cm profundidad
Forma en las esquinas	Redondeadas
Forma en planta	Aproximadamente rectangular
Paredes	Rectas
Sector	SE
Tipo	Agujero de poste
La cubre (Estrato)	13
La rellena (Estructura)	194
La rellena (Estrato)	193
Corta a (Estrato)	89
Corta a (Negativa)	275
Corta a (Estructura)	352

UE 193

Definición Depósito

Interpretación Relleno del agujero de poste UE 192. Se trata de un depósito homogéneo predominantemente mineral con carbones, más mineral en la base, con presencia de grava, probablemente perteneciente a la base de las salinas.

Color	Marrón grisáceo
Compactación	Media
Composición	Tierra arenosa-arcillosa, carbones de pequeño tamaño de más de 1 cm y grava
Dimensiones	18 cm largo x 16 cm ancho x 10 cm profundidad
Granulometría	Fina
Sector	SE
Cubierto por (Estrato)	13
Rellena a (Negativa)	192
Se apoya en (Estructura)	194

UE 194

Definición Calzos

Interpretación Estructura formada por dos calzos de mediano tamaño, de cuarzo y granito, localizados en la pared NW del agujero de poste.

Dimensiones	10x8 cm aproximado
Materiales	Granito y cuarzo
Sector	SE
Técnica	Dispuestos en la pared del agujero
Tipo	Calzos de agujero de poste
Cubierto por (Estrato)	13
Se le apoya (Estrato)	193
Rellena a (Negativa)	192

UE 195

Definición Calzos

Interpretación Estructura formada por 3 calzos apoyados a la pared del agujero de poste UE 190. Presenta dos calzos de pequeño tamaño (8x15 cm, 10x4 cm) en la pared E y un tercero, también de pequeño tamaño (5x2 cm), en la pared N.

Dimensiones	Pequeño tamaño
Materiales	Granito
Sector	SE
Técnica	Dispuestos en la pared del corte
Tipo	Calzos
Cubierto por (Estrato)	13
Se le apoya (Estrato)	191
Rellena a (Negativa)	190

UE196

Definición Fosa

Interpretación Localizada en planta en el Sector Central al W de la fosa UE 95. Esta negativa se corresponde con la construcción de una estructura de combustión formada por varios elementos. Para la construcción de esta estructura se excavó una fosa ovalada de 110x85x17 cm de profundidad (UE 196). En los bordes de dicha fosa aparecieron restos de las lajas del muro de delimitación de tanques de cristalización (UE 253), reutilizadas para diferenciar dos ámbitos dentro de la fosa (UE 211). En el ámbito S fue localizada una pared rubefactada, inclinada y cortada en su parte superior (UE 212). Esta inclinación apunta a que se tratara de la parte inferior de un espacio abovedado, con unas dimensiones de 104 cm de largo x 51 cm de ancho x 21 cm de profundidad. En el lateral W fue localizada una piedra hincada (laja de tanque de cristalización reutilizada), que separaría los dos espacios. El espacio N, de menor tamaño, estaría delimitado en su parte W por una estructura endeble, formada por 3 calzos de granito (UE 204) y la pared rubefactada. En la parte E de este espacio, fue localizada una alta concentración de carbones. En la parte inferior de la estructura de combustión se conservaron dos piedras de granito rubefactadas, con la superficie plana, dispuestas sobre la base de la fosa (UE 213). En la parte NE fueron localizados restos de lajas caídas, posiblemente de la estructura de delimitación de los tanques de cristalización (UE 253), reaprovechadas por esta estructura, para delimitar los dos espacios. En la zona exterior de la fosa fueron localizados piedras de granito de medio tamaño, con evidencias de haber sido expuestas al calor (UE 214).

Base	Plana
Dimensiones	110 cm largo x 85 cm ancho x 17 cm profundidad

Forma en planta	Ovalada
Orientación	NE-SW
Paredes	Inclinadas hacia el interior
Sector	Central
Tipo	Fosa
La cubre (Estrato)	13
Cortada por (Negativa)	214-95
La rellena (Estructura)	204-213-212-211
La rellena (Estrato)	197-200
Corta a (Estrato)	89
Corta a (Estructura)	253-352-349-294
Corta a (Negativa)	275-264

UE 197

Definición Depósito

Interpretación Depósito superior de colmatación de la fosa UE 196, formado por tierra arcillosa de color gris oscuro con pequeños carbones, concentrados en la parte superior del depósito. Contenía abundante material cerámico muy alterado, compuesto por fragmentos de ánfora bética, norteafricana y del Mediterráneo oriental, cerámica común romana de producción local y de importación. La práctica totalidad de este depósito fue excavado durante la intervención del 2008, completándose durante la realización de los sondeos de marzo del 2009.

Color	Gris oscuro
Compactación	Media
Composición	Tierra arcillosa, carbones de pequeño y mediano tamaño, piedras de mediano tamaño y arcilla amarillenta
Dimensiones	110 cm largo x 85 cm ancho x 10 cm potencia
Frecuencia de hallazgos	Alta
Granulometría	Fina
Sector	Central
Tipo de hallazgos	Cerámica y material de construcción
Cortada por (Negativa)	95-214
Rellena a (Negativa)	196
Se apoya en (Estructura)	204-212-211
Cubre a (Estrato)	200

UE198

Definición Agujero de poste

Interpretación Interfacies localizada en planta en el Sector SE, al W del canal UE 157. Se trata de un agujero de poste de paredes y base regulares, realizado sobre el nivel de abandono de las salinas.

Base	Plana
Dimensiones	20 cm x 15 cm x 10 cm profundidad
Forma en las esquinas	Redondeadas
Forma en planta	Rectangular aproximadamente
Paredes	Casi rectas

Sector	SE
Tipo	Agujero de poste
La cubre (Estrato)	13
La rellena (Estrato)	199
Corta a (Estrato)	89
Corta a (Negativa)	275
Corta a (Estructura)	352

UE 199

Definición Depósito

Interpretación Relleno del agujero de poste de la UE 198. Se trata de un depósito homogéneo, fundamentalmente mineral aunque con carbones. Presenta gravas de granito y alguna piedra de pequeño tamaño.

Color	Gris
Compactación	Alta
Composición	Tierra arcillosa, gravas de granito, carbones de muy pequeño tamaño (2-3 mm) y piedras pequeñas de cuarzo
Dimensiones	20 cm x 15cm x10 cm potencia
Frecuencia de hallazgos	Muy baja
Granulometría	Fina
Sector	SE
Tipo de hallazgos	Un fragmento cerámico
Cubierto por (Estrato)	13
Rellena a (Negativa)	198

UE 200

Definición Depósito

Interpretación Depósito que colmata a la fosa UE 196. Se trata de un depósito semejante al que forma la UE 197, si bien más arcilloso y con mayor componente orgánico, correspondientes a carbones de 1-2 cm de tamaño. Presenta nódulos arcillosos amarillentos y multitud de fragmentos de cerámica machacada (cerámica común romana de producción local y de importación). La mayor concentración de carbones se localiza en su zona NW.

Color	Gris oscuro
Compactación	Media
Composición	Arcilla, carbones de tamaño grande (2 cm aproximado), arcilla y cerámica descompuesta
Dimensiones	110 cm largo x 85 cm ancho x 7 cm potencia
Frecuencia de hallazgos	Alta
Granulometría	Media
Sector	Central
Tipo de hallazgos	Cerámica y material de construcción
Cortada por (Negativa)	95
Cubierto por (Estrato)	197
Rellena a (Negativa)	196
Se apoya en (Estructura)	211-212-204

Cubre a (Estructura)	213

UE201

Definición Agujero de poste

Interpretación Localizado en el Sector SE, al E de la zanja UE 125 y al NW de la fosa UE 104. Se trata de un agujero de poste de perfil cónico con base cóncava, en el que se localiza el nivel de arena de asiento de la base de las salinas.

Base	Cóncava
Dimensiones	22 cm diámetro x 20 cm profundidad
Forma en planta	Circular
Paredes	Inclinadas hacia el interior
Sector	SE
Tipo	Agujero de poste
La cubre (Estrato)	13
La rellena (Estrato)	202
Corta a (Estrato)	89
Corta a (Negativa)	275
Corta a (Estructura)	352

UE 202

Definición Depósito

Interpretación Relleno del agujero de poste UE 201. Se trata de un depósito arenoso, algo arcilloso, con abundantes carbones de pequeño tamaño, de más de 1 cm. El depósito es fundamentalmente orgánico y se define bastante bien, dada su homogeneidad.

Color	Gris
Compactación	Alta
Composición	Tierra arenosa arcillosa, carbones de pequeño tamaño de más de cm y gravas de granito
Dimensiones	22 cm diámetro x 20 cm potencia
Frecuencia de hallazgos	Media
Granulometría	Fina
Sector	SE
Tipo de hallazgos	Cerámica
Cubierto por (Estrato)	13
Rellena a (Negativa)	201

UE 203

Definición Depósito

Interpretación Relleno de la fosa UE 185, formado por un depósito de tierra arenosa con carbones de pequeño tamaño, con más limo en la parte inferior, de composición mineral.

Color	Marrón grisáceo
Compactación	Baja
Composición	Tierra arenosa con componente limoso/Carbones pequeños (2-3 mm)
Dimensiones	45 cm diámetro x 16 cm potencia
Granulometría	Fina

Sector	NW
Tipo de hallazgos	Cerámica
Cubierto por (Estrato)	13
Rellena a (Negativa)	185
Se apoya en (Estructura)	236

UE 204

Definición Calzos

Interpretación Estructura de constitución endeble, formada por 3 calzos de granito de medio tamaño (12x10 cm, 15x10 cm y 20x12 cm), localizados en el ámbito N de la fosa (UE 196), delimitándola por su zona NW. Se encuentra adosada a una laja de tanque de cristalización reaprovechada (UE 211) que diferencia dos ámbitos dentro de la estructura de combustión.

Dimensiones	Medio tamaño
Forma	Rectangular
Materiales	Granito
Sector	Central
Técnica	Apoyados en la pared NW de la fosa
Tipo	Calzos
Cubierto por (Estrato)	13
Cortado por (Negativa)	214-95
Se le apoya (Estrato)	200-197
Rellena a (Negativa)	196
Se adosa en (Estructura)	211

UE 205

Definición Depósito

Interpretación Depósito superior que colmata a la zanja de cimentación UE 175. Se distribuye heterogéneamente por toda la zanja y parece estar compuesto por restos arcillosos de la base de salinas.

Color	Marrón anaranjado
Compactación	Media
Composición	Tierra arenosa-arcillosa y manchas de carbón
Dimensiones	Se distribuye intermitentemente por toda la zanja de cimentación
Granulometría	Fina
Sector	N y NW
Cubierto por (Estrato)	162
Se apoya en (Estructura)	170
Cubre a (Estrato)	176
Rellena a (Negativa)	175

UE206

Definición Cimentación

Interpretación Cimentación de la estructura UE 170, formada por bloques de granito sin trabajar y un depósito de limo de color gris oscuro, de grano fino. Fueron localizados restos de material de construcción y cerámica.

Dimensiones	23 m longitud x 1 m ancho x 60 cm potencia
Forma	Rectangular
Materiales	Granito
Orientación	E-W
Sector	N y NW
Tipo	Tierra limosa, piedra menuda y bloques de granito de gran porte
Cortado por (Negativa)	6
Se le asienta (Estructura)	170
Se le apoya (Estrato)	176
Rellena a (Negativa)	175

UE 207

Definición Depósito

Interpretación Depósito superior de formación homogénea, que colmata la interfacies de destrucción UE 209, compuesto por una tierra arenosa de color gris, mineral, con abundantes carbones de pequeño tamaño (0,5-1 cm). Presenta material arqueológico compuestos por fragmentos de ánforas béticas y norteafricanas, cerámica común romana de producción local y de importación y TSA-D (Forma Hayes 104A ó Forma Hayes 104B)

Color	Gris
Compactación	Media
Composición	Arena y carbones de pequeño tamaño (0,5-1 cm)
Dimensiones	5 m longitud x 1 m ancho máx. x 10 cm de potencia
Frecuencia de hallazgos	Alta
Granulometría	Fino
Sector	NW
Tipo de hallazgos	Tégula, cerámica, vidrio y sigillata
Cubierto por (Estrato)	162
Cortada por (Negativa)	171-183-3-185
Rellena a (Negativa)	209
Cubre a (Estrato)	208

UE 208

Definición Depósito

Interpretación Depósito de colmatación de la interfacies de destrucción UE 209, formado por un nivel de arena blanca limpia, que presenta material de construcción y cerámica. Fue localizado un fragmento de ánfora de procedencia norteafricana.

Color	Blanco
Compactación	Baja
Composición	Arena limpia y manchas de óxido
Dimensiones	5 m longitud x 1 m ancho máximo x 8 cm de potencia
Frecuencia de hallazgos	Media
Granulometría	Fina
Sector	NW
Tipo de hallazgos	Cerámica y material de construcción

Cortada por (Negativa)	3-185-171-183
Cubierto por (Estrato)	207
Rellena a (Negativa)	209
Cubre a (Estrato)	218

UE 209

Definición Interfacies de destrucción

Interpretación Acción destructiva de las estructuras de delimitación de tanques de salina (UE 217 y UE 251), colmatada por cuatro depósitos de diferente composición. Localizada en el Sector NW, al W de la estructura UE 250 y cortada por el muro pantalla. Esta negativa fue excavada parcialmente durante la intervención de marzo del 2009, en el sondeo 2.

Dimensiones	5 m longitud x 1 m ancho máximo x 25-30 cm de potencia
Sector	NW
Tipo	Interfacies de destrucción
La cubre (Estrato)	162
Cortada por (Negativa)	185-171-3-183
La rellena (Estrato)	218-208-207-252
Corta a (Estructura)	217-251-34-90
Corta a (Negativa)	266-274-265
Corta a (Estrato)	338-216-14-35-210

UE 210

Definición Depósito

Interpretación Depósito localizado en el Sector NW, a ambos lados del canal UE 183, de textura arenosa, presenta importante carga orgánica con carbones de pequeño y mediano tamaño y bastantes raíces. Fue localizado abundante material arqueológico compuestos por fragmentos de ánforas béticas, tarraconenses, norteafricanas y del Mediterráneo oriental, cerámica común romana de producción local y de importación y un fragmento de TSFT de una Forma 3. Presenta manchas de color ocre, arcillosas, debido probablemente al contacto con la base de las salinas.

Color	Gris claro
Compactación	Baja
Composición	Tierra arenosa, carbones de pequeño (1 cm) y mediano tamaño (2 cm) y raíces
Dimensiones	4 m x 2,5 m x 15 cm de potencia máxima
Frecuencia de hallazgos	Alta
Granulometría	Fina
Sector	NW
Tipo de hallazgos	Material de construcción, cerámica, estuco, metal y *sigillata*
Cubierto por (Estrato)	162
Cortada por (Negativa)	171-209-8-183-159
Cubre a (Estrato)	216

UE 211

Definición Muro

Interpretación Laja de granito de medio tamaño (22x20 cm) perteneciente a la estructura de delimitación de tanque de salina UE 253, que fue reutilizada para delimitar dos ámbitos (N y S) en la fosa UE 196. Se dispuso en la pared NW de la fosa, adosándose los calzos UE 204 y la pared

rubefactada UE 212. En la zona SE de la fosa, fue localizada otra laja de dimensiones parecidas (22x16 cm) desplazada de su posición original, probablemente correspondiente a la estructura alterada.

Dimensiones	22 cm x 20 cm
Forma	Rectangular
Materiales	Granito
Orientación	NE-SW
Sector	Central
Técnica	Dispuestas transversalmente al corte de la fosa UE 196
Tipo	Lajas
Cortado por (Negativa)	95-214
Se le adosa (Estructura)	204-212
Se le apoya (Estrato)	197-200
Rellena a (Negativa)	196

UE 212

Definición Pared

Interpretación Pared W de la fosa UE 196, de 2 cm de grosor, que presenta rubefacción. Por su disposición se intuye que podría corresponder a la base de una forma abovedada interrumpida. Esta alteración parece ceñirse al ámbito S de la fosa. Aparece delimitada en su parte W por la estructura UE 211, mientras en su parte E se conserva parcialmente.

Dimensiones	50 cm de perímetro x 2 cm grosor x 16 cm alzado
Forma	Circular, abovedada
Sector	Central
Tipo	Pared rubefactada
Cortado por (Negativa)	214-95
Se le apoya (Estrato)	200-197
Rellena a (Negativa)	196
Se adosa en (Estructura)	211

UE 213

Definición Base

Interpretación Estructura formada por dos piedras de granito de medio tamaño, dispuestas horizontalmente en la zona NW de la fosa UE 196, constituyendo una base muy endeble. Presenta rubefacción.

Dimensiones	1ª 35 x 17 cm, 2ª 2 3x 12 cm
Forma	Aproximadamente rectangulares
Materiales	Granito
Orientación	E-W
Sector	Central
Técnica	Asentadas horizontalmente en la base de la fosa
Tipo	Base
Cortado por (Negativa)	95
Cubierto por (Estrato)	200

Rellena a (Negativa)	196

UE 214

Definición Interfacies de destrucción

Interpretación Acción destructiva de la estructura de combustión UE 196 y de los elementos estructurales y depósitos asociados.

Sector	Central
Tipo	Interfacies de destrucción
La cubre (Estrato)	13
La rellena (Estrato)	215
Corta a (Negativa)	196
Corta a (Estructura)	211-212-204
Corta a (Estrato)	197

UE 215

Definición Depósito

Interpretación Concentración de escombro compuesto por piedra de medio tamaño (alguna que presenta signos de rubefacción), localizada próximo a la fosa UE 196. En este depósito fueron localizadas dos lajas de granito desplazadas (una de 18 x 23 cm, en la pared E de la fosa y otra de 18 x 13 cm, en la pared SW), que en su momento pudieron haber formado parte de la estructura de delimitación de los dos espacios diferenciados en dicha fosa (UE 211). Exteriormente a la estructura de combustión fue localizado algún bloque de granito rubefactado que, presumiblemente, pudo haber formardo parte de esta estructura.

Color	Marrón grisáceo
Compactación	Media
Composición	Piedras de granito rubefactadas de medio tamaño (10-15 cm)
Granulometría	Media
Sector	Central
Cubierto por (Estrato)	13
Rellena a (Negativa)	214

UE 216

Definición Depósito

Interpretación Depósito localizado en el Sector NW, entre la zanja de cimentación UE 175 y el muro pantalla. Se trata de un depósito de textura arenosa, con componente arcilloso, que presenta poca carga orgánica, algunas gravas de cuarzo (probablemente provenientes de la base de las salinas) y arcillas. Fue localizado directamente sobre la base de las salinas (UE 34), en el Sector NW, en aquellas zonas en las la base se conserva en mal estado. Presenta variado material arqueológico compuestos por fragmentos de ánforas béticas, norteafricanas y del Mediterráneo oriental, cerámica común romana de producción local y de importación y TSA-D (posible Forma Hayes 104A o Hayes 104B).

Color	Ocre
Compactación	Alta
Composición	Tierra arenosa-arcillosa, carbones de pequeño tamaño (2-3 mm), gravas de cuarzo y arcillas
Dimensiones	Ocupa la totalidad del Sector NW, con 5-10 cm de potencia
Frecuencia de hallazgos	Alta
Granulometría	Fina

Sector	NW
Tipo de hallazgos	*Terra sigillata*, cerámica común romana, ánfora, material de construcción y metal
Cubierto por (Estrato)	210
Cortada por (Negativa)	209-175-173-28-171-183-3
Cubre a (Estructura)	34
Cubre a (Estrato)	89-239-258
Cubre a (Negativa)	257-238

UE 217

Definición Muro

Interpretación Estructura localizada en el Sector NW, próxima al muro pantalla y desmontada por la interfacies de destrucción UE 209. Se conservaba bastante alterada y en tramos intermitentes. En un transepto fue localizada una laja de granito (20 cm x 24 cm) caída, si bien parece que originalmente podría hacer ángulo recto con la estructura UE 250. Otro tramo de 1,3 m, presenta lajas de granito de medio tamaño (20 cm x 22 cm), caídas si bien mantienen la misma orientación. Otro tramo de 80 cm, similar al anterior, poseía las lajas desplazadas apoyándose en la estructura UE 251. Con la estructura UE 250 formarían la esquina SE del tanque 1 de cristalización. Con la estructura UE 251, en su momento, podría haber formado una zona de paso, a juzgar por el espacio intermedio, de 40 cm aproximadamente, que existe entre los tanques 1 y 4, delimitado por las lajas de los muretes.

Dimensiones	6 m de longitud x 24 cm, sobresaliendo de la base de la salina
Materiales	Lajas de granito
Orientación	E-W
Sector	NW
Técnica	Hincadas horizontalmete sobre la base de las salinas
Tipo	Estructura de delimitación de tanques de salinas
Se le adosa (Estructura)	34
Cortado por (Negativa)	209
Rellena a (Negativa)	265

UE 218

Definición Depósito

Interpretación Depósito que colmata la interfacies de destrucción UE 209, formado por tierra arenosa y arcillosa. Comtenía fragmentos de ánfora indeterminados y de producción norteafricana.

Color	Marrón con manchas grises
Compactación	Alta
Composición	Tierra arenosa-arcillosa
Dimensiones	5 m longitud x 1 m ancho máxima x 8 cm de potencia
Frecuencia de hallazgos	Baja
Granulometría	Fina
Sector	NW
Tipo de hallazgos	Cerámica y *tegula*
Cortada por (Negativa)	183-185-171
Cubierto por (Estrato)	208
Rellena a (Negativa)	209

Cubre a (Estrato)	252

UE219

Definición Agujero de poste

Interpretación Negativa localizada en el Sector NW, al NW de la fosa UE 95. Se trata de un agujero de poste realizado sobre la base de las salinas del tanque 5 de cristalización (UE 349), de proporciones uniformes, con paredes y base bien definidas. La negativa de este agujero de poste fue excavada en la intervención de marzo del 2009, en el sondeo 3.

Base	Plana
Dimensiones	20 cm diámetro x 10 cm profundidad
Forma en planta	Circular
Sector	NW
Tipo	Agujero de poste
La cubre (Estrato)	89
La rellena (Estructura)	221
La rellena (Estrato)	220
Corta a (Estrato)	35
Corta a (Negativa)	275
Corta a (Estructura)	349

UE 220

Definición Depósito

Interpretación Relleno del agujero de poste UE 219. Se trata de un depósito arenoso homogéneo, muy mineral.

Color	Gris
Compactación	Media y baja
Composición	Arena limpia y un fragmento de cuarzo blanco
Dimensiones	20 cm diámetro x 10 cm potencia
Frecuencia de hallazgos	Media
Granulometría	Fina
Sector	NW
Tipo de hallazgos	3 fragmentos cerámicos
Cubierto por (Estrato)	89
Rellena a (Negativa)	219
Se apoya en (Estructura)	221

UE 221

Definición Calzos

Interpretación Estructura formada por 3 calzos de pequeño tamaño. Uno fue encajado en la pared W a media altura del agujero de poste y los otros dos en la pared S, sobresaliendo del agujero, uno junto al otro. Durante la intervención de marzo del 2009, en el sondeo 3, esta estructura fue desmontada.

Dimensiones	Pequeño tamaño (10x10 cm)
Materiales	Granito
Sector	NW
Técnica	Dispuestos alrededor de la pared del agujero de poste

Tipo	Calzos
Cubierto por (Estrato)	89
Se le apoya (Estrato)	220
Rellena a (Negativa)	219

UE 222

Definición Fosa

Interpretación Negativa localizada en el Sector NW al W de la fosa UE 95 y próxima al agujero de poste UE 219. Se trata de una fosa de apenas 2 cm de profundidad, de planta y paredes irregulares. Por su lado E fue localizado un conjunto de piedras que funcionarían como estructura delimitadora de la fosa. Esta negativa fue excavada parcialmente durante la intervención de Marzo del 2009, en el sondeo 3.

Base	Irregular
Dimensiones	76x57x2 cm profundidad
Forma en planta	Ovalada
Orientación	NW-SE
Paredes	Inclinadas hacia el interior
Sector	NW
Tipo	Fosa
La cubre (Estrato)	89
La rellena (Estructura)	224
La rellena (Estrato)	223
Corta a (Estrato)	35
Corta a (Negativa)	275
Corta a (Estructura)	349

UE 223

Definición Depósito

Interpretación Relleno de la fosa UE 222. Se correspondía con un depósito homogéneo, mineral formado por tierra arenosa con limo, de color gris claro.

Color	Gris claro
Compactación	Media
Composición	Arena con limo
Dimensiones	76 cm x 57 cm x 2 cm potencia
Frecuencia de hallazgos	Baja
Granulometría	Fino
Sector	NW
Tipo de hallazgos	Un fragmento cerámico muy rodado
Cubierto por (Estrato)	89
Rellena a (Negativa)	222
Se apoya en (Estructura)	224

UE 224

Definición Calzos

Interpretación Estructura formada por un conjunto de 5 calzos, si bien sólo tres parecían disponerse

en posición primaria. Presentaban tamaño y forma similares, estando adosados a la pared E de la fosa, formando un ángulo recto. Esta estructura fue desmontada en la intervención efectuada en marzo del 2009, en el sondeo 3.

Dimensiones	Medio tamaño (20 cm x 15 cm)
Materiales	Granito
Orientación	E-W
Sector	NW
Técnica	Dispuestas en la pared E de la fosa
Tipo	Calzos
Cubierto por (Estrato)	89
Se le apoya (Estrato)	223
Rellena a (Negativa)	222

UE225

Definición Muro

Interpretación Estructura de delimitación de los tanques de cristalización localizada en el Sector NW, próxima al perfil W de la intervención dirigida por M. J. Iglesias Darriba, formada únicamente por dos lajas de granito de medio tamaño (25 cm x 20 cm) conservadas. Delimitaría los tanques 4 y 5 localizados, pudiendo corresponderse con la prolongación de la estructura UE 250. Presenta dimensiones de 70 cm de largo por 20 cm de alzado. Durante la intervención de marzo del 2009, en el sondeo 2, fueron desmontadas dos lajas de esquisto que formaban parte de esta estructura. Fueron hincadas sobre un nivel de arena previamente horizontalizado, calzadas con una piedra de esquisto y adosándosele la base de las salinas.

Dimensiones	70 cm longitud x 20 cm sobresaliendo de la base de la salina
Materiales	Lajas de granito
Orientación	N-S
Sector	NW
Técnica	Hincadas en la base de la salina
Tipo	Murete de delimitación de tanques de salina
Se le adosa (Estructura)	34-349
Cortado por (Negativa)	257
Rellena a (Negativa)	267

UE 226

Definición Depósito

Interpretación Relleno de la interfacies de destrucción UE 136 del canal UE 138. Se trata de un depósito de composición similar al que forma la UE 114 (depósito de colmatación del canal UE 113), con una acumulación de piedras de pequeño tamaño (5-10 cm) en la base del canal y un par de piedras de tamaño y forma semejantes, a las que constituyen las paredes del canal.

Color	Marrón grisáceo
Compactación	Baja
Composición	Tierra limosa y pequeñas piedras
Dimensiones	85 cm x 26 cm x 16 cm de potencia
Granulometría	Fina
Sector	SE
Cubierto por (Estrato)	13

Cortada por (Negativa)	113
Rellena a (Negativa)	136

UE 236

Definición Calzos

Interpretación Estructura formada por un conjunto de calzos localizados en la parte NW de la fosa UE 185. Se correspondieron con 5 calzos de granito de medio tamaño, adosados a la pared de la fosa, destacando en el conjunto tres de granito con forma y medidas similares (15 cm x 16 cm) dispuestos perimetralmente en la pared del corte.

Dimensiones	Medio tamaño (15 cm - 20 cm)
Forma	Rectangular
Materiales	Granito
Sector	NW
Técnica	Adosados a la pared de la fosa
Tipo	Calzos
Cubierto por (Estrato)	13
Se le apoya (Estrato)	203
Rellena a (Negativa)	185

UE237

Definición Fosa

Interpretación Fosa localizada durante los trabajos de limpieza de la zona excavada en el año 2006, al W de la estructura de delimitación de salinas, UE 140 y a N de la fosa UE 95.

Base	Cóncava
Dimensiones	2,22 m x 1,6 m x 20 cm profundidad
Forma en planta	Rectangular aproximadamente
Orientación	NW-SE
Paredes	Inclinadas hacia el interior
Sector	Norte
Tipo	Fosa
Cortada por (Negativa)	8
Corta a (Estrato)	35
Corta a (Negativa)	275
Corta a (Estructura)	349-350

UE238

Definición Agujero de poste

Interpretación Localizado en el Sector NW, al W de la zanja UE 171 y al N de la zanja de cimentación UE 175. Se trata de un agujero de poste con base y paredes bien definidas, realizadas sobre el nivel de abandono de las salinas, en una zona donde la base de las salinas resultó encontrarse muy deteriorada (UE 34).

Base	Cóncava
Dimensiones	37 cm diámetro x 17 cm profundidad
Forma en planta	Circular
Paredes	Inclinadas hacia el interior

Sector	NW
Tipo	Agujero de poste
La cubre (Estrato)	216
La rellena (Estrato)	239
Corta a (Estrato)	14
Corta a (Estructura)	34
Corta a (Negativa)	274

UE 239

Definición Depósito

Interpretación Relleno del agujero de poste UE 238. Se trata de un depósito de tierra arenosa de tonalidad gris oscuro, con moteado anaranjado por posible oxidación, bastante homogéneo y con algunos carbones de entre 0,5 cm y -1 cm. Fue localizado un fragmento de cerámica común romana.

Color	Gris con motas anaranjadas
Compactación	Media
Composición	Tierra arenosa con motas anaranjadas/Carbones (0,5 cm), piedras pequeño tamaño de cuarzo (1-2 cm)
Dimensiones	37 cm diámetro x 17 cm potencia
Frecuencia de hallazgos	Baja
Granulometría	Media
Sector	NW
Tipo de hallazgos	Un fragmento cerámico
Cubierto por (Estrato)	216
Rellena a (Negativa)	238

UE242

Definición Fosa

Interpretación Fosa localizada en el perfil N de la zanja 5 de sondeos mecánico abierto en 2005. Fue localizada bajo un nivel de arrase de la base de las salinas (UE 34), en el Sector NW.

Base	Cóncava
Dimensiones	30 cm ancho x 30 cm profundidad
Paredes	Inclinadas hacia el interior
Sector	NW
Tipo	Fosa
La rellena (Estrato)	243
Cortada por (Negativa)	276-66
Corta a (Estrato)	14

UE 243

Definición Depósito

Interpretación Depósito de colmatación de la fosa UE 242, formado por tierra arenosa con carbones de pequeño tamaño, de más de 1 cm.

Color	Marrón grisáceo
Compactación	Baja
Composición	Tierra arenosa y carbones de pequeño tamaño

Dimensiones	30 cm ancho x 30 cm potencia
Granulometría	Fina
Sector	NW
Cortada por (Negativa)	66-276
Rellena a (Negativa)	242

UE 244

Definición Corte

Interpretación Interfacies localizada en el Sector N, dentro del área de excavación dirigida por M. J. Iglesias Darriba, al N de la zanja de cimentación UE 175. Se trata de un corte realizado sobre el nivel arenoso horizontalizado, sobre el que asienta la base de las salinas, a fin de encajar la estructura de lajas que conforman una cubeta. Presenta unas dimensiones de 1,90 m x 1,40 m x 10 cm de profundidad.

Base	Plana
Dimensiones	1,90 m x 1,40 m x 20 cm profundidad
Forma en las esquinas	Redondeadas
Forma en planta	Rectangular
Orientación	E-W
Paredes	Rectas
Sector	Norte
Tipo	Corte
Cortada por (Negativa)	8-247
Se le asienta (Estructura)	78
La rellena (Estructura)	246-270-269-245-344
Corta a (Negativa)	275
Corta a (Estrato)	343-36-342-35

UE 245

Definición Pared

Interpretación Pared N del corte UE 244, formada por una laja de ganito de grandes proporciones (76x 40 cm), hincada verticalmente y a la que se le adosa una base de guijarros muy compactada (UE 246). Con la estructura UE 269 y las que presumiblemente debieron existir en las paredes E y S, formarían una forma cubeta.

Dimensiones	76 cm alto x 40 cm ancho
Forma	Rectangular
Materiales	Granito
Orientación	E-W
Sector	Norte
Técnica	Hincada en la pared de la cubeta
Tipo	Pared de una laja
Cortado por (Negativa)	247
Se le adosa (Estructura)	344-78-246
Rellena a (Negativa)	244

UE 246

Definición Base

Interpretación Estructura formada por gravas de pequeño tamaño (1-2 cm) fuertemente compactadas con tierra arcillosa de color marrón grisáceo, que sella la cubeta UE 244. Se dispone sobre una base de piedras de granito de mediano tamaño que la aisla del depósito arenoso sobre el que asienta la cubeta. Fue desmontada parcialmente durante la intervención de marzo del 2009, en el sondeo 2.

Datación	Época romana
Dimensiones	60 cm de longitud x 50 cm de ancho
Forma	Cuadrada
Materiales	Gravas de granito, cuarzo y tierra arcillosa
Orientación	E-W
Sector	Norte
Técnica	Gravas de granito y cuarzo fuertemente compactadas con tierra arcillosa
Tipo	Base
Cortado por (Negativa)	247
Rellena a (Negativa)	244
Se adosa en (Estructura)	269-245
Se asienta en (Estructura)	344

UE 247

Definición Interfacies de destrucción

Interpretación Acción destructiva de la cubeta UE 244. Unicamente se conservan dos paredes de lajas de granito (Pared N UE 245 y pared W UE 269) y dos piedras de granito de medio tamaño que pudieron funcionar como delimitación exterior de la cubeta. Asimismo en la esquina SE de la cubeta fue localizado un conjunto de lajas de granito desplazadas, que parecen corresponder a restos de desmonte de la estructura de delimitación de tanques de cristalización UE 248.

Sector	Norte
Tipo	Interfacies de destrucción
Cortada por (Negativa)	8
Corta a (Negativa)	244-268
Corta a (Estructura)	245-269-270-246-248-78

UE 248

Definición Muro

Interpretación Estructura de delimitación de los tanques de cristalización, que conserva parcialmente su trazado. Se compone de cuatro lajas de granito, dos de tamaño considerable (50 x 30 cm) y dos de mediano tamaño (30 x 20 cm). Esta estructura parece corresponderse con la prolongación del murete de delimitación UE 217. Asimismo delimita a los tanques 2 y 5, excavados parcialmente durante los trabajos efectuados en el 2006.

Dimensiones	90 cm longitud x 25-30 cm sobresaliendo de la base
Materiales	Granito
Orientación	E-W
Sector	Norte
Técnica	Hincadas verticalmente en la base de las salinas
Tipo	Murete de delimitación de tanques de cristalización
Cortado por (Negativa)	247

Se le adosa (Estructura)	349-78
Rellena a (Negativa)	268

UE249

Definición Muro

Interpretación Estructura de delimitación de tanque de cristalización, localizado en el Sector N, en la esquina NW, del área de actuación efectuda en 2006. Se trata de una estructura formada por 3 lajas de granito (con unas dimensiones de 50 cm x 33 cm, 30 cm x 30 cm y 25 cm x 34 cm), que serviría de delimitación del tanque 2 de cristalización. Con la estructura UE 250 (murete de delimitación paralelo), parecen definir un espacio intermedio, de 40 cm aproximadamente de ancho.

Dimensiones	2,6 m de longitud x 20 cm sobresaliendo de la base de la salina
Materiales	Granito
Orientación	N-S
Sector	Norte
Técnica	Hincadas verticalmente sobre un nivel de duna natural y adosándose la base de las salinas
Tipo	Murete de delimitación de tanques de cristalización y zona de paso
Cortado por (Negativa)	3-8
Se le adosa (Estructura)	78-334
Se le apoya (Estrato)	278
Rellena a (Negativa)	271

UE250

Definición Muro

Interpretación Estructura localizada en el Sector Norte, en la esquina NW del área de intervención de 2006. Esta estructura, formada por 3 lajas de granito de medio y gran tamaño (50 cm x 20 cm; 21 cm x 40 cm; 30 cm x 24 cm), con el murete de delimitación UE 251, serviría de delimitación del tanque 1 de cristalización. Con la estructura UE 249, murete paralelo, parecen definir un espacio intermedio, de 40 cm de ancho aproximado. Esta estructura podría estar en relación con la UE 225. Fue desmantelada durante la intervención de Marzo del 2009, en el sondeo 2, documentándose

Dimensiones	2,6 m largo x 20 cm sobresaliendo de la base de la salina
Materiales	Granito
Orientación	N-S
Sector	Norte
Técnica	Lajas hincadas verticalmente sobre un nivel natural de duna, adosándose la base de las salinas
Tipo	Murete de delimitación de tanques de cristalización
Cortado por (Negativa)	3-8
Se le apoya (Estrato)	278
Se le adosa (Estructura)	334-90
Rellena a (Negativa)	272

UE 251

Definición Muro

Interpretación Estructura localizada en el Sector NW, paralela a la estructura de delimitación UE 217. De esta estructura se conserva una laja de medio tamaño (20 cm x 30 cm) y un tramo próximo al muro pantalla de 50 cm de largo desplazado de su posición original, con idéntica orientación. La base de esta estructura, se encuentra a una cota inferior (25-30 cm más bajo) con respecto a los tanques

localizados. Con el murete UE 250, delimitarían el tanque 1 de cristalización. Con la estructura UE 217, conforma un espacio intermedio de 40 cm de ancho aproximado, entre los tanques 1 y 4, delimitado por las lajas de los muretes.

Dimensiones	6 m de largo intermitente x 20 cm sobresaliendo de la base de las salinas
Forma	E-W
Materiales	Granito
Sector	NW
Técnica	Hincados verticalmente sobre la base de las salinas
Tipo	Murete de delimitación de tanques de salina
Cortado por (Negativa)	3-209
Se le adosa (Estructura)	90
Rellena a (Negativa)	266

UE 252

Definición Depósito

Interpretación Relleno de colmatación de la interfacies de destrucción UE 209. Se corresponde con un depósito arcilloso, similar al nivel que colmata las salinas, si bien muy alterado, con coloración grisácea debido a la ventonita usada durante la fabricación del muro pantalla. Presenta fragmentos de ánfora indeterminados y de producción norteafricana.

Color	Marrón grisáceo
Compactación	Alta
Composición	Tierra arcillosa y ventonita
Dimensiones	5 m longitud x 1 m ancho máximo x 10-15 cm de potencia
Frecuencia de hallazgos	Media
Granulometría	Fina (plástica)
Sector	NW
Tipo de hallazgos	Cerámica y material de construcción
Cortada por (Negativa)	3-171-183
Cubierto por (Estrato)	218
Rellena a (Negativa)	209

UE253

Definición Muro

Interpretación Muro localizado durante la intervención efectuada en 2006, entre la pared E del muro pantalla y la fosa UE 95 (que la corta). Se trata de una estructura que discurre de E a W, cruzándose con el murete UE 140, con el que forma los tanques 5-6-8-9 de cristalización. Está formada por un alineamiento de lajas de granito de entre 50 y 25 cm de altura por 15 cm aproximadamente de anchura. En la intersección de entre ambas estructuras, se localiza un pequeño tramo de 1 m aproximado, que parece corresponder a una zona reparada a juzgar por el corte realizado sobre la salina.

Dimensiones	9 m longitud x 15 cm sobresaliendo de la base de las salina
Materiales	Granito
Orientación	E-W
Sector	Norte y SE
Técnica	Hincados verticalmente sobre la base de las salinas
Tipo	Murete de delimitación de tanques de salinas

Cortado por (Negativa)	95-196-8-3
Se le adosa (Estructura)	349-352-353-350
Rellena a (Negativa)	264

UE254

Definición Muro

Interpretación Muro localizado en el Sector SE, al E de la zanja UE 177. Posiblemente se corresponda con un tramo de una estructura de delimitación de tanques de salinas, conservando cuatro lajas de granito hincadas en la arena, con tamaño máximo de 18 cm de largo x 5 cm de ancho y sobresaliendo 5 cm. Se encuentran bastante separadas unas de otras, en una zona en la que la base de las salinas no se conserva, quedando a la vista un nivel de duna blanca.

Materiales	Granito
Orientación	NW-SE
Sector	SE
Técnica	Hincadas verticalmente sobre la base de las salinas
Tipo	Murete de delimitación de tanques de salinas
Cubierto por (Estrato)	13
Cortado por (Negativa)	177
Rellena a (Negativa)	273

UE 255

Definición Zanja

Interpretación Corte localizado en el Sector S, entre la estructura UE 182 y el pavimento UE 61. Aparece seccionando los restos de base de salinas (UE 61), prolongándose hacia el NW en la parcela 3. Se prolongaría hacia el SE, estando cortada por la zanja 4 realizada durante los sondeos mecánicos realizados en 2005. En su momento pudo haber estado conectada con el canal UE 113, que desde el Sector SE parece coincidir en dirección con esta zanja.

Base	Cóncava
Dimensiones	2,7 m longitud x 45 cm ancho x 45 cm profundidad
Forma en planta	Rectangular
Orientación	NW-SE
Paredes	Inclinadas hacia el interior
Sector	S
Tipo	Zanja
La cubre (Estrato)	12
La rellena (Estrato)	186-256
Corta a (Estructura)	61
Corta a (Negativa)	188-57
Corta a (Estrato)	259-54-56-36

UE 256

Definición Depósito

Interpretación Primer depósito de colmatación de la zanja UE 255, formado por un nivel homogéneo y orgánico, con tierra muy limosa, sin presencia de carbones y de grano fino.

Color	Gris oscuro
Compactación	Media

Composición	Tierra limosa
Dimensiones	2,7 m longitud x 30 cm ancho x 20 cm potencia máxima
Frecuencia de hallazgos	Baja
Granulometría	Fina
Sector	S
Tipo de hallazgos	Material de construcción y cerámica
Cubierto por (Estrato)	186
Rellena a (Negativa)	255

UE 257

Definición Interfacies de destrucción

Interpretación Localizado en el Sector NW, en dos tramos. El primero al N de la estructura UE 225, y el segundo entre la zanja de cimentación UE 175 y la zanja 5 realizada durante los sondeos mecánicos de V. Barbeito. Se trata de la interfacies originada al desmontar las lajas de delimitación de tanques de salinas UE 225. Esta negativa fue excavada parcialmente durante la intervención de Marzo del 2009, en el sondeo 2.

Base	Cóncava irregular
Dimensiones	1 m longitud x 20 cm ancho x 18 cm profundidad
Forma en planta	Rectangular aproximadamente
Orientación	N-S
Paredes	Inclinadas hacia el interior
Sector	NW
Tipo	Interfacies de destrucción
Cortada por (Negativa)	66-175
La cubre (Estrato)	216
La rellena (Estrato)	258
Corta a (Estrato)	35-338
Corta a (Estructura)	225-349-34
Corta a (Negativa)	267-274

UE 258

Definición Depósito

Interpretación Relleno de la interfacies de destrucción UE 257. Se trata de un depósito de tierra arenosa con componente limoso, sin gravas ni carbones, homogéneo y fundamentalmente mineral. Presenta material arqueológico correspondiente a tres fragmentos de ánfora.

Color	Gris perla
Compactación	Media
Composición	Tierra arenosa limosa
Dimensiones	1 m x 20 cm ancho x 18 cm potencia
Frecuencia de hallazgos	Baja
Granulometría	Fina
Sector	NW
Tipo de hallazgos	Ánfora
Cubierto por (Estrato)	216

Rellena a (Negativa)	257

UE 259

Definición Depósito

Interpretación Depósito localizada a ambos lados de la estructura UE 182, en el Sector S, formado por tierra arenosa con manchas de óxido. Parece constituir el nivel de uso de dicha estructura, al igual que el depósito UE 58.

Color	Marrón
Compactación	Baja
Composición	Arena, piedra menuda y manchas de óxido
Dimensiones	15 cm de potencia máxima
Granulometría	Fina
Sector	S
Cortada por (Negativa)	255-260
Se apoya en (Estructura)	182
Cubre a (Negativa)	188

UE260

Definición Interfacies de destrucción.

Interpretación Interfacies de destrucción de la estructura UE 182.

Sector	S
Tipo	Interfacies de destrucción
La cubre (Estrato)	12
Corta a (Estructura)	182
Corta a (Estrato)	259-58

UE261

Definición Depósito

Interpretación Relleno que colmata la zanja de expolio UE 131. Se trata de un depósito de características similares a la UE 129. Presenta composición heterogénea con tierra arcillosa, abundante material cerámico, de construcción y escombro de piedra menuda.

Color	Gris oscuro marrón
Compactación	Media
Composición	Tierra arcillosa, piedra menuda y manchas de carbón
Dimensiones	1 m aproximadamente de largo hasta el muro pantalla x 70 cm de ancho x 15 cm de potencia
Frecuencia de hallazgos	Alta
Granulometría	Fina
Sector	NW
Tipo de hallazgos	Cerámica y material de construcción
Cortada por (Negativa)	3
Cubierto por (Estrato)	12
Rellena a (Negativa)	131

UE 262

Definición Corte

Interpretación Corte realizado sobre el depósito arenoso horizontalizado (UE 35) en el que se asienta la base de las salinas para encajar el murete de delimitación de los tanques de cristalización UE 140.

Orientación	N-S
Sector	Norte y SE
Tipo	Corte para encajar muretes delimitación de tanques
La cubre (Estrato)	89
Cortada por (Negativa)	175-3-141
La rellena (Estructura)	140
Se le asienta (Estructura)	308-353-348-294-78-352
Corta a (Estrato)	35
Corta a (Negativa)	275

UE 263

Definición Corte

Interpretación Corte realizado sobre el depósito arenoso horizontalizado (UE 35) en el que se asienta la base de las salinas, para encaje del murete de delimitación de los tanques de cristalización (UE 139).

Orientación	E-W
Sector	SE
Tipo	Corte para encajar muretes delimitación de tanques
Cortada por (Negativa)	3-125-104-335
La cubre (Estrato)	89
La rellena (Estructura)	139
Se le asienta (Estructura)	353-294-356-355-352-285
Corta a (Estrato)	35
Corta a (Negativa)	275

UE 264

Definición Corte

Interpretación Corte realizado sobre el depósito arenoso horizontalizado (UE 35), en el que se asienta la base de las salinas, para encaje del murete de delimitación de tanques de cristalización UE 253.

Orientación	E-W
Sector	Norte y Central
Tipo	Corte para encaje de los muretes de delimitación de tanques
Cortada por (Negativa)	196-3-95
La rellena (Estructura)	253
Se le asienta (Estructura)	349-352-353-350
Corta a (Estrato)	35
Corta a (Negativa)	275

UE265

Definición Corte

Interpretación Corte realizado sobre el nivel de duna (UE 14) sobre el que asienta la base de salinas

(UE 34), para encajar el murete de delimitación de tanques de cristalización UE 217.

Orientación	E-W
Sector	NW
Tipo	Corte para encajar muretes de delimitación de tanques
Se le asienta (Estructura)	34
Cortada por (Negativa)	209-3
La rellena (Estructura)	217
Corta a (Estrato)	14
Corta a (Negativa)	274

UE 266

Definición Corte

Interpretación Corte realizado sobre el depósito arenoso (UE 14) sobre el que se asienta la base de las salinas (UE 90), para encaje del murete de delimitación de los tanques de cristalización UE 251.

Orientación	E-W
Sector	NW
Tipo	Corte para encaje de muretes de delimitación de tanques
Cortada por (Negativa)	3-209
La rellena (Estructura)	251
Se le asienta (Estructura)	90
Corta a (Estrato)	14
Corta a (Negativa)	93

UE 267

Definición Corte

Interpretación Corte realizado sobre la base de las salinas UE 78 y UE 34 y el depósito arenoso sobre el que asientan (UE 35), para encajar el murete de delimitación de tanques de cristalización (UE 225).

Orientación	N-S
Sector	NW
Tipo	Corte para encajar muretes delimitación de tanques
Se le asienta (Estructura)	34-349
Cortada por (Negativa)	257
La rellena (Estructura)	225
Corta a (Estrato)	35
Corta a (Negativa)	274

UE 268

Definición Corte

Interpretación Corte realizado sobre el depósito arenoso (UE 35) sobre el que asienta la base de las salinas, para encaje del murete de delimitación de tanques de cristalización UE 248.

Orientación	E-W
Sector	Norte
Tipo	Corte para encajar muretes delimitación de tanques

Se le asienta (Estructura)	78-349
Cortada por (Negativa)	247
La rellena (Estructura)	248
Corta a (Estrato)	35
Corta a (Negativa)	275

UE 269

Definición Pared

Interpretación Pared W del corte UE 244, formada por una laja de ganito de medianas proporciones (50x35 cm) hincada verticalmente en la pared W de la cubeta y a la que se le adosa una base de guijarros muy compactada. Con la estructura UE 245 y las que presumiblemente debieron existir en las paredes E y S, darían la forma de cubeta a esta estructura.

Dimensiones	50x35 cm
Forma	Rectangular
Materiales	Granito
Orientación	N-S
Sector	Norte
Técnica	Hincada verticalmente en la pared W de la cubeta
Tipo	Laja
Cortado por (Negativa)	8-247
Se le adosa (Estructura)	246
Rellena a (Negativa)	244

UE 270

Definición Pared

Interpretación Restos de una estructura que posiblemente funcionaría como demarcación de un espacio adyacente a la cubeta, desde el cual acceder a la misma. Se conservan dos lajas de granito de medio tamaño, dispuestas en la pared W del corte UE 244. Aunque no aparecen hincadas, parecen estar en su emplazamiento original.

Dimensiones	25x10 cm; 17x10 cm
Materiales	Granito
Orientación	N-S
Sector	Norte
Técnica	Hincadas verticalmente en la pared del corte
Tipo	Estructura de delimitación de cubeta
Se le adosa (Estructura)	78
Cortado por (Negativa)	247
Rellena a (Negativa)	244

UE 271

Definición Corte

Interpretación Corte realizado sobre un nivel de duna (UE 14) para encaje del muro de delimitación de tanques de cristalización UE 249. En este caso la base de las salinas estaría adosada a la estructura, puesto que fue construida con anterioridad, con el fin de facilitar una zona de tránsito a las mismas.

Orientación	N-S

Sector	Norte
Tipo	Corte para encaje de los muretes delimitación de tanques
Cortada por (Negativa)	3
La rellena (Estructura)	249
Se le asienta (Estructura)	334-78
Corta a (Estrato)	35-14
Corta a (Negativa)	275

UE 272

Definición Corte

Interpretación Corte realizado sobre un nivel de duna (UE 14) para encaje del muro de delimitación de tanques de cristalización UE 250. En este caso la base de las salinas estaría adosada a la estructura, puesto que fue construida con anterioridad, a fin de facilitar una zona de paso a las mismas.

Orientación	N-S
Sector	Norte
Tipo	Corte para encajr de los muretes de delimitación de tanques
Cortada por (Negativa)	3-8
La rellena (Estructura)	250
Se le asienta (Estructura)	334-90
Corta a (Negativa)	93
Corta a (Estrato)	337-14

UE 273

Definición Corte

Interpretación Corte realizado sobre un nivel de duna (UE 14) para encaje del posible muro de delimitación de tanques de cristalización (UE 254). En esta zona no se conservan restos de la base de las salinas.

Datación	Época romana altoimperial
Orientación	NW-SE
Sector	SE
Tipo	Corte para encajar muretes delimitación de tanques
La cubre (Estrato)	13
Cortada por (Negativa)	177
La rellena (Estructura)	254
Corta a (Estrato)	14

UE 274

Definición Corte

Interpretación Regularización del nivel natural de duna (UE 14) para asiento de la base de las salinas de los tanques 4, 7 y 10.

Dimensiones	Sector NW y parte del Sector SE, desde la zanja UE 125 hasta la zanja 4 de los sondeos abiertos en 2005
Sector	NW y SE
Tipo	Corte preparación superficie para las salinas

Cortada por (Negativa) 175-31-6-66-119-117-177-173-171-183-265-125-276-28-209-257-166-267-238

Se le asienta (Estructura) 354-351-34

Corta a (Estrato) 14

UE 275

Definición Corte

Interpretación Horizontalización del terreno arenoso de origen natural (UE 35), para asiento de la base de las salinas de los tanques 2, 3, 5, 6, 8, 9, 11, 12.

Dimensiones Sector N, parte del SE (desde la zanja UE 125 hasta la pared E del muro pantalla

Sector NW y SE

Tipo Corte preparación superficie para las salinas

Se le asienta (Estructura) 78-348-308-356-349-294-355-285

Cortada por (Negativa) 335-300-148-222-157-187-190-192-196-198-263-219-150-237-244-262-145-264-155-201-127-66-95-8-104-113-115-175-125-142-138-141-271-268-123

Corta a (Estrato) 35-302-14

Corta a (Negativa) 307

UE 276

Definición Interfacies de destrucción

Interpretación Localizado en planta en el Sector NW, al S de la zanja de cimentación UE 175, desde la interfacies de destrucción del muro de delimitación UE 225 (UE 257), hasta la zanja UE 166. Se trata de una zona en la que la base de las salinas de cristalización (UE 34) se encuentra muy deteriorada o desaparecida.

Sector NW

Tipo Interfacies de destrucción

La cubre (Estrato) 13

La rellena (Estrato) 179

Cortada por (Negativa) 166-66-175

Corta a (Estrato) 14-243-89

Corta a (Estructura) 34

Corta a (Negativa) 242-274

UE 277

Definición Depósito

Interpretación Nivel de revuelto, localizado en la zona N y NW, formado tras la realización de la intervención en área y antes de los sondeos

Sector N-NW

Tipo Nivel revuelto

UE 278

Definición Depósito

Interpretación Nivel de colmatación entre las estructuras UE 249 y UE 250, compuesto por tierra limosa mineral, con presencia de gravas (de 1 cm) y algún carboncillo (de menos de 1 cm).

Color Gris oscuro

Compactación Media

Composición	Tierra limosa
Dimensiones	5 cm potencia máxima
Frecuencia de hallazgos	Baja
Granulometría	Fina
Sector	Norte
Tipo de hallazgos	Ánfora
Cortada por (Negativa)	3
Cubierto por (Estrato)	89
Se apoya en (Estructura)	249-250
Cubre a (Estructura)	334

UE279

Definición Depósito

Interpretación Depósito que colmata la segunda cubeta de decantación localizada en la intervención de marzo del 2009, en el sondeo 5. Se compone de bolsadas de arcilla de color ocre y tierra arenosa grisácea.

Color	Ocre, con manchas grises
Compactación	Alta
Composición	Tierra arcillosa con algunas gravas de cuarzo
Dimensiones	60 cm x 14 cm x 66 cm
Granulometría	Fina media
Sector	SE
Cubierto por (Estrato)	89
Cubre a (Estructura)	280-281-282-297-283-296

UE 280

Definición Pared

Interpretación Losa de esquisto encajada verticalmente en el corte (UE 300), realizado sobre un nivel de arena horizontalizado (UE 35), en el que se asientan las salinas, sobresaliendo 14 cm desde la base de la cubeta. Forma la pared N de dicha cubeta, localizada en el sondeo 5, de la intervención realizada en marzo de 2009. Con las paredes UE 281, UE 282 y UE 283, formarían una cubeta de forma casi cuadrada de 60 cm por 66 cm y 30 cm de profundidad.

Datación	Época romana altoimperial
Dimensiones	50 cm largo x 12 cm ancho x 14 cm alto
Forma	Rectangular
Materiales	Esquisto
Orientación	E-W
Sector	SE
Tipo	Losa
Cubierto por (Estrato)	279
Se le adosa (Estructura)	297-296-352-294
Rellena a (Negativa)	300

UE 281

Definición Pared

Interpretación Losa de esquisto encajada verticalmente en el corte (UE 300) realizado sobre un nivel de arena horizontalizado (UE 35), sobre el que asienta las salinas, sobresaliendo 30 cm desde la base de la cubeta. Forma la pared E de dicha cubeta, localizada en el sondeo 5, realizado en la intervención de marzo de 2009.

Datación	Época romana altoimperial
Dimensiones	60 cm largo x 6 cm ancho x 30 cm alto
Forma	Rectangular
Materiales	Esquisto
Orientación	N-S
Sector	SE
Tipo	Losa
Cubierto por (Estrato)	279
Se le adosa (Estructura)	296-297-294-352
Rellena a (Negativa)	300

UE 282

Definición Pared

Interpretación Losa de esquisto encajada verticalmente en el corte (UE 300), realizado sobre un nivel de arena horizontalizado (UE 35), en el que se asienta las salinas, sobresaliendo 20 cm desde la base de la cubeta. Forma la pared W de dicha cubeta, localizada en el sondeo 5, abierto en la intervención de marzo de 2009.

Datación	Época romana altoimperial
Dimensiones	60 cm largo x 18 cm ancho x 20 cm alto
Forma	Rectangular
Materiales	Esquisto
Orientación	N-S
Sector	SE
Tipo	Losa
Cubierto por (Estrato)	279
Se le adosa (Estructura)	297-352-296
Rellena a (Negativa)	300

UE 283

Definición Pared

Interpretación Losa de esquisto encajada verticalmente en el corte (UE 300), realizado sobre un nivel de arena horizontalizado (UE 35), en el que asientan las salinas, sobresaliendo 18 cm desde la base de la cubeta. Forma la pared S de dicha cubeta, localizada en el sondeo 5, de la intervención de marzo del 2009.

Datación	Época romana altoimperial
Dimensiones	72 cm largo x 10 cm ancho x 18 cm alto
Forma	Rectangular
Materiales	Esquisto
Orientación	E-W
Sector	SE
Tipo	Losa

Cubierto por (Estrato)	279
Se le adosa (Estructura)	297-352-296
Rellena a (Negativa)	300

UE 285

Definición Base

Interpretación Compuesto de arcilla y gravas de cuarzo de pequeño tamaño, sobre un nivel arenoso horizontalizado, que sirve de preparación para asiento de la base de las salinas del tanque 11 (UE 355). Fue localizado en planta en el sondeo 5, durante la intervención efectuada en marzo de 2009.

Datación	Época romana altoimperial
Dimensiones	10 cm potencia máxima
Materiales	Arcilla y piedras de cuarzo de pequeño tamaño
Sector	SE
Tipo	Base
Cortado por (Negativa)	175-3-138-335
Se le asienta (Estructura)	355
Se adosa en (Estructura)	139
Se asienta en (Negativa)	275-263-307

UE286

Definición Depósito

Interpretación Banda de limo de formación natural, que presenta algún resto orgánico correspondiente a pequeñas raíces. Fue localizado en el sondeo 4 de la intervención de marzo de 2009. Podría tratarse del mismo depósito que el perteneciente a la UE 288 y UE 289.

Color	Gris oscuro
Compactación	Alta
Composición	Limos
Dimensiones	8 cm potencia máxima
Granulometría	Plástica
Sector	SE
Cubierto por (Estrato)	291
Cubre a (Estrato)	312-309

UE 287

Definición Depósito

Interpretación Depósito heterogéneo de formación natural, compuesto por tierra arenosa, con limos. Fue localizado y excavado en el sondeo 2 de la intervención realizada en marzo de 2009.

Color	Negro y gris
Compactación	Media baja
Composición	Arena y limos
Dimensiones	36 cm potencia máxima
Frecuencia de hallazgos	Baja
Granulometría	Arenosa fina
Sector	Norte
Tipo de hallazgos	Ánfora, cerámica común y madera

Cubierto por (Estrato)	288-290-340
Cubre a (Estrato)	314-341-295

UE 288

Definición Depósito

Interpretación Depósito de formación natural compuesto por limos y arena. Fue localizado en el sondeo 2, de la intervención efcetuada en marzo del 2009. Podría tratarse del mismo nivel limoso que forma la UE 286 y la UE 289.

Color	Gris oscuro
Compactación	Alta
Composición	Limos y arena
Dimensiones	20 cm potencia máxima
Frecuencia de hallazgos	Baja
Granulometría	Media
Sector	Norte
Tipo de hallazgos	Cerámica
Cubierto por (Estrato)	35
Cubre a (Estrato)	341-340-287-290-339

UE 289

Definición Depósito

Interpretación Nivel de limos de formación natural. Fue localizado en el sondeo 3, con motivo de la intervención realizada en marzo del 2009. Podría tratarse del mismo nivel que conforma la UE 286 y la UE 288.

Color	Gris oscuro
Compactación	Alta
Composición	Limos
Dimensiones	8 cm potencia máxima
Frecuencia de hallazgos	Alta
Granulometría	Plástica
Sector	Central
Tipo de hallazgos	Ánfora, cerámica, material orgánico (castaña)
Cortada por (Negativa)	95
Cubierto por (Estrato)	318-35
Cubre a (Estrato)	319-316

UE 290

Definición Depósito

Interpretación Nivel de duna de formación natural, que presenta manchas orgánicas con filtraciones de limos grises. Localizado en el sondeo 2, durante la intervención de marzo del 2009.

Color	Blanco y gris
Compactación	Baja
Composición	Arena blanca y limos
Dimensiones	16 cm potencia máxima
Granulometría	Fina

Sector	Norte
Cubierto por (Estrato)	340-288
Cubre a (Estrato)	287

UE 291

Definición Depósito

Interpretación Nivel de duna, de formación natural, en contacto con el nivel horizontalizado sobre el que asientan las salinas. Se compone de arenas blancas con manchas grises y oxidadas en su parte superior. Localizado en el sondeo 4, durantela intervención de marzo del 2009.

Color	Blanco, gris y óxido
Compactación	Baja
Composición	Arena
Dimensiones	12 cm potencia máxima
Granulometría	Fina
Sector	SE
Cubierto por (Estrato)	35
Cubre a (Estrato)	286

UE 292

Definición Zanja

Interpretación Zanja localizada bajo la fosa (UE 95) y el horno de vidrio (UE 196), de época tardorromana, sellada por un nivel arenoso horizontalizado, sobre el que asienta la base de las salinas. Aparece colmatada por un depósito arenoso con presencia de limos -probablemente material de arrastre- y piedras de granito de diversos tamaños que no parecen conformar ningun tipo de estructura. Fue excavada en el sondeo 3, durante la intervención de marzo del 2009.

Base	Cóncava
Dimensiones	3,17 m largo x 2,12 m ancho x 45 cm profundidad máxima
Forma en las esquinas	Redondeadas
Forma en planta	Rectangular
Orientación	N-S
Paredes	Inclinadas hacia el interior
Sector	Central
Tipo	Zanja
La rellena (Estrato)	293-346
La cubre (Estrato)	317-318
Corta a (Estrato)	295

UE 293

Definición Depósito

Interpretación Depósito que colmata la zanja UE 292, de composición mineral heterogenea, con limos y arenas. Forma parte del depósito en el que fueron localizados una serie de piedras de diversos tamaños (entre 45x10 cm las de mayor tamaño y 15x4 cm las de menor) y trozos de madera (alguna carbonizada). Fue localizado en el sondeo 3, durante la intervención de marzo del 2009.

Color	Gris y blanco
Compactación	Alta
Composición	Limos, arena y piedras de granito

Dimensiones	32 cm potencia máxima
Frecuencia de hallazgos	Baja
Granulometría	Fina
Sector	Central
Tipo de hallazgos	*Tegula*
Cubierto por (Estrato)	35-319-318-317-346
Rellena a (Negativa)	292
Cubre a (Estrato)	295

UE 294

Definición Base

Interpretación Compuesto de arcilla y gravas de cuarzo, esquisto y granito de diferentes tamaños (2 cm las más pequeñas y 10 cm las más grandes), sobre un nivel arenoso horizontalizado, que sirve de preparado para asiento de la base de las salinas del tanque de cristalización 8. Presenta una concentración de gravas más alta que el resto de los sondeos donde fue desmontada la base de las salinas. Fue localizado en planta en el sondeo 5, durante la intervención de marzo del 2009.

Datación	Época romana
Materiales	Arcilla y gravas de cuarzo, esquisto y granito
Sector	SE
Tipo	Base
Cortado por (Negativa)	157-104-335-141-95-175-196-66
Se le asienta (Estructura)	352
Se asienta en (Negativa)	300-262-275-263
Se adosa en (Estructura)	281-140-139-280

UE 295

Definición Depósito

Interpretación Nivel natural de playa, localizado en cada uno de los cinco sondeos, por debajo del nivel freático. Su disposición mantiene la caída natural del terreno hacia la costa, apareciendo a cotas más profundas en los sondeos más próximos al mar (1 y 2) y a menor profundidad hacia el interior (sondeos 3, 4 y 5). Se equipara al localizado en la parcela 10, sobre el que se documentaron los restos de una posible estructura. Durante la intervención de marzo del 2009, en la parcela 4, no se constató la existencia de ninguna estructura relacionada.

Color	Moteado marrón
Compactación	Baja
Composición	Arena
Frecuencia de hallazgos	Baja
Granulometría	Fina
Sector	NW, Norte, Central y SE
Tipo de hallazgos	Madera
Cortada por (Negativa)	307-292
Cubierto por (Estrato)	328-287-314-311-35-293-313-301-319

UE 296

Definición Base

Interpretación Capa que sella la base de piedras de la cubeta, con el fin de conseguir su

estanqueidad. Está formada por un compuesto de arcilla fuertemente compactado con gravas de cuarzo de pequeño tamaño (1-2 cm). Fue localizado parcialmente conservado, en el sondeo 5, durante la intervención de marzo del 2009.

Materiales	Arcilla y gravas de cuarzo de pequeño tamaño (1-2 cm)
Sector	SE
Tipo	Base
Cubierto por (Estrato)	279
Se asienta en (Estructura)	297
Se adosa en (Estructura)	283-281-282-280

UE 297

Definición Base

Interpretación Base de la cubeta de decantación localizada en el sondeo 5, en la intervención de marzo de 2009. Está formada por una losa grande (40x45 cm) dispuesta horizontalmente en el centro de la cubeta y otras de menor tamaño (10x15 cm) dispuestas perimetralmente, formando una base de 60 x 66 cm. Sobre ésta se dispone una capa aislante de arcilla y gravas (UE 296) con el fin de dotar de estanqueidad a la cubeta.

Dimensiones	60 x 66 cm
Materiales	Esquisto
Sector	SE
Tipo	Base
Cubierto por (Estrato)	279
Se le asienta (Estructura)	296
Rellena a (Negativa)	300
Se adosa en (Estructura)	281-280-282-283

UE 300

Definición Corte

Interpretación Corte realizado, sobre el nivel arenoso horizontalizado para asiento de la base de las salinas del tanque 8 de cristalización, con la finalidad de encajar la base y paredes de la cubeta, documentada durante la intervención de marzo del 2009, en el sondeo 5.

Sector	SE
Tipo	Corte
La rellena (Estructura)	297-281-282-283-280
Se le asienta (Estructura)	294
Corta a (Estrato)	35
Corta a (Negativa)	275

UE 301

Definición Depósito

Interpretación Nivel de duna blanca de formación natural, localizada entre el nivel arenoso sobre el que asienta las salinas (UE 35) y el nivel de playa (UE 295), presente en todos los sondeos. Fue documentado en la intervención de marzo del 2009, en el sondeo 5.

Color	Blanco
Compactación	Baja
Composición	Duna

Dimensiones	24 cm potencia máxima
Granulometría	Fina
Sector	SE
Cubierto por (Estrato)	35
Cortada por (Negativa)	307
Cubre a (Estrato)	295

UE302

Definición Depósito

Interpretación Sedimento que colmata la negativa UE 307, probablemente de formación natural. Durante la intervención de marzo de 2009, fue localizado en el sondeo 5.

Color	Gris claro
Compactación	Baja
Composición	Tierra arenosa limosa
Dimensiones	3 cm potencia máxima
Granulometría	Fina
Sector	SE
Cortada por (Negativa)	275
Rellena a (Negativa)	307
Cubre a (Estrato)	303

UE 303

Definición Depósito

Interpretación Depósito de limos de formación natural que colmata la negativa UE 307. Fue localizado en la intervención de marzo del 2009, en el sondeo 5.

Color	Gris oscuro
Compactación	Alta
Composición	Limos
Dimensiones	5 cm potencia máxima
Granulometría	Plástica
Sector	SE
Cubierto por (Estrato)	302
Rellena a (Negativa)	307
Cubre a (Estrato)	304

UE 304

Definición Depósito

Interpretación Sedimento arenoso con algún resto de materia orgánica (raíces), de probable formación natural, que colmata la negativa UE 307. Fue localizado durante la intervención de marzo del 2009, en el sondeo 5.

Color	Gris y blanco
Compactación	Baja
Composición	Arena
Dimensiones	14 cm potencia máxima

Granulometría	Fina
Sector	SE
Cubierto por (Estrato)	303
Rellena a (Negativa)	307
Cubre a (Estrato)	305

UE 305

Definición Depósito

Interpretación Depósito de limos de formación natural, con algún resto orgánico (raíces), que colmata la negativa UE 307. Fue localizado en la intervención de marzo del 2009 en el sondeo 5.

Color	Gris oscuro
Compactación	Alta
Composición	Limos
Dimensiones	8 cm potencia máxima
Granulometría	Plástica
Sector	SE
Cubierto por (Estrato)	304
Rellena a (Negativa)	307
Cubre a (Estrato)	306

UE 306

Definición Depósito

Interpretación Sedimento arenoso de probable formación natural que colmata la fosa UE 307. Localizado durante la intervención de marzo del 2009, en el sondeo 5.

Color	Gris oscuro
Compactación	Baja
Composición	Arena con limos
Dimensiones	18 cm potencia máxima
Granulometría	Fina
Sector	SE
Cubierto por (Estrato)	305
Rellena a (Negativa)	307

UE 307

Definición Corte

Interpretación Negativa localizada bajo la base de arcilla y gravas (UE 285) del pavimento de las salinas, en la esquina SE del sondeo 5, en la intervención de marzo del 2009. Aparecía colmatada por diferentes depósitos de formación natural alternándose entre los originados por arrastre de agua (limos) y los producidos por la acción eólica (arenas).

Base	Cóncava
Dimensiones	37 cm profundidad máxima
Paredes	Inclinadas hacia el interior
Sector	SE
Tipo	Posible fosa
Cortada por (Negativa)	275

Se le asienta (Estructura) 285

La rellena (Estrato) 303-304-305-306-302

Corta a (Estrato) 301-35-295

UE 308

Definición Base

Interpretación Preparación compuesta de tierra arcillosa y gravas de cuarzo de pequeño tamaño (1-2 cm) sobre la que se asienta la base de las salinas UE 353, del tanque 9. Fue localizada durante la intervención de marzo del 2009, en el sondeo 4. Podría tratarse del mismo tipo de preparación que las documentadas en los tanques 8 (UE 294) y 11 (UE 285).

Datación Época romana altoimperial

Dimensiones 5 cm potencia máxima

Materiales Arcilla y gravas de cuarzo

Sector SE

Tipo Base

Cortado por (Negativa) 141

Se le asienta (Estructura) 353

Se adosa en (Estructura) 140

Se asienta en (Negativa) 275-262

UE 309

Definición Depósito

Interpretación Nivel de limos de formación natural con restos de materia orgánica (raíces). Fue localizado en el sondeo 4, en la intervención de marzo del 2009. Podría tratarse del mismo nivel que la UE 319 detectada en el sondeo 3.

Color Gris oscuro

Compactación Alta

Composición Limos

Dimensiones 7 cm potencia máxima

Granulometría Plástica

Sector SE

Cubierto por (Estrato) 286-312

Cubre a (Estrato) 310-333

UE 310

Definición Depósito

Interpretación Nivel limoso de formación natural, con aportes orgánicos. Fue localizado en el sondeo 4, de la intervención de marzo del 2009.

Color Marrón

Compactación Alta

Composición Limos

Dimensiones 2 cm de potencia máxima

Granulometría Plástica

Sector SE

Cubierto por (Estrato) 333-309

Cubre a (Estrato)	311

UE 311

Definición Depósito

Interpretación Nivel de formación natural, compuesto fundamentalmente por limos y bolsadas de arena. Fue localizado en el sondeo 4, de la intervención de marzo del 2009. Podría tratarse del mismo nivel de limos que el localizado en la UE 317, del sondeo 3.

Color	Gris oscuro
Compactación	Media-alta
Composición	Limos y arena
Dimensiones	12 cm potencia máxima
Granulometría	Fina
Sector	SE
Cubierto por (Estrato)	310
Cubre a (Estrato)	295

UE 312

Definición Depósito

Interpretación Nivel de duna, compuestq por arenas blancas y marrones. Fue localizado en el sondeo 4, de la intervenciòn de marzo del 2009.

Color	Blanco y marrón
Compactación	Baja
Composición	Arena
Dimensiones	30 cm potencia máxima
Granulometría	Fina
Sector	SE
Cubierto por (Estrato)	35-286
Cubre a (Estrato)	309

UE 313

Definición Depósito

Interpretación Depósito formado por tierra arenosa de color negro (bastante orgánica) y un conjunto de piedras de granito de diversos tamaños (30x20 cm, 40x30 cm, 35x15 cm) sin disposición aparente. Fue localizado en la esquina NW del sondeo 1, de la intervención de marzo del 2009, sobre un nivel de playa (UE 295).

Color	Negro
Compactación	Baja
Composición	Arena y piedras de granito de diversos tamaños
Dimensiones	73 cm largo x 70 cm ancho x 12 cm potencia máxima
Frecuencia de hallazgos	Baja
Granulometría	Fina
Sector	NW
Tipo de hallazgos	Cerámica
Cubierto por (Estrato)	328
Cubre a (Estrato)	295

UE 314

Definición Depósito

Interpretación Nivel natural de arena, transición entre el nivel de arena y limos superior (UE 287) y el nivel de playa inferior (UE 295). Fue localizado en el sondeo 2, durante la intervención de marzo del 2009.

Color	Gris
Compactación	Baja
Composición	Arena
Dimensiones	20 cm potencia máxima
Granulometría	Fina
Sector	Norte
Cubierto por (Estrato)	287
Cubre a (Estrato)	295

UE 316

Definición Depósito

Interpretación Bolsada de arena blanca limpia de formación natural, probablemente por acción eólica. Localizada en el sondeo 3 de la intervención de marzo del 2009.

Color	Blanco
Compactación	Baja
Composición	Arena
Dimensiones	10 cm potencia máxima
Granulometría	Fina
Sector	Central
Cortada por (Negativa)	95
Cubierto por (Estrato)	289
Cubre a (Estrato)	319

UE 317

Definición Depósito

Interpretación Nivel de limos de formación natural que presenta bolsadas de color marrón (probablemente restos orgánicos). Fue localizado en el sondeo 3, durante la intervención de marzo del 2009.

Color	Gris oscuro con manchas marrones
Compactación	Alta
Composición	Limos y arena
Dimensiones	9 cm potencia máxima
Granulometría	Plástica
Sector	Central
Cubierto por (Estrato)	319
Cubre a (Estrato)	293
Cubre a (Negativa)	292

UE 318

Definición Depósito

Interpretación Depósito de posible formación natural, de composición básicamente mineral, en contacto con un nivel arenoso horizontalizado (UE 35), sobre el que asientan las salinas. Fue localizado en el sondeo 3, durante la intervención de marzo del 2009.

Color	Grisáceo con manchas de óxido
Compactación	Media
Composición	Tierra arenosa
Dimensiones	10 cm potencia máxima
Granulometría	Fina
Sector	Central
Cubierto por (Estrato)	35
Cubre a (Negativa)	292
Cubre a (Estrato)	346-293-289-319

UE 319

Definición Depósito

Interpretación Nivel de limos de formación natural, homogeneo y mineral, que presenta alguna mancha orgánica negra (carboncillos). Fue localizado en el sondeo 3, durante la intervención de marzo del 2009. Podría tratarse del mismo nivel limoso localizado en el sondeo 4 (UE 309).

Color	Gris claro
Compactación	Alta
Composición	Limos
Dimensiones	10 cm potencia máxima
Granulometría	Plástica
Sector	Central
Cubierto por (Estrato)	35-289-318-316
Cubre a (Estrato)	317-293-295

UE 321

Definición Depósito

Interpretación Nivel de duna blanca con bandeados marrones (probablemente producto de filtraciones), de formación natural. Junto con laUE 14 y la UE 322, muestran diferentes momentos de formación de las dunas, alternados con bandas de limos.Fue localizado en el sondeo 1, durante la intervención de marzo del 2009.

Color	Blanco
Compactación	Baja
Composición	Arena
Dimensiones	12 cm potencia máxima
Granulometría	Fina
Sector	NW
Tipo de hallazgos	
Cubierto por (Estrato)	327-14
Cubre a (Estrato)	322

UE 322

Definición Depósito

Interpretación Nivel arenoso, homogeneo y básicamente mineral, en contacto entre el nivel de duna superior (UE 321) y el nivel limoso inferior (UE 323). Fue localizado en el sondeo 1, durante la intervención de marzo del 2009.

Color	Marrón claro
Compactación	Baja
Composición	Arena
Dimensiones	9 cm potencia máxima
Granulometría	Fina
Sector	NW
Cubierto por (Estrato)	321-327
Cubre a (Estrato)	323-329-325

UE 323

Definición Depósito

Interpretación Nivel limoso, de formación natural, con presencia de arenas grises y pequeñas manchas de carbón. Localizado en el sondeo 1, durante la intervención de Marzo del 2009.

Color	Gris oscuro y marrón
Compactación	Media
Composición	Limos y arenas
Dimensiones	7 cm potencia máxima
Granulometría	Plástica fina
Sector	NW
Cubierto por (Estrato)	322
Cubre a (Estrato)	324-329-326-325

UE 324

Definición Depósito

Interpretación Depósito heterogeneo formado por arenas blancas y bolsadas limosas grises, con algunas manchas de óxido. Localizado en el sondeo 1, durante la intervención de marzo del 2009.

Color	Blanco, gris y ocre
Compactación	Baja
Composición	Arena, limos y manchas de óxido
Dimensiones	13 cm potencia máxima
Granulometría	Fina
Sector	NW
Cubierto por (Estrato)	329-323
Cubre a (Estrato)	330

UE 325

Definición Depósito

Interpretación Nivel heterogeneo formado por limos con filtraciones de arenas grises. Presenta abundantes restos de materia orgánica (carboncillos y raíces). Fue localizado en el sondeo 1, durante la intervención de marzo del 2009.

Color	Gris y marrón
Compactación	Media

Composición	Limos y arenas
Dimensiones	18 cm potencia máxima
Granulometría	Plástica-fina
Sector	NW
Cubierto por (Estrato)	329-323-322
Cubre a (Estrato)	326-332

UE 326

Definición Depósito

Interpretación Nivel de duna formado por diversos bandeados de arenas blancas y marrones, con algunas gravas de cuarzo y restos orgánicos (carbones y raíces). En algunas zonas aparecen filtraciones de limos y en su base presenta una banda de arena oxidada. Fue localizado en el sondeo 1, durante la intervención de marzo del 2009. Podría tratarse del mismo nivel de duna localizado en el sondeo 2 (UE 341).

Color	Blanco y marrón
Compactación	Baja
Composición	Arena y limos
Dimensiones	44 cm potencia máxima
Granulometría	Fina
Sector	NW
Cubierto por (Estrato)	325-323-332
Cubre a (Estrato)	328

UE 327

Definición Depósito

Interpretación Banda de arena, de características similares a la UE 322, en contacto entre un nivel de duna superior (UE 14) y el nivel de limos inferior (UE 323).

Color	Marrón
Compactación	Baja
Composición	Arena
Dimensiones	8 cm potencia máxima
Granulometría	Fina
Sector	NW
Cubierto por (Estrato)	14
Cubre a (Estrato)	329-321-322

UE 328

Definición Depósito

Interpretación Nivel arenoso marrón de formación natural con bandeados de origen orgánico. Fue localizado en el sondeo 1, durante la intervención de marzo del 2009.

Color	Marrón
Compactación	Baja
Composición	Arena
Dimensiones	24 cm potencia máxima
Granulometría	Fina

Sector	NW
Cubierto por (Estrato)	332-326
Cubre a (Estrato)	295-313

UE 329

Definición Depósito

Interpretación Nivel de formación natural compuesto por arena gris y bolsadas de limos. Presenta bastante carga orgánica en forma de raíces y algunas manchas de carbones. Podría tratarse del mismo nivel que el localizado en el sondeo 2 (UE 287). Fue registrado en el sondeo 1, durante la intervención de marzo del 2009.

Color	Gris oscuro
Compactación	Media
Composición	Arena y limos
Dimensiones	10 cm potencia máxima
Granulometría	Plástica fina
Sector	NW
Cubierto por (Estrato)	323-327-322
Cubre a (Estrato)	331-325-330-324

UE 330

Definición Depósito

Interpretación Nivel de formación natural entre dos depósitos de duna blanca (UE 324 y UE 331), compuesto por un sedimento de arrastre de limos y arenas grises. Fue localizado en el sondeo 1, durante la intervención de marzo del 2009.

Color	Gris oscuro
Compactación	Baja
Composición	Arena y limos
Dimensiones	4 cm potencia máxima
Granulometría	Fina
Sector	NW
Cubierto por (Estrato)	324-329
Cubre a (Estrato)	331

UE 331

Definición Depósito

Interpretación Nivel de formación natural compuesto por arena blanca mezclada con bolsadas de limos, posiblemente correspondientes a filtraciones. Presenta materia orgánica compuesta por raíces y carbones.

Color	Blanco y gris
Compactación	Baja
Composición	Arena y limos
Dimensiones	15 cm potencia máxima
Granulometría	Fina
Sector	NW
Cubierto por (Estrato)	329-330

Cubre a (Estrato) 335

UE 332

Definición Depósito

Interpretación Nivel de formación natural compuesto por bolsadas de arena blanca y gris, con limos. Presenta abundantes componentes orgánicos, compuestos por raíces fundamentalmente. Fue localizado en el sondeo 1, durante la intervención de marzo del 2009.

Color Gris, marrón y blanco

Compactación Baja

Composición Arena y limos

Dimensiones 24 cm potencia máxima

Granulometría Plástica fina

Sector NW

Cubierto por (Estrato) 325

Cubre a (Estrato) 326-328

UE 333

Definición Depósito

Interpretación Bolsada de arena blanca limpia, formada posiblemente por acción eólica. Fue localizada en el sondeo 4, durante la intervención de marzo del 2009.

Color Blanco

Compactación Baja

Composición Arena

Dimensiones 6 cm potencia máxima

Granulometría Fina

Sector SE

Cubierto por (Estrato) 309

Cubre a (Estrato) 310

UE 334

Definición Base

Interpretación Suelo de tierra arcillosa compactada, formado enntre los muretes de delimitación de tanques UE 249-UE 250. Fue excavada durante la intervención de marzo del 2009, en el sondeo 2.

Datación Época altoimperial romana

Dimensiones 4 cm de potencia

Materiales Arcilla compactada

Sector Norte

Tipo Base

Cubierto por (Estrato) 278

Se adosa en (Estructura) 250-249

Se asienta en (Negativa) 272-271

UE 335

Definición Corte

Interpretación Zanja de expolio, resultado de la extracción de parte del murete de salinas UE 139. Fue localizado en el sondeo 5, durante la intervención de marzo del 2009.

Base	Cóncava
Dimensiones	25 cm profundidad x 14 cm ancho
Paredes	Recta
Sector	SE
Tipo	Corte
La cubre (Estrato)	89
La rellena (Estrato)	336
Corta a (Negativa)	275-263
Corta a (Estructura)	285-294-139-352

UE336

Definición Depósito

Interpretación Depósito que colmata la interfacies de destrucción del murete de salinas UE 139. Aparece formado por el propio pavimento de arcilla colapsado dentro del agujero de expolio de dicho murete. Fue localizado en el sondeo 5, durante la intervención de marzo del 2009.

Color	Ocre
Compactación	Alta
Composición	Tierra arcillosa con manchas de óxido y gravas de cuarzo
Dimensiones	25 cm potencia x 14 cm de ancho
Granulometría	Fina media
Sector	SE
Cubierto por (Estrato)	89
Rellena a (Negativa)	335

UE337

Definición Depósito

Interpretación Nivel de limo mezclado con pequeñas bolsadas de arena y manchas de carbones. Fue localizado en el sondeo 2, durante la intervención de marzo del 2009.

Color	Gris oscuro
Compactación	Alta
Composición	Limos
Dimensiones	4 cm de potencia máxima
Granulometría	Plástica fina
Sector	Norte
Cortada por (Negativa)	272
Cubierto por (Estrato)	343
Cubre a (Estrato)	14

UE 338

Definición Depósito

Interpretación Estrato heterogéneo de arena, correspondiente a la transición entre el nivel de duna (UE 14) y el nivel de limos UE 288. Fundamentalmente su composición es mineral, si bien presenta alguna raíz. Fue localizado en el sondeo 2, durante la intervención de marzo del 2009.

Color	Marrón claro
Compactación	Media

Composición	Arena
Dimensiones	20 cm potencia máxima
Granulometría	Fina
Sector	Norte
Cubierto por (Estrato)	14
Cortada por (Negativa)	209-257
Cubre a (Estrato)	35

UE 339

Definición Depósito

Interpretación Bolsada de arena blanca limpia, con algunas raíces, formada probablemente por acción eólica. Fue localizada entre dos niveles de limos en el sondeo 2, durante la intervención de marzo del 2009.

Color	Blanco
Compactación	Baja
Composición	Arena
Dimensiones	8 cm potencia máxima
Granulometría	Fina
Sector	Norte
Cubierto por (Estrato)	288
Cubre a (Estrato)	340

UE 340

Definición Depósito

Interpretación Estrato con limos mezclado con arenas grises, blancas y componente orgánico (trozos de madera, raíces y algún carbón). Fue localizado en el sondeo 2, durante la intervención del 2009.

Color	Gris oscuro
Compactación	Media
Composición	Limos
Dimensiones	8 cm potencia máxima
Granulometría	Plástica fina
Sector	Norte
Cubierto por (Estrato)	339-288
Cubre a (Estrato)	287-290

UE 341

Definición Depósito

Interpretación Nivel de duna bastante heterogeneo y de composición mineral, con algunas bandas orgánicas y limos. Fue localizado en el sondeo 2, durante la intervención de marzo del 2009. Podría tratarse del mismo nivel de duna localizado en el sondeo 1 (UE 326).

Color	Marrón claro
Compactación	Baja
Composición	Arena
Dimensiones	40 cm potencia máxima

Granulometría	Fina
Sector	Norte
Cubierto por (Estrato)	287-288-35
Cubre a (Estrato)	295

UE 342

Definición Depósito

Interpretación Bolsada homogenea de arena blanca y limpia. Fue localizada en el sondeo 2, durante la intervención de marzo de 2009.

Color	Blanco
Compactación	Baja
Composición	Arena
Dimensiones	7 cm potencia máxima
Granulometría	Fina
Sector	Norte
Cortada por (Negativa)	244
Cubre a (Estrato)	343

UE 343

Definición Depósito

Interpretación Bolsada de arena marrón con componente arcilloso y que presenta manchas de carbón. Fue localizado en el sondeo 2, durante la intervención de marzo del 2009.

Color	Marrón
Compactación	Media
Composición	Arena
Dimensiones	7 cm potencia máxima
Granulometría	Fina
Sector	Norte
Cortada por (Negativa)	244
Cubierto por (Estrato)	342
Cubre a (Estrato)	337

UE344

Definición Base

Interpretación Conjunto de piedras de granito, selladas con una capa aislante de arcilla compactada con gravas de cuarzo (UE 246), que sirve de base a la cubeta de decantación, localizada durante la intervención realizada en el 2006. Esta base, a su vez, fue documentada y desmontada en el sondeo 2, durante la intervención de marzo del 2009.

Dimensiones	14 x 10 cm
Materiales	Piedras de granito
Sector	Norte
Tipo	Base
Se le asienta (Estructura)	246
Rellena a (Negativa)	244
Se adosa en (Estructura)	245

UE346

Definición Depósito

Interpretación Concentración de carbones localizados sobre un conjunto de piedras que forman parte del depósito que colmata la zanja UE 292. Fue localizada en el sondeo 3, durante la intervención de marzo del 2009.

Color	Negro
Compactación	Baja
Composición	Tierra orgánica y carbones
Granulometría	Media
Sector	Central
Cubierto por (Estrato)	318
Cubre a (Estrato)	293
Rellena a (Negativa)	292

UE348

Definición Base de salinas

Interpretación Base de salinas del tanque 3 de los localizados en la parcela 4, formada por tierra arcillosa muy compacta, con manchas de óxido y pequeñas gravas de cuarzo. Fue dispuesta sobre el terreno de formación natural horizontalizado, constituyendo una extensa base arcillosa que se adosara a los muretes de delimitación. Documentada durante la intervención del 2006, fue localizada en buen estado de conservación, alterada por la construcción del muro pantalla.

Datación	Época romana altoimperial
Dimensiones	Ocupa las dimensiones del tanque 3 de cristalización
Materiales	Tierra arcillosa compactada, color pardo anaranjado con manchas de óxido y gravas de cuarzo (1-2 cm)
Sector	Norte
Tipo	Base
Cortado por (Negativa)	3-8
Se adosa en (Estructura)	140
Se asienta en (Negativa)	275-262

UE 349

Definición Base de salinas

Interpretación Base de las salinas, correspondiente al tanque 5 de los localizados en la parcela 4, formada por tierra arcillosa muy compacta, manchas de óxido y pequeñas gravas de cuarzo. Aparece dispuesta sobre un terreno de formación natural horizontalizado, constituyendo una extensa base arcillosa que se adosaría a los muretes de delimitación. Se encuentra en buen estado de conservación, aunque alterada hacia el SW por la zanja 5, realizada en los sondeos mecánicos de 2005. Una vez excavada en los sondeos 2 y 3, de la intervención de marzo del 2009, pudo documentarse como una base formada por camadas arcillosas y arenosas, que se disponen sobre un nivel de gravas de cuarzo de pequeño y mediano tamaño (entre 2 y 5 cm), que las aisla del nivel arenoso sobre el que asienta.

Datación	Época romana altoimperial
Dimensiones	Ocupa las dimensiones del tanque 5 de cristalización, con 10 cm potencia máxima
Materiales	Tierra arcillosa compactada, color pardo anaranjado con manchas de óxido y gravas de cuarzo (1-2 cm).
Sector	Central y Norte

Tipo Base

Cubierto por (Estrato) 89

Cortado por (Negativa) 175-237-196-95-222-66-219-8-257-104

Se adosa en (Estructura) 225-248-253

Se asienta en (Negativa) 268-275-264-267

UE 350

Definición Base de salinas

Interpretación Base de salinas del tanque 6 de los localizados en la parcela 4, formada por tierra arcillosa muy compacta, manchas de óxido y pequeñas gravas de cuarzo. Fue dispuesta sobre el terreno de formación natural horizontalizado, constituyendo una extensa base arcillosa que se adosaría a los muretes de delimitación. Fue encontrada en buen estado de conservación, aunque alterada por la construcción del muro pantalla. En su momento, fue documentada durante la intervención efectuada en el 2006.

Datación Época romana altoimperial

Dimensiones Ocupa las dimensiones del tanque 6 de cristalización.

Materiales Tierra arcillosa compactada, color pardo anaranjado con manchas de óxido,gravas de cuarzo (1-2 cm).

Sector Norte

Tipo Base

Cortado por (Negativa) 8-3-237-175

Se adosa en (Estructura) 140-253

Se asienta en (Negativa) 264

UE 351

Definición Base de salinas

Interpretación Base de salina de cristalización del tanque 7 de los localizados en la parcela 4, formada por gravas de cuarzo (1-2 cm de tamaño), arcilla y arena, fuertemente compactados. Se dispone sobre el terreno de formación natural horizontalizado, constituyendo una extensa base arcillosa que se adosaría a los muretes de delimitación de tanques. Fue localizado en planta en el Sector SE. Hacia en W y N se encontraba alterada por las zanjas 4 y 5, respectivamente, de los sondeos mecánicos efectuados en el 2005. La base se conservaba muy deteriorada.

Datación Época romana altoimperial

Dimensiones Ocupa las dimensiones del tanque 7 de cristalización.

Materiales Arena y grava con óxidos y arcilla

Sector SE

Tipo Base

Cubierto por (Estrato) 13

Cortado por (Negativa) 177-119-117-125-66-6

Se asienta en (Negativa) 274

UE 352

Definición Base de salinas

Interpretación Base de salinas, correspondiente al tanque 8 de los localizados en la parcela 4, formada por tierra arcillosa muy compacta, con manchas de óxido y pequeñas gravas de cuarzo. Se dispone sobre un terreno de formación natural horizontalizado, constituyendo una extensa base arcillosa que se adosaría a los muretes de delimitación de tanques. Fue descubierta parcialmente en la intervención realizada en el 2006, completándose en la excavación en área del 2008.

Datación	Época romana
Dimensiones	Ocupa la superficie del tanque 8 de cristalización, con 12 cm potencia máxima
Materiales	Tierra arcillosa compactada, color pardo anaranjado, con manchas de óxido y gravas de cuarzo (1-2 cm).
Sector	SE y Central
Tipo	Base
Cubierto por (Estrato)	89
Cortado por (Negativa)	148-201-155-125-138-113-141-115-196-190-187-198-142-335-157-8-104-95-192-150-66
Se asienta en (Negativa)	262-264-263
Se adosa en (Estructura)	253-282-283-140-281-280-139
Se asienta en (Estructura)	294

UE 353

Definición Base de salinas

Interpretación Base de salinas, correspondiente al tanque 9 localizado en la parcela 4, formada por tierra arcillosa muy compacta, con manchas de óxido y pequeñas gravas de cuarzo. Fue dispuesta sobre un terreno de formación natural horizontalizado, constituyendo una extensa base arcillosa que se adosaría a los muretes de delimitación de tanques. Ya había sido descubierta parcialmente durante la intervención dirigida por M. J. Iglesias Darriba, en el 2006, completándose durante la realización de la excavación en área efectuada en el 2008. Presentaba un buen estado de conservación, excepto en aquellas zonas alteradas por el muro pantalla. Una vez excavada en el sondeo 4, efectuada en la intervención de marzo del 2009, pudo documentarse una base formada por camadas arcillosas, con limo y arena. Se tratarían de aportaciones exógenas, dispuestas sobre un nivel de gravas de cuarzo de pequeño y mediano tamaño (entre 2 y 5 cm), que las aisla del nivel arenoso sobre el que asientan.

Datación	Época altoimperial romana
Dimensiones	Superficie del tanque 9 de cristalización, con 14 cm potencia máxima
Materiales	Tierra arcillosa compactada, color pardo anaranjado, con manchas de óxido, gravas de cuarzo (1-2 cm).
Sector	SE
Tipo	Base
Cubierto por (Estrato)	89
Cortado por (Negativa)	145-141-3-8
Se asienta en (Negativa)	263-264-262
Se adosa en (Estructura)	253-139-140
Se asienta en (Estructura)	308

UE 354

Definición Base de salinas

Interpretación Base de salina de cristalización, localizada en planta en el Sector SE, correspondiente al tanque 10, localizado en la parcela 4, formado por gravas de cuarzo (1-2 cm de tamaño), arcilla y arena, fuertemente compactados. Fue dispuesta sobre el terreno de formación natural horizontalizado, constituyendo una extensa base arcillosa que se adosaría a los muretes de delimitación de tanques. Hacia en W se aparecía alterada por la zanja 4, excavada en los sondeos mecánicos abiertos en 2005.

Datación	Época altoimperial romana

Dimensiones	Ocupa las dimensiones del tanque 10 de cristalización
Materiales	Arena, grava oxidada y arcilla
Sector	SE
Tipo	Base
Cubierto por (Estrato)	13
Cortado por (Negativa)	125-6-3
Se asienta en (Negativa)	274

UE 355

Definición Base de salinas

Interpretación Base de salinas, en buen estado de conservación, correspondiente al tanque 11 de los localizados en la parcela 4, formada por tierra arcillosa muy compacta, con manchas de óxido y pequeñas gravas de cuarzo. Aparecía dispuesta sobre el terreno natural horizontalizado, constituyendo una extensa base arcillosa que se adosaría a los muretes de delimitación de tanques. Una vez excavada en el sondeo 5, durante la intervención de marzo del 2009, pudieron documentarse sus elementos constructivos, compuestos por una base formada por gravas de cuarzo de pequeño y medio tamaño, de entre 2 y 5 cm, bajo un nivel de arcillas.

Datación	Época altoimperial romana
Dimensiones	Ocupa la superficicie del tanque 11 de cristalización, con 10 cm potencia máxima
Materiales	Tierra arcillosa compactada, color pardo anaranjado, con manchas de óxido y gravas de cuarzo, de entre 1 e 2 cm
Sector	SE
Tipo	Base
Cubierto por (Estrato)	89
Cortado por (Negativa)	125-123-127-138-104-8-113
Se adosa en (Estructura)	139
Se asienta en (Negativa)	263-275
Se asienta en (Estructura)	285

UE 356

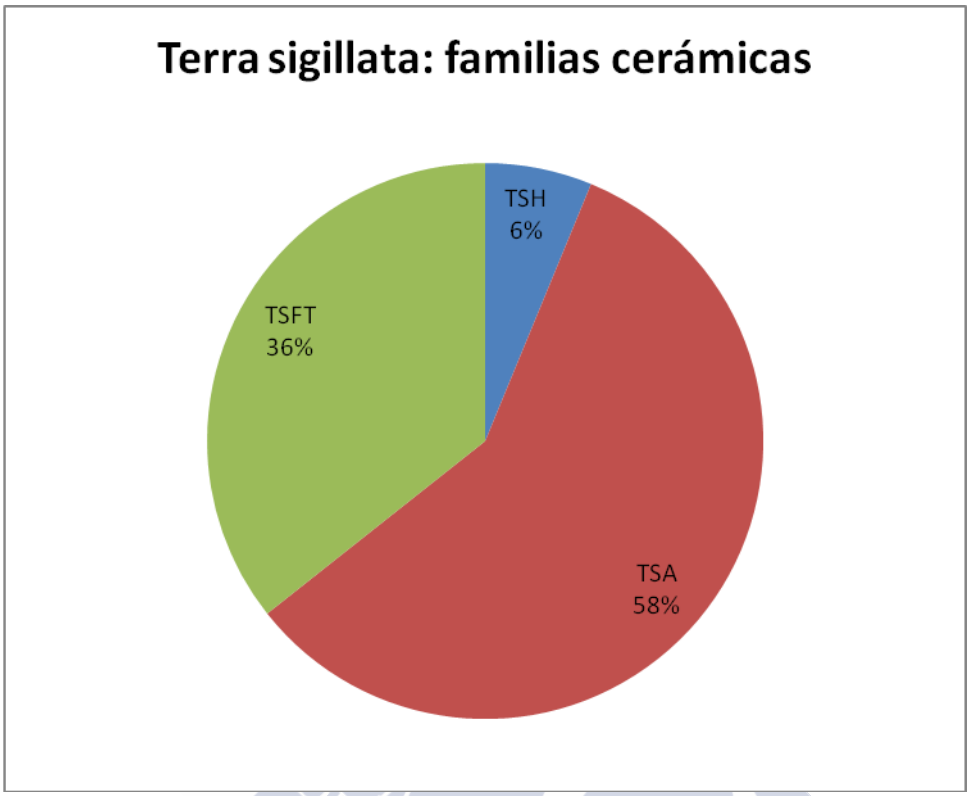
Definición Base de salinas

Interpretación Base de salinas, correspondiente al tanque 12 de los localizados en la intervención realizada en la parcela 4, formada por tierra arcillosa muy compacta, con manchas de óxido y pequeñas gravas de cuarzo. Fue dispuesta sobre el terreno de formación natural horizontalizado, constituyendo una extensa base arcillosa que se adosaría a los muretes de delimitación de tanques. Presentó un buen estado, si bien seccionada por la construcción del muro pantalla.

Datación	Época altoimperial romana
Dimensiones	Superficie del tanque 12 de cristalización
Materiales	Tierra arcillosa compactada, color pardo anaranjado, con manchas de óxido y gravas de cuarzo de entre 1 y 2 cm
Sector	SE
Tipo	Base
Cortado por (Negativa)	8
Cubierto por (Estrato)	89
Se adosa en (Estructura)	139
Se asienta en (Negativa)	275-263

UE'S ELIMINADAS	UE'S A LAS QUE SE EQUIPARAN
11	12
19	175
22	12
23	12
39	176
41	14
44	36
49	14
50	36
55	186
62	89
72	37
73	46
75	46
79	10
81	85
82	17
83	18
84	38
86	61
91	14
92	14
108	-
111	110
112	110
121	-
122	-
227	35
228	36
229	52
230	53
231	48
232	46
233	59
234	60
235	51
240	-
241	-
284	-
298	295
299	295
315	295
320	318
345	-
347	295

4.5. LA *TERRA SIGILLATA* DE VIGO (PARCELA 4 DE ROSALÍA DE CASTRO)[35]



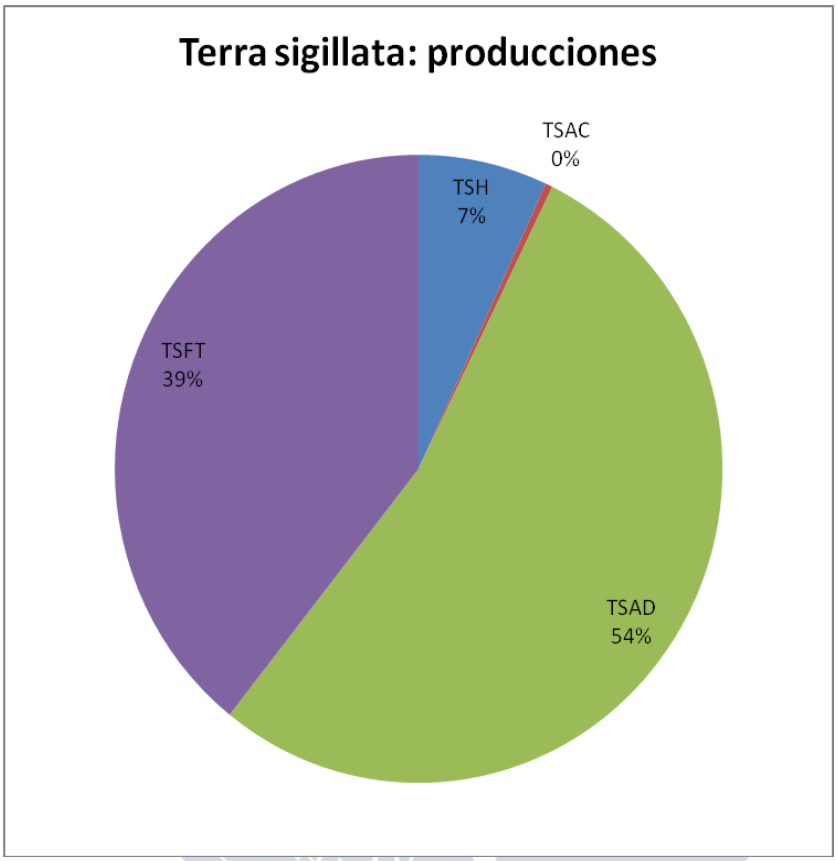
Representatividad de familias cerámicas de *terra sigillata*

El volumen de fragmentos de sigillata recogidos asciende a un total de 305, un conjunto que una vez estudiado parece corresponder a 282 recipientes. Entre ellos se encuentran documentadas tanto las vajillas finas de mesa altoimperiales como las bajoimperiales. No obstante y a pesar de este amplio marco cronológico, la colección no puede calificarse de diversa en cuanto a producciones, puesto que mayoritariamente las piezas que han podido ser identificadas, se adscriben a las producciones africanas y foceas del Bajoimperio. Se trata concretamente de las vajillas de TSAD y de TSFT. Frente a estas y tal y como se acaba de indicar, debe de calificarse de meramente anecdótica la presencia de ejemplares adscritos a las producciones de TSH y TSAC.

Estos porcentajes ya suponen por sí mismos, un dato a tener en cuenta, puesto que no son estas producciones citadas las que se presentan como mayoritarias en otros establecimientos de la geografía galaica. En referencia a este aspecto debe señalarse que los conocimientos que hasta el momento se dispone acerca de la llegada de sigillata a

[35] Agradecemos a la especialista Mª. Catalina López Pérez, la colaboración en la clasificación y estudio de la TS procedente de la intervención.

nuestro territorio, todavía presenta demasiadas incógnitas. Esta limitación va a reducir necesariamente la posibilidad de establecer relaciones entre lo localizado en nuestra intervención y lo constatado en otros yacimientos gallegos.



Representatividad de producciones cerámicas de *terra sigillata*

A lo anterior debe añadirse por otra parte uno de los aspectos más problemáticos que presenta la colección, concretamente se trata del deficiente estado de conservación en el que se encuentran las piezas. En relación a ello debe indicarse que a la elevada fragmentación que es habitual en los yacimientos urbanos, se suma el importante deterioro que presentan pastas y engobes en la mayor parte de las piezas. Dicho deterioro se concreta en la desaparición parcial y en muchas ocasiones total, de los engobes, así como en la alteración de las pastas, de forma que éstas se vuelven blandas y deleznables, características que están muy alejadas de las que son propias de estas vajillas.

Estos factores han repercutido muy negativamente en el análisis, puesto que la determinación tanto de formas como de producciones, se ha visto limitada tanto por la fragmentación como por la citada alteración de las características originales de estas piezas.

A continuación se analizan de forma individualizada, cada una de las producciones localizadas en la intervención.

4.5.1. *TERRA SIGILLATA* HISPÁNICA ALTOIMPERIAL

Uno de los aspectos destacables de la colección corresponde al escaso volumen de piezas recogidas que han sido clasificadas dentro de la producción altoimperial de las sigillatas hispánicas. El conjunto no reúne más que 18 fragmentos, una cifra que únicamente supone el 6% de la colección. Se tratan de unos porcentajes ciertamente bajos, dato que resulta aún más llamativo si se tiene en cuenta el que sea esta producción de sigillata, la que se presenta como mayoritaria en el ámbito galaico. Se advierte por tanto un fuerte contraste que parece explicarse a partir de la tardía cronología de los depósitos excavados.

4.5.1.1. FORMAS LISAS

4.5.1.1.1. FORMA 15/17

El importante deterioro de las piezas hispánicas no ha permitido más que la determinación formal de uno de estos fragmentos que ha sido identificado con un ejemplar de Forma 15/17, uno de los recipientes más habituales en los registros peninsulares. Se trata de un plato de cuerpo oblicuo y liso, base horizontal con pie anular y cuarto de círculo en el ángulo de unión del cuerpo y la base. Las reducidas dimensiones que presenta este cuarto de círculo y la limitada profundidad que parece haber tenido el ejemplar, indican que formalmente se trate de una pieza temprana cuya cronología parece corresponder a la segunda mitad del siglo I.

351. Fragmento de cuerpo de Forma 15/17. Pasta blanco carne (K 51) y engobe rojo inglés (R 11). Dimensiones: 2,3x3,5x0,8 cm. Sigla: RC-4-08/216/10. UE: 216.



351

4.5.1.1.2. PIEZAS DE ADSCRIPCIÓN INDETERMINADA

Fueron recogidos 4 fragmentos de formas indeterminadas, correspondientes a bases. Dos de estas bases presentan pies altos, característicos de épocas tempranas en la fabricación de la TSH altoimperial, así como otros dos bajos, generalmente atribuidos a fases más avanzadas en el desarrollo de la producción.

Se ha documentado una marca de alfarero completa, desgraciadamente en posición secundaria dentro de un nivel de abandono. La pieza presenta un estado de conservación deficiente, con el engobe deteriorado debido a la acción corrosiva de las sales marinas. Presenta cartela rectangular con leyenda FMEMOI. Se aprecia nexo entre la F inicial y la primer M y entre la segunda M y O. La marca se adscribe al alfarero MEMO, correspondiendo la F inicial a la abreviatura de *officina*. Existen dos marcas pertenecientes al alfarero MEM[-]MI[-], una con marca OF MEM procedente de *Segobriga* y otra con marca MII·MI hallada en Mérida (SÁENZ PRECIADO; SÁENZ PRECIADO, 1999: 112).

352. Fragmento de cuerpo y base de forma indeterminada. Presenta pie alto de sección triangular con línea incisa de 3 mm de grosor externa en el pie. En la parte interna conserva marca completa en la que se lee FMEMOI rodeada por un círculo inciso de 2,1 cm de diámetro que a su vez es rodeado por otro de 6,3 cm de diámetro, fragmentados ambos. El pie presenta un diámetro externo de 5 cm y de 4,4 cm en el interior, con una altura de 1,3 cm. La cartela, rectangular, presenta unas dimensiones 15,5 mm de largo por 3 mm de alto. Pese a presentar un estado de conservación deficiente, se puede leer FMEMOI. Existe nexo entre la F inicial y la primer M, así como entre la segunda M y la O. Esta marca pertenecería al alfarero MEMO, siendo la F inicial abreviatura de *officina*. Presenta pasta rosa (M 20) y engobe tierra siena tostada (P 25). Sigla: RC-4-08/277/12. UE: 277.





352

353. Fragmento de base con pie anular de sección rectangular de forma indeterminada. Pasta (P 20) y engobe (R 20) rojo inglés. Diámetro de base: 11 cm. Dimensiones: 1,9x4,6x0,9 cm. Sigla: RC-4-08/9/21. UE: 9.

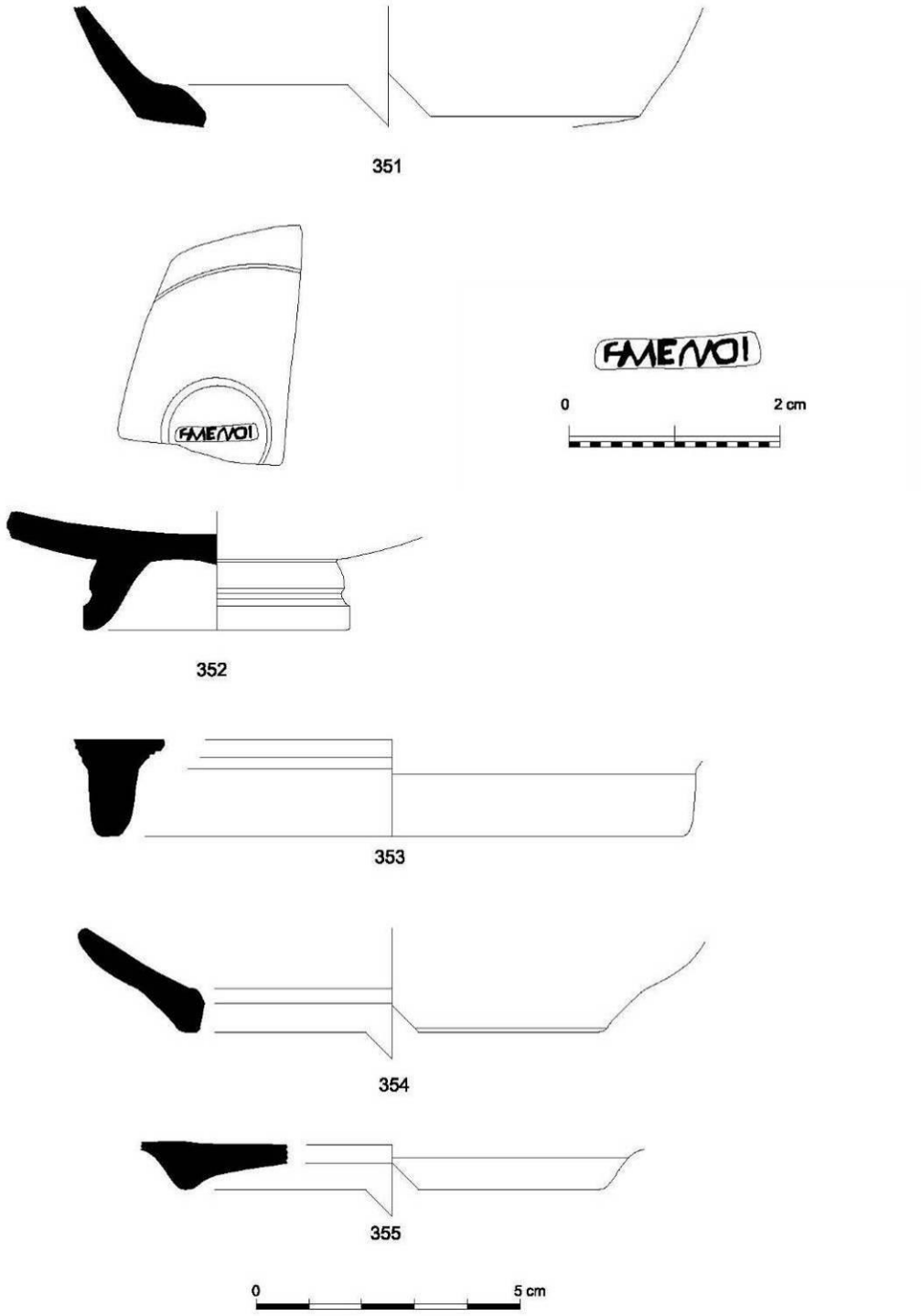
354. Fragmento rodado de cuerpo y base de forma indeterminada con pie anular. Pasta tierra verde tostada (M 35). Diámetro indeterminado. Dimensiones: 1x6,1x0,9 cm. Sigla: RC-4-08/63/24. UE: 63.

355. Fragmento rodado de base de forma indeterminada con pie anular de sección triangular. Pasta tierra siena tostada (M 37). Diámetro indeterminado. Dimensiones: 1x2,8x0,9 cm. Sigla: RC-4-08/184/10. UE: 184.



Terra sigillata hispánica altoimperial

UNIVERSIDADE DE SANTIAGO DE COMPOSTELA



TSH. Forma 15/17(351). Piezas de atribución indeterminada (352-355)

4.5.2. TERRA SIGILLATA AFRICANA

4.5.2.1. TERRA SIGILLATA AFRICANA C

4.5.1.2.1. PIEZAS DE ATRIBUCIÓN INDETERMINADA

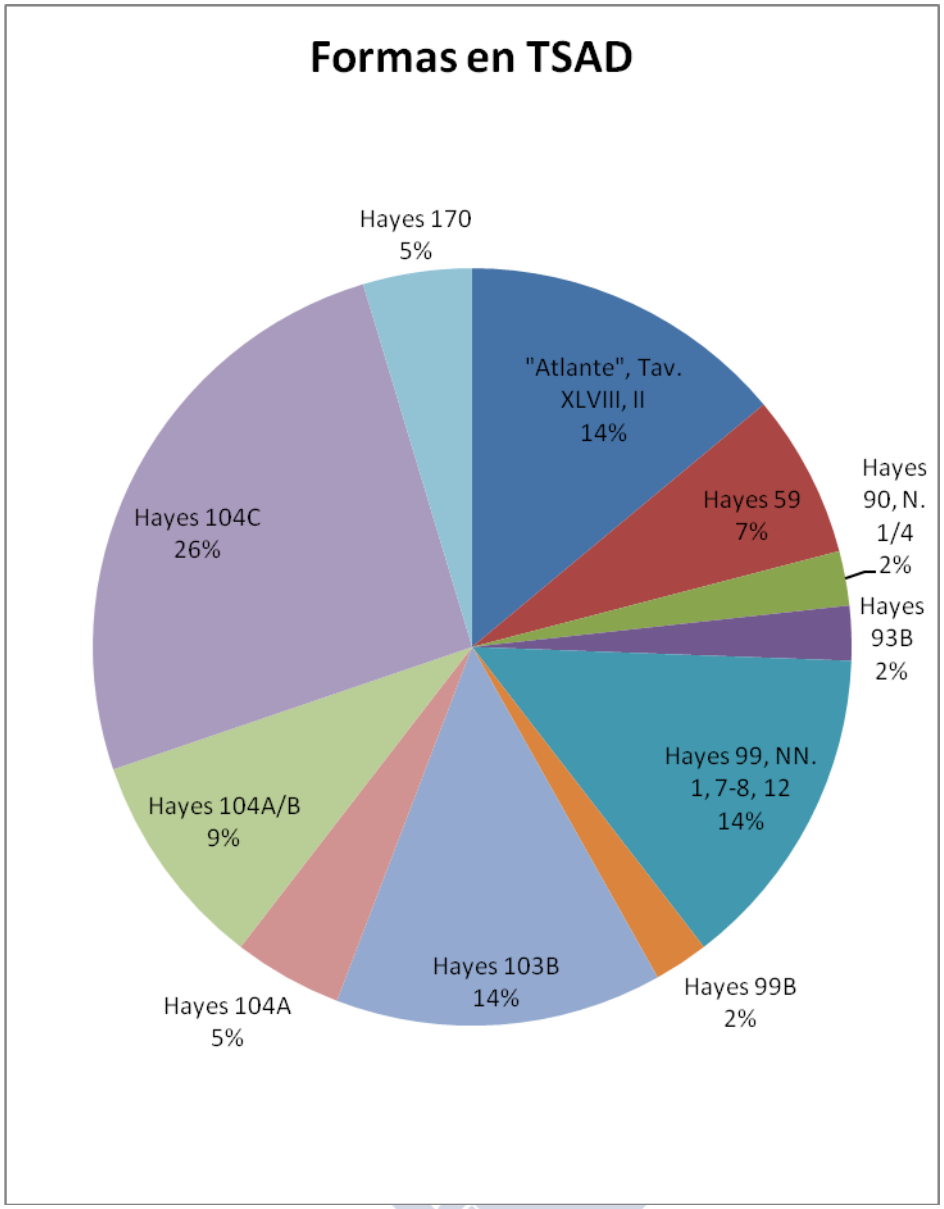
Porcentajes aún más reducidos se encuentran entre la producción C de las sigillatas africanas. Únicamente ha podido determinarse con seguridad la presencia de un solo fragmento que no supone más que el 0,3% del volumen de la colección. Es por tanto una vajilla de representación puramente anecdótica, valores que en esta ocasión conectan con lo documentado en otros yacimientos galaicos donde la TSAC se presenta con porcentajes habitualmente bajos. Se trata de un fragmento correspondiente al cuerpo de una forma indeterminada.

356. Pequeño fragmento de cuerpo de forma indeterminada. Pasta (M 37) y engobe (M 39) tierra siena tostada. Diámetro indeterminado. Dimensiones: 1x2,4x0,5 cm. Sigla: RC-4-08/12/157. UE: 12.

4.5.2.2. TERRA SIGILLATA AFRICANA D

La producción de sigillata mejor representada corresponde a la TSAD, puesto que de ella han sido contabilizados 168 fragmentos. Se trata de un grupo numeroso y este porcentaje se corresponde nuevamente con otro de los aspectos a destacar. Si bien es cierto que la producción D de la sigillata africana corresponde a una variedad de vajilla fina de mesa constatada en otros yacimientos del Noroeste, también lo es el que sea localizada a partir de volúmenes mucho más limitados. Con respecto a ello ha de indicarse que su presencia suele documentarse con cierta frecuencia en los establecimientos litorales, así como que su volumen tiende a limitarse hacia las comarcas del interior galaico. Es esta la misma tendencia que en líneas generales se experimenta en el resto de la Península y que viene explicada a partir de la competencia que las producciones norteafricanas sufren por parte de la TSHT.

En el ámbito galaico, las sigillatas tardías peninsulares llegan a resultar preponderantes en los siglos bajoimperiales en las comarcas del interior y en las del litoral norte. Esto ofrece por tanto un fuerte contraste con lo registrado en la intervención, donde la producción de TSAD no sólo resulta mayoritaria, sino que se constata la práctica ausencia de la TSHT.



Representatividad formal de la *terra sigillata* africana D

A esto último ha de añadirse otro aspecto que nuevamente vuelve a diferenciar la colección de lo recogido en establecimientos como A Coruña o los escasos fragmentos de Lugo. Nos referimos concretamente a la cuestión cronológica, puesto que si bien en los últimos establecimientos citados se encuentran formas cuyas fechas llevan a los momentos iniciales de la producción africana D, los principios del siglo IV, en la presente intervención por el contrario, aquellas piezas que han podido ser clasificadas formalmente, no se remontan a épocas anteriores al siglo V.

Por otra parte debe igualmente destacarse el que buena parte de las formas identificadas perduren durante el siglo VI, llegando en algún caso hasta los principios del siglo VII (LÓPEZ PÉREZ; CÉSAR VILA, 2010).

En lo que respecta al registro formal, debe recordarse que la deficiente conservación de las piezas ha impuesto importantes limitaciones a este apartado. En muchos casos tan sólo se ha podido apuntar una posible adscripción del ejemplar a una forma, en tanto que en otros no se ha llegado a determinar el tipo.

4.5.2.2.1. FORMA LAMBOGLIA 51, 51A=HAYES 59, NN, 16-17; 65, N. 2

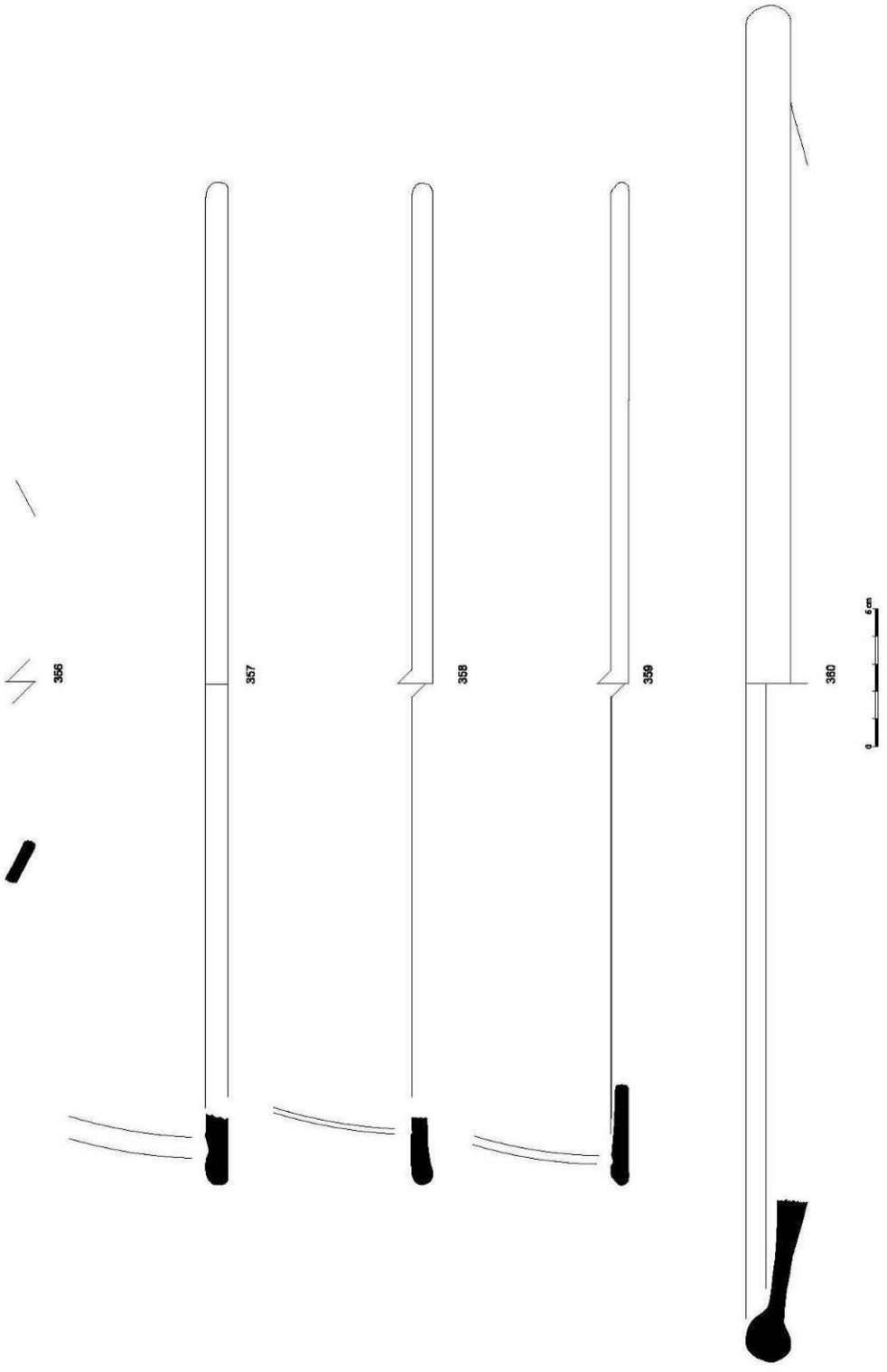
Se trata de una escudilla de borde casi horizontal acanalado o moldurado, pared curva, fondo plano sin pie o con un pequeño resalte. En el interior, una acanaladura corresponde a la unión de la pared con el fondo y sobre este, varias acanaladuras enmarcan la decoración estampada. Los diámetros se ubican entre los 21 y 42 cm. Hayes diferencia dos variantes. La variante A presenta nervaduras verticales y oblicuas sobre la pared externa, en ocasiones pareadas y en otras, alternan con depresiones circulares o pueden aparecer aisladas, dispuestas en forma triangular. La variante B presenta pared lisa y señala que es una de las primeras formas que presentan decoración estampada, en estilo A (I)-(II). La cronología de la variante A se sitúa entre el 320 y el 380/400 y la de la variante B entre el 320 y el 420 d.C.

Se han documentado tres ejemplares de este tipo, correspondientes al ala horizontal del borde. Presentan acanaladura, elemento ornamental característico del tipo.

357. Dos fragmentos de borde y cuerpo de Forma Lamboglia 51, 51A=Hayes 59, NN, 16-17; 65, N. 2. Presenta acanaladura en la parte superior del ala. Pasta tierra verde tostada (M 49) y engobe tierra siena natural clara (N 37). Diámetro de borde: 36 cm. Dimensiones: 0,8x5,2x0,8 cm. Sigla: RC-4-08/12/181. UE: 12.



357



TSA-C. Fragmento de forma indeterminada (356). TSA-D. Forma Hayes 59, NN, 16-17; 65, N. 2 (357-359). Forma Hayes 90, N. I. o Forma Hayes 90, N. 4 (360)

358. Fragmento de borde y cuerpo de Forma Lamboglia 51, 51A=Hayes 59, NN, 16-17; 65, N. 2. Presenta acanaladura en la parte superior del ala. Pasta rosa (M 20) y engobe tierra verde tostada (N 25). Diámetro de borde indeterminado. Dimensiones: 0,8x3,4x0,8 cm. Sigla: RC-4-08/129/34. UE: 129.



358

359. Fragmento de borde y cuerpo de forma indeterminada. Presenta acanaladura incisa delimitando el borde. Pasta (M 37) y engobe (P 37) tierra siena tostada. Diámetro indeterminado. Dimensiones: 0,7x1,9x0,6 cm. Sigla: RC-4-08/176/180. UE: 176.

4.5.1.2.2. FORMA HAYES 90, N. I. O FORMA HAYES 90, N. 4

A una de estas dos formas definidas en el *Atlante* (CARANDINI *et al.*, 1981: 97) tan sólo ha podido ser asignado un ejemplar, aunque no obstante ha de añadirse la existencia de otros tres fragmentos que posiblemente deban ser encuadrados dentro de este tipo.

Se corresponde con un plato de amplias dimensiones, borde engrosado y redondeado y pie, que se fecha entre los finales del siglo V y los comienzos del siglo VII.

360. Dos fragmentos muy rodados de borde y cuerpo de Forma Hayes 90, N. I. ó Forma Hayes 90, N. 4. Pasta tierra siena tostada (M 37) y engobe tierra verde tostada (M 33). Diámetro aproximado de borde: 48 cm. Dimensiones: 2,3x7,9x1,7 cm. Sigla: RC-4-08/176/207. UE: 176.



360

4.5.2.2.3. FORMA “ATLANTE”, TAV. XLVIII, II

Se trata de una de las formas más difundidas en el Mediterráneo occidental y en consecuencia de las mejor representadas en la intervención. Así lo demuestran las 6 piezas clasificadas con esta forma del *Atlante* (CARANDINI *et al.*, 1981: 105), a las que deben añadirse 4 fragmentos más que sólo, de forma hipotética, podrían igualmente ser adscritos.

La forma corresponde a uno de los vasos con pie atrofiado que presenta como elementos característicos el listel exterior bajo el borde y la decoración burilada en la superficie interna. Es un recipiente de amplia cronología puesto que comenzando a finales del siglo IV, su producción no termina hasta el 650.

Debe indicarse por otra parte que la escasa superficie conservada de los ejemplares, no ha permitido asimilarlos a alguna de las variantes en que se divide la forma. No obstante, no se descarta la posible identificación de alguno de ellos con los tipos Hayes 91C, nn. 21, 23 = Lamboglia 38(?) ó Atlante, tav. XLVIII, 14.

361. Fragmento de borde y cuerpo de Forma “Atlante”, Tav. XLVIII, II, N. 4. Existe posibilidad de que pudiera corresponderse con el tipo Hayes 91C, nn. 21, 23 = Lamboglia 38(?). Pasta rosa (M 20) y engobe rojo inglés claro (N 20). Diámetro de borde: 17,8 cm. Dimensiones: 2,4x6x1,1 cm. Sigla: RC-4-08/13/325. UE: 325.

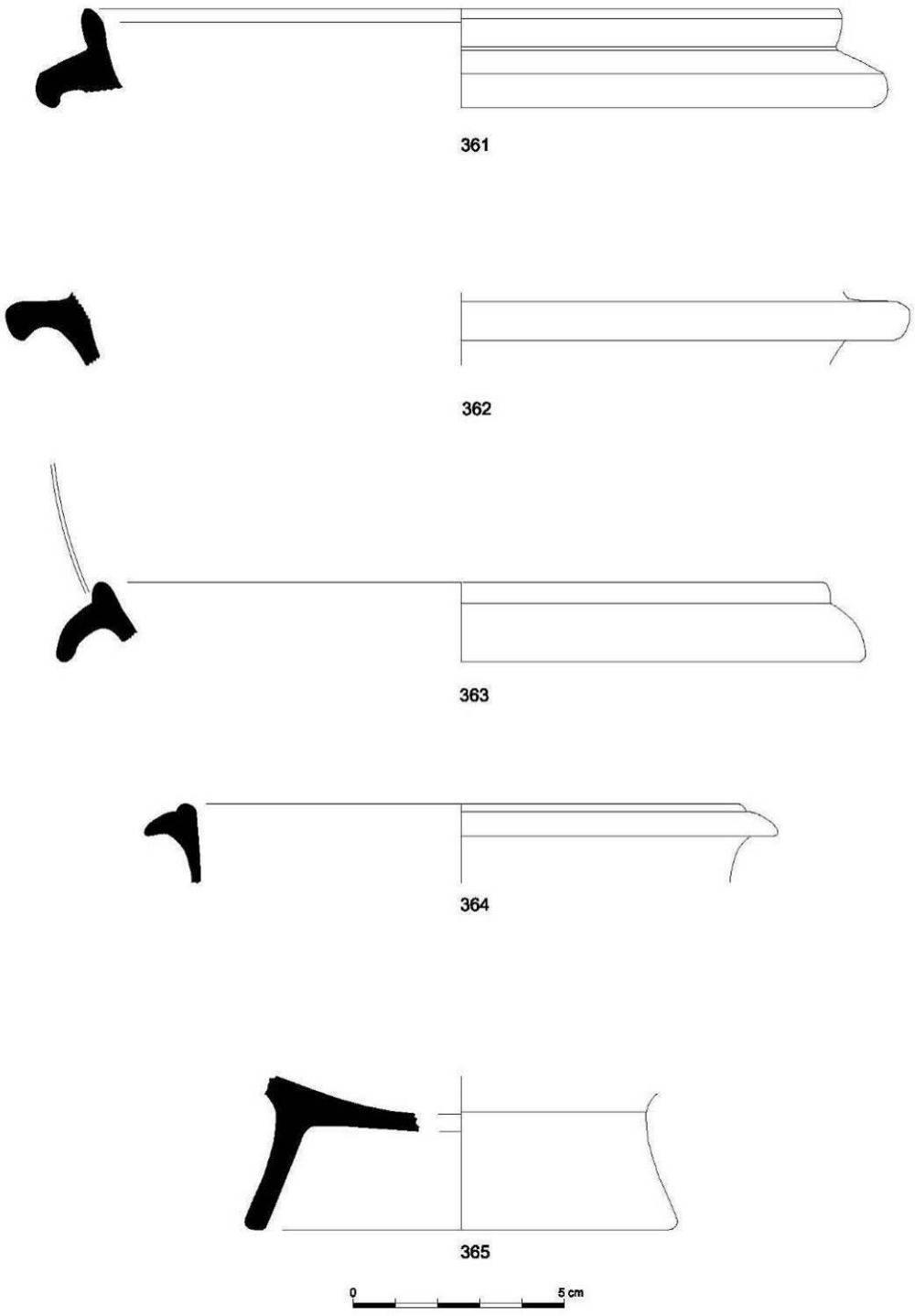


361

362. Fragmento de borde y cuerpo de Forma “Atlante”, Tav. XLVIII, II, N. 4. Existe posibilidad de que pudiera corresponderse con el tipo Hayes 91C, nn. 21, 23 = Lamboglia 38(?). Presenta acanaladura incisa en listel. Pasta y engobe tierra siena tostada (M 37). Diámetro de borde: 18 cm. Dimensiones: 1,7x5,7x1 cm. Sigla: RC-4-08/13/360. UE: 13.



362



TSA-D. Forma "Atlante", Tav. XLVIII, II (361-364). Forma Hayes 93B, NN. 19, 21: 101 (365)

363. Fragmento de borde y cuerpo de Forma “Atlante”, Tav. XLVIII, II, N. 4. Existe posibilidad de que pudiera corresponderse con el tipo el tipo Atlante, tav. XLVIII, 14. Presenta acanaladura incisa en listel. Pasta tierra siena natural clara (N 37) y engobe tierra siena tostada (P 37). Diámetro de borde: 17 cm. Dimensiones: 1,9x4,8x0,7cm. Sigla: RC-4-08/13/316. UE: 316.

364. Fragmento muy rodado de borde y cuerpo de Forma “Atlante”, Tav. XLVIII, II, N. 4. Pasta y engobe tierra siena tostada clara (N 35). Diámetro de borde: 13 cm. Dimensiones: 1,9x3,7x0,6 cm. Sigla: RC-4-08/176/181. UE: 176.

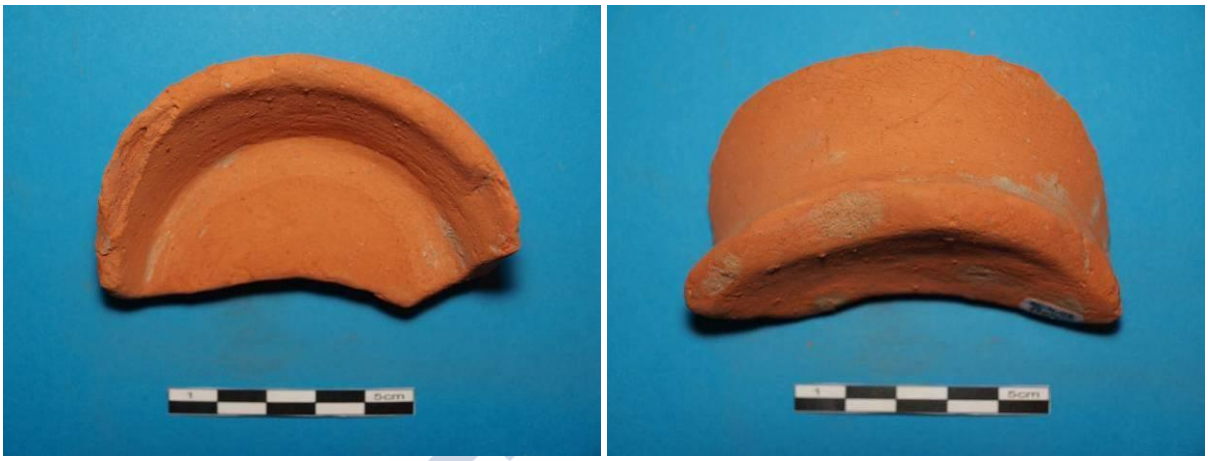


364

4.5.2.2.4. FORMA HAYES 93B, NN. 19, 21: 101

Se documentó una base perteneciente a este tipo, poco frecuente fuera del ámbito Mediterráneo. Se corresponde este tipo con una escudilla de borde horizontal y poco desarrollado, pared curva con una acanaladura hacia la mitad y pie alto y exvasado. Normalmente sobre el fondo interno presenta una o dos acanaladuras que encierran la decoración estampada. Su diámetro suele estar comprendido entre los 25 y 33 cm. Hayes diferencia dos variantes según el tamaño del borde. La variante B presenta engobe espeso, liso y brillante. Cronológicamente el *Atlante* propone una datación del 500-540 aproximadamente. Hayes ubicó esta forma entre el 470 y el 540, aunque posteriormente consideró su inicio entre el 400 y el 450, fecha que viene a coincidir con la propuesta por Fulford quien considera que la variante H.93A aparece antes del 450. Esta forma fue producida en D^2. Es una forma poco frecuente, localizándose de manera abundante, dentro de la península, en *Belo* y *Lucentum* (CARANDINI *et al.*, 1981: 101; ROCA ROUMENS; FERNÁNDEZ GARCÍA, 2005: 251).

365. Fragmento muy rodado de cuerpo y base de Forma Hayes 93B, nn. 19, 21: 101. Pasta tierra siena tostada (M 37). No conserva engobe. Diámetro de base: 9,8 cm. Dimensiones: 3,6x8,2x0,8 cm. Sigla: RC-4-08/176/196. UE: 176.



365

4.5.2.2.5. FORMA HAYES 99, NN. 1, 7-8, 12

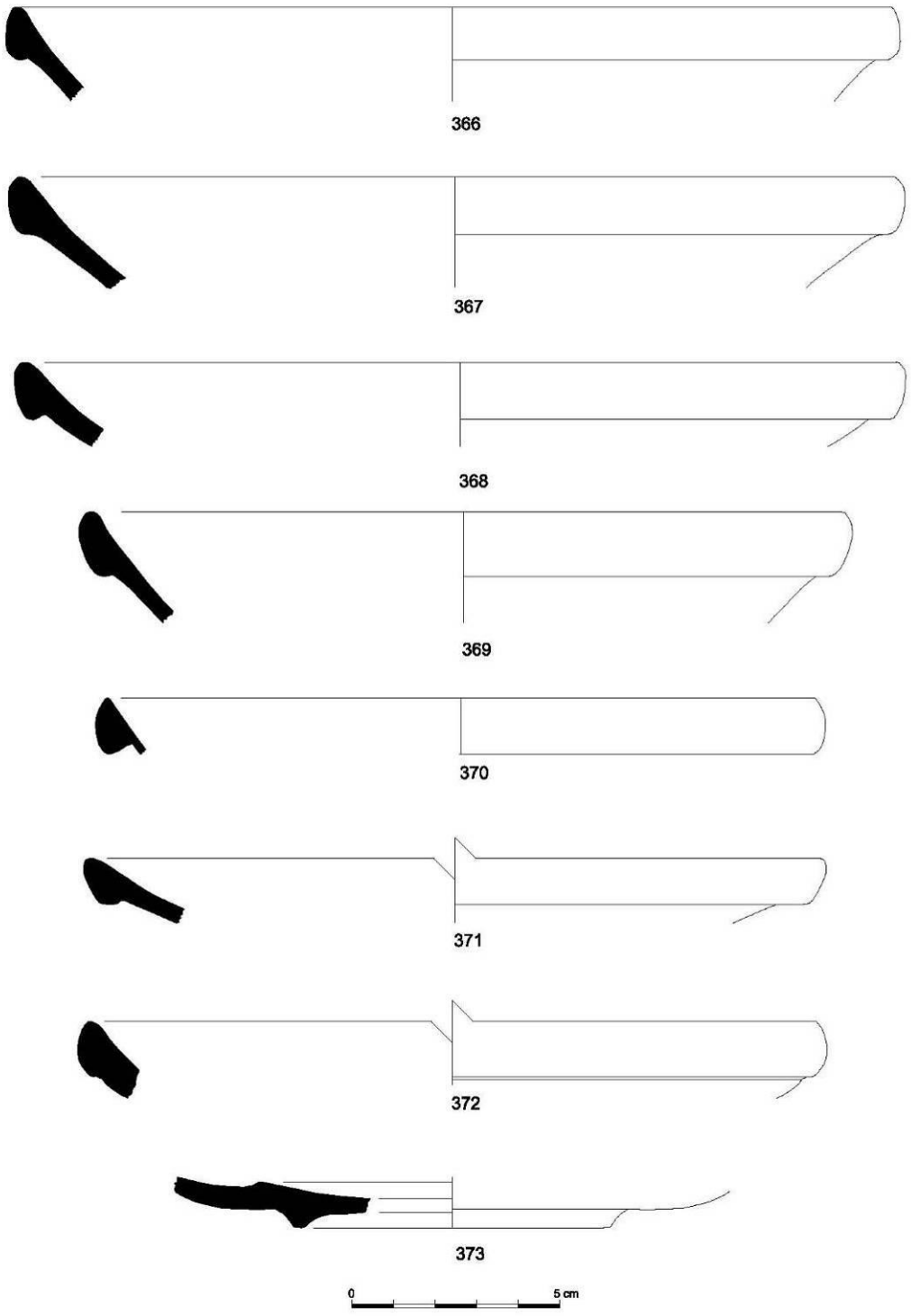
Son 8 los individuos que han sido determinados con seguridad dentro de este tipo, un número que sitúa a este recipiente entre los mejor representados en la colección.

Corresponde a una copa con pie anular y borde almendrado cuya cronología se sitúa en la fase final de la producción africana, concretamente entre el siglo VI y los comienzos del siglo VII.

366. Fragmento de borde y cuerpo de Forma Hayes 99, NN. 1, 7-8, 12. Pasta tierra siena tostada (M 37) y engobe tierra siena natural clara (N 37). Diámetro de borde: 21 cm. Dimensiones: 2,3x3,1x0,9 cm. Sigla: RC-4-08/172/8. UE: 172.



366



TSA-D. Forma Hayes 99, NN. 1, 7-8, 12

367. Fragmento de borde y cuerpo de Forma Hayes 99, NN. 1, 7-8, 12. Pasta (M 37) y engobe (P 37) tierra siena tostada. Diámetro de borde: 21 cm. Dimensiones: 2,7x4,2x0,8 cm. Sigla: RC-4-08/12/154. UE: 12.



367

368. Fragmento de borde y cuerpo de Forma Hayes 99, NN. 1, 7-8, 12. Presenta indicios de carbonización. Pasta tierra siena tostada (M 39) y engobe rosa (L 49). Diámetro de borde: 21 cm. Dimensiones: 2x5,4x0,7 cm. Sigla: RC-4-08/96/3. UE: 96.



368

369. Fragmento de borde y cuerpo de Forma Hayes 99, NN. 1, 7-8, 12. Pasta (M 39) y engobe (M 37) tierra siena tostada. Diámetro de borde: 18 cm. Dimensiones: 2,6x3,5x0,9 cm. Sigla: RC-4-08/12/153. UE: 12.



369

370. Fragmento de borde y cuerpo de Forma Hayes 99, NN. 1, 7-8, 12. Pasta tierra siena tostada (M 37) y engobe tierra siena natural clara (N 37). Diámetro de borde: 17 cm. Dimensiones: 1,4x3,1x0,7 cm. Sigla: RC-4-08/63/23. UE: 63.

371. Fragmento de borde y cuerpo de Forma Hayes 99, NN. 1, 7-8, 12. Pasta (M 37) y engobe (P 37) tierra siena tostada. Diámetro de borde indeterminado. Dimensiones: 1,5x3,1x0,9 cm. Sigla: RC-4-08/13/332. UE: 13.



371

372. Fragmento de borde y cuerpo de Forma Hayes 99, NN. 1, 7-8, 12. Pasta tierra siena tostada (M 37). No conserva engobe. Diámetro de borde indeterminado. Dimensiones: 1,8x3,9x0,9 cm. Sigla: RC-4-08/13/399. UE: 13.



372

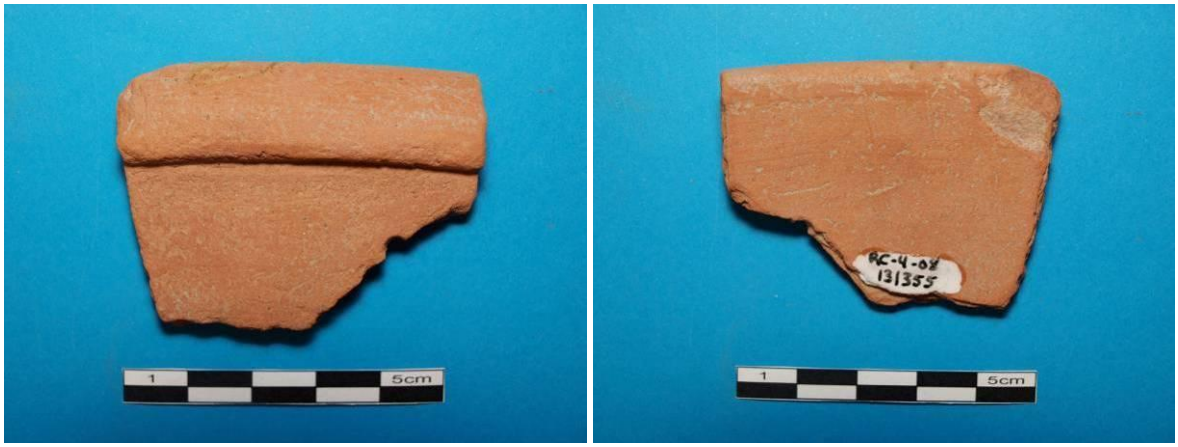
373. RC-4-08/13/390. Fragmento de cuerpo y base con pie anular de sección triangular de Forma Hayes 99B. Pasta (M 39) y engobe (M 37) tierra siena tostada. Presenta el resalte interno característico de la Forma Hayes 99 y el pie bajo correspondiente a la variante B. Diámetro de base: 7,6 cm. Dimensiones: 1,2x4,2x1,3 cm. UE: 13.

4.5.2.2.6. FORMA HAYES 103B

Este recipiente corresponde a otra de las formas que cuenta con una buena representación en el registro, dado que de este grupo han sido 6 los ejemplares contabilizados. Es éste un dato a destacar puesto que contrasta con el hecho de ser una forma que es calificada como de aparición poco frecuente.

La forma se identifica con una escudilla de pie anular, borde de sección triangular y pared internamente carenada, cuya cronología lleva a un momento muy concreto, los tres primeros cuartos del siglo VI.

374. Fragmento de borde y cuerpo de Forma Hayes 103B. Pasta rojo muy pálido (M 25) y engobe tierra verde tostada (N 25). Presenta una perforación circular de 0,3 cm de diámetro que podría corresponder a un enlañado. Diámetro de borde aproximado: 40 cm. Dimensiones: 3,5x5,3x1 cm. Sgla: RC-4-08/13/355. UE: 13.



374

375. Fragmento de borde y cuerpo de Forma Hayes 103B. Pasta rojo muy pálido (M 25) y engobe tierra verde tostada (N 25). Diámetro de borde aproximado: 32 cm. Dimensiones: 2,5x5,3x1 cm. Sigla: RC-4-08/13/298. UE: 13.

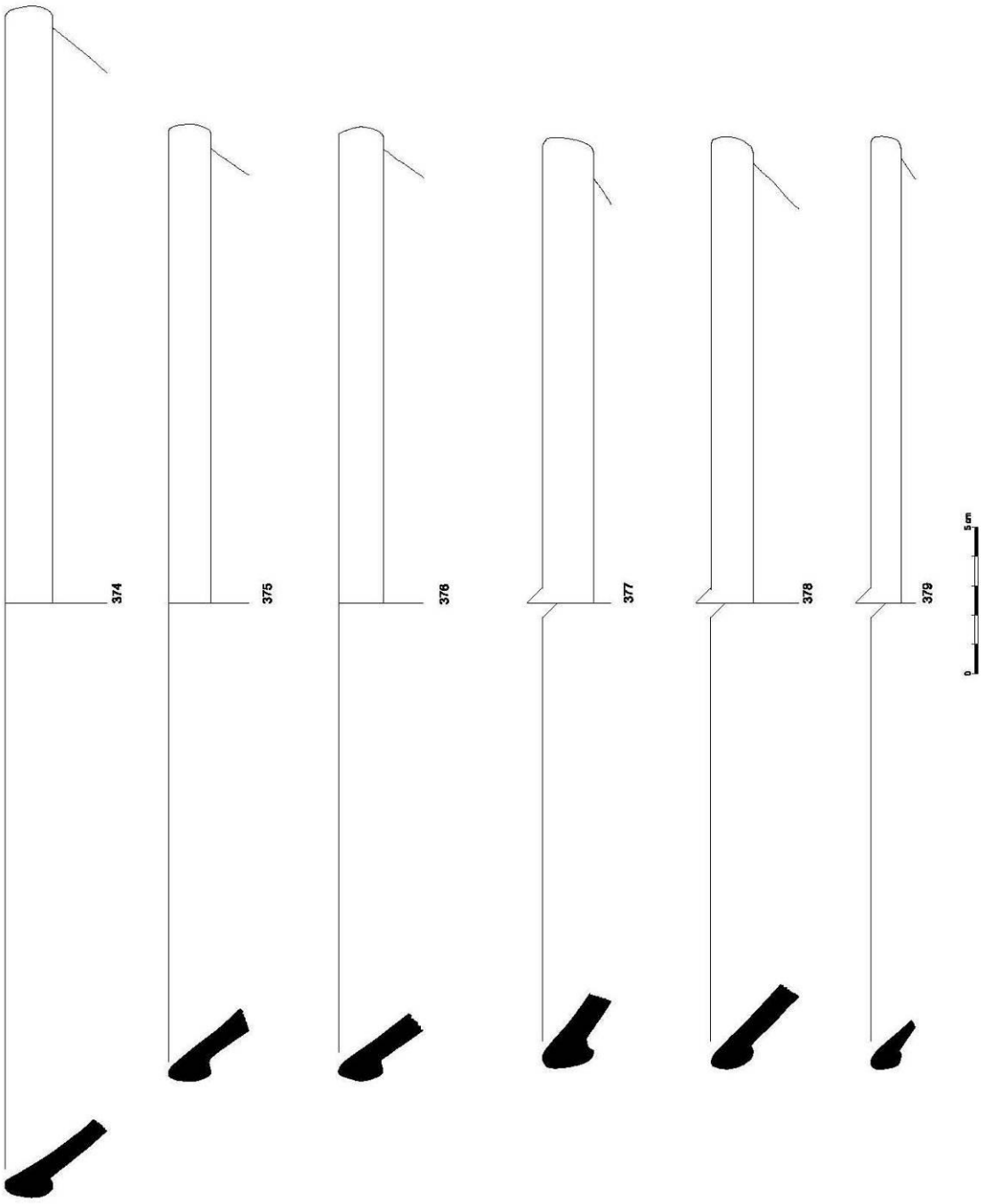


375

376. Fragmento de borde y cuerpo de Forma Hayes 103B. Pasta rosa (L 47) y engobe tierra siena natural (P 45). Diámetro de borde aproximado: 32 cm. Dimensiones: 2,9x5,5x1 cm. Sigla: RC-4-08/176/170. UE: 176.



376



TSA-D. Forma Hayes 103B

377. Fragmento de borde y cuerpo de Forma Hayes 103B. Pasta (M 37) y engobe (P 47) tierra siena tostada. Diámetro de borde indeterminado. Dimensiones: 2,4x2,8x1,4 cm. Sigla: RC-4-08/5/13UE: 5.



377

378. Fragmento de borde y cuerpo de Forma Hayes 103B. Pasta (M 37) y engobe (P 47) tierra siena tostada. Diámetro indeterminado. Dimensiones: 3x4,6x1 cm. Sgla: RC-4-08/10/141. UE: 10.



378

379. Fragmento rodado de borde y cuerpo de Forma Hayes 103B. Pasta tierra siena tostada (M 37). No conserva engobe. Diámetro indeterminado. Dimensiones: 1,6x3,6x0,8 cm. Sigla: RC-4-08/5/15. UE: 5.

4.5.2.3.7. FORMA HAYES 104A

A este recipiente se adscriben 6 ejemplares clasificados formalmente, un conjunto que no obstante pudiera ser mayor dado que el importante deterioro observado en otros 4, no ha

permitido determinar si se trata de ejemplares de la forma citada o de la Forma Hayes 104B, N. 15.

En cualquier caso, se trata de una escudilla con pie anular de escasa altura y borde engrosado y apuntado que se acompañada de una o varias acanaladuras en la superficie interna y cuya cronología se sitúa en los primeros 80 años del siglo VI.

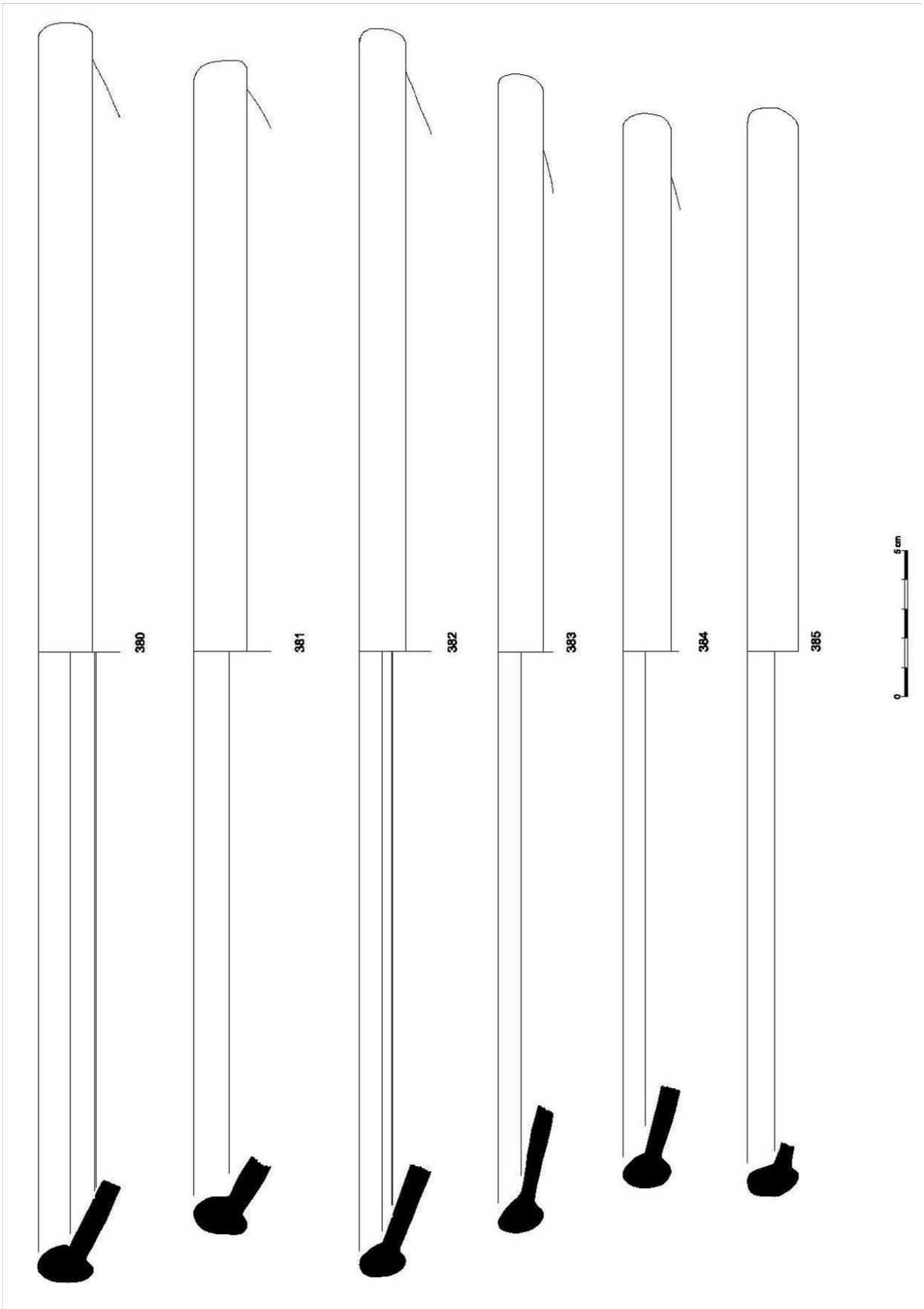
Se trata de otra de las formas menos abundantes en el Mediterráneo y el litoral Atlántico y ello a pesar de que existe una variante de la Hayes 104 en Gijón.

380. Fragmento de borde y cuerpo de Forma Hayes 104A. Presenta incisión acanalada en la superficie interna próxima al borde. Pasta y engobe tierra siena tostada (M 37). Diámetro de borde: 42 cm. Dimensiones: 2,8x7,8x1,3 cm. Sigla: RC-4-08/176/173. UE: 176.



380

381. RC-4-08/7/22. Fragmento de borde y cuerpo de Forma Hayes 104A. Presenta incisión acanalada interna delimitando borde y cuerpo. Pasta y engobe tierra siena tostada (M 37). Diámetro de borde aproximado: 39 cm. Dimensiones: 1,8x6,8x1,2 cm. Sigla: RC-4-08/7/22.UE: 7.



TSA-D. Forma Hayes 104A (380-381). Forma Hayes 104A o Forma Hayes 104B (382-385)



381

382. Fragmento de borde y cuerpo de Forma Hayes 104A o Forma Hayes 104B. Presenta incisión acanalada en la superficie interna próxima al borde. Pasta y engobe tierra siena tostada (M 37). Diámetro de borde aproximado: 42 cm. Dimensiones: 2,5x6,6x1,2 cm. Sigla: RC-4-08/207/16. UE: 207.



382

383. Fragmento rodado de borde y cuerpo de Forma Hayes 104A o Forma Hayes 104B. Pasta tierra siena tostada (P 37). Diámetro de borde aproximado: 39 cm. Dimensiones: 1,9x6,6x1,2 cm. Sigla: RC-4-08/13/318. UE: 13.



383

384. Fragmento rodado de borde y cuerpo de Forma Hayes 104A o Forma Hayes 104B. Pasta (M 37) y engobe (P 39) tierra siena tostada. Diámetro de borde: 36 cm. Dimensiones: 1,9x8,2x1,1 cm. Sigla: RC-4-08/216/9. UE: 216.



384

385. Fragmento de borde y cuerpo de Forma Hayes 104A o Forma Hayes 104B. Diámetro de borde indeterminado. Pasta tierra siena natural clara (N 37) y engobe tierra siena tostada (N 47). Diámetro de borde: 36,7 cm. Dimensiones: 1,8x4,3x0,9 cm. Sigla: RC-4-08/12/152. UE: 12.





385

4.5.2.3.8. FORMA HAYES 104C

Con 11 piezas identificadas la Forma Hayes 104C se presenta como la mejor documentada del registro. Como el anterior, corresponde a una escudilla de pie atrofiado con borde, que aunque engrosado, presenta menores dimensiones y sección más redondeada.

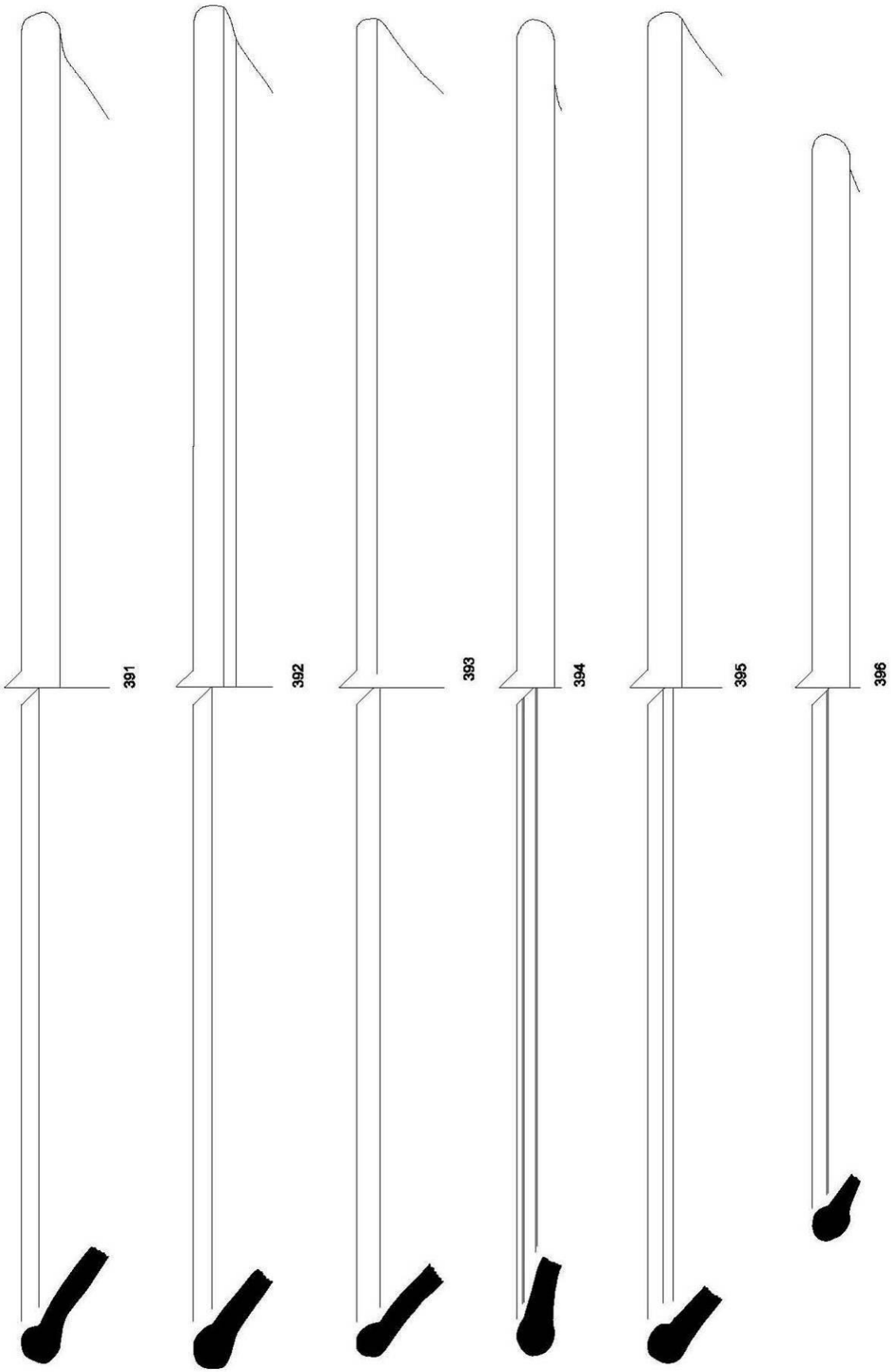
Se trata de una forma que aunque presente en los yacimientos del Mediterráneo oriental y occidental, suele encontrarse en porcentajes bajos, aspecto que por otra parte ofrece cierto contraste con lo constatado en Vigo.

Otro de los aspectos a tener en cuenta es la tardía cronología de la forma puesto que teniendo sus comienzos en el 550, su producción perdura hasta la última fase de la sigillata africana, concretamente hasta el 625. Se tratan por lo tanto, de unas fechas tardías que coinciden con el declive de la producción y el consecuente descenso de la importación de estas vajillas.

386. Fragmento de borde y cuerpo de Forma Hayes 104C. Presenta dos acanaladuras internas incisas, una de ellas delimitando el borde. Pasta tierra siena tostada (M 37) y engobe tierra siena tostada clara (N 35). Diámetro de borde: 38 cm. Dimensiones: 3x4,7x1,1 cm. Sigla: RC-4-08/176/176. UE: 176.



TSA-D. Forma Hayes 104C



TSA-D. Forma Hayes 104C



386

387. Fragmento rodado de borde y cuerpo de Forma Hayes 104C. Presenta acanaladura horizontal delimitando el borde. Pasta Tierra siena tostada (P 39) y engobe tierra siena (R 45). Diámetro de borde aproximado: 37 cm. Dimensiones: 2x0,3x0,9 cm. Sigla: RC-4-08/89/37. UE: 89.

388. Fragmento rodado de borde y cuerpo de Forma Hayes 104C. Presenta acanaladura horizontal delimitando el borde. Pasta Tierra siena tostada (M 37) y engobe tierra verde tostada (M 35). Diámetro de borde: 35 cm. Dimensiones: 3,1x6,2x0,9 cm. Sigla: RC-4-08/176/192. UE: 176.



387

389. Fragmento rodado de borde y cuerpo de Forma Hayes 104C. Presenta acanaladura interna delimitando borde y cuerpo. Pasta y engobe tierra siena tostada (M 37). Diámetro indeterminado. Dimensiones: 2,2x2,7x1,1 cm. Sigla: RC-4-08/176/197. UE: 176.



388

390. Fragmento muy rodado de borde y cuerpo de Forma Hayes 104C. Pasta tierra siena tostada (M 37). No conserva engobe. Diámetro indeterminado. Dimensiones: 3,5x4,7x1,1 cm. Sigla: RC-4-08/13/326. UE: 13.



390

391. Fragmento de borde y cuerpo de Forma Hayes 104C. Pasta tierra siena tostada (M 37). No conserva engobe. Diámetro indeterminado. Dimensiones: 2,5x4,2x1,1 cm. Sigla: RC-4-08/102/11. UE: 102.



391

392. Fragmento rodado de borde y cuerpo de Forma Hayes 104C. Pasta tierra siena tostada (M 37). No conserva engobe. Diámetro indeterminado. Dimensiones: 2,4x4,4x1 cm. Sigla: RC-4-08/129/30. UE: 129.



392

393. Fragmento de borde y cuerpo de Forma Hayes 104C. Presenta acanaladura interna delimitando borde y cuerpo. Pasta rojo muy pálido (L 29) y pasta rosa (L 33). Diámetro indeterminado. Dimensiones: 2,6x3,4x1 cm. Sigla: RC-4-08/105/28. UE: 105.



393

394. Fragmento de borde y cuerpo de Forma Hayes 104C. Presenta dos acanaladuras internas incisas. Pasta tierra siena tostada (M 37). No conserva engobe. Diámetro indeterminado. Dimensiones: 1,3x2,9x1 cm. Sigla: RC-4-08/79/7. UE: 79.



394

395. Fragmento de borde y cuerpo de Forma Hayes 104C. Presenta acanaladura interna delimitando borde y cuerpo. Pasta (M 37) y engobe (M 39) tierra siena tostada. Diámetro indeterminado. Dimensiones: 2,2x4,5x1,1 cm. Sigla: RC-4-08/13/317. UE: 105.



395

396. Fragmento rodado de borde y cuerpo de Forma Hayes 104C. Presenta acanaladura interna delimitando borde y cuerpo. Pasta (M 39) y engobe (M 37) tierra siena tostada. Diámetro indeterminado. Dimensiones: 1,5x3,8x0,9 cm. Sigla: RC-4-08/13/309. UE: 13.



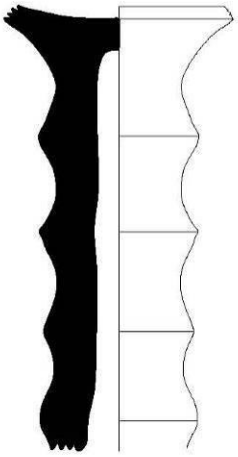
396

4.5.2.2.9. FORMA HAYES 170

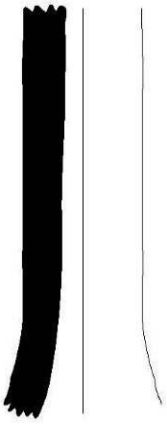
Es este otro de los formatos a destacar dentro de la colección dada la escasa difusión que presenta este recipiente. Este cáliz se halla representado a partir de 2 ejemplares, en los que por otra parte se observan las dos posibilidades con que éstos pueden presentarse, con pie liso o moldurado.

Como se indicaba se trata de un formato poco habitual entre las vajillas finas, puesto que se configura como un cáliz de pie cilíndrico, cuya cronología presenta cierta controversia puesto que mientras para Hayes (HAYES, 1972) abarca desde la segunda mitad del siglo V hasta los inicios del siglo VI, para Salomonson tendría su comienzo en el siglo VI y terminaría en los comienzos del siglo VII.

397. Fragmento de pie de Forma Hayes 170 con estriado externo. Pasta (M 39) y engobe (P 36) tierra siena tostada. Diámetro exterior: 2,8 cm. Diámetro interior: 0,9 cm. Dimensiones: 7,7x3,9x0,8 cm. Sigla: RC-4-08/13/303. UE: 13.



397



398



TSA-D. Forma Hayes 170



397

398. Fragmento rodado de pie de Forma Hayes 170. Pasta tierra siena tostada (M 39). No conserva engobe. Diámetro exterior: 2 cm. Diámetro interior: 0,7 cm. Dimensiones: 7x2,7x0,7 cm. Sigla: RC-4-08/89/40. UE: 89.



398

4.5.2.2.10. PIEZAS DE ADSCRIPCIÓN PROBABLE O INDETERMINADA

Como es habitual en las colecciones galaicas, son pocos los fragmentos de sigillata africana que conservan decoración. Junto a las frecuentes acanaladuras que aparecen delimitando bordes y bases o los burilados dispuestos en círculo en la superficie interna de la base, se encuentran 3 ejemplares que conservan parcialmente motivos estampados correspondientes a los estilos A(III) y E(II).

El fragmento correspondiente al primero de los estilos citados conserva muy parcialmente el motivo decorativo en el que sin embargo es posible advertir una alternancia de círculos y cuadrados que se encuentran decorados en su interior.

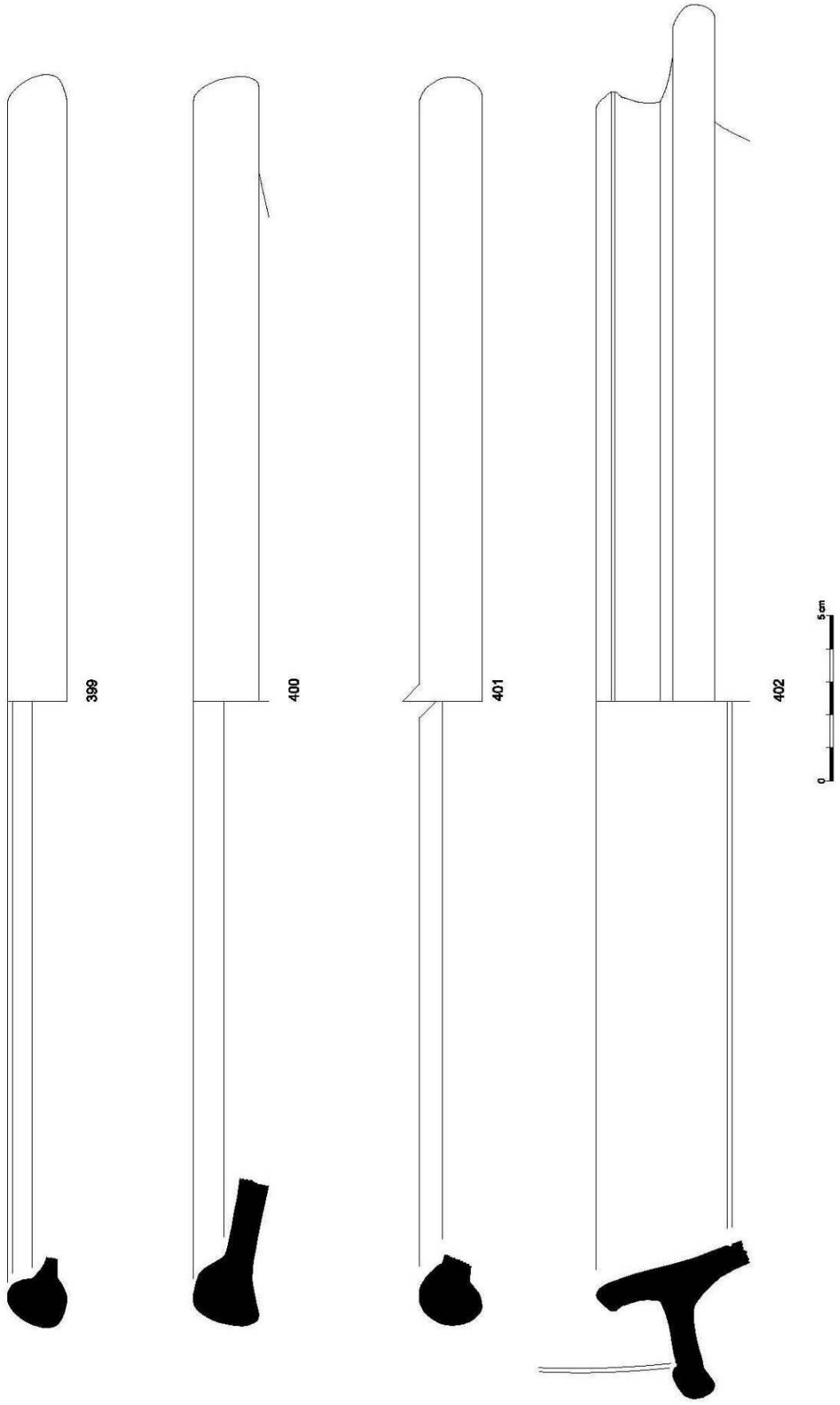
La pieza adscrita al estilo E(II) conserva de forma incompleta un motivo figurado que ha sido identificado con un santo. A este mismo estilo es posible que deba añadirse un tercer fragmento cuya alteración no permite distinguir con nitidez la decoración aunque parece corresponderse con la representación de un ave.

399. Fragmento rodado de borde de posible Forma Hayes 90, N. 1. o Forma Hayes 90, N. 4. Pasta ocre carne (N 45). No conserva engobe. Diámetro de borde: 36 cm. Dimensiones: 1,8x5,1x1,6 cm. Sigla: RC-4-08/13/335. UE: 13.



399

400. Fragmento de borde y cuerpo de posible Forma Hayes 90, N. 1. o Forma Hayes 90, N. 4. Pasta ocre carne (N 45) y engobe tierra siena natural (P 45). Diámetro de borde: 36,3 cm. Dimensiones: 2,3x4,5x1,8 cm. Sigla: RC-4-08/176/175. UE: 176.



TSA-D. Piezas de atribución probable o indeterminada. Posible Forma Hayes 90, N. 1. ó Forma Hayes 90, N. 4 (399-401). Posible Forma Hayes 91, N. 28 (402).



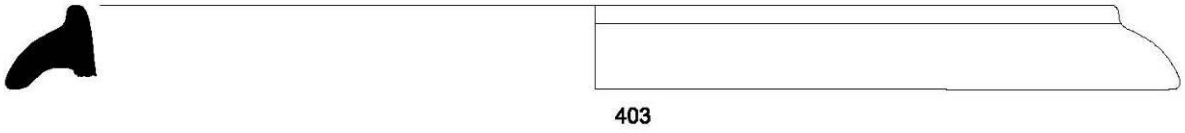
400

401. Fragmento de borde y cuerpo de posible Forma Hayes 90, N. 1. o Forma Hayes 90, N. 4. Presenta pasta tierra siena tostada (M 37) y engobe tierra verde tostada (M 47). Diámetro indeterminado. Dimensiones: 1,9x4,2x1,8 cm. Sigla: RC-4-08/176/172. UE: 176.

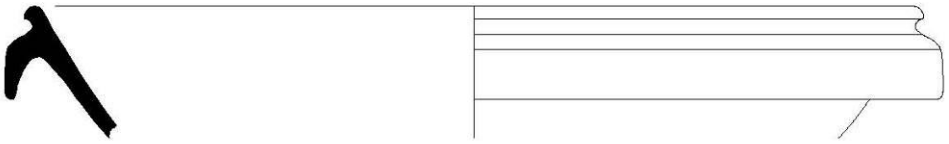


401

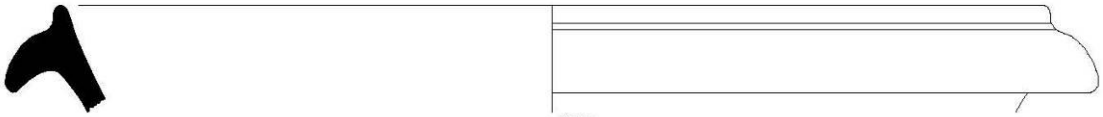
402. Cuatro fragmentos de borde y cuerpo de posible Forma Hayes 91, N. 28. Presenta dos acanaladuras incisas, una delimitando el extremo del listel y otra en la superficie interna del cuerpo. Pasta (M 39) y engobe (M 37) tierra siena tostada Diámetro de borde: 36 cm. Dimensiones: 4,7x10x1,3 cm. Sigla: RC-4-08/13/328. UE: 13.



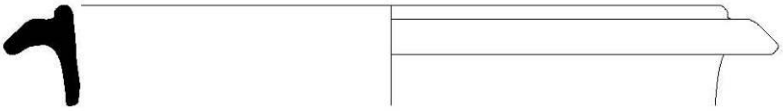
403



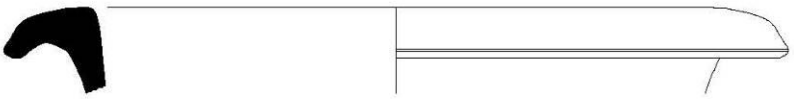
404



405



406



407



TSA-D. Piezas de atribución probable o indeterminada. Posible Forma "Atlante", Tav. XLVIII, II



402

403. Fragmento de borde y cuerpo de posible Forma "Atlante", Tav. XLVIII, II. Pasta y engobe tierra siena tostada (M 37). Diámetro de borde: 20 cm. Dimensiones: 1,7x3,9x0,7 cm. Sigla: RC-4-08/89/36. UE: 89.



403

404. Dos fragmentos de borde y cuerpo de posible Forma "Atlante", Tav. XLVIII, II. Muestra diferencia tonal en el parte superior del listel, señalando la línea de encaje con otras piezas durante el proceso de cocción. Pasta (M 39) y engobe (M 37) tierra siena tostada. Diámetro de borde: 17,2 cm. Dimensiones: 2,6x7,4x0,5 cm. Sigla: RC-4-08/13/299. UE: 13.



404

405. Fragmento de borde y cuerpo de posible Forma "Atlante", Tav. XLVIII, II. Presenta en el interior un trozo de TSA de 8 mm de diámetro reaprovechado como elemento no plástico. Pasta (M 39) y engobe (M 37) tierra siena tostada. Diámetro de borde: 19 cm. Dimensiones: 2x4,7x0,8 cm. Sigla: RC-4-08/176/168. UE: 176.



405

406. Fragmento de borde y cuerpo de posible Forma "Atlante", Tav. XLVIII, II. Pasta (M 39) y engobe (M 37) tierra siena tostada. Diámetro de borde: 12,8 cm. Dimensiones: 1,9x4x0,6 cm. Sigla: RC-4-08/129/31. UE: 129.



406

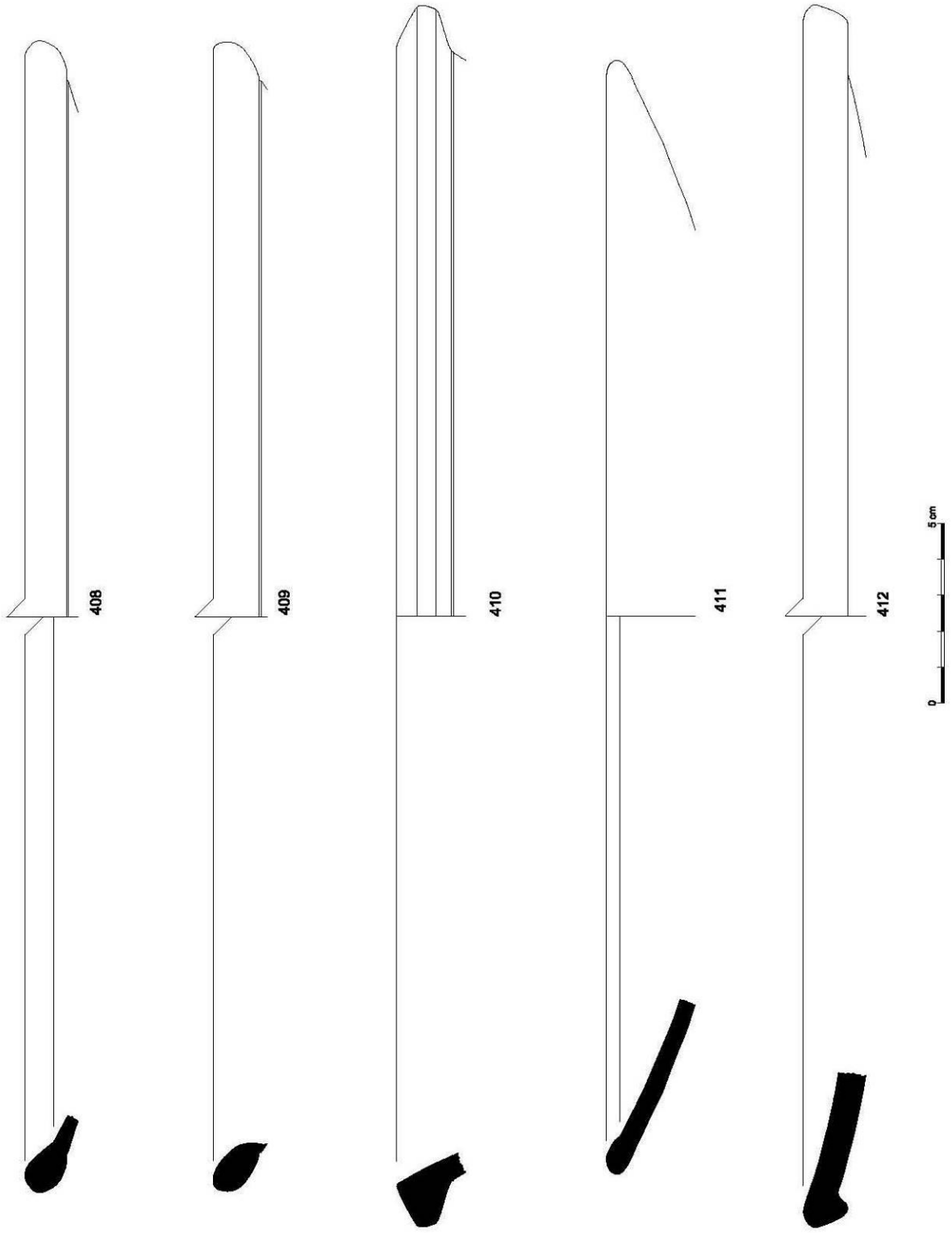
407. Fragmento rodado de borde y cuerpo de posible Forma "Atlante", Tav. XLVIII, II. Pasta tierra siena tostada (M 39). No conserva engobe. Diámetro de borde: 12,9 cm. Dimensiones: 1,6x3,8x0,7 cm. Sigla: RC-4-08/13/327. UE: 13.



407

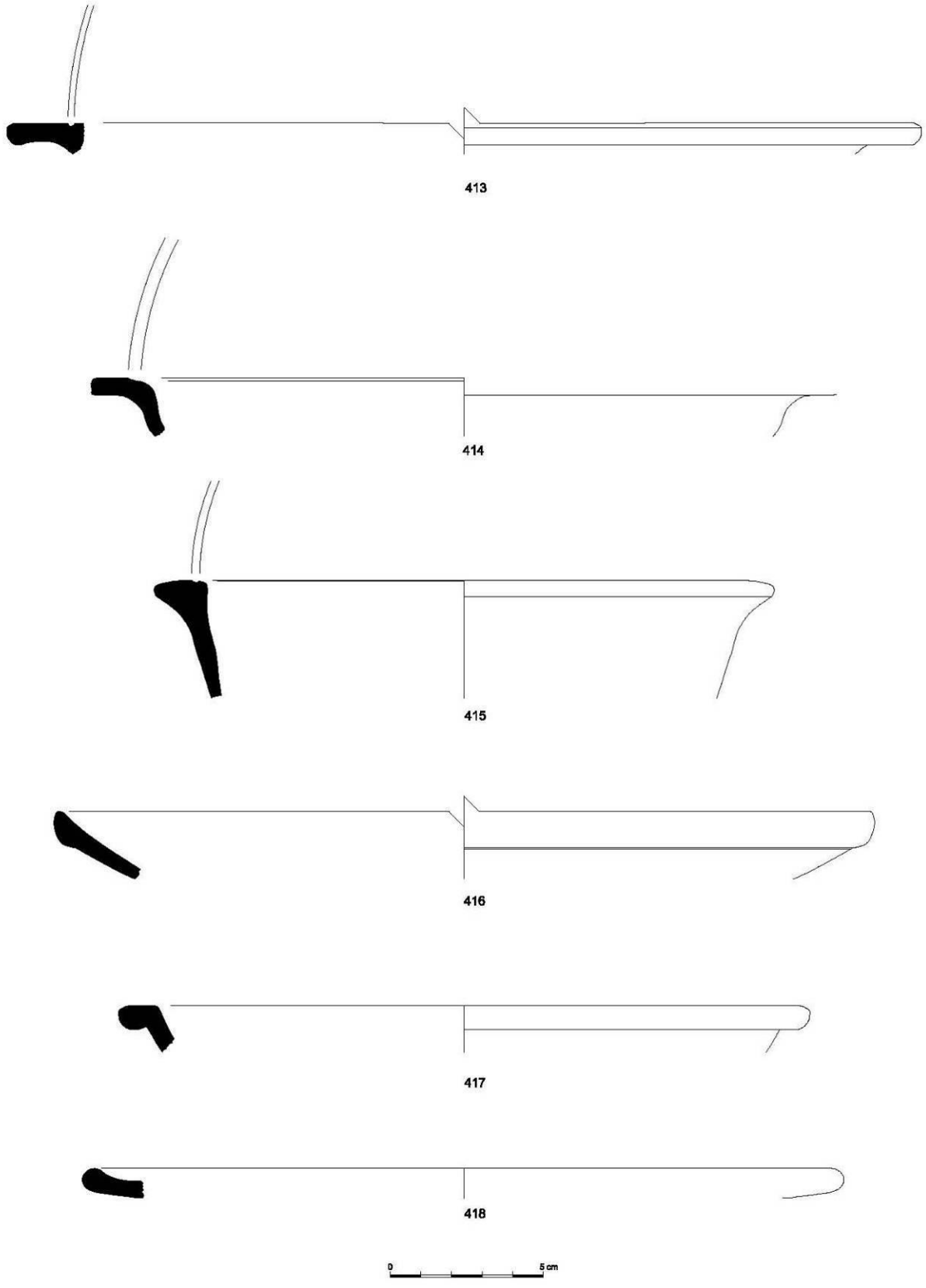
408. Fragmento rodado de borde y cuerpo de posible Forma Hayes 104C. Pasta y engobe tierra siena tostada (M 37). Diámetro indeterminado. Dimensiones: 1,5x3,5x0,9 cm. Sigla: RC-4-08/13/369. UE: 13.

409. Fragmento rodado de borde y cuerpo de posible Forma Hayes 104C. Pasta tierra siena tostada (M 39). No conserva engobe. Diámetro indeterminado. Dimensiones: 1,5x3,5x0,9 cm. Sigla: RC-4-08/10/135. UE: 10.



TSA-D. Piezas de atribución probable o indeterminada

410. Fragmento de borde y cuerpo de forma indeterminada. Pasta tierra siena tostada (M 37) y engobe tierra verde tostada (M 47). Diámetro de borde: 31,6 cm. Dimensiones: 2x4,7x1,2 cm. Sigla: RC-4-08/170/6. UE: 170.



TSA-D. Piezas de atribución probable o indeterminada

411. Fragmento muy rodado de borde y cuerpo de forma indeterminada. Pasta tierra

siena tostada (M 37). No conserva engobe. Diámetro de borde: 30 cm. Dimensiones: 2,5x5,7x0,5 cm. Sigla: RC-4-08/13/362. UE: 13.

412. Fragmento de borde y cuerpo de forma indeterminada. Pasta y engobe tierra siena tostada (M 37). Diámetro indeterminado. Dimensiones: 1x5,2x1 cm. Sigla: RC-4-08/176/171. UE: 176.

413. Fragmento de borde de forma indeterminada. Presenta listel horizontal con incisión acanalada marcando la unión del borde al cuerpo. Pasta (M 39) y engobe (M 37) tierra siena tostada. Diámetro indeterminado. Dimensiones: 2x2,8x1,1 cm. Sigla: RC-4-08/13/334. UE: 13.

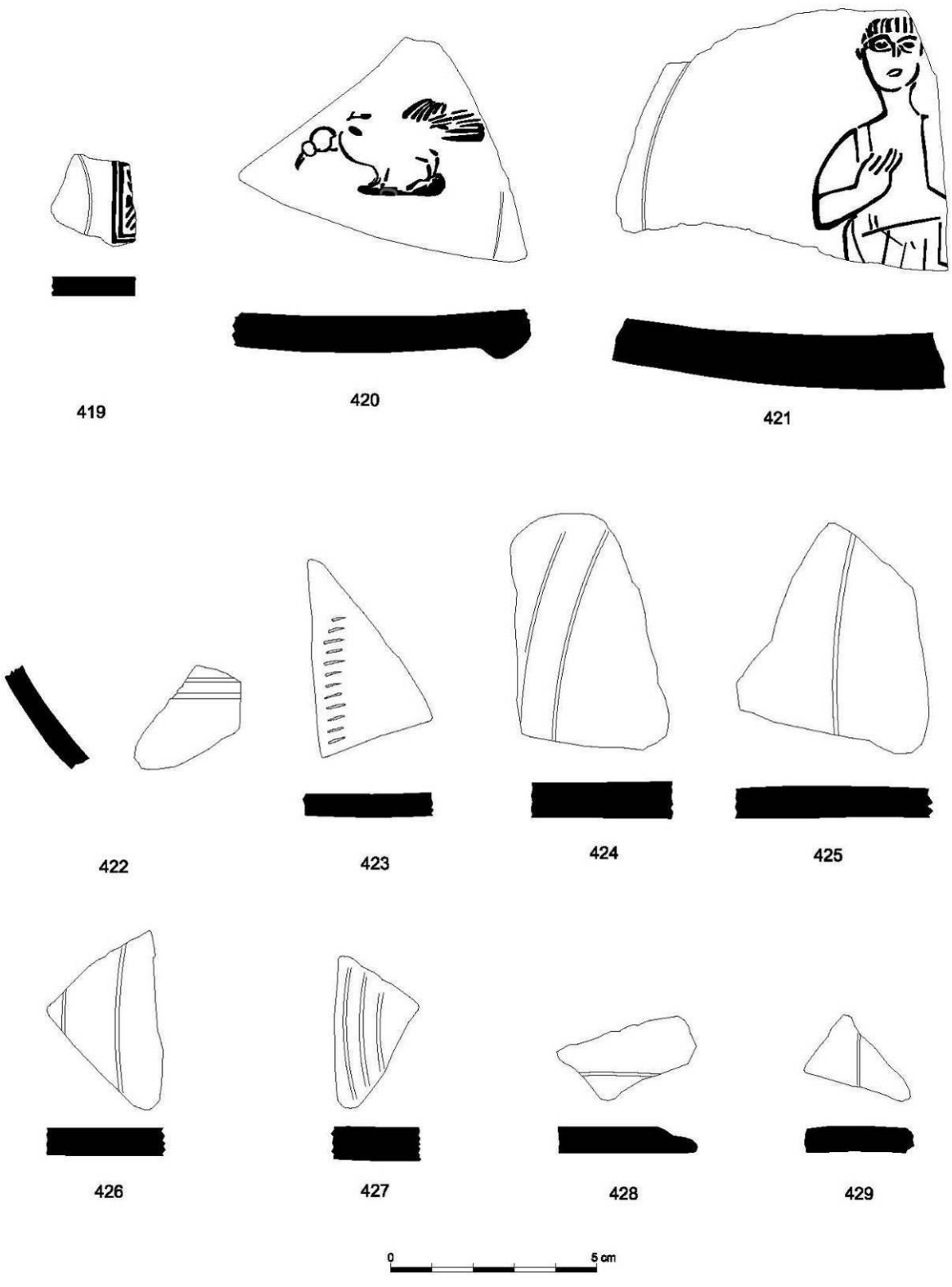


413

414. Fragmento de borde y cuerpo de forma indeterminada. Presenta listel horizontal con incisión acanalada marcando la unión del borde al cuerpo. Pasta tierra siena tostada (M 39) y engobe ocre carne (N 45). Diámetro de borde: 24 cm. Dimensiones: 1,9x3,7x0,8 cm. Sigla: RC-4-08/12/166. UE: 12.

415. Fragmento de borde y cuerpo de forma indeterminada. Presenta listel horizontal con incisión acanalada marcando la unión del borde al cuerpo. Pasta (M 39) y engobe (P 39) tierra siena tostada. Diámetro de borde: 20 cm. Dimensiones: 3,9x4,7x0,9 cm. Sigla: RC-4-08/13/391. UE: 13.

416. Fragmento rodado de borde de forma indeterminada. Presenta incisión acanalada externa marcando la unión del borde al cuerpo. Pasta tierra siena tostada (M 37). No conserva engobe. Diámetro indeterminado. Dimensiones: 2,2x3,3x0,9 cm. Sigla: RC-4-08/105/23. UE: 105.



TSA-D. Piezas de atribución probable o indeterminada

417. Fragmento de borde y cuerpo de forma indeterminada. Pasta tierra siena tostada (M 39) y engobe tierra verde tostada (N 33). Diámetro de borde aproximado: 22 cm. Dimensiones: 1,6x3,2x0,7 cm. Sigla: RC-4- 08/13/356. UE: 105.

418. Fragmento rodado de borde y cuerpo de forma indeterminada. Pasta y engobe tierra siena tostada (M 37). Diámetro de borde aproximado: 24cm. Dimensiones: 1x4,3x0,7 cm. Sigla: RC-4-08/43/10. UE: 43.

419. Fragmento de base de forma indeterminada. Presenta motivos decorativos estampados en los que se alternan círculos y cuadrados interiormente, pertenecientes al estilo decorativo A (III). Pasta (M 37) y engobe (M 39) tierra siena tostada. Dimensiones: 0,5x2,2x0,5 cm. Sigla: RC-4-08/12/151. UE: 12.



419

420. Fragmento de base de forma indeterminada. Pasta tierra siena tostada (M 37) y engobe tierra siena natural clara (N 37). Presenta motivo decorativo estampado, en el que se aprecia un ave en posición de picar algún alimento sobre el suelo, dentro de un círculo acanalado. El estampado es defectuoso. Se corresponde con el estilo decorativo E (II). Dimensiones: 1,2x7,3x5 cm. Sigla: RC-4-08/13/347. UE: 13.



420

421. Fragmento de base de forma indeterminada. Presenta decoración estampada, en la

que se aprecia motivo incompleto que representa la figura de un santo, perteneciente al estilo decorativo E (II). Pasta tierra siena tostada (M 37) y engobe tierra siena tostada clara (N 35). Dimensiones: 1,8x7,5x1,3 cm. Sigla: RC-4-08/129/29. UE: 129.



421

422. Fragmento de cuerpo de forma indeterminada con engobe sobre ambas superficies. Presenta dos acanaladuras horizontales externas. Pasta (M 39) y engobe (M 37) tierra siena tostada. Dimensiones: 2,5x2,6x0,5 cm. Sigla: RC-4-08/13/358. UE: 13.



422

423. Fragmento de base rodada de plato de forma indeterminada. Presenta banda burilada en la superficie interna. Pasta y engobe (M 39) tierra siena tostada. Dimensiones: 0,8x4,8x0,7 cm. Sigla: RC-4-08/13/330. UE: 13.



423

424. Fragmento muy rodado de plato de base de forma indeterminada. Presenta dos acanaladuras incisas formando círculos concéntricos en el interior. Pasta tierra siena tostada (M 37). No conserva engobe. Dimensiones: 0,9x5,7x0,9 cm. Sigla: RC-4-08/89/71. UE: 89.



424

425. Fragmento de base de plato de forma indeterminada. Presenta acanaladura incisa formando círculo concéntrico en el interior. Pasta tierra siena tostada (M 37) y engobe tierra verde tostada (M 47). Dimensiones: 1x5,4x0,9 cm. Sigla: RC-4-08/13/311. UE: 13.



425

426. Fragmento de base rodada de plato de forma indeterminada. Presenta dos acanaladuras incisas dispuestas como círculos concéntricos. Pasta y engobe (M 39) tierra siena tostada. Dimensiones: 0,7x4,7x0,7 cm. Sigla: RC-4-08/13/306. UE: 13.



426

427. Fragmento de base rodada de plato de forma indeterminada. Presenta tres acanaladuras incisas formando círculos concéntricos. Pasta y engobe (M 39) tierra siena tostada. Dimensiones: 0,9x4x0,8 cm. Sigla: RC-4-08/13/342. UE: 13.



427

428. Fragmento de base de plato de forma indeterminada. Presenta acanaladura incisa posiblemente dispuesta como círculo concéntrico. Pasta ocre carne (N 45) y engobe tierra siena tostada (M 37). Dimensiones: 0,7x2,3x0,7 cm. Sigla: RC-4-08/12/171. UE: 12.



428

429. Fragmento de base de plato de forma indeterminada. Presenta acanaladura incisa posiblemente dispuesta como círculo concéntrico. Pasta y engobe (M 39) tierra siena tostada. Dimensiones: 0,6x2,6x0,6 cm. Sigla: RC-4-08/5/16. UE: 5.

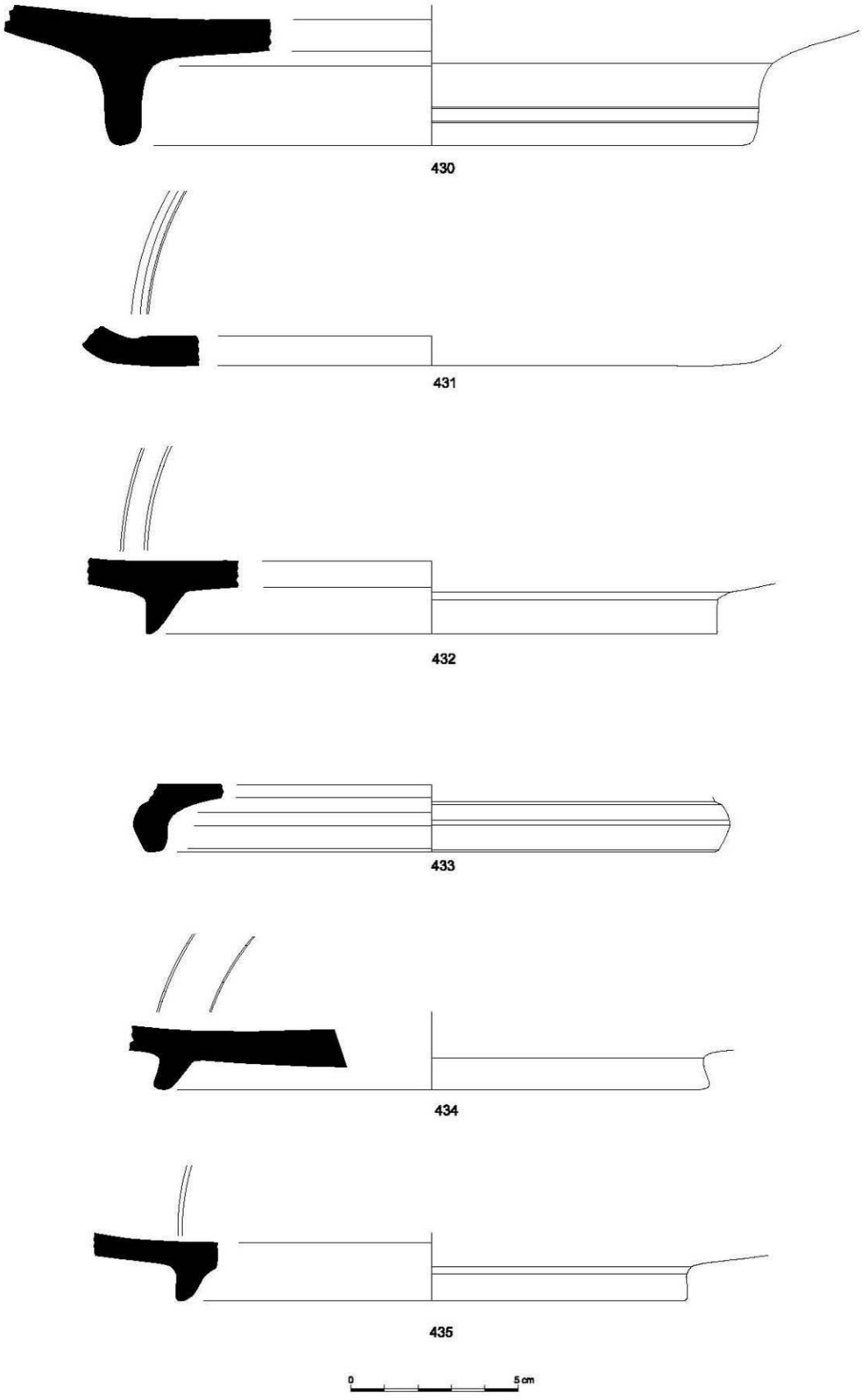


429

430. Fragmento de cuerpo y base de forma indeterminada con pie anular de sección rectangular. Presenta dos acanaladuras incisas en la parte exterior del pie. Pasta tierra siena tostada (M 37) y engobe tierra verde tostada (N 51). Diámetro de base: 18,6 cm. Dimensiones: 4,2x8,7x1,5 cm. Sigla: RC-4-08/176/203. UE: 176.



430



TSA-D. Piezas de atribución probable o indeterminada

431. Fragmento de base de plato de forma indeterminada. Presenta dos círculos concéntricos en el interior realizados mediante incisión, delimitando cuerpo y base. Pasta tierra siena tostada (M 39) y engobe tierra siena natural clara (N 37). Diámetro de base: 18 cm. Dimensiones: 0,9x4,3x0,8 cm. Sigla: RC-4-08/12/162. UE: 12.



431

432. Fragmento de cuerpo y base de forma indeterminada con pie anular de sección triangular. Presenta dos acanaladuras incisas formando círculos concéntricos en el interior. Pasta (M 37) y engobe (M 39) tierra siena tostada. Diámetro de base: 17 cm. Dimensiones: 2,2x6,7x1 cm. Sigla: RC-4-08/13/426. UE: 13.



432

433. Fragmento de cuerpo y base de forma indeterminada con pie anular de sección rectangular. Presenta acanaladura incisa horizontal en la parte exterior del pie. Pasta tierra siena tostada (M 37) y engobe tierra siena tostada clara(N 35). Diámetro de base: 17 cm. Dimensiones: 2x4,5x0,9 cm. Sigla: RC-4-08/176/177. UE: 176.

434. Fragmento de cuerpo y base con pie anular de sección triangular de forma

indeterminada. Pasta tierra siena tostada (M 37) y engobe ocre carne (N 45). Presenta dos círculos incisos concéntricos en el interior. Diámetro de base: 16 cm. Dimensiones: 2,3x1x1,1 cm. Sigla: RC-4-08/176/179. UE: 176.



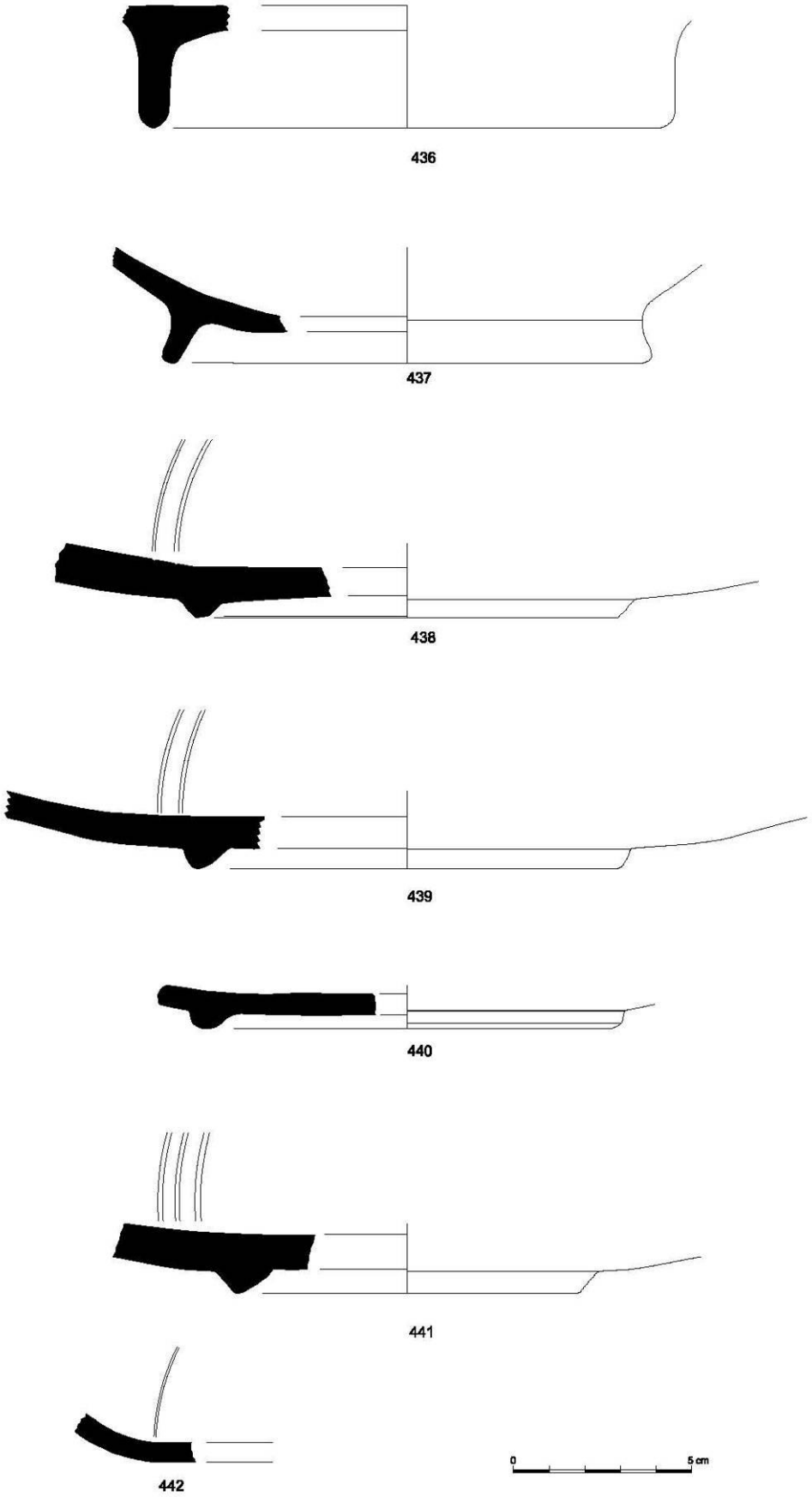
434

435. Fragmento de cuerpo y base de forma indeterminada. Presenta acanaladura incisa formando círculo concéntrico en el interior. Pasta y engobe tierra siena tostada (M 37). Diámetro de base: 15,2 cm. Dimensiones: 2x9,5x1,3 cm. Sigla: RC-4-08/13/305. UE: 13.

436. Fragmento de cuerpo y base de pie anular y cuerpo de forma indeterminada muy rodado. Pasta tierra siena tostada (M 37). No conserva engobe. Diámetro de base: 15. Dimensiones: 3,5x5,6x1,2 cm. Sigla: RC-4-08/13/671. UE: 13.



436



TSA-D. Piezas de atribución probable o indeterminada

437. Fragmento de base de pie anular de sección rectangular de forma indeterminada. La pieza se encuentra muy alterada mostrando indicios de carbonización. Pasta tierra siena tostada (M 37). No conserva engobe. Diámetro: 13 cm. Dimensiones: 3,3x8,6x1 cm. Sigla: RC-4-08/13/427. UE: 13.

438. Fragmento de cuerpo y base de forma indeterminada. Presenta dos acanaladuras incisas formando círculos concéntricos en el interior. Pasta tierra siena tostada (M 39). El engobe se encuentra totalmente alterado. Diámetro de base: 12 cm. Dimensiones: 2x6,2x1,2 cm. Sigla: RC-4-08/176/200. UE: 176.



438

439. Fragmento de cuerpo y base de forma indeterminada. Presenta dos acanaladuras incisas formando círculos concéntricos en el interior. Pasta (M 39) y engobe (M 37) tierra siena tostada. Diámetro de base: 11,8 cm. Dimensiones: 2,2x7,4x1,4 cm. Sigla: RC-4-08/176/201. UE: 176.



439

440. Fragmento rodado de cuerpo y base con pie anular de sección rectangular de forma

indeterminada. Pasta tierra siena tostada (M 37). No conserva engobe. Diámetro de base: 12 cm. Dimensiones: 1,2x3,6x1,2 cm. Sigla: RC-4-08/13/402. UE: 13.

441. Fragmento de cuerpo y base de forma indeterminada. Presenta tres acanaladuras incisas formando círculos concéntricos en el interior. Pasta y engobe tierra siena tostada (M 37). Diámetro de base: 9,5 cm. Dimensiones: 2x5,3x1,2 cm. Sigla: RC-4-08/105/27. UE: 105.



441

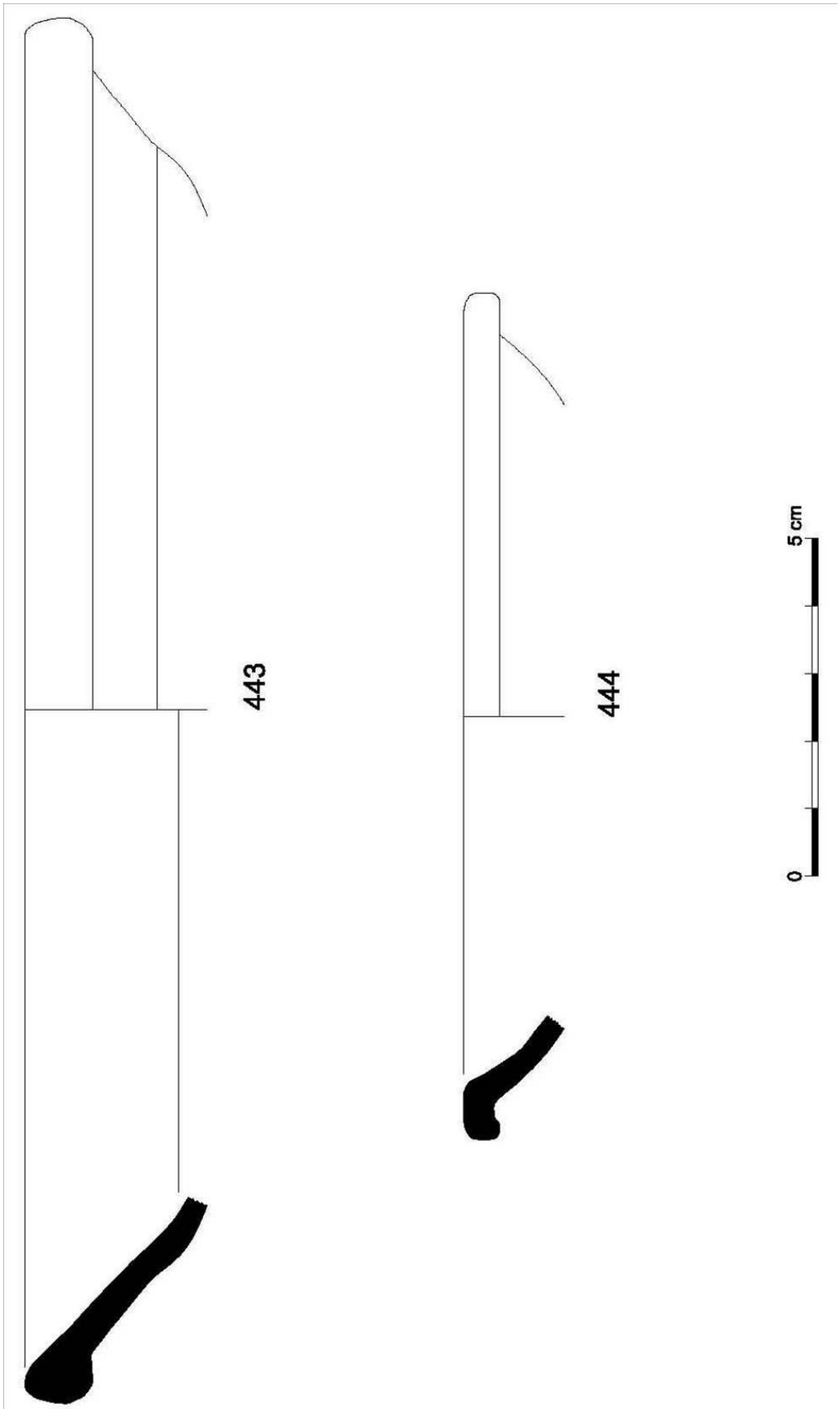
442. Fragmento de cuerpo y base de forma indeterminada. Presenta acanaladura incisa formando círculo concéntrico en el interior. Pasta y engobe tierra siena tostada (M 37). Diámetro de base indeterminado. Dimensiones: 1,2x4,3x0,6 cm. Sigla: RC-4-08/176/165UE: 105.



442

4.5.2.3. TERRA SIGILLATA AFRICANA INDETERMINADA

443. Fragmento de borde y cuerpo de forma indeterminada de TSA de adscripción indeterminada. Pasta tierra siena tostada (M 37) y engobe ocre carne (N 45). Diámetro de borde: 20 cm. Dimensiones: 2,7x4,9x0,7 cm. Sigla: RC-4-08/13/363. UE: 13.



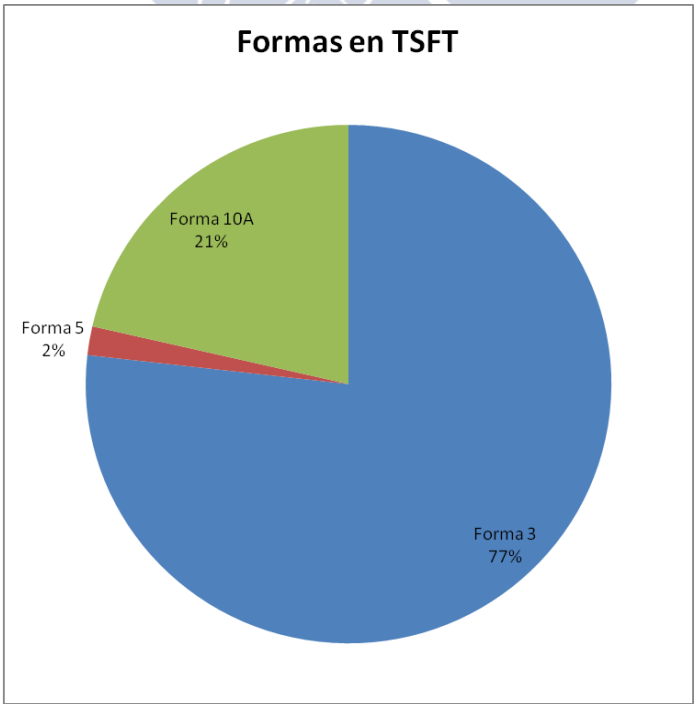
TSA Indeterminada. Piezas de atribución probable o indeterminada

444. Fragmento de borde y cuerpo de forma indeterminada de TSA de adscripción indeterminada. Pasta tierra siena tostada (M 37). No conserva engobe. Diámetro de borde: 12 cm. Dimensiones: 1,5x3,6x0,5 cm. Sigla: RC-4-08/13/365. UE: 13.

4.5.3. TERRA SIGILLATA FOCEA TARDÍA

La sigillata focea es la única producción tardía de vajilla fina de mesa que parece competir, según lo documentado, con las africanas D. Su volumen, como en el caso de las últimas citadas, se presenta a partir de unas cifras anormalmente elevadas en relación a lo constatado en otros puntos del ámbito galaico. En nuestro territorio y siguiendo con la tendencia registrada a nivel peninsular, se configura como una producción de distribución preferentemente costera, poco constatada por tanto en las comarcas del interior, que sufre la competencia tanto de la vajilla africana D, como de la TSHT y que como consecuencia se presenta bajo porcentajes habitualmente reducidos.

Frente a esta tendencia nuestro conjunto está integrado por un total de 106 piezas que parecen pertenecer a 96 recipientes distintos, es decir el 34% del total y de los cuales se han llegado a determinar formalmente 52. Puede decirse que se tratan de unos valores de determinación elevados puesto que una de las características definitorias de la producción focea es el escaso espesor de las paredes en la parte correspondiente al cuerpo, un aspecto que proporciona una gran fragilidad a estos recipientes y su consecuente fragmentación e indeterminación formal.



Representatividad formal de la *terra sigillata* focea tardía

4.5.3.1. ESTUDIO DEL MATERIAL

4.5.3.1.1. FORMA HAYES 3

Se trata con mucho de la forma más difundida de esta familia cerámica, hecho que explica las 43 piezas clasificadas con este plato/cuenco en la intervención. Ha sido definido como un recipiente de pie escasamente desarrollado y borde vertical y saliente que con frecuencia se decora mediante burilado. Esta decoración únicamente ha sido detectada en 4 de los ejemplares, aunque sin embargo no se descarta el que este número fuese mayor, dado que el deterioro de las superficies pudo haberla hecho desaparecer.

445. Fragmento de borde y cuerpo de Forma 3. Pasta tierra siena tostada (M 37). No conserva engobe. Presenta decoración burilada en la superficie externa del borde. Diámetro de borde: 29 cm. Dimensiones: 1,8x5,3x1 cm. Sigla: RC-4-08/13/319. UE: 13.



445

446. Fragmento rodado de borde y cuerpo de Forma 3. Pasta tierra siena tostada (M 37). No conserva engobe. Diámetro de borde aproximado: 29 cm. Dimensiones: 2,7x5,7x1,1 cm. Sigla: RC-4-08/13/423. UE: 13.



446



TSFT. Forma 3

447. Fragmento rodado de borde y cuerpo de Forma 3. Pasta (M 49) y engobe (M 47) tierra verde tostada. Diámetro de borde aproximado: 28 cm. Dimensiones: 2,5x4,4x0,8 cm. Sigla: RC-4-08/126/18. UE: 126.



447

448. Fragmento muy rodado de borde y cuerpo de Forma 3. Pasta tierra siena tostada (M 37). No conserva engobe. Presenta decoración burilada muy deteriorada en el exterior del borde. Diámetro de borde: 28 cm. Dimensiones: 1,8x7x1 cm. Sigla: RC-4-08/88/52UE: 88.



448

449. Fragmento rodado de borde y cuerpo de Forma 3. Pasta tierra siena tostada (M 37). No conserva engobe. Presenta decoración burilada en la superficie externa del borde. Diámetro de borde aproximado: 28 cm. Dimensiones: 2,1x3,8x1 cm. Sigla: RC-4-08/13/353. UE: 13.



TSFT. Forma 3



449

450. Fragmento rodado de borde y cuerpo de Forma 3. Presenta baquetón extreno delimitando borde y cuerpo. Pasta tierra siena tostada (M 37) y engobe ocre carne (N 45). Diámetro de borde: 29 cm. Dimensiones: 2,3x6x1,2 cm. Sigla: RC-4-08/13/379. UE: 13.



450

451. Fragmento muy rodado de borde y cuerpo de Forma 3. Pasta tierra siena tostada (M 37). No conserva engobe. Presenta acanaladura incisa externa marcando la separación de borde y cuerpo. Diámetro de borde: 28 cm. Dimensiones: 1,6x9,8x1,1 cm. Sigla: RC-4-08/13/350. UE: 13.



451

452. Fragmento muy rodado de borde de Forma 3. Pasta tierra siena tostada (M 37). No conserva engobe. Diámetro de borde: 28 cm. Dimensiones: 2,3x4,5x0,8 cm. Sigla: RC-4-08/126/17. UE: 126.

453. Fragmento muy rodado de borde de Forma 3. Pasta tierra siena tostada (M 37). No conserva engobe. Diámetro de borde: 28 cm. Dimensiones: 1,4x5,7x0,8 cm. Sigla: RC-4-08/13/349. UE: 13.



453

454. Fragmento rodado de borde y cuerpo de Forma 3. Pasta tierra verde tostada (M 47). No conserva engobe. Diámetro de borde: 28 cm. Dimensiones: 1,2x3,4x0,8 cm. Sigla: RC-4-08/88/29UE: 88.



454

455. Fragmento muy rodado de borde de Forma 3. Pasta tierra siena tostada (M 37). No conserva engobe. Diámetro de borde aproximado de borde: 28 cm. Dimensiones: 1,4x4,7x0,9 cm. Sigla: RC-4-08/10/140. UE: 10.

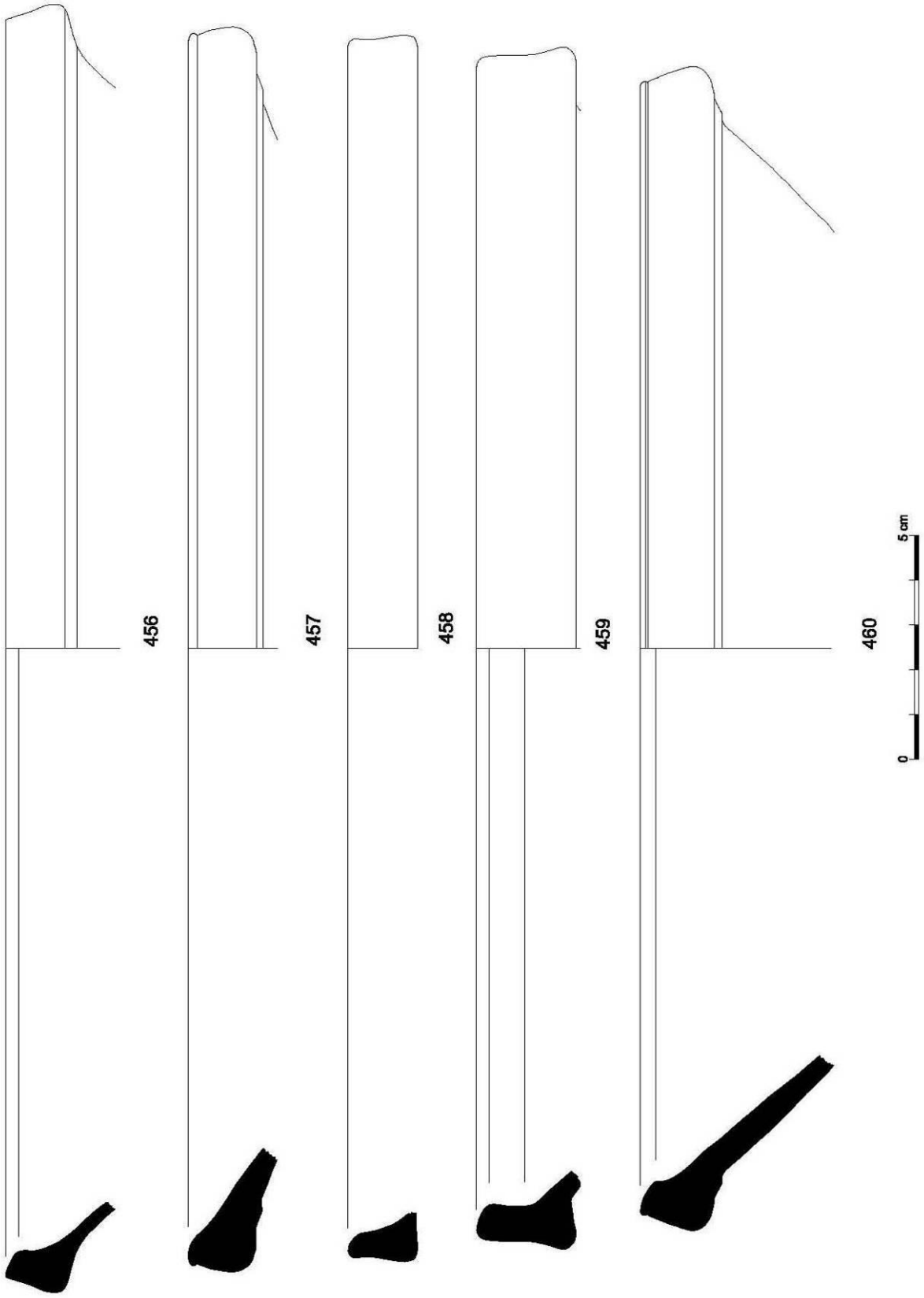


455

456. Fragmento de borde y cuerpo de Forma 3. Presenta decoración burilada en el borde, muy deteriorada. Pasta (M 39) y engobe (M 37) tierra siena tostada. Diámetro de borde: 28 cm. Dimensiones: 2,5x2,8x1,1 cm. Sigla: RC-4-08/13/345. UE: 13.



456



TSFT. Forma 3

457. Fragmento rodado de borde y cuerpo de Forma 3. Presenta resalte externo en la parte inferior del borde. Pasta tierra siena tostada (M 37). No conserva engobe. Diámetro de borde aproximado: 27 cm. Dimensiones: 2,2x6x1,3 cm. Sigla: RC-4-08/10/144. UE: 10.



457

458. Fragmento rodado de borde y cuerpo de Forma 3. Pasta tierra siena tostada (M 37). No conserva engobe. Diámetro de borde: 27 cm. Dimensiones: 1,6x6,7x0,8 cm. Sigla: RC-4-08/10/133. UE: 10.



458

459. Fragmento rodado de borde y cuerpo de Forma 3. Pasta (M 39) y engobe (M 37) tierra siena tostada. Diámetro de borde: 26 cm. Dimensiones: 2,4x4,5x1 cm. Sigla: RC-4-08/176/202. UE: 176.



459

460. Fragmento de borde y cuerpo de Forma 3. Presenta pequeño baquetón externo bajo el borde. Pasta tierra siena tostada (M 37) y engobe tierra siena natural (P 45). Diámetro de borde aproximado: 25 cm. Dimensiones: 4,2x7x1,2 cm. Sigla: RC-4-08/176/174. UE: 176.



460

461. Fragmento de borde y cuerpo de Forma 3. Pasta tierra siena tostada (M 37). No conserva engobe. Diámetro de borde: 25 cm. Dimensiones: 1,8x7,4x1,1 cm. Sigla: RC-4-08/13/344. UE: 13.



461

462. Fragmento rodado de borde y cuerpo de Forma 3. Presenta un pequeño baquetón horizontal externo bajo el borde. Pasta y engobe tierra siena tostada (M 37). Diámetro de borde: 25 cm. Dimensiones: 2,2x7,6x1,2 cm. Sigla: RC-4-08/176/167. UE: 176.

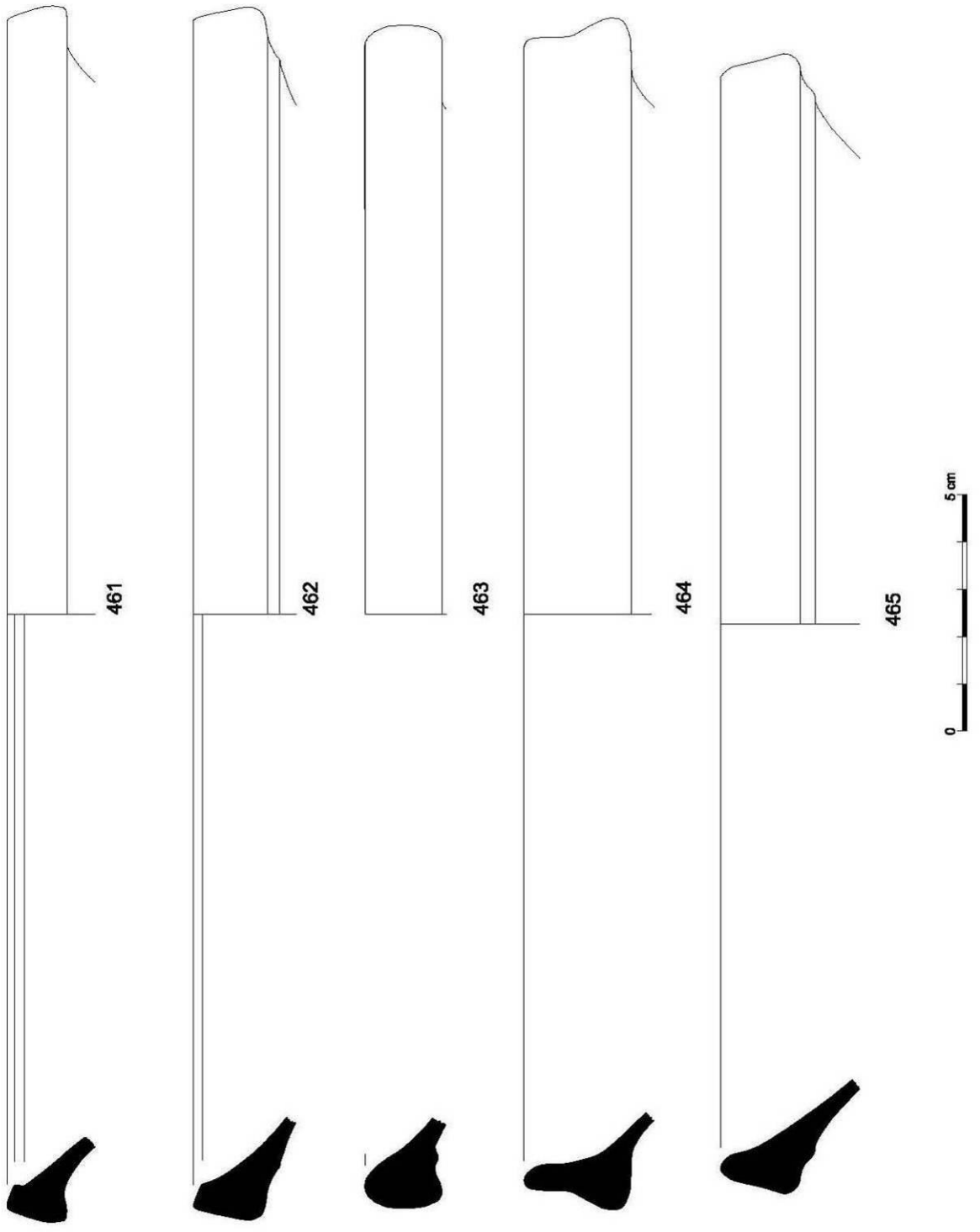


462

463. Fragmento muy rodado de borde y cuerpo de Forma 3. Pasta y engobe tierra siena tostada (M 37). Diámetro de borde aproximado: 24 cm. Dimensiones: 1,6x4,1x1,3 cm. Sigla: RC-4-08/167/7. UE: 167.



463



TSFT. Forma 3

464. Fragmento rodado de borde y cuerpo de Forma 3. Pasta tierra siena tostada (M 37). No conserva engobe. Diámetro de borde: 24 cm. Dimensiones: 2,7x5,2x1,1 cm. Sigla: RC-4-08/277/5. UE: 277.

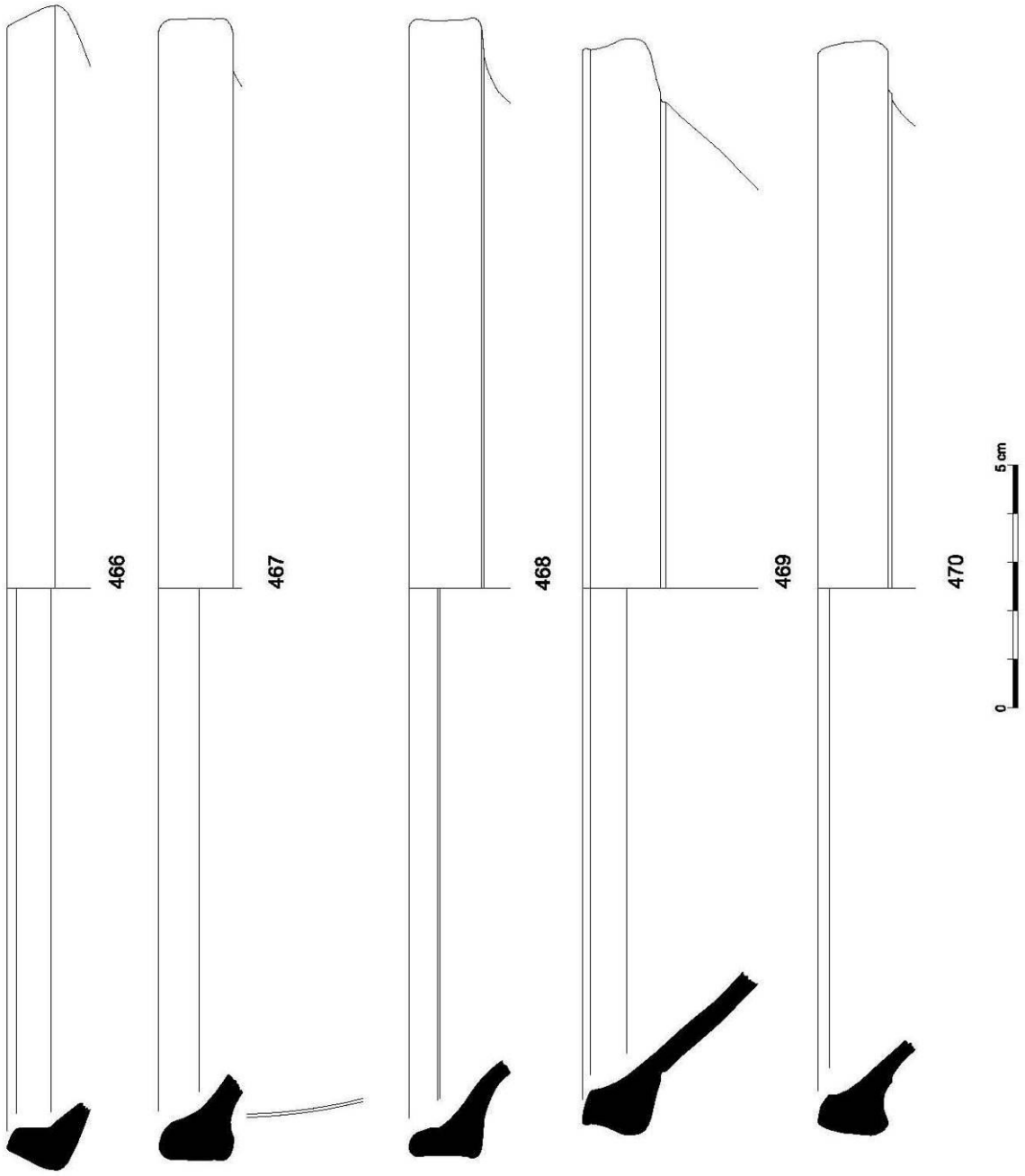


464

465. Dos fragmentos rodados de borde y cuerpo de Forma 3. Presenta baquetón externo delimitando borde y cuerpo. Pasta tierra siena tostada (M 37). No conserva engobe. Diámetro de borde: 23 cm. Dimensiones: 3,2x7,3x1,3 cm. Sigla: RC-4-08/176/186. UE: 176.



465



TSFT. Forma 3

466. Fragmento de borde y cuerpo muy rodado de Forma 3. Pasta tierra siena tostada (M 37). No conserva engobe. Diámetro de borde: 23 cm. Dimensiones: 1,7x5,2x0,9 cm. Sigla: RC-4-08/13/301. UE: 13.



466

467. Fragmento de borde y cuerpo de Forma 3. Presenta acanaladura externa delimitando borde y cuerpo. Pasta tierra siena tostada (M 37). No conserva engobe. Diámetro de borde: 23 cm. Dimensiones: 1,7x4,7x0,7 cm. Sigla: RC-4-08/67/41. UE: 67.



467

468. Fragmento rodado de borde y cuerpo de Forma 3. Presenta acanaladura interna delimitando borde y cuerpo. Pasta tierra siena tostada (M 37). No conserva engobe. Diámetro de borde: 23 cm. Dimensiones: 2x4,7x0,7 cm. Sigla: RC-4-08/13/408. UE: 13.



468

469. Fragmento de borde y cuerpo de Forma 3. Pasta tierra siena tostada (M 37) y engobe tierra siena natural (P 45). Diámetro de borde: 22 cm. Dimensiones: 3,6x8x1 cm. Sigla: RC-4-08/176/166. UE: 176.



469

470. Fragmento rodado de borde y cuerpo de Forma 3. Presenta un pequeño baquetón externo delimitando borde y cuerpo. Pasta tierra siena tostada (M 37) y engobe tierra siena natural clara (N 37). Diámetro de borde: 22 cm. Dimensiones: 2x4x1,1 cm. Sigla: RC-4-08/176/208. UE: 176.



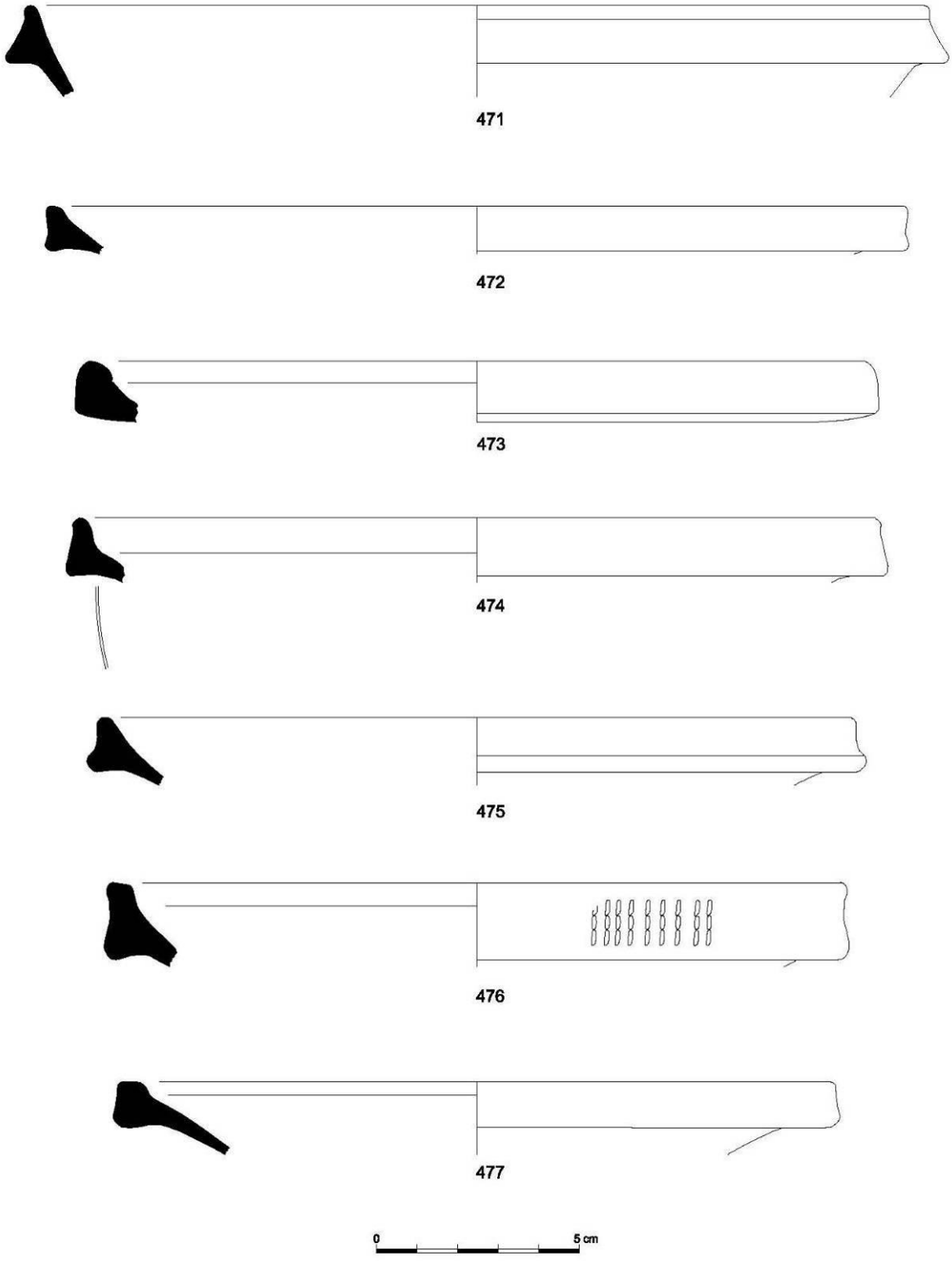
470

471. Fragmento de borde y cuerpo muy rodado de Forma 3. Pasta tierra siena tostada (M 37). No conserva engobe. Diámetro de borde: 21,2 cm. Dimensiones: 2,2x4,3x1,2 cm. Sigla: RC-4-08/13/368. UE: 13.



471

472. Fragmento de borde y cuerpo muy rodado de Forma 3. Pasta tierra siena tostada (M 37). No conserva engobe. Diámetro de borde: 21 cm. Dimensiones: 1,2x4,4x0,9 cm. Sigla: RC-4-08/105/26. UE: 105.


471
472
473
474
475
476
477
0
5 cm



472

473. Fragmento de borde y cuerpo muy rodado de Forma 3, posiblemente con burilado en el exterior del borde. Presenta acanaladura incisa externa delimitando borde y cuerpo. Pasta tierra siena tostada (M 39). No conserva engobe. Diámetro de borde: 19 cm. Dimensiones: 1,5x3,9x0,9 cm. Sigla: RC-4-08/13/383. UE: 13.



473

474. Fragmento de borde y cuerpo muy rodado de Forma 3. Presenta acanaladura incisa interna delimitando borde y cuerpo. Pasta tierra siena tostada (M 37). No conserva engobe. Diámetro de borde: 19,6 cm. Dimensiones: 1,6x5,2x0,8 cm. Sigla: RC-4-08/9/22. UE: 105.



474

475. Fragmento de borde y cuerpo muy rodado de Forma 3. Pasta tierra siena tostada (M 37). No conserva engobe. Diámetro de borde: 18,4 cm. Dimensiones: 1,7x4,4x1,1 cm. Sigla: RC-4-08/105/34. UE: 105.

476. Fragmento rodado de borde y cuerpo de Forma 3. Presenta decoración burilada muy deteriorada, en la superficie externa del borde. Muestra diferencia tonal en el exterior bajo el borde, señalando la línea de encaje con otras piezas durante el proceso de cocción. Pasta tierra siena tostada (M 37). No conserva engobe. Diámetro de borde: 18 cm. Dimensiones: 2x3,7x1,2 cm. Sigla: RC-4-08/13/302. UE: 13.



476

477. Fragmento rodado de borde y cuerpo de Forma 3. Pasta tierra siena tostada (M 37). No conserva engobe. Diámetro de borde: 17,5 cm. Dimensiones: 1,8x4x1,1 cm. Sigla: RC-4-08/12/159. UE: 12.



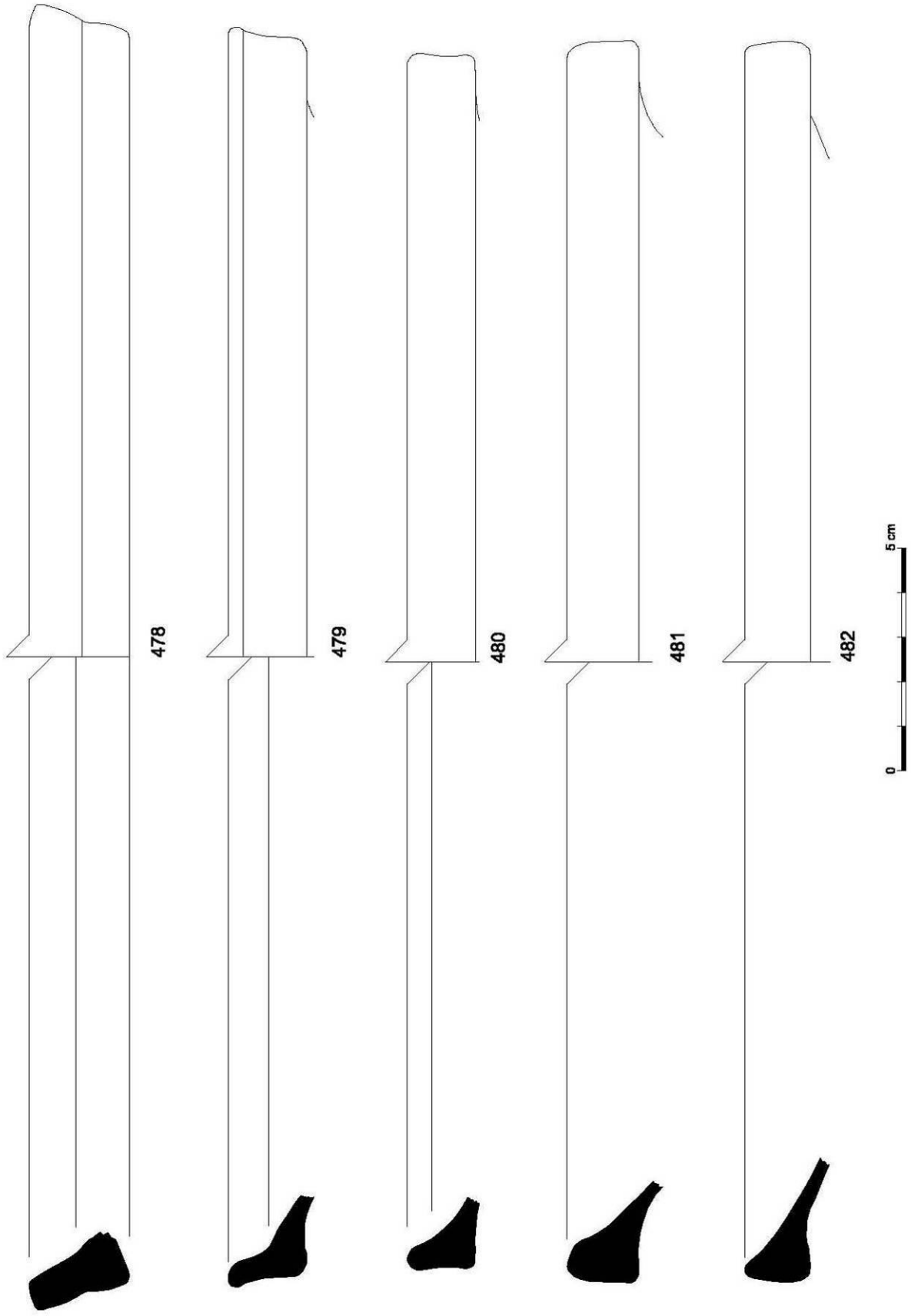
477

478. Fragmento muy rodado de borde y cuerpo de Forma 3. Pasta (M 39) y engobe (M 37) tierra siena tostada. Diámetro indeterminado. Dimensiones: 2,3x2,7x0,8 cm. Sigla: RC-4-08/176/182. UE: 176.



478

479. Fragmento muy rodado de borde y cuerpo de Forma 3. Pasta tierra siena tostada (M 37). No conserva engobe. Diámetro indeterminado. Dimensiones: 1,9x3,6x1 cm. Sigla: RC-4-08/13/370. UE: 13.



TSFT. Forma 3



479

480. Fragmento muy rodado de borde y cuerpo de Forma 3. Pasta de coloración variable predominado el tierra verde tostada (M 35). No conserva engobe. Diámetro indeterminado. Dimensiones: 1,6x3,6x0,9 cm. Sigla: RC-4-08/13/407. UE: 13.

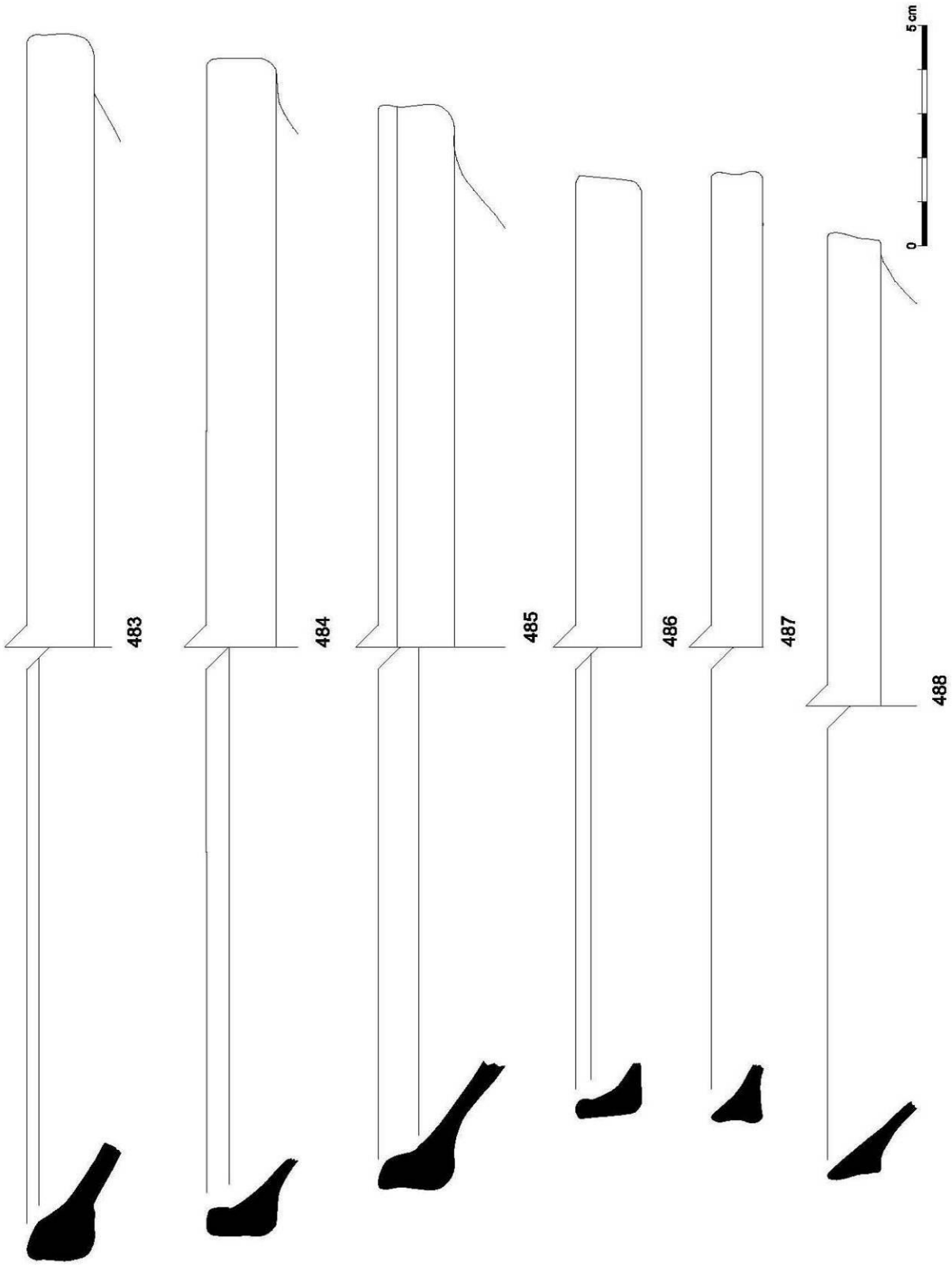


480

481. Fragmento muy rodado de borde y cuerpo de Forma 3. Pasta tierra siena tostada (M 37). No conserva engobe. Diámetro indeterminado. Dimensiones: 1,9x4,7x1,3 cm. Sigla: RC-4-08/13/361. UE: 13.



481



TSFT. Forma 3

482. Fragmento muy rodado de borde y cuerpo de Forma 3. Pasta tierra siena tostada (M 37). No conserva engobe. Diámetro indeterminado. Dimensiones: 2x8,7x1,1 cm. Sigla: RC-4-08/129/32. UE: 13.



482

483. Fragmento muy rodado de borde y cuerpo de Forma 3. Pasta tierra siena tostada (M 37) y engobe ocre carne (N 45). Diámetro indeterminado. Dimensiones: 2x3,4x1,1 cm. Sigla: RC-4-08/13/403. UE: 13.



483

484. Fragmento de borde de forma indeterminada. Presenta incisión acanalada marcando la unión del borde al cuerpo. Pasta (M 39) y engobe (M 37) tierra siena tostada. Diámetro indeterminado. Dimensiones: 2x3x0,9 cm. Sigla: RC-4-08/105/23. UE: 23

485. Fragmento de borde y cuerpo de Forma 3. Pasta (M 37) y engobe (N 47) tierra siena tostada. Diámetro indeterminado. Dimensiones: 3x3,6x1,1 cm. Sigla: RC-4-08/13/348. UE: 13.



485

486. Fragmento rodado de borde y cuerpo de Forma 3. Pasta tierra verde tostada (M 35). No conserva engobe. Diámetro indeterminado. Dimensiones: 1,5x2,4x0,9 cm. Sigla: RC-4-08/13/405. UE: 13.



486

487. Fragmento rodado de borde y cuerpo de Forma 3. Pasta tierra siena tostada (M 37). No conserva engobe. Diámetro indeterminado. Dimensiones: 1,7x2,5x1 cm. Sigla: RC-4-08/10/137. UE: 10.



487

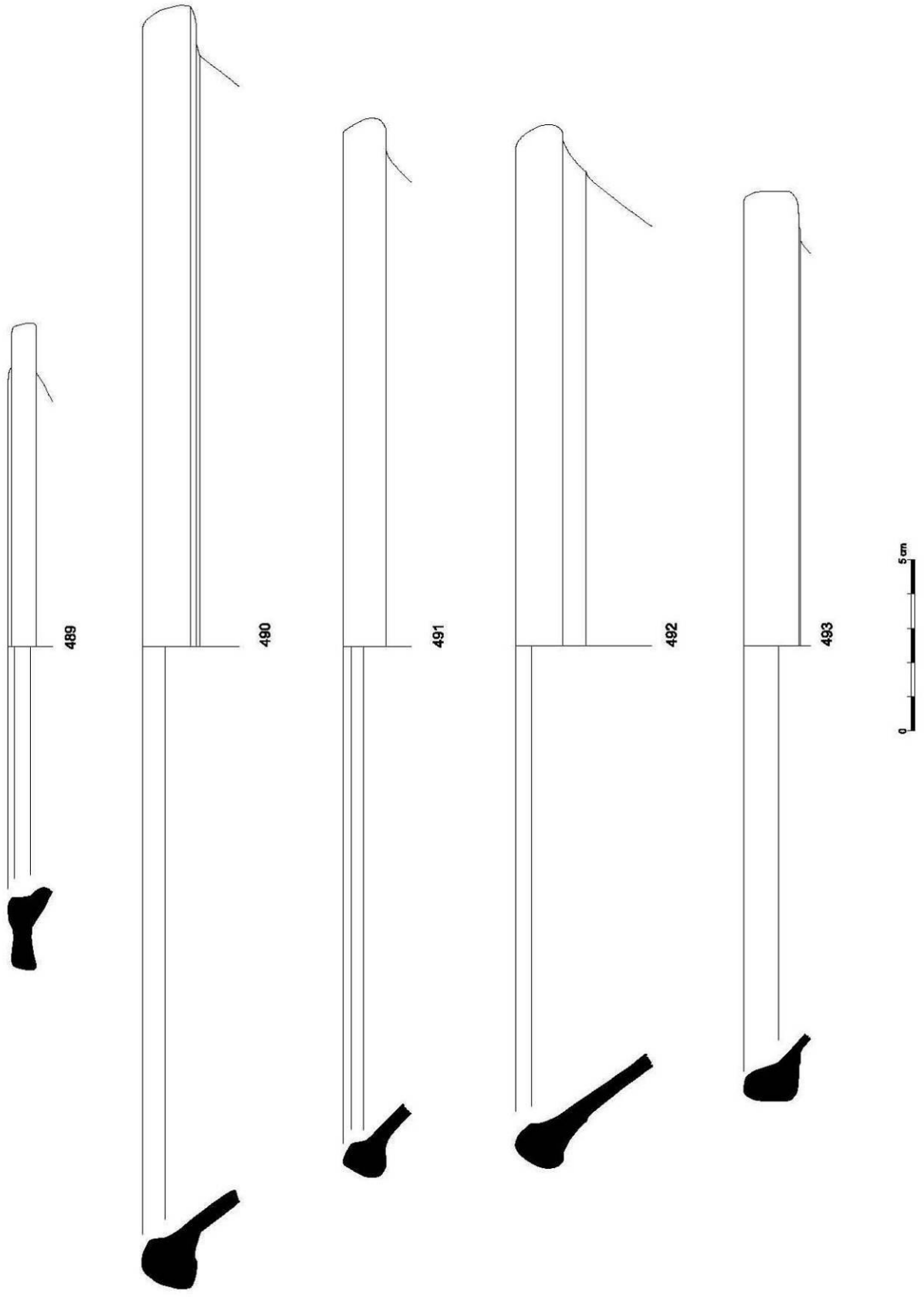
488. Fragmento rodado de borde y cuerpo de Forma 3. Pasta ocre carne (M 45). No conserva engobe. Diámetro indeterminado. Dimensiones: 2x3x0,7 cm. Sigla: RC-4-08/12/165. UE: 12.



488

4.5.3.1.2. FORMA HAYES 5

Se trata de un plato de cuerpo curvo y borde horizontal ancho, ligeramente cóncavo en la parte alta y engrosándose hacia el labio. El pie es bajo y puede poseer decoración en el interior, si bien las piezas de menor tamaño, carecen de esta. Hayes distingue dos tipos. El A aparece definido por piezas con borde corto engrosado, levemente redondeado en la parte inferior. El B posee un borde más ancho, ligeramente cóncavo en la parte inferior, marca externa y cuerpo más profundo que el de la variante A, presentando en algunos casos decoración burilada. Hayes porpone una cronología de entre el 460-500 para la variante A y de la primera mitad de la sexta centuria para la variante B (CARANDINI *et alii*, 1981: 232; HAYES, 1972: 339).



TSFT. Forma 5 (489). Forma 10 (490-493)

489. Fragmento de borde y cuerpo de Forma 5. Pasta tierra siena tostada (M 37) y engobe tierra siena (R 45). Diámetro de borde: 18,6 cm. Dimensiones: 1,3x,5,5x1,9 cm. Sigla: RC-4-08/12/169. UE: 12.



489

4.5.3.1.3. FORMA 10A

Se define este tipo como un plato-cuenco de pared inclinada, curva o casi recta, con borde engrosado y labio aplanado o cóncavo al interior y redondeado al exterior, que presenta una pequeña acanaladura en la unión externa de este con el cuerpo y fondo bajo. Buena parte de los ejemplares conocidos presentan decoración estampada. Esta forma se considera como sucesora de la Forma 3. Para la variante A se porpone una cronología del 570 al inicio del siglo VII (CARANDINI *et alii*, 1981: 232; HAYES, 1972: 343-346).

Uno de los aspectos más novedosos e interesantes del conjunto estudiado, lo constituye la presencia de este plato, forma documentada exclusivamente en Vigo dentro del ámbito galaico. Teniendo en cuenta esta observación, llama la atención el número de ejemplares identificados, un total de 11, para una forma que hasta el momento de su localización en la intervención, no había sido constatada entre las publicaciones gallegas (LÓPEZ PÉREZ; CÉSAR VILA, 2010).

Ésta ha sido identificada con un plato que dispone de un pie de escasa altura y un borde desarrollado y vuelto al exterior, y del que por otra parte han sido distinguidas hasta 3 variantes, de las cuales sólo se registra la presencia de la Forma 10A. Su presencia en Vigo resulta muy interesante, ya que formalmente ha sido considerada como la sucesora de la Forma 3, con lo que ofrece una cronología muy tardía y bastante concreta, puesto que su período de producción abarca desde los finales del siglo VI hasta los principios del VII.

490. Fragmento de borde y cuerpo de Forma 10A. Pasta tierra siena tostada (M 37) y engobe tierra siena (R 45). Diámetro de borde: 36 cm. Dimensiones: 2,8x11,3x1,4 cm. Sigla: RC-4-08/176/169. UE: 176.



490

491. Fragmento rodado de borde y cuerpo de Forma 10A. Pasta y engobe tierra siena tostada (M 37). Diámetro de borde aproximado: 30 cm. Dimensiones: 2x8,7x1,5 cm. Sigla: RC-4-08/13/351. UE: 13.



491

492. Fragmento de borde y cuerpo de Forma 10A. Presenta pequeño baquetón horizontal externo bajo el borde. Pasta y engobe tierra siena tostada (M 37). Diámetro de borde: 29 cm. Dimensiones: 4x11,8x1,1 cm. Sigla: RC-4-08/176/206. UE: 13.



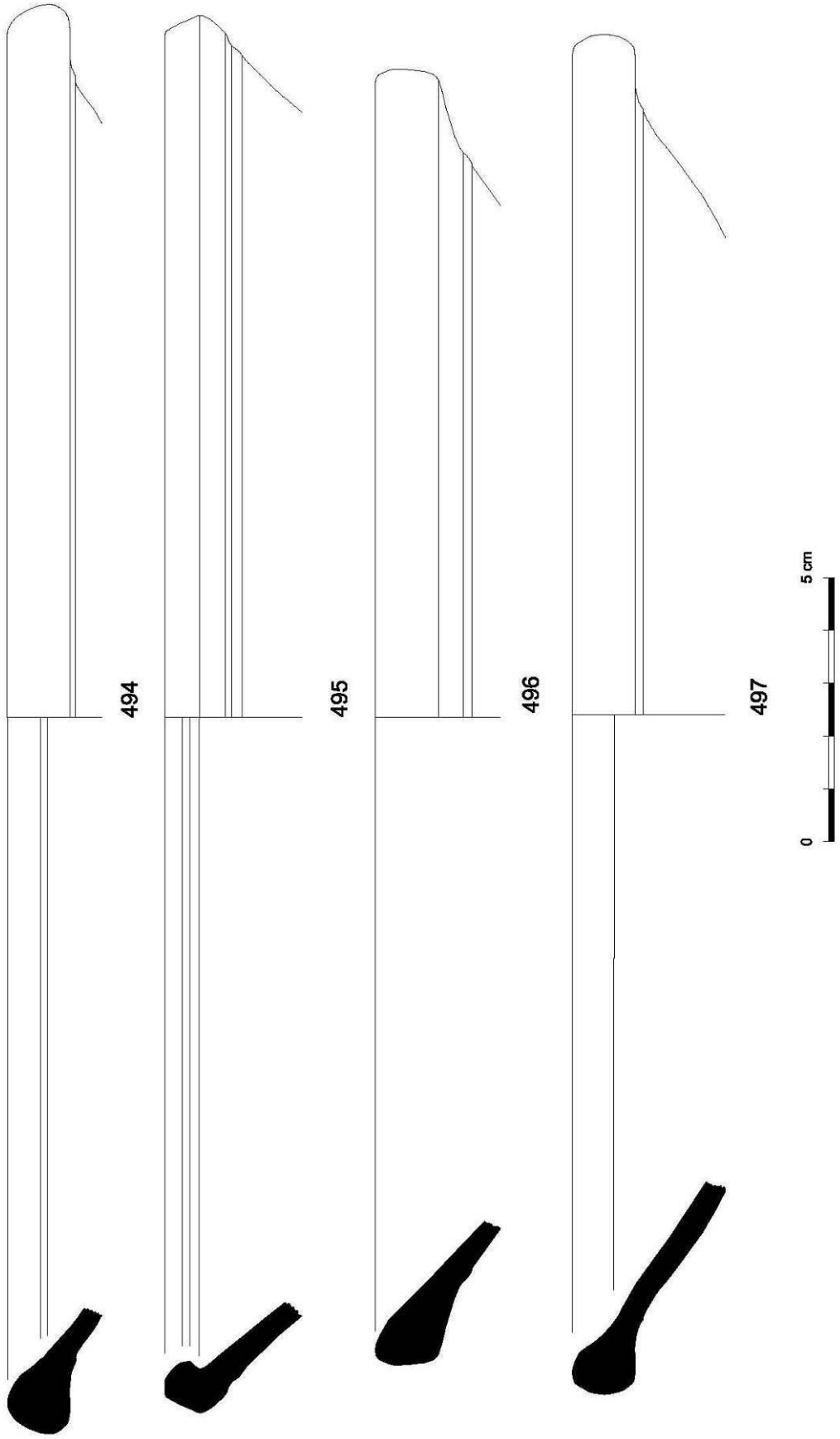
492

493. Fragmento de borde y cuerpo de Forma 10A. Presenta pequeño baquetón horizontal externo bajo el borde. Pasta tierra siena tostada (M 37) y engobe tierra siena natural clara (N 37). Diámetro de borde: 26 cm. Dimensiones: 1,9x4,3x1 cm. Sigla: RC-4-08/210/6. UE: 210.



493

494. Fragmento muy rodado de borde y cuerpo de Forma 10A. Presenta acanaladura externa e interna delimitando borde de cuerpo. Pasta tierra siena tostada (M 37). No conserva engobe. Diámetro de borde: 26 cm. Dimensiones: 1,8x5,8x1,1 cm. Sigla: RC-4-08/105/29. UE: 105.


494
495
496
497
0
5 cm



494

495. Fragmento de borde y cuerpo de Forma 10A. Presenta acanaladura interna delimitando borde y cuerpo. Pasta tierra siena tostada (M 37) y engobe tierra siena tostada clara (N 35). Diámetro de borde: 25 cm. Dimensiones: 2,6x5x0,8 cm. Sigla: RC-4-08/13/374. UE: 13.



495

496. Fragmento de borde y cuerpo de Forma 10A. Presenta pequeño baquetón horizontal externo bajo el borde. Pasta tierra siena tostada (M 37) y engobe tierra siena natural clara (N 39). Diámetro de borde: 24 cm. Dimensiones: 2,1x4,5x1 cm. Sigla: RC-4-08/176/185. UE: 176.



496

497. Fragmento rodado de borde y cuerpo de Forma 10A. Presenta pequeño baquetón horizontal externo bajo el borde. Pasta tierra siena tostada (M 37). No conserva engobe. Diámetro de borde: 25 cm. Dimensiones: 2,9x4,6x1,2 cm. Sigla: RC-4-08/10/142. UE: 10.

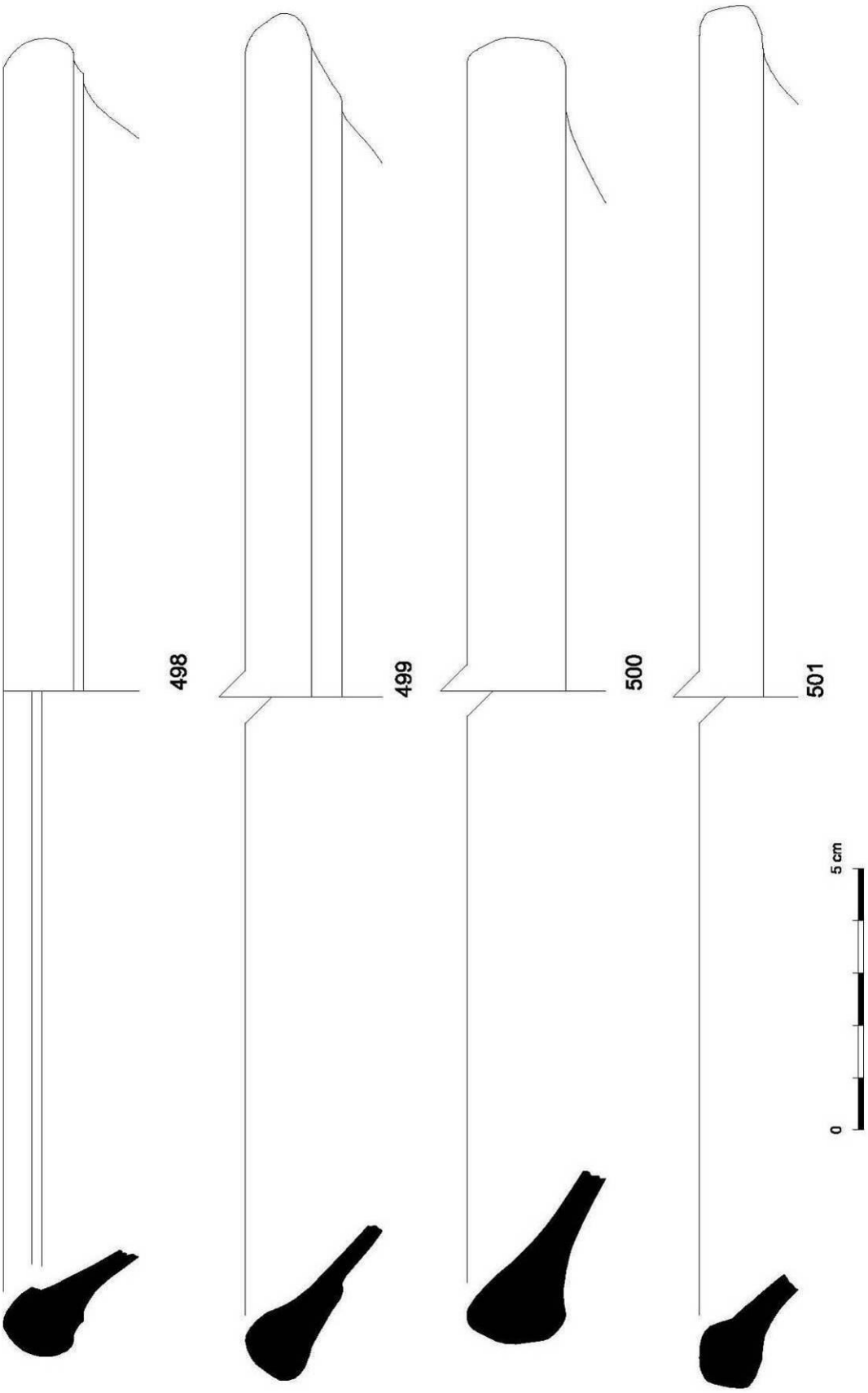


497

498. Fragmento de borde y cuerpo de Forma 10A. Presenta baquetón en la parte inferior del borde. Pasta (M 37) y engobe (N 37) tierra siena tostada. Diámetro de borde: 24 cm. Dimensiones: 2,6x6,4x1,4 cm. Sigla: RC-4-08/67/44. UE: 67.



498



TSFT. Forma 10

499. Fragmento de borde y cuerpo de Forma 10A. Pasta tierra siena tostada (M 37). No conserva engobe. Diámetro de borde indeterminado. Dimensiones: 2,6x3,1x1,3 cm. Sigla: RC-4-08/12/163. UE: 12.



499

500. Fragmento rodado de borde y cuerpo de Forma 10A. Pasta tierra siena tostada (M 37). No conserva engobe. Diámetro indeterminado. Dimensiones: 2,7x3,7x1,2 cm. Sigla: RC-4-08/176/198. UE: 176.



500

501. Fragmento rodado de borde y cuerpo de Forma 10A. Pasta tierra siena tostada (M 37). No conserva engobe. Diámetro indeterminado. Dimensiones: 1,9x2,7x1,3 cm. Sigla: RC-4-08/13/398. UE: 376.



501

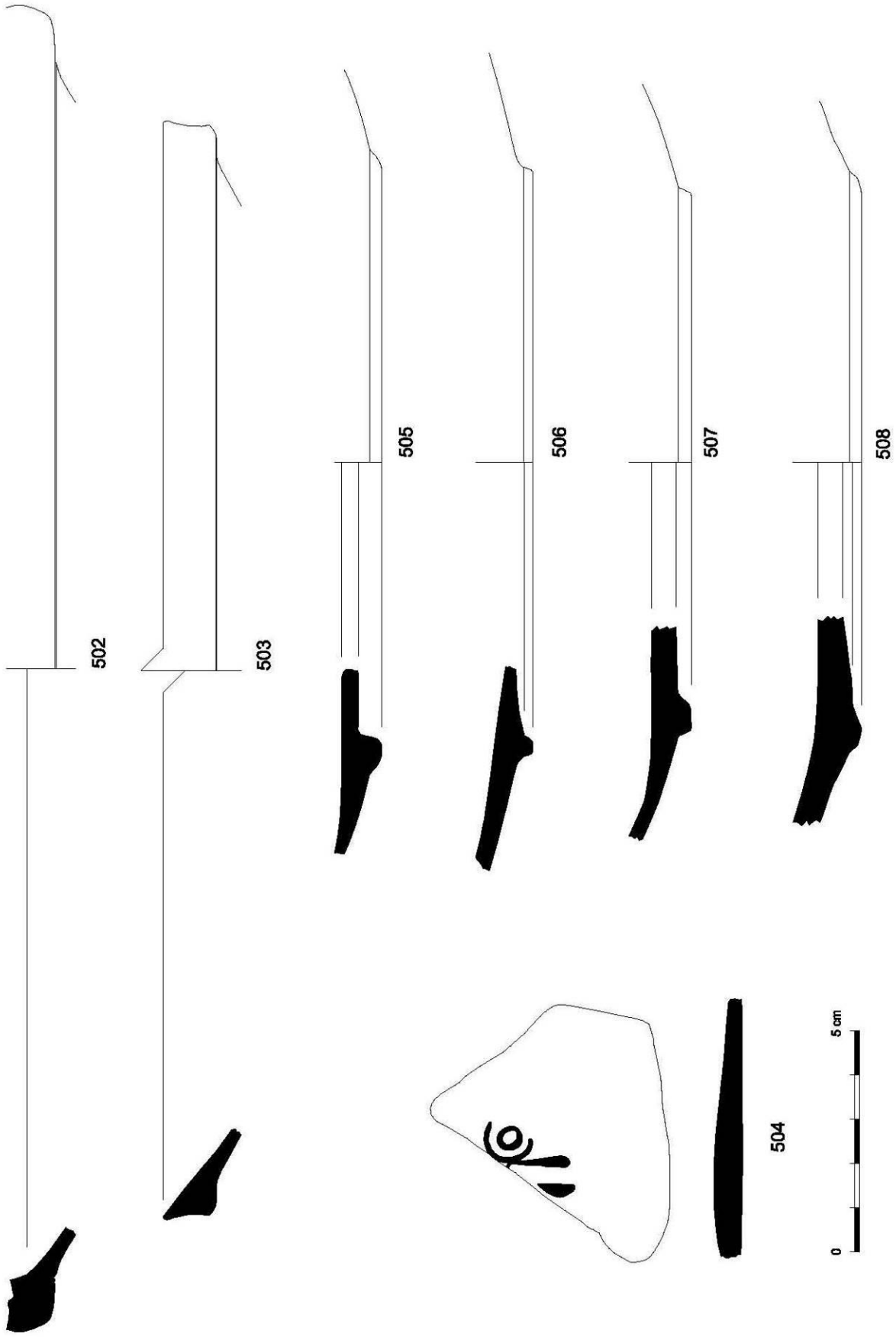
4.5.3.1.4. PIEZAS DE ADSCRIPCIÓN PROBABLE O INDETERMINADA

502. Seis fragmentos rodados de borde y cuerpo de posible Forma 3. Pasta tierra siena tostada (M 37) y engobe tierra siena tostada clara (N 35). Diámetro de borde: 30 cm. Dimensiones: 1,6x7,5x1 cm. Sigla: RC-4-08/13/373. UE: 13.

503. Fragmento muy rodado de borde y cuerpo de posible Forma 3. Se aprecian marcas que probablemente corresponderían al burilado exterior del borde. Pasta tierra siena tostada (M 37). No conserva engobe. Diámetro indeterminado. Dimensiones: 1,8x2,3x0,7 cm. Sigla: RC-4-08/13/364. UE: 13.



503



TSFT. Piezas de atribución probable o indeterminada

504. Fragmento rodado de base de forma indeterminada. Presenta decoración estampada compuesta por motivo cruciforme fragmentado en la parte interna, correspondiendo al tercer grupo decorativo, datado entre 470-580 aproximadamente. Pasta tierra verde tostada (N 33). No conserva engobe. Dimensiones: 0,7x6,1x0,7 cm. Sigla: RC-4-08/13/300. UE: 13.



504

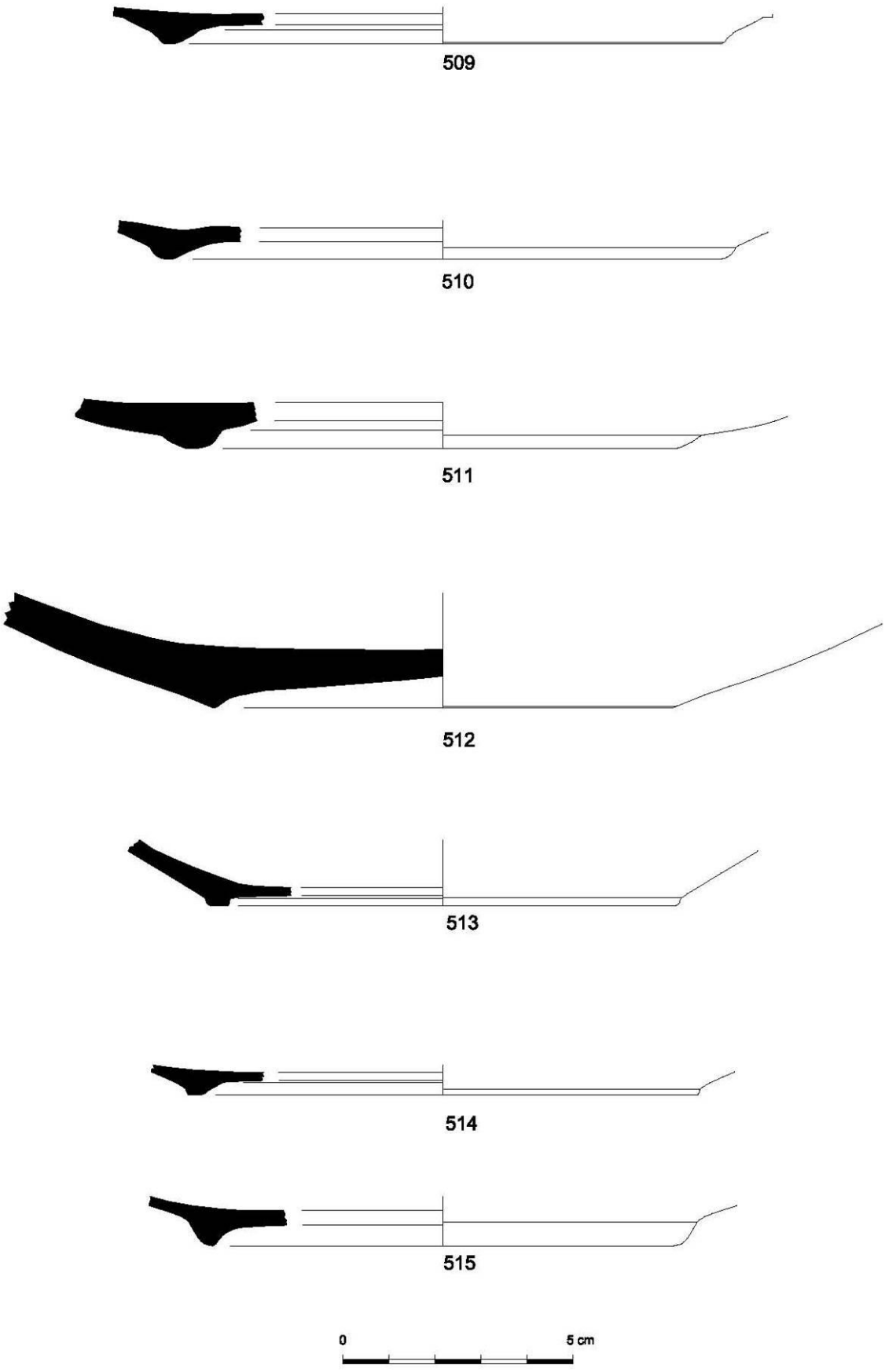
505. Fragmento rodado de cuerpo y base con pie anular bajo de sección rectangular de forma indeterminada. Pasta tierra siena tostada (M 37). No conserva engobe. Diámetro de base: 13 cm. Dimensiones: 1x4,5x0,8 cm. Sigla: RC-4-08/13/409. UE: 13.

506. Fragmento rodado de cuerpo y base con pie anular bajo de sección rectangular de forma indeterminada. Pasta tierra verde tostada (M 35). No conserva engobe. Diámetro de base: 13 cm. Dimensiones: 1,3x4,3x0,9 cm. Sigla: RC-4-08/12/167. UE: 12.

507. Fragmento de cuerpo y base con pie anular bajo de sección rectangular de forma indeterminada. Pasta tierra siena tostada (M 37) y engobe tierra siena tostada (P 37). Diámetro de base: 12 cm. Dimensiones: 1,5x7x0,9 cm. Sigla: RC-4-08/176/187. UE: 176.

508. Fragmento rodado de cuerpo y base con pie anular bajo de sección rectangular de forma indeterminada. Pasta tierra siena tostada (M 37). No conserva engobe. Diámetro de base: 12 cm. Dimensiones: 1,6x5,7x0,7 cm. Sigla: RC-4-08/67/43. UE: 67.

509. Fragmento de cuerpo y base con pie anular bajo de sección triangular de forma indeterminada. Pasta tierra siena tostada (M 37). No conserva engobe. Diámetro de base: 12 cm. Dimensiones: 8x3,3x0,5 cm. Sigla: RC-4-08/13/420. UE: 13.



TSFT. Piezas de atribución probable o indeterminada

510. Fragmento de cuerpo y base con pie anular bajo de sección rectangular de forma indeterminada. Pasta tierra verde tostada (M 33). No conserva engobe. Diámetro de base: 12 cm. Dimensiones: 9x4x0,8 cm. Sigla: RC-4-08/12/176. UE: 12.

511. Fragmento de cuerpo y base con pie anular bajo de sección rectangular de forma indeterminada. Pasta tierra siena tostada (M 37) y engobe tierra verde tostada (N 35). Diámetro de base: 11 cm. Dimensiones: 1x4x0,7 cm. Sigla: RC-4-08/65/3. UE: 65.

512. Fragmento de cuerpo y base con pie anular bajo de sección rectangular de forma indeterminada. Pasta tierra siena tostada (M 37) y engobe tierra verde tostada (N 35). Diámetro de base: 10 cm. Dimensiones: 2,5x4,4x0,9 cm. Sigla: RC-4-08/176/191. UE: 176.

513. Fragmento de cuerpo y base con pie anular bajo de sección rectangular de forma indeterminada. Pasta tierra siena tostada (M 37) y engobe tierra verde tostada (N 35). Diámetro de base: 10 cm. Dimensiones: 1,5x5,7x0,7 cm. Sigla: RC-4-08/162/25. UE: 162.

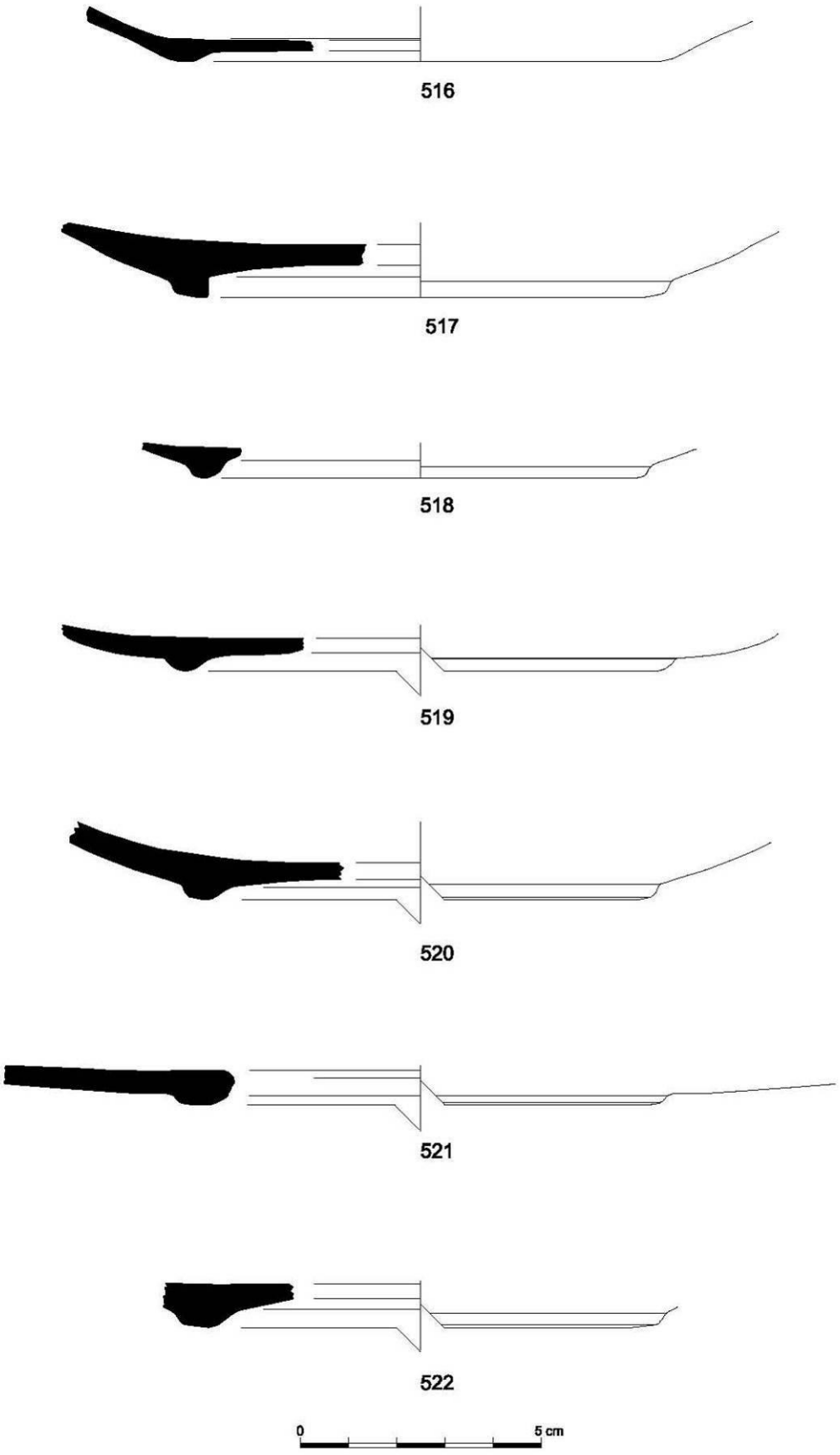
514. Dos fragmentos rodados de cuerpo y base con pie anular bajo de sección rectangular de forma indeterminada. Pasta tierra siena tostada (M 37). El engobe se encuentra muy deteriorado. Diámetro de base: 10 cm. Dimensiones: 0,7x4,2x0,5 cm. Sigla: RC-4-08/13/415. UE: 13.

515. Fragmento rodado de cuerpo y base con pie anular bajo de sección rectangular de forma indeterminada. Pasta tierra siena tostada (M 37). El engobe se encuentra muy deteriorado. Diámetro de base: 10 cm. Dimensiones: 1x2,2x0,7 cm. Sigla: RC-4-08/13/388. UE: 13.

516. Fragmento rodado de cuerpo y base con pie anular bajo de sección triangular de forma indeterminada. Pasta tierra siena tostada (M 37). No conserva engobe. Diámetro de base: 10 cm. Dimensiones: 1,2x3,8x0,6 cm. Sigla: RC-4-08/12/156. UE: 12.

517. Fragmento de cuerpo y base con pie anular bajo de sección triangular de forma indeterminada. Pasta tierra siena tostada (M 37) y engobe tierra siena tostada clara (N 35). Diámetro de base: 9 cm. Dimensiones: 1,5x5x0,8 cm. Sigla: RC-4-08/176/204. UE: 176.

518. Fragmento rodado de cuerpo y base con pie anular bajo de sección rectangular de forma indeterminada. Pasta tierra siena tostada (M 37) y engobe tierra siena natural clara (N 37). Diámetro de borde: 9 cm. Dimensiones: 0,8x3,5x0,6 cm. Sigla: RC-4-08/13/389. UE: 13.



TSFT. Piezas de atribución probable o indeterminada

519. Fragmento rodado de cuerpo y base con pie anular bajo de sección rectangular de forma indeterminada. Pasta tierra siena tostada (M 37). No conserva engobe. Diámetro indeterminado. Dimensiones: 1x2,5x0,8 cm. Sigla: RC-4-08/176/195. UE: 176.

520. Fragmento rodado de cuerpo y base con pie anular bajo de sección rectangular de forma indeterminada. Pasta tierra siena tostada (M 37) y engobe tierra siena tostada clara (N 35). Diámetro indeterminado. Dimensiones: 1,6x3,2x0,7 cm. Sigla: RC-4-08/176/188. UE: 176.

521. Fragmento rodado de cuerpo y base con pie anular bajo de sección rectangular de forma indeterminada. Pasta tierra verde tostada (M 34). No conserva engobe. Diámetro indeterminado. Dimensiones: 0,9x4,2x0,7 cm. Sigla: RC-4-08/12/175. UE: 12.

522. Fragmento rodado de cuerpo y base con pie anular bajo de sección rectangular de forma indeterminada. Pasta tierra siena tostada (M 37). No conserva engobe. Diámetro indeterminado. Dimensiones: 1x2,5x0,6 cm. Sigla: RC-4-08/162/24. UE: 162.

USC UNIVERSIDADE DE SANTIAGO DE COMPOSTELA

4.5.4. TERRA SIGILLATA INDETERMINADA

523. Fragmento de borde y cuerpo de forma indeterminada de TS de adscripción indeterminada. Presenta dos acanaladuras horizontales bajo el borde. Pasta tierra siena tostada (M 37). No conserva engobe. Diámetro de borde: 36 cm. Dimensiones: 2,4x4,9x1,1 cm. Sigla: RC-4-08/13/359. UE: 13.

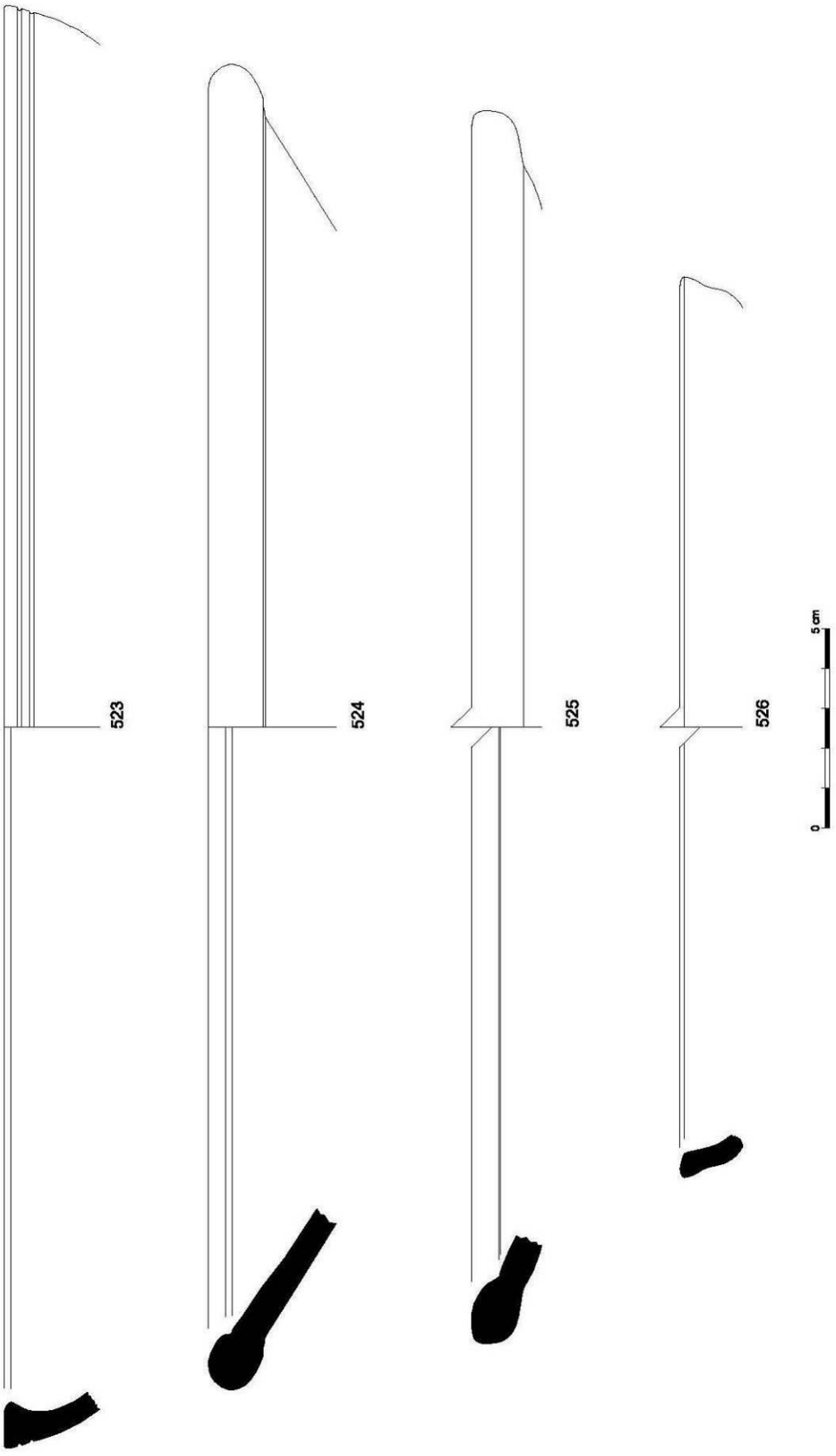


523

524. Fragmento rodado de borde y cuerpo de forma indeterminada de TS de adscripción indeterminada. Presenta una acanaladura horizontal bajo el borde en la parte interna. Pasta tierra siena tostada (M 37). El engobe se encuentra totalmente deteriorado debido a procesos postdeposicionales. Diámetro de borde: 32 cm. Dimensiones: 1,8x4,5x0,9 cm. Sigla: RC-4-08/126/16. UE: 126.

525. Fragmento de borde y cuerpo de forma indeterminada de TS de adscripción indeterminada. Presenta una acanaladura interna horizontal bajo el borde. Pasta tierra siena tostada (M 37). No conserva engobe. Diámetro indeterminado. Dimensiones: 1,8x2,4x0,8 cm. Sigla: RC-4-08/176/183. UE: 176.

526. Fragmento de borde y cuerpo de forma indeterminada de TS de adscripción indeterminada. Pasta tierra siena tostada (M 37). No conserva engobe. Diámetro indeterminado. Dimensiones: 1,6x3,9x0,6 cm. Sigla: RC-4-08/13/412. UE: 13.



TS de atribución indeterminada

4.5.5. CONSIDERACIONES SOBRE LA TERRA SIGILLATA

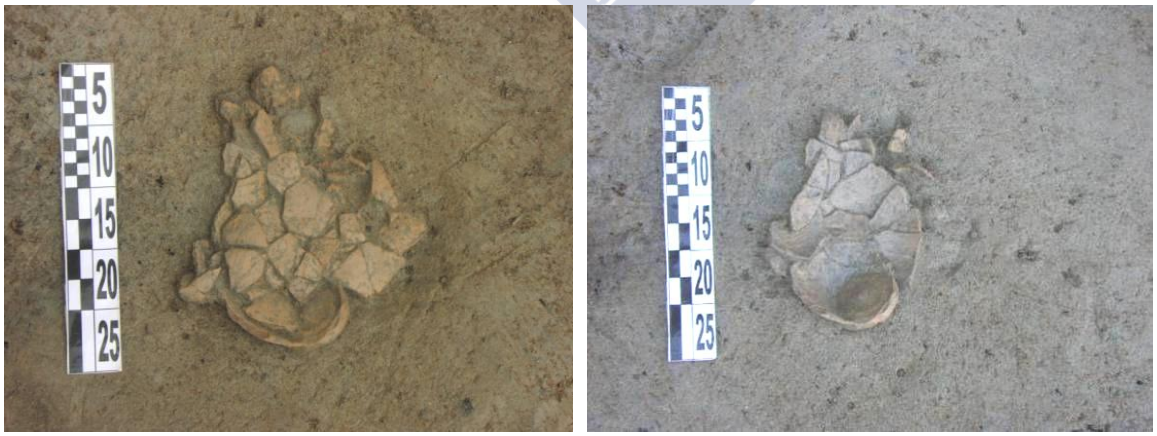
De lo expuesto anteriormente se deduce que la sigillata localizada presenta una serie de peculiaridades que tienden a individualizarla con respecto a lo que hasta el momento de la intervención, existía publicado en el ámbito galaico.

Haciendo una pequeña recapitulación, puede comenzarse señalando la llamativa ausencia de TSHT, producción ampliamente documentada en otros puntos de la geografía galaica, así como de las regiones del interior peninsular.

Otro de los aspectos a destacar es la cronología tardía de la colección. Los fragmentos que han sido determinados tienden a proporcionar unas fechas que se mueven entre el siglo V y principios o mediados del siglo VII, pudiendo ser calificados de limitados los ejemplares anteriores a este marco temporal. Se trata por tanto de formas muy tardías para lo que ha sido constatado hasta ahora en Galicia, con lo que se han venido a introducir recipientes no constatados anteriormente tales como la Forma Hayes 99, NN. 1, 7-8, 12, la Forma Hayes 103B, la Forma Hayes 104A, la Forma Hayes 104C, o la Forma Hayes 170 entre las africanas D, así como la Forma 10A entre la producción focea. Con respecto a este peculiar registro formal llama la atención la importación de recipientes poco difundidos a nivel peninsular como es el caso de la citada Forma Hayes 170.

Estos datos aparecen suficientemente contrastados, con los datos obtenidos en otras intervenciones practicadas en el yacimiento de O Areal de Vigo.

4.6. OTROS MATERIALES ARQUEOLÓGICOS



Pieza de cerámica común recogida in situ (parte externa del cuerpo e interna) en UE89



Material recogido en UE126



Ánfora en UE126, relleno de UE125

A continuación se presenta un cuadro-resumen con las unidades estratigráficas en las que fueron hallados materiales arqueológicos y producciones a las que pertenecen.

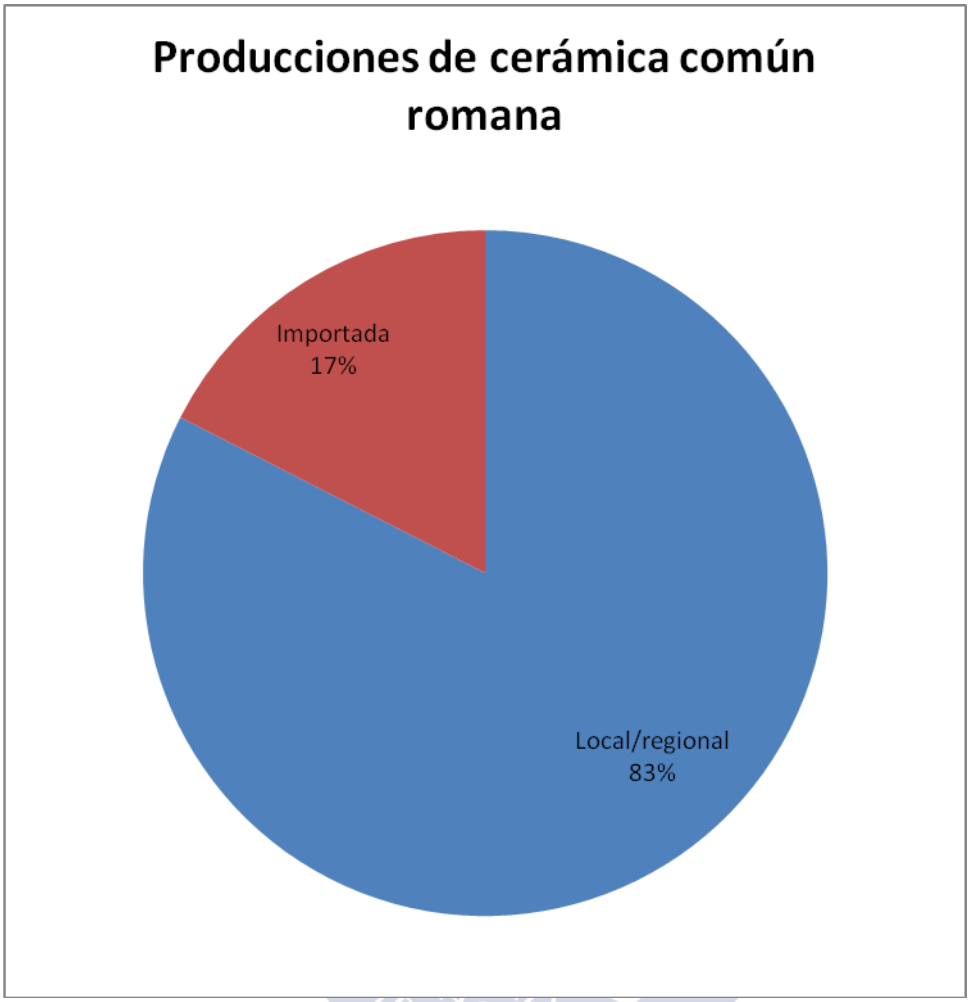
UE005: Terra sigillata, cerámica común romana, ánfora, material de construcción, cerámica común moderna, cerámica moderna vidriada.
UE007: Terra sigillata, ánfora, material de construcción, cerámica común moderna, cerámica moderna vidriada, anforeta.
UE009: Terra sigillata, ánfora, material de construcción, cerámica común moderna, cerámica moderna vidriada, numisma, metal.
UE010: Terra sigillata, cerámica común romana, ánfora, material de construcción, cerámica común medieval, cerámica común moderna, cerámica moderna con grafito, cerámica moderna vidriada, anforeta, metal, vidrio, lítico, pipa.
UE012: Terra sigillata, cerámica común romana, ánfora, material de construcción, pieza singular correspondiente a una cerámica estampillada, pondus, cerámica común moderna, cerámica común moderna vidriada, anforeta, metal, vidrio, lítico, arcilla.
UE013: Terra sigillata, cerámica común romana, ánfora, pondus, material de construcción, metal, vidrio, lítico.
UE014: Cerámica común romana, ánfora, material de construcción.
UE015: Material de construcción, cerámica común moderna, vidrio, lítico.
UE016: Cerámica común romana, material de construcción, cerámica común medieval, cerámica común moderna, cerámica moderna vidriada, vidrio.
UE017: material de construcción, cerámica común medieval, cerámica común moderna, cerámica moderna vidriada, vidrio.
UE021: Material de construcción, vidrio.
UE024: Material de construcción.
UE029: Cerámica común romana, material de construcción, cerámica común medieval, metal, vidrio.
UE030: Material de construcción, cerámica común moderna.
UE034: Ánfora norteafricana.
UE035: Ánfora, material de construcción.
UE037: Ánfora, cerámica común romana, vidrio.
UE043: Terra sigillata, cerámica común romana, ánfora, pesa, material de construcción, metal, vidrio.
UE047: Ánfora material, de construcción.
UE056: Terra sigillata, cerámica común romana, ánfora, material de construcción.
UE058: Cerámica común romana, ánfora, material de construcción, metal.
UE061: Cerámica común romana.
UE063: Terra sigillata, cerámica común romana, ánfora, material de construcción, cerámica moderna vidriada, numisma, metal, vidrio, lítico.
UE065: Terra sigillata, cerámica común romana, ánfora, material de construcción.
UE067: Terra sigillata, cerámica común romana, ánfora, material de construcción, cerámica común moderna, cerámica moderna vidriada, loza, metal, vidrio.

UE069: Cerámica común romana, material de construcción.
UE078: Cerámica común romana, cerámica común romana engobada, ánfora, material de construcción.
UE079: Terra sigillata, cerámica común romana, cerámica común moderna, cerámica moderna vidriada.
UE085: Cerámica común romana, material de construcción, cerámica común medieval, cerámica común moderna, cerámica moderna vidriada, hueso.
UE088: Terra sigillata, cerámica común romana, ánfora, fusayola, material de construcción, metal, vidrio, lítico.
UE089: Cerámica común romana, ánfora, material de construcción, metal, vidrio**,** lítico.
UE090: Cerámica común romana importada.
UE096: Terra sigillata, cerámica común romana, ánfora, material de construcción.
UE098: Cerámica común romana, material de construcción
UE100: Terra sigillata, cerámica común romana, ánfora, material de construcción, lítico.
UE102: Terra sigillata, cerámica común romana, ánfora, fusayola, material de construcción, metal, vidrio.
UE103: Ánfora, material de construcción.
UE105: Terra sigillata, cerámica común romana, ánfora, material de construcción, metal, vidrio.
UE109: Material de construcción.
UE112: Cerámica común romana, vidrio.
UE114: Terra sigillata, cerámica común romana, ánfora, material de construcción, metal, vidrio.
UE116: Ánfora, material de construcción, vidrio.
UE118: Cerámica común romana, material de construcción.
UE120: Cerámica común romana, ánfora, material de construcción.
UE124: Cerámica común romana, ánfora.
UE126: Terra sigillata, cerámica común romana, ánfora, material de construcción, metal, vidrio.
UE128: Cerámica común romana, ánfora, material de construcción, metal, lítico.
UE129: Terra sigillata, cerámica común romana, ánfora, material de construcción, metal, vidrio, lítico.
UE132: Terra sigillata, cerámica común romana, ánfora, material de construcción, metal, vidrio.
UE137: cerámica común romana, vidrio.
UE143: Cerámica común romana, material de construcción.
UE146: Cerámica indeterminada.
UE149: Ánfora.
UE151: Metal.
UE153: Cerámica común romana, ánfora, material de construcción.
UE154: Cerámica común romana, ánfora, material de construcción, vidrio.
UE156: Cerámica común romana.
UE158: Cerámica común romana, ánfora, material de construcción.
UE160: Cerámica común romana.
UE162: Terra sigillata, cerámica común romana, ánfora, material de construcción, cuenta de pasta vítrea, vidrio, lítico.
UE164: Cerámica común romana, material de construcción.
UE167: Terra sigillata, cerámica común romana, ánfora, material de construcción, vidrio.
UE168: Cerámica común romana, ánfora, material de construcción, vidrio.
UE170: Terra sigillata, cerámica común romana, ánfora, material de construcción, lítico.
UE172: Terra sigillata, cerámica común romana, ánfora, material de construcción, metal, vidrio.
UE174: Cerámica común romana, ánfora, material de construcción.
UE176: Terra sigillata, cerámica común romana, ánfora, material de construcción, metal, vidrio, lítico.
UE178: Cerámica común romana, ánfora, material de construcción.
UE179: Terra sigillata, cerámica común romana, ánfora, vidrio.
UE181: Ánfora.
UE184: Cerámica común romana, ánfora, material de construcción, metal, vidrio, lítico.
UE186: Cerámica común romana, material de construcción, vidrio.
UE189: Cerámica común romana, ánfora.
UE191: Cerámica común romana, ánfora, material de construcción, metal, vidrio.
UE197: Cerámica común romana, cerámica común romana importada, ánfora, material de construcción, lítico.
UE199. Cerámica común romana.

UE200: Cerámica común romana, material de construcción.
UE202: Terra sigillata, cerámica común romana, ánfora.
UE203: Cerámica común romana, ánfora.
UE207: Terra sigillata, cerámica común romana, ánfora, material de construcción, vidrio.
UE208: Cerámica común romana, ánfora, material de construcción.
UE210: Terra sigillata, cerámica común romana, ánfora, material de construcción, metal, estuco con restos de pintura.
UE216: Terra sigillata, cerámica común romana, ánfora, material de construcción, metal.
UE218: Ánfora, material de construcción, metal.
UE220: Cerámica común romana.
UE223: Material de construcción.
UE239: Cerámica común romana.
UE243: Cerámica común romana, ánfora, material de construcción.
UE252: Ánfora, material de construcción.
UE256: Ánfora.
UE258: Cerámica común romana, material de construcción.
UE261: Cerámica común romana, vidrio.
UE277: Terra sigillata focea tardía, cerámica común romana importada, ánfora norteafricana, ánfora, material de construcción.
UE278: ánfora norteafricana.
UE287: cerámica común romana, ánfora norteafricana, ánfora.
UE288: ánfora.
UE289: ánfora, material de construcción.
UE293: ánfora.
UE313: cerámica común romana.

Tabla resumen de unidades estratigráficas con material arqueológico

4.6.1. CERÁMICA COMÚN ROMANA[36]



Representatividad de porcedencia de las producciones de cerámica común romana

4.6.1.2. CERÁMICA COMÚN ROMANA DE FABRICACIÓN LOCAL O REGIONAL

De todo el conjunto cerámico exhumado, la cerámica común romana es, junto con las diferentes series anfóricas, la producción más numerosa. La mayor parte de los restos cerámicos recuperados durante las actuaciones arqueológicas realizadas remiten a una cronología romana bajoimperial o tardía.

Partiendo de los estudios realizados sobre la ciudad de *Lucus Augusti*, la producción común de cerámica romana, se aglutina en cuatro grandes fases. Los orígenes estarían vinculados al mandato de Augusto. La denominada primera fase, se desarrollaría a lo largo del siglo I d.C. estando definida por la convivencia de elementos indígenas y foráneos. La segunda

[36] Agradecemos a la arqueóloga Sara Rodríguez Souto la colaboración en los trabajos de clasificación y estudio de los materiales arqueológicos.

etapa abarcaría las décadas iniciales de la segunda centuria hasta las finales de la cuarta. Finalmente la tercera fase haría referencia a los momentos finales del siglo IV hasta la colonización germánica (ALCORTA IRASTORZA, 2001: 55).

4.6.1.2.1. CERÁMICA DE LA PRIMERA CENTURIA DE LA ERA

Dentro del conjunto de la cerámica realizada a lo largo de la primera fase, encuadrada a grandes rasgos en la I centuria después de Cristo, han podido establecerse dos tipos de pastas, una de carácter indígena y otra influenciada por las técnicas romanas. Los barros del primer grupo se caracterizan por poseer tonalidades oscuras, grisáceas, negruzcas y acastañadas, no siempre uniformes. En cambio, las pastas del segundo tipo presentan colores grisáceos claros y ocres-rojizos. Sin embargo, la composición mineralógica es similar entre ambos, así predominan las partículas micáceas, a las que se suman puntos blancos, negros y rojos, diferenciándose únicamente en un porcentaje mayor de desgrasantes cuarcíticos en las pastas influenciadas, lo que les confiere mayor compactación y resistencia a la fractura, en oposición a la fragilidad y aspecto arenoso propio de las indígenas (ALCORTA IRASTORZA, 2001: 57).

4.6.1.2.1.1. Tipo L1. Olla decorada de perfil sinuoso y borde exvasado

Esta forma se caracteriza desde un punto de vista formal, por presentar un borde oblicuo exvasado con frente superior horizontal, hombro invasado y arqueado, cuerpo de perfil sinuoso, sin asas y base plana. Se han diferenciado tres variantes atendiendo al módulo y complejidad decorativa, progresivamente menores y más sencillas. La L1A muestra un diámetro de borde que oscila entre 25 y 30 cm y una compleja ornamentación, la L1B presenta unas aperturas de borde que abarcan entre los 20 y 25 cm y una decoración predominantemente espatulada y la L1C alcanza unos diámetros de borde de entre 13 y 16 cm y en ocasiones se decora con espatulados sencillos. Es una forma que puede presentarse lisa u ornamentada. Aparece fabricada con barros indígenas, con pequeñas influencias foráneas en casos de la variante L1C, de tal modo que suelen ser pastas de tonalidad grisácea o marrón oscuro, someramente depuradas, con cierta presencia de partículas micáceas de aspecto granuloso, pero algo resistentes a la fractura. La superficie externa muestra una gran variabilidad de acabados, en función de la carencia o no de motivos decorativos y de la variante formal. Aunque suelen ser cuidados la calidad es menor en la variante L1C. El repertorio decorativo es amplio, compuesto por espatulados, retículas bruñidas, incisiones, estampaciones, baquetones lisos u ornamentados y engobes y aguadas rojizos. Son piezas destinadas al almacenaje o simples elementos de adorno y prestigio a las que se le otorga una datación preflavia, abarcando desde el periodo tiberio-

claudiano a las décadas finales del siglo I d.C. o iniciales del II d.C. (ALCORTA IRASTORZA, 2001: 80-87).

527. Fragmento muy rodado de borde y cuerpo de olla L1, fabricada en pastas del grupo 3. Sigla RC-4-08/67/19. UE: 67.

4.6.1.2.2. CERÁMICA COMÚN ROMANA DE LOS SIGLOS II-V d.C.

Partiendo de la monografía de Alcorta (ALCORTA IRASTORZA, 2001), a partir del siglo II d.C., la cerámica común romana aparece caracterizada a grandes rasgos en seis grupos de pasta, de los que cada uno de ellos propicia la realización de formas concretas. Se ha constatado la presencia de piezas realizadas en los grupos 3, 4 y 6.

El primer grupo lo conforman pastas de tonalidad negra, groseras, compuestas por un importante porcentaje de partículas desgrasantes de grandes dimensiones, especialmente mica y cuarzo, lo que le confiere un aspecto muy basto. Son barros generalmente poco manipulados, caracterizados por una alta presencia de vacuolas, escasa compactación, elevada fragilidad y fácilmente degradables. La propia naturaleza de la pasta, determina en gran medida la apariencia y tratamiento externo que recibirán las piezas con ella elaboradas, limitándose a someros afinados y finas aguadas, dominando un aspecto rugoso. Así pues, estas amalgamas están destinadas a la elaboración de ollas de cocina, tales como los tipos O1 y O2 (ALCORTA IRASTORZA, 2001: 159).

El segundo grupo está definido por barros de color negro, con una escasa presencia de partículas desgrasantes de reducido tamaño, entre las que predominan las micáceas y en menor medida cuarcíticas, junto a puntos negros y rojos. Son pastas depuradas, compactas, resistentes a la fractura, de corte recto y limpio. El cuidado tratamiento determina unos acabados más detenidos, predominando los afinados y bruñidos en las superficies externas de las piezas. Es pasta apropiada para la elaboración de ollas de almacenaje, pequeñas ollitas espatuladas (Tipo O24), vasos (Tipo V1, Tipo V1A), jarras, platos y fuentes (Tipo F2) (ALCORTA IRASTORZA, 2001: 160).

El llamado grupo 3 se caracteriza por presentar una pasta de color gris, con presencia de partículas micáceas y cuarcíticas de tamaño pequeño y medio y granulillos rojizos y negros aislados. Son barros poco manipulados, de aspecto grosero y poroso, de tal modo que ofrecen una escasa resistencia al corte y dificultan la decoración, así ésta se reduce a un simple espatulado. Se trata de una materia prima propia de piezas destinadas a la cocina, cocción, manipulación o incluso conservación de alimentos, principalmente ollas de gran

tamaño.

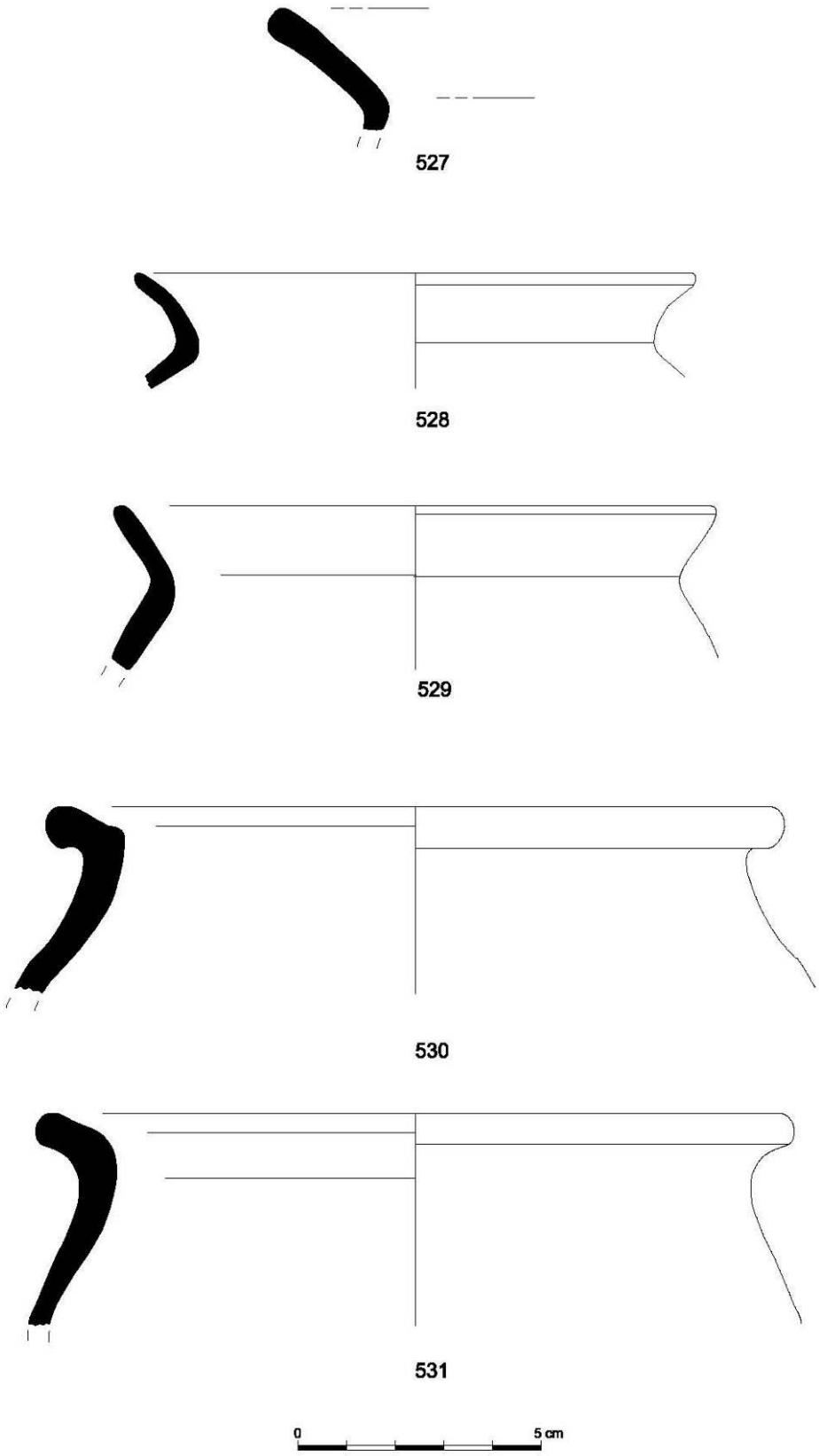
El cuarto grupo de pasta presenta una tonalidad grisácea y una práctica ausencia de desgrasantes cuarcíticos, o bien, de manera escasa, éstos serán de reducido tamaño, aunque se constata una presencia abundante de mica. Son barros de gran compactación y relativa dureza que ofrecen resistencia al corte, mostrando fracturas limpias y rectilíneas, posibilitando acabados muy cuidados. Se reserva a la manufactura de vasijas finas de mesa o almacenaje (ALCORTA IRASTORZA, 2001: 161).

Caracterizan el grupo número 5 pastas de tono ocre con una importante presencia de partículas cuarcíticas que le confieren un aspecto algo arenoso, grosero y de cierta fragilidad. Estas características favorecen su degradación e imposibilitan un cuidado tratamiento externo, limitándose en ciertos casos a un elemental afinado. Habitualmente se emplea este tipo de barros en la creación de formas destinadas a almacenaje y labores de cocina ajenas a la acción directa del fuego. Las formas predominantes son comunes a los grupos de pastas groseras, destacando los morteros, ollas de almacenaje y en menor medida los cuencos, jarras y platos (ALCORTA IRASTORZA, 2001: 161).

En el sexto grupo las pastas son de color predominantemente ocre, composición micácea, textura fina y relativa dureza. Habitualmente se hallan recubiertas por un engobe rojizo semibrillante aplicado sobre la cara más visible de las piezas, muy habitual en los platos. Se reservan para la realización de formas de mesa y algunas de almacenaje. Se han documentado fragmentos de piezas fabricadas en este tipo de pasta, de reducido tamaño y cuidado tratamiento, algunas con decoración incisa, acanaladuras paralelas externas y que posiblemente se correspondan con jarras u ollitas.

4.6.1.2.2.1. Tipo O1A. Olla globular de borde exvasado oblicuo, sin decoración

Se corresponde este tipo con una olla de borde exvasado oblicuo, liso o internamente facetado, labio apuntado o ligeramente engrosado, cuerpo globular, base plana y carente de asas. Atendiendo al módulo, se han establecido dos variantes denominadas Tipo O1 y Tipo O1A, esta de menor tamaño con un diámetro medio de apertura de borde de unos 15 cm. Se trata de una forma generalmente realizada en pastas del grupo 3 aunque se ha documentado alguna en el grupo 5, dotada de sencillos acabados, que no cuenta con decoración dado su destino a funciones de cocina. Cronológicamente se trata de un tipo longevo elaborándose desde inicios del siglo II d.C. hasta mediados de la V centuria (ALCORTA IRASTORZA, 2001: 196).



Cerámica común romana. Tipo L1 (527). Tipo O1A (528), Tipo O25 (529). Olla de borde oblicuo cóncavo (530-531)

528. Fragmento de borde y cuerpo de olla O1A fabricada en pasta del grupo 3, con abundante presencia de partículas micáceas. Pasta gris (P 31). Diámetro de borde: 11,4 cm. Dimensiones: 1,8x2,4x0,8 cm. 4.6.1.2.2.1. RC-4-08/65/1. UE: 65.

4.6.1.2.2.2. Tipo O25. Ollita ovoide de borde vuelto exvasado, sin decoración

Con esta definición es conocida una ollita de borde vuelto exvasado y cuerpo ovoide. La apertura media de borde oscila entre los 7 y 9 cm. Desde el punto de vista del tratamiento externo, dado que puede ser elaborada indistintamente con pastas de los grupos 4 y 6, puede presentar un sencillo afinado o uno más detenido para propiciar la aplicación del engobe, aunque carece de decoración. Su uso estaría posiblemente destinado a almacenaje a pequeña escala, aunque podría actuar a modo de jarra de mesa. Se le atribuye una datación altoimperial (ALCORTA IRASTORZA, 2001: 253).

529. Seis fragmentos de borde y cuerpo de olla Tipo O25, elaborada en pasta del grupo 3 en atmósfera reductora, con elevada presencia de partículas micáceas y engobe externo. Presenta un diámetro de borde de 12,4 cm. Sigla: RC-4-08/176/67. UE: 176.

4.6.1.2.2.3. Olla de borde oblicuo cóncavo

Se trata de una forma caracterizada por la presencia de un borde oblicuo, habitualmente cóncavo, mostrando una depresión más o menos marcada y un labio generalmente engrosado y cuello amplio. No ha sido recuperado ningún ejemplar que conserve un perfil suficientemente amplio que permita caracterizar el completo desarrollo de la pieza. En relación a las dimensiones, únicamente puede hacerse referencia a los diámetros de las aperturas de los bordes. Éstos oscilan entre los 14/19 cm, aunque se han localizado dos piezas de 11,6 cm y 10,4 cm.

Las piezas pertenecientes a este tipo han sido elaboradas mediante pastas rosadas, beige o blanquecinas groseras, con una considerable presencia de cuarzos incoloros, caracterizadas por una gran dureza, siendo altamente resistentes a la fractura. El exterior muestra idéntica gama tonal que las pastas y amplias manchas negruzcas, debido a la acción directa del fuego. No se ha podido documentar la presencia de elementos decorativos, debido, quizá a la fragmentación de las piezas recuperadas.

Los materiales con los que han sido contextualizados los fragmentos cerámicos

identificados con esta forma, han sido vinculados a una datación que oscilaría entre los siglos II-III d.C.

530. Fragmento de borde y cuerpo de Olla de borde oblicuo cóncavo con pasta muy dura beige grosera. Presenta diámetro de borde de 15,2 cm. Sigla: RC-4-08/12/68. UE: 12.

531. Fragmento de borde y cuerpo de Olla de borde oblicuo cóncavo con pasta beige grosera. Presenta diámetro de borde de 15,6 cm y evidencias de haber sido sometida a la acción del fuego. Sigla: RC-4-08/129/22. UE: 129.

532. Fragmento de borde y cuerpo de Olla de borde oblicuo cóncavo con pasta muy dura blanquecina grosera. Presenta diámetro de borde de 16 cm. Sigla: RC-4-08/172/6. UE: 172.

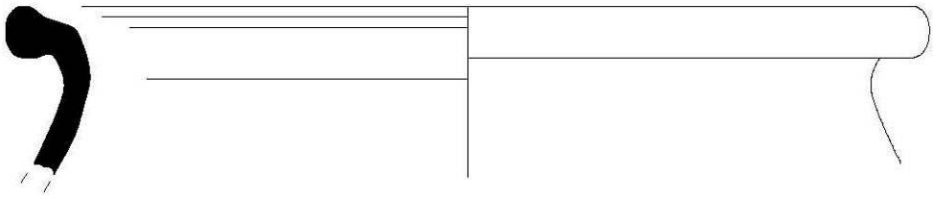
533. Fragmento de borde y cuerpo de Olla de borde oblicuo cóncavo con pasta muy dura blanquecina grosera. Presenta un diámetro de borde de 17 cm. Sigla: RC-4-08/176/59. UE: 176.

534. Fragmento de borde y cuerpo de Olla de borde oblicuo cóncavo con pasta blanquecina del grupo 5. Presenta un diámetro de borde de 16 cm. Sigla: RC-4-08/176/61. UE: 176.

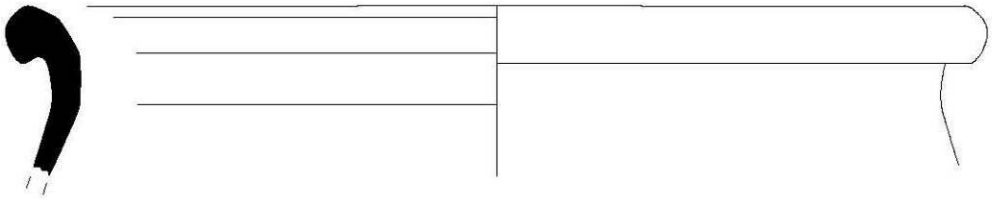
535. Fragmento de borde y cuerpo de Olla de borde oblicuo cóncavo con pasta muy dura beige grosera. Muestra acanaladura en la parte superior del borde. Presenta un diámetro de borde de 14 cm y evidencias de haber sido sometida a la acción del fuego. Sigla: RC-4-08/37/1. UE: 37.

4.6.1.2.2.4. Tipo OV. Recipiente de función incierta

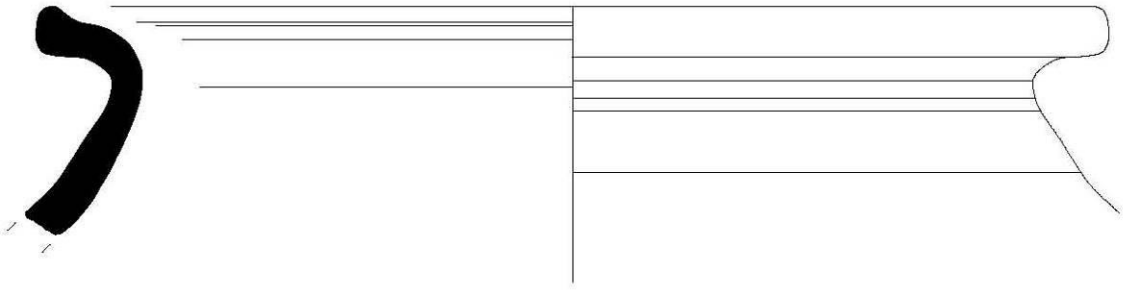
Se incluyen dentro de esta definición un conjunto heterogéneo de recipientes cuya condición común es la de vasija (ALCORTA IRASTORZA, 2001: 254-256). El ejemplar aquí presente se correspondería con el único perfil completo de los presentados para *Lucus Augusti*. Se define como lebrillo a nivel formal, sin establecerse una funcionalidad concreta. La pasta se corresponde con la del grupo 6. Estos tipos de manera genérica se incluyen dentro de la denominada cerámica de la II Fase que abarca desde el siglo II a la primera mitad del siglo IV d.C. (ALCORTA IRASTORZA, 2001: 254).



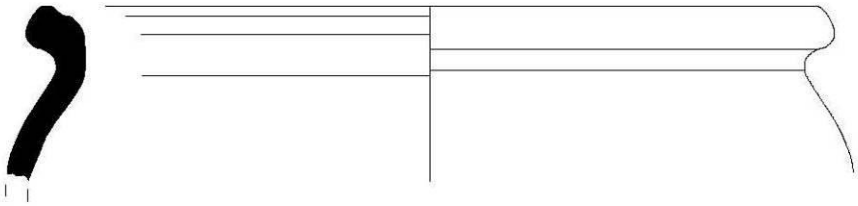
532



533



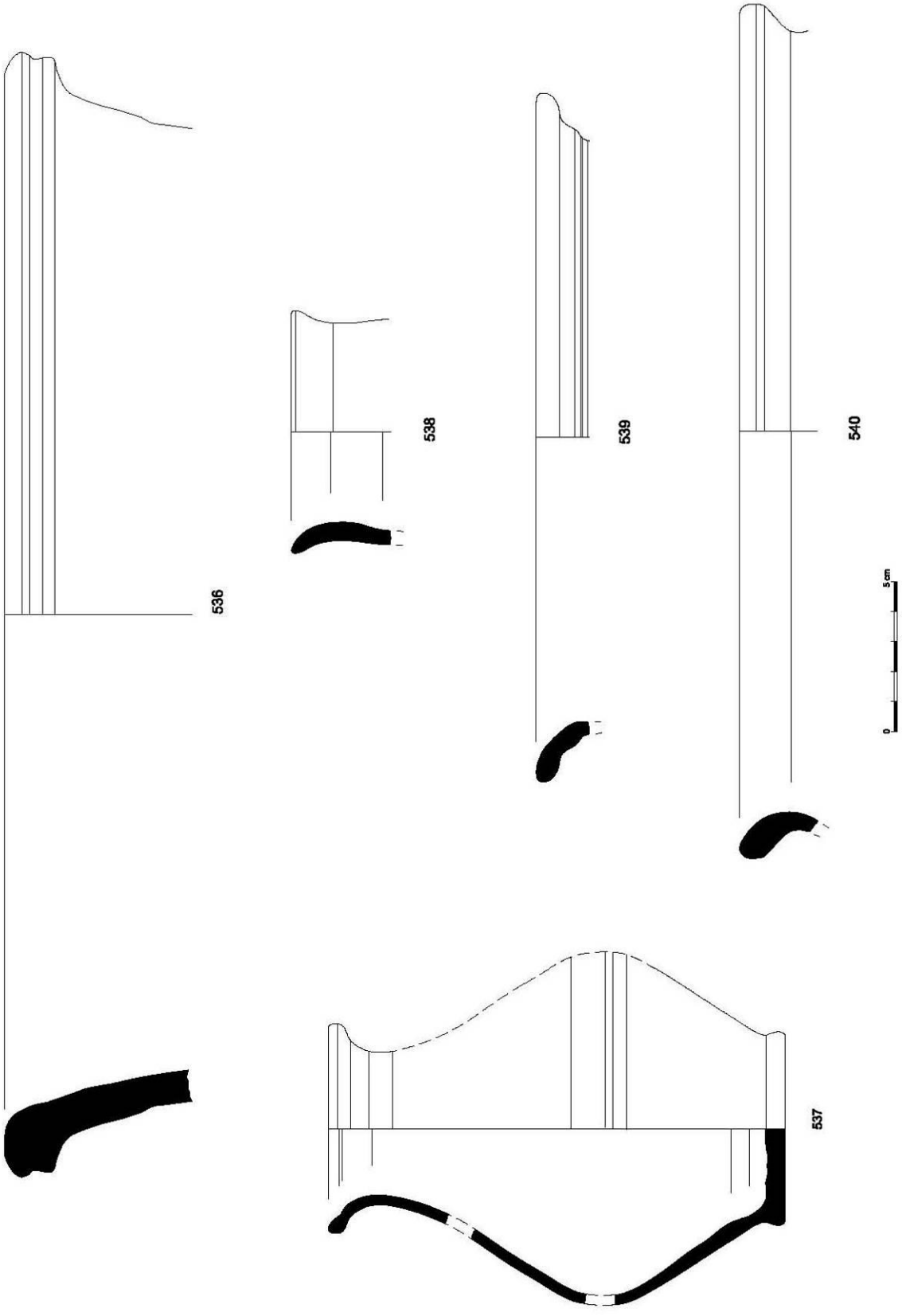
534



535



Cerámica común romana. Olla de borde oblicuo cóncavo



Cerámica común romana. Tipo OV (536). Tipo V2A (537). Tipo J1 (538). Piezas de atribución probable o indeterminada (539-540)

536. Fragmento de borde y cuerpo de recipiente abierto con borde exvasado, en cuya parte externa presenta una acanaladura horizontal y pared abierta tendente a la verticalidad. Pasta ocre micácea fina del grupo 6 con tonalidad pardo muy pálido (L 70). Presenta ambas superficies alisadas. Diámetro: 36 cm. Dimensiones: 6,2x6,8x1,8 cm. Sigla: RC-4-08/162/26. UE: 162.

4.6.1.2.2.5. Tipo V2A. Vaso de cuerpo sinuoso, monoansado, espatulado o pintado

Se definen estos vasos por la presencia de un borde exvasado no diferenciado, labio redondeado, hombro invasado, arqueado y muy amplio, cuerpo sinuoso, asa única de perfil acodado y sección aplanada u oval sin rehundimiento longitudinal y base resaltada. Han sido diferenciadas tres variantes atendiendo al grupo de pasta en el que hayan sido elaborados, así como por su decoración. El Tipo V2, fabricado en pastas del grupo 4, presenta espatulado, el Tipo V2A bandas pigmentadas y el Tipo V2B aparece totalmente recubierto de engobe rojizo, liso o espatulado. Estas dos últimas variantes se fabrican con pastas del grupo 6.

La forma presenta un cuidado tratamiento externo, apareciendo su superficie afinada, con calidad variable atendiendo a la variante. El diámetro máximo de borde varía entre los 7 y 8 cm. Se trata de un vaso destinado al uso individual, fechado entre mediados del siglo II d.C. y los momentos finales de la IV centuria e iniciales de la V (ALCORTA IRASTORZA, 2001: 265-270).

537. Ciento trece fragmentos que conforman el perfil completo de un vaso de cuerpo sinuoso monoansado V2 con acanaladuras paralelas externas y una interna. El ejemplar recogido presenta una fina factura con pasta blanquecina, manifestando posiblemente una procedencia bracarense. Pese a su excesiva fragmentación, la pieza se conserva prácticamente completa Presenta un diámetro de borde 7,2 cm y de 6,7 cm de base. Sigla: RC-4-08/89/32. UE: 89.

4.6.1.2.2.6. Tipo J1. Jarra monoansada de cuerpo sinuoso, con decoración combinada

Se corresponde esta forma con una jarra de borde engrosado exvasado escasamente diferenciado, amplia embocadura, asa de perfil acodado y sección aplanada sin rehundimiento longitudinal, cuerpo sinuoso y pie realzado. Se han establecido dos variantes en base al grupo de pasta de fabricación y repertorio decorativo. El Tipo J1, mayoritario, se realiza mediante barros ocres ornados con espatulados y/o bandas pintadas. El Tipo J1A se

elabora en pastas del grupo 4 siendo decorado con espatulados. El diámetro medio de apertura de borde oscila entre los 8 y 10 cm. Los exteriores son afinados, homogéneos y semibrillantes. Esta jarra estaría destinada al servicio de mesa (ALCORTA IRASTORZA, 2001: 279-280).

538. Dos fragmentos de borde y cuerpo de jarra monoansada de cuerpo sinuoso J1, fabricada en pasta del grupo 5. Presenta un diámetro de borde de 8 cm. Sigla: RC-4-08/13/95. UE: 13.

4.6.1.2.2.7. Piezas de atribución probable o indeterminada

Se ha recogido un ejemplar que posiblemente podría corresponderse con el Tipo O1 (ALCORTA IRASTORZA, 2001: 196).

Asimismo se ha documentado un ejemplar que posiblemente pertenezca al Tipo O2, Olla globular de borde curvo no decorada. Esta forma se caracteriza por poseer un borde curvo, exvasado, de labios redondeados y reducido desarrollo, cuerpo globular, sin asas y base plana. Alcanza una apertura de borde media que ronda los 15-22 cm y suele estar realizada en pastas de los grupos 1 y 3, adoptando una textura grosera, arenosa y frágil. Debido a lo señalado y al hecho de que estas ollas estén asociadas a labores de cocina, habitualmente presentan un exterior apenas tratado, con un somero alisado, careciendo de decoración (ALCORTA IRASTORZA, 2001: 197).

Fue recogido un ejemplar que podría corresponderse posiblemente con el Tipo O3, Olla de perfil sinuoso y borde aconcavado monoansada no decorada. Esta forma muestra un borde oblicuo exvasado, con un sutil rehundimiento, un hombro arqueado invasado, cuerpo sinuoso, un asa de sección aplanada con rehundimiento longitudinal que arranca desde el borde y base plana. Han sido diferenciadas dos variantes atendiendo al módulo y decoración. La variante O3 presenta un diámetro máximo de apertura de borde de entre 12 y 14 cm y no posee decoración y la variante O3A un diámetro de borde que ronda los 10 cm y suele estar espatulada. Las pastas se corresponden con las del grupo 3, mostrando una superficie externa rugosa, someramente afinada (ALCORTA IRASTORZA, 2001: 199).

Fue documentada una pieza que podría corresponderse con un Tipo O5, Olla globular de borde vuelto con acanaladuras. Se distingue por presentar borde exvasado curvo, cuerpo globular, base plana, careciendo de asas. Alcanza unas dimensiones máximas de apertura de borde de 17-25 cm y suele estar realizada en pastas del grupo 1 o 3, presentando un aspecto arenoso y un exterior ligeramente afinado sobre el que destacan pequeñas estrías

perimetrales. Se trata de una olla de cocina que presenta como única decoración algunas acanaladuras aisladas. Responde a una cronología que abarca los momentos finales del siglo III y mediados del V d.C. (ALCORTA IRASTORZA, 2001: 202-204).

Otro fragmento recogido podría corresponde al Tipo O15, Olla globular de borde horizontal aconcavado espatulada. Se caracteriza esta olla por presentar un borde horizontal deprimido, desconociéndose el desarrollo restante de su perfil, que alcanza una apertura de borde de entre los 25 y 30 cm. Se fabrica en pasta del grupo 4, fina, depurada y compacta, características que le confieren una gran dureza. Presenta una superficie exterior sobre la que se aplica un cuidado afinado y un sencillo repertorio decorativo a base de acanaladuras que enmarcan espatulados. La función para la que estaría destinada esta forma es el almacenaje o incluso el simple adorno, encuadrándose en el periodo altoimperial tardío, es decir, desde las décadas centrales finales del siglo III d.C. hasta mediados de la IV centuria (ALCORTA IRASTORZA, 2001: 233-234).

Fue localizado un ejemplar que podría corresponder al Tipo O24, Ollita globular de borde vuelto espatulada. Formalmente esta forma se define por un borde oblicuo exvasado, de escaso desarrollo, curvo o raramente horizontal y cuerpo globular, desconociéndose el perfil restante. Responde a una apertura de borde media que oscila entre los 12 y 15 cm y está fundamentalmente realizada en pastas del grupo 4 y en ocasiones del 2. Suele presentar un exterior afinado, sobre el que se ejecuta un espatulado vertical u oblicuo o una retícula bruñida y alguna acanaladura. No es posible atribuirle a esta forma una funcionalidad concreta, pudiendo dedicarse al almacenaje, al servicio de mesa o sencillamente tratarse de un objeto de adorno. Desde el punto de vista cronológico se enmarca entre los siglos II y IV d.C. (ALCORTA IRASTORZA, 2001: 250-252).

Fueron recogidos tres ejemplares posiblemente pertenecientes al Tipo V1, Vaso carenado de borde exvasado monoansado espatulado. Esta forma se define por presentar borde exvasado, oblicuo u horizontal, cuerpo carenado que presenta bajo el borde, un tramo de pared prácticamente vertical, un asa acodada de sección aplanada y rehundimiento longitudinal y una base resaltada. Se han establecido tres variantes. La variante V1 presenta una apertura máxima de borde de entre los 15 y 20 cm, la variante V1A reduce sus diámetros de borde hasta los 10/12 cm y la variante V1B, minoritaria presenta perfil más ondulante, siendo más tardía. Generalmente son realizadas en barros de los grupos 2 y 4 presentando unas superficies externas cuidadosamente afinadas y decoradas con combinaciones de espatulados. Este recipiente está destinado al servicio de mesa, siendo de uso colectivo en la variante V1 e individual las otras dos restantes. Desde el punto de vista cronológico las formas V1 y V1A son propias del periodo altoimperial, siendo la V1B

bajoimperial (ALCORTA IRASTORZA, 2001: 260-264).

Existe un ejemplar posiblemente perteneciente al Tipo V2, Vaso de cuerpo sinuoso monoansado espatulado o pintado. Consta de borde exvasado, no diferenciado del desarrollo del perfil, labio redondeado, cuerpo ondulante, asa acodada de sección aplanada u oval y base resaltada. Han sido establecidas dos variantes de esta forma en función del tipo de pasta y decoración. La mayoritaria, V2, se realiza en barros del grupo 4 que suelen estar espatulados. La V2A está elaborada en pastas del número 6 y muestra bandas pintadas. Existe una tercera variante, la V2B, en la que se encuadran aquellos vasos recubiertos de engobe, ya sean lisos o bien espatulados. Se trata de unos vasos de uso individual que responden a una datación centrada entre mediados del siglo II d.C. y finales de la IV o inicios de la V centuria (ALCORTA IRASTORZA, 2001: 265-270).

Entre las piezas indeterminadas se registra un ejemplar de posible Tipo J1A, Jarra de cuerpo sinuoso monoansada con decoración combinada. Es esta una forma de borde engrosado exvasado, escasamente diferenciado, amplia embocadura, cuerpo sinuoso, asa de perfil acodado y sección aplanada que arranca desde el borde y base realzada. Se han diferenciado dos variantes atendiendo al grupo de pasta y el repertorio decorativo que muestran. De este modo la J1, mayoritaria, se elabora en barros del tipo 6 y suelen estar espatulados y pintados. La J1A se realiza en barros del grupo 4 y se decoran con espatulados. Ambas variantes presentan una superficie externa cuidada, afinada y semibrillante. Son jarras destinadas al servicio de mesa que se extienden desde mediados del siglo II d.C. hasta mediados de la cuarta centuria (ALCORTA IRASTORZA, 2001: 279-282).

Fue documentado un ejemplar de posible Tipo J2, Jarra de pico trilobulado abierto monoansada. Se denomina de esta manera a un dispar conjunto de jarras de variadas características formales, dimensiones, pastas y tratamientos decorativos, pero que presentan como punto común unas bocas con pico trilobulado abierto. Aquellas piezas realizadas en pastas groseras muestran un exterior rugoso pero uniforme sobre el que se aplica una decoración espatulada. Las realizadas en barros finos, ocres, presentan un cuidado afinado donde también se ejecuta un espatulado. Dadas las características heterogéneas de las piezas, estas pueden responder a funciones de almacenaje, servicio de cocina o mesa. Son datadas a grandes rasgos entre los siglos II y IV d.C. (ALCORTA IRASTORZA, 2001: 282-284).

Se confirma la presencia un ejemplar posiblemente perteneciente al Tipo C1, Cuenco carenado de borde horizontal. Esta forma se caracteriza por presentar un borde horizontal,

cuerpo carenado con amplio tramo basal, una o dos asas de perfil redondeado y sección oval y base plana. Presenta una apertura de borde máximo de entre los 16 y 25 cm y se fabrica en pastas del grupo 3 y 4, salvo algún ejemplar realizado en el 6. La superficie externa muestra un somero afinado, sobre el que se aplica en ocasiones una fina aguada rojiza. Desde el punto de vista decorativo, se ejecutan acanaladuras marcando la carena y excepcionalmente, se acompañan de incisiones ondulantes. Posiblemente esta forma sería reservada al servicio auxiliar de cocina, al tiempo que aquellos ejemplares más finos podrían ser empleados como recipientes de mesa de uso colectivo. Se encuadran entre la primera mitad del siglo II d.C. y la III centuria (ALCORTA IRASTORZA, 2001: 327-329).

Se documentó un ejemplar de posible Tipo C3, cuenco semiesférico de borde engrosado. Formalmente define este cuenco un borde engrosado invasado, cuerpo semiesférico y una base resaltada. Presenta un diámetro medio de borde que ronda los 20y 30 cm y está realizado en pastas del grupo 6, finas y depuradas, que propician una superficie externa cuidadosamente afinada y semibrillante. Desde el punto de vista decorativo, algunos ejemplares muestran ciertas bandas internas pintadas. Así pues, se trata de una pieza que forma parte del servicio de mesa y que responde a una cronología de mediados o finales del siglo III en adelante (ALCORTA IRASTORZA, 2001: 333-334).

Un ejemplar podría haber pertenecido al Tipo F2, Fuente carenada de labio engrosado. Se define desde el punto de vista formal por poseer borde redondeado, ocasionalmente engrosado y vuelto indistintamente hacia el interior o exterior, de cuerpo semiesférico ligeramente carenado y base plana. Presenta una apertura de borde que oscila entre los 25 y 35 cm y unas pastas pertenecientes al grupo 2 o 4, pastas depuradas, de exterior cuidadosamente afinado y semibrillante, aunque carentes de decoración. En relación a la función a la que estaría destinada esta forma, existe cierta diversidad de posibilidades. Podría tratarse de un recipiente auxiliar del servicio de cocina o perteneciente al servicio de mesa pero de uso colectivo. La cronología que se le atribuye es altoimperial de los siglos II-III (ALCORTA IRASTORZA, 2001: 342).

Se presenta un ejemplar de posible Tipo EP4, Fuente engobada de borde horizontal. Es esta una forma de perfil sencillo, definido por un borde horizontal liso, pared oblicua escasamente desarrollada y base plana. El diámetro máximo de apertura de borde ronda los 20 y 30 cm. Únicamente se realiza en pastas del grupo 6, depuradas y finas, que muestra la superficie externa afinada y la interna y parte superior del borde recubiertos por un engobe rojizo, careciendo de decoración. Se trata de una forma que correspondiente a la vajilla de mesa, encuadrada en el periodo altoimperial avanzado y bajoimperial -mediados del siglo II d.C. y la V centuria- (ALCORTA IRASTORZA, 2001: 350).

Aparte del material descrito, vinculable a las formas identificadas por el Dr. Alcorta en Lugo, se documentan una serie de ejemplares que responden a ciertas características formales y aspectos técnicos comunes, cuyo diseño no se adapta totalmente al de los tipos de cerámica común lucenses. Existen ciertas similitudes formales y técnicas entre este las piezas integrantes de este conjunto cerámico y el repertorio formal de la cerámica común romana tardía de *Tarraco* clasificada por J. M. Macías Solé (MACÍAS SOLÉ, 1999), cronológicamente encuadrada en el periodo tardorromano.

En este conjunto predominan las facturas toscas, con paredes irregulares carentes de marcas de torno, junto a perfiles que describen líneas sencillas, elementales, propias de piezas realizadas sin grandes dificultades técnicas.

Desde el punto de vista formal proliferan los bordes horizontales de labio anguloso que apenas se diferencian del cuerpo. En ocasiones los labios se engrosan conformando una sección triangular, generalmente invasada, aunque se documentan piezas exvasadas, entre estas últimas destaca la pieza RC-4-08/13/182, identificada como una “cassola alta”, cazuela de cuerpo troncocónico y borde escasamente diferenciado. Se corresponde con una forma de borde vertical, ligeramente engrosado y exvasado, apenas diferenciado, labio redondeado y cuerpo troncocónico. Se realiza en distintas variedades de pasta. La superficie externa puede recibir algún tratamiento, espatulado o bruñido o bien adoptar un aspecto arenoso, estando destinada a labores de cocina. Destaca la abundante presencia de impresiones digitales, factor que podría sugerir un modelado a mano. Se le atribuye una datación genérica que abarcaría los siglos V y VII d.C. (MACÍAS SOLÉ, 1999: 62).

Existe una gran variabilidad en relación a las aperturas de los bordes, pues oscilan entre los 10 y los 34 cm. En su mayoría pertenecen a formas abiertas de cierto diámetro, posibles cuencos, fuentes, platos o “tarteras”, a las que se sumarían escasos vasos o incluso jarras.

Los cuerpos regiestrados son semiesféricos o troncocónicos, propios de formas abiertas. Se ha documentado la existencia de asas de sección aplanada rematadas en bordes horizontales, algunas de ellas internas, arrancando desde el borde, vertical u horizontalmente.

Todas las piezas han sido elaboradas en pastas de tonalidades grisáceas-blanquecinas groseras, con una elevada presencia de partículas micáceas, poco compactas, que les confieren escasa dureza y cierta fragilidad. Apenas existe tratamiento externo, únicamente un sutil alisado. Abundan las piezas que conservan restos de manchas negruzcas, fruto de una directa exposición al fuego.

Únicamente se han documentado un ejemplar decorado, la pieza RC-4-08/12/92, que presenta una serie de incisiones oblicuas en la parte superior del borde.

Se han documentado varias piezas perforadas. Aquellas que presentan perforación postcocción probablemente sean fruto de un enlañado. Más difícil de precisar es la funcionalidad de varios ejemplares que presentan perforación realizada antes de la cocción, en la parte central de la base.

Desde el punto de vista decorativo destaca un fragmento de base realizada en el grupo de pasta número 4, que presenta una llamativa decoración estampillada en la superficie interna. Se documentó un cuerpo elaborado en pasta del grupo 6, recubierto de engobe rojizo sobre el que se ejecuta una retícula bruñida. Asimismo fue recuperado un fragmento de cuerpo con pasta del tipo 4 que presenta un cordón de sección rectangular inciso acompañado de una retícula bruñida.

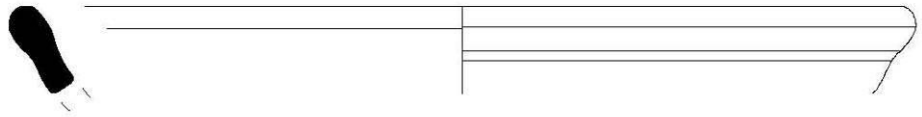
539. Borde y cuerpo de posible Olla globular de borde oblicuo exvasado no decorada, Tipo O1. Presenta engobe aplicado sobre ambas superficies, fabricándose en atmósfera reductora, con pasta del grupo 3. El diámetro del borde es de 23 cm. Sigla: RC-4-08/13/192. UE: 13.

540. Fragmento de borde y cuerpo de posible Olla globular de borde curvo no decorada, Tipo O2, con pasta blanquecina vinculable al grupo 5. El borde presenta un diámetro de 28,4 cm. Sigla: RC-4-08/13/62. UE: 13.

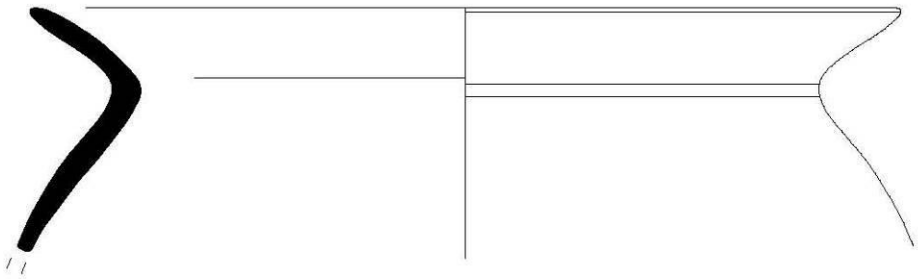
541. Fragmento de borde, cuerpo y arranque de asa de posible Tipo O3, Olla de perfil sinuoso y borde aconcavado monoansada no decorada, fabricada en pasta del grupo 4. Presenta un diámetro de 17,2 cm. Sigla: RC-4-08/13/145. UE: 13.

542. Fragmento de borde y cuerpo de posible Tipo O5, Olla globular de borde vuelto con acanaladuras. La pasta se corresponde con la del grupo 4. Presenta un diámetro de borde de 16,2 cm. Sigla: RC-4-08/13/267. UE: 13.

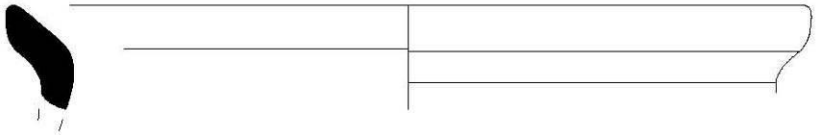
543. Fragmento de borde y cuerpo de posible O15, Olla globular de borde horizontal aconcavado espatulada, realizada con pastas del grupo 3. El borde presenta un diámetro de 14 cm. Sigla: RC-4-08/105/12. UE: 105.



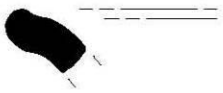
542



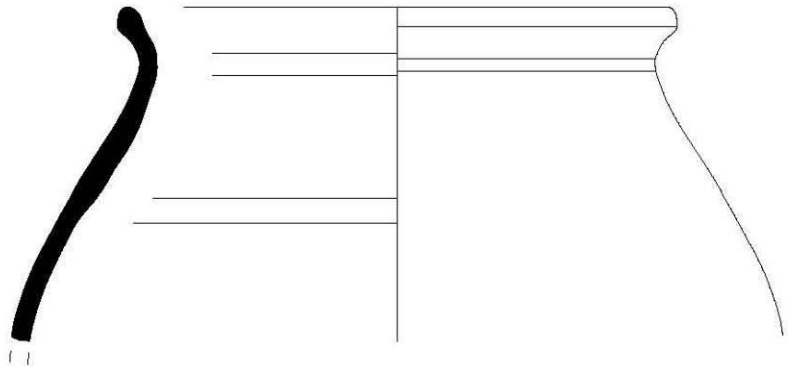
544



546



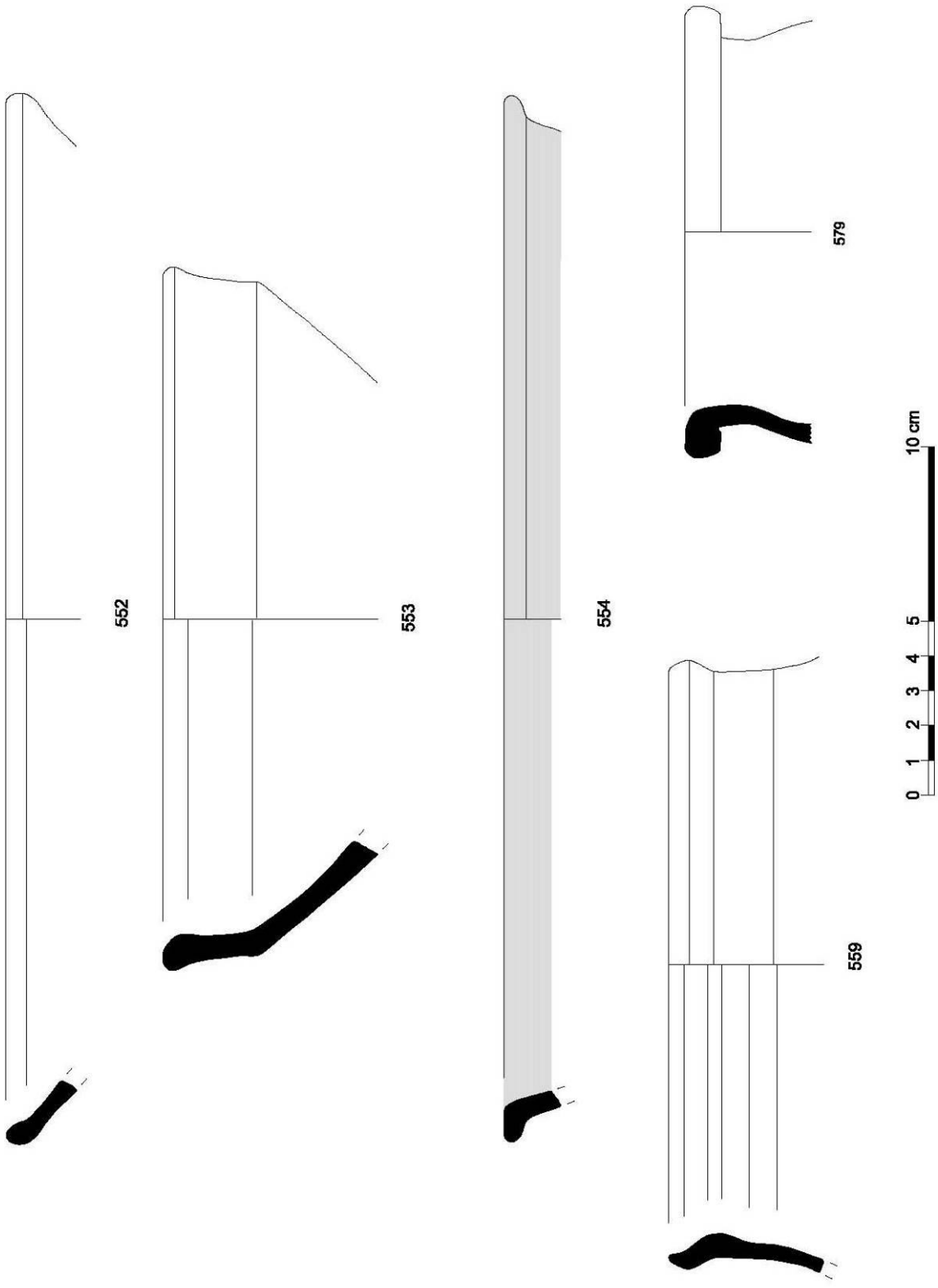
547



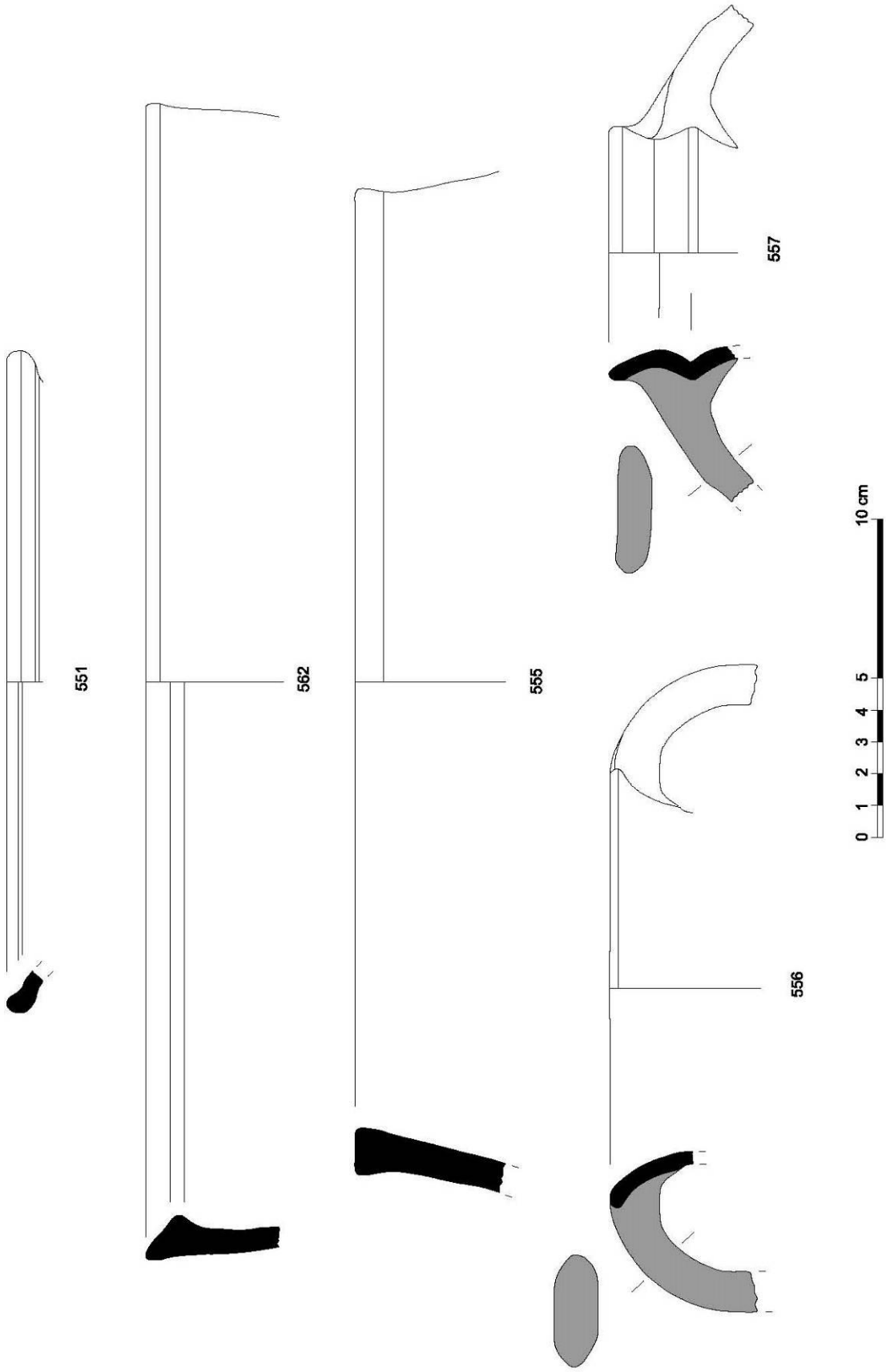
548



Cerámica común romana. Piezas de atribución probable o indeterminada



Cerámica común romana. Piezas de atribución probable o indeterminada



Cerámica común romana. Piezas de atribución probable o indeterminada

544. Diez fragmentos muy rodados de borde y cuerpo de posible Ollita globular de borde vuelto espatulada, Tipo O24. Presenta pasta del grupo 3 y un diámetro de borde de 15,4 cm. Sigla: RC-4-08/89/20. UE: 89.

545. Fragmento de borde y cuerpo de posible Tipo V1, Vaso carenado de borde exvasado monoansado espatulado, fabricado en pasta del grupo 3 en atmósfera reductora. Conserva engobe aplicado sobre ambas superficies. Sigla: RC-4-08/182/7. UE: 182.

546. Fragmento de borde y cuerpo de posible Tipo V1A, Vaso carenado de borde exvasado monoansado espatulado, fabricado en pasta del grupo 4. Presenta un diámetro de borde de 14,4 cm. Sigla: RC-4-08/13/125. UE: 13.

547. Fragmento de borde y cuerpo de posible Tipo V1B, Vaso carenado de borde exvasado monoansado espatulado, fabricado en pasta del grupo 4. Presenta un diámetro de borde de 7 cm. Sigla: RC-4-08/13/124. UE: 13.

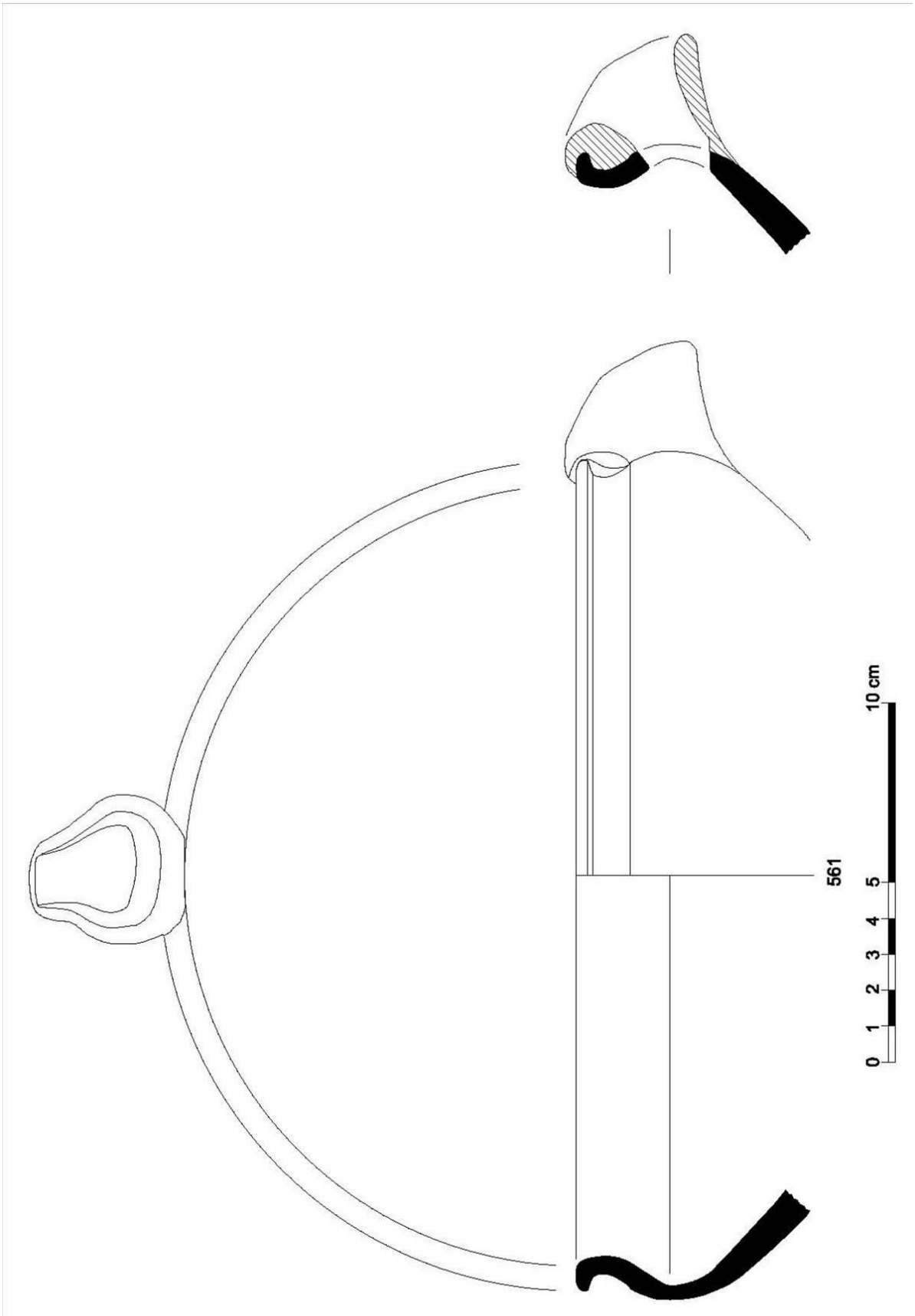
548. Tres fragmentos de borde y cuerpo de posible Tipo V2, Vaso de cuerpo sinuoso monoansado espatulado o pintado. Presenta pasta del grupo 4, alisado y diámetro de borde de 10 cm. 4. Sigla: RC-4-08/176/35. UE: 176.

549. Fragmento de borde y cuerpo muy rodado.de posible Tipo J1A, Jarra de cuerpo sinuoso monoansada con decoración combinada. La pasta se encuadra en el grupo 4. Sigla: RC-4-08/105/13. UE: 105.

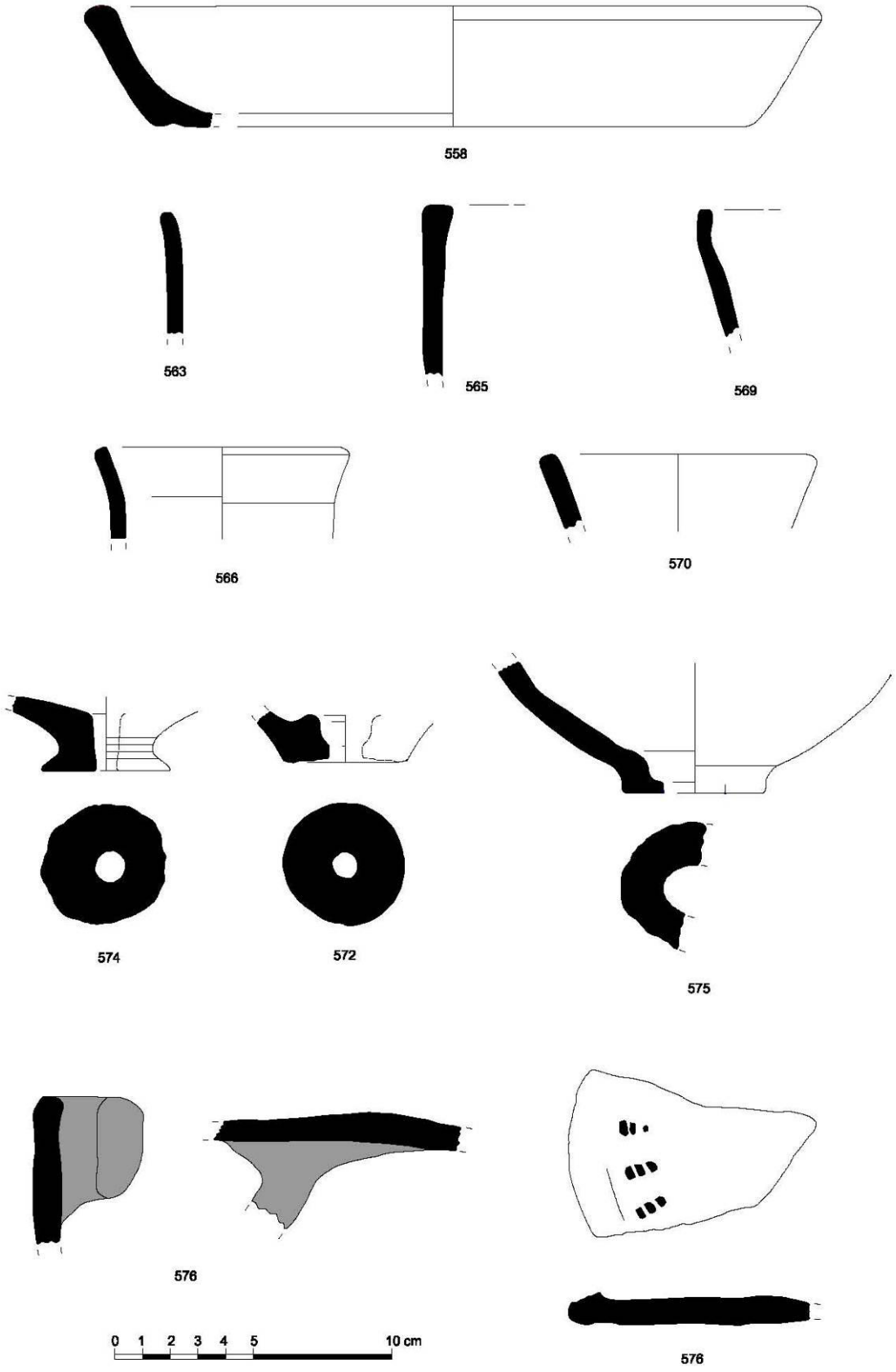
550. Fragmento de borde y cuerpo de posible Tipo J2, Jarra de pico trilobulado abierto monoansada, fabricado en pasta del grupo 4. Presenta peinado vertical bajo el borde. Sigla: RC-4-08/126/8. UE: 126.

551. Fragmento de borde y cuerpo de posible Tipo C1, Cuenco carenado de borde horizontal, fabricado en pastas del grupo 5. Presenta un diámetro de borde de 20,6 cm. Sigla: RC-4-08/10/14. UE: 10.

552. Fragmento de borde y cuerpo de posible Tipo C3, cuenco semiesférico de borde engrosado, realizado en pasta del grupo 5. Presenta un diámetro de borde de 30 cm. Sigla: RC-4-08/13/57. UE: 13.



Cerámica común romana. Cuenco con pico vertedor



Cerámica común romana. Piezas de atribución probable o indeterminada

553. Fragmento de borde y cuerpo de posible Tipo F2, Fuente carenada de labio engrosado,

realizada con pastas del grupo 5. Presenta un diámetro de borde de 20 cm. Sigla: RC-4-08/176/72. UE: 176.

554. Fragmento de borde y cuerpo de posible Tipo EP4, Fuente engobada de borde horizontal, fabricada en pasta del grupo 6, con engobe rojizo aplicado sobre ambas superficies. Sigla: RC-4-08/12/79. UE: 12.

555. Fragmento muy rodado de borde y cuerpo de posible "cassola alta" fabricada en pasta blanquecina del grupo 5. Presenta un diámetro de 31 cm. Sigla: RC-4-08/13/182. UE: 13.

556. Fragmento de borde y asa de sección aplanada, de jarra fabricada en pasta del grupo 4, con el exterior alisado. Presenta un diámetro de 13 cm. Sigla: RC-4-08/207/14. UE: 207.

557. Fragmento de borde y asa de sección aplanada de jarra, fabricada en pasta del grupo 3. Presenta un diámetro de 8 cm. RC-4-08/176/62. UE: 176.

558. Dos fragmentos de borde, cuerpo y base de plato fabricado en pasta del grupo 4, con acanaladura anular en la base. Presenta un diámetro de 26,6 cm. Sigla: RC-4-08/176/69. UE: 176.

559. Fragmento de borde y cuerpo de olla, fabricada en pasta del grupo 4. Presenta alisado y 17,4 cm de diámetro. Sigla: RC-4-08/176/55. UE: 176.

560. Fragmento de borde y arranque de asa de posible jarra engobada, realizada en pasta del grupo 6 con engobe rojizo interno. Sigla: RC-4-08/12/75. UE: 12.

561. Dos fragmentos de borde y cuerpo de cuenco con pico vertedor realizado en pasta del grupo 4 con alisado como tratamiento externo, de 18,4 cm de diámetro de borde. Cronología tardorromana. Sigla: RC-4-08/126/4. UE: 126.

562. Borde y cuerpo de posible fuente fabricada en pasta del grupo 4 con alisado como tratamiento externo, de 34,6 cm de diámetro. Sigla: RC-4-08/43/5. UE: 43.

563. Fragmento de borde y cuerpo de forma indeterminada. Aparece fabricada con pasta del grupo 3 en atmósfera reductora, con abundante presencia de partículas micáceas y engobe interno. Presenta incisiones oblicuas sobre la parte superior del borde, el cual muestra un diámetro de 16 cm. Sigla: RC-4-08/12/92. UE: 12.



561

564. Fragmento de cuerpo y arranque de asa vertical interna de sección ovalada y base de forma indeterminada, fabricada en pasta del grupo 3, con abundante presencia de partículas micáceas. Presenta un diámetro de 13,6 cm. 3. Las líneas de las paredes se muestran irregulares. Sigla: RC-4-08/126/11. UE: 126.

565. Fragmento muy rodado de borde y cuerpo de posible "cassola alta", fabricada en pasta muy blanquecina del grupo 5. Sigla: RC-4-08/13/184. UE: 13.

566. Fragmento de borde y cuerpo de forma indeterminada, fabricada en pasta del grupo 3. Presenta un diámetro de 9,4 cm. Sigla: RC-4-08/13/251. UE: 13.

567. Fragmento de borde, cuerpo y arranque de asa horizontal interna de sección aplanada de forma indeterminada, fabricada en pasta del grupo 5, con abundante presencia de partículas micáceas. Presenta un diámetro de 27,4 cm. Sigla: RC-4-08/176/124. UE: 176.

568. Fragmento de borde, cuerpo y arranque de asa horizontal interna de forma indeterminada, fabricada en pasta del grupo 3, con abundante presencia de partículas micáceas. Sigla: RC-4-08/176/155. UE: 176.

569. Fragmento de borde y cuerpo de forma indeterminada fabricada en pasta del grupo 3, con abundante presencia de partículas micáceas, con alisado externo. Presenta un diámetro de 19 cm. Sigla: RC-4-08/176/43. UE: 176.

570. Fragmento de borde y cuerpo de forma indeterminada fabricada en pasta del grupo 3, con abundante presencia de partículas micáceas. Presenta un diámetro de 10 cm. Sigla: RC-4-08/88/19. UE: 88.

571. Tres fragmentos de base y cuerpo olla fabricada en pasta blanquecina del grupo 5 con abundante presencia de partículas micáceas. Presenta un diámetro de 15,6 cm y perforación. RC-4-08/216/6. UE: 216.

572. Fragmento de base y cuerpo de forma indeterminada de 4,4 cm, con pasta rosada depurada. Presenta en la base una perforación central de 1 cm de diámetro, realizada tras la cocción de la misma. Sigla: RC-4-08/12/248. UE: 12.

573. Fragmento de base y cuerpo de forma indeterminada fabricada en pasta del grupo 3. La pieza presenta en la base una perforación central circular de 1,7 cm de diámetro, realizada previamente a la cocción. Sigla: RC-4-08/172/18. UE: 172.

574. Cuatro fragmentos de base y cuerpo de forma indeterminada, fabricada en pasta del grupo 3 de 4,6 cm de diámetro. La pieza presenta en la base una perforación central circular de 1,3 cm de diámetro, realizada previamente a la cocción de la misma. Sigla: RC-4-08/176/465. UE176.

575. Fragmento de cuerpo y base de pie de galleta de forma indeterminada fabricada en pasta del grupo 3 con alisado externo de 5,2 cm de diámetro. Muestra perforación realizada tras la cocción en la base de unos 2 cm de diámetro así como marcas de torno internas bastante profundas. Sigla: RC-4-08/176/71UE: 176.



Cerámica común romana. Piezas perforadas

576. Fragmento de cuerpo y base de forma indeterminada fabricada con pasta del grupo 4. Presenta decoración interna en la base compuesta por un motivo compuesto por tres rectángulos paralelos formando círculo concéntrico. Sigla: RC-4-08/176/101. UE: 176.

577. Fragmento de cuerpo de forma indeterminada fabricado en pasta del grupo 6. Presenta

engobe rojizo externo con retícula bruñida. Sigla: RC-4-08/79/1. UE: 79.

578. Fragmento de cuerpo de forma indeterminada fabricada en pasta del grupo 4. Presenta alisado, retícula bruñida, cordón horizontal de sección rectangular y serie de incisiones verticales. Sigla: RC-4-08/12/47UE: 12.

579. Fragmento de cuerpo de olla fabricada con pasta blanquecina grosera muy dura. Presenta alisado. Sigla: RC-4-08/13/65. UE: 13.



Cerámica común romana

4.6.1.3. CERÁMICA COMÚN ROMANA IMPORTADA

4.6.1.3.1. IMITACIÓN DE LA FORMA HAYES 3 DE TSFT

Se corresponde con una imitación de la forma Hayes 3 de la Terra Sigillata Focea Tardía. Ha sido realizada en una pasta semejante a la del grupo 6, ocre, fina, depurada, compacta y de corte laminar. La superficie externa de la pieza recogida muestra un detenido afinado, pero se encuentra algo erosionada, de tal modo que no conserva restos de engobe, aunque posiblemente cubriría su superficie inicialmente. El modelo original al que remite dicha pieza se caracteriza por presentar un borde vertical exvasado, un pie escasamente desarrollado y unas dimensiones medias de apertura de borde que oscilan entre los 10 y 39 cm. El periodo de mayor expansión de la Forma Hayes 3 se encuadra entre mediados del siglo V d.C. y mediados de la VI centuria.

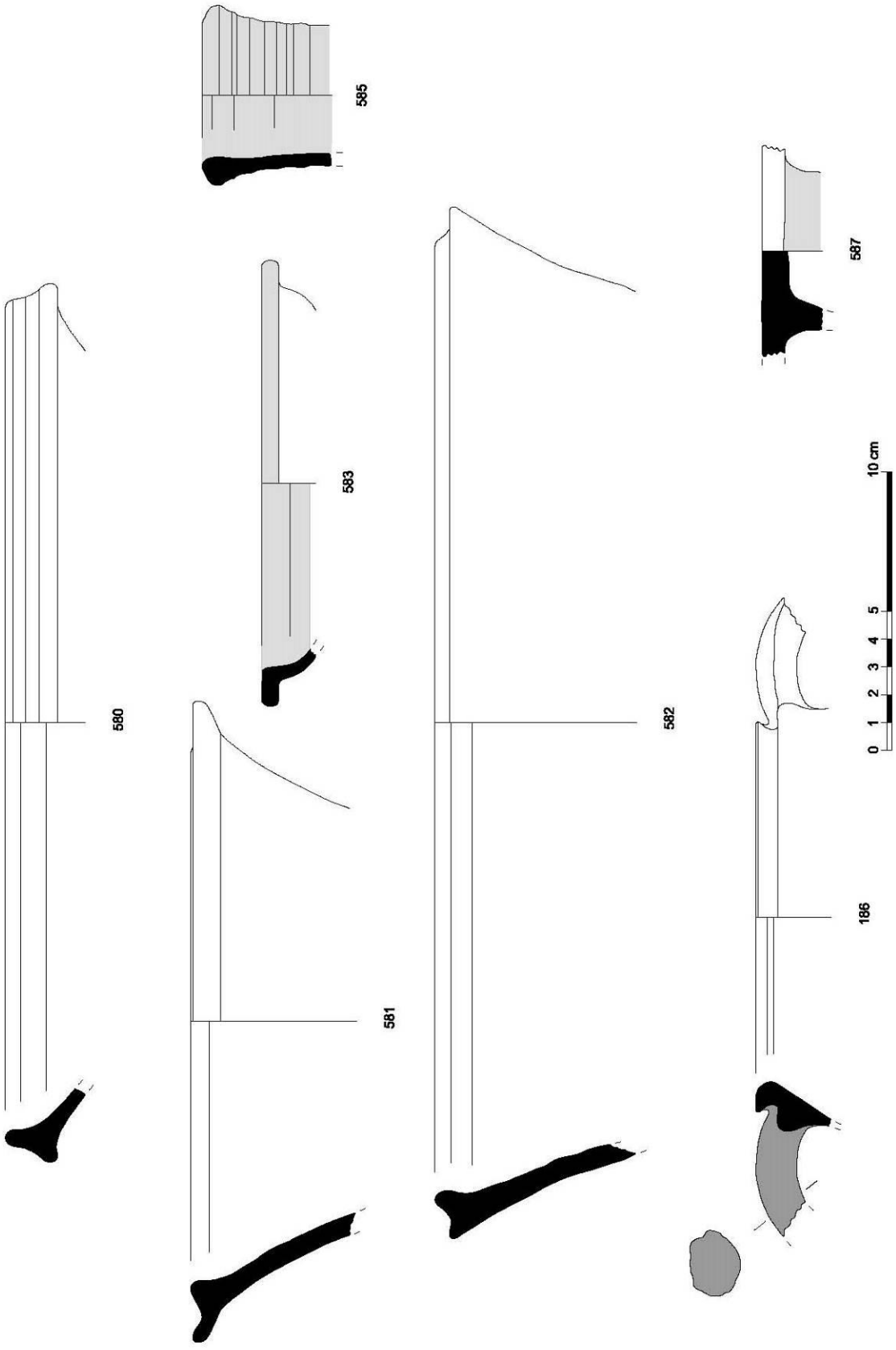
580. Fragmento de borde y cuerpo de imitación de la Forma 3 de Hayes de la producción TSFT. Presenta pasta del grupo 6. Es posible que la pieza fuera recubierta de engobe rojizo del que no se conservan restos. Diámetro de borde: 33 cm. Sigla: RC-4-08/176/70. UE: 176.



580

4.6.1.3.2. MORTERO DE BORDE INVASADO CON VISERA Y CUERPO SEMIESFÉRICO

Esta forma se define por poseer borde ligeramente invasado de labio redondeado, visera reducida, apenas formada por un apéndice, cuerpo semiesférico y base plana. Se fabrica en una gran variedad de pastas, autóctonas y foráneas. Presenta la superficie externa someramente alisada y marcas de torno en el cuerpo. Formaría parte del servicio auxiliar de cocina. Desde el punto de vista cronológico se encuadraría entre los siglos V y VI d.C. (MACÍAS SOLÉ, 1999: 116).



Cerámica común romana importada. Imitación de la Forma Hayes 3 de TSFT (580). Mortero de borde invasado con visera y cuerpo semiesférico (581-582). Piezas de atribución probable o indeterminada

581. Fragmento de borde y cuerpo de mortero de borde invasado con visera y cuerpo semiesférico. La pasta presenta tonalidad rosada siendo porosa. Diámetro de borde: 23 cm. Sigla: RC-4-08/12/187. UE: 12.

582. Fragmento de borde y cuerpo mortero de borde invasado con visera y cuerpo semiesférico, posiblemente procedente de la Bética. La pasta presenta tonalidad blanquecina siendo porosa. Se aprecian profundas marcas de torno internas. Diámetro de borde: 37 cm. Sigla: RC-4-08/13/574UE: 13.

4.6.1.3.3. PIEZAS DE ATRIBUCIÓN PROBABLE O INDETERMINADA

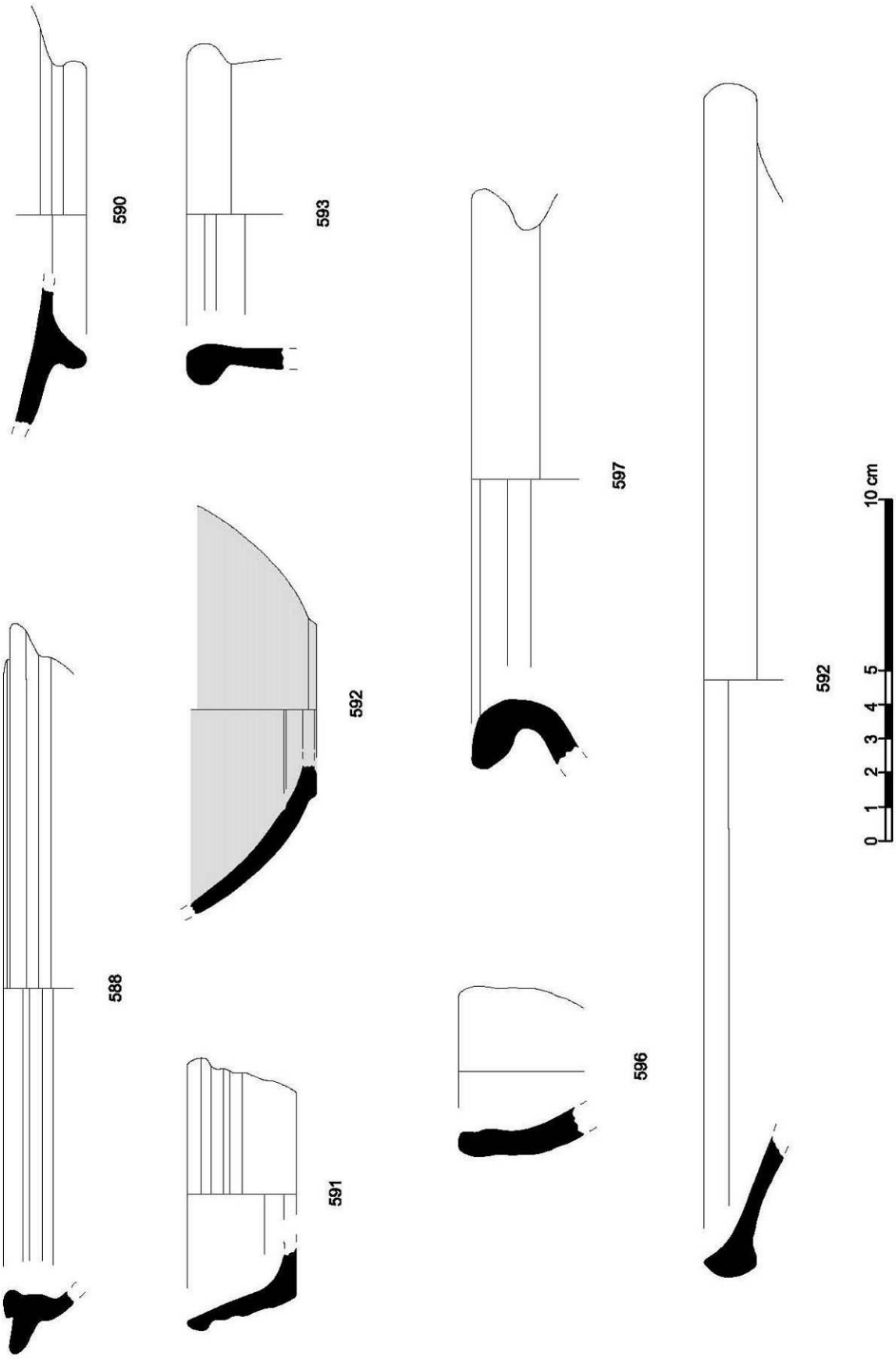
Se ha documentado un ejemplar posiblemente perteneciente a la Forma I35, imitación del cuenco forma 35 en TSH. Desde el punto de vista formal, esta forma apenas difiere del perfil propio de los originales a los que imita, únicamente en el hecho de presentar un borde que tiende a la horizontalidad y una base resaltada. Este cuenco presenta unas dimensiones de la apertura de borde muy dispares, abarcando desde los 12 a los 20 cm, pero está realizado en pastas del grupo 6, finas y depuradas, con superficie externa cuidadosamente afinada e interna recubierta por un engobe rojizo, a diferencia de los modelos originales en terra sigillata. No muestra decoración y se considera integrante del servicio de mesa, sin poder determinar si respondería a un uso individual o colectivo. A esta forma se le atribuye una cronología centrada en el siglo III d.C. (ALCORTA IRASTORZA, 2001: 370-372).

Asimismo, fueron localizadas piezas de atribución probable o indeterminada, del servicio de cocina y mesa.

583. Fragmento de borde y cuerpo de posible Forma I35. Presenta pasta rosada depurada y engobe rojizo aplicado sobre ambas superficies. Diámetro borde: 16 cm. Sigla: RC-4-08/13/295. UE: 13.

584. Fragmento rodado de asa de sección ovalada y cuerpo perteneciente a una olla. Presenta pasta rosada porosa de factura fina con partículas desgrasantes de tamaño medio. Sigla: RC-4-08/12/62. UE: 12.

585. Fragmento de borde y cuerpo de botella. Presenta pasta rosada depurada y aguada rojiza interna y sobre la parte superior del borde. Muestra profundas marcas de torno en la superficie externa. Diámetro de borde: 6,4 cm. Sigla: RC-4-08/176/160. UE: 176.



Cerámica común romana importada. Piezas de atribución probable o indeterminada

586. Fragmento rodado de borde, cuerpo y asa de jarra monoansada. El asa, ovalada, muestra rehundimientos longitudinales externos. Presenta pasta rosada porosa. Diámetro de borde: 14 cm. Sigla: RC-4-08/176/24. UE: 176

587. Fragmento de base con pie anular de posible cuenco imitación de algún tipo producido en cerámica fina de mesa. Presenta pasta similar a la del grupo 6 establecido para la cerámica común del noroeste peninsular y engobe rojizo interno en la base y externo en el pie. Diámetro de base: 5,6 cm. Sigla: RC-4-08/12/125. UE: 12.

588. Fragmento de borde y cuerpo de forma indeterminada, imitación de alguna forma fabricada en TSAD, posiblemente una Forma Hayes 91. Presenta pasta rosada depurada y engobe anaranjado aplicado sobre ambas superficies. La pieza presenta evidencias de haber sido sometida a la acción del fuego. Diámetro: 21,4 cm. Sigla: RC-4-08/176/164. UE: 176.

589. Tres fragmentos muy rodados de base de pie anular y cuerpo de forma indeterminada, posible imitación de terra sigillata. Presenta pasta anaranjada depurada y engobe anaranjado aplicado sobre ambas superficies. Muestra acanaladura circular interna e incisión externa marcando el pie anular. Sigla: RC-4-08/13/296. UE: 13.

590. Fragmento de cuerpo y base de pie anular y sección triangular de forma indeterminada, posible imitación de TSH. Presenta pasta rosada depurada conservando huellas de haber sido sometida a la acción del fuego. Diámetro de base: 9 cm. Sigla: RC-4-08/10/42. UE: 10.

591. Perfil completo de forma indeterminada. Presenta pasta rosada depurada y estriado horizontal externo. Contiene partículas desgrasantes de tamaño medio. Diámetro de borde: 8 cm. Diámetro de base: 6 cm. Sigla: RC-4-08/167/14. UE: 167.

592. Fragmento de base de pie de galleta y cuerpo de forma indeterminada. Presenta pasta de gran dureza anaranjada depurada y engobe blanquecino fino. Muestra acanaladuras en ambas caras de la base. Diámetro de base: 5 cm. Sigla: RC-4-08/176/74. UE: 176.

593. Fragmento muy rodado de borde y cuerpo de forma indeterminada posiblemente procedente del norte de África. Presenta pasta beige depurada. Diámetro de borde: 10 cm. Sigla: RC-4-08/176/448. UE: 176.

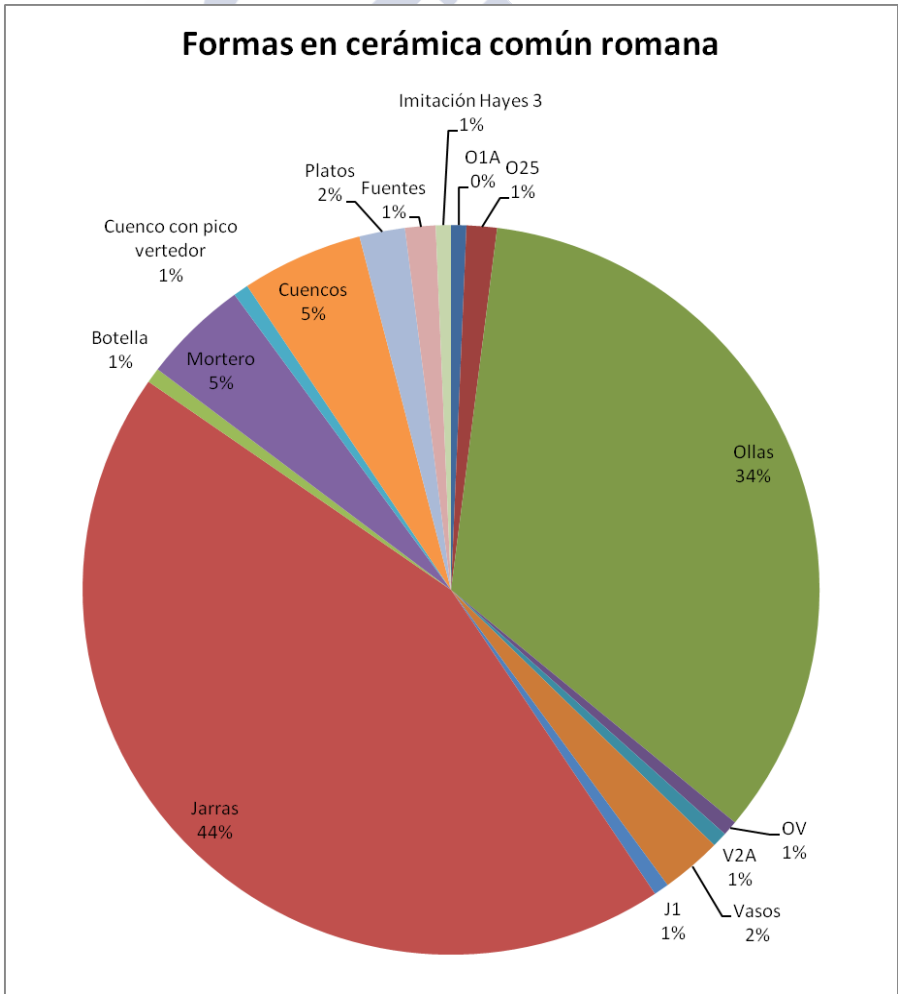
594. Fragmento de borde y asa de sección ovalada de forma indeterminada posiblemente procedente de la Bética. Presenta pasta blanquecina porosa. Sigla: RC-4-08/67/62. UE: 67.

595. Fragmento muy rodado de borde y cuerpo de forma indeterminada. Presenta pasta rosada depurada. Diámetro borde: 35 cm. Sigla: RC-4-08/13/142. UE: 13.

596. Fragmento de borde y cuerpo de forma indeterminada. Presenta pasta blanquecina de características semejantes a las establecidas para el grupo 6 de la cerámica común romana del noroeste peninsular. Diámetro: 5 cm. Sigla: RC-4-08/13/96. UE: 13.

597. Fragmento de borde y cuerpo de forma indeterminada. Presenta pasta beige depurada con partículas no plásticas de tamaño medio. Diámetro: 17 cm. Sigla: RC-4-08/197/11. UE: 197.

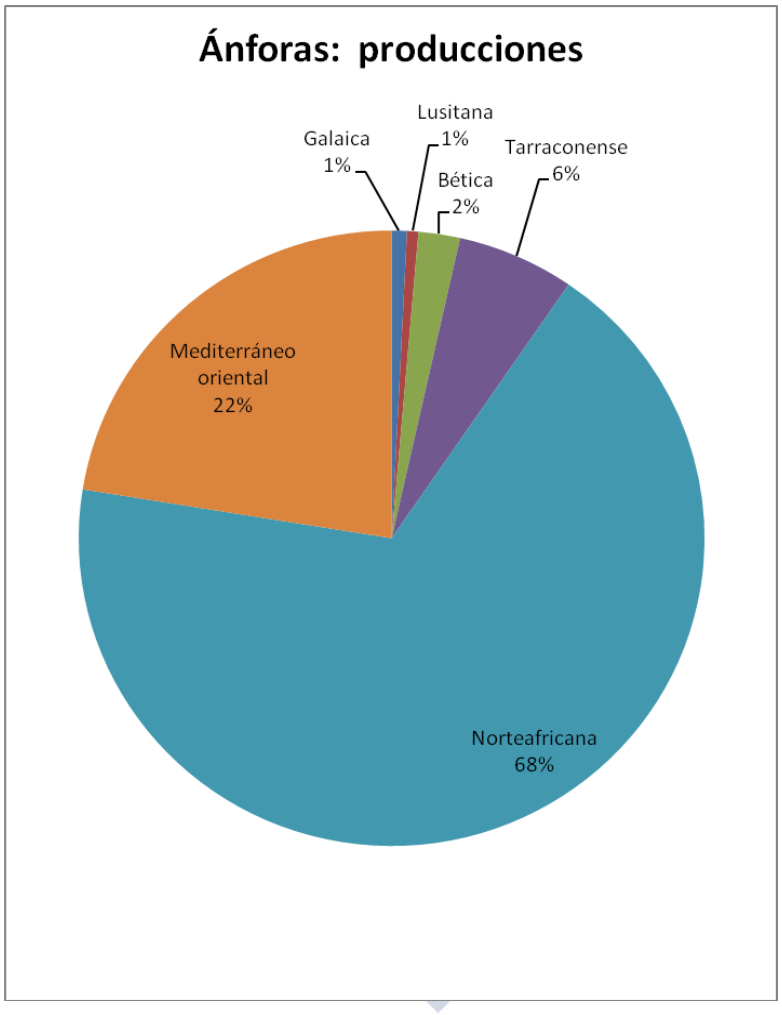
598. Fragmento de cuerpo y arranque de asa de sección ovalada de forma indeterminada, posiblemente procedente del Mediterráneo oriental. Presenta pasta rosada porosa y estriado horizontal externo. Sigla: RC-4-08/13/637. UE. 13.



Representatividad tipológica en cerámica común romana

4.6.2. CERÁMICA DE ALMACENAJE Y TRANSPORTE[37]

El ánfora es una especie cerámica destinada al transporte de alimentos (aceite, vino y salazones), convirtiéndose en una de las fuentes de información destacadas del ámbito económico y comercial bajo el período romano.



Representatividad de producciones anfóricas

Fue recogido un amplio número de fragmentos pertenecientes a diversas producciones de ánforas sobre el total de los materiales recuperados. Han sido identificados restos de piezas de origen bético -de presencia minoritaria-, definidas por unas pastas muy porosas y blanquecinas, ejemplares provenientes del norte de África, cuyas pastas presentan una tonalidad rojiza, así como otras procedentes del Mediterráneo oriental -más abundantes-, reconocibles a través de su acabado externo estriado.

[37] Agradecemos a Cèsar Carreras Monfort (Universitat Oberta de Catalunya), Rui Moraes (Universidade de Minho) y Rafael Rodríguez Martínez (Diputación de Pontevedra), sus consideraciones sobre el material aquí estudiado.

4.6.2.1. PRODUCCIONES PENINSULARES ALTOIMPERIALES

4.6.2.1.1. HALTERN 70

Tipo originario de la bética destinado a transporte de vino, en circulación entre finales del siglo I a.C. e inicios del siglo I d.C. (SCIALLANO; SIBELLA, 1994: 51). Se corresponde con un contenedor de cuerpo ovoide, con una altura de entre 65 y 70 cm. El borde es corto y vertical, levemente convexo y en ocasiones ligeramente vuelto hacia fuera, acabado en un cuello corto. Las asas son cortas de sección oval, con surco central. El pivote es semihueco presentando una altura media de 5 cm. Los últimos trabajos realizados sobre esta forma señalan una serie de precisiones evolutivas, pudiéndose resumir en que las piezas de la segunda mitad del siglo I a.C. tendrían la parte superior del borde redondeado o plano y a partir de la época de Claudio aparecerían surcos, estrías y otros perfiles irregulares.

Se produce en los alfares del curso medio y alto del Guadalquivir y cronológicamente se inicia su fabricación hacia el año 50 a.C. perviviendo hasta el 75 d.C., si bien las últimas revisiones la llevan hasta mediados del siglo II. d.C.

599. Cincuenta y nieve fragmentos de cuerpo de forma Haltern 70. Presenta pasta ocre grosera de textura arenosa. Sigla: RC-4-08/126/25. UE: 126.



599

4.6.2.1.2. DRESSEL 2-4

Esta forma fue fabricada en el valle del Guadalquivir, compartiendo el mismo tipo de pasta que otras ánforas béticas. Probablemente fue destinada al transporte vinario. Formalmente se define como un ánfora cilíndrica de labio de pequeño tamaño engrosado, largas asas bífidas formada por dos barras y hombro carenado. Algunos ejemplares presentan sellos estampados sobre las asas. Cronológicamente abarcaría desde la época augusto-tiberiana hasta finales del siglo I d.C.-inicios del siglo II d.C.

600. Fragmento de borde y cuerpo de Dressel 2-4 bética. Presenta pasta ocre porosa. Sigla: RC-4-08/176/404. UE: 176.



600

4.6.2.1.3 DRESSEL 7-11

Bajo esta denominación se incluyen un grupo de ánforas salazoneras producidas en la bética, de forma cilíndrica, realizadas con pastas claras. Su marco de distribución contempla el Mediterráneo occidental y en las provincias del noroeste, entre finales del siglo I a.C. hasta el siglo II d.C. Presenta labio recto con cinta gruesa externa, cuello largo cilíndrico de entre 10 y 15 cm de diámetro y alrededor de 12-20 cm de largo, asas planas con surco central sobre la cara externa y cuerpo ovoide.

601. Fragmento de borde y cuerpo de Dressel 7-11 bética. Presenta pasta rosa depurada con partículas no plásticas de tamaño grande, entra las que se distingue mica. Diámetro de borde: 13 cm. Sigla: RC-4-08/176/218. UE: 176.



601

4.6.2.1.4. DRESSEL 14/BELTRÁN IV

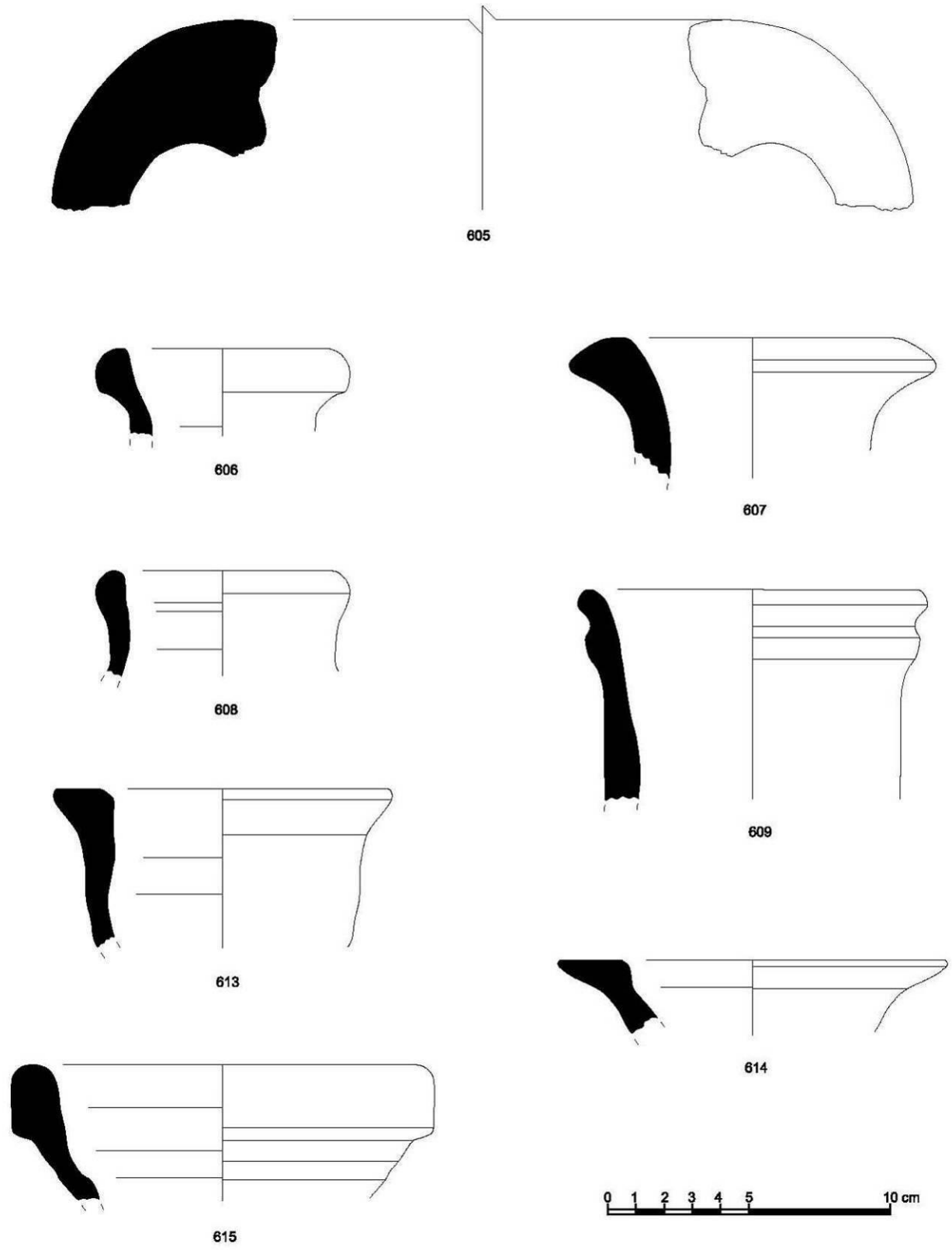
Tipo originario de la Bética y la Lusitania para transporte de salazón, en uso durante el los siglos I y II d.C (SCIALLANO; SIBELLA, 1994: 64). Bajo esta clasificación se inscribe un grupo con variantes y ciertos rasgos en común. Presenta borde engrosado con embocadura larga, asas ovoides con un surco central, cuerpo cilíndrico y pivote hueco.

602. Fragmento de cuerpo de Dressel 14/Beltrán IV lusitana. Presenta pasta rosada depurada y estriado horizontal externo. Sigla: RC-4-08/88/45. UE: 88.

4.6.2.1.5. PIEZAS DE ADSCRIPCIÓN PROBABLE O INDETERMINADA

En el transcurso de las labores realizadas, fue recuperado un pequeño conjunto de fragmentos de ánforas altoimperiales. Principalmente se corresponden con cuerpos de reducido tamaño, difíciles de adscribir a una producción o forma concretas. Estas piezas han sido realizadas en pastas de tonalidades rosadas, ocres o anaranjadas, que contienen un importante porcentaje de partículas desgrasantes, aunque de tamaño reducido. Asimismo, presentan cierta dureza, textura porosa y aspecto granuloso.

603. Fragmento de asa de sección ovalada con rehundimiento longitudinal de forma y procedencia indeterminada. Presenta pasta anaranjada porosa. Sigla: RC-4-08/78/1. UE: 78



Cerámica romana de almacenaje y transporte. Ánforas de producción local o regional. San Martiño de Bueu II, Forma Regional II i Almagro 50/Keay XVI (605). Producciones peninsulares tardías. Forma Keay 13A (606), Forma Keay 16A/Almagro 50 (607), Forma Keay 19C/Almagro 51A-B (608), Forma Keay 68/91A (609), Forma Keay 68/91F (613) y piezas de atribución probable o indeterminada (614-615)

604. Tres fragmentos de cuerpo de forma y procedencia indeterminada. Presenta pasta rosada porosa. Sigla: RC-4-08/289/1. UE: 289.

4.6.2.2. ÁNFORAS TARDÍAS DE PRODUCCIÓN LOCAL O REGIONAL

Las formas anfóricas incluidas en este grupo proceden del alfar de San Martiño de Bueu, dadas a conocer por Díaz y Vázquez (DÍAZ ÁLVAREZ; VÁZQUEZ VÁZQUEZ, 1988), cuya presencia en Portugal ha sido atestiguada en Bracara Augusta (MORAIS, 2005: 133-138) y en Mar de Matosinhos, cuya pieza se expone en las vitrinas del Museo do Castro de Santa Negra (MORAIS, 2005: 135). Se tratan de ánforas para transporte de salazones piscícolas, diferenciadas por poseer una pasta blanca micácea, con granos de cuarzo mal calibrados y hematites de tamaños diversos. Esta es poco dura y muy esponjosa y su superficie externa puede estar cubierta por una ligera aguada o incluso engobe acastañado (MORAIS, 2005: 133). Tipológicamente se corresponde con la denominada San Martiño de Bueu II (DÍAZ ÁLVAREZ; VÁZQUEZ VÁZQUEZ, 1988), Forma Regional II (MORAIS, 2005), cuyo modelo se basa de manera manifiesta en la forma Almagro 50/Keay XVI, siendo ubicada cronológicamente entre el siglo III d.C. y mediados del siglo IV/inicios del V.

4.6.2.2.1. SAN MARTIÑO DE BUEU II/FORMA REGIONAL II/ALMAGRO 50/KEAY 16

605. Fragmento de asa correspondiente a la parte superior que iría adosada al borde de un ánfora correspondiente a la Forma II del alfar de San Martiño de Bueu. Pasta amarillo muy pálido (L 71). No conserva aguada. Dimensiones: 1,5x5,7x0,7 cm. Sigla: RC-4-08/126/20. UE: 162.



605

4.6.2.3. PRODUCCIONES PENINSULARES TARDÍAS

4.6.2.3.1. KEAY 13A, ÁNFORA GLOBULAR DE BORDE TRIANGULAR EXVASADO

Esta ánfora se caracteriza por presentar un borde triangular exvasado de reducido desarrollo, asas elípticas y cuerpo globular. Keay ha establecido hasta cinco variantes atendiendo a aspectos formales. La variante 13A se diferencia por presentar borde con depresión en la cara interna, cuello de escaso desarrollo, asas de sección redondeada que arrancan bajo el borde y cuerpo ovoide. Presenta una apertura máxima de borde que oscila entre los 10,7 y 13,8 cm y está realizada en pastas de color rosado o rojizo, depuradas, con cierta presencia de partículas desgrasantes de cuarzo transparente y mica principalmente. En ocasiones presenta una fina aguada beige-amarillenta sobre la superficie externa (REMOLÀ VALLVERDÚ, 1999: 180). La apertura de borde media oscila entre los 10 y 14 cm de diámetro. Esta forma es originaria del sur de la Península Ibérica, concretamente de la Bética y estaría destinada al transporte del aceite de oliva (KEAY, 1984: 140-146). Keay le atribuye una datación que abarcaría entre el primer cuarto del siglo III d.C. y mediados de la V centuria. Remolà Vallverdú considera que se extiende desde la primera mitad o mediados del siglo III d.C. hasta la IV centuria (REMOLÀ VALLVERDÚ, 1999).

606. Fragmento de borde y cuerpo de forma Keay 13 procedente de la Bética. Presenta pasta blanquecina porosa. Diámetro borde: 9 cm. Sigla: RC-4-08/176/271. UE: 176.



606

4.6.2.3.2. KEAY 16A/ALMAGRO 50, ÁNFORA PIRIFORME DE BORDE ENGROSADO EXVASADO

Esta forma está definida por poseer borde engrosado exvasado de sección triangular, cuello apenas desarrollado, asas de sección circular de perfil en ángulo que arranca desde la parte superior del borde, mostrando un largo tramo vertical y cuerpo piriforme (KEAY, 1984: 149-151). Posee un diámetro medio de apertura de borde de 15,6 cm y aparece elaborada en pastas de tonalidades amarronadas, groseras y con un elevado componente micáceo (REMOLÀ VALLVERDÚ, 1999: 187). Procede del sur de la península, pero existe cierta discrepancia a la hora de determinar exactamente la provincia. Keay propone un origen bético y Remolà Vallverdú lusitano. Está destinada al transporte de salazones. Desde el punto de vista cronológico, Keay la enmarca entre los momentos finales del siglo II d.C. y mediados de la IV centuria (KEAY, 1984). Por su parte Remolà Vallverdú considera que es propia de la primera mitad o mediados del siglo III d.C. y la IV centuria (REMOLÀ VALLVERDÚ, 1999).

607. Fragmento de borde y cuerpo de Forma Keay 16A/Almagro 50 procedente de la bética. Presenta pasta rosada depurada y partículas no plásticas, entre las que se reconoce mica, de gran tamaño. Diámetro de borde: 13 cm. Sigla: RC-4-08/176/218. UE: 176.

4.6.2.3.3. KEAY 19C/ALMAGRO 51A-B

Este tipo presenta una caracterización heterogénea. Se trata de un ánfora de cuerpo piriforme, cuello alto, perfil troncocónico y borde sinuoso. Las asas, de sección oval, se unen la cuello y a los hombros (REMOLÀ VALLVERDÚ, 1999: 192). Su ámbito de producción es lusitano y estaría destinada a transporte de salazones. Se fabrica desde finales del siglo III hasta el siglo IV d.C. (SCIALLANO; SIBELLA, 1994: 69).

608. Fragmento de borde y cuerpo de Forma Lusitana Keay 19C/Almagro 51A-B. Presenta pasta rosada grosera. Diámetro de borde: 7,7 cm. Sigla: RC-4-08/13/460. UE: 13.



608

4.6.2.3.4. KEAY 68/91A, ÁNFORA PIRIFORME DE BORDE ENGROSADO EXVASADO

Se trata de una forma definida por un borde ligeramente engrosado exvasado, de labio redondeado, cuello cilíndrico de perfil algo sinuoso, asas de sección oval y perfil elíptico, que unen el cuello al hombro y cuerpo piriforme (KEAY, 1984: 384). Se le atribuye un origen tarraconense de transporte vinario (REMOLÀ VALLVERDÚ, 1999: 197). Cronológicamente Keay la encuadra a mediados del siglo III d.C., y Remolà Vallverdú entre el siglo IV d.C. y la primera mitad o mediados de la V centuria (KEAY, 1984; REMOLÀ VALLVERDÚ, 1999).

609. Fragmento de borde y cuerpo de Forma Keay 68/91A. Presenta pasta rosada porosa. Diámetro de borde: 11, 6 cm. Sigla: RC-4-08/210/14. UE: 210.



609

610. Fragmento de borde y cuerpo de Forma Keay 68/91A. Presenta pasta beige porosa. Diámetro de borde: 10 cm. Sigla: RC-4-08/176/213. UE: 176.



610

611. Fragmento de borde y cuerpo de Forma Keay 68/91A. Presenta pasta rosada depurada. Diámetro de borde: 10 cm. Sigla: RC-4-08/176/243. UE: 176.



611

612. Dos fragmentos de cuerpo de Forma Keay 68/91A. Presenta pasta rosada depurada. Sigla: RC-4-08/176/245. UE: 176.



612

4.6.2.3.5. KEAY 68/91F, ÁNFORA PIRIFORME DE BORDE BISELADO EXVASADO

Formalmente se caracteriza este tipo por presentar un borde biselado exvasado, de desarrollo variable, borde redondeado, cuello cilíndrico de perfil ligeramente sinuoso, asas de sección oval que unen los hombros a la parte baja del borde y cuerpo piriforme (KEAY, 1984: 384). Esta ánfora de origen tarraconense, aparecía destinada al transporte de vino (REMOLÀ VALLVERDÚ, 1999: 198). Desde el punto de vista cronológico Keay la enmarca a mediados del siglo III d.C. (KEAY, 1984) y Remolà Vallverdú entre el siglo IV d.C. y la primera mitad o mediados de la V centuria (REMOLÀ VALLVERDÚ, 1999).

613. Fragmento de borde y cuerpo de Forma Keay 68/91F tarraconense. Presenta pasta rosada y porosa. Diámetro de borde: 12 cm. Sigla. RC-4-08/176/221. UE: 176.



613

4.6.2.3.6. PIEZAS DE ATRIBUCIÓN PROBABLE O INDETERMINADA

614. Fragmento de borde y cuerpo de forma indeterminada procedente de la Bética. Presenta pasta rojiza depurada. Diámetro de borde: 13,8 cm. Sigla.RC-4-08/13/500. UE: 13.

615. Fragmento de borde y cuerpo de forma indeterminada semejante a la norteafricana Keay 39 procedente de la Bética. Presenta pasta rosada depurada. Diámetro de borde: 15 cm. Sigla: RC-4-08/105/36. UE: 105.



615

4.6.2.4. PRODUCCIONES NORTEAFRICANAS

4.6.2.4.1. Keay 23, ánfora piriforme de borde engrosado exvasado

Desde el punto de vista formal, este tipo se define por presentar borde engrosado exvasado de sección ovoide, cuello estrecho y escaso desarrollo, asas de sección oval que unen la parte inferior del borde al hombro, cuerpo piriforme y pequeño pivote macizo. El diámetro medio de borde es de 9,6 cm (KEAY, 1984: 172). Existe cierta controversia a la hora de establecer el origen de esta ánfora, así Keay considera que no existen evidencias que determinen su adscripción a un centro productor concreto. Por su parte Remolà Vallverdú le atribuye una procedencia hispana bética o lusitana, destinada al transporte de salazones (REMOLÀ VALLVERDÚ, 1999: 192). Tampoco existe consenso en relación al aspecto cronológico, pues Keay encuadra esta forma entre el siglo II d.C. e inicios de la V centuria (KEAY, 1984) y Remolâ Vallverdú entre el siglo III d.C. y mediados del V (REMOLÀ VALLVERDÚ, 1999).

616. Fragmento de borde y cuerpo de Forma Keay 23 de procedencia norteafricana o bética/lusitana. Presenta pasta rosada grosera. Diámetro de borde de: 9 cm. Sigla: RC-4-08/176/215. UE: 176.

617. Fragmento de borde y cuerpo de Forma Keay 23 de procedencia norteafricana. Presenta pasta rosada grosera. Diámetro de borde de: 8,6 cm. Sigla: RC-4-08/176/118. UE: 176.



617

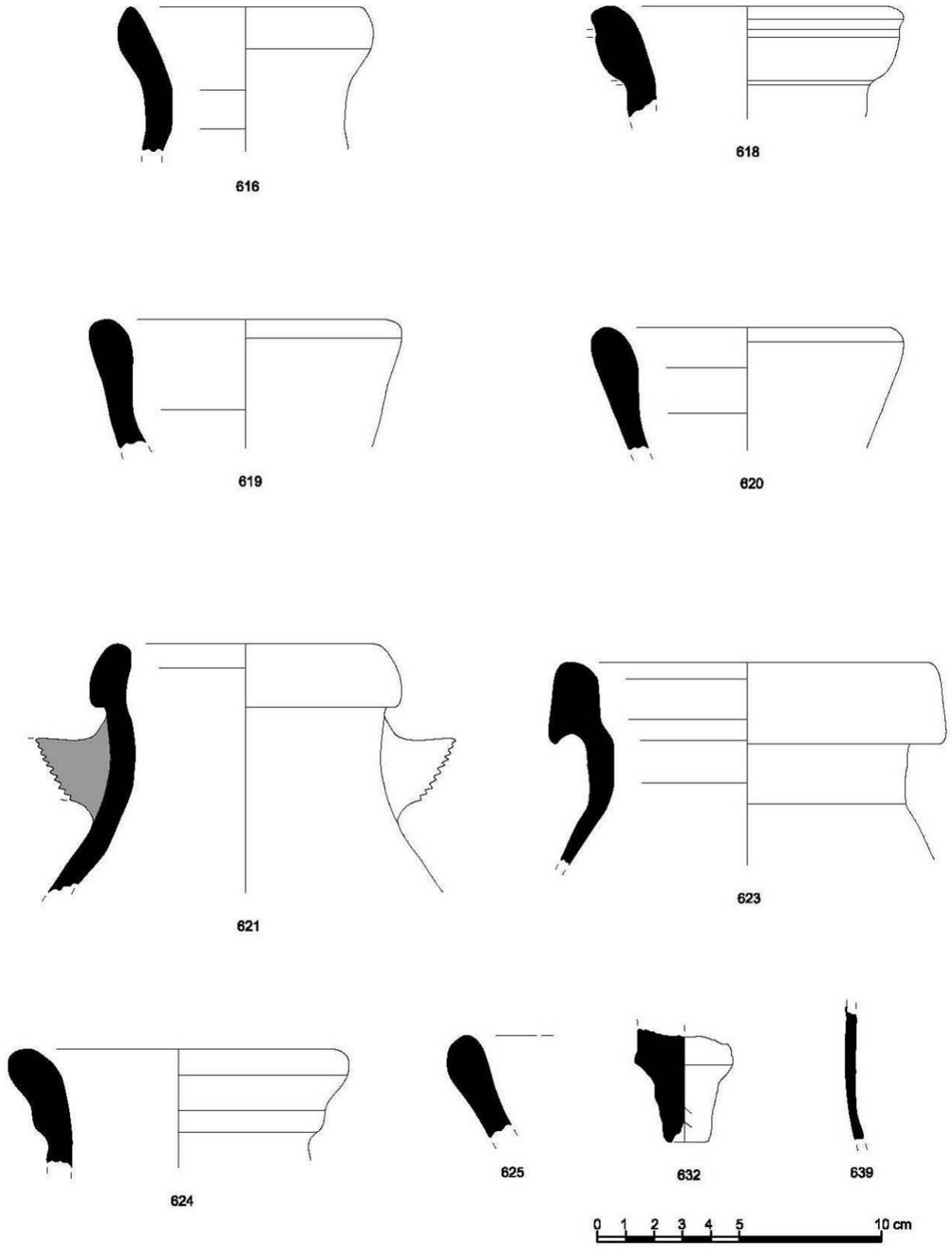
4.6.2.4.2. KEAY 25B, ÁNFORA CILÍNDRICA DE BORDE ENGROSADO EXVASADO

Define a esta forma un borde engrosado, de sección redondeada, exvasado, en ocasiones delimitado por acanaladuras, cuello ligeramente exvasado, asas de sección elíptica que unen la parte baja del borde y el hombro y cuerpo cilíndrico. Presenta una apertura de borde media de 12,8 cm (KEAY, 1984: 184). Esta ánfora procedente del norte de África (Túnez), contenía *garum*. En relación a la cronología, Keay la asocia a un periodo que abarcaría desde el último cuarto de la III centuria d.C. a mediados de la V (KEAY, 1984) y Remolâ Vallverdú desde mediados del siglo IV d.C. a mediados del V (REMOLÂ VALLVERDÚ, 1992).

618. Fragmento de borde y cuerpo de forma Keay 25B procedente de Túnez. Presenta pasta rojiza depurada. Diámetro de borde: 11 cm. Sigla: RC-4-08/88/32. UE: 88.



618



Cerámica romana de almacenaje y transporte. Ánforas de producción norteafricana. Forma Keay 23 (616), Forma Keay 25B (618), Forma Keay 27B (619-620), Forma Keay 39 (621), Forma Keay 62A (623). Piezas de atribución probable o indeterminada (634-625). Ánforas del Mediterráneo Oriental. Late Roman Amphora 3/Keay 54bis (632). *Late Roman Unguentarium* **639)**

4.6.2.4.3. KEAY 27B, ÁNFORA CILÍNDRICA DE BORDE EXVASADO APENAS DIFERENCIADO

Esta ánfora se caracteriza por poseer un borde que no es más que una continuación del perfil exvasado del cuello que culmina con un ligero engrosamiento, cuello amplio, asas de sección ovalada que arrancan directamente desde la línea del borde y se unen al hombro, cuerpo cilíndrico y base redondeada de pie brevemente desarrollado. Se trata de una forma que presenta un diámetro medio de 12,4 cm, procedente del norte de África, concretamente de Túnez, posiblemente destinada al transporte de aceite (KEAY, 1984: 220). Keay data esta forma entre los momentos finales de la IV d.C. y el primer cuarto de la VI (KEAY, 1984). Por su parte Remolâ Vallverdú considera que se extiende desde el siglo IV d.C. a mediados del V, permaneciendo presente de modo residual en el VI (REMOLÂ VALLVERDÚ, 1999).

619. Fragmento de borde y cuerpo de Forma Keay 27B procedente de Túnez. Presenta pasta rosada depurada con partículas desgrasantes de tamaño medio. Diámetro de borde: 10, 4 cm. Sigla: RC-4-08/176/434. UE: 176.

620. Fragmento rodado de borde y cuerpo de Forma Keay 27B procedente de Túnez. Presenta pasta rosada porosa con partículas desgrasantes de tamaño medio. Diámetro de borde: 11 cm. Sigla: RC-4-08/89/45. UE: 89.

4.6.2.4.4. KEAY 39, ÁNFORA CILÍNDRICA DE BORDE ENGROSADO EXVASADO

Se trata de una forma definida por un borde que continúa el perfil del cuello exvasado, remarcado por un engrosamiento, labio redondeado, amplio cuello cónico que presenta el exterior ondulante, asas de perfil redondeado estrangulado y cuerpo cilíndrico. Presenta un diámetro medio de apertura del borde de 13,6 cm. Las características formales sugieren un origen norteafricano, tunecino. Se desconoce su contenido (KEAY, 1984: 250). En cuanto al ámbito cronológico Keay encuadra esta ánfora entre el siglo IV d.C. y mediados del siglo V (KEAY, 1984). Remolà Vallverdú la sitúa entre mediados de la IV centuria d.C. y la primera mitad de la V (REMOLÀ VALLVERDÚ, 1999).

621. Dos fragmentos de borde, arranque de asa de sección ovalada y cuerpo de Forma. Keay 39 procedente de Túnez. Presenta pasta rojiza depurada. Diámetro de borde: 11 cm. Sigla: RC-4-08/210/7. UE: 210.



621

622. Fragmento rodado de borde y cuerpo de Forma. Keay 39 procedente de Túnez. Presenta pasta anaranjada depurada. Sigla: RC-4-08/191/4. UE: 191.



622

4.6.2.4.5. KEAY 62A, ÁNFORA CILÍNDRICA DE BORDE PERPENDICULAR EXVASADO

Se trata de una forma caracterizada por un borde perpendicular ligeramente exvasado, labio de amplio desarrollo engrosado de sección triangular, cuello cónico que rompe la línea del perfil en el punto de unión con el borde, asas de sección elíptica y perfil acodado y cuerpo cilíndrico. Existe una amplia variedad formal de bordes, cuya apertura media oscila entre los 13 y 16,1 cm. Originaria del norte de África, concretamente de Túnez, esta ánfora posiblemente estaría destinada al transporte de aceite (KEAY, 1984: 319). Keay data esta

forma entre el tercer cuarto del siglo V d.C. y los momentos finales del VI (KEAY, 1984). Remolâ Vallverdú, en cambio la sitúa entre mediados de la V centuria d.C. y la primera mitad de la VII (REMOLÂ VALLVERDÚ, 1999).

623. Fragmento de borde y cuerpo de Forma Keay 62A procedente de Túnez. Presenta pasta rojiza depurada y aguada blanquecina. Diámetro borde: 14 cm. Sigla: RC-4-08/210/8. UE: 210.



623

4.6.2.4. PIEZAS DE ATRIBUCIÓN PROBABLE O INDETERMINADA

Entre las piezas de atribución probable se documenta un ejemplar posiblemente perteneciente a la Forma Keay 36A, ánfora cilíndrica de borde engrosado exvasado. Esta forma se caracteriza por presentar un borde engrosado ligeramente exvasado, de labio redondeado, cuello estrangulado y reducido que presenta una línea externa ondulante, asas acodadas que unen el hombro, cuello situado a cierta distancia bajo el borde y cuerpo cilíndrico. Se trata de un ánfora de 11,5 cm de diámetro medio de borde, procedente de Túnez, que posiblemente contenía aceite de oliva (KEAY, 1984: 240-241). A esta ánfora, Keay le atribuye un periodo de expansión que abarcaría el último cuarto del siglo V d.C. en adelante (KEAY, 1984), mientras que Remolâ Vallverdú la encuadra entre los momentos iniciales del siglo V d.C. y los del siglo VI (REMOLÀ VALLVERDÚ, 1999).

Asimismo, se ha recogido un ejemplar posiblemente perteneciente a la Forma Keay 36B, ánfora cilíndrica de borde engrosado exvasado. Se define desde un punto de vista formal por mostrar un borde engrosado exvasado, de sección y labio redondeado, cuello breve y estrangulado, asas acodadas y cuerpo cilíndrico. Se trata de un ánfora de 12 cm de diámetro medio de apertura de borde, procedente de Túnez y que posiblemente estaría destinada al transporte de aceite de oliva (KEAY, 1984: 241-245). La datación de esta

variante es idéntica a la Forma Keay 36A, asociada al último cuarto del siglo V d.C. en adelante según Keay (KEAY, 1984). Remolà Vallverdú la centra entre los momentos iniciales del siglo V d.C. y los del VI (REMOLÀ VALLVERDÚ, 1999).

También se incluye un fragmento de borde probablemente perteneciente a la forma Keay 62A, anteriormente descrita.

624. Fragmento de borde y cuerpo de posible Forma Keay 36A procedente de Túnez. Presenta pasta rosada depurada y estriado horizontal externo. Diámetro de borde: 13 cm. Sigla: RC-4-08/216/1. UE: 216.



624

625. Fragmento de borde y cuerpo de posible Forma Keay 36B procedente de Túnez. Presenta pasta rojiza depurada y posible aguada blanquecina perceptible sobre ambas superficies con partículas desgrasantes de gran tamaño. Sigla: RC-4-08/13/468. UE: 13.

626. Fragmento de borde y cuerpo de posible Forma Keay 62A procedente del norte de África. Presenta pasta rosada depurada. Diámetro de borde: 15 cm. Sigla: RC-4-08/176/212. UE: 176.



626

627. Ocho fragmentos de cuerpo y pivote de ánfora norteafricana de forma indeterminada. Presenta pasta acastañada depurada. Sigla RC-4-08/176/267. UE: 176.



627

4.6.2.5. PRODUCCIONES DEL MEDITERRÁNEO ORIENTAL (*LATE ROMAN AMPHORA*)

Las denominadas ánforas del Mediterráneo oriental (Late Roman Amphora), son originarias de las costas de Turquía (Mar Negro y S), Chipre, Rodas, Creta, costa del Mar Egeo, Palestina y Egipto. Fueron destinadas al transporte de aceite, vino, perdurando la producción desde el siglo IV d.C. hasta el siglo VII d.C. (SCIALLANO; SIBELLA, 1994: 100-106). Se caracterizan por presentar tonalidades amarronadas y presentar estriado horizontal en su superficie externa.

4.6.2.5.1. LATE ROMAN AMPHORA 1/KEAY 53

Se trata de un de los tipos anfóricos tardíos con mayor difusión temporal y geográfica (REMOLÀ VALLVERDÚ, 1999: 215). Los centros productores se localizan en las costas de Turquía (Mar Negro y S), Chipre y Rodas. La variante LR1a se supone que estaba destinada al transporte de vino y la variante LR 1B al de aceite. S producción se extiende desde el siglo V d.C. hasta inicios del siglo VII d.C. (SCIALLANO; SIBELLA, 1994: 100). Físicamente presenta un cuello alto, estrecho con un pequeño borde de cinta doblado. Las asas son grandes y gruesas y forman prácticamente un ángulo recto, presentanDO un pequeño

resalte vertical en el centro. El cuerpo presenta forma cilíndrica con estriado exterior y la base es simple.

628. Fragmento de cuerpo de Late Roman 1. Presenta pasta rosada porosa y estriado horizontal externo. Sigla: RC-4-08/13/523. UE: 13.



628

629. Fragmento de cuerpo de Late Roman 1. Presenta pasta rosada porosa y estriado horizontal externo. Sigla: RC-4-08/13/612. UE: 13.



629

630. Fragmento de cuerpo de Late Roman 1. Presenta pasta rosada porosa y estriado horizontal externo. Sigla: RC-4-08/172/12. UE: 13.



630

4.6.2.5.2. LATE ROMAN AMPHORA 2/KEAY 65

Forma procedente de las costas de Turquía (Mar Negro y S), costas del Mar Egeo, Chipre, Creta y Rodas. Se desconoce el contenido al cual se destinaría, si bien las últimas investigaciones apuntan a que podría tratarse de un ánfora vinaria. Cronológicamente su fabricación se extiende desde el siglo V d.C. hasta el siglo VII d.C. (SCIALLANO; SIBELLA, 1994: 101). Se trata de un ánfora de cuerpo globular, borde alto con la cara interna cóncava, fondo culminado por una pequeña protuberancia y asas se sección oval unidas al cuello y al hombro. Una de las características más relevantes de este tipo y que ha servido de cómo criterio de diferenciación cronológica y tipológica, es la presencia de una ancha franja de estrías sobre el hombro. La pasta es de color rojizo con una franja de tono beige en la cara interna, con abundantes inclusiones calizas que en muchos casos, afloran en la superficie (REMOLÀ VALLVERDÚ, 1999: 206-208).

631. Fragmento de arranque de asa de sección ovalada y cuerpo de Late Roman 2. Presenta pasta acastañada depurada y estriado horizontal externo sobre la superficie del cuerpo. Sigla: RC-4-08/176/217. UE: 176.



631

4.6.2.5.3. LATE ROMAN AMPHORA 3/KEAY 54BIS

Forma originaria de las costas de Turquía (Mar Negro y S), Chipre, Rodas, Creta, y costa del Mar Egeo. Se desconoce el producto que transportaría, aunque probablemente esté relacionado con aceite para la preparación de ungüentos (REMOLÀ VALLVERDÚ, 1999: 209). Se trata de un contenedor de pequeñas dimensiones de cuerpo piriforme, cuello alto y estrecho, borde apenas insinuado por un engrosamiento exterior de sección variable. Las asas de sección oval, se abrazan al cuello de manera particular. El fondo se resuelve mediante un pivote estrecho cuyo extremo presenta una sección triangular más o menos acentuada y el interior normalmente hueco. La pasta es de color marrón con distintas tonalidades y presenta inclusiones micáceas (REMOLÀ VALLVERDÚ, 1999: 209). Esta forma perdura desde finales del siglo IV d.C. hasta finales del siglo VI d.C. (SCIALLANO; SIBELLA, 1994: 102).

632. Fragmento de pivote de Late Roman 3. Presenta pasta rosada depurada y factura fina. Diámetro: 3,5 cm. Sigla: RC-4-08/13/663. UE: 13.



632

4.6.2.5.4. LATE ROMAN AMPHORA 5/6/KEAY 66

Forma originaria de Palestina y Egipto de la que se desconoce el producto transportado en su interior –probablemente vino-, cuya cronología abarcaría desde el siglo V d.C. hasta inicios del siglo VII d.C. (SCIALLANO; SIBELLA, 1994: 104). Se trata de un contenedor de forma globular, borde vertical y base redondeada. Presenta las características estrías horizontales con pasta de tonalidad rojo oscuro, fina y muy micácea (REMOLÀ VALLVERDÚ, 1999: 228).

633. Fragmento de cuerpo de forma Late Roman 5/6. Presenta pasta rosada depurada y

estriado horizontal externo. Sigla. RC-4-08/162/33. UE: 162.



633

634. Fragmento de cuerpo de forma Late Roman 5/6. Presenta pasta rosada depurada y estriado horizontal externo. Sigla: RC-4-08/176/313. UE: 176.



634

635. Fragmento de cuerpo de forma Late Roman 5/6. Presenta pasta rosada depurada con partículas desgrasantes de tamaño medio y estriado horizontal externo. Sigla: RC-4-08/176/328. UE: 176.



635

636. Fragmento de cuerpo de forma Late Roman 5/6. Presenta pasta rosada depurada y estriado horizontal externo. RC-4-08/176/328. UE: 176.



636

4.6.2.5.5. PIEZAS DE ATRIBUCIÓN PROBABLE O INDETERMINADA

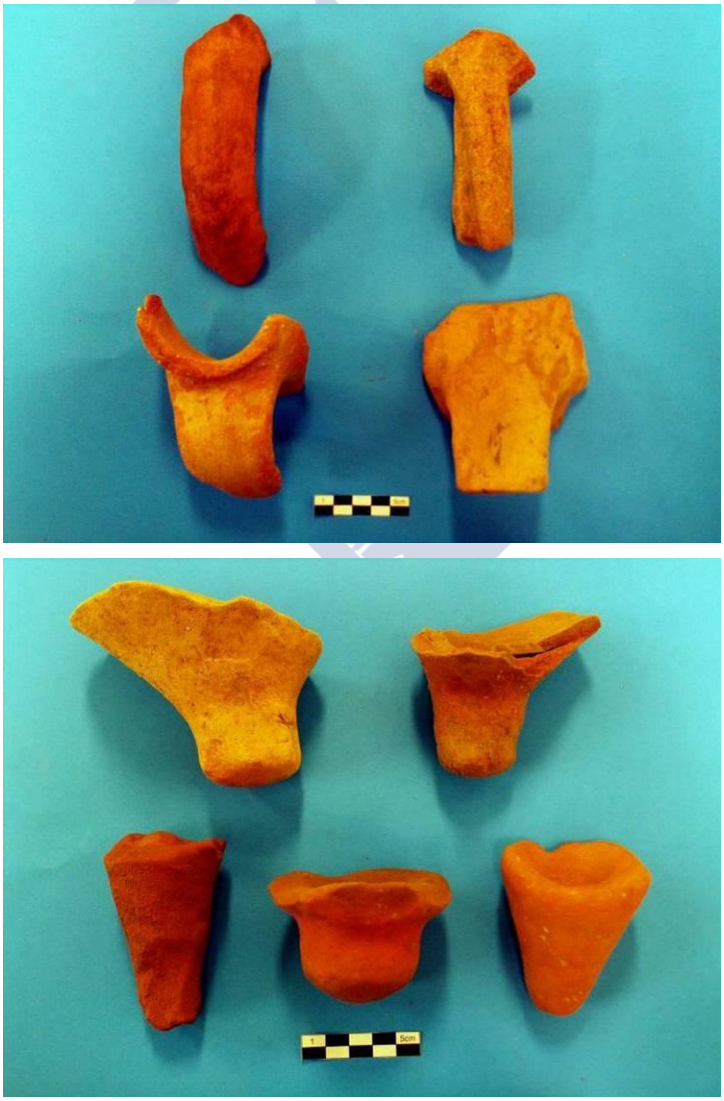
Entre los fragmentos de ánfora tardía del Mediterráneo oriental, ha sido localizado un fragmento posiblemente perteneciente a la forma Late Roman Amphora 4/Keay 54. Este tipo fue fabricado en Palestina, en la región de Gaza y en Egipto. Se desconoce el producto transportado en su interior -vino o aceite-, presentando una cronología que iría desde el siglo IV d.C. hasta finales del siglo VI d.C. (SCIALLANO; SIBELLA, 1994: 103). Es uno de los tipos que mejor caracterizan el componente oriental de las ánforas tardo-antiguas. Los últimos estudios distinguen tres variantes. Se caracteriza por presentar perfil ovalado sin cuello, borde de sección rectangular o redondeada, asas de sección ovalada en los hombros bajo la que se sitúa un estriado horizontal (REMOLÀ VALLVERDÚ, 1999: 226). La base es simple presentando estriados horizontales.

637. Fragmento rodado de borde y arranque de asa de posible Late Roman 4. Presenta pasta acastañada porosa. Sigla: RC-4-08/126/21. UE: 126.



637

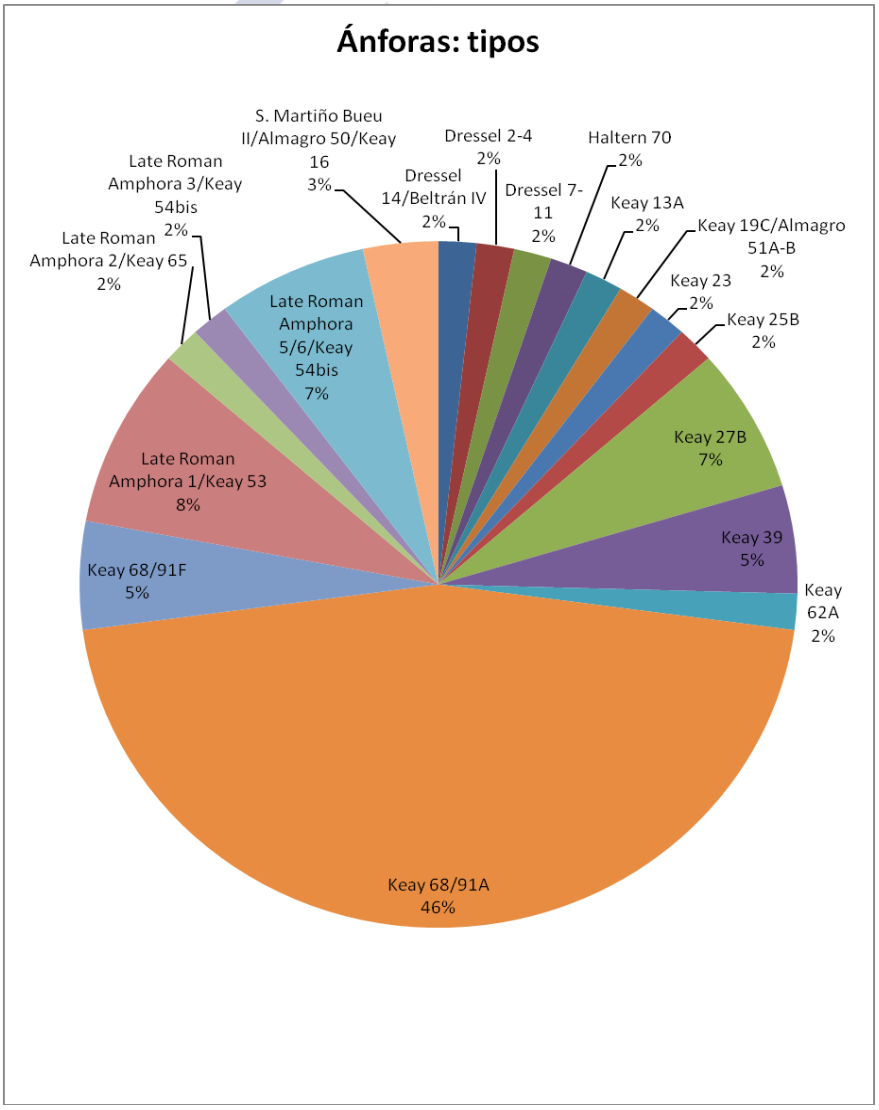
638. Fragmento de asa de forma ovalada y rehundimiento longitudinal de ánfora de forma indeterminada del Mediterráneo oriental. Presenta pasta acastañada porosa. Sigla: RC-4-08/13/455. UE: 13.



Ánforas tardorromanas



Late Roman Amphora



Representatividad tipológica de las ánforas identificadas

4.6.2.6. UNGÜENTARIOS

4.6.2.6.1. *Late roman unguentarium*

Estas piezas se caracterizan por presentar un borde vertical, no diferenciado del perfil, una embocadura estrecha cónica, cuerpo fusiforme y base plana o en pivote. Están realizadas en pasta rosada-anaranjada fina, depurada y compacta, que presenta un exterior cuidadosamente afinado. En ocasiones puede mostrar decoración, bien pintada, mediante elementos rojizos dispuestos en la parte superior, o bien estampillada, a través de pequeños símbolos ejecutados en la base. Estos sellos han sido objeto de diversas interpretaciones, ya sea criptogramas de carácter gnóstico o simples marcas del propietario del recipiente. Se trata de un ungüentario originario del Mediterráneo Oriental, quizá relacionado con el transporte de los óleos sagrados procedentes de Tierra Santa. Se le atribuye una datación que abarcaría desde mediados del siglo VI d.C. a la VII centuria (BELTRÁN DE HEREDIA BERCERO, 2001: 229; SINGUL; SUÁREZ OTERO, 2004: 74).

639. Fragmento de cuerpo de *late roman unguentarium*. Presenta pasta rosada depurada. RC-4-08/176/163. Sigla: UE: 176.

4.6.3. MATERIAL LATERICIO DE CONSTRUCCIÓN

El material constructivo de época romana exhumado fue lavado, clasificado, pesado y seleccionado en el transcurso de la propia actuación arqueológica, siendo distinguida y conservada una parte significativa del conjunto, atendiendo a la singularidad formal de las piezas.

El peso total de este material latericio recuperado en el transcurso de la intervención fu de 280,06 kg.

Asimismo, fue constatada la presencia puntual de fragmentos de ímbrice, de pastas groseras, muy porosas pero compactas, sobre cuyas superficies, en algunos casos, se descubrían digitaciones.

Asimismo fue atestiguada la presencia testimonial de ladrillos romanos de pastas toscas, grosor amplio y aspecto rugoso e irregular.

Se trata de un material latericio caracterizado por su alto grado de fragmentación y mal estado de conservación, la mayor parte muy rodado, hecho que ha dificultado la

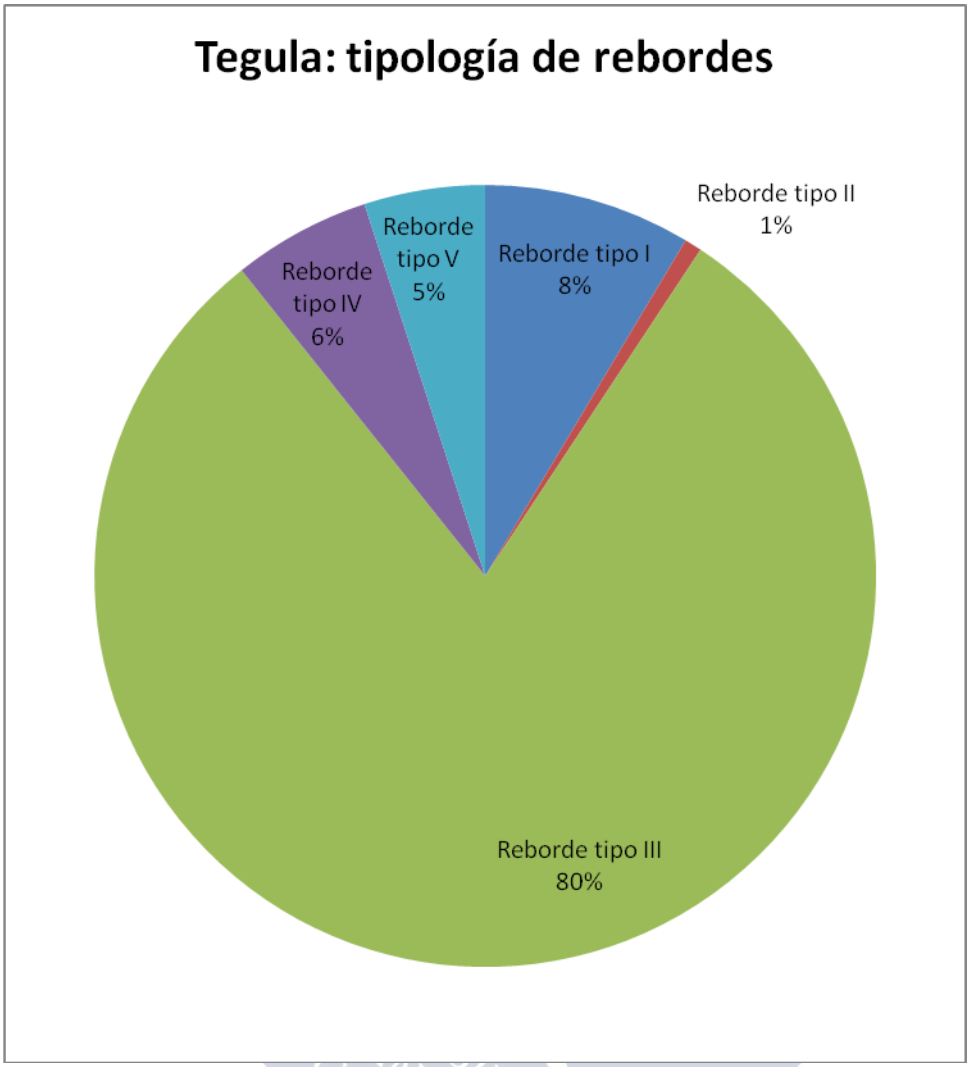
identificación de los tipos de rebordes y entalles. Buena parte de este material aparecía formando parte del relleno de las estructuras murarias tardorromanas y modernas.

UE 005: 2, 8 kg	**UE 056: 600 gr**	**UE105: 19, 1 kg**	**UE160: 40 gr**	**UE200: 150 gr**
UE 007: 200 gr	**UE 058**: 900 gr	**UE109**: 500 gr	**UE162**: 4, 2 kg	**UE207: 500 gr**
UE 009: 3 kg	**UE 063**: 3 kg	**UE100**: 1 kg	**UE167**: 5 kg	**UE208: 100 gr**
UE 010: 36, 5 kg	**UE 065**: 100 gr	**UE112**: 1, 5 kg	**UE168**: 100 gr	**UE210: 1,1 kg**
UE 012: 96 kg	**UE 067**: 10 kg	**UE114**: 120 gr	**UE170**: 5, 1 kg	**UE216: 4 kg**
UE 013: 63, 2 kg	**UE 069**: 100 gr	**UE116**: 100 gr	**UE172**: 1 kg	**UE218: 300 gr**
UE 015: 3 kg	**UE 085**: 9 kg	**UE120**: 20 gr	**UE174**: 500 gr	**UE220: 20 gr**
UE 017: 2 kg	**UE 088**: 8, 8 kg	**UE126**: 4, 8 kg	**UE176**: 65,58 kg	**UE223: 50 gr**
UE 021: 20 gr	**UE 089**: 13, 1 kg	**UE128**: 80 gr	**UE178**: 1, 5 kg	**UE243: 200 gr**
UE 024: 1, 5 kg	**UE 097**: 2 kg	**UE129**: 20,1 kg	**UE179**: 400 gr	**UE252: 600 gr**
UE 029: 20 gr	**UE 098**: 4 kg	**UE132**: 100 gr	**UE184**: 1 kg	**UE258: 500 gr**
UE 030: 5 kg	**UE100**: 1 kg	**UE153**: 260 gr	**UE186**: 50 gr	
UE 043: 4 kg	**UE102**: 6 kg	**UE154**: 100 gr	**UE191**: 50 gr	
UE 047: 50 gr	**UE103: 100 gr**	**UE158: 20 gr**	**UE197: 2, 9 kg**	**TOTAL:280,06 kg**

Peso de material latericio de época romana por UE

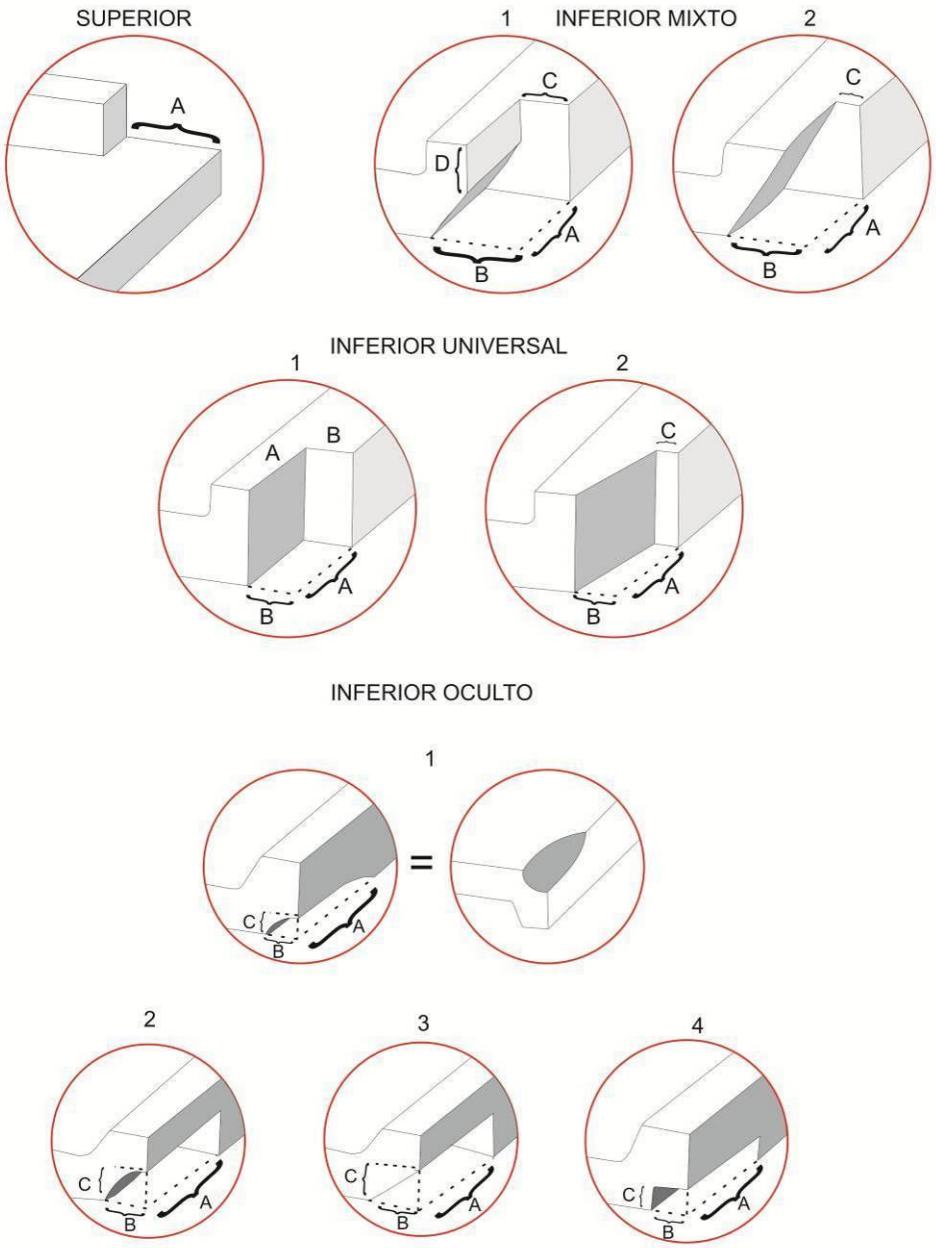
Fue documentada la existencia de restos de estuco. Se trata de unos fragmentos informes de amalgamas de cal, arena y agua de diverso tamaño. Destaca uno de los elementos ya que todavía conserva parte de la pintura originaria que lo revestía, rojiza oscura.

Para la clasificación del material latericio se sigue la propuesta tipológica de Pérez Losada basada en el tipo de entalles y de rebordes.

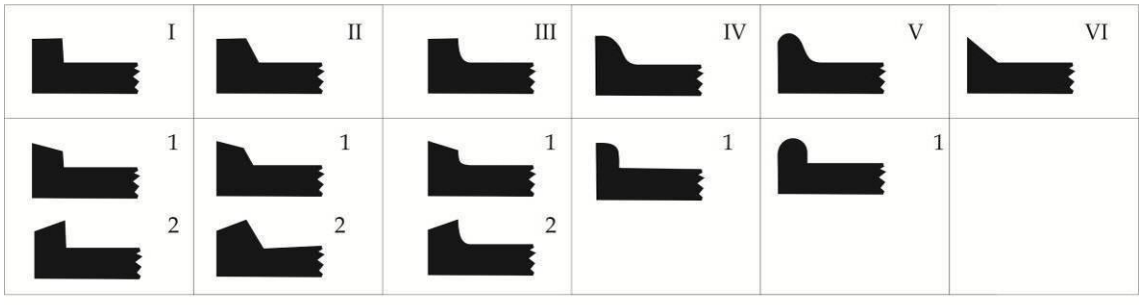


Representatividad de tipos de rebordes de *tegula*

TIPOLOGÍA DE ENTALLES DE *TEGULAE*



TIPOLOGÍA DE REBORDES DE *TEGULAE*



(Seg. PÉREZ LOSADA, Ficha inédita de clasificación de *tegulae*)

4.6.3.1. *TEGULA*

640. Fragmento de tegula con reborde tipo III, variante 2 y entalle inferior mixto tipo 1. Pasta rosada grosera. Sigla: RC-4-08/10/189. UE: 10

641. Fragmento de tegula con reborde tipo I. Pasta ocre grosera. Sigla: RC-4-08/102/27. UE: 102.

642. Fragmento de tegula con reborde tipo III, variante 2 y entalle inferior mixto tipo 2. Pasta rosada grosera. Sigla: RC-4-08/105/77. UE: 105.

643. Dos fragmentos de tegula con reborde tipo III, variante. Pasta rosada grosera. Sigla: RC-4-08/109/1. UE: 109.

644. Fragmento de tegula con reborde tipo V y entalle inferior mixto. Pasta anaranjada grosera. Sigla: RC-4-08/12/297. UE: 12.

645. Fragmento de tegula con reborde tipo I y entalle inferior mixto tipo 1. Pasta beige grosera. Sigla: RC-4-08/12/316. UE: 12.

646. Fragmento de tegula con reborde tipo III y entalle inferior universal tipo 1. Pasta beige grosera. Sigla: RC-4-08/12/331. UE: 12.

647. Fragmento de tegula con reborde tipo IV. Presenta pasta acastañada grosera. Sigla: RC-4-08/126/46. UE: 126.

648. Fragmento de tegula con reborde tipo II y entalle inferior mixto tipo 1. Pasta anaranjada grosera. Sigla: RC-4-08/132/6. UE: 132.

649. Fragmento de tegula con reborde tipo IV, variante 1. Pasta rosada grosera. Presenta incisión sobre la parte superior del reborde. Sigla: RC-4-08/15/3. UE: 15.

650. Fragmento de tegula. Reborde tipo III, variante 1. Presenta pasta anaranjada grosera. Sigla: RC-4-08/176/491. UE: 176.

651. Fragmento de tegula con reborde tipo V. Pasta acastañada grosera. Sigla: RC-4-08/176/494. UE: 176.

652. Fragmento de tegula. Reborde tipo III con entalle superior. Pasta rojiza grosera. Sigla: RC-4-08/176/496. UE: 176.

653. Fragmento de tegula. Posible reborde tipo III. Pasta rosada grosera. Sigla: RC-4-08/176/506. UE: 176.

654. Fragmento de tegula. Reborde tipo I, variante 2. Pasta rosada grosera. Sigla: RC-4-08/65/6. UE: 65.

655. Fragmento de tegula. Reborde tipo V, variante. Pasta anaranjada grosera. Sigla: RC-4-08/9/33. UE: 9.

4.6.3.2. *IMBREX*

656. Fragmento de imbrex. Pasta acastañada grosera. Sigla: RC-4-08/176/511. UE: 176.

4.6.3.3. *LATER*

657. Fragmento de later de forma indeterminada. Pasta anaranjada grosera. Sigla: RC-4-08/12/282. UE: 12.

658. Fragmento de later de forma indeterminada con entalle. Pasta anaranjada grosera. Sigla: RC-4-08/105/78. UE: 105.

4.6.3.4. ESTUCO

659. Fragmento rectangular de estuco, de 10,5 cm de longitud, 5,5 cm de anchura y 4,7 cm de altura. Presenta aglutinante compuesto por cal, arena, cuarzo, chamota y restos de partículas de origen orgánico. Conserva restos pictóricos con tonalidades rojizas. Sigla: RC-4-08/210/18. UE: 210.

660. Cuatro fragmentos de estuco. Aglutinante de cal, arena, cuarzo y chamota. RC-4-08/88/51. UE: 88.

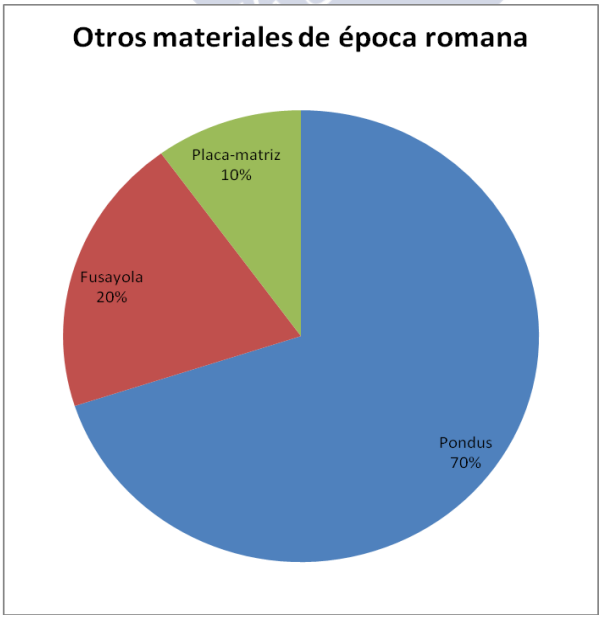


Estuco con restos pictóricos

4.6.4. OTROS MATERIALES CERÁMICOS

Fueron localizados diversos fragmentos de cerámica común romana o ánfora reutilizados, bien como fichas de juego –de forma circular-, o fusayolas –piezas de educido tamaño que presentan perforaciones de sección circular-. Igualmente se han exhumado ciertas piezas realizadas en arcilla de formas diversas a las que se le han practicado perforaciones, interpretadas como *pondus*.

No obstante, dentro de este conjunto destaca por su singularidad un elemento identificado como placa-matriz. Se trata de un fragmento de arcilla sobre el que se han realizado un considerable número de estampados de rosetas, quizá pruebas de un punzón destinado a la decoración de cerámicas comunes finas.



Representatividad de otros tipos de materiales cerámicos

4.6.4.1. PLACA-MATRIZ

661. Placa-matriz relacionada con material de alfar. Se corresponde con una placa fragmentada de forma circular de 14,4 cm de diámetro y 0,14 cm de grosor que presenta la cara superior alisada, sobre la que conservan ocho rosetas estampadas de nueve pétalos, correspondientes a las marcas de prueba de un punzón. La pasta es rosada porosa y presenta evidencias de haber sido sometida a la acción del fuego. Sigla: RC-4-08/12/246. UE: 12.



661

4.6.4.2. *PONDUS*

662. Pondus fragmentado formado por una pieza circular de 6,4 cm de diámetro, que presenta una perforación central de 1,2 cm de diámetro, realizadas tras la cocción. Pasta rosada grosera. Sigla: RC-4-08/102/24. UE: 102.

663. Pondus completo pero rodado, formado por una pieza informe que presenta en uno de los extremos una perforación circular de 0,6 cm de diámetro, realizada tras la cocción de la misma. Pasta anaranjada depurada. Sigla: RC-4-08/13/669. UE: 13.

664. Pondus fragmentado compuesto por una pieza que presenta en un extremo una perforación circular de 1,1 cm de diámetro, realizada tras la cocción de la misma. Pasta rosada grosera. Sigla: RC-4-08/13/670. UE: 13.

665. Pondus completo formado por una placa rectangular, de 7 cm de longitud y 5 cm de anchura, que presenta dos perforaciones, una circular de 0,5 cm de diámetro y otra ovalada de 1,7 cm de longitud y 0,7 cm de anchura, ambas realizadas tras la cocción de la misma. Pasta rosada grosera. Sigla: RC-4-08/216/27. UE: 216.



Otros materiales arqueológicos cerámicos de época romana. Placa matriz de alfar (661). *Pondus* (662, 664, 665, 666, 670). Fusayola (669). Ficha de juego (671)

666. Pondus completo pero rodado compuesto por una placa rectangular de 5 cm de longitud y 3,2 cm de anchura, que presenta dos perforaciones circulares centrales, de 0,5 y 0,7 cm de diámetro, realizadas tras la cocción de la misma. Pasta rosada porosa. Sigla: RC-4-08/43/18. UE: 43.

667. Tres fragmentos rodados de pondus que forman una pieza informe que presenta dos perforaciones circulares, una de ellas de 0,4 cm de diámetro y la otra fragmentada, ambas realizadas tras la cocción de la misma. Pasta rosada depurada. Sigla: RC-4-08/89/70. UE: 89.

668. Pondus fragmentado compuesto por una pieza informe que presenta una incisión circular de 1,3 cm de diámetro. Pasta rosada grosera. Sigla: RC-4-08/89/78. UE: 89.



Pondus

4.6.4.3. FUSAYOLA

669. Fusayola completa pero rodada correspondiente a una pieza circular de 3,6 cm de diámetro, que presenta una perforación central, de 0,9 cm de diámetro, realizada tras la cocción. Pasta anaranjada grosera. Sigla: RC-4-08/88/50. UE: 88.

670. Fusayola fragmentada correspondiente a una pieza circular de 3,5 cm de diámetro, que presenta dos perforaciones centrales de 0,4 cm de diámetro, realizadas tras la cocción de la misma. Pasta beige grosera. Sigla: RC-4-08/12/247. UE: 12.

4.6.4.4. FICHA DE JUEGO

671. Ficha de juego realizada sobre un fragmento de ánfora norteafricana. Se corresponde con una pieza circular de 4,1 cm de diámetro. Pasta rosada depurada. Sigla: RC-4-

08/13/668. UE: 13.



Pondus, fusayola y ficha de juego

4.6.5. METALES

Se asiste a cierta parquedad en lo relativo a los hallazgos de tipo metálico. La mayor parte del material se corresponde con escorias de hierro o restos muy deteriorados que impiden su adscripción formal. De los tipos definidos se señala la presencia de clavos (cabezas y cuerpos), todos fabricados en hierro, así como alguna plaquita y piezas fragmentadas de sección circular de adscripción indeterminada.

La casi totalidad de la materia prima reconocible ha sido el hierro, si bien se atestigua la presencia de dos ejemplares fabricados en plomo, correspondientes a una pieza cilíndrica con perforación circular en un extremo y a una plaquita alargada.

Estos materiales han podido ser adscritos a una cronología romana o tardorromana gracias a su contextualización estratigráfica con tipos cerámicos definidos.

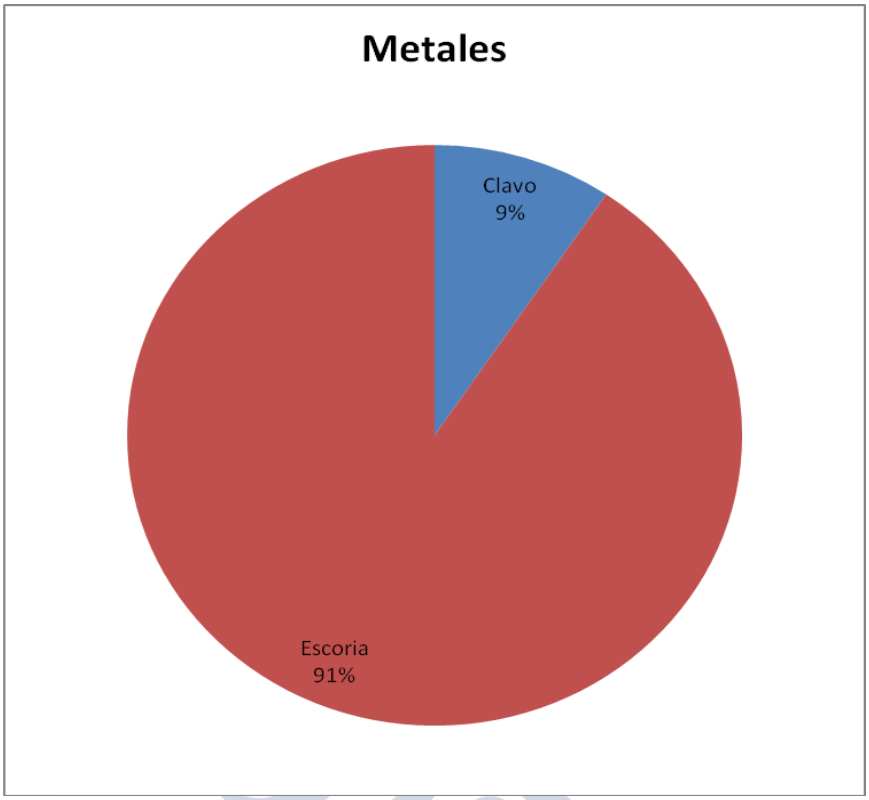
4.6.5.1. CLAVO

672. Cabeza y cuerpo de clavo de hierro. Sigla: RC-4-08/88/68. UE: 88.

4.6.5.2. ESCORIAS

673. Escoria informe de hierro. Sigla: RC-4-08/13/692. UE: 13.

674. Dos fragmentos de escoria informe de materia prima indeterminada. Sigla: RC-4-08/176/488. UE: 176.



Representatividad formal de metales de época romana

4.6.5.3. PIEZAS DE ATRIBUCIÓN PROBABLE O INDETERMINADA

675. Plaquita alargada de plomo de forma indeterminada. Sigla: RC-4-08/89/76. UE: 89.

676. Ocho fragmentos de placa alargada y fina de hierro de forma indeterminada. Sigla: RC-4-08/12/281. UE: 12.

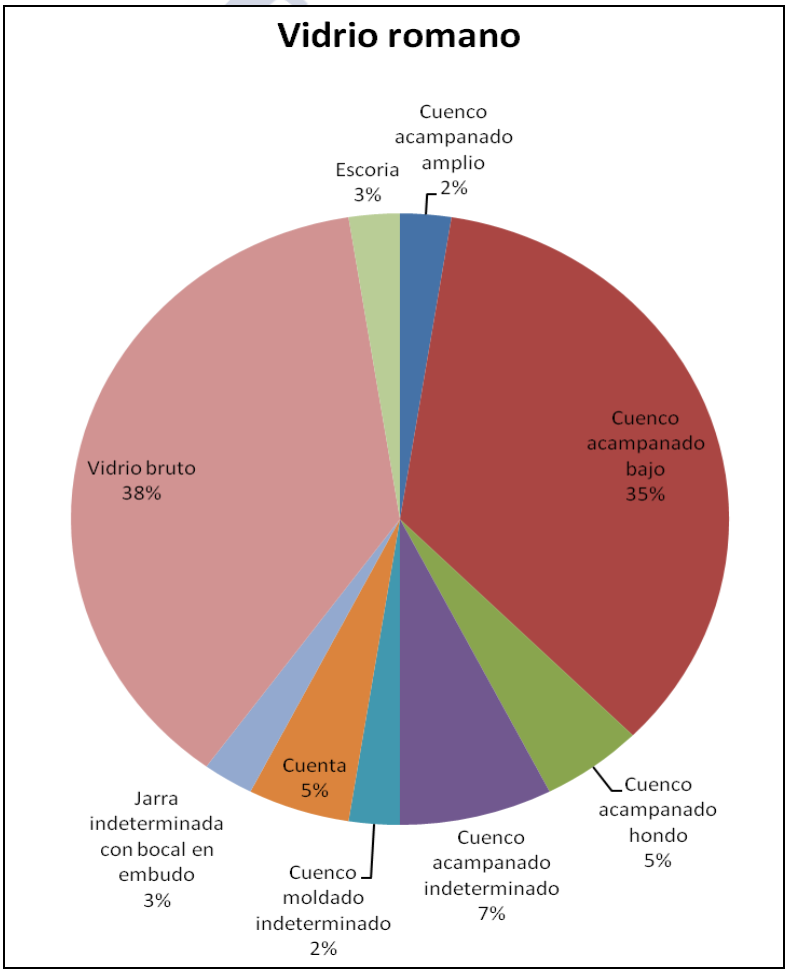
677. Pieza cilíndrica con perforación circular en un extremo de plomo. Sigla: RC-4-08/12/252. UE: 12.

678. Dos fragmentos de pieza redondeada de hierro de forma indeterminada. Sigla: RC-4-08/126/36. UE: 126

679. Dos fragmentos de plaquita acabada en ángulo de hierro. Sigla: RC-4-08/29/3. UE: 29.

4.6.6. VIDRIO[38]

Ha sido recuperado un conjunto considerable de fragmentos de vidrio, con presencia de pastas vítreas de diferentes tonalidades, entre las que se distinguen verde amarillento, azul celeste y morado, con grosores de paredes asimismo diversos. Destacan aquellos que presentan una decoración compuesta a base de finas líneas horizontales aplicadas de color blanco. Merece especial atención una cuenta anular realizada en pasta vítrea de color verde amarillento, de cierto grosor, sobre la que se han practicado incisiones, confiriéndole un aspecto dentado, que se encuentra en un magnífico estado conservación. Se ha documentado la existencia de dos fragmentos de reducido tamaño de una escoria de vidrio de color negro, que presenta bastantes impurezas.



Representatividad formal de vidrios de época romana

[38] Agradacemeos a Mário da Cruz, doctor de la Universidade do Minho (Braga, Portugal), especialista en vidrio de época romana, la colaboración en la clasificación y estudio del material.

4.6.6.1. IMPRESIONES GENERALES

Los fragmentos de vidrio analizados constituyen un conjunto homogéneo, en cuanto a dimensiones, formas, tonalidades y cronología se refiere, que remiten a un contexto de producción local. Seguramente se traten de materiales partidos para reciclaje (*casco de vidro*) disperso, tras el desmantelamiento de la *officina*.

La dimensión de los fragmentos oscila entre los 5 cm de lado –en casos puntulaes- y los pocos milímetros, situándose la media en torno a 1 cm. Un índice tal de fracturación no puede ser accidental ni casual, debiéndose probablemente a la trituración deliberada de vidrios partidos destinados al reciclaje, con la intención de facilitar su almacenamiento y fusión. Esta percepción es corroborada por la localización de pequeñas lascas de vidrio bruto, sólo posible en contextos de producción local.

4.6.6.2. EL VIDRIO BRUTO

Fueron localizadas trece lascas de vidrio bruto, repartidas entre siete unidades estratigráficas (UE12, UE13, UE105, UE116, UE137, UE176, UE184). Pese al tamaño reducido no dejan dudas en cuanto a su identificación como vidrio bruto, como evidencian las fracturas conchoidales y el hecho de no poseer superficies lisas, lo que sería necesario en el caso de fragmentos de piezas. El análisis de coloración y aspecto, en comparación con el vidrio bruto de otras procedencias, concretamente de Braga y Astorga (CRUZ, 2009b), apunta a que se trate de vidrio tardío del grupo 1 o 2 (PICON; VICHY, 2003; FOY *et alli*, 2003). Este, tiene su origen en Egipto y aparece limitado al siglo V en el caso del grupo 1 y a los siglos VI–VII d.C., en el caso del grupo 2.



Vidrio bruto

4.6.6.3. LA PRODUCCIÓN DE VIDRIO

Actualmente se sabe con relativa seguridad, que durante toda la época romana y gran parte de la alta edad media, el vidrio procedía casi exclusivamente de dos regiones del Mediterráneo oriental, la costa Sirio-Palestina y Egipto (FOY; NENNA, 2001: 13-17), en forma de lingotes de vidrio bruto o normalmente, de pequeños bloques resultantes de su fragmentación. La producción primaria de vidrio tendría entonces un ámbito geográfico limitado, desconociéndose, en el estado actual de la investigación, ningún centro en Occidente. Se considera producción primaria a la producción de vidrio hecha a partir de materias primas de base, en este caso arena y soda mineral u óxido de sodio, los únicos componentes de base adicionados de forma consciente en estos períodos.

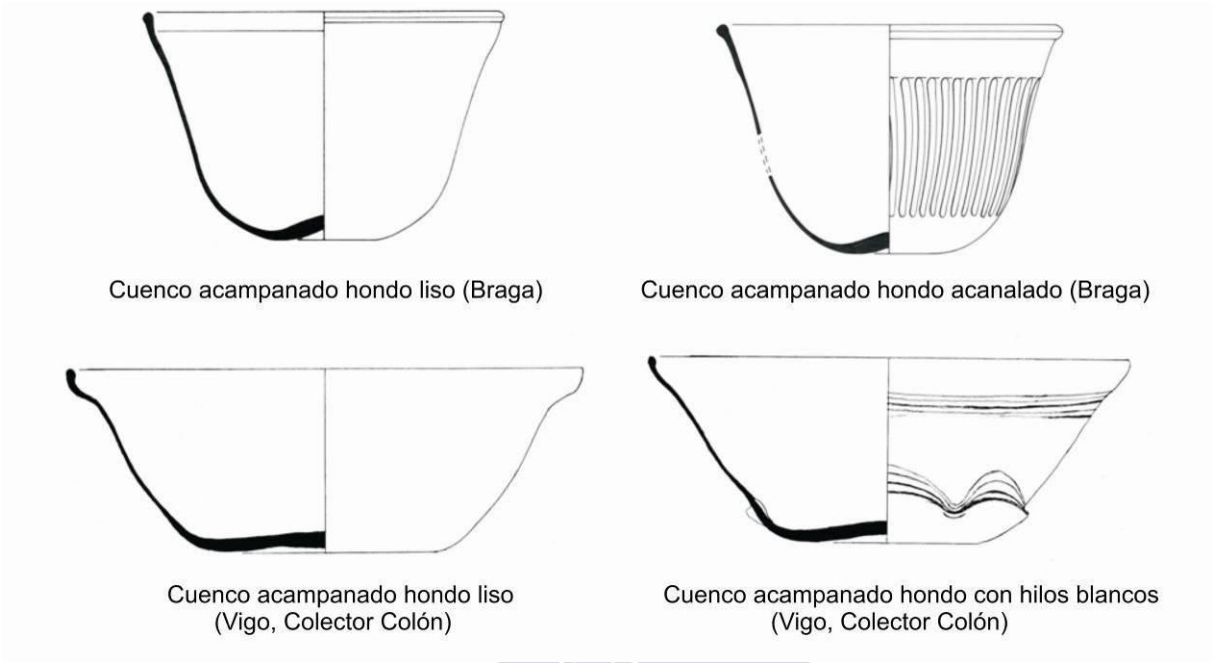
Al contrario de la producción primaria, la secundaria presentó un ámbito geográfico más vasto y complejo de lo que inicialmente se supuso. Se considera producción secundaria la fabricación de objetos de vidrio a partir de vidrio bruto o de vidrio reciclado, a semejanza que los metales. A los grandes centros productores del Mediterraneo oriental, Italia y la región Renana, se tienen unido una gran cantidad de centros regionales, con *officinae* implantadas tanto en ciudades como en el medio rural. En el noroeste peninsular las tres capitales de *conventus*, *Bracara Agusta, Lucus Augusti* y *Asturica Augusta*, fueron importantes centros productores. *Bracara Augusta*, por ejemplo, poseyó por lo menos tres *officinae* de vidriero, contando el reciente descubrimiento del horno de la manzana de los CTT (Correos Portugueses), revelando un largo período de producción que iría desde la segunda mitad del siglo I d.C. hasta finales del siglo V, estando detectados hasta la fecha, tres hornos. Más allá de estas ciudades fue posible identificar restos de producción en Tui y Caldas de Reis (Pontevedra).

4.6.6.4. LAS FORMAS

Tratándose de materiales partidos para el reciclaje (*casco de vidro*), es natural que la variedad formal sea reducida, ya que se tratan ante formas producidas o recogidas para reaprovechamiento, en los últimos días de producción da la posible *officina* situada en Rosalia de Castro.

La mayoría de los fragmentos pertenecen a cuencos acampanados, lisos o decorados. La variante profunda, siendo característica de la primera mitad del siglo V d.C., está representada en la parcela 4 por un único ejemplar (RC-4-08/89/4= VigRCf15). Puede por lo tanto tratarse de un cáliz (vaso con pie) del siglo VI–VII d.C. La variante acanalada está representada por dos fragmentos de pared (RC-4-08/13/19=VigRCf07), no siendo posible

determinar la forma exacta. Los restantes ejemplares pertenecen a la variante más baja y abierta de los cuencos acampanados, siendo también la más tardía (existe todavía una forma amplia intermedia). Los dos ejemplares aquí ilustrados pertenecen con seguridad a la producción de Vigo, dado que tienen sido encontradas en una fosa de vertedero de una *officina* local, conteniendo piezas mal ejecutadas y por veces deformadas (*pezas de refugo*), junto con el vidrio bruto y restos de fábrica. La variante con hilos blancos opacos, aplicados en espiral junto al borde o en festones, es la más característica de esta producción y la que permite mayor precisión cronológica. Son estas las que, en la práctica, datan toda la producción y el propio desmantelamiento de la *officina*, ocurrido a finales del siglo V o inicios del VI d.C.



Cuencos acampanados

Perteneciente a la misma producción con hilos blancos aplicados, existe un único ejemplar de una forma cerrada. Se trata de una jarra de boca con forma de embudo y borde enrollado hacia el interior (RC-4-08/13/31=VigRCf09), decorado con hilos blancos opacos muy desvaídos, de la cual se desconoce la forma exacta.

Representados por un único ejemplar existe además una cuenta de collar anular acanalada (RC-4-08/162/2=VigRCf20) hecha con el mismo tipo de vidrio de los cuencos acampanados y del vidrio bruto, un fragmento de ficha de juego hecha a partir de una base tardía (RC-4-08/88/4=VigRCf14) y una curiosa y original base de taza fabricada a molde, incolora, con pie anular aplicado y acanalado a la pinza (RC-4-08/17/1=VigRCf13). Los platos y tazas hechos a molde incoloros, pertenecen a una producción característica de los siglos II y III d.C. aunque tendrán una perduración hasta el siglo IV. Siendo una forma robusta y bastante

común, no es de extrañar su presencia residual en un contexto del siglo V d.C. Existen también dos fragmentos de vidrio de ventana romanos (RC-4-08/17/3; RC-4-08-13/22). Como excepción de la cuenta de collar, todos estos ejemplares únicos, podrían tener llegado a la *oficina,* integrados en el vidrio recogido para reciclaje, práctica documentada desde el siglo I d.C.

Dado el contexto tardío de los sedimentos en los que se localizaron los materiales, no son aplicables la mayoría de las tipologías de vidrios romanos, como por ejemplo la conocida Isings. En este caso fue utilizada la síntesis de Daniéle Foy (FOY 1995).

4.6.6.5. LA ESTRUCTURA DE COMBUSTIÓN (UE196, UE204)

Casi con total seguridad, cabe la posibilidad de encontrarnos ante un horno de vidrio. En términos de forma y dimensiones se corresponde a los hornos de vidrio comunes, sobradamente conocidos (FOY; NENNA, 2001: 41-66). Sus dimensiones son idénticas a las de un horno recientemente excavado en Braga (CRUZ, 2009a). Tipológicamente se definen como pequeños hornos circulares hechos con materiales de construcción reaprovechados (piedras, cerámica, *tegula*), ligados y revestidos por barro refractario. Poseerían una boca para la alimentación y limpieza, una cámara de combustión, una cámara de fusión sobrepuesta, con una o más bocas de trabajo, y posiblemente una tercera cámara de enfriamiento en la cima. Se encuentran normalmente rebajados relativamente respecto al pavimento.

El hecho de no existir restos de producción u otros fragmentos de vidrio directamente asociados a la estructura no es un dato significativo ni decisivo. Sería de suponer que un horno en pleno funcionamiento, estaría siempre limpio, más cuando los restos de producción serían seleccionados y guardados para su posterior refundición. Los materiales partidos para reciclaje serían almacenados en el taller, en fosas o contenedores, pero nunca dentro del horno o en su inmediata proximidad. Aunque en la parcela 4 no haya sido posible identificar con precisión restos de fábrica (“bocas de caña”, desecho, gotas, escorias, etc.), están presentes en otras parcelas del área objeto de intervenciones del ámbito Rosalía de Castro, Concretamente en la efectuada en 1992 en la parcela 14 y en la parcela 3/6. Lo que sería habitual encontrar junto a un horno desmantelado, serían los restos de su estructura, carbones de las últimas hornadas y a lo sumo, escoria o goteos de vidrio, sueltos o adheridos a las paredes de barro.

4.6.6.6. CONCLUSIONES

La presencia de *casco de vidrio*, vidrio bruto y el probable horno de vidrio, parece señalar que se corresponden con los restos de un taller de producción secundaria de vidrio desmantelado a finales del siglo V o inicios del VI d.C. Su producción estaría esencialmente constituída por cuencos acampanados lisos y de hilos blancos aplicados, pudiendo haber producido igualmente jarros y cuentas de collar.

4.6.6.7. CATÁLOGO DE MATERIALES

A continuación se presenta el catálogo de los materiales vítreos. Los datos se refieren al número de catálogo, número de inventario, descripción, forma, color, diámetro, cronología y UE.

4.6.6.7.1. CUENCO ACAMPANADO BAJO

680. Borde engrosado a fuego y dos fragmentos de cuerpo de cuenco acampanado bajo, teñido de verde amarillento. Presenta hilos blancos aplicados. Diámetro aproximado: 15 mm. Finales del siglo V-primera mitad del siglo VI. Sigla: RC-4-08/13/737. UE: 13.

681. Cuenco acampanado bajo, liso. Borde engrosado al fuego, liso, teñido de verde amarillento. Diámetro aproximado: 150 mm. Siglos V-VI. Sigla: RC-4-08/12/18 (VigRCf03). UE: 12.

682. Cuenco acampanado bajo, liso. Borde engrosado al fuego, liso de coloración verde amarillento. Diámetro aproximado: 200 mm. Siglos V-VI. Sigla: RC-4-08/12/20 (VigRCf04). UE: 12.

683. Cuenco acampanado bajo, liso. Borde engrosado al fuego, liso, verde amarillento. Diámetro aproximado: 150 mm. Siglos V-VI. Sigla: RC-4-08/13/15 (VigRCf06). UE: 13.

684. Fragmento de borde engrosado al fuego y dos de cuerpo con hilos blancos, de cuenco acampanado bajo con hilos blancos aplicados. Teñido de verde amarillento. Diámetro aproximado: 150 mm. Finales del siglo V-1ª mitad del VI d.C. Sigla: RC-4-08/13/19 (VigRCf08). UE: 13.

685. Borde engrosado al fuego, liso, de cuenco acampanado bajo. Teñido de verde

amarillento. Diámetro: 160 mm. Siglos V-VI. Sigla: RC-4-08/13/38; RC-4-08/13/41 (VigRCf10). UE: 13.

686. Borde engrosado al fuego, liso de cuenco acampanado bajo. Teñido de verde amarillento. Diámetro: 190 mm. Siglos V-VI d.C. Sigla: RC-4-08/13/39; RC-4-08/13/40; RC-4-08/13/43 (VigRCf11). UE: 13.

687. Base reentrante y cuerpo con hilos blancos aplicados en festones de cuenco acampanado bajo. Verde amarillento. Diámetro indeterminado. Finales del siglo V-1ª mitad del VI d.C. Sigla: RC-4-08/13/29 (VigRCf12). UE: 13.

688. Borde engrosado al fuego e hilos blancos opacos aplicados en espiral de cuenco acampanado bajo. Teñido de verde amarillento. Diámetro aproximado: 150 mm. Finales del siglo V-1ª mitad del VI. Sigla: RC-4-08/129/8 (VigRCf18). UE: 129.

689. Borde engrosado al fuego e hilos blancos opacos aplicados en espiral de cuenco acampanado bajo. Teñido de verde amarillento. Diámetro: 150 mm. Finales del siglo V-1ª mitad del VI. Sigla: RC-4-08/176/7 (VigRCf22). UE: 167.

690. Borde engrosado al fuego, liso de cuenco acampanado bajo. Teñido de verde amarillento. Diámetro: 160 mm. Siglos V - VI. Sigla: RC-4-08/176/3 (VigRCf23). UE: 176.

691. Borde engrosado al fuego, liso, de cuenco acampanado bajo. Verde amarillento. Diámetro: 180mm. Siglos V - VI. Sigla: RC-4-08/184/3 (VigRCf27). UE: 184.

4.6.6.7.2. CUENCO ACAMPANADO HONDO

692. Borde engrosado al fuego, liso, de cuenco acampanado hondo. Teñido de verde amarillento. Diámetro: 90 mm. Siglo V. Sigla: RC-4-08/89/4 (VigRCf15). UE: 89.

693. Fragmento de borde engrosado al fuego, y cuerpo liso de cuenco acampanado hondo. Teñido de verde amarillento. Diámetro: 90 mm. Siglo V. Sigla: RC-4-08/179/1 (VigRCf24). UE: 179.

4.6.6.7.3. CUENCO ACAMPANADO AMPLIO

694. Borde engrosado al fuego, liso, de cuenco acampanado amplio. Teñido de verde amarillento. Diámetro: 120 mm. Siglo V. Sigla: RC-4-08/184/5 (VigRCf26). UE: 184

4.6.6.7.4. CUENCO ACAMPANADO INDETERMINADO

695. Taza acampanada indeterminada. Cuerpo con hilos blancos opacos aplicados en festones. Teñido de verde amarillento. Diámetro indeterminado. Finales del siglo V-1ª mitad del VI. Sigla: RC-4-08/10/10 (VigRCf01). UE: 10.

696. Tres fragmentos de cuerpo, con acanaladuras dilatadas, de cuenco acampanado indeterminado. Teñido de verde amarillento. Diámetro indeterminado. Siglos V–VII. Sigla: RC-4-08/13/19 (VigRCf07). UE: 13.

4.6.6.7.5. CUENCO MOLDADO INDETERMINADO

697. Base con pie anular aplicado y con acanaladuras oblicuas (marcas de pinza) de cuenco moldado incoloro de forma indeterminada. Diámetro base: 8 mm. Finales del siglo I–siglo IV d.C. Sigla: RC-4-08/17/1 (VigRCf13). UE: 17.

4.6.6.7.6. JARRO INDETERMINADO

698. Embocadura afinada de borde enrrollado al interior con hilos blancos aplicados de jarro indeterminado. Teñido de verde amarillento. Diámetro: 4 mm. Segunda mitad del siglo V-primera mitad del VI. Sigla: RC-4-08/13/31 (VigRCf09). UE: 13.

4.6.6.7.7. POSIBLE VENTANA

699. Cuerpo de vidrio posiblemente de ventana. Color verde amarillento. Época romana. Sigla: RC-4-08/17/3. UE. 17.

4.6.6.7.8. CUENTA

700. Cuenta anular completa con acanaladuras oblicuas practicadas en el canto de la pieza. Teñido de verde amarillento. Diámetro: 1,6 mm. Época tardorromana. Sigla: RC-4-08/162/2 (VigRCf20). UE: 162.

4.6.6.7.9. LASCA DE VIDRIO BRUTO

701. Lasca de vidrio bruto teñido de verde amarillento. Época tardorromana. Sigla: RC-4-08/12/28 (VigRCf02). UE: 12.

702. Siete lascas de vidrio bruto, teñido de verde amarillento. Época tardorromana. Sigla: RC-4-08/13/6; RC-4-08/13/16; RC-4-08/13/1 (VigRCf05). UE: 13.

703. Lasca de vidrio bruto. Teñido de verde amarillento. Época tardorromana. Sigla: RC-4-08/105/2 (VigRCf16). UE: 105.

704. Lasca de vidrio bruto. Teñido de verde amarillento. Época tardorromana. Sigla: RC-4-08/116/1 (VigRCf17). UE: 116.

705. Lasca de vidrio bruto. Teñido de verde amarillento. Época tardorromana. Sigla: RC-4-08/137/1 (VigRCf19). UE: 137.

706. Lasca de vidrio bruto. Teñido de verde amarillento. Época tardorromana Sigla: RC-4-08/176/1 (VigRCf21). UE: 176.

707. Lasca de vidrio bruto. Teñido de amarillo acastañado. Época tardorromana Sigla: RC-4-08/184/4 (VigRCf25). UE: 184.

4.6.6.7.10. Escorias

708. Dos fragmentos de escoria informe de vidrio negro. Presenta bastantes impurezas. Época romana. Sigla: RC-4-08/13/760. UE: 13.

4.6.6.7.11. Piezas reaprovechadas

709. Base de pie anular tubular reaprovechada como ficha de juego de color verde amarillento. Diámetro base: 60 mm. Tardorromano. Sigla: RC-4-08/88/4 (VigRCf14). UE: 88.







Fragmentos de vidrio



Vidrio decorado



Cuenta de pasta vítrea

4.7. ANÁLISIS DE LOS RESTOS ARQUEOBOTÁNICOS[39]

4.7.1. INTRODUCIÓN

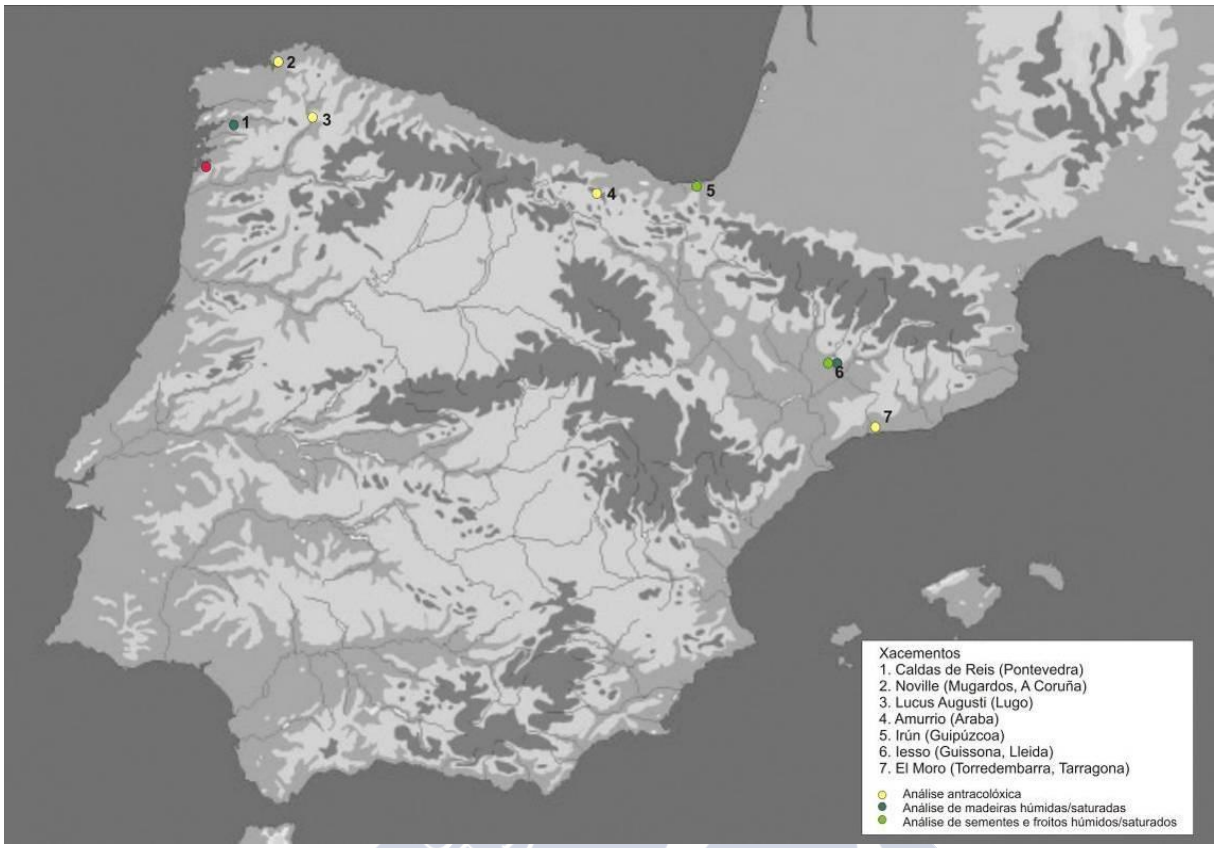
La arqueobotánica es una subdisciplina de la arqueología que aborda temas fundamentales para la historia de la humanidad como los orígenes de la agricultura, el uso de los recursos vegetales, la reconstrucción paleoambiental, la acción humana sobre el medio ambiente, el cultivo, procesado, consumo y deposición de los restos vegetales, además de intentar comprender el uso y significado de cada planta en el pasado (HASTORF, 1999).

La presencia de madera en los yacimientos arqueológicos está estrechamente ligada a la actividad humana, en relación con procesos naturales (ramas, restos de poda, etc.) que acompañan a la ocupación de determinadas zonas. En estos casos los restos se localizan en depósitos en el antropizados con presencia de plantas enteras o partes de estas. Sin embargo el repertorio lígneo más frecuente en los asentamientos humanos procede de manufacturas y particularmente de restos estructurales de edificaciones, de mobiliario doméstico o de objetos de uso personal. Los carbones proceden generalmente de la combustión de la leña consumida como combustible de los hogares domésticos o en estructuras de combustión especializadas (cerámica, metalurgia, vidrio, cal) o del uso ritual (MARCHESINI; AROBBA, 2003). También la existencia de incendios accidentales o provocados en los asentamientos permite la conservación por carbonización.

La conservación en ambiente húmedo en el es habitual en la Península Ibérica. En este caso los restos arqueobotánicos que forman parte de los depósitos se encuentran bajo la capa freática, fondos de lago o de ríos, en estructuras que se encuentran en condiciones de humedad permanente como es el caso de pozos, fosas, canales, cisternas, letrinas, etc. Las condiciones de humedad permanente en condiciones anaeróbicas favorecen la conservación de todo tipo de restos orgánicos (MARCHESSINI; AROBBA, 2003). Entre los yacimientos de cronología romana en los que se recuperaron y analizaron restos arqueobotánicos en estas condiciones se podrían señalar el puerto de *Oiasso* (Irún) (PEÑA-CHOCARRO; ZAPATA, 1996), el contenido de varios pozos en *Iesso* (Guissona) (BUXÓ *et alii*, 2004) y una viga de madera en el yacimiento de Caldas de Reis (Pontevedra) (inédito). La realización de análisis antracológicas en yacimientos de cronología romana en el es habitual en Galicia y en el ámbito peninsular. Actualmente únicamente están publicadas los

[39] Agradecemos a María Martín Seijo y Andrés Teira Brión (Grupo de Estudos para a Prehistoria del Noroeste Ibérico del Departamento de Historia I de la Universidade de Santiago de Compostela) la elaboración del presente apartado, promovido por la Dirección Xeral de Patrimonio Cultural de la Consellería de Cultura e Deporte de la Xunta de Galicia.

análisis antracológicos en la villa romana de Noville (Mugardos, A Coruña) (CARRIÓN, 2005) y en una necrópolis de *Lucus Augusti* (AIRA; UZQUIANO, 1996).



Ubicación del yacimiento analizado y de otros de cronología semejante en la Península Ibérica citados en el texto

En el resto de la Península Ibérica se puede señalar la villa romana del Moro (Torredembarra, Tarragona) (EUBA; ALLUÉ, 2003) y el yacimiento romano de Aloria (Amurrio, Araba) (EUBA, 2005).

La preservación excepcional de estos restos arqueobotánicos y su estudio permite contribuir al conocimiento de los hábitos de uso y consumo de la madera, leña, frutos y semillas. El yacimiento de O Areal aporta una evidencia única sobre la gestión de los recursos forestales durante época romana en el noroeste de la Península Ibérica. La madera ha sido una de las materias primas básicas desde la prehistoria, tanto para la construcción, como para la elaboración de todo tipo de herramientas y objetos de uso cotidiano, así como para la obtención de combustibles para el ámbito doméstico o industrial. Las estrategias de gestión de los recursos forestales están organizadas en cada momento histórico en función de la relación que se establece entre la oferta de recursos (variable en tiempo y espacio) y la demanda de materias primas y la capacidad tecnológica de una sociedad (PIQUÉ, 1999). Aunque el primer condicionante estaría relacionado con los recursos disponibles, existen otros factores a considerar que pueden determinar las estrategias de captación y uso de las

materias primas tales como el transporte, la adopción de prácticas de silvicultura, la producción especializada o la adopción de herramientas más efectivas, junto con un aumento de la demanda derivada del crecimiento poblacional que pueden llevar a modificar las prácticas de explotación forestal (BUXÓ *et alii*, 2004).

El trabajo realizado ha pretendido alcanzar los siguientes objetivos:

- Identificar los recursos vegetales utilizados por los habitantes de la zona de O Areal en época romana y conocer su importancia económica.

- Conocer las prácticas de silvicultura que se desarrollan durante el período romano.

- Aportar datos sobre la formación de los depósitos analizados a partir del análisis de los restos arqueobotánicos.

- Definir el impacto antrópico sobre el medio forestal, especialmente deforestación y cultivo de especies arbóreas.

- Realizar una aproximación a las formaciones vegetales y áreas de captación potenciales durante este período.

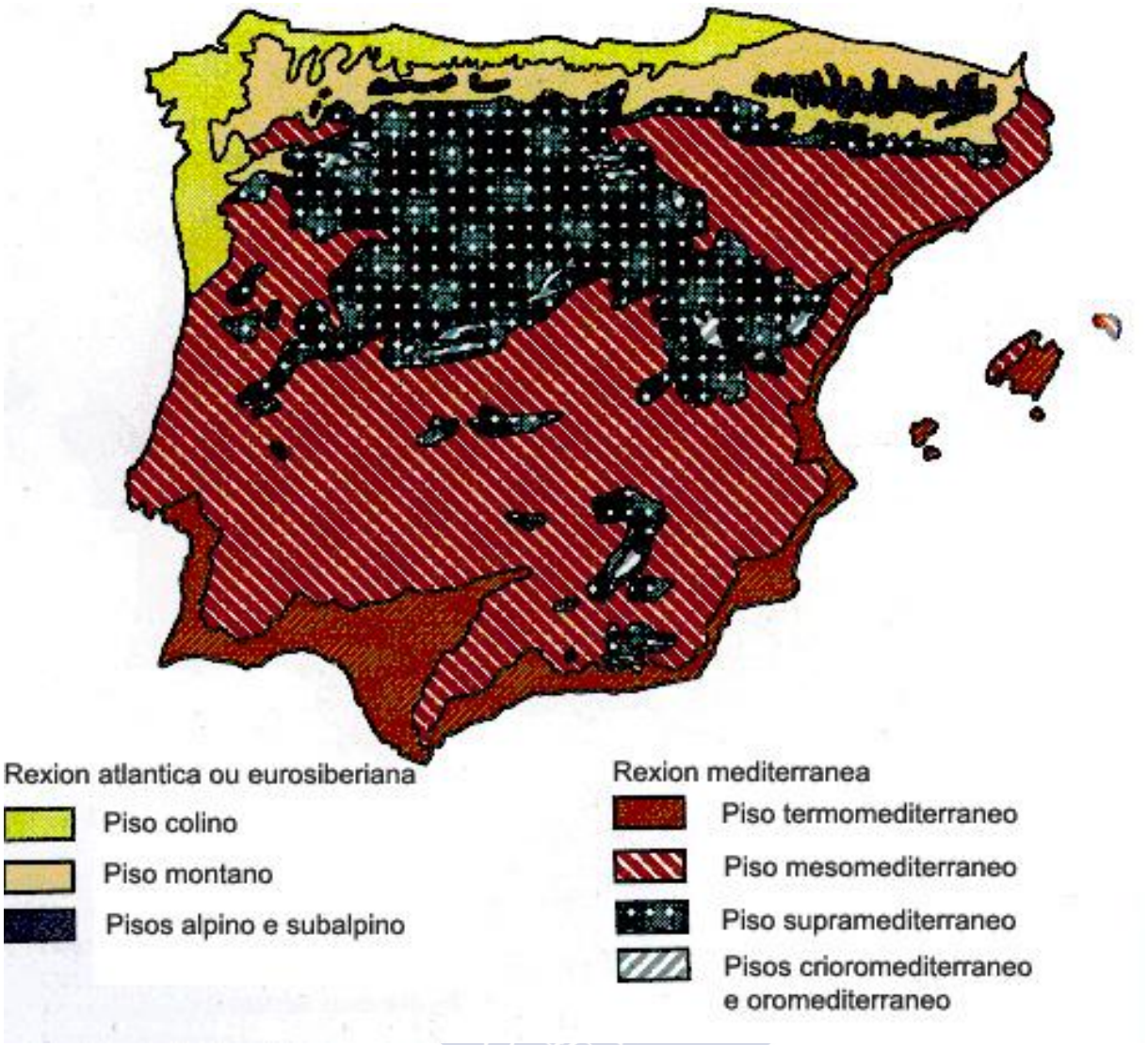
4.7.2. CONTEXTO BIOGEOGRÁFICO

La región eurosiberiana o atlántica de la Península Ibérica se caracteriza por una aridez estival nula o muy ligera (COSTA; MORLA; SÁINZ, 2001). Las formaciones climácicas más representativas son los bosques planocaducifolios, dominados por árboles de hojas blandas, planas, grandes y caducas durante el inverno como son los robles (*Quercus* subgen. *Quercus*), hayas (*Fagus* spp.), abedules (*Betula* spp.), fresnos (*Fraxinus* spp.), prados (*Acer* spp.), tojo y uz (*Ulex europaeus, Ulex minor, Erica ciliaris, Erica cinerea* y *Daboecia cantabrica*), y en las comunidades de montaña y alta montaña los cimbros (*Juniperus communis* subsp. *alpina*).



Robleda y matorral

El género *Quercus* predomina en toda la zona, y desde su expansión hace unos 10.000 anos, el roble (*Quercus robur*) y el o rebollo-cerqueira (*Quercus pyrenaica*) son una de las especies más habituales de los bosques mixtos de caducifolios (CARRIÓN, 2003). En el piso colino la vegetación potencial está constituida por bosques planocaducifolios y perennifolios relícticos (COSTA; MORLA; SÁIZ, 2001), que se corresponden con formaciones con especies predominantes o en bosques mixtos en los que esta especie aparece acompañada de fresnos (*Fraxinus excelsior*), tilos (*Tilia* sp), olmos (*Ulmus* sp), sauce (*Salix* sp), azarollo-*capudres* (*Sorbus aucuparia*) y encinas (*Quercus ilex*) con loureles (*Laurus nobilis*).



Mapa de las regiones biogeográficas de la Península Ibérica

El robledal termófilo galaico-portugués (*Rusco aculeati-Quercetum roboris*) es característico en los pisos colino y montano (termotemplado y mesotemplado). En este sector el abedul (*Betula spp.*) en el es una de las especies más frecuentes, localizándose en los valles. La influencia mediterránea es notable, apareciendo especies como el laurel (*Laurus nobilis*), el madroño-érbedo (*Arbutus unedo*), la rubia (*Rubia peregrina*), el torvisco-trobisco (*Daphne gnidium*), la retama blanca o *xesta mansa* (*Osyris alba*) o el rusco-xilbardeira (*Ruscus aculeatus*). En las zonas más bajas, en los valles de los ríos se incorpora el alcornoque-sobreira (*Quercus suber*), en la subasociación *quercetosum suberis*. En las riberas de los cursos de agua, las ripisilvas o bosques de ribera, la especie más representada son los alisos o *ameneiros* (*Alnus glutinosa*). En este sector son también frecuentes el arraclán o *sanguiño* (*Frangula alnus*), el sauce-salgueiro (*Salix atrocinerea*) y saúco común-sabugueiro

(*Sambucus nigra*). En el estrato herbáceo, de cobertura elevada, abundan los geófitos, con elevada presencia de helechos.

4.7.3. CONTEXTO PALEOAMBIENTAL

La síntesis de la evolución de la vegetación Subatlántica realizada por M.J. Aira (AIRA, 1996) señala como las zonas de aumento arbóreo durante este período coinciden de forma muy clara con los aumentos de polen de roble (*Quercus* sp caducifolio), con tres puntos máximos: alrededor del 2.600 BP, del 2.440 BP y entre el 1.635-1.600 BP y en dos máximos secundarios que se localizan en el 2.530 y el 1.510 BP.

El castaño (*Castanea sativa*) aparece ya en el tránsito Atlántico-Subboreal en la muestra de Cabo Silleiro. Alrrededor del 2.070 BP se produce en algunas zonas un fuerte aumento del polen de castaño que puede estar relacionado con la difusión de esta especie por medio de prácticas de silvicultura. La vid (*Vitis vinifera*) fue identificada en el análisis polínico de Braña Rubia alrededor del 1.600 BP.

Los descensos de vegetación arbórea coinciden con el desenvolvimiento de herbáceas y maleza, durante las dos etapas principales de deforestación, del 2.600 al 2.450 BP y del 2.380 al 2.070 BP, produciéndose los valores más altos de gramíneas y en menor medida de Ericaceae.

En el período comprendido entre el 975 y el 250 cal. BC, tuvo lugar el episodio frío del Subatlántico, seguido a partir del 250 cal BC y hasta el 450 cal. AD del período cálido de época romana, durante el que se produce un aumento de *Alnus* sp, *Betula* sp, *Corylus avellana*, *Quercus* sp caducifolio, *Castanea sativa*, *Juglans regia* e *Fraxinus* sp. Entre el 130 BC y el 200 AD existe un impacto humano perceptible en la ría de Vigo, y hacia el 300 AD la deforestación de la zona es significativa. Hacia el 1 BC se documenta la existencia de polen de *Juglans* e *Castanea* (DESPRAT *et alii*, 2003).

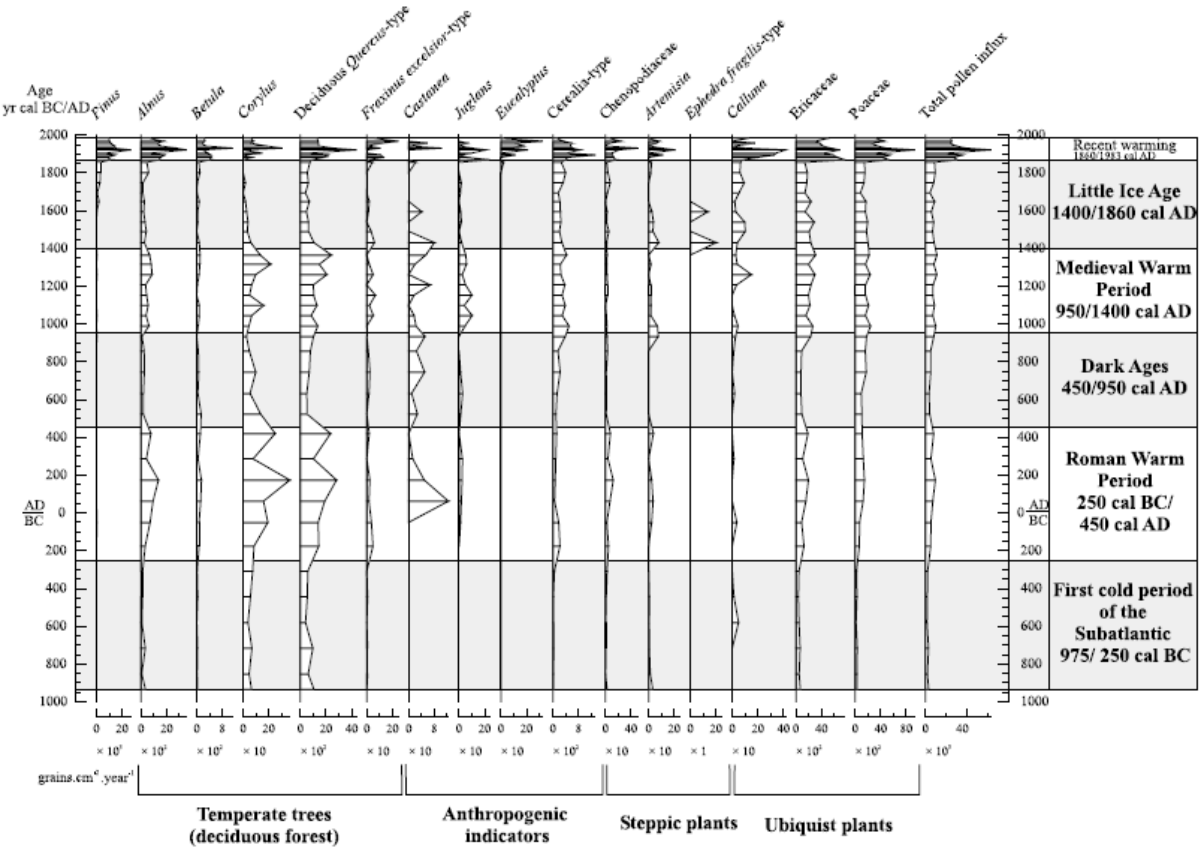


Diagrama polínico de la ría de Vigo (DESPRAT *et alii*, 2003)

El diagrama polínico realizado a partir de las muestras recogidas en el Castro de Navás (Nigrán, Pontevedra), permiten observar las especies arbóreas existentes en la zona de la ría de Vigo durante el cambio de era. Destaca la determinación en este análisis de polen de castaño (*Castanea sativa*), nogal (*Juglans regia*) y olivo (*Olea europaea*) (CURRÁS, 2008).

En Europa occidental la adopción de la arboricultura es una de las principales innovaciones incorporadas durante el período comprendido entre la edad del hierro y la época romana (ZAPATA, 2002). Esta técnica consiste en la domesticación de árboles frutales, es decir, de alterar la biología reproductora sexual de la planta por una reproducción vegetativa. Mediante la propagación de clones los seres humanos pueden seleccionar y duplicar aquellos individuos que proporcionan frutos excepcionales. La arboricultura suplanta la reproducción natural. Los primeros árboles frutales domesticados en Oriente Próximo fueron el olivo, la vid, la higuera, la palmera datilera y la granada, las cuales se reproducen más fácilmente de forma vegetativa. En el caso del manzano, el peral, el andrino o el cerezo, en el existe evidencia definitiva de su cultivo ata el I milenio a.C., ya que necesitan de métodos de reproducción más complicados como el injerto.

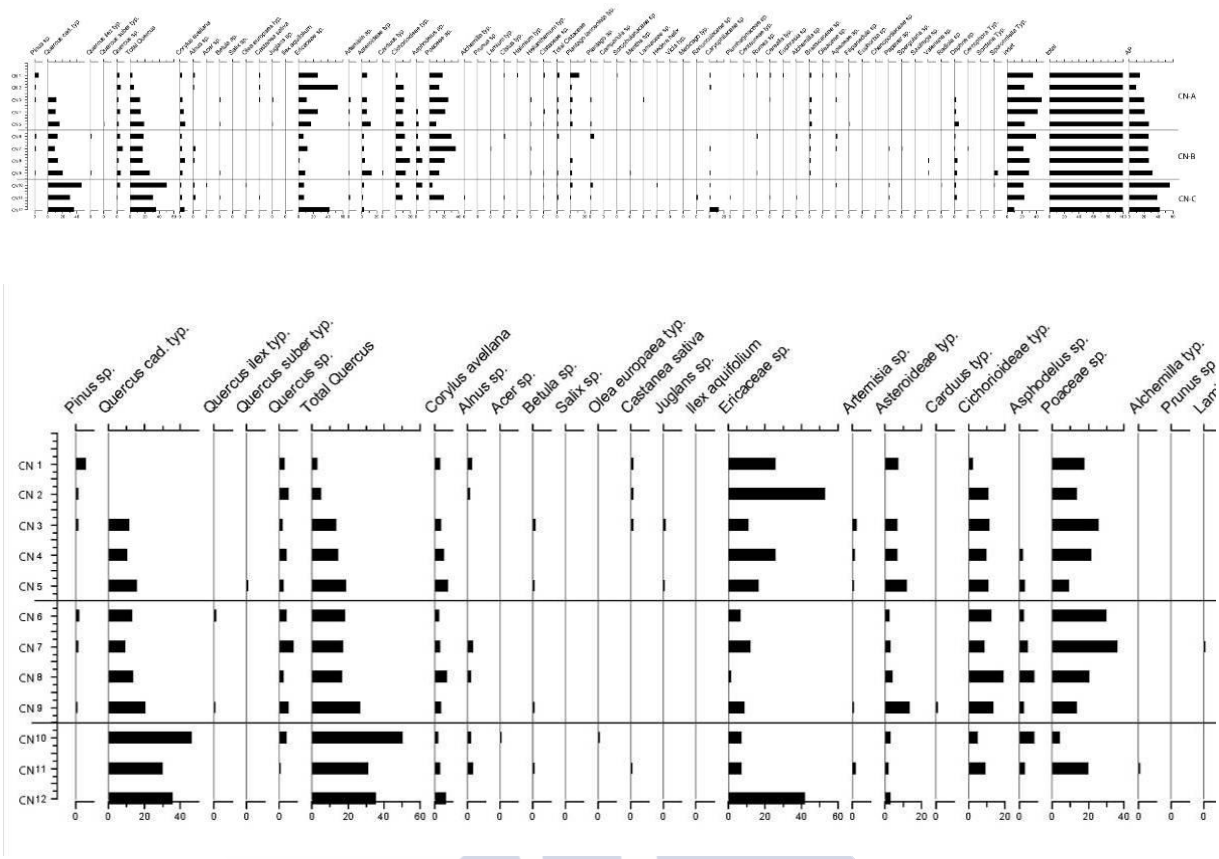


Diagrama polínico del Castro de Navás para el cambio de era, completo y selección de las especies arbóreas (CURRÁS, 2008)

UNIVERSIDADE DE SANTIAGO DE COMPOSTELA

4.7.3. METODOLOGÍA

4.7.3.1. CONVENCIONES ADOPTADAS

Para una mejor comprensión se especifican las convenciones adoptadas para la denominación de los distintos taxones vegetales identificados.

1. Los nombres científicos aparecen siempre en cursiva, tanto cuando se refiere a familia, como género o especie. Ejemplo: especie: *Quercus robur*, género: *Quercus*, familia: *Fagaceae*.

2. Cuando se limita a la identificación de la familia, el término adoptado es el de familia. Por ejemplo: *Caryophyllaceae, Fabaceae.*

3. Cuando se limita a la identificación al género, se emplea la mención *sp* después del nombre de género. Por ejemplo: *Triticum sp* (trigo), *Quercus* sp.

4. Cuando la identificación se restringe a dos géneros o especies sin poder concretar específicamente una de ellas, se separa con una barra (/). Por ejemplo: *Prunus avium/cerasus* (cerezo/guindo), *Brassica/Sinapis*, *Salix/Populus*.

5. La mención –subsp.- indica la pertenencia a subespecie. Por ejemplo: *Vitis vinifera* subsp. *sativa.*

6. Cuando se refiere al posible reconocimiento de un taxón pero en el se tiene la certeza objetiva, se emplea (*cf*) con anterioridad al nombre. Por ejemplo: *cf Rubus fruticosus agg*.

7. La mención “tipo” se utiliza para una identificación lo más semejante posible a un género o especie. Se trata de una orientación sin determinación.

8. Los “indeterminados” son os restos sin ninguna atribución propuesta, bien por la dificultad, o por en el poder disponer de un referente que facilite su identificación.

9. Los “indeterminables” se corresponden con aquellos restos sin ningún tipo de atribución dado el mal estado de conservación, o por en el conservar trazas que permitan su identificación.

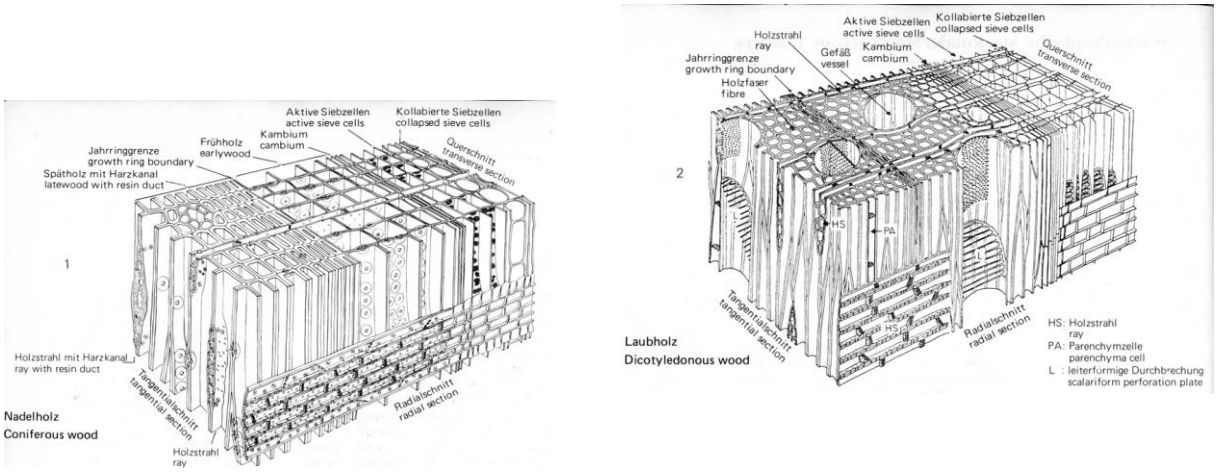
4.7.4.2. ANÁLISIS XILO-ANTRACOLÓGICO

El análisis antracológico permite una identificación de las especies vegetales a las que pertenecen los carbones localizados en un yacimiento, en base a criterios anatómicos y biométricos. Este método en el es destructivo ni requiere ningún tipo de tratamiento químico del carbón, por lo que puede ser utilizado posteriormente para la realización de dataciones radiocarbónicas.



Preparación de las muestras de carbón y madera húmeda para su identificación

El objeto del análisis antracológico o xilológico se basa en un leño o gilema que constituye la estructura secundaria caracterizada por una arquitectura microscópica bien definida y diversa, según la planta de la que proviene. Gracias a las paredes extremadamente resistentes (lignificadas) que caracterizan la gran masa de células que componen el leño (traqueidas, vasos, fibras, etc.) y que son visibles e identificables a pesar de estar los tejidos carbonizados.



Representación esquemática del leño de coníferas y dicotiledóneas (SCHWEINGRUBER, 1990a)

Las muestras fueron observadas con un microscopio Olympus CX-40 con objetivos 20x, 40x, 100x, 200x y 400x del Departamento de Historia I de la Universidad de Santiago de Compostela. Los carbones fueron fracturados con el fin de poder observar los tres planos anatómicos de la madera: transversal, longitudinal tangencial y longitudinal radial en un microscopio de luz a reflexión. Las maderas necesitan una preparación previa para la observación que consiste en la obtención de láminas primas orientadas en los tres planos anatómicos de la madera. La identificación se realizó utilizando un microscopio de luz transmitida para la observación de las secciones montadas sobre un portaobjetos. Para la determinación se realizan diferentes cortes al carbón. Una vez observadas las características anatómicas, se compara con una colección actual de referencia y/o con la bibliografía especializada para realizar su identificación, fundamentalmente los atlas de anatomía de madera de F.H. Schweingruber (SCHWEINGRUBER, 1978; SCHWEINGRUBER, 1990), J.G. Hather (HATHER, 2000), García y otros autores (GARCÍA *et alii*, 2003), y con el atlas anatómico de carbones actuales y arqueológicos de Vernet y otros (VERNET *et alii*, 2001).

4.7.4.3. ANÁLISIS DENDROLÓGICO

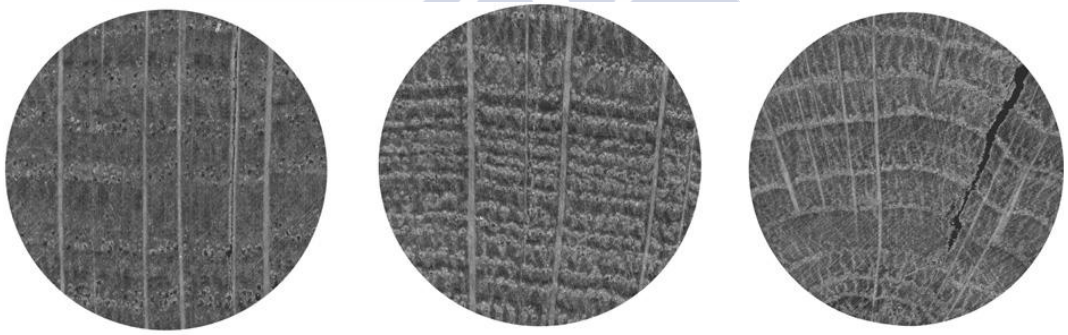
El análisis dendrológico permite estudiar la morfología de la madera y de los anillos de crecimiento de los vegetales, que reflejan la historia delo crecimiento de la planta, de manera que registran los acontecimientos de origen climático, mecánico o antrópico que causan alteraciones en ese crecimiento (KAENNEL; SCHWEINGRUBER, 1995; CARRIÓN, 2006; MARGUERIE; HUNOT 2007). Las principales limitaciones de la aplicación de este tipo de análisis sobre carbones arqueológicos son los procesos de combustión y los procesos posdeposicionales que suelen provocar la fragmentación de las ramas o troncos por lo que habitualmente en el se conserva el diámetro completo. Sin embargo este tipo de análisis

permite aportar datos sobre las características de la leña o de la madera consumida (parte de la planta, curvatura del anillo, presencia de madera de tensión o compresión, presencia de tilosis, períodos de tala y corta, acción de entomofauna), alteraciones debidas al proceso de combustión (vitrificación y hendiduras), etc.

4.7.4.3.1. CARACTERÍSTICAS DE LA MADERA

Parte de la planta: En ocasiones no se puede llegar a determinar la parte de la planta analizada. En ese caso únicamente se señala el fragmento o la pieza como procedente de una zona indeterminada del leño. En el caso de poder determinarse la parte exacta de la planta se indica si forma parte de una rama, tronco, raíz, nudo o corteza.

Curvatura de los anillos: La curvatura del anillo indica si la madera procede de la parte central o exterior del tronco, y si se trata de un tronco de gran calibre o una rama (HUNOT, 2000; CARRIÓN, 2006; MARGUERIE; HUNOT, 2007). Se distinguen tres tipos de curvatura: débil, con anillos moderadamente curvados y con fuerte curvatura. Para este tipo de observación fueron utilizados 100x aumentos.

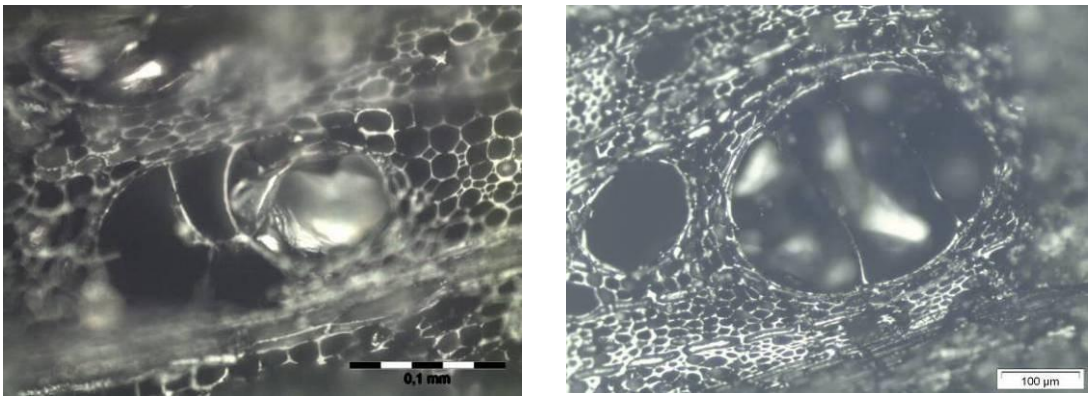


Tipo de curvatura del anillo a partir de Marguerie y Hunot (MARGUERIE; HUNOT, 2007). De izquierda a derecha se presentan anillos con curvatura débil, anillos moderadamente curvados, y anillos con fuerte curvatura

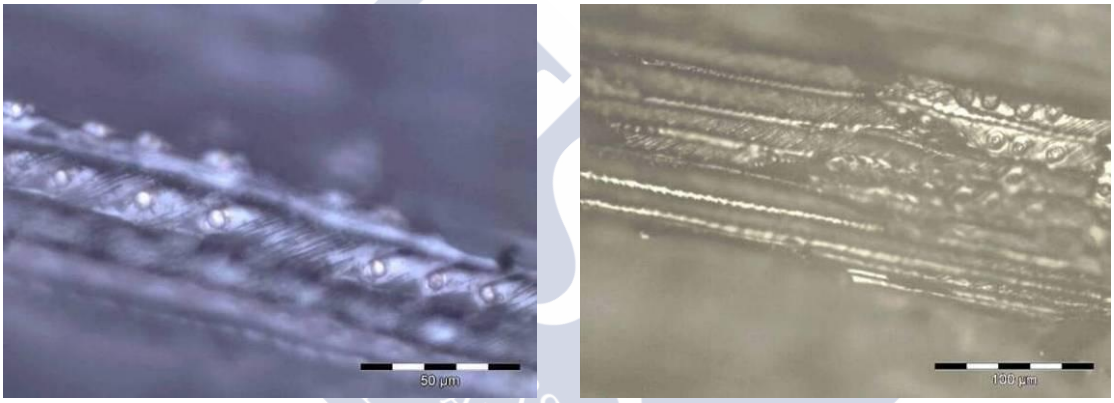
Presencia de tilosis: Las tílides son un modo de protección de la planta frente al ataque de microorganismos y patógenos. Ocupan el interior de los vasos penetrando a través de las puntuaciones vasculares una vez que el transporte de agua, a través de estos conductos, tiene finalizado (BONSEN; KUČERA, 1990).

Madera de tensión y compresión: De manera general la presencia de madera de reacción, denominada madera de compresión en las gimnospermas o de tensión en las angiospermas está determinada por la existencia de tensiones durante el crecimiento del árbol (BAMBER, 2001). Los árboles tienen habitualmente un crecimiento vertical. En caso de que este crecimiento se vea alterado por el hundimiento del suelo o por la exposición a los vientos predominantes, el tronco inclinado desarrolla una madera anormal, la madera de reacción, que sirve tanto para reorientar el tronco como para estabilizar el árbol o las ramas cuando estas se

encuentran sometidas a una importante tensión (BAMBER, 2001; MARGUERIE; HUNOT, 2007; HEINRICH; GÄRTNER 2008).



Presencia de tilosis en el interior de los vasos de nogal (*Juglans regia*) y roble (*Quercus* sp caducifolio)



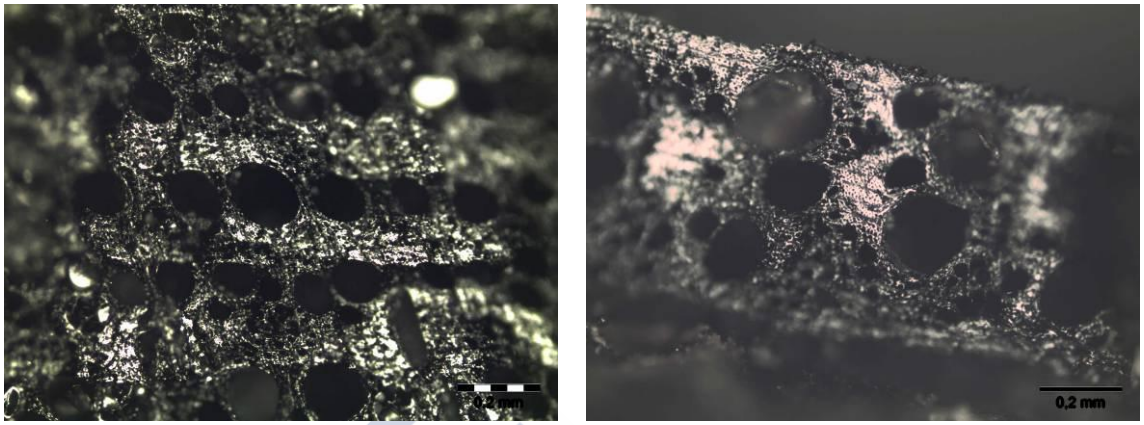
Madera de tensión en un fragmento arqueológico de *Pinus sylvestris*

Para conseguir enderezar el tronco, la madera de compresión desarrolla una fuerza compresora que permite sostener y estabilizar el tronco, mientras que la madera de tensión desarrolla una tensión contráctil con el mismo fin. Se puede determinar este tipo de alteración en los fragmentos de carbón en los cortes transversales de las paredes con células engrosadas y en el corte tangencial radial con marcadas estrías paralelas y oblicuas en un ángulo de 40-45º en relación con el eje de las células. Este tipo de alteraciones de la madera son visibles especialmente en los cortes radiales de las gimnospermas.

4.7.4.3.2. ALTERACIONES DEBIDAS A LAS CONDICIONES DE CRECIMIENTO

Distancia entre anillos: La morfología de los anillos en las plantas es una consecuencia del crecimiento en grosor del individuo y de aquellos estímulos externos de tipo climático o antrópico que habían podido alterar este ritmo. Este tipo de mediciones permite observar el ritmo de crecimiento de las plantas y la poda de ramas y hojas de árboles y arbustos con el fin de obtener forraje de invierno para alimentar al ganado bovino, ovino y caprino (HAAS,

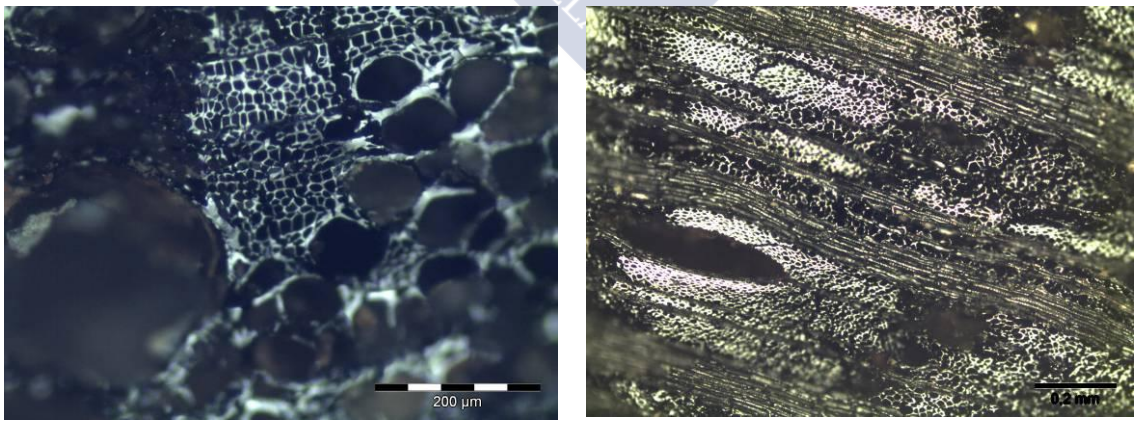
2002). Los ejemplos de poda e desmochado de árboles están documentados sobre especies como el fresno (*Fraxinus excelsior*), el azarollo (*Sorbus aucuparia*), etc. Dependiendo de la especie, cada árbol o arbusto puede ser utilizado para la obtención de forraje en intervalos de dos a seis años.



Carbones arqueológicos de roble (*Quercus* sp caducifolio) con una distancia entre anillos anuales menor de la habitual

4.7.4.3.3. ALTERACIONES DEBIDAS A LAS CONDICIONES DE COMBUSTIÓN

Hendiduras radiales: La presencia de hendiduras radiales es común en los carbones. Está muy condicionada por la propia estructura anatómica de cada especie, afectando principalmente a aquellos árboles o arbustos que tienen una importante densidad de radios o cuando estos son multiseriados. Se localizan normalmente en las zonas más alejadas del núcleo de la madera y son más frecuentes y de mayor tamaño si el nivel de humedad de la madera y la temperatura a la que se produce la combustión son elevados.



Carbones arqueológicos con vitrificación de los tejidos y con hendiduras radiales

Vitrificación: La vitrificación es una de las alteraciones más habituales entre los carbones arqueológicos. Supone la fusión de los diferentes componentes de la madera,

homogeneizando la estructura llegando a provocar una fusión total de los tejidos que pueden llegar a impedir la identificación del taxón. Normalmente la vitrificación aparece asociada con las hendiduras radiales y afecta especialmente a las pequeñas romas. La combustión a altas temperaturas puede provocar deformaciones de los tejidos, hendiduras y fusión.

4.7.4.3.4. ALTERACIONES DEPOSICIONALES Y POSTDEPOSICIONALES

Fragmentación: El registro del tamaño de cada fragmento analizado permite obtener información sobre los procesos deposicionales y postdeposicionales de los carbones analizados, además de contribuir a realizar una mejor interpretación funcional de los restos estudiados.

Fragmentos rodados: En los casos en los que los carbones analizados presentaban sus extremos completamente redondeados, se señala su radaje, desplazados de su ubicación original, y afectados por procesos erosivos antes de formar parte del depósito en el que fueron localizados.

4.7.4.4. ANÁLISIS DEL PROCESO TÉCNICO

Todas las maderas húmedas analizadas con algún tipo de señal de trabajo de carpintería o tala fueron descritas utilizando la siguiente ficha y dibujadas en planta (anverso y reverso), perfil y sección con el fin de obtener datos sobre el proceso técnico de la madera en el asentamiento.

Etapa de la cadena operativa: En este apartado se indicamos la etapa de la cadena operativa de cada uno de los fragmentos analizados. Las posibilidades definidas en este apartado son preforma, deshechos de fabricación, productos manufacturados o indeterminados.

Función posible: En este apartado se indica la posible función de los artefactos o elementos de estructuras analizados. Con el fin de poder incluir descripciones tanto de objetos sencillos como lascas, postes o estacas, se utiliza el término elemento simple, para objetos que forman parte de una estructura u objeto complejo como puede ser una empalizada, un barco, etc, formados por varios elementos simples. Se utiliza el término: objeto/estructura compuesta en el caso de elementos relacionados con estructuras. Los más habituales serían postes, estacas, cuñas, tablas, clavos, piezas para ensamblar, etc. Los artefactos más habituales serían mangos, vasijas, flotadores de red, pesas, etc.

Xacemento	Intervención	C campo
C lab	Código obx/est	Data análise

Análise contexto arqueolóxico

Contexto arqueolóxico Área Sector UE UR Cronoloxía	Nivel Ocupación Construción Destrución Abandono	Estrutura/Depósito
Tipo de conservación Carbonización Mineralización Saturación/Humidade Desecación	Tipo de recollida Manual Cribado en seco Cribado en auga Flotación	Observacións

Identificación taxonómica

Análise dendrolóxica

Parte da planta Leño indeterminado Póla Tronco Raíz Nó Cortiza	Curvatura dos aneis Feble Moderada Forte	Outros Compresión/Tensión Tilosis Cortiza
Calibre	Número de aneis	Acción biolóxica Entomofauna Fungos Bacterias
Alteracións Colapso das células Aneis sinuosos Cicatrices/Callosidades Corazón excéntrico Distancia entre aneis TRD Fendas radiais Vitrificación		

Análise proceso técnico

Etapa cadea operativa Indeterminada Preforma Desfeitos de fabricación Produto manufacturado	Función Elemento simple Obxecto/estrutura composta	
Método de extracción	Evidencias lume	Aproveitamento dir fibras
Descrición morfolóxica		

Estado de conservación

Fracturas antigas Fracturas recentes Fendas antigas Fendas recentes Deformacións antigas Deformacións recentes	Observacións

Ficha diseñada para el registro de las maderas con señales de trabajo

Método de extracción: Los métodos más habituales de extracción de la madera del tronco fueron sintetizados por J.M. Coles, S.V.E. Heal e B.J. Orme (COLES; HEAL; ORME, 1978). A partir de estudios de la madera de los “trackways” definieron 5 tipos de extracción:

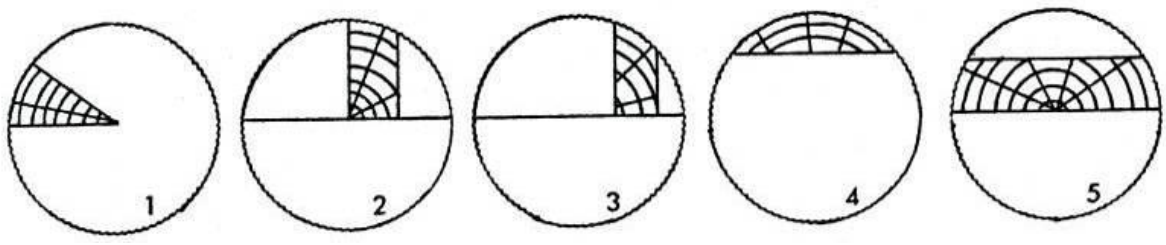
(1) Radial: cortado a lo largo de los radios.

(2) Leño seccionado a la mitad y cortado radialmente hacia el centro y de nuevo de forma perpendicular a la línea inferior.

(3) Leño seccionado a la mitad y dos veces, de forma perpendicular a la línea inferior.

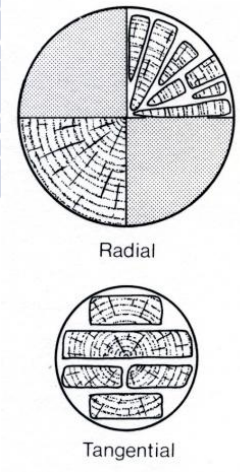
(4) Corte tangencial, a lo largo de la curva del leño.

(5) Tabla gruesa cortada radialmente a través del ancho completo y después tangencialmente a través de su curvatura.



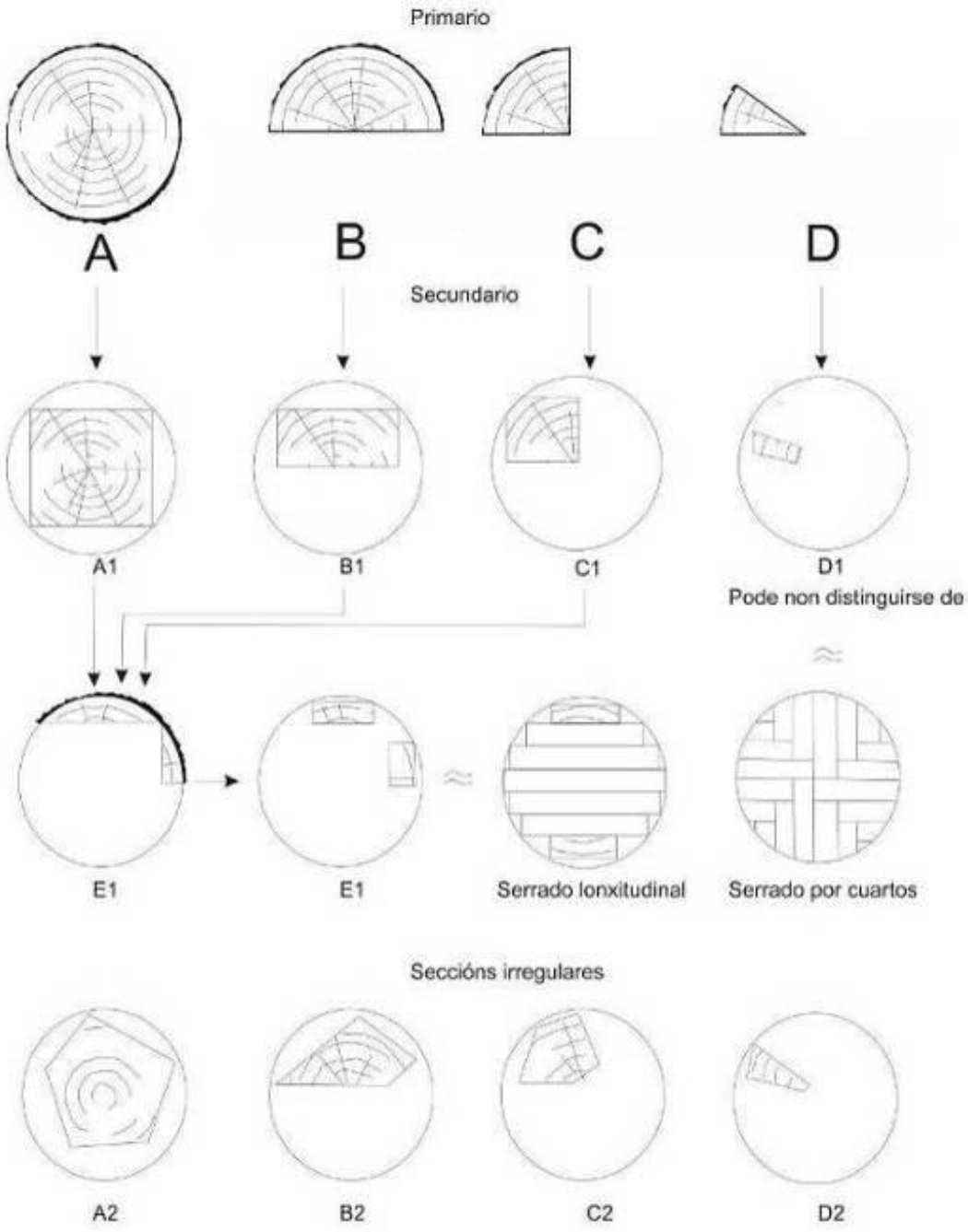
Métodos de extracción de las piezas de madera (COLES; HEAL; ORME, 1978)

Posteriormente Bryony e John Coles (COLES; COLES, 1986) describieron los dos sistemas más habituales de corte de un tronco de roble como radial o tangencial. Los troncos de mayores dimensiones serían seccionados de forma radial. En el roble además este tipo de corte estaría favorecido por la tendencia a fracturar a lo largo de sus radios, mientras que las secciones tangenciales se realizarían sobre troncos de menor calibre con el fin de aprovechar todo el ancho posible.



Métodos de extracción de las tablas (COLES; COLES, 1986)

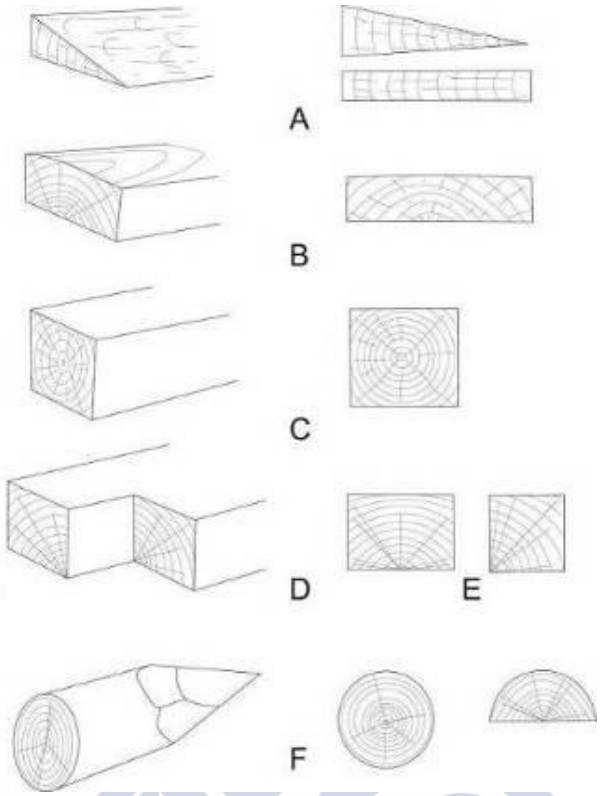
La investigación sobre madera procedente de estructuras fue abordada también por A. Crone y J. Barber (CRONE; BARBER, 1981), que clasificaron las maderas a partir de la realización de cortes radiales del tronco. Realizaron una codificación de las variables que determinaron en los materiales arqueológicos. La necesidad de establecer una codificación para la descripción de este tipo de trabajo de la madera se hacía necesaria debido a la confusión terminológica existente en los trabajos arqueológicos.



Descripción de los cortes de la madera de construcción (CRONE; BARBER, 1981)

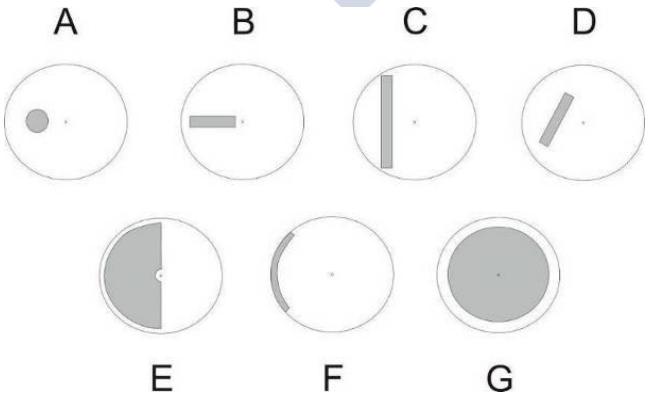
Existen también descripción de los cortes de madera más habituales localizados en yacimientos arqueológicos (SHACKLEY, 1981): (A) Cortes radiales y tablas de sección cuadrangular; (B) Tablas de sección rectangular cortadas en el límite dl árbol; (C) Listón de sección cuadrangular obtenido a partir de un tronco entero; (D,E) Listón de sección

cuadrangular obtenido a partir de un cuarto de tronco; (F) Estacas de ramas o troncos enteras o partidas a la mitad con corteza y uno de los extremos apuntados.

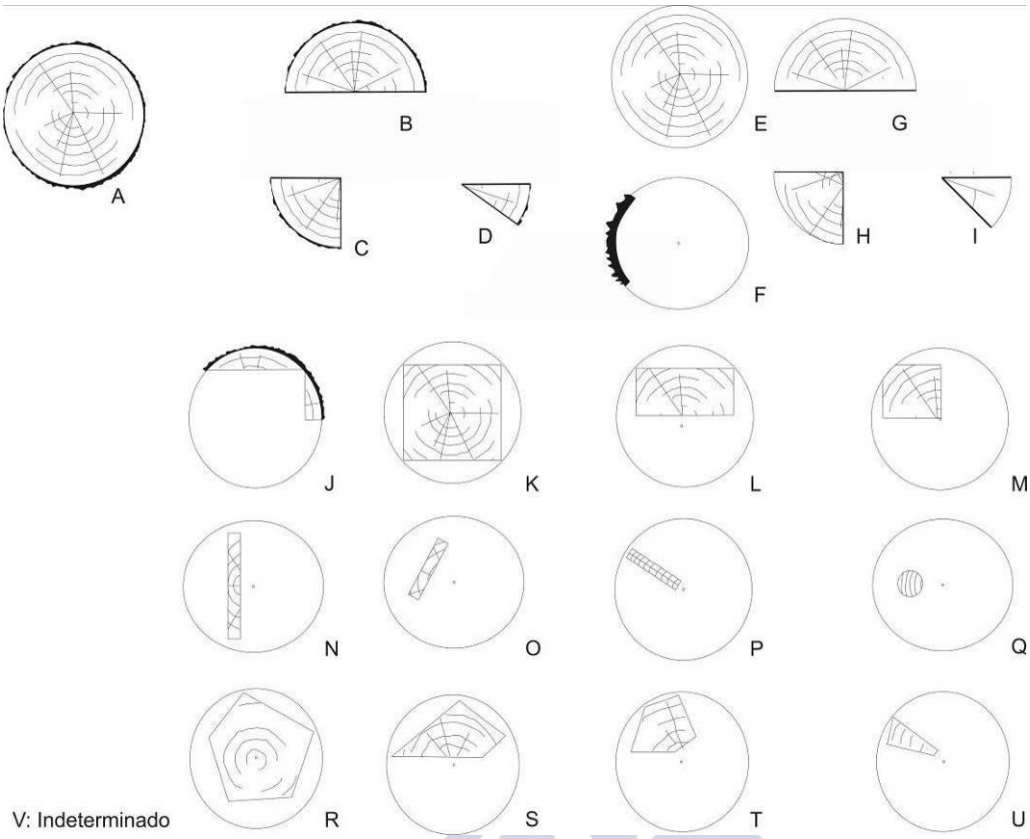


Cortes comunes en la madera de contextos arqueológicos (SHACKLEY, 1981)

Caroline Vermeeren (VERMEEREN, 2003) utiliza como criterios para el método de extracción de la madera: (1) la zona del árbol de la que se obtiene la madera; (2) la orientación de la pieza con respecto al tronco y (3) la morfología de la madera extraída.



Métodos de extracción de la madera del tronco (VERMEEREN, 2003)



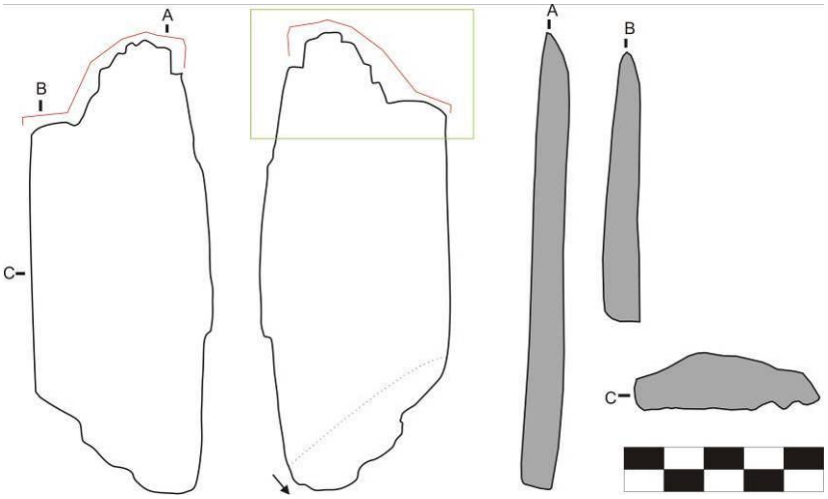
Esquema de los métodos de extracción de la madera elaborado a partir de los anteriores

Evidencias de la acción del fuego: Con este apartado se pretende documentar las posibles aplicaciones del fuego en la elaboración de determinados elementos de madera, con el fin de endurecer puntas u otro tipo de objetos.

Aprovechamiento de la dirección de las fibras: Durante el proceso de elaboración de materiales constructivos o utensilios, se tiene en cuenta que en los casos en los que sea necesaria una resistencia a la compresión y a la tracción, se aprovechará la pieza de manera paralela a las fibras.

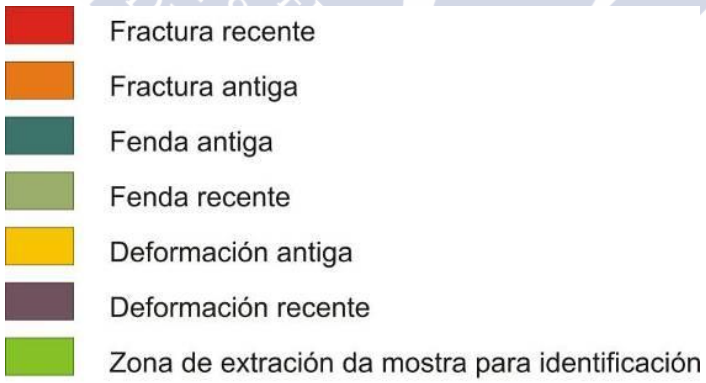
La división de una pieza de madera se realiza de manera diferente en el caso de que esta sea de pequeñas dimensiones. Se utiliza un hendedor, mientras que si a la pieza tiene una cierta longitud será necesario utilizar un hacha corto y ancho o una sierra larga.

Descripción morfológica: Se realiza una descripción sintética de la pieza indicando su forma y sección, si forma parte de una estructura o de una herramienta compuesta por varias piezas, si presenta facetas de corte o marcas de serrado, alteraciones, etc.



Dibujo de una de las piezas de madera estudiadas

Estado de conservación: En el estado de conservación se indica el tipo de alteraciones sufridas por las piezas de madera estudiadas y el momento en el que estas se produjeron. Las diferentes categorías que se establecieron fueron las siguientes: fractura (reciente o antigua), hendidura (reciente o antigua) y deformación (reciente o antigua). Se señala además una área bordeada de color verde que delimita la zona en la que se extrajeron las muestras semifinales para a identificación. En determinados casos algunos fragmentos de roble (*Quercus* sp caducifolio) fueron identificados *de visu.*



Código de colores con el que se señalan en el dibujo de las piezas las alteraciones y las zonas de extracción de muestras.

4.7.4.5. ANÁLISIS CARPOLÓGICO

4.7.4.5.1. IDENTIFICACIÓN TAXONÓMICA

La identificación taxonómica de las semillas y frutos arqueológicos, se establece a través de tres procedimientos básicos:

1. La observación de las características morfológicas.

2. Cálculo de índices morfométricos.

3. Análisis de las estructuras celulares y de las características ornamentales y anatómicas de los tegumentos.

De los tres procedimientos el análisis de estructuras celulares no fue realizado.

4.7.4.5.1.1. Características morfológicas de frutos y semillas

Los restos carpológicos no necesitan de manipulación alguna. Para la determinación de las características morfológicas, las muestras fueron observadas con una lente binocular Olympus SZx7 con aumentos de 1x, 1,25x, 1,56x, 2x, 2,5x, 3,13x, 4x, 5x, 6,25x y 7x del Departamento de Historia I de la Universidade de Santiago de Compostela.

Una vez observadas las características anatómicas, se efectuó una comparación con colecciones actuales de referencia y con la bibliografía especializada para proceder a su identificación, fundamentalmente atlas carpológicos, infraestructuras de datos de acceso público y atlas digitales.

4.7.4.5.1.2. Cálculo de índices morfométricos

A través de observación de 3 planos sobre cada semilla, cara dorsal, ventral y grosor, se pueden realizar tres medidas básicas y determinar características morfológicas de las semillas analizadas para la determinación de especies.

La comparación de los caracteres biométricos de las semillas se realiza a través del: largo (l), ancho (a) y grosor (g). La relación entre los tres parámetros se expresan a través de índices biométricos. Estos índices pueden en algunos casos determinar la especie cuando la observación morfológica no aporta datos suficientes para la identificación taxonómica. Tres son los más utilizados:

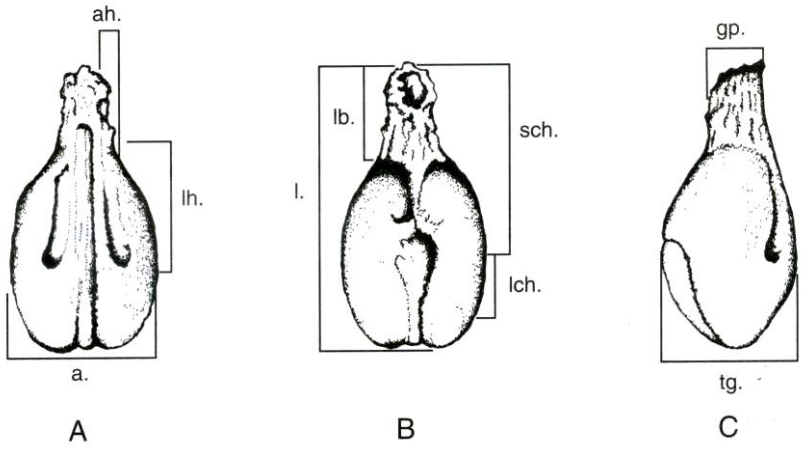
- *Largo sobre ancho* (100 x l / a). Refleja el grado de longitud o anchura.

- *Grosor sobre ancho* (100 x g / a). Expresa el volumen de la semilla.

- *Ancho sobre largo* (100 x a / l). Se utiliza fundamentalmente para las pepitas de vid con el fin de distinguir ejemplares cultivados y ejemplares silvestres. Por lo general

las pepitas con un índice a/l inferior a <70 se corresponden con la subespecie cultivada (*Vitis vinifera* subsp. *sativa*) y el índice a/l superior a >70 suelen corresponderse con cepas silvestres (*Vitis vinifera* subsp. *sylvestris*)

Además para la determinación de diversas características en algunos taxones es necesaria la toma de más medidas de su morfología. En el caso concreto de las pepitas de vid también se toman medidas de las siguientes partes: en la cara ventral: el largo del hoyuelo (lh) y ancho del hoyuelo (ah); en la cara dorsal: el largo del pico (lb), situación de la chalaza (sch) y largo de la chalaza (ch) y en el grosor: el grosor del pico (gp). Se puede efectuar también un índice entre la relación del largo del pico y o grosor que ayuda a determinar entre taxones silvestres y cultivados.



Diversas mediciones de las pepitas de vid según Buxó (BUXÓ, 1997). A: Cara Ventral. B: Cara Dorsal. C: Grosor

6.5.4.5.2. RECUENTO

1. Individuos completos. La correspondencia de cada individuo n=1

2. Sección/Cotiledón. El recuento se considera 2n=1, dado que representa la mitad de un individuo, haciéndose un recuento de número máximo y mínimo de individuos.

3. Fragmentos. Se hace un recuento numérico de la cantidad pero no se refleja en criterios estadísticos. Los fragmentos considerados no presentan de escutelo[40]. En el caso de fragmentos de leguminosas no se contabilizan como enteros. Aquellas semillas que contienen dos mitades serán contabilizadas como fragmentos cuando sean inferiores a una de las sus mitades.

[40] Cotiledón transformado en órgano absorbente, adosado al endosperma.

4.7.5. TRATAMIENTO DE LAS MUESTRAS

4.7.5.1. CARACTERÍSTICAS DEL MATERIAL ORGÁNICO SATURADO DE AGUA

Las maderas, semillas y frutos conservados por humidad o por saturación de agua conservan en el momento de su recuperación, el aspecto exterior similar al material fresco. Sin embargo su estructura está degradada. En el caso de la madera, el proceso de alteración comienza con el ataque fúngico sobre las celulosas al que sigue el ataque bacteriano.

El material orgánico saturado de agua, y específicamente, las maderas recuperadas en yacimientos arqueológicos, está degradado y necesita tratamientos de estabilización específicos que eviten deformaciones, reducción de tamaño, fisuras, etc. Estas alteraciones son irreversibles si se produce una pérdida brusca de agua al entrar en contacto con un medio más seco (JOVER; AGUER, 2004).

En el momento de contacto de la madera con la atmósfera, las células transformadas y degradadas por el agua se colapsan, provocando una deformación en la forma y en las dimensiones del objeto. Es imprescindible por lo tanto controlar las condiciones en las que se mantienen este tipo de materiales, que deben de estar permanentemente húmedos y protegidos con plásticos opacos. Las piezas delicadas deben de ser embaladas en soportes o contenedores rígidos para evitar que se fracturen, cubiertas con un poco de agua para que no pierdan la humedad pero sin superponer piezas y eliminando todos los restos de sedimento sobre los que pueden crecer todo tipo de microorganismos. En el caso de que la cantidad de material lo haga necesario, podría excavarse una zona en el proprio hallazgo que se recubriría con plástico negro o en un contenedor plástico de grandes dimensiones y una vez limpias las piezas, se colocarían dentro de bolsas herméticas de PVC con etiquetas. Después, lo más adecuado sería almacenarlas con agua y biocida, en un frigorífico, de manera que no se degrade por la acción de microorganismos.

En el caso de maderas de grandes dimensiones y que no permiten ser guardadas en bolsas, el almacenaje preventivo será diferente. La madera húmeda deberá ser envuelta con una esponja empapada en agua, cubriendo todo con un plástico opaco y precintando lo máximo posible. Deberá establecerse una monitorización sistemática mientras el material no sea guardado en unas condiciones más estables. Recipientes del tipo de cajas termoestables de poliestireno expandido o neveras de playa son un buen sistema de almacenaje para este tipo de muestras, ya que además de ser recipientes rígidos, mantienen una temperatura relativamente estable. Durante todo el proceso es fundamental la utilización de materiales de naturaleza inorgánica ya que en caso contrario podríamos poner en riesgo tanto la

estabilidad del material como la posibilidad de realizar futuros análisis.

El ataque fúngido puede preverse mediante el almacenaje a bajas temperaturas, de ser posible en un refrigerador. En el caso de pasar mucho tiempo entre el momento de la recogida y el inicio del análisis, debería incorporarse a las muestras un fungicida como thymol o phenol en el caso de que las muestras no vayan a ser datadas.

La conservación *in situ* de estructuras realizadas en madera preservadas en contextos saturados de agua y con poca oxigenación, es problemática, ya que en el momento en que estas condiciones son alteradas, comienza el proceso de degradación de la madera. En el caso de las maderas de las salinas de la calle Rosalía de Castro, en el momento de recogida la degradación era muy elevada en un número significativo de casos. En general, la zona superior había perdido toda la humedad y las fibras de la madera se habían contraído formando una estructura caótica que imposibilita la identificación anatómica de las mismas, provocando hendiduras longitudinales, siguiendo la dirección de las fibras. En lana zona inferior, los ascensos y descensos de él nivel freático provocaron el inicio de ataques de bacterias y hongos que acabarían con la putrefacción de la madera.



Detalle del estado de las maderas conservadas *in situ* en el yacimiento

4.7.5.2. TRATAMENTO EN LABORATORIO

Las muestras almacenadas llevaban varios meses en el laboratorio por lo que antes de

estudiar los materiales se realizó una limpieza de todas las muestras que se encontraban recubiertas de una película formada por una sustancia anaranjada similar al óxido de hierro y en otros casos de sales cristalizadas en las piezas expuestas al aire.

Con el fin de evitar la proliferación de microorganismos y conseguir una correcta preservación de los restos durante un período de tiempo más largo, se procedió a la limpieza del sedimento de todas las muestras almacenadas, proceso que duró varias semanas debido a la cantidad de muestras recogidas.



Estado inicial de las muestras

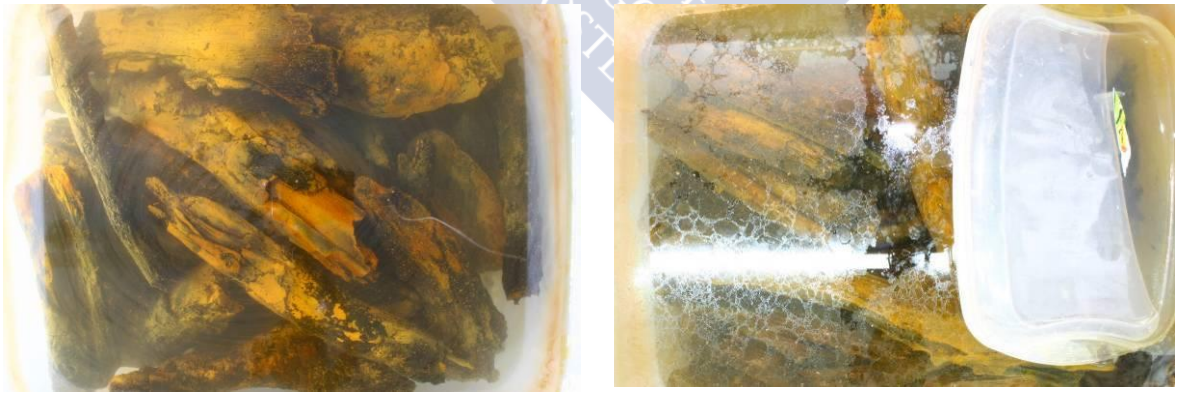
Se realizó una limpieza mecánica de cada uno de los fragmentos con el fin de retirar de su superficie tanto los restos de sedimento, como de la película de óxido existente en la superficie de las piezas y de las sales que precipitaran en las maderas que se encontraban más expuestas al aire.

Una vez realizada la limpieza, se guardaron las piezas en contenedores rígidos, con agua limpia. Los contenedores de menores dimensiones se guardaron en el frigorífico y los de mayores dimensiones se almacenaron a oscuras en temperatura ambiente. Pasadas dos semanas desde la primera limpieza, comenzaron a aparecer en interior de los contenedores películas de grasa y de nuevos óxidos sobre las piezas.



Limpieza mecánica de las piezas y resultado

Esto hizo necesario retirar de nuevo las piezas de madera para volver a limpiarlas y cambiar el agua. En esta ocasión, a aquellas muestras que presentaban restos de grasa se les añadió jabón neutro. Todas estas muestras deben de ser sometidas a cambios de agua periódicamente con el fin de extraer estas substancias.



Grasas y óxidos en las muestras



Segundo cambio de agua e incorporación de jabón neutro

4.7.5.3. INVENTARIO DE LAS MUESTRAS

De manera paralela a la limpieza de las piezas se realizó un inventario de las muestras depositadas y de los materiales que contenían, con el fin de facilitar el análisis. Se agruparon las muestras según la intervención a la que pertenecían y dentro de cada una de estas, se asignó un código de laboratorio. La decisión de optar por utilizar un código de laboratorio diferente al de campo vino determinada por la diferente nomenclatura utilizada por los arqueólogos en campo y porque en algunos casos no se disponía de código de muestra en campo, precisándose asignar uno nuevo.

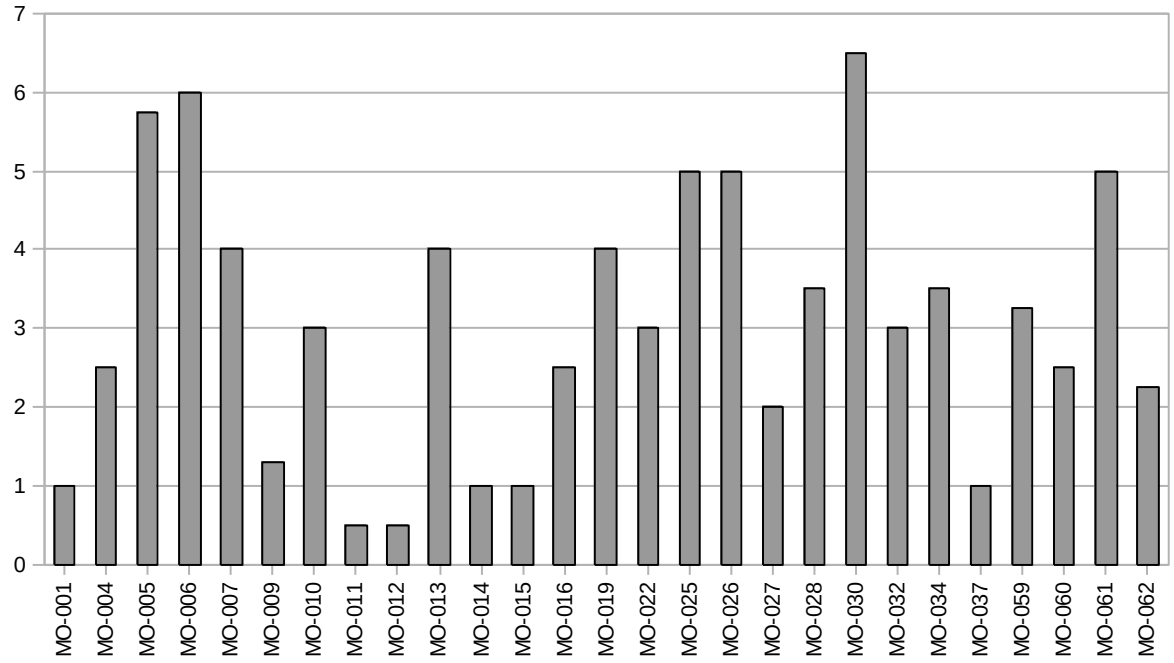
USC UNIVERSIDADE DE SANTIAGO DE COMPOSTELA

CD 102A 2008/154-0						
Código laboratorio	**Código campo**	**UE**	**Sondeo**	**Litros**	**% Con.**	**Contenido**
MO-001	MU-001-MMD	13		1	30,7	Sedimento
MO-002	MU-002-MC	13				Carbón
MO-003	MU-003-MC	13				Carbón
MO-004	MU-004	116		2,5	6,15	Sedimento
MO-005	MU-005	118		5,75	0,07	Sedimento
MO-006	MU-006	120		6	6,6	Sedimento
MO-007	MU-007	124		4	2,06	Sedimento
MO-008	MU-008-MC	89				Carbón
MO-009	MU-009-MMD	102		1,3	54,5	Sedimento
MO-010	MU-010	146		3	0,11	Sedimento
MO-011	MU-011	151		0,5	0,5	Sedimento
MO-012	MU-012	149		0,5	2,6	Sedimento
MO-013	MU-013	153		4	24,24	Sedimento
MO-014	MU-014	143		1	2	Sedimento
MO-015	MU-015	158		1	4	Sedimento
MO-016	MU-016	156		2,5	0,2	Sedimento
MO-017	MU-017-MC	13				Cerámica (raspado contenido)
MO-018	MU-018-MC	102				2 cerámicas (raspado contenido)
MO-019	MU-019	160		4	6,6	Sedimento
MO-020	MU-020-MC	88				Cerámica (raspado contenido)
MO-021	MU-021-MC	88				Carbón
MO-022	MU-022	181		3	87,87	Sedimento
MO-023	MU-023-MC	181				Sedimento
MO-024	MU-024-MC	184				Carbón
MO-025	MU-025	189		5	1,6	Sedimento
MO-026	MU-026	191		5	2,7	Sedimento
MO-027	MU-027	193		2	0,02	Sedimento
MO-028	MU-028	199		3,5	0,05	Sedimento
MO-029	MU-029-MC	89				Carbón
MO-030	MU-030	197		6,5	1,21	Sedimento
MO-031	MU-031MSD	89				Fragmento RC-08-1308
MO-032	MU-032	202		3	0,9	Sedimento

MO-033	MU-033-MC	200				Carbón
MO-034	MU-034	200		3,5	1,5	Sedimento
MO-035	MU-035-MC	176				Carbón
MO-036	MU-036					Sedimento
MO-037	MU-01	289	3	1	0,58	Sedimento
MO-038	MU-02	293				
MO-039	MU-03	346				
MO-040	18	279	5			
MO-041	23	286	4			2 fragmentos de madera
MO-042	27	287	2			1 fragmento de madera
MO-043	32	287	2			9 fragmentos de madera
MO-044	34	289	3			1 castaña, 1 fragmento vegetal sin identificar
MO-045	36	290	2			4 fragmentos de madera, alguna trabajada
MO-046	39	289	3			1 fragmento de madera
MO-047	41					
MO-048	42	299	5			3 fragmentos de madera
MO-049		167				Cerámica común romana
MO-050		167				Cerámica común romana
MO-051		13				Cerámica común romana
MO-052		13				Cerámica común romana
MO-053		12				Cerámica común romana
MO-054		105				Cerámica común romana
MO-055		176				Cerámica común romana
MO-056		129				Cerámica común romana
MO-057		13				
MO-058		88				
MO-059	MU-037	220		3,25	0,58	
MO-060	MU-038	223		2,5	0,16	
MO-061	MU-039	239		5	5	
MO-062	MU-040-MSD	241		2,25	0	Anulada
MO-063	MU-041					

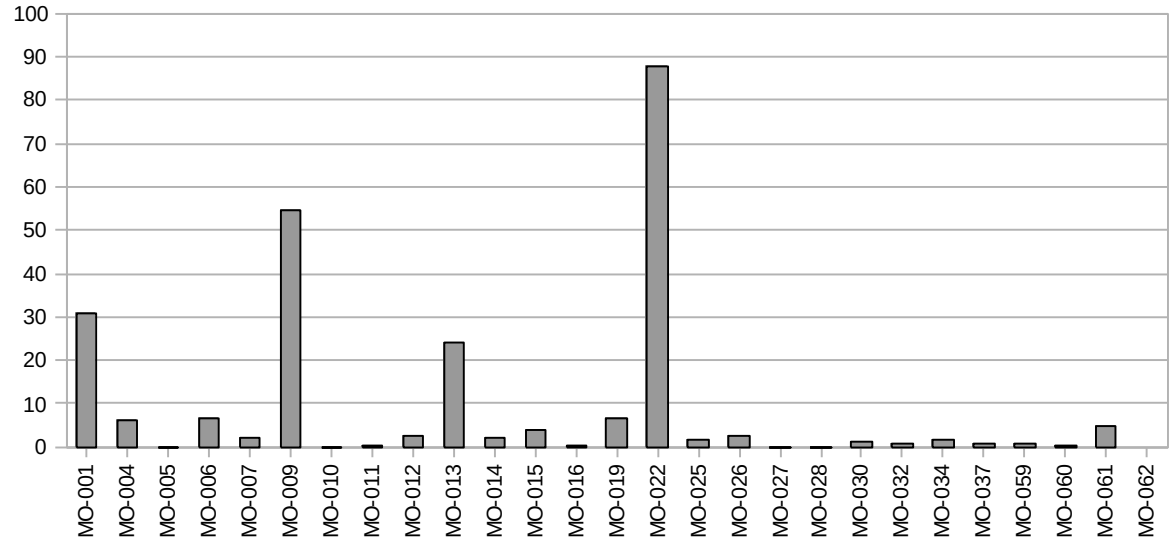
4.7.5.4. PROCESADO DE LAS MUESTRAS

De la intervención CD 102A 2008/154-0 se cribaron en agua un total de 82,55 litros de sedimento.



Número de litros procesados por muestra

Una vez realizada la tría[41] del residuo obtenido del cribado en agua, los principales restos arqueobotánicos recuperados fueron carbones, maderas y alguna semilla o fruto. Únicamente una muestra (MO-062) fue negativa ya que no se recuperó en ella ningún tipo de resto arqueobotánico. Las demás muestras presentaban una concentración variable de carbones. La MO-022, MO-009, MO-001 y MO-013 presentaron una concentración significativa en relación al residuo obtenido después del cribado.



Concentración de carbones en as muestras analizadas

[41] La tría se utiliza para separar materiales de diferentes tamaños.

4.7.6. RESULTADOS DEL ANÁLISIS XILO-ANTRACOLÓGICO

4.7.6.1. MATERIAL Y MÉTODOS

Se analizaron un total de 825 fragmentos de carbón que se corresponden con diferentes depósitos (de ocupación o abandono) y estructuras (fosas, agujeros de poste, estructuras de combustión, zanjas de cimentación, etc.).

Fragmentos	UE	Contexto	Tipo	Código
100	013	Depósito ocupación	Carbón	MO-001
100	102	Depósito destrución/abandono	Carbón	MO-009
100	289	Depósito natural	Carbón	MO-037
50	181	Agujero de poste	Carbón	MO-022
50	181	Agujero de poste	Carbón	MO-023
50	197	Estructura de combustión	Carbón	MO-030
50	160	Agujero de poste	Carbón	MO-019
40	153	Depósito	Carbón	MO-013
33	200	Fosa	Carbón	MO-034
30	191	Agujero de poste	Carbón	MO-026
26	239	Agujero de poste	Carbón	MO-061
24	189	Agujero de poste	Carbón	Mo-025
23	120	Agujero de poste	Carbón	MO-006
22	202	Agujero de poste	Carbón	MO-032
21	200	Fosa	Carbón	MO-033
20	116	Agujero de poste	Carbón	MO-004
18	158	Canal	Carbón	MO-015
18	120	Agujero de poste	Carbón	MO-006
16	124	Agujero de poste	Carbón	MO-007
11	149	Agujero de poste	Carbón	MO-012
9	118	Agujero de poste	Carbón	MO-005
8	176	Zanja de cimentación	Carbón	MO-035
6	143	Agujero de poste	Carbón	MO-014
6	089	Depósito abandono salinas	Carbón	MO-008
5	089	Depósito abandono salinas	Carbón	MO-029
4	013	Depósito ocupación	Carbón	MO-003

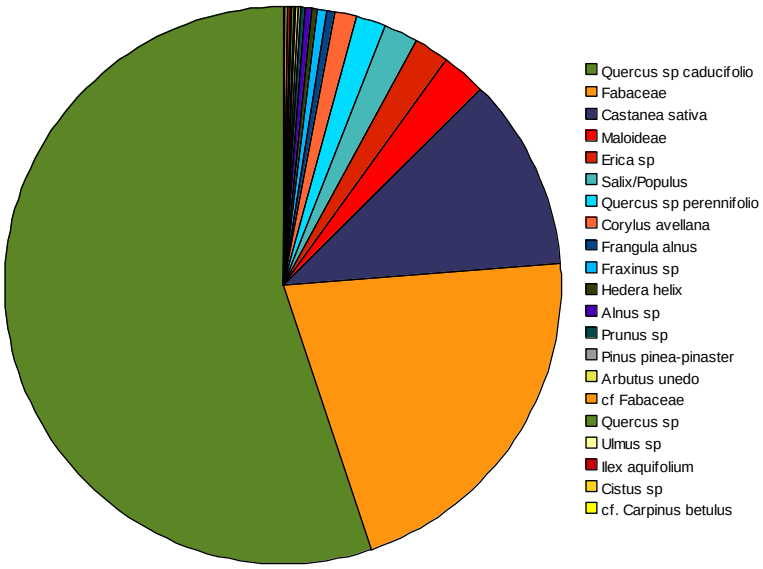
3	013	Depósito ocupación	Carbón	MO-002
3	220	Agujero de poste	Carbón	MO-059
3	182	Canal	Carbón	MO-024
3	199	Agujero de poste	Carbón	MO-028
2	151	Agujero de poste	Carbón	MO-011
2	156	Agujero de poste	Carbón	MO-016
2	223	Fosa	Carbón	MO-060
1	193	Agujero de poste	Carbón	MO-027
1	088	Depósito	Carbón	MO-021
1	146	Agujero de poste	Carbón	MO-010

Número de fragmentos analizados, unidades estratigráficas, contexto arqueológico, tipo y código de muestra en la CD 102A 2008/154-0

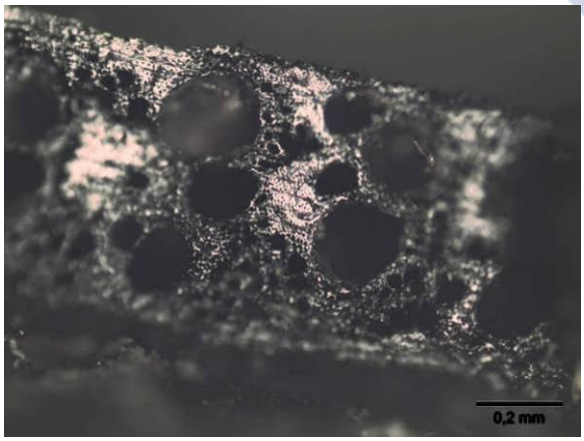
Durante la escavación se realizó una recogida sistemática de sedimentos en negativas excavadas en el suelo y sobre depósitos que presentaban una cierta concentración de restos. Se recogieron a mann los fragmentos de carbón de mayores dimensiones.

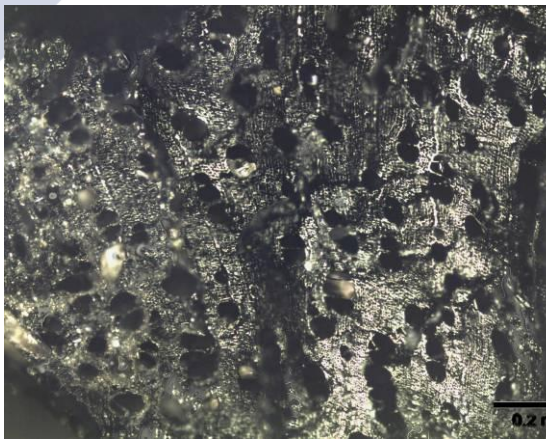
4.7.6.2. DATOS ANTRACOLÓGICOS

A partir del análisis antracológico se identificaron 20 taxones: roble (*Quercus* sp caducifolio), fabácea tipo uz-tojo (*Fabaceae*), castaño (*Castanea sativa*), maloidea tipo espino negro-albar (*Maloideae*), torgo-uz (Erica sp), chopo-salgueiro (*Salix/Populus*), carrasca-aciñeira (*Quercus* sp perennifolio), avellano-abeleira (*Corylus avellana*), sanguiño-arraclán (*Frangula alnus*), fresno-freixo (*Fraxinus* sp), hiedra (*Hedera helix*), aliso-ameneiro (*Alnus* sp), ciruelo-cerdeira-abruñeiro (*Prunus* sp), pino-piñeiro (PInus pinea/pinaster), madroño-érbedo (*Arbutus unedo*), olmo-ulmeiro-lamigueiro (*Ulmus* sp), acebo-acivro (*Ilex aquifolium*), carpaza (*Cistus* sp) y carpe (cf. *Carpinus betulus*).

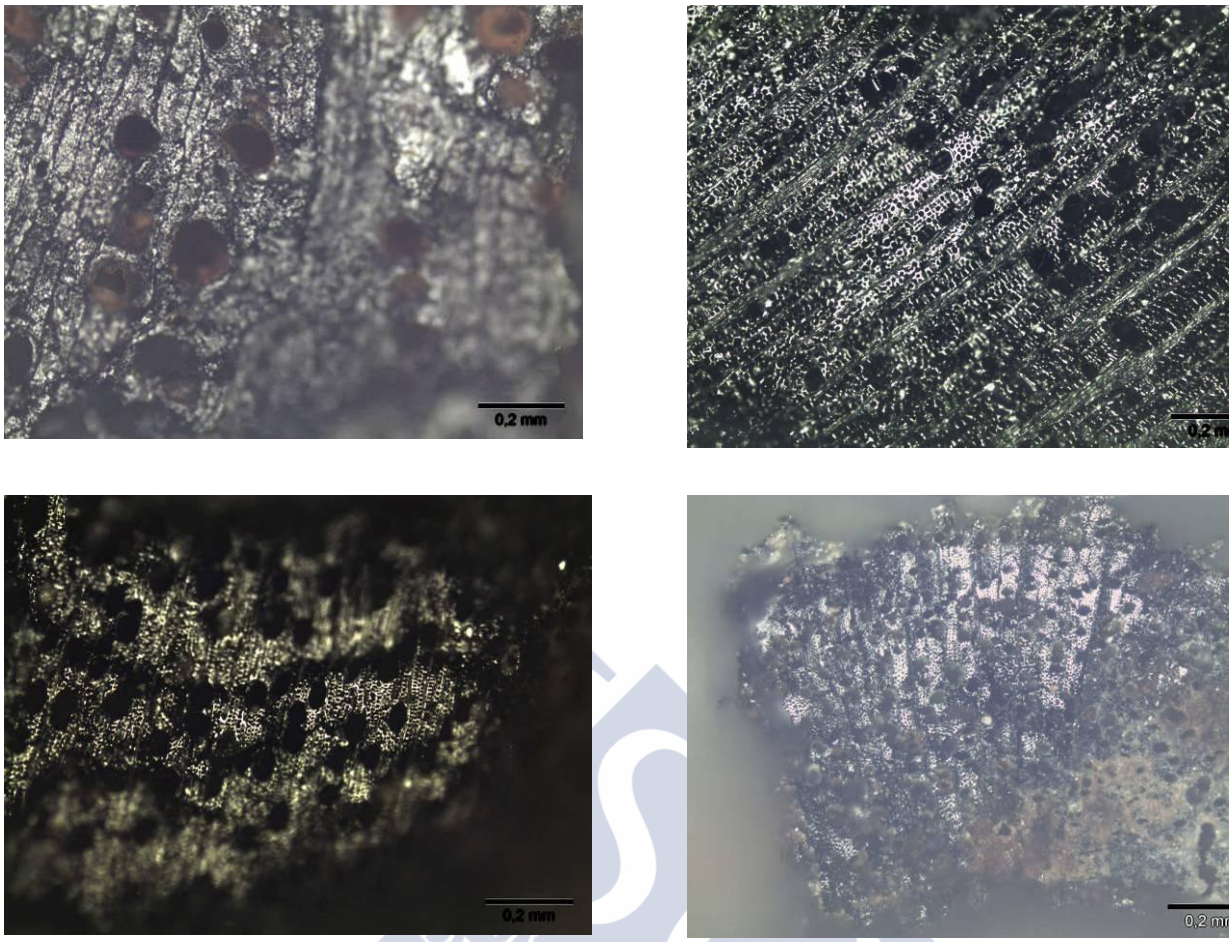


Taxón	**Núm**
Quercus sp caducifolio	444
Fabaceae	170
Castanea sativa	90
Maloideae	21
Erica sp	16
Salix/Populus	16
Quercus sp perennifolio	14
Corylus avellana	10
Frangula alnus	4
Fraxinus sp	4
Hedera helix	3
Alnus sp	3
Prunus sp	2
Pinus pinea-pinaster	1
Arbutus unedo	1
Cf Fabaceae	1
Quercus sp	1
Ulmus sp	1
Ilex aquifolium	1
Cistus sp	1
cf. *Carpinus betulus*	1
Indeterminable	20
TOTAL FRAGMENTOS	825





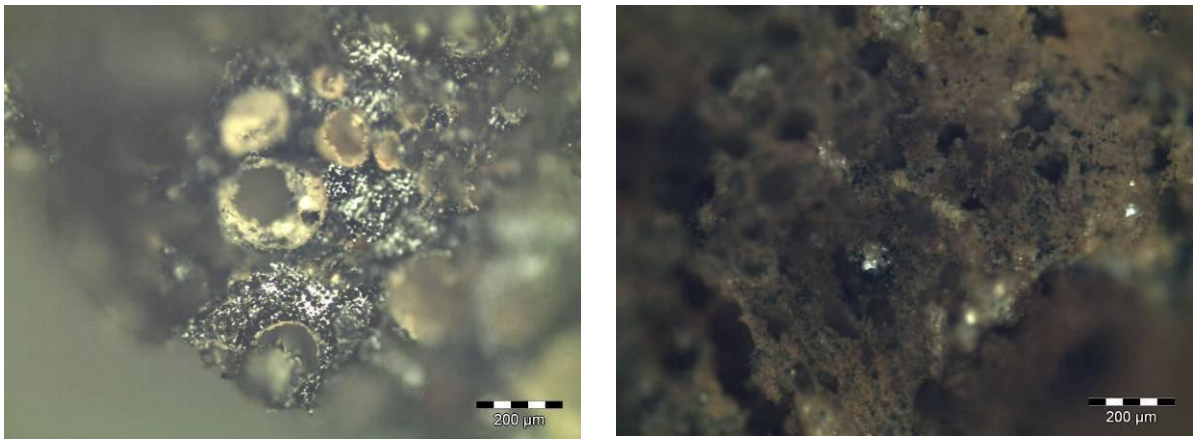
UNIVERSIDADE DE SANTIAGO DE COMPOSTELA



Imágenes de algunos fragmentos analizados. De arriba a abajo y de izquierda a derecha: *Quercus* sp caducifolio, *Frangula alnus*, *Quercus* sp perennifolio, *Ilex aquifolium*, cf. *Carpinus betulus*, *Cistus* sp.

Las especies predominantes son *Quercus* sp caducifolio (53,81%), *Fabaceae* (20,6%), con una presencia significativa de *Castanea sativa* (10,9%), de manera más puntual *Maloideae* (2,5%), *Erica* sp e *Salix/Populus* (1,9%), *Quercus* sp perennifolio (1,7%), *Corylus avellana* (1,2%) y ocasionalmente *Frangula alnus* y *Fraxinus* sp (0,5%), *Hedera helix* y *Alnus* sp (0,4%), *Prunus* sp (0,4%), *Pinus pinea/pinaster*, *Arbutus unedo*, cf. *Fabaceae*, *Ulmus* sp, *Ilex aquifolium, Cistus* sp e cf. *Carpinus betulus* (0,1%).

Los carbones analizados en estas muestras aparecían afectados por inclusiones de óxidos en la estructura celular, probablemente por las características del depósito en el que se encontraban, lo que dificultó la identificación. El 2,4% de fragmentos indeterminables en gran medida fue por esta causa.

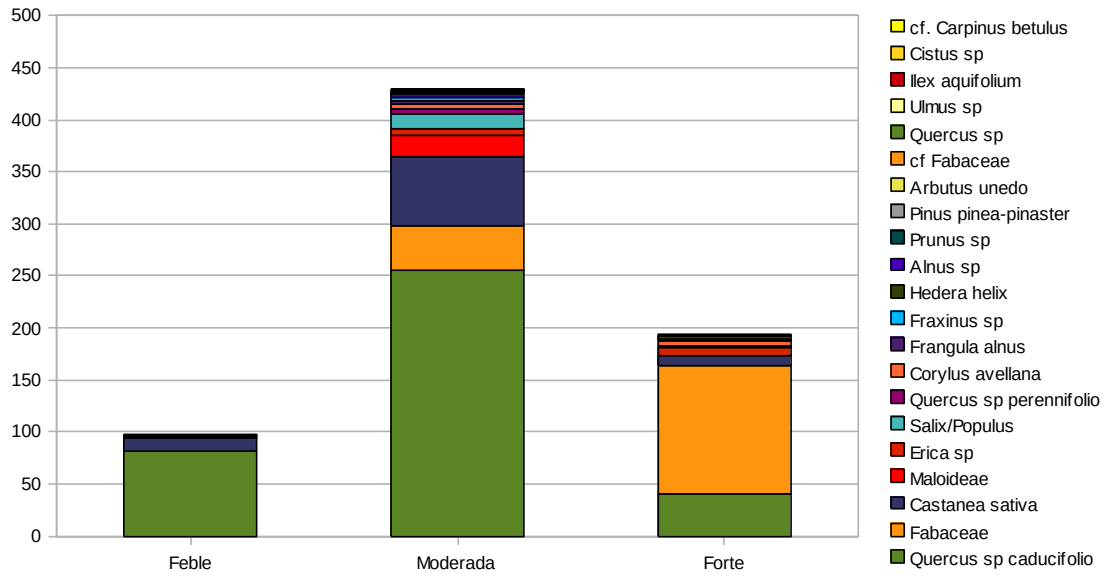


Fragmentos de *Quercus* sp caducifolio con inclusiones de sedimento y óxidos

4.7.6.2 DATOS DENDROLÓGICOS

En el análisis dendrológico se registra la curvatura de los anillos, la vitrificación y presencia de hendiduras radiales, la presencia de tilosis, y la acción de la entomofauna.

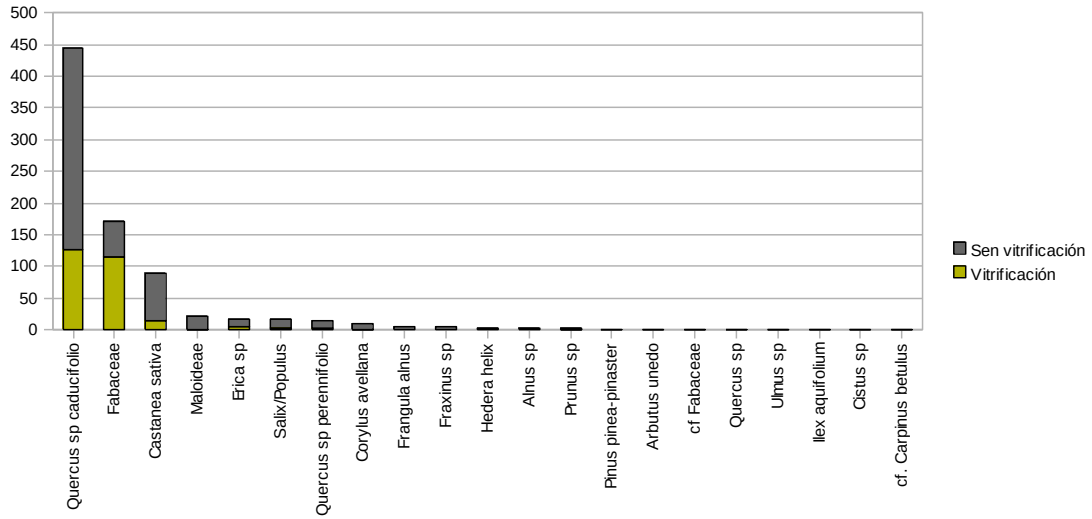
La medición de la curvatura de los anillos se realizó en un 90,5% de los fragmentos analizados. La medición de esta característica permite clasificar los fragmentos en las siguientes curvaturas: débil, media o fuerte. Los resultados obtenidos permiten observar el predominio de los fragmentos con curvatura moderada.



Curvatura de los anillos en relación con el taxón

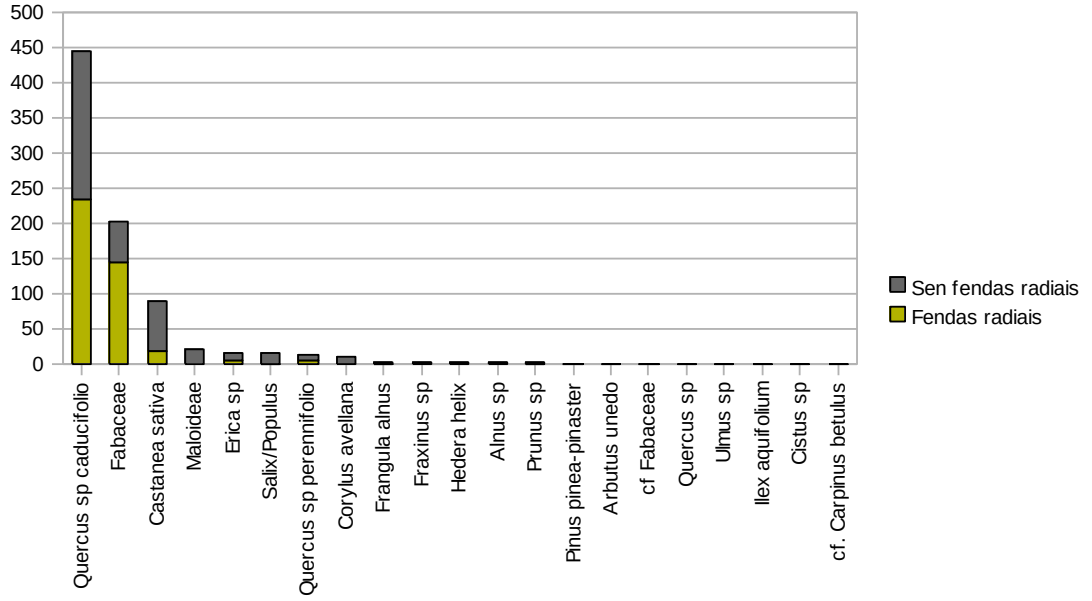
La vitrificación de los tejidos afecta de manera significativa a los fragmentos de fabáceas tipo uz-tojo (*Fabaceae*), seguidos del roble (*Quercus* sp caducifolio) y el castaño (*Castanea*

sativa).



Presencia de vitrificación en relación al taxón

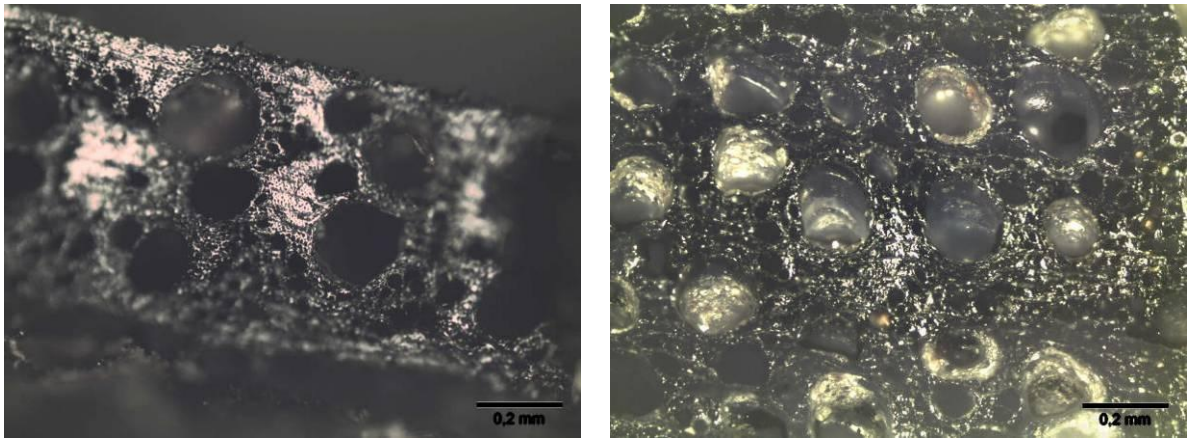
Las hendiduras radiales se concentran también en los fragmentos de fabáceas tipo uz-tojo (*Fabaceae*), roble (*Quercus* sp caducifolio), castaño (*Castanea sativa*) y carrasca-aciñeira (*Quercus* sp perennifolio). La coincidencia en las especies que presentan vitrificación y hendiduras radiales podría estar indicando el consumo de leña verde, la combustión a altas temperaturas en ausencia de osígeno, etc.



Presencia de hendiduras radiales en relación al taxón

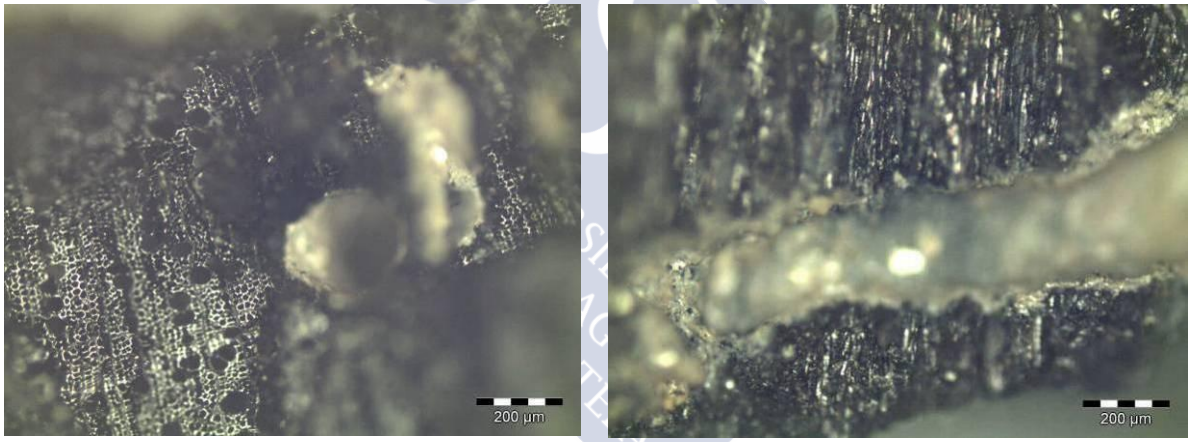
Se documentó la existencia du una distancia entre anillos, menor de la habitual, en 43 fragmentos analizados. Esta cantidad significativa de fragmentos podría estar indicando la

existencia de prácticas de desmochado sobre el roble (*Quercus* sp caducifolio).



Fragmentos de *Quercus* sp caducifolio con poca distancia entre anillos

La acción de la entomofauna sobre los carbones no es significativa. Aparecen algunos fragmentos en los que se observaron hifas[42] de hongos y en la MO-033 se documentó una galería de xilófago en un fragmento de aliso-ameneiro (*Alnus* sp).

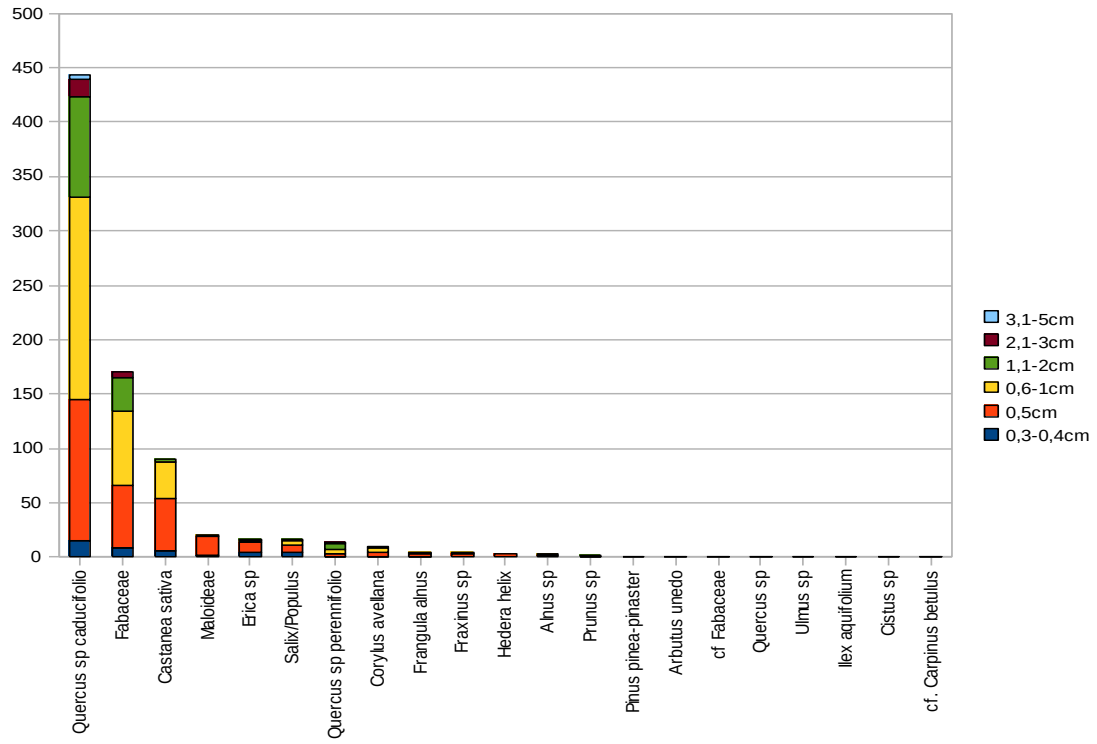


Fragmento de aliso (*Alnus* sp) con una galería de un insecto xilófago

El tamaño predominante entre los carbones analizados va de 0,5 a 1cm, con una presencia significativa de carbones de entre 1,1 y 2cm en las especies que producen brasas duraderas y presentan una cierta resistencia a la combustión como son el roble (*Quercus* sp caducifolio), la fabácea tipo uz-tojo (*Fabaceae*) y la carrasca-aciñeira (*Quercus* sp perennifolio). La realización del cribado del sedimento permitió recuperar fragmentos de tamaños menores a 1cm que son los que presentan una mayor variabilidad, evitando de este modo la sobrerrepresentación de las especies mencionadas anteriormente.

[42] Las *hifas* son elementos filamentosos cilíndricos característicos de la mayoría de los hongos.

Los tamaños de carbones registrados, indican también que nos encontramos ante carbones procedentes de limpiezas de estructuras de combustión. El hecho de que el tamaño máximo sea de 5 cm, indica que la muestra no se encuentra *in situ*, si no que fue objeto de procesos deposicionales o posdeposicionais que influyeron en su fragmentación.



Tamaño de los fragmentos en relación al taxón

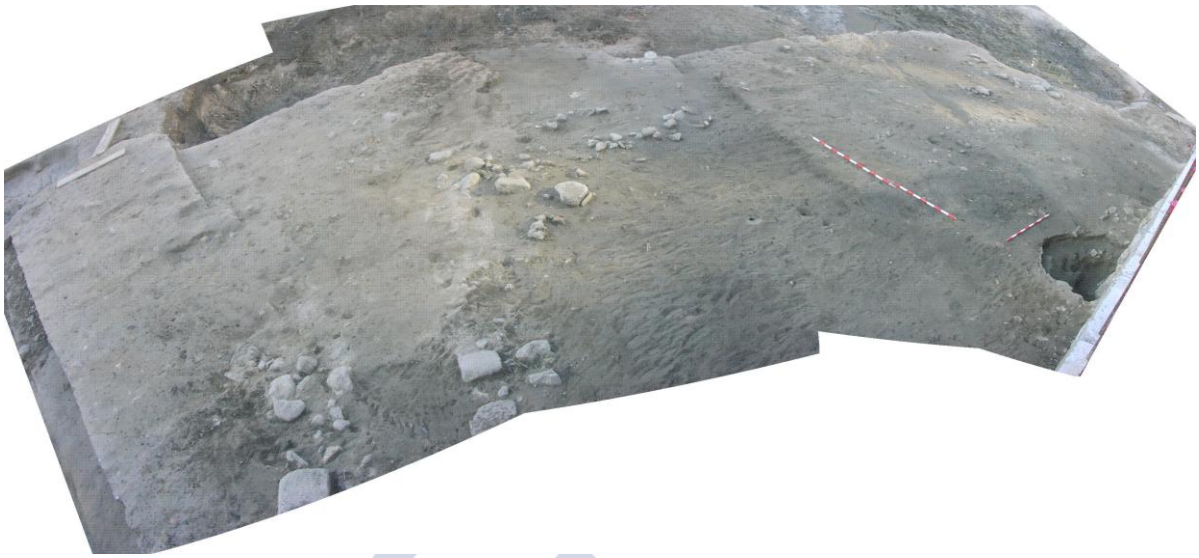
4.7.6.3. ANÁLISIS MICROESPACIAL Y ESTRATIGRÁFICO

Los carbones analizados se corresponden con diferentes depósitos y estructuras: depósitos relacionados con la fase de ocupación y con la de abandono, agujeros de poste, fosas, zanjas, canal y una estructura de combustión probablemente relacionada coa refundición de vidrio. Las cronologías de estos depósitos y estructuras van desde época tardorromana a la época altoimperial.

4.7.6.3.1. DEPÓSITOS RELACIONADOS CON LA FASE DE OCUPACIÓN

En los depósitos relacionados con la fase de ocupación fueron analizadas muestras de la UE013 y de la UE088. La UE013 es un nivel de limos con un importante componente orgánico, especialmente carbones, en el que se localizó material arqueológico asociado (cerámica doméstica, de construcción, vidrio y metales). Tiene una cronología tardorromana o altomedieval. La UE088 se corresponde con un depósito arenoso con una importante

carga orgánica, especialmente carbones y materiales arqueológicos (cerámica doméstica y de construcción, vidrio, metal y lítico).



Imágen del proceso de escavación de la UE013

En estos dos depósitos se analizaron 107 fragmentos y se identificaron 5 taxones: fabácea tipo uz-tojo (*Fabaceae*), roble (*Quercus* sp caducifolio), arraclán-sanguiño (*Frangula alnus*), maloidea tipo estripo-capudre (*Maloideae*), carrasca-aciñeira (*Quercus* sp perennifolio) y Quercus sp (no se pudo llegar a determinar si se trataba de la especie caducifolia o perennifolia por el tamaño del fragmento).

Taxón	UE013	UE088
Fabaceae	67	0
Quercus sp caducifolio	35	0
Frangula alnus	2	0
Maloideae	1	0
Quercus sp perennifolio	1	0
Quercus sp	1	0
Indeterminable	0	1
TOTAL FRAGMENTOS	107	1

Destaca en la UE013 el predominio de una especie arbustiva como *Fabaceae*, con un 67,67% frente a especies como el roble (*Quercus* sp caducifolio) con un 32,7%. El resto de las especies determinadas como el arraclán, la maloidea o la carrasca, tienen una presencia muy puntual (0,9%). El consumo combinado de fabáceas tipo uz-tojo con roble, es una práctica habitual cuanto menos desde la Edad del Bronce y podría estar indicando algún tipo

de gestión de estas formaciones de matorral, favoreciendo su crecimiento y extensión en las orlas de los bosques o de los campos de cultivo.

4.7.6.3.2. DEPÓSITOS RELACIONADOS CON LA FASE DE ABANDONO

En los depósitos relacionados con la fase de abandono se analizaron muestras de las UE089 y UE102. La UE089 se corresponde con un depósito de compactación alta, con presencia de materia orgánica y con una gran cantidad de óxido en el sedimento. En este depósito fue localizado abundante material arqueológico (cerámica doméstica y de construcción, vidrio, lítico, etc.). La UE102 se corresponde con un depósito relacionado con la destrucción de una estructura a la que aparecen asociados materiales de construcción y madera carbonizada.



Imágenes de la UE102, nivel de destrucción de estructuras

En estos dos depósitos fueron analizados un total de 111 fragmentos de carbón y se identificaron 4 taxones: roble (*Quercus* sp caducifolio), carrasca-aciñeira (*Quercus* sp perennifolio), avellano-abeleira (*Corylus avellana*) y fabácea tipo uz-tojo (*Fabaceae*).

	U089	UE102
Quercus sp caducifolio	4	91
Quercus sp perennifolio	6	5
Corylus avellana	0	3
Fabaceae	0	1
Indeterminable	1	0
TOTAL FRAGMENTOS	11	100

Predominan claramente las muestras de roble, seguidas de carrasca-aciñeira y avellano, con una presencia esporádica de fabáceas tipo uz-tojo. Esta presencia mayoritaria de especies arbóreas, podría estar en consonancia con la propuesta de que se trate del derrumbe de una estructura, aunque los fragmentos de carbón no estarían *in situ* ya que los tamaños analizados son demasiado pequeños. Podrían ser también restos de combustiones de hogares u hornos.

4.7.6.3.2.1. Agujeros de poste

Las muestras recuperadas en el interior de los agujeros de poste son las más numerosas: UE116, UE118, UE120, UE124, UE143, UE146, UE149, UE151, UE156, UE160, UE181, UE189, UE191, UE193, UE199, UE202, UE220 y UE239. La descripción de estas unidades estratigráficas es la siguiente:

- UE116: depósito de colmatación de un agujero de poste, con abundante presencia de carbones de pequeño tamaño y escaso material arqueológico (cerámica doméstica e de construcción, vidrio, etc.).

- UE118: depósito de colmatación de un agujero de poste, con escasa presencia de materia orgánica y materiales arqueológicos (cerámica de construcción y doméstica).

- UE120: depósito arenoso con una importante concentración orgánica, especialmente carbones.

- UE124: depósito que rellena un agujero de poste con una pequeña presencia de carbones.

- UE143: depósito que llena un agujero de poste, formando parte del mismo, con carbones y varios fragmentos cerámicos.

- UE146: depósito de colmatación de un agujero de poste.

- UE149: depósito que llena un agujero de poste, que contiene pequeños carbones y manchas de óxido.

- UE151: depósito que llena un agujero de poste con carbones de pequeño tamaño.

- UE156: depósito que llena un agujero de poste con presencia de pequeños carbones.

- UE160: depósito de tierra arenosa con carbones de pequeño tamaño que llena un agujero de poste.

- UE181: depósito de colmatación de un agujero de poste, en el que se apreció una importante concentración de carbones, que parecían corresponder a un único gran fragmento de madera carbonizada.

- UE189: depósito de relleno de un agujero de poste con una importante concentración de materia orgánica, especialmente carbones de entre 0,5 e 1cm.

- UE191: depósito de relleno de un agujero de poste, con un importante componente orgánico, especialmente carbones de pequeño tamaño. La UE239 es un depósito de relleno de un agujero de poste, con óxidos y carbones de pequeño tamaño.

- UE193: depósito de relleno de un agujero de poste con poca presencia de carbones.

- UE199: depósito que llena un agujero de poste con poca presencia de carbones.

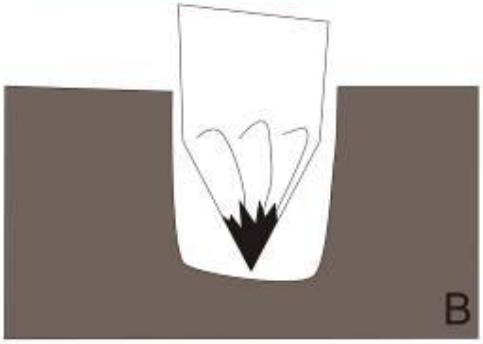
- UE202: depósito de relleno de un agujero de poste con abundantes carbones de pequeño tamaño, muy orgánico.

- UE220: depósito que llena un agujero de poste sin apenas presencia de carbones.

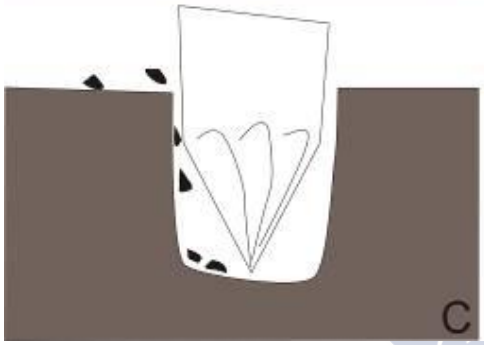
- UE239: depósito de relleno de un agujero de poste, con poca presencia de carbones.



Carbonización do poste de madeira in situ



Carbonización do extremo inferior do poste para endurecer e favorecer a conservación



Pequenos fragmentos de carbón produto da leña consumida e dispersos pola existencia de prácticas de limpeza

Son varios los procesos de deposición de los carbones en los agujeros de poste. Se deben de tener en cuenta las características de tamaño y la composición taxonómica de la muestra para poder realizar una correcta interpretación de los mismos. Las tres principales posibilidades de interpretación dos carbones recuperados en este tipo de elementos son: (A) carbonización del poste *in situ* –muestra monoespecífica con carbones de grandes dimensiones y con aristas vivas-, (B) carbonización del extremo inferior del poste para endurecer la punta y proteger la madera del ataque de hongos –muestra monoespecífica, con carbones de pequeñas dimensiones y con aristas vivas, (C) carbones procedentes de la combustión de leña en actividades domésticas y artesanales e depositados en el agujero de poste por la existencia de prácticas de mantenimiento y limpieza –carbones de diferentes especies, de pequeñas dimensiones con aristas vivas o con la superficie rodada-.



Relleno (UE181) y agujero de poste (UE180)

Se analizaron un total de 299 fragmentos de carbón procedentes de agujeros de poste, de los que se identificaron 15 taxones: roble (*Quercus* sp caducifolio), fabácea tipo uz-tojo (*Fabaceae*), castaño (*Castanea sativa*), torgo-urce (*Erica* sp), maloidea tipo estripo-capudre (*Maloideae*), chopo-salgueiro (*Salix/Populus*), fresno (*Fraxinus* sp), avellano (*Corylus avellana*), carrasca-aciñeira (*Quercus* sp perennifolio), pino manso-bravo (*Pinus pinea-pinaster*), arraclán-sanguiño (*Frangula alnus*), olmo (*Ulmus* sp), albaricoque-cerdeira-abruñeiro (*Prunus* sp), hiedra (*Hedera helix*) y carpaza (*Cistus* sp).

USC UNIVERSIDADE DE SANTIAGO DE COMPOSTELA

Taxones	UE116	UE118	UE120	UE124	UE143	UE146	UE149	UE151	UE156	UE160	UE181	UE191	UE193	UE199	UE202	UE220	UE239
Quercus sp caducifolio	5	7	14	8	3	1	7	2	1	6	99	4		1	1	2	
Fabaceae	13	1	1	4						26	1	14			12		
Castanea sativa			2		3				1	9		2	1		2	1	2
Erica sp										4		4			4		
Maloideae		1					3			1							
Salix/Populus										2		1					
Fraxinus sp												3			1		
Corylus avellana				2													
Quercus sp perennifolio														1			
Pinus pinea/pinaster			1														
Frangula alnus															1		
Ulmus sp										1							
Prunus sp										1							
Hedera helix			1														
Cistus sp	1																
cf *Fabaceae*	1																
Indeterminable			4	2			1					2			1		
TOTAL FRAGMENTOS	20	9	23	16	6	1	11	2	2	50	100	30	1	2	22	3	2

4.7.6.3.2.2. Fosas

Las muestras analizadas procedentes de fosas, se correspondían con las UE153, UE197, UE200, UE223 y UE289. Todas estas estructuras son bajorromanas excepto la UE289 que se encontraba sellada por el pavimento de la salina y que tendría una cronología del siglo I d.C. La UE153 es un depósito heterogéneo que rellena una fosa y que presenta una elevada concentración de carbones. La UE197 y la UE200 se corresponden con dos rellenos de una misma fosa. La UE197 se trata del último depósito de colmatación, con una importante carga orgánica y concentración significativa de carbones. Se localizó también abundante material cerámico muy deteriorado. La UE200 se corresponde con el primer depósito de

colmatación y presenta una mayor cantidad de fragmentos de carbón y de fragmentos cerámicos deteriorados. La UE223 es el depósito de relleno de una fosa. Físicamente es muy homogéneo y mineral, con poca presencia de carbones. La UE289 del Sondeo 03 es un depósito que colmataba la fosa sellada por el pavimento de la salina. En este depósito se recogieron carbones, maderas y fragmentos cerámicos (ánfora, *tegula*, etc.). Junto con los carbones fueron localizados también maderas en el centro del depósito.



Sondeo 03 una vez retirado o pavimento de la salina

Se analizaron un total de 128 fragmentos de carbón de los que se determinaron en los niveles situados por encima de las salinas 6 taxones: castaño (*Castanea sativa*), fabácea tipo uz-tojo (*Fabaceae*), roble (*Quercus* sp caducifolio), chopo-salgueiro (*Salix/Populus*), avellano (*Corylus avellana*) y alisos (*Alnus* sp).

Taxón	UE153	UE197	UE200	UE223
Castanea sativa	38	6	11	2
Fabaceae	2	3	13	
Quercus sp caducifolio		15	18	
Salix/Populus		8		
Corylus avellana			4	
Alnus sp			3	
Indeterminable			5	
TOTAL FRAGMENTOS	40	32	54	2

En el depósito situado por debajo del pavimento de las salinas se analizaron un total de 100 fragmentos de carbón a partir de los que se determinaron 6 taxones: roble (*Quercus* sp caducifolio), chopo-salgueiro (*Salix/Populus*), hiedra (*Hedera helix*), arraclán-sanguiño (*Frangula alnus*), acebo (*Ilex aquifolium*) y carpe (cf. *Carpinus betulus*).

Taxón	UE289
Quercus sp caducifolio	92
Salix/Populus	3
Hedera helix	2
Frangula alnus	1
Ilex aquifolium	1
cf. *Carpinus betulus*	1
TOTAL FRAGMENTOS	100

4.7.6.3.2.3. Zanjas

Se analizaron muestras procedentes de una zanja de cimentación. La UE176 es el depósito de colmatación de una zanja de cimentación, con importante componente orgánico, especialmente carbones de pequeñas y medianas dimensiones. Apareció asociada una gran cantidad de material arqueológico (cerámica doméstica, de construcción, vidrio, metal, líticos, etc.).



Depósito de colmatación (UE176) de la zanja de cimentación

Se estudiaron en total 8 fragmentos de carbón y se determinó unicamente 1 taxón: roble (*Quercus* sp caducifolio).

Taxón	UE176
Quercus sp caducifolio	8
TOTAL FRAGMENTOS	8

4.7.6.3.2.4. Canales

Se analizaron muestras de dos depósitos de relleno de canales, la UE158 y la UE184. La UE158 se corresponde con un depósito de colmatación de un canal formado por tierra limosa. La UE 184 es otro depósito de colmatación de un canal, homogéneo, con una importante carga orgánica, abundantes carbones y material arqueológico.

Taxón	UE158	UE184
Fabaceae	10	
Quercus sp caducifolio	5	3
Maloideae	3	
TOTAL FRAGMENTOS	18	3

Fueron analizados un total de 21 fragmentos procedentes de este tipos de estructuras y se determinaron 3 taxones: fabácea tipo uz-tojo (*Fabaceae*), roble (*Quercus* sp caducifolio) y maloidea tipo capudre-estripo (*Maloideae*).

4.7.6.3.2.5. Posible estructura de combustión para la refundición de vidrio

Se analizó una muestra de carbones recuperados del interior de una estructura de combustión excavada en el suelo y probablemente relacionada con la refundición de vidrio (UE197). Los análisis de los carbones vinculados con la estructura de combustión para la refundición de vidrio permiten la aproximación al proceso de elaboración de este producto. El vidrio fue el primer producto de síntesis elaborado a partir de la mezcla de diferentes componentes que son sometidos a altas temperaturas (CARRERAS, 2005).




Depósito de colmatación (UE197) de la estructura de combustión

Se analizaron un total de 32 fragmentos de carbón y se identificaron 4 taxones: roble (*Quercus* sp caducifolio), chopo-salgueiro (*Salix/Populus*), castaño (*Castanea sativa*) y fabácea tipo uz-tojo (*Fabaceae*).

Taxón	UE197
Quercus sp caducifolio	15
Salix/Populus	8
Castanea sativa	6
Fabaceae	3
TOTAL FRAGMENTOS	32

Existen numerosas fuentes escritas que hablan del vidrio. Sin embargo el testimonio más completo referido a este tema es el de Plinio el Viejo en la *Historia naturalis*. La mayor parte de los vidrios antiguos estaban compuestos por sílice, sosa y cal. La sosa era utilizada en lugar de la potasa porque daba una mayor plasticidad a la pieza, y permitía un trabajo más cómodo. Sin embargo precisaba para llegar al punto de fusión de una temperatura mínima de 1000º C, temperatura que no era preciso alcanzar para la fusión de un vidrio de base potásica. Además de estos elementos se añadía para dar color óxidos metálicos. Una vez triturados todos los elementos que componían el vidrio, se procedía a realizar una mezcla previa, a unos 700-800ºC y después a su fusión en el interior del crisol, a una temperatura de 1000ºC, hasta conseguir una masa pastosa casi líquida (CARRERAS, 2005).

Las fuentes literarias antiguas no aportan datos muy precisos sobre la configuración de los hornos de los vidrieros, que probablemente estarían formados por una fosa excavada en la tierra, donde se quemaría la leña y donde se calentarían los diferentes elementos que forman el vidrio. Para conseguir una temperatura más elevada se trataría de proteger el

fuego con una pared alrededor e intentaría taparse (CARRERAS, 2005). Plinio recomienda utilizar leña seca y de poco peso en la alimentación de estas estructuras de combustión (SUÁREZ, 2006). En este caso las especies identificadas son consideradas como buenos combustibles, excepto el castaño.

4.7.6.3.3. FORMACIONES VEGETALES Y ÁREAS DE CAPTACIÓN

A partir de las especies identificadas durante los análisis, se puede señalar la explotación de determinadas formaciones vegetales. El bosque mixto de caducifolios estaría representado por el roble (*Quercus* sp caducifolio) como especie predominante, acompañado de especies propias del límite del bosque o de zonas de claros en el interior del mismo (*Maloideae*, *Corylus avellana* y *Prunus* sp), aunque la presencia de *Ilex aquifolium* indicaría la existencia de zonas de bosque densas.

El matorral atlántico está representado por especies como las fabáceas tipo uz-tojo (*Fabaceae*), y el urce-torgo (*Erica* sp). La presencia de las primeras puede darse en la orla del bosque y en los límites de los campos de cultivo. La de las segundas indicaría la existencia de suelos degradados y pobres.

El bosque de ribera está representado poe el chopo-salgueiro (*Salix/Populus*), fresno-freixo (*Fraxinus* sp), arraclán-sanguiño (*Frangula alnus*), aliso-ameneiro (*Alnus* sp) y olmo-olmeiro (*Ulmus* sp). Todas estas especies tienen unas importantes esigencias hídricas por lo que habitualmente crecen en las riberas de los cursos de agua, llegando el ameneiro a poder crecer incluso en zonas inundadas.

Aparecen representadas también especies arbóreas y de matorral de influencia mediterránea como la carrasca-aciñeira (*Quercus* sp perennifolio), pino manso/bravo (*Pinus pinea/pinaster*), madroño-érbedo (*Arbutus unedo*) y carpaza (*Cistus* sp).

Entre las especies cultivadas únicamente se determina la presencia de castaño (Castanea sativa) y una especie probablemente alóctona como es el carpe (cf. Carpinus betulus), determinado durante la Edad del Hierro en un yacimiento del N de Portugal pero que se consideraba extinta en la Península Ibérica hasta hace pocos años. Actualmente sólo se conocen formaciones naturales de esta especie en los Pirineos y en el valle del Bidasoa, por lo que su presencia en el yacimiento podría ser producto del comercio o del intercambio de esta madera, apreciada y conocida por los romanos.

Formación vegetal	Taxón	Núm.
Bosque mixto de caducifolios	*Quercus* sp caducifolio	444
	Maloideae	21
	Corylus avellana	10
	Prunus sp	2
	Ilex aquifolium	1
Matorral atántico	*Fabaceae*	170
	Erica sp	16
	cf. *Fabaceae*	1
Bosque de ribera	*Salix/Populus*	16
	Fraxinus sp	4
	Frangula alnus	4
	Alnus sp	3
	Ulmus sp.	1
Bosques y matorrales mediterráneos	*Quercus* sp perennifolio	14
	Pinus tp. *pinea-pinaster*	1
	Arbutus unedo	1
	Cistus sp	1
Especies cultivadas	*Castanea sativa*	90
Especies alóctonas	cf. *Carpinus betulus*	1
Lianas	*Hedera helix*	3

4.7.7. RESULTADOS DEL ANÁLISIS CARPOLÓGICO

4.7.7.1. METODOLOGÍA

La recuperación de muestras se realizó bajo dos criterios:

1. La más frecuente encaminada a la selección de aquellas evidencias que resultasen interesantes, en líneas generales correspondientes con alguna semilla, objetos y maderas de gran tamaño.

2. La recuperación de muestras con la totalidad del sedimento.

Esta estrategia provoca una sobrerrepresentación de aquellas especies más destacables y visibles para el arqueólogo.

En laboratorio se distinguió la información en tres niveles.

1. La procedente de selección en campo.

2. Aquellas semillas o evidencias que aparecen en el sedimento adherido a la materia vegetal que aparecen tras su limpieza.

3. Los datos procedentes de la tría del sedimento, empleando cribos de distintas mallas de luz: 2 mm, 1 mm e 0,5 mm.

Fue realizado el triado de 3 litros de sedimento de la malla de 0,5 mm en dos de las muestras. Resultó significativa la diferencia de la información ya que es donde aparecen la mayor parte de las semillas de plantas silvestres y datos de interés sobre los hábitats y prácticas humanas del entorno, constituyendo la mayor riqueza de taxones en esta tría de la fracción más fina.

4.7.7.2. PEPITA DE VID (CÓD.LAB MO-037)

El código de laboratorio se corresponde con el código de campo MU-01, en la UE289, Sondeo 3. Dentro del cribado de la muestra fue allado un fragmento correspondiente con la cara dorsal de una pepita de vid, distinguiéndose la chalaza, cicatriz por la cual se nutre la pepita.

Nº taxón	Taxón	Núm.	Frag.
1	*Vitis vinifera*		1
1	**TOTAL**		**1**



Fragmento de la cara dorsal de pepita de baga de *Vitis vinifera*

4.7.7.3. ARRACLÁN (CÓD.LAB MO-039)

El código de laboratorio se corresponde con el código de campo MU-03, en la UE346, Sondeo 3. La muestra registró la presencia de arraclán-sanguiño (*Frangula alnus* L., sinónimo *Rhamnus frangula*), compuesta por una drupa o baga, con tres semillas en el interior, una semilla y tres fragmentos de semillas que se corresponden también a una baga con tres semillas. Es una semilla correspondiente a un fruto con dos semillas.

Nº taxón	Taxón	Núm.	Frag.
1	*Frangula alnus (drupa)*	1	
1	*Frangula alnus (semillas)*	2	3
1	**TOTAL**	**3**	**3**



Baga de *Frangula alnus*



Semillas de *Frangula alnus* de una baga de 2 y de 3 semillas respectivamente

4.7.7.4. CASTAÑA (CÓD.LAB MO-044)

La muestra analizada se corresponde con la tría de la Bolsa 34, recogida dentro de la UE289 en el Sondeo 3. Dentro de la cual se encontró un fragmento de piel de castaña (*Castanea sativa*).

Nº taxón	Taxón	Núm.	Frag.
1	*Castanea sativa*		1
1	**TOTAL**		**1**



Fragmento de fruto de *Castanea sativa*

4.7.7.5. RESULTADOS

Pese a que el número de taxones recuperados es pequeño, solamente 3, estos reflejan tres formaciones vegetales distintas.

Nº taxón	Taxón	Núm.	Frag.
1	*Castanea sativa*		1
2	*Frangula alnus (fruto)*	1	
2	*Frangula alnus (semilla)*	2	3
3	*Vitis vinifera*		1
	Indeterminable		1
3	TOTAL	3	6

El fragmento de pepita de vid (*Vitis vinifera*) conservada, correspondiente a su cara dorsal, por lo que no permite distinguir si se trata de la subespecie cultivada (*Vitis vinifera* subsp. *sativa*) o de la variedad silvestre (*Vitis vinifera* subsp. *sylvestris*), por lo que se remite unicamente a la especie.

El contexto en el que aparece, la UE289, previa a la construcción de las salinas que están en funcionamiento durante los siglos I-III d.C., sitúa la presencia de este taxón *ante quem* en torno a las décadas contiguas al cambio de era.

Son pausibles varias hipótesis como la presencia de vid silvestre, el cultivo de vid o la llegada por intercambio comercial. Existe constancia de su presencia al norte del Duero en Portugal durante la II edad del hierro. La cepa silvestre es una variedad que crece

espontáneamente en la Península Ibérica, encontrándose datada *Vitis vinifera* subsp *sylvestris* en contextos neolíticos en la península, indicativo de que formaba parte de la flora autóctona, cuando menos en la orla mediterránea. Para el norte de Portugal existen evidencias a partir de mediados del I milenio a.C, pero no se especifica de si se trata de *sativa* o *sylvestris*.

En Galicia, hasta el momento, no existían datos firmes de su presencia como cultivo, más si del consumo de un de sus derivados como es el vino. Aparece reflejado tanto en las fuentes clásicas, como atestiguada por la gran cantidad de ánforas. Análisis realizados a ánforas de pecios en Mallorca, revelan que determinadas tipologías podrían ser reaprovechadas para otros productos. Los datos de su presencia como especie más antigua en Galicia, procedían de Braña Rubia (A Coruña), donde se registra pólen de *Vitis sp* hacia el 1.600 BP (AIRA, 1996).

De esta manera se puede retrotraer cronológicamente la presencia de vid en torno al cambio de era, dado el contexto de aparición. No obstante, al localizarse en una zona de intercambio comercial, se deben tomar el hallazgo con ciertas cautelas al no poder determinarse si la variedad es cultivada o silvestre.

La presencia del castaño en el noroeste ibérico está confirmada cuanto menos para el 4.000 BP por los datos obtenidos por polen (AIRA, 1996) y aunque existe una explotación como combustible de su madera durante la edad del hierro, no existen testimonios directos del consumo de castañas, pese a ser lo más lógico.

El arraclán-sanguiño (*Frangula alnus*) es un árbol de bajo porte o arbusto, que crece cerca de ríos y en zonas de claros de bosques acidófilos. Sus frutos maduran de septiembre a noviembre y suelen ser alimento de aves.

4.5.8. MUESTRAS BAJO EL PAVIMENTO DE LAS SALINAS[43]

Tras la realización de los trabajos de sondeo bajo el pavimento de las salinas, en marzo de 2009 fueron recogidas muestras en 3 puntos de la Parcela 4 de Rosalía de Castro, por personal del Departamento de Xeociencias Mariñas e Ordenación do Territorio de la Facultade de Ciencias do Mar y del Departamento de Bioloxía Vexetal e Ciencias do Solo, ambos pertenecientes a la Universidade de Vigo.



Localización de las muestras tomadas en el Sondeo 2

Estas muestras fueron etiquetadas como MOSTRA 1 (A y B), MOSTRA 2 (A y B) y MOSTRA 3. A nivel contextual y estratigráfico, la muestra número 1 fue recogida en el Sondeo 4, en la UE 309-311, la muestra número 2 en el Sondeo 2, en la UE 288 y la muestra número 3 en el sondeo 2, en la UE 287.

En todas ellas fue efectuado un análisis de contenido en palinomorfos. Debido a que el material es bastante areoso, el contido de palinomorfos resultó bajo y el grado de preservación malo, particularmente en las muestras 1A y 3, en las que apenas se encontraron restos.

[43] Recogida de muestras efectuada por Jorge Iglesias Crespo del Departamento de Xeociencias Mariñas e Ordenación do Territorio de la Facultade de Ciencias do Mar de la Universidade de Vigo y por Jorge Iglesias Castor Muñoz Sobrino, del Departamento de Bioloxía Vexetal e Ciencias do Solo de la Universidade de Vigo. El tratamiento y análisis ha sido realizado por Yoel Castro Maquieira y Castor Muñoz Sobrino, ambos pertenecientes al Departamento de Bioloxía Vexetal e Ciencias do Solo de la Universidade de Vigo.



Localización de las muestras tomadas en el Sondeo 4

En las otras muestras analizadas, aparecen algunos restos correspondientes a granos de polen, esporas de helechos, musgos, microalgas y hongos.

USC
UNIVERSIDADE DE SANTIAGO DE COMPOSTELA

		R-4	R-2B	R-2A	R-1B
ARBOLES	Pinus		1	2	1
	Quercus	3	1	4	1
	Castanea	6		1	2
	Populus	1			
	Alnus	5			
	Fraxinus	1			
	Juglans				1
ARBUSTOS	Cistus	1	2	1	
HERBÁCEAS	Umbeliferae	0		1	
	Plantago				1
	Poaceae		7	15	10
	Cerealia-type	2	2	3	1
	Symphytum			1	1
	Lotus-Type			1	
	Spergula type		2		
	Centaurea				1
	Liguliflorae		1	6	4
	Tubuliflorae	6		3	2
VEGETACIÓN ACUÁTICA	Typha				1
	Callitriche				1
	Potamogetom	2			
	Cyperaceae	12	1	7	
	Isoetes		1		
HELECHOS NO ACUÁTICOS	Pteridium	8	1	6	3
	Monolete	3		1	3
	Trilete	1			
ALGAS Y CIANOBACTERIAS DE AGUA DULCE Y SALOBRE	Cosmarium Tipo 332f				1
	Zygnema Tipo 214	2			
	Mougeotia	7			
	Pseudosquizaea	10		1	
	Botryococcus	1			
	Gloeotrichia-type	5		2	2
	Tipo 225	1		9	1
	Tipo 229				1
	Alga filamentosa	2			
	Otras esporas	13	2	18	4
	Coccales			1	
	Pediastrum			1	
	Spirogyra				1
DIATOMEAS	Pennales	28		2	
	Centrales	55		5	
	Thalassiosira	1			
RESTOS FÚNGICOS	Amphitrema flavum				1
	Glomus	1		1	3
	Conidia (Tipo-173)	5		2	3
	Sordariaceous ascospores (Tipo-55)	8	14	15	16
	Gelasinospora cf. reticulispora			2	5
	Gelasinospora			2	
	Conidia (Tipo-200)	1		6	3
	Conidia (Tipo-201)	1		2	12
	Ascospora (Tipo-204)			1	
RESTOS ANIMALES	Tipo 221 (invertebrado)		1	3	
	Neorhabdocoela oocytes	1			
	Foraminíferos		1		
	Espiculas	10		28	

ANÁLISIS: Y. Castro Maquieira & C. Muñoz

Tabla de resultados

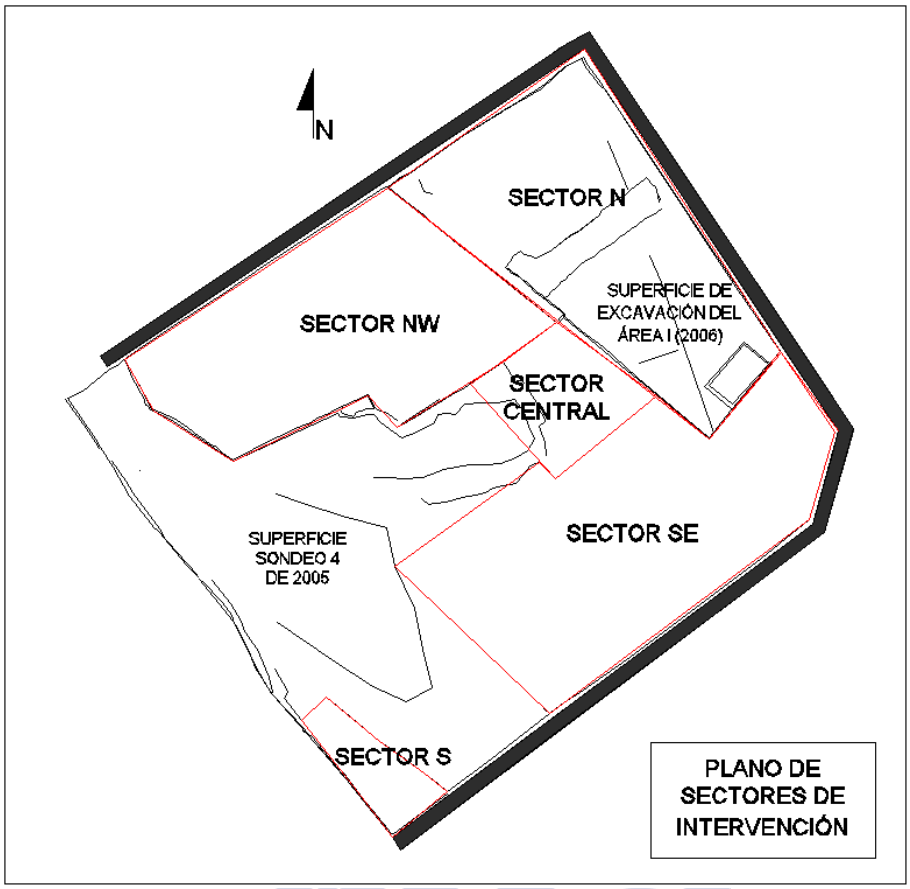
4.8. DESCRIPCIÓN, INTERPRETACIÓN Y CONTEXTUALIZACIÓN DE LOS RESTOS DOCUMENTADOS

Durante la fase de decapado del terreno con medios mecánicos bajo control arqueológico, fueron localizados los cortes y rellenos pertenecientes a los sondeos realizados en el año 2005. Víctor Barbeito Pose, arqueólogo director de dicha intervención. En el informe de valoración señala que "*conforme vai avanzando a obra e tendo en conta as condicións de climatoloxía adversa e a filtración de augas fecais na parte leste do solar, pola cal discorre un colector en uso, as dificultades para a documentación de perfís e análise dos mesmos se incrementa, xa que non se poden estabilizar os perfiles de areas, dando escaso marxe de manobra para levar a cabo as tarefas de control. A presenza de augas na execución das gabias será constante e as condicións hixienico-sanitarias das mesmas de alto risco"* (BARBEITO POSE, 2006: 9).

Estas circunstancias propiciaron que la superficie inicial de las zanjas mecánicas, se viera finalmente ampliada debido al derrumbe de la parte inferior de los perfiles, en los cuales se localizaban los depósitos menos compactos (arenas y limos), a partir de la penetración del nivel freático. En el Sector Central y W se retiró el relleno de sellado de la Zanja 4, la cual seccionó todos los niveles arqueológicos existentes en esta zona, así como parcialmente los niveles naturales de duna y marisma. Parte del Sector E y N coincidió en planta con la superficie sobre la que se realizó la Zanja 5 sin llegar a alterar sustancialmente los niveles antiguos. Esta zona (Sector N) coincide con el S del Área I de la intervención dirigida por la arqueóloga Mª. J. Iglesias Darriba en 2006 (IGLESIAS DARRIBA, 2007), durante la cual se documentaron parte de los estanques de cristalización de la salina.

4.8.1. SECTORES DE INTERVENCIÓN

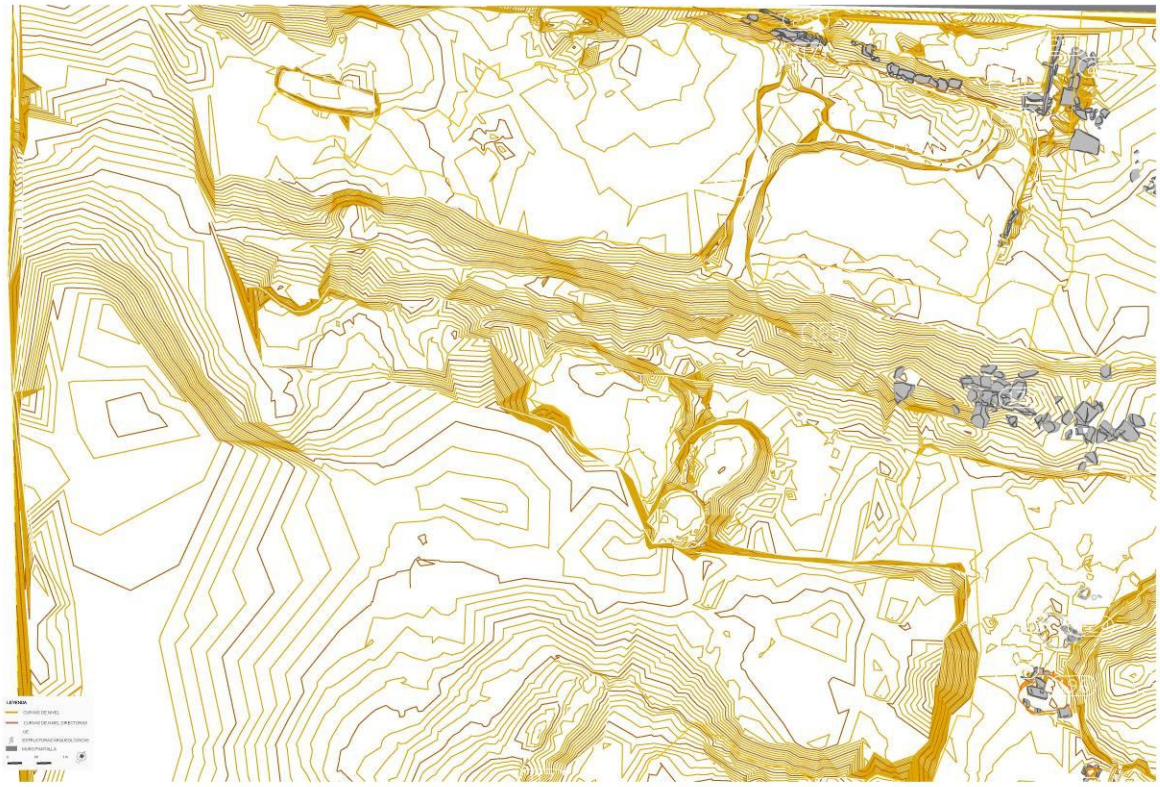
Una vez realizada la retirada de los estratos superiores del terreno bajo control arqueológico en toda la superficie de la parcela, se realizó una sectorización con el fin de facilitar la identificación y registro de los elementos estratigráficos:



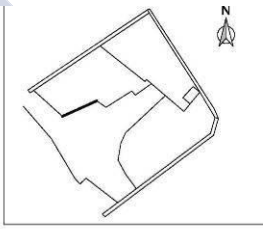
4.8.1.1. SECTOR NW

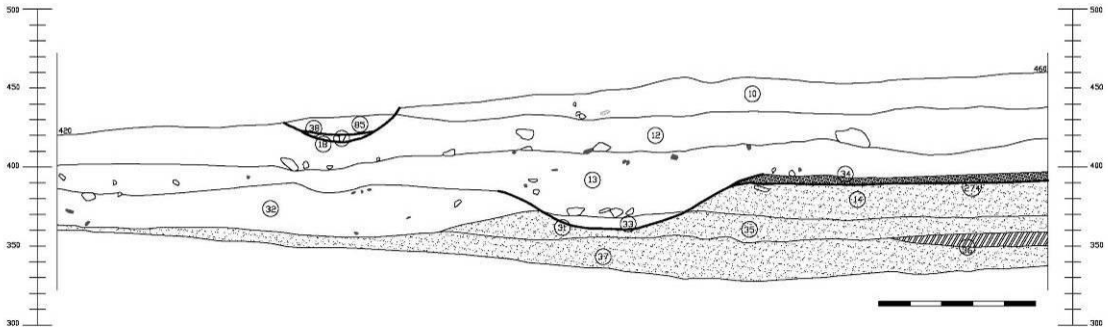
Este sector aparece delimitado al NW por el muro pantalla de la parcela, al NE por el límite de la excavación del Área I dirigida en 2006 por María J. Iglesias Darriba, al SE por el Sector Central y al S y SW aparecía cortado por el Sondeo 4 realizado en 2005 bajo la dirección de Víctor Barbeito Pose. Su superficie es de 110,6 m².

En este Sector la estratigrafía arqueológica presentaba un buen estado de conservación.

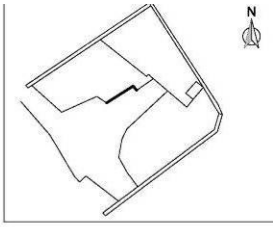


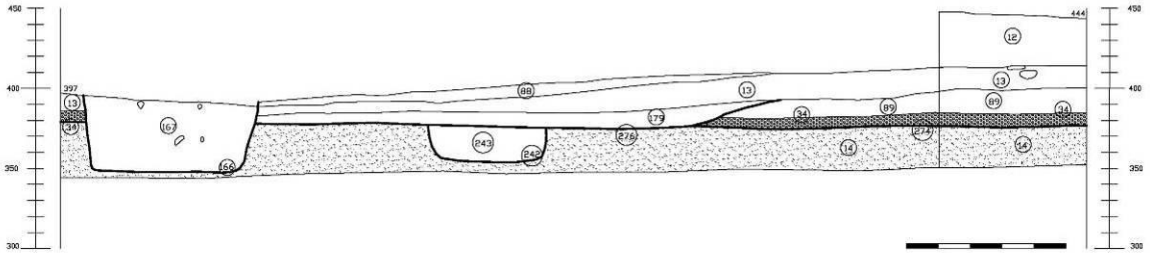
Planta del Sector NW



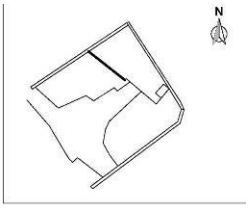


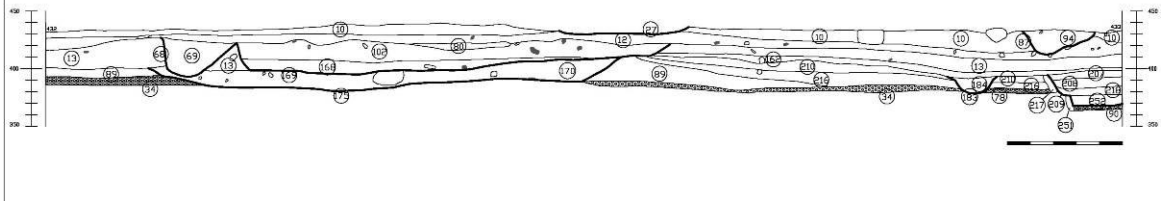
Sección SW del Sector NW





Sección central S del Sector NW





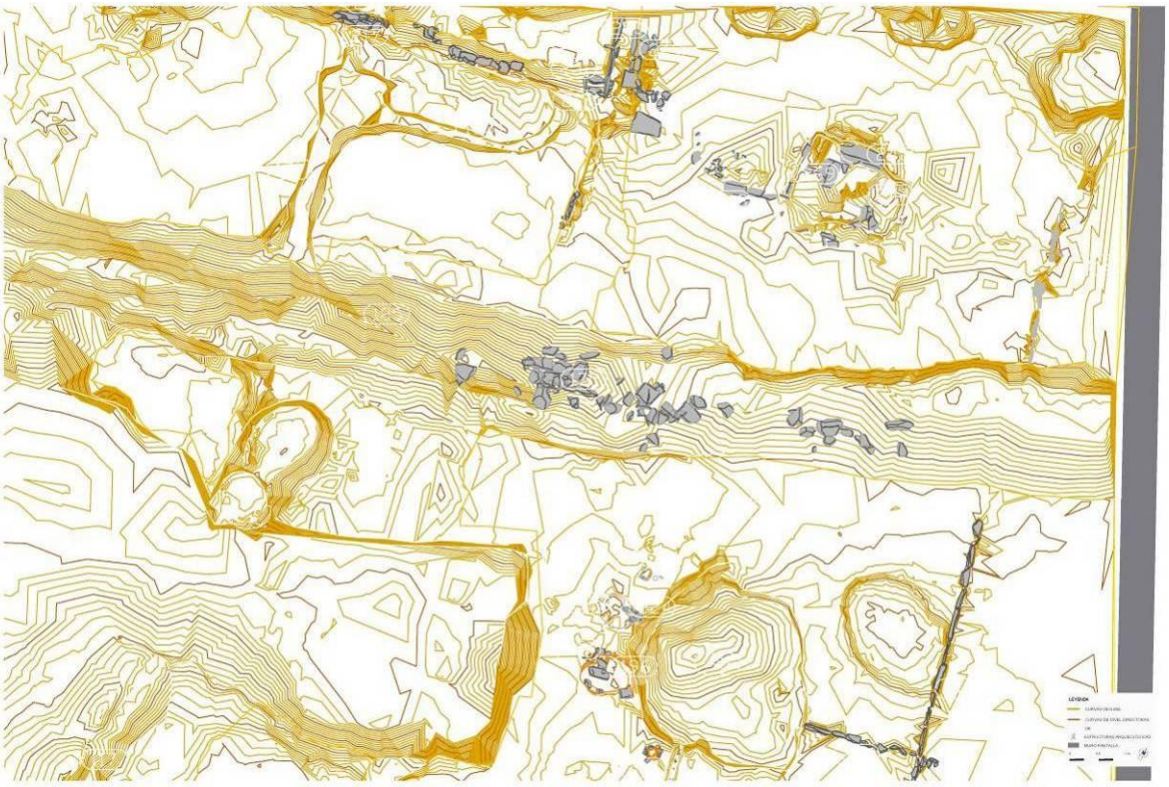
Sección NE del Sector NW

4.8.1.2. SECTOR N

Este sector se corresponde con parte de la excavación del Área I dirigida en 2006 por María J. Iglesias Darriba. Al NW y NE aparece delimitada por el muro pantalla, al S por el Sector SE, y al W por el Sector Central y NW. Presentaba una superficie de 120,2 m².

Los restos conservados en el Sector se corresponden con la estructuras de salina antigua, cortadas por negativas tardorromanas (zanjas y fosas) y recientes (sondeo arqueológico

realizado al S del Sector y pozos para bomba de succión excavados al N y al S del Sector). La superficie fue cubierta con geotextil y tapada por un relleno una vez finalizada la intervención. Debido a ello el Sector no conservaba estratigrafía arqueológica, con la excepción del relleno (UE176-UE205) de la zanja (UE175) para la cimentación (UE206) del muro longitudinal bajorromano o tardoantiguo (UE170). Este depósito fue agotado en su totalidad y las estructuras conservadas registradas. Asimismo se vació el relleno que cubría el sondeo realizado al S del Sector, procediéndose al registro de la estratigrafía ubicada bajo los niveles de salina.

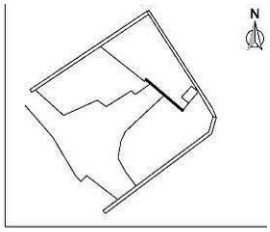


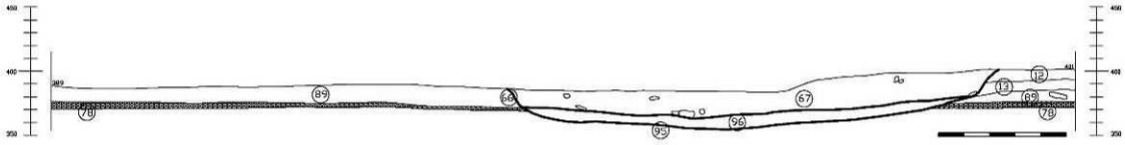
Planta del Sector N

4.8.1.3. SECTOR CENTRAL

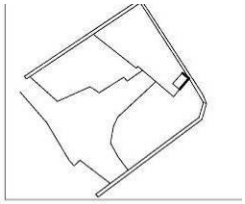
Se corresponde con una pequeña superficie conservada en la parte central de la parcela. Aparece delimitada al N por el Sector NW, al E por el Sector N, al S por el sector SE y al W seccionado por el Sondeo 4 realizado en 2005 bajo la dirección de Víctor Barbeito Pose. Presentaba una superficie de 26,4 m².

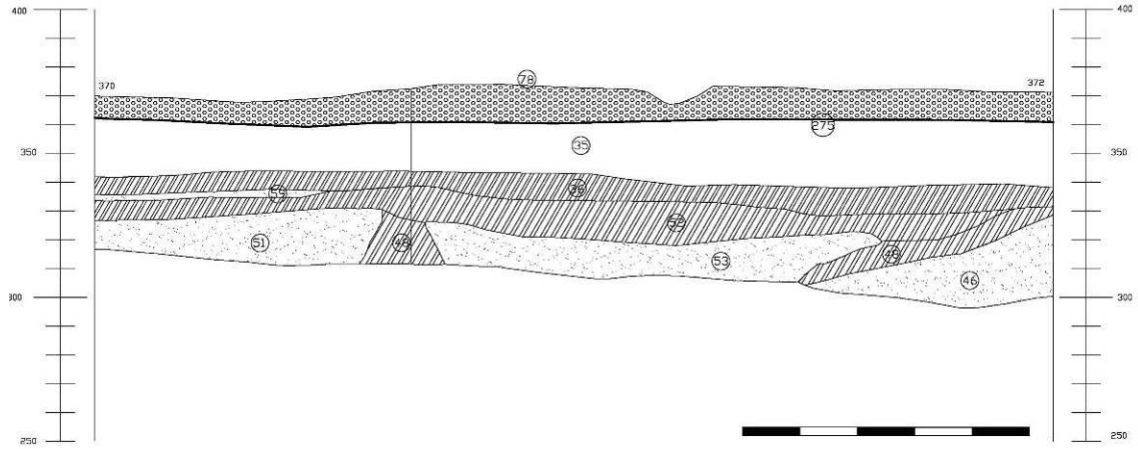
La estratigrafía del Sector, aparecía alterada por un relleno reciente que colmataba un corte que afectó parcialmente a los niveles tardoantiguos. Esta interfacies coincidieron con la unión de los Sondeos 4 y 5 realizados en 2005 bajo la dirección de Víctor Barbeito Pose y con el perfil W de la excavación del Área I dirigida en 2006 por María J. Iglesias Darriba.





Sección E del Sector central



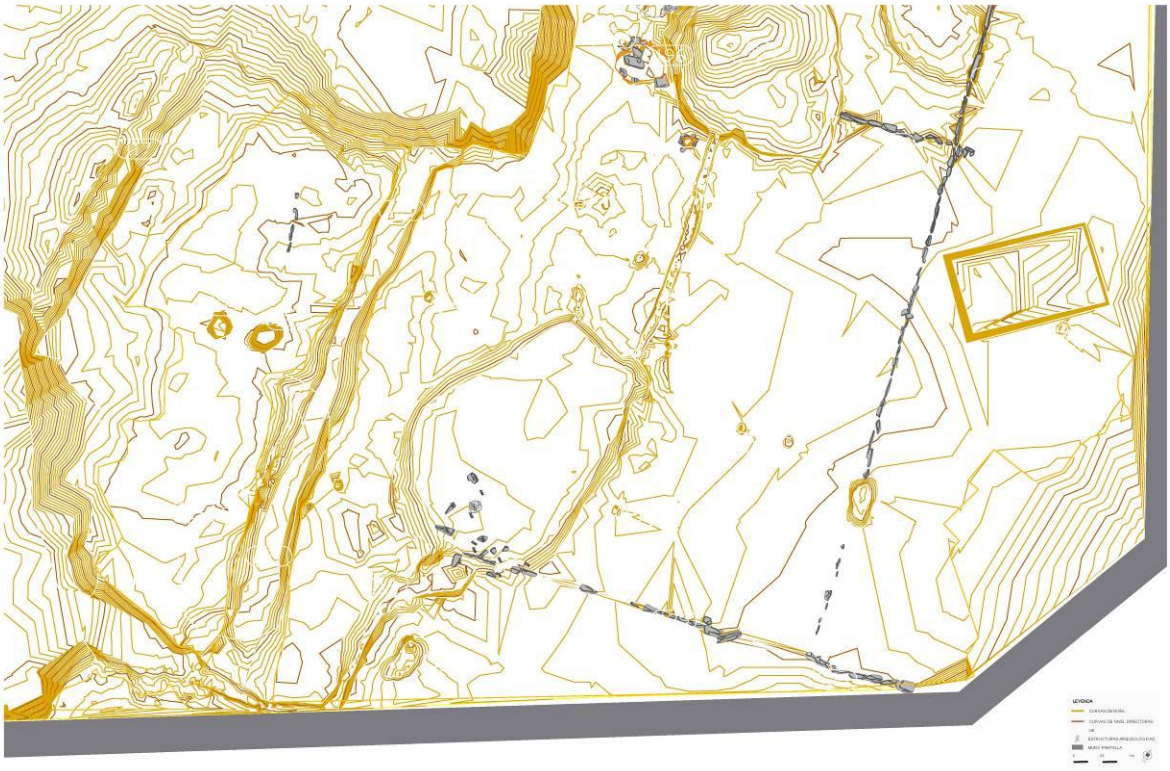


Sección SE y NE del sondeo realizado en la intervención de 2006 en el Área 1

4.8.1.4. SECTOR SE

Esta área aparecía cortada al W y NW por el Sondeo 4 realizado en 2005 bajo la dirección de Víctor Barbeito. Al N lo delimitaba el Sector Central, al E el Sector N y al S lo cerraba el muro pantalla de la parcela. Su superficie fue de 134,2 m².

La estratigrafía arqueológica presentaba un buen estado de conservación.

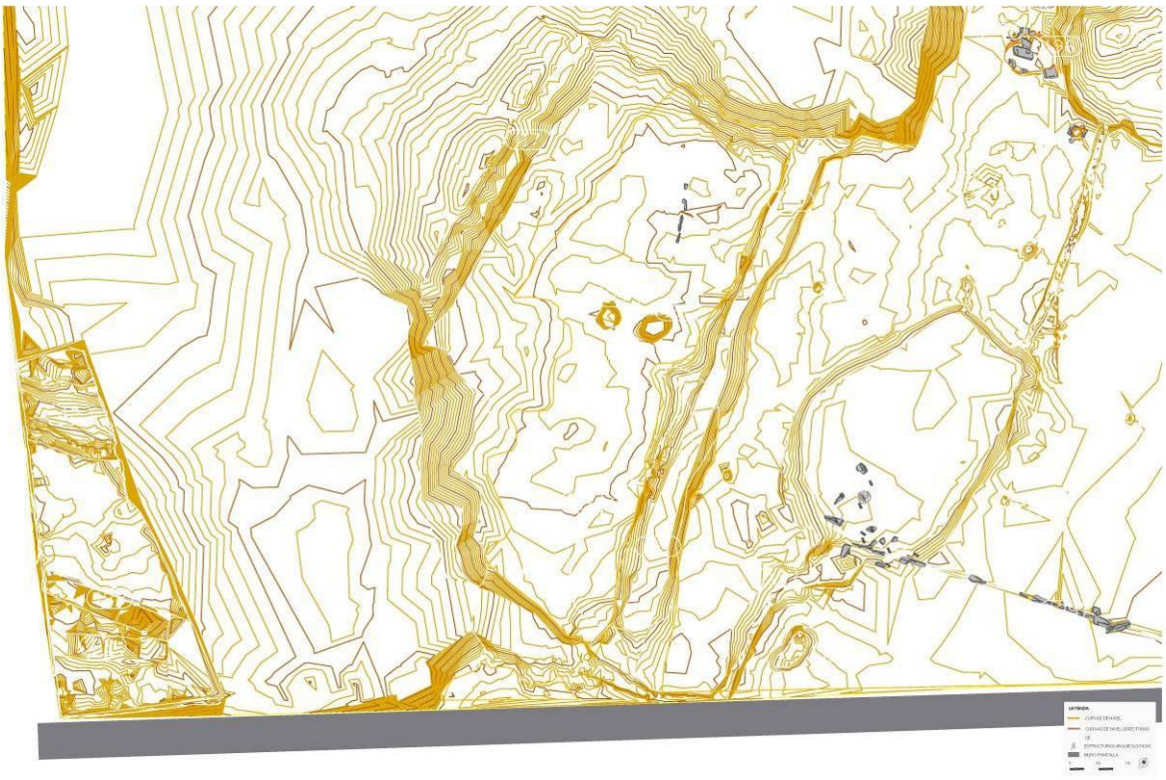


Planta del Sector SE

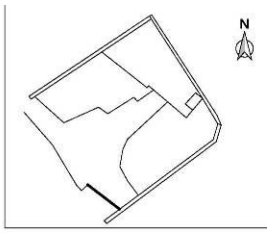
4.8.1.5. SECTOR S

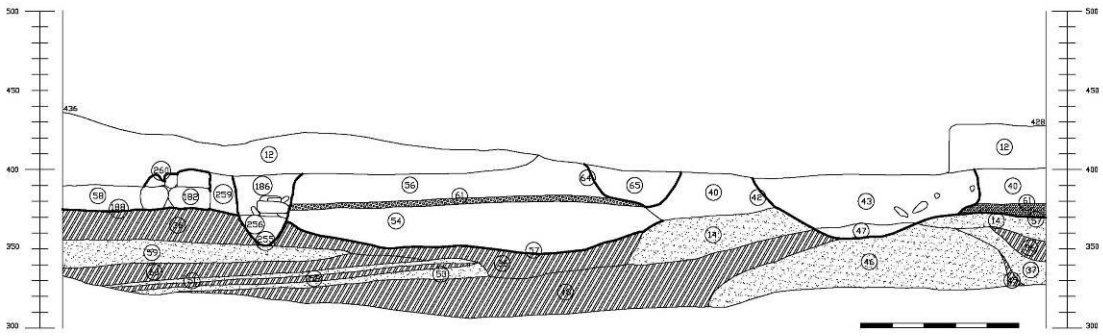
Esta zona aparecía cortada al N y E por el Sondeo 4 realizado en 2005. Al S lo delimitaba el muro de pantalla y al W coincide con el límite E de la Parcela 3. Su superficie fue de 14 m².

La estratigrafía arqueológica presentaba un buen estado de conservación.



Planta del Sector SW





Sección E del Sector S

4.8.2. FASES DOCUMENTADAS

4.8.2.1. FASE I: NIVELES DE FORMACIÓN NATURAL PREVIOS A LA CONSTRUCCIÓN DE LA SALINA

En esta fase fue documentada la presencia de niveles alternos de duna y de marisma.



Calicata de comprobación realizada en el sector NW durante los trabajos de excavación en área

Los depósitos de arena, con variabilidad de carga orgánica, corresponderían a niveles de progresión de duna (acción eólica), mientras que los depósitos con abundante presencia de limos se interpretan como niveles de marisma (acción de regresión marina).



Cata de sondeo abierto en 2006



Sección S de cata de sondeo abierta en 2006



Sección E de cata de sondeo cortando las salinas



Detalle de la estratigrafía del cuadrante S

Todos los depósitos de esta fase se interpretan como de formación natural, aunque estratos como UE14 y UE35, correspondientes a niveles de duna, presentan sus superficies horizontalizadas, sirviendo de asiento de la base de la salina.





Niveles de formación natural bajo el pavimento de salina en la cata de sondeo abierta en 2006 (izq.) y niveles naturales bajo el pavimento de salina en el perfil NE del Sector S (der.)

La secuencia estratigráfica aparecía formada por un nivel de arena (UE295) interpretado como un nivel natural de playa. Sobre este depósito, en el ángulo NW del sondeo 1 fue localizada una pequeña concentración de lajas de granito de tamaño medio de entre 20 y 40 cm de longitud, sin disposición aparentemente definida. Sobre ellas se documentaron diferentes niveles de formación natural compuestos por bandeados de arena y limo. Estos depósitos fueron sellados por un estrato de arena blanca limpia, interpretado como un nivel general de duna, cuya superficie aparecía enrasada con el fin de alcanzar la cota necesaria a la que fueron construidas las salinas.




Estado final de S1. En el ángulo NW se localizó una concentración de piedras de granito (izq.) y sección N de S2 donde se aprecia la estratigrafía de formación natural previa a la construcción de la salina, así como el corte practicado a la estructura UE249-UE250 (der.)




Sección E de S2 en la que se aprecia la estratigrafía de formación natural previa a la construcción de la salina, así como el corte practicado a la cubeta documentada en anteriores intervenciones (UE244-245) (izq.) y sección S de S2 en la que se aprecia el corte dejado tras el expolio del murete de la salina (UE257) (der.)



Sección W de S2 en la que se aprecian los cortes realizados sobre la salina tras su abandono



Sondeo 2 desde el E (izq.) y estado final de la sección E de S2 en el que se aprecia la excavación parcial del nivel de arena de playa original (UE295) (der.)

En la cata 3 cortando al depósito UE295 se localizó una zanja con orientación E-W de dimensiones variables, con una altura máxima hacia el W de 49 cm y una anchura máxima en el centro de la cata de 3,71 m en su parte superior y 3,44 m en la base. Aparecía colmatada por el un depósito arenoso con presencia de limos (probablemente material de arrastre), piedras de granito de diverso tamaño que no semejaban conformar ningún tipo de estructura, trozos de madera sin desbastar y alguna concentración de materia orgánica carbonizada.

En la UE346 fue recogida un muestra que registró la presencia de arraclán-sanguiño (*Frangula alnus* L., sinónimo *Rhamnus frangula*), compuesta por una drupa o baga, con tres semillas en el interior, una semilla y tres fragmentos de semillas que se corresponden también a una baga con tres semillas. Es una semilla correspondiente a un fruto con dos semillas.



Baga de *Frangula alnus*



Semillas de *Frangula alnus* de una baga de 2 y de 3 semillas respectivamente

La UE289 del Sondeo 03, se corresponde con un depósito que colmataba la fosa sellada por el pavimento de la salina. En este depósito se recogieron carbones, maderas y fragmentos cerámicos (ánfora, *tegula*, etc.). Junto con los carbones fueron localizados también maderas en el centro del depósito.

En esta UE fue localizado un fragmento de pepita de vid (*Vitis vinifera*), correspondiente a su cara dorsal, por lo que no permite distinguir si se trata de la subespecie cultivada (*Vitis vinifera* subsp. *sativa*) o de la variedad silvestre (*Vitis vinifera* subsp. *sylvestris*), por lo únicamente se puede determinar la especie. El contexto en el que aparece, previa a la construcción de las salinas que están en funcionamiento durante los siglos I-III d.C., sitúa la presencia de este taxón *ante quem* en torno a las décadas contiguas al cambio de era.

Resultan pausibles varias hipótesis que señalan la presencia de vid silvestre, el cultivo de vid o la llegada por intercambio comercial. Existe constancia de su presencia al norte del Duero en Portugal durante la II edad del hierro. La cepa silvestre es una variedad que crece espontáneamente en la Península Ibérica, encontrándose datada *Vitis vinifera* subsp *sylvestris* en contextos neolíticos en la península, indicativo de que formaba parte de la flora autóctona, cuando menos en la orla mediterránea. Para el norte de Portugal existen evidencias a partir de mediados del I milenio a.C, pero no se especifica de si se trata de *sativa* o *sylvestris*.

En Galicia, hasta el momento, no existían datos firmes de su presencia como cultivo, más si del consumo de un de sus derivados como es el vino. Aparece reflejado tanto en las fuentes clásicas, como atestiguada por la gran cantidad de ánforas. Análisis realizados a ánforas de pecios en Mallorca, revelan que determinadas tipologías podrían ser reaprovechadas para otros productos. Los datos de su presencia como especie más antigua en Galicia, procedían de Braña Rubia (A Coruña), donde se registra polen de *Vitis sp* hacia el 1.600 BP (AIRA, 1996).



Fragmento de la cara dorsal de pepita de baga de *Vitis vinifera*

De esta manera se puede retrotraer cronológicamente la presencia de vid en torno al cambio de era, dado el contexto de aparición. No obstante, al localizarse en una zona de intercambio comercial, se deben tomar el hallazgo con ciertas cautelas al no poder determinarse si la variedad es cultivada o silvestre.

En otra muestra recogida dentro de la UE289 en el Sondeo 3, se encontró un fragmento de piel de castaña (*Castanea sativa*).



Fragmento de fruto de *Castanea sativa*

Estos bandeados fueron sellados por un nivel general de origen natural arenoso, de color gris claro, con algunas bolsadas limosas y manchas de óxidos de composición bastante homogénea (UE35), cuya superficie aparecía enrasada con el fin de alcanzar la cota necesaria para la construcción de la salina.



Detalle del depósito con carbones (UE346) localizado en el relleno de la zanja (UE292) (izq.) y vista desde el E de la zanja localizada en S3 (UE292) y su relleno (UE293) (der.)



Detalle de la concentración de piedras formando parte del relleno de la zanja localizada en S3 (izq.) y detalle de la sección W de S3 donde se aprecia el corte del horno de vidrio construido sobre el pavimento de salina y la zanja excavada bajo el depósito sobre el que se construyeron las salinas (der.)



Vista desde el E de la zanja localizada en S3 (UE292) y su relleno (UE293) tras la ampliación de la cata de sondeo (izq.) y vista desde el W de la zanja localizada en S3 (UE292) y su relleno (UE293) previamente a su excavación (der.)




Vista desde el E de la zanja localizada en S3 (UE292) (izq.) y detalle de la sección W de S5 donde se aprecia el corte de la zanja (der.)




Sondeo 4 desde el S a la cota de la superficie del nivel de arena de playa original (UE295) (izq.) y sección N de S4, donde se aprecian los niveles naturales de playa, limo y duna (der.)




Sección S de S4 en la que se aprecia el murete de salina y el pavimento (UE140) (izq.) y sección S de S5 con los niveles de duna bajo el preparado de gravas y arcillas del pavimento (der.)



Sección E de S5 con las estructuras pétreas de la salina sobre el nivel de duna

6.4.2.2. FASE II. NIVELES ANTIGUOS CORRESPONDIENTES A LA CONSTRUCCIÓN DE LA SALINA



Vista general desde el N a fecha de 18 de septiembre de 2008 (estado final)

La fase antigua aparece caracterizada por la presencia de las estructuras que conforman el complejo salinero. Las estructuras más antiguas constructivamente de esta fase se corresponden con aquellas que se interpretan como posibles zonas de paso (UE225, UE248, UE249 y UE250). Se corresponden con los restos de una serie de estructuras lineales que parcelarían las salinas de cristalización permitiendo el acceso a las mismas. En líneas generales presentan dos paredes paralelas de lajas de esquisto y granito hincadas, ligeramente inclinadas hacia el exterior en su base y apoyadas en una especie de arcilla con algo de piedra, que ayudaban a impermeabilizar las paredes de los estanques (IGLESIAS DARRIBA, 2007: 19). Presentaban unas dimensiones medias de 40 cm de ancho por unos 20 cm de alto. La estructura conservada en su integridad (UE249 y UE250) dentro de la Parcela 4 tenía una longitud de 2,60 m, habiéndose prolongado originalmente hacia el S, a

juzgar por la presencia de una zanja de destrucción (UE257) y restos de lajas hincadas (UE225). Asimismo se conservaban restos de otra estructura de similares características perpendicular a ésta, hacia el W (UE217 y UE251) y los restos, muy alterados, de lo que sería su prolongación hacia el E (UE248).



Fotografía en altura de la Parcela 4 desde el S: Sectores NW y N

Adosados a estas estructuras y constructivamente correspondientes a la misma fase, se encontraron los pavimentos o pisos de las salinas de cristalización. Aparecían compuestos por gravas de cuarzo de 1-2 cm de grosor, arcilla y arena fuertemente compactados (UE34, UE61, UE78 y UE90). Dichos pavimentos presentaban un estado de conservación variable. En la parte W y central prácticamente no se conservaron debido a su alteración durante la ejecución de las catas de sondeo con medios mecánicos realizadas en 2005. En la parte E de la parcela aparecían en mejor estado, si bien seccionados en buena medida por las fosas y zanjas realizadas durante la fase tardoantigua.



Fotografía aérea de la Parcela 4 desde el SW: Sectores N y SE



Proyección del límite de los tanques de cristalización a partir de los restos documentados

Hincados sobre los pavimentos de las salinas, fueron localizados los muretes divisorios de los tanques de cristalización (UE139, UE140, UE225 y UE253). Se construyeron con pequeñas lajas de esquisto y granito de entre 25 y 30 cm visibles, hincadas en la base de la salina. Se plantea la hipótesis de que una estructura formada por arcilla compactada pudiera haber cubierto los intersticios entre lajas, por lo que sólo se conservaría el esqueleto. Junto a las estructuras de paso, parcelarían ortogonalmente la salina, delimitando espacios prácticamente cuadrangulares de unos 8 m de lado que conformarían los tanques de cristalización de la salina con una orientación N-S. Se documentaron, parcialmente hasta 12 tanques de cristalización, seccionados en su perímetro por la construcción del muro de apantallamiento.

Sobre el pavimento de la salina y adosada posiblemente a una estructura de paso (UE248), fue localizada una estructura, denominada cubeta, de planta cuadrangular conformada por lajas de granito en sus lados N y W con unas medidas 1,9 m de longitud por 1,4 m de anchura y una profundidad máxima de 20 cm. Su base, de unas dimensiones de 60x50 cm, se correspondía con un opus compuesto por gravas de granito y cuarzo de pequeño tamaño fuertemente compactado y tierra arcillosa que aislaría totalmente la cubeta del nivel de duna sobre el que se asienta. Para su construcción fue necesaria la excavación de una fosa que permitiese soterrarla con el fin de dejar la parte superior de las paredes a la misma cota del pavimento de salina. Estas cubetas se interpretan como posibles depósitos de decantación final (CURRÁS REFOJOS, 2007: 138).



Fotografía aérea de la Parcela 4 desde el N: Sectores SE y S



Fotografía aérea de la Parcela 4 desde el E: Sector S



Fotografía aérea de la Parcela 4 desde el NW



Fotografía aérea de las Parcelas 3 y 4 desde el NW



Sector NW desde el W



Perfil con piso de salina (UE34) en sector NW



Pavimentos de salina en Sector NW (UE90-UE34)



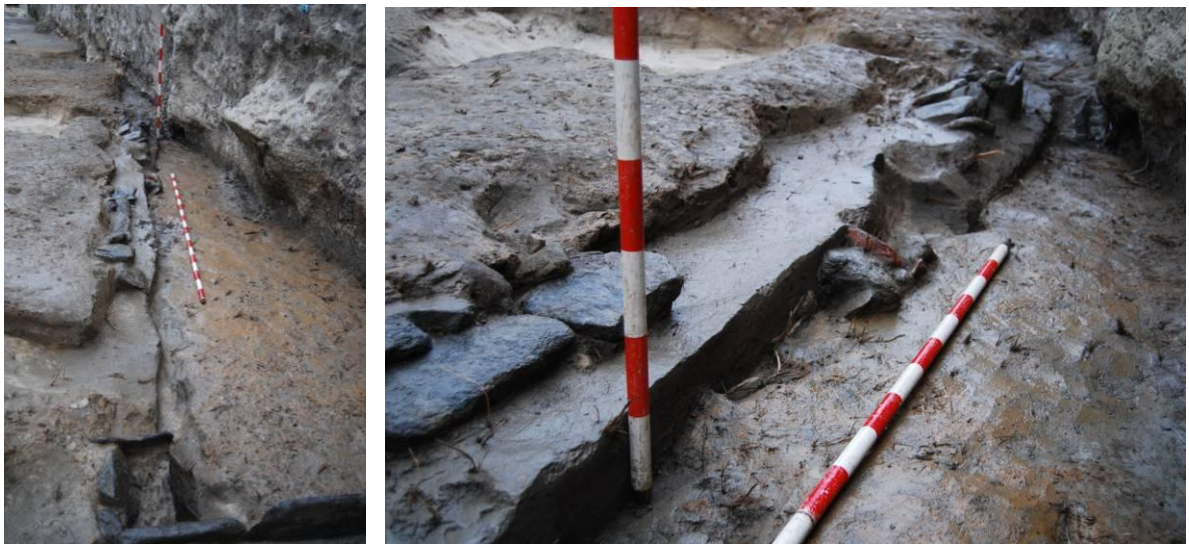
Piso de salina UE34 desde el W



Vista general del piso de salina (UE34) en Sector N desde el E y detalle desde el S



Estructura UE217-UE251 desde el W y E



Detalle de los restos de UE217-UE251 desde el E, donde se aprecia la diferencia de altura entre los pavimentos de la salina en el Sector NW



Detalle de la estructura UE249-UE250



Estructura UE249-UE250 desde el SE



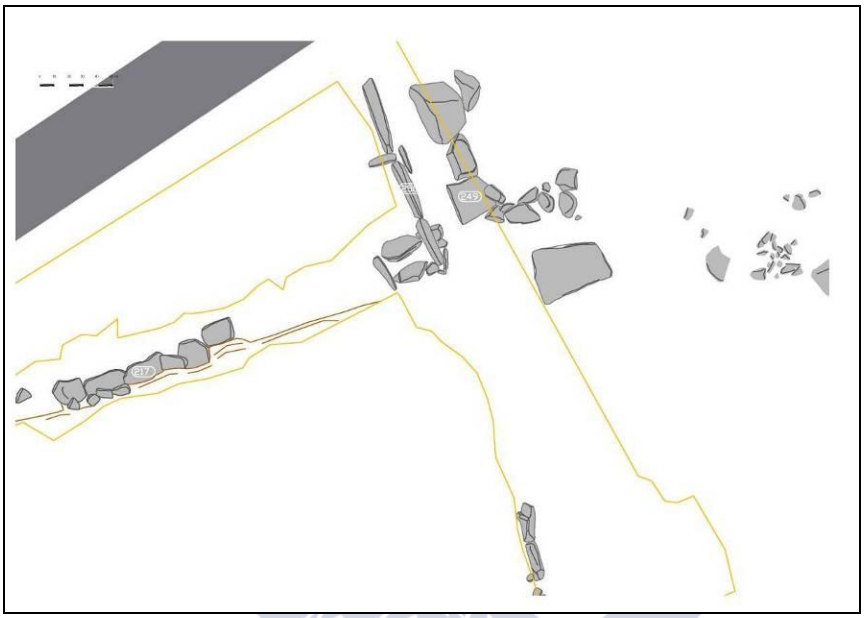
Sector N visto desde el W



Estructuras localizadas al N del Sector N

El desmontaje con metodología arqueológica de las estructuras localizadas en el sondeo 2, permitió conocer la secuencia constructiva de los elementos que componían la salina. Sobre el nivel de arena enrasado se dispusieron primeramente los elementos pétreos de parcelación o delimitación de los tanques de cristalización de la salina. Las lajas que conformaban las estructuras compuestas por UE249-UE250 y UE217-UE251, así como las

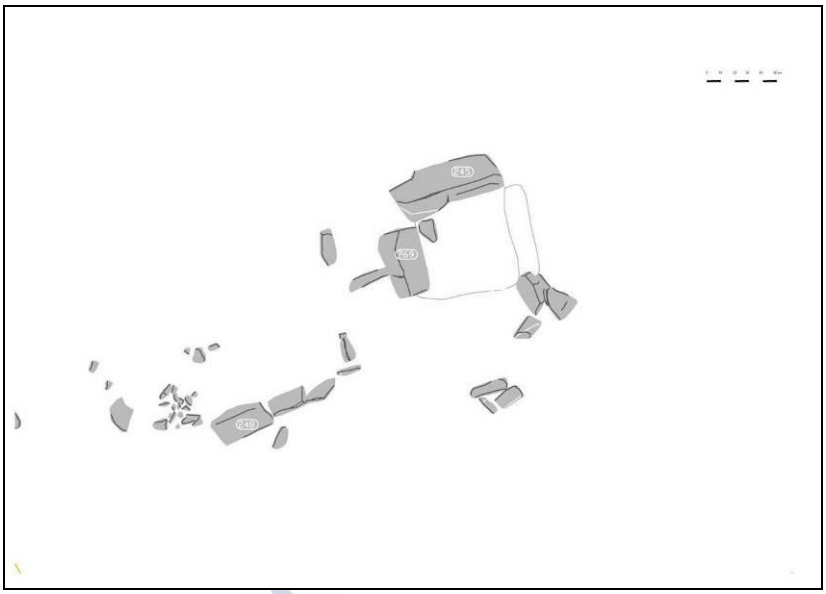
conservadas de los muretes de los tanques UE248 y UE225, fueron hincadas directamente sobre la arena. Fue localizado un calzo en la base del murete UE225, sellado por el pavimento de salina. La secuencia constructiva de la cubeta localizada al N del murete UE 248 reflejada en la sección E del sondeo permitió comprobar que tras la construcción de los muros, se excavó una fosa al pie de las lajas del murete en la que fue dispuesta la cubeta (UE244-UE245). Primeramente se fijaron las lajas que conformaron los cuatro laterales. En el interior de las mismas se adosaron los elementos que conformaban la base de la cubeta, compuesta por un nivel de lajas dispuestas horizontalmente sobre el que se dispuso un aglomerado compuesto por pequeños guijarros muy compactados.



Detalle de la estructura UE249-UE250



Detalle de intersección de estructuras de paso



Detalle de la cubeta UE245-UE269



Murete de salina y cubeta desde el N



Cubeta de salina y estructuras asociadas



Cubeta de salina desde el NW (UE244-245)



Cubeta y restos de estructura UE248 desde N



Detalle de la cubeta desde el E



Detalle de restos de UE248 desde el N



Sector SE desde el N



UE140 al N del sector N (vista desde el W)



Murete de salina UE253 desde el S



Murete de tanque de salina UE139 (detalle)



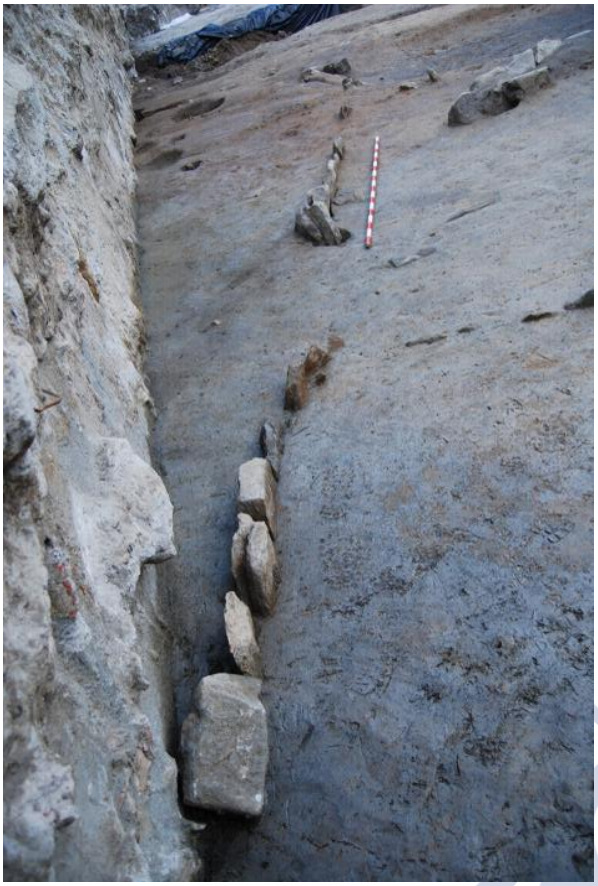
Murete de tanque de salina UE139 (detalle)



Murete de tanque de salina UE140 desde N



Murete de tanque de salina UE140 desde W



Murete de tanque de salina UE139 desde el E



Vista de la UE139 desde el W



Detalle de la UE140



Piso de salina UE78 desde el W en Sector N



UE254 desde el W



Sector S desde el NE (estado final)



Pavimento UE61



Detalle del pavimento UE61



Sección Central S del Sector NW (estado final)





Rebaje de los pavimentos de salina en S2 y detalle del pavimento de salina adosado a la estructura UE249-UE250

Adosados a las estructuras pétreas anteriormente descritas se dispusieron los distintos niveles de pavimento de las salinas, compuestos en su base por un preparado de gravas de

cuarzo, granito y esquisto, sobre las que se situaron los niveles superficiales compuestos por arcilla y limo (UE34, UE78 y UE90).



Detalle de murete de tanque con calzo



Estructura de la cubeta tras retirar el pavimento



Planta de la estructura UE249-UE250



Sección N de S2



Sección E de S2



Excavación de pavimentos en S4

En el ángulo NE del Sondeo 5 fue localizada otra cubeta completa inédita. La tipología y dimensiones resultaron ser similares a otras anteriormente documentadas, asociadas a los tanques de cristalización y cuya funcionalidad es actualmente, objeto de debate. La cubeta

presentaba forma cuadrangular en planta con un exterior de 90 cm de lado y 70 cm en el interior y una altura máxima de 30 cm. Las lajas que conformaban los laterales de la cubeta (UE280, UE281, UE282, UE283) aparecían dispuestas sobre el nivel natural de arena (UE35). La parte superior de las lajas coincidía con la superficie del pavimento de la salina fabricado con arcilla. Este factor apunta a que la cubeta estaría ligeramente soterrada respecto a la cota superior del pavimento, de forma similar al de otras cubetas localizadas en Rosalía de Castro. En el interior de las mismas fueron adosados los elementos que conformarían la base de la cubeta, compuesta por un nivel de lajas dispuestas horizontalmente (UE297) sobre el que se disponía un aglomerado compuesto por pequeños guijarros muy compactados (UE296). La cubeta aparecía sellada por un depósito compuesto por aportes de la capa superior de arcilla del pavimento, apenas diferenciado físicamente de éste en planta.



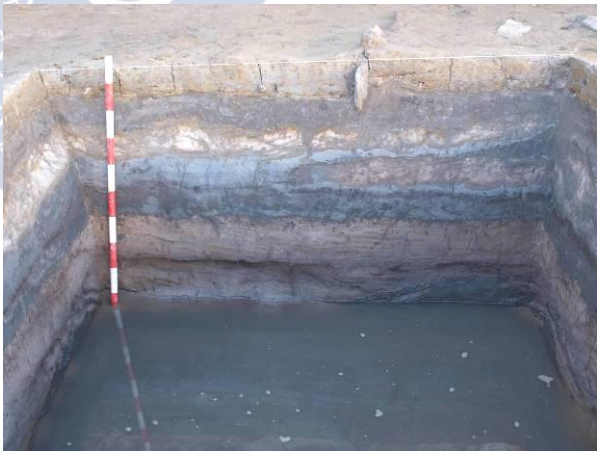
Vista desde el E de S4 sin pavimento



Detalle del murete del tanque de salina (UE140)



Sección N de S4



Sección S de S4

Adosados a las estructuras pétreas anteriormente descritas se disponían los distintos niveles de pavimento de las salinas. La superficie situada al N del tanque estaba cubierta por un compuesto de arcilla y gravas de cuarzo, esquisto y granito de diferentes tamaños (2 cm las más pequeñas y 10 cm las más grandes). Presentaba una concentración de gravas

más alta que la correspondiente al resto de los sondeos donde fue desmontada la base de las salinas. La superficie situada al S del murete presentaba sin embargo una base compuesta de arcilla y gravas de cuarzo de pequeño tamaño. Sobre estos niveles de base, se localizaron los niveles superficiales de la salina formados por arcilla y limo.



Vista desde el S de S5



Vista desde el N de la cubeta localizada en S5



Vista desde el S de S5



Vista ortogonal de la cubeta



Detalle del preparado del pavimento de salina compuesto por piedra menuda y gravas de granito, esquisto y cuarzo (UE294)

4.8.2.3. FASE III. NIVEL DE ABANDONO DE LA SALINA

Dentro de esta fase se distinguen dos momentos. El primero lo configuran una serie de elementos interfaciales que cortan las estructuras de la salina. Se tratan de agujeros de poste fundamentalmente (UE123, UE145, UE148, UE150, UE155 y UE219) y alguna fosa (UE127 y UE222) realizados sobre el pavimento mejor conservado dentro de la parcela (UE78). Cortando el pavimento peor conservado (UE34) se localizan un agujero de poste (UE117 y UE238) y una fosa (UE119). Así mismo cabe señalar que en este momento se documenta de manera intermitente una zanja de expolio (UE125 y UE257) de la estructura de paso de la salina con orientación N-S.



Realidad UE 89 sobre la que se asientan los niveles bajorromanos de abandono de las salinas

Producción	Forma	Cronología
Ánfora tarraconense	Keay 68/91A	Siglo IV-mediados siglo V
Metal	Escoria de hierro	Época romana
Vidrio	Indeterminada	Tardorromana

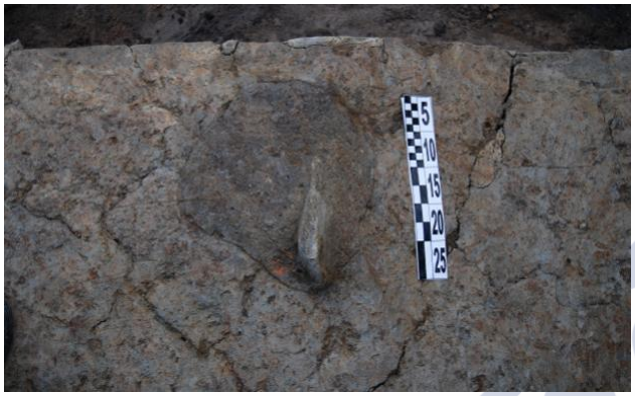
Material arqueológico localizado en la UE114



Relleno (UE124) de agujero de poste UE123



Hueco de poste UE124



Relleno (UE146) de agujero de poste UE145



Hueco de poste UE145



Relleno (UE149) de agujero de poste UE148



Hueco de poste UE 148



Relleno (UE151) de agujero de poste UE150



Hueco de poste UE150



Rellenos de huecos de poste UE149 y UE151



Zanja UE125 y huecos de poste



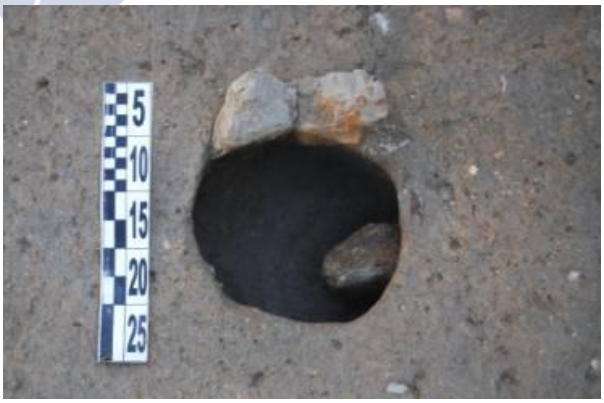
Relleno (UE156) de hueco de poste (UE155)



Hueco de poste (UE155) de planta cuadrangular



Relleno (UE220) de agujero de poste UE219



Hueco de poste UE219



Relleno (UE223) de agujero de poste UE222



Hueco de poste UE222



UE219 y UE222



Emplazamiento de fosa (UE127) y relleno de canal (UE114)



UE171 cortando UE34 (pavimento de salina)



UE171 desde el S

Producción	Forma	Cronología
TSAD	Forma Hayes 99, NN. 1, 7-8, 12	Siglo VI-inicios del siglo VII.
Ánfora del Mediterráneo oriental	Late roman amphora 1/Keay 53	Siglo V-inicios siglo VII
Metal	Escoria de hierro	Época romana
Vidrio	Indeterminado	Tardorromana

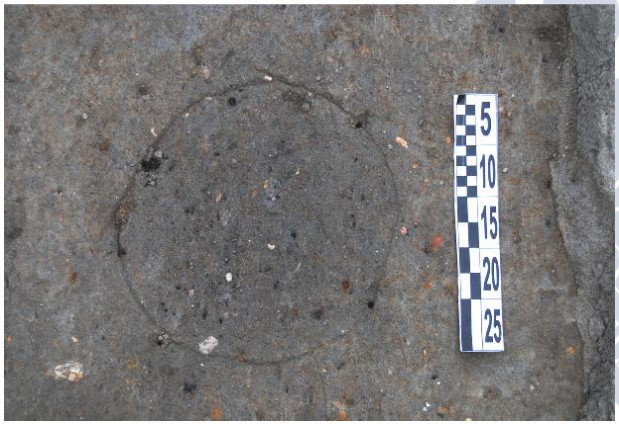
Material arqueológico localizado en la UE172



UE172 colmatando UE171



UE171 cortando pavimento de salina y duna



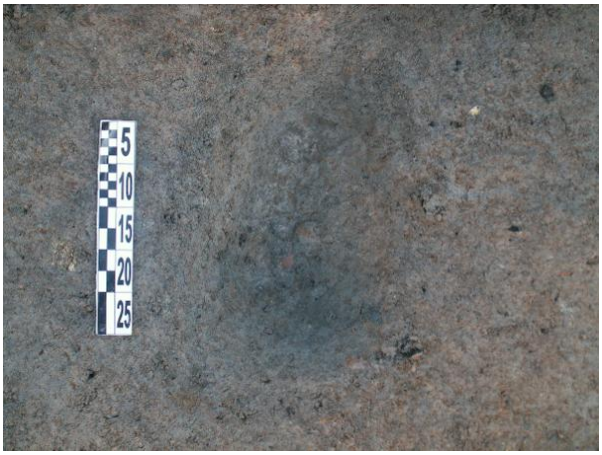
Relleno (UE118) de agujero de poste UE117



Hueco de poste UE117



Relleno (UE120) de fosa UE119



Fosa UE119



Relleno (UE239) de agujero de poste UE238



Hueco de poste UE238



Relleno (UE128) de fosa (UE127)



Fosa (UE127)



Relleno (UE146) de agujero de poste UE145



Hueco de poste UE145

Producción	Forma	Cronología
TSFT	Forma 3	400-finales del siglo VI
Cerámica común romana	Cuenco con pico vertedor	Tardorromana
Ánfora bética	Haltern 70	Mediados siglo I a.C.-mediados siglo II d.C.
Ánfora galaica, Bueu	S. Martiño Bueu II/Almagro 50/Keay 16	Siglo III/mediados siglo IV-inicios siglo V d.C.
Metal	Escoria de hierro	Época romana
Vidrio	Indeterminado	Finales del siglo V-primera mitad del siglo VI

Material arqueológico localizado en la UE126



Relleno (UE126) de zanja (UE125) desde el S



Zanja UE125



UE125 desde el SE



UE 125 desde el N



UE 125 desde el W



UE257 desde el S (estado final)



Depósito UE 258 desde el E



UE257 desde el N



Sección NE del cuadrante S



Sector S (Estado final)

Sellando estos cortes y las estructuras de la salina, existe un nivel general compuesto por arcilla muy compactada de la propia salina (UE89 y UE90) donde el piso aparece mejor conservado y con textura arenosa en las zonas donde su grado de alteración es mayor (UE40, UE56, UE216). Sobre este nivel general se localizaron una serie de elementos estratigráficos que se corresponderían con un segundo momento.



UE177 desde el W



Fosa (UE95) sobre la realidad 89

Producción	Forma	Cronología
TSAD	Forma "Atlante", Tav. XLVIII, II	Finales del siglo IV-mediados del siglo VII
TSAD	Forma Hayes 104C	550-625. En Cartago aparece en niveles de la segunda mitad del siglo VII.
TSAD	Forma Hayes 170	Segunda mitad del siglo V-inicios del siglo VI (según Hayes)/siglo VI - inicios del siglo VII (según Salomonson).
Cerámica común romana	V2A	Mediados del siglo II-finales del siglo IV/inicios del siglo V.
Ánfora norteafricana	Keay 27B	Finales siglo IV-primer cuarto siglo VI (seg. Keay); siglo IV-mediados siglo V, residual en el siglo VI (seg. Remolâ Vallverdú)
Ánfora tarraconense	Keay 68/91A	Siglo IV-mediados siglo V
Vidrio	Cuenco acampanado hondo	Siglo V
Otros	Pondus	Época romana

Material arqueológico localizado en la UE89

Producción	Forma	Cronología
TSAD	Forma Hayes 104A ó Forma Hayes 104B	Siglo VI, aproximadamente
Ánfora del Mediterráneo oriental	Late roman amphora 1/Keay 53	Siglo V-inicios siglo VII
Otros	Pondus	Época romana

Material arqueológico localizado en la UE216



Sector SE sobre la realidad 89



Relleno de fosa (UE105) y zanja (UE138)

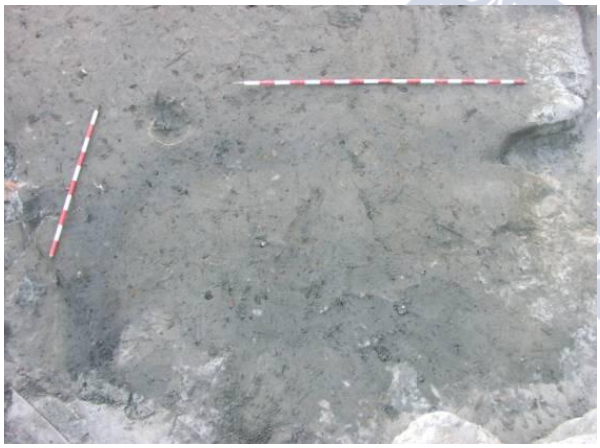
Producción	Forma	Cronología
TSAD	Forma Hayes 104C	550-625. En Cartago aparece en niveles de la segunda mitad del siglo VII.
TSFT	Forma 3	400-finales del siglo VI
TSFT	Forma 10A	Finales del siglo VI-inicios del siglo VII
Cerámica común romana	Mortero	Siglos V-VI
Ánfora tarraconense	Keay 68/91A	Siglo IV-mediados siglo V
Metal	Escoria de hierro	Época romana
Vidrio	Lasca de vidrio bruto	Tardorromana

Material arqueológico localizado en la UE105





Sector SE previamente a la excavación de los depósitos tardíos rellenando negativas



Vista desde el NW de UE183 y UE184



Planta de 183 desde el NW

En el Sector NW se localiza una zanja (UE183) probablemente correspondiente a un canal, con perfil en U y orientación NE-SW de 45 cm de ancho y 4,5 m de longitud y 35 cm de profundidad. Aparece cortada por la zanja UE171 que presenta forma rectangular en planta y orientación N-S, con unas dimensiones de 5 m de largo, por 43 cm de ancho y 20 cm de profundidad. Asimismo se detecta un nivel interfacial de destrucción (UE209) correspondiente al desmontaje de los muretes de delimitación de tanques UE217 y UE251. Este nivel sella a la UE210, depósito localizado en el Sector NW, a ambos lados del canal

UE 183, con abundante material arqueológico. Bajo Este nivel se dispone la UE216, correspondiente a un depósito de textura arenosa localizado directamente sobre la base de las salinas (UE34), que contenía material arqueológico heterogéneo.



Depósitos de arena (UE207-208)



UE252 rellenando UE209

Producción	Forma	Cronología
TSFT	Forma 10A	Finales del siglo VI-inicios del siglo VII
Ánfora norteafricana	Keay 39	Siglo IV-mediados siglo V (seg. Keay); mediados siglo IV-primera mitad siglo V (seg. Remolà Vallverdú)
Ánfora norteafricana	Keay 62A	Tercer cuarto siglo V-finales siglo VI (seg. Keay); mediados siglo V-primera mitad siglo VII (seg. Remolâ Vallverdú)
Ánfora tarraconense	Keay 68/91A	Siglo IV-mediados siglo V
Metal	Escoria de hierro	Época romana

Material arqueológico localizado en la UE210

Producción	Forma	Cronología
TSH	Forma 15/17	Segunda mitad del siglo I

Material arqueológico localizado en la UE216

En la parte NW del Sector se localizó una fosa (UE173) de planta rectangular y orientación E-W, con unas dimensiones de 187cm de longitud, 44 cm de ancho y 16 cm de profundidad, colmatado por un depósito (UE174) con componente predominantemente mineral, arenoso, limoso y con algunos carbones y material de construcción muy rodado. En el perfil SW del Sector NW fue localizada una fosa (UE31) de planta oval, con unas dimensiones de 130 cm de diámetro por 25 cm e profundidad y con una orientación NE-SW. En la sección central S del sector NW se detectó un nivel de arrasamiento (UE276) de pavimento (UE34) y del depósito que lo fosiliza (UE89). Al N de la fosa UE95 se localizó un agujero de poste (UE180) de planta oval.

Producción	Forma	Cronología
Cerámica común romana	O25	Altoimperial
TSAD	Forma Hayes 104A ó Forma Hayes 104B	Siglo VI, aproximadamente.
Vidrio	Indeterminado	Finales del siglo V-primera mitad del siglo VI

Material arqueológico localizado en la UE207



UE252 sellando la estructura UE225



UE 174 colmatando UE173



Sección de UE174



Planta de UE173



UE173 desde el W



Fosa UE237 desde el E



Fosa UE95 desde el N





Estructura de canal (UE106-107), zanja (UE157) y relleno (UE58) entre fosas (UE104, UE95)

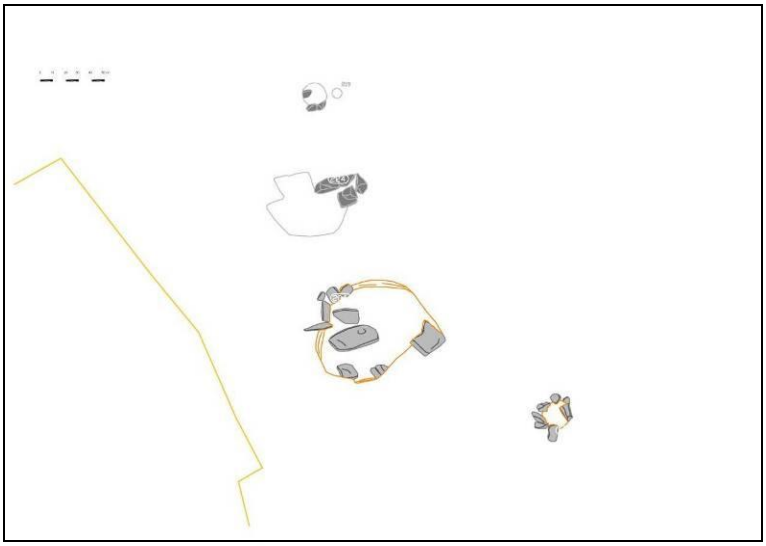


Relleno (UE181) de hueco de poste (UE180)



Hueco de poste UE180

En el Sector central se localizó una pequeña estructura de combustión sobre una fosa (UE196) de planta oval cortando el depósito que fosilizó la salina (UE89) relacionada posiblemente con un horno de vidrio. Presentaba unas dimensiones de 110 cm de longitud, 85 cm de ancho y 17 cm de profundidad con orientación NE-SW. La estructura aparece conformada por una base (UE213) y paredes (UE212 y UE204) compuestas por pequeñas piedras de granito con evidencias de rubefacción, al igual que las paredes correspondientes a la sección del piso de arcilla de la salina.



Detalle de la estructura del horno de vidrio

Cabe señalar que formando parte de su pared W se localizó una laja murete de salina reutilizada (UE253). Esta estructura apareció colmatada por dos depósitos (UE197 y UE200) con alta carga orgánica, cerámica muy deteriorada y nódulos arcillosos. Su parte superior apareció sellada por un depósito de piedras, pertenecientes a la destrucción de la estructura, con evidencias de rubefacción (UE215).



Horno de vidrio desde el SE, previamente y posteriormente a su excavación desde el SE

Producción	Forma	Cronología
Cerámica común romana	Mortero	Siglos V-VI

Material arqueológico localizado en la UE197

En términos de forma y dimensiones se corresponde a los hornos de vidrio comunes, sobradamente conocidos (FOY; NENNA, 2001: 41-66). Sus dimensiones son idénticas a las de un horno recientemente excavado en Braga (CRUZ, 2009a). Se trata de pequeños hornos circulares hechos con materiales de construcción reaprovechados (piedras, cerámica, *tegula*), ligados y revestidos por barro refractario. Poseerían una boca para la

alimentación y limpieza, una cámara de combustión, una cámara de fusión sobrepuesta, con una o más bocas de trabajo, y posiblemente una tercera cámara de enfriamiento en la cima. Se encuentran normalmente rebajados relativamente respecto al pavimento.



Vista desde el N y detalle de la fosa (UE196) del horno de vidrio



Detalle del corte practicado a la estructura del horno de vidrio

El hecho de no existir restos de producción u otros fragmentos de vidrio directamente asociados a la estructura no es un dato significativo ni decisivo. Sería de suponer que un horno en pleno funcionamiento estuviera siempre limpio, más cuando los restos de producción eran seleccionados y guardados para su posterior refundición. Los materiales partidos para reciclaje serían almacenados en el taller, en fosas o contenedores, pero nunca

dentro del horno o en su inmediata proximidad. Aunque en la parcela 4 no haya sido posible identificar con precisión restos de fábrica (“bocas de caña”, desecho, gotas, escorias, etc.), están presentes en otras parcelas objeto de intervenciones dentro del ámbito de Rosalía de Castro. Lo que sería habitual encontrar junto a un horno desmantelado, serían los restos de su estructura, carbones de las últimas hornadas y a lo sumo, escoria o goteos de vidrio, sueltos o adheridos a las paredes de barro.



Hornos localizado sen Braga (CTT 1ª y 2ª fase) (Fotografía cortesía de Mário da Cruz)

En el noroeste peninsular las tres capitales de *conventus*, *Bracara Agusta, Lucus Augusti* y *Asturica Augusta*, fueron importantes centros productores. *Bracara Augusta*, por ejemplo, poseyó por lo menos tres *officinae* de vidriero, contando el reciente descubrimiento del horno de la manzana de los CTT (Correos Portugueses), revelando un largo período de producción que iría desde la segunda mitad del siglo I d.C. hasta finales del siglo V, habiendo sido hasta ahora detectados tres hornos. Más allá de estas ciudades fue posible identificar restos de producción en Tui y Caldas de Reis (Pontevedra).



Zanja UE113 y estructura de canal UE135

La presencia de *casco de vidrio*, vidrio bruto y el probable horno de vidrio, parece señalar que se tratarían de los restos de un taller de producción secundaria de vidrio desmantelado a finales del siglo V o inicios del VI d.C. Su producción estaría esencialmente constituida por cuencos acampanados lisos y de hilos blancos aplicados, pudiendo haber producido igualmente jarros y cuentas de collar.

Los análisis de los carbones vinculados con la estructura de combustión para la refundición de vidrio permiten la aproximación al proceso de elaboración de este producto. El vidrio fue el primer producto de síntesis elaborado a partir de la mezcla de diferentes componentes que son sometidos a altas temperaturas (CARRERAS, 2005).



Depósitos UE114 y UE105

Se analizaron un total de 32 fragmentos de carbón y se identificaron 4 taxones: roble (*Quercus* sp caducifolio), chopo-salgueiro (*Salix/Populus*), castaño (*Castanea sativa*) y fabácea tipo uz-tojo (*Fabaceae*).

Existen numerosas fuentes escritas que hablan del vidrio. Sin embargo el testimonio más completo referido a este tema es el de Plinio el Viejo en la *Historia naturalis*. La mayor parte de los vidrios antiguos estaban compuestos por sílice, sosa y cal. La sosa era utilizada en

lugar de la potasa porque daba una mayor plasticidad a la pieza, y permitía un trabajo más cómodo. Sin embargo precisaba para llegar al punto de fusión de una temperatura mínima de 1000º C, temperatura que no era preciso alcanzar para la fusión de un vidrio de base potásica. Además de estos elementos se añadía para dar color óxidos metálicos. Una vez triturados todos los elementos que componían el vidrio, se procedía a realizar una mezcla previa, a unos 700-800ºC y después a su fusión en el interior del crisol, a una temperatura de 1000ºC, hasta conseguir una masa pastosa casi líquida (CARRERAS, 2005).

Producción	Forma	Cronología
TSAD	Forma Hayes 99, NN. 1, 7-8, 12	Siglo VI-inicios del siglo VII
Ánfora tarraconense	Keay 68/91A	Siglo IV-mediados siglo V

Material arqueológico localizado en la UE96

Las fuentes literarias antiguas no aportan datos muy precisos sobre la configuración de los hornos de los vidrieros, que probablemente estarían formados por una fosa excavada en la tierra, donde se quemaría la leña y donde se calentarían los diferentes elementos que forman el vidrio. Para conseguir una temperatura más elevada se trataría de proteger el fuego con una pared alrededor e intentaría taparse (CARRERAS, 2005). Plinio recomienda utilizar leña seca y de poco peso en la alimentación de estas estructuras de combustión (SUÁREZ, 2006). En este caso las especies identificadas son consideradas como buenos combustibles, excepto el castaño.



Restos de estructura de canal UE135 y UE135 cortada por UE113

Al S de estos elementos estratigráficos fueron localizados un conjunto de fosas y canales interconectados de tipología común. Desde el S se dispone un canal (UE113) con planta en L (dirección W-E y S-N), base en U y un trazado conservado de más de 4 m de longitud, 35 cm de ancho máximo y 20 cm de profundidad. Este canal cortaría a otro anterior (UE138) con paredes y base revestidas de piedras de granito de pequeño tamaño, muy mal conservado. Dada la fragilidad de estas estructuras sumado a su fácil construcción,

supondría más práctico su abandono que su reparación, como parece demostrar el ejemplo localizado. Estos dos canales desaguarían en la fosa UE104 de planta poligonal con unas dimensiones de 4,5 m de longitud por 3,30 de ancho y 30 cm de profundidad. De esta fosa parte el canal UE157 de tipología similar al anteriormente descrito (UE138), de 4 m de longitud, 24 cm de ancho y 9 cm de profundidad, que vertería en una segunda fosa (UE95) de planta circular con un diámetro aproximado de 3 m y 40 cm de profundidad. La fosa UE95 aparecía rellena por un depósito limoso con manchas de óxido con presencia de abundante material tardorromano.





Relleno (UE114) de zanja (UE113) y UE114 vista desde el W



Depósito UE158 colmatando la zanja UE157



Detalle del depósito UE158

Al SE de la fosa UE104 se localizan los restos de un canal compuesto por dos paredes formadas por piedras de granito de forma rectangular. La pared W (UE106), mejor conservada, presenta una longitud de 1,30 m. Con la pared E (UE107) forma un canal de 20 cm anchura por 20 cm de profundidad, presentando una orientación NW-SE.




Relleno (UE105) de la fosa UE104 y detalle del depósito UE154 ya retirada la UE132




Sección del depósito UE105 (izq.) y fosa UE104 con estructura de canal (UE106 y UE107) desde el S (der.)




UE104 desde el N (izq.) y estructura UE106 y 107 y negativa UE157 (der.)



Estructura UE106 y UE107 desde el S (izq.) y desde el N (der.)

En torno a estas estructuras y negativas se localizaron una serie de de huecos de poste (UE115, UE142, UE180, UE187, UE190, UE192, UE198, UE201) y una fosa (UE141).



Relleno (UE116) de agujero de poste UE115



Hueco de poste UE115



Relleno (UE153) de fosa UE141



Fosa (UE141) destruyendo murete de salina



Relleno (UE143) de hueco de poste UE142



Hueco de poste UE 142



Relleno (UE191) de agujero de poste UE190



Hueco de poste UE190



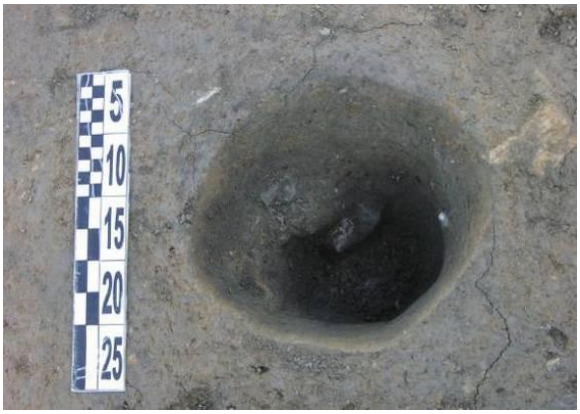
Relleno (UE193) de agujero de poste UE192



Hueco de poste UE192



Relleno (UE202) de agujero de poste UE201



Hueco de poste UE201





Relleno (UE181) y agujero de poste (UE180)

De esta fase sólo se conservó el nivel de fosilización (UE56) de la salina (UE61) en el Sector S.

En los depósitos relacionados con la fase de abandono se analizaron muestras de las UE089 y UE102. La UE089 se corresponde con un depósito de compactación alta, con presencia de materia orgánica y con una gran cantidad de óxido en el sedimento. En este depósito fue localizado abundante material arqueológico (cerámica doméstica y de construcción, vidrio, lítico, etc.). La UE102 se corresponde con un depósito relacionado con la destrucción de una estructura a la que aparecen asociados materiales de construcción y madera carbonizada.

Producción	Forma	Cronología
Ánfora norteafricana	Keay 39	Siglo IV-mediados siglo V (seg. Keay); mediados siglo IV-primera mitad siglo V (seg. Remolà Vallverdú)
Metal	Escoria de hierro	Época romana
Vidrio	Posible cuenco acampanado	Finales del siglo V-primera mitad del siglo VI

Material arqueológico localizado en la UE191

En estos dos depósitos fueron analizados un total de 111 fragmentos de carbón y se identificaron 4 taxones: roble (*Quercus* sp caducifolio), carrasca-aciñeira (*Quercus* sp perennifolio), avellano-abeleira (*Corylus avellana*) y fabácea tipo uz-tojo (*Fabaceae*).

Predominan claramente las muestras de roble, seguidas de carrasca-aciñeira y avellano, con una presencia esporádica de fabáceas tipo uz-tojo. Esta presencia mayoritaria de especies arbóreas, podría estar en consonancia con la propuesta de que se trate del derrumbe de una estructura, aunque los fragmentos de carbón no estarían *in situ* ya que los tamaños analizados son demasiado pequeños. Podrían ser también restos de combustiones de hogares u hornos.

Las muestras recuperadas en el interior de los agujeros de poste son las más numerosas: UE116, UE118, UE120, UE124, UE143, UE146, UE149, UE151, UE156, UE160, UE181, UE189, UE191, UE193, UE199, UE202, UE220 y UE239. La descripción de estas unidades estratigráficas es la siguiente:

- UE116: depósito de colmatación de un agujero de poste, con abundante presencia de carbones de pequeño tamaño y escaso material arqueológico (cerámica doméstica e de construcción, vidrio, etc.).
- UE118: depósito de colmatación de un agujero de poste, con escasa presencia de materia orgánica y materiales arqueológicos (cerámica de construcción y doméstica).
- UE120: depósito arenoso con una importante concentración orgánica, especialmente carbones.
- UE124: depósito que rellena un agujero de poste con una pequeña presencia de carbones.
- UE143: depósito que llena un agujero de poste, formando parte del mismo, con carbones y varios fragmentos cerámicos.
- UE146: depósito de colmatación de un agujero de poste.
- UE149: depósito que llena un agujero de poste, que contiene pequeños carbones y manchas de óxido.
- UE151: depósito que llena un agujero de poste con carbones de pequeño tamaño.
- UE156: depósito que llena un agujero de poste con presencia de pequeños carbones.
- UE160: depósito de tierra arenosa con carbones de pequeño tamaño que llena un agujero de poste.

- UE181: depósito de colmatación de un agujero de poste, en el que se apreció una importante concentración de carbones, que parecían corresponder a un único gran fragmento de madera carbonizada.
- UE189: depósito de relleno de un agujero de poste con una importante concentración de materia orgánica, especialmente carbones de entre 0,5 e 1cm.
- UE191: depósito de relleno de un agujero de poste, con un importante componente orgánico, especialmente carbones de pequeño tamaño. La UE239 es un depósito de relleno de un agujero de poste, con óxidos y carbones de pequeño tamaño.
- UE193: depósito de relleno de un agujero de poste con poca presencia de carbones.
- UE199: depósito que llena un agujero de poste con poca presencia de carbones.
- UE202: depósito de relleno de un agujero de poste con abundantes carbones de pequeño tamaño, muy orgánico.
- UE220: depósito que llena un agujero de poste sin apenas presencia de carbones.
- UE239: depósito de relleno de un agujero de poste, con poca presencia de carbones.

Son varios los procesos de deposición de los carbones en los agujeros de poste. Se deben de tener en cuenta las características de tamaño y la composición taxonómica de la muestra para poder realizar una correcta interpretación de los mismos. Las tres principales posibilidades de interpretación dos carbones recuperados en este tipo de elementos son: (A) carbonización del poste *in situ* –muestra monoespecífica con carbones de grandes dimensiones y con aristas vivas-, (B) carbonización del extremo inferior del poste para endurecer la punta y proteger la madera del ataque de hongos –muestra monoespecífica, con carbones de pequeñas dimensiones y con aristas vivas, (C) carbones procedentes de la combustión de leña en actividades domésticas y artesanales e depositados en el agujero de poste por la existencia de prácticas de mantenimiento y limpieza –carbones de diferentes especies, de pequeñas dimensiones con aristas vivas o con la superficie rodada-.

Se analizaron un total de 299 fragmentos de carbón procedentes de agujeros de poste, de los que se identificaron 15 taxones: roble (*Quercus* sp caducifolio), fabácea tipo uz-tojo (*Fabaceae*), castaño (*Castanea sativa*), torgo-urce (*Erica* sp), maloidea tipo estripo-capudre (*Maloideae*), chopo-salgueiro (*Salix/Populus*), fresno (*Fraxinus* sp), avellano (*Corylus avellana*), carrasca-aciñeira (*Quercus* sp perennifolio), pino manso-bravo (*Pinus pinea-pinaster*), arraclán-sanguiño (*Frangula alnus*), olmo (*Ulmus* sp), albaricoque-cerdeira-abruñeiro (*Prunus* sp), hiedra (*Hedera helix*) y carpaza (*Cistus* sp).

Las muestras analizadas procedentes de fosas, se correspondían con las UE153, UE197, UE200, UE223 y UE289. Todas estas estructuras son bajorromanas excepto la UE289 que se encontraba sellada por el pavimento de la salina y que tendría una cronología del siglo I d.C. La UE153 es un depósito heterogéneo que rellena una fosa y que presenta una elevada concentración de carbones. La UE197 y la UE200 se corresponden con dos rellenos de una misma fosa. La UE197 se trata del último depósito de colmatación, con una importante carga orgánica y concentración significativa de carbones. Se localizó también abundante material cerámico muy deteriorado. La UE200 se corresponde con el primer depósito de colmatación y presenta una mayor cantidad de fragmentos de carbón y de fragmentos cerámicos deteriorados. La UE223 es el depósito de relleno de una fosa. Físicamente es muy homogéneo y mineral, con poca presencia de carbones.

Se analizaron un total de 128 fragmentos de carbón de los que se determinaron en los niveles situados por encima de las salinas 6 taxones: castaño (*Castanea sativa*), fabácea tipo uz-tojo (*Fabaceae*), roble (*Quercus* sp caducifolio), chopo-salgueiro (*Salix/Populus*), avellano (*Corylus avellana*) y alisos (*Alnus* sp).

En el depósito situado por debajo del pavimento de las salinas se analizaron un total de 100 fragmentos de carbón a partir de los que se determinaron 6 taxones: roble (*Quercus* sp caducifolio), chopo-salgueiro (*Salix/Populus*), hiedra (*Hedera helix*), arraclán-sanguiño (*Frangula alnus*), acebo (*Ilex aquifolium*) y carpe (cf. *Carpinus betulus*).

Se analizaron muestras procedentes de una zanja de cimentación. La UE176 es el depósito de colmatación de una zanja de cimentación, con importante componente orgánico, especialmente carbones de pequeñas y medianas dimensiones. Apareció asociada una gran cantidad de material arqueológico (cerámica doméstica, de construcción, vidrio, metal, líticos, etc.).



Depósito de colmatación (UE176) de la zanja de cimentación

Los ocho fragmentos de carbón permitiron determinar unicamente 1 taxón: roble (*Quercus* sp caducifolio).

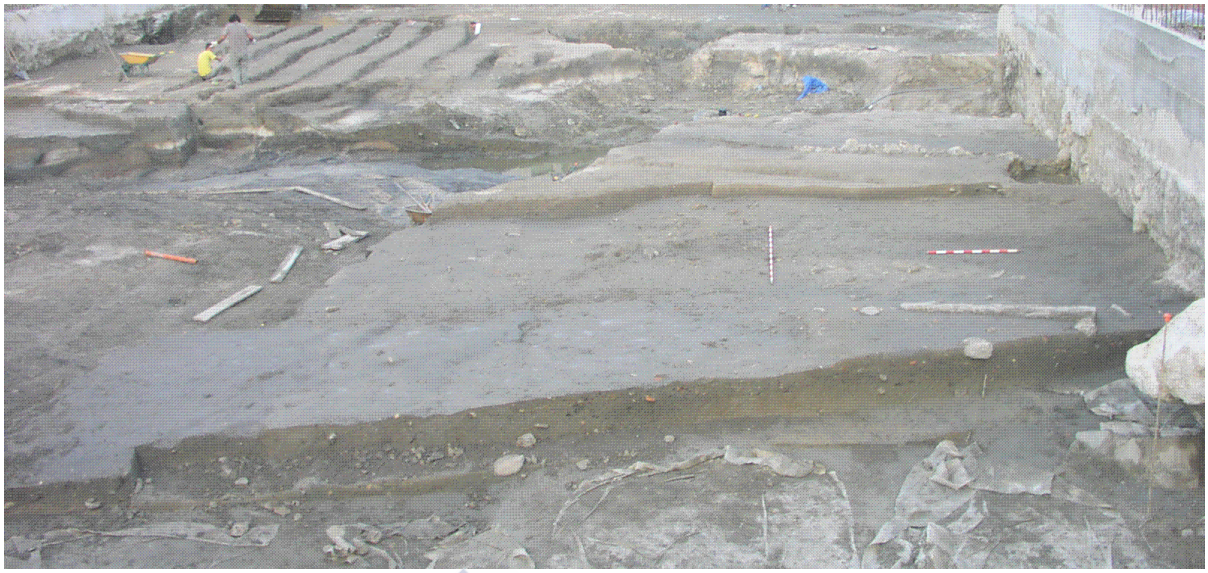
Se analizaron muestras de dos depósitos de relleno de canales, la UE158 y la UE184. La UE158 se corresponde con un depósito de colmatación de un canal formado por tierra limosa. La UE 184 es otro depósito de colmatación de un canal, homogéneo, con una importante carga orgánica, abundantes carbones y material arqueológico.

Fueron analizados un total de 21 fragmentos procedentes de este tipos de estructuras y se determinaron 3 taxones: fabácea tipo uz-tojo (*Fabaceae*), roble (*Quercus* sp caducifolio) y maloidea tipo capudre-estripo (*Maloideae*).

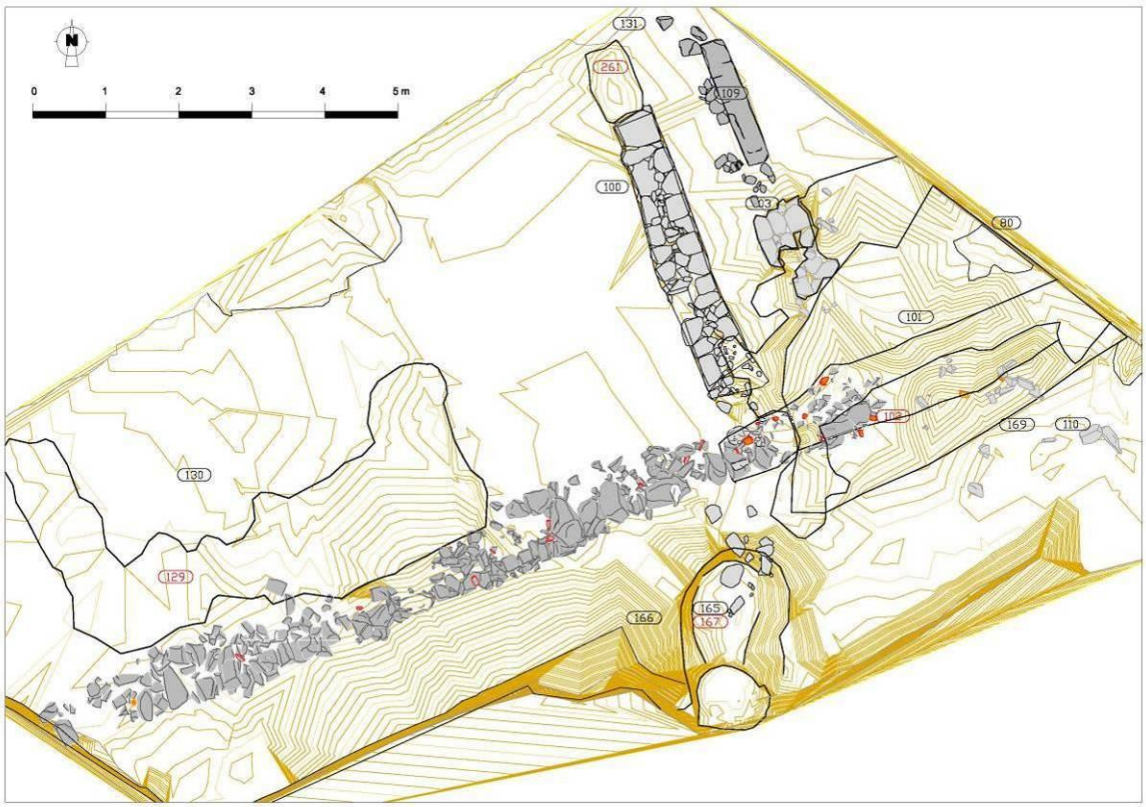
4.8.2.4. FASE IV. NIVELES TARDORROMANOS O ALTOMEDIEVALES



Realidad UE 13 sobre la que se asientan las evidencias de época tardorromana o altomedieval



Fase de excavación de UE12



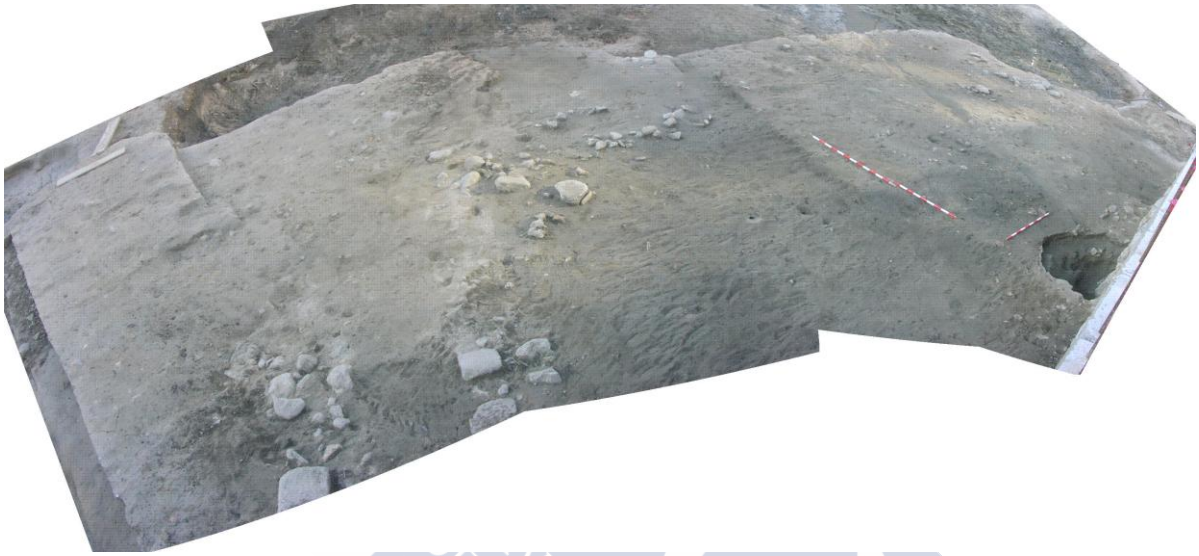
Restos de la fase tardorromana

Dentro de esta fase se distinguen también dos momentos. El primero estaría configurado por las estructuras y negativas que se disponen sobre el nivel de base UE162. Sobre este depósito se construye un muro en mampostería de granito principalmente (UE170) del que se conservan restos con unas dimensiones de 15 m de longitud 95 cm de ancho y 25 cm de altura máxima y una orientación SE-NW. Para su cimentación se realizó una zanja (UE175)

de 23 m de longitud, 1,9 m de anchura y 60 cm de profundidad. Rellenando la cimentación del muro (UE206) se detectaron varios rellenos (UE176 y UE205).

Producción	Forma	Cronología
Cerámica común romana	OV	Siglo II-mediados siglo IV
Ánfora tarraconense	Keay 68/91A	Siglo IV-mediados siglo V
Ánfora del Mediterráneo oriental	Late roman amphora 1/Keay 53	Siglo V-inicios siglo VII
Ánfora del Mediterráneo oriental	Late roman amphora 5/6/Keay 54bis	Siglo V-inicios siglo VII
Vidrio	Cuenta	Tardorromana

Material arqueológico localizado en la UE162



Fase de excavación de la UE13



UE 12 cubriendo el dintel localizado en el sector N



UE13 desde el W

Producción	Forma	Cronología
TSAD	Forma "Atlante", Tav. XLVIII, II	Finales del siglo IV-mediados del siglo VII
TSAD	Forma Hayes 59	Siglos IV-VII
TSAD	Forma Hayes 90, N. 1. ó Forma Hayes 90, N. 4	Finales del siglo V-incios del siglo VII.
TSAD	Hayes 93B	500-540, aproximadamente
TSAD	Forma Hayes 103B	500-575, aproximadamente
TSAD	Forma Hayes 104A	500-580, aproximadamente
TSAD	Forma Hayes 104C	550-625. En Cartago aparece en niveles de la segunda mitad del siglo VII.
TSFT	Forma 3	400-finales del siglo VI
TSFT	Forma 10A	Finales del siglo VI-inicios del siglo VII
Cerámica común romana	O25	Altoimperial
Cerámica común romana	Mortero	Siglos V-VI
Ánfora bética	Dressel 2-4	Augusto-Tiberio-finales siglo I/incicios siglo II d.C.
Ánfora bética	Dressel 7-11	Finales siglo I d.C.-siglo II d.C
Cerámica común romana	Imitación de Forma Hayes 3 de TSFT	400-finales siglo VI
Ánfora bética	Keay 13A	Primer cuarto siglo III-mediados siglo V (seg. Keay); siglo IV-inicios siglo VI (seg. Remolà Vallverdú)
Ánfora norteafricana	Keay 23	Siglo II-inicios siglo V (seg. Keay); siglo III-mediados siglo V (seg. Remolâ Vallverdú)
Ánfora norteafricana	Keay 39	Siglo IV-mediados siglo V (seg. Keay); mediados siglo IV-primera mitad siglo V (seg. Remolà Vallverdú)
Ánfora tarraconense	Keay 68/91A	Siglo IV-mediados siglo V
Ánfora tarraconense	Keay 68/91F	Siglo IV-mediados siglo V
Ánfora del Mediterráneo oriental	Late roman amphora 1/Keay 53	Siglo V-inicios siglo VII
Ánfora del Mediterráneo oriental	Late roman amphora 2/Keay 65	Siglo V-siglo VII
Ánfora del Mediterráneo oriental	Late roman amphora 5/6/Keay 54bis	Siglo V-inicios siglo VII
Ánfora galaica, Bueu	S. Martiño Bueu II/Almagro 50/Keay 16	Siglo III/mediados siglo IV-inicios siglo V d.C.
Ungüentario	Late roman unguentarium	Segunda mitad del siglo VI-siglo VII
Metal	Escoria de hierro	Época romana
Vidrio	Cuenco acampanado bajo	Finales del siglo V-primera mitad del siglo VI
Vidrio	Lasca de vidrio bruto	Finales del siglo V-primera mitad del siglo VI
Material óseo	Pieza de animal indeterminada	Época romana

Material arqueológico localizado en la UE176



Vista general de UE13 desde el E



Sector NW con estructuras y negativas tardías



UE100 adosada a UE170



Localización de UE170 desde el NW



Vista desde el NE de UE170



Vista de UE170 desde el NW



Detalle constructivo de UE170



UE176 sellando la zanja de cimentación





Zanja de cimentación UE175 de muro UE170 desde el NE y desde el W



UE175 desde el NE



UE206 desde el NE (cimentación de muro)





Detalle de zanja (UE175) desde el E y estado final desde el W

Fueron localizados en el Sector NW, varios elementos estratigráficos destructivos. Uno de ellas se corresponde con una fosa (UE185) de planta circular de 45 cm de diámetro y 16 cm de profundidad, rellena de calzos de piedras de granito. Hacia el S de la misma fueron documentados dos agujeros de poste (UE159 y UE163).



UE203 rellenando UE185 con estructura UE236



Calzos (UE236) rellenando UE185



UE185 desde el E



Negativas UE185, UE159, UE163 desde W



Hueco de poste (UE159) con relleno (UE160)



UE129 desde el N

Producción	Forma	Cronología
TSAD	Forma Hayes 59	Siglos IV-VII
TSAD	Forma Hayes 104C	550-625. En Cartago aparece en niveles de la segunda mitad del siglo VII
TSFT	Forma 3	400-finales del siglo VI
Metal	Escoria	Época romana
Vidrio	Cuenco acampanado bajo	Finales del siglo V-primera mitad del siglo VI

Material arqueológico localizado en la UE129




Relleno UE164 de hueco de poste UE163, previamente y posteriormente a su excavación

En el sector S fueron localizados los restos de un muro (UE182) de mampostería de granito y esquisto, sin aglutinante, con unas dimensiones de 4,5 m de longitud, 45 cm de ancho y 15 cm de altura conservada, presentando una orientación NE-SW. Esta estructura fue construida sobre un rebaje (UE188) realizado sobre el pavimento de la salina (UE61) y el depósito que lo fosiliza (UE56). Posteriormente se depositaron dos rellenos de nivelación (UE58 y UE259) que servirían de base del suelo.



Localización de UE110 al W del Sector NW



UE110



Localización de UE 110 al E del Sector NW



Localización de UE 110 en el centro del Sector NW



UE12 colmatando la estructura UE100



Emplazamiento de la estructura UE100



Estructura UE182 y zanja (UE42) en planta



Vista desde el W de UE182

Un segundo momento aparece compuesto por varios elementos estratigráficos. En la parte W del Sector NW fueron documentados los restos de una zanja de cimentación de una estructura rectangular en planta, con orientación N-S, con unas dimensiones de 3,5 m en la parte conservada, apareciendo cortado por el muro pantalla hacia el N. Su anchura sería de

5,5 m con orientación E-W y su profundidad de 30 cm. Presenta la misma orientación que el resto de estructuras murarias tardorromanas.



Dispersión del depósito UE102



UE168 colmatando UE169

Producción	Forma	Cronología
TSAD	Forma Hayes 104C	550-625. En Cartago aparece en niveles de la segunda mitad del siglo VII.
Vidrio	Indeterminado	Bajorromana
Otros	Pondus	Época romana

Material arqueológico localizado en la UE102



Detalle de estructuras UE103 y UE100



Nivel de destrucción de estructuras UE102



Emplazamiento de estructura UE103



Detalle de UE103

Al E de esta zanja se localizaron los restos de un muro de mampostería de granito (UE100) con unas dimensiones de 4 m de longitud, por 65 cm de ancho y 25 cm de alzado conservado. Presentaba orientación N-S, adosándose a la estructura descrita en el anterior momento (UE170), prolongándose hacia el N y apareciendo cortado por el muro N de apantallamiento. Al E se documentaron los restos de un muro de mampostería de granito (UE103) paralelo, con unas dimensiones de 1,5 m de longitud, 80 cm de anchura y 25 cm de alzado, con orientación N-S. Todas las estructuras murarias descritas carecen de aglutinante. Sobre este nivel se localizan las interfacies de destrucción de las estructuras murarias señaladas (UE101, UE131, UE169 y UE260).



Depósito con restos de madera sobre UE103



UE102 desde el S




Detalle del piqueteado realizado sobre la pieza de cantería de granito




Detalle de UE100 y depósito UE261 de colmatación de zanja

Una pequeña fosa se localizaba en la parte SE del Sector NW. Su planta resultó ser oval presentando unas dimensiones de 60 cm de diámetro por 24 de profundidad, con una orientación NW-SE (UE68).




Estructura UE100 y depósito UE110

Zanja UE130 con depósito parcialmente excavado



Lateral SW de UE129



Zanja UE130

Al S de este Sector se localizó el límite de una zanja (UE42, UE166 y UE177) que localizada en la parte SW de la Parcela 4, llegando al centro de la Parcela 3. Su forma en planta tendería al rectángulo. Aparecía seccionada por las zanjas mecánicas realizadas en 2005 dentro de la Parcela 4 y presentaría una longitud aproximada de 15 m, con una anchura máxima de 1,80 cm y una profundidad máxima de 40 cm.



Detalles de la zanja UE130 en fase de excavación de su relleno y finalizado



Planta de UE69 rellenando UE68



Planta de UE68



Sección de UE69 colmatando UE68



Sección de fosa UE68



Relleno (UE167) sobre fosa (UE166)



UE166 desde el S

Producción	Forma	Cronología
TSFT	Forma 3	400-finales del siglo VI

Material arqueológico localizado en la UE129



UE166 desde el S



UE247



UE 178 cubriendo la zanja UE177



UE177 en línea con UE166 al N



UE177 desde el N



Sector S desde el S

En el sector S, aparte de la zanja descrita, se documentaron dos más que presentaban la misma orientación SE-NW. Se tratan de la UE64, con unas dimensiones de 1,7 m de longitud, 60 cm de anchura y 20 cm de profundidad y la UE255, con 2,7 m de longitud, 45 cm de ancho y 45 cm de profundidad. Estas zanjas muestran continuidad en la Parcela 3.



UE186 desde el W



UE42 colmatada por UE47 en su base



UE42 (sección)



Planta de UE42 desde el S



Continuidad de UE64 en Parcela 3



Planta de UE64



Sección de UE64



Sección de UE255 relleno de UE186 y UE256



UE256 desde el W

En los depósitos relacionados con la fase de ocupación fueron analizadas muestras de la UE13 y de la UE88. La UE13 es un nivel de limos con un importante componente orgánico, especialmente carbones, en el que se localizó material arqueológico asociado (cerámica doméstica, de construcción, vidrio y metales). La UE088 se corresponde con un depósito arenoso con una importante carga orgánica, especialmente carbones y materiales arqueológicos (cerámica doméstica y de construcción, vidrio, metal y lítico).

En estos dos depósitos se analizaron 107 fragmentos y se identificaron 5 taxones: fabácea tipo uz-tojo (*Fabaceae*), roble (*Quercus* sp caducifolio), arraclán-sanguiño (*Frangula alnus*), maloidea tipo estripo-capudre (*Maloideae*), carrasca-aciñeira (*Quercus* sp perennifolio) y Quercus sp (no se pudo llegar a determinar si se trataba de la especie caducifolia o perennifolia por el tamaño del fragmento).

Destaca en la UE13 el predominio de una especie arbustiva como *Fabaceae*, con un 67,67% frente a especies como el roble (*Quercus* sp caducifolio) con un 32,7%. El resto de las especies determinadas como el arraclán, la maloidea o la carrasca, tienen una presencia muy puntual (0,9%). El consumo combinado de fabáceas tipo uz-tojo con roble, es una práctica habitual cuanto menos desde la Edad del Bronce y podría estar indicando algún tipo de gestión de estas formaciones de matorral, favoreciendo su crecimiento y extensión en las orlas de los bosques o de los campos de cultivo.

4.8.2.5. FASE V. NIVELES DE ÉPOCA MODERNA



Realidad UE 10 sobre la que se asientan los niveles de época moderna

Los niveles tardorromanos aparecieron sellados por un nivel arenoso de formación natural, sobre el que se asentaban una serie de estructuras y elementos interfaciales adscritos a época moderna.



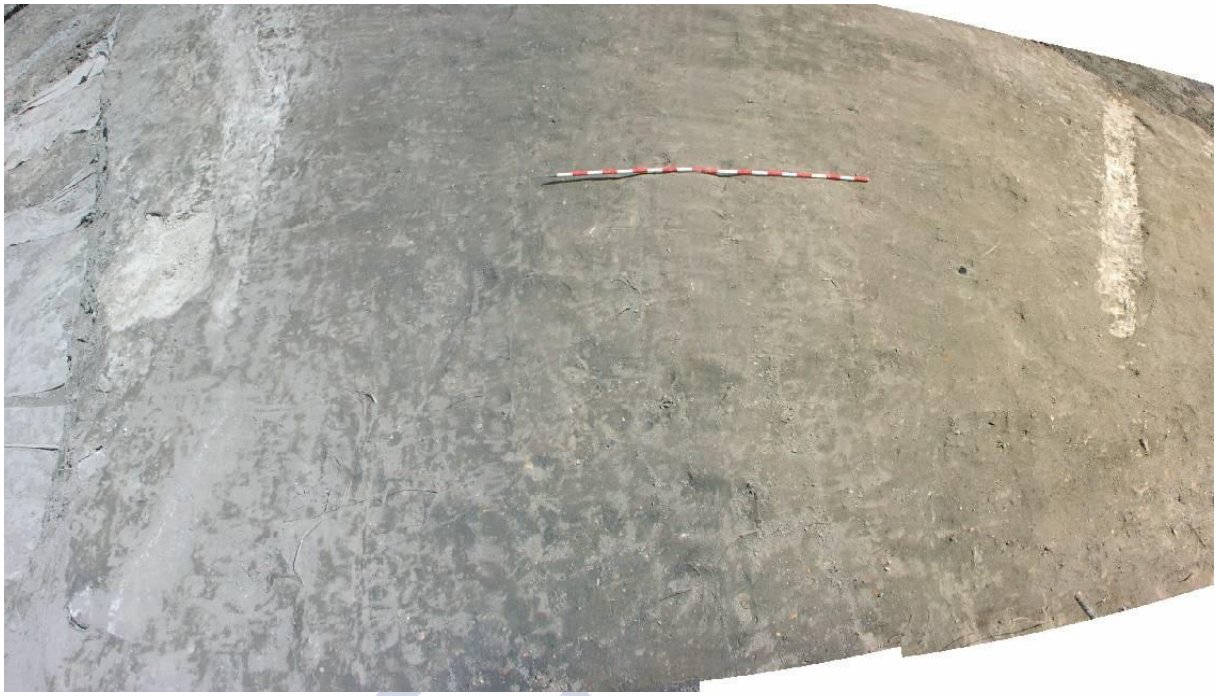
Sección S del Sector NW previa excavación de la realidad 10



Sección N del Sector NW previa excavación de la realidad 10

En la zona W del sector NW y en el Sector S, se disponía un canal (UE18) construido en mampostería de granito (UE15, UE16 y UE24). Aparecía seccionado por la zanja mecánica realizada en 2005. Presentaba unas dimensiones máximas de 20 m de longitud, 35 de anchura y 18 cm de profundidad. Se encontraba cortado al N por una fosa (UE28) de planta oval de 1,6 m de longitud, 1 m de ancho y 16 cm de profundidad que a su vez aparecía alterada por la construcción del muro pantalla.

En el S del Sector NW se localizó una fosa de planta oval (UE97) que presentaba 1,1 m de longitud, 50 cm de anchura, 8 cm de profundidad y orientación NE-SW. Al E se localizaron dos zanjas (UE25 y UE26) de tipología similar y orientación N-S. Presentaban unas dimensiones de 4 m de longitud, 40 cm de ancho y 7 cm de profundidad (UE25) y 6 m de longitud, 36 cm de ancho y 5 cm de profundidad (UE26). Esta última zanja aparecía cortada en su extremo N por una fosa (UE27) de planta oval de 1,5 m de longitud, 1 m de anchura y 17 cm de profundidad. Estas zanjas y las fosas UE28 y UE27 estaban colmatadas por un relleno homogéneo compuesto por arena limpia.



Vista general de la realidad 10 (UE19) en el Sector NW desde el N



Restos del canal de Época Moderna con depósito (UE's15-16) Zanja del canal excavada (UE18)

La UE 28 corta a la UE85, correspondiente a un depósito que rellena la interfacies de destrucción (UE 38) del canal UE18 compuesto por una tierra arcillosa con bolsadas de arena.

Producción	Forma	Cronología
Cerámica común gris medieval	Olla de borde horizontal.	Época bajomedieval
Material óseo	Pieza de animal indeterminada	Indeterminada

Material arqueológico localizado en la UE85



Detalle de la cimentación de UE16



Proceso de excavación de la estructura UE16



UE30 colmatando la fosa UE 28



Fosa (UE28)



Detalle del relleno UE17)





Base de zanja de canal UE18 y vista desde el NW

En la parte NE de este Sector se localizó una fosa (UE87) de forma circular de 34 cm de diámetro y 10 cm de profundidad.



Zanja (UE25) cortando realidad 10



Fosa UE28 (Estado final)



Rellenos de fosa (UE29) y zanja (UE21) compuestos por arena fina



Fosa (UE27) y zanja (UE26)



Fosa UE 27



Depósito sobre zanja UE20



Sector NW sobre realidad 10 desde el W



Restos de canal en el sector S (UE24)



Emplazamiento de UE24



Depósito UE98 de fosa UE97



Fosa moderna (UE97) cortando UE10



Estructura del canal (UE24) y zanja (UE18)





Excavación de la estructura UE24



Depósito UE99



Detalle de las bolsadas del depósito UE99



UE94 colmatando la negativa UE87



Planta y sección de UE87

Producción	Forma	Cronología
Cerámica común regional de época moderna	Forma 13	Siglos XVI-XVIII

Material arqueológico localizado en la UE20

4.8.2.6. FASE VI. NIVELES DE ÉPOCA CONTEMPORÁNEA

Sellando los niveles de época moderna fue localizado un relleno constructivo, relacionado con las edificaciones de la industria de Conservas Alonso. No se documentaron restos de estructuras correspondientes a la fábrica.



Sección central del Sector NW a fecha de 05-08-08, en la que se aprecian restos del relleno de la zanja mecánica realizada en 2005 cubriendo los estratos modernos, antiguos y naturales



Detalle de la UE1



Decapaje con medios mecánicos de la UE2



Corte para realización de muro pantalla (UE3)



Muro pantalla (UE4)



Planta de UE5



Vista general desde el N de UE6

Cortando las bolsadas que formaban este relleno se documentaron los cortes de las zanjas de los sondeos mecánicos realizados en el 2005 así como el corte de la excavación planteada en el 2006.



Vista general UE7



UE8 delimitada por el geotextil



Retirada con medios mecánicos de UE9



UE9





Relleno del pozo realizado durante la intervención de 2006 para evacuación de aguas en la parte E del Sector SE, colmatado por UE9

Por último, cabe señalar la presencia de varios rellenos relacionados con el acondicionamiento de los solares con fines constructivos.



Vista de los restos tapados una vez finalizados los trabajos arqueológico (vista desde el E)



Zanja de sondeo mecánico realizado en 2005 (UE66) tras la retirada del relleno (UE67)



Sector N del área excavada en 2006

5. CONCLUSIONES

Se presentan una serie de materiales inéditos recogidos en varias intervenciones arqueológicas desarrolladas en los últimos años en los yacimientos romanos de Bueu y Vigo. Los solares excavados pertenecen a sendos complejos o aglomerados romanos de especial relevancia dentro del ámbito noroccidental.

La explotación de las Rías Baixas en época antigua como zonas productoras de recursos primarios y por lo tanto como puntos de contacto comercial de cierta entidad, se reveló como una de las noticias más atractivas de carácter arqueológico para el NW en los últimos años.

Este tipo de yacimientos resultan claves a la hora de entender el uso de los cursos fluviales como vías de comunicación hacia el interior y viceversa, el contacto y las relaciones entre el área mediterránea y el atlántica, el papel de los pequeños centros redistribuidores y el proceso de romanización a lo largo del tiempo, así como para llenar el vacío existente hasta hace unos años, respecto al mundo tardorromano con la controversia acerca de la crisis a la que tradicionalmente fue asociado.

El yacimiento romano de Bueu fue descubierto en el año 1972 con motivo de las obras de reforma de la fachada de la antigua factoría de Conservas Alonso. Los restos fueron localizados en la esquina oriental al pie de la Avenida de Beiramar. Se señala que entre los escombros de la obra fueran localizadas dos basas de columna y un molino circular fragmentado. También se informa de la presencia de un muro de cantería que atravesaba el solar en dirección transversal al de la calle y que quedaría enterrado.

De los 347 fragmentos de *sigillata* recogidos en Bueu, 143 pertencen a TSH (41%), 28 a TSHT (8%), 169 a TSA (49%) y 6 a TSFT (2%).

Los resultados revelan una clara preponderancia de las importaciones de produciones de época tardía respecto de las altoimperiales, perteneciendo estas de manera global, a un momento avanzado de la fabricación.

La ausencia de *terra sigillata* gálica parece indicar una fundación no anterior a la segunda mitad del siglo I d.C. del Bueu romano. Si bien, buena parte de la TSH recogida, presenta elementos de fases intermedias y avanzadas, principalmente de la segunda mitad del siglo II en adelante, esta se localiza en una posición secundaria en cuanto a su contexto estratigráfico.

Estos materiales podrían estar relacionados con la fase final de la primera ocupación del Bueu romano, probablemente con el área industrial, portuaria y/o comercial.

Los materiales altoimperiales aparecen muy revueltos y reaprovechados, siendo, por lo tanto, relativas las dataciones para fases anteriores. De hecho, buena parte de ellos fueron hallados reutilizados como relleno en diversas estructuras y depósitos de carácter tardío, como muros, agujeros de poste, revueltos, etc.

Esta segunda fase vendría marcada por el desmantelamiento de las estructuras originales y con la construcción de nuevas estructuras con materiales y elementos reutilizados, contextualmente relacionada con material tardío, siendo este el más abundante.

Resulta significativa la mayor presencia de producciones africanas respecto de las hispánicas tardías, que confirma la gran competencia provocada por los produtos llegados desde el Norte de África. Incluso parece evidente una llegada de los materiales hispánicos por vía marítima, probablemente siguiendo la ruta navegable desde Tricio por el Ebro hacia el Levante y de aquí a las costas atlánticas.

La presencia de una *villa* marítima, así como de los talleres cerámicos, permiten identificar una unidad económica de entidad relevante, probablemente perteneciente a lo que en los últimos años se viene denominando aglomerado secundario. Si bien la *villa*, la casa de campo típicamente romana y célula básica constitutiva del hábitat rural, también participa del espíritu del bloque histórico conformando una especie de *civitas* en miniatura, existen elementos de suficiente entidad como para poder referirse a un enclave económico y comercial de mayor magnitud, situado en una posición estratégica de la banda S de la Ría de Pontevedra.

Por su parte, el análisis de los restos localizados con motivo de los trabajos arqueológicos realizados en la Parcela 4 de la U.A. I-06 Rosalía de Castro 2 de Vigo, permitieron establecer diferentes conclusiones.

Fueron localizados restos arqueológicos pertenecientes a diferentes fases de ocupación que irían de la época romana hasta la contemporánea, así como los niveles de formación natural, previos a la instalación de la salina romana.

Se localizó un depósito general correspondiente a un nivel natural de playa, localizado por debajo del nivel freático. Su disposición seguía la caída natural del terreno hacia la costa. Sobre él fueron documentados diferentes niveles de formación natural compuestos por bandeados de arena y limo. La formación de estos estratos correspondería a la sedimentación de elementos de arrastre fruto de acciones eólicas y acuáticas de manera

alterna. En uno de estos depósitos fue localizado un fragmento de la especie pepita de vid (*Vitis vinifera*), correspondiente a su cara dorsal, lo que no permite distinguir si se trata de la subespecie cultivada (*Vitis vinifera* subsp. *sativa*) o de la variedad silvestre (*Vitis vinifera* subsp. *sylvestris*). El contexto en el que aparece, previa a la construcción de las salinas que están en funcionamiento durante los siglos I-III d.C., sitúa la presencia de este taxón *ante quem* en torno a las décadas contiguas al cambio de era. Estos depósitos aparecían sellados por un estrato de arena limpia, interpretado como un nivel general de duna, cuya superficie aparece enrasada con el fin de alcanzar la cota necesaria en la que se debían distribuir las salinas.

Sobre los niveles de origen natural se documentaron una serie de vestigios correspondientes a la instalación industrial de época romana para extracción de sal. Concretamente, se trata de los restos de varios tanques de cristalización, conformando espacios cuadrangulares separados por lajas de esquisto y granito hincadas. También fueron localizadas partes de estructuras lineales conformadas por paredes paralelas de lajas de esquisto y granito hincadas, que fueron interpretadas como zonas de acceso a las salinas. La base aparecía conformada por los pavimentos o pisos de las salinas de cristalización, fabricados con un aglomerado de gravas y arcilla. También fueron localizadas dos cubetas de planta cuadrangular construidas con lajas de esquisto y granito. A nivel cronológico y de manera general, las salinas se adscriben a época altoimperial, fijándose su construcción a partir del siglo I d.C., perdurando hasta su abandono que se produciría a partir del siglo II d.C., continuando en el siglo III d.C. Asimismo se señala que buena parte de la superficie estudiada en la zona N y E de la parcela fue excavada con anterioridad.

Un segundo momento, adscrito a época bajoimperial y tardorromana, se localiza sobre el nivel de abandono que fosiliza la salina. Se documentaron una serie de estructuras (muros y canales), correspondientes a un hábitat o zona de talleres, por el momento de difícil precisión y elementos interfaciales de destrucción (fosas y zanjas), algunos de ellos relacionables con la canalización y depósito de aguas. De manera general podría ubicarse su marco cronológico entre los siglos III y VI/VII d.C. Entre estos restos destaca la presencia de un horno de vidrio desmantelado a finales del siglo V o inicios del VI d.C.

Los niveles tardorromanos aparecían sellados por un nivel arenoso de formación natural sobre el que se asentaban los restos de un canal construido en mampostería de granito y varios elementos interfaciales (zanjas y fosas) adscritos a época moderna.

Sellando los niveles de época moderna fue localizado un relleno constructivo, relacionado con las edificaciones de la industria de Conservas Alonso. No se documentaron restos de estructuras correspondientes a la fábrica.

El grueso de los materiales recuperados son encuadrables, en época altoimperial, bajoimperial y tardorromana, apareciendo principalmente asociados a los depósitos

originados tras el abandono de la salina. Aparte de la presencia de materiales de fabricación local o regional (cerámica común, ánfora del alfar de Bueu) y del ámbito peninsular (ánforas lusitanas, béticas y tarraconenses), destaca la abundante presencia de materiales procedentes del área mediterránea. Se tratan de los productos procedentes de la zona norteafricana (TSAD y ánforas norteafricanas) y del Mediterráneo oriental (TSFT, *late roman amphora* y *late roman unguentarium*) de adscripción cronológica tardía. Asimismo cabe señalar la presencia de una placa matriz, material de alfar, que apuntaría a la existencia de un alfar de cerámica común en la zona o alrededores.

En los rellenos superiores que sellaban los niveles tardíos o altomedievales, fueron localizados restos materiales correspondientes a época bajomedieval, moderna y contemporánea en posición secundaria.

El análisis de los materiales procedentes de la intervención objeto de estudio, pretende ampliar y complementar las informaciones aportadas durante los últimos años acerca del comercio y el tránsito de la terra sigillata por toda la fachada atlántica norocciodental (CÉSAR VILA, 2009; FERNÁNDEZ FERNÁNDEZ, 2011; 2013; 2014; LÓPEZ PÉREZ, 2004; LÓPEZ PÉREZ; CÉSAR VILA, 2010; NAVEIRO LÓPEZ, 1991; PÉREZ LOSADA, 2004). Por su posición estratégica, Vigo ocupará en la antigüedad tardía un papel preponderante como centro de consumo y redistribuidor de productos –y de personas-, entre el mundo mediterráneo y el atlántico.

USC UNIVERSIDADE DE SANTIAGO DE COMPOSTELA

6. BIBLIOGRAFÍA

ABOAL FERNÁNDEZ, R.; AYÁN VILA, X.M.; PRIETO MARTÍNEZ, M. P.

2002 *Arqueología en la ACEGA 1: el yacimiento galaico romano de Agro de Ouzande (Silleda, Pontevedra)*, CAPA, 16, Laboratorio de Patrimonio, Paleoambiente e Paisaxe, Instituto de Investigacións Tecnológicas (USC), Santiago de Compostela.

2003 *Arqueología en la ACEGA 2: el área Arqueológica de O Peto (Vedra, A Coruña)*, CAPA, 17, Laboratorio de Patrimonio, Paleoambiente e Paisaxe, Instituto de Investigacións Tecnológicas (USC), Santiago de Compostela.

ABOAL FERNÁNDEZ, R.; CASTRO HIERRO, V.

2006 “Romanidade tardía: O Redolliño”, *Obras pública e patrimonio: Estudo arqueolóxico do corredor do Mozarrazo*, TAPA, 35, Laboratorio de Arqueoloxía da Paisaxe, Instituto de Estudos Galegos Padre Sarmiento, CSIC – Xunta de Galicia, Santiago de Compostela, pp. 81-83.

ACUÑA CASTROVIEJO, F.

1976 "La cultura de la Galicia Romana", *La Romanización de Galicia,* Cuadernos del Seminario de Estudios cerámicos de Sargadelos, 16, A Coruña, pp. 63-76.

1977 "Bibliografía de la Galicia Romana", *Actas del coloquio internacional sobre el Bimilenario de Lugo,* Patronato del Bimilenario de Lugo, Lugo, pp. 175-191.

1981 "A Arqueoloxía na obra de López Ferreiro", *Cuadernos de Estudios Gallegos*, XXXII, 96-97, Santiago de Compostela, pp. 57-80.

ACUÑA CASTROVIEJO, F. *et alii*

1979 "Época Romana", *Prehistoria e arqueoloxía de Galicia: Estado da cuestión,* Sección de Arqueoloxía e Prehistoria do instituto de estudos galegos "Padre Sarmiento", Lugo, pp. 79-100.

1992 *La romanización de Galicia*, Cuadernos del Seminario de Estudios Cerámicos de Sargadelos, O Castro, Sada.

ACUÑA, P.; GARCÍA ALÉN, A.

1975 "Nuevo Hallazago en Taboexa", *El Museo de Pontevedra,* T. XXIX, Pontevedra, pp. 186-191.

ACUÑA PIÑEIRO, A.

-2006“Castro de Punta do Muíño do Vento”, *Guía de castros de Galicia e Noroeste de Portugal*, Xunta de Galicia, Consellería de Cultura e Deporte, Dirección Xeral de Patrimonio Cultural, Santiago de Compostela, p. 44.

ACUÑA PIÑEIRO, A.; GIMENO, R.

1990 *Castro dos Remedios (GA36029025), Moaña, (Pontevedra),* Ficha de Inventario de Xacementos Arqueológicos depositada na Dirección Xeral de Patrimonio Cultural, Xunta de Galicia, Santiago de Compostela.

1991a *Forno e alfar de San Martiño de Bueu (GA36004011),* Ficha de Inventario de Xacementos Arqueológicos depositada na Dirección Xeral de Patrimonio Cultural, Xunta de Galicia, Santiago de Compostela.

1991b *Xacemento de Pesqueira (GA36004012),* Ficha de Inventario de Xacementos Arqueológicos depositada na Dirección Xeral de Patrimonio Cultural, Xunta de Galicia, Santiago de Compostela.

ACUÑA PIÑEIRO, A.; PÉREZ LOSADA, F.; PAZ LOBEIRAS, R. Mª.

1998 "Aproximación arqueolóxica ó *Tude* romano: escavación na rúa Loureiros", *Los orígenes de la ciudad en el Noroeste Hispánico, Actas del Congreso Internacional,* Lugo, pp. 839-870.

ADAM, J.-P.

1996 *La construcción romana, materiales y técnicas*, Ed. de los Oficios, León.

AGERO, J. (Dir.-Ed.)

2001 *Las Rías de Galicia*, Madrid.

AGRAFOXO PÉREZ,X.

1986 *Prehistoria e arqueoloxía da Terra da Barbanza*, Comisión de Cultura, Concello de Noia, Santiago de Compostela.

AIRA, M.J.

1996 “La vegetación gallega durante la época de ocupación romana a través del estudio del polen fósil”, *Lucus Augusti I. El amanecer de una ciudad*, Fundación Pedro Barrié de la Maza, A Coruña, pp. 25-45.

AIZPURU, I.; CATALÁN, P.

1984 “Presencia del carpe en la Peninsula Ibérica”, *Anales del Jardín Botánico de Madrid*, 41 (1), pp. 143-146.

ALARCAO, J; ETIENNE, R. (Dir.)

1975 *Fouilles de Conimbriga, IV: Les sigillées*, Mission Archéologique française au Portugal. Musée Monogaphique de *Conimbriga*, Paris.

ALARÇAO, J.; MAYET, F. (Eds.)

1990 *Les amphores lusitaniennes. Typologie, production, commerce*, Museu Monográfico de *Conimbriga*, Coimbra.

ALBRECHT, CH.

1938 *Das Römierlager in Oberaden und das Uferkastell in Beckinghausen an der Lippe 1 und 2*, Dortmund.

ALCALDE OLIVARES, C; GARCÍA-AMORENA, I.; GÓMEZ MANZANEQUE, F.; MALDONADO RUÍZ, J.; MORLA JUARISTI, C.; POSTIGO MIJARRA, J.M.; RUBIALES JIMÉNEZ, J.M.; SÁNCHEZ HERNANDO, L.J.

2004 “Nuevos datos de carbones y maderas fósiles de de *Pinus pinaster* Aiton en el Holoceno de la Península Ibérica”, *Invest Agrar: Sist Recur For,* Fuera de serie, pp. 152-163.

ALCORTA IRASTORZA, E. J.

1991 "Cerámica de cociña e mesa na Galicia romana a través dos achádegos de *Lucus Augusti*", *Larouco*, 1, A Coruña, pp. 35-52.

1995 "Escavación arqueolóxica de urxencia na rotonda do edificio da antiga cárcere de Lugo", *Arqueoloxía, Informes*, 3, *Campaña 1989*, Xunta de Galicia, Santiago de Compostela, pp. 153-154.

1996 *Cerámica común romana de cocina y mesa de Lucus Augusti,* Tesis de Licenciatura, Universidade de Santiago de Compostela, Santiago de Compostela.

2001 *Lvcvs Avgvsti, II. Cerámica común romana de cocina y mesa hallada en las excavaciones de la ciudad,* Fundación Pedro Barrié de la Maza, A Coruña.

ALFONSÍN SOLIÑO, M.

1997a *Actuación arqueolóxica mediante a realización de sondaxes manuais e mecánicas no solar propiedade da sociedade Termas de Cuntis S.L. para a construcción dun novo balneario no concello de Cuntis. Proxecto básico de execución.* Pontevedra.

1997b *Actuación arqueolóxica mediante a realización de sondaxes manuais e mecánicas no solar propiedade da sociedade Termas de Cuntis S.L. para a construcción dun novo balneario no concello de Cuntis. 1ª Fase. Informe Valorativo.* Pontevedra.

1997c *Actuación arqueolóxica mediante a realización de sondaxes manuais e mecánicas no solar propiedade da sociedade Termas de Cuntis S.L. para a construcción dun novo balneario no concello de Cuntis. 2ª Fase. Informe Valorativo.* Pontevedra.

2001 *Actuación arqueolóxica vencellada ó proxecto de remodelación da E.S. “O Burgo”, sita na Rúa Domingo Fontán, s/n de Pontevedra. Sondaxes arqueolóxicas mecánicas. Proxecto de intervención*, Pontevedra.

ALONSO MARTÍNEZ, N.

2005 “Agriculture and food from the Roman to the Islamic Period in the North-East of the Iberian peninsula: archaeobotanical studies in the city of Lleida (Catalonia, Spain)”, *Vegetation History Archaeobotany*, 14, Springer Verlag, pp. 341-361.

ALONSO SÁNCHEZ, Mª. A.; FERNÁNDEZ OCHOA, C.

1988 "Cerámica africana D con decoración paleocristiana en la muralla de Gijón", *Cuadernos de Prehistoria y Arqueología de la Universidad Autónoma de Madrid*, 15, Madrid, pp. 339-377.

ÁLVAREZ CLAVIJO, P.

1996 “Tirgo, La Rioja. Trabajos arqueológicos en el entorno de la iglesia de El Salvador”, *Estrato,* 7, Revista riojana de arqueología, Gobierno de La Rioja (Consejería de Educación, Cultura, Juventud y Deportes), Servicio de Patrimonio Histórico Artístico, Logroño, pp. 73-79.

ÁLVAREZ LIMESES, G.

1936 *Provincia de Pontevedra, Geografía General del Reino de Galicia*, Barcelona.

ÁLVAREZ SANTOS, J. A.

2005 *La Terra Sigillata en Cantabria: Fondos del Museo de Preshistoria y Arqueología de Cantabria y del Museo Arqueológico Nacional*, Universidad de Cantabria, Santander.

ÁLVAREZ TORRÓN, Mª. L.

2000 “Cerámica procedente del yacimiento de Porta de Arcos (Rodeiro-Pontevedra)”, *Cuadernos de Estudios Gallegos,* XLVII, Fasc. 112, Santiago de Compostela, pp. 43-62.

AMADO RODRÍGUEZ, Mª. T.; PEREIRO PARDO, A.

1989 *Orientacións: Bibliografía da Galicia Romana.*

AQUILUÉ ABADÍAS, J.

1987 *Las cerámicas africanas de la ciudad romana de Baetulo (Hispania Tarraconenses)*, BAR International Series, 337,Oxford.

ARCELIN, P.; RIGOIR, Y.

1979 “Normalisatión du dessin en ceramologie”, *Documents d’archeologie Meridionale,* Resultat de l’table-ronde de Montpellier reunie de 7 avril 1976.

ARCELIN, P.; TUFFREAU-LIBRE, M. (Dir.)

1998 *La quantificaction des céramiques: Conditions et protocole,* Actes de la table ronde du Centre archéologique du Mont Beuvray (Glux-en-Glenne, 7-9 avril 1998), Collection Bibracte 2.

ARGENTE OLIVER, J. L.; DÍAZ DÍAZ, A.

1996 *Tiermes: Guía del Yacimiento y Museo*, Junta de Castilla Y León, Asociación de Amigos del Museo de Tiermes, Valladolid.

ARIAS VILAS, F.

1992 *A Romanización de Galicia,* Historia de Galicia, Vol. 4, Vigo.

ARIAS VILAS, F.; CAVADA NIETO, M.

1979 “Galicia Bajorromana”, *Gallaecia*, Sada, A Coruña, 3-4, pp. 91-108.

ARIAS VILAS, F.; ROMERO MASIÁ, A.

1995 *Diccionario de termos de Arqueoloxía e Prehistoria*, Vigo.

AYÁN VILA, X. (Coord.)

2002 *Pasado e futuro de Castrolandín (Cuntis): unha proposta de recuperación e revalorización*, TAPA, 29, Laboratorio de Arqueoloxía da Paisaxe, Instituto de Estudos Galegos Padre Sarmiento, CSIC – Xunta de Galicia, Santiago de Compostela.

BAHN, P.

1998 *Introducción a la Arqueología*, Madrid.

BAIRRAO OLEIRO, J.M.

1951 "Elementos para o estudo da *terra sigillata* em Portugal. I - Marcas de oleiro encontradas no País", *Guimaraes*, LXI, 1951, pp 81-111.

BALBOA SALGADO, A.

1996 *Gallaecia nas fontes clásicas*, Biblioteca de Divulgación, 19, Universidade de Santiago de Compostela, Servicio de Publicacións, Santiago de Compostela.

BALIL ILLANA, A.

1957 "Recensión de Inscripciones Romanas de Galicia, III, Provincia de Pontevedra, de J. Filgueira Valverde y A. Dor's (1955)", *Revista de Archivos Bibliotecas y Museos*, LXIII, p. 796.

1961 "Notas sobre *terra sigillata hispanica*", III, *Revista de Archivos Bibliotecas y Museos*, LXIX, pp. 283-299.

1965 "Materiales para un índice de marcas de ceramistas en TSH", *Archivo Español de Arqueología, XXXVIII,* pp. 139-170.

1969 *Estudios de cerámica Romana I*, Studia Archeologica, 4, Santiago de Compostela.

1970 *Estudios de cerámica romana II*, Studia Archaeologica, 7, Santiago de Compostela.

1971 "Excavaciones en Torres de Oeste, Catoira (Pontevedra)", *Noticiario Arqueológico Hispano,* XIII-XIV, pp. 300-303.

1972a *Economía de la Hispania Romana (s. I-III D.C.)*, Studia Archeologica, 15, Santiago de Compostela.

1972b *Estudios de cerámica romana III (Homenaje a Arturo Stenico y Howard Comfort)*, Studia Archaeologica, 13, Santiago de Compostela.

1973 "Algunos aspectos y problemas de la Galicia Romana", *Cuadernos de Estudios Gallegos,* XXXVIII, Santiago de Compostela, pp. 161-180.

BALIL ILLANA, A.; PEREIRA MENAUT, G.; SÁNCHEZ-PALENCIA, RAMOS, F. C. (Eds.)

1991 *Tabula Imperii Romani, Hoja K-29: Porto (Conimbriga, Bracara, Lucus, Asturica)*, Unión Académica Internacional, Instituto Geográfico Nacional, CSIC, Ministerio de Cultura, Madrid.

BAMBER, R.K.

2001 “A general theory for the origin of growth stresses in reaction wood: how trees stay upright”, *IAWA Journal*, 22 (3), pp. 205-212.

BANHA, C.M.; ARSÉNIO, P.D.M.

1988 “As ânforas romanas vinárias de *Seilium* (Tomar), *Conventus Scallabitanus*”, *Revista Portuguesa de Arqueologia* 1 (2), Lisboa, pp. 165-189.

BARBEITO POSE, V.

2006 *Informe de Valoración. Avaliación Patrimonial Unidade de Actuación I-06 Rosalía de Castro-II. Vigo (Pontevedra)*.

BARCIELA GARRIDO, P.; REY SEARA, E.

2000 *Xacementos arqueolóxicos de Galicia*, Vigo.

BARCIELA GARRIDO, P.; SUÁREZ OTERO, J. (Comisariado)

2005 *Para o deus Berobreo: Aras do santuario de Donón no Museo Municipal de Vigo*, Museo Municipal de Vigo “Quiñones de León”, Vigo.

BARREIRO FERNÁNDEZ, X. R.

1993 “A Historia da Historia. Aproximación a unha historiografía galega: de Murguía a Risco”, *Galicia e a Historiografía*, Santiago de Compostela, pp. 183-209.

BARTOLONI, R.

2000 *Monete di Roma Imperiale,* Mondadori, Toledo.

BATTEN, D.J.; GRENFFELL, H.R.

2002 “Green and Blue Green algae. Botryococcus In Jansonius”, *Palynology: Principles and Applications*, 1, American Association of Stratigraphical Palynologists Foundation, Dallas, pp. 205 214.

BELAMAR, M.; CARVALHO, H.

2005 “A Junta abre caminho às construtoras entre jazigos romanos”, *Novas da Galiza,* 28, 15/03/05-15/04/05, Lugo, pp. 1, 10-11.

BELLO DIÉGUEZ, J.Mª.; PEÑA SANTOS, A. DE LA

1995 *Galicia na Prehistoria*, Vol. I, Historia de Galicia, A Coruña, Ed. Vía Láctea.

BELTRÁN DE HEREDIA BERCERO, J. (dir.)

2001 *De Barcino a Barcinona (siglos I-VII). Los restos arqueológicos de la plaza del Rey de Barcelona*, Museu d´Història de la Ciutat, Ajuntament de Barcelona, Barcelona.

BELTRÁN LLORIS, M.

1970 *Las ánforas romanas en España*, Anejo Caesaraugusta VIII, Zaragoza.

1978 *Cerámica Romana: Tipología y clasificación,* Zaragoza.

1990 *Guía de la cerámica Romana,* Zaragoza.

BÉMONT, C.; JACOB, J. P.

1986 *La terre sigillée gallo-romaine, lieux de production du Haut Empire: implantations, produits, relations*, Documents d´Archéologie Française, 6, París.

BEN MOUSSA, M.

2007 *La production des sigillées africaines. Recherches D'Histoire et D'Archeologie en Tunisie septentrionale et centrale*, Col-lecció Instrumenta, 23, Universitat de Barcelona, Barcelona.

BENAVIDES GARCÍA, R.

2001 *Memoria de los trabajos de extracción de un horno romano de alfareo del yacimiento arqueológico situado en el solar nº7 de la calle Montero Ríos en Bueu (Pontevedra),* Vigo.

BERMEJO BARRERA, J. C.

1983 *Psicoanálisis del conocimiento histórico*, 87, Madrid.

1986 *O final da Historia: Ensaio de Historia teórica*, Vigo.

1989 *Replanteamiento de la Historia: Ensayos de Historia teórica II*, Madrid.

1990 "Historiografía e metafísica. Coñecemento histórico e identidade cultural na *Gallaecia* da Antigüedade", *O pensamento galego na Historia*, Universidade de Santiago de Compostela, Santiago de Compostela, pp. 37-46.

1991 *Fundamentación lógica de la Historia: Introducción a la Historia Teórica*, Madrid.

1993 "Sobre la construcción del objeto historiográfico. Consideraciones sobre le método de la Historia de la Historiografía", *Galicia e a Historiografía*, Santiago de Compostela, pp. 7-28.

2002 "Sobre el buen uso de los monumentos arqueológicos", *Gerión*, Vol. 20, Nº 1, pp. 11-32.

BERNAL, D.; LAGÓSTENA, L. (Eds)

2004 *Figlinae Baetica. Talleres alfareros y producciones cerámicas en la Bética romana (siglos II a.C. – VII d.C),* BAR International Series, 621-632. Oxford.

BERNAL CASASOLA, D; RIBERA I LACOMBA, A. (Eds.)

2008 *Cerámicas hispanorromanas. Un estado de la cuestión*, Universidad de Cádiz. Cádiz.

BERNARD, V.

2003 "Stratégie d'approvisionnement en bois en Gaule du Nord-Ouest (du Ier siècle avant au IVe siècle après J.-C.)", *RAP*, 1/2, pp. 77-86.

BLANCO, E.

1996 *El Caurel, las plantas y sus habitantes. Estudio etnobotánico de la Sierra del Caurel (Lugo). La importancia de las plantas para nuestros antepasados*, Fundación Caixa Galicia, A Coruña.

BLANCO FREIJEIRO; A.; FUSTE ARA, M.; GARCÍA ALÉN, A.

1961 "La necrópolis galaico-romana de La Lanzada (Noalla, Pontevedra)", *Cuadernos de Estudios Gallegos,* XVI, Fasc. 49, Santiago de Compostela, pp. 141-158.

BLANCO GARCÍA, J.F.

2003 *Cerámica histórica en la Provincia de Segovia, I. Del Neolítico a época visigoda (V Milenio-711 D.C.),* Trabajos de Arqueología Hispánica, 1, Segovia.

BLÁZQUEZ, J.Mª.

1977 "La romanización del N.O. de la Península Ibérica", *Actas del coloquio internacional sobre el Bimilenario de Lugo,* Patronato del Bimilenario de Lugo, Lugo, pp. 67-81.

BLÁZQUEZ, J.M.; BOUZA BREY, F.

1961 “Inscripciones romanas de Vigo”, *Cuadernos de Estudios Gallegos,* XVI, Santiago de Compostela, pp. 5-42.

BONIFAY, M.

2004 *Etudes sur la céramique romaine tardive d'Afrique*, BAR International Series, 1301, Oxford.

BONIFAY, M.; TRÉGLIA, J-C. (Eds.)

2007 *Late Roman Coarse Wares, Cooking Wares and Amphorae in the Mediterranean: Archaelogy and archaeometry*, BAR International Series, 1662, Oxford.

BONIFAY, M.; VILLEDIEU, F.

1989 *Importations d’amphores orientales en Gaule (Ve–VIIe siécles)*, Recherches sur la cerámique Byzantine, V. Déroche, J.-M. Spieser éd., colloque de l'Ecole française d'Athènes (1987), Suppl. XVIII du BCH, 326, Paris-Athènes, pp. 17-46.

BONILLA RODRÍGUEZ, A.; CÉSAR VILA, M.

2005 "Excavación arqueológica en área en el solar de la antigua capilla y lazareto medieval de San Lázaro (Santiago de Compostela, A Coruña)", *Gallaecia,* 24, Santiago de Compostela, pp. 219-242.

BONILLA RODRÍGUEZ, A.; CÉSAR VILA, M.; CURRÁS REFOJOS, M.

2008 “Estudio de los materiales cerámicos procedentes de los trabajos arqueológicos de documentación, limpieza y desescombro en el monasterio de Santa María de Melón (Melón, Ourense)”, Inédito.

BONSEN, K.J.M.; KUČERA, L.

1990 “Vessel occlusions in plants: morphological, functional and evolutionary aspects”. *IAWA Bulletin*, 11, pp. 393-399.

BOUBY, L.; MARINVAL, P.

2004 “Fruits and seeds from Roman cremations in Limagne (Massif Central) and the spatial variability of plant offerings in France” *Journal or Archaelogical Science*, 31, pp. 77-86.

BOURGUEOIS, A; MAYET, F.

1991 *Fouilles de Belo, Belo VI: Les sigillées,* Collection de la Casa de Velázquez, Archéologié, XIV, Madrid.

BOUZA BREY, F.

1957 "O Castro de Alobre e os contactos antre a Bretaña e a Galiza na época romana", *Homaxe a Florentino L. A. Cuevillas*, Vigo, pp. 73-110.

BOUZA BREY, F.; D’ORS, A.

1944 *Inscripciones romanas de Galicia, I,* Santiago de Compostela.

BRAÑAS, R.

1995 *Indíxenas e romanos na Galicia Céltica*, Santiago de Compostela.

BUXEDA I GARRIGÓS, J.; GARCÍA IBAÑEZ, J.; TUSET I BERTRÁN, F.

2005 “Pedregales: a coarse ware workshop in the Celtiberian tradition at the Roman town of Clunia (Peñalba de Castro, Burgos, Spain)”, *Understanding people through their pottery. Proceedings of the 7th European Meeting on Ancient Ceramics (EMAC'03), Trabalhos de arqueologia*, Lisboa, pp. 19-25.

BUXÓ I CAPDEVILA, Ramón

1997 *Arqueología de las plantas*, Ed Crítica, Barcelona.

2005 “L’agricultura d’època romana: estudis arqueobotànics i evolució dels cultius a Catalunya”, *Cota Zero*, 20, pp. 108-120.

BUXÓ, R., CANAL, D., GUITART, J., PERA, J., PIQUÉ, R.

2004 “Excavació de dos pous d’època romana a Guissona: L’explotació dels recursos vegetals a la ciutat romana de Iesso als segles I aC-II dC”, *Iesso I. Miscel.lània Arqueològica*, Barcelona, pp: 213-277.

CAAMAÑO GESTO, J. M.

1979 "Marcas de alfarero en cerámica romana, encontradas en Galicia", *Gallaecia*, Sada, A Coruña, 5, pp. 63-99.

1980 “*Fuentes escritas clásicas para el estudio de las vías romanas de Galicia*,” *Brigantium*, 1, Museo Arqueolóxico, A Coruña.

1983 "Cerámicas finas de importación en la época romana en Galicia", *Estudios de Cultura Castrexa e de Historia Antiga de Galicia,* Santiago de Compostela, pp. 225-246.

1984 *As vías romanas*, Cadernos do Museo do Pobo Galego, 3, Santiago de Compostela, Imp. Minerva.

1985 "As vías romanas", *Galicia, Historia,* I, Hércules de Ediciones, A Coruña, pp. 389-401.

1985 "Os campamentos romanos", *Galicia, Historia,* I, Hércules de Ediciones, A Coruña, pp. 443-449.

1991a “Los campamentos romanos de Galicia”, *Galicia-Historia. I. Prehistoria e Historia Antigua*, A Coruña, pp. 443-449.

1991b "O campamento romano de Cidadela (Sobrado dos Monxes. A Coruña)", *Larouco,* 1, A Coruña, pp. 119-122.

1995a "Escavación arqueolóxica do campamento romano de Cidadela (Sobrado dos Monxes, A Coruña)", *Arqueoloxía, Informes,* 3, *Campaña 1989*, Xunta de Galicia, Santiago de Compostela, pp. 39-43.

1995b ”Obras públicas en la Galicia romana: los campamentos”, *Arqueoloxía e arte na Galicia prehistórica e romana*. Museo Arqueolóxico da Coruña. Monografías Urxentes do Museu, 7, A Coruña, pp. 189-201.

2000 "Excavaciones en el Campamento de Cidadela (A Coruña)", *Brigantium*, 12, A Coruña, pp. 199-207.

2007a "A conquista romana. A ocupación do territorio e cultura material", *A gran historia de Galicia: A Galicia romana*, Nº 5, Tomo III, Vol. 1, Edicicón La Voz de Galicia S.A., Madrid, 2007.

2007b "Economía, sociedade, relixión e arte. O mundo suévico", *A gran historia de Galicia: A Galicia romana*, Nº 6, Tomo III, Vol. 2, Edicicón La Voz de Galicia S.A., Madrid, 2007.

CAAMAÑO GESTO, J. M.; CRIADO BOADO, F.

1991-92 "La medorra de Fanegas (Sobrado dos Monxes, Coruña) un monumento megalítico reutilizado en época romana", *Brigantium,* 7, pp. 7-89.

CAAMAÑO GESTO, J. M.; LÓPEZ PÉREZ, J.M.

2006 "Adenda al *corpus* de marcas de alfarero en *terra sigillata* localizadas en Galicia", *Gallaecia*, 25, Sada, A Coruña, pp. 83-129.

CAAMAÑO GESTO, J. M.; LÓPEZ RODRÍGUEZ, J.R.

1984 "Sigillatas del castro de Viladonga (Lugo)", *Gallaecia*, Sada, A Coruña 7/8, pp. 158-177.

CAAMAÑO GESTO, J. M.; NAVEIRO LÓPEZ, J.

1992 "Aportaciones al estudio de la red viaria romana de la provincia de A Coruña", *Finisterrae: estudios en lembranza do Prof. Dr. Alberto Balil*, Universidade de Santiago de Compostela, Santiago, pp. 207-224.

CAAMAÑO GESTO, J. M.; ROMERO CARNICERO, Mª. V.

1982 "Sigillatas hispánicas pertenecientes a la colección del departamento de Prehistoria y Arqueología de la Facultad de Geografía e Historia de Santiago", *Museo de Pontevedra*, Pontevedra.

CABALLERO ZOREDA, L.

1982 "Una muestra de cerámicas sigillatas claras e hispánicas tardías de Mérida", *Homenaje a Sáenz de Buruaga*, Madrid, pp. 177-195.

1985 "Hallazgo de un conjunto tardorromano en la calle sur de Getafe (Madrid)", *Boletín del Museo Arqueológico Nacional*, Tomo III, nº 1, Madrid, pp.: 97-127.

CABALLERO ZOREDA, L.; ARGENTE OLIVER, J. L.

1975 "Cerámica paleocristiana, gris y anaranjada, producida en España: cerámicas tardo-romanas de la *Villa* de Baños de Valdearados (Burgos)." *Trabajos de Prehistoria*, pp. 117-150.

CAILLEUX, A.

1963 *Notice sur le code des couleurs des sols*. Boubée. París.

CALLENDER, P.

1965 *Roman Amphorae*, Oxford University Press, Toronto.

CALO LOURIDO, F.

1997 *A Cultura Castrexa*, Historia de Galicia, Vol. 3, Vigo.

CALVO Y SÁNCHEZ, I.

1924 *Monte de Santa Tecla en Galicia,* Junta Superior de Excavaciones y Antigüedades, 62, Madrid.

CAMPANO LORENZO, A.

1994 "De la producción de ánforas de salazón en la Bahía de Cádiz. Materiales del alfar "El Olivar de los Valencianos", Puerto Real", *Archivo Español de Arqueología,* 67, Nºs. 169-170, CSIC, Madrid, pp. 135-146.

CANCELA RAMÍREZ DE ARELLANO, Mª. L .

1992 “Ermita de Santa María de Arcos, Tricio (La Rioja)”, *Estrato,* 4, Revista riojana de arqueología, Gobierno de La Rioja (Consejería de Cultura, Deportes y Juventud), Servicio de Patrimonio Histórico Artístico, Logroño, pp. 43-46.

CANTOS MARTÍNEZ, O.

-1993"Conservación y restauración de la cerámica, el vidrio y el material óseo", *Arqueología y conservación*, Xinzo de Limia, pp. 21-42.

CARAMÉS MOREIRA, V.

1998 *Sondaxes arqueolóxicas mecánicas e manuais no solar Nº2 da rúa Balneario de Cuntis (Pontevedra), Informe Valorativo.* Santiago de Compostela.

2004 "Enterramento romano. Castro da Punta do Muíño do Vento, Alcabre, Vigo, séculos II-V D.C., Vigo, Museo do Mar de Galicia”, *Até o confín do mundo: Diálogos entre*

Santiago e o Mar, Museo do Mar de Vigo, Xacobeo 2004, Editorial Galaxia, Vigo, p. 65.

CARAMÉS MOREIRA, V. (Coord.)

2004 *Até o confín do mundo: diálogos entre Santiago e o Mar*, Museo do Mar de Vigo, Vigo.

CARAMÉS MOREIRA, V.; ALFONSÍN SOLIÑO, M.

1991a *Punta do Cantodorxo (GA36022001), O Grove, (Pontevedra),* Ficha de Inventario de Xacementos Arqueológicos depositada na Dirección Xeral de Patrimonio Cultural, Xunta de Galicia, Santiago de Compostela.

1991b *Taboexa (GA36034028), As Neves, (Pontevedra),* Ficha de Inventario de Xacementos Arqueológicos depositada na Dirección Xeral de Patrimonio Cultural, Xunta de Galicia, Santiago de Compostela.

CARANDINI, A.; TORTORELLA, S.; SAGUI, L; TORTORICI, E..

1981 "II. Ceramica Africana", *Atlante delle forme ceramiche, I, Ceramica fine romana nel Bacino Mediterraneo (Medio e Tardo Impero),* Enciclopedia dell'Arte Antica, Classica e Orientale, Instituto della Enciclopedia Italiana fondata da Giovanni Treccani, Roma, pp. 9-227.

CARBALLIDO REY, X.C.

1990 "O priscilianismo: o ámbito histórico", *O pensamento galego na Historia*, Universidade de Santiago de Compostela, Santiago de Compostela, pp. 47-55.

CARBALLO ARCEO, X.

1986 *Povoamento castrexo e romano da terra de Trasdeza,* Arqueoloxía, Investigación, 2, Xunta de Galicia, A Coruña.

1987 "Avance ao estudo dos materiais arqueolóxicos do Castro de Santa Tegra", *Lucerna,* 2.ª Série, Vol. II, Porto, pp. 95-117.

1995 *Portocedeira, Veiga da Vila (GA36045010), Redondela, (Pontevedra),* Ficha de Inventario de Xacementos Arqueológicos depositada na Dirección Xeral de Patrimonio Cultural, Xunta de Galicia, Santiago de Compostela.

2006a *Arqueoloxía de Galicia: Itinerarios polo pasado*, Vigo.

2006b "Castro de Vigo", *Guía de castros de Galicia e Noroeste de Portugal*, Xunta de Galicia, Consellería de Cultura e Deporte, Dirección Xeral de Patrimonio Cultural, Santiago de Compostela, p. 45.

CARBALLO ARCEO, X.; FÁBREGAS VALCARCE, R.

2006 "Variacións rexionais nas sociedades Pre e Protohistóricas Galaicas", En prensa.

CARBALLO ARCEO, X.; LUACES ANCA, J.; TOSCANO NOVELLA, Mª. C.

1998 *Catálogo do patrimonio arqueolóxico, 2, Arqueoloxía de Vigo e a súa Historia,* Concello de Vigo, Vigo.

CARBALLO ARCEO, X.; PENEDO ROMERO, R.

1986 *Castro Dozón/Os castros (GA36016002), Castro Dozón, (Pontevedra),* Ficha de Inventario de Xacementos Arqueológicos depositada na Dirección Xeral de Patrimonio Cultural, Xunta de Galicia, Santiago de Compostela.

CARBONELL, J.

2005 “Plantes, flors i arbres en el texts grecollatins”, *Jardins d’Empúries. La jardineria en època romana*, Museu d’Arqueologia de Catalunya, Barcelona, pp. 12-21.

CARDOSO, G.

1986 “Fornos de ánforas romanas na bacia do río Sado; Pinheiro, Abul e Bugio”, *Conimbriga*, XXV; Coimbra, pp. 153-173

CARO BELLIDO, A.

2002 *Ensayo sobre cerámica en arqueología,* Sevilla.

CARREIRA DÍAZ, A.

2000 *Actuación arqueológica vinculada al proyecto de construcción de un bloque de viviendas en los solares Nº: 6, 8 y 12, de la Avenida Montero Ríos en el Concello de Bueu (Pontevedra), Excavación en área,* Informe valorativo, Santiago de Compostela.

CARREÑO GASCÓN, Mª. C.

1991 "Crónica das escavacións de urxencia feitas na cidade de Lugo durante o ano 1989 polos sevicios municipais de arqueoloxía", *Larouco,* 1, A Coruña, pp. 107-117.

1993 "*Sigillata* Africana en *Lucus Augusti*", *Actas del XXII Congreso Nacional de Arqueología,* Vigo, pp. 297-304.

1995a "A demanda de vaixelas de Luxo con marca comercial de orixe: terra sigillata", *Lucus Augusti, urbs romana. As orixes da cidade de Lugo*, Lugo, pp. 85-90.

1995b "Prospección arqueolóxica no “Campo da Forca” (Lugo)", *Arqueoloxía, Informes,* 3, *Campaña 1989*, Xunta de Galicia, Santiago de Compostela, pp. 65-69.

1997a "Cerámica fina de mesa: A *Terra Sigillata* en Galicia", *Galicia Terra Única: Galicia Castrexa e Romana*, Lugo, pp. 255-260.

1997b *Marcas de alfarero sobre terra sigillata halladas en Lucus Augusti*, Anejos de Larouco, 3, Edicións do Castro, A Coruña.

2006 “Cerámica sigillata”, *Excavaciones arqueológicas en Aquis Querquennis : actuaciones en el campamento romano : (1975-2005).* Anejos de larouco, 4, Lugo, pp. 327-408.

2007 “Una pequeña muestra de la *terra sigillata* procedente de un control urbano en *Lucus Augusti*”, Larouco, 4, Edicións do Castro, A Coruña pp. 141-177.

2010 ”Memoria de los sondeos arqueológicos realizados en el entorno del antiguo matadero municipal, Lugo”, Larouco, 5, Edicións do Castro, A Coruña, pp. 121-150.

CARRERAS, T.

2005 “El vidre antic. Técniques de fabricació i decoració”, *La fragilitat en el temps. El vidre a l’antiguitat*, Museu d’Arqueologia de Catalunya, Barcelona, pp. 13-20.

CARRERAS MONFORT, C.

2000 “Producción de Haltern 70 y Dressel 7-11 en las inmediaciones del Lacus Ligustinus (Las Marismas, Bajo Guadalquivir)”, *Congreso Internacional Ex Baetica Amphorae* (Sevilla–Écija 1998), Écija, pp. 419-426.

CARRERAS MONFORT, C.; AGUILERA, A. (Eds)

2003 “Culip VIII i les àmfores Haltern 70”, *Monografies del Casc*, 5, Museu d´Arqueologia de Catalunya, Centre d´Arqueologia Subaquàtica de Catalunya, Girona.

CARRERAS MONFORT, C.; MORAIS, R.; GONZÁLEZ FERNÁNDEZ, E. (Coords.)

2011 *Ánforas romanas de Lugo. Comercio romano en el Finis Terrae*, Traballos de Arqueoloxía, 3, Concello de Lugo, Servizo Municipal de Arquoloxía, Lugo.

CARRETERO VAQUERO, S.

2000 *El campamento romano del Ala II Flavia en Rosinos de Vidriales (Zamora): La cerámica,* Instituto de Estudios Zamoranos “Florián de Ocampo”, Diputación de Zamora, Universidad de Valladolid, Zamora.

CARRIÓN, Y.

2003 *Afinidades y diferencias de las secuencias antracológicas en las vertientes mediterránea y atlántica de la Península Ibérica*, Universidad de Valencia, Valencia.

2005 *La vegetación mediterránea y atlántica de la Península Ibérica*, Servicio de Investigación Prehistórica, nº104, Dip. Provincial de Valencia, Valencia.

2006 “Tres Montes (Navarra, Spain): Dendrology and wood uses in an arid environment, Charcoal Analysis: New Analytical Tools and Methods for Archaeology”, *Papers from the Table-Ronde held in Basel 2004*, BAR International Series, 1483, pp. 83-93.

CARRO OTERO, X.

1989 "Xacemento antropo-arqueolóxico de Adro Vello (San Vicenzo de O Grove, Pontevedra)", *Arqueoloxía, Informes,* 1, *Campaña 1987*, Xunta de Galicia, Santiago de Compostela, pp. 86-92.

CARRO OTERO, X.; MASA VÁZQUEZ, Mª C.; VARELA OGANDO, Mª. L.

1987 "Un nuevo enterramiento de la necrópolis galaico-romana de La Lanzada (Noalla-Pontevedra)", *Pontevedra Arqueológica*, II, Grupo de Arqueología "Alfredo García Alén", Pontevedra, pp. 229-252.

CARVALHO, P. C.

1998 *O forum de Aeminium*, Ministerio da Cultura, Instituto Português de Museus, Coimbra.

CASAL DORADO, J. M.

2000 *Ensayos tecnológicos de las arcillas extraídas en los centros alfareros de Galicia*, Xunta de Galica, Vigo.

CASTRO CARRERA, J.C.

1992-93 "Intervención arqueolóxica no xacemento romano de “O Fiunchal”", *Castrelos* 5-6. Vigo, pp. 71-83.

2007 “La salina romana del yacimiento de “O Areal”, Vigo (Galicia): Un complejo industrial salazonero altoimperial”, *Actas del Congreso Internacional CETARIAE. Salsas y salazones de pescado en Occidente durante la Antigüedad,* Universidad de Cádiz, B.A.R. int. ser., Oxford, pp. 356.

CASTRO PAREDES, I.; INSUA LIÑARES, Mª. J.; LÓPEZ PÉREZ, Mª. C.

2003 “Aportaciones a la arqueología urbana de A Coruña: la Casa Martelo a través de sus materiales”, *Brigantium*, 14, Boletín do Museo Arqueolóxico e Histórico da Coruña, Museo Arqueolóxico e Histórico de San Antón, A Coruña, pp.225-243.

CÉSAR VILA, M.

2000 *Terra sigillata da provincia de Pontevedra: análise bibliográfica e historiográfica e revisión dos materiais publicados,* Traballo de investigación, Universidade Universidade de Santiago de Compostela, Santiago de Compostela.

2002a *Proxecto de intervención arqueolóxica. Sondaxes arqueolóxicas relacionadas co proxecto básico de execución de edificio para dúas vivendas situado na Praza Arbores, 5/Colón, 6 (Contorno Igrexa Parroquial). Cuntis (Pontevedra)*. Santiago de Compostela.

2002b *Memoria técnica. Sondaxes arqueolóxicas relacionadas co proxecto básico de execución de edificio para dúas vivendas situado na Praza Arbores, 5/Colón, 6 (Contorno Igrexa Parroquial). Cuntis (Pontevedra)*. Santiago de Compostela.

2003a “Catro marcas de oleiro en *Terra Sigillata* Hispanica atopadas en Bueu (Pontevedra)”, *Murguía,* 1, Santiago de Compostela, pp. 55-66.

2003b *Sondaxes arqueolóxicas mecánicas relacionadas co proxecto básico de execución de ampliación de Balneario para piscina termal (Cuntis, Pontevedra),* Informe-memoria, Santiago de Compostela.

2004a “Notas sobre cerámica romana: a *terra sigillata*”, *Murguía,* 3, Santiago de Compostela, pp. 57-65.

2004b "*Terra sigillata* africana Clara D. Vigo, escavación na rúa Areal, sigla: T.A. 02/070, séculos IV-V D.C., forma Hayes 61, nn. 1, 4, 7. 18, tres fragmentos de prato de D61A, 4,0x26,4x0,6 cm, diámetro: 28 cm, depósito provisional: Adro Arqueológica, S.L.”, *Até o confín do mundo: Diálogos entre Santiago e o Mar*, Museo do Mar de Vigo, Xacobeo 2004, Editorial Galaxia, Vigo, p. 73.

2006a Informe/Memoria. Sondaxes arqueolóxicas valorativas e control arqueolóxico de obra relativo ás reformas previstas no edificio do Balneario da Virxe (Cuntis, Pontevedra).

2006b *Proxecto de sondaxes arqueolóxicas mecánicas previas ao proxecto básico de construción de edificio en Rúa Bernardo Sagasta 3 (Cuntis, Pontevedra),* Proxecto de intervención, Santiago de Compostela.

2007 *Proxecto de sondaxes arqueolóxicas mecánicas previas ao proxecto básico de construción de edificio en Rúa Bernardo Sagasta 3 (Cuntis, Pontevedra),* Informe Memoria, Santiago de Compostela.

2008 *Excavación arqueológica en área de la parcela 4 de la U.A. I-06 Rosalía de Castro 2 de Vigo (Pontevedra)*, Santiago de Compostela.

2009 *A terra sigillata do xacemento romano de Bueu e o seu contexto no marco pontevedrés*, Memoria de Licenciatura. Universidade de Santiago de Compostela, Santiago de Compostela.

2010 "Escavación arqueolóxica en área da parcela 4 da Unidade de actuación I-06, Rosalía de Castro nº2, Vigo", *Actuacións Arqueolóxicas. Ano-2008*, Xunta de Galicia, Santiago de Compostela, pp. 202-203.

CÉSAR VILA, M.; BONILLA RODRÍGUEZ, A.

2003 "Estudio de los materiales cerámicos del "Castelo da Lúa" (Rianxo, A Coruña)", *Gallaecia,* 22. Santiago de Compostela, pp. 297-367.

CÉSAR VILA, M.; LÓPEZ PÉREZ, Mª.C.

2006 "Curso de formación contínua. Tratamento e análise de materiais arqueolóxicos. Materiais arqueolóxicos: productos manufacturados. Cerámica romana: a terra sigillata no NW peninsular", Departamento de Historia I, Facultade de Xeografía e Historia, Santiago de Compostela.

2008 "Aportaciones al conocimiento del comercio de sigillata en la fachada Atlántica del Noroeste Peninsular", *Les productions céramiques en Hispanie Tarraconaise (IIe s. av. J.-C. -VIe s. apr. J.-C.) - Actualité des recherches céramiques, Actes du Congrès de L'Escala-Empúries, 1er.-4 Mai 2008*, Société Française d'Étude de la Céramique Antique en Gaule, Saint-Paul-Trois-Châteaux – France, pp. 241-254.

CHAMOSO LAMAS, M.

1974 "*Iria Flavia*, Santa María de", *Gran Enciclopedia Gallega*, 18, Vigo, pp. 42-45.

CHELLI, M.

2004 *Manuale dei simboli nell'arte: L'era paleocristlana e bizantina*, I Prontintasca, 77, Roma.

CIPRÉS, P.

1987 *Terra sigillata hispánica de Arcaya (Álava), estudio de las formas lisas y decoradas*, Veleia, Anejo Nº 3, Instituto de ciencias de la antigüedad, Universidad del País Vasco, Vitoria/Gasteiz.

COLES, B.; COLES, J.

1986 *Sweet Track to Glastonbury. The Somerset in Prehistory, Thames and Hudson*, London.

COLES, J.M.; HEAL, S.V.E.; ORME, J.

1978 “The Use and Character of Wood in Prehistoric Britain and Ireland”, *Proceedings of the Prehistoric Society*, 44, University of Reading, Reading, pp. 1-45

COLUMELA, L.I.M.

2004 *Libro de los árboles. La labranza (Libros I-V)*, Biblioteca Clásica Gredos, Madrid.

COMES I SOLÁ, M. (ed.) *et alii*:

1997 *Contextos ceràmics d'época romana tardana i de l'alta edat mitjana (segles IV-X)*, Arqueo Mediterrània, Universitat de Barcelona, Barcelona.

CONEDERA,M.; KREBS, P.; TINNER, W.; PRADELLA, M.; TORRIANI, D.

2004 “The cultivation of Castanea sativa (Mill.)”, *Europe, from its origin to its diffusion on a continental scale, Vegetation History and Archaeobotany*, 13, Springer Verlag, pp. 161-179.

COSTA, M.; MORLA, C.; SÁINZ, H.

1997 *Los bosques ibéricos, una interpretación geobotánica*, Ed. Planteta, Madrid.

CRONE, A.; BARBER, J.

1981 “Analytical techniques for the investigation of non-artefactual wood from prehistoric and medieval sites”, *Proceedings of the Society of Antiquaries of Scotland,* 111, Edinburgh, pp. 510-515.

CRUZ, M. da

2009a *Vita Vitri. O vidro romano em Portugal*, Lisboa, MDDS, MNA (catálogo de exposição).

2009b O v*idro Romano no Noroeste Peninsular. Um olhar a partir de* Bracara Augusta*.* Braga, Universidade do Minho.

CURRÁS, A.

2008 *Memoria da análise polínica do Castro de Navás*, Universitat de Barcelona, Barcelona, Inédito.

CURRÁS REFOJOS, B. X.

2004 *A industria de Salgadura nas Rías Baixas en Época romana*, T.A.D., Universidade de Santiago de Compostela, Santiago de Compostela.

2007 “Aportación al conocimiento de la industria de salazón en las Rías Baixas Gallegas”, *Actas del Congreso Internacional CETARIAE. Salsas y salazones de pescado en Occidente durante la Antigüedad,* Universidad de Cádiz, B.A.R. int. ser., Oxford, pp. 135-149.

DÉCHELETTE, J.

1904 *Les vases céramiques ornés de la Gaule romaine*, París.

DEL AMO GUINOVART, M.D.,

1973 La cerámica aretina de la necrópolis cristiana de Tarragona, *Pyrenae*, 9, Universidad de Barcelona, Facultad de Filosofía y Letras, Barcelona, pp. 153-164.

DEL CASTILLO, A.

1972 *Inventario de la riqueza monumental y artistica de Galicia*, Santiago de Compostela.

DEJOIE, C.; RELAIX, S.; SCIAU, P.

2005 “Les sigillées des ateliers de La Graufesenque et de Montans. Étude comparative des pâtes et engobes”, *La difusió de la Terra Sigillata Sudgàl-lica al nord d’Hispania*, Monografies, 6, Museu d’Arqueologia de Catalunya, Barcelona, pp. 9-18.

DELGADO, M.

1967 "*Terra sigillata* clara de *Conimbriga*", *Conimbriga*, VI, Coimbra, pp. 47-128.

1968 "*Terra sigillata* clara de museus do Alentejo e Algarve", *Conimbriga*, VII, Coimbra.

1975 "Un cas de sigillée tardive régionale", M. Delgado, F. Mayet, A. Moutinho De Alarção, *Fouilles de Conimbriga. IV. Les sigillées*, París, pp. 317-335.

1988 “Contribuçao para o estudo das cerâmicas romanas tardias do Médio Oriente”, *Cadernos de Arqueologia*, série II, 5, Unidade de Arqueologia da Universidade de Minho, Museu D. Diogo de Sousa, pp.35-49.

1992 “Cerâmicas romanas tardias de Mértola originárias do Médio Oriente”, *Arqueologia Medieval*, 1, Porto, pp.125-133.

DELGADO, M.; MAYET, F.; MOUTINHO DE ALARCAO, A.

1975 *Fouilles de Conimbriga, IV. Les sigillées*, Misión archéologique Française au Portugal, Musée Monographique de *Conimbriga*, París.

DESPRAT, S.; SÁNCHEZ-GOÑI, M.F.; LOUTRE, M.F.

2003 "Revealing climatic variability of the last three milennia in northwestern Iberia using pollen influx data", *Earth and Planetary Science Letters*, 213, pp. 63-78.

DIANI, M.G.

2005 “El vidre a l’època romana”, *La fragilitat en el temps. El vidre a l’antiguitat, Museu d’Arqueologia de Catalunya*, Barcelona, pp. 33-39.

DÍAZ ÁLVAREZ, P;

1984 *Ánforas romanas en el eje atlántico Galaico-Lusitano*, Vigo.

DÍAZ ÁLVAREZ, P; VÁZQUEZ VÁZQUEZ, M.

1988 *Noticia preliminar del primer horno y alfar de ánforas gallegas, San Martiño de Bueu (Pontevedra)*, Vigo.

DÍAZ GARCÍA, F.

2000a *Excavación arqueológica en área en el solar Nº7 de la Avenida Montero Ríos de Bueu (Bueu, Pontevedra),* Informe Valorativo, Santiago de Compostela.

2000b *Excavación arqueológica perimetral en el horno romano de ánforas descubierto en el solar Nº7 de la calle Montero Ríos de Bueu (Bueu, Pontevedra),* Informe Valorativo, Santiago de Compostela.

2000c *Primer tratamiento de los materiales arqueológicos recuperados en la excavación en área realizada en el solar Nº7 de la calle Montero Ríos de Bueu (Bueu, Pontevedra),* Memoria de los trabajos realizados, Santiago de Compostela.

2015 *O mundo antigo no Museo Massó e a romanización de Bueu*, Xunta de Galicia, A Coruña.

DIOGO, A.M.D.

1987 "Quadro tipológico das ánforas de fabrico lusitano", *O Arqueólogo Português*, Serie 4, 5, Lisboa, pp. 179-191.

DIOGO, A.M.D.; CAVALEIRO, A.

2001 "Ànforas de escavaçoes no povoado industral romano de Tróia, Setúbal", *Revista Portuguesa de Arqueologia* 4(1), Lisboa, pp. 117-140.

DOMÍNGUEZ FONTELA, J.

1914 "Descubrimientos arqueológicos en Santa Tecla", *Boletín de la Real Academia Gallega*, tomo 7, nº 80, A Coruña, pp.193-196.

1939 "El Castro de Tabagón", *Faro de Vigo,* 2-IV-1939, Vigo.

DOMÍNGUEZ, S.; MARTÍNEZ, E.

2003 Os segredos das árbores, Xunta de Galicia, Santiago de Compostela.

DRAGENDORFF, H.

1895 "*Terra Sigillata*", *Beitrag zur Geschichte der griechischen und römischen Keramik,* Bonn, Jahrb 96-97, pp. 18-155.

DUCHET-SUCHAUX, G.; PASTOUREAU, M.

2003 *Guía iconográfica de la Biblia y los santos*, Alizanza Ediotorial, Madrid.

EARWOOD, C.

1993 *Domestic Wooden Artefacts in Britain and Ireland from Neolithic to Viking Times*, University of Exeter Press, Exeter.

EGUILETA FRANCO, X. Mª.; XUSTO RODRÍGUEZ, M.

1995 "Prospección e escavación arqueolóxica na Baixa Límia "O encoro de Lindoso e o seu entorno" (Ourense)", *Arqueoloxía, Informes,* 3, *Campaña 1989*, Xunta de Galicia, Santiago de Compostela, pp. 107-114.

ESCRIVÀ TORRES, V.

1989 *La cerámica romana de Valentia: La terra sigillata hispánica,* Serie arqueológica municipal, 8. Ajuntament de València, València.

ESPINOSA, U.

1989 “La ciudad romana de Varea”, *Estrato,* 1, Revista riojana de arqueología, Gobierno de La Rioja (Consejería de Educación Cultura y Deportes), D. G. Cultura – Servicio de Patrimonio Histórico Artístico, Logroño, pp. 4-14.

ETTLINGER, E. (*et alii*)

1990 *Conspectus Formarum Terrae Sigillatae Italico Modo Confectae*, HEFT, 10. Dr. Rudolf Habelt GMBH, Bonn.

EUBA, I.

2005 “Vegetación y uso del combustible leñoso en la Antigüedad del País Vasco: análisis antracológico del yacimiento arqueológico romano de Aloria (Amurrio, Araba)”, *Veleia*, 22, pp. 111-120.

EUBA, I.; ALLUÉ, E.

2003 “Análisis antracológico de una acumulación de carbones en la villa romana del Moro”, *Butlletí Arqueològic*, nº25, Tarragona, pp. 89-106.

FABIAO, C.

1989 “Sobre as ânforas do acampamento romano de Lomba do Canho (Arganil)”, *Cadernos da Unidade de Arqueologia*, 1. Lisboa.

FÁBREGAS VALCARCE, R.; BONILLA RODRÍGUEZ, A.; CÉSAR VILA, M.

2007 *Monte dos Remedios (Moaña, Pontevedra), Un asentamiento de la prehistoria reciente*, Tórculo Edicións, Santiago de Compostela.

FARIÑA BUSTO, F.

1974 “Lanzada, A”, *Gran Enciclopedia Gallega*, 18, Vigo, pp. 218-221.

1974-75 “Contribución ao estudo da cerámica medieval en Galicia”, *Cuadernos de Estudios Gallegos,* XXIX, Fasc. 87-89, Santiago de Compostela, pp.51-64.

1975 “Excavación de A Lanzada (Sanxenxo-Pontevedra). Informe preliminar de la Campaña de 1974”, *El Museo de Pontevedra,* XXIX, pp. 163-173.

FARIÑA BUSTO, F.; FERNÁNDEZ BAL, Mª. L.

1989 "A “Cidade” de San Cibrán de Lás (San Amaro - Punxín, Ourense)", *Arqueoloxía, Informes,* 1, *Campaña 1987*, Xunta de Galicia, Santiago de Compostela, pp. 74-76.

FARIÑA BUSTO, F.; PEÑA SANTOS, A. DE LA; SIERRA, J. C.

1975 "Restos de una *villa* romana en Hío", *El Museo de Pontevedra,* T. XXIX, Pontevedra, pp. 175-186.

FAUCHER, V.

2002 *Les cerámiques fines du sud-ouest de la Gaule dans le nord-ouest de l'Hispanie (TSSG-TSG),* Cehtex ediciones, Serie Tesis en CD-Rom.

FERNÁNDEZ CASTRO, Mª. C.

1982 *Villas romanas en España,* Ministerio de Cultura, Dirección General de Bellas Artes, Archivos y Bibliotecas, Madrid.

FERNÁNDEZ FERNÁNDEZ, A.

2007 "Aportaciones al estudio de la terra sigillata gálica tardía del grupo atlántico de Vigo (Galicia, España)", *SFCAG*, *Actes du Congrés de Langres, Langres*, pp. 331-340.

2010 "Resultados preliminares de la T.S. Focense (LRC) aparecida en Vigo (Galiza, España)", *Rei Cretariae Romanae Fautorum*, XXVI, Bonn, pp. 375-384.

2011 *El comercio tardoantiguo (ss. IV-VII) en el noroeste peninsular a través del registro arqueológico de la Ría de Vigo*, Tesis doctoral, Universidade de Vigo, Ourense 2011.

2013 *O comercio tardoantigo no noroeste peninsular: unha análise da Gallaecia sueva e visigoda a través do rexistro arqueolóxico*, Serie Trivium, 48, Editorial Toxosoutos, Noia.

2014 *El comercio tardoantiguo (ss. IV-VII) en el Noroeste peninsular a través del registro cerámico de la ría de Vigo*, Roman and Late Antique Mediterranean Pottery, 5, Archaeopress, Oxford.

FERNÁNDEZ FERNÁNDEZ, A.; LAGO CERVIÑO, M

2007 "Dos piezas de terra sigillata de engobe ocre amarillo aparecidas en Vigo (Galicia, España)", *SFCAG*, Actes du Congrés de Langres, Langres, pp. 507-510.

FERNÁNDEZ FERNÁNDEZ, A.; PÉREZ LOSADA, F.; VIEITO COVELA, S.

2008 "Cerámica fina de importación en Toralla (Vigo): abastecimiento y consumo en una *villa* costera atlántica tardorromana", *Las villae tardorromanas en el occidente del Imperio: arquitectura y función. IV Coloquio Internacional de Arqueología en Gijón*, Trea, Gijón, pp. 575-585.

FERNÁNDEZ FERNÁNDEZ, A.; SOTO ARIAS, P.

2007 "Cerámicas finas tardorromanas orixinarias de África e de Medio Oriente atopadas na intervención da rúa Rosalía de Castro 1992 (Vigo)", *Castrelos*, 13, Vigo, pp. 26-51.

FERNÁNDEZ FERNÁNDEZ, A.; VIEITO COVELA, S.; PÉREZ LOSADA, F.

2007 "Influencias mediterráneas sobre producciones tardías regionales en el NW peninsular: la cerámica de engobe rojo de la villa de Toralla (Vigo)", LRCW 2. Late Roman Coarse Wares, cooking wares and amphorae in the Mediterranean. Archaeology and Archaeometry, Archaeopress (BAR International Series 1662), Oxford, pp. 99-108.

FERNÁNDEZ FREILE, B. E.

2015 *Vertederos del campamento de la Legio VII en León: El material cerámico,* Tesis doctoral, Universidad de Valladolid.

FERNÁNDEZ GARCÍA, Mª. I.

1984 *Breve introducción al estudio de la terra sigillata. I. Estructuras de producción y comercialización,* Centro de Estudios “Universidad y Progreso”, Córdoba.

FERNÁNDEZ GARCÍA, Mª. I. (Ed.)

1998 *Terra sigillata hispánica: estado actual de la investigación*, Universidad de Jaén, Servicio de Publicaciones, Jaén.

FERNÁNDEZ OCHOA, C. (*et al.)*

2005 “La disfusión de los talleres de La Graufesenque y Montans en el cuadrante noroccidental de *Hispania*: materiales para un *corpus* de marcas de alfarero”, *La difusió de la Terra Sigillata Sudgàl-lica al nord d’Hispania*, Monografies, 6, Museu d’Arqueologia de Catalunya, Barcelona, pp. 79-102.

FERNÁNDEZ OCHOA, C.; GARCÍA DÍAZ, P.; USCATESCU BARRÓN, A.

1992 "Gijón en el período tardoantiguo: cerámicas importadas de las excavaciones de Cimadevilla", *Archivo Español de Arqueología*, 65, Madrid, pp. 105-149.

FERNÁNDEZ OCHOA, C.; MARTÍNEZ MAGANTO, J.

1994 "Las industrias de salazón en el Norte de la Península Ibérica en Época Romana. Nuevas aportaciones", *Archivo Español de Arqueología,* 67, Nºs. 169-170, CSIC, Madrid, pp. 115-134.

FERNÁNDEZ OCHOA, C.; MORILLO CERDÁN, A.

1994 "La ruta marítima del cantábrico en la época romana", *Zephyrus, Revista de prehistoria y arqueología*, 46, Universidad de Salamanca, Salamanca, pp. 225-232.

FERNÁNDEZ PÉREZ, Mª. I; MARTÍNEZ PÉREZ, J. R.

1994 “Marcas de alfarero en *terra sigillata*”, *Revista de Arqueología,* Año XV, Nº 163, pp. 22-29.

FERNÁNDEZ PINTOS, Mª. P.

2001 "As relacións marítimas en época romana: a cerámica do fondo da Ría de Arousa como exemplo", *Galicia Mare Nostrum: a importancia do mar en Galicia*, VIII Semana Galega de Historia, Asociación Galega de Historiadores, Santiago de Compostela, pp. 11-25.

FERNÁNDEZ RODRÍGUEZ, C.

2001 "Presencia humana en cuevas de Valdeorras: El registro arqueológico", *Valdeorras da Prehistroia ó século XXI, VII Semana de Historia*, Instituto de Estudios Valdeorrenses, Cuaderno Monográfico, 33, O Barco Ourense, pp. 7-72.

FERNÁNDEZ RODRÍGUEZ, C.; LÓPEZ PÉREZ, Mª. C.

2003 “Análisis de un conjunto de materiales arqueológicos procedentes del Castro de La Ventosa (El Bierzo-León)”, *Actas de las Jornadas sobre Castro Ventosa*, Patronato del Patrimonio Cultura de Cacabelos, Cacabelos (León), pp. 49-62.

FERNÁNDEZ RODRÍGUEZ, M.

1955 "Excavaciones en la Citania de Santa Tecla en los años 1952-1954", *El Museo de Pontevedra,* T. X, Pontevedra, pp. 19-30.

1962 "Una necrópolis de tipo romano en Currás (Pontevedra)", *Homenaje al profesor Cayetano de Mergelina*, Universidad de Murcia, Facultad de Filosofía y Letras, Comisión organizadora del homenjae al Profesor Dr. Mergelina, Valencia, pp. 329-331.

FERREIRA DE ALMEIDA, C. A.

1992 "Arqueoloxia tardorromana e germánica no NW peninsular", *Galicia: Da Romanidade á Xermanización (Problemas históricos e culturais),* Actas do encontro científico en homenaxe a Fermín Bouza Brey (1901-1973), Museo do Pobo Galego, Sección de Prehistoria e Arqueoloxía (Instituto de Estudios Galegos P. Sarmiento), Departamento de Historia 1 (Universidade de Santiago de Compostela), Santiago de Compostela, pp. 191-200.

FERRER SIERRA, S.

2001 "Forno cerámico romano en Trasmiras (Ourense)", *Lethes*, 3, Centro Cultural Popular do Limia, Xinzo de Limia, pp. 77-83.

FIGUEIRAL, I.

1996 “Wood resources in north-west Portugal: their availability and use from the late Bronze Age to the Roman period”, *Vegetation History and Archaeobotany*, 5, Springer Verlag, pp. 121-129.

FIGUEIRAL, I.; CARCAILLET, Ch.

2005 "A review of Late Pleistocene and Holocene biogeography of highland Mediterranean pines (Pinus type sylvestris) in Portugal, based on wood charcoal", *Quaternary Science Reviews*, pp. 2466-2476.

FILGUEIRA VALVERDE, J.

1944 “Como fueron halladas las aras de Cuntis”, *E.M.D.P.,* III, pp. 230-234.

FILGUEIRA VALVERDE, J.; DOR’S, A.

1955 *Inscripciones Romanas de Galicia, III. Provincia de Pontevedra*, Santiago de Compostela.

FILGUEIRA VALVERDE, J.; FARIÑA BUSTO, F.

1974 "Plan Nacional de excavaciones 1973, A Lanzada (Sangenjo, Pontevedra)", *El Museo de Pontevedra,* XXVIII, Pontevedra, pp. 83-86.

1975 "Excavaciones de A Lanzada (Sanxenxo, Pontevedra), Informe preliminar de la campaña de 1974", *El Museo de Pontevedra,* T. XXIX, Pontevedra, pp. 163-173.

FILGUEIRA VALVERDE, J.; GARCÍA ALÉN, A.

1956 "Materiales para la Carta Arqueológica de la provincia de Pontevedra", *El Museo de Pontevedra*, Pontevedra, pp. 19-198.

1959 "Adiciones a la Carta Arqueológica de la provincia de Pontevedra", *El Museo de Pontevedra*, XIII, Pontevedra, pp. 19-97.

FILGUEIRAS REY, A

2000 *Prospección arqueolóxica, documentación e delimitación planimétrica da vila de Caldas de Reis, Pontevedra*, Memoria inédita depositada no Servizo de Arqueología da Xunta de Galicia, Santiago de Compostela.

FOY, D.

1995 "Le verre de la fin du IVe au VIIIe siècle en France méditerranéenne, premier essai de typo-chronologie", *Le Verre de L'Antiquite Tardive et du Haut Moyen Age. Tipologie – Cronologie - Difusion*, Guiry-en-vexin, Association Française pour l'Archéologie du Verre.

FOY, D.; NENNA, M.-D.,

2001 *Tout feu tout sable. Mille ans de verre antique dans le Midi de la France*, Aix-en-Provence, Musées de Marseille/Éditions Édisud.

FOY, D., *et alli*

2003 "Caractérisation des verres de la fin de l'Antiquité en Mediterranée occidentale: l'émergence de nouveaux courants commerciaux", *Échanges et commerce du verre dans le monde antique. Actes du coloque de l'Association Française pour l'Archéologie du Verre.* Montagnac, Éditions Monique Mergoil, pp. 41-86.

GALE, R.; CUTLER, D.

2000 *Plants in Archeology. Identification Manual of Vegetative Plant Material used in Europe and the Southern Mediterranean to c.1500*, Westbury and Royal Botanic Gardens, Kew.

GANDOLFI, D.

2005 *La ceramica e i materiali di età romana: classi, produzioni, commerci e consumi*, Istituto Internazionale di Studi Liguri, Bordighera.

GARABITO GÓMEZ, T.

1978 *Los alfares romanos riojanos: producción y comercialización,* Bibliotheca Praehistorica Hispana, XVI, C.S.I.C., Madrid.

GARABITO GÓMEZ, T.; AMARÉ, Mª. T.; SOLOVERA SAN JUAN, M. E.

1993 "La producción de Lucernas en Tricio", *Estrato,* 5, Revista riojana de arqueología, Gobierno de La Rioja (Consejería de Cultura, Deportes y Juventud), Servicio de Patrimonio Histórico Artístico, Logroño, pp. 35-40.

GARABITO GÓMEZ, T.; SOLOVERA SAN JUAN, M. E.

1991 "*Tritivm Magallvm*: centro productor de cerámica común romana", *Estrato,* 3, Revista riojana de arqueología, Gobierno de La Rioja (Consejería de Cultura, Deportes y Juventud), D. G. Cultura – Servicio de Patrimonio Histórico Artístico, Logroño, pp. 12-15.

1992 “Las firmas de los fabricantes de moldes en *Tritivm Magallvm*”, *Estrato,* 4, Revista riojana de arqueología, Gobierno de La Rioja (Consejería de Cultura, Deportes y Juventud), Servicio de Patrimonio Histórico Artístico, Logroño, pp. 9-16.

GARABITO GÓMEZ, T.; SOLOVERA SAN JUAN, E.; PRADALES CIPRÉS, D.

1985 "Los alfares romanos riojanos y la comercialización de sus productos en la región de Galicia", *El Museo de Pontevedra*, XXXIX, Pontevedra, pp. 165-195.

GARCÍA ALÉN, A.

-1973c "Carta al Sr. D José Ramón Domínguez Sobral", *Patronato del Museo de Pontevedra, 25 de enero de 1973*, Pontevedra.

GARCÍA ALÉN, A. (Dir.)

1973a "Yacimiento de "Porta de Arcos" (Rodeiro, Pontevedra), *Villa* Romana", *El Museo de Pontevedra*, XXVII, Pontevedra, pp. 65-68.

1973b "Excavaciones en Santa María de Caldas, 1972", *El Museo de Pontevedra,* XXVII, Pontevedra, pp. 69-71.

GARCÍA ALÉN, L.

-1983*La alfarería de Galicia*, Fundación Pedro Barrié de la Maza, A Coruña.

GARCÍA, L.; GUINDEO, A.; PERAZA, C.; DE PALACIOS, P.

2003 *La madera y su anatomía. Anomalías y defectos, estructura microscópica de coníferas y frondosas, identificación de maderas, descripción de especies y pared celular*, Fundación Conde del Valle de Salazar, Madrid.

GARCÍA MERINO, C.

1995 *Uxama I, Campañas de 1976 y 1978,* Excavaciones Arqueológicas en España, 170, Ministerio de Cultura, Dirección General de Bellas Artes y Archivos, Subdirección General de Arqueología y Etnografía, Madrid.

GARCÍA PEREIRA MAIA, M.

1974-77 “*Sigillata* Clara com decoraçao aplicada de Tróia, Setúbal”, *O Arqueólogo Português,* Série III, Vols. VII-IX, Lisboa, pp. 365-381.

GARCÍA ROMERO, C.

1916 "Cuntis. Memorias Romanas" *B.R.A.G.*, IX, Coruña, pp. 273-278.

1917 "Memorias Romanas de Cuntis" *B.R.A.G.*, X, Coruña, pp. 289.

1922 "Cuntis. Memorias Romanas" *B.R.A.G.*, XII, Coruña, pp. 174-180.

1926 “La inscripción de la iglesia de Cuntis”, *B.R.A.G.,* 179, Coruña.

GARCÍA ROZAS, R.

1999 *Guía del Museo de Zamora,* Junta de Castilla y León, Consejería de Educación y Cultura, Zamora.

GEEL, B. VAN

2003 "Non pollen palynomorphs In Smol", *Tracking environmental change using lake sediments, Terrestrial, algal and siliceous indicators*, vol 3, Kluwer Academic, Dordrecht, pp. 99-120.

GEEL, B.; VAN, COOPE, G.R.; HAMMEN, VAN DER, T.

1989 "Palaeoecology and stratigraphy of the Lateglacial type section at Usselo (The Netherlands)", *Review of Paleobotany and Palynology*, 60, pp. 25 129.

GIL ZUBILLAGA, L.

1999 "Poblamiento romano y medieval en la Sonsierra de La Rioja: prospecciones y catas arqueológicas (1997-1998)", *Estrato,* 10, Revista riojana de arqueología, Gobierno de La Rioja (Consejería de Educación, Cultura, Juventud y Deportes), Servicio de Patrimonio Histórico Artístico, Logroño, pp. 73-79.

GOUDINEAU, CH.

1968 *La céramique arétine lisse*, Fouilles de l´Ecole française de Rome à Bolsena (Poggio Moscini), 1962-1967, IV, Suppléments aux Mélanges d´archeologie et d´histoire, 6, París.

GONZÁLEZ BLANCO, A. (*et al.*)

1989 "El alfar romano de La Maja (Pradejón-Calhorra)", *Estrato,* 1, Revista riojana de arqueología, Gobierno de La Rioja (Consejería de Educación Cultura y Deportes), D. G. Cultura – Servicio de Patrimonio Histórico Artístico, Logroño, pp. 50-55.

1996 "El alfar romano de "La Maja": Dimensiones insospechadas (Campaña de julio de 1995)", *Estrato,* 7, Revista riojana de arqueología, Gobierno de La Rioja (Consejería de Educación, Cultura, Juventud y Deportes), Servicio de Patrimonio Histórico Artístico, Logroño, pp. 49-64.

1997 "Pradejón-Calahorra. El alfar romano de La Maja. Informe de la campaña de 1996. Prosigue la reconstrucción de la oficina de G. Valerio Verdullo", *Estrato,* 8, Revista riojana de arqueología, Gobierno de La Rioja (Consejería de Educación, Cultura, Juventud y Deportes), Servicio de Patrimonio Histórico Artístico, Logroño, pp. 23-33.

1998 "Breve síntesis sobre la clasificación tipológica de la cerámica común y engobada del alfar romano de La Maja (Calahorra-Pradejón, La Rioja)", *Estrato,* 9, Revista riojana de arqueología, Gobierno de La Rioja (Consejería de Educación, Cultura, Juventud y Deportes), Servicio de Patrimonio Histórico Artístico, Logroño, pp. 16-23.

1999 "La Maja 1998: El yacimiento comienza a dejar ver su estratigrafía, a la vez que se van circunscribiendo sus estructuras de producción", *Estrato,* 10, Revista riojana de arqueología, Gobierno de La Rioja (Consejería de Educación, Cultura, Juventud y Deportes), Servicio de Patrimonio Histórico Artístico, Logroño, pp. 37-43.

2000 "La Maja 1999: Nuevas aportaciones a la estratigrafía y periodización del alfar, e indicios de la fabricación del vidrio", *Estrato,* 11, Revista riojana de arqueología,

Gobierno de La Rioja (Consejería de Educación, Cultura, Juventud y Deportes), Servicio de Patrimonio Histórico Artístico, Logroño, pp. 28-40.

GONZÁLEZ BLANCO, A.; AMANTE SÁNCHEZ, M.

1992 “El alfar romano de La Maja (Pradejón, Calahorra-La Rioja) y su importancia para la epigrafía romana calagurritana”, *Estrato,* 4, Revista riojana de arqueología, Gobierno de La Rioja (Consejería de Cultura, Deportes y Juventud), Servicio de Patrimonio Histórico Artístico, Logroño, pp. 47-54.

1993 “Nuevos hornos y nuevos problemas en el Alfar de La Maja (VII Campaña de Excavaciones. Septiembre de 1993)”, *Estrato,* 5, Revista riojana de arqueología, Gobierno de La Rioja (Consejería de Cultura, Deportes y Juventud), Servicio de Patrimonio Histórico Artístico, Logroño, pp. 41-47.

GONZÁLEZ BLANCO, A.; AMANTE SÁNCHEZ, M.; HERNÁNDEZ, Mª. C.

1991 “El alfar de La Maja (Calahorra, La Rioja) y las perspectivas arqueológicas de las nuevas tecnologías (V Campaña de excavaciones, Agosto 1991)”, *Estrato,* 3, Revista riojana de arqueología, Gobierno de La Rioja (Consejería de Cultura, Deportes y Juventud), D. G. Cultura – Servicio de Patrimonio Histórico Artístico, Logroño, pp. 45-53.

GONZÁLEZ FERNÁNDEZ, E.

1995 "Escavación arqueolóxica de urxencia na rúa San Roque, Nº 31-33 (Lugo)", *Arqueoloxía, Informes,* 3, *Campaña 1989*, Xunta de Galicia, Santiago de Compostela, pp. 149-151.

2005 *Domus Oceani.* Aproximación á arquitectura doméstica de *Lucus Augusti*, Traballos de Arqueoloxía, 2, Concello de Lugo, Lugo.

GONZÁLEZ FERNÁNDEZ, X. M.

1987 "Las tumbas romanas de Galicia", *Pontevedra Arqueológica*, II, Grupo de Arqueología "Alfredo García Alén", Pontevedra, pp. 209-228.

GONZÁLEZ RUIBAL, A.

2003 *Arqueología del Primer Milenio en el Noroeste de la Península Ibérica,* Tesis doctoral, Universidad Complutense de Madrid, Facultad de Geografía e Historia, Departamento de Prehistoria, Madrid.

-2006-07 *Galaicos. Poder y comunidad en el Noroeste de la Península Ibérica (1200 a.C.-50 d.C)*, *Brigantium*, 18-19, Boletín do Museo Arqueolóxico e Histórico da Coruña, Museo Arqueolóxico e Histórico de San Antón, A Coruña.

GONZÁLEZ RUIBAL, A.; RODRÍGUEZ MARTÍNEZ, R.; ABOAL FERNÁNDEZ, R.; CASTRO HIERRO, V.

2007 "Comercio Mediterráneo en el Castro de Montealgre (Pontevedra, Galicia). Siglo II A.C..-inicios del siglo I D.C.”, *Archivo Español de Arqueología*, 80, CSIC, Madrid, pp. 43-74.

GONZÁLEZ VILLAESCUSA, R.

1990 *El vertedero de la Avenida de España, 3 y el siglo III D. de C. en Ebusus*, Eivissa.

GOODBURN, D.

1995 "Beyond the Post-hole: Notes on Stratigraphy and Timber Buildings from a London Perspective", *Interpreting Stratigraphy*, 5, pp. 43-52.

GORGES, J.-G.

1979 *Les villas hispano-romaines: Inventaire et problématique archéologiques*, Publication du Centre Pierre Paris, E.R.A. 522, Difusión E. De Boccard, Paris.

GOUDINEAU, C.

1968 *La ceramique aretine lisse,* Ecole Française de Rome. Melanges D'Archeologie et D'Histoire, Suppléments, 6, Fouilles de L'Ecole Française de Rome a Bolsena (Poggio Moscini) 1962-1967, Tome IV.

GROBA, F.

2006 *Vocabulario galego-castelán de carpintaría de madeira*, Universidade de Vigo, Vigo.

GURT I ESPARRAGUERA, J.M; BUXEDA I GARRIGÓS, J; CAU ONTIVEROS, M.A. (Eds.)

2005 *LRCW I: late Roman coarse wares, cooking wares and amphoras in the Mediterranean: arqueology and archaemetry*, BAR International Series, 1340, Oxford.

HAAS, J.N.

2002 "6000 years of tree pollarding and leaf-hay foddering of livestock in the Alpine Area", *Austrian Journal of Forest Science*, 119, Heft 3/4, Viena, pp. 231-240.

HARRIS, E. C.

1991 *Principios de estratigrafía arqueológica,* Barcelona.

HASTORF, Ch.

1999 "Recent Research in Paleoethnobotany", *Journal of Archaeological Research*, vol.7, nº 1, pp. 55-103.

HATHER, J.G.

2000 *The Identification of the Northern European Woods. A guide for archaeologists and conservators*, Archetype Publications, London, 187.

HAYES, J.W.

1972 *Late Roman Pottery*, The British School at Rome, London.

1980 *A suplement to Late Roman Pottery*, London.

HEINRICH, I.; GÄRTNER, H.

2008 "Variations in tension wood of two broad-leaved tree species in response to different mechanical treatments: implications for dendrochronology and mass movement

studies", *International Journal of Plant Science*, 169 (7), University of Chicago, Chicago, pp. 928-936.

HERMET, F.

1934 *La Graufesenque (Condatomago) I, Les vases sigillées*. París.

HERNÁNDEZ ANDREU, J. (Coord.).

1996 *Historia monetaria y financiera de España*, Síntesis Economía, Madrid.

HEVIA GONZÁLEZ, S.; MONTES LÓPEZ, R.

2009 "Cerámica Romana Altoimperial de fabricación regional del Chao de Samartín (Grandas de Salime, Asturias)", *Cuadernos de Prehistoria y Arqueología de la Universidad Autónoma de Madrid*, 35, Universidad Autónoma de Madrid, Madrid, pp. 27-190.

HIDALGO CUÑARRO, J. M.

1981 *El Castro de Vigo, Noticia preliminar de las excavaciones de 1981*, Publicaciones del Museo Municipal Quiñones de León, 5, Vigo.

1983 *Excavaciones arqueológicas en el Castro de Vigo*, Publicaciones del Museo Municipal "Quiñones de León", 6, Vigo.

1985a *Castro de Vigo, Campaña 1983,* Arqueoloxía. Memorias, 1, Xunta de Galicia, Santiago de Compostela.

1985b *Castro de Troña, Campaña 1983,* Arqueoloxía, Memorias, 3, Xunta de Galicia, Santiago de Compostela.

1987 "Castro de Vigo, Campaña de excavaciones 1987", *El Museo de Pontevedra*, XLII, Pontevedra, pp.145-156.

1989 "Castro de Vigo (Vigo, Pontevedra)", *Arqueoloxía, Informes,* 1, *Campaña 1987*, Xunta de Galicia, Santiago de Compostela, pp. 46-48.

1991 "Castro de Vigo (Vigo, Pontevedra)", *Arqueoloxía, Informes,* 2, *Campaña 1988*, Xunta de Galicia, Santiago de Compostela, pp. 47-49.

1992a *Informe preliminar sobre la excavación arqueológica de urgencia en la "Villa Romana de Toralla" (Vigo)*, Vigo.

1992b "Nuevas aportaciones sobre el Vigo romano", *Galicia: Da Romanidade á Xermanización (Problemas históricos e culturais),* Actas do encontro científico en homenaxe a Fermín Bouza Brey (1901-1973), Museo do Pobo Galego, Sección de Prehistoria e Arqueoloxía (Instituto de Estudios Galegos P. Sarmiento), Departamento de Historia 1 (Universidade de Santiago de Compostela), Santiago de Compostela, pp. 227-240.

1995 "Escavación arqueolóxica no Castro de Troña (Ponteareas, Pontevedra)", *Arqueoloxía, Informes,* 3, *Campaña 1989*, Xunta de Galicia, Santiago de Compostela, pp. 35-38.

1996 "Apuntes en torno a la economía en la Galicia romana", *Boletín del Instituto de estudios vigueses,* Año II, Nº 2, pp. 101-106.

2007 "Yacimientos arqueológicos romanos de Panxón", *Val Miñor arqueológico-etnográfico*, 31-07-07, Publicación virtual: http:valminorarqueologico-etnografico.blogspot.com

HIDALGO CUÑARRO, J. M.; COSTAS GOBERNA, F. J.

1979 "El castro “A Cidade” de Caneiro, Fozara (Ponteareas)", *El Museo de Pontevedra,* XXXIII, Pontevedra, pp. 153-228.

1982 "La *villa* romana de Toralla", *El Museo de Pontevedra,* XXXVI, Pontevedra, pp. 349-364.

HIDALGO CUÑARRO, J. M.; VIÑAS CUÉ, R.

1998 "El Vigo romano y su problemática", *Los orígenes de la ciudad en el Noroeste Hispánico, Actas del Congreso Internacional,* Lugo, pp. 807-838.

1992-93 "Nuevas cerámicas romanas de importación del Castro de Vigo", *Castrelos* 5-6, Vigo, pp. 41-70.

1994-95 "Cerámicas indígenas y romanas finas del Castro de Vigo (Campaña de 1988)", *Castrelos* 7-8, Vigo, pp. 97-116.

HUNOT, J.Y.

2000 “Les restes de bois carbonisés provenant de constructions médiévales angevines”, *Mémoire complémentaire*, Université de Rennes, 2, DEA ART, Rennes.

IGLESIAS DARRIBA, M.J.

2007 Informe de Valoración Fase II. Evaluación Patrimonial de la Unidad de Actuación I-06 Rosalía de Castro-II, Vigo (Pontevedra).

JÁRREGA DOMÍNGUEZ, R.

1991 *Cerámicas finas tardorromanas y del Mediterráneo Oriental en España. Estado de la cuestión.* Anejos del Archivo Español de Arqueología, XI, CSIC, Madrid.

JEREZ LINDE, J.M.

2005 *La terra sigillata itálica del Museo Nacional de Arte Romano de Mérida*, Cuadernos Emeritenses, 29, Museo Nacional de Arte Romano, Asociación de Amigos del Museo, Fundación de Estudios Romanos, Mérida.

JOVER, A.; AGUER, C.

2004 “Tractaments de conservació i restauració dels objectes de fusta dels pous romans de Guissona”, *Iesso I : miscel·lània arqueològica*, Institut d'Estudis Catalans Guissona, Patronat d'Arqueologia, Barcelona, pp. 279-281.

JUAN TOVAR, L.C.

1984 “Los alfares de cerámica *sigillata* en la Península Ibérica”, *Revista de Arqueología,* Año V, Nº 44, pp. 32-45.

1985 “Los alfares de cerámica *sigillata* en la Península Ibérica (y II)”, *Revista de Arqueología,* Año VI, Nº 45, pp. 33-45.

1988 "Mezquíriz, M. A.: “Terra sigillta Hispánica” en Atlante delle forme ceramiche, II, ceramique fine romana nel bacino Mediterraneo (Tardo ellenismo e primo impero). Enciclopedia dell’Arte Antica Classica e Orientale, Roma, 1985", *Boletín del Museo Arqueológico Nacional*, Tomo VI, nºs 1 y 2, Madrid, pp.: 93-95.

1997 "Las industrias cerámicas hispanas en el Bajo Imperio. Hacia una sistematización de la Sigillata Hispánica Tardía", *La Hispania de Teodosio*, 2, Salamanca, pp. 543-568.

2000 "La terra sigillata de Quintanilla de la Cueza", *La villa romana de Quintanilla de la Cueza (Palencia). Memoria de las excavaciones 1970-1981*, Palencia, pp. 45-122.

JUEGA PUIG, J.; PEÑA SANTOS, A. DE LA

1998 “Los fundadores míticos de las villas gallegas”, *Los orígenes de la ciudad en el Noroeste Hispánico, Actas del Congreso Internacional,* Lugo, pp. 683-692.

JUEGA PUIG, J.; PEÑA SANTOS, A. DE LA; SOTELO RESURRECCIÓN, E.

1995 *Pontevedra, villa amurallada*, Diputación Provinicial, Pontevedra.

KEAY. S.S.

1984 *Late Roman Amphorae in the Western Mediterranean. A tipology and economic study: the Catalán evidence*, B.A.R. International Series 196 (2 vols), Oxford.

KAENNEL, M.; SCHWEINGRUBER, FH.

1995 “Multilingual glossary of dendrochronology", *Charcoal analysis and dendrology: data from archaeological sites in north-western France*, *Journal of Archaeological Science*, 34, London, pp. 1417-1433.

KNORR, R.

1919 *Töpfer und Fabriken verzierter Terra sigillata des ersten Jahrhunderts*, Stuttgart.

1952 *Terra sigillata Gefäse des ersten Jahrhunderts mit Töpfernamen*, Stuttgart.

LAGÓSTENA BARRIOS, F.

1996 “Explotación del salazón en la Bahía de Cádiz en la Antigüedad: Aportación al conocimiento de su evolución a través de la producción de ánforas Mañá C”. *Florentia Iliberritana* 7, 141-169.

LASER, R.

1998 *Terra sigillata-funde aus den Östlichen Bundesländern,* Römisch-Germanische Kommission Des Deutschen Archäologischen Instituts zu Frankfurt A.M. Materialien zur Römisch-Germanischen Keramik, HEFT 13, Dr Rudolf Habelt GMBH/Bonn.

LAUBENHEIMER, F.

1985 *La producción de amphores en Gaule Narbonnaise*, Centre des Recherches d’Histoire Ancienne, vol 66, París.

1991 *Les amphores de Bibracte. Le materiel des fouilles anciennes*, DAF, 29, Miason des Sciences de l’ Homme, París.

LIEBERMANN PAIVA DE ANDRADE, E.; NEVES PAIVA DE ANDRADE, L. A.

1974-77 “A estaçao romana da Señora do Pilar (Algoz)”, *O Arqueólogo Português,* Série III, Vols. VII-IX, Lisboa, pp. 407-415.

LLANOS, A.; VEGAS, J. I.

1974 “Ensayo de un método para el estudio y clasificación tipológica de la cerámica”, *Estudios de Arqueología Alavesa*, T. VI. Vitoria, pp. 265-313.

LOESCHCKE, S.

1909 "Keramische Funde in Haltern", *Westfalen*, 5, Bonn, pp. 101-190.

1942 "Dia Römische und die Belgische Keramik", *Das Römerlager in Oberaden*, Heft, 2, Dortmund.

LÓPEZ FERREIRO, A.

1898 *Historia de la Santa A.M. Iglesia de Santiago de Compostela, I,* Santiago de Compostela.

LÓPEZ GARCÍA, J.

1927 *La Citania de Sta. Tecla o una Ciudad Prehistórica desenterrada: apuntes arqueológicos,* A Guarda.

LÓPEZ GARCÍA, J. C.

2003a *Necrópole de Taboada (GA36052010), Silleda, (Pontevedra),* Ficha de Inventario de Xacementos Arqueológicos depositada na Dirección Xeral de Patrimonio Cultural, Xunta de Galicia, Santiago de Compostela.

2003b *Castro de Taboada (GA36052046), Silleda, (Pontevedra),* Ficha de Inventario de Xacementos Arqueológicos depositada na Dirección Xeral de Patrimonio Cultural, Xunta de Galicia, Santiago de Compostela.

LÓPEZ PEREIRA, J. E.

1989 *O primeiro espertar cultural de Galicia*, Biblioteca de Divulgación, 1, Universidade de Santiago de Compostela, Servicio de Publicacións, Santiago de Compostela.

LÓPEZ PÉREZ, Mª. C.

1997 *Modelo de fichas de registro para terra sigillata.*

2001 *Terra Sigillata en la Provincia de A Coruña,* Tesis de Licenciatura en CD-ROM, Universidade de Santiago de Compostela, Santiago de Compostela.

2004 *El comercio de la Terra Sigillata en la Provincia de A Coruña*, *Brigantium*, 16, Boletín do Museo Arqueolóxico e Histórico da Coruña, Museo Arqueolóxico e Histórico de San Antón, A Coruña.

2005 “Galicia y los contactos comerciales con el sur de la Galia: la *terra sigillata* sudgálica”, *La difusió de la Terra Sigillata Sudgàl-lica al nord d’Hispania*, Monografies, 6, Museu d’Arqueologia de Catalunya, Barcelona, pp. 63-78.

2008 “Brigantium como centro de consumo de Terra sigillata”, *1 Congreso Internacional de Arqueoloxía de Vilalba*, *Férvedes*, 5, pp. 397-403.

2010 “Reflexiones sobre la época Flavia en *Brigantium* a partir de los datos proporcionados por la Terra Sigillata”, *Cuadernos de Prehistoria y Arqueología*, Universidad Autónoma de Madrid, 36, pp. 95-106.

LÓPEZ PÉREZ, Mª. C., ÁLVAREZ GONZÁLEZ, Y.; LÓPEZ GONZÁLEZ, L.F.

1999 “Evidencias materiales de la actividad comercial romana en Iria Flavia (Padrón, A Coruña): las sigillatas”, *Gallaecia*, 18, Sada, pp. 239-264.

LÓPEZ PÉREZ, Mª. C.; CARREÑO GASCÓN, C.; CÉSAR VILA, M.

2012 “Contextos altoimperiales en Lucus Augusti: ejemplos proporcionados por las intervenciones en Santo Domingo y Recatelo”, En prensa.

LÓPEZ PÉREZ, Mª. C., CÉSAR VILA, M.

2010 "La importación de Terra Sigillata durante la etapa tardorromana en la fachada atlántica del Noroeste peninsular", *Metodología de Análisis Aplicada a los Estudios de Cerámica Tardoantigua y Medieval de la Península Ibérica, Jornada internacional sobre metodología de análisis aplicada a los estudios de cerámica tardoantigua y medieval de la Península Ibérica*. Univerdidad de León, Instituto de Estudios Medievales, Lobo Sapiens, León, pp. 41-52.

LÓPEZ PÉREZ, Mª. C.; CÉSAR VILA, M.; CARREÑO GASCÓN, C.

2011 “Las producciones de TSHT en el área galaica: difusión, tipología y decoración”, *La terra sigillata hispánica tardía y sus contextos: estado de la* cuestión, Madrid, en prensa.

LÓPEZ PÉREZ, Mª. C.; TOMÁS BOTELLA, V.

2010 “La vajilla fina de mesa de época romana en los solares nº 10-12 de la calle Tabernas (A Coruña)”, *Gallaecia*, 29, Santiago de Compostela, pp. 173-190.

LÓPEZ PÉREZ, Mª. C.; VÁZQUEZ COLLAZO, S.

2007 "La mesa y la *villa* romana de O Cantón Grande (A Coruña): aproximación al yacimiento a través de la *terra* sigillata”, *Gallaecia*, 26, Sada, A Coruña, pp. 85-108.

LÓPEZ RODRIGUEZ, J.R.

1985 *Terra sigillata hispánica tardía decorada a molde de la península ibérica*. Universidad de Valladolid, Universidad de Salamanca, Junta de castilla y León, Salamanca.

LÓPEZ RODRÍGUEZ, J. R. Y REGUERAS GRANDE, F.

1987 "Cerámicas tardorromanas de Villanueva de Azoague (Zamora)", *Boletín del Seminario de Estudios de Arte y Arqueología*, LIII, Valladolid, pp.: 115-165.

1990 "Sigillatas en relieve y estampadas de Villanueva de Azoague (Zamora)," *Primer Congreso de Historia de Zamora. Prehistoria e Historia Antigua*, II, Zamora, pp. 623-628.

LOSADA DIÉGUEZ, A.; LÓPEZ CUEVILLAS, F.; FILGUEIRA VALVERDE, J.

1955 "Informe sobre el Castro de Vigo", *El Museo de Pontevedra*, T. IX, Pontevedra, pp. 46-54.

LUACES ANCA, J.F.; TOSCANO NOVELLA, Mª.C.

1987 "Prospección subacuática de las Rías de Pontevedra y Vigo, 1987", *El Museo de Pontevedra*, XLI, Pontevedra, pp.157-163.

1989 "Prospección subacuática da Ría de Vigo (Vigo, Pontevedra)", *Arqueoloxía, Informes,* 1, *Campaña 1987*, Xunta de Galicia, Santiago de Compostela, pp. 122-127.

1991a "Prospección subacuática da Illa de Cortegada (Vilagarcía de Arousa, Pontevedra)", *Arqueoloxía, Informes,* 2, *Campaña 1988*, Xunta de Galicia, Santiago de Compostela, pp.259-262.

1991b "Estudio de material aparecido na supervisión arqueolóxica do patio sur do Pazo de San Marcos, sé da Deputación Provinicial de Lugo", *Arqueoloxía, Informes,* 2, *Campaña 1988*, Xunta de Galicia, Santiago de Compostela, pp.323-326.

LUEZAS PASCUAL, R. A.

1999 “Calahorra. Supervisiones arqueológicas en el Casco Antiguo”, *Estrato,* 10, Revista riojana de arqueología, Gobierno de La Rioja (Consejería de Educación, Cultura, Juventud y Deportes), Servicio de Patrimonio Histórico Artístico, Logroño, pp. 22-27.

2000 “Calahorra. Supervisiones arqueológicas en al Casco Antiguo”, *Estrato,* 11, Revista riojana de arqueología, Gobierno de La Rioja (Consejería de Educación, Cultura, Juventud y Deportes), Servicio de Patrimonio Histórico Artístico, Logroño, pp. 55-59.

LUEZAS PASCUAL, R. A.; BERMÚDEZ, A; JUAN TOVAR, L. C.

1992 “El alfar romano de “La Maja” (Calahorra) Horno II. Campaña 1989: materiales cerámicos”, *Estrato,* 4, Revista riojana de arqueología, Gobierno de La Rioja (Consejería de Cultura, Deportes y Juventud), Servicio de Patrimonio Histórico Artístico, Logroño, pp. 29-34.

LUEZAS PASCUAL, R. A.; SÁENZ PRECIADO, Mª. P.

1989 *La cerámica romana de Varea,* Ayuntamiento de Logroño, Instituto de Estudios Riojanos, 4, Logroño.

MACÍAS SOLÉ, J. M.

1999 *La ceràmica comuna tardoantiga a Tàrraco. Anàlisi tipològica i històrica (segles V-VII)*, TULCIS, Monografías Tarraconenses, Tarragona.

MAÑANES, T.

1973 *Estudios de cerámica Romana IV*, Studia Archeologica, 21, Valladolid, Departamento de Prehistoria y Arqueología.

MARCHESINI, M.; AROBBA, D.

2003 “Analisi di legni e carboni nei siti archeologici”, *Manuale di archeobotanica.Metodiche di recupero i studio*, Milano, pp. 115-146.

MARGUERIE, D.

1995 “L’etat du milieu forestier durant la Protohistoire et l’Antiquité en Bretagne l’apport de l’anthracologie”, *L’arbre et la foret, le bois dans l’Antiquitè, Diffusion de Bocard*, Paris, pp. 27-33.

MARGUERIE, D.; HUNOT, J.Y.

2007 "Charcoal analysis and dendrology: data from archaeological sites in north-western France", *Journal of Archaeological Science,* 34, London.

MÁRQUEZ VILLORA, J.C.

1999 *El comercio romano en el Portus Ilicitanus: el abastecimiento exterior de productos alimentarios (ss. I a.C – V d.C),* Universidad de Alicante. Alicante.

MARTÍN ÁVILA, G.

1965 "Notas preliminares sobre la *Terra sigillata* clara de *Pollentia* (Mallorca)", *Rei Cretariae Romanae Fautorum Acta*, VII, Tongres et Munich, pp. 71-73.

1966 "*Terra sigillata* clara estampada con ruedecilla", *X Congreso Arqueológico Nacional*, Zaragoza, pp. 358-366.

1968 "Comercio y producción de cerámicas finas en época imperial (ss. I-V d.C.)", *Papeles del Laboratorio de Arqueología de Valencia*, 5, Valencia, pp. 107-137.

1969 "Consideraciones sobre la *Terra sigillata* hispánica, mauritana y la *sigillata* clara en Marruecos", *Papeles del Laboratorio de Arqueología de Valencia*, 6, Valencia, pp. 151-179.

1983 "*Terra sigillata* clara de *Pollentia*", *Pollentia. Estudio de materiales, I. Sa Portella, excavaciones 1957-1963*. Palma de Mallorca, pp. 167-240.

MARTIN, T.

2005 “Periplo aquitain, commerce transpyrénéen et difusión atlantique des céramiques sigillées de Montans en direction des marchés du nord et du nord-ouest de la péninsule ibérique”, *La difusió de la Terra Sigillata Sudgàl-lica al nord d’Hispania*, Monografies, 6, Museu d’Arqueologia de Catalunya Museu d’Arqueologia de Catalunya, Barcelona, pp. 21-62.

MÁRTINEZ CAVIRO, B.

1984 *Cerámica de Talavera*, CSIC, Instituto Diego Velázquez, Madrid.

MARTÍNEZ GONZÁLEZ, Mª. M. ; VITORES BAÑARES, V.

2000 “Nuevos alfares de *Terra sigillata* hispánica en el entorno de *Tritium Magallum* (Badarán y Berceo, La Rioja)”, *Iberia, Revista de la Antigëdad, 3*, Universidad de La Rioja, La Rioja, pp. 333-372.

MARTÍNEZ TAMUXE, X.

1983 *Citania y Museo Arqueológico de Santa Tecla,* Sociedad Pro-Monte, Servicio Central de Publicaciones de la Xunta de Galicia.

1985 “Noticias inéditas sobre piezas arqueológicas del Museo de Santa Tecla” *Pontevedra Arqueológica,* I, Publicación del grupo de Arqueología “Alfredo García Alén”, Pontevedra, 1985.

MARTÍNEZ TORRECILLA, J. M.

1997 “Calahorra. Seguimiento de las obras de Calle Mártires, 11”, *Estrato,* 8, Revista riojana de arqueología, Gobierno de La Rioja (Consejería de Educación, Cultura, Juventud y Deportes), Servicio de Patrimonio Histórico Artístico, Logroño, pp. 34-37.

MARTINS, M.; SANDE LEMOS, F.; PÉREZ LOSADA, F.

2005 “O povoamento romano no território dos galaicos bracarenses”, *Unidad y diversidad en el Arco Atlántico en época romana*, III Coloquio Internacional de Arqueología de Gijón, Archaeopress (BAR International Series 1371), Oxford, pp. 279-296.

MATO, A.

2004 “A desfeita no Seminario de Estudos Galegos”, *Grial*, 163, Vigo.

MAURA MEDRI

1992 *Terra sigillata tardo italica decorata*, “L’erma” di Bretschneider, Studia Archaeologia, 60, Roma.

MAYET, F.

1975 *Les céramiques a parois fines dans la Péninsule Ibérique*, Publication du Centre Pierre París, París.

1984 *Les céramiques sigillées hispaniques: Contribution à l'histoire économique de la Péninsule Ibérique sous l'Empire Romain,* Publications du centre Pierre, Paris.

MENÉNDEZ LLORENTE, A.

1996 “Caracterización química y mineralógica de un grupo de sigillatas de la comarca de Valdeorras (Orense)”, *Minius: Revista do Departamento de Historia, Arte e Xeografía*, 5, Santiago de Compostela, pp. 77-95.

2000 *La comarca de Valdeorras en época romana: la cerámica sigillata*, Ourense.

MÉNDEZ REVUELTA, C.

1974-75 “Fragmentos de *terra sigillata* hispánica del Castelo de Valencia do Sil (Orense)”, *Cuadernos de Estudios Gallegos*, XXIX, 87-89, Santiago de Compostela, pp. 297-303.

1976 *Materiales para el estudio de la figura humana en el temario decorativo de la terra sigillata hispánica*, Studia Archeologica, 41, Santiago de Compostela.

MERGELINA,C. de

1943-44 “La Citania de Santa Tecla, La Guardia (Pontevedra)”, *Boletín del Seminario de Estudios de Arte y Arqueología,* Fasc. XXXVII-XXXIX, Tomo XI, Valladolid, pp. 13-108.

MEZQUÍRIZ DE CATALÁN, M. A.

1961 *Terra Sigillata Hispánica,* The William L. Bryant Foundation, Valencia.

1985 “Terra sigillta Hispánica”, *Atlante delle forme ceramiqhe, II, ceramique fine romana nel bacino Mediterraneo (Tardo ellenismo e primo impero)*, Enciclopedia dell’Arte Antica Classica e Orientale, Roma.

MIRÓ, B.

1991 "La *terra sigillata* africana a *Ilerda*", *Revista d´Arqueologia de Ponent*, 1, Lleida, pp. 223-237.

MOLINA VIDAL, J.

1997 *La dinámica comercial romana entre Italia e Hispania Citerior*, Universidad de Alicante, Instituto de Cultura Juan Gil-Albert. Alicante.

MONTESINOS I MARTÍNEZ, J.

1988 "Noticias de cerámica sigillata en tierras Valencianas (I)", *Arse*, 23, Sagunto, pp. 721-733.

1995 "Noticias de cerámica sigillata en tierras Valencianas (II)", *Arse*, 28-29, Sagunto, pp. 61-82.

1998 *Comercialización de Terra Sigillata en Ilici (Elche. Comunidad Valenciana. España)*, Real Academia de Cultura valenciana, Sección de Prehistoria y Arqueología. Serie Arqueología, Núm. 16, Valencia.

2004 *Antigüedades romanas I: Terra sigillata,* Catálogo del Gabinete de Antigüedades, Real Academia de la Historia, Madrid.

MOORE, P.D.; WEBB, J.A.; COLLINSON, M.E.

1991 *Pollen analysis*, Blackwell, London.

MORAIS, R.

1998 *As ânforas da zona das Carvalheiras*, Cadernos de Arqueologia, Monografías, Braga.

2005 *Autarcia e Comércio en Bracara Augusta, Bracara Augusta*, Escavaçoes arqueológicas, Nº 2, Unidade de Arqueologia da Universidade do Minho, Braga.

2010 “Estudio preliminar de la *terra sigillata* hispánica tardía de *Bracara Augusta*”, *Rei Cretariae Romanae Fautorum Acta*, 41, Bonn, pp. 437-461.

MORALES HERNÁNDEZ, F.

1982 "La *Terra Sigillata*”, *Arevacon,* Nº 6-7, Soria, pp. 10-13.

MOREDA BLANCO, F.J.; VILAR LABARTA, S.; SERRANO NORIEGA, R.; CARRAL FERNÁNDEZ, R.

2011 “La necrópolis tardorromana de la villa de “El vergel” (San Pedro del Arroyo, Ávila)”, *Oppidum,* 6-7, I.E. Universidad de Segovia, Segovia, pp. 141-184.

MORILLO CERDÁN, A.:

2003 “La navegación oceánica durante la época romana: de la imagen legendaria a la vertebración de un espacio marítimo atlántico”, *Gijón, puerto romano: navegación y comercio en el Cantábrico durante la Antigüedad*, Barcelona, pp. 17-41.

MORRIS, C.A.

2000 “Wood and Woodworking in Anglo-Scandinavian and Medieval York”, *The Small Finds, The Archaeology of York, York Archaeological Trust*, Fascicule 13, Vol. 17, York, pp. 2073-2452.

NAVEIRO LÓPEZ, J. L.

1984 “Un pecio romano en Cortegada (Vilagarcía de Arousa)”, *II Coloquio Galaico-Minhoto, vol II*, Santiago de Compostela, pp. 273-283.

1985 "El comercio del N.O. en época Romana", *Galicia, Historia,* I, Hércules de Ediciones, A Coruña, pp. 451-459.

1986 *Los materiales arqueológicos de la Plaza de María Pita (A Coruña)*, Xunta de Galicia, Consellería de Cultura e Benestar Social, Dirección Xeral de Cultura e Patrimonio, Histórico-Artístico, Servicio de Arqueología.

1988 "Arqueología urbana en A Coruña y definición del asentamiento romano", *La ciudad y el mundo urbano*, Universidad de Santiago de Compostela, Santiago de Compostela, pp. 35-62.

1991 *El comercio antiguo en el N.W. peninsular: lectura histórica del registro arqueológico*, Monografías Urxentes de Museu, 5. A Coruña.

1992 "O comercio marítimo na Galicia romana: o rexistro arqueolóxico", *Ciclo de conferencias de arqueología subacuática,* Santiago de Compostela, pp. 21-27.

1995 "Escavación arqueolóxica nas torres do Oeste (Catoira, Pontevedra)", *Arqueoloxía, Informes,* 3, *Campaña 1989*, Xunta de Galicia, Santiago de Compostela, pp. 71-75.

1996 "Registro cerámico e intercambios en el Noroeste en la época romana", *Los Finisterres Atlánticos en la Antigüedad, Época Prerromana y Romana,* Gijón, pp. 201-204.

2001 "La navegación y el tráfico marítimo en la Galicia romana", *Galicia Mare Nostrum: a importancia do mar en Galicia*, VIII Semana Galega de Historia, Asociación Galega de Historiadores, Santiago de Compostela, pp. 47-62.

2004 *Torres de Oeste, Monumento Histórico e Xacemento Arqueolóxico*, Deputación de Pontevedra, Pontevedra.

NAVEIRO LÓPEZ, J.L.; CAAMAÑO GESTO, J.M.

1992 "El depósito subacuático del Río Ulla, El material romano", *Finisterrae: estudios en lembranza do Prof. Dr. Alberto Balil*, Universidade de Santiago de Compostela, Santiago, pp. 257-295.

NAVEIRO LÓPEZ, J.; PÉREZ LOSADA, F.

1992a "Un Finisterre Atlántico en época romana: la costa Galaica (NW de la Península Ibérica)", *Current Research on the Romanization of the Western Provinces*, BAR Internacional Series, S 575, Oxford, pp. 63-90.

1992b "An Atlantic Finisterra in Roman times: the Galician litoral of the north-western Iberian peninsula", *Current Research on the Romanization of the Western Provinces*, BAR Internacional Series, S 575, Oxford, pp. 91-94.

NIETO PRIETO, J.

1984 "Algunos datos sobre las importaciones de cerámica "Phocean Red Slip" en la Península Ibérica," *Papers in Iberian Archaeology*, BAR Internacional Series, 193 (II), Oxford, pp.: 540-551.

1986 "El pecio Culip IV: observaciones sobre la organización de los talleres de *terra sigillata* de La Graufesenque." *Archaeonautica*, 6, pp. 81- 120.

1993 *El edificio "A" de la ciudad de Roses (La terra sigillata africana),* Centre D'Investigacions Arqueològiques de Girona, Sèrie Monogràfica, Núm. 14, Girona.

NIETO, X.; ROCA ROUMES, M.; VERNHET, A.; SCIAU, P.

2005 *La difusió de la Terra Sigillata Sudgàl-lica al nord d'Hispania*, Monografies, 6, Museu d'Arqueologia de Catalunya, Barcelona.

NIÑO, H.; SILVAR, C.

2001 *Guía das árbores de Galicia*, Baía Edicións, A Coruña.

NOZAL CALVO, M.; PUERTAS GUTIÉRREZ, F.

1995 *La terra sigillata paleocristiana gris en la villa romana de La Olmeda.* Studia Archaeologica, 83, Universidad de Valladolid, Valladolid.

OLCINA DOMÉNECH, M.; PÉREZ JIMÉNEZ, R.

2001 *La ciudad ibero-romana de Lucentum (El Tossal de Manises, Alicante). Introducción a la investigación del yacimiento arqueológico y su recuperación como espacio público*, Museo Arqueológico Provinicial de Alicante, Diputación de Alicante, Alicante.

OLCINA , M.; REGINARD, H; SÁNCHEZ, M. J.

1990 *Tossal de Manises (Albufereta, Alicante). Fondos antiguos: lucernas y sigillatas*, Diputación Provinicial de Alicante, Alicante.

ORTON, C.; TYERS, P.; VINCE, A.

1993 *Pottery in archaeology*, Cambridge manuals in arqchaeology, Cambridge.

OTERO VILARIÑO, C.

2006 “Castrolandín”, *Guía de castros de Galicia e Noroeste de Portugal*, Xunta de Galicia, Consellería de Cultura e Deporte, Dirección Xeral de Patrimonio Cultural, Santiago de Compostela, p. 43.

OXÉ, A.

1933 *Arretinische Reliefgefässe vom Rhein*, Materialen zur Römisch-Germanischen Keramik, V, Frankfurt.

OXÉ, A.; COMFORT, H.

1968 *Corpus Vasorum Arretinorum. A Catalogue of the Signatures, Shapes and Chronology of Italian Sigillata*, Rudolf Habelt Verlag GMBH, Bonn.

OSWALD, F.

1931 *Index of Potters´s stamps on Terra sigillata (samian ware)*, Margidunum.

1964 *Index of Figure-Types on Terra sigillata (samian ware)*, London.

OSWALD, F. Y PRYCE, D.

1966 *An introduction to the study of terra sigillata*, London.

PALOL, P. de; CORTÉS, J.

1974 *La villa romana de la Olmeda, Pedrosa de la Vega (Palencia), Excavaciones de 1969 y 1970,* Acta Arqueológica Hispánica, 7, Madrid.

PARDO DE GEVARA Y VALDÉS, E. (Dir.)

2005 *El Instituto de Estudios Gallegos “Padre Sarmiento”: Sesenta años al servicio de Galicia (1944-2004)*, Instituto de Estudios Gallegos “Padre Sarmiento”, CSIC, Xunta de Galicia, Santiago de Compostela.

PARGA CASTRO, A.

2001 *Excavación en área en el solar Nº4 de la Avenida Montero Ríos (Bueu, Pontevedra),* Informe valorativo, Santiago de Compostela.

PARKER, A.J.

1977 “Lusitanian Amphoras”, *Méthodes Classiques et Méthodes Formellés dans l’etude des amphores (actes du Colloque de Rome, 1974)*, Ecole Française de Rome, 32, Roma, pp. 35-46.

PASCUAL GUASCH, R.

1977 “Las ánforas de la Layetania” Méthodes Classiques et Méthodes Formellés dans l’etude des amphores (actes du Colloque de Rome, 1974), Ecole Française de Rome, 32. Roma, pp. 47-96.

PAZ PERALTA, J.A.

1991 *Cerámica de mesa romana de los siglos III al VI D.C. en la provinica de Zaragoza,* Institución Fernando el Católico, Zaragoza.

2008 “Las producciones de terra sigillata hispánica intermedia y tardía”, *Cerámicas hispanorromanas. Un estado de la cuestión, Rei Cretariae Romanae Fautores*, Cádiz, pp. 497-539.

PAZOS, J.

1973 *Ficha de depósito de la Biblioteca Municipal de Marín de 15 de octubre de 1973*, Marín.

PEACOCK, D.P.S.

1977 “Roman amphorae: Typology, Fabric and Origins”, *Méthodes Classiques et Méthodes Formellés dans l’etude des amphores (actes du Colloque de Rome, 1974)*, Ecole Française de Rome, 32, Roma, pp. 261-278.

PEACOCK, D.P.S.; WILLIANS, D.F.

1986 *Amphore and the Roman economy. An introductory guide*, Longman Archaeology Series, New York.

PELLICER CATALÁN, M.

1995 *Tras la identidad de la Arqueología,* Patronato de la Cueva de Nerja, Nerja (Málaga).

PEÑA SANTOS, A. DE LA

1985 "Primeras prospecciones arqueológicas subacuáticas en el litoral de la provincia de Pontevedra", *Pontevedra Arqueológica,* I, Grupo de Arqueología "Alfredo García Alén", Pontevedra, pp. 205-238.

1986 *Yacimiento galaico-romano de Santa Tegra (A Guarda-Pontevedra), Campaña 1983,* Arqueoloxía, Memorias, 5, Xunta de Galicia, Santiago de Compostela.

1987a "Tres años de excavaciones arqueológicas en el yacimiento galaico-romano de Santa Tegra (A Guarda-Pontevedra): 1983-1985", *Pontevedra Arqueológica,* II, Grupo de Arqueología "Alfredo García Alén", Pontevedra, pp. 157-189.

1987b "Castro de Santa Tegra (A Guarda), Campaña de 1987", *El Museo de Pontevedra*, XLI, Pontevedra, pp. 127-144.

1989 "Castro de Santa Tegra (A Guarda, Pontevedra)", *Arqueoloxía, Informes,* 1, *Campaña 1987*, Xunta de Galicia, Santiago de Compostela, pp. 70-73.

1990-1 “Consideraciones sobre las vías romanas de la Provincia de Pontevedra”, *Castrelos*, 3-4, Museo Municipal Quiñones de León, Vigo

1991a "Castro de Santa Tegra (A Guarda, Pontevedra)", *Arqueoloxía, Informes,* 2, *Campaña 1988*, Xunta de Galicia, Santiago de Compostela, pp. 67-70.

1991b “Ponte do Burgo (Pontevedra)”, *Arqueoloxía Informes,* 2, Xunta de Galicia, Santiago de Compostela, pp. 219-222.

1992 “*Turoqua* o los orígenes de la ciudad de Pontevedra”, *Revista de Estudios Provinciais*, 8-9, Diputación Provinicial, Pontevedra.

1995 “La excavación de 1988 en el Puente del Burgo (Pontevedra): Crónica de una frustración”, *Pontevedra, Revista de Estudios Provinciais,* 11, pp. 21-63.

2003 *Galicia: Prehistoria, castrexo e primeira romanización*, Vigo.

2006 “Castro de Santa Tegra”, *Guía de castros de Galicia e Noroeste de Portugal*, Xunta de Galicia, Consellería de Cultura e Deporte, Dirección Xeral de Patrimonio Cultural, Santiago de Compostela, p. 38-39.

PEÑA SANTOS, A. DE LA;JUEGA PUIG, J.; LÓPEZ de GUEREÑU POLÁN, L.

1996 *Historia de Pontevedra*, Vía Láctea editorial, A Coruña.

PEÑA-CHOCARRO, L.; ZAPATA, L.

1996 “Los recursos vegetales en el mundo romano: estudio de los macrorrestos botánicos del yacimiento Calle Santiago de Irún (Guipúzcoa)”, *Archivo Español de Arqueología*, 69, Madrid, pp. 119-134.

PEÑALBA, M.C.

1992 “Biogeografía Holocena de las principales especies forestales del Norte de la Península Ibérica”, *Cuadernos de Sección,* Historia 20, Donostia, pp. 391-409

PÉREZ LOSADA, F.

1985 "Os asentamentos na Galicia Romana", *Galicia, Historia,* I, Hércules de Ediciones, A Coruña, pp. 403-441.

1987 "Sobre o concepto de *villa* no mundo romano", *Cadernos de Arqueologia,* Serie II Vol. 4, Braga, pp. 81-108.

1992 “Contribución ó estudio da cerámica de construcción na Galicia romana”, *Galicia: da romanidade á xermanización. Problemas Históricos e culturais. Actas do encontro científico en homenaxe a Fermín Bouza Brey (1901-1973),* Museo do Pobo Galego, Santiago de Compostela, pp. 241-261.

1995a "Arqueoloxía e Arte no mundo rural: hábitat e arquitectura das *villae* galaicorromanas”, *Arqueoloxía e Arte na Galicia Prehistórica e Romana*, Monografías, Museu Arqueolóxico e Histórico de A Coruña, 7, A Coruña, pp. 165-188.

1995b "Escavación arqueolóxica, prospección xeofísica e consolidación da vila romana de Noville (Mugardos, A Coruña)", *Arqueoloxía, Informes,* 3, *Campaña 1989*, Xunta de Galicia, Santiago de Compostela, pp. 51-56.

1996a "Hacia una definición de los asentamientos rurales en la *Gallaecia*: poblados (*vici)* y casas de campo (*villae*)", *Los finisterres atlánticos en la Antigüedad: Época prerromana y romana* (Coloquio internacional), Gijón, pp. 189-197.

1996b "O campo galaicorromano e os seus contactos cos núcleos urbanos: algunhas reflexións sobre a relación cidade-campo na *Gallaecia*", *III e IV Semanas de Historia: A Guerra en Galicia, O Rural e o Urbano na Historia de Galicia,* A.G.H., Santiago de Compostela, pp.249-265.

1998 "Cidades e aldeias na Galiza romana: uma proposta de classificaçao hierárquica do habitat galaico-romano", *O arqueólogo portugués*, Série IV, Volume 16, Lisboa, pp. 157-174.

2002 Ficha de clasificación tipolóxica de *tegulae*, Inédita.

2003 *Escavación arqueolóxica na villa romana de Toralla (Oia, Vigo). Informe preliminar*, Ourense.

2004 *Entre a cidade e a aldea: Estudio arqueohistórico dos "aglomerados secundarios" romanos en Galicia*, *Brigantium*, 13, Boletín do Museo Arqueolóxico e Histórico da Coruña, Museo Arqueolóxico e Histórico de San Antón, A Coruña.

2007 "El vicus romano", *Historia de Vigo*, Ediciones Nobel-Faro de Vigo, Fascículo 3, Vigo, pp. 25-36.

PÉREZ LOSADA, F.; ACUÑA PIÑEIRO, A.

1998 "*Tude* (Tui, Pontevedra): un núcleo urbano secundario na Galicia romana", *Los orígenes de la ciudad en el Noroeste Hispánico, Actas del Congreso Internacional,* Lugo, pp. 871-890.

PÉREZ LOSADA, F.; FERNÁNDEZ FERNÁNDEZ, A.; VIEITO COVELA, S.

2007 "Resultados preliminares das escavacións arqueolóxicas na villa romana de Toralla (Oia, Vigo)", *Castrelos* 13, Vigo, pp. 12-25.

2008 "Toralla y las villas marítimas de la Gallaecia atlántica. Emplazamiento, arquitectura y función", *Las villae tardorromanas en el occidente del Imperio: arquitectura y función. IV Coloquio Internacional de Arqueología en Gijón*, Trea, Gijón, pp. 481-506.

PÉREZ LOSADA, F.; VIEITO COVELA, S.; FERNÁNDEZ FERNÁNDEZ, A.

2004 "Dous fragmentos de cerámica fina importada (*Terra sigillata* clara) con decoración aplicada. *Villa* romana de Toralla, finca Mirambell, Canido, Oia, Vigo; campaña de 2002, nº de inventario: VT02-2201 e VT02-2203, depósito actual: Laboratorio de Arqueoloxía da Universidade de Vigo (LAUV), Facultade de Historia, Ourense", *Até o confín do mundo: Diálogos entre Santiago e o Mar*, Museo do Mar de Vigo, Xacobeo 2004, Editorial Galaxia, Vigo, p. 63.

PÉREZ RODRÍGUEZ, F., GARCÍA ROZAS, Mª. R.

1989 "Nuevos datos acerca de la producción de terra sigillata hispánica tardía", *Boletín del Seminario de Estudios de Arte y Arqueología*, LV, Universidad de Valladolid, Valladolid, pp. 169-191.

PEREIRA MENAUT, G.

1980 "Historical landscape and structures. A reflection on the case of roman Galicia", *Boletín Auriense,* Ano X, Tomo X, Museo Arqueolóxico Provinicial de Ourense, Ourense, pp. 25-31.

PICALLO FUENTES, H.; PICALLO FUENTES, M.

2002 “Achegamento ó estudio dunha nova ara cuntiense. DII BUXIMUS: contribución ó panteón galaico-romano”, *Pasado e futuro de Castrolandín (Cuntis): unha proposta de recuperación e revalorización*, TAPA, 29, Laboratorio de Arqueoloxía da Paisaxe, Instituto de Estudos Galegos Padre Sarmiento, CSIC – Xunta de Galicia, Santiago de Compostela, pp. 105-114.

PICON, M.; VICHY, M.

2003 "D'Orient en Occident: l'origine du verre à l'époque romaine et durant le haut Moyen Âge", *Échanges et commerce du verre dans le monde antique. Actes du coloque de l'Association Française pour l'Archéologie du Verre.* Montagnac, Éditions Monique Mergoil, pp. 17-31.

PIQUÉ, R.

1999 *Producción y uso del combustible vegetal: una evaluación arqueológica*, Treballs d’Etnoarqueologia, 3, UAB, CSIC, Madrid.

PIRES DE CARVALHO, T.

1998 *A terra sigillata de Monte Mozinho (Contributo para a história económica do povoado)*, Homenagem a Carlos Alberto Ferreira de Almeida - II, Cadernos do Museu, 3, Penafiel.

PLOUVIEZ, J. (Ed.)

2003 “Amphorae in Britain and the Western Empire”, *Journal of Roman Pottery Studies*, 10. Oxford.

POLLMANN, B.; JACOMET, S.; SCHLUMBAUM, A.

2005 “Morphological and genetic studies of waterlogged Prunus species from the Roman vicus Tasgetium (Eschenz, Switzerland)”, *Journal of Archaeological Science*, London, 32, pp.1471-1480.

PORRES CASTILLO, F.

1999 “Sondeo arqueológico en el término de Los Ladrillos”, *Estrato,* 10, Revista riojana de arqueología, Gobierno de La Rioja (Consejería de Educación, Cultura, Juventud y Deportes), Servicio de Patrimonio Histórico Artístico, Logroño, pp. 44-46.

PORTO MATALOBOS, X.

1974 “Cuntis”, *Gran Enciclopedia Gallega*, 8, Vigo, pp. 114-118.

PRECEDO LEDO, A. (Dir.)

1993 *Galicia pueblo a pueblo*, La Voz de Galicia, A Coruña.

PRIETO ROBLES, Mª. S.

2004 "Fragmentos de cuncos. Vigo, excavación na rúa Rosalía de Castro, parcela 14, siglas: 14.99.4103; 14.99.293; 14.99.3085 e 14.99.4532, século VI D.C., cerámica, 2-5x8-6 cm, cunco de forma Hayes 3, depósito provisional: Anta da Moura”, *Até o confín do mundo: Diálogos entre Santiago e o Mar*, Museo do Mar de Vigo, Xacobeo 2004, Editorial Galaxia, Vigo, p. 71.

2004 "Fragmento de prato. Vigo, excavación na rúa Rosalía de Castro, parcela 19, 530-580 D.C., cerámica, prato da forma Hayes 104, estilo decorativo E(ii), 20x40 cm, pósito provisional: Anta da Moura", *Até o confín do mundo: Diálogos entre Santiago e o Mar*, Museo do Mar de Vigo, Xacobeo 2004, Editorial Galaxia, Vigo, p. 72.

PUCCI, G.

1985 "*Terra Sigillata* itálica", *Suplemento de la Enciclopedia dell´Arte Antica. Classica e Orientale, Atlante delle forme ceramiche, II, Ceramica fine romana nel Bacino Mediterraneo (Tardo Ellenismo e primo Imperio)*, Roma, pp. 359-406.

PUGSLEY, P.

2003 Roman Domestic Wood. Analysis of the morphology, manufacture and use of selected categories of domestic wooden artefacts with particular reference to the material from Roman Britain, BAR International Series 1118, Oxford, 209pp.

PY, M. (Dir.).

1993 *Mélanges d'histoire et d'archéologie de Lattes, Lattara 6,* Publication de l'Unité Propre de Recherche 290 du C.N.R.S, "Civilisations protohistoriques de la France méditerranéene", Avec le concours du Ministère de la Culture, Direction du Patrimoine, Sous-Direction de l'Archélogie, et du Centre National de la Recherche Scientifique, Edition de l'Association pour la Recherche Archéologie en Labguedoc Oriental, Lattes.

QUERO CASTRO, S.; PÉREZ NAVARRO, A. (Coords.)

2002 *Historiografía de la arqueología española. Las instituciones*, Serie Cursos y Conferencias, 3, Museo de San Isidro, Madrid.

RAMIL GONZÁLEZ, E.

1989 "Castros do Concello de Ortigueira (Ortigueira, A Coruña)", *Arqueoloxía, Informes,* 1, *Campaña 1987*, Xunta de Galicia, Santiago de Compostela, pp. 58-63.

2010 *Excavación arqueológica no concheiro do castro de Punta Atalaia*, Memoria depositada en los Servicios Técnicos de Arqueoloxía de la Xunta de Galicia, Inédita.

REQUEJO PAJÉS, O.

1997 "Cerámica *sigillata* hispánica procedente del castro de Villacondide, en el concejo de Coaña" *Nuestro Museo, Boletín Anual del Museo Arqueológico de Asturias*, Oviedo, pp. 139-143.

REMESAL RODRÍGUEZ, J. (Ed)

2004 *Epigrafía Anfórica*, Colecc. Instrumenta, 17, Universidad de Barcelona. Barcelona.

REMOLÀ VALLVERDÚ, J.A.

2000 *Las ánforas tardo-antiguas de Tarraco (Hispania Tarraconensis)*, Colección Instrumenta, Vol. 7, Universidad de Barcelona, Barcelona.

REY CASTIÑEIRA, J.

1991 *Yacimientos castreños de la vertiente atlántica. Análisis de la cerámica indígena*, Universidad de Santiago de Compostela.

REYNOLDS, P.

1995 *Trade in the Western Mediterranean, AD 400-700: The ceramic evidenca*, BAR International Series, 604, Oxford.

RIBEIRO COUTINHO, H. M.

1997 *Terra Sigillata Clara do Montinho das Laranjeira –1990 e 1991-*, Ediçao da Câmara Municipal de Alcoutim, Alcoutim.

RIGOIR, J.

1968 "Les sigillées paléochretiennes grises et orangées," *Gallia*, XXVI, París, pp.: 177-244.

1971 "Les derivés des sigillées paléochretiennes en Espagne", *Rivista di Studi Liguri*, XXXVII, 1-3, Bordighera, pp. 33-68.

RITTERLING, E.

1901 *Haltern die Fundstücke, Mitt. der Altertumskommission für Westfalen, 2*, Bonn.

RIVERA, C.; VÁZQUEZ, V.

1883 *Guía de Galicia*, Madrid, pp. 122-123.

ROBINSON, M.

2002 “Domestic burnt offerings and sacrifices at Roman and pre-Roman Pompeii, Italy”, *Vegetation History and Archaeobotany*, 11, Springer Verlag, pp. 93-99.

ROCA ROUMENS, M.

1985 "Precisiones acerca del centro de producción de *Terra sigillata* de Andújar", *Boletín del Museo Arqueológico Nacional*, Tomo III, nº 2, Madrid, pp. 223-226.

1998 "Historia de la investigación de la *terra sigillata* hispánica", *Terra sigillata hispánica: estado actual de la investigación,* Universidad de Jaén, Jaén, pp. 13-30.

ROCA ROUMENS, M.; FERNÁNDEZ GARCÍA, Mª. I. (Coords.).

1999 *Terra Sigillata Hispánica. Centros de fabricación y producciones altoimperiales,* Universidad de Jaén, Universidad de Málaga, Málaga.

2005 *Introducción al estudio de la cerámica romana. Una breve guía de referencia*, Universidad de Málaga, Málaga.

ROCA ROUMES, M.; NIETO, X.

2005 “La difusió de la *Terra Sigillata* Sudgàl-lica al nord d’*Hispania*”, *La difusió de la Terra Sigillata Sudgàl-lica al nord d’Hispania*, Monografies, 6, Museu d’Arqueologia de Catalunya, Barcelona, pp. 7-8.

ROCA ROUMES, M.; PRINCIPAL, J. (Ed.)

2007 *Les imitacions de vaixella fina importada a la Hispania Citerior (segles I aC-I dC)*, Institut Català d'Arqueologia Clássica, Sèrie Documenta, 6, Tarragona.

RODRÍGUEZ, A.

2005 *Do Imperio Romano á Alta Idade Media. Arqueoloxía da Tardoantigüidade en Galicia (séculos V-VIII)*, Ed. Toxos Outos, Noia.

RODRÍGUEZ COLMENERO, A.

1977 *Galicia meridional romana*, Publicaciones de la Universidad de Deusto, Historia, 1, Universidad de Deusto, Madrid.

1985 "Excavaciones arqueológicas en Ouvigo, Blancos (Orense)", *Noticiario Arqueológico Hispano*, 24, Ministerio de Cultura, Madrid, pp. 263-388.

1989 "*Aquis Querquennis* (Bande, Ourense)", *Arqueoloxía, Informes,* 1, *Campaña 1987*, Xunta de Galicia, Santiago de Compostela, pp. 82-84.

1998 *Los orígenes de la ciudad en el Noroeste Hispánico, Actas del Congreso Internacional,* Lugo.

RODRÍGUEZ COLMENERO, A. (Coord.)

1998 *Los orígenes de la ciudad en el Noroeste Hispánico, Actas del Congreso Internacional*, Lugo.

RODRÍGUEZ COLMENERO, A. (Dir.)

1991 *Larouco, revista da Historia primitiva, tradicións orais e patrimonio cultural de Galicia*, 1, Grupo Arqueológico Larouco, O Castro, Sada.

RODRÍGUEZ COLMENERO, A.; FERRER SIERRA, S. (Eds.)

2006 *Excavaciones arqueológicas en Aqvis Qverqvennis. Altreraciones en el campamento romano (1975-2005)*, Anejos de Larouco, 4, Lugo.

RODRÍGUEZ COLMENERO, A.; LIDIO GASPERINI (Eds.)

1995 *Saxa Scripta (Inscripciones en roca), Actas del Simposio Internacional Ibero-Itálico sobre epigrafía rupestre*, Anejos de Larouco, 2, O Castro, Sada.

RODRÍGUEZ GARCÍA, P.

1999 "Bronces figurados de Taboexa", *Gallaecia*, 18, Sada, A Coruña, pp. 287-300.

RODRÍGUEZ GONZÁLEZ, X.

1995 "Escavación arqueolóxica no conxunto arqueolóxico de Santomé (Ourense)", *Arqueoloxía, Informes,* 3, *Campaña 1989*, Xunta de Galicia, Santiago de Compostela, pp. 57-59.

RODRÍGUEZ GONZÁLEZ, X.; PERALTA BEJARANO, I.

1991 "A propósito de la cerámica de paredes finas y la romanización de Galicia", *Boletín Auriense*, Museo Arqueolóxico Provinicial de Ourense, Ourense, XX-XXI, pp. 255-276.

RODRÍGUEZ GONZÁLEZ, X.; XUSTO RODRÍGUEZ, M.

2006 "A corrente continental na Galicia romana altoimperial: o rexistro arqueolóxico", *Boletín Auriense*, XXXV, Museo Arqueolóxico Provincial de Ourense, Ourense, pp. 9-32.

RODRÍGUEZ MARTÍNEZ, P.

1991 “Excavación de urgencia en el solar conocido como “La casa del oculista” (Calahorra)”, *Estrato*, 3, Revista riojana de arqueología, Gobierno de La Rioja (Consejería de Cultura, Deportes y Juventud), D. G. Cultura – Servicio de Patrimonio Histórico Artístico, Logroño, pp. 54-55.

RODRÍGUEZ MARTÍNEZ, R. Mª.

2003 “La cerámica romana del solar nº 13 de la Plaza de Compostela, Vigo, Pontevedra”, *El Museo de Pontevedra*, LVII, Pontevedra, pp. 11-43.

2004 “Cerámicas finas romanas de Vigo. A *terra sigillata* do solar nº13 da Praza de Compostela, Vigo”, *Murguía*, 3, Santiago de Compostela, pp. 67-75.

RODRÍGUEZ RESINO, A.

2005 *Do Imperio Romano á Alta Idade Media. Arqueoloxía da Tardoantigüidade en Galicia (séculos V-VII)*, Serie Trivivm, 14, Noia.

ROMERO CARNICERO, M.V.

1985 *Numancia I : La terrra sigillata,* Excavaciones Arqueológicas en España, 146, Ministerio de Cultura, Dirección General de Bellas Artes y Archivos, Subdirección General de Arqueología y Etnografía, Madrid.

1982 "Las cerámicas romanas de Numancia”, *Arevacon,* Nº 17. Soria, pp. 20-26.

ROMERO POSE, V.

1990 “Cristianismo e priscilianismo”, *O pensamento galego na Historia*, Universidade de Santiago de Compostela, Santiago de Compostela, pp. 57-65.

SÁENZ PRECIADO, Mª, P.

1994 “La industria cerámica romana en La Rioja“, *Fichas didácticas*, Museo de La Rioja, Departamento de educación y acción cultural, Logroño.

1999 “Inicio de la campaña arqueológica en el término “El Quemao” (Tricio) afectado por las obras de ensanche y mejora de la LR 430 y de la LR 113 a Arenzana de Abajo”, *Estrato,* 10, Revista riojana de arqueología, Gobierno de La Rioja (Consejería de Educación, Cultura, Juventud y Deportes), Servicio de Patrimonio Histórico Artístico, Logroño, pp. 20-21.

SÁENZ PRECIADO, C.; SÁENZ PRECIADO, Mª. P.

1993 “Marcas y grafitos en *sigillata* aparecidos en Libia (Herramélluri-La Rioja)”, *Estrato,* 5, Revista riojana de arqueología, Gobierno de La Rioja (Consejería de Cultura, Deportes y Juventud), Servicio de Patrimonio Histórico Artístico, Logroño, pp. 27-34.

1999 "Estado de la cuestión de los alfares riojanos: La *terra sigillata* hispánica altoimperial", *Terra Sigillata Hispánica, Centros de fabricación y producciones altoimperiales,* Universidad de Jaén, Universidad de Málaga, Málaga, pp.61-136.

SÁNCHEZ PACHECO, T.

1996 *Cerâmica Espanhola, dos Árabes a Miró, nas colecçoes do Museu de Cerâmica de Barcelona*, Lisboa.

1997 *Museo de la cerámica. Guía*, Ajuntament de Barcelona, Barcelona.

SÁNCHEZ PACHECO, T. (Coord.)

1999 *Summa Artis, Historia General del Arte, Vol. XLII, Cerámica española*, Madrid.

SANDE LEMOS, F.; INFANTE ROURA, F. (Coords.)

2006 *Guía de castros de Galicia e Noroeste de Portugal*, Xunta de Galicia, Consellería de Cultura e Deporte, Dirección Xeral de Patrimonio Cultural, Santiago de Compostela.

SANDOVAL, E. G.

1962 "Terra sigillata en el Museo arqueológico de Murcia", *Homenaje al profesor Cayetano de Mergelina*, Universidad de Murcia, Facultad de Filosofía y Letras, Comisión organizadora del homenjae al Profesor Dr. Mergelina, Valencia, pp. 445-449.

SANDS, R.

1997 *Prehistoric Woodworking. The analysis and interpretation of Bronze and Iron Age Toolmarks*, The Institute of Archaeology, UCL, London.

SCHACKLEY, M.

1981 *Environmental Archaeology*, George Allen & Unwin, London.

SCHOCH, W.; HELLER, I.; SCHWEINGRUBER, F.H.; KIENAST, F.

2004 Wood anatomy of central European Species. Online version: www.woodanatomy.ch

SCHWEINGRUBER, F.H.

1978 *Mikroskopische Holzanatomie*, Swiss Federal Institute for Forest, Snow and Landscape Research, Birmensdorf.

1990a *Anatomie europäisher Hölzer. Ein Atlas zur Bestimmung europäischer Baum-, Strauch- und Zwergstrauchhölzer, Anatomy of European woods. An Atlas for the identification of European trees, shrubs and dwarf shrufs*, Sttutgart, Verlag, Paul Haupt.

1990b *Microscopic Wood Anatomy. Structural variability of stems and twigs in recent and subfossil woods from Central Europe*, Swiss Federal Institute for Forest, Snow and Landscape Research, Teufen.

1996 *Tree Rings and Environment Dendroecology*, WSL/FNP, Haupt.

2007 *Wood Structure and Environment*, Springer Verlag.

SCHWEINGRUBER, F.H.; BÖRNER, A.; SCHULZE, E.-D.

2006 *Atlas of Woody Plant Stems. Evolution, Structure and Environmental Modifications*, Springer Verlag, Berlin.

SCIALLANO, M; SIBELLA, P.

1994 *Amphores comment les identifier?*, Édisud, Aix-en-Provence.

SEARA CARBALLO, A.

1989 "As Burgas (Ourense)", *Arqueoloxía, Informes,* 1, *Campaña 1987*, Xunta de Galicia, Santiago de Compostela, pp. 108-111.

SERRANO RAMOS, E.

1991 *Terra Sigillata Hispánica de los alfares de Singilia Barba,* Málaga.

SHENNA, S.

1992 *Arqueología Cuantitativa*, Barcelona.

SILVA CAEIRO, J. O. da

1974-77 "O espólio da herdade do reguengo, Vaiamonte", *O Arqueólogo Português,* Série III, Vols. VII-IX, Lisboa, pp. 227-241.

SINGUL, F.; SUÁREZ OTERO, J.

2004 *Até o confín do mundo: diálogos entre Santiago e o Mar*, 2004.

SOLARAT LÓPEZ, J. V. (Pres.)

1990 *Galicia no tempo*, Arcebispado de Santiago, Xunta de Galcicia, Madrid.

SOLOVERA SAN JUAN, Mª.E.

1987 *Estudios sobre la historia económica de La Rioja romana*, Historia, 7, Gobierno de La Rioja, Instituto de Estudios Riojanos, Logroño.

SOTOMAYOR MURO, M. (Coord.)

1983 "Monografía: Terra *Sigillata* Hispánica"*, Boletín del Museo Arqueológico Nacional,* Tomo I, nº 2, Madrid, pp. 113-175.

STANCLIFFE, R.P.W.

2002 "Microforaminiferal linings. In Jansonius", *Palynology: principles and applications*, 1, American Association of Stratigraphical Palynologists Foundation, Dallas, 373 379.

STENICO, A.

1966 *La ceramica arretina,* Collana di testi e documenti per lo Studio dell'antichità, 4, 14, Milano.

SUÁREZ, A.M.

2006 *A vida cotiá na Galicia romana*, Ed. Lóstrego, Santiago.

SUÁREZ OTERO, J.

2002 "Sobre Iria Flavia y los comienzos de la romanización en Galicia", *Boletín Auriense*, XXXII, pp. 87-103.

2004 "*Ampulla Bizantina*", *Até o confín do mundo: diálogos entre Santiago e o Mar*, Museo do Mar de Vigo, Vigo, p. 74.

2006 "Monte do Facho", *Guía de castros de Galicia e Noroeste de Portugal*, Xunta de Galicia, Consellería de Cultura e Deporte, Dirección Xeral de Patrimonio Cultural, Santiago de Compostela, p. 42.

SUÁREZ OTERO, J.; SCHATTNER, Th.; KOCH, M.

2005 "O santuario galaico-romano do Facho (Donón, O Hío, Cangas), *Para o deus Berobreo: Aras do santuario de Donón no Museo Municipal de Vigo*, Museo Municipal de Vigo "Quiñones de León", Vigo, pp. 45-57.

SUÁREZ PIÑEIRO, A. Mª

2001 *Os romanos en Galicia*, Noia.

TABOADA, N.

1977 *Descripción Topográfico-Histórica de la ciudad de Vigo, su ría y sus alrededores*, (1ª ed. 1840), Ed. Facsímil, Ayuntamiento de Vigo, Vigo.

THIÉBAULT, S.

2006 "Wood-anatomical evidence of pollarding in ring porous species: a study to develop?", *Charcoal Analysis: New Analytical Tools and Methods for Archaeology*, BAR International Series, 1483, Oxford, pp. 95-102.

TIRADO MARTÍNEZ, J. A.

1996 "El mosaico romano de la calle La Enramada", *Estrato,* 7, Revista riojana de arqueología, Gobierno de La Rioja (Consejería de Educación, Cultura, Juventud y Deportes), Servicio de Patrimonio Histórico Artístico, Logroño, pp. 32-38.

TOMÁS BOTELLA, V:

"Intervención arqueológica no nº 34 da rúa Real de A Coruña (2000 - 2004)", *Brigantium*, en prensa.

TOMBER, R ; WILLIAMS, D.F.

1986 *Late Roman amphorae in Britain" Journal of Roman Pottery Studies*, 1, Oxbow Books for The Studies Group for Roman Pottery, Oxford, pp. 42-54.

TORRES LUNA, Mª. P. (Dir.)

2000 *Geografía de Galicia*, A Coruña.

TRANOY, A.

1981 *La Galice romaine: Recherches sur le Nord-ouest de la péninsule ibérique dans* l'Antiquité, Publication du Centre Pierre París, París.

TUDANCA CASERO J. M.

1997 *Evolución socioeconómica del alto y medio Valle del Ebro en época bajoimperial romana*, Historia, 12, Gobierno de La Rioja, Instituto de Estudios Riojanos, Logroño.

TUDANCA CASERO J. M.; LÓPEZ DE CALLE, C.

1998 "Sondeos arqueológicos en el P.E.R.I. Nº1 Excuevas-Cuarteles de Logroño", *Estrato,* 9, Revista riojana de arqueología, Gobierno de La Rioja (Consejería de Educación, Cultura, Juventud y Deportes), Servicio de Patrimonio Histórico Artístico, Logroño, pp. 87-97.

2000 "*Calagurris Iulia Nassica:* Evidencias de incendio y abandono en el sector norte de la ciudad altoimperial", *Estrato,* 11, Revista riojana de arqueología, Gobierno de La Rioja (Consejería de Educación, Cultura, Juventud y Deportes), Servicio de Patrimonio Histórico Artístico, Logroño, pp. 28-40.

TUSET I BELTRÁN, F., BUXEDA I GARRIGÓS, J.

1995 "La cerámica sigillata hispánica avanzada (T.S.H.A.) de Clunia: segunda mitad del s. II - s. III d. C.", *Trabalhos de Antropologia e Etnologia*, XXXV, Universidade do Porto, Porto, pp. 355-363.

ULRICH, R.B.

2007 *Roman Woodworking*, Yale University Press, New Haven and London.

URTEAGA ARTIGAS, M. M.

2007 "El puerto romano de Irún (Guipúzcoa)", Centro de Estudios e investigaciones histórico-arqueológicas ARKEOLAN, Irún.

VALDEIRAS, M.

2004 "A excavación arqueolóxica na rúa da igrexa de Xinzo de Limia", *Lethes*, 5, Ourense, pp. 32-45.

VAZ PINTO, I.

2003 *A cerâmica comum das villae romanas de Sao Cucufate (Beja),* Colecçao Teses, Universidade Lusíada Editora, Lisboa.

VÁZQUEZ COLLAZO, S.

2000 *O Pazo (GA36045001), Redondela, (Pontevedra),* Ficha de Inventario de Xacementos Arqueológicos depositada na Dirección Xeral de Patrimonio Cultural, Xunta de Galicia, Santiago de Compostela.

VÁZQUEZ GÓMEZ, X. L.

1991 "Últimas actuacións arqueolóxicas na Coruña", *Larouco,* 1, A Coruña, pp. 131-139.

1993/94 "Tres marcas de alfareiro en *Terra Sigillata* atopadas na Coruña", *Brigantium,* 8, A Coruña, pp. 293-299.

1995 "Escavación arqueolóxica de urxencia na Praza Xeneral Cánovas Lacruz (A Coruña)", *Arqueoloxía, Informes,* 3, *Campaña 1989*, Xunta de Galicia, Santiago de Compostela, pp. 135-140.

VÁZQUEZ DE LA CUEVA, A.

1985 *Sigillata Africana en Augvsta Emerita*, Monografías Emeritenses, 3, Museo Nacional de Arte Romano, Asociación de Amigos del Museo, Mérida.

VÁZQUEZ MARTÍNEZ, Mª. DE LOS A.; CAAMAÑO GESTO, J. M.

2004 "Estudio del vidrio hallado en la *Villa* Romana de Toralla (Coruxo, Pontevedra)", *Gallaecia*, 23, Sada, A Coruña, pp. 85-116.

VEGAS, M.

1973 *Cerámica común romana del Mediterráneo Occidental*, Barcelona.

VERMEEREN, C.E.

2003 “Boats in the Desert, the dessicated wood and charcoal from Berenike”, *BIAXiaal*, 90.

VERNET, J.L.; OGEREAU, P.; FIGUEIRAL, I.; MACHADO, C.; UZQUIANO, P.

2001 *Guide d’identification des charbons de bois préhistoriques et récents. Sud-Ouest de l’Europe: France, Peninsule Ibérique et îles Canaries*, CNRS Editions, Paris.

VERNHET, A.

1991a *La Graufesenque: céramiques gallo-romaines*, Éditions du Beffroi, Millau.

1991b *Les ateliers de céramiques gallo-romaines de La Graufesenque (Millau-Aveyron)*, Association des Amis du Musée de Millau, Editions du Castelet.

VIEITO COVELA, S.; PÉREZ LOSADA, F.; FERNÁNDEZ FERNÁNDEZ, A.

2008 “El material cerámico de construcción de la *villa* y necrópolis de Toralla: tipología y usos”, *Las villae tardorromanas en el occidente del Imperio: arquitectura y función. IV Coloquio Internacional de Arqueología en Gijón*, Trea, Gijón, pp. 755-766.

WELLS, C. ,M.

1977 “L’implantation des ateliers de céramique sigillée en Gaule. Problématique de la recherche”, *Figlina*, 2, Lyon, pp. 1-11.

WOOD, M.; QUEIROGA, F. (Ed.)

1992 *Current Research on the Romanization of the Western Provinces*, BAR Internacional Series, S 575, Oxford.

XUNTA DE GALICIA

1991 “Normas complementarias y subsidiarias de planeamiento de las provincias de La Coruña, Lugo, Orense y Pontevedra”, Xunta de Galicia, Consellería de ordenación do territorio e obras públicas, Dirección Xeral de Calidade Medioambiental e Urbanismo, Santiago de Compostela.

1995 “Lei 8/1995, do 30 de outubro, do patrimonio cultural de Galicia”, Xunta de Galicia, Consellería de Cultura, Dirección Xeral do Patrimonio Histórico e Documental, Santiago de Compostela.

1997 “Decreto 199/1997, do 10 de xullo, polo que se regula a actividade arqueológica na Comunidade Autónoma de Galicia”, *DOG 150,* Xunta de Galicia, Santiago de Compostela.

1997 “Corrección de erros.- Orde 8 de outubro de 1997 pola que se desenvolven determinados artigos Decreto 90/1997, do 10 de xullo, polo que se regula a actividade arqueológica na Comunidade Autónoma de Galicia”, *DOG 205,* Xunta de Galicia, Santiago de Compostela.

ZAPATA, L.

2002 *Origen de la agricultura en el País Vasco y transformaciones en el paisaje: análisis de restos vegetales arqueológicos*, Kobie, Anejo 4, Dip. Foral de Bizkaia, Bizkaia.

USC UNIVERSIDADE DE SANTIAGO DE COMPOSTELA